

**BEITRÄGE ZUR
KENNTNISS DER
FISCHE AFRIKA'S: II.
[THEIL], UND
BESCHREIBUNG...**

Franz Steindachner



DENKSCHRIFTEN
DER
KAISERLICHEN
AKADEMIE DER WISSENSCHAFTEN.

MATHEMATISCH-NATURWISSENSCHAFTLICHE CLASSE.

FÜNFUNDVIERZIGSTER BAND.



WIEN.
AUS DER KAISERLICH-KÖNIGLICHEN HOF- UND STAATSDRUCKEREL
1882.

A. 84628

INHALT.

Erste Abtheilung.

Abhandlungen von Mitgliedern der Akademie.

<i>Steindachner</i> : Beiträge zur Kenntniss der Fische Afrika's (II.) und Beschreibung einer neuen <i>Paraphoxinus</i> -Art aus der Herzegowina. (Mit 6 Tafeln.)	Seite 1
---	------------

Zweite Abtheilung.

Abhandlungen von Nicht-Mitgliedern.

<i>Rohon</i> : Untersuchungen über <i>Amphioxus lanceolatus</i> . Ein Beitrag zur vergleichenden Anatomie der Wirbelthiere. (Mit 6 Tafeln.)	1
<i>Tangl</i> : Die Kern- und Zelltheilungen bei der Bildung des Pollens von <i>Hemerocallis fulva</i> L. (Mit 4 Tafeln.)	65
<i>Hafler</i> : Zur Kenntniss der Muriciden. Eine vergleichend-anatomische Studie. I. Theil. Anatomie des Nervensystemes. (Mit 3 Tafeln und 2 Holzschnitten.)	87
<i>Burgerstein</i> : Geologische Studie über die Therme von Deutsch-Altenburg an der Donau. (Mit 2 Tafeln und 1 Holzschnitte im Text.)	107
<i>Becker</i> : Zur Kenntniss der Mundtheile der Dipteren. (Mit 4 Tafeln.)	123
<i>Dunikowski</i> : Die Spongien, Radiolarien und Foraminiferen der unterliassischen Schichten vom Schafberg bei Salzburg. (Mit 6 Tafeln.)	163
<i>Bassani</i> : Descrizione dei pesci fossili di Lesina accompagnata da appunti su alcune altre ittiofaune cretacee (Pietraroia, Voiron, Comén, Grodischitz, Crespano, Tolfa, Hakel, Sahel-Alma e Vestfalia). (Mit 16 Tafeln.)	195
<i>Schram</i> : Hilfstafeln für Chronologie	289
<i>Böhm</i> : Über einige tertiäre Fossilien von der Insel Madura, nördlich von Java. (Mit 4 Tafeln und 2 Holzschnitten.)	359
<i>Igel</i> : Über eine Classe von Abelschen Gleichungen	373

Erste Abtheilung.

Abhandlungen von Mitgliedern der Akademie.

Mit 6 Tafeln.

BEITRÄGE
ZUR
KENNTNISS DER FISCHE AFRIKA'S (II.)
UND
BESCHREIBUNG EINER NEUEN PARAPHOXINUS-ART AUS DER HERZEGOWINA.

VON
D^r. FRANZ STEINDACHNER,
WIRKLICHEN MITGLIEDE DER K. AKADEMIE DER WISSENSCHAFTEN.

Mit 6 Tafeln.

VORGELEGT IN DER SITZUNG DER MATHEMATISCH-NATURWISSENSCHAFTLICHEN CLASSE AM 9. FEBRUAR 1882

In einer am 23. Juni vergangenen Jahres der hohen kaiserlichen Akademie der Wissenschaften überreichten Abhandlung: „Beiträge zur Kenntniss der Fische Afrika's“, welche in dem 44. Bande der Denkschriften publicirt wurde, habe ich mir erlaubt, einen ausführlichen Bericht über drei reichhaltige Sammlungen senegambischer Meeresfische zu geben, welche in den Jahren 1880 und 1881 von Freiherrn v. Maltzan und Herrn Hüfler in Gorée und Rufisque angelegt und mir zur wissenschaftlichen Bearbeitung überlassen wurden.

Im October verflossenen Jahres erhielt ich durch meinen geehrten Freund, Herrn Hüfler eine vierte Sammlung von Meeresfischen aus Gorée, welche mir Gelegenheit gibt, einen neuen Beitrag zur Kenntniss der Meeresfische an der Westküste Afrika's in den nachfolgenden Zeilen zu liefern. Überdies habe ich in vorliegende Abhandlung noch einige, wie ich glaube, unbeschriebene Arten aufgenommen, welche mir in gut conservirten Exemplaren von Herrn Dr. Bellotti in Mailand freundschaftlichst zur Untersuchung überlassen wurden und von den canarischen Inseln stammen.

Holocentrum hastatum C. V.

Taf. I, Fig. 1.

Ich habe bereits in meiner Abhandlung: „Beiträge zur Kenntniss der Fische Afrika's“ in dem 44. Bande der Denkschriften der mathematisch-naturwissenschaftlichen Classe der kais. Akademie der Wissenschaften das Vorkommen dieser Art bei Gorée erwähnt. Die beiden von Herrn Hüfler eingesendeten, vortreflich erhaltenen Exemplare sind 19 und 20^{mm} lang. Die Kopflänge, bis zur Spitze des langen Operkelstachels gemessen, ist c. $3\frac{1}{2}$ mal, die grösste Rumpflöhe $3\frac{1}{3}$ – $3\frac{1}{4}$ mal in der Totallänge, der Augendiameter genau

oder ein wenig mehr als 3mal, die Stirnbreite $4\frac{1}{3}$ — $4\frac{2}{3}$ mal, die Schnauzenlänge etwas mehr als $4\frac{1}{3}$ —5mal in der Kopflänge enthalten. Die Mundspalte ist von mässiger Länge; der hintere, quer abgestutzte Rand des Oberkiefers fällt in verticaler Richtung vor die Augenmitte.

Sämmtliche Kieferzähne sind klein, summtartig, dicht aneinandergedrängt. Der obere Mundrand ragt nur ganz unbedeutend über den unteren vor.

Im Verhältnisse zur Grösse des Auges ist die Längenausdehnung der Schnauze gering und c. $4\frac{1}{3}$ — $4\frac{2}{3}$ mal in der Kopflänge enthalten.

Das vordere Endstück des Präorbitale ist in einen ziemlich starken Stachel ausgezogen, auf welchen nach hinten am unteren Knochenrande zahlreiche kleinere Zähne, die unter sich von ungleicher Grösse sind, folgen. Fünf Schuppenreihen liegen auf den Wangen zwischen dem unteren Augenrande und dem Winkel des Vordeckels.

Der aufsteigende Rand des Vordeckels ist vertical gestellt und dicht gezähnt; die Zähne desselben nehmen gegen den Vordeckelwinkel allmählig, gleichförmig an Länge zu. Der grosse Stachel am Winkel des Vordeckels ist circa halb so lang wie das Auge. Der Kiemendeckel zeigt zahlreiche erhabene Streifen, von denen jeder am hinteren Knochenrande in eine zahmartige Spitze endigt. Der grosse Operkelstachel variiert ein wenig an Länge und Stärke; auf ihn folgt nach unten ein zweiter, viel schlanker Stachel, der bezüglich seiner Länge sehr variabel ist, und, nach den von mir untersuchten Exemplaren zu schliessen, höchstens die halbe Länge des grossen Operkelstachels erreicht. Eine einzige Schuppenreihe liegt am Vorderrande des Kiemendeckels.

Die Streifen am Unterdeckel sind etwas stärker und minder dicht aneinander gedrängt als am Kiemendeckel, und endigen nach hinten zuweilen in längere Zähne als am Deckel. Unmittelbar vor der Basis der Pectorale ist der hintere Rand des Unterdeckels zahlos.

Am Hinterhaupte liegen jederseits 9—10, nach hinten fächerförmig sich ausbreitende, stumpfe Leisten. Die Stirne ist querüber nahezu flach und zeigt zwei schwach vorspringende Leisten. Der 4. und 5. Dorsalstachel sind bei beiden Exemplaren unserer Sammlung von gleicher Höhe, halb so lang wie der Kopf und ein wenig kürzer als der höchste Gliederstrahl der Dorsale. Der dritte überaus kräftige, stark comprimirt Analstachel ist an Länge c. $1\frac{2}{3}$ in der des Kopfes enthalten. Die Ventralen erreichen nahezu die Länge des Kopfes mit Ausschluss der Schnauze; die Pectoralen sind stets mehr oder minder bedeutend kürzer als die Bauchflossen.

Die Seitenlinie durchbohrt 41—43 Schuppen am Rumpfe und 3—4 auf der Basis der mittleren Caudalstrahlen. Die Caudale ist mehr als zur Hälfte mit Schuppen überdeckt. Zwei Reihen kleiner Schuppen liegen an der Basis des gliederstrahligen Theiles der Dorsale und eine Reihe langer, flügelartiger Schuppen an der Basis der Gliederstrahlen der Anale.

Die neun rosensrothen Längsbinden an den Seiten des Rumpfes sind durch etwas breitere, dunkle Binden von einander getrennt, von denen die acht oberen purpurfarben, die unterste aber goldbraun sind. Die Hinterseite der Pectoralbasis ist grauviolett, das Hautlappchen über der Basis der Brustflossen ist hell rosenroth.

Ein schwarzvioletter Fleck zwischen den drei ersten Dorsalstacheln in der oberen, grösseren Hälfte der Dorsale und ein ähnlich gefärbter Streif vor jedem der folgenden Stacheln.

Eine hell rosenrothe Binde unter der Höhengmitte der stacheligen Dorsale und eine Reihe von Flecken derselben Färbung unter der Spitze der Dorsalstacheln.

Anale hinter dem dritten Analstachel bis zum zweiten Gliederstrahl derselben Flosse verschwommen grau-violett. Aussenrand der Ventralen blass rosenroth.

R. br. 8. D. 11/13—14. A. 4, 9. L. 1. 41—43 (+3—4 auf d. C.). L. transv. $\frac{3}{1}$. V. 1, 7.
7

Serranus fuscus Lowe.(= *S. emarginatus* Valenci.)

Ein Exemplar, 32^{cm} lang, von Gorée, durch Herrn Höfler.

Der hintere Rand des Vordeckels ist sehr schwach gebogen, fein gezähnt, und zeigt eine Einbuchtung über der Winkelgegend, die mit drei platten grösseren Zähnen besetzt ist. Die Caudale ist am hinteren Rande äusserst schwach concav.

Die Kopflänge ist c. 3 $\frac{1}{5}$ mal, die grösste Rumpfhöhe c. 3 $\frac{1}{5}$ —3 $\frac{1}{6}$ mal in der Totallänge, der Augendiameter fast 7 mal in der Kopflänge enthalten.

Es unterliegt keinem Zweifel, dass das hier erwähnte Exemplar zu *S. emarginatus* Val. zu beziehen sei; ich glaube jedoch annehmen zu dürfen, dass letztere Art von *S. fuscus* Lowe nicht specifisch getrennt werden könne, wie ich schon früher in einer Abhandlung über die Fische von Spanien und Portugal bemerkte.

Dass bei *S. emarginatus* Val. an den Seiten des Zwischenkiefers die Sammtzähne fehlen, wie Valenciennes angibt, ist entschieden irrig. Der Unterkiefer springt am vorderen Ende bedeutend über den Zwischenkiefer vor. Der Oberkiefer ist beschuppt. Sämmtliche Kopfschuppen, mit Ausnahme der grösseren am Deckel, klein. Längs der Seitenlinie liegen e. 80 Schuppen.

D. 11/16. A. 3/11.

Dentex canariensis Steind.

Ein Exemplar von Gorée, 30^{cm} lang, von Gorée, durch Herrn Höfler.

Dentex vulgaris L.

Zwei grosse Exemplare, 77 und 84^{cm} lang, von Gorée, durch Herrn Höfler.

Kopflänge $\frac{1}{4}$ der Totallänge gleich, und nur unbedeutend grösser als die Kopfhöhe am Hinterhaupte. Die grösste Rumpfhöhe beträgt bei dem einen Exemplare von 77^{cm} Länge 19 $\frac{1}{3}$ ^{cm}, und bei dem grösseren Exemplare von 84^{cm} Länge 22^{cm}, übertrifft somit ein wenig die Kopflänge.

Dentex flosus Val.

Von dieser Art, welche an den Küsten der canarischen Inseln und Senegambiens häufig vorkommt, wurde am 4. December 1881 ein e. 25^{cm} lauges Exemplar zugleich mit mehreren kleinen Exemplaren von *Dentex macrophthalmus* sp. Bloch in der Adria bei Spalato gefangen und mir durch Prof. Kolombatovic gütigst eingesendet.

Pagrus auriga Val.

Taf. IV, Fig. 2 und 2a.

Die von mir in der Abhandlung „Beiträge zur Kenntniss der Fische Afrika's“ p. 30 der Deutschriften der kais. Akademie, Bd. 44, gegebene Beschreibung dieser Art bedarf einer Berichtigung, indem ich irriger Weise zu einem kleinen Exemplare von *Pagrus auriga* zwei Exemplare von *Pagrus Ehrenbergii* C. V. bezog.

Bei *Pagrus auriga* Val. ist die grösste Rumpfhöhe 2 $\frac{2}{3}$ —etwas mehr als 2 $\frac{1}{3}$ mal, die Kopflänge mehr als 3 $\frac{1}{5}$ —4 $\frac{1}{5}$ mal in der Totallänge, der Augendiameter etwas weniger als 3—fast 3 $\frac{1}{2}$ mal, die Stirnbreite 3 $\frac{1}{5}$ —unbedeutend mehr als 3 mal, die grösste Höhe des Präorbitale c. 3 $\frac{1}{2}$ mal in der Kopflänge enthalten. Sieben bis neun Schuppenreihen auf den Wangen. Zwei Reihen kleiner Molarzähne an den Seiten des Zwischen- und Unterkiefers, doch sind die vorderen Zähne der Aussenreihe ein wenig comprimirt, etwas höher als die übrigen und mit einer stumpfen Spitze versehen. Vorne im Zwischenkiefer 4 grössere, im Unterkiefer 6 etwas kleinere Hundszähne; unmittelbar hinter ihnen liegen einige kleine stumpf-konische Zähne mit umgebogener Spitze. Stirne, Schnauze, Knochen des Augenringes, Kiefer und Raudstük des Vordeckels schuppenlos. Nackenband ziemlich deutlich entwickelt.

Pectorale siehelförmig, sehr lang und c. $3\frac{1}{2}$ mal, Ventrale e. $4\frac{1}{4}$ — $4\frac{1}{2}$ mal in der Totallänge enthalten. Die Spitze der Ventralen fällt in verticaler Richtung über die Basis des dritten Analstachels oder noch ein wenig weiter zurück, die der dunklen Ventralen erreicht genau oder nahezu den Beginn der Anale.

Die Rückenlinie bis zum Beginne des Schwanzstieles gleichförmig und zwar stark bogenförmig gekrümmt.

Die Dorsale enthält in der Regel 11, selten 12 Stacheln und in der Regel 11, selten 10 Gliederstrahlen, die Anale 3 Stacheln und 8, sehr selten 9 Gliederstrahlen. Die Seitenlinie durchbohrt am Rumpfe 49—51 Schuppen, und 7 horizontale Schnuppenreihen liegen zwischen der Seitenlinie und dem Beginn der Rückenflosse, deren 3. bis 5. Stachel stark verlängert ist; die Höhe des dritten, längsten Stachels kommt zuweilen nahezu $\frac{1}{3}$ der Totallänge gleich.

Die vorderen dunkeln Querbinden des Rumpfes erlöschen im höheren Alter mehr oder minder vollständig. Himmelblaue Flecken oder Punkte fehlen bei sämtlichen (8) Exemplaren, welche gegenwärtig das Wiener Museum von dieser Art besitzt.

Das grösste Exemplar der Wiener Sammlung ist 21^{cm} lang.

Fundort: Canarische Inseln.

Meines Erachtens ist *Pagrus Bertheloti* Val. nicht unter die Synonyma von *Pagrus auriga* Val., sondern höchst wahrscheinlich von *Pagrus Ehrenbergii* C. V. zu reihen.

Pagrus Ehrenbergii C. V.

Taf. V, Fig. 1 und 1a.

Sehr gemein an der Küste Suegambiens bei Gorée. Herru Höfler's Sammlung enthält drei Exemplare dieser Art; von den canarischen Inseln besitzt das Wiener Museum gleichfalls drei sehr grosse Exemplare und endlich ein kleines Exemplar von Sherboro an der Westküste Afrika's, welches auf Tafel V dieser Abhandlung abgebildet ist.

Von *Pagrus auriga* Val. unterscheidet sich *P. Ehrenbergii* hauptsächlich durch den gänzlichen Mangel dunkler Querbinden am Rumpfe, durch die viel schwächere Krümmung der Rückenlinie längs der Basis der Dorsale, durch die stärkere Entwicklung der Suborbitalia, die geringere Anzahl der Schnuppenreihen auf den Wangen, durch das Vorkommen himmelblauer Flecken am Rumpfe und endlich durch die stets geringere Höhe des Rumpfes im Verhältniss zur Totallänge.

In der Regel erhebt sich auch die obere Kopflinie von der Schnauzenspitze bis zum Beginne der Dorsale minder rasch bei *P. Ehrenbergii* als bei *P. auriga*, doch kommen bei beiden Arten in dieser Beziehung Ausnahmen vor.

Die grösste Rumpfhöhe ist bei *P. Ehrenbergii* stets ein wenig mehr als 3mal, die Kopflänge etwas mehr als 4—nahezu $4\frac{1}{4}$ mal in der Totallänge, der Augendiameter $3\frac{2}{3}$ —nahezu 4mal, die grösste Höhe des Präorbitale (richtiger erstes Suborbitale zu nennen) 3 — $2\frac{2}{3}$ mal in der Kopflänge enthalten. Nackenband bei grösseren Exemplaren deutlich, bei kleineren nur schwach angedeutet.

Die Stirne ist querüber stark gewölbt, und springt zwischen den vorderen Augenrändern stumpf böckerförmig vor, was bei *P. auriga* nicht der Fall ist.

Nur 7—6 Schuppenreihen auf den Wangen. Vorne im Zwischenkiefer 4, im Unterkiefer 6 Hunds Zähne, letztere merklich kleiner als erstere. Hinter den Hunds Zähnen des Zwischenkiefers liegen einige stumpf-konische Zähne, hinter denen des Unterkiefers aber bereits bei kleinen Individuen halbeiförmige Zähne, die nimmerlich der Form nach in die seitlichen Molarzähne desselben Knochens übergehen, und bei grösseren Exemplaren kleine Molarzähne. Die Zahl der Molarzähne an den Seiten der Kiefer nimmt mit dem Alter zu; bei einem Exemplare von c. 23^{cm} Länge liegen daselbst 2, bei einem Exemplare von 33^{cm} Länge 3 Zahnreihen, und bei einem Exemplare von fast 55^{cm} Länge sogar 4 Zahnreihen im Zwischenkiefer. Nur die vordersten Zähne der äussern seitlichen Reihe sind in beiden Kiefern etwas comprimirt und mit einer stumpfen Spitze versehen.

Die Schuppen des Hinterhauptes setzen sich bei älteren Individuen nach vorne auf den mittleren Theil der hinteren Stirnhälfte fort, nicht aber bei jüngeren Exemplaren; es gibt daher die theilweise Beschuppung

oder gänzliche Schuppenlosigkeit der Stirne keinen sicheren Anhaltspunkt zur Unterscheidung der Gattungen *Chrysophrys* und *Pogrus*.

Die Länge der Pectorale ist $3\frac{1}{4}$ — nahezu $3\frac{2}{3}$ mal, die der Ventrals c. 5 — mehr als $5\frac{1}{2}$ mal in der Totallänge enthalten. Der dritte, vierte und fünfte Dorsalstachel ist fadenförmig verlängert, der dritte höchste Dorsalstachel erreicht bei einem Exemplare von c. 23" Länge etwas mehr als $\frac{1}{2}$, und der sechste c. $\frac{1}{11}$ der Totallänge. Der obere, stets längere Caudallappen ist bei einem Exemplare von 39" Länge $\frac{1}{2}$, bei kleineren Exemplaren oft nur $\frac{1}{4}$ der Totallänge gleich.

Die Seitenlinie durchbohrt 53 Schuppen am Rumpfe, über derselben liegen 6—6 $\frac{1}{2}$, unter derselben (bis zur Basis der Ventrals) 13—14 horizontale Schuppenreihen.

Himmelblaue Flecken in der oberen Rumpfhälfte, ein dunkler Fleck an der Basis der letzten Gliederstrahlen der Dorsale.

D. 12/10. A. 3, 9.

Wie schon früher erwähnt, ist die Art an den Küsten der canarischen Inseln und Senegambiens nicht selten; aus dem Mittelmeere kennt man dieselben nur von der Küste Egyptens, Syriens und Siciliens. Von letzterer Localität beschrieb Prof. Döderlein in Palermo zwei grosse Exemplare (♂ n. ♀: in dem „Giornale di Scienze naturali ed economiche della Società di Scienze naturali ed economiche di Palermo“, Anno 1879, Vol. XIV, p. 112—121. Auf dem Fischmarkt von Nizza werden nicht selten grosse Exemplare von *P. Ehrenbergii* verkauft, dieselben stammen jedoch, wie mich Dr. Bellotti versicherte, aus der Umgebung der canarischen Inseln (Banco d'Arglin) und werden in Eis verpackt von Marseille weiter nach Genua und Nizza versendet.

Pagellus Bellottii n. sp. (2)

Taf. III, Fig. 1.

Die obere Profilinie des Kopfes erhebt sich steil, nahezu ohne Krümmung bis zur Nackengegend. Die Kopflänge ist genau oder ein wenig mehr als 3mal in der Körperlänge und 4- oder unbedeutend mehr als 4mal in der Totallänge, grösste Rumpfhöhe c. $2\frac{1}{4}$ mal in der Körperlänge enthalten. Die grösste Kopfhöhe gleicht der Kopflänge oder übertrifft sie nahezu um $\frac{1}{3}$ einer Augenlänge. Die Länge der Schnauze ist bedeutend geringer als bei *P. erythrinus* und genau 3mal, der Augendiameter etwas mehr als $3\frac{1}{3}$ — nahezu 4mal, die Stirnbreite $3\frac{1}{2}$ — 4mal in der Kopflänge enthalten.

Die Mundwinkel fallen in vertikaler Richtung unter die Mitte der vorderen Hälfte des Auges. Die grösste Höhe des ersten, vordersten Suborbitale steht der Augenlänge merklich nach; der untere Rand der beiden vorderen Suborbitalia ist bogenförmig eingebuchtet, so dass das hintere Endstück des Oberkiefers äusserlich sichtbar wird, während der Rest dieses Knochens unter den zwei vordersten unteren Augenrandknochen bei geschlossenem Munde verborgen liegt.

Die Wangengegend zeigt sieben Schuppenreihen. Die Schuppen der Hinterhauptsgegend dehnen sich bogenförmig bis zur Mitte der Stirne aus; der übrige Theil der Stirne, die Schnauze, die Suborbitalia, das breite Randstück des Vordeckels und die Kiefer sind schuppenlos.

In der Bezahnungsweise der Kiefer unterscheidet sich *P. Bellottii* nicht von *P. erythrinus*. Die Molarkähne bilden an den Seiten der Kiefer zwei Reihen.

Der Kiemendeckel endigt nach hinten in zwei kurze, platte Spitzen, die durch einen halbmondförmigen Einschnitt von einander getrennt sind. Die Nacken- und Rückenlinie sind sehr schwach gebogen, letztere senkt sich längs der Basis der Gliederstrahlen der Dorsale etwas rascher als längs der Basis der Dorsalstacheln. Der 2., 3., 4. und 5., zweilen auch der 6. Dorsalstachel sind mässig verlängert und endigen in eine dünne, biegsame Spitze. Der 3., 4. und 5. dieser Stacheln sind an Höhe durchschnittlich $\frac{2}{3}$ der Kopflänge gleich, während der höchste Dorsalstachel bei gleich grossen Exemplaren von *P. erythrinus* mindestens 2mal in der Kopflänge enthalten ist.

Die Pectorale ist lang, schwach säbelförmig gebogen; ihre äusserste Spitze fällt in verticaler Richtung noch ein wenig hinter die Basis des dritten Analstachels. Die Länge der Pectorale erreicht $\frac{3}{10}$, die der Ventrals kaum $\frac{1}{4}$ der Totallänge.

Die Caudale ist am hinteren Ende tief dreieckig eingebuchtet; beide Lappen der Flossen endigen nach hinten zugespitzt und der obere ist ein wenig länger als der untere. Die Caudale ist wie bei *P. erythrinus* stark beschuppt, doch fallen die Schuppen leicht ab.

Die Anale ist länger als bei *P. erythrinus* und enthält nicht 9 Strahlen wie bei letztgenannter Art, sondern zehn gegliederte Strahlen, welche gegen den letzten Strahl zu ein wenig an Höhe zunehmen. Der Schwanzstiel ist etwas höher als bei *P. erythrinus*.

Die Seitenlinie ist schwach gebogen und durchbohrt 55—59 Schuppen, über derselben liegen 6—7, unter derselben 12—14 horizontale Schuppenreihen.

Rücken blass rosenroth mit Silberglanz, unterhalb der Seitenlinie nach allmählichem Übergange weisslich gelb mit rötlichem Schimmer. Ein himmelblauer verschwommener Fleck an der Basis der einzelnen Schuppen in der oberen Rumpfhälfte. Im Leben zeigen sich einige rosenrothe Querbinden in der unteren Rumpfhälfte als Ansläufer der Grundfärbung der oberen Rumpfhälfte.

Fundorte: Küsten der canarischen Inseln (Banco Arglin) und Gorée.

Zwei Exemplare, 31 und 33 cm lang, im Besitze des Museo civico in Mailand, das grössere derselben (♂ ?) ist auf Taf. III, Fig. 1 dieser Abhandlung abgebildet; es zeigt einen stumpfen Dorn am vorderen unteren Ende des Präorbitale, der auch zuweilen bei grossen Exemplaren von *P. erythrinus* (♂) entwickelt ist.

Vielleicht sind die in den vorangehenden Zeilen beschriebenen beiden Exemplare nur als Repräsentanten einer besonderen Varietät von *P. erythrinus* aufzufassen.

D. 12/10. A. 3/10. P. 16. L. I. 55—59.

Sargus Bellottii n. sp.

Taf. III, Fig. 2.

Körperform etwas gedrungen, Kopf nach vorne stärker zugespitzt als bei *S. annularis* Geoffr., der nächstverwandten Art, mit der sie durch das Vorkommen einer dunklen Binde am Schwanzstiele übereinstimmt.

Die grösste Rumpfhöhe ist c. $2\frac{1}{4}$ mal in der Körperlänge, oder etwas mehr als $2\frac{1}{2}$ mal in der Totallänge, die Kopflänge $3\frac{1}{2}$ mal in der Körperlänge oder etwas mehr als 4 mal in der Totallänge, die Länge der Schnauze $2\frac{1}{2}$ mal, die Stirnbreite etwas mehr als $3\frac{1}{2}$ mal, der Augendiameter c. $3\frac{1}{2}$ mal in der Kopflänge enthalten.

Die Stirne ist ziemlich stark eingedrückt, und die obere Kopflinie steigt rascher nach hinten an als bei *S. annularis*. Vier Schuppenreihen liegen auf den Wangen. Die Höhe des Präorbitale ist geringer als die Augenlänge und c. 4 mal in der Kopflänge enthalten.

Zehn Schneidezähne im Zwischen- und acht im Unterkiefer; die vorderen dieser Zähne sind am freien Rande in der Mitte leicht eingebuchtet, die seitlichen kleineren Schneidezähne schräge gestellt. Zwei Reihen kleiner Molarzähne an den Seiten der Kiefer.

Der Oberkiefer ist bei geschlossenem Munde vollständig von den beiden ersten Knochenplatten des Augenringes überdeckt, die Mundwinkel fallen in verticaler Richtung ein wenig hinter den vorderen Augenrand.

Der hintere Rand des Vordeckels ist vertikal gestellt, der untere schwach gebogen. Sechs verticale Schuppenreihen liegen am Kiemenendeckel, der nach hinten in einen zarten, platten Stachel ausläuft.

Der sechste, höchste Stachel der Dorsale ist kaum halb so lang wie der Kopf. Die Pectorale ist ziemlich lang, ihre Spitze fällt in verticaler Richtung ein wenig vor den Beginn der Anale. Die Länge der Pectorale ist ein wenig mehr als 3 mal, die der Ventrals c. 5 mal in der Körperlänge enthalten.

Die Seitenlinie ist etwas schwächer gebogen als die Rückenlinie und durchbohrt 52 Schuppen am Rumpfe und c. 4—5 auf der Caudale. Ein grauer Fleck liegt am Beginn der Seitenlinie und ein grosser, querbindenartiger, bleigrauer Fleck am Schwanzstiel.

Totallänge des beschriebenen Exemplares: c. 15^m.

Fundort (nach Bellotti): Canarische Inseln (Banco d'Argim).

D. 11/14. A. 3/14. L. 1. 52 (+4-5 auf d. C.) L. tr. 7/1/12.

Otolithus macrognathus sp. Bleeker.

Ein grosses Exemplar, 65^m lang, von Gorée, durch Herrn Höffler.

Grösste Rumpfhöhe c. $3\frac{3}{4}$ mal in der Körper- oder $4\frac{1}{2}$ mal in der Totallänge, Kopflänge c. $3\frac{1}{3}$ mal in der Körper- oder ein wenig mehr als 4 mal in der Totallänge, Augendiameter c. $6\frac{1}{3}$ mal, Stirnbreite 6 mal, Schnauzenlänge c. $4\frac{2}{3}$ mal in der Kopflänge enthalten. Das hintere Ende des Oberkiefers fällt in verticaler Richtung um unbedeutend mehr als $\frac{1}{2}$ der Augenlänge hinter das Auge.

Eine Reihe locker gestellter, grosser Hundszähne im Zwischenkiefer vor der ziemlich breiten Binde kleiner Spitzzähne, im Unterkiefer hinter der Reihe kleiner Spitzzähne. Die beiden mittleren Hundszähne vorne im Zwischenkiefer hinter der Binde der Spitzzähne nicht sehr stark entwickelt. Zunge gross, frei, vorne oval gerundet.

Pectorale und Ventrals nahezu gleich lang und ebenso lang wie der Kopf von der Unterdeckelspitze bis zum hinteren Augenraude.

Die Seitenlinie durchbohrt 50—51 Schuppen am Rumpfe und mindestens 30 auf der Caudale zwischen den beiden mittleren längsten Strahlen. Ober- und unterhalb der hinteren Spitze dieser beiden Strahlen der Caudale ist der hintere Flossenrand mässig concav, und zwar der obere Theil länger als der untere. Eine überschuppelte Flügelsschuppe liegt über der Basis des äusseren Ventralstrahles.

Zahlreiche braune, ziemlich breite Streifen ziehen, der Richtung der Schuppenreihen folgend, schräge von unten und vorne nach oben und hinten. Die ganze Hinterseite der Pectoralbasis ist schwärzlich brann. Die stachelige Dorsale zieren braune Längsstreifen in mehreren Reihen, die zweite Dorsale zeigt Längsreihen brauner Flecken. Die übrigen Flossen sind ungefleckt.

D. 10 $\frac{1}{27}$. A. 2/8. L. 1. 50—51. L. tr. $6\frac{1}{4}$ / 12—13 (bis zur Basis der Ventrals).

Diese Art steigt in den Senegal bis nach St. Louis hinauf (s. Steindachner, „Zur Fischfauna des Senegal“, Bd. 60 der Sitzb. der k. Akad. d. Wissensch., I. Abth. Nov. Heft, Jahrg. 1869, p. 22—24 im Separatabdr., Taf. VII). Das Wiener Museum besitzt überdies noch kleine Exemplare von Lagos und Gabun.

Umbrius cirrhosa Lin., var. *canariensis* (Val.)

(= *Umbrius canariensis* Valenci., Ichthyol. des Iles Canar., p. 24—25, nec Steindl., Ichthyol. Bericht über eine nach Spanien und Portugal unternommene Reise, IV. Fortsetzung, p. 36—38. Taf. VI, Fig. 1.)

Taf. II, Fig. 1.

In einer im October vergangenen Jahres erhaltenen Sendung senegambischer Meeresfische befand sich ein Prachtexemplar der von Valenciennes als *Umbrius canariensis* beschriebenen Art, welche meiner Ansicht nach nur als eine Varietät von *Umbrius cirrhosa* Linn. zu deuten wäre, da mit Ausnahme der grösseren Strahlenszahl in der zweiten Dorsale kein wichtiges Unterscheidungsmerkmal sich vorfindet.

Valenciennes' Beschreibung von *U. canariensis* passt bezüglich der Körperzeichnung und der Zahl der Flossenstrahlen in der zweiten Dorsale genau auf das aus von Gorée durch die Güte des Herrn Höffler eingesendete Exemplar, nicht aber bezüglich der Schuppenzahl der Seitenlinie, der Grösse des Auges, der Rumpfhöhe etc.¹

¹ In dieser Beziehung (sowie auch in der Zahl der Dorsalstrahlen) stimmen die von mir h. c. als *Umbrius canariensis* beschriebenen Exemplare viel genauer mit Valenciennes' Charakteristik von *U. canariensis* als mit der von *U. cirrhosa* überein; ich zweifle jedoch gegenwärtig nicht, dass diese meine frühere Deutung, hauptsächlich durch Valenciennes' irrige (?) Angabe der Flossenstrahlen in der zweiten Dorsale, der Schuppen der Seitenlinie und theilweise auch der Körperzeichnung veranlasst, unrichtig ist. Es ist somit nach meiner gegenwärtigen Ansicht *U. canariensis* Steindl. (= *U. canariensis* Valenciennes).

Das hier zu beschreibende Exemplar der Var. *canariensis* ist 47^{cm} lang. Die grösste Rumpfhöhe erreicht nahezu $\frac{1}{3}$ der Körperlänge oder ist etwas mehr als $3\frac{2}{3}$ mal in der Totallänge, die Kopflänge etwas weniger als $3\frac{1}{2}$ mal in der Körperlänge und c. $4\frac{1}{3}$ mal in der Totallänge enthalten.

Die stumpf-konische Schnauze überragt die Mundspalte bedeutend und ist an Länge $\frac{1}{3}$ des Kopfes gleich, während die Augenlänge fast nur $\frac{1}{5}$ der Kopflänge erreicht. Die Stirnbreite ist c. $3\frac{3}{4}$ mal in der Kopflänge enthalten.

Das hintere Ende des Oberkiefers fällt in verticaler Richtung unter die Augenmitte. Der aufsteigende Deckelrand ist nach hinten und unten geneigt, die Zähne desselben nehmen gegen die Winkelgegend herab allmählich an Grösse zu und rücken zugleich ein wenig weiter auseinander. Kopf seitlich und oben vollständig überschuppt. Kiemenbart kurz, dick.

Von den Stacheln der ersten, nach oben zugespitzten Dorsale ist der dritte und vierte am höchsten und jeder derselben nur um c. $\frac{1}{3}$ der Augenlänge kürzer als der Kopf. Die zweite Dorsale enthält 29 Gliederstrahlen. Die Länge der Ventralen ist etwas weniger als $1\frac{1}{3}$ mal, die der Pectoralen $1\frac{2}{3}$ mal in der Kopflänge enthalten. Der zweite kräftige Analstachel ist c. halb so lang wie der folgende Gliederstrahl, dessen Höhe c. $\frac{2}{3}$ der Kopflänge gleicht.

Die Seitenlinie durchbohrt c. 53 Schuppen am Rumpfe und mindestens 30 auf der Caudale, über welche sie sich bis zum hinteren Flossenraude fortsetzt; 10 Schuppen zwischen der Seitenlinie und der Basis des ersten Dorsalstachels.

In der Zeichnung und Färbung des Körpers unterscheidet sich das uns zur Beschreibung vorliegende Exemplar von Gorée nicht wesentlich von jenen der gemeinen *Umbrina cirrhosa* aus dem Mittelmeere und der Adria; nur ist die Grundfarbe des Körpers etwas dunkler, die wurmförmig geschlingelten himmelblauen, silberglänzenden Streifen sind schärfer ausgeprägt, und die Umgrenzung derselben dunkler brannviolett. Die Anale und Ventrale zeigen eine schwärzlich blaugrauviolette Färbung. Die Var. *canariensis* der *U. cirrhosa* zeichnet sich somit nur durch die brillantere, intensivere Färbung und die grössere Zahl der Gliederstrahlen in der Dorsale vor der gewöhnlichen typischen Form aus den europäischen Meeren aus.

D. 11/29. A. 2/7. P. 17.

Umbrina rouchus Val., Gthr.

(= *U. canariensis* Steind. l. c. Taf. VI, Fig. 1, nec Valenc.).

Ein Exemplar von Gorée. — Von dieser Art habe ich bereits l. c. eine ausführliche Beschreibung und getreue Abbildung nach zahlreichen Weingeistexemplaren von der Küste Teneriffa's unter der irrigen Bezeichnung *U. canariensis* Val. gegeben. Nach Valenciennes' Beschreibung in der „Ichthyologie des Iles Canaries“ allein wäre diese Art wohl kaum zu erkennen. Bei keinem einzigen der von mir untersuchten 20 Exemplare finde ich weniger als 28—29 Gliederstrahlen in der zweiten Dorsale (nach Valenc. 25) und die Seitenlinie durchbohrt nur 48—50 Schuppen (nach Valenc. 60).

Coryphaena hippurus Lin.

Ein Exemplar von Gorée, durch Herrn Höfler.

Totallänge: c. 53^{cm}, Körperlänge von der Schnauzenspitze bis zur Basis der mittleren Caudalstrahlen: nahezu 42^{cm}, Länge des Kopfes: unbedeutend mehr als $9\frac{1}{2}$ ^{cm}, grösste Rumpfhöhe: $9\frac{1}{2}$ ^{cm}. Die grösste Rumpfhöhe gleicht somit fast genau der Kopflänge und ist c. $4\frac{1}{2}$ mal in der Körperlänge (d. i. Totallänge mit Ausschluss der Caudale), der Augendiameter c. $5\frac{1}{2}$ mal, die Schnauzenlänge etwas weniger als 3 mal, die grösste

Ichthyol. Bericht über eine nach Spanien und Portugal unternommene Reise, 4. Fortsetz., Sitzber. der Wiener Akad. Bd. 56, Oct.-Heft 1867, p. 36—38 im Separatabdr., Taf. VI, Fig. 1 mit *U. rouchus* Val. identisch, und *U. rouchus* Val. aus der Synonymie mit *U. cirrhosa* Lin. in derselben Abhandlung auf pag. 35 zu streichen.

Kopfhöhe unbedeutend mehr als 1mal in der Kopflänge enthalten. Das hintere Ende des Oberkiefers fällt in verticaler Richtung c. unter die Augenmitte.

Die obere Kopflinie erhebt sich bereits steil unter sehr mässiger Bogenkrümmung bis zum Beginne der Dorsale.

Die Pectorale ist schwach säbelförmig gebogen und c. $1\frac{1}{2}$ mal, die Ventrals aber nur $1\frac{1}{4}$ mal in der Kopflänge enthalten. Die Insertionsstelle der Ventrals fällt in verticaler Richtung ganz genau unter die Basis des obersten Pectoralstrahles, und der Beginn der Anale unter die des 38. Dorsalstrahles, d. i. ein wenig näher zur Basis der Caudale als zum vorderen Augenrande, somit ziemlich bedeutend hinter die Mitte der Körperlänge.

Die Dorsale enthält 58, die Anale 25 Strahlen. Kleine runde dunkle Flecken liegen unregelmässig am Rumpfe und Kopfe zerstreut, einige wenige unmittelbar unterhalb der Basis der Dorsale. Die Seitenlinie erhebt sich über den vorderen Theile der Pectorale nach Art eines Dreieckes oder unregelmässig bogenförmig.

Bei einem zweiten kleinen Exemplare von nur 34^m Länge, welches bei R. Janeiro gefangen wurde, ist die Kopflänge $4\frac{1}{2}$ mal, die grösste Rumpfhöhe c. $5\frac{1}{2}$ mal, der Augendiameter 5mal, die Schnauzenlänge c. 3mal, die Kopfhöhe mehr als $1\frac{1}{2}$ mal, die Länge der Pectorale c. $1\frac{1}{2}$ mal, die der Ventrals $1\frac{1}{2}$ mal in der Kopflänge enthalten. Die obere Kopflinie erhebt sich sehr wenig, allmählig bis zur Dorsale und ist nur am vordersten Theile der Schnauze zunächst über der Mundspalte gekrümmt. Der Beginn der Dorsale ist ebenso weit von der Basis der mittleren Caudalstrahlen wie von den Narinen entfernt. D. 54. A. 25. Die Insertionsstelle der Ventrals fällt in verticaler Richtung unter die Basis der mittleren Pectoralstrahlen. Auf einer Körperseite 3, auf der anderen 7 oder 8 dunkle Flecken zunächst unterhalb der Basis der Dorsale in einer Längsreihe, und verschwommene, viel kleinere Flecken an den Seiten des Rumpfes.

Caranx senegalensis C. V.

Ein Exemplar, nicht ganz 9 Zoll lang, von Gabun. Es stimmt genau mit C. V.'s Beschreibung (Hist. nat. des Poiss. IX., p. 78—79) überein, doch liegt in der Einbuchtung des hinteren Deckelrandes ein schwarz-branner Fleck. Das vordere Drittel der Seitenlinie ist bogenförmig gekrümmt, der horizontal verlaufende Theil der letzteren beginnt in verticaler Richtung unter dem ersten Strahl der zweiten Dorsale. Sieben verschwommene, dunkle Querbinden ziehen vom Rücken zur Höhenmitte des Rumpfes herab.

Selene goreensis C. V. sp.

(= *Caranx goreensis* Gthr. Steind.)

Taf. VI.

Von dieser Art erhielt ich neuerdings ein vortrefflich erhaltenes Exemplar von Gorée durch Herrn Höfler. Es ist mit Einschluss der Caudale c. 39^m lang. Der zweite und dritte Gliederstrahl der (zweiten) Dorsale und der Anale sind stark fadenförmig verlängert. Ein grosser, verschwommener, am hinteren Rande hell gesäumter dunkler Fleck liegt an der Basis der Pectorale und ein kleiner am überhöhten Ansschnitt des hinteren Deckelrandes. Elf bis dreizehn bedornete Platten längs der Seitenlinie am Schwanzstiele. Körperhöhe etwas weniger als 2mal, Kopfhöhe c. $2\frac{1}{2}$ mal, Kopflänge etwas mehr als 3mal in der Körperlänge bis zum hinteren Rande der mittleren Caudalstrahlen enthalten.

Der Augendiameter ist c. $3\frac{1}{2}$ mal, die Höhe des Präorbitale nicht ganz 3mal in der Kopflänge begriffen. Keine freien Stacheln vor dem Beginne der Anale am schneidigen Bauchrande.

D. 1/21. A. 1, 19.

Selene (?) *setipinnis* sp. Mitch.

(= *Argyreus setipinnis* Gthr = *Vomer Brownii* Cav.)

Drei Exemplare, das grösste von 28^m Länge durch Herrn Höfler von Gorée, die übrigen von den capverdischen Inseln.

Grösste Rumpfhöhe $1\frac{1}{9}$ —2mal in der Körperlänge bis zum Beginne der Schwanzflosse enthalten, 23—24 Gliederstrahlen in der zweiten Dorsale, und 18—20 in der Anale. Erste Dorsale rudimentär mit 5—8 kurzen Stacheln. Bei keinem dieser drei Exemplare liegen (zwei) freie Stacheln vor der Anale, dagegen sind bei jedem derselben am Schwanzstiele 10—20, dicht aneinander gedrückte und gekielte, kleine Schuppenplatten längs der Seitenlinie vorhanden, deren schwach entwickelte Kiele in zarte Dornen endigen. Diese Dornen decken sich gegenseitig dachziegelförmig; nach Hinwegnahme der dünnen Oberhaut und Isolirung der einzelnen Schuppenplatten kann man aber ganz deutlich die einzelnen Dornen unterscheiden, in welchen die Kiele endigen. Nach Günther's Charakteristik der Gattung *Caranx* müsste somit *Argyreus* mit *Caranx* vereinigt werden, da, wenigstens nicht immer ganz deutlich, bei *Argyreus setipinnis* gekielte und bedornete Schuppenplatten am Endtheile der Seitenlinie liegen.

Dr. Lütken hat in seinem höchst verdienstlichen Werke „*Spolia atlantica*“ die *Caranx*-ähnlichen Arten in sechs Genera geschieden, und zwar *Trachurus* Cuv., Gthr., *Megalaspis* Btkr., *Decapterus* Btkr., *Caranx* Cuv., *Gallichthys* Cuv. und *Selene* (= *Vomer*, *Argyreus*) Lac. Die beiden letztgenannten Gattungen glaube ich unter dem Namen *Selene* Lac. zusammenfassen zu müssen, da der Mangel oder das Vorkommen von Schuppenplatten an der Seitenlinie kein genügendes Unterscheidungsmerkmal zwischen *Gallichthys* und *Selene* abgibt.

Ephippus goreensis C. V.

Ein Exemplar, 33^{cm} lang, von Gorée, durch Herrn Höfler.

D. 7. $\frac{1}{19}$. A. 3/15. L. lat. 47. L. tr. 9/1/c. 16—17.

In der Körperform stimmt das uns zur Beschreibung vorliegende Exemplar fast ganz genau mit dem typischen von Cuvier und Valenciennes beschriebenen und abgebildeten Individuum überein, nicht aber in der Zahl der Schuppen längs der Seitenlinie und der Rumpfzeichnung, die vielleicht von den französischen Autoren nicht genau angegeben sein dürfte.

Die Rumpfhöhe zwischen dem Beginne der stacheligen Dorsale und der Ventrals mit Anschluss der ziemlich hohen Schuppenscheide am basalen Theile der stacheligen Dorsale ist etwas weniger als 2mal, die Kopflänge c. $3\frac{1}{4}$ mal in der Körperlänge, die grösste Rumpfhöhe aber zwischen dem Beginne des gliederstrahligen Theiles der Dorsale und dem Beginne der Anale $1\frac{1}{2}$ mal in der Körperlänge oder etwas weniger als 2mal in der Totallänge enthalten. Die Länge des Auges übertrifft $\frac{1}{3}$ der Kopflänge und steht der Stirnbreite nach.

Die Profilinie der fast vertical abfallenden Schnauze ist stark concav, die Stirne gewölbt, stumpf höckerförmig vorspringend. Das Hinterhaupt erhebt sich rasch über und hinter der Stirne, und ist im Profile gesehen schwach concav.

Der aufsteigende Rand des Vordeckels ist vertical gestellt und trifft mit dem unteren Rande unter einem rechten Winkel zusammen, dessen Spitze stark gerundet ist.

Die Mundspalte ist klein, der hintere Winkel derselben fällt in verticaler Richtung unter den vorderen Augenrand. Eine breite Binde spitzer Zähne liegt in beiden Kiefern, die Zähne nehmen gegen die äusseren Reihen ziemlich rasch an Länge zu. Die Schnauze, das Präorbitale und die Kiefer sind schuppenlos, die Schuppen auf den Wangen, der Stirne und am Hinterhaupte klein, am Deckel und Unterdeckel verhältnissmässig sehr gross.

Der zweite, dritte und vierte Dorsalstachel ist säbelförmig gebogen, stark verlängert, der zweite längste Stachel c. $2\frac{2}{3}$ mal, der vierte c. $4\frac{1}{3}$ mal in der Kopflänge enthalten. Der erste Dorsalstachel ist sehr kurz, dornenförmig; vor demselben liegt ein mit der Spitze nach vorne gekehrter, horizontaler Stachel. Die Gliederstrahlen der Dorsale sind wie die der Anale und der Caudale vollständig überschuppt. Die Pectorale ist kurz, c. $1\frac{2}{3}$ mal in der Kopflänge enthalten. Die Ventrals ist am ersten Gliederstrahle fadenförmig verlängert und an diesem fast so lang wie der Kopf. Ventrals und Pectorals zeigen eine schwärzlichbraune Färbung und sind überschuppt. Die Stacheln der Anale liegen ziemlich weit von einander, insbesondere der zweite von dem dritten; der zweite Analstachel ist etwas stärker aber kürzer als der dritte, der sich seiner ganzen Länge nach an den

folgenden ersten Gliederstrahl anlegt und an Höhe kaum eine halbe Augenlänge erreicht. Die Stellung und Stärke der Analstacheln ist in der von Cuvier und Valenciennes publicirten Abbildung (pl. 178) irrig angegeben.

In der grösseren oberen Rumpfhälfte sind die Schuppen brunn und am ganzen hinteren Rande breit glänzend-silbergrau gesäumt, tiefer herab am Rumpfe aber goldgelb und gleichfalls hell gesäumt.

Glyphidodon saratilis L.

Ein grosses, c. 21^{cm} langes Exemplar von Gorée, durch Herrn Höfler.

D. 13/13. A. 2/13. L. lat. 30. L. tr. $4\frac{1}{4}/1\frac{1}{11}$.

Rumpfhöhe etwas mehr als $1\frac{1}{2}$ mal, Kopflänge $3\frac{1}{2}$ mal in der Körperlänge, Augendiameter $3\frac{1}{2}$ mal, Stirnbreite unbedeutend mehr als 3 mal in der Kopflänge, Höhe des unteren Augenringes unterhalb der Mitte des Auges 2 mal in der grössten Höhe des Präorbitale enthalten. $2\frac{1}{2}$ Schuppenreihen auf den Wangen. Zähne der Aussenreihe in beiden Kiefern am breiten, freien Rande scheid eingekerbt.

Der fünfte, höchste Gliederstrahl der Dorsale erreicht genau eine Kopflänge.

Fünf Querbinden am Rumpfe, an ihrer breitesten Stelle in der Mitte der Rumpfhöhe nicht breiter als die sie trennenden Zwischenräume. Die hinterste der Rumpfbindeln liegt am Beginne des Schwanzstiemes, die vorderste zieht vom Beginne der Dorsale vertical zur Seitenlinie herab.

Ich habe mir erlanbt, eine kurze Beschreibung des mir von Gorée eingesendeten Exemplares zu geben, um den sicheren Nachweis zu liefern, dass *Glyphidodon saratilis* sp. Lin. bisher nur von der Ostküste Amerika's bekannt, auch an den Küsten Senegambiens heimisch sei.

Mugil Hoeferti n. sp.? (an *Mugil Smithi* Gthr.?).

Taf. IV, Fig. 1.

Zwei Exemplare, 26 und 28^{cm} lang, von Gorée durch Herrn Höfler.

D. $4\frac{1}{8}$. A. 3/9. L. lat. 34—35. L. tr. 12—13.

Die Leibeshöhe ist $3\frac{2}{3}$ mal, die Kopflänge $4-4\frac{1}{2}$ mal in der Körperlänge, der Augendiameter $4\frac{1}{2}-4\frac{1}{3}$ mal, die Stirnbreite $3-2\frac{5}{8}$ mal, die Schnauzenlänge c. $3\frac{3}{4}$ —nahezu 4 mal in der Kopflänge enthalten. Stirne querüber sehr mässig gebogen, noch schwächer die Oberseite der Schnauze. Auge mit sehr schwach entwickeltem Fetthide, daher die hier zu beschreibende Art in die zweite Gruppe der *Mugil*-Arten nach Günther gehört. Hinteres Ende des Oberkiefers an der Unterseite des Kopfes deutlich sichtbar. Die Ränder des Unterkiefers stossen unter einen mehr oder minder stumpfen Winkel nach vorne zusammen. Der hintere Rand des Präorbitale ist am hinteren, schräge abgesetzten Rande stärker gezähnt als am unteren, der über der Mundwinkel-Gegend fast dreieckig, doch scheid eingebuchtet ist. Zahlreiche, haarförmige Zähnechen am Rande der Oberlippe. Schneidiger Rand des Unterkiefers zahlos. Zähnechen am Vomer in einen flachen Bogen sich ausbreitend. Gaumenzähne weit hinten am Gaumen gelegen. Der Beginn der ersten Dorsale fällt um eine Augenlänge näher zur Basis der Caudale als zum vorderen Ende der Schnauze.

Bei dem einen Exemplare unserer Sammlung ist der erste Stachel der ersten Dorsale ein wenig höher als der zweite Stachel, bei dem zweiten Exemplare findet das verkehrte Verhältniss statt, doch übertrifft die grösste Höhe der ersten Dorsale bei beiden nur wenig die Hälfte der Kopflänge.

Die zweite Dorsale und die Anale sind am freien Rande der Strahlen tief bogenförmig eingeschnitten; der zweite Gliederstrahl der zweiten Dorsale und der Anale erreicht an Höhe c. $\frac{3}{4}-\frac{1}{2}$ der Kopflänge. Nur die vordersten Strahlen dieser beiden Flossen sind zart beschuppt, doch fallen diese Schuppen leicht ab, so bei dem auf Taf. IV abgebildeten Exemplare; der Beginn beider Flossen fällt nahezu in eine verticale Linie. Circa 23—24 Schnuppen zwischen dem vorderen Schnauzenrande und dem Beginne der stacheligen Dorsale.

Die Caudale ist am hinteren Rande tief dreieckig eingeschnitten; beide Caudallappen sind stark zugespitzt und der obere ein wenig länger als der untere. Die Länge der Caudale übertrifft die des Kopfes nahezu um einen Augendiameter.

Die Pectorale spitzt sich nach hinten stark zu und ist nur unbedeutend kürzer als der Kopf. Die Spitze derselben Flosse fällt auf die 10. Schuppe der sogenannten Seitenlinie.

Die hintere Rumpfhälfte ist stark comprimirt, die geringste Rumpfhöhe am Schwanzstiele gleicht genau oder nahezu der Hälfte der Kopflänge.

Eine lange, dreieckige Schuppe liegt an der Bauchseite zwischen der Basis der Ventralen; die Länge der letzteren ist variabel und bei dem einen Exemplare unserer Sammlung fast $1\frac{1}{2}$ mal, bei dem zweiten aber $1\frac{1}{4}$ mal in der Kopflänge enthalten.

Der freie Rand der Schuppen erscheint unter der Loupe sehr fein gezähnt.

Ein stark verschwommener breiter, grauer Streif, durch Anhäufung von Pünktchen gebildet, längs der Höhenmitte der einzelnen horizontalen Schuppenreihen in der oberen Rumpfhälfte. Caudale an sämtlichen freien Rändern schmal schwarzgrau gesäumt.

Ebenso gefärbt ist der vordere Rand der zweiten Dorsale und der obere der Pectorale. Ventrals gelblich. Anale in der vorderen Hälfte dicht grau punktiert; ebenso punktiert ist die zweite Dorsale ihrer ganzen Ausdehnung nach.

Die hier geschilderte Art scheint mit *Mug. Schlegelii* Blkr. und insbesondere mit *Mugil Smithii* Gthr. am nächsten verwandt zu sein, unterscheidet sich aber von erstgenannter Art, nach Bleeker's Beschreibung zu schliessen, durch die grössere Körperhöhe und Länge der Schnauze, durch die grössere Anzahl der Schuppen zwischen der Kiemenspalte und der Caudale und durch das Vorkommen von Zähnen am Vomer.

Mit *Mugil Smithii* Gthr. stimmt *Mugil Hoefleri* in der Zahl der Längs- und Querschuppenreihe am Rumpfe bezüglich der Körperhöhe, in der Form des Unterkiefers etc. ziemlich genau überein, doch ist bei *M. Hoefleri* der Kopf merklich kürzer, die Stirne etwas schmaler, die erste Dorsale weiter nach hinten gerückt, die zweite Dorsale gleich der Anale nur im vordersten Theile beschuppt.

Die Pectorale ist überdies bedeutend länger als bei *M. Smithii*; endlich fällt die Anale bei *M. Hoefleri* nicht mit dem vorderen Drittel ihrer Längenausdehnung in verticaler Richtung vor den Beginn der zweiten Dorsale, sondern der Beginn dieser Flossen fällt nahezu in eine Verticallinie. Da jedoch Günther's Beschreibung von *M. Smithii* nur auf die Untersuchung eines einzigen, halb erwachsenen Exemplars basiert ist, so halte ich es nicht für unmöglich, dass ein grosser Theil der angeführten Unterschiede aus der Altersverschiedenheit der beschriebenen Exemplare zu erklären und theilweise auch auf individuelle Schwankungen zurückzuführen sein dürfte. Ich habe daher *M. Hoefleri* nur als fraglich neue Art hingestellt.

Cynoglossus gorensis n. sp.

Taf. I, Fig. 2.

D. 126. A. 98. V. dext. 4, sin. 2. L. I. 103.

Körperform stark verlängert, zungenförmig. Die grösste Rumpfhöhe ist $4\frac{1}{3}$ mal, die Kopflänge etwas mehr als 5 mal in der Totallänge, die Länge der Schnauze 3 mal in der Kopflänge enthalten. Angen oval, das obere derselben ist ein wenig weiter nach vorne gerückt als das untere. Entfernung beider Angen von einander oder die Stirnbreite gleicht der Augenhöhe, und diese ist c. $4\frac{1}{2}$ mal in der Schnauzenlänge enthalten.

Beide Nasen der Augenseite münden in kurze Röhren, die obere liegt zwischen den Angen, die untere über dem Mundrande vor dem unteren Auge.

Der Schnauzenhaken ist von keiner besonderen Längenausdehnung.

Beide Kiefer tragen an der Blindseite des Kopfes eine ziemlich breite Binde kurzer Spitzzähne; der Mundwinkel fällt auf der Augenseite ein wenig hinter den hinteren Rand des unteren Auges.

Am Rumpfe sind an der Augenseite des Körpers zwei Seitenlinien vorhanden, beide sind durch 17 Längschuppenreihen an dem Punkte ihres grössten Abstandes von einander getrennt. Die obere Seitenlinie zieht sich

am Kopfe längs dem Schnauzenrande bis zum Ende des Schnauzenbakeus fort und sendet an der Schnauze einen kurzen Seitenast nach hinten, der aber die Stirngegend nicht erreicht. In einiger Entfernung hinter dem Auge sind die beiden Seitenlinien des Rumpfes durch einen Querast verbunden, der sich schräge nach hinten und unten fast bis zum unteren, hinteren Ende des Kopfes fortsetzt, und hierauf schlingenförmig nach vorne und oben sich wendet und zuletzt in fast horizontaler Richtung zur vorderen Unterkieferspitze zieht.

Die Dorsale beginnt am vorderen Schnauzenrande ein wenig über der Stelle, an welcher die zweite untere Seitenlinie des Rumpfes an der Schnauze mit der oberen zusammentrifft und enthält nur einfache Strahlen wie die Anale.

Die linke Ventrale der Aussenseite ist auf zwei Strahlen reducirt, welche über dem Bauchrande des Rumpfes liegen; die rechte Ventrale enthält vier Strahlen, welche gleichfalls ein wenig über dem Bauchrande eingelenkt sind, und ist durch einen Hautsaum mit der Anale gleichsam zu einer einzigen Flosse verbunden. Die nach hinten sich zuspitzende Caudale gleicht an Länge der Schnauze.

Die Schuppen des Rumpfes sind an der Augenseite in dem der Dorsale und Anale zunächst liegenden Theile sehr stark gezähnt, ebenso sämtliche Kopfschuppen derselben Seite; die bedeutend grösseren Schuppen in dem ganzen übrigen Theile der Rumpfsseiten aber sind nur mit äusserst kleinen Zählchen besetzt. Die Schuppen der rechten Körperseite sind ausnahmslos ganzrandig. Linke Rumpfseite chokoladebraun, Dorsale und Anale mit 2—5 Reihen dunkler Flecken geziert. Ein wenig vor dem hinteren Rande der Rumpfschuppen der linken Körperseite eine scharf vorspringende verticale Linie.

Totallänge des beschriebenen, von Herrn Höfler eingesendeten Exemplares: 60^m. Fundort Gorée.

Von *Cynoglossus senegalensis* Kap. unterscheidet sich *Cyn. goreensis* durch die geringe Zahl und die bedeutende Grösse der Rumpfschuppen längs der Seitenlinie (104, bei *C. senegalensis* 134—135) und durch die grössere Längenentwicklung des Kopfes.

Cynoglossus canariensis n. sp.

Taf. II, Fig. 2.

D. e. 130. A. e. 100. C. 10. L. l. 102—103. V. sin. 2, dext. 4.

Leibeshöhe etwas mehr als $4\frac{1}{2}$ mal, Kopflänge unbedeutend mehr als 5 mal in der Totallänge, Schnauzenlänge $3\frac{1}{2}$ mal in der Kopflänge enthalten.

Oberes Auge unbedeutend weiter nach vorne gerückt und zugleich kleiner als das untere. Stirnhöhe ein wenig kleiner als der Längsdurchmesser des oberen Auges. Das untere Auge liegt mit seiner kleineren hinteren Längenhälfte bereits hinter dem Mundwinkel der Augenseite. Deckel und Unterdeckel nach hinten und unten vorgezogen. Rostrallaken zugespitzt. Die obere Narine liegt ein wenig vor den Augen auf der Mitte der Stirnhöhe, die untere am oberen Mundrande vor dem unteren Auge. Ventrale der Augenseite mit zwei kurzen, zarten, fadenförmigen Strahlen; Ventrale der rechten Rumpfseite mit vier bedeutend längeren Strahlen und mit der Anale durch einen Hautsaum in Verbindung. Drei Seitenlinien auf der linken Körperseite, die mittlere Seitenlinie von der oberen durch c. zwölf Schuppenreihen getrennt, die untere von der mittleren durch c. 10—11.

Sämtliche Rumpfschuppen der Augenseite sind deutlich gezähnt.

Röthlich graubraun auf der Augenseite, mit einem Stiche ins Grünlichgelbe zunächst der Basis der Dorsale und der Anale.

Totallänge des beschriebenen, theilweise entschuppten Exemplares: c. 28^m.

Fundort: Canarische Inseln (Banco d'Argim) nach Dr. Bellotti, dem ich die Zusendung des hier beschriebenen Exemplares verdanke.

Hemirhombus guineensis Btkr.

D. 89. A. 70. P. sin. 12, dext. 10. V. 6. L. lat. c. 56.

Körperform oval; grösste Rumpfhöhe c. $2\frac{1}{2}$ mal in der Körperlänge oder etwas mehr als $2\frac{1}{2}$ mal in der Totallänge, Länge des Kopfes etwas weniger als 4 mal in der Körperlänge, der Augendiameter $4\frac{1}{2}$ — $4\frac{1}{4}$ mal,

die Schnauzenlänge c. 6mal, die Länge der linken Pectorale (au der Augenseite) c. $1\frac{1}{2}$ mal, die der rechten c. $2\frac{1}{2}$ mal in der Kopflänge enthalten.

Das untere Auge ist ein wenig weiter nach vorne gerückt als das obere, am oberen Auge erhebt sich der vordere und untere Rand, am unteren der obere und vordere Rand leistenförmig.

Die Stirne ist schuppenlos und schmal, querüber stark eingedrückt; die Höhe derselben erreicht nicht ganz $\frac{1}{2}$ der Augenhöhe an ihrer schmälsten, und $\frac{1}{2}$ eines Augendiameters an ihrer breitesten Stelle, d. i. zunächst ihrem vorderen Ende. Ein tiefer, halbelliptischer Ausschnitt hinter dem oberen Auge, ein viel schwächer entwickelter hinter dem unteren Auge.

Die Mundspalte steigt rasch nach vorne an; der hintere schräg gestellte Rand des Oberkiefers fällt in verticaler Richtung unter die Mitte des unteren Auges. Zwei Zahnreihen im Zwischenkiefer und nur eine am Unterkiefer. Die Zähne der Aussenreihe sind länger und stärker als die der Innenreihe, und nehmen gegen die Mundwinkel allmählig an Höhe und Stärke ab. Die beiden rundlichen Nasenmündungen an der Augenseite liegen vor dem unteren Auge in der Höhe des oberen Randes desselben.

Die Stirne, Schnauze, Unterkiefer und die Lippen sind schuppenlos, das dreieckige Endstück des Oberkiefers ist beschuppt.

Die Caudale ist rhombenförmig, somit am hinteren Rande dreieckig, und nicht oval gerundet, wie sie Bleeker darstellt (s. Blkr., Mémoire sur les Poissons de la Côte de Guinée, pl. 3); sämtliche Strahlen der Dorsale, Anale und Caudale, nicht aber die sie verbindende Flossenhaut, sind beschuppt, was auf Bleeker's in vieler Beziehung fehlerhaften Abbildung nicht angedeutet ist.

Die Schuppen der Seitenlinie sind bei wohlerhaltenen Exemplaren fast ganz mit kleineren Schnuppen überdeckt. Sämtliche Flossen, vielleicht nur mit Ausnahme der Ventralen, die bei dem hier beschriebenen Exemplare verletzt sind, zeigen zahlreiche kleine, dunkelbraune Flecken und Punkte.

Die Angenseite des Rumpfes ist dunkelbräunlichgrau und mindestens an den freien, fein gezähnten Schuppenrändern sehr zart, dunkler punktiert.

Totallänge des beschriebenen Exemplares von Gorée durch Herrn Höfler: 29^{mm}.

Clupea (Alosa) setosa Steind.

Diese Art, welche ich bereits im Jahre 1869 (Ichthyol. Notizen [IX.] Bd. LX d. Sitzungs-b. d. k. Akad. d. Wissensch. I. Abth. Juli-Heft, 1869) beschrieb, ist an den Küsten von Liberia und Gabun heimisch, nicht aber an der Westküste von Amerika (bei Mazatlan), wie ich l. c. nach einer irrigen Angabe Salmin's mittheilte; dasselbe dürfte vielleicht auch bezüglich der *Clupea (Alosa) notacanthoides* Steind. der Fall sein, während viele andere Arten, welche ich l. c. p. 25 u. 26 (fide Salmin) als von Mazatlan stammend anführte, zweifellos von den Küsten Chile's und Peru's herrühren.

Rhinobatus Columnae Bonap.

Ein vortrefflich erhaltenes Exemplar, ♂, 75^{mm} lang, von Gorée durch Herrn Höfler.

Bezüglich der Ausdehnung der oberen Nasenklappe stimmt dasselbe genau mit Müller und Henle's Beschreibung und Bonaparte's Abbildung überein; die Basis dieser Klappe reicht nach innen etwas über den inneren Winkel des Nasloches und ihre Insertion entfernt sich weit über den oberen Rand desselben. (M. & H., System. Besch. d. Plagiostomen, p. 113.)

Die Länge der Schnauze verhält sich zur Distanz der Augenfirsten wie $4\frac{3}{4}:1$, die Distanz der inneren Winkel der Naslöcher ist merklich kleiner als die Länge eines Nasloches, die Distanz der äusseren Winkel vom Rande der Scheibe ebenso gross wie die Länge eines Nasloches. Schnauze gelblich, Rest der Oberseite des Kopfes wie der Rumpf schmutziggrau.

Carcharias (Prionodon) falciformis Müll. & Henle.

Ein grosses Exemplar, 91^{mm} lang, Weibchen von Gorée durch Herrn Höfler. Es stimmt genau mit J. Müller's und Henle's Beschreibung überein, doch gleicht die Länge einer Nasenspalte c. $\frac{1}{2}$ einer Augen-

länge und an der Unterseite der Pectoralen liegt zunächst der Flossenspitze ein ziemlich grosser dunkler Fleck wie bei *Carcharias Bleekeri* Dum., dessen Unterkieferzähne aber fein gezähnt sind.

Die Schnauze ist ziemlich verlängert, vorne elliptisch gerundet, und bis zum Vorrande der Augen gemessen, genau 3mal in der Kopflänge (bis zur letzten Kiemenspalte) enthalten. Das innere, hintere Ende der Narinen ist c. 2mal so weit von dem vorderen Schnauzenrande als vom Vorderrande der Mundspalte entfernt. Die Entfernung der Mundwinkel von einander ist e. um $\frac{1}{2}$ eines Augendiameters grösser als die Länge der Mundspalte. Die Stirnbreite gleicht der Schnauzenlänge.

Die Länge der eichelförmigen Pectoralen gleicht dem Abstände der Basis dieser Flossen von der Augenmitte; die grösste Breite der Brustflossen ist etwas mehr als $1\frac{2}{3}$ mal in der Flossenlänge enthalten und der vordere Rand derselben endlich $3\frac{1}{2}$ mal länger als der untere. Der Beginn der Dorsale fällt fast um die Länge der Mundspalte näher zur Wurzel der Pectoralen, als zum Beginne der Ventralen.

Beide Dorsalen und die Anale sind nach hinten in eine lange Spitze ausgezogen. Die zweite Dorsale ist etwas kleiner als die Anale, welchen sie gegenüber liegt. Die erste Dorsale ist c. 3mal höher als die zweite Dorsale (unter dem vorderen, oberen Winkel) und auch 3mal länger als letztere Flosse. Am unteren, vorderen Winkel der Anale liegt ein schwärzlich blaugrauer Fleck.

Die Caudale ist 26^{m} lang, erreicht somit $\frac{1}{7}$ der Totallänge, der allgemeinen Form nach gleicht sie jener von *Carch. menisorrh.*

Übersicht der in dieser Abhandlung beschrieben oder erwähnten Arten.

1. *Holocentrum hastatum* C. V. — Gorée.
2. *Serranus fuscus* Lowc. — Gorée.
3. *Dentex canariensis* Steind. — Gorée.
4. *Dentex vulgaris* L. — Gorée.
5. *Dentex filiosus* Val. — Gorée, Spalato (Dalmatien).
6. *Pagrus auriga* Val. — Canarische Inseln.
7. *Pagrus Ehrenbergii* C. V. — Gorée.
8. *Pagellus Bellottii* n. sp. — Canarische Inseln.
9. *Sargus Bellottii* n. sp. — Canarische Inseln.
10. *Otolithus macrognathus* sp. Blkr. — Gorée.
11. *Umbrina cirrhosa* Linn. var. *canariensis* Val. — Gorée.
12. *Umbrina ronchus* Val., Gthr. — Gorée, canarische Inseln.
13. *Coryphaena hippurus* Lin. — Gorée, Rio Jaueiro.
14. *Coranz senegalus* C. V. — Gabun, Gorée.
15. *Selene goreensis* sp. C. V. — Gorée.
16. *Selene setipinnis* sp. Mitch. — Capverdische Inseln.
17. *Ephippus goreensis* C. V. — Gorée.
18. *Glyphidodon saxatilis* sp. Lin. — Gorée.
19. *Mugil Hüfneri* n. sp. ? — Gorée.
20. *Cynoglossus goreensis* n. sp. — Gorée.
21. *Cynoglossus Bellottii* n. sp. — Canarische Inseln.
22. *Hemirhombus guineensis* Blkr. — Gorée.
23. *Clupea (Aloia) setosa* Steind. — Liberia, Sherbero, Gabun.
24. *Rhinobatus Columnae* Bonap. — Gorée.
25. *Carcharias (Prionodon) falciformis* M. & H. — Gorée.

Anhang.

Über eine neue *Paraphoxinus*-Art aus der Herzegovina.

Paraphoxinus Ghataldi n. sp.

Taf. V, Fig. 2.

Körpergestalt spindelförmig. Grösste Rumpfhöhe 4—5 mal, Kopflänge c. $3\frac{1}{3}$ mal in der Körperlänge, Augendiameter 5 mal, Schnauzenlänge $3\frac{1}{2}$ mal, Stirnbreite etwas mehr oder weniger als 3 mal, die grösste Kopfhöhe am Hinterhaupte $1\frac{1}{4}$ — $1\frac{2}{5}$ mal in der Kopflänge enthalten. Schnauze vorne konisch gerundet.

Die Kiefer reichen gleich weit nach vorne; die Lippen sind ziemlich wulstig, die Unterlippe ist in der Mitte unterbrochen. Die Mundwinkel fallen in verticaler Richtung unter die hintere Narine oder zwischen beide Narinen, die thirigen nur durch ein Hautplättchen von einander getrennt sind.

Die Oberseite des Kopfes ist querüber schwach gebogen.

Die grösste Höhe des Rumpfes fällt in die Nackengegend zwischen dem Hinterhauptsende und dem Beginne der Dorsale. Die letztgenannte Flosse beginnt in verticaler Richtung ein wenig vor der Einlenkungsstelle der Ventralen, eben soweit vom hinteren Ansaurende wie von der Basis der Schwanzflosse entfernt. Der obere hintere Rand der Dorsale ist schwach convex, die Höhe der Flosse $1\frac{1}{3}$ —2 mal grösser als die Basallänge derselben. Die Zahl der Dorsalstrahlen beträgt 9 ($\frac{1}{2}$).

Die Länge und Entwicklung der Ventralen ist variabel, in ersterer Beziehung erreicht sie bald nahezu die Höhe der Dorsale, bald steht sie derselben bedeutend nach. Bei der Mehrzahl der von uns untersuchten Exemplare reicht das äusserste, hintere Ende der Ventralen bis zur Analgrube zurück oder noch ein wenig hinter den Beginn der Anale, und nur bei wenigen, auffallend schlanken Exemplaren fällt dasselbe ziemlich weit vor die Analgrube.

Die Pectorale gleicht an Länge der Höhe der Dorsale oder übertrifft sie ein wenig. Das hintere Ende derselben fällt mehr oder minder weit vor die Insertionsstelle der Ventrale. Die Anale enthält 9—10 Strahlen, der vordere und untere hintere Winkel derselben ist gerundet, und der untere Flossenrand zwischen beiden sehr schwach concav. An Höhe steht die Anale der Dorsale nach.

Die Caudale ist am hinteren Rande dreieckig eingebuchtet, beide Lappen derselben sind gleich lang und am hinteren Ende mehr oder minder schwach zugespitzt oder in der Regel oval gerundet. Die Länge der Caudale ist c. $1\frac{1}{3}$ mal in der des Kopfes enthalten.

Der Schwanzstiel ist ziemlich lang, schlank, und erreicht an Höhe kaum die Hälfte der grössten Rumpfhöhe.

Die Schuppen an den Seiten des Rumpfes sind äusserst klein, rundlich, decken sich nicht dachziegelförmig und sind von einer dicken, faltigen Haut ganz umhüllt; die grössten Schuppchen liegen am Schwanzstiele und zunächst der Seitenlinie, die bis zum Beginne des Schwanzstieles in der unteren Rumpfhälfte verläuft und gleich hinter dem oberen Ende der Kiemenspalte sich mässig rasch herabsenkt. Brustgegend und mittlerer Theil der Rückenfläche und Unterseite des Schwanzstieles schuppenlos.

Rücken schmutziggelb, untere Hälfte der Körperseiten goldgelb, Bauchseite weisslich. Zahlreiche grössere und kleinere schwärzlichbraune Flecken von unregelmässiger Form und an den Rändern verschwommen liegen an den Körperseiten zerstreut, und ein grösserer, schmaler Fleck an der Basis der Caudalstrahlen.

Zähne auf den unteren Schlundknochen einreihig, 5—4 (d. entosorfi).

D. 9. A. 9—10. P. 16. V. 8.

Mehrere vortrefflich erhaltene Exemplare (bis zu 13^{cm} Länge), erhielt ich aus den unterirdischen Höhlen der Ebene von Popovo in der Herzegovina durch die Gütigkeit meines hochgeehrten Freundes, Herrn Barou

Ghetaldi Gondola, nach dem ich diese noch unbeschriebene Art als Zeichen meines Dankes zu benennen mir erlaubte.

Was den Gattungsnamen *Paraphoxinus* anbelangt, so wurde derselbe von Bleeker für *Phoxinellus alepidotus* Heck. vorgeschlagen, während die Heckel'sche Bezeichnung *Phoxinellus* für *Phoxinellus zeregi* belassen wurde.

Bekanntlich hat Heckel bereits im Jahre 1843 die Gattung creirt (s. Heck., Abhildung und Beschreibungen der Fische Syriens, pag. 49), und in folgender Weise charakterisirt:

„Dentes contusorii 5—4. Os anticum; labia teretia; cirrhi nulli. Pinna dorsalis et analis brevior, illa radio osseo apice flexili pone pinnas ventrales incipiens. Squamae minutae aut nullae.“

In die Gattung *Phoxinellus* reichte Heckel zwei Arten: *Ph. Zeregi* Heck. (aus Syrien) und *Ph. alepidotus* Heck. (aus Bosnien bei Livno und aus Dalmatien).

Im Jahre 1863 trennte Bleeker die Gattung *Phoxinellus* Heck. in zwei Gattungen, nämlich *Phoxinellus* Heck. = *Pseudophoxinus* Blkr. ol. (Corpus nbiqne squamosum, oblongum, compressum etc.) mit der Art *Phoxinellus Zeregi* Heck. und *Paraphoxinus* Blkr. = *Phoxinellus* Blkr. ol. nec Heck. (Corpus linea laterali tantum squamosum, elongatum fusiforme etc.) mit der Art: *Paraphoxinus alepidotus* = *Phoxinellus alepidotus* Heck. (s. Bleeker, Atlas Ichtyol. des Indes Orient. Néerland. T. III, 1863, p. 31).

In dem siebenten Bande des Cataloges der Fische in den Sammlungen des britischen Museums reichte Dr. Günther *Phoxinellus Zeregi* Heck. als Repräsentant einer besonderen Untergattung *Pseudophoxinus* in die Gattung *Leuciscus*, bezüglich deren Umfanges ich Günther's Ansicht nicht theile, ein, und führt *Phoxinellus alepidotus* Heck. als *Paraphoxinus alepidotus* (gleich Bleeker) an. Der Gattungsnamen *Phoxinellus* Heck. ist somit gänzlich aus dem Systeme verdrängt, wozu meines Erachtens kein triftiger Grund vorliegt, denn er sollte mindestens als Bezeichnung einer Subgattung für die Species *Phoxinellus Zeregi* Heck. statt *Pseudophoxinus* Blkr. reservirt werden.

Sämmtliche, bisher bekannte Arten der Gattung *Paraphoxinus* Blkr. = *Phoxinellus* Heck., mit Ausschluss von *Ph. Zeregi* Heck., sind auf bestimmte Localitäten beschränkt und schliessen sich bezüglich ihrer Körperform (niet aber in den übrigen Charakteren) bald näher an *Phoxinus* (so *Paraphoxinus Ghetaldii* m.), bald näher an *Leuciscus* an, wie *Phoxinellus adpersus* sp. Heck.

Schuppen entwickeln sich entweder nur längs der Seitenlinie, wie bei *Phoxinellus alepidotus* Heck., oder aber in grösserer oder geringerer Zahl an den Seiten des Rumpfes; sie sind jedoch stets rudimentär, klein, rundlich, und liegen unter der Oberhaut, die bald dicker, bald dünner ist, in der Regel verborgen. Die Schlundzähne zeigen comprimirt Kronen und sind einreihig; der Zahl nach variiren sie bei den einzelnen Individuen einer und derselben Art (s. Steind., Allgemeine Bemerkungen über die Süswasserfische Spaniens und Portugals, Wien, 1. Aug. 1866), in der Regel kommen 5—4 oder 5—5 Schlundzähne vor, seltener nur 4—4. Der Beginn der Dorsale fällt in verticaler Richtung mehr oder minder bedeutend hinter die Insertionsstelle der Ventrales.

Die bisher bekannten Arten der Gattung *Paraphoxinus* Blkr. = *Phoxinellus* Heck. (excl. *Phox. Zeregi* Heck.) sind in ihrem Vorkommen auf den Süden Europa's, das sogenannte illyrische Dreieck und auf Spanien beschränkt; ihre Zahl beträgt 5, nämlich:

1. *Paraphoxinus croaticus* sp. Steind., Gthr. Fundorte: Bäche und Flüsse Croatiens, welche aus unterirdischen Wasserbehältern und aus Felschluchten mit grosser Wassermenge hervorbrennen und nach kürzerem oder längerem Laufe wieder in Felschlünden verschwinden, so die Licu und Novelicza bei Gaspich, Ottneha bei Gradac, Ribiezza bei Sikada.

2. *Paraphoxinus adpersus* sp. Heck., Steind. (*Leucos adpersus* Heck., Fische Syriens). Schlundzähne 4—4, 5—4, 5—5. Fundort: See, zwischen kraterähnlich vertieften Felsen bei Imosky, Jesso rosso genannt, der seinen Abfluss unterirdisch in das Thal findet, und in dem daraus gebildeten Bache (nach Heckel und Kner), ferner See bei Gradac. Ich habe auf Taf. III sub Fig. 3 eine getreue Abbildung dieser von Heckel & Kner irriger Weise in die Gattung *Leucos* gereihten Art nach dem am besten erhaltenen der typischen Exemplare des Wiener Museums gegeben.

3. *Paraphoxinus alepidotus* sp. Heck., Btkr. Fundort: Cetina, Narentafluss bei Sign und Livno in Bosnien.

4. *Paraphoxinus Ghetaldii* Steind. Fundort: Unterirdische Höhlengewässer in der Ebene von Popovo in der Herzegowina.

5. *Paraphoxinus hispanicus* Steind. (*Phoxinus hispanicus* Steind. olim, Ichthyol. Bericht über eine nach Spanien und Portugal unternommene Reise, 3. Fortsetz., Sitzb. der k. Akad. d. Wissensch. Jahrg. 1866, Juli-Heft, p. 8—9 im Separatabdr. Taf. I, Fig. 1). Fundort: Ein kleiner Bach, der bei Merida in die Guadiana sich ergießt). Schlundzähne 4—4.

ERKLÄRUNG DER ABBILDUNGEN.

TAFEL I.

Fig. 1. *Holocentrum hastatum* C. V.

„ 2. *Cynoglossus goreensis* n. sp.

TAFEL II.

Fig. 1. *Umbra cirrhosa* L. var. *canariensis* Val.

„ 2. *Cynoglossus canariensis* n. sp.

TAFEL III.

Fig. 1. *Pagellus Bellottii* n. sp.?

„ 2. *Sargus Bellottii* n. sp.

„ 3. *Paraphoxinus adyersus* sp. Heck.

TAFEL IV.

Fig. 1 u. 1a. *Mugil Haeffleri* n. sp.?

„ 2 u. 2a. *Pogrus anriga* Val. adult.

TAFEL V.

Fig. 1 u. 1a. *Pogrus Ehrenbergii* C. V. juv.

„ 2. *Paraphoxinus Ghetaldii* n. sp.

TAFEL VI.

Seleno goreensis sp. C. V. juv.



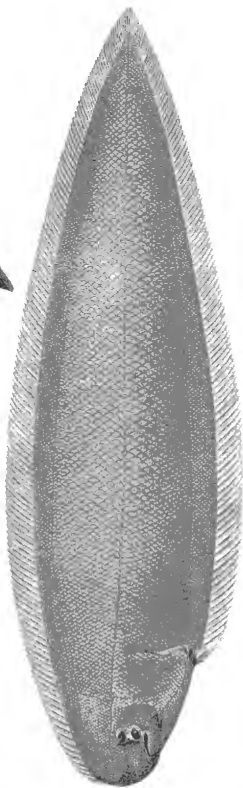
N d Narges ulth v Ed Konopow



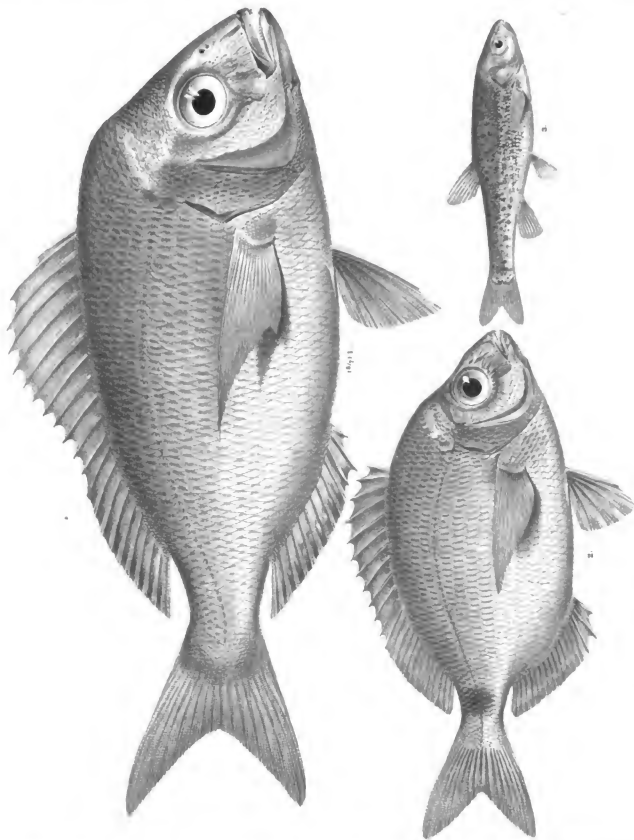
KK Hof-u Chazodru series

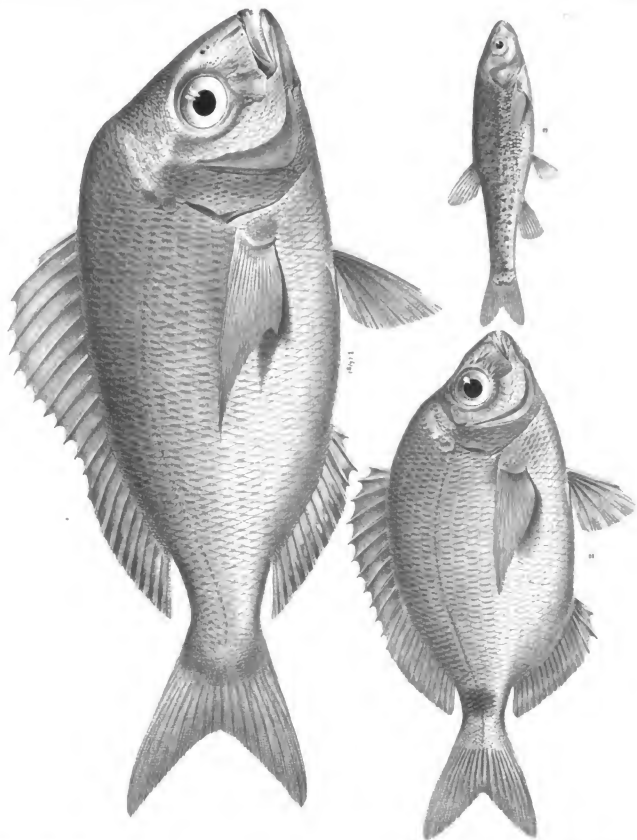


N d Narceus ulthw Ed Kousprie



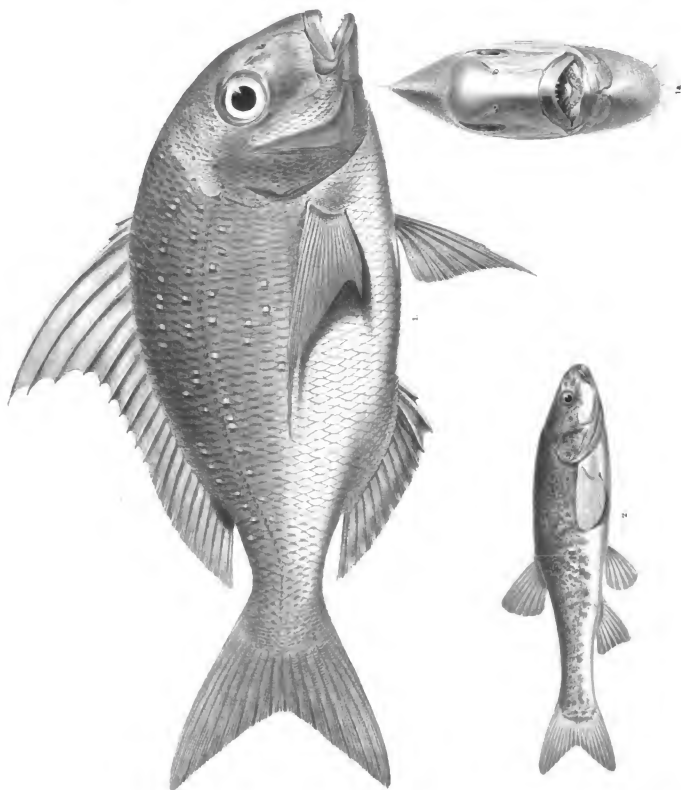
KK Hofu Shandrudere



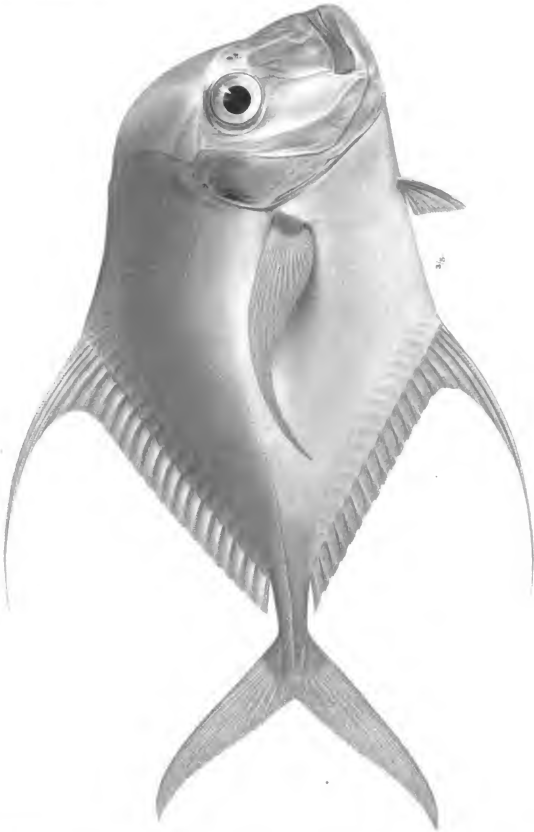


W. Steindachner u. Ch. Sclater del.

K. H. Roth u. G. Zettl druckten.



F.K. Hof u. Staatsdruckerei



K. L. Steindachner & L. Zuercher

K. L. Steindachner & L. Zuercher

Denkschriften d.k.Akad.d.W.math.naturw. Classe XLV. Bd. I. Abth.

Zweite Abtheilung.

Abhandlungen von Nicht-Mitgliedern der Akademie.

Mit 45 Tafeln und 5 Holzschnitten.

UNTERSUCHUNGEN
UEBER
AMPHIOXUS LANCEOLATUS.

EIN BEITRAG ZUR VERGLEICHENDEN ANATOMIE DER WIRBELTHIERE.

VON
JOSEF VICTOR ROHON.

(Mit 6 Tafeln.)

VORGELEGT IN DER SITZUNG DER MATHEMATISCH-NATURWISSENSCHAFTLICHEN CLASSE AM 15. DECEMBER 1881.

Die seit Veröffentlichung der allseits geschätzten Untersuchungen über Entwicklungsgeschichte des *Amphioxus lanceolatus* von A. Kowalewskij erschienenen Abhandlungen haben wohl den besten Beleg für die morphologische Bedeutung dieses „wunderbaren Thierchens“ erbracht. Trotzdem aber durch dieselben nicht allein interessante Detailverhältnisse, sondern auch werthvolle Gesichtspunkte von allgemeiner morphologischer Bedeutung bekannt geworden sind, blieb doch noch der vergleichenden Anatomie des Lancettfischchens ein weites Feld offen, ein Umstand, der meiner Meinung nach, einen empfindlichen Mangel in der *Amphioxus*-Literatur enthält. Auf den Wunsch nach einer zumindest theilweisen Beseitigung des Mangels sind die nachfolgenden Untersuchungen zurückzuführen. Die darin enthaltenen Resultate wurden vor mehr denn zwei Jahren auf Grund zahlreicher Präparate festgestellt; leider haben sich die Zusammenstellung und Unterbreitung derselben zufolge persönlicher Verhältnisse verzögert.

Das durchgehends frische Material, welches zur Grundlage für diese Untersuchungen diente, verdanke ich der Munificenz der kaiserlichen Akademie der Wissenschaften zu Wien, die mir behufs einer Reise nach Italien die nöthigen pecuniären Mittel in hochherziger Weise ertheilte.

Einen nicht unbeträchtlichen Theil des lebenden Materials erhielt ich durch die Güte des Herrn Dr. Dohrn, aus dessen zoologischer Station in Napoli. Später sammelte für mich eine bedeutende Partie frischen Materials, während seiner Reise durch Italien, mein Freund, Herr Dr. Henry M. Fisher aus Philadelphia.

Der Güte des Herrn Professors Dr. Carl Claus bin ich nicht bloß für die mir ermöglichte Kenntniss der umfangreichen Literatur, sondern auch wegen der mir vielfach erwiesenen materiellen Unterstützung zum Dank verpflichtet.

Eine Serie von Präparaten, darunter auch solche, denen mehrere Abbildungen zu dieser Abhandlung entnommen sind, befindet sich im Besitze des Herrn Directors des kaiserlichen zoologischen Hofkabinetts, Dr. Franz Steindachner, der stets bestrebt ist, meine wissenschaftlichen Arbeiten in gütiger Weise zu unterstützen und zu fördern.

Muskeln.

Das im Nachfolgenden Gesagte bezieht sich ausschliesslich auf die quergestreifte Muskulatur, indem die contractilen Faserzellen gleichzeitig mit den Organen und Geweben, in denen sie vorhanden sind, beschrieben werden. Die Hauptmasse der quergestreiften Muskulatur besteht aus den bekannten Seitenmuskeln, welche in bestimmte, durch Ligamenta intermuscularia getrennte Abtheilungen (Muskelabschnitte, *Myocommata*, *Myomeren*) der ganzen Körperlänge nach und bilateral symmetrisch angeordnet sind. Den kleineren Theil der quergestreiften Muskulatur liefern dagegen die quergelagerten und mittelst der Raphe verbundenen Muskeln der ventralen Leibesfläche, welche sich von der Gegend hinter dem Munde, bis zu dem sogenannten *Porus abdominalis* fortziehen.

Bemerkenswerth ist bei der Vertheilung der *Myocommata* der Umstand, dass sich diese eigentlich nicht der ganzen Längsaxe des Körpers entlang erstrecken, da sowohl ein beträchtliches Stück des vorderen und hinteren Chordatendes, als auch das Hirn und das Endstück des Rückenmarkes von ihnen unberührt bleiben. Zudem nehmen die einzelnen Muskelabschnitte, je mehr sie sich den beiden Körperenden nähern, allmählich in ihrer Stärke ab.

Bei Isolationsversuchen an den mit 20% salpetersaurer Lösung behandelten Muskeln zerfallen diese alsbald in zahlreiche, mit einander unregelmässig verflochten gewesene Fasern, von denen man, durch weiteres Zerzupfen, zahlreiche, rhombische Tafeln ähnelnde Platten oder Lamellen erhält, die wiederum im frischen Zustande und bei Benützung von stärkeren Vergrösserungen feine Querstreifung aufweisen. Die mikroskopische Zusammensetzung der quergestreiften Muskulatur aus solchen Platten oder Lamellen hat zuerst Grenacher¹ nachgewiesen und dadurch auch die Übergangsstufen der Muskelformation, von *Amphioxus* an durch die Cyclostomen, wo die quergestreiften Muskeln aus den Stannius'schen Platten zusammengesetzt werden, bis zu den Selachiern, bei denen die gleichnamigen Muskeln aus plattenartig angeordneten primitivmuskelbündeln bestehen.

Weiterhin gibt Grenacher und nach ihm Stieda² an, dass die Muskeln *sarcolemmatos* seien. Dieser Angabe pflichtet auch Langerhans³ bei, der ausserdem, gleich Stieda, in den Muskeln selten Kerne findet, beides Umstände, die einen verschiedenen Bau der entsprechenden Muskeln bei den höheren Vertebraten feststellen würden.

Ich muss aber diesen Angaben über Kerne und *Sarcolemma* theilweise entgegenreten und zwar, wie ich glaube, aus triftigen Gründen. Betrachten wir bekuft einer Verständigung vorerst die Fig. 26 der Taf. III. Dieselbe zeigt uns den Bruchtheil eines zerzupften Seitenmuskelabschnittes, bei dem wir mit einer Deutlichkeit, die nichts zu wünschen übrig lässt, ziemlich zahlreichen Kernen von einer bald spindelförmigen (*Mk*), bald ovalen oder kreisrunden und verhältnissmässig grossen Gestalt begegnen. Dass diese Kerne insgesamt nichts weiter als unmittelbare histiologische Bestandtheile der Muskelsubstanz sind, davon konnte ich mich überzeugen, so oft mir der wiederholte Versuch, die Kerne zu isoliren, misslang. Ein Blick auf die Fig. 24 derselben Tafel zeigt uns ferner zellige Elemente, die ganz verschieden von den vorhin beschriebenen Kernen beschaffen sind. Hier sehen wir (*sk*) ovale und bedeutend grössere Zellen, deren homogenes Protoplasma viel heller ist, als der bläschenförmige in seinem Innern ein deutliches und rundes Kernkörperchen einschliessende Kern. Die Zellen machen sich nicht bloss oberflächlich, sondern auch innerlich an der Muskelsubstanz bemerkbar.

¹ Grenacher, Beiträge zur näheren Kenntniss der Musculatur der Cyclostomen und Lepiocardier. Zeitschr. f. wiss. Zool. Bd. XVII (1867).

² Stieda, Studien über den *Amphioxus lanceolatus*. Mémoires de l'Acad. imp. de sciences de St. Pétersbourg. VII. sér. Tome XIX, No. 7. St. Pétersbourg 1873.

³ Langerhans, Zur Anatomie des *Amphioxus lanceolatus*. Archiv für mikr. Anatomie. Bd. XII.

Da ich neben diesen Zellen, ausser Muskelsubstanz und Muskelkörperchen, nichts wahrnehmen konnte, kann ich auch entscheiden, ob dieselben für Elemente des im Sinne eines Matrix-Gewebes genommenen Sarcolemma anzusehen seien, oder nicht; — demnach scheint mir bei ihnen eine, dem denkbar primitiven Sarcolemma ähnliche Einrichtung zu bestehen. Eine genauere Betrachtung stellte mir die Sachlage vor, als würden die theilweise einzeln, theilweise in Gruppen geordneten, bald mit zwei sich berührenden Kernen, bald mit der Einschütrung des Protoplasma versehenen Zellen, eine auf dem Wege der Zellentheilung sich vermehrende Substanz darbieten. Freilich könnte mir eben zufolge der Zellentheilung der Einwurf gemacht werden, dass es ja am Ende in Theilung begriffene Eier, etwa eines Parasiten, sein könnten, wie ein solcher Fall an einer anderen Stelle dieser Untersuchungen Erwähnung finden wird. Dem entgegen kann ich versichern, dass mich die Zerpfpfung von einem innigen Zusammenhange derselben Zellen mit der Muskelsubstanz überzeugt hat. Endlich macht von vornherein ihre von den Muskelkernen gänzlich verschiedene Gestalt eine Verwechslung unmöglich.

Dieser Befund steht indessen in diametralem Gegensatze zu der Auffassung Schneider's. Nach Schneider¹ erscheint das Sarcolemma bei den Seitenmuskelnabschnitten, in der Nähe des von ihm so benannten Blutraumes und zwar „in der Gestalt von verhältnissmässig starken Strängen, welche in der Gallertsubstanz eingebettet liegen“, während die Bauchmuskeln durch quer verlaufende Ligamente in Kästchen getheilt sind. Meiner Meinung nach dürfte jedoch diesen Gebilden eher die Rolle der Fascien als des Sarcolemma zukommen.

Schliesslich muss ich der Ansicht Schneider's widersprechen, als müsste jedes Myocomma einem Muskelprimitivbündel der höheren Vertebraten entsprechen. Denn wenn man die numerisch bedeutend erscheinenden Muskelkerne im Sinne der Reste von Myoblasten, ferner die Anzahl der wahrscheinlich je zu einem Myocomma in Beziehung tretenden motorischen Rückenmarkswurzeln in Angesehn nimmt, so dürfte sich wohl daraus die Ansicht herausbilden, dass im Gegentheil jedes Myocomma morphologisch eine Summe von Primitivbündeln repräsentire.²

Kiemcn.

Die Untersuchung der in frischem Zustande zergliederten Wandungen des Kiemenschlauches zeigte mir im Wesentlichen dieselben Verhältnisse, wie sie von den älteren und neueren Autoren angegeben worden sind; bis in einigen Punkten fand ich andere Zustände. Diese betrafen namentlich die Beziehungen der Längs- und der Querstäbchen zu einander, die Mucosa und die Muskellagen der Stäbchen, überhaupt des ganzen Kiemengerüstes.

Um zu einer genaueren Einsicht in die Anordnung und den Bau der Stäbe zu gelangen, wählte ich folgendes Verfahren. Die von lebenden Thieren entlehnten Kiemenschläuche kamen auf einige Tage in verhältnissmässig starke Glycerinlösung, um so die Maceration der Epithelien der Schleimhaut und deren nachmalige Entfernung zu fördern. Wurden dann an solchen Präparaten die Epithelien mit einem Pinsel von den Kiemcn entfernt, was sehr gut gelang, so liessen sich die Verhältnisse genau überschcn.

¹ Schneider, Beiträge zur vergleichenden Anatomie und Entwicklungsgeschichte der Wirbelthiere, Berlin 1879, S. 3.

² Gegen diese Anschauungsweise sprechen auch die unlängst publicirten Untersuchungen von Hatschek nicht. Hatschek (Studien über Entwicklung des Amphioxus. Arbeiten aus dem zool. Institute der Universität Wien und der zool. Station in Triest. Herausgegeben von Prof. Dr. C. Claus. Wien 1881.) schreibt diesbezüglich (S. 65): „Man kann nachweisen, dass jede Zelle zunächst nur eine einzige Fibrille ausscheidet, und da sich die Muskelzellen in der Länge reihenweise aneinander schliessen und an den ausgeschiedenen Fibrillen eine segmentale Unterbrechung nicht nachzuweisen ist, so kann man eigentlich sagen, dass eine Zellreihe eine gemeinschaftliche Fibrille ausscheidet, die sich durch die Länge des Körpers verfolgen lässt, und dass sich an der Bildung einer solchen langen Fibrille segmentweise je eine Zelle theilnähmt.“ (S. 66.) „Die Muskelfibrillen kommen an den Querschnitten zuerst als ganz kleine, glänzende Körnchen an der der Chorda aufliegenden Fläche der Zellen zur Beobachtung (Fig. 124—127). Die Fibrillen wachsen im weiteren Verlaufe der Entwicklung so, dass sie von der früheren fadenförmigen Form zu einer bauförmigen übergehen.“

Was zunächst die Längsstäbe anbelangt, so stimmen die Ansichten fast aller Beobachter im Wesentlichen überein. Ich wiederhole die Worte von Johannes Müller: ¹ „Das Gerüste besteht aus sehr vielen parallelen Kiemenrippen oder Strahlen. Ihre Anordnung ist von Rathke und Goodsir beschrieben. Beide geben die oberen Enden dieser knorpeligen Leisten als einfach an. Wir haben sie dagegen bogenförmig mit einander verbunden gesehen. Die unteren Enden hingegen enden wirklich alle frei. Diese freien Enden verhalten sich abwechselnd verschieden, indem eines der Stäbchen einfach ausläuft, das nachfolgende sich aber gabelig theilt, darauf folgt wieder ein einfaches Ende und dann wieder ein gabeliges n. s. w.“

Langerhans ² machte die Bemerkung hiezu, dass die je zwei Stäbchen dorsal vereinigenden Bogen allmählich in die Substanz der Rinne übergehen und als Verdickungen des untern Randes derselben Rinne erscheinen.

Schneider ³ unterscheidet neuerdings zwei Arten von Kiemenstäben, dicke und dünne. Die ventral getheilten bezeichnet er als dicke, die ungetheilten hingegen als dünne Stäbe. Beide führen nach den Angaben Schneider's innerlich Canäle, und zwar hat ein dünner Stab blos einen kreisrunden, nach innen zu in eine Spalte einmündenden Canal, während jeder der dicken Stäbe zwei Canäle besitzt, einen innern und einen äussern. Dieser letztere soll an dem Ansatzpunkte der Querstäbe in einen Canal übergehen, welcher in einem jeden Querstabe verläuft und in den Canal des dünnen Stabes hineinführt. —

Meine Beobachtungen sprechen indess gegen die Ausführungen Schneider's. Einmal kann in der Mehrzahl der Fälle von dünnen und dicken Stäben überhaupt keine Rede sein, indem alle Stäbe gleichmässig dünn, oder wenn man will, gleichmässig dick sind. Ich habe auf dieses Verhalten hin eine beträchtliche Anzahl von Präparaten angefertigt und sorgfältig durchgesehen, nie jedoch zu einer andern Überzeugung kommen können. In der Wirklichkeit sind alle Stäbchen in ihren mittleren Theilen allemal am dicksten, wogegen sie sich an ihren Enden verschieden verhalten. An der Übergangsstelle in die dorsalen Areolen werden alle Stäbe in gleicher Weise dünner, in Vergleich zu ihren nach abwärts gelegenen Theilen. Dasselbe geschieht mit allen den Stäbchen, welche ventralwärts ungetheilt auslaufen. Die daselbst divergirenden Stäbe behalten dieselbe Stärke, wie in ihren mittleren Stücken. (Vergl. Taf. I, Fig. 3 *ls*, *cr*, Fig. 5 *ar*, *ls*.)

Ebenso wenig konnte ich mich von der Existenz eines Canalisationsystems innerhalb der Kiemenstäbchen überzeugen, wie ein solches von Schneider angeführt wird, und glaube, dass alle ähnlichen Angaben auf einer optischen Täuschung beruhen, der man bei Conservirung des *Lanceettisches* in verschiedenen Flüssigkeiten mehr oder minder ausgesetzt ist. — Hiertüber geben frische Zernpfungspräparate den besten Anschluss. Bei Anfertigung von derlei Präparaten wird man sehr bald gewahr, wie alle an der ventralen Seite des Kiementerüstes getheilt und ungetheilt auslaufenden Stäbchen mittelst der Präpariradeln sehr leicht von einander getrennt werden können. Demnach sind alle die bislang als einfach geschilderten Längsstäbe eigentlich aus je zwei Stäbchen zusammengesetzt.

Die mikroskopische Untersuchung der gesonderten Stäbchenflächen ergibt eine zart reticulierte Substanz, welche einer Zwischensubstanz oder Kittsubstanz gleichkommt und an Quer- und Längsschnitten meistens ein homogenes Aussehen erhält. Die Gegenwart einer solchen Substanz zwischen den Längsstäben ist auch Schneider's ⁴ Aufmerksamkeit nicht entgangen; fast möchte man sie als Blutgerinnsel deuten, was sie doch sicherlich nicht ist.

Ferner überzeugt man sich, dass bei der Zernpfung des Kiementerüstes eben so viele isolirte Paare von Kiemenstäbchen entstehen, als wir von den Areolen oder den dorsalen, je zwei Stäbe mit einander verbindenden Bogen wahrnehmen. Von diesen letzteren kann man aber nicht sagen, wie Langerhans, dass sie blos Verdickungen des dorsalen Kiemenbandes darstellen, indem sich in diesen Areolen je zwei mit feinen Spitzen

¹ Müller J., Über den Bau und die Lebenserscheinungen des *Branchiostoma lubricum* Costa. *Amphioxus lanceolatus* Yarrell. Berlin 1844. S. 13.

² A. a. O. S. 312.

³ A. a. O. S. 25.

⁴ A. a. O. S. 25.

endigende Stäbe, gleichsam in eine Scheide gebettet, begegnen und beim Zerzupfen zuweilen herausgerissen werden können. Solchermassen entstehen Bilder, welche auch dorsalwärts die langen Stäbe mit freien Enden zeigen. Da ich ähnliche Erscheinungen auch an anderwärtigen Präparaten oftmals sah, so glaube ich, dass sie es waren, die Rathke und Goodsir zu der von Johannes Müller bekämpften Angabe über einfache Endigung der Kiemenstäbe an der dorsalen Fläche verleitet haben. Einigermassen gehen auch die ventralen Ansläufe der getheilten und je zwei convergirenden Längsstäbchen mit dem Kiemenbände der Hypobranchialrinne ähnliche Beziehungen ein, indem die aus dieser Gegend stammenden Präparate, bei genauer Betrachtung ein zartes und überaus kurzes Bändchen als ein Bindeglied zwischen zwei convergirenden Stäbchenenden aufweisen. (Taf. I, Fig. 3 *bn*.)

Nunmehr bilden je zwei Stäbchenpaare ein gothisches Fenster mit zwei Hälften oder zwei Längsspalten; die bauchwärts gegen einander sich neigenden Stäbe stellen den spitzen Bogen eines solchen Fensters dar, während je zwei dorsale Bogen die Basis für dies Fenster abgeben. (Vergl. Taf. I, Fig. 5 *av*.)

Der feinere Bau der langen Stäbe stimmt mit der Beschreibung von Johannes Müller überein. Sämmtliche Stäbe bestehen aus feinen Längsfasern, welche durch eine homogene Substanz verkittet sind. Kerne kommen hier nicht zum Vorschein. Im Allgemeinen schliesst sich dieses Gewebe den Bindesubstanzen, im engeren Sinne des Wortes, dem Faserknorpel an.

Bekanntlich werden die Längsstäbe durch Querstäbe verbunden. Die Anordnung der letzteren ist der Art, dass sie allgemein in verschiedenen Höhen zwischen den langen Stäben auftreten, wie dies Johannes Müller angibt; jedoch muss bemerkt werden, dass die Querstäbchen in den ventral gelegenen Theilen des Kiemenschlauches mehr gedrängt und öfters zahlreicher als dorsalwärts vorkommen. Darüber, wie sich die Querstäbe zu den langen verhalten, bemerkt Langerhans,¹ gegen die Auffassung früherer Beobachtungen, dass die Überbrückung des mittleren von je drei Stäben bloss eine scheinbare sei, und dass jeder Querstab an jener Stelle durch eine kleine Lücke in zwei Hälften getheilt würde. Dieser richtige Befund steht im unmittelbaren Zusammenhange mit gewissen Erscheinungen im Verlaufe der Querstäbe; so fand ich fast an jedem untersuchten Kiemenschlauch mehrere Fälle, wo entweder zwei, je eine Spalte begrenzende Längsstäbchen durch einen verschieden hoch entspringenden Querstab vereinigt, oder aber die Querstäbe untereinander von ganz eigenthümlich gearteten Umständen beherrscht wurden. (Taf. I, Fig. 3 *qz*.) Allenfalls ist die Vertheilung der Querstäbe niemals von solcher Regelmässigkeit, wie wir dieselbe an den langen Stäben beobachteten. Meines Erachtens kommt aber auch den Verhältnissen der Querstäbe gar keine Bedeutung in morphologischer Beziehung zu, wesshalb ich ihrer nicht besonders erwähnt haben würde, hätte nicht hiezu die später zu besprechende und von Schneider² in neuester Zeit aufgestellte Blutbewegung innerhalb der Kiemenstäbe veranlasst.

Ferner sieht man die Kiemenstäbe an ihrer innern Fläche von der Mucosa überzogen. Die Schleimhaut erstreckt sich auf alle Kiemenstäbe; sie ist nicht lediglich auf die Längsstäbchen beschränkt, sondern sie umfasst in gleicher Weise auch die Querstäbe. In frischem Zustande lässt das Mikroskop an der Schleimhaut eine fein reticuläre Substanz mit verhältnissmässig zahlreichen kleinen und runden Kernen erkennen.

Bezüglich der Epithelien des Kiemenschlauches ergaben meine Beobachtungen mit einziger Ausnahme eine Bestätigung, wie sie durch Langerhans³ bekannt geworden sind. Das Epithel ist nämlich nirgends mehrschichtig, wie theilweise W. Müller⁴ und Stiedé⁵ angeben, sondern allerorten, der Beschreibung von Langerhans gemäss, einschichtig (Taf. III, Fig. 19 *e*). Die Gestalt der einzelnen Epithelzellen macht alle möglichen Wandlungen, und zwar von der Form einer Kugel bis zu der eines Cylinders, durch. An den von mir

¹ A. a. O. S. 313.

² A. a. O. S. 29 und 30.

³ A. a. O. S. 315.

⁴ Müller W., Über das Hypobranchialrinne der Tunicaten und deren Vorhandensein bei *Amphioxus* und den Cyclostomen. Jenaische Zeitschrift f. Naturwiss. Bd. VII, S. 327.

⁵ A. a. O. S. 30.

überprüften Präparaten erwies sich, entgegen der Angabe von Langerhans,¹ für die Querstäbe ein cubisches Epithel, wogegen die Längsstäbchen allerwärts und übereinstimmend mit der Schilderung von Langerhans meistens von cylindrischen Zellen bekleidet sind (Taf. II, Fig. 19 *qs, e, ls, e*). Ausserdem besteht noch ein zweiter Unterschied, nämlich dass die Epithelzellen der Querstäbe pigmentlos sind, während die Epithelien der langen Stäbe ziemlich viel von einer brannkörnigen Masse besitzen.

Bei dieser Gelegenheit muss eine Angabe Rolph's² berührt werden. Derselbe hat becherförmige Sinnesorgane in der Hypobranchialrinne beschrieben und abgebildet, was ihm den Anlass zu einer Vergleichung der flimmernden Hypobranchialrinne mit einem Geschmacksorgane gab. Langerhans³ leugnet die Existenz jener Organe und hegt die Vermuthung, Rolph sei durch die Querschnitte der beiden Streifen breiterer Zellen der Hypobranchialrinne getäuscht worden. Ich habe oftmals den von Rolph abgebildeten Körpern bei meinen im frischen Zustande mit Gold, nachträglich mit Carmin behandelten und in Glycerinlösung eingeschlossenen Präparaten ähnliche Gebilde bemerkt, aber ich muss gestehen, dass ich derselben Ansicht bin, wie Langerhans, d. h. sofern es sich hier thatsächlich nicht um Sinnesorgane handelt. Andererseits sehe ich in den angeleglichen Sinnesorganen Hervorkörbungen mit theilweiser Anknüpfung der Hypobranchialschleimhaut.

Muskeln des Kiemenapparates.

Einen bedeutenden Fortschritt in der Erkenntniss der Kiemenmuskeln verdanken wir in erster Linie den Untersuchungen von Langerhans. Derselbe beschrieb drei Muskellagen am Kiemenschlauch:⁴ „So zunächst am oberen elastischen Bande, wo jedesmal an der Stelle, an der ein Kiemenstab in die Substanz des Bandes übergeht, ein kleines Bündel von longitudinal verlaufenden glatten Muskeln ausser dem Bande anliegt. An der Hypobranchialrinne begiebt sich zu jedem hinteren Ast eines Spitzbogenfensters eine Anzahl glatter Muskeln, die, radiär zum Ende des Stabes angeordnet, ausser der Rinne aufliegen. Endlich verlaufen in der Substanz dieser Rinne Längsfasern und Quersfasern.“ Die letzteren wurden zuerst von W. Müller,⁵ die übrigen von Langerhans gesehen. Die von Johannes Müller⁶ erwähnten Längsfasern, deren Verlauf an den langen Stäbchen vor sich geht, hat Langerhans nicht gesehen. Doch muss ich bemerken, dass an den Längsstäben, freilich in spärlicher Anzahl, glatte Muskeln vorkommen, wie es bereits Schneider hervorgehoben (Taf. III, Fig. 27 *gm*). Diese Längsfasern inseriren sich nach Schneider⁷ „an die innere Fläche der oberen Arcaden“, von den oberen Enden der dicken Kiemenstäbe ausgehend. Nach dem, was ich gesehen, verhält sich die Sache anders; diese Muskeln stammen nämlich von Quermuskeln, die an der innern Fläche des obern Kiemenbandes zu eben so viel Bündeln angeordnet sind, als Arcaden dorsalwärts des Kiemenschlauches vorhanden sind (Taf. I, Fig. 5 *gm*). Ihre spärliche Fortsetzung vertheilt sich quantitativ ganz gleichmässig, an allen Längsstäben, und zwar an deren innern Seite und oberflächlich der Mucosa bis zu ihren Enden an der ventralen Seite des Kiemenschlauches fortlaufend. Dass dieselben Muskeln auch auf die Querstäbe übertreten, wie Schneider⁸ annimmt, das konnte ich nicht wahrnehmen. Ausserdem fand ich in der Substanz des ganzen obern Kiemenbandes glatte Muskeln von longitudinaler Verlaufsrichtung (Taf. I, Fig. 5 *gm*). Auffallender Weise waren einzelne dieser Muskelzellen so gestaltet, wie die von Kleinenberg⁹ zuerst bei *Hydra* nachgewiesenen und von demselben Forscher als Neuromuskelzellen beschriebenen Elemente (Taf. II, Fig. 23), ein Umstand, der in schlagender Weise, die Auffassung, welche Carl Claus über die morphologische Bedeutung

¹ A. a. O. S. 317.

² Rolph, Untersuchungen über den Bau des *Amphioxus lanceolatus*. Gegenbaur's Morphologische Jahrbücher. Bd. II. Leipzig 1876. S. 128.

³ A. a. O. S. 318.

⁴ A. a. O. S. 314.

⁵ A. a. O.

⁶ A. a. O. S. 43.

⁷ A. a. O. S. 26.

⁸ A. a. O. S. 26.

⁹ Kleinenberg, *Hydra*. Leipzig 1872.

der sogenannten Neuromuskelzellen aufstellte, unterstützt. Wenn Claus¹ jene Zellen für Myoblasten erklärt, so wird der Gedanke diesfalls entschieden bekräftigt. Von welchem Werthe sollten auch beim *Amphioxus* die Neuromuskelzellen sein, sobald unserem Thierchen ein ausgiebiges peripherisches Nervensystem zur Verfügung gestellt ist?

Endlich traf ich Muskelbündel an, die in schräger Richtung zwischen je zwei Stäbchen verlaufen, oder stellenweise den nächstfolgenden Stab übersprangen, um sich an den zweitnächsten zu inseriren (Taf. I, Fig. 5 *gfm*). Da die Muskelbündel knapp unter den dorsalen Bogen beginnen und sich nach abwärts bis zu jener Stelle des Kiemenapparates erstrecken, wo sich das Ligamentum dent. infer. äusserlich am Kiemenschlauche befestigt, so ist die Ausdehnung dieser Muskelbündel eine bedeutende.

Wie aus dem oben Gesagten hervorgeht, ist das Kiemengerüst des *Amphioxus* ziemlich reich mit Muskelementen ausgestattet und es erhalten dadurch die von Johannes Müller² am Kiemenschlauche des Lanchtfisches beobachteten stürmischen Bewegungen ihre morphologische Grundlage.

Die Längs- und Quermuskeln des oberen Bandes, ebenso die Zwischenstäbchenbündel wurden bis jetzt nicht beschrieben. Die letzten der eben genannten Muskellagen sind — so glaube ich — für die Beurtheilung der Verhältnisse der Kiemenspalten nicht ohne Belang.

Rathke³ und Goodsir⁴ hielten den *Amphioxus* für ein Thier ohne Kiemenspalten. Nachdem aber Johannes Müller und dann auch Andere auf experimentellem Wege das Gegentheil erwiesen haben, so dürfte kaum ein Zweifel darüber bestehen, dass die Existenz von Kiemenspalten als eine feststehende Thatsache zu betrachten ist. Der von Stieda unternommene Versuch zur Rückkehr zu Rathke's und Goodsir's Auffassung fand in den Untersuchungen Rolph's eine gründliche Widerlegung.

Wie weit erstrecken sich nun aber die Kiemenspalten? Auf diese Frage antwortet Langerhaus⁵ folgendermassen: „Die Spalten zwischen den Kiemenstäben reichen (somit) oben bis zu dem Rande der Hyperbranchialrinne⁶ oder den Bogen der Stäbe, unten dagegen bis zu der unteren Grenze der seitlichen Facette der Hypobranchialrinne, welche zwischen ihren Zacken frei in die Kiemenhöhle hineinragt.“ Gegen die Beobachtung über die unteren Grenzen der Kiemenspalten ist keine Einwendung zulässig; nicht so rückseitlich der obere Grenze, indem die von mir vorhin erwähnten glatten Zwischenstäbchen-Muskeln unter allen Umständen — einen vollkommenen Verschluss der Kiemenspalten bilden dürften, und zwar im ganzen Bereiche des beiden Ligamenta denticulata umfassenden und zu beiden Seiten des Kiemenschlauches äusserlich gelegenen Raumes. Ich kann mich nicht der Vermuthung verschliessen, dass es dieselben Muskeln waren, welche Stieda⁷ zur Annahme eines vollkommenen Kiemenverschlusses verleiteten; dies nur so mehr, als sie thatsächlich an Kiemen von conservirten Thieren ein membranöses Ansehen vortäuschten.

Befestigung des Kiemenschlauches.

Die untere Fläche des Kiemengerüsts ist frei, ebenso dessen Seitenwandungen; hingegen ist das obere oder dorsale Kiemenband der Chorda angehängt. Zudem besteht eine bilaterale Verknüpfung der Kiemen mit den Leibeswänden. Johannes Müller hat diese Verknüpfung entdeckt; er äussert sich hierüber: „Die Kiemenwände sind nämlich nach aussen von der Chorda durch eine von den Leibeswänden abgehende häufige Leiste befestigt, deren unterer Rand in Spitzen ausläuft, wie das Ligamentum denticulatum des Rückenmarkes. Die

¹ Claus, Studien über Polypen und Quallen der Adria. Denkschr. der kais. Akademie d. Wiss., mathem.-naturw. Cl. Bd. XXXVIII. Wien 1877.

² A. a. O. S. 32.

³ Rathke, Bemerkungen über den Bau des *Amphioxus lanceolatus*. Königsberg 1841. S. 22.

⁴ Goodsir, On the Anatomy of *Amphioxus lanceolatus*. Transactions of the Royal Society of Edinburgh. Vol. XV, pars I.

⁵ A. a. O. S. 312.

⁶ Zu Gunsten dieser Bezeichnung spricht kein morphologischer Grund.

⁷ A. a. O. S. 29.

⁸ A. a. O. S. 31.

Spitzen befestigen sich an jede dritte Kiemenleiste. Zwischen den Spitzen bildet dieses Band freie Arcaden über dem obersten Theil der Kiemenspalten.¹ Langerhans¹ erhärtete die Richtigkeit dieser Angaben und erweiterte dieselben dadurch, dass er statt des einfachen Ligamentum denticulatum ein doppeltes, ein oberes und unteres erblickte. Beide Ligamenta (lig. sup. und inf. dent.) schlossen sich nach der Beobachtung von Langerhans abdominalwärts am sogenannten Porus abdominalis ab. Rolph² bestreitet das zweite Ligament und erklärt die Darstellung von Langerhans für völlig verfehlt. Ich schliesse mich der Langerhans'schen Beobachtung der zwei Ligamenta denticulata an.

Des Weitern muss ich noch zweier Umstände erwähnen. Die Ligamenten sind nämlich an der gegen den Kiemenschlauch zugewandten Fläche mit einem meistens regelmässig polygonalen Plattenepithel allenthalben überzogen. Das Epithel bekommt man besonders deutlich zu Gesicht, wenn man die Ligamenten in frischem Zustande mit Gold und Silber behandelt. Das Auftreten eines solchen Epithels an diesem Ort ist hinlänglich interessant im Hinblick auf die Ausdehnung des Peritonealepithels, dessen Aufbau gleichfalls und grösstentheils durch ähnliche Zellen besorgt wird (Taf. III, Fig. 22). Kowalewskij³ sah das Leibeshöhlen-Epithel auch bei der *Amphioxus*-Larve von derselben Banart. Es dürfte demnach der Annahme eine gewisse Berechtigung nicht abgesprochen werden, dass wir nämlich in jener Epithelbekleidung der Ligamenten die Fortsetzung des Peritoneums zu suchen hätten, was insoferne belangreich sein dürfte, als hiedurch das Peritoneum mit dem Kiemenapparat in einen unmittelbaren Zusammenhang gebracht wäre.

Der zweite Umstand bezieht sich auf die Arcaden, welche dorsal zwischen den Spitzen der Anflängehäutchen des Kiemengerüstes bestehen. Diese Arcaden erheben sich bis an die Seitenflächen der Chorda dorsalis, wo sie gleichsam durch diese eine Stütze in der Weise erhalten, dass die von der äusseren Skeletogenenschicht beiderseits hervorragenden, sehr verkürzten, und stumpfen Nägeln ähnlichen Fortsätze sich in die, durch Berührung je zweier Arcadenränder dargestellten Winkeln hineinbohren.

Blut.

„Eine Anschauung von der Zusammensetzung des Blutes zu erhalten, ist uns nicht geglückt und wir können blos angeben, dass es bei diesem einzigen Wirbelthiere völlig farblos ist. Wir glaubten bei queren Durchschnitten ganzer lebender Thiere eine hinreichende Menge von Flüssigkeit zu erhalten, um die Blutkörperchen wahrzunehmen. Aus solchen Durchschnitten floss aber beinahe gar nichts aus.“

Mit diesen Worten äussert sich Johannes Müller⁴ über das Blut des Laurettsfisches.

Die späteren Untersuchungen ergaben dasselbe Resultat. Einzige Ausnahme bildet Marcusen,⁵ der das Vorkommen kleiner, fein granulirter Körperchen, ohne Kern, in den Capillaren der verschiedenen Körpertheile behauptet und sie als Blutkörperchen bezeichnet. Stieda,⁶ der auch keine Blutkörperchen finden konnte, bemerkte dagegen: „Das was Marcusen Blutkörperchen nennt, sind die Kerne der Wandungen des Canalsystems.“

Reichert⁷ fand das Blut des *Amphioxus* ebenfalls farblos und ohne alle nachweisbare Blutkörperchen.

Langerhans berührt diese Frage gar nicht, während Schneider⁸ blos die Bemerkung macht, dass die Blutgefässe sich nicht in dem Inhalt, sondern in Bau und Lage vom Lymphraum unterscheiden.

¹ A. a. O. S. 313.

² A. a. O. S. 160.

³ Kowalewskij A., Entwicklungsgeschichte des *Amphioxus lanceolatus*. Mémoires de l'Académie impériale des sciences de St. Pétersbourg. VII. Série. Tome XL, Nr. 4. St. Pétersbourg 1867.

⁴ A. a. O. S. 93.

⁵ Marcusen, Sur l'Anatomie et l'Histologie du *Branchiostoma lubricum*. Comptes rendus des séances de l'Académie des Sciences. Tome LVIII, No. 10; Tome LIX, No. 11. Paris 1864.

⁶ A. a. O. S. 60.

⁷ Reichert, Zur Anatomie des *Branchiostoma lubricum*. Reichert's Archiv. 1870. S. 757.

⁸ A. a. O. S. 23.

In Anbetracht dieses allgemein constatirten negativen Befundes, ging auch ich bei der Zergliederung des lebenden *Amphioxus* in Neapel von derselben Voraussetzung des Mangels an Blutkörperchen bei dem Lancettfische aus.

Wohl sah ich oftmals während der mikroskopischen Untersuchung an den durch Zerzupfung erhaltenen Aorta-Präparaten kleine farbige Körperchen, deren stechapfelförmliche Gestalt mich an ähnliche Erscheinungen bei den rothen Blutkörperchen der Säuger lebhaft erinnerte. Allein die spärliche Anzahl, in welcher ich diese Körperchen vorfand, und die eigenartigen Grössenverhältnisse derselben riefen in mir den Verdacht wach, es könnten ja am Ende bloss veränderte, der Gefässwandung zugehörige Kerne sein.

Erst viel später sollte ich an die Worte von Liechtenberg erinnert werden, die da lauten: „Gerade die Dinge, über welche alle Welt einzig zu sein glaubt, bedürfen der gründlichsten Untersuchung“.

Ich hatte nämlich die vom Rückenmark in frischem Zustande zahlreich angefertigten Zupfpräparate auf die histiologischen Elemente geprüft und stiess bei der Gelegenheit in mehreren solcher Präparate auf grössere und kleinere Gefässe, welche mit Blutkörperchen gleichsam vollgestopft waren. (Taf. V, Fig. 51 *gf*.)

Wie sollte ich anders die Körperchen bezeichnen? Der Versuch, ihre Trennung von den Gefässen durchzusetzen, gelang vollständig. Alsdann stellte es sich heraus, dass die rothen Körperchen mit einer mehr ovalen Gestalt, mit homogenem Protoplasma und mitunter kleinem glänzendem Kernelein ausgestattet waren. (Taf. V, Fig. 50 *a*.) Ob dieselben einen Kern besitzen oder nicht, das liess sich nicht erweisen, wenigstens das Hartnack'sche System, Immersion Nr. 15 in Verwendung kam. Die farblosen Blutkörperchen erschienen nur hier und da; sie hatten eine unregelmässige Form, granulirtes Protoplasma, eben solchen Kern mit deutlichem Kernkörperchen. (Taf. V, Fig. 50 *b*.)

Selbstverständlich muss ich mich gegenüber diesen Erscheinungen sehr reservirt verhalten, da es dahin gestellt bleibt, inwiefern die von mir beschriebene Form den natürlichen, durch keine Reagentien beeinflussten Verhältnissen in Grösse und Gestalt der Blutkörperchen entspricht. Die Entscheidung hierfür bleibt der Zukunft vorbehalten.

Wenn ich mir schliesslich den Umstand zu erklären versuche, wesshalb die Blutkörperchen beim *Amphioxus* bislang ungemerkt geblieben, so scheinen mir hiebei zwei Momente massgebend zu sein, 1. dass der *Amphioxus* überhaupt sehr wenige Blutkörperchen besitzt, und 2. dass der grösste Theil der einschlägigen Beobachtungen an conservirten Exemplaren unternommen wurde.

Was jedoch den negativen Befund von Johannes Müller anbetrifft, so muss ich daran erinnern, dass dem berühmten Forscher bei seinen Untersuchungen kaum mehr als 16 Exemplare zur Verfügung standen. Ausserdem waren viele optischen Instrumente keineswegs von besonderer Beschaffenheit.

Peripherisches Nervensystem.

I. Hirnnerven.

Am vordern Rande und stark genähert der Medianebene des Gehirnes, entspringt das erste Gehirnnervenpaar. (Taf. IV, Fig. 34 *I*.) Nachdem die beiden Nervenstämme das Hirn verlassen, verzweigen sich dieselben baumförmig und in allen Richtungen der Substanz der Kopfblasse. Die Verzweigungen setzen sich bis zur Cutis und zum Theil bis in die Epidermoidzellen fort. Etwas weiter nach hinten vom ersten Nervenpaar, entspringt das zweite (Taf. IV, Fig. 34 *II*); es ist in seinen Breitendurchmessern stärker entwickelt als die vorangehenden und nachfolgenden Gehirnnerven, selbst stärker als alle Rückenmarksnerven, ein bereits von Johannes Müller beobachteter Umstand. Dieses Nervenpaar „breitet sich mit drei Ästen“ — wie J. Müller¹ schreibt — „an der Schnauze aus, von welchen der erste gerade über dem vordersten der Chorda fortgeht, die beiden andern schief an der Schnauze vor dem Munde hinaufsteigen“. Indessen läuft der gerade und stärkste Ast des linken

¹ A. a. O. S. 19.

Nerven nicht längs des ganzen vorderen Chorda-Endes, sondern er tritt in einiger Entfernung vom Gehirn auf die rechte Seite der Chorda hinüber, wie dies Nüsslin¹ ganz richtig abgebildet hat, und wendet sich dann ventralwärts, um in der Kopfflosse ähnliche Verhältnisse, wie die Äste seines Vorgängers, einzugehen. Bisweilen erschein mir unter dem Mikroskop eine eigenthümliche Anastomose, welche nach abwärts und ansser dem Bereich des vorderen Chorda-Endes durch zwei Äste des zweiten Nervenpaares gebildet war. In einem solchen Falle gelang mir die Isolirung beider Nervenäste sammt der Anastomose (Taf. II, Fig. 10 a.) Es wird wohl kaum ein Irrthum sein, wenn ich die besagte Anastomose in Zusammenhang mit ähnlichen Vorkommnissen bringe, auf welche vor vielen Jahren schon Joh. Müller und Andere² beim Trigemini und Hypoglossus der höheren Vertebraten hingewiesen haben. Schneider³ hat schon zu wiederholten Malen den Versuch gemacht, derartige, in einzelnen Fällen ventralwärts vorkommende Anastomosen für einen wirklichen Schlundring der Wirbelthiere zu erklären. Wollte man der Auffassung Schneider's folgen, so würde nichts anderes übrig bleiben, als innerhalb der angeführten Anastomose beim *Amphioxus* gleichfalls die Stelle jenes Nervenringes anzunehmen. Es wäre dabei ziemlich gleichgiltig, wie man das zweite Nervenpaar des *Amphioxus* bezeichnet; schliesslich bleibt es ja doch ein Hirnnervenpaar. Allein ähnliche Vergleichen eignen sich nur dazu, um in der Morphologie eine Verwirrung der Begriffe schlimmster Art zu erzeugen. Es ist mir ganz und gar unerfindlich, wie man primäre, also typische Formationen, wie sie in den drei Arten der Schlundringbildung bei Wirbellosen bestehen, mit vereinzelt vorkommenden Nerven-Anastomosen, also mit secundären, wenn nicht tertiären Verhältnissen vergleichen kann. Zweifellos käme bei Übertragung der Auffassung von Schneider auf den *Amphioxus*, der Nervenring beim Lanettfisch von der Schlundgegend in die Kopfflosse zu liegen. Ich stehe hier aber von weiteren Schlussfolgerungen ab.

Auf das zweite folgt ein drittes Nervenpaar, das ich aus bald zu erörternden Gründen gleichfalls zu den Hirnnerven rechne. (Taf. IV, Fig. 34 III.) Dasselbe entspringt gleich hinter dem zweiten Paar, und zwar an der Übergangsstelle des Gehirnes in das Rückenmark. Alle drei Nervenpaare verlassen das Gehirn vollkommen bilateral symmetrisch und es innerviren die zwei ersten Paare die Substanz der Kopfflosse, während das letzte Paar auch Zweige an die Region des Mundes abgibt. In aller möglichen Weise erhalten die Nervenstämme dieser drei Paare ziemlich zahlreiche und mannigfach gestaltete Ganglienzellen, deren nähere Besprechung sogleich geschehen wird. Früher jedoch muss noch eines interessanten Umstandes erwähnt werden, nämlich der Höhenverhältnisse, in welchen die Ursprungsstellen der einzelnen Hirnnerven im Gehirn zu einander stehen. Das Mikroskop zeigt bei seitlicher Betrachtung des Gehirnes in frischem Zustande, dass die zwei ersten Hirnnerven mehr nach abwärts entspringen, somit eingermassen anders wie die nachfolgenden vier Nerven, welche mehr oben am Gehirn verlassen. Verfolgt man das besagte Verhalten der Nerven längs des ganzen centralen Nervensystems, so überzeugt man sich sofort, dass die Hirnnerven (mit einer Modification am ersten Paar) in derselben Ebene entspringen, in deren Fortsetzung am Rückenmark alle jene Spinalnerven zu Tage treten, die nach dem Typus der hinteren Spinal-Wurzeln mit einander correspondiren: demgemäss und im Hinblick auf die Beziehungen der vorderen Spinalwurzeln kann man ohne Gefahr den Satz aufstellen, dass alle Hirnnerven des Lanettfisches nach dem Typus der hinteren Rückenmarkswurzeln entstanden sind.

Soweit ich die einschlägige Literatur übersehe, so wurden die ersten zwei Paare von den Hirnnerven durch die Untersuchungen früherer Autoren abwechselnd, bald beide Paare, bald nur das zweite, beobachtet und in richtiger Weise festgestellt; dagegen blieb das dritte Paar bislang völlig unbekannt. Dies mag wohl einerseits mit der Grund gewesen sein, dass die Deutung der Hirnnerven so verschieden ausfiel, andererseits geschah dies auch nach Massgabe der morphologischen Auffassung des Gehirnes.

¹ Nüsslin, Zur Kritik des *Amphioxus*-Auges. Tübingen 1877. Taf. I, Fig. 1.

² Vergl. Wyman Jeffries, Passage of nerves across midline of body. The American Journal of the medical sciences, Vol. 47. 1864.

³ A. u. O. S. 149.

Wie sollten nun diese Gehirnnerven morphologisch gedeutet werden? Owsjannikow¹ nennt das erste Nervenpaar Trigemini, während Goodsir² das zweite Paar als Quintus bezeichnet. Nach Johannes Müller³ gleicht das letztere Nervenpaar „nicht ganz dem Nervus trigeminus, sondern nur einem Theil desselben, da die Seiten des Mundes und der grössere Theil des Kopfes nicht mehr von ihm, sondern bereits von den fünf folgenden Spinalnerven versehen werden“. Owsjannikow bezeichnet das zweite Paar als Facialis und die Quatrefages⁴ als Vagus. Alle diese Anschauungen können theilweise ganz gut neben einander bestehen, wenn man das dritte Nervenpaar und anderweitige Verhältnisse berücksichtigt. Meiner Ansicht nach enthalten die ersten zwei Paare die sensiblen Elemente des Trigemini, während das letzte Hirnnervenpaar zum Theil Elemente des Facialis führt. Diefür sprechen, glaube ich, mehrere Umstände; erstens, dass alle drei Nervenpaare nach dem Typus der hinteren Spinalwurzeln gebant sind; zweitens die Interpolation von Ganglienzellen in ihren peripherischen Zweigen, in ähnlicher Weise, wie Langerhans⁵ für die Nervenenden der Kopfflosse des kleinen Neunauges nachgewiesen hat. Und wie ich mich durch eigene Beobachtungen überzeugen konnte, gehören jene Verzweigungen beim *Amocoetes* dem Trigemini an; ich vermanthe sogar, dass die bei einer Abtheilung der Selachier in der Ektomoidalregion vorkommenden und gleichfalls den Trigemini-Ästen aufsitzen den rundlichen Gebilde eine weitere Analogie⁶ zu den zwei ersten Formationen darstellen. Aber auch bei den höheren Vertebraten, namentlich bei den Säugern, kommen solche Eigenthümlichkeiten vor, indem die Nerven, welche sich in der Schleimhaut der Zunge verzweigen (N. lingualis und N. glossopharyngeus), im Verlaufe ihrer feineren Zweige einzelne oder kleine Gruppen von Ganglienzellen besitzen. Endlich das Verhalten der Kopfnerven zu den Körperteilen, welche sie mit ihren Zweigen versorgen, zumal diese Theile beim *Amphioxus* den von Trigemini und Facialis mit Nerven versehenen Regionen der anderen Vertebraten annäherungsweise morphologisch analog sein dürften.

Für die Deutung des dritten Hirnnervenpaares als Facialis kommt speciell noch der Umstand in Anschlag, dass der ihn entsendende Theil des centralen Nervensystems, zufolge der Eigenart seines Baues, der Medulla oblongata der übrigen Wirbelthiere verglichen werden kann. In weiterer Verfolgung der Differenzirung, oder eigentlich der Nichtdifferenzirung der sonstigen peripherischen Theile des Kopfes ergibt sich der Schluss auf Elimination folgender Hirnnerven beim *Amphioxus*: 1. aller Augenerven (Opticus, Oculomotorius, Trochlearis und Abducens), indem von Sehorganen nicht einmal eine Spur morphologisch nachweisbar ist; 2. des Nervus acusticus, in Ermangelung eines Gehörorgans. Von den Elementen des neunten, zehnten und elften Gehirnnervenpaares wird weiter unten die Rede sein.

Ich wende mich nun der Besprechung der vorhin erwähnten peripherischen Ganglienzellen zu, von denen ich im vorhinigen bemerken will, dass ihre Anzahl nicht eine unbeträchtliche zu nennen ist und dass ihre Ausbreitung an allen Zweigen der drei Gehirnnervenpaare von gleichmässiger Vertheilung erscheint, wie dies zum grossen Theil ein flüchtiger Blick auf die Figur 1 der Tafel I lehrt.

Diese eigenthümlichen Formationen hat die Quatrefages⁷ zuerst beobachtet und den Vater-Pacini'schen Körperchen verglichen. Erst Rudolf Leuckart und Pagenstecher⁸ haben dieselben für Ganglienzellen erklärt, indem sie sagten: „Bei den oberen Ästen ist an jeder Theilungsstelle eine Ganglienzelle eingeschaltet; hier und da erscheint eine solche Zelle auch als Endpunkt eines der Zweiglein, welche als Endtheilungen seiner Äste bis in die Haut verfolgt werden können.“

¹ Owsjannikow, Über das Centralnervensystem des *Amphioxus lanceolatus*. Bulletin de l'Académie de St. Pétersbourg. Tome VI. St. Pétersbourg 1867.

² A. a. O.

³ A. a. O. S. 19.

⁴ Quatrefages de, Sur l'*Amphioxus*. Annales des sciences naturelles. III. série. Tome IV. Paris 1845.

⁵ Langerhans, Untersuchungen über *Parusyon planeri*. Besonders abgedruckt aus den Berichten über die Verhandlungen der naturforschenden Gesellschaft zu Freiburg i. Br. Bd. VI. Freiburg i. Br. 1873.

⁶ Es könnte möglich sein, dass diese Gebilde eine Art von specifischen Sinnesorganen darstellen.

⁷ A. a. O.

⁸ Leuckart und Pagenstecher, Untersuchungen über niedere Seethiere. *Amphioxus lanceolatus*. Müller's Arch. 1858.

Reichert,¹ der wiederum zur Ansicht von de Quatrefages hinneigt, äussert sich hieüber folgendermassen: „Die in die hyaline Bindesubstanz auslaufenden Nervenfassenden sind am Kopfe und Schwanzende durch kolben- oder auch spindelförmige Anschwellungen ausgezeichnet, von denen mit Sicherheit ausgesagt werden kann, dass ihnen die Kriterien von Nervenkörpern fehlen, und dass sie sich der morphologischen Beschaffenheit nach mit den Krause'schen Endkolben vergleichen lassen.“

Und Langerhans,² der für die Auffassung von Leuckart und Pagenstecher eintritt, sagt: „Nur im Bereiche der ersten zwei Nervenpaare finden wir periphere Ganglienzellen. Diese sind den Stämmchen eingelagert (Fig. 9), oder sie stehen mit einem solchen durch einen feinen Nerven in Verbindung (Fig. 10), bald liegen mehrere Zellen zusammen, meist jede für sich, und immer sind sie mit einer deutlichen kernhaltigen Kapsel umgeben, wie dies bei den peripheren Ganglien der Neunaugen vorkommt. Allen andern Nerven fehlen solche Ganglienzellen vollkommen.“ Endlich vergleicht Marcusen³ diese Gebilde den Kernen, welche an der Theilungsstelle eines Nerven sich befinden.

Meine vielen auf diesen Umstand hin verfertigten Präparate haben Resultate erbracht, welche ich abschliesslich im Sinne der Angaben von Leuckart und Pagenstecher und Langerhans zu deuten vermag.

Behufs einer möglichst genauen Erkenntniss der diesbezüglichen Detailverhältnisse wurden kleinere Lancettfische in lebendem Zustand und in toto in eine 1 $\frac{1}{2}$ % Colnheim'sche Goldlösung auf mehrere Minuten eingelegt, nachher in Wasser ausgewaschen und auf mehrere Tage in eine ziemlich starke Glycerinlösung gebracht, um eine Maceration der Oberhautzellen herbeiführen zu können. Nahm man dann solche Präparate aus jener Flüssigkeit heraus, gab dieselben bloss auf eine Minute in eine sehr schwache Kalilauge und wusch sie dann abermals in reinem Wasser gehörig aus, so konnte man nach vorheriger Löstreinnung des Kopf- und Schwanztheiles vom übrigen Körper, nach Wegpinselung der Epidermiszellen und Einschliessung der Präparate in eine verhältnissmässig schwache, beiläufig 12 % Glycerinlösung, die Verhältnisse der Ganglienzellen nicht nur eingehend studiren, sondern auch deren Isolirung mit den Präpariradeln durchsetzen. Ich hatte auf diese Weise die Gelegenheit, mich von den zahlreichen Eigenthümlichkeiten dieser Ganglienzellen zu unterrichten. Was zunächst ihre Gestalt anbelangt, so variiert dieselbe ansserordentlich. Es gibt Ganglienzellen von kugelförmiger, ovaler, spindelförmiger, ja selbst von einer mehr unregelmässig polygonalen Form. (Taf. II, Fig. 8 *gl*, *gl'*, Fig. 12 *a*, *b*, *c*, *gl*, Fig. 14 *a*, *b*; Taf. IV, Fig. 38 und Fig. 40 *gl*.) Das Protoplasma aller dieser Zellen ist theilweise grobkörnig; der meist centrirte Kern erscheint stärker granulirt und ist in der Mehrzahl der Fälle von rundlicher Gestalt, bisweilen auch spindelförmig (Taf. IV, Fig. 38 *nl*). Die Kerne enthalten grössere und kleinere, grösstentheils glänzende Kernkörperchen, die mitunter noch einen feinen deutlichen Nucleolus beherbergen (Taf. II, Fig. 12 *c*, *nl*). Alle Ganglien werden von einer membranartigen und am häufigsten mit oblongen Kernen versehenen Kapsel umgeben (Taf. II, Fig. 12 *a*, *k*). Die Kerne und Kernkörperchen sind manchmal zweifach vorhanden. Die Figur 14 *b*, Fig. 8 *nc* auf der Tafel II zeigt überdies eine Ganglienzelle mit 4 Kernen.

Auffallend sind die Grössen- und Localisationsverhältnisse dieser Zellen. Ich fand verschiedene Abstufungen zwischen sehr kleinen, bloss bei Anwendung starker Vergrösserungen deutlich wahrnehmbaren und im Verhältniss zu den Körper-Dimensionen des Lancettfisches geradezu als gewaltig gross zu bezeichnenden Gestalten. Die sehr kleinen und auch die etwas grösseren, ihnen am nächsten stehenden Ganglienzellen sah ich, fast ausschliesslich bei Exemplaren von 2–3 $\frac{1}{2}$ in der Länge, wesshalb ich dieselben für in weiterer Entwicklung befindliche Ganglienzellen ansehen möchte (Taf. II, Fig. 8 *gl'*).

Vielmehr Auffallendes als das eben Gesagte bietet uns die Untersuchung der Lagerungsverhältnisse bei den Ganglienzellen dar. Übereinstimmend mit den Beobachtungen von Leuckart und Pagenstecher, treten die Ganglienzellen an den Theilungsstellen der dichotomisch sich verzweigenden Nerven und an den Enden der feinen Ästchen der letzteren auf. Kowalewskij⁴ beobachtete an den Embryonen mit 12 Kiemenpalten,

¹ A. a. O. S. 756.

² A. a. O. S. 299.

³ A. a. O.

⁴ A. a. O. S. 12.

„dass beim *Amphioxus* dort, wo sich der Nerv theilt, ein Kern liege, was schon von Lencart und Pagenstecher bemerkt wurde.“ Offenbar ist dieser Kern eine in der Entwicklung begriffene Ganglienzelle, obseu Kowalewskij die von de Quatrefages angegebenen Organe, welche mit diesen Ganglienzellen identisch sind, leugnet; Beweis dessen, dass dieselben in einem so frühen Stadium der Entwicklung wahrscheinlich noch fehlen. Ich kann zu dem Angeführten und zu den Angaben von Langerhans, wonach die Zellen den Nervenstämmen anliegen und bald einzeln, bald gruppenweise vorkommen, noch einen, wie mir scheint, nicht uninteressanten Umstand hinzufügen. Mehrmals kam ich in die Lage, bei Durchmusterung der Präparate ein eigenthümliches Verhalten einzelner Ganglienzellen anzutreffen, welches darin bestand, dass sowohl einzelne der Ganglienzellen, als auch mehrere hinter einander sich in continuo mit der Nervensubstanz befanden, so dass sie mir als ein mit der Nervenfasern innigst vereinigt Ganzes erschienen, gleichviel ob dieser Umstand die kleinsten oder die grösseren Zellen betraf (Taf. II, Fig. 14 a, g''). Dabei bildete die Nervenscheide eine Continuität mit der Kapsel der Zelle. Dieser letzteren Thatsache erwähnt auch Kowalewskij in seiner ersten Abhandlung über die Entwicklungsgeschichte des *Amphioxus*.

Das Sonderbare an dieser Erscheinung glaube ich in unmittelbarem Zusammenhang mit der Entwicklung der Ganglienzellen und der mit ihnen vereinigten Nerven bringen zu können. Die Wahrscheinlichkeit einer solchen Anschauung wäre nicht ganz in Abrede zu stellen, wenn man schon bekannte hierher gehörige Thatsachen berücksichtigt. Was mir jedoch vor Allem vor Augen schwebt, das sind die Untersuchungen von Korybutt-Daszkiewicz,¹ der im Laboratorium von Professor Waldeyer in Strassburg die Entwicklung der Nerven beim Frosch verfolgte. Derselbe hat nachgewiesen, dass sich die Nervenfasern aus den Waldeyer'schen Plasmazellen entwickeln. Ich entnehme seiner Abhandlung wörtlich die wichtigsten Stellen: „Die Zellen sind zuerst oval, mit einem bei guter Färbung deutlichen länglichen Kerne und grobkörnigem trübem Protoplasma. Nach und nach wachsen diese Zellen, durch die sie unmittelbar begrenzenden Nervenfasern in ihrer seitlichen Ausbreitung beschränkt, in einer zu den Nervenfasern parallelen Richtung, zu mehr oder weniger langen Protoplasmasträngen. Dies Wachstum des Protoplasmas findet entweder gleichzeitig an beiden Polen der Zelle statt, oder es erfolgt die Verlängerung nur einseitig, während um den Kern herum ein Theil des Protoplasmas sich zu einer Anschwellung sammelt, welche alsdann auf dem verlängerten Theile gleichsam wie der Kopf auf dem Nagel auf sitzt. Auch diese Anschwellung theilhaftig sich in der Folge an der weiteren Entwicklung des Protoplasmastranges“ u. s. w. — Ich glaube nicht besonders hervorheben zu müssen, dass es mir auf Grund des Angeführten auch beim *Amphioxus* an dieser Stelle ähnliche Vorgänge anzunehmen erlaubt sein dürfte, zumal ein flüchtiger Blick auf die Figuren 38, 12 a, b, 14 a, b, g, g', g'' auf den Tafeln IV und II ziemlich genügende Anhaltspunkte hierfür bietet. Selbstverständlich supponire ich bei Annahme der citirten Resultate von Korybutt-Daszkiewicz eine Erweiterung derselben dahin, dass ich mir nicht allein die Entstehung der Nervenfasern, sondern auch und zugleich die der peripherischen Ganglienzellen beim *Amphioxus* als aus den Plasmazellen entstanden vorstelle. Andererseits dünkt es mich, dass diese Art der Entstehung nicht für alle besprochenen Ganglienzellen gültig sein könne, da sie sehr wahrscheinlich bloss für die primären Anlagen derselben massgeblich sein mag, während die späteren zahlreichen Zellen aus den erstere durch Theilung der Zellkerne² und des Protoplasmas hervorgehen, wenn sonst mich die Figuren 38, 40 auf der Tafel IV und die Figur 14 b auf der Tafel II nicht täuschen.

Bevor ich die Hirnnerven verlasse, muss der von Paul Langerhans entdeckte Bulbus olfactorius einer kurzen Besprechung gewürdigt werden. Der Bulbus olfactorius, den ich — mit Rücksicht auf seine Gestalt und das homologe Organ bei den übrigen Fischen, — für Lobus olfactorius bezeichnen möchte, befindet sich bekanntlich in der Einzahl und immer auf der linken Seite etwas nach hinten vom vorderen Rande des Gehirnes. Er tritt in Verbindung mit den Fortsätzen der Zellen der einfach vorhandenen und mehr nach der linken

¹ Korybutt-Daszkiewicz, über die Entwicklung der Nerven aus Plasmazellen beim Frosche. Arch. für mikrosk. Anat. Bd. XV. Bonn 1878. S. 4.

² Vergl. Peremeschko, über die Theilung der thierischen Zellen. Arch. f. mikrosk. Anat. Bd. XVI, S. 437—457 und Bd. XVII, S. 168—186. — Bemerkenswerth ist sein Befund einer Nervenkernteilung.

Körperseite hinneigenden Riechgrube. Durch die Entdeckung dieses Organs gelangten wir zu einem schwer wiegenden vergleichend-anatomischen Fortschritt in der morphologischen Auffassung des *Amphioxus*-Gehirns.

Die Existenz des Lobus olfactorius ist durch Balfour¹ und Nüsslin² bestätigt worden. Mir gelang diese Bestätigung auch an glücklich und schräg-longitudinal geführten Längsschnitten durch das Gehirn solcher Exemplare, die mehrere Jahre hindurch im Weingeiste conservirt worden waren (Taf. IV, Fig. 37 lb). Wenn Schneider neuerdings die Homologie dieses Organs mit den gleichnamigen Organen der übrigen Vertebraten bezweifelt, so thut er das aus Gründen, die kaum gegen diese Homologie versahen.

„Selbst dass die sogenannte Riechgrube“ — sagt Schneider³ — „wirklich ein Geruchsorgan sei, kann bei dem jetzigen Stand unserer Kenntnisse nicht streng bewiesen werden. Der sogenannte Bulbus olfactorius des *Amphioxus* unterscheidet sich von den Bulbi olfactorii der andern Wirbelthiere dadurch, dass er unpaar ist. Durch diese Eigenschaft würde er sich mehr der Glandula pinealis nähern. Vielleicht ist es der Rest der von Kowalewskij entdeckten Öffnung des Rückenmarksröhres.“ — Dem gegenüber ist aber zu bemerken, dass die Zahl, in welcher ein Organ vorkommt, doch niemals für oder gegen die Homologie desselben sprechen kann, zumal es sich, wie in diesem Falle, um secundäre Formationen (Olfactorius als Ausstülpung der Hirnblasenwand) handelt. Wenn daher die Entwicklung des Organs und dessen Lagerung, gleichwie seine Verhältnisse zu den correspondirenden Körpertheilen und im Allgemeinen, der Gesamtorganisation des Thieres vollkommen angepasst erscheinen, so kann folgerichtig die Zahl eines Organs ebensowenig von Belang für die morphologische Bedeutung desselben, als für uns ein Grund sein, diese Veränderlichkeit nicht auf die Anpassung des Organes an die ihm physiologisch entsprechenden Körpertheile zurückführen zu dürfen. Gerade der einfache Lobus olfactorius des *Amphioxus* ist ein wichtiger Beleg für diese Anschauungsweise, indem der Olfactorius, der einfachen Riechgrube angepasst, sich blos in der Einzahl entwickelt hat. Die Gründe, warum ich apodictisch von einer Riechgrube spreche, sind an einer andern Stelle angeführt.

Vollends unklar blieb mir der Zusammenhang, in welchen Schneider die Glandula pinealis mit dem Olfactorius gebracht hat; denn die eine Thatsache, dass wir es hier mit einem Theil des centralen Nervensystems zu thun haben, der am vordern Leibesende dorsalwärts mit einer flimmernden Grube des Ectoderms vereinigt ist, weist schon die Vergleichung desselben Organs mit der Glandula pinealis entschieden zurück. Noch weniger dürfte der Olfactorius in irgend eine Beziehung zu der Öffnung am vordern Ende des centralen Nervensystems gebracht werden, da sich dieselbe nach der Beobachtung Kowalewskij's⁴ in späteren Stadien der *Amphioxus*-Entwicklung schliesst. Ich glaube, dass ein Rest von der Öffnung bisweilen besteht (Taf. IV, Fig. 30 z), der seiner Lage und Beschaffenheit nach eher jener Öffnung entspreche.⁵

II. Rückenmarksnerven.

A. Ventrale Spinalwurzeln.

Sind beim *Amphioxus* die motorischen Wurzeln vorhanden? Diese Frage bildet gegenwärtig den Gegenstand einer lebhafte Discussion, und nicht ohne Grund, da wir eben in dem Nachweise der vorderen und hinteren Spinalwurzeln nicht nur den Schwerpunkt für die vergleichende Anatomie des *Amphioxus*-Nervallrohrs, sondern, im weiteren Sinne des Wortes und im Grossen und Ganzen auch den für die morphologische Auffassung des centralen Nervensystems aller Vertebraten zu suchen haben.

Stieda⁶ hat in neuerer Zeit, auf Grund der von ihm durch das Rückenmark ausgeführten Querschnitte, diese Frage im bejahenden Sinne zu erledigen getrachtet. Nach Stieda findet sich der Längsfortsatz im

¹ Balfour, On the spinal nerves of *Amphioxus*. Journal of Anatomy and Physiology. Vol. X. 1876.

² A. a. O.

³ A. a. O. S. 14.

⁴ A. a. O. Vergl. Taf. II, Fig. 25 z und S. 9.

⁵ Aus dem Grunde bin ich auch nicht geneigt, diese Öffnung jener von Götte (Entwicklungsgeschichte der Unke. Leipzig 1875) beobachteten gleichzustellen.

⁶ A. a. O.

vollen Besitze der motorischen Wurzeln. Balfour¹ behauptet das Gegentheil, darum opponirt er der Angabe Stieda's und mit vollem Recht. Denn, wenn man Stieda's Beschreibung dieses Gegenstandes aufmerksam durchliest, ist es schwer, nicht an einen Irrthum und eine Verwechslung eines Theiles der oberen Rückenmarkswurzeln mit den unteren zu denken.

Nun ist in neuester Zeit Schneider² für die Behauptung Stieda's eingetreten, und wiederum ist es Balfour,³ der auch gegen Schneider die Existenz der vorderen Wurzeln beim *Amphioxus* leugnet. Diesmal aber zum Theil mit Unrecht. Hätte Schneider diejenige seiner Abbildungen, durch welche er den peripherischen Hervortritt der unteren Wurzeln aus dem Rückenmarke versinnlichtet, mit Stieda's Abbildungen nur halbwegs verglichen, so würde er sofort zur Einsicht gekommen sein, dass das, was er für vordere Wurzeln hält, mit dem, was Stieda als solche bezeichnete, in gar keinem Zusammenhange stehe. Freilich liegt ein triftiger Grund für diese Täuschung vor; Schneider sah nämlich ebenso wenig wie Stieda den Ursprung der vorderen Wurzeln. Dadurch aber, dass er seine Angaben mit denen von Stieda identifizierte, hat Schneider erst recht berechtigten Zweifel an seiner Darstellung hervorgerufen. Überdies ist seine Beschreibung besagter Wurzeln ziemlich mangelhaft; ja mit Rücksicht auf deren Endigungsweise unrichtig. Das erstere lag aber nicht, wie ich gleich bemerken will, an der Beobachtung als solcher, sondern vielmehr an dem Zustande des untersuchten Materials.

Dies wäre so ziemlich das Wichtigste aus der historischen Reminiscenz.

Jetzt kommen wir zur Beschreibung der unteren Wurzeln, wie sie sich peripherisch gestalten. Dabei dürfte es zweckentsprechend sein, mit den Untersuchungen von Schneider den Anfang zu machen. Ich überlasse daher dem Autor das Wort:⁴

„An einem durch Kochen in Essigsäure isolirten Rückenmark stehen auf der unteren Seitenkante des Rückenmarks kurze kegelförmige Fortsätze, so dass dasselbe sägeartig aussieht. (Taf. XV, Fig. 1.) Die Fortsätze liegen neben und über einander in dem hinteren Drittel jedes Segmentes. An Querschnitten erkennt man, dass diese Fortsätze einzeln durch Öffnungen der Rückenmarksheide hindurch treten. Von dieser Stelle, der Wurzel des motorischen Nerven, sieht man Fasern ausgehen, welche durchsichtiger und viel dicker sind, als die Fasern der sensiblen Nerven. Zuerst bilden sie ein plattes Bündel, dessen Umriss enger ist, als die Austrittsstelle; dann strahlen die Fasern auseinander; ein kleiner Theil geht nach oben, ein grösserer nach unten (Taf. XIV, Fig. 1 und Taf. XV, Fig. 2) und legen sich dabei an die inneren Kanten der Muskelplatten an.

„Auf der Muskelschicht angelangt, biegen die Fasern nach hinten in die Längsrichtung um und verschmelzen mit den freien Kanten der Muskelplatten. Auf Längsschnitten kann man sich davon überzeugen, dass die Fasern, wie sie sich dem Rande der Muskelplatte nähern, die Querspreifung erhalten und nun mit Muskeln verschmelzen“ (Taf. XV, Fig. 3).⁵

Bevor ich zur unbefangenen Prüfung der eben citirten Beobachtungen von Schneider und zur Wiedergabe meiner eigenen Erfahrungen über den vorliegenden Gegenstand übergehe, möge es mir gestattet sein, etliche Worte über die von mir gebrauchte Untersuchungsmethode zu sagen. Die Wichtigkeit der Untersuchungsmethoden bedarf wohl nicht einer näheren Erklärung, namentlich aber dann nicht, wenn in das Bereich der Untersuchungen überaus zarte und schwierig zugängliche Objekte einbezogen werden sollen, wie dies bei den vorderen Wurzeln des *Amphioxus* der Fall ist. Nach mannigfachen Versuchen schlug ich folgenden Weg ein. Lebende *Lancefische* brachte ich in ein mit 20% Lösung salpetriger Säure gefülltes Fläschchen, wo die Thiere 36 bis 48 Stunden und auch darüber, von der Luft möglichst gut abgeschlossen, verblieben.

¹ A. a. O.

² A. a. O. S. 13.

³ Balfour, On the spinal nerves of *Amphioxus*. Quarterly Journal of microscopical Science. 1880, S. 90.

⁴ A. a. O. S. 15.

⁵ Das ist eigentlich die Übertragung der Neuromuskelselle Kleinenberg's auf den *Amphioxus*, beziehungsweise auf die Wirbelthiere.

Nachdem diese Zeit verstrichen war, holte ich die Thiere herans, wnsch sie mehrmals in gewöhnlichem Wasser rein, um nämlich die salpetrige Säure möglichst vollständig zu entfernen, trug sie dann in ein mit Wasser gefülltes Uhrgläschen über, und zerzupfte nun unter der Stativlupe das ganze Thier mit Präparirnadeln. Auf diese Weise gelingt es jedesmal, das ganze Centralorgan des Nervensystems sammt den peripherischen Anstrahlungen desselben ziemlich unversehrt heransznpräpariren. Hat man das Präparat, gleichviel, ob tingirt oder nicht tingirt, in Glycerinlösung eingeschlossen, so kann man sich bei ziemlich starker Vergrößerung sehr leicht sowohl über das Verhalten der vorderen, als auch der hinteren Wurzeln an der Peripherie des Rückenmarkes selbst unterrichten. Ich sage dies mit Absicht, damit sich Jedermann hievon überzeugen könne. Auch will ich noch erwähnen, dass die Anwendung der 20% Salpetersäurelösung bei Nervensystempräparationen von Langerhaus¹ zuerst mit ausgezeichnetem Erfolg eingeführt worden ist. Ich kann Schwalbe nur aus voller Überzeugung heipfechten, wenn derselbe diese Methode für eine allen Anforderungen vollkommen entsprechende erklärt. Dass Langerhaus, trotz seiner weiter unten besprochenen und mit dieser Untersuchungsmethode erzielten schönen Erfolge, die motorischen Wurzeln an der untern Rückenmarksfläche übersah, ist wohl dem Umstande zuzuschreiben, dass er die Isolirung des Nervensystems durch Schütteln des Thieres im Gefässe erlangte. An derartigen Präparaten fand ich höchst selten kaum eine Spur von vorderen Wurzeln. Zudem spielt bei dieser Sache oftmals ein misslicher Umstand eine gefährliche Rolle, indem es Erscheinungen gibt, welche sehr leicht möglich zu Verwechslungen und Täuschungen führen und eine mangelhafte Beschreibung des natürlichen Bildes verursachen.

Wiewen diese Bemerkungen richtig sind, das ergibt sich beim ersten Blick auf die Figur 54 der Tafel VI. Wir sehen da mehrere Colonnen (v W) kurzer Fasern, die in senkrechter Richtung zum Rückenmark, parallel und dicht gedrängt zu einander stehen. Jedes der Fäserchen umsch sich deutlich bemerkbar, so dass man ganz bequem zur Erirung ihrer Zahl schreiten kann. Ich zähle durchschnittlich zwischen 40 Fasern, bisweilen auch darüber, in jeder Colonne. Alle diese Fasern entsprechen ebenso vielen nackten Axencylindern; also sind sie die Zellenfortsätze des Rückenmarkes, wie später nachgewiesen werden wird.

Aus dem bisher Gesagten und aus der genannten Abbildung geht nun hervor, dass die Bezeichnungen Schneider's der motorischen Wurzeln als „kegelförmige Fortsätze“ und sägeartige Ansicht des Rückenmarkes nicht mit den natürlichen Verhältnissen übereinstimmen, weil diese Begriffe viel besser zu den Kunstprodukten passen, welche besonders bei in Essigsäure gekochten Launcetfishen desto eher zu erwarten sind, als hier Schrumpfungen mannigfacher Art etwas Selbstverständliches sind. Man vergleiche nur meine vorhin angeführte Figur; da zeigt sich eine mit dem Buchstaben *x* bezeichnete Stelle, wo auch kegelförmige Fortsätze vorkommen, die aber in der Wirklichkeit mit den vorderen Wurzeln gar nichts zu schaffen haben. Die Veranuthung liegt für mich sehr nahe, dass es diese mangelhafte, wie gesagt, durch den Zustand des benutzten Materials bedingte Ausdrucksweise, in Verbindung mit eben solcher Abbildung war, die Balfour zum Widerspruche gegen Schneider's Angaben herangefordert haben; denn die Ähnlichkeit der Stellen (Fig. 54) mit den Stellen, an denen Schneider die vorderen Wurzeln zeichnet, ist in mancher Beziehung ziemlich gross und Balfour, der dieselben Verhältnisse vielleicht oftmals gesehen haben mag, hatte vollkommen Recht, wenn er in denrügten Erscheinungen, die motorischen Wurzeln nicht anerkennen wollte.

Dessen ungeachtet glaube ich, dass Schneider in der That die untern Spinalwurzeln nach ihrem an der seitlich-ventralen Fläche des Rückenmarkes bestehenden Verhalten richtig erkannt hat. Der hiemit meinerseits begangene Widerspruch ist bloß ein scheinbarer, da ich nur die Art und Weise, wie Schneider beschreibt und abbildet, nicht aber seine Auffassung bekämpfe. Ich ersehe ja aus den Angaben über Lagerung und deren Abbildungen, dass Schneider thatsächlich nur die vorderen Wurzeln im Auge haben konnte. Ganz richtig bezeichnet er auch die Stellen des Rückenmarkes, wo die Wurzeln entspringen.

Dies geschieht ebenso asymmetrisch wie mit den hinteren Wurzeln, so dass sie abwechselnd einmal auf der rechten, das andere Mal auf der linken, dann wieder auf der rechten Seite u. s. f. der seitlich-ventralen

¹ A. a. O. S. 295.

Rückenmarksfläche auftreten, und gleichsam die durch Asymmetrie der oberen Wurzeln entstandenen Lücken am Medullarrohre ausfüllen. Auf diese Weise entspricht ein für sich abgeschlossener Abschnitt der motorischen Wurzeln einem sensiblen Nerven der anderen Rückenmarkshälfte. Es entwickelt sich weiterhin folgendes Verhältniss. Auf alle Myomeren oder Myocommata kommt die gleiche Anzahl von oberen und unteren Wurzeln und zwar derart, dass jeder Muskelabschnitt von den ihm zugewandten Rückenmarkshälften einen sensiblen Nerven und eine Abtheilung von motorischen Wurzeln, jedoch von derselben Rückenmarkshälfte bezieht.

Wie man sieht, geht also die Innervation beim *Lanceettfisch* in fundamentaler Beziehung, ebenso wie bei den übrigen Vertebraten vor sich, bei denen bekanntlich eine Anzahl von dorsalen Faserbündeln mit solchen der ventralen Wurzeln correspondirt. Allerdings besteht in der Art und Weise desselben Vorganges zwischen *Amphioxus* und den höheren Vertebraten ein Unterschied, der darin liegt, dass sich beide Wurzelarten bei diesen Thieren oben und unten so ziemlich gleichmässig decken, während beim *Amphioxus* zuerst oben ein sensibler Nerv und darauf, etwas nach rückwärts und unten, motorische Wurzeln folgen. Doch dürfte dieser Umstand jene Auffassung nicht alteriren, umso mehr als derselbe durch die Asymmetrie der Wurzeln sogar nothwendig erscheint. Kommt doch Ähnliches auch bei anderen Vertebraten zum Vorschein (Petromyzonten, Selachiern).

Demgemäss liegt es auf der Hand, dass ich mich auch gegen die Ansicht von Stieda,¹ wonach ein Ligament, das einem Muskelabschnitt entspricht, eine obere, das folgende eine untere Wurzel aufnimmt, entschieden erklären muss, und ich finde es geradezu unbegreiflich, wie Schneider² „diese Combination als vollständig gerechtfertigt, ja sogar als scharfsinnig“ bezeichnen konnte. Nicht die Frage nach dorsalen und ventralen Wurzeln, wie Schneider gegen Langerhans vorbringt, bestimmte den letztern, der Auffassung von Stieda entgegen zu treten, sondern das bedenkliche Moment bei solehem Verfahren, wo ein Muskelabschnitt eine sensible und ein anderer hingegen eine motorische Wurzel aufnehmen sollte.

Eine weitere Frage ist: wobin wenden sich die motorischen Wurzelfasern, sobald sie das Rückenmark verlassen haben, und wie verhält sich ihre Endigungsweise? Es ist dies ein sehr wesentlicher Punkt in dieser Angelegenheit.

Schneider hat, wie wir vorhin hörten, angegeben, dass die Fortsätze „einzeln durch Öffnungen der Rückenmarksscheide hindurchtreten.“ Diese Angabe klingt mir sehr wahrscheinlich; ich sage wahrscheinlich, weil ich mich hievon durch keine directe Beobachtung überzeugen konnte, was leicht erklärbar ist. Berücksichtigt man die fast unüberwindlichen Schwierigkeiten, welche sich der Verfolgung der innerhalb der skeletogenen, das Rückenmark umgebenden Schicht einzelnweis verlaufender Wurzelfasern in ihren weiteren Schicksalswendungen entgegensetzen, so wird es sehr begreiflich, dass ich blos wahrscheinlichen Verhältnissen das Wort reden kann.

An Querschnitten, wie Schneider berichtet, war es auch mir durchaus unmöglich, den motorischen Wurzeln bis zu der Rückenmarkshülle zu folgen. Allerdings kommen und gehen Fortsätze oben und unten vom Rückenmark zu der besagten skeletogenen Membran und umgekehrt; aber das sind keine Nervenfasern, sondern Bindegewebsfasern. Ich für meinen Theil gelangte zu einem diesbezüglichen Wahrscheinlichkeitschluss blos durch Zerzupfungspräparate, an denen ich oftmals ganze Stücke von Muskelplatten in Contact mit den motorischen Wurzelfortsätzen fand. (Taf. VI, Fig. 54 m.) Allein ich sah niemals, dass diese Fasern mit den Muskelplatten verschmolzen wären, oder gar eine Continuität mit von Schneider als Muskelfortsätze bezeichneten Dingen gebildet hätten. Desgleichen bin ich nicht in der Lage, die Ansicht Schneider's³ zu theilen, welche er in nachfolgenden Worten zusammenfasste: „Daneach scheint mir jetzt die Auffassung am meisten berechtigt, dass diese Fasern (siehe oben) sämtliche Muskeln sind, und dass die motorischen Nerven

¹ A. u. O. S. 46.

² A. u. O. S. 13.

³ A. u. O. S. 16.

nur bis an die Grenze der Rückenmarksscheide reichen. Jede Muskelplatte würde also einen Fortsatz nach dem Rückenmark senden und dort seine Innervation erhalten.⁴

An die Erwägungen der vorangehenden Sätze anschliessend, muss ich offen gestehen, dass mir die Art der Endigung von motorischen Wurzeln gänzlich unbekannt blieb, wie sehr ich mir auch alle erdenkliche Mühe gab, diese gerade beim *Amphioxus* als von besonderem morphologischem Interesse begleitete Frage zu beantworten.

Allenfalls steht das Eine fest, dass sich die ventralen Wurzelfasern des Lencettfisches zu keinem Nervenbündel vereinigen, wodurch sie sich nicht blos von ihren dorsalen Genossen, sondern auch von allen gleichnamigen Nerven übriger Vertebraten wesentlich unterscheiden. Ihre Auflösung in getrennte Primitiv Elemente repräsentirt wahrscheinlich die ursprüngliche Stufe, von der aus ihre gegenwärtigen Zustände bei den höheren Vertebraten entstanden sein mochten.

B. Dorsale Spinalwurzeln.

Stämmliche dorsale Spinalwurzeln verlassen das Rückenmark in der Gestalt von einfachen (vergl. Taf. IV, Fig. 34), in sehr seltenen Fällen von doppelten (vergl. dieselbe Figur d W und Schneider l. c. Taf. XV, Fig. 1 & W) Nervenstämmen. Durch ihr compactes Erscheinen auf der dorso-lateralen Rückenmarksoberfläche präsentiren sich dieselben, wie durch ihre Ausstrahlungen nach allen Leibesgegenden, bis in die äussere Körperhaut, als, den entsprechenden Nerven der übrigen Wirbelthiere ebenbürtige Theile des peripherischen Nervensystems.

Wie mir scheint, bedarf dieser Umstand einer besondern Betonung, und das aus wichtigen Gründen. Da ist die von Balfour vertretene Anschauung, welcher die Voraussetzung zur Grundlage dient, dass die besagten Nerven beim *Amphioxus* beiderlei Rückenmarkswurzeln, sensible und motorische, in sich vereinigen. Demgemäss wären die ventralen oder motorischen Wurzeln der übrigen Vertebraten als erst secundär erworben aufzufassen. Diese Ansicht stützt sich zweifellos auf den von Balfour¹ an Hai-Embryonen nachgewiesenen dorsalen Ursprung sämtlicher spinalartiger Hirnnerven, und es wäre im Sinne Balfour's, diese Ursprungsweise bei den Selachiern blos ein Überbleibsel des bei *Amphioxus* an allen Spinalnerven perennirenden Verhältnisses. Mag sein, dass diese Folgerung eine richtige ist, aber es lässt sich gegen dieselbe ein wesentlicher Einwand erheben, der zumindest mit Rücksicht auf die Verhältnisse des Vagus der Haie gerechtfertigt erscheint. Es gelang mir,² an mikroskopischen Präparaten nachzuweisen, dass die dorsalwärts von der Medulla oblongata entspringenden Nervenbündel des Vagus der Selachier motorische und sensible Wurzeln vereint führen; hieraus ergibt sich, dass zur Beurtheilung der Natur des Nerven noch etwas mehr gehört, als die blosse Berücksichtigung der Lage seines peripherischen Hervortrittes, und dass diesfalls der Vagus im vollen Sinne des Wortes die Bedeutung eines gemischten Nerven besitzt. Ist dies richtig, so kann man sich der Ansicht von Wiedersheim anschliessen, sofern die Untersuchungsergebnisse Balfour's an Hai-Embryonen nicht als primäre oder ursprüngliche Formationen zu gelten haben.

Wiedersheim³ sagt: „Sie stellen meiner Auffassung nach schon eine dritte Entwicklungsphase dar; die erste ist jene des *Amphioxus*, wo nur dorsale Wurzeln figuriren, die zweite diejenige von *Ammocoetes*, wo schon ventrale Wurzeln aufgetreten sind, welche sich mit den dorsalen, in regelmässiger Weise bei ihrem Durchtritt durch die skeletogene Schichte alternierend bis zu Aestius und Facialis fortsetzen. Die dritte Stufe endlich wird durch alle übrigen Wirbelthiere von Selachiern an repräsentirt.“ Indem aber der Nachweis der motorischen Wurzeln beim *Amphioxus* erbracht ist, so darf wohl von aller weiteren Discussion diesfalls Umgang genommen

¹ Balfour, Development of Elasmobranch Fishes. 1878.

² Rohon, Über den Ursprung des Nervus vagus bei Selachiern. Arbeiten aus dem zoolog. Institute zu Wien. Heft I, 1878. S. 9.

³ Wiedersheim, Das Gehirn von *Ammocoetes* und *Petromyzon Planeri* mit besonderer Berücksichtigung der spinalartigen Hirnnerven. Jenaische Zeitschrift für Naturwissenschaft. Bd. XIV, 1880. S. 22.

werden. Zwar bin ich weit entfernt zu glauben, dass sich in diesen eigenthümlichen peripherischen Verhältnissen der motorischen Spinalwurzeln beim *Amphioxus* nicht auch in Zukunft noch mancher Streifpunkt finden liesse, aber darüber kann doch nicht mehr discutirt werden, ob das Lancettfischeichen, in Übereinstimmung mit allen übrigen Vertebraten, sensible und motorische Wurzeln besitze oder nicht!

Wenn wir einen Schritt in unserer Betrachtung weitergehen, so stossen wir auf eine interessante Thatsache, deren nähere Besprechung sich wohl verlohnen dürfte; ich meine die Asymmetrie, welche wir an den dorsalen Spinalnerven bei ihrem Antritte aus dem Rückenmarke wahrnehmen. Allerdings ist dies schon längst bekannt, da Owsjannikow¹ und andere den abwechselnden Abgang vom Rückenmarke derselben Nerven beschrieben haben.

Wie soll man sich aber diese Erscheinung erklären und auf welche Ursachen deren Entstehung zurückführen? Die Erkenntniss des fraglichen Sachverhaltes ist umso schwieriger, als die Asymmetrie der dorsalen Spinalnerven nur noch bei den Petromyzonten und bei den Selachiern vorübergehend vorkommen (Balfour), während sie am Rückenmarke der höheren Wirbelthiere eine vollkommene Symmetrie erreichen.

Nun bin ich meinerseits der Ansicht, dass eine genaue Darlegung der Beziehungen, in welchen die besagten Spinalnerven und die Myomeren zu einander stehen, von morphologischer Bedeutung sein könnte, worauf schon mit zwingender Nothwendigkeit der variirende Formenwechsel in der Asymmetrie der Spinalnerven hinweist, wie dies gleich ersichtlich gemacht werden soll.

Ist man in der günstigsten Lage, eine grössere Anzahl von im frischen Zustande möglichst genau präparirten Rückenmarken im Gauen unter dem Mikroskop zu beobachten, so gewinnt man bald die Überzeugung, dass sich die Verhältnisse der dorsalen Spinalnerven immer in einer und derselben Weise gestalten. Die Verschiebung der einzelnen Nerven gegen einander, je eines Nervenpaares, geschieht nämlich nicht allorts gleichmässig; denn das Verhältniss richtet sich je nach der Rückenmarksgegend, wo die Nerven entspringen. So werden die Nerven der ersten vier Nervenpaare am vorderen Rückenmarksende (Taf. IV, Fig. 3, I, II, III, IV) blos ein wenig gegen einander verschoben und wir können sagen, dass hier die Asymmetrie nicht so bedeutend ist, wie beim nächstfolgenden (V) Nervenpaare. Von da an ist aber die Entfernung der einzelnen Nerven beiderseits von derselben Grösse, und sie hält sich das Gleichgewicht bis zu den zwei letzten Nervenpaaren, welche am hinteren Rückenmarksende entspringen. Hier ändert sich abermals das Verhältniss der Verschiebung (Taf. V, Fig. 45 d IV) in derselben Weise, wie bei den ersten vier Nervenpaaren.

Womit hängen indess diese Veränderungen zusammen? Dies erklärt sich doch keineswegs durch die etwaigc Annahme, wonach die an jedem Rückenmarke regelmässig wiederkehrenden Verschiebungen der dorsalen Nerven ihre Begründung in der Bildungsart des Neuralrohrs haben sollten? Denn in einem solchen Falle müssten wir wenigstens bei der weitaus grössten Mehrzahl von Exemplaren eine gleichartige Gestaltung der Beziehungen zwischen den Nervenstämmen und ihren Ansatzstellen am Rückenmark mit Sicherheit erwarten. Es ist ja gar nicht einzusehen, warum die Entfernungen zwischen den einzelnen Spinalnerven an den beiden Enden geringer, als in den mittleren Theilen des Rückenmarkes sein sollten?

In völlig verändertem Lichte erscheint uns jedoch die Frage, sobald wir auch die Beziehungen der dorsalen Spinalnerven zu den anderweitigen Körpergegenden und die Gesamtorganisation des *Amphioxus* in Betracht ziehen.

Bavor ich jedoch den aufgenommenen Gedanken weiter verfolge, sei es mir gestattet an dieser Stelle einige nicht unwichtige Bemerkungen über die dorsalen Spinalnerven einzuschalten.

Hierher gehört die Stärke dieser Nerven. Dieselben sind insgesamt von derselben Dicke, nicht ein einziger Nervenstamm macht hiervon eine Ausnahme in seinem Anfangsstück. Ich muss diesen Umstand Rice gegenüber hervorheben, dessen Angabe dahin lautet, dass mit Ausnahme der ersten und letzten Nervenpaare fast alle gleich stark seien. Selbstverständlich ist Rice's² Angabe richtig, sofern sie sich auf das zweite

¹ A. a. O.

² Rice, Observations upon the habits, structure and development of *Amphioxus lanceolatus*. The American Naturalist. January — No. 1, February — No. 2. Philadelphia, U. S. A. 1880.

Gehirnnervenpaar bezieht, welches er unter die Spinalnerven zählt und deshalb als das erste Paar bezeichnet, weil er wahrscheinlich das erste Gehirnnervenpaar übersah.

Dahin gehören auch die Höhenverhältnisse derjenigen Stellen, von denen aus die dorsalen Spinalnerven am Rückenmark entspringen. Owsjannikow hat diesbezüglich ganz richtige Beobachtungen angestellt, indem er angibt, dass die Nerven in verschiedener Höhe entspringen, was Owsjannikow vermutlich in der Meinung erhielt, dass wir alle Rückenmarkswurzeln in diesen Nerven zu sehen hätten. Wie wir später sehen werden, war es aber eben derselbe Umstand, der Stieda hinsichtlich der motorischen Wurzeln irreführt hat.

Verfügt man über Präparate, die das Rückenmark in der Seitenlage darstellen, so wird man zu dem folgenden Resultate gelangen: Die Höhen, in denen die dorsalen Spinalnerven das Rückenmark verlassen, sind an gar keine Regeln gebunden. Man sieht, dass die Nerven zum Behufe ihres Austrittes die dorso-laterale Rückenmarksoberfläche bald höher, bald tiefer benutzen; dergleichen trifft die Unregelmässigkeit auch die Reihenfolge der abwechselnden Höhenstellen; denn einmal entspringen zwei oder mehrere Nerven derselben Seite, bisweilen auch mehrere Nervenpaare nacheinander in derselben Höhe, oder aber werden abwechselnd von den einzelnen Nerven verschiedene Höhen eingenommen. Die Fig. 21 auf der Taf. III versinnlicht diese Verhältnisse in einem Falle.

Endlich gehören dahin die Fragen nach dem Anfang, welchen die Ramificationen der Nerven machen, und nach dem Besitz von Spinalganglien? Was die erste Frage anbetrifft, so kann auch hier von regelmässigen Erscheinungen keine Rede sein. Wir sehen in dem einen Falle, dass ein Nerv sogleich nach seinem Austritt an der Rückenmarksoberfläche sich in zwei gleich starke Äste theilt; in einem anderen Falle, dass der Nerv nach einander in zwei schwächere Zweige derselben Seite und in einen viel stärkeren Zweig der andern Seite, und wiederum in einem dritten Falle, dass ein Nerv an derselben Stelle mit drei verschieden starken Abzweigungen seinen Fortlauf nimmt u. s. f. Eine natürliche Darstellung aller dieser Fälle enthält die Fig. 34 bei II, d W und V auf der Taf. IV.

Bzüglich der zweiten Frage müssen vorerst Marcusen¹ und Stieda² gehört werden. Beide behaupten Spinalganglien gesehen zu haben. Ja Marcusen gibt sogar an, er hätte einmal in der Anschwellung eines dorsalen Spinalnerven eine kleine Ganglienzelle gesehen. Dagegen spricht Langerhans³ allen Spinalnerven des *Amphioxus* den Besitz eines Spinalganglions entschieden ab. Schneider⁴ Beobachtungen stehen in der Mitte zwischen den schroff sich gegenüberstehenden Angaben; Schneider schliesst sich sofern der Angabe von Langerhans an, als er im Verlaufe der dorsalen Spinalnerven keine ganglionartigen Anschwellungen finden konnte; Schneider¹ sagt: „Eine Anschwellung zu einem Spinalganglion fehlt, aber in den Nervenwurzeln liegt eine grössere Zahl sehr kleiner Kerne, welche vielleicht den Kernen der Ganglienzellen entsprechen.“ Ich habe bei den zahlreich angefertigten und sorgsam durchgesehenen Präparaten nur im einzigen Falle anschwellungsähnliche Verdickung eines dorsalen Spinalnerven (Taf. IV, Fig. 34 y') bemerkt; allein ich konnte mich mittelst der Zerpupfung jener Stelle selbst mit Zuhilfenahme der stärksten Vergrösserungen Hartnack's, von der Existenz gangliöser Elemente niemals überzeugen. Demnach muss ich den von Langerhans beobachteten Mangel an Spinalganglien beim *Amphioxus* vollinhaltlich bestätigen und die irrthümlichen Angaben für eine Folge der unzulänglichen histologischen Untersuchung des Neurilemma und der anderen Bindeelemente der dorsalen Spinalnerven erklären. Aus der Untersuchung der dem lebenden *Amphioxus* entnommenen Spinalnerven ergibt sich ferner eine äussere Hülle der Schwann'schen Scheide, welche von feinen Bindegewebsfasern und Bindegewebskörperchen zusammengesetzt ist (Taf. IV, Fig. 42 k). Ganz dieselben Kerne, wie im Neurilemma befinden sich auch zwischen den einzelnen überaus zarten Nerven-Primitivfibrillen im Innern des Nervenstammes; von zelligen Elementen, die eine Ähnlichkeit mit Ganglien hätten, ist bei keinem der Spinalnerven etwas zu sehen.

¹ A. a. O.

² A. a. O. S. 47.

³ A. a. O. S. 295.

⁴ A. a. O. S. 15.

Kehren wir nunmehr zur weiteren Besprechung des asymmetrischen Verhaltens bei den Spinalnerven zurück. Es ist von Wichtigkeit, vorerst darauf hinzuweisen, welchen Verlauf die Spinalnerven ausserhalb der Rückenmarkssphäre nehmen.

„Jeder Spinalnerv am ganzen Körper“ — sagt Johannes Müller¹ — „theilt sich bei dem Hervortreten in einen oberen dünnern und unteren stärkeren, welcher schief nach vorn und sofort nach unten herabsteigt, bis zur Bauchseite sich verzweigend. Die Zahl der Nerven stimmt genau mit der Zahl der Abtheilungen in den Seitenmuskeln, zwischen welchen sie vorkommen. Der erste stärkere Kopfnerv hinter dem Auge kommt am oberen Bande des ersten Segments der Seitenmuskeln hervor, der nächste zwischen dem ersten und zweiten Segmente u. s. w.“ Es ergibt sich somit, dass die Spinalnerven nicht blos in ihrer Anzahl mit den Myomeren übereinstimmen, sondern dass auch ihre Verlaufsrichtungen durch die Lagerungs- und Dimensions-Verhältnisse einzelner Myomeren, beziehungsweise der zwischen ihnen auftretenden und einzelne Nerven aufnehmenden Ligamenta intermuscularia beeinflusst werden. In dem Masse als sich die Breiten-dimensionen der Myomeren erweitern oder verengern, nehmen auch die Entfernungen zwischen den einzelnen Nerven zu oder ab. Nur auf diese Weise erklärt sich auch die geringere Verschiebung an beiden Rückenmarksenden und eben eine solche Entfernung der Nervenpaare von einander gegenüber denen des übrigen Rückenmarkabschnittes. An beiden Leibesenden, nämlich dort, wo die Kopf- und Schwanzflosse zu den Myomeren stossen, werden die letzteren immer schmaler. Die Verengung der Myomeren geht stufenweise vor sich, so dass dieselben schliesslich bis auf eine minimale, in vielen Fällen mit freiem Auge kaum sichtbare Stärke herabsinken. Damit hängt selbstverständlich auch das Nähertrücken der Myomeren von einander trennenden Ligamenten zusammen, und weil diese letzteren die einzelnen Nerven aufnehmen, so müssen sich natürlicherweise auch die Nerven denselben Abständen unterordnen.

Allerdings deutet diese Beobachtung blos auf einen innigen Zusammenhang des Nerven mit den Myomeren, respective ihrer Ligamente hin, beweist aber noch gar nicht die Entstehungsursachen der Nervenverschiebungen und ihres asymmetrischen Abganges vom Neuralrohr. Wenn man aber die Topographie der Seitenmuskeln beider Körperhälften einer genaueren Untersuchung unterzieht, so findet man, dass ein Myomer der einen Seite keineswegs zu dem entsprechenden Myomer der gegenüber liegenden Seite des Leibes vollkommen bilateral symmetrisch gelagert erscheint; namentlich gilt dies von den Seitenmuskeln kleinerer *Lanceolatus*-Arten. Vielleicht bedingt diese theilweise Asymmetrie auch die Ungleichheit der Anzahl, in der die Myomeren auf beiden Leibeshälften auftreten. So zählte ich bisweilen an Exemplaren von 5·2 und 4·7^m Körperlänge auf der einen Seite 60, auf der anderen 62, dann 62 und 63 Myomeren. Diese, wenngleich minimale Asymmetrie kann uns nicht im Mindesten überraschen, wenn wir uns daran erinnern, dass bereits vor vielen Jahren Rud. Leuckart² und Pagenstecher eine auffallende und durchgehends bei einigen Körpertheilen der *Amphioxus*-Larve betreffende Asymmetrie mit Nachdruck hervorgehoben haben. Desswegen kann auch die Bedeutung der Asymmetrie, die wir soeben bei erwachsenen Exemplaren beobachteten, in keinem anderen Sinne aufgefasst werden, als dass wir hierin einen Rest der vormaligen Asymmetrie annehmen.

In Anbetracht dieser Verhältnisse erscheint mir die Behauptung nicht so sehr aller Berechtigung bar: Es sei die Asymmetrie der dorsalen Spinalnerven vermöge ihres innigen Zusammenhanges mit den Myomeren und zufolge der Asymmetrie der letzteren entstanden. Allerdings wird durch diesen Satz eine weitere Schlussfolgerung auf die Entstehungsart jener Nerven nicht ausgeschlossen. Denn die Annahme der von ihren Ursprüngen unabhängigen Entwicklung der Nerven liegt sehr nahe. Es ist weder unmöglich, noch selbst unwahrscheinlich, dass die dorsalen Spinalnerven sich gleichzeitig mit den Myomeren entwickelten und erst nachträglich mit den Ursprungswurzeln in Verbindung traten. Waren aber die Muskel-segmente während des Larvenlebens von einer Asymmetrie betroffen, so mussten offenbar auch die mit ihnen gleichzeitig sich entwickelnden Nerven denselben Verhältnissen sich fügen.

¹ A. a. O. S. 19.

² A. a. O. S. 560.

Gleichviel, ob diese Voraussetzung richtig oder irrtümlich, so ist es immerhin gewiss, dass diese Verhältnisse schon wegen ihrer Bedeutung für die vergleichende Anatomie Beachtung verdienen.

Obwohl ich unbedingt zugestehle, dass der wissenschaftliche Streit über diese und ähnliche Dinge nicht leicht zur Entscheidung kommen kann, so möchte ich doch zur Unterstützung des aufgestellten Satzes die Art und Weise in Anspruch nehmen, wie die motorischen Wurzeln beim *Amphioxus* vom Rückenmark entspringen. Können die motorischen Wurzeln als wahrscheinliche Anpassungen an die Organisationsverhältnisse, ohne alle Nervenbildung, in Gestalt von nackten Axencylinderfortsätzen, die in ihrer nächsten Nähe befindlichen Myomeren innerviren, warum wäre es dann den dorsalen Spinalnerven nicht möglich gewesen, sich gleichfalls, als Anpassung an die von ihnen zu versorgenden, nahe und fern gelegenen Leibestheile, auf dem Wege eines secundären Processes mit den ihnen entsprechenden Ursprungswurzeln zu verbinden?

Überhaupt betrachte ich die Bildungsweise der motorischen Wurzeln beim *Amphioxus* als den ursprünglichen und die peripherischen Nerven aller Vertebraten, einschliesslich der dorsalen Spinalnerven des *Amphioxus*, als secundären Vorgang.

An die vorangehenden Erörterungen schliessen sich indess unmittelbar noch weitere morphologische Fragen an. Denn wenn auch die Richtigkeit der Auffassung kaum in Abrede gestellt werden dürfte, dass die dorsalen Spinalnerven des *Amphioxus* den gleichnamigen, d. h. den sensiblen Spinalnerven aller anderen Wirbelthiere morphologisch gleichkommen, so entsteht hinwieder doch auch die Frage, ob jene Nerven beim *Amphioxus* ausschliesslich sensible Fasern und nicht ausserdem solche von anderer physiologischer Wirksamkeit mit sich führen, ferner, ob in den Nervenzweigen, welche in näheren Beziehungen zu den verschiedenen Organen stehen, nicht genügende Anhaltspunkte für eine breitere morphologische Beurtheilung der einzelnen Nerven gegeben seien. Das Letztere nimmt wohl besonders auf die sogleich hinter den Hirnnerven folgenden Nervenpaare Bezug.

Indem ich den späterhin zu beschreibenden Ursprungsverhältnissen vorgreife, will ich kurz erwähnen, dass die dorsalen Spinalnerven des *Amphioxus* zugleich auch die sympathischen Fasern mit sich führen. Dieser Umstand an sich allein spricht für den völligen Mangel eines gesonderten Sympathicus beim *Amphioxus*; nur in vergleichend-anatomischer Hinsicht aber liegt in diesem Umstande soferne noch ein werthvolles Interesse, als dadurch der *Amphioxus* in ein unmittelbares Verhältniss zu einigen Wirbellosen (Arthropoden) tritt, und andererseits eine Vereinfachung des peripherischen Nervensystems der Vertebraten beweiset. Ähnliche Zustände dürften auch bei den zum *Amphioxus* unter den Wirbelthieren nächstverwandten Cyclostomen obwalten, bei denen der Sympathicus bis jetzt nicht erwiesen werden konnte.

Unter solchen Umständen und gehöriger Berücksichtigung der Nervenramificationen und deren Beziehungen zu einzelnen Körperteilen dürfte der Versuch, in einzelnen Verzweigungen jener den Gehirnnerven nachfolgenden Spinalnerven den Elementen einiger Kopfnerven nachzuforschen, nicht ansichtslos erscheinen.

Freilich bringen es die zahlreichen Schwierigkeiten mit sich, dass hier in der That bloss von einem Versuch gesprochen werden darf; das hindert uns jedoch nicht, den folgenden Ausführungen einen wissenschaftlichen Zweck beizumessen.

Bekanntermassen besteht in der Morphologie seit vielen Jahren ein Bestreben, die Kopf- oder Gehirnnerven auf den spinalartigen Typus zurückzuführen. Dies in vergleichend-anatomischer Hinsicht wichtige Bestreben erhielt erst in neuerer Zeit eine breitere morphologische Grundlage, und zwar durch Carl Gegenbaur's Untersuchungen,¹ deren eingehendere Verwerthung in einem der nachfolgenden Abschnitte dieser Abhandlung, ihren gebührenden Platz einnimmt. Vorläufig mag nur so viel gesagt werden, dass Gegenbaur zum Ausgangspunkte und für die Basis seiner diesbezüglichen Forschungen, das Verhältniss der Vagus-Äste zu den Kiemenbögen bei den Selaehiern wählte und hierauf einen morphologisch bedeutsamen Satz begründete. Der Satz

¹ Gegenbaur, Über die Kopfnerven von *Meranichus* und ihr Verhältniss zur Wirbeltheorie des Schädels. Jenaische Zeitschr. f. Medicin u. Naturw. Bd. VI. Leipzig 1871.

Gegenbaur's¹ lautet: „Wir sehen (also) den Vagus nicht als einen einzigen Spinalnerven, sondern als eine Summe von solchen homodynam an.“

Im Anschluss an diese Idee Gegenbaur's will ich zunächst versuchen, die Elemente für den Vagus beim *Amphioxus* innerhalb dessen dorsalen Spinalnerven zu eruiiren. Dabei bin ich mir der Gefahren bewusst, denen ich entgegen gehe. Allein diese Gefahren scheinen mir in dem Moment nicht mehr so gross zu sein, wo ich von den Innervationsverhältnissen meinen Ausgangspunkt nehme und in der Gesamtorganisation des Lanceett-fisches meinen Stützpunkt finde.

In einem der vorangehenden Abschnitte dieser Abhandlung wurde die Ansicht ausgesprochen, dass die drei Hirnnervenpaare, die Analogien des Trigemini und des Facialis der Vertebraten darstellen, und auf Grund der fehlenden Sensorien wurde des Weitern auf die Elimination des Acusticus und sämtlicher Augennerven geschlossen. Diese Auffassung dürfte sich uns kaum als eine unverständliche darthun, sobald wir den Ausfall der Schädelbildung beim *Amphioxus* berücksichtigen. Nun bilden die Orbital- und Labyrinthregionen mit ihren entsprechenden Umgebungen weitaus den grössten Theil des Vertebratenanims. Fassen wir die Sachlage aus diesem Gesichtspunkte auf, so muss die Ansicht von Carl Gegenbaur,² dass nämlich der Opticus und Olfactorius aus einem niederen Zustande in den Wirbelthiertypus übergegangen sind, gleich schwer in die Wagschale fallen. Der Gedanke ist ja nicht ganz und gar unmöglich, dass der richtige Anhaltspunkt für die nicht erfolgte Evolution des Craniums beim *Amphioxus*, mindestens theilweise, nirgends anders zu suchen wäre, als eben in dem Ausfalle der für das Leben eines Wirbelthieres — wie ich glaube — wichtigsten Sinnesenergien, als einer Anpassung an die Lebensweise, welche ja beim *Amphioxus* blos in Jugendzuständen als eine völlig freie zu bezeichnen ist.

Nachdem ich den Ausfall der Nerven: Opticus, Oculomotorius, Trochlearis, Abducens und Acusticus voraussetze, so bleiben noch ausser Trigemini und Facialis, die ich schon besprochen habe, noch Glossopharyngeus, Vago-accessorius und Hypoglossus von den Gehirnnerven übrig. Im Aufsuchen der Elemente der letztgenannten Nerven bei den Spinalnerven besteht meine fernere Aufgabe. Ich muss aber mit Nachdruck die Bemerkung voraussenden, dass ich mir die Elemente jener Nerven als im aufgelösten Zustande und in den einzelnen dorsalen Spinalnervenpaaren enthalten vorstelle.

Nach den Beobachtungen von Johannes Müller werden die Seiten des Mundes und der grössere Theil des Kopfes von den ersten fünf Spinalnervenpaaren versorgt. Die gleiche Angabe erfolgte auch aus den Untersuchungen von Langerhans. Ich muss aber die Bemerkung einfließen lassen, dass Johannes Müller einen einzigen Hirnnerven annahm, während Langerhans in Übereinstimmung mit mehreren der früheren Beobachter (Owsjannikow, Stieda und Anderen), deren zwei erkannte; wie wir früher sahen, gibt es deren drei.

„Die Nerven sind“ — sagt Johannes Müller³ — „uniform angelegt, nach dem Typus der spinalartigen Nerven.“ Offenbar beeinflusste diese Erscheinung auch Rathke's Ansicht. Rathke,⁴ der keinen Trigemini, Facialis und Vagus fand, machte die Bemerkung, dass sich sämtliche Nerven des *Amphioxus* wie Rückenmarksnerven der übrigen Wirbelthiere verhalten.

Ich habe durch meine Präparate folgenden Aufschluss über diesen Gegenstand gewonnen. Die Präparate erhielt ich folgendermassen: Kleinere Exemplare wurden im lebenden Zustande nach der Goldmethode behandelt, die Epidermisschicht in der früher angeführten Weise entfernt, sodann die Thiere der Länge nach halbirt, im Wasser ausgewaschen und in Dahlia-Violett oder in Beal's Carminlösung gefärbt. Die derart bereiteten und in Glycerinlösung mikroskopisch untersuchten Präparate zeigten sich vorzüglich geeignet zu einer klaren Übersicht der Nervenverzweigungen, vorausgesetzt, dass keine störenden Eingriffe, zumal starke

¹ Ibid. S. 529.

² Ibid. S. 551.

³ A. a. O. S. 19.

⁴ A. a. O. S. 13.

Quetschungen, an ihnen entstanden waren. Man kann sich an solchen Präparaten ohne besondere Anstrengung davon überzeugen, wie ein Theil der Nervenäste bis in die Cutis, ein anderer zu den verschiedenen Körperteilen hineinleitet. So geben einmal die ersten zwei Hirnnervenpaare ihre Zweige an die Haut und an die Substanz der Kopfflosse ab, wogegen das dritte Paar, ausser der Kopfflosse, mit einem Bruchtheil seiner Ästen auch die Cirren des Mundes versorgt. Die darauffolgenden fünf Spinalnervenpaare versorgen den Mund, die Haut von der Umgebung des Mundes und auch das Velum, d. h. dasjenige Organ, welches gleich einem Ring die Mundhöhle vom Kiemen-Darmsechlauch abgrenzt. Huxley¹ hat dies Organ so benannt und Langerhans² entdeckte darin becherförmige Zellen. Langerhans deutet dieselben Zellen als Geschmacksorgane. Ich finde seine Angabe bestätigt und schliesse mich seiner Deutung ansmehr an, als ich Zweige der ersten fünf Spinalnervenpaare bis in das Velum, deren Endverzweigungen bis in die Nähe der Langerhans'schen Schmeckbecher verfolgen konnte. Ich glaube hieraus schliessen zu können, dass diese Nerven Zweige die Elemente für den Glossopharyngeus darstellen, und dass die mit ihnen aller Wahrscheinlichkeit nach verbundenen Zellen Geschmacksorgane beim *Amphioxus* repräsentiren. Im Übrigen wird davon später noch gesprochen werden. Füglich dürften, namentlich in Folge der näheren Berührung mit der Mundgegend, und zwar in den einzelnen Zweigen der vorgenannten fünf Spinalnerven, die Elemente des Hypoglossus gleichfalls enthalten sein.

Und die Elemente für den Vagus?

Jedenfalls muss man sie in den, die Kiemen mit Ästen versorgenden Nerven suchen.

Lenckart und Pagenstecher³ gelangten diesfalls zu folgenden interessanten Resultaten; ich führe ihre eigenen Worte an: „Weiterhin erhält jede Kieme, rechts oder links, ihren Nervenzweig, dessen anfänglicher Verlauf zwischen den Muskelabtheilungen versteckt schräg nach vorne zieht, nu dann in eine senkrechte absteigende Richtung übergehen. In gleicher Weise geht zum Munde ein stärkeres und zu den einzelnen Kiemen jederseits ein schwächeres Faserbündel vom Rücken hernieder, um sich ausgebreitet anzusetzen“.

Es entsteht nun hier die wichtige Frage, wie viele und welche von den Spinalnerven sich an der Versorgung der Kiemen mit Nervenästen wohl beteiligen? Ich zählte in mehreren Fällen, wo ich die Verzweigungen deutlich sah, das 6. bis 18. Nervenpaar. Von diesen Nerven verliefen Äste, welche sich von einem Nervenzweig, noch bevor dieser in seiner weiteren Ramification in das Ligamentum intermusculare eindrang, losgelöst und sich, in schräger Richtung absteigend, zwischen den einzelnen Kiemenspalten büschelförmig zerstreut haben.

Wenn wir also diese Darstellung der Sachlage als die richtige bezeichnen dürfen, so erscheinen die Elemente des Glossopharyngeus, Vago-accessorius und des Hypoglossus, in aufgelöstem Zustande bei den ersten 18 Spinalnervenpaaren des *Amphioxus*. Freilich muss ich das Wort „theilweise“ hinzufügen, da hier nur die sensiblen Fasern gemeint sein können, und solche Fasern auch bei den gleichnamigen, seit längerer Zeit als gemischt aufgeführten Nerven der höheren Wirbelthiere vorkommen. Im Übrigen dürfte dieser Umstand, als die Folge einer höheren Organisation, bei dieser Gelegenheit minder hemmend eingreifen, indem der *Amphioxus* in seiner Organisation unter allen Vertebraten die ausgesprochensten Modificationen aufweist.

Bevor ich die Besprechung des vorliegenden Gegenstandes verlasse, soll noch einige Mittheilungen über die gegenseitigen Beziehungen der dorsalen Spinalnerven, ihr Zusammenhang mit den Seitenmuskeln und ihre Endigungsverhältnisse in gedrängter Kürze aufgezeichnet werden.

In Betreff der Beziehungen der Nerven untereinander muss ich die Thatsache auführen, dass man mit Hilfe der oben geschilderten Präparate sich ganz bestimmt von verschieden gearteten Verbindungen derselben überzeugen kann. Einmal äussern sich diese Verbindungen in Anastomosen, durch welche die Nervenstämme zweier benachbarter und auf derselben Körperseite verlaufender Nervenpaare vereinigt sind. Die Fig. 13 auf der Taf. II stellt zwei stärkere Äste zweier Nerven, wie sie an der Stelle *an* anastomosiren, dar. Einer optischen

¹ Huxley, Preliminary note upon the brain and skull of *Amphioxus*. Proceedings of the roy. Soc. of London. Vol. XXIII.

² Langerhans, a. a. O. S. 311.

³ a. a. O. S. 563.

Täuschung wurde hier durch Isolirung der Anastomose vorgebengt. Ob auch gegenüber liegende Nerven anastomisiren, das habe ich nicht beobachtet. Zweitens anastomisiren die schwächeren Zweige durch sehr feine und bis zuweilen sehr kurze Fasern (Taf. II, Fig. 11), um gleichsam vereinzelte Geflechte herzustellen. Endlich entstehen, im engeren Sinne des Wortes, Nervenetze, wie man solche an den Fig. 16 ugl der Taf. III und 6 der Taf. II dieser Abhandlung abgebildet sieht. Die erste Abbildung stammt von einem Cirrenpräparat, die zweite von einem Zupfpräparat aus der Cutis der Mundgegend. Aber ich muss hinzufügen, dass ich ähnliche Nervenengeflechte mehrmals auch in der Cutis der ventralen Körperfläche gefunden habe.

Diese Ergebnisse meiner Untersuchung machen es begreiflich, dass ich den Angaben von Langerhans widersprechen muss. Nach Langerhans¹ verästeln sich alle Nerven einfach baumförmig und gehen nirgends unter einander Verbindungen ein. „Nervengeflechte fehlen am ganzen Körper vollkommen, nur an den Lippen kommt ein Nervenplexus zu Stande, an dessen Bildung sich 3—7 Nervenpaare betheiligen. Selbst dieser Plexus ist ein Geflecht gröberer Nerven.“ Wenn ich auch der Ansicht von Langerhans, dass der von Mareusen² beschriebene feine Terminalplexus nirgends vorkommt, vollkommen beipflichte, so muss ich doch andererseits auf die von mir beobachteten Nervenengeflechte aus dem Grunde einen grossen Werth legen, weil ich darin für meine weiter unten enthaltene und im Hinblick auf die Lebensweise des *Amphioxus* unternommene Besprechung des Nervensystems eine Unterstützung zu finden erhoffe.

Ferner wurde der Beziehungen der Spinalnerven zu den Muskeln Erwähnung gethan. Auch hierin muss ich an die Beobachtungen von Langerhans anknüpfen; denn er war es, der diesbezüglich die ersten positiven Angaben erbracht hat. Die Muskelnerven verhalten sich — nach Langerhans³ — beziehentlich ihres feineren Baues anders, denn die Hautnerven. Jene treten als dicke Stämme an die Seite eines kleinen Haufens von Muskelplatten und lösen sich da in Büschel auf. Das Ende von diesen Büscheln sah Langerhans nicht. Diesen Befund konnte Schneider⁴ bei seiner Untersuchung des *Amphioxus* nicht erkennen. Allerdings, weil ihm kein frisches Material zu Gebote stand, und weil überdies der Befund zu seiner Auffassung von den Innervationen der Muskeln im Widerspruche stand. Freilich ist der Widerspruch nur ein scheinbarer, indem die besagte Nervenverbreitung innerhalb der Muskeln keineswegs die Muskelnerven, im Sinne des Bell'schen Gesetzes, darstellen.

Ich kam oftmals in die Lage, an frischen Goldpräparaten, mittelst der Zerpupfung von Myomeren, bei diesen die eitrige Angabe von Langerhans zu bestätigen, ohne dass ich dabei auf dem Gebiete der Endigungsweise der Nervenbüschel weiter als dieser Forscher vorgedrungen wäre. Indessen besteht ein Gegensatz zwischen seiner und meiner Auffassung: Langerhans bezeichnet diese Nerven allgemein als Muskelnerven, ich dagegen spreche sie nicht als centrifugaleitende, sondern als centripetaleitende Bahnen an. Demnach wären die Nerven in der Wirklichkeit solche, die das Muskelgefühl dem Centralorgan übermitteln, ein Umstand, der beim *Amphioxus* den Beweis für die ohnehin seit längerer Zeit behaupteten sensiblen Muskelnerven bei den höheren Wirbelthieren erbracht hätte.

Ans dem früher und oben Angeführten erklärt sich sehr leicht dieser Satz: die Spinalnerven des *Amphioxus* führen folgende Primitivfibrillen: 1) sympathische Fasern, 2) sensible Fasern für die Seitenmuskulatur und 3) Fasern für die äussere Haut des Leibes.

Mit der terminalen Ausbreitung und den Endigungen der Hautnerven wollen wir uns zum Schlusse dieses Abschnittes kurz beschäftigen und beginnen mit den im Vordergrunde stehenden Beobachtungen von Langerhans. Seine Mittheilungen sind kurz, bündig und — wie ich sofort hinzufügen will — wahrheitsgetreu. „Die gröberen Stämme liegen“ — sagt Langerhans⁵ — „im lockeren Gewebe der Unterhaut, die feineren im Corium. Ein Nervenfadon durchsetzt die Grenzlamelle, in einem feinen Canälchen, das in der Krenzung der

¹ A. n. O. S. 298.

² A. a. O.

³ A. a. O. S. 299.

⁴ A. a. O.

⁵ A. a. O. S. 304.

beiden hellen Spalten gelegen ist, und verbindet sich dann nach kurzem, subepithelialeml Verlaufe mit einer haartragenden Zelle.¹ Langerhans hat diese Endigung der Hautnerven mittelst der Salpetersäure-Maceration, — welche ich fortan die Langerhans'sche Methode nennen werde — und des nachträglichen Schüttelns im Glasgefäß erzielt. Nüsslin² konnte sich von der Thatsache nicht überzeugen, aber ich kann sie vollinhaltlich bestätigen, mit der Bemerkung, dass man bei zerzupften Präparaten leichter und sicherer, denn bei durch Schütteln erhaltenen, die Endigungen verfolgen kann.

Die Bedeutung dieses Befundes in morphologischer Beziehung liegt auf der Hand, zumal bei Berücksichtigung des unsicheren Standes der Nervenendigungen im Allgemeinen. Zwar haben schon vor Jahren Hensen,³ Kowalewskij⁴ und Owsjannikow⁵ ähnliche Erfahrungen gemacht. So beschrieb Hensen Nervenendigungen in den Epithelzellen bei Froschlärven; Kowalewskij und Owsjannikow beim *Amphioxus*. Wer indessen die Schwierigkeiten abwägt, denen man bei optischen Beobachtungen, zumal so durchaus feiner Gebilde, wie die Endfilien der Nerven zu sein pflegen, begegnet, der wird sich der Ansicht gewiss nicht verschliessen können, dass der Erfolg von Langerhans als vollgiltig erbrachter Beweis in dieser Angelegenheit angesehen werden muss.

Ungeachtet dessen muss man sich fragen, ob alle Hautnerven des *Amphioxus* lediglich in der angeführten Weise endigen. Langerhans hat diese Frage verneinend beantwortet, indem er der Meinung ist, dass es nicht einmal so viele Epidermiszellen (Sinneszellen), als Nervenendzweigen gibt. Da ich mich dieser einfachen Behauptung unbedingt anschliesse, will ich noch von einer andern Seite auf diese Frage etwas näher eingehen. Dabei nehme ich Bezug auf die Fig. 44 der Taf. V. Wir sehen daselbst zunächst feine Nervenfasern (*n*), die kolbenartig an die gekrenzte Spalte (*s'*) herantreten, es sind dieselben Fasern, welche mit noch feinerer Fortsetzung die Spalte in ihrer, in der Mitte befindlichen Lücke passiren, um sich mit einer Fühlzelle (Langerhans) der Epidermis zu vereinigen. Die Abbildung zeigt zugleich, dass die Spalten ziemlich regellos in der Cutis vertheilt liegen. In den meisten Fällen liegen je zwei aneinander und mehr entfernt von zwei oder drei anderen Spalten.

Desgleichen bemerkt man, dass ansser den, zwischen und neben den Spalten in einer Längsrichtung verlaufenden Fasern noch andere, büschelartig verzweigte erscheinen. Betrachtet man derlei Stellen bei besonders starker Vergrösserung (Hartnack, Syst., Immers. 15 \times), wie eine solche, die Fig. 7 der Taf. II veranschaulicht, so wird man förmlich in Stannen versetzt, wenn man die, ich möchte sagen, fast zahllosen Nervenfädchen erblickt. Was eben bei der Abbildung auffällt, sind die büschelartigen Endigungen der feinsten Nervenfäden. Die Art der Gruppierung der Büschel, gleichwie ihre Verlaufsrichtung, wird mich in den Augen jedes Kenners ähnlicher *Amphioxus*-Präparate vor dem Verdachte bewahren, als hätte ich Bindegewebsfasern mit Nervenfasern verwechselt. Oft sass ich stundenlang beim Mikroskop und studirte die schönen Bilder. Was sollen — dachte ich bei mir — diese zahllosen Nervenfasern bedeuten? Was und welcher ist ihr Zweck? Dass eine stand sehr bald fest bei mir, dass sie gegenüber der vorhin erörterten Endigungsart der Hautnerven absolut eine zweite darthun müssten. Ich schwankte in der Annahme, ob dieselben nicht die centripetalleitenden Fasern für die Muskelzellen der Haut⁶ wären? Die Büscheln sind ja der von Langerhans⁷ abgebildeten Nervenendigung in den Muskelplatten sehr ähnlich. Allein, ich konnte gar keinen Zusammenhang zwischen beiden auffinden, und auch ihre Verlaufsrichtung schien dagegen zu sprechen.

Vielleicht haben wir es hier mit einem Zustande zu thun, der die sensiblen Nerven in terminaler Bildungsweise vordemonstrirt. Der Gedanke wurde allerdings schon von Max Schultze in folgender Weise

¹ A. a. O.

² Hensen, Über die Nerven im Schwanz der Froschlärven. Arch. f. mikrosk. Anat. Bd. IV. 1868. S. 111.

³ A. a. O. Vergl. Fig. 41 B.

⁴ A. a. O.

⁵ Vergl. Rohon, Über *Amphioxus lanceolatus*. Anzeiger der kais. Akad. d. Wiss. in Wien. Jahrg. 1881, Nr. 6. S. 48.

⁶ A. a. O. Taf. I, Fig. 1 a.

ausgesprochen: ¹ „Der Analogie nach zu schliessen, ist das centrale Ende zu suchen entweder in der Zellsubstanz der Nerveuzellen, oder in deren Kern, oder im Kernkörperchen. Für alle drei Arten des centralen Endes von Nervenfasern sind Beobachtungen geltend gemacht. Eine irgend befriedigende Sicherheit ist jedoch auf diesem Gebiete noch nicht erreicht worden, und wäre es meiner Beobachtungen zufolge denkbar, dass ein wirkliches Ende von Fibrillen im Gehirn und Rückenmark gar nicht existire, das heisst, dass alle Fibrillen an der Peripherie entspringen, die Ganglienzellen also nur durchsetzen.“ Die peripherische Entstehung der sensiblen Nervenfasern beim *Amphioxus*, von welchen hier ausschliesslich die Rede ist, indem, wie bereits früher erwähnt und später gezeigt wird, die vorderen oder motorischen Rückenmarkswurzeln absolut nur im Rückenmark ihren Ursprung nehmen, würde sich darin kundthun, dass ein grosser Theil der Hautnerven des Lanzettfisches jene ursprünglichen Verhältnisse bewahrt, welche wir überhaupt für das ganze im Ektoderm der niederen Wirbellosen (Coelenteraten) flächenhaft ausgebreitete Nervensystem (C. Clans², O. und R. Hertwig³) antreffen. Die Nervegeflechte in der Haut des *Amphioxus*, zu denen auch die mit zahlreichen interpolirten Ganglienzellen versehenen, und mannigfach durch Anastomosen verbundenen Nervenverzweigungen in der Haut und in der Substanz der Kopfflosse zu rechnen wären, dürften die ursprüngliche Gestaltung des Nervensystems im Allgemeinen bekunden, während die büschelartige Endigung der Hautnerven beim *Amphioxus*, die Übergangsform zu der von Waldeyer⁴ vorgeschlagenen einfachen (epithelialen) und corpuseulären Endigungsweise der sensiblen Nerven bilden.

Sinnesorgane.

Indem ich zu den Sensoren übergehe, betrete ich eines der schwierigsten Gebiete der vergleichenden Anatomie des *Amphioxus*. Die Erkenntniss dieser Organe ist beim Lanzettfisch um so schwieriger, als hier unvergleichlich verschiedene Verhältnisse sowohl bezüglich der Vertebraten, als auch der Wirbellosen obwalten. Im Allgemeinen kommen die Schwierigkeiten auch von der besonders rücksichtlich der Wirbellosen, verhältnissmässig geringen Untersuchung, welche die experimentelle Wissenschaft bisher den Bestrebungen aller im Dienste der Morphologie stehenden Disciplinen zu Theil werden liess. Und doch scheinen eben die Sensoren das Gebiet zu zeigen, auf dem eine vereinte Thätigkeit der vergleichenden Physiologie mit der Morphologie viel des Erspriesslichen zu leisten vermag.

Sagte doch Johannes Müller⁵ vor vielen Jahren: „Die Lebensbestimmung ordnet bei einem Thiere immer auch die relative Ausbildung seiner Sinnesorgane.“

Auch war es derselbe unvergessliche Forscher, der das Gesetz der specifischen Energien gründete, welches darin besteht, dass ein und derselbe Reiz ganz verschiedene Empfindungen je nach der Natur des von ihm betroffenen Nerven hervorruft. So bringen alle Erregungen des Opticus nur Gesichtsempfindungen, die Erregungen des Olfactorius nur Geruchsempfindungen u. s. w. hervor.

Solange wir also an dieser Auffassung festhalten, können wir nicht irregeführt werden durch Abstractionen, die in einseitiger Verwerthung morphologischer Verhältnisse angestellt wurden. Dies letztere beghehen wir aber jedesmal, wenn wir aus unbestimmten Erscheinungen Sinnesthätigkeiten ableiten wollen, die entweder schon an sich ganz undeutlich sind, oder aber durch andere, uns gänzlich noch unbekannte Umstände erklärbar sein

¹ Schultz M., Allgemeines über die Structurelemente des Nervensystems. Stricker's Handbuch der Lehre von den Geweben des Menschen und der Thiere. Leipzig 1868. S. 134.

² A. a. O.

³ Hertwig O. und R., Das Nervensystem der Medusen. Leipzig 1878.

⁴ Waldeyer, Über die Endigungsweise der sensiblen Nerven. (Nach Untersuchungen von Isquierdo mitgetheilt.) Arch. f. mikrosk. Anat. Bd. XVII, S. 367—382.

⁵ Müller Joh., Über den eigenthümlichen Bau des Gehörorganes bei den Cyclostomen, mit Bemerkungen über die ungleiche Ausbildung der Sinnesorgane bei den Myxinoidea. Fortsetzung der vergleichenden Anatomie der Myxinoidea. Berlin 1838. S. 22.

können. Gewiss geben wir Oscar und Richard Hertwig¹ gegenüber die Möglichkeit zu, dass die Sinneszellen des Ektoderms bei den Actinien „direct für Licht erregbar“ sein können. Allein, so lange nicht auf experimentellem Wege erwiesen werden kann, dass diese Erregungen sich nicht auf die durch Wärme oder mechanische Eindrücke hervorgebrachten Wirkungen reduciren lassen, so lange können diese und ähnliche Erregungen nicht im Sinne des Johannes Müller'schen Gesetzes gedeutet werden. Wissen wir denn überhaupt, wie viele Abstufungen im Qualitätenkreise des am meisten im Thierreiche verbreiteten Gefühls- oder Tastsinnes enthalten sind? Könnten wir nicht mit eben solchem Recht in vielen Fällen behaupten, dass die Bewegungen der Amöben und vieler Zellen daher rühren, weil ihr Protoplasma vom Lichte erregt wird? Und gerade hier lehren uns die Erfahrungen experimenteller Art, dass es die Wärme ist, welche die lebhaften Bewegungen und Gestaltsveränderungen, z. B. der farblosen Blutzellen der höheren Wirbelthiere, hervorbringt.

Wir stehen vor einer Alternative: entweder bei positiven Erfahrungen verbleiben, oder den Faden der letzteren auf dunklen Gebiete zu verlieren.

Darum hemerke ich nach diesen allgemeinen Andeutungen, dass es nicht in meiner Absicht liegt, alle anatomischen Umstände, welche scheinbar als Belege dienen möchten, als specifische Sensorien in Betracht zu ziehen, sondern bloss diejenigen positiven Erscheinungen, welche durch vergleichend-anatomische Thatsachen und in Übereinstimmung mit der Lebensweise des *Amphioxus* hervorgebracht werden.

Beim *Amphioxus* kommen zunächst in Betracht: Olfactorius, Opticus, Glossopharyngeus und die Hautnerven, da von einem Gehörgange niemals die Rede sein konnte.

Geruchsorgan.

Seit geraumer Zeit ist ein von Köl liker² entdecktes, kleines und flimmerndes Grübchen bekannt. Das Grübchen ist bloss eine schwache Vertiefung des Ektoderms, welche mit dem grössten Theil auf der linken Seite und am vordern Körperende dorsalwärts liegt. Fast von Allen, die ihre Untersuchungen am lebenden Material anstellten, wurde das Grübchen gesehen und man hat es allgemein im Sinne Köl liker's als Geruchsorgan gedeutet. Dies mit um so mehr Berechtigung, als vor einigen Jahren der früher schon besprochene Lobus olfactorius von Langerhaus entdeckt worden ist. Der Lobus steht durch zarte Fädchen mit dem Grübchen im Zusammenhange. Ich muss allerdings hinzufügen, dass ich nicht im Stande war, durch meine Präparate immer zu entscheiden, ob jenen Fädchen die Kriterien von feinen Nervenfasern oder von Fortsätzen der Flimmerzellen des Grübchens zukommen. In der Mehrzahl der Fälle erschien die Combination beider.

Unter allen möglichen Vorwänden wird neuerdings von mancher Seite der Richtigkeit dieser Deutung widersprochen. In einem der vorangehenden Abschnitte ward hierauf Bezug genommen, und wurden daselbst auch die Gründe zu Gunsten der Deutung des Lobus olfactorius gegen die Einwände Schneider's erwogen. Es ist aber nothwendig, auch diese Wimpergrube einer vergleichend-anatomischen Analyse zu unterziehen, um sich darüber Klarheit zu verschaffen, ob man sie in der Wirklichkeit für ein Geruchsorgan halten darf.

Drei Umstände sind dabei von entscheidender Bedeutung: 1. Die Entwicklungsverhältnisse desselben Organes beim *Amphioxus*; 2. die morphologischen Beziehungen zu dem gleichnamigen Organ einiger Wirbellosen, und 3. die Verhältnisse des Geruchsorganes bei den Cyklostomen, als den in der Descendenz dem *Amphioxus* nächst verwandten Wirbelthieren.

Die entwicklungsgeschichtlichen Ergebnisse, welche uns die Untersuchungen Kowalewskij's an die Hand geben, sind freilich nicht hinlänglich beweiskräftig. Demnach, glaube ich, darf hier lediglich vermnuthungsweise vorgegangen werden. Fasse ich z. B. die Figur 24 der Kowalewskij'schen Abhandlung³ näher ins Auge, so fällt mir ein vor der Mundöffnung (o) gelegenes, aus Flimmerzellen zusammengesetztes und

¹ Hertwig O. und R., Die Actinien, anatomisch und histologisch mit besonderer Berücksichtigung des Nervensystems untersucht. Jenaische Zeitschr. f. Naturw. Bd. XIV. Jena 1890. S. 56.

² Köl liker, Über das Geruchsorgan des *Amphioxus*, Müller's Arch. Bd. XLIII. Berlin 1843.

³ A. u. O.

rundliches Gebilde (*a*) an, über welches Kowalewskij's Bericht folgendermassen lautet: ¹ „Nicht weit von dem vorderen Ende der Chorda findet man eine deutliche, flache Scheibe (*a'*), welche zu einem Sinnesorgan wird.“ Leider erfahren wir weiter gar nichts über die ferneren Schicksale dieses Gebildes. Vergleicht man ausserdem mit dieser Abbildung die Figuren 27 und 30 derselben Abhandlung, so findet man vor der Mundöffnung und unterhalb der Chorda, genau in derselben Lage, wie die Scheibe, ein dieser ähnliches Gebilde; nur führt es jetzt andere Bezeichnungen, und zwar auf der Figur 27 den Buchstaben *m*. Weder der Text, noch die Tafelerklärung bringen einen Aufschluss hierüber. In derselben Weise, wie Kowalewskij bildete kürzlich Rice ² ein ähnliches Organ ab, und er nannte es „Ciliated pit“, ohne weitere Aufschlüsse darüber zu geben.

Es scheint mir die Annahme nicht unberechtigt zu sein, dass dieselbe Scheibe mit der Wimpergrube beim erwachsenen *Amphioxus* identisch sei, trotzdem die Lage beider Gebilde verschieden ist, nämlich bei Ausgebildeten eine dorsale, bei Jugendformen hingegen eine laterale und ziemlich abdominalwärts. Gemeinschaftlich haben sie indessen das, dass beide auf der linken Körperhälfte auftreten und Wimpergruben sind. Indessen lässt sich auch der Wechsel in der Lage dieser Organe aus der schon einmal in Anschlag gebrachten allgemeinen Asymmetrie bei der *Amphioxus*-Larve erklären, welche Asymmetrie nach den Beobachtungen von Leuckart und Pagenstecher ³ in derselben Masse schwindet, als sich die Metamorphose ihrem bleibenden Zustande nähert.

Man kann sich demnach ganz gut vorstellen, dass jene Scheibe der *Amphioxus*-Larve immerwährend der fortlaufenden Metamorphose gefolgt ist, bis sie endlich in die Lage gelangte, wo wir sie an ausgewachsenen Exemplaren antreffen.

Einen viel lechteren Stand gewinnen wir, sobald das zweite morphologische Moment in Frage kommt. Denn wir brauchen blos die Thatsache zu constatiren, dass der Geruchssinn in seiner einfachsten Form als flimmernde, mit Nerven in Verbindung stehende Grube bei Medusen und Mollusken auftritt. Von dieser Seite aus betrachtet, präsentiert sich die flimmernde Grube beim *Amphioxus* als ein in der einfachsten Form erscheinendes Geruchsorgan.

Wie steht es endlich mit dem Geruchsorgan bei den Cyklostomen?

Johannes Müller ⁴ schreibt in seinem denkwürdigen Werke über die vergleichende Anatomie der Myxinoideen: „Unter den gemeinsamen, die Familie der Cyklostomen auszeichnenden anatomischen Charakteren, welche sich auf die Sinnesorgane beziehen, ist keine eigenthümlicher, als die unpaarige Bildung des Geruchsorgans, die Röhrenbildung seiner Leitungsapparate und die bald unvollkommene, bald vollständige Durchbohrung der Nase bis in die Mundhöhle.“

Für die Einfachheit des Geruchsorganes bei den Cyklostomen ist auch in ihrer Entwicklungsgeschichte vorgesorgt, indem die in neuester Zeit im Laboratorium des Prof. Gegenbaur zu Heidelberg durch W. B. Scott ausgeführten Untersuchungen dasselbe Verhältniss erwiesen haben. Scott sagt: ⁵ „das Geruchsorgan ist natürlich für *Petromyzon* von besonderem Interesse. Calberla's ⁶ Angabe der paarigen Entstehung dieses Organes kann ich nicht bestätigen. Im Gegentheil finde ich dasselbe vom Anfang an einheitlich. Die erste Stufe ist eine seichte Einbuchtung des Ektoderms am vorderen Ende des Kopfes gerade oberhalb der Mundbucht; dann werden die diese Grube nach oben begrenzenden Ektodermzellen verdickt und bilden eine das vorderste Ende des Kopfes einnehmende, durchaus einheitliche Epithelschicht. Spät im Larvenleben entwickelt das Epithel die bekannten Falten, welche eine bestimmte paarige Anordnung zeigen.“

¹ Ibid. S. 7.

² A. a. O. Vergl. Fig. 7 der Taf. II.

³ A. a. O.

⁴ A. a. O. S. 20.

⁵ Scott, Vorläufige Mittheilung über Entwicklungsgeschichte der Petromyzonten. Separatabdr. aus dem „zoologischen Anzeiger“, Nr. 63 u. 64, S. 6. Leipzig 1889.

⁶ Calberla, Zur Entwicklung des Medullarrohres und der Chorda dorsalis der Teleostier und der Petromyzonten. Gegenbaur's Morphol. Jahrb. Bd. III, S. 245.

Es ist demnach auf den ersten Blick klar, dass wir, die vorangehenden Verhältnisse zusammenfassend, in der am vordern Ende des *Amphioxus*-Körpers befindlichen Wimpergrube nichts Anderes als ein wirkliches Geruchsorgan betrachten müssen. Jede andere negative Ansicht entspricht keineswegs dem gegenwärtigen Stand der diesbezüglichen morphologischen Erfahrungen. Selbst die vollkommene Abschliessung dieses Organs von der Mundhöhle dürfte beim *Amphioxus* die ursprüngliche Wirbelhierform darstellen.

Freilich können wir nicht umhin, auf die durch derartigen Thatbestand bedingte Ausnahmsstellung des *Amphioxus* unter den Vertebraten hinzuweisen, bei welchem ein, wie es scheint, im Thierreiche minder verbreitetes Organ seine Existenz behauptet, während das mehr verbreitete Gesichtsorgan fehlt.

Gesichtsorgan.

Zu Beginn der Discussion des viel umworbenen Gesichtsorganes verdient ein allgemein gehaltenes morphologisches Resumé über das Auge oder den Gesichtssinn im Thierreiche überhaupt eine besondere Berücksichtigung. Um nicht sehr umständlich und schwerfällig zu erscheinen, will ich den betreffenden Absatz dem Lehrbuche von Carl Claus entlehnen. Prof. Claus¹ schreibt: „Die Gesichtsorgane² oder Augen sind neben den Tastwerkzeugen am allgemeinsten und zwar in allen möglichen Abstufungen der Vollkommenheit verbreitet. Im einfachsten Falle befähigen sie nur zu einer Unterscheidung von hell und dunkel, beziehungsweise von verschiedenen Graden der Lichtstärke und bestehen aus Nerven, deren Ende für Einwirkung von Äthersehwingungen empfindlich sind. Gewöhnlich sind in solchen Fällen dem Nervenende Pigmente aufgelagert, die dann im Zusammenhang mit der empfindungsfähigen Nervensubstanz als Augenflecken bezeichnet werden. Indessen ist es sehr wahrscheinlich, dass bei derartigen niederen Sinnesorganen nur insofern eine Empfänglichkeit für Ätherwellen besteht, als dieselben, wie auch bei Hautnerven in Form eines veränderten Wärmegefühls zur Perception kommen. Denn man vermag nicht einzusehen, dass Pigment zu der Empfindung nothwendig ist. Diese setzt vielmehr eine besondere Beschaffenheit der Nervenendigungen voraus, durch welche die Äthersehwingungen auf die Nervenfasern übertragen, zu einem Reize werden, welchem nach dem Centralorgan fortgeleitet, als Licht percipirt wird. Überall, wo bei niederen Thieren spezifische Nervenendigungen nicht nachgewiesen werden können, handelt es sich demgemäss wahrscheinlich erst um eine Vorstufe von Augen, welche nach für Wärmeabstufungen empfindliche Hautnerven hergestellt wird.“

Worin besteht nun der Gesichtssinn beim *Amphioxus*?

Die beste Antwort darauf sollten uns die Beobachtungen geben, welche wir in der Literatur über diesen Gegenstand aufgezeichnet finden, aber statt einer erhalten wir da sehr verschiedene einander widersprechende Antworten.

Obwohl die Abhandlung von Carl Hesse³ die einschlägige Literatur vollständig zusammengestellt und beleuchtet enthält, und ich auf dieselbe einfach verweisen könnte, so bin ich, in Anbetracht meines hierbei eingenommenen negativen Standpunktes, doch genöthigt, die früheren Untersuchungsergebnisse einzeln zu besprechen, wie dies sonst der Ernst des Gegenstandes selbst erfordert.

Ein einziger Blick, welchen wir auf die so verschiedenen Untersuchungsergebnisse in Betreff des Auges werfen, führt in uns den Gedanken an die Aufstellung von drei Kategorien wach, um darin die auseinander gehenden Ergebnisse zu sammeln und zu ordnen. Dabei stellt es sich heraus, dass der Verschiedenheit in den Ansichten, auch verschiedene, von den Forschern bei ihren Untersuchungen eingenommene Gesichtspunkte entsprechen. Ging man nämlich von rein anatomischen Merkmalen aus, so konnte selbstverständlich nur ein rein anatomisches Urtheil zu Stande kommen; hatte man hingegen nach der beobachteten Lebensweise des Thieres

¹ Claus, Allgemeiner Theil der Grundsätze der Zoologie. Vierte Auflage, Marburg 1880. S. 57.

² Vergl. Leuckart, Organologie des Auges, Handbuch der Ophthalmologie, Leipzig 1851.

³ Hesse, Zur Anatomie des *Amphioxus lanceolatus*, Gegenbaur's Morphol. Jahrbuch, Bd. I. Leipzig 1876.

geurtheilt, so musste ein von dem vorigen verschiedenes Urtheil resultiren. Obwohl beide Urtheilsrichtungen übereinstimmend zur Annahme von lichtempfindenden Organen beim *Amphioxus* führten, so bekämpften sie sich doch bezüglich des Sitzes der Lichtempfindung. Nach der einen Ansicht wären einer oder mehrere Pigmentflecke, welche das Auge darstellen, nach der andern stünde nicht dieser Augenfleck in einer Beziehung zur Lichtempfindung, sondern gewisse Partien der epithelialen Bekleidung am vordern Körperabschnitte. Diese zwei entgegengesetzten Meinungen stellen die zwei ersten Kategorien dar, während die dritte Kategorie die negative Ansicht begreift, dass der *Amphioxus* überhaupt keine Sinnesorgane (Rathke,¹ Goodsir)² oder auch kein differenzirtes Auge (Owsjannikow,³ Stieda)⁴ besitze.

Gehen wir nun der Entstehung der in den zwei ersten Kategorien enthaltenen Ansichten nach, welche wir mit gelegentlicher Berücksichtigung der dritten Kategorie eingehends besprechen wollen.

Erste Kategorie:

Den von Retzius⁵ zuerst beobachteten Pigmentfleck schildert Johannes Müller⁶ in folgender Weise: „Am vorderen stumpfen Ende des centralen Nervensystems sitzt äusserlich jederseits ein schwacher Pigmentfleck, welcher offenbar das Auge ist in dem elementaren Zustande, wie es bei den Würmern bekannt, ohne alle optischen Apparate.“

Kurze Zeit darauf beschrieb de Quatrefages⁷ zwei überaus complicirte Augen. Seiner Beschreibung mag die sich unmittelbar an das Pigment anschliessende Stelle entnommen werden: „Vor diesem Pigment sieht man einen gerundeten durchsichtigen, das Licht stärker als die umgebenden Gewebe brechenden Körper. Dieser Körper ist an die Dura angeheftet oder besser gesagt, in die Dura eingesenkt. Eine Art abgeplatteter Kapsel mit ausserordentlich zarten Wänden hüllt das Pigment und den halbkugeligen Körper ein. Sie ist mit einer schwach orangefarbenen Substanz gefüllt, die mir flüssig zu sein schien. Das Pigment selber hat die Farbe eines dunklen Weines. Der Körper ist die Linse.“⁸

R. Leuckart und Pagenstecher schreiben:⁹ „In dem sanft gerundeten vordern, von der Körperspitze bekanntlich entfernten Ende des Rückenmarkes (s. Fig. 2) liegt eine kleine Höhle, eine Art Ventrikel, in welche der Rückenmarkscanal einmündet, und genau vor diesem das unpaare Auge, ein schwarzer, unregelmässiger Pigmentfleck dicht unter der Hautdecke der linken Seite.“

Desgleichen beobachtete M. Schultze¹⁰ einen schwarzen Pigmentfleck.

Marcusen¹¹ sah Individuen mit einem, und solche mit zwei Augen.

Kowalewskij¹² hat in den Fig 35, 36 und 37 und zwar am vordern Ende des Centralnervensystems einen kleinen rundlichen Pigmentfleck abgebildet.

Owsjannikow¹³ und Stieda¹⁴ betrachten den Pigmentfleck als eine Pigmentanhäufung, wie sie im Rückenmarke vorkommt und mit dem Gesichtssinn gar keinen Zusammenhang hat. Stieda¹⁴ verlangt „vom Standpunkte des Anatomen doch etwas mehr, um die Existenz eines „Auges“ gesichert zu sehen, als einen „Pigmentfleck“, wenn gleich derselbe auch vorn dem Gehirn aufliegt.“

¹ A. a. O.

² A. a. O.

³ A. a. O.

⁴ A. a. O. S. 51.

⁵ Monatsberichte, S. 198. Berlin 1839.

⁶ A. a. O. S. 19.

⁷ A. a. O.

⁸ Vergl. C. Hassel, A. a. O. S. 285.

⁹ A. a. O. S. 561.

¹⁰ Schultze M., Beobachtungen junger Exemplare von *Amphioxus*, Zeitschr. f. wiss. Zool. Bd. III. Leipzig 1851.

¹¹ A. a. O.

¹² A. a. O.

¹³ A. a. O.

¹⁴ A. a. O. S. 52.

W. Müller¹ aber sagt: „Das vordere abgerundete, frontal stehende Ende des Centralnervensystems besteht durchwegs aus geschichtetem, cylindrischem Epithel, dessen Zellen nach aussen an Grösse etwas abnehmen und wie gewöhnlich vorwiegend Spindelform zeigen. Diese Epithelien enthalten in ihrem Protoplasma feine, braune Pigmentkörper, die der Axe des Centralnervensystems entsprechend gelagerten, in dickerer Schicht, als die peripherisch liegenden. Die Körnchen sind in dem der Axe entsprechenden Bezirk zum Theil zu grösseren Klümpchen verschmolzen. Sie verhalten sich gegen Säuren und Alkalien indifferent und geben in concentrirten, wässrigen Lösungen der letzteren keinen blauen Farbstoff ab, wie die Pigmentkörner im Rückenmark. Von vorne gesehen, bietet die pigmentirte Partie des Vorderendes eine annähernd kreisrunde Scheibe, deren Dimension bei verschiedenen Individuen nicht unbedeutend verschieden ist, von der Seite gesehen, bilden die pigmentirten Partien einen planconvexen Meniscus mit nach vorne gerichteter Convexität.“

„Das Auge anlangend, kann ich mich — schreibt ferner Langerhaus² — nur vollkommen der Ansicht von W. Müller anschliessen. Während sich bei den Vertebraten das Pigment in Anstülpungen der (embryonalen) vorderen Hirnwand abgelagert und diese sich zu den Netzhäuten entwickeln, kommen beim *Amphioxus* solche Anstülpungen nicht zu Stande und das Pigment lagert sich in der Vorderwand des Hirnes ab, um hier ein einfaches Auge zu bilden. *Amphioxus* schliesst sich darin also näher an die Ascidien an und die Kluft, die ihn von den höheren Vertebraten trennt, ist, wenn auch gross genug, so doch keine so tiefe, wie Hasse will.“

Nun weichen Carl Hasse's Untersuchungen über das Auge in eigenthümlicher Weise von allen den vorgeführten Angaben ab. Interessant ist bei den Untersuchungen dieses Forschers der Umstand, wonach sich für den *Amphioxus* das Auge „als modificirtes Oberflächenepithel in der denkbar einfachsten Anlage“, gleichsam als eine Übergangsform von Wirbellosen zu den Wirbelthieren ergeben würde. Allerdings behält Hasse eine pigmentirte Stelle bei, doch ist das Pigment selbstverständlich ein an der Körperoberfläche befindliches, somit trennt sich Hasse von den Wegen seiner Vorgänger. Die Untersuchungsergebnisse Hasse's bilden die

Zweite Kategorie:

Ich führe hier die wichtigsten Stellen der Hasse'schen Schrift wörtlich an.³

„Bei der Durchmusterung der dem Museum Godefroy in Hamburg entnommenen *Amphioxus* aus der Südsee (Vitinseln), fand ich zu beiden Seiten des vorderen zugespitzten Körperendes (Fig. 1) oberhalb und nach vorn von der mit dem bekannten Tentakelringe versehenen Mundöffnung zwei Pigmentflecke, die bei der Betrachtung mit der Loupe sich als in zwei flachen, grubenartigen Vertiefungen gelegen herausstellten. Diese Gruben nehmen den Raum zwischen dem die Vorderhirnblase tragenden Chordaende und der Mundöffnung ein und aus deren Auftreten ist es wohl zu erklären, dass man bei Conservirung in Erhärtungsflüssigkeiten das vordere spitze Kopfende der Thiere entweder nach der einen oder nach der anderen Seite geknickt findet. Einmal aufmerksamer auf diese Vertiefungen, fand ich dieselben mehr oder minder ausgeprägt und mehr oder minder ausgedehnt bei sämmtlichen von mir untersuchten Exemplaren, auch bei denen aus dem Mittelmeere, von denen ich einige besonders gut conservirte der Güte des Herrn Dr. Steiner aus Halle verdanke. Zugleich zeigte sich, schon bei der Betrachtung mit blossen Auge, bei einigen von diesen Thieren in denselben ein pigmentirter Fleck und das Mikroskop zeigte, dass in der Umgebung dieses, der freilich nicht die Grösse desjenigen der Südsee-Exemplare besass, wenn auch der Bau vollkommen übereinstimmend war, noch einzelne kleinere pigmentirte Stellen, unregelmässig zerstreut vorhanden waren (Fig. 2). Allein auch bei den übrigen Thieren, bei denen keine Spur von Pigment an der Körperoberfläche zu entdecken, zeigte sich in diesen Vertiefungen, und dieselben mehr oder minder deutlich gegen die Umgebung abgrenzend, etwas

¹ Müller W., Über die Stammesentwicklung des Sehorgans der Wirbelthiere. Beiträge zur Anatomie und Physiologie. Zweites Heft. Leipzig 1875.

² A. a. O. S. 308.

³ A. a. O. S. 342.

Besonderes. Sie erschienen dunkler, wie die Umgebung und bei allen pigmentirten Thieren fanden sich die später zu beschreibenden, stark lichtbrechenden Körper.*

Über diese lichtbrechenden Körper küssert sich Hasse an einer andern Stelle seiner Schrift folgendermassen: „Hob ich nun soeben hervor, dass die Begrenzung der pigmentirten Stellen eine durchaus wechselnde und unbestimmbare, so gilt dasselbe doch keineswegs für die in den Kopfgruben gelegenen Oberflächenzellen, zwischen denen die Pigmentzellen eingestreut sein können, und die ich mit dem Sehnerven in Zusammenhang bringe. Mag ein grosser zusammenhängender Pigmentfleck vorhanden sein, oder mehrere gesonderte oder gar keiner, wie bei den meisten Thieren aus dem Mittelmeer, immer ist es möglich, freilich mit grösserer oder geringerer Schärfe, eine Begrenzung dieser Zellmassen, gegenüber den übrigen Epidermiszellen nachzuweisen. Die einzelnen sind in ihren protoplasmatischen, körnigen Massen zusammengedrängter und erscheinen somit in toto dunkler, während die anderen, wie auch bereits Quatrefages nachgewiesen, durch eine um die centrale, körnige, protoplasmatische Substanz, die den Kern enthält, gelagerte ausgedehntere, helle, durchsichtige Substanz, in der manchmal nur mit Schwierigkeit die Zelleontouren erkannt werden können, ausgezeichnet sind. Die Zellen bestehen somit aus zwei Substanzen, einer hellen, peripheren und einer dunklen, körnerreichen centralen. Letztere zeigt immer die charakteristischen Eigenschaften des Protoplasmas, während erstere eher den Interzellulär- oder Kittsubstanzen ähnelt. Dennoch möchte ich sie für einen integrierenden Bestandtheil der Zelle, ein differenzirtes Protoplasma halten, eben weil die Zellgrenzen in derselben verlaufen, und ich wäre sehr geneigt, dieselbe als ein Paraplasma im Sinne von Kupffer¹ anzusehen.“

In die zweite Kategorie gehören auch die Angaben von Nüsslin, dem neuesten Untersucher des *Amphioxus*-Artes. Derselbe kommt in der Annahme der lichtempfindenden Epithelien im Wesentlichen mit Hasse überein, entfernt sich aber vom letzteren Forscher dadurch, dass er für den Sitz der Lichtempfindungen keine bestimmten Zellengruppen, sondern mehr allgemein gewisse Epidermiszellen des vorderen Körperabschnittes betrachtet. „Mein schliessliches Resultat — sagt Nüsslin² — über den Sitz der überaus schwachen Lichtempfindung des *Amphioxus* ist ein rein hypothetisches; soviel scheint mir jedoch nach den gegebenen Erörterungen zu folgen, dass ein spezifisches Sehorgan nicht angenommen werden darf, sondern dass wir in dem differenzirten Nervenendapparat der Kopflosse den Sitz für die relativ feineren Sinnesempfindungen, vor Allem für die vorhandene Lichtempfindung zu suchen haben.“ Und an einer andern Stelle heisst es weiter: „Da nun keine spezifischen Organe der Lichtempfindung nachgewiesen werden können, sind wir auf die Annahme hingewiesen, dass der geringe Grad der Lichtempfindung des *Amphioxus* seinen Sitz in der durch Interpolation von Ganglienzellen complicirter gestalteten Nervenendigung der Kopflosse habe, welche Annahme dadurch gestützt wird, dass diese Körpergegend wegen der Lebensweise des Thieres für Lichtempfindung allein zugänglich sein kann.“ Rücksichtlich der Pigmentflecke, sagt Nüsslin³: „Die Pigmentirung des Vorderendes des Centralnervensystems ist weder an eine bestimmte Form, noch an eine bestimmte Lage gebunden.“ Endlich muss ich hinzufügen, dass Nüsslin einen Theil der die Ganglienzellen führenden Nerven als den Trigeminnästen analoge Nervenbahnen deutet.

Wie man aus dem bisher Gesagten ersieht, treffen hier widerspruchsvolle Strömungen verschiedener Meinungen feindlich zusammen, deren Complicationen mit jeder erneuerten Untersuchung an Ansehnlichkeit fortwährend zunehmen, ein Umstand, der die Schwierigkeiten bei Lösung dieser Frage in ihrem ganzen Umfange erscheinen lässt. Doch, es soll der Versuch gemacht werden. Ehe dies geschieht, mögen meine Erfahrungen an dieser Stelle folgen. Da nun dieselben den anatomischen Beobachtungen einerseits, und andererseits der Rücksichtnahme auf die hierauf bezugnehmenden Lebenserscheinungen beim Lanettfisch entstammen, so liegt es auf der Hand, dass ich zwischen den anatomischen und physiologischen Erscheinungen streng unterscheiden

¹ Ibid. S. 292.

² Kupffer, Über Differenzirung des Protoplasmas an den Zellen thierischer Gewebe. (Vortrag, gehalten im physiologischen Verein in Kiel, 1875.)

³ A. a. O. S. 26.

⁴ Ibid. S. 9.

muss, und dass mein Urtheil gleichfalls unter dem Einflusse beider Gesichtslinien steht. Zunächst, was die anatomischen Erscheinungen anbelangt.

Es ist schwer, eine klare Einsicht in die wahren Verhältnisse des Pigmentfleckes oder der Pigmentflecke zu erwerben. Die grosse Häufigkeit des einfachen Pigmentfleckes am vordern Ende des Centralnervensystems bezieht sich nicht blos auf die Quer- und Längsschnitte, sondern auch auf die im Ganzen präparirten und betrachteten Gehirne. Dabei zeigt sich die Pigmentanhäufung bald von regelmässiger oder unregelmässiger Gestalt, bald von concentrirter oder seitlicher Lage. Ebenso verhält es sich mit den doppelte oder mehrfach zerstreute und kleinere Gruppen vertheilten Pigmentanhäufungen. Letzterem Umstande begegnete ich in den meisten Fällen von frischer Präparirung, d. h. wo die Thiere nicht Einflüssen starker Reagentien auf die Dauer ausgesetzt waren.

Diese Variabilität in den Pigmenterscheinungen mag einigermassen auf den Grund der verschiedenen Lagerungsverhältnisse des Pigmentes hinführen. Es ist fast mit Sicherheit anzunehmen, dass die Concentrirung oder Vertheilung des Pigmentes keinesfalls Anspruch auf den Charakter des Typischen erheben kann. Die Bemerkung auf die Unterschiede, welche sich aus der Behandlungsweise der Thiere ergeben, liefert nur eine erwünschte Unterstützung derselben Annahme. Denn entweder geht die Beschaffenheit des Pigmentes mit typischen Vorgängen einher, und dann bleiben die Erscheinungen ungeachtet der ohnedies geringfügigen äusseren Einflüsse dieselben, oder aber sind die Pigmentanhäufungen von unwesentlicher Bedeutung und ändern ihre Beschaffenheit unter der Einwirkung nebensächlicher, von morphologischen Verhältnissen vollkommen unabhängiger Bedingungen. An der letzteren Voraussetzung will ich vorläufig festhalten und es wird sich an der Hand von Abbildungen viel besser als durch Aufstellung von Alternativen erweisen, ob ein solches Raisonnement gestattet ist.

Behufs einer detaillirten Einsicht in die verschiedenartigen Pigmenterscheinungen leisten die nachstehenden Abbildungen den erforderlichen Dienst.¹ Auf der Fig. 37 der Tafel IV bemerkt man einen schwarzen randlichen Fleck (*P*), dessen hinterer am Hirnventrikel (*HV*) angrenzender Rand gezackt oder gezähnt erscheint. Die Randstelle ist mehr durchsichtig, so dass man bei oberflächlicher Betrachtung einen lichtbrechenden Körper vermuten könnte. Dem ist jedoch anders. Dieser Rand des Fleckes stellt nur die einzelnen, weniger mit Pigmentkörnern imprägnirten Bestandtheile der Ventrikelepithelzellen dar. Vielleicht waren es ähnliche Umstände, die de Quatrefages eine Linse vortäuschten, was leicht auch dadurch herbeigeführt werden mochte, dass man in der That nicht selten an in Weingeist erhärteten Exemplaren solche durchsichtige Stellen im ganzen Umfange der Randfläche des Pigmentfleckes antrifft. Während aber die angeführte Abbildung den Pigmentfleck förmlich als einen schwarzen Ballen hinstellt, sehen wir in Figur 4 der Tafel I den Pigmentfleck (*P*) zu einer gründlichen Gestaltsveränderung übergegangen. Dieser Abbildung liegt die Absicht zu Grunde, einen Fall zu demonstrieren, in welchem der Pigmentfleck eines in frischem Zustande herauspräparirten, in Glycerinlösung ohne vorhergehender Färbung eingeschlossenen Gehirnes bei starker Vergrösserung abgebildet ward. Hier zeigt es sich mit unanfechtbarer Sicherheit, dass der Pigmentfleck aus mit Pigmentkörnern, grösseren und kleineren Kalibers erfüllten Epithelzellen zusammengesetzt wird; die Epithelien besitzen eine palissadenähnliche Gestalt. In frischem Zustande angesehen, sind die Pigmentkörner theilweise von röthlichbrauner, theilweise von schwärzlichbrauner Farbe. Einen dritten und von den früheren völlig verschiedenen Fall bringt die Figur 30 der Tafel IV. Diese Abbildung ist einem schräg geführten Querschnitt des mit Weingeist conservirten Gehirnes entlehnt. Die Pigmentvertheilung (*P*) zeichnet sich jetzt schon weniger durch die Dichte als durch das Ansehen der diffusen Imprägnation aus. Wir sehen hier den Umfang des Hirnventrikels (*HV*) wie mit einem schwarzen Ringe umgeben; kleinere und grössere, mehr oder minder zusammenfliessende Gruppen von feineren und gröberen Pigmentkörnern dringen zum Theil in die Hirnsubstanz, zum Theil in die Hirnhöhle ein. Endlich bietet uns das interessanteste Fall die Figur 34 der Tafel IV dar. Wir finden daselbst im Gehirn (*G*) zwei Arten von Pigmentablagerung; die eine besteht aus dem am vordersten Hirnabschnitte

¹ Vergl. Nüsslin, a. a. O. Figuren 6, 7, 8, 9 und 10.

befindlichen einfachen Pigmentfleck (P'),¹ der zweifellos mit den an den vorerwähnten Fig. 4 und 37 vorhandenen Flecken gleichwerthig ist, die anderen wiederum aus einzelnen, kleinen Kugelgestalten ähnlichen Pigmenthäufchen (P''), welche in der Marksubstanz des Gehirns zerstreut liegen und schon auf den ersten flüchtigen Blick eine grosse Ähnlichkeit mit dem längs des Rückenmarkes vorkommenden Pigment (Fig. 34 pg) aufweisen, diesen für eine Erklärung von Wesen und Bedeutung der Hirnpigmentflecke wichtigen Umstand, dürfte das Auftreten der zweiten Pigmentart von nicht geringem Nutzen sein.

Allerdings bin ich weit entfernt davon, behaupten zu wollen, als wäre in den vorhin beschriebenen Pigmentformationen eine erschöpfende Darstellung der Pigmentflecken enthalten. Wahrscheinlich wird man im Laufe der Zeit noch weitere Verschiedenheiten bei diesen Pigmenterscheinungen erkennen. Allein, was mir hiebei am wichtigsten scheint, ist nicht die möglichst detaillirte Erkenntniss aller dieser Verschiedenheiten, sondern der auf anatomischem Wege zu erbringende und für die Morphologie wichtige Nachweis der wahren Bedeutung des Hirnpigmentes, sowie die Widerlegung der auf dasselbe Pigment hin gegrütheten Ansichten über den Augenfleck. Und dies wird mir möglich, sobald ich meine Untersuchungsergebnisse analysire; denn aus solchem Vorgang ergeben sich folgende Sätze.

Der Pigment- oder Augenfleck ändert seine Gestalt und Lage bei verschiedenen Individuen in verschiedener, keiner Regel unterworfenen Weise (Nüsslin). Der Gestalt nach bestehen folgende Formen: ein fast regelmässig rundlicher oder unregelmässig gebildeter einfacher Fleck, dann eben solcher von der Gestalt eines Meniscus, dessen Convexität nach vorne, oder umgekehrt, gerichtet ist, endlich zwei oder mehrere, grössere und kleinere, regellos zerstreute Fleckchen. Der Lage nach bestehen gleichfalls diverse Verhältnisse. Bald concentriert sich das Pigment an der vordern Hirnwand, bald dehnt es sich nach vorne, bis in die nächst der vordern Hirnwand gelegenen Nerventheile des ersten Paares, bald nach hinten bis in den rückwärtigen Hirnabschnitt aus. Der Sitz des Pigmentes ist: 1. die Marksubstanz des Gehirns, 2. das Epithel des Hirnventrikels und 3. beides diese Örtlichkeiten zugleich.

Aus diesen Gründen und weil die sogenannten Pigment- oder Augenflecke absolut in keiner Verbindung mit Nervenfasern stehen, ist man berechtigt, dieselben als sehr wahrscheinlich rein chemische Vorgänge anzusehen, die überhaupt mit den Lebereigenschaften, und sonach auch mit den Lichtempfindungen nichts zu thun haben.

Unter solchen Umständen fällt es gar nicht schwer, die früher citirten Angaben über das Hirnpigment theilweise zu bestätigen; doch stellen anderseits die dabei zum Ausdruck gelangten Gegensätze die Deutung des Pigmentes von vornherein in Frage. Schon die einzige Thatsache, dass jene Pigmentformationen in jeglicher Beziehung den weitesten individuellen Schwankungen unterworfen sind, weist die Ansicht, als würden die Pigmentflecke lichtempfindende Organe darstellen, zurück (Owsjannikow, Stieda). Demgemäss dürfen jene Pigmentanhäufungen den Augenflecken der Wirbellosen in keiner Weise verglichen werden.

Diese Darstellung der Sachlage wurde schon, womöglich mit anderer Motivirung, von Carl Hassé und dann neuestens von Nüsslin gegeben. Neu an meiner Darstellung ist einmal die Beobachtung des Pigmentes innerhalb der Marksubstanz des Gehirns und zweitens der Hinweis auf die Wahrscheinlichkeit von chemischen Vorgängen bei den Pigmentanhäufungen. Gelegentlich der später zu erfolgenden Besprechung des im Rückenmark vorkommenden Pigmentes wird von diesen chemischen Vorgängen des Pigmentes speciell die Rede sein.

Es fehlt noch die Besprechung der in die zweite Kategorie eingereichten Untersuchungsergebnisse; ich meine vorerst die Untersuchungen von Nüsslin. Derselbe trug — wie wir vorhin sahen — die Lichtempfindungsfähigkeit auf die durch interpolirte Ganglienzellen complicirter gestalteten Nervenendigungen der Kopfflosse über, denen gegenüber er zugestehet, dass sie Verästlungsproducte der den Trigemini-Asten höherer Wirbelthiere analogen Nerven sind. Nüsslin bringt also die Lichtempfindung beim *Amphioxus* mit dem Trigemini

¹ Auch Hatschek (a. a. O.) lässt sich über denselben Pigmentfleck vernehmen, und zwar folgendermassen (S. 72): „Viel später zu Ende der Embryonalentwicklung tritt auch im Vorderende der Gehirnananschwellung ein Pigmentfleck auf, der unverkennbar die Bedeutung eines Augenfleckes hat.“

in unmittelbaren Zusammenhang; mit anderen Worten, er greift auf eine ältere Ansicht zurück. Dieser Ansicht gemäss wurde dem Trigemini ein wesentlicher Einfluss auf die Sinneswahrnehmungen zugeschrieben. Wenn gleich es ausser aller Frage steht, dass beim *Amphioxus* die dem Trigemini analogen Nervenzweige Sinneswahrnehmungen vermitteln, so haben die Physiologen andererseits die Einflussnahme des Trigemini auf den Gesichtssinn durch Versuche an höheren Wirbelthieren als unhaltbar zurückgewiesen. Was aber für die höheren Thiere gilt, dasselbe dürfte im Wesentlichen auch für die niederen Glieder einer und derselben Gruppe gelten.

Freilich darf damit die Bedeutung jener Nerveneindigungen und deren Verhältniss zu den interpolirten Ganglienzellen rücksichtlich einer intensiveren Empfindungsfähigkeit nicht gelugnet werden. Im Gegentheile tragen die peripherisch auftretenden Ganglienzellen und Nervenetze (z. B. an den Cirren) zur Verfeinerung der Sinnesthätigkeiten sehr viel bei, ohne dass daraus ein Gesichtssinn gefolgert werden müsste. Viel näher liegt wohl die Annahme der Erweiterung des Qualitätenkreises innerhalb des Tastsinnes. Für eine solche Annahme sprechen auch die von Carl Clans¹ an Quallen angestellten Untersuchungen, wo neben einem lichtempfindenden Organ, Ganglienzellen und Nervenfasern im Bereiche des Ektoderms erscheinen. Ja, Oscar und Richard Hertwig² meinen sogar, dass die Ganglienzellen der Actinien ursprüngliche Bestandtheile des Epithels seien, die früher von den Sinneszellen nicht zu unterscheiden waren.

Oder sind die besagten Ganglienzellen und Nervenetze beim *Amphioxus* nicht mit denen der genannten Coelenteraten gleichwerthig? Es dürfte nicht leicht fallen, gegen diese Bemerkung stichhaltige Einwände vorzubringen. Man kann sagen, dass es sich hier um grundverschiedene Organisationsverhältnisse handelt. Allein es sprechen einige morphologische Erscheinungen zu Gunsten der obigen Anschauung. Hier und dort sind es einzelne Stellen des Ektoderms, auf welchen die Nervegeflechte und Ganglienzellen beschränkt sind; hier und dort stehen dieselben mit Sinneszellen in Verbindung.

Die physiologischen Erscheinungen weisen jedoch entschieden auf eine Lichtempfindungsfähigkeit beim *Amphioxus* hin!

Das ist der Widerspruch, den man schliesslich auch in Betracht ziehen muss.

Nun, ich habe gleichfalls den lebenden *Amphioxus* bezüglich seiner Lichtempfindung beobachtet, leider konnte ich experimentell, wegen unüberwindlicher Schwierigkeiten nicht allseitig positive Erfolge erzielen. Trotzdem glaube ich auf Grund des Geschehenen die Lichtperception beim *Amphioxus* anschliessen zu können, was mich allerdings in einen vollkommenen Gegensatz zu den bisherigen Untersuchungsergebnissen bringt.

Bevor ich indess meine eigenen Erfahrungen unterbreite, dürfte es vortheilhafter sein, die früheren Beobachtungen in kurze Sätze zusammenzufassen.

Der *Amphioxus* ist ein Nachthier, denn er meidet das Tageslicht und verkriecht sich in den Sand. Des Nachts liegt er auf der Oberfläche des Sandes. Thut er das letztere am Tage und nähert man sich ihm mit einem Gegenstande, so verschwindet er sehr rasch im Sande. Bedeckt man ihn bei Tage mit einem das Licht vollkommen abschliessenden Gegenstand und entfernt diesen nach einiger Zeit, so verschwindet er augenblicklich im Sande. Um des Nachts den *Amphioxus* mittelst des monochromatischen Lichtes zu verschrecken, bedarf es eines starken Lichtes und der Benützung der Loupe.

Dies wären beiläufig die physiologischen Beobachtungen, welche die Lichtempfindung beim *Amphioxus* erweisen sollen.

Freilich besitzen wir noch die Untersuchungen von R. Lenckart und Pagenstecher, welche im Allgemeinen anders lauten: Lenckart und Pagenstecher schreiben über junge *Lancettische*:³ „Ihre Sinne sind stumpf; sie sind leicht aus dem Gefässe anzufangen, und ihr zähes Leben erleichtert die Beobachtung.“

¹ A. a. O. S. 26.

² A. a. O. S. 49.

³ A. a. O. S. 359.

Selbstverständlich dürfen wir dabei einen bedenklichen Umstand nicht ausser Acht lassen, der sich bezüglich der Lebensweise des *Amphioxus*, während dessen Gefangenschaft kundgibt. Bei einiger Vorsicht müssen wir uns nämlich die Frage vorlegen, ob die Bewegungen des in Gefangenschaft lebenden Thieres seiner in der See geübten Lebensweise entsprechen? Mich wenigstens hat die ganze Zeit hindurch, in der ich das Thun und Lassen des Lanecttfisches beobachtete, diese Frage beschäftigt, ohne etwas von ihrer Bedeutung einzubüssen.

Meine Thiere lebten in cylindrischen Glasgefässen, deren unterster Drittheil mit dem sogenannten *Amphioxus*-Sande und der übrige Raum mit Seewasser ausgefüllt worden war. In einigen Gefässen befanden sich 50 bis 60 und wiederum in anderen 8 bis 12 Individuen von verschiedener Grösse.

Die in ihrer Lebensweise beobachteten Thiere kamen in gewissen Zeitabschnitten in die Gefangenschaft, jedoch wurde die Beobachtung immer nur auf solche Individuen angedeutet, welche zur selben Zeit gefischt worden waren und welche unter denselben Verhältnissen die Gefangenschaft theilten, damit keine Änderung in ihrer Lebensweise von aussen hervorgerufen werden könnte. Für die Anstellung der Gefässe mit den Thieren wurde die schattige Stelle einer lichten Wohnstube gewählt.

Ich bemerkte alsbald, dass sich die in stärker bevölkerten Gefässen befindlichen Lanecttfische wesentlich verschieden verhielten von denen in schwächer besetzten. Im letzteren Falle waren die Thiere am Tage grösstentheils im Sande versteckt und man konnte bei näherer Besichtigung der Sandoberfläche an der hervorstehenden Kopfflosse nicht die geringste Bewegung wahrnehmen, wohl aber an den Cirren, die oftmals eine wellenförmige Bewegung um die Mundöffnung herum bewerkstelligten, wahrscheinlich um Nahrungsbestandtheile in die Mundhöhle einzuführen. Von Zeit zu Zeit kamen einzelne von den Thieren aus dem Sande hervor, um nach einer pfeilschnellen, spiralförmigen Schwimmbewegung von 1—2 Secunden abermals im Sande zu verschwinden und in derselben Situation wie zuvor zu verharren.

Abweichend davon, zeigten sich am Tage die Bewegungen bei den das Gefäss zahlreicher bewohnenden Thieren. Wie des Nachts lagen sie hier abwechselnd und mehrere beisammen, und zwar mit der einen Körperseite und in gestreckter Stellung auf der Sandoberfläche und machten rasch auf einander folgende Respirationsbewegungen, während der grösste Theil der übrigen Individuen sich völlig im Sande verkrochen hielt. Höchst selten lief dann eines von ihnen in vorhin erwählter Weise ins Wasser hinauf und sofort in den Sand zurück. Deckte ich nun irgend eines von den Gefässen, in dem mehrere Thiere oben auf dem Sande lagen, mit einem hölzernen Kistchen zu und entfernte z. B. nach einer Stunde den Gegenstand, so verschwand einige Thiere im Sande, während die übrigen sich in ihrer früheren Lage ruhig verhielten. Tauchte ich ferner ins Wasser einen längeren Glasstab und führte denselben langsam und in gerader Richtung gegen die ruhig liegenden Thiere, so behielten sie ihre frühere Lage; kamen jedoch die Thiere mit dem Stabe in Berührung, dann eilten sie in den Sand hinein. Ganz ähnlich gieng es, wenn ich mit den Fingern diese Procedur vornahm.

An die Mittheilung dieser wiederholt gemachten Erfahrungen knüpfte ich die Bemerkung, dass ich mir schlechterdings die Überzeugung von der Lichtempfindung des *Amphioxus* nicht verschaffen konnte. Denn, stelle ich jene verschiedenartige Bewegungen der Lanecttfische neben einander, so kann ich von denselben nur zwei Erscheinungen ableiten: 1. Die auf das Licht scheinbar reagirenden Lanecttfische stehen eigentlich unter dem Einflusse der Wärmebewegungen, 2. die gegen das Tageslicht nicht reagirenden befinden sich im Zustande einer vorübergehenden Anästhesie, die wahrscheinlich durch die ausserordentliche Erhöhung der Temperatur bedingt sein dürfte. In dieser Meinung bin ich auch durch den Umstand bestärkt worden, dass die Wirkungen des künstlichen Lichtes, selbst bei Anwendung der die Strahlen stärker brechenden Medien, als fast verschwindend minimale zu bezeichnen sind. Es erscheint mir dieser Umstand auf natürliche Vorgänge gegründet, welche letztere darin bestehen würden, dass dem künstlichen Lichte verhältnissmässig sehr wenige chemisch-wirksame Strahlen (Wärmestrahlen) beigegeben wären, daher auch die schwache Wirkung der Wärme auf die Sinneszellen des *Amphioxus* bei Nacht und umgekehrt bei Tag, wo grössere Mengen von Wärmestrahlen im Lichte vorkommen. Wenn es entgegengesetzten Falles blos auf Lichtstrahlen und somit auf eine Lichtempfindung beim *Amphioxus* ankäme, so wäre der Gegensatz unbegreiflich, weshalb unsere Thierehen

vielmehr beim Tag als bei Nacht das Licht meiden. Die Wirkungen der Lichtstrahlen als solcher sind jedenfalls in beiden Fällen dem Wesen nach dieselben.

Durch diese Anschauungsweise könnten wir vielleicht auch das nächtliche Liegen des *Amphioxus* auf der Sandoberfläche und dessen Verweilen im Sande am Tage einigermaßen erklären. Wir würden dann sagen: Der Laucelfisch verlässt des Nachts seine sandige Wohnstätte, weil ihn die verminderte Wärme nicht so wie am Tage empfindlich trifft.

Nachdem ich mir einmal solche Vorstellungen über die sogenannte Lichtempfindung beim *Amphioxus* gebildet hatte, musste ich selbstverständlich noch weiter gehen und auf experimentellem Wege die Begründung dieser Vorstellungen anstreben. Dies glaubte ich folgendermassen zu erzielen.

Ein gefangene Thiere wurden in ein mit frischem Sand und eben sohelem Seewasser gefülltes Gefäss in geringer Anzahl — 5—6 Individuen — übertragen. Die Übertragung einer geringeren Menge Laucelfische in ein Gefäss erschien mir vorteilhafter und von günstigerem Einflusse auf die Lebensdauer der Thiere.¹ Des Nachts wurde das Gefäss mit den Thieren auf einen vor das Fenster gestellten Tisch gebracht. Daraufhin nahm ich mittelst einer aus starkem Papier angefertigten, mit schwarzem Papier äusserlich und innerlich überklebten Vorrichtung, die Bedeckung des Gefässes vor. An dem die Vorrichtung bildenden Kistchen, das einem grossen Würfel gleich, dem aber die untere Wandung fehlte, waren zwei weitere Apparate angebracht. Der vorderen, dem Fenster zugewandten Wand wurde eine plangeschliffene Aluunplatte in entsprechender Höhe eingefügt, damit die Sonnenstrahlen unmittelbar auf die an der Sandoberfläche des Gefässes lagernden Thiere durch diese Aluunplatte geleitet würden. An der rückwärtigen Wandung des Kistchens befand sich ein kurzer und in derselben Weise wie das Kistchen construirter Tubus in schräger Stellung zum Zwecke einer unbehinderten Übersicht der allfälligen Bewegungen der Thiere. Die Einfügung der Aluunplatte sollte zur Ablenkung von Wärmestrahlen der Sonne dienen, da bekanntlich der Aluun und dessen wässrige Lösungen die Eigenschaft haben, Strahlen der Wärme zurückzuhalten.

Als dann die Sonne in einer solchen Höhe am Firmamente leuchtete, dass grelles Licht und Wärme, wie sie gegen Ende des Monats Mai an den südlichen Küsten Italiens vorkommen, in grosser Menge ins Innere des Zimmers eindringen konnten, wurden die Fenster des bis dahin für die Sonnenstrahlen zugänglichen Zimmers plötzlich geöffnet. In diesem Augenblicke sah ich die stark belichteten Thiere keinerlei Bewegungen ausführen. Entfernte ich aber nach einer Pause von fünf Minuten das Kistchen sehr langsam, damit keine Erschütterung des Tisches entstehe, so vergaben sich fast alle über dem Sande befindlichen Thiere schliesslich im Sande. Ich war also berechtigt zu der Schlussfolgerung, dass nicht die Lichtstrahlen, sondern die Wärmestrahlen es waren, welche die Sinne oder eigentlich den Tastsinn in eine heftige Erregung versetzt haben. Die auch im letzteren Falle zurückgebliebenen Thiere hielt ich, indem sie sich regungslos verhalten, für leblos. Ich fasste also ein Thier mit der Hand, was dasselbe ruhig gewähren liess, und wollte es aus dem Gefässe entfernen, da schlüpfte der *Amphioxus* aus der Hand heraus und fiel auf den Fussboden, wo er sich von der einen auf die andere Körperseite lebhaft hin und her warf, sich dabei längs des Körpers hogenförmig krümmend. Ich legte das Thier sodann in ein Gefäss und es verschwand sofort im Sande. Darans schliesse ich, dass die Thiere in solchen Fällen durch mechanische Einwirkungen (Druck, Reibung u. s. f.) erregt werden; was zu veranlassen die Licht- und Wärmestrahlen nicht mehr im Stande waren.

Allein mein Experiment bleibt solange unvollständig, bis nicht die Gegenprobe erwiesen ist, d. h. bis man nicht mit jenen Substanzen oder Lösungen experimentirt haben wird, denen die Eigenschaft zukommt, Lichtstrahlen zu absorbiren und Wärmestrahlen durchzulassen. Das konnte ich leider nicht ausführen, weil meine improvisirten Vorrichtungen zum Behufe derartiger Versuche von sehr primitiver Beschaffenheit waren.

Ich glaube aber auf Grund des Vorigen annehmen zu dürfen, dass der *Amphioxus* keine lichtempfindenden Apparate im engeren Sinne des Wortes besitzen könne.

¹ Ich muss besonders darauf aufmerksam machen, dass zu derartigen Beobachtungen nur grössere und wohl erhaltene Thiere sich eignen, indem die kleineren Exemplare nach jeder Richtung hin unzuverlässig sind.

Volleuds unrichtig ist endlich die Behauptung, als würde der *Amphioxus* auf einfaches Nahen irgend welchen Gegenstandes davoncilen, wie eines solchen Falles neuerdings von Brehm¹ Erwähnung geschieht. Diese Behauptung entbehrt jeder wissenschaftlichen Grundlage, indem zur Perception von Bildern, wie sie diesfalls vorausgesetzt wird, ein besonderes Sehorgan mit lichtbrechenden Medien absolut notwendig erscheint.

Demgemäss haben wir es in allen ähnlichen Fällen mit durch unsere Sinne nicht wahrnehmbaren mechanischen Ursachen zu thun, die natürlicher Weise gar keine Beziehungen zu der Lichtempfindung haben können.

Von allen bisherigen Erörterungen blieben die Untersuchungen von C. Hasse unberührt. Wir haben oben gesehen, dass Hasse in einer parapsplastischen Veränderung, im Sinne Kuppfer's, einiger von Pigment umgebener Ektodermzellen das *Amphioxus*-Auge erblickte. Wie höchst sonderbar ein solches Auge, zumal beim *Amphioxus*, auch erscheinen mag, so ist die durch Abbildungen gestützte Angabe Hasse's nicht numöglich und durchaus von morphologischem Interesse. Die zahlreichen Formen, in denen das Sehorgan unter den Metazoen bei grosser Ausbreitung vorkommt, dürften noch manche Überraschung mit sich bringen. Ist es überhaupt nicht sehr merkwürdig, wenn es Coelenteraten gilt, bei denen — wie Carl Claus² bei *Charybdea* bewies, Augen auftreten, deren einzelne Theile (Linse, Iris u. s. f.) in ihrer Bildungsweise ähnliche Verhältnisse wie die Vertebraten darstellen. Wenn auch die Angaben Hasse's in diesem speciellen Falle eine grosse Kluft zwischen dem *Amphioxus* und den übrigen Vertebraten involviren, so wäre hiendreh anderseits der Beweis erbracht, dass das Auge nicht blos bei den niederen Thieren (Coelenteraten, Würmern u. s. f.), sondern auch bei höheren als ein bleibender Bestandtheil des Ektoderms erscheinen könne.

Indessen muss ich offen gestehen, dass ich mich von den Angaben Hasse's vielleicht aus dem Grunde nicht überzeugen konnte, weil ich über *Lanceettfische* aus der Südsee nicht verfügte und Hasse den ausgesprochenen Unterschied in der Deutlichkeit seines Befundes zwischen den *Lanceettfischen* des mittelländischen Meeres und der Südsee constatirt hat.

Geschmacksorgane.

Langerhaus entdeckte im Velm — wie bereits erwähnt — becherförmige Sinneszellen, denen die Bedeutung eines auf niederer Entwicklungsstufe stehenden Geschmacksorganes zugetheilt werden dürfte. Unterstützen kann ich diese Anschauung durch den Hinweis auf die wahrscheinliche Verbindung mit den, im vorangehenden Capitel von mir als Glossopharyngus-Elementen bezeichneten und im Velm sich ausbreitenden Spinalnerven.

Während mir aber die Bestätigung der Langerhaus'schen Becherzellen mit Hilfe der Goldbehandlung gelang, kann ich ferner seiner Ansicht vollkommen beitreten, wonach die papillösen Erhebungen an den Mundcirren, keinerlei Sinnesorgane vorstellen. Mir scheint im Hinblick auf die an denselben Cirren vorhandenen Nervengeflechte und zahlreichen Sinneszellen oder — um mit Langerhaus zu sprechen — *Fühlzellen*, jene Deutung die richtige zu sein, der zufolge die Cirren in ihrer Thätigkeit beim *Amphioxus* besonders ausgebildete Tastsinne neben uns noch völlig unbekannten Gefühlsarten repräsentiren.

Im Allgemeinen lässt sich auf Grund der bislang erläuterten Umstände sagen, dass der *Lanceettfisch* sich im Besitze des in den Vordergrund tretenden Tastsinnes und verschiedener Gefühlsarten, des Geruchs- und Geschmacksorganes niederer Ordnung befindet, dass ihm dagegen Gesichts- und Gehörorgane vollkommen fehlen. Mit anderen Worten: in Übereinstimmung mit seiner sehr einfachen und an Kämpfen um's Leben durchaus dürftigen Lebensweise sehen wir in der tiefen Entwicklungsstufe von den Sinnesorganen beim *Amphioxus* das Gesetz der Anpassung *κατ' ἰσχύος* ausgeprägt.

¹ Brehm, Leben der Thiere, Bd. V, S. 495, Leipzig 1880.

² Claus, Untersuchungen über *Charybdea maripialis*. Arbeiten aus dem zoolog. Institute zu Wien, Bd. I, Heft II, S. 37, Wien 1878.

So erwärhetet sich zum Schlusse dieses Abschnittes der Ausspruch von Johannes Müller:¹ „Die Natur wird auch die Sinnesorgane beschränken, wenn sie die Aussenwelt eines Thieres in enge Grenzen setzt.“

Das Centralorgan des Nervensystems.

Die Auffassung, zu welcher man mit Hilfe der vergleichenden Untersuchungsmethode und einer eingehenden Untersuchung des histologischen Baues des centralen Nervensystems beim *Amphioxus* gelangt, ist von nicht zu unterschätzender Wichtigkeit; nicht bloß aus dem Grunde, weil durch eine solche Auffassung die morphologische Bedeutung desselben im Hinblick auf das gleichnamige System der übrigen Wirbelthiere erklärt wird, sondern weil auch dadurch zugleich die phylogenetischen Beziehungen dieses Organes im Allgemeinen dem Verständnisse entgegengeführt werden dürften. Namentlich in letzterer Hinsicht, also besonders mit Rücksicht auf die Embryologie sind die vergleichend-anatomischen Untersuchungen mit Nachdruck zu fordern, und zwar umso mehr als es nach einer in neuerer Zeit ziemlich laut auftretender Ansicht, die Carl Claus² auch in der neuesten Auflage seines Lehrbuches ausführt — überhaupt in Frage steht, „ob die Entwicklungsgeschichte in allen Fällen für sich allein anreicht, um in der Morphologie als absolutes Kriterium verworhet werden zu können.“ Hiermit wird der nahe Zusammenhang zwischen Embryologie und der vergleichenden Anatomie nicht geleugnet, indem das unbestreitbare Verhältniß der „Schwesterwissenschaften“ zu einander mit einer solchen Deutlichkeit hervortritt, dass es in keiner Weise überschauen werden kann. Während die Entwicklungsgeschichte das embryologische Material aufleckt und sichtet, um daraus die ontogenetische Entstehung der thierischen Organismen nachzuweisen und die phylogenetischen Beziehungen der Thiergruppen auf eine gemeinschaftliche Grundlage wissenschaftlich zurückzuführen, liegt es andererseits in der Aufgabe der vergleichenden Anatomie, aus der Erkenntnis der verschiedenen ausgebildeten Thierformen, deren wechselseitige Beziehungen morphologisch festzustellen. Jede dieser beiden Disciplinen wandelt ihren eigenen Weg, doch ihr Ziel ist stets ein und dasselbe: der wissenschaftliche Fortschritt auf dem unermesslichen Gebiete der Morphologie, und die übereinstimmenden Resultate der letzteren, bilden nach Tragweite ihrer allgemeinen Bedeutung die Meilensteine in der morphologischen Forschung; dagegen rufen die Gegensätze Streitfragen hervor, die indessen zu erneuerten Arbeiten den Anlass bieten; selbstverständlich immer nur dann, wenn ein aufrichtiges Bestreben nach Wahrheit besteht.

Doch diese letzteren Bemerkungen, die man mir verzeihen möge, wollte ich voransenden, um den Standpunkt anzudeuten, von dem aus die am Ende dieser Untersuchungen abzugebende theoretische Betrachtung der Ansichten über Stammesgeschichte des centralen Nervensystems und des Wirbelthierkopfes beurtheilt sein möchte.

Gehirn.

Nach der Ansicht von Rathke³ und Goodsir⁴ endigt das centrale Nervensystem des Lauectfisches an beiden Enden mit einer Spitze. Dies dürfte wohl der Grund sein, dass Rathke das ganze Organ bloß dem Rückenmarke der übrigen Wirbelthiere gleichgestellt hat.

„Wir haben — sagt Johannes Müller⁵ — das centrale Nervensystem nach vorne immer stumpf und abgerundet gesehen.

„Allerdings fehlen am vorderen Theil des centralen Nervensystems die Anschwellungen, welche man bei anderen Thieren am Gehirn wahrnimmt und es gilt beim *Branchiostoma* keine Absonderung dieses Systems in den Hirntheil und Spinaltheil; da aber am vorderen stumpfen Ende des centralen Nervensystems das Auge

¹ A. a. O. S. 22.

² S. 58.

³ A. a. O. S. 12.

⁴ A. a. O. S. 251.

⁵ A. a. O. S. 17.

ansitzt und der Sehnerv abgeht, so beweisen wir hieraus, dass das Vorderende wirklich das Vorderende des Gehirnes ist.¹

Abgesehen von seiner Motivirung hat Johannes Müller, wie aus dem Vorangehenden erhellt, das Gehirn beim *Amphioxus* nachgewiesen, und, was auch aus seinen anderweitigen Ausführungen hervorgeht, das stumpfe Vorderende desselben Organes für eine dem ganzen Gehirn der Vertebraten entsprechende Bildung angesehen.

Seither sind viele Jahre vergangen, und auch viele Abhandlungen über den Laccetfisch veröffentlicht worden, ohne dass man sich in der Deutung des *Amphioxus*-Gehirns geeinigt hätte. Vielmehr gingen und gehen noch jetzt die Meinungen in dieser Frage immer mehr auseinander, wobei unzweifelhaft das weitere, Schritt für Schritt erfolgte Bekanntwerden der Detailverhältnisse am Gehirn und an anderen Leibestheilen beim *Amphioxus* den Ausschlag gaben. Die Entdeckung des Hirnventrikels durch Leuekart und Pagenstecher, der Riechgrube durch Kölliker, des Lobus olfactorius durch Langerhaus, ferner die Erkenntniss und der Nachweis zahlreicher Einzelheiten bei den Vertebraten und den Wirbellosen mussten naturgemäss die Anschauungsweise mannigfach beeinflussen. Freilich trug dies auch in die Literatur eine gewisse Verwirrung, die es sehr schwer macht, beim Studium der ersteren nicht in eine, mitunter recht unliebsame Situation zu gerathen.

Was die Deutung des *Amphioxus*-Gehirns selbst anbelangt, so findet dieselbe ihre markantesten Vertreter im Folgenden:

Th. Huxley² lässt das centrale Nervensystem, beziehungsweise das Gehirn des *Amphioxus* nur bis zum Zwischenhirn (Thalamencephalon) vortreten.

W. Müller³ äussert sich folgendermassen: „Was die Deutung des Befundes anbetrifft, welchen das vordere Ende des centralen Nervensystems des *Amphioxus* darbietet, so erklärt sich dasselbe meiner Ansicht nach ungezwungen aus der Annahme, dass hier eine Vorderhirnblase vorliegt, in deren Wand weitere Entwicklungsvorgänge noch nicht stattgefunden haben. Diese Ansicht gründet sich erstens auf die Verbindung des Vorderendes mit dem Riechorgan; diese Verbindung findet sich constant durch die ganze Reihe der Tunicaten und Wirbelthiere; zweitens auf die Pigmentirung der mittleren Partie der Vorderwand; diese Pigmentirung findet sich in gleicher Weise am Schorgan der Salpen in einem frühen Entwicklungsstadium wieder; drittens auf die Lagerung des mit erweiterten Canal versehenen Abschnittes des Centralnervensystems vor dem Ursprunge des ersten sensiblen und motorischen Nerven.“ Und an einer anderen Stelle heisst es: „Es hat sich beim *Amphioxus* ein Zustand des vorderen Endes des Nervensystems dauernd erhalten, als er von den Vertebraten frühzeitig durchlaufen wird.“

Aber die Beweisführung W. Müller's dürfte kaum einer genaueren Kritik Stand halten, indem erstens die Verbindung des Gehirnes mit der Riechgrube in bestimmter Weise nur das beweiset, dass sich hier in der That das vordere Ende des Gehirnes befindet; erst wenn das *Amphioxus*-Hirn Abtheilungen oder mindestens ausgesprochene Andeutungen von solchen zeigen würde, könnte man mit Erfolg eine Vorderhirnblase annehmen; noch weniger ist das Pigment (2.) beweiskräftig für Müller's Annahme, wie dies bereits in dem vorausgehenden Abschnitte dieser Abhandlung gezeigt, namentlich aber durch Nüsslin⁴ sachgemäss erörtert wurde. Am allerwenigsten kann jedoch der Ursprung der von Müller erwähnten Nerven (3.) den notwendigen Beweis bringen, weil es deren — wie wir früher sahen — drei gibt, von denen der erste Nerv oder das erste Nervenpaar vor dem Pigmentfleck und am vorderen Rande des Gehirns entspringt.

Ferner vergleicht P. Langerhaus⁵ das *Amphioxus*-Hirn dem ganzen Gehirn der Vertebraten.

Wollte man auf die mathematische Annahme Schneider's eingehen, dass der Lobus olfactorius — wie schon einmal an einer früheren Stelle erwähnt — der Epiphyse gleichkomme, so würde sich beim *Amphioxus*

¹ A. a. O. S. 18.

² A. a. O.

³ A. a. O. S. VI.

⁴ A. a. O. S. 13.

⁵ A. a. O. S. 298.

das Gehirn nur allein bis zum Mittelhirn (*Corpus quadrigeminum*) erstrecken, vor dem sich ebenau die Epiphyse bei den höheren Vertebraten befindet.

Endlich schreidt neuerdings Wiedersheim: „den ursprünglichsten Typus repräsentirt der *Amphioxus*, dessen Hirn nur dem Hinterhirn und Nachhirn der übrigen Wirbelthiere entspricht.“¹

Besgleichen erfährt auch die einfache Hirnhöhle des *Amphioxus* verschiedene Deutung. Bald hat man sie für das Homologon des vierten Ventrikels, bald für das Homologon des dritten oder aller Ventrikel des Gehirnes der Vertebraten erklärt.

Frägt man sich nun, auf Grund welcher Thatssachen oder Umstände die eben vorgeführten Ansichten entstanden sind, so kommt man einigermaßen in Verlegenheit, auf diese Frage erschöpfend und richtig zu antworten. Denn es ist sehr schwer, einzusehen, wie es verständlich gemacht werden soll, dass das einfache und blasenartige Gebilde am vordern Ende des Centralnervensystems beim *Amphioxus* dem Vorderhirn oder dem Zwischenhirn, endlich dem Hinter- und Nachhirn entspricht; mit anderen Worten, wie soll etwas, das als Ganzes besteht, mit einzelnen Theilen eines Organes verglichen werden können, — eines Organes, dessen Theile bloß die späteren Prodnote seiner stufenweise erfolgten Entwicklung darstellen. Sind doch die bleibenden fünf Hauptabtheilungen des Vertebratengehirnes in dritter, beziehungsweise in vierter Reihe entstanden: erstens Medullarrohr; zweitens, an dessen vorderem Ende, die Bildung der v. Baer's '1 primären drei Hirnbläschen; im Zusammenhange damit drittens die Entwicklung dreier Sinnesorgane, und viertens die Entstehung des Vorder-, Zwischen-, Mittel-, Hinter- und Nachhirnes (v. Baer).

Ebenso wenig können als Massstab bei der Vergleichung des *Amphioxus*-Hirnes die dasselbe verlassenden Nerven dienen, gleichwie auch die sonstigen Beziehungen des Gehirnes und dessen Lagerungsverhältnisse zur *Chorda dorsalis* und zu anderen Theilen keine sicheren Anhaltspunkte für die vergleichende Methode darbieten.

Es ist auf den ersten Blick klar, ob selbst in dem Falle, dass einzelne der vorhin erwähnten Verhältnisse mit Recht bei der morphologischen Beurtheilung des Lancefischgehirnes angeführt wurden, es sich empfehlen würde, auf Grund jener Detailverhältnisse eine Entscheidung in dieser wichtigen Frage zu treffen. Meiner Ansicht nach sind bei Behandlung des besagten Gegenstandes besonders zwei Umstände von wesentlicher Bedeutung, und zwar die Entwicklungsgeschichte und der feinere Bau des Gehirnes, deren Anwendung, zumal ihrem Zusammenhange nach, wie ich glaube, beim *Amphioxus* Hirn bislang in der Literatur in geringerem Masse, als es notwendig wäre, hervortrat.

Zuvörderst ist die Behandlung unseres Gegenstandes von der entwicklungsgeschichtlichen Seite erforderlich, und es drängt sich uns die Frage auf: wie verhält sich das Gehirn während seiner ersten Entwicklungsphase bei den nächsten Ascendenten des *Amphioxus*, nämlich bei den Cyclostomen, oder richtiger gesagt, bei den Petromyzonten, da sich unsere bisherigen entwicklungsgeschichtlichen Erfahrungen bloß auf die letzteren unter den Cyclostomen erstrecken? Die genaue Betrachtung dieser Frage ist in morphologischer Beziehung überaus wichtig, indem bekanntlich das Neugebhirn im ausgebildeten Zustande und selbst bei vorgeschrittenen Entwicklungsphasen jene fünf Hauptabschnitte des Vertebratengehirnes beständig enthält, von denen, wie bereits erwähnt, beim Lancefischhirn nicht die mindeste Spur vorhanden ist. Die deutlichsten Mittel zur Aufklärung des diesfalls zu Tage tretenden Gegensatzes bietet uns vor allem die Entwicklungsgeschichte. Vor mehreren Decennien zeigte schon Max Schultze² in seiner Preisschrift: Über Entwicklungsgeschichte des *Petromyzon Planeri* (des kleinen Nennanges), dass hier die allererste Anlage des Gehirnes in einer einfachen und keulenähnlichen Form entstehe, aus der später die weiteren Differenzirungen am Gehirn hervorgingen. Daraufhin machte jedoch Owsjannikow hievon abweichende Angaben über die Entwicklungsgeschichte des Petromyzonhirnes, denen zufolge sich dieses in ähnlicher Weise wie das Hirn der höheren Vertebraten von Anfang an verhalten würde. Die ganze Angelegenheit musste somit als unentschieden betrachtet und bis zu der Zeit, wo ernste Untersuchungen die Aufklärung des Sachverhaltes brächten,

¹ Baer E. K. v., Über Entwicklungsgeschichte der Thiere. Zweiter Theil, S. 210. Königsberg 1837.

² Schultze M., Die Entwicklungsgeschichte von *Petromyzon Planeri*, Haarlem 1856.

in der Schwebe belassen werden. Dies ist denn auch in neuester Zeit geschehen, und zwar durch die Untersuchungen von Scott,¹ der die in Rede stehende Streitfrage zu Gunsten der Beobachtungen von Max Schultze entschied, in welcher Weise, darüber möge der Wortlaut seines Berichtes Zeugniß ablegen. Die diesbezügliche Stelle lautet: „Das Gehirn entsteht zuerst als eine keulenförmige Anschwellung des Vorderendes des Rückenmarkes; es ist sehr klein und einfach. Bald jedoch wird die Hirnanlage durch seichte Einschnürungen in drei Abschnitte getheilt u. s. w.“

Wie hieraus ersichtlich, durchläuft das Gehirn des Neunauges drei von einander wesentlich verschiedene Entwicklungsstadien, von denen sich die primäre Anlage des Gehirnes von der einfachen und keulenförmigen Gestalt als die typische Grundform des Wirbelthiergehirnes kundgibt, ein beim *Amphioxus* als dem einfachsten Wirbelthier perennirender Zustand. Die Behauptung, dass das einfache *Amphioxus*-Hirn, einschliesslich seines weiter unten zu besprechenden Übergangsstückes zum Rückenmark, als homologes Organ dem ganzen Gehirn der Vertebraten gleichgestellt werden müsse, und dass die in weiterem Entwicklungsgange bei den Wirbelthier-Descendenten erscheinenden „primären Gehirnbälchen“ v. Baer's secundäre Gebilde darstellen; demgemäss auch bei der Beurtheilung der ursprünglichen Form des Wirbelthiergehirnes erst in zweiter Reihe in Betracht kommen, erscheint mithin vollkommen gerechtfertigt.

Uebrigens ist die einfache Anlage des Gehirnes auch an höher organisierten Thieren beobachtet worden und zwar an Stören von A. Kowalewskij, Ph. Owsjannikow und N. Wagner;² dieselben schreiben: „das birnförmige vordere Ende, welches sich zum Gehirn ausbildet, wird nach vorn etwas zugespitzt. Dann bemerkt man in der Mitte eine Einschnürung, durch welche das Ganze in zwei Theile getheilt wird, in die vordere und die hintere Gehirnhälfte.“

Der zweite für die morphologische Beurtheilung des *Amphioxus* Gehirnes vorhin in Anschlag gebrachte Umstand betrifft den feineren Bau des Gehirnes.

Vorerst dürften einige Bemerkungen über die äussere Gestalt des Gehirnes am Platze sein. Der Betrachtung der genauen natürlichen Verhältnisse stellen sich hier einige Schwierigkeiten entgegen. Eine der wesentlichsten derselben ist, dass das nach aussen durch die Myomeren nicht begrenzte Gehirn viel schneller und nachhaltiger den bei der Präparierung angewendeten Flüssigkeiten ausgesetzt wird; was bei dem Rückenmark weniger der Fall ist. Allerdings ist die Erscheinung des Gehirnes ausserhalb der Muskelabschnitte einigermassen von Vortheil, indem hiedurch seine theilweise Untersuchung in situ erleichtert wird. Wenn man nämlich an frischen Exemplaren das Epithel der Kopfhaut nach vierundzwanzigstündiger Maceration in einer Glycerinlösung entfernt, so kann man die Seitenflächen des Gehirnes von rechts oder links unter dem Mikroskop mit ziemlich starker Vergrösserung (Hartnack, Obj. Syst. VIII) ins Auge fassen. Bei solcher Betrachtung zeigt sich das Gehirn als ein ziemlich geformter Coeus. Hingegen ist die Ansicht des Gehirnes von der dorsalen oder ventralen Fläche in natürlicher Lage unmöglich; es muss zur Isolirung des ganzen centralen Nervensystems geschritten werden, entweder durch Macerirung des ganzen Thieres, nach der Langerhans'schen Methode, oder durch Zerzupfung mit Präpariradeln.

Offensichtlich leidet in beiden Fällen die ursprüngliche Gestalt des Gehirnes, und zwar in noch bedeutenderem Masse unter dem, dabei unvermeidlichen störenden Einflüsse, welchen die Reagentien bei der Übertragung und Einschliessung des Präparates und der Druck der Gläsern auf dasselbe, unbedingt ausüben müssen. Finden diese Umstände eine entsprechende Berücksichtigung, zumal bei einem erst mikroskopisch deutlich sichtbaren Organ, so dürfte die genaue Entscheidung über die natürlichen Verhältnisse von der äusseren Gestalt des Gehirnes diesmal kaum völlig erreichbar sein, was jedoch kaum die durch Präparation des Gehirnes ermittelte Bestimmung der Gestalt im Allgemeinen verhindern dürfte.

¹ A. a. O. S. 4.

² Kowalewskij A., Owsjannikow Th. und Wagner N., Die Entwicklungsgeschichte der Störe. St. Petersburger Bulletin, T. XIV, S. 192.

Ein oberflächlicher Blick auf die Figuren genügt, um sich hiervon zu überzeugen. Die Figur 4 der Tafel VI zeigt das Gehirn in toto bei dorsaler Ansicht; die Figur 7 der Tafel V hingegen ein in schräg sagittaler Längsrichtung durchgeschnittenes Hirn; an beiden Abbildungen zeigt sich in der Form eine Differenz, die, wenn auch nicht erheblich, doch die Gestalt des Gehirnes modifiziert. Und trotz dieser Verschiedenheit kann man sagen, dass das *Amphioxus*-Hirn annäherungsweise mehr ein keulenförmiges Gebilde, als eine Blase darstellt.

Über den feineren Bau des Gehirnes hat W. Müller eine detaillirte Beschreibung gegeben, welche ich wörtlich voraussende. W. Müller¹ schreibt: „Das geschichtete Epithel der vorderen Wand der Höhle wird am Übergang in den conischen Abschnitt von einer anfangs ganz dünnen Lage einer feingraulirten Substanz umgeben, deren Dicke an den beiden Seiten rascher zunimmt, als an der ventralen Fläche, während dorsalwärts nur Andeutungen derselben sich zeigen. Diese feinkörnige Substanz enthält in ihrer Peripherie zahlreiche sehr feine, in Carmin blassroth sich färbende, längs verlaufende Fasern, deren Zahl von vorne nach rückwärts zunimmt. (Vergleiche Taf. X, Fig. 4 und 5.) Vor der Übergangsstelle der Höhle in den Centralcanal selbst, 0.06 hoch, liegt auf seinem unteren Ende, 0.026 von dem ventralen, mit dem oberen 0.033 vom dorsalen Rande des Nervensystems entfernt. Seine Wand wird im Bereiche des unteren 0.0035 weiten, 0.007 hohen Abschnittes von schmalen, 0.007 hohen Cylinderepithelien gebildet. An dieses Epithel schliessen sich schmale, mehr spindelförmige Zellen an, welche in starre, nach aussen etwas sich verschmälende Fortsätze übergehen. Diese Fortsätze erstrecken sich divergirend rechts und links von der Mittellinie nach unten und müssen, um schliesslich in der Nähe der Stelle, wo die Lücken der Cuticula chordae sich finden, an der Bindesubstanzhülle des Nervensystems sich zu inseriren. Umgeben wird dieser ganze Abschnitt des Centralcanals von einer Lage feinkörniger Substanz, welche ventralwärts 0.016, lateralwärts 0.0033 Dicke besitzt und ziemlich zahlreiche, sehr feine Längsfibrillen enthält. An der Grenze dieser feinkörnigen Substanz finden sich zwischen epithelialen Elementen multipolare Ganglienzellen. Sie liegen zerstreut, namentlich an den Übergangstellen der lateralen in die ventrale Fläche, sind klein, 0.004 gross, mit Kernen, und lassen meist drei Fortsätze erkennen. Das dorsale Ende des Centralcanals ist 0.013 hoch, 0.01 breit; die schmalen cylindrischen Epithelien, welche dieses Ende begrenzen, entsenden Fortsätze, welche mit dem die Ganglienzellen umgebenden Netzwerke zusammenhängen. Der erweiterte obere Theil des Centralcanals wird lateral- und dorsalwärts von grossen Ganglienzellen umgeben. Jede Ganglienzelle wird von einem Geflechte sehr feiner Fasern eingeschlossen, welche zum Theil Ansläufer der cylindrischen, den Centralcanal umgebenden Epithelien, zum Theil Ansläufer selbstständiger, netzförmiger Zellen sind.

Die Ganglienzellen stehen am gehärteten Präparat wie gewöhnlich durch einen Zwischenraum von dem umgebenden Fasergeflechte ab, sie sind zum Theil in der Richtung von oben nach unten etwas abgeflacht, 0.026 lang, 0.013 hoch, zum Theil mehr polygonal, 0.013—0.02 dick. Sie geben blasse Fortsätze ab, die mehr ventralwärts liegende, feinkörnige Substanz, je einen deutlicheren Fortsatz an die Wurzel des ersten sensiblen Nerven der gleichen Seite. Die Ganglienzellen erstrecken sich oben und seitlich bis dicht an die Bindesubstanzhülle des Centralnervensystems. Letztere ist von fibrillärer Beschaffenheit, 0.003 Dicke. Gefässe enthält das Nervensystem in seinem ganzen Verlaufe nicht.“

Meine Beobachtungen, welche ich über diesen Gegenstand anstellte, weichen wesentlich von den oben citirten W. Müller's ab. Das mag wohl daran liegen, dass ich hauptsächlich frische Zuppräparate, bald angefüllt, bald verschieden gefärbt,² untersucht habe, während mir die Längs- und Querschnitte von gehärteten

¹ A. a. O. S. V.

² Bei dieser Gelegenheit will ich erwähnen, dass ich mit Pikro-Indigocarmin sehr günstige Resultate erzielte. Die gasgrüne Färbung äussert sich an den Ganglienzellen unter ähnlichen Erscheinungen, wie die rothe Imbibition nach Anwendung des Carmins. Zudem ist die Färbung eben so dauerhaft wie bei Carminpräparaten und kann bei anderen Geweben mit Vortheil angewendet werden. Selbst bei pathologischen Präparaten erschien die Pikro-Indigocarmin-Färbung sehr nützlich; so haben sich z. B. mikroskopische Schnitte von Epulis sarcomatosa als ein sehr günstiges Untersuchungsobject erwiesen. Soweit ich die stättliche Anzahl der Tinctionsmethoden übersehe, ist das Pikro-Indigocarmin bislang noch nicht gebraucht worden.

Gehirnen bloss zur allgemeinen Orientirung dienen. Jedermann, der sich mit Untersuchungen der Nervensubstanzen überhaupt näher beschäftigt hat, weiss, wie schwer es fällt, sich an conservirten oder Schnittpräparaten über die Beschaffenheit einzelner Elemente des Nervensystems zu überzeugen. Dasselbe gilt auch von der Untersuchung ganzer und, wenn noch so kleiner Theile des Nervensystems.

Wie wir oben gehört, nennt W. Müller das Epithel an der vordern Gehirnwand ein geschichtetes Epithel, das er an einer andern Stelle seiner Schrift als ein geschichtetes Cylinderepithel bezeichnet. Dieser Angabe muss ich widersprechen, weil ich überall und stets in der Hirnhöhle ein einfaches cylindrisches Epithel, wie längs des ganzen Centralcanals aufliegen konnte (vergl. Taf. V, Fig. 52 *ccc*); jedoch kann ich die Cilien nicht für solche wie im Centralcanal constatiren. Jede Epithelzelle der Hirnhöhle entsendet einen ziemlich langen Fortsatz, der in das Innere der Hirnwandung eindringt, um frei zu endigen; aber an keiner Stelle des Gehirnes bilden diese Epithelienfortsätze einen Zusammenhang mit irgend einem Netze, wie dies W. Müller geschehen lässt. Dieselben zerstreuen sich nach verschiedenen Richtungen in der Neuroglia des Gehirnes. Die Neuroglia ist von gleicher Bauart, wie bei den übrigen Vertebraten, und sie besteht demnach aus fein granulirter, in Carminlösungen sich sehr schwach oder gar nicht färbender Substanz, in welcher fein granulirte, sich intensiv färbende und sphärische Kerne, stellenweise dicht und stellenweise minder dicht, eingestreut sind. Innerhalb der Neuroglia des ganzen Centralnervensystems befindet sich eine Menge dicht gedrängter und sehr engmaschiger Netze, die unzweifelhaft mit den feinen, elastischen Faseretzen der höheren Vertebraten identisch sind. Hierin läge die morphologische Grundlage für die eigenthümliche Dehnbarkeit des Centralnervensystems des *Amphioxus* und der Petromyzonten. Ich habe oftmals grössere und kleinere Stücke des frischen Rückenmarkes von *Ammocetes*, *Petromyzon marinus* und *Amphioxus* auf das Drei- bis Vierfache ausgedehnt; dabei verhielt sich ein solches Rückenmarksstück wie ein Gummischlauch; sobald nämlich der Zug nachliess, kehrte das Stück wieder in seine frühere Lage zurück; es war ebenso kurz geworden als vor seiner Ausdehnung.

Die Neuroglia wird ferner von Bindegewebsfasern in allen möglichen Richtungen durchzogen, welche sich zum Theil zu stärkeren und zum Theil zu schwächeren Bündeln vereinigen, bald zwischen den Ausseufächern und dem Innern, bald aber zwischen den Epithelien des Hirnventrikels und der Peripherie des Gehirnes verkehrend. Für die meisten Fälle der Verlaufsweise dieser Bindegewebszüge kann ich angeben, dass dieselben aus den das Gehirn äusserlich auf das Innigste umfassenden Bindegewebsfasern, deren Beschreibung weiter unten nachfolgt, herkommen.

Bezüglich der Nervenzellen fand ich Folgendes: Im Gegensatz zu Stieda,¹ der bei den Nervenzellen drei Grössen unterscheidet und einen obern und untern Kern annimmt, müssen der Beschaffenheit und Grösse nach die Nervenzellen des Gehirnes in dessen vorderer und rückwärtiger Abtheilung streng aneinander gehalten werden. In dem vorderen Gehirnschnitt, der zwei Drittel der ganzen Hirnmasse ausmacht, kommen durchwegs sehr kleine Nervenzellen vor, und zwar vorwiegend von der Gestalt kleiner Spindelzellen, von denen der eine Fortsatz in die Richtung nach einem der ersten zwei Gehirnnervenpaare verläuft. An gelungenen und frischen Zupfpräparaten kann man bisweilen solch einen Fortsatz irgend einer Spindelzelle bis in den Nervenstamm des einen oder des andern Hirnnerven verfolgen. Der mindere Bruchtheil der Nervenzellen aus dieser Hirnregion besteht aus kleinen körnerartigen Zellen, bei denen ich keinerlei deutlich ausgesprochene Fortsätze bemerkte. Bezüglich ihrer Lage ist ausser der völligen Unregelmässigkeit nichts Bemerkenswerthes anzuführen. Sämmtliche Nervenzellen in diesem Hirnschnitte sind zum Theil in grösserer, zum Theil in kleinerer Entfernung regellos zerstreut; einzelne von ihnen verlieren sich bis in die äussersten Theile der überall gleichmässig dicken Hirnwandung. Doch die meisten von ihnen befinden sich in der nächsten Umgebung des Ventrikelepithels derart, dass die Nervenzellen einzelnweise zwischen den Epithelien liegen.

Die Art und Weise der Lagerung und die körnerartige Gestalt derselben Nervenzellen stellen ähnliche Verhältnisse dar, wie im Vorderhirn und im vordern Abschnitte des Zwischen- und Mittelhirnes bei den

¹ A. a. O. S. 41 und 42.

Petromyzonten und Schelchier. Die benannten Gehirntheile aller dieser Fischgruppen enthalten auffallender Weise nur überaus kleine und körnerartige Nervenzellen und nicht eine einzige Nervenzelle, welche den unlegbaren und sofort in frischem und in conservirtem Zustande erkennbaren Charakter einer multipolaren, oder wie Virchow sagt, „polyklonen Ganglienzelle“ anweisen würde. Diese Thatsache scheint mir hinreichend, um aus ihr eine Stütze für die Vergleichung des besagten Hirnabschnittes beim *Amphioxus* mit dem Vorder- und theilweise mit dem Zwischen- und Mittelhirn aller Vertebraten ableiten zu können.

Die grösseren und multipolaren Ganglienzellen treten erst in dem letzten Drittel des *Amphioxus*-Hirnes, in jenem Abschnitte auf, in dem die allmähliche Verengung des Hirnventricels ihren Anfang nimmt (Tafel IV, Fig. 37 *3a* und *III'*). Dasselbst beobachtet man an frischen Präparaten, mehr lateralwärts, nach oben und abwärts reichend, eine grössere Anhäufung derart gebildeter Ganglienzellen; man kann sie indessen nicht mit Owsjannikow als die grössten der im Centralnervensystem vorkommenden Nervenzellen bezeichnen, denn die grössten von diesen Elementen kommen erst im Rückenmark vor. Immerhin weist ihr Auftreten auf eine charakteristische Bauart dieses Gehirnabschnittes hin. Vergleichen wir nämlich einen sagittalen Längsschnitt aus dem Gehirn eines kleinen Nemanges (Taf. IV, Fig. 36) oder eines Schelchiers, so erfahren wir, dass ähnliche Ganglienzellen wie jene (die letztere Figur bei *gl*) und zwar gleichfalls lateralwärts und mehr in der ventralen Gehirnsabstanz zum Vorschein kommen; ihre Ausbreitung beginnt unterhalb des Aquaeductus Sylvii (I.) in der Form einer continuirlichen Kette, welche sich fast das ganze Rückenmark entlang entwickelt. Eine Ungleichheit besteht blos in der Gliederungsweise bei dieser Kette, indem die Ganglienzellen bei Petromyzonten und Schelchier im Mittelhirne minder zahlreich und in kleinerer Gestalt als die der Medulla oblongata enthalten sind. Die Lage jener sich ähnlich verhaltenden Ganglienzellen beim *Amphioxus* ist im letzten Drittel des Gehirnes ebenfalls eine laterale und ventralwärts gerichtete, wodurch ein Anhaltspunkt zur Vergleichung dieser Stelle mit den betreffenden Hirntheilen aller oben genannten Fischarten geboten wird. Aber noch eine andere Frage kommt hierbei in Betracht: worin liegt der Unterschied zwischen dieser Hirnabtheilung und dem so innig verbundenen Rückenmark? Wie ich glaube, kann man auch hiefür mit Hilfe der histologischen Elemente einiger-massen die Grenze sowohl für das Rückenmark, als auch für den mit dem verlängerten Mark verglichenen Hirntheil beim *Amphioxus* angeben. Stellen wir nun einen Vergleich zwischen den dorsal gelegenen Nervenzellen des als Medulla oblongata bezeichneten Gehirnabschnittes und den entsprechenden des Rückenmarkes an, so gelangen wir zur folgenden Beobachtung. Dort begegnen wir dorsalwärts meist körnerartigen, hier in der Regel spindelförmigen Nervenzellen; dort sind die wenigen Spindelzellen mit den Körnerzellen planlos vermischt, hier wiederum sind die Nervenzellen regelmässig transversal gelagert (vergl. Taf. VI, Fig. 53 *4H'*); sie bilden zwei senkrechte von oben nach abwärts bis zum Centralcanal sich bewegende Colonnen, was sehr wahrscheinlich mit der Bildung der Rückenmarkswurzeln zusammenhängt.

Noch muss bemerkt werden, dass bereits Owsjannikow der Medulla oblongata erwähnt, indem er schreibt: „In dem Kopftheile des Rückenmarkes ist eine Stelle, die als verlängertes Mark angesehen werden kann. Dort finden sich die grössten Nervenzellen, in die sich die breiten Fasern endigen.“

Fasse ich nunmehr alles über das Gehirn des *Amphioxus* bisher Gesagte in wenigen Worten zusammen, so ergibt sich folgendes Resumé: „Das Gehirn des Lanzettfisches repräsentirt die ursprüngliche einfache Gestalt des Wirbelthierhirnes und ist homodynam mit den secundär sich entwickelnden, sogenannten drei primären Hirnbläschen v. Baer's, beziehungsweise mit dem Vorder-, Zwischen-, Mittel-, Hinter- und Nachhirn v. Baer's. Der feinere Bauart nach zerfällt dasselbe in zwei differente Abschnitte, in einen vorderen, der dem Vorder- und theilweise dem Zwischen- und Mittelhirn, und in einen rückwärtigen Abschnitt, der dem Hinter- und Nachhirn der übrigen Vertebraten entspricht.“

Rückenmark.

Wenngleich über die Natürlichkeit der äusseren Umrisse des Rückenmarkes im Allgemeinen dasselbe geltend gemacht werden kann, das beim Gehirn eine Anwendung fand, so kann man dennoch mit befriedigender

Sicherheit aussagen, dass die äussere Rückenmarksform einem cylindrischen Gebilde gleich, dessen Dickenverhältnisse nicht allwärts gleichmässig beschaffen sind. So ist das Rückenmark an seinem vordern, mit dem Gehirn innig vereinigten Ende (Taf. IV, Fig. 34 R) dünner als in den darauf folgenden Theilen. Hievon macht jedoch das rückwärtige Ende eine Ausnahme (Taf. I, Fig. 2 R). Allgemein wurde bislang angenommen, dass dieses Rückenmarksende spitzig endige. Ich kann dieser Annahme insofern beitreten, als dieselbe durch den Befund am isolirten Centralnervensystem (Taf. V, Fig. 45) unterstützt wird, freilich nur scheinbar, denn man kann sich bei Betrachtung der Verhältnisse an frischen Präparaten, von denen die Hantepithelien entfernt wurden, wo dann die Verhältnisse unter denkbarst natürlichen Umständen erscheinen, die Überzeugung verschaffen, dass das hintere Rückenmarksende keineswegs spitzig endigt. Im Gegentheile sitzt dem Rückenmark daselbst eine kleine Anschwellung auf, die in ihrem Innern eine deutlich wahrnehmbare Höhle einschliesst (Rif). Die letztere ist meines Wissens durch de Quatrefages¹ zuerst beobachtet worden; Stieda hat sie gelegnet. De Quatrefages bezeichnet sie als Ampulle; die Bezeichnung ist zwar nebensächlich, aber in diesem Falle empfiehlt sich wohl der Name des von Krause² beim Menschen erwiesenen Ventriculus terminalis, welcher an derselben Stelle im Rückenmark, wie beim *Amphioxus*, zum Vorschein kommt. Es lassen sich also dieselbs die gegenseitigen morphologischen Beziehungen der besagten Rückenmarkstheilungen naturgemäss abschätzen.

In nahem Zusammenhange mit der äusseren Rückenmarksgestalt steht ferner die Frage nach den Rückenmarkshüllen, den Meningeen, und anderweitigen Beziehungen des Rückenmarkes zu seiner Umgebung. Die äusserste Begrenzung für das Rückenmark von den benachbarten Körpertheilen bildet eine starke bindegewebige und membranartige Hülle, die skeletogene Schicht, welche aus längs-, quer- und gestreckt verlaufenden Bindegewebsfibrillen zusammengesetzt ist und nirgends in eine unmittelbare Berührung mit dem Rückenmark tritt, mit Ausnahme des hinteren Endstückes, wo sich die Hülle an das Rückenmark anlehnt. Dasselbe geschieht auch beim Hirn (Taf. IV, Fig. 30 Ss), an das sich ebenfalls von allen Seiten diese Hülle anlegt. Owsjannikow gibt ein membranöses Gebilde auf der inneren Fläche derselben skeletogenen Hülle an, welches sich ähnlich wie die Dura mater verhalten würde. Ich habe vergebens nach greifbaren Thatsachen gesucht, die gewiss, wenn sie überhaupt zu finden wären, unter dem Mikroskope eruihar sein müssten. Das ist aber nicht mit den frisch untersuchten Präparaten der Fall gewesen; denn ich sah an der inneren und äusseren Fläche desselben Gebildes wie in dessen Innerem immer nur dieselbe fibrilläre Structur. An Querschnitten von im Spiritus gehärteten Lancettfischen erscheint die skeletogene Umhüllung des Centralnervensystems allenthalben glänzend und homogen.

Der ziemlich weite Raum, welcher den Abstand des Rückenmarkes von jener Hülle bildet, ist zum Theil von einer gallertartigen Substanz angefüllt, die bei conservirten Thieren in Stücke zerfällt, welche einem Gerinnsel gleichen und nicht selten dem Rückenmark und dessen Wurzeln äusserlich ankleben. Sie ist es auch, die mit den als nackte Axencylinder aus dem Rückenmark hervorbrechenden motorischen Wurzeln verschmilzt und dann beim isolirten Rückenmark die peripherischen Theilen derselben Wurzeln die zackenhüllige Gestalt (Schneider) verleiht.

Offenbar liegt die Frage sehr nahe, welche Bedeutung diese Substanz für das Rückenmark des *Amphioxus* haben mag? Zu allererst könnte man in ihr eine Stützsubstanz suchen, deren Aufgabe es wäre, das wichtige Centralnervensystem vor Druck und Zerrungen zu beschützen. Vergänglich sucht man aber nach Ursachen, welche die genannten Wirkungen hervorrufen könnten; denn es existirt am ganzen *Amphioxus*-Körper nirgends etwas, das überhaupt einen grösseren Druck ausüben würde; keinen Knochen, keinen Knorpel und nichts dergleichen. Ähnliches besitzt der Lancettfisch. Überdies müsste nach solcher Annahme notwendigerweise geradezu in der Umgebung des Gehirnes eine derartige Stützsubstanz vorhanden sein, indem, wie bereits erwähnt, besonders der vordere grössere Abschnitt desselben ohne Bedeckung seitens der Myomeren verbleibt, mithin auch nach aussen weniger geschützt als das Rückenmark erscheint. Gegen das Erwarten

¹ A. a. O.

² Krause W., Der Ventriculus terminalis des Rückenmarkes. Archiv f. mikrosk. Anat. Bd. XI. 1875.

entwickelte sich jedoch in der Umgebung des Gehirnes jene gallertartige Substanz in einem sehr verminderten Verhältnisse, weil überhaupt wegen den nahen Beziehungen zwischen den Hirnmassenflächen und der skelotogenen Membran der Raum dafür fehlt.

Hieraus ergibt sich die Nothwendigkeit, der Bedeutung jener fraglichen Substanz auf eine andere Weise beizukommen. Vielleicht bringen die Untersuchungen des feineren Baues dieser Substanz eine befriedigende Aufklärung. Selbstverständlich kommen hierbei blos die Untersuchungen der Substanz in frischem Zustande in Betracht, was meinerseits geschehen ist. Ich habe nämlich die Substanz in situ an Zupfangspräparaten mit Gold oder Carmin und dann mit schwacher Essigsäurelösung behandelt und gefunden, dass dieselbe aus zahlreichen, dicht gedrängten und blasenförmigen Zellen (Taf. III, Fig. 20 z) besteht. Die Zellen waren insgesamt von grosser Gestalt, ihr Protoplasma homogen und äusserst schwach granulirt, gewöhnlich mit einem rundlichen fein granulirten Kern ohne Kernkörperchen in der Mitte. In manchen Präparaten konnte ich einzelne Fibrillen (*bf*) mit gerader Verlaufsrichtung wahrnehmen; ich konnte aber auch beobachten, dass die einzelnen Fibrillen nicht der Substanz angehörten, sondern beim Zerzupfen der bindegewebigen Hülle des Rückenmarkes, wodurch in die Substanz nur zugänglich wird, in die Substanz hinein gerathen waren; sie stammten von der Rückenmarksoberfläche, wie ich aus der gleichartigen Structur in beiden Fällen ersah.

Durch diesen Befund ist es erwiesen, dass die besprochene Substanz in der Umgebung des Rückenmarkes, keine Gallertsubstanz, wenigstens keine der so benannten und an verschiedenen Körperstellen beim *Amphioxus* auftretenden ähnliche Substanz ist. Vielmehr bietet dieselbe ein Gewebe dar, welches bei den Petromyzonten und Selachiern sehr wahrscheinlich die Bedeutung der Arachnoiden erhält. In jugendlichen Zustände, wie ich mich an zahlreichen Präparaten von kleinen Exemplaren des *Ammocoetes* überzeuge, befindet sich ein mit unserer Substanz vollkommen gleiches Gewebe zwischen der skelotogenen Hülle und des Centralnervensystems, und zwar in allen jenen Fällen, wo die Meningeae noch nicht zur Entwicklung gelangt sind. Dies wäre wieder eines jener Beispiele, wo die vergleichende Methode auf die Beziehungen eines, in Folge der Entwicklungsprocesse verschiedene Stufen durchlaufenden Gewebes hinweist, dessen ursprüngliche Form unter den Wirbelthieren beim *Amphioxus* vorhanden ist.

Die unmittelbare und mit der Medullarsubstanz innigst vereinigte Bedeckung bildet weiterhin eine dünne Lage zahlreicher Bindegewebsfibrillen, welche durch eine in frischem Zustande homogene, nach Behandlung mit Reagentien fein granulirte Zwischensubstanz zusammengehalten werden. Manchmal gelingt es, während der Zerzung frischer Objecte, die Bindegewebsfibrillen bündelweise und einzeln zu isoliren (Taf. V, Fig. 47).

Man erkennt dann ganz zuversichtlich, dass jede einzelne der Fibrillen in ihrem Verlaufe einen oblongen oder spindelförmigen, glänzenden und homogenen Kern enthält, in welchem in vielen Fällen ein deutliches Kernkörperchen sichtbar wird. Desgleichen bemerkt man oftmals an beiden Polen der Kerne kleine überreste des Protoplasma, das während des embryonalen Zustandes sehr wahrscheinlich beträchtlicher vertreten war, und jetzt zufolge der sich aus denselben in zwei entgegengesetzten Richtungen herausgebildeten Fasern auf ein minimales Quantum reducirt erscheint. Sämmtliche Fibrillen sind kurz und verlaufen überall auf der Oberfläche des ganzen Centralnervensystems. Bei oberflächlicher Besichtigung, namentlich des im Weingeist conservirten und ebenso des frischen, in Glycerin eingeschlossenen oder endlich in Schnitte zerlegten Centralnervensystems täuschen diese Fibrillenbündel sehr lang ausgezogene und ausserordentlich zarte Fasern vor, zwischen denen die Kerne zerstreut vorkommen (vergl. Taf. VI, Fig. 54 *bf*; Taf. V, Fig. 52 und Fig. 49). Beurtheilt man sie nach ihrer Feinheit, so kann eine Verwechslung mit den im Marke des Centralnervensystems und mehr oberflächlich längs verlaufenden feinsten Nervenfasern, besonders bei mittelmässigen Vergrösserungen, sehr leicht geschehen.

Die eben beschriebene Beschaffenheit der Bindegewebsfasern ist insofern von morphologischem Interesse, als hiedurch ein unumstösslicher Beweis für jene Ansicht entsteht, welche die Bindegewebsfasern aus Zellen hervorgehen lässt. Allerdings stehe ich nicht an, zu bemerken, dass damit die Berechtigung der zweiten Ansicht über Entstehung der Bindegewebsfibrillen verloren gegangen wäre, umso mehr als ich in die Lage komme, bei einer andern Gelegenheit auch für diese Ansicht histologische Beweise anzuführen.

Von den oberflächlich verlaufenden Bindegewebsfibrillen trennt sich eine grosse Anzahl gleichfalls zarter Bündel, welche in den mannigfachsten Richtungen das ganze Centralnervensystem bald auf kurze, bald auf lange, gerade, schiefe und bogenförmige Strecken durchziehen, wie dies die Figur 53 der Tafel VI bei *h'* veranschaulicht. Freilich bin ich weit entfernt davon, zu behaupten, dass die im Centralnervensystem zahlreich vorhandenen Bindegewebsfasern sämtlich und ausschliesslich von jenen die Oberflächen dieses Organes umfassenden Fibrillen abstammen; trotzdem es mir unmöglich war, die zelligen Substrate innerhalb des Gehirnes und Rückenmarkes für die Bindegewebsfasern zu erörtern.

Wie aus den Vorgehenden ersichtlich, ist meine Schilderung bei dem histologischen Baue des Rückenmarkes angelangt.

Über diesen Gegenstand enthält die Literatur mehrere Abhandlungen, von denen die erste aus der Feder Owsjannikow's¹ hervorging. Einige Jahre darauf, beschäftigte sich Stieda² in umfassender Weise mit denselben Gegenstände. Langerhans³ bemerkte in neuerer Zeit, er hätte zu den Angaben Owsjannikow's und Stieda's gar nichts hinzufügen. Ich bin nicht in der Lage, dasselbe zu sagen, indem mich die meinerseits über den feineren Bau des Rückenmarkes angestellten Untersuchungen zu einer ganz anderen Überzeugung geführt haben. Die vorgenannten Abhandlungen sind auf Grund conservirter Objekte entstanden. Seit den Untersuchungen Gerlach's jedoch weiss Jedermann ganz wohl, dass zur eingehenden Prüfung der histologischen Verhältnisse des Centralnervensystems frische Objekte und die Anwendung von Zupfungspräparaten unbedingt erforderlich sind. Allerdings fällt mir nichts weniger bei, als den Werth jener Abhandlungen zu schmälern, was ich in der Folge erweisen werde.

Die Besprechung der innern Bauart des Rückenmarkes dürfte sich in jener Reihenfolge anempfehlen, welche uns die Einteilung des Rückenmarkes in seine natürlichen Abschnitte bietet; und diese sind: 1. der Centraleanal, 2. die graue oder axiale Masse mit ihren histologischen Elementen, 3. der Ursprung der hinteren und vorderen Rückenmarkswurzeln, 4. die weisse Substanz oder die aus den Nervenfasern zusammengesetzten Rückenmarkstränge, 5. die Grundsubstanz, 6. das Bindegewebe und 7. Gefässe. Das Bindegewebe ist vorhin einer kurzen Beschreibung unterzogen worden, ich wende mich also der weiteren Besprechung zu, in der eben aufgestellten Reihenfolge.

Centraleanal. Derselbe nimmt seinen Verlauf nicht genau in der Mitte des Rückenmarkes, sondern mehr der ventralen Oberfläche des Markes genähert und ist an unter dem Einflusse der Reagentien unbedeutend leidenden Präparaten von nahezu kreisrunder Gestalt. Der ganzen Länge nach wird der Centraleanal mit einfachem flimmerndem Cylinderepithel (Tafel II, Fig. 9) bekleidet, also entsprechend der Angabe Owsjannikow's.⁴ Die Epithelzellen besitzen ein granulirtes Protoplasma, einen ebensolchen Kern, der nahe dem spitzen Zellenabschnitte liegt, und im Innern ein deutlich differenzirtes glänzendes Kernkörperchen führt. Von der Spitze jeder Epithelzelle läuft ein Fortsatz und zwar in grader, der Lage der Epithelzelle entsprechender Richtung aus. Die Epithelzellenfortsätze ragen tief in die Marksubstanz hinein (Taf. V, Fig. 52 *ccc*), wo sie frei endigen. In senkrechter Richtung, fast am dorsalen Rande der Marksubstanz bis in den Centraleanal hinabreichend, zeigt sich ein spaltenförmiges Gebiet (Taf. VI, Fig. 53 *hsp*), welches Owsjannikow dem Sulcus longitudinalis posterior vergleicht und desshalb in Opposition zur Angabe Stieda's steht. Stieda spricht nämlich diese Bedeutung jenen Gebiete ab und bringt seine Ansicht darüber in folgenden Sätzen zum Ausdruck:⁵ „Im weiteren Verlaufe der Entwicklung obliterirt nun der obere Abschnitt des spaltförmigen Canals sowohl durch Hineinwucherung der bindegewebigen Grundsubstanz als auch durch Hineinwachsen der Fortsätze der Nervenzellen von einer Seite zur andern; während die ursprünglichen Epithelzellen als solche sich erhalten. Der unterste Abschnitt, der Grund des spaltförmigen Canals bleibt allein offen

¹ A. a. O.² A. a. O.³ A. a. O. S. 298.⁴ A. a. O.⁵ A. a. O. S. 39.

und das ist der spätere Centralcanal des ausgebildeten Rückenmarkes.“ Ich muss der Ansicht Stieda's beitreten, weil dieselbe Vorgänge beim *Amphioxus* richtig beurtheilt, welche man am Rückenmark des jugendlichen *Amocoetes* verfolgen kann. Die Fig. 31 der Taf. IV zeigt uns den Centralcanal, wie er sich in Stadium seiner schliesslichen Umbildung befindet. Der dorsalwärts spaltförmige Centralcanalantheil ist noch das Fächerbleibsel der in früheren Stadien der Entwicklung bis nach der Aussenseite des noch ungeschlossenen Medullarrohres mündenden Spalte. Im vollkommen ausgebildeten Zustande verliert sich auch dieses Überbleibsel der Spalte und der Centralcanal der Petromyzonten nimmt sodann eine kreisrunde Form an. Der Unterschied zwischen dem Centralcanal des *Amphioxus* und jenem des Neunanges besteht also darin, dass die Spalte sich in einer anderen Weise beim *Amphioxus* als beim Neunange schliesst. Am Rückenmark des letzteren geht ein vollständiger Verschluss der Spalte vor sich, worauf an ihrer Stelle die Bildung des Sulcus longitudinalis posterior erfolgt, während sie beim *Amphioxus* blos von einer zarten, von zahlreichen, quer hin und her verlaufenden Nervenzellenfortsätzen durchbrochenen Bindesubstanz erfüllt wird, welche auch an frischen Präparaten mit spärlichen Kernen und fein granulirt erscheint. Diesem Umstande ist es auch zuzuschreiben, dass die Trennung der beiden Rückenmarkshälften an frischen Objecten selbst unter dem Drucke eines Deckgläschens zu Stande gebracht werden kann (Vergl. Taf. VI, Fig. 54 cc).

Wenn ich nun mit Stieda in dieser Frage theilweise übereinstimme, so muss ich andererseits seiner Behauptung entgegenzutreten, derzufolge in dem genannten Rückenmarksgebiete des *Amphioxus* die ursprünglichen Epithelzellen als solche erhalten wären. Die Lage derselben kann nicht für ihren Charakter eintreten, umso mehr, als mit ihnen bei derselben Lage vermengt, auch solche Zellen auftreten, denen Stieda die Kriterien der Nervenzellen gewiss nicht streitig machen würde (Taf. VI, Fig. 53 h H).

Wenn man am frischen Rückenmark die fraglichen Zellen mittelst einer Zerpupfung isolirt, erinnern sie an nichts weniger als an Epithelzellen; denn sie sind vollkommene Spindelzellen (Taf. IV, Fig. 39), von deren Polen ein längerer Fortsatz in die Marksubstanz hineinragt und ein kurzer in transversaler Richtung die gegenüberliegende Rückenmarkshälfte anstrebt. Das Protoplasma der Zellen ist allerdings sehr schwach granulirt und dessen Inneres birgt einen in gleicher Masse granulirten Kern mit überaus kleinem Kernkörperchen. Meines Erachtens bilden diese Zellen, wie ich jetzt schon bemerken will, die kleinsten Nervenzellen von spindeiförmiger Gestalt innerhalb des Rückenmarkes.

Der Umstand endlich, dass dieselben ihrer Lage nach thatsächlich als eine Fortsetzung des Centralcanal-epithels auftreten, spricht jedoch, meiner Meinung nach, nicht im Geringsten gegen ihre nervöse Natur: ich glaube sogar, dass sie in ihrer topographischen Lage nur einen weiteren Beleg für die Angaben Victor Hensen's¹ bieten, in deren Sinne sich die Nervenzellen innerhalb des Centralnervensystems aus dem Epithel entwickeln.

Die axiale oder centrale Markmasse. Nach den Angaben Stieda's ist ein Gegensatz zwischen grauer und weisser Substanz im Rückenmark des *Amphioxus* nicht wahrnehmbar: „darnach liegen hier wie bei anderen Wirbeltieren die Nervenzellen in dem centralen Abschnitt des Markes, die Nervenfasern im peripherischen.“ Diese Angaben sind richtig und entsprechen vollkommen den natürlichen Verhältnissen, da die graue Masse der übrigen Vertebraten beim *Amphioxus* ausschliesslich durch Nervenzellen vertreten ist. Hiezu trägt wohl, meiner Meinung nach, sehr Vieles auch der Umstand bei, dass im Rückenmark des *Amphioxus* nicht die mindeste Spur von den Gerlach'schen Protoplasmanetzen vorhanden ist. Dadurch erscheint hier nicht blos der Bau des centralen Rückenmarksabschnittes um ein Beträchtliches einfacher, sondern auch die Beschaffenheit der Nervenzellen und deren Beziehungen zu einander leichter fassbar. In letzterer Hinsicht will ein solcher Umstand viel sagen, da durch denselben das Verständniss für die Kriterien der Nervenzellen an Deutlichkeit gewinnt.

Bekanntlich sind die Verhältnisse in dieser Beziehung bei den höheren Vertebraten und dem Menschen anderer Art. Bei diesen konnte bisher in allen Fällen die Entscheidung nicht gelingen, ob man es mit Nerven-

¹ Hensen, Beobachtungen über die Befruchtung und Entwicklung des Kaimans und Meerschweinchens. Zeitschr. f. Anat. u. Entwicklungsg. Bd. I. Leipzig 1877.

zellen oder mit Nichtnervenzellen zu thun hätte, wesshalb denn auch eine zielbewusste Erkenntniss des Rückenmarksbau's in das Bereich der Unwahrscheinlichkeit verwiesen ist. Von dieser eigenthümlichen Bewandniss ist das Rückenmark des *Amphioxus* frei. Alles, was hier Nervenzelle ist, ist auch als solche zu erkennen und was nicht zu dieser Kategorie a priori gehört, ist keine vollkommene Zelle, sondern ein Bruchtheil einer solchen oder ein Neurogliakern, ein Bindegewebskörperchen, oder endlich der Kern irgend einer Capillariwandung.

Bevor ich in der Besprechung der Nervenzellen fortfahre, will ich an dieser Stelle Folgendes einschalten: Ich verfähre hier mit der Gruppierungsweise der Nervenzellen und der weiter unten beschriebenen Ursprungsweise der Rückenmarkswurzeln folgendermassen: die ventralen Nervenzellengruppen bezeichne ich geradezu als Vorderhörner (Taf. VI, Fig. 53 v H), dagegen die dorsalen Zellegruppen als Hinterhörner (h H); die weisse oder die Nervenmasse, welche die peripherischen Theile des Rückenmarkes besetzt hält, theile ich ein: 1. in die Vorderstränge (v S), 2. in die Seitenstränge (s S) und 3. in die Hinterstränge (h S).

Was nun die Gestalt und die Grössenverhältnisse der Rückenmarkszellen anbelangt, so müssen hierüber zunächst die Angaben Owsjannikow's und Stieda's berücksichtigt werden. Stieda theilt die Nervenzellen des Centralnervensystems überhaupt in zwei Kategorien ein, in die des Gehirns und in die des Rückenmarkes. „Es ist hier wie bei anderen Wirbelthieren nur möglich“ — meint Stieda¹ — „die Nervenzellen allein nach ihrer Grösse zu classificiren, wie es Owsjannikow gethan hat. Owsjannikow unterscheidet zwei Kategorien von Nervenzellen „grössere und kleinere“, während Stieda eine dritte, die mittlere Grösse bei den Nervenzellen im Rückenmarke des *Amphioxus* annimmt.

Meine diesbezüglichen Erfahrungen entfernen sich von den Angaben Owsjannikow's und Stieda's im Wesentlichen sehr bedeutend, wie es zu erwarten ist, indem ich durch Isolirung der Nervenzellen an frischen Centralnervensystemen meine Beobachtungen ausführte. Ich musste mich sofort bei solchem Verfahren davon überzeugen, dass die Einteilung der Nervenzellen ihrer Grösse nach völlig unhaltbar sei. Die Grössenverhältnisse derselben Zellen zeigen nämlich eine ziemlich breite Scale (vergl. Taf. IV, Fig. 32, 33, 35, 39 und 41; Taf. V, Fig. 46 gl und pg, Fig. 52 gl und pg). Die kleinsten Nervenzellen finden sich unter den spindelförmigen, die grössten unter den multipolaren. Einzelne colossale Ganglianzellen von den letztgenannten tonchen in nicht unbedeutenden Entfernungen von einander in der Mittellinie der dorsalen Markpartie und in der nächsten Nähe des Centralkanals auf. Es kam mir in einzelnen Fällen vor, dass eine derartige Colossalzelle beinahe das ganze Gebiet des Markes und zwar den zwischen dem Centralkanal und dem dorsalen Rande gelegenen Mittelabschnitt ausfüllte; ihre Bedeutung blieb mir völlig unbekannt; ihr allfälliger Zusammenhang mit Nervenfasern gleichfalls.

Nachdem also die durchschlagende Charakterisirung der Nervenzellen und deren Einteilung ihrer Grösse nach unmöglich erscheint, so dürfte eine solche in ihrer Gestalt liegen. Da zeigt es sich augenblicklich, wie die letztere blos in zweifacher Art im Rückenmarke hervortritt. Darüber geben Zerzupfungspräparate die beste Aufklärung. Diesbezüglich gehen meine Befunde dahin, dass im Rückenmarke die Nervenzellen ihrer Gestalt nach in zwei Kategorien unterzubringen sind: entweder sind sie nach dem Typus der multipolaren oder nach dem Typus der bipolaren und spindelförmigen Nervenzellen der Wirbelthiere gebildet. „Tertium non datur.“ Und wenn auch in wenigen Fällen Zellen von anderer Gestalt vorkommen, so ist dies blos scheinbar, da man sich bei näherer Untersuchung solcher Zellen, mit starker Vergrösserung, und vorausgesetzt ihre ungestörte ursprüngliche Form, leicht hin überzeugen kann, dass die in ihrer Gestalt zweifelhaften Zellen unter den physiologischen Umständen bald auf den multipolaren, bald auf den bipolaren Typus zurückführbar sein können.

Die multipolaren Zellen trifft man vorwiegend in den lateralen und ventralen, dagegen die bipolaren oder die spindelförmigen Zellen in den dorso-medialen Markabschnitten.

¹ A. a. O. S. 41.

Ehe ich die Rückenmarkszellen des *Amphioxus* verlasse, muss ich noch auf die Besprechung der eigen thümlichen Pigmentzellen etwas näher eingehen. Nach der Ansicht von Goodair¹ verläuft ein Streifen schwarzen Pigments in der Mitte der oberen Fläche des Rückenmarkes. „Nach unseren Untersuchungen — erwidert Johannes Müller² — befindet sich das Pigment im unteren Theile des Rückenmarkes. Die Pigmentzellen reichen beinahe durch das ganze centrale Nervensystem, doch hören sie schon eine kleine Strecke vor dem vorderen stumpfen Ende auf.“ Diese Angaben Joh. Müller's erfreuen sich allgemeiner Anerkennung.

Stieda³ sagt über dieselben Zellen Folgendes aus: „Unterhalb des Centralcanals liegen in einer nicht continuirlichen, sondern vielfach unterbrochenen Reihe sternförmige Pigmentzellen; sie erstrecken sich, wie die früheren Autoren beschrieben haben, und Owsjannikow bestätigt, durch das ganze Centralnervensystem. Nur der vorderste Abschnitt des Hirns ist bis auf die vorderste Wand frei vom Pigment. An *Spiritus*-exemplaren besitzen die Pigmentzellen häufig lange Ausläufer. Das Pigment ist schwarz und meist körnig, selten braun oder bräunlich. Ich bin der Ansicht, dass die Pigmentzellen bindegewebig sind, wie etwa im Rückenmark des Frosches.“

Owsjannikow⁴ führt die Lagerung der Zellen auf den Gefässen an. Freilich haben die Räume, in denen Owsjannikow Gefässe vermuthet, mit diesen gar nichts zu thun.

Dem gegenüber muss ich kurz erwähnen, dass die Pigmentzellen in frischen Zupfungspräparaten zum grössten Theil als multipolare Zellen (Taf. III, Fig. 25 a und b) erscheinen, deren stark granulirtes und sehr dunkelbraunes, pigmentführendes Protoplasma einen deutlichen Kern besitzt. Von den mehreren Fortsätzen sind die meisten überaus fein und gebrechlich, so dass man sie bei der Zerpflanzung oftmals gänzlich wegreisst, mit Ausnahme eines viel stärkeren und verhältnissmässig dicken Fortsatzes, der, wie wir weiter unten sehen werden, über die physiologische Bedeutung dieser Zellen entscheidet. Ich bemerke blos, dass sie keineswegs sternförmige Bindegewebzellen, wie Stieda meint, sondern vielmehr multipolare Ganglianzellen darstellen. Was ihre Ausbreitung im Centralnervensysteme anbelangt, so fand ich dieselben in grösseren und kleineren, fast durchgehends continuirlichen Gruppen nach vorne bis in den vordersten Hirnabschnitt (Taf. IV, Fig. 34 f^h), nach hinten in den meisten Fällen nur bis in das Ursprungsgebiet der letzten zwei Paare von den hinteren Spinalwurzeln (vergl. Taf. V, Fig. 45 p_g). Im Rückenmark verlaufen die Pigmentzellen der von den neueren Autoren bestätigten Angabe gemäss von Johannes Müller in den ventralen Rückenmarksabsehnitten, und wie ich hinzufüge, meistens lateralwärts und nächst des Centralcanals gelagert. Dagegen fand ich sie im Gehirn sowohl in den lateralen, als auch in den dorsalen und ventralen Marktheilen und zwar einzeln zerstreut. Aus demselben Grunde bleibt es mir unverständlich, wie W. Müller⁵ durch ehemaligen Versuch einen Unterschied zwischen dem Pigment des Hirns und dem des Rückenmarkes erhalten konnte.

Beachtenswerth scheint mir die Vertheilung der Pigmentkörner in diesen Zellen zu sein. Ich habe nämlich so ziemlich bei allen frisch isolirten Pigmentzellen bemerkt, dass die Pigmentkörner höchst selten in den Zellkernen sasssen; fast immer fand ihre Concentrirung im Protoplasma derart statt, dass die Zellkerne wie hohle Höfe in der Zelle erschienen (vergl. Taf. V, Fig. 46 p_g). Weiterhin bemerkte ich, dass die Pigmentkörner unter dem Einflusse der Reagentien allmählich gegen die Oberflächen der Pigmentzellen sich zurückgezogen haben, also sehr wahrscheinlich blos äusserlich im Zellprotoplasma aufsitzen. Ähnliches Verhalten beobachtete ich auch an den pigmentirten Zellen des Epithels der Körperhaut. (Taf. V, Fig. 48.)

Bekanntlich existirt die Chromatose von ähnlicher Weise auch anderswo bei verschiedenen Geweben und Organen, und zwar unter physiologischen und pathologischen Umständen. Eine wichtige Frage, welche uns hierbei entgegentritt, ist: wie soll man sich die Provenienz der Pigmente in allen diesen Fällen erklären?

¹ A. a. O. S. 251.

² A. a. O. S. 19.

³ A. a. O. S. 10.

⁴ A. a. O.

⁵ A. a. O.

Eduard Rindfleisch¹ verteidigt neuerdings die Ansicht, dass die Pigmentirung der Zellen dadurch entstehe, „dass sich die rothen Blutkörperchen allmählig entfärben und ihren Farbstoff in gelöster Farbe den benachbarten Geweben zur Verfügung stellen.“ Und das wäre in unserem Falle nicht ganz auszuschliessen, da wir ja die Existenz der farbigen Bintzellen beim *Amphioxus* behauptet haben. Hören wir aber, was Rindfleisch ferner über diesen Gegenstand schreibt: „Die Zellen ziehen den Farbstoff mächtig an, als die Intercellularsubstanzen, homogene Membranen, elastische Fasern etc. Die Zellen erscheinen daher schon in diesem Stadium am intensivsten mit einem gelben oder braunen Farbenton gesättigt. . . . Darin aber unterscheidet sich die Hämatin- von der Carminfärbung, dass nicht innerhalb der Zelle wiederum der Kern ein besonderes Anzielmittelpunkt für den Farbstoff abgibt. Im Gegentheil, gerade die Kerne bleiben unberührt, so dass man sie namentlich später als farblose inmitten des pigmentirten Protoplasmas wahrnehmen kann.“

Weil ich aber analoge Processe in den Pigmentzellen beim *Amphioxus* gesehen, wie ich vorhin zeigte, so schliesse ich mich auch im Übrigen der Ansicht von Rindfleisch an, die Pigmentimbibition der Zellen „als rein chemischen Vorgang anzusehen, der mit den Lebensseigenschaften der Theile nichts zu thun hat.“

Mit dem Hinweis auf die oben enthaltenen Abschnitte dieser Untersuchungen, in denen das periphere Verhalten der hinteren und vorderen Spinalwurzeln behandelt wurde, leite ich meine weitere Beschreibung mit der Wiedergabe der diesbezüglichen Angaben ein. Zunächst, was die hinteren Wurzeln anbelangt.

Owsjannikow war der erste Autor, der über den Ursprung der hinteren Spinalwurzeln beim *Amphioxus* richtige Beobachtungen gemacht. Stieda bestätigte die von Owsjannikow gewonnenen Resultate. Vergleicht man aber die Abhandlungen und ihre Abbildungen mit einander, so kann man sich nicht des Bekenntnisses erwehren, dass die Art und Weise, mit welcher Stieda den Angaben Owsjannikow's die Bestätigung angedeihen lässt, nichts weniger als erwiesen ist, und das so lange auch bleiben wird, so lange aus der blossen Verlaufsrichtung der Nervenzellenfortsätze und der diesen entgegenkommenden Wurzelfasern, auf den Beweis des Wurzelursprunges eben nur vermuthungsweise geschlossen werden kann. Stieda hat in vollem Einklang mit seinen Beschreibungen seine nur allein als Vermuthungen annehmbaren Angaben gemacht und dadurch heillose Verwirrung angerichtet. Man betrachte blos seine Abbildungen etwas näher; wie leicht wird es daselbst einsehen gemacht, das Fälschliche der Abbildungen sofort herauszufinden; diese Behauptung will ganz objectiv sein und desshalb ist es nothwendig, dieselbe einigermaßen zu exemplifizieren.

Owsjannikow² gibt an, dass die Rückenmarksnerven abwechselnd und in verschiedener Höhe entspringen. Diese Angabe ist richtig (vergl. d. Abbild. Taf. II, Fig. 21 d/H) und war Stieda sehr wohl bekannt; denn er citirt dieselbe in seiner Abhandlung.

Behält man diese Thatsache im Auge und vergleicht nun die Abbildung (Fig. 16) von Stieda, an der man gleichmässig und den das Rückenmark als einfache Nervenstränge verlassenden hinteren Wurzeln vollkommen entsprechend dicke Wurzelportion vorfindet, so ergibt sich daraus, dass Stieda die alternirend auftretenden hinteren Spinalwurzeln zum Theil als vordere Wurzeln deutet.

Ich kann nicht mählig, diesen Umstand mit Nachdruck hervorzuheben, um so mehr als neuerdings in einen ähnlichen Irrthum auch Schneider verfiel. Wenn man den Querschnitt (Fig. 2) ansieht, welchen Schneider zum Theil auch behufs einer Demonstration der Ursprungsverhältnisse von den in ihren peripherischen Theilen durch ihn wesentlich richtig erkannten vorderen Spinalwurzeln zur Abbildung brachte, so erblickt man den gleichen Irrthum, wie bei der Stieda'schen Zeichnung. Das leuchtet sofort ein, sobald man den Anschluss Schneider's an Stieda's Angaben im Laufe seiner Abhandlung zu lesen bekommt, wie ich es schon in einem der früheren Abschnitte besprach.

¹ Rindfleisch, Lehrbuch der pathologischen Gewebelehre mit Einschluss einer pathologischen Anatomie in kurzgefassten Krankheitsbildern. Fünfte Auflage, S. 43 u. 44. Leipzig 1878.

² A. u. O.

Im Übrigen gibt ja Stieda selbst das beste Urtheil über seine diesfälligen Angaben ab. Hier stehen seine eigenen Worte: ¹ „Trifft man auf einem Querschnitt eine obere (oder untere) Wurzel, so sind alle Zellenfortsätze derjenigen Seite, an welcher die Wurzel sich befindet, mehr oder weniger genau dorthin gerichtet, wo die Wurzel das Mark verlässt. Es sieht mitunter so aus, als ob die Fasern der Wurzeln, vom Eintrittspunkt an divergirend, direct zu den Nervenzellen derselben Seite hiazüen. Ich finde keinen Unterschied zwischen den oberen und unteren Wurzeln.“ Dies Geständniss gibt doch das beste Zeugniß für die Sache ab. Man muss sich angesichts dieser Thatsache unwillkürlich fragen: warum sollen Nervenwurzeln, die sich von einander in keiner Weise unterscheiden, einmal vordere, andermal obere Spinalwurzeln repräsentiren? Vielleicht nur deshalb, weil wir im Rückenmark eines jeden Wirbelthieres beiderlei Wurzeln postuliren? Damit kann man aber niemals morphologische Thatsachen erweisen!

Ich wende mich nach diesen Bemerkungen der Weiterbesprechung meiner Untersuchungen zu. Nachdem ich den Ursprung der hinteren Spinalwurzeln in der von Owsjannikow angegebenen Weise bestätigt gefunden, so verweise ich auf dessen Untersuchungen, um mich nicht vielfach wiederholen zu müssen; da ja ohnedies die Ursprungsverhältnisse der hinteren Spinalwurzeln im Zusammenhange mit der Beurtheilung ihres functionellen Charakters später zur Sprache gelangen.

Ursprung der vorderen Wurzeln. Ungeachtet dessen, dass die Nervenfasern hier viel stärker sind als bei den sensiblen Wurzeln, ist es unmöglich, an Querschnitten den Verlauf der motorischen Wurzeln zu verfolgen. Auch die sehr sagittal geführten Längsschnitte von conservirten Rückenmark gestatten im günstigsten Falle, die ventralen Wurzeln auf einige Entfernung zu verfolgen (Taf. V, Fig. 49 *rH*); gleichzeitig treten in entgegengesetzter Richtung von den ventralen Wurzelfasern als kleine, kurz abgeschnittene Bündel, die dorsalen Wurzeln (*dW*) auf. Die Existenz der vorderen Wurzeln lässt sich entweder an glücklichen Zugfängspräparaten und noch sicherer und deutlicher durch Betrachtung der ventro-lateralen Rückenmarksfächen, die in Glycerin- oder in Nelkenöl, nach vorheriger Behandlung mit Gohl, mit Carminammon, n. s. w. und im frischen Zustande angefeuchtet worden sind, Wir sehen da, wie die vorderen Wurzeln als deutlich wahrnehmbare Fasern das Rückenmark verlassen und frei endigen (Taf. V, Fig. 52 *rH*).

Die Zellen, welche die vorderen Wurzeln in der Gestalt nackter Axencylinder von dem Rückenmark entsenden, liegen lateralwärts und einige davon ventralwärts vom Centraleanal (Taf. VI, Fig. 55 *rH*). Beschäftigt man die Zellen an Zugfängspräparaten, wo sie freier auftreten (Taf. V, Fig. 52 *gl* und *pg*), so übersieht man die verschiedenen Grössen, mit denen sie sich an der Wurzelbildung betheiligen. Der grössere Theil der motorischen Wurzelfasern nimmt seinen Ursprung in pigmentlosen und multipolaren Nervenzellen, während der mindere Theil von den pigmentirten und ebenfalls multipolaren Ganglienzellen entspringt. Der Verlauf von den in Bündel gruppierten Wurzelfasern ist in einer schiefen unter einem spitzen Winkel gedachten Ebene; dabei convergiren die Fasern beiläufig in der Mitte ihrer Laufbahn und divergiren, sobald sie die Peripherie des Rückenmarkes erreicht haben. Daher erklärt sich auch ihre zaackenförmige Erscheinung an der Peripherie des Rückenmarkes (Taf. VI, Fig. 54 *rH*).

Die Neuroglia besteht wie bei allen Vertebraten aus einer punktirten Substanz, in welche kreisrunde Kerne mit, grossen Punkten ähnlichen Kernkörperchen in gewissen Abständen zerstreut liegen (Taf. IV, Fig. 29 *ng* und *ak* Fig. 43). Im Innern der Neuroglia verbreitern sich allerwärts zahlreiche, ziemlich engmaschige und überaus zarte Fasernetze (*fnz*), welche ihrem Aussehen nach wohl nichts anderes als elastische Fasernetze, wie sie im Centralnervensystem der übrigen Wirbelthiere gleichfalls vorkommen, darstellen.

Die Rückenmarksstränge verhalten sich im Wesentlichen wie die der Wirbelthiere. Von Commissuren ist, gleich wie von der grauen Substanz, im Rückenmark des *Amphioxus* nicht das Geringste vorhanden. Desgleichen gibt es keine Kreuzungen weder der Wurzelfasern noch der Fasern der Rückenmarksstränge.

¹ A. n. O. 8, 47 und 18.

Beztiglich der Commissuren und der Längsfasern kann ich also den Ansichten Stieda's nicht folgen.

In Betreff der Commissuren sagt Stieda: ¹ „Ausser den Längsfasern gibt es im Centralnervensystem des *Amphioxus* noch quer und schräg verlaufende Fasern. Als quer verlaufende Fasern treten die Zellenfortsätze entgegen, welche in grosser Menge von einer Seite des Rückenmarks zur andern ziehen und dabei stets durch den oberen obliterirten Theil des Centralcanals hindurchgehen. Die Menge der hier befindlichen Fasern ist sehr bedeutend; dagegen ist die Anzahl der unterhalb des Centralcanals von einer Hälfte des Rückenmarks zur andern ziehenden Fasern sehr gering. Es existirt demnach im Rückenmark des *Amphioxus* wie bei anderen Wirbelthieren eine Commissur, welche weder als untere, noch als obere aufgefasst werden darf, sondern beiden zusammen entspricht. Der weitere Verlauf der Commissurfasern konnte nicht ermittelt werden; wahrscheinlich geht ein Theil direct in die Wurzelfasern, ein anderer in Längsfasern über.“

Es ist allerdings richtig, wie es Stieda angibt, dass zahlreiche Zellenfortsätze in querer Verlaufsrichtung durch die obliterirte Rückenmarksspalte hin- und herthier gelangen; aber die Fortsätze sind eben durchwegs sehr kurze Fortsätze (vergl. Taf. VI, Fig. 53 *Rep.*), und können schon auch deshalb nicht als Fasern bezeichnet werden, weil alle von ihnen frei endigen und keinerlei Beziehungen weiter zu den Längsfasern, noch zu anderen Gehäulen eingehen. Hievon kann man sich am sichersten durch Zerzupfungspräparate von frischen Rückenmarken überzeugen.

Ich glaube, dass es kein Irrthum sei, wenn ich in der Anordnung und der Beschaffenheit der erwähnten Zellenfortsätze eine Commissurenbildung, mindestens eine dem Commissurensystem der höheren Wirbelthiere ähnliche Bildung nicht zu erkennen vermag.

Ebenso wenig stimme ich rücksichtlich der merkwürdigen Kolossalfasern mit Stieda überein.

„Auf Längsschnitten“ — sagt Stieda ² — „habe ich häufig die kolossalen (Müller'schen) Fasern in directem Zusammenhang mit den grössten Nervenzellen gesehen, so dass über den Ursprung der Fasern nach einer Richtung hin kein Zweifel sein kann. Wie verhält sich das andere Ende einer solchen Müller'schen Faser? Es sind meiner Ansicht nach drei Fälle möglich: erstens kann die Faser nach kürzerem oder längerem Verlauf aus dem Rückenmark in die Bahn eines Spinalnerven eintreten; für diese Annahme spricht nichts. Zweitens kann die Müller'sche Faser durch Zusammenfluss feinerer Fasern im Rückenmark entstehen, wobei es unentschieden bleibt, ob diese letzten feinen Fasern in die Bahn des Spinalnerven übergehen, oder vielleicht Zellenfortsätze sind.

Owsjannikow ist als Vertreter der zweiten Annahme zu nennen; er spricht es direct aus, dass die Fasern im Rückenmark selbst wahrscheinlich durch Zusammenfluss der feinen Fasern sich bilden. Da ich nirgends eine derartige Theilung oder einen Zusammenfluss von Fasern beobachtet habe, so kann ich nach diese zweite Annahme nicht gelten lassen. Der dritte Fall wäre, dass eine Müller'sche Faser, von einer grossen Nervenzelle entspringend, nach einem kürzeren oder längeren Verlauf im Rückenmark abermals in eine andere grosse Nervenzelle direct überginge. Ich meine, die zuletzt ausgesprochene Annahme dadurch stützen zu können, dass ich folgende Beobachtung auftrah. Ich sah mehr als einmal eine kolossale Müller'sche Faser als Fortsatz einer Nervenzelle, aber in der Richtung zum Hirn, d. h. nach vorn, abgehen. Ich betrachte hiermit die Müller'sche Fasern als sogenannte „immanente“ Fasern, als lang ausgehende Commissuren zwischen zwei der grössten Nervenzellen. Letztere haben gewiss die Bedeutung von „Sammelzellen“, wie ich das an einem andern Orte auseinandergesetzt habe.³ Ich habe bei früherer Gelegenheit, bei Beschreibung des Rückenmarks und Gehirns der Knochenfische, auch der grossen sog. Manthner'schen Fasern, welche ohne Zweifel den Müller'schen zu vergleichen sind, erwähnt und dabei die Kreuzung derselben in der Medulla

¹ A. a. O. S. 43.

² A. a. O. S. 44.

³ Stieda, Studien über das centrale Nervensystem der Wirbelthiere. Zeitschr. f. wiss. Zool. Bd. XII. Leipzig 1870. S. 161.

oblongata hervorgehoben. Ich habe damals die Ansicht ausgesprochen, dass jene Fasern in die Bahn eines Hirnnerven eintreten und mit ihm das Hirn verlassen.

Jetzt habe ich erkannt, dass dies nicht richtig ist; jene Müller-Mauthner'schen Fasern erreichen auch bei Knochenfischen in gewissen sehr grossen Zellen der Medulla oblongata ihr Ende.*

Meine Resultate entfernen sich theilweise von dem Angeführten. Der Unterschied zwischen der Anschauungsweise Stieda's und meinen Erfahrungen liegt hauptsächlich in den Angaben über Entstehung der Kolossalfasern, welche Owsjannikow den Müller'schen Fasern im Rückenmark der Petromyzonten vergleicht. Allein auch dieser Vergleich ist nur zum Theile richtig, nämlich insofern richtig, als ein Theil von den Kolossalfasern, entsprechend den Angaben von Owsjannikow aus Nervenzellen des vordersten Rückenmarksabschnittes entspringt. „In dem Kopftheil des Rückenmarks“ — resumirt Owsjannikow¹ — „ist eine Stelle, die als verlängertes Mark angesehen werden kann. Dort finden sich die grössten Nervenzellen, in die sich die breiten Fasern endigen.“ Man kann sich in der That davon zu in sagittaler Richtung geführten Längsschnitten ohne viel Mühe überzeugen. Es lassen sich an solchen Präparaten jene Fasern auf bedeutende Entfernungen, mit der Verlaufsrichtung nach rückwärts, im Rückenmark verfolgen. Die in dieser Weise sich verlaufenden Fasern sind unstreitig den Müller'schen und Mauthner'schen Fasern homolog. Wichtig ist bei ihnen der Umstand, dass sie — wie ich mich an Längsschnitten vom Rückenmark der Petromyzonten und des *Amphioxus* öfters überzeugen konnte — weder mit Rückenmarkswurzeln, noch mit anderen Nervenzellen oder Fasern in Bethörung kommen (vergl. Taf. V, Fig. 49 *gn.*), sondern in verschiedenen Gegenden des Rückenmarkes bald nach kürzerem, bald nach längerem Verlaufe frei endigen.

Nun machen diese Müller'schen Fasern im Rückenmark des *Amphioxus* keineswegs die Gesamtheit der Kolossalfasern aus, indem die Mehrzahl von diesen letzteren eine weiteren und zwar zweifachen Weise ihre Entstehung verdankt. Man gelangt zur Erkenntniss der beiden Entstehungsarten von den Kolossalfasern auf dem Wege der Zerzupfung von frischen Rückenmarken. Werden die auf diese Weise isolirten Kolossalfasern mit sehr starken Vergrösserungen unter dem Mikroskop genau untersucht, so lässt sich eine klare Übersicht ihrer Verhältnisse erzielen. Eine solche Übersicht bringt nach jeder Richtung hin einen befriedigenden Anschluss, nicht bloss rücksichtlich des Ursprungs von den einzelnen Kolossalfasern, sondern auch rücksichtlich ihrer Stärke und Verlaufsrichtung; beides Umstände, die jedenfalls in der Frage über ihren morphologischen Charakter entscheidend sind.

Beziehentlich ihrer Stärke verhalten sich die Fasern sehr verschieden; in den meisten Fällen findet man höchstens 2—3 Kolossalfasern, welche so ziemlich den gleichen Breitendurchmesser besitzen, während die übrigen gänzlich verschieden dick sind. Aber auch ihre Anzahl verhält sich verschieden an verschiedenen Orten der Rückenmarksabschnitte, daher erklärt sich auch die schwankende Menge, mit der diese Fasern an Quer- und Längsschnitten von Rückenmarken verschiedener Lancettfische erscheinen. (Vergl. Taf. VI, Fig. 53 *gn.*) Der letztere Umstand trägt daran die Schuld, dass die Zählung der Kolossalfasern eine unsichere bleibt.

Was die Entstehungsart der Fasern anbelangt, so lässt sich Folgendes an den obigen Präparaten eruiiren. Nervenzellen von verschiedenen Grössen und von verschiedenen Lagerungsverhältnissen senden nach zwei entgegengesetzten Richtungen hin sehr dicke Fortsätze aus, deren Dicke, sowie ihre Länge in jedem einzelnen Falle verschieden ausfallen; dabei verhalten sich die beiden Fortsätze einer solchen Nervenzelle ebenfalls ungleich. Bald ist der eine kürzer und dünner, bald ist der andere länger und dicker. Das Ganze bildet aber eine Kolossalfaser, die freilich nicht als solche in allen Fällen weitergeht und endigt. Ich sah oftmals, wie eine Kolossalfaser streckenweise als solche sich erhalten hat, indessen bald darauf eine so starke Verengung erlitt, dass sie zwar noch immer einem starken Axencylinder gleichsah, jedoch den Charakter einer Kolossalfaser durchaus verloren hat. Mitunter war eine Kolossalfaser dergestalt, als hätte sich das Protoplasma der Nervenzelle nach zwei entgegengesetzten Richtungen hin sehr stark vermehrt und zu einer voluminösen Faser ausgezogen.

¹ A. a. O.

Wohin die Kolossalfasern ziehen und wie sie endigen? Darüber kann ich keine positiven Angaben machen. Dass dieselben abermals in eine Nervenzelle eintreten sollten, wie dies Stieda meint, das bezweifle ich sehr, da einer solchen Annahme jede morphologische Grundlage fehlt, und es ist gewiss zu weit gegangen, wenn man ein richtiges Verhältnis aus der Verlaufsrichtung der Fasern zu erschliessen gesonnen ist, wie es Stieda gethan hat.

Es ist klar, dass ich zufolge meiner Beobachtungen die Ansichten Stieda's nicht theile: weder in Betreff seiner Anschauung, als wären die Kolossalfasern lang ausgedehnte Commissuren zwischen zwei der grössten Nervenzellen, noch in Hinblick auf die angebliche Bedeutung der grössten Nervenzellen als Sammelzellen.

Ausserdem existirt eine dritte Art der Entstehung für die Kolossalfasern beim *Amphioxus*, welche von den zwei vorhin angeführten Entstehungsarten vollkommen abweicht. An guten Zerzupfungspräparaten von frischem Rückenmark, wie auch an sagittalen oder horizontalen Längsschnitten von conservirtem Rückenmark, kommen Kolossalfasern zum Vorschein, bei denen es unmöglich ist, irgend welchen Zusammenhang mit Nervenzellen nachzuweisen; ich traf sie am häufigsten unter den stärksten Kolossalfasern. Bei sämmtlichen Kolossalfasern findet man im frischen Zustande eine feine Granulation mit gleichzeitiger schwacher Andeutung von zarter Streifung, hingegen im conservirten Zustande ein homogenes und glänzendes Aussehen. Die Imbibition mit ammoniakalischen Carminlösungen ist bei diesen Fasern unter allen Umständen als eine intensive zu bezeichnen.

Es ist die Frage, auf welche Weise die mit keinerlei Nervenzellen verbundenen Kolossalfasern gebildet wurden? Mir scheint es sehr wahrscheinlich, dass sie gleichsam als selbständige, von den Nervenzellen vollkommen unabhängige Nervenfasern entstanden, und zwar aus einer Reihe von Zellen, deren Protoplasma zu einer Faser verschmilzt. Eine solche Annahme dürfte kaum sehr gewagt erscheinen, wenn wir die Entstehung der peripherischen Nervenfasern aus den an einer früheren Stelle dieser Untersuchungen angeführten „Plasmazellen“ Waldeyer's in Betracht ziehen. Warum sollten nicht analoge Vorgänge auch im Innern des Centralnervensystems stattfinden können? Ich glaube zu dieser Fragestellung umso mehr berechtigt zu sein, als es mir gelungen ist, Kolossalfasern im Rückenmark kleiner Exemplare von *Ammocoetes* zu sehen (Taf. III, Fig. 18), in deren Verlaufe, und zwar in der Fasersubstanz selbst eingebettet, Kerne aufgetreten sind, die ihrem Ursprünge nach wahrscheinlich einen Überrest der embryonalen Zellen bilden, deren Protoplasma zu einer Faser sich umgewandelt hat.

Was ferner die Anordnung der Kolossalfasern im Rückenmark betrifft, so schreibt Owsjannikow: „Die dicksten Fasern, 5–8 an der Zahl, liegen jederseits nach aussen und unten von dem Centralcanal. Ausserdem finden wir noch jederseits zwei kleine Gruppen von diesen Fasern, eine an der äusseren oberen, die andere an der äusseren unteren Fläche.“ Indessen muss ich mich den Beobachtungen Stieda's anschliessen. „Es liegen diese Fasern“ — bemerkt Stieda — „entweder unterhalb des Centralcanals oder an der einen oder anderen Seite.“

Sämmtliche Nervenfasern des Rückenmarkes, wie überhaupt des ganzen Centralnervensystems, sind den von Stieda bestätigten Beobachtungen Owsjannikow's gemäss marklose Fasern.

Eine der wichtigsten Fragen beim feinen Bau des Rückenmarkes bildet die Abstammung der noch nicht näher besprochenen Längsfasern. Woher kommen die zahlreichen Nervenfasern, welche von unmesbarer Feinheit bis zum Kaliber der Kolossalfasern anftreten? Nehmen sie ihren Ursprung aus den Zellen des Rückenmarkes allein, oder auch aus den Zellen des Gehirnes? Der verschiedenartigen Stärke, mit welcher die Fasern (ausgenommen die Kolossalfasern) in den Rückenmarkssträngen erscheinen, correspondiren meiner Erfahrung nach die verschiedenartigen Grössen der Nervenzellen; mit anderen Worten: Die Nervenfasern des Rückenmarkes nehmen ihren Ursprung in verschiedenen Entfernungen aus den Rückenmarkszellen selbst, ausgenommen jene Kolossalfasern, welche als directe Fortsetzungen der Axencylinderfortsätze von den grossen Ganglienzellen der Medulla oblongata längs des Rückenmarkes verlaufen und den Müller'schen Fasern entsprechen. Demnach muss ich constatiren, dass das Rückenmark keine Längsfasern als solche vom Gehirn beim *Amphioxus* bezieht. Selbstverständlich erhalten ebensowenig auch die Rückenmarkswurzeln

solche Fasern vom Gehirn. Allerdings sieht man fast an jedem Längsschnitte, selbst am frisch präparirten Centralnervensystem, wie eine beträchtliche Menge von Längsfasern das Rückenmark mit dem Gehirn verbindet. Allein, ich muss bei denselben die Kriterien von Nervenfasern entschieden bestreiten, indem ich jene Fasern an guten Zerpupfungspräparaten als die des Bindegewebes erkannte. Ich kenne kein Wirbelthier, in dessen Centralnervensystem die Nervenfasern mit Bindegewebsfasern mit einer solchen Leichtigkeit verwechselt werden könnten, wie beim Lancettfisch. So hat z. B. Stieda (Fig. 19 der Taf. III) Längsfasern abgebildet, welche die benachbarten dorsalen Wurzelportionen (von Stieda irrthümlich als untere Wurzeln bei *b* benannt) mit einander verbinden. Das ist entschieden unrichtig. (Vergl. diese Abhandlung, Taf. VI, Fig. 54 *b f.*) Wohl bestehen Verbindungen zwischen Gehirn und Rückenmark, zwischen einzelnen Rückenmarksabschnitten und zwischen den Wurzelportionen, ja selbst zwischen den dorsalen und ventralen Rückenmarkswurzeln derselben Seite, aber diese Verbindungen werden von Strecke zu Strecke durch kurze, schräg, gerade, quer und längs verlaufende Fasern hergestellt, die wiederum ihren Ursprung in kleinen unter einander anastomosirenden Zellen des Gehirnes und Rückenmarkes nehmen ¹ (Taf. IV, Fig. 35).

Die kleinen Zellen, aus denen die genannten, vorwiegend sehr feinen Verbindungsfasern hervorgehen, findet man in den meisten Füllen und zwar an wohl gelungenen Zupfpräparaten regellos zwischen den eigentlichen Centren der Spinalwurzeln und zu beiden Seiten des Centralcanals vertheilt, während sie im Gehirne in der nächsten Umgebung des Ventrikelepitheils sowohl dorsal- und ventralwärts, als auch rechts und links gleichfalls regellos liegen.

Was die Art der Verbindung der dorsalen und ventralen Spinalwurzeln mit einander einerseits, der dorsalen und ventralen Wurzeln andererseits anbetrifft, so ist es sehr wahrscheinlich, dass dies allenthalben gleichmässig geschieht. Meine Präparate haben grösstentheils den Sachverhalt folgendermassen dargehan: Ich fand nämlich, dass eine Anzahl jener Verbindungsfasern entweder zwei benachbarte Portionen dorsaler Spinalwurzeln oder zwei Colonnen motorischer Wurzeln entsprechende Faserbündel, oder endlich eine dorsale Wurzelportion mit einer Colonne ventraler Wurzeln mit einander in Verbindung gesetzt hat. Für die Vereinigung der Spinalwurzeln der einen Hälfte mit denen der andern Hälfte des Rückenmarkes konnte ich keine bestimmten Anhaltspunkte auffinden.

Durch die besagten Verbindungen des Gehirnes mit dem Rückenmarke, der Rückenmarksabschnitte und der Spinalwurzeln unter einander, entfernt sich der *Amphioxus* in seiner feinern Structur selbst von den Petromyzonten und Selachiern in bedeutsamer Weise. Doch scheint es mir, dass die Verbindungsfasern, selbstverständlich als naturgemässe Modificationen, dem zweiten Projectionsgliede Meynert's homodynam sind. Bekanntlich versteht Theodor Meynert darunter in seiner Projectionslehre alle jene Längsfasersysteme im Centralnervensysteme der Säugethiere und des Menschen, welche die Grosshirnganglien mit dem „centralen Höhlengrau“ verbinden.

Darüber, wie sich das Centralnervensystem des Lancettfisches zur Projectionslehre Meynert's verhält, wird in einer zweiten Abhandlung, der Fortsetzung dieser Untersuchungen, gelegentlich der theoretischen Schlussbetrachtungen die Rede sein.

Es bleiben noch die Gefässe (vergl. Taf. III, Fig. 15 und Taf. V, Fig. 51 *g f.*) übrig. Die Beschreibung derselben erfolgt bei der eben erwähnten Gelegenheit im Zusammenhange mit dem ganzen Circulationsapparat.

¹ Vergl. Rohon, Das Centralorgan des Nervensystems der Selachier. Arbeiten aus dem zoologisch-vergleichend-anatomischen Institute der Wiener Universität, Denkschr. der kais. Akad. d. Wiss. Mathem.-naturw. Cl. XXXVIII. Bd., II. Abth. 1877. Taf. IV, Fig. 33 und 34.

Ergebnisse der Untersuchungen.

1. Die Seitenmuskeln (Myocommata, Myomeren) bestehen aus zahlreichen Fasern, welche wiederum in kleine rhomboide Plättchen zerfallen. Den Fasern sitzen bald ovale, bald spindelförmige, zwei kurze Fortsätze entsendende Kerne (Muskelkörperchen, Myoblasten) auf; die Kerne erscheinen verhältnissmässig zahlreich. Die contractile Muskelsubstanz wird durch ein überaus zart entwickeltes Sarcocolemma zusammengehalten. Die Gegenwart des Sarcocolemma erkennt man an bläschenartigen und ovoiden Zellen, deren Protoplasma homogen, deren einfacher oder zweifacher Kern gekörnt erscheinen. Die durchschnittliche Zahl, in der die Myomeren bei erwachsenen Lancettfischen auf der einen Körperhälfte vorkommen, beträgt 63. Der Anordnung nach verhalten sieh in vielen Fällen, besonders bei kleinen Exemplaren, die Myomeren keineswegs bilateral symmetrisch, indem auf der einen Körperhälfte 63 und auf der anderen 62 Muskelabschnitte gezählt werden können, — ein auf die frühzeitig und mehrfach beim *Amphioxus* bestehende Asymmetrie (Leuckart und Pagenstecher) hinweisender Umstand.

2. Der Kiemenapparat setzt sich vorwiegend aus Längs- und Querstäben zusammen. Die Menge der Längsstäbchen ist stets individuellen Schwankungen unterworfen; die Zahl variiert zwischen 82 und 220 oder auch darüber. In dieser Berechnung ist blos die Anzahl der zwei je eine Kiemenspalte begrenzenden Längsstäbchen mitinbegriffen. Allein, diese Zahl geht in das Zweifache über, wenn man erwägt, dass die bislang als einfach dargestellten Längsstäbchen durchgehends aus je zwei Stäben gebildet und durch eine Zwischensubstanz mit einander verbunden werden. Demgemäss kann auch von einer Canaliculation innerhalb der Kiemenstäbe (Schneider) nicht die Rede sein. Die unter allen Umständen an Längsstäbchen bemerkbare Regelmässigkeit der Anordnung kann für die Querstäbchen nicht constatirt werden. Der Kiemenapparat ist in allen seinen Theilen mit längs-, schräg- und quer verlaufenden contractilen Faserzellen ziemlich reichlich versehen.

3. Die Blutflüssigkeit enthält in spärlicher Anzahl rothe und farblose Blutzellen. Die ersteren sind von ovaler Gestalt und haben ein homogenes Protoplasma; die letzteren sind von bedeutend grösserer und unregelmässiger Gestalt. Das Protoplasma der farblosen Blutkörperchen erscheint wenig, hingegen der Kern sehr stark gekörnt; bisweilen macht sich ein deutliches Kernkörperchen im Kerne bemerkbar. Ob die farbigen Blutzellen Vacuolen besitzen, das liess sich nicht erweisen.

4. Sinnesorgane. Ein Geruchsorgan (Köl liker) und Geschmacksorgan, aber keine Gehör- und Gesichtsgorgane besitzt der Lancettfisch. Der sogenannte „Augenfleck“ ist nichts anderes, als das Epithelpigment der Hirnkammer. Durch experimentelle Beobachtungen kann man mit ziemlicher Sicherheit nachweisen, dass die angeblich auf Lichtstrahlen erfolgenden Reactionen blos auf Empfindungen der Wärme — und nur insofern auch auf die der Ätherwellen — und der mechanischen Einflüsse (Druck und Reibung n. s. w.) zurückgeführt werden können.

5. Die Hirnnerven werden, von dem einfach vorhandenen Lobus olfactorius abgesehen, durch drei vollkommen symmetrisch entspringenden Nervenpaare repräsentirt. Alle drei Hirnnervenpaare sind vollständig nach dem Typus der dorsalen oder hinteren Spinalwurzeln gebildet; aus dem Grunde dürften sie auch functionell diesen gleichgestellt werden. Hiefür spricht auch der Umstand, dass alle Hirnnerven peripherisch interpolirte Ganglienzellen führen. Bei diesen Ganglienzellen kommen bedeutende Verschiedenheiten sowohl rücksichtlich ihrer Gestaltung, als auch ihrer Lagerung vor. Ihre functionelle Bedeutung dürfte darin liegen,

dass man sie als spezifische Sinnesorgane oder als Organe innerhalb des Qualitätenkreises des Tastsinnes ansieht. Die Verästelung aller Hirnnerven erstreckt sich lediglich auf den vordersten Körperabschnitt, d. h. auf die Region der Kopfflosse und der Cirren. Dem entsprechend sind die ersten zwei Paare den sensiblen Elementen des Trigemini und das letzte Paar den gleichnamigen Elementen des Facialis der höheren Wirbelthiere analog.

6. An der Bildung der Rückenmarksnerven theilheiligen sich ausschliesslich nur die dorsalen Wurzeln, welche auf den dorsal-lateralen Oberflächen des Rückenmarkes und zwar in verschiedenen Höhen als einfache Nervenstämmchen von asymmetrischer Anordnung zum Vorschein kommen. Die Asymmetrie ist jedoch nicht überall eine gleichmässige; so sind die ersten vier und die letzten zwei Paare weniger asymmetrisch als alle übrigen Spinalnerven. Sämmtliche dorsalen Spinalwurzeln nehmen ihren Ursprung auf die von Owjannikow angegebene Weise, nämlich aus den über dem Centraleanal und medianwärts gelagerten Ganglienzellen; diese weisen vorwiegend die Bauart der bipolaren Spindelzellen von verschiedener Grösse an. Die aus den dorsalen Wurzeln entstandenen Nervenstränge führen zunächst drei Arten von Fasern mit sich: a) Fasern für die Haut, b) Fasern für die Seitenmuskulatur, welche das Muskelgefühl vermitteln und c) sympathische Nervenfasern. Ausserdem führen dieselben Nervenstränge in aufgelösten Zustande die Elemente für den Glossopharyngeus, Hypoglossus und Vago-accessorius, und zwar sind die Elemente für die zwei ersteren in den vorderen fünf Nervenpaaren und für den letzten Nervencomplex in den darauf folgenden 13 Paaren enthalten.

Von Spinalganglien existirt nicht die mindeste Andeutung.

Die Endigung der Hautnerven geht in zweifacher Weise vor sich: 1. endigt die Minderzahl der Nervenfasern in den Epidermiszellen (Langerhans), während 2. die Mehrzahl in der Cutis hüsfelförmig anslieft.

Die ventralen oder motorischen Spinalwurzeln besitzen ihre Ursprungsstätte in multipolaren, zum Theile pigmentirten, zum Theile pigmentlosen Ganglienzellen, welche zu beiden Seiten und etwas unterhalb des Centraleanals liegen. Nachdem die Wurzeln bündelweis und als nackte Axencylinderfortsätze dieselben Ganglienzellen verlassen, schlagen sie innerhalb des Rückenmarkes einen der Richtung der dorsalen Wurzeln entgegengesetzten Weg ein; dabei convergiren beiläufig in der Mitte ihres Fortganges sämmtliche Fasern je eines Wurzelbündels, um dann divergirend die ventro-lateralen Rückenmarksoberflächen anzustreichen. Dasselbst einmal angelangt, bilden die als nackte Axencylinderfortsätze weiterziehenden Wurzelfasern Colonnen, und zwar von asymmetrischer Anordnung. Durch die skeletogene Rückenmarkshülle treten die einzelnen, von einander gleichmässig entfernten Fasern aller Colonnen mittelst der daselbst sehr wahrscheinlich in entsprechender Anzahl vorkommenden Lücken nach aussen, wo sie sofort mit den an die skeletogene Rückenmarkshülle sich eng anlehnenden Myomeren, ohne vorherige Bildung irgend welcher Faserbündeln oder Nervenstämmchen, auf eine nicht näher bestimmbare Weise in Berührung kommen. Je einer Colonnen der motorischen Wurzeln entspricht die Menge der in einem Nervenstamme versammelten dorsalen Wurzeln und heiden zusammen entspricht ein Myomer derselben Körperhälfte. Demnach gibt es eben so viele Colonnen motorischer Wurzeln, als dorsale Spinalnerven und Myomeren auf beiden Körperhälften. Da aber in einer Colonnen durchschnittlich 40 Wurzelfasern und an einer Körperhälfte durchschnittlich 63, also beiderseits 126 Myomeren gezählt wurden, so kann man wohl behaupten, dass die centrifugalen Impulse zum Behufe der körperlichen Bewegungen des Lancettfisches durch 5040 Ganglienzellen des Rückenmarkes besorgt werden.

Ausserhalb des Rückenmarkes haben die ventralen und dorsalen Wurzelfasern keinerlei morphologische Beziehungen zu einander.

7. Das Gehirn wird durch die birnförmige Anschwellung am vordern Ende des Neuralrohrs repräsentirt, und es entspricht morphologisch die vordere breitere Abtheilung desselben, der feineren Bauart nach, sammt der im Innern eingeschlossenen Hirnhöhle, den ersten vier Gehirnhäuten v. Baers, während der schmälere, zum Rückenmark überführende Theil das Nachhirn darstellt. Demgemäss ist die einfache Färbung

des Gehirns beim Lancettfisch als der primäre, also der typische und die Differenzirung des Gehirns aller anderen Vertebraten als der secundäre Vorgang anzufassen.

8. Das Rückenmark ist gleichfalls seinem innern Baue nach ein dem gleichnamigen Abschnitte des Neuralrohrs der Wirbeltiergruppe homologes Gebilde. Obgleich ein durchgreifender histologischer Unterschied zwischen der grauen und weissen Substanz im Rückenmarke des *Amphioxus* nicht besteht, so lassen sich dennoch die morphologisch wesentlichen Theile darin erkennen. So kann man die in der Gestalt einer senkrechten Doppelsäule oberhalb des Centraleanals befindlichen, vorwiegend bipolaren und spindelförmigen Nervenzellen den entsprechenden Nervenzellen der Petromyzonten und Selachier als Hinterhörner und die zu beiden Seiten des Centraleanals einigermassen disparaten, vorwiegend multipolaren Ganglienzellen den betreffenden Ganglienzellen derselben Thiere als Vorderhörner vergleichen. Die Verbindungen zwischen den Ganglienzellen des Hinterhornes und denen des Vorderhornes der einen Rückenmarkshälfte einerseits und andererseits solche Verbindungen zwischen dem Hinter- und Vorderhorne derselben Rückenmarksseite dürften kleinere, mit einander anastomosirende Nervenzellen vermitteln. Von den Protoplasmanetzen Gerlach's und von Commissurensystemen ist hier nichts zu sehen. Die Rückenmarksfasern zerfallen in Vorder-, Seiten- und Hinterstränge. Die Fasern verlaufen grösstentheils der Länge nach im Rückenmarke, und sie sind verschiedenen Kalibers, von unmeßbarem Breitendurchmesser bis zu Dimensionen verschiedener Kolossalfasern.

ERKLÄRUNG DER ABBILDUNGEN.

TAFEL I.

- Fig. 1. Kopfflosse mit dem vorderen Chordaende. Das Präparat ist einem kleinen Laucottfisch, der in lebendem Zustande mit Gold behandelt wurde, entlehnt worden. Die Oberhaut fehlt. *C* = Chorda, *Cv* = vorderes Chordaende in der Gestalt eines Stäbchens oder Zapfens, *gt* = die peripherisch den Nervenzweigen interpolirte Ganglienzellen, *ue* = die Unterhautcanäle, *Kst* = die Substanz der Kopfflosse, *Qn* = Zweige der Hirnnerven. Vergrößerung: Hartnaek Oc. 3, Obj. Syst. VIII.
2. Das blutige Körperende eines kleineren, lebenden und in derselben Weise, wie das vorige Präparat, behandelten *Amphileurus*. Das Epithel und die Haut fehlen. *C* = hinteres Chordaende, *stf* = Schwanzflosse, *ue* = Unterhautcanäle, *sch* = Chordascheide, *R* = Rückenmark mit seinem rückwärtigen Ende, *RH* = Rückenmarksventrikel, *HN* = Hautnerven. Vergrößerung: Hartnaek Oc. 3, Obj. Syst. VIII., beim ausgezogenen Tubus.
3. Ventraler Abschnitt des Kiemenapparates. Das Präparat wurde in frischem Zustande mit Gold behandelt. Das Kiemenepithel ist mittelst eines Pinsels entfernt worden. *ls* = Längsstäbchen, *qs* = Querstäbchen, *ab* = ein Theil des unteren Kiemenlaudes, *ce* = Centrales Ende eines langen Kiemenstäbchens, *ls* = Bändchen, durch welches zwei convergirende Längsstäbe vereinigt sind, *gm* = glatte Muskeln. Vergrößerung: Hartnaek Oc. 3, Obj. Syst. V.
4. Der vorderste Gehirnschnitt, in frischem Zustande präparirt und in Glycerinlösung eingeschlossen. *G* = Gehirn, *P* = der von dorsaler Fläche aus gesehene Pigmentfleck, *HVF* = ein Theil des Hirnventrikels. Nur der Pigmentfleck ist seiner Gestalt und Lage nach naturgemäss dargestellt, während der übrige Theil von dieser Abbildung in Contouren besteht. Vergrößerung: Hartnaek Oc. 3, Immers. Syst. XV.
5. Dorsaler Abschnitt des Kiemenschlauches bei Goldbehandlung in frischem Zustande. *ab* = Theil des oberen Kiemenbandes, *gm'* = längs verlaufende glatte Muskeln, *ar* = die oberen Bogen der Kiemenstäbe, *gm* = vom oberen Rande herabsteigende glatte Muskelbündel, *ls* = Längsstäbe, *qs* = Querstäbe, *p* = Pigment des Kiemenepithels von den Längsstäben, *glm* = zwischen den Längsstäben schräg verlaufende glatte Muskelbündel. Vergrößerung: Hartnaek Oc. 3, Syst. VIII.

TAFEL II.

- Fig. 6. Bestandtheile eines Nervengeflechtes aus der ventralen Gegend des Mundes. Goldpräparat. Vergrößerung: Hartnaek Oc. 3, Obj. Syst. VIII.
7. Nervenverbreitung in der Haut. Goldpräparat von einer isolirten Haut, bei der das Epithel entfernt und bloß die Nerven möglichst naturgetreu abgebildet wurden. *n* = Nervenzäunchen eines Hautnerven, *n'* = ein eben solches schwächeren Kalibers, *bs* = büschelartige Auflösung der Nervenendästchen. Vergrößerung: Hartnaek Oc. 3, Obj. Syst. VIII.
8. In frischem Zustande angefertigte Goldpräparate. *n* = Nerv, *nsc* = Nervenscheide, *gt* = grosse Ganglienzellen, *gt'* = kleine Ganglienzellen, *nl* = Nucleus, *nlc* = Nucleolus. Vergrößerung Hartnaek Oc. 3, Immers. Syst. XV.
9. Isolirte Epithelzellen des Rückenmarkscanals, nach Behandlung mit Gold, in frischem Zustande. Vergrößerung: Hartnaek Oc. 3, Immers. Syst. XV.
10. Mit Gold in frischem Zustande behandelte Nerven. 1 und 2 = Zweige des ersten Hirnnervenpaares, *a* = ihre Anastomose. Vergrößerung: Hartnaek Oc. 3, Immers. Syst. XV.
11. Nerven-anastomose zwischen zwei Hautnerven der Schwanzflosse. Goldpräparat. Vergrößerung: Hartnaek Oc. 3, Immers. Syst. XV.
- 12 a, b, c. Goldpräparate. *n* = Nerv, *gt* und *gt'* = Ganglienzellen, *k* = Kerne der Ganglien- und Nervenscheide, *nl* = Nucleus, *nlc* = Nucleolus, *nlc* = Nucleolus. Vergrößerung Hartnaek Oc. 3, Immers. Syst. XV.
13. Goldpräparat. 1 und 2 = Äste zweier benachbarter Spinalnerven, *an* = die Stelle von deren Anastomose.
- 14 a und b. Goldpräparate. *n* = Nerv, *gt* und *gt'* = Ganglienzellen, *nsc* = Nervenscheide, *nl* = Nucleus. Vergrößerung Hartnaek Oc. 3, Immers. Syst. XV.

TAFEL III.

Fig. 15. Isolirtes Haargefäß aus dem Rückenmark. Goldpräparat. Vergrößerung: Hartnack Oc. 3, Immers. Syst. XV.

- 16. Abschnitt eines in frischem Zustande mit Gold behandelten Cirrus, dessen Inhalt entfernt wurde. *npl* = Nerven-geflecht, *m* = glatte Muskelzellen, *ms* = Schleimhaut, *sch* = Cuticula. Vergrößerung: Hartnack Oc. 3, Immers. Syst. XV.
- 17. Anastomosen der Hautnerven aus der lateralen Leibeswand. Goldpräparat. Vergrößerung: Hartnack Oc. 3, Obj. Syst. V und VIII.
- 18. Nervenprimärvibrille aus dem Rückenmark eines 1.5^m langen *Ammocoetes*. Hämatoxilin-Präparat. Vergrößerung: Hartnack Oc. 3, Immers. Syst. XV.
- 19. Kiemenpräparat nach Goldebehandlung. *ls* = Längstäbchen, *qs* = Querstäbchen, *e* = Stäbchenepithel. Vergrößerung: Hartnack Oc. 3, Obj. Syst. VIII, bei ausgezogenem Tubus.
- 20. Goldpräparat der das Rückenmark umgebenden gallertähnlichen Substanz. *s* = blasenartige Zellen, *sf* = Biudegewebsdrillen. Vergrößerung: Hartnack Oc. 3, Obj. Syst. VIII.
- 21. Theil des Rückenmarkes mit seitlicher Ansicht. In frischem Zustande präparirt und ungefärbt. *Wd* und *dW* = dorsale oder hintere Spinalwurzeln, *ps* = Rückenmarkspigment in der Umgebung des Centralcanals. Vergrößerung: Hartnack Oc. 1, Obj. Syst. IV.
- 22. Mit Gold behandeltes Peritonealepithel. Vergrößerung: Hartnack Oc. 3, Immers. Syst. XV.
- 23. Glatte Muskelfasern aus dem oberen Kiemenbunde. Goldpräparat. Vergrößerung: Hartnack Oc. 3, Obj. Syst. VIII, bei ausgezogenem Tubus.
- 24. Bruchtheil eines mit Gold behandelten Seitenmuskels. *Mf* = quergestreifte Muskelfasern, *sk* = zellige Elemente des Sarcolemma. Vergrößerung: Hartnack Oc. 3, Immers. Syst. XV.
- 25 a und b. In frischem Zustande isolirte Pigmentzellen (*pg*) (Gianglienzellen) aus dem Rückenmark. Vergrößerung: Hartnack Oc. 3, Immers. Syst. XV.
- 26. Theil eines in frischem Zustande zerzupften und mit Gold behandelten Myocomma. *Mf* = quergestreifte Muskelfasern, *Mz* = Muskelkörperchen (Myoblasten). Vergrößerung: Hartnack Oc. 3, Obj. Syst. VIII.
- 27. Abschnitt eines isolirten Kiemen-Längstäbchens. Goldpräparat. *ls* = die Substanz des Stäbchens, *gm* = längs verlaufende glatte Muskeln, *f* = Furche. Vergrößerung: Hartnack Oc. 3, Obj. Syst. VIII.
- 28. Nerven aus der Haut der Bauchwand. Goldpräparat. Vergrößerung: Hartnack Oc. 3, Obj. Syst. V und VIII.

TAFEL IV.

Fig. 29. Kleines Bruchstück eines in frischem Zustande mit Gold behandelten und zerzupften Rückenmarkes. *af* = Nerven-faser, *nfc* = Fasernetz, *npl* = Neuroglia, *nk* = Kerne der Neuroglia, *gls* = Nervenzellen. Vergrößerung: Hartnack Oc. 3, Immers. Syst. XV.

- 30. Schräg geführter Querschnitt aus der vorderen Abtheilung eines im Weingeiste erhärteten Gehirnes. *a'* = kleine Lücke, *HV* = Hirnkammer, *G* = Gehirn, *sa* = skeletogene Hülle des Gehirns, *P* = Pigmentanhäufung. Vergrößerung: Hartnack Oc. 3, Obj. Syst. VIII.
- 31. Querschnitt aus dem Rückenmark eines 1.5^m langen *Ammocoetes*. *cc* = Centralcanal, *e* = Epithel, *gl* = Nervenzellen, *fp* = Rückenmarksfurche. Vergrößerung: Hartnack Oc. 3, Obj. Syst. VIII.
- 32. Isolirte Ganglienzelle des in frischem Zustande zerzupften und mit Gold behandelten Rückenmarkes. Vergrößerung: Hartnack Oc. 3, Immers. Syst. XV.
- 33. Isolirte Nervenzellen aus der Gegend hinter dem Centralcanal, und zwar eines mit Gold behandelten Rückenmarkes. Vergrößerung: Hartnack Oc. 4, Immers. Syst. XV.
- 34. Vorderer Abschnitt des centralen Nervensystems. In frischem Zustande verfertigtes Zapfpräparat. *G* = Gehirn, *P* = Epithelpigment, *P'* = Pigmentzellen, *e* = Ventrikel-epithel, *HV* = Gehirnkammer, *I, II, III* = Gehirnnerven, *Mo* = Medulla oblongata, *R* = Rückenmark, *pg* = Rückenmarkspigment, *dW* = dorsale oder hintere Spinalwurzeln, *dW* = zweifache Portion eines Spinalnerven, *I, II, III, IV, V* = die ersten fünf Spinalnerven, *s'* = ein verdickter Nerventhell. Vergrößerung: Hartnack Oc. 1, Obj. Syst. IV.
- 35. Kleine isolirte Nervenzellen, mit ihrer Anatomie dargestellt, aus einem mit Gold behandelten Rückenmark. Vergrößerung: Hartnack Oc. 3, Immers. Syst. XV.
- 36. Sagittaler Längsschnitt durch das ganze Gehirn eines kleinen *Ammocoetes*, in der Nähe der Mediaebene geführt. *V* = Vorderhirn, *IV* = Seitenkammer, *ZM* = Zwischen- und Mittelhirn, *Ag* = die Sylv'sche Wasserleitung, *II* = Hinterhirn, *NI* = Nachhirn, *gl* = Nervenzellen, welche in der ventralen Ebene liegen, *gl'* = eben solche Zellen, die in dorsaler Ebene bis in das Rückenmark fortlaufen. Vergrößerung: Hartnack Oc. 3, Obj. Syst. IV.
- 37. Schräg geführter Sagittalschnitt durch die vordere Abtheilung des centralen Nervensystems. Weingeistpräparat. *G* = Gehirn, *b* = Lobus olfactorius, *P* = Hirnpigment, *HV* = Gehirnkammer, *Mo* = Medulla oblongata, *R* = Rückenmark, *cc* = Centralcanal. Vergrößerung: Hartnack Oc. 3, Obj. Syst. VIII.
- 38. Goldpräparat. *n* = Nervenast, *gl* = in die Nervenbahn eingeschaltete Ganglienzellen, *nl* = Nucleus, *k* = Kerne der Nervenscheide. Vergrößerung: Hartnack Oc. 3, Immers. Syst. XV.

Fig. 39. Isolierte Nervenzellen aus der oberhalb des Centralcanals gelegenen Gegend. Goldpräparat. Vergrößerung: Hartnack Oc. 3, Immers. Syst. XV.

40. Goldpräparat. n = Nerv, g' und g'' = Ganglienzellen, k = Kerne der Nervenscheide. Vergrößerung: Hartnack Oc. 3, Immers. Syst. XV.

41. Isolierte Nervenzelle von der Umgebung des Centralcanals. Goldpräparat. Vergrößerung: Hartnack Obj. 3, Immers. Syst. XV.

42. Abschnitt eines dorsalen Spinalnerven, in frischem Zustande mit Dahlia Violett gefärbt. k = die Kerne der Nervenscheide. Vergrößerung: Hartnack Oc. 4, Obj. Syst. VIII.

43. In frischem Zustande isolierte Kerne der Neuroglia aus dem Rückenmarke. Vergrößerung: Hartnack Oc. 3, Immers. Syst. XV.

TAFEL V.

Fig. 44. Goldpräparat. n = Hautnervenverzweigung, s' = Kreuzspalte in der Cutis, c' = Cutis. Vergrößerung: Hartnack Oc. 3, Obj. Syst. VIII.

45. Endstück des Rückenmarkes. dW = dorsale Spinalnerven, cc = Centralcanal, pg = Rückenmarkspigment. Vergrößerung: Hartnack Oc. 3, Obj. Syst. IV.

46. Seitliche Ansicht der lateral-ventralen Abtheilung des in frischem Zustande präparirten und ungefärbten Rückenmarkes. cc = Region des Centralcanals, pg = pigmentirte Ganglienzellen, gl = pigmentlose Ganglienzellen, R' = Rückenmarksubstanz, nW = Ursprung der ventralen Wurzeln. Vergrößerung: Hartnack Oc. 3, Immers. Syst. XV.

47. Bindegewebsfasern aus der Rückenmarkshülle. Goldpräparat. Vergrößerung: Hartnack Oc. 3, Immers. Syst. XV.

48. Pigmentirte Epithelzellen der Körperhaut aus der vorderen Körpertheilung; von oben und aussen gesehen. Vergrößerung: Hartnack Oc. 3, Immers. Syst. XV.

49. Schräg sagittaler Längsschnitt durch ein im Weingeiste erhaltenes Rückenmark. Carninpräparat. dW = dorsale Wurzelfasern, nW = ventrale Wurzelfasern, pg = pigmenthaltige Ganglienzellen, g' = grosse über den Centralcanal gelagerte Ganglienzellen, gn = kolossale Nervenfasern, k = Bindegewebskörperchen. Vergrößerung: Hartnack Oc. 3, Obj. Syst. VIII.

50. a = rothe Blutkörperchen, k = farblose Blutzelle. Vergrößerung: Hartnack Oc. 3, Immers. Syst. XV.

51. Zerkniffenes Stückchen des mit Gold behandelten Rückenmarkes. gf = mit Blut erfüllte Gefässe, gl = Nervenzellen, nf = Nervenfasern, RM = Marksubstanz. Vergrößerung: Hartnack Oc. 3, Obj. Syst. VIII.

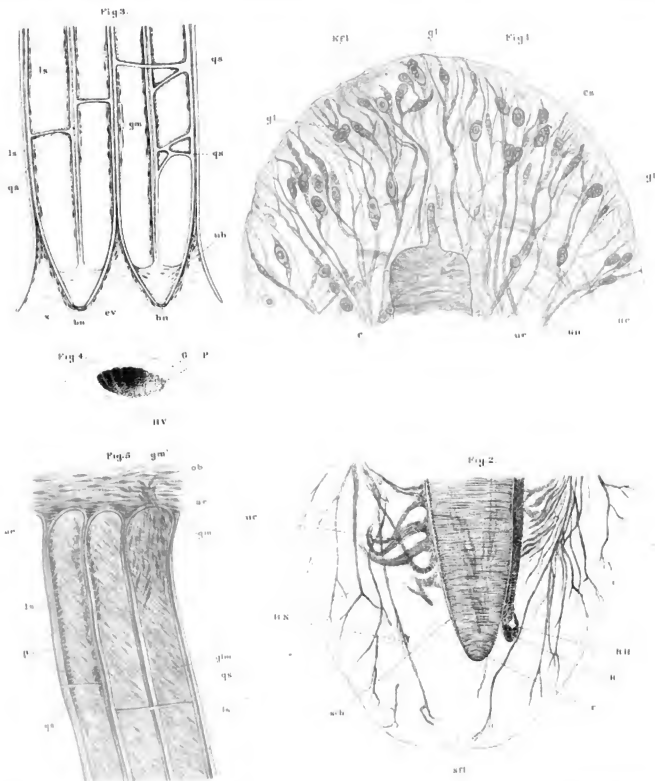
52. Zupfpräparat von einem mit Gold behandelten Rückenmark. gl = pigmentlose Ganglienzellen, pg = pigmentirte Ganglienzellen, ccc = Epithel des Centralcanals, nW = ventrale Wurzeln, RM = Marksubstanz. Vergrößerung: Hartnack Oc. 3, Immers. Syst. XV.

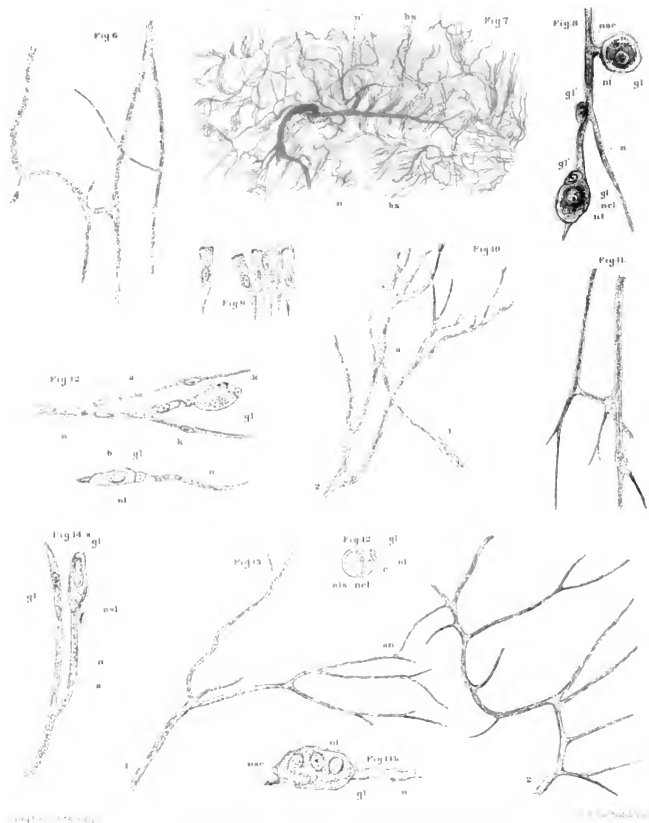
TAFEL VI.

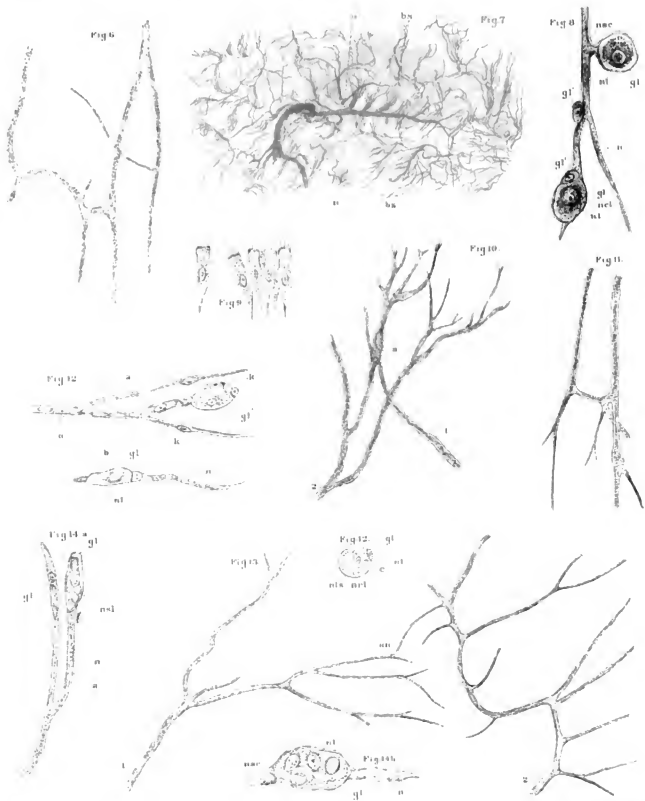
Fig. 53. Querschnitt eines im Weingeiste gehärteten Rückenmarkes; aus der Gegend des vorderen Drittels. cc = Centralcanal, pg = Pigmentanhäufung, gn = kolossale Nervenfasern, nH = Region des Vorderhorns, nH' = Region des Hinterhorns, Rsp = Gegend der gewesenen Rückenmarksspalte, bf = Bindegewebsfasern, nS = Vorderstrang, nN = Seitenstrang, nN' = Hinterstrang. Vergrößerung: Hartnack Oc. 3, Immers. Syst. XV.

54. Ein Stück des in frischem Zustande präparirten Rückenmarkes. dW = dorsale oder hintere Rückenmarkswurzeln, nW = ventrale oder vordere Rückenmarkswurzeln, pg = pigmentirte Ganglienzellen, cc = die Region des Centralcanals, bf = Bindegewebsfasern der Rückenmarks- und Nervenhülle, m = Muskelplättchen eines Myocomma, z = gezackter Randabschnitt des Rückenmarkes. Vergrößerung: Hartnack Oc. 3, Obj. Syst. VIII.









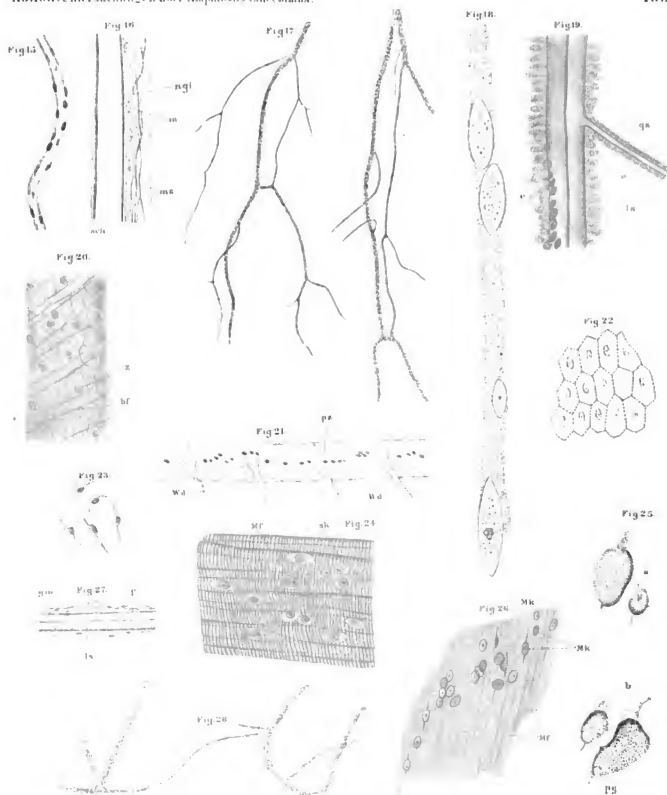


Fig. 29.

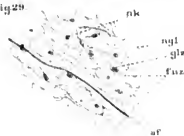


Fig. 30.



Fig. 31.



Fig. 32.



Fig. 33.



Fig. 33.



Fig. 35.



Fig. 34.

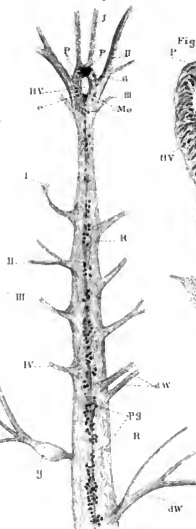


Fig. 35.



Fig. 36.



Fig. 37.



Fig. 41.

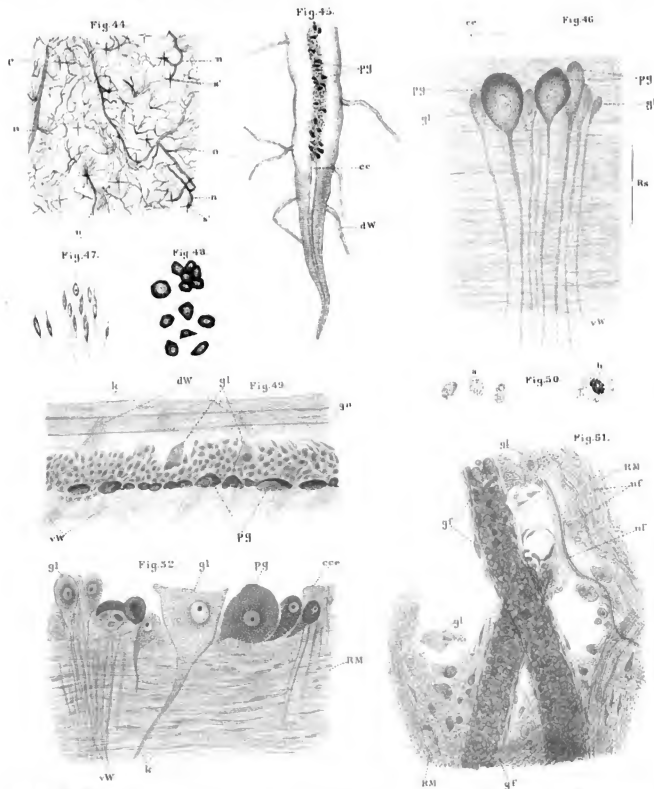


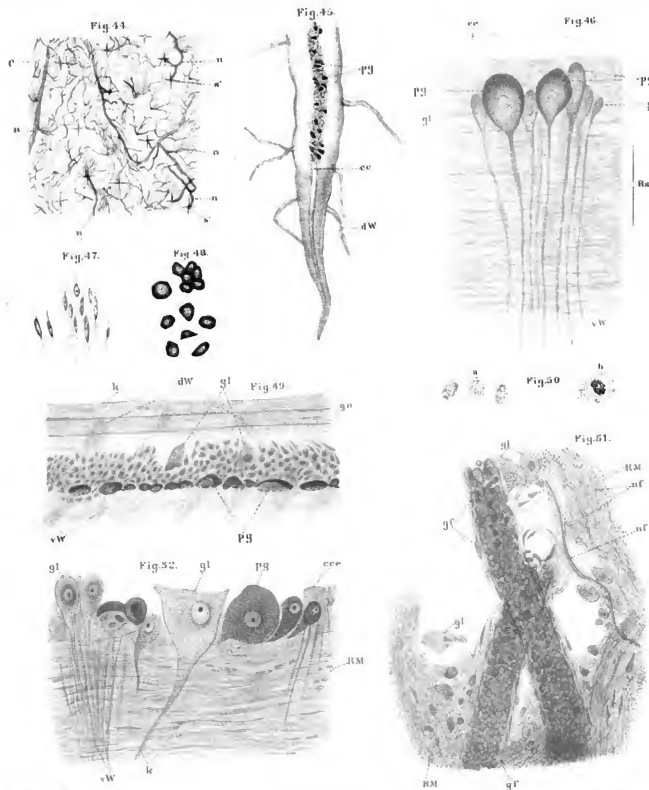
Fig. 42.

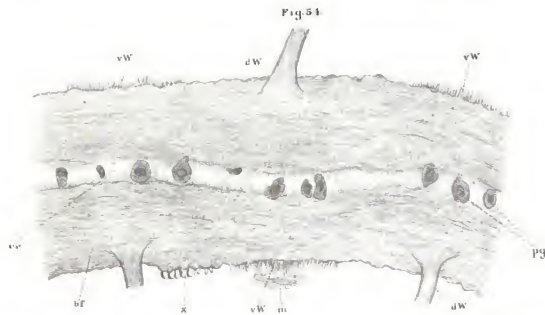
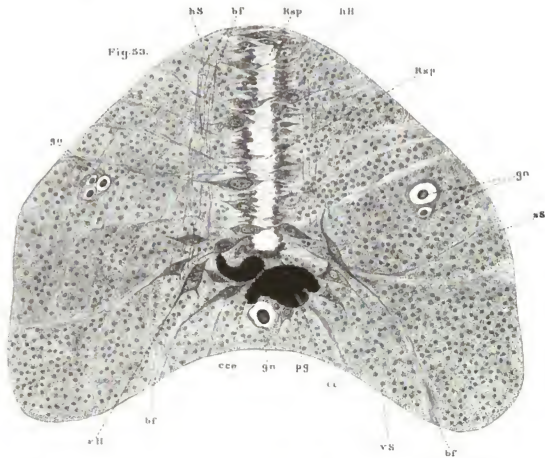


Fig. 43.









DIE KERN- UND ZELLTHEILUNGEN
BEI DER
BILDUNG DES POLLENS VON *HEMEROCALLIS FULVA* L.

VON
D^r EDUARD TANGL,
PROFESSOR IN CERNOWITZ

(Mit 4 Tafeln.)

VORGELEGT IN DER SITZUNG DER MATHEMATISCH-NATURWISSENSCHAFTLICHEN CLASSE AM 2. NOVEMBER 1891.

Zur Untersuchung bediente ich mich frischer und in Alkohol gehärteter Blütenknospen. Die Tinction der Kerne führte ich hauptsächlich mittelst der letzthin von Strasburger¹ für pflanzliche Objecte empfohlenen 1%, mit etwas Methylgrün versetzten Essigsäure aus. Durch nachträglichen Zusatz von Glycerin wurde dem Plasma der nöthige Grad von Durchsichtigkeit ertheilt, um die tingirten Kerntheile mit Deutlichkeit hervortreten zu lassen. Mit Essigsäure-Methylgrünlösung behandelte frische Präparate habe ich gleichfalls in Glycerin untersucht, nachdem ich mich überzeugt hatte, dass die bereits tingirten Kerne dadurch nicht weiter verändert werden.

Die von mir eruierten, im Nachfolgenden darzulegenden Thatssachen, bringe ich in eine Reihenfolge, die derjenigen entspricht, in der naturgemäss auch die einzelnen die Pollenbildung begleitenden Vorgänge gebracht werden müssen. Hier will ich noch bemerken, dass sämtliche Angaben, falls nicht anders bemerkt ist, sich auf Zustände beziehen, die am Alkoholmaterial beobachtet wurden.

Dünnwandige, noch im Gewebeverbande befindliche Pollenmutterzellen enthalten in ihrem oft varnolisirten Plasma einen relativ grossen Kern, von dessen scharf hervortretender Membran das Plasma oft abgehoben erscheint (Fig. 1, 2). Der Inhalt der Kerne besteht aus kleinen Körnchen und grösseren kugelförmigen, stark lichtbrechenden Nucleolen, deren Zahl 3—5 beträgt. Die Substanz der Nucleolen erscheint auf diesem Stadium meist vollkommen homogen; nur selten enthält der eine oder andere Nucleolus eine kleine Varnole (Fig. 2 a).

Nach Behandlung mit Essigsäure-Methylgrünlösung macht in der Kernmembran und sämtlichen körnigen Gebilden des Kerninhaltes ein deutlich grüner Farbton sich bemerkbar. In tingirten, nachträglich durch Glycerin aufgehellten Präparaten, erscheinen die Nucleolen intensiver als die kleinen Körnchen und die Kernmembran gefärbt. Wie der Augenschein lehrt, ist die Tinctionsfähigkeit sämtlicher Theile der Kerne noch

¹ Zellbildung und Zelltheilung. III. Aufl. 1880, p. 141.

sehr junger Pollenmutterzellen eine viel geringere, als diejenige der Kerne in den Zellen der Antherenwandungen. Die Letzteren erscheinen unter denselben Verhältnissen in kürzester Zeit intensiv blaugrün gefärbt.

Mit Beale'schem Carmin färben sich die Nucleolen stärker als die übrigen Kernbestandtheile.

Mit fortschreitender Entwicklung der Mutterzellen verringert sich die Anzahl der Nucleolen, so dass die Kerne der ersten von einem gewissen Stadium an, in der Regel nur einen einzigen Nucleolus enthalten (Fig. 2 c). In die Vorgänge, durch welche der Übergang des Kernes aus seinem ursprünglich multinucleolären Zustand in den unineucleolären bewirkt wird, habe ich keinen Einblick gewinnen können.

Mit dem Eintritt des unineucleolären Zustandes zeigen die bis dahin im Kern gleichmäßig vertheilten Körnchen eine deutliche netzartige Anordnung (Fig. 2 c). Auf etwas späteren Stadien, die der Fig. 3 entsprechen, ist von diesem Bau der Kerne in den Zellen des Alkoholmaterials in den meisten Fällen nichts zu sehen. Man bemerkt nämlich statt der Stränge, ein dem Nucleolus einseitig anliegendes, mehr oder weniger scharf umschriebenes Aggregat kleiner Körnchen. Eine ganz analoge Beschaffenheit zeigt auch der Kerninhalt in bereits isolirten, aber noch sehr dünnwandigen Pollenmutterzellen des Alkoholmaterials. Die der Fig. 3 entsprechenden Bilder sind aber keineswegs der Ausdruck der wirklichen Structur des Kernes in den betreffenden Entwicklungsstadien der Pollenmutterzellen. Darauf weisen zunächst die Bilder hin, welche auf entsprechender Entwicklungsstufe befindliche frische Kerne nach der Tinctio und Fixirung in Essigsäure-Methylgrünlösung darbieten. In den Figuren 57—59 sind die betreffenden Zustände der Kerne abgebildet. Man bemerkt in den inhaltsarmen Kernen kleine Körnchen, die im Centrum des Kernes am dichtesten liegen, und von hier in strangförmiger Anordnung gegen die Peripherie des Kernes, und das excentrisch gelegene Kernkörperchen ausstrahlen. Die verzweigten und durch Anastomosen zusammenhängenden Körnchenstränge stellen die Verbindung zwischen der centralen Körnchenmasse und der Körnchenlage her, die auf der inneren Oberfläche der Kernmembran als dünner Beleg ausgebreitet ist. Einige dieser Körnchenstränge sind gegen das Kernkörperchen gerichtet, dessen Oberfläche dieselben sich ansetzen. Die ganze übrige Masse des durch Essigsäure fixirten Zellkerninhaltes besteht aus hyaliner Substanz, über deren Aggregatzustand im unveränderten Kern und chemische Beschaffenheit ich nichts ermittelt habe. Mit Flemming,¹ will ich diesen Theil der Kernmasse als die Zwischen substanz derselben bezeichnen. Ich habe diese Bezeichnung gewählt, weil dieselbe weniger präjudicirt als der von R. Hertwig² eingeführte und auch von Strasburger³ adoptirte Ausdruck „Kernsaft“.

Die Lage des Nucleolus im Kern ist stets excentrisch und daher ist ein unmittelbarer Contact des ersteren mit der centralen Körnchenmasse nie vorhanden. Dies kann mit Leichtigkeit an Zellen constatirt werden, die durch Strömungen des Untersuchungsmediums in rollende Bewegung gerathen. Die centrale Lage des Nucleolus ist daher nur scheinbar vorhanden; sie entspricht immer einer gewissen Lage der betreffenden Mutterzellen (Fig. 58, 59).

Der Nucleolus liegt der Kernmembran ganz dicht an. An dieser Stelle ist der auf der inneren Oberfläche der Kernmembran auftretende Körnchenüberzug unterbrochen. Ob derselbe sich den von der Kernmembran nicht bedeckten Theil der Oberfläche des Nucleolus fortsetzt, konnte ich nicht ermitteln.

Diese Befunde lassen es als zweifellos erscheinen, dass der Fig. 3 entsprechende Zustände des Alkoholmaterials nur Kunstprodukte darstellen. Sie entstehen durch Schrumpfung des Kerninhaltes, wobei sowohl der Nucleolus als auch die Körnchenstränge sich auf die centrale Körnchenmasse zurückziehen. Nur äusserst selten trifft man beim Alkoholmaterial auf Bilder, die der Fig. 4 entsprechen und andeutungsweise Banverhältnisse der betreffenden Kerne erkennen lassen, die in völlige Deckung mit den an Essigsäure erhaltenen Befunden gebracht werden können.

Kerne, deren feinkörnige Substanz die beschriebene, an das protoplasmatische Fadennetz der Pflanzenzellen erinnernde Anordnung zeigt, enthalten in der Regel nur einen einzigen Nucleolus. Diese Regelmässigkeit

¹ Archiv f. mikr. Anat. Bd. XVI, p. 350; Bd. XVIII, p. 152.

² Morphologisches Jahrbuch, Bd. II, p. 70.

³ Zellbildung und Zelltheilung. III. Aufl., p. 322.

ist jedoch nur bis zu einem gewissen Grade herrschend, da manche auf derselben Entwicklungsstufe befindliche Kerne 2—3 Nucleolen enthalten (Fig. 55, 56, 58). Auf Grund meiner Beobachtungen muss ich trinucleoläre Zustände der Kerne als äusserst seltene Vorkommnisse bezeichnen. Sind im Kerne mehrere Nucleolen vorhanden, so zeigen dieselben in Bezug auf ihre Grösse nicht unbedeutliche Verschiedenheiten (Fig. 54—56, 58). — Zur Entscheidung der Frage, ob die multinucleolären Zustände weiter entwickelter Kerne von Anfang an vorhanden sind, oder auf eine nachträglich stattfindende Neubildung eines oder zweier Nucleolen in früher annucleolären Kernen zurückzuführen seien, haben meine Beobachtungen keinen Anhaltspunkt ergeben.

In Mutterzellen, die ich im frischen Zustande ohne jedweden Zusatz untersuchte, erscheint der Kern wenigser deutlich gegen das Plasma, als nach der Einwirkung von Essigsäure oder Alkohol abgegrenzt. Aus diesem Grunde muss ich es dahingestellt lassen, ob die Kernmembran in der durch Reagentien darstellbaren Form *intra vitam* vorhanden sei. Nichtsdestoweniger hebt sich der Kern auch im frischen, unveränderten Zustande gegen das Plasma ziemlich scharf ab, da die im Kern so reichlich auftretende Zwischensubstanz ein viel geringeres Lichtbrechungsvermögen, als die Substanz des Plasmas besitzt. Die durch Essigsäure darstellbaren Körnchenstränge des Kerninhaltes sind im frischen Zustande nur sehr undeutlich zu sehen. Dies hängt wahrscheinlich damit zusammen, dass die Zwischensubstanz und kleinen Körnchen des Kerninhaltes in Hinsicht der Dichte nur wenig verschieden sind. Die Nucleolen habe ich in Kernen von Mutterzellen, die ohne Zusatz untersucht wurden, stets als vollkommen homogene, stark lichtbrechende Körper gesehen (Fig. 54—56).

Die Nucleolen bieten im Stadium, welches durch die beschriebene Differenzirung des Kerninhaltes wohl charakterisirt ist, zwei sehr wichtige Eigenthümlichkeiten dar. Diese sind einmal, das fast constante Auftreten von Vacuolen in denselben nach der Einwirkung der angewandten Fixirungsreagentien (Essigsäure und Alkohol). Dieses Verhalten zeigen in ganz übereinstimmender Weise sowohl die grösseren als auch die kleineren Nucleolen multinucleolärer Kerne.

Die zweite Eigenthümlichkeit der Nucleolen ergibt sich aus dem Verhalten derselben gegen Methylgrün in Essigsäurelösung. Mit diesem Farbstoff sind die Nucleolen, im Gegensatz zu ihrem Verhalten auf einem früheren Stadium nicht färbbar. Dieses Verhalten ist nun so auffälliger, als die Nucleolen die Fähigkeit sich mit Carmin zu tingiren nicht verlieren.

Ist das Stadium, auf dem im Inhalte des Kerns netzartig zusammenhängende Körnchenstränge nachweisbar sind, erreicht, so färben sich mit Methylgrün nur die letzteren und die Kernmembran. An Kernen des Alkoholmaterials sieht man daher nach der Tinction mit Methylgrün den farblosen Nucleolen, seitlich eine tief blaugrün gefärbte Körnermasse anliegen. Aus demselben Grunde treten in Kernen, die im frischen Zustande der Tinction mit Methylgrün in Essigsäurelösung unterworfen werden, die intranucleolären, aus tingirbaren Körnchen bestehenden Stränge mit grosser Schärfe hervor.

Sowohl die Körnermassen durch die Einwirkung des Alkohols veränderter Kerne, als auch die intranucleolären Stränge frischer Kerne, nehmen mit Methylgrün eine viel intensivere Tinctionsfärbung an, als die Nucleolen multinucleolärer Kerne junger, noch im Gewebeverband befindlicher Mutterzellen. Während des Heranwachsens der letzteren, findet also Abnahme des Tinctionsvermögens der Nucleolen und gleichzeitig Steigerung desselben in den körnigen Elementen des Kerninhaltes statt. Es deutet dieses Verhalten auf sehr erhebliche, während der Entwicklung der Mutterzelle erfolgende stoffliche Veränderungen der Kernsubstanz hin.

Im Verhältnisse zur Grösse des Kerns ist die Menge der in demselben vorhandenen färbbaren Elemente eine ziemlich geringe. Aus diesem Grunde kann sich der Nucleolus in tingirten Präparaten, auf diesem und etwas späteren Stadien, fast nie der Beobachtung entziehen. Dieser Umstand ermunterte mich, die vorliegende Untersuchung in Angriff zu nehmen, wobei ich mir zunächst die Aufgabe stellte, die weiteren Schicksale des Nucleolus auf späteren Entwicklungsstadien der Pollenmutterzellen zu verfolgen.

Auf etwas späteren Stadien, die den Fig. 5—7 und 8 b entsprechen, erscheinen die im Vorangehenden beschriebenen Verhältnisse des Kerns nicht unwesentlich verändert. Man bemerkt im Inhalt der Kerne neben den unveränderten Nucleolen noch ziemlich zahlreiche, grössere tingirbare Körner, deren Vertheilung innerhalb

der Zwischensubstanz keine Gesetzmässigkeit erkennen lässt. An der Membran sind noch keinerlei Veränderungen bemerkbar. Von den früheren, kleinen, zum Theil strangförmig angeordneten Körnchen, ist nichts zu sehen; dieselben wurden offenbar zum Aufbau der grösseren körnigen Gebilde verbraucht. Da die Gesamtmasse der letzteren absolut grösser ist, als die der kleinen Körnchen im früheren Stadium, so ist daraus zu schliessen, dass der Gehalt des Kerns an färbbaren Elementen mit dem Eintritt des Stadiums der körnigen Differenzirung seines Inhaltes, nicht nennentlich vergrössert wird.

Mit Essigsäure-Methylgrünlösung wurden in frischen Zellen Zustände der Kerne fixirt, die mit den eben beschriebenen Bildern des Alkoholmaterials die vollste Übereinstimmung erkennen liessen (Fig. 61—63). Unter diesen Präparaten traf ich auch auf Bilder, mit deren Hilfe sich die Veränderungen des Kerns, die dem Erscheinen der grösseren tingirbaren Körner vorausgehen, ohne Schwierigkeit verfolgen lassen. Nach einem derselben wurde die Fig. 60, welche offenbar einem Zwischenstadium entspricht, entworfen. Man sieht ganz unzweideutig, dass die Bildung der Körner in den Knotenpunkten des intranucleären Netzes erfolgt. Entsprechend ihrer Anlage sind die Körner auf diesem Stadium durch feine, ebenfalls tingirbare Fäden, die mit den Körnersträngen identisch sind, miteinander verbunden.

Der weitere Fortschritt in der Entwicklung besteht in der Auflösung der Kernmembran. Die Figuren 8a, 9—10a zeigen die Zwischenstadien bis zur vollendeten Resorption der Kernmembran. Bevor noch dieselbe vollendet ist, erlangt die Zwischensubstanz des Kerns eine deutlich körnige, mit dem umgebenden Protoplasma übereinstimmende Beschaffenheit (Fig. 9, 10a). Nach erfolgter gänzlicher Auflösung der Kernmembran, bieten die Pollenmutterzellen der Fig. 8a entsprechende Bilder dar, die dadureh charakterisirt sind, dass im Plasma neben dem noch unveränderten Nucleolus eine Anzahl grösserer tingirbarer Körner auftritt.

Das Resultat der histologischen Veränderungen in den nächstfolgenden Stadien ist das Erscheinen eines kleinen, fast nur aus tingirbarer Substanz bestehenden hüllenlosen Kerns (Fig. 10b—18a, 66). Die Figuren 15 und 66 wurden nach frischen, mit Essigsäure-Methylgrün behandelten Präparaten entworfen. Die Substanz des neuen, oft Vacuolen bergenden Kerns ist von körniger Beschaffenheit. Seine Contouren zeigen fast immer einen unregelmässigen Verlauf, wie Kerne oder Nucleolen, die amöboiden Bewegungen ausführen. In dem auf Fig. 12 abgebildeten Falle zeigt der Kern fast vollständig das Bild einer kleinen Amöbe. Man bemerkt an diesem Kern, ausser kleineren Unebenheiten seiner Oberfläche, noch einen ziemlich langen, in das Protoplasma eindringenden längeren Fortsatz.

Vor Allem drängt sich jetzt die Frage auf, nach den genetischen Beziehungen dieses neuen Kerns zu demjenigen der früheren Stadien. Die Bildung des amöboid gestalteten Kerns denke ich mir in der Weise zu Stande gekommen, dass die im unmittelbar vorausgehenden Stadium vorhandenen und nach Auflösung der Kernmembran im Plasma isolirt auftretenden, tingirbaren Körner mit dem Nucleolus verschmelzen. Befunde, die der Figur 14 entsprechen, sind dieser Ansicht nicht ungünstig. Man sieht hier nämlich neben einer Anzahl kleiner tingirbarer Körner, noch einen grösseren kugelförmigen Körper von derselben Beschaffenheit. Die Körner treten in viel geringerer Anzahl als im früheren Stadium auf. Dies hängt, wie ich vermute, damit zusammen, dass ein Theil derselben bereits mit dem Nucleolus verschmolzen ist.

Bei der Deutung des neuen Kerns als eines aus dem Nucleolus, und den tingirbaren Körnern des früheren Stadiums hervorgehenden Verschmelzungsproductes, stütze ich mich ferner noch auf das häufige Vorkommen vacuolenartiger Hohlräume in der Masse desselben. In Bezug auf diese Bildungen im Nucleolus des ursprünglichen Kerns habe ich im Vorausgehenden bereits bemerkt, dass dieselben als Reagenswirkung aufzufassen sind. Ich glaube daher, nicht zu irren, wenn ich annehme, dass der Nucleolus auch während der Verschmelzung mit den tingirbaren Körnern sich in einem homogenen, vacuolenfreien Zustande befindet, und dass der neue Kern vor der Abtödtung durch Reagentien dieselbe Beschaffenheit besitzt. Das Auftreten der Vacuolen in dem durch Alkohol oder Essigsäure fixirten Kern, wäre daher in Zusammenhang mit dessen Gehalt an Stoffen zu bringen, die dem Nucleolus des früheren Kerns entstammen.

Zur Vervollständigung dieser Schilderung will ich noch eines Befundes erwähnen, dem die Fig. 11 entspricht. Man bemerkt im Plasma neben dem tingirten Kern, über dessen Entstehung ich mich soeben ausgesprochen

habe, ein kleines, aus hyaliner stark lichtbrechender Substanz bestehendes Kügelchen. An dem letzteren war eine Tinctionsfärbung nicht wahrzunehmen. Als diese Zelle in rollende Bewegung versetzt wurde, erschien dieses kleine Kügelchen bei veränderter Lage der Zellen, durch einen grösseren Abstand von dem Kern getrennt. Etwas Ähnliches habe ich auch an frischen Essigsäurepräparaten gesehen, welchen Befunden die Figuren 64 und 65 entsprechen. Beide Figuren zeigen dieselbe Zelle in zwei verschiedenen Lagen. In diesem Falle waren in der Masse des kleineren Inhaltkörpers drei Vaeolen wahrnehmbar.

Diesen Befunden entsprechende Bilder habe ich bei der Durchmusterung sehr zahlreicher, auf entsprechender Bildungsstufe befindlicher Mutterzellen, nur äusserst selten gesehen. Trotzdem geht aus meinen Beobachtungen mit Sicherheit hervor, dass diese, die Kerne einer relativ nur sehr geringen Anzahl von Mutterzellen begleitende Gebilde, nicht durch amöboiden Zerfall der betreffenden Kerne entstandene Fragmente derselben darstellen können, da ich an denselben nach Behandlung mit Methylgrün in Essigsäurelösung nie auch nur die geringste Andeutung einer Tinctionsfärbung beobachtet habe. Dieses Verhalten, welches mit der Deutung der fraglichen Inhaltkörper als kernartiger Gebilde absolut unvereinbar ist, macht es unabweislich, dieselben als kleine Nucleolen anzusprechen, mit denen sie auch in sonstiger Beziehung übereinstimmen. Das nicht constante Auftreten dieser Körper ist ein sicherer Hinweis darauf, dass dasselbe gewisse Eigenthümlichkeiten der Organisation der Kerne mancher Mutterzellen zur Voraussetzung hat. Und diese betrachte ich als gegeben, in dem gelegentlich vorkommenden multinucleolären Zustand der Kerne, in der Entwicklung bereits vorgeschrittener Pollenmutterzellen. Die Antwort auf die Frage nach der Herkunft der kleinen mit Methylgrün nicht färbbaren Inhaltkörper liesse sich meines Erachtens auf die einfachste und natürlichste Weise so fassen: Bei den Vorgängen, durch welche in der bereits angedeuteten Weise aus dem ursprünglichen Kern ein neuer wesentlich verschieden gestalteter hervorgeht, finden regelmässig die Nucleolen und die tingirbaren Elemente des ersteren Verwendung. Befindet sich jedoch der Kern einer Pollenmutterzelle im Stadium, welches seiner Umgestaltung unmittelbar vorausgeht, in einem multinucleolären Zustand, so kann es sich ereignen, dass ein kleiner Nucleolus ohne mit den übrigen Theilen des alten Kerns zu verschmelzen im Plasma zurückbleibt, und in dieser Weise als ein vom neuen Kern gesondertes Gebilde zur Beobachtung gelangt. Die multinucleolären Kerne bereits isolirter Mutterzellen, enthalten aber am häufigsten nur zwei Nucleolen. Daraus würde sich ganz ungezwungen das Vorkommen nur eines einzigen, nicht tingirbaren Inhaltkörpers neben dem neuen Kern erklären.

Auf derselben Entwicklungsstufe könnte ein Kern, der aus einem ursprünglich trinucleolären hervorging, von zwei derartigen Gebilden begleitet sein. Dieser Schlussfolgerung entsprechende Zustände habe ich nicht angefounden. Daraus kann aber ein Bedenken gegen die Deutung der fraglichen Bildungen als Nucleolen um so weniger erwachsen, als trinucleoläre Zustände der Mutterkerne auf der in Betracht kommenden Entwicklungsstufe, wie ich früher bereits hervorgehoben habe, zu den Seltenheiten gehören, und daher die Auffindung entsprechender späterer Zustände nur zu sehr von einem glücklichen Zufalle abhängt.

Der Verlauf der Entwicklung der Pollenmutterzellen meines Untersuchungsobjects bietet das Eigenthümliche dar, dass der Mutterkern erst nach seiner Umgestaltung, durch die seine ursprüngliche Organisation so wesentlich modificirt wird, im Stadium der ersten Kernspindel in Action tritt. Trotz vielfältiger Bemühungen war ich nicht so glücklich, Zwischenstufen aufzufinden, mit deren Hilfe sich die Veränderungen verfolgen liessen, die der neue Kern bei seiner Umbildung in die Elemente der Kernplatte erfährt. Dieselbe besteht in der Regel aus isolirten, in der Richtung der Spindelaxe nur wenig verlängerten Körnern (Fig. 184). Nur selten verschmelzen die tingirbaren Elemente der Kernspindel zu einer äquatorialen Platte, die polwärts in spitze Zacken ausläuft (Fig. 19). Die Figuren 68 und 69 stellen dieselben Zustände in tingirten Essigsäurepräparaten dar, und zwar zeigt Fig. 68 die gewöhnlich vorkommende Form der Kernspindel in der Seiten-, die Fig. 69 in der Polansicht.

An frischen Präparaten sah ich die erste Kernspindel öfter in einem hellen, aus hyaliner oder sehr feinkörniger, schwach lichtbrechender Substanz gebildeten Binnenraume des Plasmas auftreten. In diesen Fällen erschien die Kernspindel gegen das Plasma hin, durch den, namentlich für die entsprechenden Zustände thierischer Zellen, charakteristischen hellen Hof abgegrenzt (Fig. 68—70). An Alkoholpräparaten habe ich

diese Verhältnisse nie wahrgenommen. Dies dürfte vielleicht damit zusammenhängen, dass die helle Zone durch die Alkoholwirkung körnig gerint.

Zweiten findet man Kernspindeln, deren Bau einige Verschiedenheiten von der gewöhnlich vorkommenden Ausbildung derselben erkennen lässt. In Fig. 70 bemerkt man zu beiden Seiten der Kernplatte auftretende, polwärts verschobene Elemente derselben. Einem etwas späteren Stadium ist die Fig. 72 entnommen. Hier treten vereinzelt Elemente der Kernplatte, zwischen den bereits um ein beträchtliches Stück verschobenen Theilhälften der letzteren an.

Den hellen, die Kernfigur aufnehmenden Binnenraum des Plasmas, habe ich in einigen Fällen an frischen Präparaten, auch im Stadium des Auseinanderweichens der Kernplattenhälften mit Deutlichkeit gesehen (Fig. 67).

Aus der Betrachtung der zuletzt beschriebenen Figuren erhellt, dass die gegen die Pole der Kernspindel sich hinbewegenden Kernplattenhälften aus Elementen bestehen, die nur wenig von denjenigen der früheren Kernplatte verschieden sind. Nur ausnahmsweise nimmt die Kernplatte bei ihrer Theilung die in Figur 71 dargestellte Gestalt an; sie ist dadurch bedingt, dass die anfänglich körnigen Elemente der Kernplatte vor ihrer Theilung in längere Stäbchen ausgezogen werden. Aus Gründen der Analogie wäre zu vermuthen, dass in diesen Fällen die auseinanderweichenden Kernplattenhälften aus stäbchenförmigen Elementen aufgebaut sind. Eine indirecte Bestätigung dieser Annahme ergibt sich aus dem in Fig. 20 dargestellten Befunde, welcher einem etwas späteren Stadium entspricht. Hier erscheinen die beiden jungen Tochterkerne an den einander zugewendeten Seiten zackig begrenzt, wie überhaupt Anlagen junger Kerne, die aus stäbchenförmigen Elementen hervorgehen, deren Verschmelzung an den polwärts gerichteten Enden beginnt.

Den gewöhnlich vorkommenden Zustand der jungen Kernanlagen illustriert die Fig. 21.¹ Man bemerkt in der tingirten Masse derselben noch die grösseren Körner, denen wir bereits in der Kernplatte begegneten. Auf etwas späteren Stadien sind diese Körner nicht mehr sichtbar und es bestehen die jungen, anfänglich hülsenlosen Kerne aus feinkörniger Substanz (Fig. 22).

Verfolgt man das Verhalten der beiden, mittelst der Verbindungsfäden zusammenhängenden Secundärkerne auf den Stadien, die ihrer Theilung vorausgehen, so bemerkt man an ihnen Veränderungen, die sowohl ihre Gestalt als auch Structur betreffen. Die ersteren bestehen darin, dass dieselben durch ungleichmässigen Wachsthum in einer zur Längsaxe der früheren Kernspindel senkrechten Richtung sich flach ausbreiten. Diese Gestaltsveränderung erfahren die Secundärkerne noch vor dem Erscheinen der Zellplatte (Fig. 23a). Gleichzeitig gehen die bis dahin hülsenlosen, homogenen Kerne in eine höher differenzirte Form über. Sie erscheinen gegen das Plasma hin, durch eine Membran scharf abgegrenzt; ihr Inhalt differenzirt sich in eine Zwischen-substanz und unregelmässig in dieser vertheilte tingirbare Körner (Fig. 23a). Auf diesem Stadium besitzt der von den Verbindungsfäden durchzogene Binnenraum des Plasmas die Gestalt eines Cylinders, dessen Endflächen von den beiden abgeflachten Kernen gebildet werden. Es kommt nun zwischen den unter einander parallel verlaufenden Verbindungsfäden zur Bildung der Zellplatte (Fig. 23b), welche schliesslich die ganze Breite der Zelle durchsetzt. Es erfolgt dies unter gleichzeitig stattfindender Anshreitung des Systems von Verbindungsfäden, indem zu den vorhandenen noch neue hinzugefügt werden, die mehr und mehr bogenförmig gekrümmt erscheinen (Fig. 24a, 25, 27). Aus den Figuren 23b, 25 und 27 ist zu entnehmen, dass das Wachsthum der Kerne noch längere Zeit fortdauert. In dem Masse als ihre Grösse dem Maximum sich nähert, erfährt ihr Inhalt noch eine weitere Veränderung, indem die Körnchen gegen die Peripherie des Kerns rücken und sich der inneren Oberfläche der Kernmembran als Körnerschicht auflegen. Auf entsprechenden Stadien bieten daher die Secundärkerne das Aussehen scharfbegrenzter, mit tingirbaren Körnern ausgekleideter, spaltenförmiger Hohlräume im Plasma dar.

¹ Die Längsaxe der Kernfigur war im abgebildeten Falle schief gegen die Unterlage gerichtet, sie erscheint daher in der Figur perspectivisch verkürzt.

Kommen zweikernige Mutterzellen mit bereits scheibenförmigen Kernen beim Rollen am Objectträger in entsprechende Lage, so zeigt die Polansicht der Kerne keine regelmässigen Contouren (Fig. 24b, die Polansicht der in Fig. 24a dargestellten Zelle). In einem noch viel höheren Grade ist dies auf späteren Entwicklungsstufen der Fall (Fig. 28b). In den auf Figur 29 abgebildeten Polansichten zweier Kerne, zeigen die wandständigen Körner ihres Inhaltes eine sehr deutliche, netzartige Anordnung. Es zeigen daher die von den Körnern nicht bedeckten Stellen der inneren Oberfläche der Membran polygonale Umrisse.

Bevor die beiden Secundärkerne sich zur Theilung ausbilden, erfahren dieselben eine regressive, bis zur früheren Hüllenlosigkeit und homogenen Beschaffenheit fortschreitende Veränderung. Zuvor werden jedoch die Verbindungsfäden vom Plasma resorbiert; die provisorisch gebildete Zellplatte bleibt in den zweikernigen Mutterzellen noch längere Zeit als hyaliner Streifen sichtbar (Fig. 26, 28). In Bezug auf die Figur 26 will ich hier die Bemerkung einheften, dass in der dargestellten Zelle die beiden Kerne beim Senken des Tabus bedeutend breiter und bei gewisser Einstellung des Mikroskopes, entsprechend den in Fig. 28a abgebildeten Verhältnissen, scheibenförmig ausgebreitet erschienen. Es entsprechen daher die Bilder beider Kerne in Fig. 26 nicht der ganzen optischen Durchschnitsansicht derselben. Ich hebe dies hervor, weil solche Bilder sonst zur Meinung führen könnten, dass auf dem in Betracht kommenden Stadium noch andere, als die eben beschriebenen Kernformen vorkommen.

Auf dem Stadium, welches der Fig. 30 entspricht, bemerkt man ausser der Zellplatte noch zwei hüllenlose, aus feingranulirter Substanz bestehende, noch deutlich abgeflachte Kerne. In den Fig. 31 und 32 dargestellte Befunde ergeben, dass die secundären Kerne in ihrem hüllenlosen Zustande eine nicht unbedeutliche Volumverminderung erfahren, indem die Zwischensubstanz derselben zum grössten Theile resorbiert wird.

Die Auflösung der ersten, nur vorübergehend auftretenden Zellplatte erfolgt in centripetaler Richtung; sie beginnt am Rande und schreitet von hier gleichmässig gegen die Mitte fort. Die übreste dieser Zellplatte sind oft noch auf dem Stadium der zweiten Kerntheilung sichtbar (Fig. 33, 39, 73, 74). Wie die Fig. 34 zeigt, ist dies nicht immer der Fall.

Der in Fig. 32 abgebildete Zustand der Tochterkerne scheint nicht unmittelbar in das Stadium der doppelten Spindel hinüberzuführen. Zwischenstadien, die diesen Befund mit den in den Fig. 33 und 34 dargestellten Zuständen naturgemäss hätten verknüpfen können, gelang mir nicht aufzufinden. Aus diesem Grunde bin ich nicht in der Lage etwas Näheres über die Eigentümlichkeiten der Tochterkerne, und namentlich über die Differenzierung derselben unmittelbar vor ihrer Theilung angeben zu können. Trotz dieser in meinen Beobachtungen wahrscheinlich vorhandenen Lücke, lassen sich die geschilderten Entwicklungsvorgänge des Mutterkerns und seiner nächsten Descendenten dennoch insofern parallelisiren, als in beiden Fällen der Bildung der Kernspindel eine erhebliche Reduction der betreffenden Kerne vorangeht.

Die anfänglich homogenen Kerne zweiter Generation differenziren sich in analoger Weise wie ihre Mutterkerne und es stellen die ersteren im Stadium der Zellplattenbildung wieder von einer Membran begrenzte, bläschenförmige Gebilde dar, deren Inhalt aus einer reichlich auftretenden Zwischensubstanz und in dieser vertheilten Körnern besteht. (Fig. 36, 37, 43 n. A.).

Die Anordnung der vier Kerne ist eine zweifache: dieselben liegen entweder in einer Ebene oder in den Ecken eines Tetraeders. Im ersten Fall zeigen die Mutterzellen, nach vollendeter Theilung der beiden Kerne, während der Bildung der vier Zellplatten in den primären und frei entstandenen secundären Systemen von Verbindungsfäden,¹ die in den Fig. 35—37 dargestellten Verhältnisse. Der in Fig. 37 dargestellte Befund entspricht einer Lage der betreffenden Mutterzelle, in der je zwei Zellkerne jeder Zellhälfte übereinander liegen und daher zwei Systeme von Verbindungsfäden, in einer zur Unterlage senkrechten Richtung verlaufen. In dieser Lage besitzen die sichtbaren Systeme von Verbindungsfäden eine grössere Breite, als in der der Fig. 36 entsprechenden Lage der Mutterzelle. Aus der Fig. 37 ist noch zu ersehen, dass die Kerne zweiter Generation,

¹ Strasburger, Zellbildung und Zelltheilung. 1880, III. Aufl., p. 119, 151, 152.

während der Anlegung der Zellplatten sich einer mit dieser parallelen Richtung nicht nennentlich verlängern, und durch unregelmässig erfolgreiches Wachstum die Gestalt kurzer Schläuche annehmen.

Die tetraëdrische Anordnung der Kerne dritter Generation resultirt aus der Theilung der beiden Tochterkerne in gegeneinander senkrecht gerichteten Ebenen (Fig. 39). Je nach ihrer Lage bieten Mutterzellen mit tetraëdrisch angeordneten Einzelkernen den Fig. 40—42 entsprechende Bilder dar.

Die Zellbildung erfolgt in jedem Fall durch Scheidewände, die simultan aus den Zellplatten hervorgehen. Die Theilungsvorgänge selbst bedürfen für die Fälle, in denen die vier Einzelkerne in einer Ebene neben einander liegen, keiner weiteren Erörterung. Hinsichtlich der Ausbildung der Tetrade bieten jedoch die Mutterzellen der anderen Art, in denen die vier Kerne dritter Generation tetraëdrisch gelagert sind, eine ganz besondere, meines Wissens noch nicht beobachtete Eigentümlichkeit dar, die dadurch bedingt ist, dass die vier Tochterzellen nicht wie zu erwarten wäre, tetraëdrisch, sondern paarweise übers Kreuz angeordnet sind. Im Einzelnen betrachtet, verläuft die Theilung dieser Art von Mutterzellen folgendermassen:

Die Bildung der Tetrade aus der Mutterzelle wird durch drei Zellplatten eingeleitet. Durch eine derselben wird die Mutterzelle in zwei gleiche Hälften zerlegt, deren jede zu zwei, mittelst ihren primären Verbindungsfäden zusammenhängende Kerne enthält. Die betreffende, die ganze Breite der Mittelzelle durchsetzende Zellplatte entsteht durch Vermittlung sämtlicher frei entstandener Verbindungsfäden. Gleichzeitig erfolgt innerhalb der primären Verbindungsfäden jeder Zellhälfte die Bildung von Zellplatten, die entsprechend dem Verlaufe der betreffenden Verbindungsfäden, gegen einander senkrecht oder schief orientirt sind. Auf diesem Stadium entsprechen den Mutterzellen, die in Fig. 43 und 44 dargestellten Bilder. Dieselben zeigen in der unteren Zellhälfte zwei Kerne in der Durchschnittsansicht, zu beiden Seiten einer zur Bildfläche senkrecht gerichteten Zellplatte. Die obere Zellhälfte enthält zwei über einander liegende Kerne, die in der Seitenansicht sichtbar sind. Die zwischen den letzteren auftretende Zellplatte ist nicht sichtbar, da dieselbe in der Richtung der Bildfläche verläuft.

Entsprechend dem Verlaufe der Zellplatten werden die Mutterzellen durch drei radiale, simultan entstehende, die Oberfläche derselben rechtwinklig schneidende Scheidewände in vier kugelquadrantische Tochterzellen von gleicher Grösse zerlegt. Die Scheidewände selbst besitzen ungleiche Grösse. Die grösste unter diesen nimmt der Äquator der Mutterzelle auf; sie besitzt einen kreisförmigen Umriss und setzt sich mit allen Punkten ihres Umfanges der Innenfläche der Membran der Mutterzelle an. Ich will diese Scheidewand, durch welche die Mutterzelle in zwei gleiche Hälften zerlegt wird, als die äquatoriale bezeichnen. Die beiden übrigen Scheidewände besitzen einen halbkreisförmigen Umriss; sie setzen sich mit ihrer geraden Seite der Äquatorialen Wand, mit ihrer convexen der Membran der Mutterzelle an. Diese kleineren Scheidewände verlaufen in zwei gegeneinander geneigte Ebenen.

Die in den Fig. 45 und 46 abgebildeten bilateralen Tetraden sollen die eben geschilderten Verhältnisse versinnlichen. Beide Figuren entsprechen einer Lage der betreffenden Mutterzellen, in der die Äquatoriale Scheidewand parallel mit der Bildfläche verläuft und deshalb nur die beiden kleineren, in der Projection einander durchschneidenden Scheidewände sichtbar sind.

Die Figur 38 stellt paarweise mittelst ihren Verbindungsfäden zusammenhängende Kerne dritter Generation dar. Die Axe des Systems von Verbindungsfäden, des in der Zeichnung links befindlichen Kernpaares, verläuft in der Lage, welche die Mutterzelle inne hatte, parallel mit der Bildfläche, die des rechten ist jedoch gegen dieselbe etwas geneigt und daher in der Zeichnung perspectivisch verkürzt. Die vier Kerne nehmen also in diesem Falle eine Stellung ein, die weder den radiären (Fig. 36) noch der tetraëdrischen (Fig. 39—42) genau entspricht, sondern zwischen beiden die Mitte hält. Dasselbe ist auch auf dem in Fig. 75 abgebildeten Stadium der Fall, da bei gewisser Einstellung des Mikroskopes nur drei Kerne scharf gesehen wurden, während der vierte aus der Ebene der übrigen drei Kerne heraustrat. Weiter entwickelte Zustände solcher Mutterzellen mit intermediärer Lage ihrer Kerne dritter Generation habe ich nicht auffinden können. Die in den Fig. 38 und 75 dargestellten Befunde lassen es jedoch als zweifellos erscheinen, dass denselben entsprechende Tetraden, mit nur wenig seitlich verschobenen Zellenpaaren, gebildet werden.

Eine weitere Eigenthümlichkeit des von mir untersuchten Objectes besteht darin, dass einzelne Specialmutterzellen der Tetraden auf Stadien, die der Bildung der Pollenzellen voransgehen, in den meisten Fällen noch nachträgliche Theilungen erfahren.

Die Figuren 47—50 stellen die weiter entwickelten Zustände anfänglich paarweise übers Kreuz angeordneten Specialmutterzellen dar. In der Fig. 47 besteht die untere Hälfte des kugeligen Complexes von Specialmutterzellen aus zwei kugelnquadrantischen Zellen von nahezu gleicher Grösse.

In der oberen Hälfte sind die ursprünglichen Verhältnisse nicht mehr vorhanden. Hier finden wir an Stelle jeder Quadrantenzelle, je zwei aus diesen durch nachträgliche Theilung entstandene Schwesterzellen von ungleicher Grösse vor. In dem auf Fig. 48 dargestellten Falle ist der ganze Complex von Specialmutterzellen fünfzellig, und zwar besteht die eine Hälfte derselben aus zwei, die andere aus drei Zellen. Die Fig. 50 stellt einen sechszelligen Complex von Specialmutterzellen dar: sie entspricht einer Lage desselben, in der beide Quadrantenzellen der einen Hälfte — in der Figur der obern — sich gegenseitig decken. Die vier Zellen der in der Zeichnung unteren Hälfte liegen paarweise übereinander. Dass dies wirklich der Fall ist, geht aus der Fig. 49 hervor, welche die Polansicht der betreffenden, aus vier Zellen von gleicher Grösse bestehenden Hälfte desselben Complexes darstellt.

Nachträgliche Theilungen einzelner Specialmutterzellen finden auch in solchen Tetraden statt, die aus Mutterzellen hervorgehen, deren vier Kerne in einer Ebene liegen. In diesen Fällen theilt sich gewöhnlich nur eine einzige Zelle der Tetrade durch eine schief nach aussen gerichtete Wand, in zwei Tochterzellen von ungleicher Grösse, von denen die kleinere die Gestalt einer dreiseitigen Pyramide besitzt. Die Fig. 51 stellt einen derartigen fünfzelligen Complex von Specialmutterzellen dar. Bei der Lage, welche derselbe beim Entwürfe der Zeichnung inne hatte, waren beim Wechsel der Einstellung bald die untere, aus zwei Quadrantenzellen bestehende Hälfte, bald die obere sichtbar. Die Letztere wurde in der Fig. 51 abgebildet. Dieselbe zeigt drei Zellen von ungleicher Grösse, von denen die kleinste, im Umriss dreieckige, der nachträglich gebildeten Specialmutterzelle entspricht.

Seltener gehen aus den Tetraden vom zweiten Typus, auf späteren Entwicklungsstufen sechszellige Complexe von Specialmutterzellen hervor, die bei gewisser Lage den in Fig. 52 dargestellten Bau erkennen lassen. Man bemerkt hier an beiden Polen je eine kleinere, nachträglich gebildete Specialmutterzelle. Die Letzteren erscheinen auf beiden Polansichten der betreffenden Complexe von vier grösseren Zellen umgeben (Fig. 53).

Die Polansicht fünfzelliger Complexe von Specialmutterzellen (Fig. 51) zeigt je nach der Lage derselben vier oder fünf Zellen. Im letzteren Falle entspricht ihre Anordnung der Fig. 53.

Die durch die ungleiche Grösse der Specialmutterzellen bedingten Verschiedenheiten hinsichtlich der Grösse der jungen Pollenzellen, sind auch nach vollendeter Entwicklung derselben vorhanden, da eine nachträgliche Angleichung dieser Differenzen durch das spätere Wachstum der kleineren Elemente des Pollens nicht erfolgt.

Durch die auf den vorhergehenden Blättern beschriebenen Befunde, von denen die meisten bereits Präcedenten in der neueren, so reichhaltigen Literatur über die Theilung pflanzlicher und thierischer Zellen, zumal in den grundlegenden Arbeiten Strasburger's finden, haben wir einen Überblick über die bei der Pollenbildung stattfindenden Vorgänge gewonnen.

Ich habe versucht, die erriethen Thatsachen aneinander abzuleiten und auf dem Wege des Vergleichs in eine entwicklungsgeschichtliche Reihenfolge zu verknüpfen. Es erübrigt mir daher noch zu zeigen, inwiefern meine Befunde und Vorstellungen von der Natur der geschilderten Vorgänge mit denjenigen anderer Forscher übereinstimmen oder von diesen abweichen. Zum Ausgangspunkt für diese Betrachtungen wähle ich die Veränderungen, welche der Kern der Pollenmutterzellen während des Wachstums derselben, bis zum Eintritt des Stadiums der ersten Kernspindel erfährt.

Eine der am frühesten stattfindenden Veränderungen der jungen, noch im Wachsthum begriffenen Kerne, ergibt sich aus dem, in der Regel stattfindendem Übergang derselben aus dem multinucleolären in den uninnucleolären Zustand.

Über analoge, mit der Entwicklung der Pollenmutterzellen sich ändernde Zustände ihrer Kerne, liegt bereits eine ausführlichere Mittheilung Hofmeister's vor.¹ Dieselbe betrifft den Kern der Pollenmutterzellen von *Commelyneen* (*Tradescantia virginica*). Er gibt an, dass der Kern noch miteinander zusammenhängender Mutterzellen mehrere, meist 4—5 in der Inhaltsflüssigkeit desselben schwimmende Nucleolen enthalte. Nach eingetretener Isolirung der Mutterzellen finden sich in jedem Kern bis zu sechs Nucleolen; erst bei fernerer Entwicklung vermindert sich die Zahl derselben bis auf einen, dessen Durchmesser den des grössten Nucleolus auf einem früheren Stadium um das Drei- bis Vierfache übertrifft. Hofmeister bemerkt hierüber: „Es scheint, dass eines jener Kernkörperchen an Grösse stetig zunimmt, während die übrigen resorbirt werden. Unterstützt wird diese Vermuthung dadurch, dass in den selteneren Fällen, in welchen die Kerne weiter entwickelter Mutterzellen zwei bis drei Kernkörperchen führen, das Eine bei weitem grösser ist, als das Andere.“ Von Interesse ist ferner die Angabe Hofmeister's, dass die Nucleolen als länglichrunde Massen eines sehr dichten Schleimes erscheinen, in welchem einer oder zwei Hohlräume sich befinden.

Der Vergleich der von Hofmeister beschriebenen Verhältnisse, mit den von mir gemachten Beobachtungen, ergibt für die Pollenmutterzellen der *Commelyneen* und derjenigen von *Hemerocallis fulva*, eine völlige Übereinstimmung hinsichtlich des Verhaltens der Nucleolen während des Wachstums der Kerne.

Die Schilderung, welche Baranetzky² von dem Baue junger Pollenmutterzellen von *Tradescantia*-Arten (*T. virginica*, *pulsa*, *subaspera*, *discolor* und *zebrina*) entwirft, lässt sich mit den Angaben Hofmeister's kaum in Einklang bringen. Dies muss um so mehr überraschen, als beide Forscher zu ihren Untersuchungen sich nur der Wasserpräparate bedienten. Baranetzky schreibt: „Das Verhalten der Kernkörperchen ist mir nicht ganz klar geworden. Bei *T. zebrina* scheint in jungen Pollenmutterzellen immer ein grosses Kernkörperchen vorhanden zu sein. Bei den anderen von mir untersuchten *Tradescantien* war ein solches bald deutlich sichtbar, bald schwimmte es nur undeutlich durch und war schliesslich in anderen (und zwar den meisten) Kernen gar nicht zu erkennen. Es scheint mir darum wahrscheinlich, dass in den ruhenden Kernen die Kernkörperchen immer vorhanden sind, ihre Sichtbarkeit hängt aber von ihrer relativen Dichte im Vergleich mit der Dichte und Durchsichtigkeit der sie einschliessenden Kernsubstanz.“

An eine Vereinigung dieser die Nucleolen betreffenden Angaben von Baranetzky mit denjenigen Hofmeister's lässt sich gar nicht denken und es könnte daher fast bedenklich erscheinen, die *Commelyneen* zum Vergleich mit dem von mir bei *Hemerocallis* beobachteten Verhältnisse heranzuziehen. Nach den Angaben von Baranetzky zu urtheilen, wäre es sogar zweifelhaft, ob bei den *Tradescantien* überhaupt multinucleoläre Zustände der Kerne der Pollenmutterzellen vorkommen. Mir steht das betreffende Untersuchungsmaterial nicht zu Gebote, um zwischen den Angaben beider genannter Forscher auf Grund eigener Beobachtungen entscheiden zu können. Bei dieser Sachlage müssen mir einige Angaben von Strasburger über das Verhalten des Kernes der Pollenmutterzellen von *Tradescantia virginica* und *elata* um so werthvoller erscheinen. Darüber spricht sich Strasburger folgendermassen aus: „Die noch verbundenen Mutterzellen zeigen relativ grobnetzförmigen Inhalt; ein oder mehr Kernkörperchen liegen excentrisch, sind manchmal auch schwer zu unterscheiden. Folgt ein grobkörniger, dann ein gewunden fadenförmiger Zustand. Die excentrischen Kernkörperchen sind noch zu unterscheiden, namentlich an Alkohol-Carmin-Präparaten, wo sie weniger intensiv gefärbt als die gewundenen Fäden sich zeigen.“³ Weitere Einzelheiten über das Verhalten der Nucleolen werden von Strasburger nicht angegeben. Immerhin gestattet aber die Schilderung Strasburger's mit Sicherheit den Schluss zu ziehen, dass bei den *Tradescantien* in jungen Pollenmutterzellen multinucleoläre Kerne vorkommen. Bezüglich der Angaben von Baranetzky muss ich daher annehmen, dass demselben auf der entsprechenden Entwicklungs-

¹ Bot. Zeit. 1848, Sp. 425.

² Zellb. und Zellth. III. Aufl., p. 146.

³ Bot. Zeit. 1880, Sp. 241 ff.

stufe befindliche Pollenmutterzellen nicht nur Untersuchung vorlagen und dass seine Beschreibung der Bauverhältnisse der Kerne ganz junger Pollenzellen, die den Ausgangspunkt seiner Darstellung bildet, auf die bereits von Hofmeister beschriebenen sekundären Zustände derselben sich bezieht.

Hinsichtlich ihres feineren Baues schliessen sich die, gewöhnlich uninucleolären Kerne der Mutterzellen von *Hemerocallis fulva*, eng an diejenigen der Kerne unreifer thierischer Eier, die sogenannten Keimbläschen an. Diese Ähnlichkeit wird hauptsächlich durch die auf dem betreffenden Stadium sich so deutlich ausprägende Anordnung der fingirbaren Bestandtheile des Kerninhaltes bedingt (Fig. 57–59). — Nach dem Zustandekommen bereits geschilderter Veränderungen gelangt der Kern auf einem späteren Stadium in einen Zustand, der durch das Auftreten isolirter, in der Zwischensubstanz regellos vertheilter grösserer, fingirbarer Körner charakterisirt ist. Ich will diesen Zustand des Kernes als den grobkörnigen bezeichnen. (Fig. 5–7 u. A.).

Aus der Schilderung, welche Baranetzky¹ von dem Verhalten des Kernes der Pollenmutterzellen von *Hemerocallis flava* entwirft, entnehme ich, dass er bereits bei diesem Object Bilder gesehen hat, die den von mir beschriebenen grobkörnigen Zuständen des Kernes von *Hemerocallis fulva* vollkommen entsprechen. Derselbe schreibt: „Der Kern erscheint jetzt wie eine glashelle Vaeole an deren einer Seite ein zur Zeit gewöhnlich noch unverändertes grosses Kernkörperchen liegt, während der übrige Raum von einer Gruppe dichter, scheinbar homogener Klümpchen eingenommen wird.“ Die letzteren Gebilde sind wohl identisch mit den fingirbaren Gebilden des Kernes, in seinem grobkörnigen Zustande, meiner Präparate.

Baranetzky gibt ferner noch an, dass in den sich differenzirenden primären Kernen der Pollenmutterzellen von *Pinum sativum* und *Hesperis matronalis* isolirte, dichte, deutlich contonirte Klümpchen auftreten, die bald eine abgerundete (*Pinum*, l. e. Fig. 44), bald stäbchenartig verlängerte Gestalt zeigen (*Hesperis*, l. e. Fig. 52). Er leitet dieselben von dunklen, anfangs nicht scharf umschriebenen Flecken ab, die durch locale Ansammlung der ursprünglich gleichmässig feinkörnigen Substanz der primären Kerne entstehen. Das Kernkörperchen soll nach Baranetzky neben den Klümpchen noch vorhanden sein, später wird die Substanz derselben „in Form von 4–5, zuerst undeutlich, dann immer schärfer umschriebenen Partien ausgeschieden“ (*Pinum*, *Lathyrus*, *Hesperis*), welche schliesslich als isolirte Klümpchen zwischen eben solchen, durch Kern-differenzirung entstandenen nicht weiter zu unterscheiden sind.²

Eine Prüfung dieser Angaben Baranetzky's schien mir aus dem Grande geboten zu sein, weil aus denselben hervorgehen würde, dass auch bei *Pinum*, *Lathyrus* und *Hesperis* auf einem gewissen Stadium im Kern der Pollenmutterzellen neben dem Kernkörperchen noch isolirt auftretende, den fingirbaren Körnern bei *H. fulva* und *flava* entsprechende Gebilde auftreten.

Bei der Controle dieser Angaben von Baranetzky musste ich mich auf *Pinum sativum* und *Hesperis matronalis* beschränken.

Was die Kerne von *Hesperis matronalis* betrifft — ich untersuchte die frischen Pollenmutterzellen in Essigsäure-Methylgrün — so stellen dieselben auf einem Stadium, in dem die Isolirung der Mutterzellen beginnt, scharf umschriebene, sehr intensiv fingirbare Fadenknäuel dar. Das mit Methylgrün ebenfalls färbbare Kernkörperchen ist zwischen den Windungen der Kernfäden, die sehr dicht an einander liegen, nur sehr schwierig wahrnehmbar. Auf etwas späteren Stadien liegt die Kernfigur in einem helleren Binnenraum des Plasmas, in dem die Kernfäden sich etwas ausbreiten, so dass dieselben nun viel loockerer als früher nebeneinander liegen. Die Kernmembran und der Nucleolus sind nicht mehr wahrnehmbar. Später zerfallen die Kernfäden in kleinere Stücke, die bogenförmig gekrümmt sind. Unmittelbar vor dem Erscheinen der Kernspindel wird der Kern durch eine geringe Anzahl kurzer, schwach bogenförmig gekrümmter Stäbe repräsentirt, deren Dicke diejenige der früheren Kernfäden bedeutend übertrifft. Diese Elemente treten, indem sie sich gerade strecken und parallel neben einander stellen, zur Bildung der Kernplatte zusammen. Auf dieses Stadium kann Baranetzky's Figur 52 bezogen werden.

¹ Bot. Zeit. 1880, Sp. 286.

² L. e. Sp. 287.

Aus den obigen Befunden geht hervor, dass Baranetzky wichtige Zwischestadien, die zur Bildung der kurz-stäbchenförmigen, später in der Kernplatte auftretenden Elemente führen, nämlich die auf sehr früher Entwicklungsstufe bereits stattfindende fädige Differenzirung des Zellkernes nicht gesehen hat. Da ferner alle Veränderungen des Kernes bis zum Erscheinen der ersten Kernspindel sich im innigsten Anschlusse an diese Structur vollziehen und der Nucleolus bereits vor dem Erscheinen der stäbchenförmigen Elemente verschwunden ist, so kann die von Baranetzky gegebene Darstellung der betreffenden Vorgänge, wohl kaum als dem wirklichen Gange der Kerndifferenzirung entsprechend angesehen werden.

Die Ergebnisse, die ich mit Hilfe der durch Strasburger bei einer Reihe anderer Objecte erprobten Methode, bei *Pisum sativum* erhalten habe, lassen ebenfalls gar keine Übereinstimmung mit den betreffenden Angaben von Baranetzky erkennen. Der primäre Kern der Pollenmutterzellen besitzt auf dem Stadium der beginnenden Isolirung eine deutlich sichtbare Kernmembran. Sein Inhalt besteht aus einem relativ sehr grossen, nicht tingirbaren Nucleolus und einem, in Folge der Tinction aus der Zwischensubstanz sehr scharf hervortretenden, dichten Fadenknäuel. Der Nucleolus besitzt die Gestalt einer Halbkugel oder Calotte. Mit seiner gekrümmten Oberfläche legt sich derselbe der Kernmembran dicht an. Durch das angewandte Tinctioverfahren konnte mit grösster Sicherheit constatirt werden, dass zwischen den Kernfäden und dem Nucleolus kein Zusammenhang besteht. Befinden sich die Zellen, respective Kerne in entsprechender Lage, so sieht man zwischen dem Fadenknäuel und Nucleolus, stets einen schmalen Zwischenraum, in dem nur die nicht tingirbare Zwischensubstanz des Kerninhaltes auftritt. Sehr eigenthümlich ist das Verhalten des Nucleolus in den die Kerntheilung vorbereitenden Stadien. Anfänglich besteht derselbe aus homogener, stark lichtbrechender Substanz. Später wird am Nucleolus eine dichte, äussere und eine innere, bedeutend schwächer lichtbrechende mittlere Schichte unterscheidbar. Endlich findet man Stadien, auf denen neben dem noch unveränderten Fadenknäuel ein sehr schwach lichtbrechender Körper gefunden wird, dessen Umrisse vollkommen demjenigen des ursprünglichen Nucleolus entsprechen. Nach erfolgter Resorption der Kernmembran verschwindet auch dieser Überrest des Nucleolus, und es bleibt vom früheren Kern nur der fädig differenzirte Theil desselben zurück, um schliesslich zur Bildung der Kernplatte verwendet zu werden.¹

Baranetzky's Figur 43 dürfte den von mir bei *Pisum* gesehenen Bildern am nächsten kommen. Dieselbe zeigt im hellen Mittelraum des primären Kernes einen Nucleolus und neben demselben einen grösseren und kleineren aus körniger Substanz bestehenden Klumpen. Ich vermute, dass die grössere Körnermasse, den durch das von Baranetzky angewandte Untersuchungsmedium geschrumpften, fädigen Theil des Kerninhaltes darstellt. Lingen habe ich Zustände des Kernes die seinen Figuren 42 und 44 entsprechen würden, wo neben dem noch unveränderten Nucleolus grössere, körnige Gebilde dargestellt sind, nie gesehen.

Dass Baranetzky's und meine Befunde so vielfach und in so fundamentalen Punkten auseinander gehen, hängt jedenfalls nur mit den Verschiedenheiten der von uns angewendeten Untersuchungsmethoden zusammen. Ich zweifle übrigens nicht im Geringsten daran, dass ein so tüchtiger Beobachter wie Baranetzky, die von ihm gesehenen, allerdings nicht zweckmässig behandelten und dazu noch untingirten Objecte, richtig beschrieben hat.

Das Hauptsächliche, was ich gegenüber den Angaben von Baranetzky in Bezug auf *Pisum* und *Hesperis* habe feststellen können, besteht im Nachweise, dass bei diesen beiden Objecten mit den grobkörnigen Zuständen des primären Kernes von *Hemerocallis flava* und *fulva* vergleichbare Differenzierungsstadien nicht vorkommen und die ersteren auf einen viel engeren Verwandtschaftskreis beschränkt sind, als dies aus den Untersuchungen Baranetzky's hervorgehen würde. —

Wir haben im Vorhergehenden als Resultat der regressiven Metamorphose, durch welche der primäre Kern der Mutterzelle theilungsfähig wird, die Bildung eines kleinen, fast nur aus Kernsubstanz bestehenden Kernes kennen gelernt, an dem weder eine Membran, noch nucleusartige Bildungen nachweisbar sind. Auf dem

¹ Die Angabe Baranetzky's in Bezug auf das Fehlen der Kernspindel hat bereits Strasburger berichtet. Zellb. und Zellth. III. Aufl. p. 151.

entsprechenden Stadium tritt aus der primäre, amöboid gestaltete Kern auf einer Bildungsstufe entgegen, wie sie allgemein den einfachsten und primitivsten Kernformen eigenthümlich ist. Als solche betrachtet R. Hertwig¹ Kerne, welche aus einer in allen Theilen gleichmässig von „Kernsaft“ durchtränkten Kernsubstanz bestehen. Auch Bütschli² zieht aus den bei der Hervorbildung von Tochterkernen stattfindenden Vorgängen den Schluss, dass der homogene und dichte Zustand überhaupt die ursprünglichste und einfachste Form des Auftretens der Kerne sei.

Das geschilderte Verhalten des primären Kerns der Pollenmutterzellen, lässt sich ganz unbedenklich mit den Vorgängen parallelisiren, durch welche bei der Reifung thierischer Eier, aus dem Kern des unreifen Eies, d. i. dem Keimbläschen, der befruchtungs-, respective theilungsfähige Kern des reifen Eies, der Eikern, hervorgeht. O. Hertwig³ schildert diese Reifungserscheinungen thierischer Eier mit folgenden Worten: „Dieselben laufen im Wesentlichen darauf hinaus, dass die während des Eiwachstums hochdifferenzierte Kernform kurz vor dem Eintritt der Embryonalentwicklung wieder eine primitive Beschaffenheit annimmt, um bei der Zelltheilung in Function treten zu können“. Diese neue Kernform unterscheidet sich vom früheren Keimbläschen, nach O. Hertwig durch beträchtlich geringere Grösse, den Mangel wirklicher Nucleolen und einer besonderen, vom Inhalt stofflich verschiedenen membranösen Hülle, so wie auch dadurch, dass die Kernsubstanz und der Kernsaft sich völlig durchdringen.

Daraus geht hervor, dass die beiden genetisch zusammenhängenden Formen des primären Kerns der Pollenmutterzellen in ein ähnliches Verhältniss zu einander treten, wie das Keimbläschen zum Eikern thierischer Eier. —

Als das wichtigste Ergebniss meiner Untersuchungen betrachte ich die Befunde, aus denen hervorgeht, dass in manchen Fällen im Plasma neben dem ungebildeten primären Kern, noch ein kleineres, dem letzteren entstammendes kugeliges Gebilde auftritt. Die Frage nach der Herkunft desselben beantwortete ich im Vorangehenden dadurch, dass ich diesen Körper als einen kleinen, bei der Neugestaltung des Kernes nicht verwendeten Nucleolus deutete. Das Erscheinen der fraglichen Gebilde im Plasma hat aber meiner Meinung nach, eine ganz bestimmte Organisation des primären Kerns zur Voraussetzung. Diese betrachte ich in den gelegentlich vorkommenden multinucleolären Zuständen der Mutterkerne als gegeben, da ich an früher dargelegte Gründe mich stützend, annehmen muss, dass in uninucleolären Kernen sämtliche geformte Elemente derselben zum Aufbau der neuen Kerne verwendet werden.

Muss auch nach den mir vorliegenden Befunden zu urtheilen der Vorgang der Ausstossung eines morphologischen Elements aus dem zur Theilung sich anschickenden Kern, gerade so wie der multinucleoläre Zustand der Kerne, wegen seiner Seltenheit als ein abnormer Vorgang bezeichnet werden, so bietet derselbe insofern einiges Interesse dar, als derselbe an einige, die Umbildung des Keimbläschens thierischer Eier begleitende Vorgänge erinnert.

Die Beobachtungen O. Hertwig's über die Veränderungen des Keimbläschens von *Haemaphys* während der Reifung des Eies, sind besonders geeignet, unser Interesse an dieser Stelle in Anspruch zu nehmen. Nach Hertwig enthält das von einer zarten Membran begrenzte, mit tingirbarem Kernsaft erfüllte Keimbläschen einen einzigen gewöhnlich vacuolisirten Keimfleck. Ausserdem trifft man im Kern noch auf eine geringe Anzahl kleiner, tingirbarer Kugeln und Körnchen (Nebenkeimfleck). Bei der Reifung des Eies wird nach Hertwig die Membran des Keimbläschens aufgelöst, so dass auf einem gewissen Stadium an Stelle desselben nur noch eine verschwommene, körnchenfreie, helle Stelle im Dotter bemerkbar wird, in der bei Osmium-Carminbehandlung Theile des Nucleolus sichtbar gemacht werden können. In zwei Eiern fand Hertwig in der körnchenfreien Stelle einen einzigen rubinroth gefärbten Körper, der in Grösse dem Keimfleck vollkommen entsprach, in anderen „befanden sich zwei oder drei aus Kernsubstanz bestehende, ungemein deutlich durch ihre Färbung aus dem

¹ Beiträge zu einer einheitlichen Auffassung d. versch. Kernformen. Morpholog. Jahrb. Bd. II, p. 71.

² Studien über die ersten Entwicklungsvorgänge der Eizelle, etc. Frankfurt, 1876, p. 195.

³ Morphol. Jahrb. III, p. 79.

Dotter hervortretende kleinere Stücke, die unregelmässige Ränder und Fortsätze besaßen, wie Nucleoli, die amöboide Bewegungen anführen¹. Auf dieses Stadium folgt dasjenige des Richtungsamphiaters, dessen Spindelheil aus den Theilstücken des Nucleolus und einem Rest des Kernsaffes entsteht. O. Hertwig läßt es aber dahingestellt, ob der ganze Nucleolus oder nur ein Theil desselben, und ob die tingirbaren Nebenkügelchen in die Zusammensetzung der Spindel mit eingehen.² Einem früheren Entwicklungsstadium angehörige, noch namentlich begrenzte Richtungs-spindeln, lassen nach Hertwig in ihrer Mitte kleine, verdichtete Körnchen erkennen, die aber noch nicht zu einer regelmässigen Körnchenscheibe, der Kernplatte Strasburger's, angeordnet erscheinen. Daran anknüpfend, erwähnt Hertwig eines weiteren, höchst merkwürdigen Befundes. Er schreibt l. c. p. 14: „Auffällig war, dass an solchen Präparaten neben einem der beiden Spindelenden noch ein kleines, rundes Kügelchen zu bemerken war, das sich in Chinin besonders intensiv färbte und daher wohl auch als Kertheil in Anspruch genommen werden muss“.

In einer späteren Abhandlung O. Hertwig's³ findet sich eine durch weitere Angaben ergänzte und durch einige Figuren illustrierte Darstellung seiner eben referierten Befunde. Aus dieser geht hervor, dass der spindel-förmige Körper und das Kügelchen entweder von einem hellen Hofe oder von der Membran des Keimbläschens umgeben sind, oder ganz im Eidotter liegen. Ferner betont Hertwig, dass der kugelige Kertheil stets in Eiern fehle, in denen die Bildung der Richtungskörper beginnt.

Führt schon diese letztere Angabe, in Verbindung mit der Tinctionsfähigkeit des kleinen neben der Richtungs-spindel liegenden Gebildes zur Vermuthung, dass dasselbe einen bei der Bildung der ersteren nicht verwendeten Bestandtheil des früheren Keimbläschens repräsentirt, so liefert doch erst der von O. Hertwig ermittelte Verlauf der Reifungserscheinungen am Ei der Seesterne⁴ sichere Anhaltspunkte für die Beantwortung der Frage nach der Herkunft desselben. Aus den sehr eingehenden von Hertwig an den Eiern von *Asteracanthion* angestellten Untersuchungen ergibt sich nämlich, dass zur Bildung der Richtungs-spindel in erster Linie nur der innere, aus Paranelein bestehende, durch stärkeres Tinctionsvermögen und geringere Quellungs-fähigkeit ausgezeichnete Theil des Nucleolus des Keimbläschens verwendet wird. Indem ich in Bezug auf die höchst interessanten Einzelheiten bei der Bildung der Richtungs-spindel auf das Original und das Referat im Buch von Strasburger⁵ verweise, will ich der Darstellung O. Hertwig's nur jene Punkte entnehmen, die sich auch zur Deutung meiner Befunde verwerten lassen könnten. In dieser Hinsicht ist zunächst die Angabe Hertwig's von Interesse, dass auf einem gewissen Entwicklungsstadium der Eier von *Asteracanthion* im Eidotter, neben dem peripheren, anfänglich zum Radius des Eies schräg gestellten Richtungs-amphiaters, ein namentlich nach Reagensbehandlung deutlich hervortretender Rest des Keimbläschens nachweisbar ist. Derselbe besteht aus der theilweise aufgelösten und zusammengefalteten Kernmembran und körnigen Bildungen, unter denen der aus Nuclein bestehenden Rindentheil des früheren Keimflecks zu bemerken ist. Auf einem späteren Stadium ist die Kernmembran nicht mehr nachweisbar und vom Nucleolus und den übrigen körnigen Bildungen ist nur ein kleiner, mit dem Plasma noch nicht vermischter Rest sichtbar. Diese Zustände führen zu Stadien über, auf denen im Dotter ausser dem nun radiär gestellten Richtungs-amphiaters, kein weiterer Bestandtheil des früheren Kerns nachweisbar ist.⁶

Ganz analoge Entwicklungsvorgänge beschreibt O. Hertwig⁷ am Ei des Echinodermen (*Sphaerechinus loricatus*). Er fand ferner im frisch gelegten Ei von *Mytilus* in der Nähe des Richtungs-amphiaters ein von der Dottersubstanz verschiedenes, zuweilen auch in zwei Hälften getheiltes Kügelchen. Hertwig deutet

¹ L. c. p. 12.

² L. c. p. 18.

³ Morphol. Jahrb. Bd. IV, p. 191 und Taf. X, Fig. 14a—e.

⁴ Morphol. Jahrb. Bd. IV, p. 158 ff.

⁵ Zellbildung und Zelltheilung. III. Aufl. p. 268.

⁶ Morphol. Jahrb. Bd. IV, p. 164 und Taf. VIII, Fig. 3, 5, 6, 7.

⁷ Morphol. Jahrb. Bd. IV, p. 193 ff.

dasselbe in Übereinstimmung mit den bei *Asteracanthion* erhaltenen Befunden als den in beständiger Abnahme begriffenen Rest des Keimblecks.¹

Hinsichtlich des Verhaltens des Keimbläschens von *Pterotrachea* und *Phyllirhoë* gibt Hertwig² an, dass dasselbe in frisch gelegten Eiern statt der nucleusartigen Bildungen einen faserigen, spindelförmigen Körper enthält. Derselbe liegt in dem durch die Reagenswirkung geronnenen Inhalt des Keimbläschens, dessen Membran auf diesem Stadium noch nachweisbar ist; sie ist jedoch an zwei den Spindelpolen gegenteitberliegenden Punkten durchbrochen. Später wird die Membran des Keimbläschens resorbiert und es liegt dann die freigewordene Spindel, umgeben von dem noch nicht resorbierten, in Reagenspräparaten körnig geronnenen Reste des Kernsaftes, im Centrum des Dotters. Von hier steigt die Spindel zum animalen Eipol empor, wo dieselbe eine radiale Stellung einnimmt. Während dieser Lageveränderung der Richtungsspindel werden die Reste des Kernsaftes resorbiert.

Die Berechtigung, die am Keimbläschen während der Reifung des Eies erfolgenden Veränderungen zum Vergleich mit dem von mir geschilderten Verhalten des primären Kerns der Pollenmutterzellen heranzuziehen, liegt in dem von O. Hertwig erbrachten Nachweise, dass die Bildung der Richtungskörper als ein Theilungsvorgang der Eizelle aufzufassen ist, mit der einzigen Abweichung vom typischen Verlaufe, dass in diesem Falle Theilungsproducte von sehr verschiedener Grösse gebildet werden. Der fragliche Vorgang könnte daher nach Hertwig genauer als Zellknospung bezeichnet werden.³

Halten wir an dieser Deutung fest, so können wir die von Hertwig geschilderten, in mannigfachen Modificationen verlaufenden Veränderungen des Keimbläschens bei der Reifung des Eies, einen den natürlichen Verhältnissen entsprechenden Ausdruck dadurch verleihen, dass wir dieselben mit den Veränderungen, welche Zellkerne überhaupt vor ihrer Theilung erleiden, in Parallele bringen. Gegenüber dem Verhalten der Kerne von pflanzlichen und thierischen Gewebezellen erscheint dasjenige des Keimbläschens in den von O. Hertwig untersuchten Fällen insofern modificirt, als bei der Bildung der Richtungsspindel, das Keimbläschen nur mit einem höchst geringen Theil seiner früheren Masse in Action tritt. Dies erfolgt in einem Stadium, in dem die aus nichtactiver Kernsubstanz bestehenden Theile des Keimbläschens noch in Resorption begriffen, und als solche im Plasma nachweisbar sind.

Überschauen wir nochmals die Erscheinungen, unter denen die Umbildung der multinucleolären Kerne der Pollenmutterzellen in eine primitive Kernform erfolgt, so finden wir in ihnen einen Anschluss an die durch O. Hertwig am thierischen Ei ermittelten Verhältnisse. Derselbe ergibt sich aus dem gesonderten Auftreten eines geformten Bestandtheils der früheren höher differenzirten Kernform, neben dem Derivat derselben auf einem späteren Stadium. Ich betrachte daher die kleinen kugligen Gebilde, welche in manchen Fällen, den durch die regressive Metamorphose reducierten primären Kern der Mutterzellen begleiten, als das Homologon der bei der Bildung des Richtungssamphasters nichtactiven Elemente des Keimbläschens.

Meines Erachtens steht dieser Auffassung Nichts im Wege, da wir es in beiden zum Vergleich in Betracht genommenen Kategorien von Fällen zu thun haben, in denen sich zur Theilung führende Vorgänge abwickeln und eine Differenz sich nur in Bezug auf einen Punkt von übrigens ganz untergeordneter Bedeutung ausspricht. Dieselbe ergibt sich daraus, dass bei den in näheren Betracht kommenden pflanzlichen Kernen ihre active Substanz zunächst noch zum Aufbau eines neuen Kerns verwendet wird. Mit der längeren Dauer dieses Stadiums, welches nach den vorliegenden Befunden O. Hertwig's zu urtheilen beim Keimbläschen thierischer Eier entweder gar nicht vorhanden ist oder doch sehr rasch durchlaufen wird, hängt zusammen, dass der ausgeschiedene Kerntheil der Pollenmutterzellen im Stadium der ersten Kernspindel nicht mehr nachweisbar ist.

O. Hertwig hat dem neben der Richtungsspindel des *Haemaphys*-Eies auftretenden Kugeleichen keine bestimmte Deutung gegeben, indem er dasselbe schlechtweg als Kerntheil bezeichnet.⁴ Für die Annahme,

¹ Morphol. Jahrb. Bd. IV, p. 201.

² L. c. p. 206.

³ L. c. Bd. III, p. 28.

⁴ L. c. Bd. III, p. 14; Bd. IV, p. 192.

dass das fragliche Gebilde aus den Nebenkügelchen des Keimbläschens hervorgehe, finde ich in seinen Beobachtungen keine Stütze. Denn er gibt an, dass er in zwei Eiern nach bereits erfolgter Auflösung der Kernmembran, einen einzigen nach Carminbehandlung rubinroth gefärbten, von einem körnchenfreien Hofe umgebenen Körper vorfand, der in Grösse dem Keimfleck vollkommen entsprach.¹ Daraus würde mit Sicherheit hervorgehen, dass die Nebenkügelchen schon vor dem Erscheinen der Kernspindel nicht mehr vorhanden sind und daher auch bei der Bildung des kleinen Kügelchens keine Rolle spielen können. Von Wichtigkeit ist ferner die Angabe O. Hertwig's, dass bei den in Reifung begriffenen Eiern der Keimfleck in zwei oder drei Stücke zerfällt. Dieselben entsprechen offenbar den amöboid gestalteten Körperchen, die nach erfolgter Auflösung der Kernmembran, an Stelle eines einzigen in der körnchenfreien Zone des Dotters auftreten. Aus diesen Befunden wäre der Schluss zu ziehen, dass das Keimbläschen bei der Reifung in den multinucleolären Zustand übergeht, der in manchen Fällen auch auf späteren Stadien erhalten bleibt. Darauf gestützt, glaube ich an der Hand der von mir für die Pollenmutterzellen ermittelten Daten den ganz namassgeblichen Versuch wagen zu dürfen, die von O. Hertwig entdeckten Kügelchen in einem bestimmten Sinne zu deuten. In Übereinstimmung mit meinen Vorstellungen von den ähnlichen Vorkommnissen bei den Pollenmutterzellen, betrachte ich das kleine Kügelchen als einen in den Dotter ausgedehnten Nucleolus, des während der Reifung multinucleolär gewordenen Keimbläschens. Im Zusammenhang damit nehme ich an, dass, falls ein Zerfall des Keimflecks in mehrere Nucleoli stattfindet, nicht immer alle derselben zur Bildung der Kernplattenelemente der Richtungsspindel verwendet werden. Wäre bei *Harmopia* die im Stadium der Richtungsspindel noch nicht resorbirte inactive Kernsubstanz thatsächlich durch einen Nucleolus repräsentirt, so würde dadurch der Anschluss an die von mir untersuchten Pollenmutterzellen in einem sehr wichtigen Punkte vervollständigt werden. —

Die umgestalteten Kerne der Pollenmutterzellen zeigen mehr oder weniger beträchtliche Abweichungen von der gewöhnlichen runden Form. Die übereinstimmenden Befunde, die in dieser Beziehung mit Alkohol oder Essigsäure fixirte Präparate ergaben, lassen mit einiger Sicherheit vermuthen, dass die betreffenden Bilder nicht Kunstproducten, sondern wirklich vorhandenen Zuständen entsprechen. Für die Richtigkeit dieser Auffassung kann ich keinen Beweis in absolut sicherer Form vorbringen, da die Beobachtung lebender Mutterzellen auf kaum zu beseitigende Schwierigkeiten trifft. Trotzdem glaube ich die gesehenen Bilder einer Annahme zu Grunde legen zu dürfen, welche dahin lautet, dass der Mutterkern durch seine Metamorphose die Eigenschaften eines amöboidal beweglichen Gebildes erlangt. Zahlreiche, in der botanischen, aber vornehmlich zoologischen Literatur vorliegende Daten, lassen heute gar keinen Zweifel an der Möglichkeit einer amöboidalen Beweglichkeit der Zellkerne aufkommen, und ich glaube daher dieselbe auch für die von mir untersuchten Kerne in Anspruch nehmen zu dürfen.

Aus der Lage der betreffenden Kerne, schliesse ich, dass das Areal innerhalb dessen die mutmasslichen Bewegungen derselben stattfinden, ein ziemlich eng begrenztes sein müsse. Es ist denkbar, dass der umgestaltete Mutterkern anfänglich, wegen der excentrischen Lage des Nucleolus, nicht genau im Mittelpunkt der Zelle liegt und dass seine autonomen Bewegungen nur dazu dienen, um denselben vor dem Erscheinen der Kernspindel in das Centrum der Zelle gelangen zu lassen. —

Nach meinen Beobachtungen zu urtheilen, scheint bei *Hemerocallis* das so häufig vorkommende Zwischenstadium, auf dem die Masse zur Theilung sich anschickender Kerne sädig differenzirt erscheint, sowohl bei der Theilung der Mutterkerne der Pollenmutterzellen, als auch der Descendenten der ersteren, gänzlich unterdrückt zu sein. Ich glaube kaum, dass ich diese sädig-käueligen Differenzirungen, falls sie wirklich vorhanden wären, hätte übersehen können, nachdem ich diesem Punkt die grösste Aufmerksamkeit geschenkt habe, und ich mit Hilfe der von Strasburger empfohlenen Behandlungsweise frischer Pollenmutterzellen die betreffenden Structuren in den noch viel kleineren Kernen von *Plantago lanceolata* und *Ranunculus reptans*, mit grösster Schärfe zur Anschauung bringen konnte. Es scheinen daher alle von mir bei *Hemerocallis* gesehenen Zustände darauf hinzuweisen, dass die Mutterkerne und wahrscheinlich auch ihre Descendenten, bei der Theilung direct in die

¹ Morphol. Jahrb. Bd. III, p. 11.

körnigen Elemente der Keruplatte zerfallen. Diese Auffassung des betreffenden Vorganges scheint mir um so weniger unwahrscheinlich zu sein, als derselbe eine grosse Übereinstimmung mit dem von Strasburger constatirten Verhalten der sich theilenden Kerne in den Zellen der *Spirogyra*-Arten darbieten würde. Ich ziehe die einschlägigen Beobachtungen Strasburger's an dieser Stelle zum Vergleich heran, weil er aus diesen, den auch für die Deutung meiner Befunde wichtigen Schluss ableitet, dass bei *Spirogyra* die Kernkörperchen unmittelbar in die Bildung der äquatorial gelagerten Elemente der Kernspindel aufgehen.¹ —

Die erste Kernspindel sah ich an frisch untersuchten Pollenmutterzellen öfter in einem hellen, körnchenfreien Mittelraum des Protoplasmas liegen. Derselbe entspricht den hellen Höfen, deren Bildung während der Kerntheilung, bekanntermaßen in thierischen Zellen viel häufiger als in pflanzlichen zu Stande kommt. Strasburger beobachtete dieselben unter seinen pflanzlichen Untersuchungsobjecten bisher nur in den Eiern der Coniferen, und zwar bei der Theilung sehr saftreicher Kerne. Er ist geneigt „den hellen Hof als von angestreutem Kernsaft gebildet anzusehen“.² Dieser Ansicht Strasburger's kann ich mit vorläufiger Beschränkung auf das von mir untersuchte Object nicht beitreten, da zwischen dem Mutterkern unmittelbar vor seiner Theilung und dem hellen Raum, in Hinsicht auf die Volumenverhältnisse eine so erhebliche Differenz vorhanden ist, dass mir die Meinung, es könnte die helle Substanz von dem betreffenden Kern berühren, absolut unzulässig erscheinen muss. Da ich den hellen Hof vor Eintritt des Spindelstadiums nie gesehen habe, so schliesse ich daraus, dass zwischen demselben und der im bläschenförmigen, primären Kern so reichlich auftretenden Zwischensubstanz ebenfalls keine nähere Beziehung besteht. Diese Gründe bestimmen mich, den hellen Hof als zum Protoplasmakörper der Mutterzelle gehörig anzusehen. Unter diesem Gesichtspunkte würde der helle, die Kernfigur aufnehmende Binnenraum einer centralen, hauptsächlich nur aus der Grundsubstanz des Protoplasmas bestehenden Zone desselben entsprechen.

Gegenüber der von Mayzel³ vertretenen Auffassung der hellen Höfe, als durch Reagenswirkung hervorgerufener Artefacte, ist der von Flemming⁴ erbrachte Nachweis derselben an lebend, während der Kerntheilung unter dem Mikroskop beobachteten Präparaten (Epithelzellen der Flosse von *Salmandra*) von Wichtigkeit.

An conservirten Präparaten beobachtete Flemming⁵ in diesem hellen Ranne zarte, oft verästelte Stränge, die die Peripherie der Kernfigur und später die Strahlen desselben mit dem Zellplasma verbinden. Er lässt es jedoch unentschieden ob diese Stränge präformirte Dinge oder Gerinnungsproducte darstellen. Obwohl Flemming der Ansicht Strasburger's⁶ durch welche der helle Hof als angestauter Kernsaft gedeutet wird, nicht entgegentritt, weist Flemming doch darauf hin, dass „die Masse der hellen, untingirbaren Substanz innerhalb der Kernfigur in den vorhergehenden Stadien ziemlich gleich ist mit der Masse, welche im Stadium des hellen Hofes auch noch innerhalb der Kernfigur verbleibt. Darnach fragt es sich doch, ob die Substanz des hellen Hofes, die hier noch hinzukommt, aus dem Kern stammt oder nicht vielleicht aus dem Plasma“.⁷ Ich muss, von der Deutung ausgehend, die ich dieser hellen Zone bei meinem pflanzlichen Object gegeben habe, die zweite der von Flemming hingestellten Möglichkeiten für die wahrscheinlichere ansehen. —

Nach Angaben Flemming's⁸ zeigen die Kernfiguren in den Hodenepithelzellen von *Salmandra* in mehreren Theilungsstadien Abweichungen vom gewöhnlichen Bau, die damit zusammenhängen, dass einzelne Fadenschleifen aus den übrigen unordentlich herausgerückt sind. Er gibt ferner an, dass diese Fadenschleifen in späteren Stadien wieder regelmässig unter die übrigen eingeordnet werden. Dieses Verhalten beobachtete Flemming auch an lebenden Object und er erklärt die Verschiebung einzelner Elemente der Kernfigur, durch

¹ Strasburger, Zells. und Zellth. III. Aufl., p. 174, 185, 324.

² L. c. p. 330.

³ Gazeta lekarska, Warschau 1876, p. 423.

⁴ Arch. f. mikrosk. Anat. Bd. XVI, p. 374.

⁵ L. c. Taf. XVII, Fig. 10; Taf. XVIII, Fig. 5.

⁶ Strasburger, Über Befruchtung und Zelltheilung, Jena 1878, p. 90.

⁷ Flemming, Arch. f. mikrosk. Anat. Bd. XVI, p. 419.

⁸ Arch. f. mikrosk. Anat. Bd. XVIII, p. 172.

Unregelmäßigkeiten in der Mechanik derselben. Einige von mir bereits im Vorhergehenden beschriebene Bilder, lassen einen Ausschluss an die citirten Beobachtungen Flemming's erkennen. Dieselben entsprechen meinen Figuren 70 und 72, welche Kernspindeln mit modificirter Anordnung der Kerntheile darstellen. Die Verschiebung einzelner tingirbarer Elemente, dürfte in diesen Fällen sich wohl aus der Wirkung ähnlicher Ursachen ergeben, wie bei dem von Flemming untersuchten Objekte. —

Die Structur- und Gestaltsveränderungen, welche beide Secundärkerne nach ihrer Individualisirung, während der ganzen Dauer des Stadiums erfahren, auf dem die Bildung und Resorption der ersten, vorübergehend auftretenden Zellplatte erfolgt, vollziehen sich wie aus der in den Figuren 21—23 dargestellten Entwicklungsfolge hervorgeht, gleichzeitig in jedem Paare. In zweikernigen Mutterzellen werden daher beide Kerne stets auf der gleichen Entwicklungsstufe vorgefunden.

Bütschli,¹ Flemming,² Strasburger³ und Treub⁴ haben aus der Thatsache, dass die zur Theilung der Kerne unimolecularen Zellen führenden Veränderungen an jenen meist gleichzeitig erfolgen, den Schluss gezogen, dass die Theilungsvorgänge der Zellkerne überhaupt unter dem Einflusse des Protoplasmas sich vollziehen. Aus meinen Befunden, welche das Verhalten der beiden Secundärkerne zweikerniger Pollenmutterzellen betreffen, würde sich noch ergeben, dass der gestaltende Einfluss des Protoplasmas auf die Kerne auch während ihrer länger andauernden, der Theilung vorausgehenden Ruhestadien zur Geltung gelangt.

Die Richtung des intensivsten Wachstums der Secundärkerne, fällt mit derjenigen zusammen in der, die Ausbreitung des Systems von Verbindungsfäden erfolgt. Dieser Parallelismus beider heterogener Vorgänge lässt ein gegenseitiges Abhängigkeitsverhältniss zwischen beiden vermuthen. Ich glaube nun, in den während des Wachstums beider Kerne gleichzeitig im Plasma stattfindenden Differenzirungsvorgängen dasjenige Moment gefunden zu haben, aus dem sich, wenn auch nicht eine causal begründete Erklärung, doch wenigstens eine bestimmtere Vorstellung über die Bedeutung beider Erscheinungen ableiten liesse. Das Plasma zeigt nämlich während der Umformung der Secundärkerne in scheibenförmige Gebilde die Tendenz in einer mit der Verbindungslinie beider Kerne parallelen Richtung neue Verbindungsfäden anzuschneiden und in dieser Weise das ganze System derselben in einem immer grösseren Raum auszubreiten.⁵ Aus dem Umstande, dass die einander zugewendeten Seiten beider Kerne gewissermassen als Stützflächen für das gesammte, im Plasma auftretende System von Verbindungsfäden in Anspruch genommen werden, wäre zu folgern, dass das Wachsthum der Kerne, in einer für die Ausbildung des zwischen diesen ausgespannten Fadencomplexes günstigster Weise erfolgt. Der eigenthümliche Verlauf des Wachstums der Secundärkerne lässt daher die Deutung zu, dass dasselbe auf dem in Betracht genommenen Stadium, den architektonischen Verhältnissen des Plasmas angepasst ist. —

Die nach der ersten Kerntheilung gebildete Zellplatte, lässt während ihrer Resorption eine körnige Structur nicht erkennen; sie erscheint auf diesen Stadien als homogene Lamelle. Daraus schliesse ich, dass dieselbe die Beschaffenheit einer wirklichen Membran annimmt. Wahrscheinlich hängt diese Ausbildung der Zellplatte mit der Verwandlung derselben in eine Cellulosemembran zusammen. Ihr Verhalten gegen die gebräuchlichen Celluloseagentien habe ich nicht geprüft, da durch die Anwendung der letzteren, selbst im Falle, dass die fraglichen Zellplatten aus Cellulose beständen, wohl kaum ein bestätigendes Resultat hätte erlangt werden können. Dies hängt mit dem indifferenten Verhalten jünger, eben angelegter Scheidewände gegen die Celluloseagentien zusammen.⁶

¹ Studien über die ersten Entwicklungsvorgänge der Eizelle, 1876, p. 42.

² Arch. f. microsc. Anat. Bd. XVIII, p. 190.

³ Zellbildung und Zelltheilung, III. Aufl. 1880, p. 362.

⁴ Archives Néerlandaises, T. XV, Sep. Abdr., p. 17, 1880. Ich citire, da mir die betreffende Abhandlung Treub's unzugänglich blieb, nach der Anmerkung Strasburger's zur p. 362 seines Buches.

⁵ In dieser Auffassung der genetischen Beziehungen der Verbindungsfäden zum Zellplasma folge ich Strasburger, Vgl. Zells. und Zellth. III. Aufl., p. 345.

⁶ Strasburger, Zellbildung und Zelltheilung, III. Aufl., p. 13 und 244.

Obgleich ich nur die membranartige Beschaffenheit der ersten Zellplatte als sichergestellt ansehen muss, so ergibt schon daraus eine nicht unwesentliche Abweichung, von gewöhnlichen Verhalten solcher provisorisch gebildeter Zellplatten in Pollen- und Sporenmutterzellen, welche in den von Strasburger untersuchten Fällen nur eine körnige Beschaffenheit erkennen lassen.¹ —

Aus der vorhin gegebenen Darstellung geht hervor, dass *Hemerocallis fulva* in die nicht sehr zahlreiche Einzelfälle umfassende Kategorie von Monocotylen gehört, bei denen die Theilung der Pollenmutterzellen durch simultan entstehende Scheidewände bewirkt wird. Was jedoch für das von mir untersuchte Object besonders charakteristisch erscheint, ist die Bildung bilateraler, aus vier paarweise über's Kreuz liegenden Specialmutterzellen bestehender Tetraden, aus Mutterzellen mit tetraëdrisch gestellten Enkelkernen. In diesen Fällen entspricht die Anordnung der Tochterzellen in der Tetrade derjenigen, wie sie sonst durch zwei aufeinanderfolgende Theilungen zu Stande kommt. Unter den bisher untersuchten Fällen, nimmt *H. fulva* mit Rücksicht auf diesen Theilungsvorgang der Mutterzellen eine Ausnahmestellung ein, die insofern nicht ohne Bedeutung ist, als dieselbe eine, meines Wissens bisher nicht bekannt gewesene Übergangsform, zwischen der tetraëdrischen und der succedat erfolgenden bilateralen Theilung von Pollenmutterzellen darstellt.²

Hofmeister³ hat bereits vor längerer Zeit einige Fälle von simultaner Theilung von Pollenmutterzellen in mehr als vier Tochterzellen namhaft gemacht. Seine Angaben betreffen die Arten von *Iris* mit gebarteten Perigonblättern und mehrere Orchideen (*Lycaete aromatica* und *Depperi*, *Ornithidium coccineum*, *Leptotes bicolor*, *Epidendrum virgatum*).⁴ In einer späteren, von einer Abbildung begleiteten Darstellung werden von Hofmeister⁵ die bei den *Iris*-Arten mit gebarteten Perigonblättern vorkommenden vielkernigen Zustände der Pollenmutterzellen noch ausführlicher besprochen und für *Iris pumila*, in der Erklärung der betreffenden Figur, welche dem Stadium unmittelbar vor Bildung der Scheidewände entspricht, sogar acht Kerne angegeben. Von der Inhaltsmasse dieser Mutterzellen gibt Hofmeister an, dass dieselbe auf gewissen Stadien so viele, je einen Zellkern einschliessende Protuberanzen besitzt als Tochterzellen entstehen werden, „in der Regel mehr als vier und die einzelnen von sehr ungleicher Grösse“. Diese Angabe Hofmeister's führt zur Vermuthung, dass auch zwischen den ausgebildeten Pollenzellen. Differenzen hinsichtlich der Grösse vorhanden sind. Dies ist nun thatsächlich der Fall, wie ich mich durch Untersuchung älterer Blüthenknospen von *Iris germanica* (Alkoholmaterial) überzeuge.

Schon früher jedoch, im Jahre 1848 hat Hofmeister⁶ über analoge Zustände der Pollenmutterzellen bei Dicotylen und zwar *Lassifera*-Arten berichtet. Darüber drückt sich Hofmeister folgendermassen aus: „In den Fächern einer und derselben Anthere finden sich Mutterzellen mit primären, solche ohne Kern, solche mit zwei, drei, vier, fünf bis neun Kernen.“ Auf späteren Stadien werden aus 2, 3, 4, 5 oder mehreren Specialmutterzellen bestehende Complexe gefunden. Dazu bemerkt Hofmeister:⁷ „Die Grösse der Specialmutterzellen steht in directem Verhältnisse zu der ihrer Kerne: in einem Complex dreier Specialmutterzellen sind zwei gross, eine sehr klein u. s. f. Hieraus folgt die auffallende Verschiedenheit der Grösse der ausgebildeten Pollenkörner.“

¹ L. c. p. 149 (*Tropaeolum*), p. 151 (*Asphodelus*), p. 151 (*Yucca*), p. 155 (*Equisetum*).

² Strasburger bezeichnet die simultan entstehenden sechs Zellplatten, durch welche bei *Tropaeolum* die später erfolgende tetraëdrische Theilung der Mutterzellen bewirkt wird, als kreisquadrantisch (vgl. Zellbild. und Zellth. III. Aufl., p. 149). Diese Angabe ist nicht richtig. Die Berechnung ergibt nämlich für den Winkel zwischen den geraden Seiten jeder Scheidewand, unter Voraussetzung der Kugelgestalt der Mutterzellen und der Vollgleichheit ihrer Tochterzellen $109^{\circ}28'16''$. Daraus ist zu entnehmen, dass die gegenseitige Lage der Wände jeder Tochterzelle, derjenigen der Rhombenflächen um eine Würfelfläche des Rhombendodekaëders entspricht. (Vgl. Quenstedt, Handb. d. Mineralogie, III. Aufl. 1877, p. 41.)

³ Abhandl. d. mathem.-phys. Cl. d. k. sächs. Ges. d. Wiss. 5. Bd. 1861, p. 636.

⁴ An dieser Stelle seiner Abhandlung citirt Hofmeister eine mir nicht zugänglich gewesene Schrift von Reichenbach: *De pollinis Orchidearum generi*, Leipzig 1852. Daran knüpft Hofmeister folgende Bemerkung: „In einigen dieser Fälle ist es noch zweifelhaft, ob nicht nachträgliche Theilungen einiger der vier Tochterzellen einer Mutterzelle vorkommen.“

⁵ Die Lehre von der Pflanzenzelle, Leipzig 1867, p. 106 und Fig. 21.

⁶ Bot. Zeit. 1848, Sp. 652.

⁷ L. c. Sp. 655.

Die von Hofmeister für die *Iris*- und *Paspiflora*-Arten geschilderten Vorgänge bei der Pollenbildung, lassen eine principiellere Übereinstimmung darin erkennen, dass in allen diesen Fällen durch simultane Theilung Specialmutterzellen von ungleicher Grösse gebildet werden. In ziemlich naher Beziehung zu diesem Verhalten stehen die von mir bei *Heimerocallis fulva* gewonnenen Ergebnisse. Sie lassen aber zugleich eine Modification erkennen, da, wie ich gezeigt habe, in diesem Falle die Ausbildung von Specialmutterzellen, resp. Pollenzellen von ungleicher Grösse, auf die nachträglichen Theilungen einzelner Specialmutterzellen des ursprünglichen Tetradenverbandes zurückzuführen ist.

Hier will ich noch eine, die Pollenbildung bei *Fuchsia* betreffende Angabe von Wimmel¹ auführen: Er schreibt darüber: „*Fuchsia* weicht von den letztgenannten Pflanzen darin ab, dass die Zahl der entstehenden Theile (Specialmutterzellen) nicht bestimmt, ihre Form nicht gleich und regelmässig ist. Ich habe deren 2—5 in einer Zelle gesehen, aber in jedem immer einen Cytoblasten. Sind nur zwei vorhanden, so sind dieselben sehr gross, rund und von gleichem oder doch ziemlich gleichem Umfange. Von dreien in einer Zelle ist einer weit kleiner als die beiden anderen. Sind vier vorhanden so sind sie ziemlich von gleicher Grösse; von fünf sind immer zwei kleiner als die übrigen drei.“ Diese Beobachtungen Wimmel's lassen vermuthen, dass auch bei *Fuchsia* aus einzelnen Mutterzellen Pollenkörner von ungleicher Grösse hervorgehen. Bestimmte Anhaltspunkte zur Entscheidung der Frage, ob in diesen Fällen die Bildung der Specialmutterzellen simultan (*Iris* und *Paspiflora*) oder succedat (*Heimerocallis*) erfolgt, finden sich jedoch unter den Angaben Wimmel's nicht vor. Aus diesem Grunde bleibt noch zu untersuchen, in welche Kategorie der früher besprochenen Fälle *Fuchsia* hinsichtlich der Pollenbildung gestellt werden müsste. Gegenwärtig bin ich wegen Mangels des betreffenden Materials nicht in der Lage, durch eigene Untersuchungen zur Aufklärung der hinsichtlich *Fuchsia* aufgeworfenen Fragen beitragen zu können. —

Fassen wir nun die in der vorliegenden Schrift niedergelegten Thatsachen zusammen, so kommen wir in Betreff der Pollenbildung bei *Heimerocallis fulva* zu folgenden Schlüssen:

1. Die primären Kerne bereits isolirter Pollenmutterzellen zeigen Bauverhältnisse, die denjenigen des Keimbläschens vieler thierischer Eier entsprechen.
2. Die Mutterkerne erfahren vor ihrer Theilung eine regressive Metamorphose. Das Resultat derselben besteht in der Bildung einer homogenen, fast nur aus Kernsubstanz bestehenden und muthmasslich anisoiden Kernform. Dieser Vorgang erinnert an einige die Reifung thierischer Eier begleitende Veränderungen des Keimbläschens derselben.
3. Bei der Umgestaltung der Mutterkerne werden in manchen Fällen aus denselben kleine Nucleolen in das Protoplasma ausgestossen und dort resorbiert.
4. Die homogenen Mutterkerne zerfallen bei der Theilung direct in die kuglich-runden Elemente der Kernplatte. Ein solches, dem Auftreten der ersten Spindel vorausgehendes Zwischenstadium der Mutterkerne ist nicht vorhanden.
5. In einigen Präparaten wurde die erste Kernspindel innerhalb körnchenfreier heller, aus der Grundsubstanz des Plasmas bestehender Höfe gesehen.

¹ Bot. Zeit. 1850, Sp. 243. An dieser Stelle will ich mir erlauben, auf den betreffenden Aufsatz Wimmel's noch aus einem anderen Grunde aufmerksam zu machen. Strasburger: Über Befr. u. Zellth. Jena 1878, p. 18 ff., der die Bedeutung der zweikernigen Zustände der Pollenkörner der Angiospermen nachwies, bezeichnet Hartig (Bot. Unters., herausg. von Karsten, 1866) als den einzigen Forscher, der vor ihm zwei Kerne in Pollenkörnern gesehen hat (Strasburger, l. c. p. 21). Aus einer Stelle des citirten Aufsatzes von Wimmel (l. c. Sp. 290) geht jedoch unzweifelhaft hervor, dass diesem Forscher die Priorität der Entdeckung der in Betracht kommenden histologischen Verhältnisse der Pollenkörner, gegenüber Hartig gebührt. Hinzufügen will ich noch, dass auch Hofmeister bereits vor Hartig Ähnliches für *Najas major*, *Cypridedium Calceolus* und *Narcissus poeticus* angegeben. Abhandl. d. math.-phys. Classe d. k. sächs. Ges. d. Wiss. Leipzig 1861, Bd. V, p. 642, 643.)



Fig. 1.



Fig. 2.



Fig. 3.



Fig. 4.



Fig. 5.



Fig. 6.



Fig. 7.



Fig. 8.



Fig. 9.



Fig. 10.



Fig. 11.



Fig. 12.



Fig. 13.



Fig. 14.



Fig. 15.



Fig. 16.



Fig. 17.

Fig. 13. 14. 15. 16. 17.

Fig. 13. 14. 15. 16. 17.

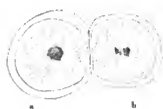


Fig. 18.



Fig. 19.



Fig. 20.



Fig. 21.



Fig. 22.



Fig. 23.



Fig. 24.



Fig. 26.



Fig. 27.



Fig. 28.



Fig. 30.

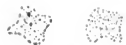


Fig. 31.



Fig. 32.



Fig. 33.



Fig. 34.



Fig. 35.



Fig. 36.



Fig. 37.



Fig. 38.



Fig. 39.



Fig. 38.



Fig. 39.



Fig. 40.



Fig. 41.



Fig. 42.



Fig. 43.

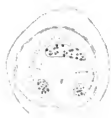


Fig. 44.



Fig. 45.



Fig. 46.



Fig. 47.



Fig. 48.



Fig. 49.



Fig. 50.



Fig. 51.



Fig. 52.



Fig. 53.

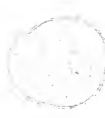


Fig. 54.



Fig. 55.



Fig. 56.

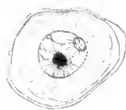


Fig. 57.

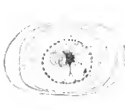


Fig. 58.



Fig. 59.



Fig. 60.



Fig. 61.



Fig. 62.



Fig. 63.



Fig. 64.



Fig. 65.



Fig. 66.



Fig. 67.



Fig. 68.

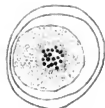


Fig. 69.



Fig. 70.



Fig. 71.



Fig. 72.



Fig. 73.



Fig. 74.



Fig. 75.

6. Aus den anfänglich homogenen Tochterkernen gehen während des länger dauernden Stadiums der Bildung und Resorption der ersten Zellplatte höher differenzierte, scheibenförmig abgeflachte, unregelmässig contourirte Kerne hervor. Das weitere Verhalten der Tochterkerne entspricht demjenigen der Mutterkerne.

7. Die vier Enkelkerne liegen entweder in einer Ebene, oder es sind dieselben nach den Ecken eines Tetraeders vertheilt. In beiden Fällen gehen aus den Mutterzellen durch simultane Theilung zunächst Tetraden von Specialmutterzellen hervor.

8. Bei tetraëdrischer Anordnung der Enkelkerne erfolgt nicht die Bildung radiärer, sondern bilateraler Tetraden. In diesem Falle wird die Theilung der Mutterzelle durch drei Scheidewände bewirkt. Eine derselben durchsetzt die Mutterzelle in ihrer ganzen Breite. Diese äquatoriale Scheidewand geht aus den Zellplatten der frei entstandenen Systeme von Verbindungsfäden hervor. Die beiden anderen Scheidewände, von halbkreisförmigen Unriss, werden aus den Zellplatten der beiden primären Systeme von Verbindungsfäden gebildet.

9. Nach erfolgter Ausbildung der Tetrade erfahren einzelne Specialmutterzellen noch nachträgliche Theilungen. Aus solchen Verbänden von Specialmutterzellen gehen Pollenzellen von verschiedener Grösse hervor.

ERKLÄRUNG DER TAFELN.

Sämmtliche Figuren wurden bei 620facher Vergrößerung gezeichnet.

Den Figuren 1—14, 16—50 liegen tingirte, den Figuren 51—53 untingirte Alkoholpräparate zu Grunde. Die Figuren 15, 57—75 wurden nach frischen, mit Methylgrün-Essigsäurelösung behandelten Präparaten entworfen. Die Figuren 54—56 stellen frische, ohne Zusatz untersuchte Mutterzellen dar.

TAFEL I—IV.

(Die Figuren sind fortlaufend numerirt.)

- Fig. 1, 2 a und b. Pollenmutterzellen im Zellverbande mit multinucleolären Kernen.
 „ 2 c. Weiter entwickelter Zustand des Mutterkerns. Der Kerninhalt ist bereits fälig differenzirt; der Nucleolus mit Methylgrün nicht mehr färbbar.
 „ 3—4. Durch die Alkoholwirkung veränderter Inhalt der Mutterkerne.
 „ 5—7, 8 a. Grobkörniger Zustand des Kerninhaltes.
 „ 8 a, 9, 10 a. Das Stadium der Auflösung der Kernmembran.
 „ 10 b—17, 18 a, 20 a. Mutterzellen mit dem veränderten, in den Figuren 12, 13, 18 a deutlich amöboid gestalteten Kern.
 In Fig. 14 bemerkt man über dem Kern ein helles Körperchen (Nucleolus). Vergl. Text, p. 4 ff.
 „ 18 b, 19. Kernspindeln.
 „ 20 a, 21, 22. Mutterzellen mit den Anlagen der Tochterkerne.
 „ 23—32. Bildungs- und Resorptionsstadien der ersten Zellplatte.
 „ 33, 34. Kernspindeln.
 „ 35. Mutterzelle mit vier in einer Ebene liegenden Kernanlagen.
 „ 36, 37. Zwei Ansichten solcher Mutterzellen im weiter entwickelten Zustande nach Bildung der definitiven Zellplatten.
 „ 38. Mutterzelle mit vier Tochterkernen; ihre Anordnung hält die Mitte zwischen der tetraedrischen und der in Fig. 35 dargestellten.
 „ 39. Mutterzelle mit zwei Kernspindeln, eine derselben in der Seiten-, die andere in der Polansicht.
 „ 40—42. Mutterzellen mit in zwei Ebenen liegenden Kernen.
 „ 43, 44. Verlauf der Zellplatten in solchen Mutterzellen.
 „ 45, 46. Bilaterale Tetraden von Mutterzellen.
 „ 47—50. Aus bilateralen Tetraden hervorgegangene Complexe von Specialmutterzellen.
 „ 51—53. Weiter entwickelte Zustände der aus vier in einer Ebene liegenden Specialmutterzellen bestehenden Tetraden.
 „ 54—56. Im frischen Zustande ohne Zusatz untersuchte Mutterzellen.
 „ 57—59. Junge Mutterzellen mit primärem, bläschenförmigem Kern.
 „ 60. Übergang in das grobkörnige Stadium des Kerninhaltes.
 „ 61—63. Grobkörniges Stadium des Kerninhaltes.
 „ 64—66. Mutterzellen mit metamorphosirtem primärem Kern. Die Figuren 64 und 65 stellen dieselbe Mutterzelle in zwei verschiedenen Lagen dar. In beiden Figuren ist im Plasma ein kugeliges Gebilde (Nucleolus) sichtbar.
 „ 67—72. Kernspindeln zum Theil mit auseinanderweichenden Kernplattenhälften; in den Figuren 67, 68, 69 (Polansicht) innerhalb heller Höfe.
 „ 73, 74. Theilung der Tochterkerne.
 „ 75. Mutterzelle mit intermediärer Lage der Tochterkerne (vergl. Fig. 38) im Stadium der Zellplattenbildung.



ARBEITEN AUS DEM ZOOLOGISCHEN, VERGLEICHEND-ANATOMISCHEN INSTITUTE DER UNIVERSITÄT WIEN.

ZUR KENNTNISS DER MURICIDEN.

EINE VERGLEICHEND-ANATOMISCHE STUDIE.

I. THEIL.

ANATOMIE DES NERVENSYSTEMES.

VON

BÉLA HALLER

ARTS DOCTOR

(Mit 3 Tafeln und 2 Holzschnitten.)

VORGELEGT IN DER SITZUNG DER MATHEMATISCH-NATURWISSENSCHAFTLICHEN CLASSE AM 15. DECEMBER 1881

Einleitung.

Beschäftigt mit dem Studium der Prosobranchier, war mir die Behauptung J. W. Spengel's, dass die von H. v. Jehring aufgestellte Classe der Chlasiostomeuren unhaltbar sei, als sehr bei *Cassidaria* eine gleiche Krenzung der Eingeweidenerven fände, als unwahrscheinlich vorgekommen. Der Grund zu meiner Ansicht mag darin gelegen sein, dass mir das Nervensystem der *Cassidaria* aus eigener Anschauung nicht bekannt war, die schematisch gehaltene Abbildung Spengel's aber kein Vertrauen einflüssen konnte.¹ Wissbegierig, mir aus eigener Anschauung Klarheit zu verschaffen, entschloss ich mich, das anatomische Verhalten des Nervensystemes eines Jehring'schen Orthostomeuren bis ins Genaueste zu verfolgen. Ich lernte auch *Cassidaria* kennen, und da es sich im Laufe der Untersuchung herausstellte, dass nicht nur Spengel's Behauptung in Betreff der *Cassidaria* richtig ist, sondern bei Muriciden auch eine Chlasiostomie vorhanden ist, andererseits aber das Nervensystem der Muriciden einige bemerkenswerthe Eigentümlichkeit aufweist, so glaube ich gerechtfertigt, wenn ich meine Untersuchung der Öffentlichkeit gerecht werden lasse.²

Theils als eine Erweiterung unserer Kenntnisse des Nervensystems der Prosobranchier, theils als eine Bestätigung Spengel's³ Vermuthung, dass nämlich auch bei den Jehring'schen Orthostomeuren die Krenzung der grossen Eingeweidenerven sich finde, möge vorliegende Abhandlung gelten. —

¹ Ich bin nicht der Einzige, dem es so erging. Simroth sagt in seiner letzten Abhandlung selbst jetzt: „die gut begründete Classe der Chlasiostomeuren“. Die Verhältnisse, wie sie bei *Cassidaria* vorliegen, können ohne ganz genauen Vergleich mit anderen Formen unmöglich ganz überzeugen. Erst durch den Vergleich wird Vermuthung zur Wahrheit!

² Dabei unterstützte mich Prof. Claus in meinem Vorhaben, indem er bald nach meiner ihm gemachten Mittheilung mir Material aus Triest zukommen liess. Es sei mir gestattet, hier meinen innigsten Dank aussprechen zu können.

³ J. W. Spengel. Das Nervensystem und Geruchsorgan der Mollusken. Zeitschr. f. wiss. Zool. Tom. XXXV.

Der Mängel der Arbeit bin ich mir wohl bewusst, denn Einiges hätte durch die Histologie ins Klare gebracht, (das Verhalten der vorderen unteren Hälfte des Cerebralganglions zur Cerebropedal-Commissur und dem Pedalganglion) resp. bestätigt werden können, doch sind meine diesbezüglichen Untersuchungen nicht abgeschlossen, und da ich für einige Zeit durch andere Untersuchungen in Anspruch genommen werde, so möge der histologische Abschnitt, der als eine Ergänzung des anatomischen Befundes hätte gelten sollen, als zweiter Theil der Arbeit später folgen.

Das centrale Nervensystem der von mir untersuchten drei Muriden, nämlich *Murex trunculus* L., — *M. brandaris* L. — und *Fusus syracusanus* Lam., welche die häufigsten Repräsentanten dieser Familie in der Adria bilden, ist ein äusserst zusammengezoogenes und ohne genaues Studium der peripheren Nervencentren und Nerven, resp. des Verhaltens letzterer zu anderen Organtheilen, gewiss ein durchaus unverständliches. Um nun eine Erklärung der centralen Theile näher zu kommen, zog ich es vor, letzterwähnten Weg einzuschlagen und wählte zu diesem Zwecke den bei Triest sehr häufigen *M. trunculus*. Da nun das Nervensystem von *M. brandaris*, von wenigen Ausnahmen, die in der Beschreibung erwähnt werden sollen, abgesehen — ganz mit erster Art übereinstimmt, so soll im Folgenden das periphere wie centrale Nervensystem von *M. trunculus* geschildert werden. Dieser folgt die Beschreibung des Verhaltens bei *Fusus* und zum Schlusse die Betrachtung ferner stehender Formen, durch welche die Arbeit eine Ergänzung findet.

Murex trunculus.¹

Wir finden hier eine kräftig entwickelte, jedoch stark zusammengezoogene Nervenmasse den Vorderdarm etwas hinter der Stelle umgeben, an welcher sich der plötzlich erweiterte Abschnitt dieses Darmtheiles wieder zu verjüngen beginnt (Fig. 1, Taf. III). Ausgesprochene Commissuren zwischen Cerebral-, Pleural² und Pedalganglien wie etwa bei *Cassidaria* (vergl. Fig. 5, Taf. II.) sind nicht zu sehen, vielmehr erscheinen jederseits alle drei Ganglien zu einer Masse zusammengezoogen. Die den Oesophagus von oben und lateral umgebende Partie stellt die mit einander verbundenen Cerebral- und Pleuralganglien dar.

Von oben und etwas hinten betrachtet, präsentiren sich die Cerebralganglien als zwei etwas ovale mit einander innig verbundene Kugeln (Taf. II, Fig. 1).

Lateralwärts behält diese Partie des Cerebralganglions noch seine abgerundete Form und setzt sich in die zwischen zwei Ganglienmassen eingekeilte Cerebropedal-Commissur fort. Von vorne lagert diesem runden Ganglion eine starke Ganglienmasse an und ist von oben nur durch eine Furchung von derselben abgegrenzt, doch hängt sie innig mit demselben zusammen und lagert auch der Cerebropedal-Commissur fest an (Fig. 1, 2, s' Taf. II). Diese Ganglienmasse, die offenbar noch zum Cerebralganglion zu zählen ist, geht nach unten ohne Unterbrechung in das Pedalganglion über. Wir wollen jene als untere Partie des Cerebralganglions bezeichnen.

Nach hinten lagert der obere Partie des Cerebralganglions und der Cerebropedal-Commissur das Pleuralganglion fest an (*h*). Dieses Centrum verhält sich auf den beiden Seiten etwas asymmetrisch und zerfällt jederseits in zwei Abschnitte. Der erste Abschnitt wäre das eben erwähnte, während wir ein zweites, hinter ihm gelegenes Ganglion nur als einen gesonderten Theil des Pleuralganglions auffassen müssen. Der dem Cerebralganglion angelagerte Abschnitt der rechten Seite ist massiger als der der linken Seite, und reicht hoch hinauf auf das Cerebralganglion (s. Fig. 1 und 2). Aus seiner hinteren Fläche entspringt eine starke Commissur, die über dem Darm gelegen, nach links und hinten zum Supraintestinalganglion sich begibt (*e*, *ap*). Unter dieser

¹ Lacaze-Duthiers leitet, wenn er angibt, dass der Schlundring von *Murex brandaris* (auch von *Purpura lapillus*) „est constitué sur le même plan à peu de chose près que chez le *Paludina*“. S. Oocyte des Mollusques. Archives de Zoologie expérimentale. Tom. I. 1872.

² Ich habe die durch Spengel eingeführte Bezeichnung „Pleuralganglion“ aus leicht zu begreifenden Gründen der Benennung „Commissuralganglien“ vorgezoogen. Blanchard nennt sie „ganglions cervicaux“ und bei Lacaze-Duthiers werden sie als „gls. asymétriques ou centre moyen“ aufgeführt.

Commissur ist eine andere schwächere (*c*), die zu einer kleinen Ganglienmasse tritt, welche ein von der Hauptganglienmasse des Pleuralcentrums gesondertes Ganglion repräsentirt. Wir wollen dasselbe der Kürze halber und weil es Nerven an die rechte Mantelhälfte abgibt, das rechte Mantelganglion nennen (*r. mg.*).

Das linke Pleuralganglion zerfällt ebenfalls in zwei Theile, von denen der vordere ebenfalls dem Cerebralganglion und der Cerebropedal-Commissur fest anliegt, doch nicht so hoch hinaufreicht und weniger massig ist (Fig. 1 und 3). Mit demselben durch eine nur kurze Brücke verbunden, ist das linke Mantelganglion (*l. mg.*).

Der Umstand nun, dass die Mantelnerven bei anderen Prosobranchiern stets vom Pleuralganglion ihren Ursprung nehmen,¹ hier jedoch von zwei als Mantelganglion bezeichneten mit den Pleuralganglien verbundenen Ganglien, dass ferner dem rechtsseitigen mächtigen Pleuralganglion nur ein schwaches Mantelganglion sich anfügt, während auf der linken Seite das Pleuralganglion nur schwach ausgebildet, das Mantelganglion jedoch mächtig ist, berechtigt uns wohl zu der oberen Annahme, dass die Mantelganglien von *Murex* nur eine gesonderte Partie der Pleuralganglien sind.

Die Mantelganglien verbinden sich durch kurze Commissuren mit einem unter dem Darm gelegenen Ganglion und bilden so einen unter ersterem gelegenen Halbkranz. Dieses zwischen den zwei Mantelganglien gelegene Ganglion liegt dem rechten Pedalganglion auf, ohne mit ihm jedoch verwaachsen zu sein und ist, wie die aus ihm tretenden Nerven ergeben, das Subintestinalganglion (*sb. g.*). Somit wäre dasselbe mit dem rechten Pleuralganglion durch eine Commissur verbunden, ein, wie wir sehen werden, erst secundär erworbenes Verhalten, das ausser den Muriciden, soweit bis jetzt bekannt, nur noch bei der Gattung *Crepidula* und möglicherweise *Buccinum* anzutreffen ist.

Verbunden mit der unteren Hälfte des Cerebralganglions, dann mit der Cerebropedal-Commissur (*cp, c*) und mit der Hauptmasse der Pleuralganglien (Fig. 2 und 3) sehen wir jederseits die mächtigen Pedalganglien (*pg*). Sie sind mit einander inmitten fest verbunden, ohne eine weitere Commissur äusserlich aufzuweisen, und haben, von hinten gesehen, eine etwas birn förmige Gestalt. Von der Seite betrachtet, sind sie etwas viereckig, wobei jedes von unten durch einen seichten Einschnitt in eine vordere und hintere Hälfte geschieden wird, und die hintere Hälfte etwas nach aussen gerichtet ist. Die Pedalganglien liegen in der Leibeshöhle und sind durch ihre, direct in den Fuss tretende Nerven, am Grunde desselben innig befestigt.

Das ganze centrale Nervensystem, sowie überhaupt die Theile des Nervensystems, an denen Ganglienzellen angehäuft liegen, zeigen eine ziegelrothe Färbung, bedingt durch die rothen Ganglienzellen. Intensiv gefärbte Ganglienzellen kommen nicht nur den Gasteropoden überhaupt, sondern auch den Bivalven zu, doch dürfte ein so intensiv gefärbter Schlundring wie bei *Murex* und *Fusus* nur selten anzutreffen sein.

Cerebralganglien und ihre Nerven. Das Ganglion besteht, wie schon erwähnt wurde, aus einer oberen und unteren Partie. Die anstretenden Nerven können in zwei Gruppen eingetheilt werden. Die erste Gruppe verlässt die obere Hälfte des Ganglions an der Stelle, wo ersteres an die untere Hälfte grenzt. Wir sehen hier aus der vorderen Ganglionfläche zwei sehr starke Nerven austreten, die anfangs an einander gelagert sind und im weiteren Verlaufe durch eine bindegewebige Hülle, die auch einen dritten, später zu besprechenden Nerven miteinschliesst, zusammengehalten werden.

Der innere dieser beiden Nerven (Taf. I; Taf. II, Fig. 1, 2, 3, 4), ist der Nerv für die Buccalmuskeln (1). Er verläuft mit den oben genannten beiden anderen Nerven unter dem Oesophagus gelegen, zur Seite eines langen, dünnen Muskelstranges angelagert, der von hinten Ende des Buccalkörpels entspringt und am Rüsselgrunde inserirt, bis an die Buccalmasse. Die eben erwähnten zwei Muskeln, die offenbar die Bestimmung haben, die Buccalmasse nach hinten zu fixiren, erhalten von den Nerven jederseits zwei dünne Fasern und zwar noch in der hinteren Hälfte des Rüssels. An der Buccalmasse angelangt, zerfällt dieser Nerv in einen oberen (Taf. I a) und unteren Ast (b). Der erste gibt einen feinen Faden an den Rüssel ab (für die Musculatur) und theilt sich abwärts in zwei Äste, von denen der obere die median gelegenen Muskeln der

¹ Siehe *Cassidaria*.

Buccalmusculatur versorgt und einen Faden an den Sphincter oris abgibt, welcher den letztern von oben innervirt. Der untere Nebenast gibt Fasern an die lateralen Buccalmuskeln, und dann zwei Endäste an den Sphincter. Der eine dieser Ästchen tritt unter den Sphincter ein; wie ich mich jedoch mehrere Male überzeugen konnte, tritt er stets an den Muskel und niemals bis zur Mundschleimhaut. Der zweite Hauptast des Hauptstammes versorgt die Buccalmusculatur von unten.

Der Hautrüssel nerv (2) verläuft lateral vom obigen, gibt in der vordern Rüsselhälfte einen Ast an die Haut des Rüssels und theilt sich, etwas vor der Theilungsstelle des Nerven 1 (1), in zwei Endäste, deren Zweige sich jedoch wieder durch Anastomosen mit einander verbinden und ebenso mit dem gleichen Nerven der andern Seite (1). Das so entstandene Netz innervirt die Rüsselspitze und die ganze Gegend der Haut über und hinter der Buccalmasse. Nach rückwärts laufende Äste verbinden sich auch mit dem ersten Aste des Hauptstammes.

Nach aussen von diesen zwei Nerven und ihnen angelagert, entspringt der Hörnerv (3). Er ist kurz und die mächtigen, ovalen Otocysten liegen den zwei grossen Nerven 1 und 2 lateralwärts im Rüssel an. Sie liegen also nach vorne, ohne dass der Hörnerv zuvor eine Biegung machend, die Otocysten den Pedalganglien genähert wären; ein Verhalten, das, meines Wissens, his jetzt unter den Vorderkiemern nur der Gattung *Murex* und *Fusus* (Taf. II, Fig. 4) zukommt und lobhaft an *Pterotrachea* erinnert.¹

Neben dem Hörnerven gelegen, entspringt ein etwas feinerer, anschliessend motorischer Nerv, den wir den Nerven der Rüsselmuskeln (4) nennen wollen. Er begibt sich nach aussen und auf dem Retractor des Rüssels angelangt, spaltet er sich in zwei Äste. Der vordere dieser Äste begibt sich an die Musculatur der obern Rüsselwand am Kopfe. Der hintere Ast läuft eine Strecke auf dem Retractor auf dessen innerem Rande und theilt sich in drei bis vier Fasern. Nachdem sich diese an die untere Fläche des Retractors begeben haben, treten sie in denselben ein.

Eine zweite Gruppe von Nerven, welche die obere Partie der Cerebralganglien verlassen, befinden sich an der lateralen Seite der obern Fläche desselben (s. Abbild.).

Der erste und mächtigste unter ihnen ist der Fühlernerv (5), welcher, unter dem Retractor gelegen, sich zum Fühler begibt.

Parallel mit diesem verlaufend und gleichfalls unter dem Muskel gelegen, zieht der Optikus (6) zum Auge. Rüssel nerv und Augennerv entspringen also separat von einander.

Ein dritter, schwächerer Faden ist der Nerv für die Kopfhaut (7). Gibt jedoch auch einen Ast ab, der, nach vorne verlaufend, die Haut des Rüsselgrundes innervirt und mit dem ersten Aste des sensiblen Rüssel nerven (2) Anastomosen eingeht.

Die Commissur zu den Buccalganglien tritt aus der untern Partie des Cerebralganglions ab und soll hei den Buccalganglien Erwähnung finden. Ich lasse dabei absichtlich die Betrachtung der Buccalganglien und ihrer Nerven einstweilen bei Seite, da, wie ich gefunden habe, die Buccalganglien stets nur Eingeweide (Darm, Buccaldrüsen) innerviren und nie andere Theile, z. B. etwa Buccalmuskeln, wie dies fälschlich L. Duthiers für *Halotis* angibt. So möge die Beschreibung bei den Nerven der Eingeweide Platz haben.

Pleuralganglien. Wir bemerkten schon früher, dass die Pleuralganglien jederseits in einer vordern, dem Cerebralganglion und der Cerebropedalcommissur angelagerten und mit den Pedalganglien sich direct verbindenden, und in einen hintern Abschnitt zerfielen, welch' letzteren wir (für die Muriciden) als Mantelganglien bezeichneten.

Aus dem ersten Abschnitte der Pleuralganglien entspringen auf jeder Seite, auf der rechten etwas höher, lateralwärts, etwas nach unten, zwei Nerven (8 und 9), ein oberer, schwächerer und ein unterer.

¹ Siehe Gegenbaur, Unters. über Pteropoden und Heteropoden. Taf. VII, Fig. 1. — Lacaze-Duthiers gibt für *M. brandaris* und *Purpura lapillus* an, dass die Otocysten vom Pedalganglion entfernt lägen, über die Lage gibt er weiter nichts an, und da eine Abbildung nicht mitgegeben wird, bleibt es unverständlich (s. l. c. S. 134). — Dass die Hörnerven nicht immer gleichlang sind, habe ich zwar bei manchen Individuen gefunden, doch nur selten. In solchem Falle war der linke Nerv länger.

Auf der rechten Seite sind diese beiden Nerven die Penisnerven.¹ Sie treten unter dem Retractor des Rüssels in den Penis und zwar tritt der stärkere, untere (9) in die Masse desselben ein. Der zweite (8) Nerv verästelt sich in der Haut des Penis und dürfte so als der sensible Nerv dieses Gebildes im Gegensatze zu dem andern Nerven, der offenbar die Musculatur versorgt, aufgefasst werden. Dass aber ein Muskelnerv für den Penis vorhanden sein muss, beweist schon die Erscheinung, dass die mit einem Penis versehenen Prosobranchier dieses Organ nach Willkür, oft sogar heftig bewegen können.

Die den Penisnerven auf der linken Seite entsprechenden beiden Nerven (8' und 9') begeben sich, gleichfalls unter dem Retractor gelegen, zur Haut der Nackengegend und versorgen die Stelle, welche rechts der Penis einnimmt. Vielleicht haben wir auch hier mit einem motorischen und sensiblen Nerven zu thun, und dürfte ersterer die Hautmusculatur versorgen.

Ausser den eben angeführten Nerven treten aus der vordern Partie der Pleuralganglien keine Nerven hervor, und wir hätten nun die Nerven der Mantelganglien zu besprechen.

Aus dem rechten Ganglion (*r, wg*) treten drei Nerven aus (10, 11, 12), unter welchen der vordere der stärkste und der mittlere der schwächste ist. Der Nerv 10 und 12 sind für den Mantel bestimmt, während der zweite ein motorischer Nerv ist und den Spindelmuskel innervirt.

Der rechte äussere Mantelnerv (10) läuft am Boden der Leibeshöhle gelegen durch Bindegewebe und dem Epithel, überdeckt an der rechten Leibeswand nach aussen und durchbohrt dieselbe. So nach aussen gelangt (Taf. I), kreuzt er beim männlichen Thiere die Samenrinne unter demselben gelegen, und an dem Rande des Mantels angelangt, zerfällt er in zwei Äste. Der obere Ast (*a*, Taf. I) begibt sich in den Mantelsaum der obern Mantelhälfte, versorgt denselben, gibt ausserdem aber noch andere Äste ab, die in ein Netzwerk aufgehen, welches mit dem von innern Mantelnerven gebildeten anastomosirt. Der untere Ast (*u*) versorgt den untern Mantelrand.

Der rechte, innere Mantelnerv (12) verläuft mit dem vorigen ziemlich parallel und tritt vor dem After in den obern Mantel, wo er das schon erwähnte Netz bildet. Letzteres liegt tief in dem Mantelgewebe, und kann nur mit Mühe, natürlich nur theilweise, dargestellt werden. Gerade letzterer Umstand liess es mich nicht erkennen, ob Fasern dieses Nervennetzes, welches wir das Mantelnetz nennen wollen, die braune Drüse² am After versorgen. Da das Mantelnetz bis zur Purpurdüse verfolgt werden konnte und letztere doch nur als ursprünglich aus dem Epithel der Kiemenhöhle entstanden gedacht werden kann, so glaube ich, dass ihre Nerven aus dem Netze stammen.

Der rechte Spindelmuskelnerv (11), der zwischen den zwei Mantelnerven das Ganglion verlässt, liegt tief im Gewebe, kann weit nach hinten verfolgt werden. Er krenzt den Nerven 11 sowohl, als später die rechte Visceralcommissur und versenkt sich zwischen den Fasern des Spindelmuskels.

Den beiden Mantelnerven der rechten Seite entsprechen links zwei aus der obern vordern Hälfte des mächtigen, rechten Mantelganglions austretende Nerven. Der rechte Spindelmuskelnerv liegt hier nicht zwischen ihnen, sondern verlässt das Ganglion in der Nähe der Subintestinalcommissur.

Der linke, äussere Mantelnerv (10') ist schwächer als der dem rechten, innern Mantelnerven entsprechende Siphonalnerv (12'). Beide verlaufen unter dem Retractor, an dessen hintern Ende nach aussen, und durchbohren die Leibeswand. Bis hieher verlaufen sie neben einander. Hat man sie hier sorgfältig aus der Haut herauspräparirt, so sieht man, dass sie verschiedene Wege einschlagen. Der Nerv 10' verläuft, vor dem Siphon gelegen, zum untern Mantelrand und versorgt denselben.

Nachdem der Siphonalnerv sich etwas nach oben und hinten gewendet, verdickt er sich zu einem kleinen Ganglion, das unter der vordern Spitze der Kieme gelegen ist. Aus diesem Ganglion, das wir hier das Siphonal-

¹ v. Jähring gibt unter Andern auch für *Murex* an, dass der Penis von Pedalganglion seine Nerven erhalte, worin sich auch Leiblein (eifert nach Jähring) irrt. (Vergl. Anat. d. Nervensyst. d. Moll., 8. 129.)

² Bekanntlich wurde diese Drüse von Lacaze-Duthiers in seiner Arbeit über den Purpur zuerst beschrieben. Ich sah ihn (s. Taf. I, 86) in den Enddarm münden.

ganglion nennen wollen (s. g. Taf. 1), geht ein ziemlich starker Nerv in den Siphon, denselben von der innern Fläche aus innervierend, während 2-3 kleine Reiserchen sich zum oberen Rande des Mantels begeben.

Das Siphonalganglion verbindet sich ausser dem Hauptstamme, noch mit einer Commissur, das aus dem Nerven des Subbranchialorgans (Spengel's Geruchsorgan) sich zu ihr begibt. Dass aber diese Commissur wirklich aus dem genannten Nerven zum Ganglion tritt und nicht umgekehrt, dafür bürgt die Thatsache, dass sie den Nerven unter einem Winkel verlässt, dessen Spitze nach vorwärts, dem Kopfe zugewendet ist.

Wir sehen also, dass die mitleidigere Entwicklung des linken oberen Mantelrandes zu einem Gebilde, das als Siphon benannt wird, die stärkere Entwicklung des Nerven bedingt, und welches noch durch die Einlagerung eines secundären Ganglions gestärkt wird. Dies ist der Fall auch bei *Fuana*.

Von dem hintern Rande des linken Mantelganglions unter rechtem Winkel zur Subintestinalcommissur und denselben genähert, verlässt das Ganglion der linke Spindelmuskelnerf (11'). Er ist stärker wie der der andern Seite, liegt wie jener, am Boden der Leibeshöhle, und verläuft nach hinten, um hier, etwas weiter wie der rechte, sich in den Muskeln zu versenken.

Eingeweidenervensystem. Unter dieser Bezeichnung verstehen wir bei den Prosobranchiern ein System von Ganglien, die zwar mit dem Schlundringe durch längere oder kürzere Commissurensysteme zusammenhängen, doch mehr oder weniger entfernt vom erstern gelegen, die Eingeweide ausschliesslich versorgen¹ und so gewöhnlich als ein dem Symplicus der Vertebraten gleich gestelltes System aufgefasst wird. Ob dies nun auch volle Berechtigung hat, oder wir mit grösserem Recht in denselben ein System vor uns haben, das in physiologischer Hinsicht etwa dem Vagus nebst Symplicus verglichen werden kann, (Innervierung des Herzens von zwei verschiedenen Nerven, doppelte Innervierung der Buccaldrüsen und der Leiblein'schen Drüse), das möge wohl nach unserer Beschreibung des Verhaltens bei Muriciden, erwogen werden.² Dass hier noch der histologische Untersuchung ein weites Feld geboten wird, leuchtet ein.

Obwohl schon durch ihr morphologisches Verhalten vom Eingeweidenervensystem geschieden, hängen zwei, ausschliesslich Sinnesorgane versorgende Nerven, durch secundäre Verbindungen so sehr mit denselben zusammen, dass sie der Klarheit wegen hier behandelt werden müssen. Es sind dies der „Geschmacksnerv“ und der Nerv für das Subbranchialorgan (Spengel's Geruchsorgan).

Die Commissur zu den bei Muriciden stark nach hinten gerichteten Buccalganglien tritt, wie schon gesagt wurde, aus dem untern Abschnitte der Cerebralganglien ab (Taf. II, Fig. 1, 2, *bg*).

Die Buccalganglien selbst zeigen ein Verhalten, das bei sonstigen, mit Rüssel versehenen Vorderkiemern nicht verzeichnet wurde, oder wenn dies der Fall sein sollte, mir unbekannt blieb. Während nämlich sonst die Buccalcommissuren sehr lang sind, sind die Ganglien selbst an der Buccalmasse zwischen Radularscheide und Musculatur gelegen, stehen sie hier dem Schlundringe sehr nahe. Sie liegen unter dem Vorderdarm an der ersten Erweiterung desselben und an denselben von unten an (Taf. III, Fig. 1 *bg*).

Der Umstand, dass diese Ganglien in bisher bekannten Fällen, der Buccalmasse angelagert waren, und man auch fälschlich annahm, dass sie Nerven auch zur Musculatur abgeben, veränderte den Namen Buccalganglien. Wir wollen dieselben, da sie wie ich später auch für die Zeugobranchier, Scutibranchier und Chiton zeigen werde, nur Eingeweide- oder doch solche Theile innerviren, die der Willkür des Thieres entzogen sind, mit dem logisch besser gewählten Namen „Vordere Eingeweideganglien“ bezeichnen.

Wie schon oben erwähnt, lagern sich zwei Sinnesnerven dem Eingeweidenervensystem an, ohne sich mit ihnen weiter nervös zu verbinden.

In dem kurzen, aus der untern Hälfte der Cerebralganglien zu den vorderen Eingeweideganglien tretenden Nervenstränge haben wir nicht die ausschliessliche Commissur, vielmehr zeigt sich bei genauer Betrachtung

¹ Ich sehe natürlich von einigen falschen Angaben der Autoren ab.

² Wie weit sich dieser Satz für die übrigen Gasteropoden oder Mollusken überhaupt Geltung haben wird, möge die Zukunft zeigen, doch ist die Bejahung mir sehr wahrscheinlich, da, wie ich zeigen werde, die Innervierung des Herzens auch bei den Trochiden und Zeugobranchiern sich ähnlich verhält.

des histologischen Verhaltens, dass mit ihr von gleicher Stelle austretend, ein Nerv verläuft, der der Commissur und den Ganglien lateralwärts nur angelagert, mit ihnen aber nur durch hindgewebige Hüllen verbunden ist.¹

Dieser Nerv ist der „Geschmacksnerv“ (*gn*, Taf. I, Fig. 1; Taf. III, Fig. 1), denn er versorgt jene Gegend der Mundschleimhaut, wo wir die Geschmacksbecher antreffen.² Derselbe verläuft, nachdem er das vordere Eingeweideganglion verlassen, mit den zwei Nerven 1 und 2 der Cerebralganglien in einer gemeinsamen, doch sehr lockern Hülle eingeschlossen und zu innerst derselben, bis an die Buccalmasse, wo er über den Endästen der zwei genannten Nerven zu liegen kommt. Er zerfällt, nachdem er den Sphincter oris erreicht, (Fig. 1, Taf. III) in zwei Äste, von welchen der untere sich wieder gabelt. Der obere Ast (*a*) durchbricht den Sphincter ohne jedoch an diesen Fasern abzugeben und gelangt an die laterale Wand der Mundhöhle, um sich hier subepithelial zu verästeln. Nachdem der untere Ast auf dem Sphincter gelegen etwas nach unten sich begeben hat, durchbricht er diesen Muskel, den er hier durchbohrt hat, und versorgt am vordern Mundboden eine wallartige Erhabenheit desselben, dem jederseits drei Pupillen ansitzen (*s*, Taf. II, Fig. 6 *u*). Von diesem Verhalten des eben besprochenen Nerven konnte ich mich nach mehrmaligen, sorgfältigen Präpariren überzeugen.

Die übrigen, nun wirklich aus den vorderen Eingeweideganglien heranstretenden Nerven versorgen die Radularscheide, den Vorderdarm, die Buccaldrüsen und die Leiblein'sche Drüse. Wie wir jedoch sehen werden, wird die Aorta anterior gleichfalls von diesen Nerven innervirt, und zwar von Ästen der Darmnerven.

Wir können diese Nerven einteilen in solche, welche die Ganglien von vorn verlassen und solche, die von hintern Rande derselben abtreten. Als innerster unter den vorderen Nerven ist der Nerv der Radularscheide (Taf. III, Fig. 1 *u* und Taf. II, Fig. 1) zu nennen. Dieser verlässt zu innerst und vorn das Ganglion, ist unter den vorderen Nerven der stärkste, liegt jederseits der Aorta cephalica lateral an und verläuft ohne vorher Äste abzugeben zu haben, bis zur Buccalmusculatur. Hier angelangt, bohrt er sich von innen und unten in die Musculatur ein (Taf. II, Fig. 6) und zerfällt, noch zwischen den Muskelbündeln gelegen, in vier Äste. Alle vier Äste brechen nach oben und innen zwischen den Muskeln hervor, geben jedoch, wie ich mich viele Male überzeugen konnte, nie Fasern an die Musculatur ab. Die drei hintern Äste treten zur Radularscheide und verästeln sich in ihr. Der erste oder Endast des Nerven spaltet sich, nachdem er weit vorn von den drei hinteren Ästen aus der Musculatur wieder zum Vorschein kam, in mehrere Endzweige, von welchen die hinteren noch die Radularscheide innerviren, während der vorderste derselben hinter der Einbiegungsstelle des Darmes in die Radularscheide in den Boden dieses Darmtheiles sich verzweigt.³

Neben dem Radularnerven und nach aussen von demselben entspringen zwei feine Nerven (*b*, *c*), die sich zur vorderen Erweiterung des Vorderarmes begeben, um sich auf demselben in das Darmnetz aufzulösen. Der neben diesen entspringende Nerv (*d*) läuft etwas nach vorn, theilt sich hier, gibt Äste an das Gefäss und löst sich mit seinen anderen Ästen in den Darmplexus des Rüssels auf. Von diesem Darmplexus treten dann nach vorn Fasern an das Gefäss, dasselbe förmlich umspinnend.

Ans dem Darmplexus erhält die Buccaldrüse einen Nerven (*d u*).

Ausser diesen Nerven hilft das Netzwerk um den Darm, noch ein jederseits vom hintern innern Rande hervortretende, äusserst zarte Faser bilden (Taf. II, III, Fig. 1 *p*).

Ans der Mitte der die zwei Ganglien verbindenden Commissur, manchmal etwas dem linken Ganglion genähert, tritt ein unpaariger starker Nerv der Mitteldarmnerv (*mn*) hervor. Er liegt, indem er nach hinten verläuft, anfangs zwischen Darm und Aorta, wobei ersterer nach oben, das Gefäss nach unten zu liegen kommt, verhält sich so bis zu einer kleinen Ausbuchtung des Darmes.

¹ Allerdings wäre es hier angezeigt gewesen, eine Abbildung mitzugeben, doch würde ich der Histologie etwas vorgreifen. Die näheren Details sollen im zweiten Theile der Arbeit angegeben werden.

² Über diese Gebilde mag gleichfalls auf den zweiten Theil verwiesen werden. Übrigens habe ich bereits im Märzhefte 1881 des „Zool. Anzeigers“ derselben bei anderen Prosobranchiern ganz kurz berichtet.

³ Wir werden in einer späteren Publication sehen, dass diese Stelle bei den Zeug- und Scutibranchen Gastropoden von einem selbständigen Nerven, der aus der Nähe der Anlagungsstelle der Oesophagus an den Pedalstrang aus letzterem entspringt, versorgt wird. Dies schien bereits Troschel beobachtet zu haben. Das Epithel dieser Stelle ist sehr hoch und fächerförmig, doch sind Sinneszellen nicht vorhanden.

Hier muss nun auf die Topographie etwas eingegangen werden.

Der auf die eben erwähnte Darmausbuchtung folgende Abschnitt ist sammt das ihn begleitende Gefäss in eine grosse, grau-branne, den ganzen vordern Leibesraum ausfüllende Drüse eingebüllt. Diese Drüse ist das als Leiblein'sches Organ¹ in den Handbüchern bezeichnete Gebilde. Es besteht aus drei Hauptlappen und zwar aus einem untern linken und einem untern rechten, die sich mit einander vereint nach hinten allmählig verjüngend in ein spitzes Ende anlaufen, von welchem noch später die Rede sein wird. Ein linker oberer Lappen ist es, welcher nach rechts auf die untern Lappen sich umschlagend, den Darm und das Gefäss bedeckt, letzteres zwischen sich und den untern Lappen fassend. Nach hinten kommen Darm und Gefäss wieder aus der Drüse zum Vorschein, da der obere Lappen nicht von ganzer Drüsenlänge ist, und liegen hier frei auf dem Leibesboden, nach rechts an den sich verjüngenden Drüsenende. Darm und Gefäss verhalten sich inner- und ausserhalb der Drüse folgender Weise. Hinter der Darmausbuchtung, die von der Drüse nicht überdeckt wird, verlässt das Gefäss seine frühere untere Lage und kommt rechts an den Darm zu liegen, gibt zwei Äste an das Leiblein'sche Organ und nachdem er später den Darm gekrenzt und kurze Strecke über ihn gelegen ist, liegt er auf der linken Seite des Darmes. Letztere Lagerung treffen wir ausserhalb der Drüse an (s. Fig. 1, Taf. III).

Nachdem die Kenntniss der eben geschilderten topographischen Verhältnisse der Klarheit wegen vorauszuschieken war, wollen wir das weitere Verhalten des nupaaren Darmnerven besprechen.

Wir verlassen den Nerven an der Stelle, wo er noch zwischen Darm und Gefäss gelegen ist. Diese Lage gibt er bald auf, indem er sich an der rechten Seite der Darmerweiterung nach oben wendet und auf den Darm zu liegen kommt. Bald nachher gibt er zwei Äste ab, von welchen der eine zum obern, der andere weiter nach hinten, den Hauptstamm verlassend, zu den untern Lappen der Leiblein'schen Drüse sich begibt. Der für die untern Lappen bestimmte Ast (Taf. III, Fig. 1 r) verläuft mit dem Gefässe des untern Lappen parallel. Beide Nerven theilen sich in mehrere Äste, von welchen ein Theil in das Drüsenparenchym eindringt, während die andern oberflächlich auf der Drüse ein äusserst zartes Netzwerk bilden, das dann mit den feinen Fasern beider Nerven sich verbindet, die aus den Nerven sich hierher hebeben.

Wir sehen also, dass Buccaldrüsen jederseits, sowohl als Leiblein'sche Drüse, von zwei verschiedenen Nerven innervirt werden. Der eine Nerve jeder Buccaldrüse stammt aus dem Darmplexus (r), der andere ist ein direct aus den vordern Eingeweideganglien tretender Nerv (dn). Die Leiblein'sche Drüse erhält zwei Nerven, die Äste des mittleren Darmnerven sind, während zwei andere Nerven aus dem direct aus dem Ganglion zu den Buccaldrüsen tretenden Faser stammen.

In der oben verlassenen Lagerung begleitet der mittlere Darmnerv den Darm bis zur Herzgegend, gibt von seinem Austritte aus den Buccalganglien fortwährend feine Äste sowohl an den Darm, wie spärliche an das Gefäss. Auf dem Darne bilden diese Fasern ein oberflächlich gelegenes Netz, welches mit dem des Rüssel-darmes zusammenhängt.²

Wir verlassen nun die Nerven der vorderen Eingeweideganglien und hätten die Innervirg des übrigen Darmtractes sowohl, wie die der Leber zu berücksichtigen, da jedoch die Ganglien, welche diese Nerven entsenden mit einem Commissurensystem verbunden sind, welches von den Schlundringe, resp. mit diesem enge verbundenen Ganglien ihren Ursprung nimmt, so müssen zuvor diese Commissuren näher besprochen werden.

Aus dem obern Drittel der rechten vordern Pluralganglienmasse entspringt ein sehr starker Nervenstrang (Taf. I, c, sp; Taf. II, Fig. 1 und 2 c, sp) wendet sich, über dem Darm gelegen, nach rechts und verbindet sich mit einem, in kurzer Entfernung vor der zweiten Darmerweiterung nach links, dem Darne

¹ Die Histologie der Drüse, sowie auch nähere Beschreibung, wird im zweiten Theile gegeben werden.

² Gewiss müssen diesem Netzwerke an den Knotenpunkten Ganglienzellen gelagert anzutreffen sein, doch reichen meine Beobachtungen bis zur Zeit nicht so weit.

anliegenden herzförmigen Ganglion. Dieser Strang ist die „Supraintestinalcommissur“ oder rechte Visceralcommissur Jähring's. Diese Commissur ist bei *Murex trauedus* kurz, wie die Abbildung zeigt, bei *Murex brandaris* jedoch von beträchtlicher Länge. Sie erreicht die Zweifache der bei der ersten Art, wodurch dann das Supraintestinalganglion, welches bei kurzer Commissur dem Darme anliegt, an die innere Leibeshaut zu liegen kommt. Der Nervenstrang ist von ihrem Anfang an aus zwei Strängen zusammengesetzt. Der obere dieser Stränge durchsetzt bloss von unten das Supraintestinalganglion ohne sich mit ihm nervös zu verbinden und nur der Untere, der wirkliche Commissur ist, tritt in das Ganglion ein. Der obere Strang ist der Nerv für das Hypobranchialorgan (Geruchsorgan, Sp.), (h, Taf. II, Fig. 1 und 6, Taf. I).

Das Supraintestinalganglion nach hinten verlassend, verläuft die Subintestinalcommissur bis zur Leibeshaut parallel mit dem Geruchsnerven, verlässt ihn hier und nachdem beide die Leibeshaut durchbrochen haben, kommt erstere nach aussen an die Leibeshaut zu liegen. Etwa in der Gegend der halben Länge des Subbranchialorgans angelangt, theilt sich die Commissur in zwei ungleich mächtige Äste. Der innere stärkere ist die Fortsetzung der Commissur und setzt sich, am Rande der Leibeshaut gelagert, nach hinten zu den drei hinteren Eingeweideganglien fort (Taf. I), während der äussere Ast als Kiemenerv (*kn*) erkannt wurde. Dieser theilt sich in vier Äste. Der erste Ast begibt sich nach oben und aussen bis unter die Kieme, verbindet sich hier mit einem Nerven, der aus dem linken Eingeweideganglion kommt (*sl*). Der so verstärkte Nerv versorgt das vordere Drittel der Kieme. Der zweite und dritte Ast treten zur hinteren Kiemenhälfte, während der dritte an das Kiemenende Äste abgehend, als vorderer Herzerv (*v, hn*) auf der Kiemenarterie verlaufend, das Pericard durchbricht und, wie wiederholte Untersuchungen ergaben, am Vorhofe des Herzes sich verästelt.

Wie wir schon früher gesehen haben, ist die Subintestinalcommissur nur sehr kurz und das Ganglion verbindet sich durch eine, später weiter zu erörternde Verbindung mit dem rechten Pleuralganglion (s. Fig. 1, 2, 3, Taf. II). Die sich aus dem Subintestinalganglion weiter fortsetzende Commissur begibt sich, am Boden der Leibeshöhle gelegen, weit nach hinten und rechts zur Leibeshaut (*lc*), durchbricht letztere in der Gegend des Afters und liegt hier am Boden der Kiemenhöhle. An dieser Stelle tritt ein Nerv aus ihr zur Samenröhre (*un*) resp. beim weiblichen Thiere zum Uterus. An der Abgangsstelle dieses Nerven konnte oft eine sehr kleine Verdickung des Hauptstammes beobachtet werden. Der Hauptstamm tritt zum rechten hinteren Eingeweideganglion.

Wir sehen also, dass bei der Gattung *Murex* eine wirkliche Kreuzung der zwei als „Intestinal- oder Visceralcommissuren“ von den Autoren bezeichneten Nervenstränge, ganz wie bei den Jähring'schen Chiastoneuren vorhanden ist, wobei der rechte auf die linke unter den Darm zu liegen kommt. Die Subintestinalcommissur erleidet eine beträchtlichere, die Supraintestinalcommissur eine mindere Verkürzung, welche Verkürzungen durch das Nähertrücken der entsprechenden zwei Ganglien an den Schlundring bedingt werden. Bei *Murex brandaris* ist die Supraintestinalcommissur länger. Das Subintestinalganglion verbindet sich mit dem rechten Pleuralganglion. Diese Verbindung soll weiter unten ihre Erklärung finden, da ohne Vergleich eine solche unmöglich wird.

Die Pleuralganglien sondern sich in einen vorderen und hinteren Abschnitt, welcher letzteren wir speciell für die Muriciden als Mantelganglion bezeichneten.

Nun haben wir noch dreier Ganglien zu gedenken, die wir wohl am passendsten mit dem Namen „hintere Eingeweideganglien“ bezeichnen wollen.¹ Bei *Murex* und *Fusus* finden sich ihrer drei, doch dürften bei manchen andern Gattungen die zwei nach rechts gelegenen öfter miteinander verschmelzen, resp.

¹ Von LARZEE-DUTHIER als „ganglions genito-cardiaques ou gl. postérieurs“ von v. JÄHRING für seine Chiastoneuren als Abdominalganglion bezeichnet. Das Studium dieser Ganglien, resp. der aus ihnen entspringenden Nerven sind von allen Autoren die über das Nervensystem der Prosobranchier geschrieben haben, vernachlässigt worden, oder sind die gemachten Angaben grundfalsch. Besonders trifft letzter Vorwurf H. v. JÄHRING. Nur L. DUTHIER gibt eine genauere und meistens richtige Schilderung für *Halotis* und *Tectarius*. PELL bildet in seinem schönen Atlas die Ganglien bei *Hydrobia* und *Pyrosoma* richtig ab. v. JÄHRING scheint dieses wichtige Werk gar nicht gekannt zu haben.

von einander sich noch nicht gesondert haben, wie dies bei *Dolium* der Fall ist, oder haben sich dieselben von einander noch gar nicht gesondert, sondern bilden ein einziges spindelförmiges Ganglion wie bei *Haliotis*. Bei *Cassidaria* sind zwei Ganglien vorhanden.

Etwas von der Stelle, wo die Ausstülpung eines Theiles der secundären Leibeshöhle¹ zum Pericard erfolgte und beim erwachsenen Thiere verwächst bis auf eine Öffnung, die zum Durchtritte der Aorta cephalica s. anterior

Fig. 1.



Schema für das Verhältniss der Ganglien und Eingeweide zu einander vordem Pericard.

g Gefäß. d Darm. l Leibkeim'sche Drüse. ba Leibeshöhle.

diert, liegt das linke Ganglion auf dem Darne und der hier eben anstrengenden Aorta ant. auf, nach oben bedeckt von der obern Leibeshöhle. Rechts der Darne, links das Gefäß (s. Holzschnitt 1 und Taf. I).

Rechts vom Pericard und unter der äussern Nierenöffnung befindet sich zwischen oberer und unterer Leibeshöhle, die hier wie aneinander gelegt erscheinen, ein venöser Sinus, der mit der Niere in Communication steht und offenbar auch mit der Kiemenvene. Dass sie mit der Niere communicirt, zeigt die von der Niere aus eingeführte Sonde. In diesem Sinus liegt lose das hintere zugespitzte Ende der Leibkeim'schen Drüse (j), und die gleichfalls im Sinus gelegene Commissur kreuzt, welche zum mittleren Ganglion tritt. Letzteres hat eine etwas dreieckige Gestalt und liegt rechts neben dem Ende der Leibkeim'schen Drüse. Das rechte Ganglion liegt nicht mehr im Sinus, sondern rechts der Leibeshöhle an.

Aus dem linken Ganglion tritt der schon oben erwähnte Verstärkungsnerf (st) für den ersten Kiemennervenstamm ab, verläuft anfangs am linken Saume des Pericardes nach hinten, macht unter dem hintern Kiemenende eine Biegung und begibt sich, parallel mit dem Kiemengefäss und unter derselben, bis zum ersten Aste des Kiemennerven mit diesem hier verschmelzend (Taf. I). Ausser diesem treten noch zwei andere Nerven vom Ganglion ab und sollen bei der Beschreibung der hintern Darmnerven Erwähnung finden.

Das mittlere Ganglion entsendet fünf Nerven.² Ein von der linken obern Fläche des Ganglions entspringender Nerv ist eine kurze Strecke der Commissur zwischen dem linken und mittleren Ganglion angelagert, verlässt dieselbe und kommt unter das Pericard zu liegen, gibt hier eine feine Faser ab, welche zum Darmplexus tritt und verläuft nachher eine Strecke auf demselben und tritt als hinterer Herznerv (Taf. I mit Blau) vorher einige Fasern an den verdickten bulbösen Theil der vordern Aorta abgehend, das Pericard durchbrechend zum Herzen. Das Herz wird also von einem vordern, aus den Kiemennerven kommenden, und einem hintern, aus dem mittleren der hinteren Eingeweideganglien stammenden Nerven versorgt. Der vordere innervirt den Vorhof, der hintere Nerv die Kammer.

Ein zweiter, unter dem Herznerven entspringender Nerv, auf der untern Wand des venösen Sinus verlaufend, tritt zum Darmplexus. Dasselbe thut ein aus der obern Fläche entspringender stärkerer Nerv, von unten der obern Wand des Sinus anliegend. Aus der Spitze des Ganglions treten zwei Nerven hervor, ein oberer, der Nierennerv (n n, Taf. I; Taf. II, Fig. 1) und ein unterer, sehr starker, der Nerv für die Geschlechtsdrüse (g n). Beide liegen anfangs fest aneinander. Der Nierennerv am rechten Rande des Pericardes verlaufend, gibt etwas vor der äusseren Öffnung der Niere einen feinen Ast ab, der zum Darmplexus tritt und begibt sich nachher in die Niere.

Der Nerv der Geschlechtsdrüse wendet sich an der Stelle, wo der Ausführungsgang der Geschlechtsdrüse den Darm kreuzt, zwischen beiden gelegen, beim weiblichen Thiere hinter dem Uterusende nach unten und aussen, verläuft im Eingeweidesack über dem Ausführungsgange. Bald nach seinem Eintritt in den Eingeweide-

¹ Eine secundäre Leibeshöhle, welches im Vorhandensein eines Leibeshöhls sich zeigt, kommt sämmtlichen von mir untersuchten Prosobranchien und den Chitonen zu, worüber an anderem Orte berichtet werden soll.

² Dass die Zahl jedoch in manchen Fällen selbst bei einer und derselben Species schwanken kann, resp. eine Verwachsung eintritt, das zeigt *Vermetus*, wo Lacaze-Duthiers zwei, manchmal aber nur ein Ganglion antraf. (Mém. sur l'anat. et l'embryolog. des *Vermetes*. Ann. d. sc. nat. Ser. 1, Tom. 13, p. 269).

sack vor der Geschlechtsdrüse theilt er sich in zwei Äste, die mit einander parallel verlaufen. Diese Äste begegnen sich wieder in einem sehr zarten Ganglion, das nach unten und lateral der Geschlechtsdrüse anliegt (Taf. II, Fig. 7). Ob diese vorherige Spaltung des Nerven auch immer der Fall ist, vermag ich jedoch nicht mit ganzer Sicherheit zu sagen, da ich in einem Falle vergebens darnach suchte. Bei den männlichen Thiere sind diese zwei Äste dem Ausführungs gange angelagert. Aus dem kleinen Ganglion selbst treten drei Nerven hervor. Der stärkste und wie es scheint die Fortsetzung des Hauptstammes oder des obern Astes, verläuft auf der Drüse nach hinten und versorgt den hintern Abschnitt derselben. Ein oberer Ast begibt sich in den obern vordern Abschnitt der Drüse, während der dritte Nerv sich spaltet, eine Faser an den Eingeweidesack abgibt und mit der andern den untern Drüsenabschnitt und bei dem weiblichen Thiere auch den Ausführungs gang innervirt.¹

Wir haben bis jetzt absichtlich vier Nerven, zwei aus dem linken und ebenso viele aus dem mittleren Ganglion, obgleich erwähnt, keiner ausführlichen Betrachtung unterzogen. Es geschah dies aus dem Grunde, weil diese Nerven anschliessend den Darmcanal und die Leber versorgen und dabei eine Complication aufweisen, die einer nähern Erläuterung bedarf (Fig. 1, Taf. III). Wie schon oben erwähnt wurde, entspringen aus dem linken Ganglion ausser dem Verstärkungs nerven des Kiemen nerven noch zwei andere, 1 und 2. Das mittlere Ganglion entsendet den hintern Herznerven, den Nieren nerven, 5, und den der Geschlechtsdrüse, ferner die Nerven 4 und 5.

Die Nerven 1, 2, 3, 4 und ein Ast des Nieren nerven, 5, gehen unter einander Verbindungen ein, sie verstärken sich und so kommt auf diese Weise ein Netzwerk zu Stande, das unter dem Pericard gelegen ist. Dieses Netz, das wir das Subpericardialnetz bezeichnen (Fig. 1, Taf. III) kommt, wie folgt, zu Stande.

Der Nerv 4 verläuft nach rechts und hinten (s. auch Taf. I) gibt eine Verbindung an den Nerven 3 ab; ferner eine solche an den Nerven 1, und nachdem sein Endast eine Verstärkung vom Nerven 3 aufgenommen, tritt er als erster Lebernerv (*l*) an dieses Organ. Zwischen dem Nerven 3 und 2 existirt wieder eine Verbindung, und bald, nachdem 3 die Verbindung an 4 abgab, spaltet er sich in zwei Äste, wovon die linke (*r*) als zweiter Lebernerv zur Leber tritt, während der rechte mit einem schon erwähnten Aste des Nieren nerven sich verbindet, und als Darmnerv zum Mageneinde tritt. Die Nerven 1 und 2 treten in den dünnen, vor dem Magen gelegenen Abschnitt des Darmes, wobei der erste Ast des Nerven 2 mit den Endlästen des unpaaren vordern Darmnerven verästelt Anastomosen eingeht. Die Endläste des Darmnerven bilden auch an diesem Darmabschnitt ein peritostinales Netz um Darm und Magen. Aus dem rechten Ganglion (Taf. I, III, Fig. 1; Taf. II, Fig. 7) treten zwei Nerven hervor. Der vordere tritt zum verjüngten Abschnitte der Leibhörn'schen Drüse, während der andere, stärkere nach rechts zum Enddarm tritt und eine feine Faser auch dem Uterus, resp. Vas deferens sendet. Das Verhalten der Darmnerven am Darne ist ein ganz Ähnliches wie am vordern Darmabschnitt und das um den ganzen Darmtractus gelegene Nervenetz ist als ein zusammenhängendes Ganzes zu betrachten.

Wir sehen also, dass die einzelnen Abdominalganglien der Autoren nie bloss ein Organ versorgen und so die Namen „Renal-, Genital- und Cardinalganglien“ nicht brauchbar sein können; vielmehr versorgen sie die Eingeweide ziemlich gleichbetheiligend und kann so die Benennung „hintere Eingeweideganglien“ besser gebraucht werden.

¹ Der Genitalnerv ist in Pollé's Atlas zum „Testacea utrinque Siciliæ“ für *Dolium* und *Perula* richtig abgebildet. Der Nerv verläuft dort ohne vorher sich getheilt zu haben zur Geschlechtsdrüse. Auch das kleine Ganglion ist nicht abgebildet. Es dürfte vielmehr auch nur bei *Murex* vorkommen, doch habe ich weiter keine Kenntniss darüber.

Für die Gattung *Vermex* beschreibt Lacaze-Duthiers (l. c. p. 260) zwei Nerven, die an die Geschlechtsdrüse treten, einen rechten mächtigeren und linken schwächeren, die sich im Eingeweidesack durch Anastomosen verbinden. (Vergl. Taf. VI, Fig. 2.) Der rechte würde dem des *Murex* entsprechen, während der linke seinen Ursprung aus dem linken Ganglion nimmt.

Innervirung des Fusses.

Im Gegensatz zu den älteren Formen der Prosobranchier, wie Zengobranchier, Sclerobranchier und der Paludinen, bei welchen zwei lange Ganglienzellen enthaltene Nervenstränge (schlechtlin.), mehr oder weniger tief in der Musculatur des Fusses liegend, beobachtet wird, treffen wir bei Muriciden ein zusammengezogenes Nervencentrum an (s. die Abbildg.). Die Nervencentren des Fusses zeigen sich als zwei mächtige Ganglien, die miteinander innig verbunden sind, ohne äusserlich eine Commissur aufzuweisen, und vermöge der Zusammengezogenheit aus dem Fusse gerückt sind und bereits in der Leibeshöhle liegen. Wie schon früher berichtet, wird unten jedes der zwei Ganglien in eine vordere und hintere Spitze getheilt; aus der vordern treten die stärkern Nerven ab, vier an der Zahl, während die hintere sechs Nerven entsendet. Ausser diesen Nerven treten noch aus der lateralen Fläche jedes Ganglions sechs Nerven ab, drei vordere (α, β, γ und α', β', γ' , Taf. II, Fig. 2) und drei hintere.

Es ist eine schwere, fast unmögliche Aufgabe, die einzelnen Nerven in dem nach dem Tode stark contrahirten Fusse mit der Nadel einzeln zu präpariren. Es war nur eine Möglichkeit geboten, Sicherheit über den Verbreitungsbezirk der einzelnen Nerven zu erhalten und diese nur durch folgendes Verfahren. Der Fuss wurde sammt der Spindelmuskel für 3 bis 4 Tage in schwachen Alkohol von 35 bis 40 Proe. gelegt und nachdem das Gewebe sich so etwas gelockert hatte, wurde der Fuss in mehrere Längsschnitte mit dem Scalpell zerlegt. Die Nerven hatten dabei ihre gelbere Färbung bewahrt und konnten leicht mit der Nadel präparirt werden. Natürlich konnte keine Abbildung gegeben werden, die der Natur ganz entspreche, da die Nerven ja nicht in einer und derselben Ebene liegen; was also unserer Abbildung auf Taf. III (Fig. 2) gebricht, möge so viel wie möglich durch Worte ergänzt werden.

Von den vier vordern untern Nerven des Ganglions (α , Taf. II, Fig. 2) verläuft der erste nach oben und vorn (Taf. III, Fig. 2) und findet seine Verbreitung in dem obern vordern Theile des Fusses. Der zweite Nerv liegt sich nach unten und innen, ist dabei stark median gelegen und indem sich die zwei Nerven der beiden Seiten sich nähern, treten sie an die Fussdrüse (f, d, r) dieser ausschliesslich angebührend. Der dritte, sehr starke Nerv verläuft jederseits nach aussen und vorn zu einer am vordern Fussrande sich befindenden Furchen und deren untere Lippe, welche, da ihr Epithel hell erscheint, vom übrigen Fusse sich scharf abhebt. Die Function dieser Lippe dürfte der eines Tasters gleich sein, da der Nerv seine Hauptverbreitung in ihr findet und nur zwei schwache Äste zur Haut abgibt.

Der vierte Nerv der vordern Gruppe sowohl, wie die sechs der hintern (α') haben den Fuss hinter der Fussdrüse zu versorgen.

Die sechs aus der lateralen Fläche des Ganglions anstretenden Nerven dürften hauptsächlich als Hautnerven der lateralen Fussfläche zu betrachten sein.

Eine dritte Form aus der Familie der *Muriciden*, die ich Gelegenheit hatte, zu untersuchen, war die Gattung *Fusus*, und zwar die bei Triest häufiger zu beobachtende Art *F. sylvaticus*. Es zeigte sich nun, dass, obgleich das Centralnervensystem im Grossen und Ganzen mit dem des *Murex* übereinstimmt, doch ein gedrängteres Verhalten aufweist.

Da das periphere Nervensystem mit dem der Gattung *Murex* ganz übereinstimmt und die Schilderung derselben nur eine Wiederholung wäre, so soll hier nur der Schlundring und einiges vom *Murex* Abweichende besprochen werden.

Die obere Hälfte der Cerebralganglien ist rund, doch ist die untere Hälfte, sowie die Cerebralpedalcommissur kürzer und im Verhältnisse, erstere breiter geworden. Die Commissur selbst ist von den Gangliennassen derart überrundet, dass nur noch ein schmaler weisser Streif zu sehen ist. Die vordere Partie der Pleuralganglien verläuft inniger mit dem Cerebralganglion und ist gedrängener. Im ganzen Verhalten des obern Schlundringes prägt sich ein starkes Zusammenwachsen der einzelnen Ganglien aus.

Auch die Intestinalganglien zeigen ein von *Murex* verschiedenes Verhalten, denn während die Verbindung zwischen dem linken Pleuralganglion und dem Mantelganglion einerseits sich verlängert, die, zwischen dem rechten Pleuralganglion und dem rechten Mantelganglion sich jedoch bedeutend verkürzt, kommt das Subintestinalganglion stärker nach rechts zu liegen. Dabei hat die Länge der Subintestinalcommissur keine Veränderung erfahren.

Die Länge der Supraintestinalcommissur hat sich auf ein Nemtel der gleichnamigen Commissur des *M. tenuiculus* verkürzt und kommt so das Ganglion nicht mehr auf die linke Seite des Darmes zu liegen, sondern lagert auf der rechten Seite an und nur die aus ihm austretenden zwei Nervenstränge kreuzen den Darm. Die Visceralcommissur und der Geruchsnerf verlassen entfernt von einander das Supraintestinalganglion und lagern so einander nicht an.

Wir sehen also, dass die bei *Murex* bereits auffallende Concentration der Ganglien des Schlundringes bei *Fusus* noch weiter vorgeschritten ist und es werden sich gewiss nächste Verwandte der Muriceiden auffinden lassen, wo auch das Supraintestinalganglion mit dem rechten Pleuralganglion verschmilzt.

Mit weiteren unwichtigen Detailangaben möge der Leser verschont werden, und gibt die naturgetreu entworfene Abbildung den besten Begriff von den besprochenen Verhältnissen.

Klar werden uns die Verhältnisse des Nervensystems bei der *Cassidaria* (*C. echinophora* Lam.), wenn wir es einem Vergleich mit *Murex* und anderen Formen unterwerfen und auch für letzteren können wir über einen neuen zu erörternden Punkt Gewissheit erhalten.

Ogleich der Schlundring der *Cassidaria echinophora* bereits von v. Jehring abgebildet und beschrieben wurde, so erkannte erst Spengel, dass das Ganglion, welches Jehring als Abdominalganglion deuten, in Wirklichkeit dem Subintestinalganglion der Jehring'schen Chiastoneuren entspricht.

Spengel's Abbildung ist eine schematisch gehaltene, während die von Jehring der Wahrheit nicht ganz entspricht und so glaube ich, da ich einige Ergänzungen des bereits Bekannten beifügen kann, bei dieser Gelegenheit zum rechten Verständnisse eine Abbildung beizufügen (Taf. II, Fig. 5).

Die Cerebralganglien der *Cassidaria* sind miteinander fest verbunden und sind jederseits mit dem Pleuralganglion nur durch eine kurze Verbindung zusammengefügt. Die Cerebropedalecommissur ist lang und dünn, ebenso die nach aussen von dieser gelegenen Pleuropedalecommissur. Beide liegen jederseits an der Stelle, wo sie sich mit dem Pedalganglion verbinden, aneinandergerückt. Die Pedalganglien sind im Verhältniss zu den andern Ganglien etwas klein.

Die aus dem Cerebralganglion austretenden Nerven sind wie folgt. Ein starker Stamm verlässt die vordere Fläche und verläuft im Rüssel nach vorne zur Buccalmasse; gibt während seines Verlaufes Äste an den Rüssel ab. Doch haben wir in diesem ganzen Stamme, wie aus der Beschreibung klar wird, drei Nerven und die Commissur der vordern Eingeweideganglien (Buccalganglien Aut.) nur in einer gemeinsamen Hülle, das sich allerdings nicht so leicht wie bei *Murex* trennen lässt, eingeschlossen. Vorne, an der Buccalmasse angelangt, tritt zuerst die Commissur ab und begibt sich zu den Ganglien. Die andern drei Endäste sind der Geschmacksnerv, der Nerv der Buccalmusculatur und jener, den wir bei *Murex* als „sensiblen Rüsselnerven“ kannten.

Die vordern Eingeweideganglien zeigen ihrer Lagerung nach das primäre Verhalten, da sie zwischen Radularscheide und Oesophagus gelegen sind; denn da das Nervensystem der Muriceiden als stark zusammengefasst erkannt wurde, muss angenommen werden, dass die Lagerung dieser Ganglien bei ihnen auch eine secundäre ist. So hätten wir denn bei den mit Rüssel versehenen Vorderkiemer eine Lagerung der vordern Eingeweideganglien wie bei den Älern Formen derselben und eine, die secundär erworben wurde.¹

Die Oteocyten liegen den Pedalganglien an. Hinter dem oben besprochenen gemeinsamen Stamme der Rüsselnerven und ihm lateral etwas angelagert, verlässt das Ganglion cerebrale der Nerv für die Retractoren

¹ Dieses Einrücken der vordern Eingeweideganglien hat bereits Jehring bei *Buccinum* und auch *Murex* beobachtet, und soll auch Leibklein für *Murex discus* angesagt haben.

des Rüssels, der bei *Murex* mit 4 bezeichnet ward. Dann sehen wir weiter nach hinten und etwas nach oben zwei andere Nerven. Wir sahen bereits bei *Murex*, dass die Nerven der Cerebralganglien sich in eine vordere Gruppe und eine hintere, obere eintheilen liessen, je nachdem wo sie das Ganglion verliessen; der zweiten Gruppe würden bei *Cassidaria* diese zwei Nerven zuzutheilen sein und die Zweizahl derselben ist auch nur eine scheinbare, da in dem vordern stärkern Stamme der Nerv des Fühlers dem Opticus nur angelagert ist und sich bald von ihm trennt. Der zweite Nerv ist der Hautnerv der Kopf- und Nackengegend und entspricht dem mit 7 bezeichneten des *Murex*.

Die Zahl der aus dem Pleuralganglion entspringenden Stämme ist auf den beiden Seiten eine ungleiche, da rechts nur zwei solche zu beachten sind, während links drei abtreten. Doch beruht dieses Verhalten nur auf einer Aneinanderlagerung zweier Nerven auf der rechten Seite. Der obere innere Stamm aus dem rechten Ganglion biegt, über dem Darne gelegen, nach links, verbindet sich dann mit einem am Leibestande gelegenen Ganglion (*g sp*) und ist, wie dieses Spengel richtig erkannt hat, die Supraintestinalcommissur (*c sp*). Der zweite stärkere Nervenstamm aus dem rechten Pleuralganglion verläuft auf dem Leibsboden nach hinten und tritt hier mit einem noch in der Leibeshöhle gelegenen Ganglion (*g sb*) in Verbindung.

Von dem linken Pleuralganglion trennen drei Stämme ab, unter welchen der innerste und oberste (*r sb*) unter dem Schlunde gelegen, nach rechts verläuft, um sich mit dem Ganglion zu verbinden, zu dem der zweite Stamm aus dem rechten Pleuralganglion sich begibt (*g sb*). Dieses Ganglion ist nun das Subintestinalganglion. Der zweite Stamm entspricht nur einem Nerven, er ist der rechte Spindelmuskelnerv.¹ Der dritte Stamm endlich, der den Siphonalnerven und untern Mantelnerven in sich birgt, gelangt bis zum Siphon, lässt hier den untern Mantelnerven sich abtrennen. Der Siphonalnerv selbst nimmt einen Verstärkungs-nerven aus dem Supraintestinalganglion auf; ein Siphonalganglion fehlt.

Aus dem Supraintestinalganglion tritt ausser dem Verstärkungs-nerven ein Nerv an den Geruchsorgan und der dritte setzt sich als die Fortsetzung der Commissur zu den hinteren Eingeweideganglien fort. Der Kiemenerv verhält sich dabei wie bei den Muriciden.

Das Subintestinalganglion verlässt ein Nerv, der sich jedoch gleich beim Austritte theilt, nach rechts. Der vordere dieser Nerven innervirt die obere und untere Mantelhälfte, während der hintere innere zum Spindel-muskel tritt.

Die Fortsetzung der Commissur zu den hinteren zwei Eingeweideganglien gibt bald nach dem Verlassen des Subintestinalganglions den schon bei Muriciden erwähnten Nerven (*a*) zur Samenrinne, resp. Uterus.

Es braucht nur des Vergleiches mit *Murex* und wir sind im Klaren, was die Verbindung zwischen rechtem Pleuralganglion und Subintestinalganglion zu bedeuten hat. Denn, obgleich Spengel die Kreuzung der Intestinalcommissuren erkannt hat, gibt er keine befriedigende Erklärung für diese Verbindung, und was er mit „secundäre Wurzeln der Visceralcommissur“ eigentlich sagen will, ist mir nicht verständlich. Er hat allerdings Recht, wenn er behauptet, dass hier eine secundäre Verbindung vorliege, doch klar war ihm dessen Bedeutung nicht.

Bedenken wir nur, dass aus dem rechten Pleuralganglion weder Nerven an den Mantel, noch ein Spindel-muskelnerv abtritt, ähnlich der linken Seite, aus dem Subintestinalganglion jedoch ein Nerv sowohl an Mantel, wie Spindel-muskel tritt, und dass bei den Muriciden diese Nerven aus dem Pleuralganglion abtreten, so sind wir uns klar, dass in der zwischen rechtem Pleuralganglion und Subintestinalganglion sich findenden Verbindung die einander angelagerten Mantelnerven und Spindel-muskelnerv vorliegt. Sie lagern sich dem Ganglion nur an, ohne eine nervöse Verbindung einzugehen. Wir haben Fälle, wo diese zwei Nerven dem Ganglion gar nicht sich anlegen, sondern, wie ich dieses bei einer bei Miramare gefischten kleinen Art der Gattung *Notica*, wo gleichfalls die Chiastoneurie vorhanden ist, beobachtet konnte (s. Holzschnitt, Fig. 2) sich unterhalb des Ganglions an die Visceralcommissur anlegten, kurze

¹ Fälschlich gibt v. Jeiching an, dass dieser Nerv in den Mantel trete.

Zeit mit derselben verließen, um dann ihren Weg einzuschlagen. Ganz ähnlich wird es sich auch bei *Vermetus* verhalten.

Andererseits aber haben wir eine Verbindung bei den Muriciden zwischen rechtem Pleuralganglion und Subintestinalganglion. Es muss dieses natürlich eine Erklärung haben, denn dass eine Commissur in ein bereits gebildetes Ganglion nur hineinwachsen sollte, wird wohl Niemand annehmen wollen. Mir scheint nur eine einzige Erklärung in diesem Falle möglich.

Die ältesten Formen der Prosobranchier besitzen keinen Penis, keine Samenrinne, sondern die Geschlechtsdrüse mündet mit kürzerem oder längerem Ausführungsgange unter dem After. Die Gegend nun, wo in der Kiemenhöhle unter dem After die Samenrinne zum Penis, im Laufe der Phylogenie entsteht,¹ wurde vom Mantelnerven innerviert (Trochiden). Ähnlich würde es sich mit dem Uterus verhalten.

Bei der *Cassidaria*, wo sich der Penis bereits findet, sehen wir, dass durch eine Anlagerung der Mantelnerven an das Subintestinalganglion secundäre Verhältnisse eingetreten sind, ein feiner Nerv unterhalb des Ganglions von der Visceralcommissur sich abzweigend, die secundäre Samenrinne zum Penis oder den Endtheil des Uterus innerviert, der sich als ein Theil des Mantelnerven abtrennen musste, um als Nerv der Samenrinne später sich von der Commissur abzuzweigen. Bei *Muriciden*, wo durch ein Zusammenrücken der Ganglionmassen auch das Subintestinalganglion dem Schlundringe näher gezogen wurde und dadurch die Mantelnerven, die secundäre Anlagerung an das Ganglion aufgebend, in die frühere Lage, wie wir das bei ursprünglicheren Formen (*Fissurellen*) antreffen, wieder zurückkehren, direct vom Pleuralganglion abtreten, bleiben die Fasern des Mantelnerven die die secundäre Samenrinne oder den Uterus bei *Cassidaria* versorgen, dem Subintestinalganglion angelagert. So war es denn möglich, dass wir in der Verbindung zwischen rechtem Pleuralganglion (Mantelganglion der *Muriciden*) und Subintestinalganglion diese Anlagerung vor uns haben.

Allerdings entgehe ich bei dieser Erklärung dem Einwande nicht, dass ja die Verbindung für den zarten Nerven zu mächtig wäre. Bedenkt man jedoch, dass durch das sehr feste Aneinanderlagern des aus dem Pleuralganglion sich bei *Muriciden* gesonderten Mantelganglions eine Anschiebung von Ganglienzellen an die Verbindung statt haben konnte, dass die Verbindung so äusserlich gestärkt wird, so glaube ich fällt der Einwand weg.

Es möge die histologische Untersuchung darüber die Rechenschaft ablegen, ob diese rein vergleichend-anatomische Erklärung das Rechte getroffen hat!

Anders verhält es sich für die Verbindung zwischen Supraintestinalganglion und Siphonalnerven resp. Ganglion, wofür ich keine Erklärung weiss.

Eine ganz ähnliche Anschiebung des Subintestinalganglion an den Schlundring und Verbindung mit dem rechten Pleuralganglion, wie bei *Muriciden*, treffen wir bei *Cyprina* s. *Pileopsis huncjiricus*, L. an.

Hätte H. v. Jähring den starken aus dem Ganglion, das er Abdominalganglion nennt und welches in Wahrheit das Subintestinalganglion ist, entspringenden Nerven bei *Pileopsis* weiter verfolgt und andererseits das Verhalten der aus dem Supraintestinalganglion austretenden Nerven einem eingehenden Studium gewidmet, so hätte er sich bald überzeugen können, dass die starken Nerven jeiderseits sich zu den hintern Eingeweideganglien begeben wie bei *Muriciden* und der *Cassidaria*. Denn bis auf diesen wichtigen Punkt kannte Jähring

Fig. 2



¹ Bei *Vermetus* ist die Verbindung zwischen rechtem Mantelnerven und dem linken Pleuralganglion der Art aufzufassen, dass diejenigen Nerven, die aus diesem Ganglion entspringen, mit der Subintestinalcommissur verlaufen und den Enddarm versorgen, hier sich getrennt haben und dem Mantelnerven sich nur anlagern, später sich aber abtrennen und den Enddarm innervieren. Bedingt wird aber dieses Verhalten durch das starke Vorrücken des Enddarms.

das Nervensystem von *Pileopsis* richtig und gibt eine im Allgemeinen branchbare Abbildung. Aus diesem Grunde will ich ihn wörtlich anführen:¹ „Das Centralnervensystem von *Pileopsis hungaris* L. liegt hinter der Mundmasse um die Speiseröhre in einem nicht eben engen Kreise. Er besteht aus den Cerebralganglien, die unter einander durch eine kurze Commissur verbunden sind, den Pedalganglien und den Gangliendivisceralen Gruppe. Die Pedalganglien sind unter einander durch eine breite, ziemlich kurze Commissur verbunden. Eine doppelte Commissur, die zur Seite der Speiseröhre liegt, verbindet sie jederseits mit den über dem Schlunde gelegenen Ganglien. Die eine dieser beiden langen, eng aneinander liegenden Commissuren tritt ins Cerebralganglion, die andere ins Commissuralganglion. Das letzte liegt jederseits unmittelbar hinter dem Cerebralganglion, durch eine äusserst kurze Commissur mit ihm verbunden. Nach hinten tritt aus jedem Commissuralganglion eine zur Seite und unter der Speiseröhre verlaufende Commissur, welche mit der der anderen Seite in einem unpaaren Abdominalganglion sich verbindet. Das letztere Ganglion liegt jedoch nicht in der Medianlinie, sondern zur Seite der Speiseröhre, rechts. Durch dieses Ganglion, die Commissuralganglien und die zwischen ihnen ausgespannten Commissuren wird ein dritter, den Schlund umgreifender Ring gebildet. Derselbe ist aber enger als der nach vorne von ihm liegende Doppelring der zu den Pedalganglien laufenden Commissuren. Die Asymmetrie dieses visceralen Schlundringes ist nicht nur in der rechtsseitigen Lage des Abdominalganglion ausgesprochen, sondern auch in dem Verhalten der Commissuren und der abtretenden Nerven. Es ist nämlich von den beiden zwischen dem Abdominalganglion und den Commissuralganglien befindlichen Commissuren die linke sehr viel länger als die rechte, durch die Einlagerung zahlreicher Ganglienzellen sehr dicke.“ Auch gedankt Jehring der bei *Murex* als rechtes Mantelganglion von uns benannten Verdickung.² Weiter unten sagt er: „aus der rechten, das Commissural- und Abdominalganglion verbindenden Commissur entspringen zwei Nerven, welche den Nerven vier und fünf der anderen Seite entsprechen und sich in den Mantel und der Spindelmuskel hebehen.“ Bis hierher hatte Jehring das Rechte gesehen; wenn er jedoch behauptet, dass „aus dem Abdominalganglion kommen zwei nach hinten zu den Eingeweiden tretende Nerven, von denen der stärkere der Genitalnerv ist“, so irrt er sich und denkt das Gefundene zu Gunsten seiner vorher gefassten Theorie. Der von ihm als Genitalnerv beschriebene Strang heisst sich zu den hintern Eingeweideganglien, während der schwache zweite Nerv bei ihm mit neun bezeichnet, demselben entspricht, der bei *Murex* die Samenrinne, resp. Uterus innervirt und das Abweichende in diesem Falle wäre nur, dass letzter Nerv bei *Murex* mit der postganglionär gelegenen Visceralscommissur noch eine Strecke verläuft bevor er sich abzweigt, während er bei *Pileopsis* schon das Subintestinalganglion verlässt.

Ähnliches Verhalten wie wir es bei *Mureiden* und *Pileopsis* antreffen, scheint nach v. Jehring's Abbildung³ *Buccinum undatum* aufzuweisen betreff der Verbindung des Subintestinalganglions mit dem rechten Pleuralganglion. Da mir jedoch *Buccinum* aus eigener Anschauung nicht bekannt ist, kann ich mich darüber weiter nicht äussern. Immerhin glaube ich Jehring's Abbildung ganz im Sinne wie es *Mureiden* aufweisen dürfen und eine Chintoneurie auch für *Buccinum* anzunehmen.

Ein Fall von falschen Neurom.

In zwei Fällen hatte ich Gelegenheit bei *Murex trunculus*, einmal an dem Nervenplexus des Rüsseldarmes ein andermal da und an dem rechten vordern Nerven der Leiblein'schen Drüse, kleine rothgelbe kleinen Ganglienkugeln nicht unähnliche Verdickungen und den Nerven aufsitzende Kugeln zu beobachten. Da mir an diesen Stellen Ganglien nicht bekannt waren, diese Verdickungen mit solchen, auch schon der Farbe wegen, auffallende Ähnlichkeit hatten, so unterzog ich sie der mikroskopischen Prüfung und konnte mich alsbald überzeugen, dass diese Gebilde nicht Ganglien, sondern pathologische Bildungen waren, die durch das Verletzen des Neurilemas durch einen Fremdkörper verursacht wurden.

¹ J. c. S. 112—113, Taf. VII, Fig. 29.

² Vergl. *Murex*.

³ Taf. VIII, Fig. 33.

Ich hob vorsichtig mit der Scheere diese Gebilde sammt den Nerven ab, und untersuchte sie bei schwacher Vergrösserung in der Leibleitfähigkeit des Thieres sowohl, wie später in Glycerin. Die Glycerinpräparate erwiesen sich dabei als dauerhaft.

Die Form dieser Gebilde war eine sehr verschiedene. An dem Plexus des Rüsseldarmes war eine stärkere Erhebung zu sehen von 0.1257^{mm} Höhe und 0.0957^{mm} Breite. Die Gestalt war etwas hisquirtförmig und das Gebilde sass einer Nervenfasern fest an (Taf. III, Fig. 3a). Mehr nach vorne konnte ich ein gleiches Gebilde, jedoch von geringerer Grösse beobachten, das eine Kugelform hatte (b). Beide waren ähnlich den Gangliën ziegelroth gefärbt, wobei bei den grössern eine äussere hellere Zone und eine innere dunklere Kernzone zu beobachten war. Von unten nach oben wurde die grössere Geschwulst von einer Borste durchsetzt, wobei sie die Längsaxe der Geschwulst unter spitzem Winkel kreuzte (Fig. 3a). Drückte ich etwas mit dem Deckgläschen, so konnte ich genau beobachten, dass die Kernzone flüssig ist und sich bewegt, während die Corticalzone sich nicht veränderte. In der kleinen vordern Geschwulst war kein Fremdkörper zu sehen. Eine Kernzone war auch hier zu sehen, doch auch die Corticalschicht war von concentrisch angeordneten dunkleren Fleckchen besprenzt. Während hierdem sonst normal gewebigen Nervenetze einzelne, von einander entfernte Geschwülste aufsass, war es mit den Nerven zwischen Buccaldrüse und Leiblein'scher Drüse complicirter.

Hier sehen wir (Fig. 4, Taf. III), dass der Nerv in seiner ganzen Länge verliedert erscheint, wobei an denjenigen Stellen, wo vom Hauptstamme für die Buccaldrüse und weiter nach hinten Äste abtreten, an der Abgangsstelle die Verdickung an Mächtigkeit zunahm. Ja noch mehr, den Ästen sasssen wieder kleinere Geschwülste auf. Hinten, wo der Nerv auf der Leiblein'schen Drüse seine Endverzweigung erfährt, und hier noch eine kleine Geschwulst an der Theilungsstelle aufsass, war eine Borste eines Borstenwurmes zu beobachten, die mit dem gegabelten Ende in der Geschwulst drinnen steckte. Sie war der Fremdkörper, durch dessen Reiz die Neubildung bedingt wurde.

Nachdem ich Querschnitte untersuchen konnte, gelang es mir zu sehen, dass in diesen Gebilden ein sogenanntes falsches Neuron vorlag, denn die Nervenfasern theilteigten sich an der Neubildung nicht, vielmehr war nur das Neurilem geweneht, wobei freilich Nerveufasern durch den Druck zu leiden hatten.

Ein Querschnitt durch zwei, seitlich einem Nervenstamme aufsitzenden Geschwülsten, stellt die Fig. 5 auf Tafel III dar. Wir sehen, dass die Geschwulst gebildet wird von concentrisch angeordneten spindelförmigen Zellen, die von einem körnigen, braunen Pigmente gefüllt sind und einen langen, hellen Kern besitzen, dem ein Kernkörperchen fehlt. Von innen nach aussen nehmen die Zellen an Dicke ab, sie sind abgeplatteter und die äussersten drei Zellenreihen sind der Art abgeplattet (a), dass die Zellgrenzen nicht mehr sichtbar sind und es macht den Eindruck, als wenn diese Schichten lamellös zerfielen.

Diese Randzone kann sich dann in noch späterem Stadium zu einzelnen Fibrillen spalten, denn bei der grossen Geschwulst konnte ich wirklich solche fibrillöse Structur, wenn auch nur am Wurzeltheile, beobachten (s. Taf. III, Fig. 3).

Innerhalb der Geschwulst befindet sich eine Höhlung, ganz ähnlich wie dies bei den falschen Neuronen des Menschen beobachtet wird.¹ Diese Höhlung entsteht dadurch, dass die innersten, im Centrum gelegenen Zellen zerfallen, welcher Process immer weiter greifend die Höhlung vergrössert. Wir sehen an grossen, bereits reifen Geschwülsten, wie sich Zellen nächst der Höhlung allmählig von den andern ablösen, ihre frühere Spindelform einbüssen, um schliesslich zu zerfallen (s. Fig.).

Ich hatte dabei Gelegenheit, auch zu beobachten, wie dieser Process von Statten geht. Zuerst nach dem Ablösen der Zelle gruppirt sich das in ihr befindliche Pigment auf eine bestimmte Stelle des Protoplasmas, wodurch ein Theil des letztern pigmentfrei wird und so die Zelle halb braun, halb hell erscheint (Fig. 6a). Indessen ist auch das Protoplasma zerfallen, was das Loswerden des Pigmentes bedingt und wir sehen nun lose Kerne in der Höhlung der Geschwulst.

¹ A. Förster, *Lehrbuch der pathologischen Anatomie*, nach dem Tode des Verf. herausgegeben von F. Siebert, Neunte Aufl., Jena 1873, S. 137.

Wie bereits schon vorher erwähnt wurde, konnte bei Quetschung mit dem Deckgläschen an frischen, unverletzten Geschwülsten beobachtet werden, dass die innere, stark braune Kernzone sich bewegt. Es ist in der Höhlung eine Flüssigkeit vorhanden in der das zu amorphen Massen gruppierte Pigment der Zellen schwimmt. Durch das angesammelte Pigment wird die dunklere Färbung der Kernzone bedingt, und die Flüssigkeit, in der die Pigmentmassen schwimmen, ist offenbar nichts anderes als das Endprodukt des zerfallenen Protoplasmas.

Es können aber auch mehrere Cysten im Fibrum auftreten, die später bei weiterem Zerfalle der zwischen gelegenen Zellen zu einer Höhlung sich vereinen. Dies, glaube ich, dürfte als Norm bei der Höhlenbildung betrachtet werden.

Wie sich die Nervenfasern in dem Falle verhalten, wenn das Neurilem zu Neubildung gereizt wurde, konnte ich bei *Murex* nicht beobachten. An dem Schnitte jedoch sehen wir die Fasern von den angelagerten zwei Fibrinen der Art zusammengezwängt, dass ein Leiden derselben wohl kaum zu vermeiden ist. Doch ein pathologisches Verhalten der Fasern konnte mit Sicherheit, vermöge der Zartheit der Objekte nicht beobachtet werden. An Objekten, wie dies Figur 4 darstellt, und wo der ganze Nervenstamm in das entzündete Neuron eingeschlossen ward, wäre das Verhalten der Nerven leichter zu beobachten gewesen, doch war das Objekt früher in Glycerin gelegen und konnte so nicht mehr gehärtet werden. So viel steht fest, dass bei diesen Geschwülsten das nervöse Element keinen activen Antheil hatte und wir vielmehr in diesen Gebilden Fibrome der schönsten Art erkannten.

Wir sahen, dass der Fremdkörper stets im Fibrum liegt und es ist wohl keine Frage, wie sich derselbe beim Verletzen des Neurilems verhielt, denn es ist nicht denkbar, dass eine so dicke Borste des zufällig in die Kiemenhöhle der Schnecke gerathenen Borstenwurmes unter die Scheide eines so dünnen Nervens hätte eindringen können. Der Fremdkörper verletzt eben bloss die Scheide und wird von dem wuchernden Gewebe umwachsen. Dabei zeigen unsere Abbildungen, dass der Reiz sich auf grössere Strecken verbreitet, am Nervenetz konnte zwischen zwei Fibrinen, von welchen nur eines durch directen Reiz entstand, normales Gewebe liegen. Bei einem einzigen längern Nervenstamme konnte das Neurilem gänzlich zur Neubildung angeregt werden.

Das Pigment der Fibrome unterscheidet sich chemisch von dem der Ganglienzellen, denn während letzteres nach längerem Liegen in Alkohol extrahirt wird, ist das bei ersterem nicht möglich.

Es wäre interessant gewesen, etwas über die Entwicklung dieser Gebilde zu erfahren; doch konnte eine solche nur im Beginne der Zellvermehrung beobachtet werden.

Auf Figur 5 sehen wir, dass in der nächsten Umgebung bereits gereifter Fibrome im übrigen Neurilem pigmentirte, ganz gleiche Zellen sich finden wie im Fibrum selbst. Es ist mir nun einmal, mehr zufällig, gelungen, von einer stärkeren Faser ein Stück bereits angegriffenes Neurilem frei zu bekommen und so ein Flächenpräparat zu erhalten, wie Figur 6 zeigt.

Im normalen Neurilem der Schnecken sehen wir allerdings Kerne eingelagert, doch ist die Zahl derselben eine geringe und die Grösse derselben gering. Es gelingt nun manchmal bei sehr starker Vergrösserung etwas wie geringes Protoplasma um die Kerne gruppiert, wahrzunehmen. Bei *a* in Fig. 6 sehen wir solche Kerne. An diesem veränderten Gewebe sehen wir, dass auf eine kleinere Fläche Neurilems eine grössere Zahl von Kernen zu liegen kommt.

Das Protoplasma der Zellen mehrt sich (*b*) und es tritt ein gelbes Pigment in denselben auf (*c*). Dabei konnte allerdings eine Zelltheilung nirgends gesehen werden, doch liegt der Gedanke nahe, dass die zwei Zellen bei *b* sich durch eine Längstheilung aus der Mutterzelle gebildet hätten.

Wien, am 10. December 1881.

ERKLÄRUNG DER TAFELN.

TAFEL I.

Murex trunculus.

Der Mantel ist von oben geöffnet, Rüssel und Leibeshöhle geöffnet und der vordere Darmintractus mit der Leiblein'schen Drüse entfernt, Penis (*P*) am Grunde von oben aufgeschnitten. *Sp* Sphincter des Mundes. *1*, Nerv der Buccalmuskeln *a* und *b* seine Endäste. *2*, Rüsselhautnerv. *3*, Anastomose. *4*, der Rüsselmuskelnerv. *7*, Nerv der Kopfhaut. *10*, Rechter äusserer Mantelnerv. *12*, Rechter innerer Mantelnerv. *12'*, Siphonalnerv. *11*, Rechter Spindelmuskelnerv. *11'*, Linker Spindelmuskelnerv. *a* Enddarm. *ad* Afterdrüse. *an* Nerv der Samenrinne. *j* Ende der Leiblein'schen Drüse. *anm* Äussere Nierenmündung; die Niere *N* geöffnet und eine Sonde bis in den venösen Stans eingeführt. *L* Leber, wobei der Eingeweidessack geöffnet ist. *Pe* Geöffneter Pericard. *H* Herz, nach hinten und rechts gelegt. *ahn* Vorderer Herznerv. *ac* Visceralcommissur. *bu* Branchialnerv. *st* Verbindungsnerv zwischen dem Branchialnerven und dem linken hinteren Eingeweidenganglion. Der blaue, auf dem Pericarddach gelegene Nerv ist der hintere Herznerv. *so* Gornstomgang. *r* Verbindung zwischen Geruchsnerven und Siphonalganglion. *Sp* Sphio. *sg* Siphonalganglion. *spg* Supraintestinalganglion. *tr* Linker Retractor des Rüssels.

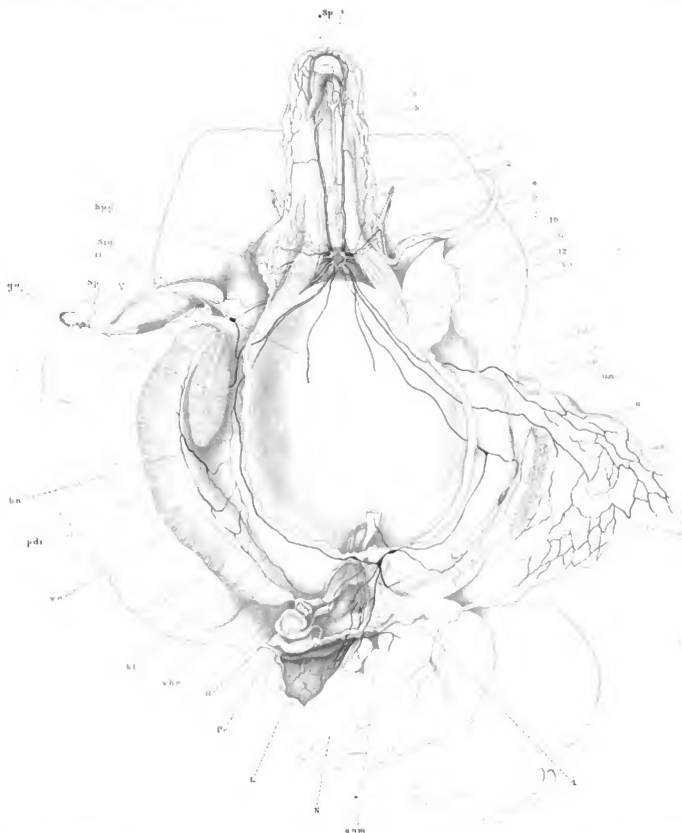
TAFEL II.

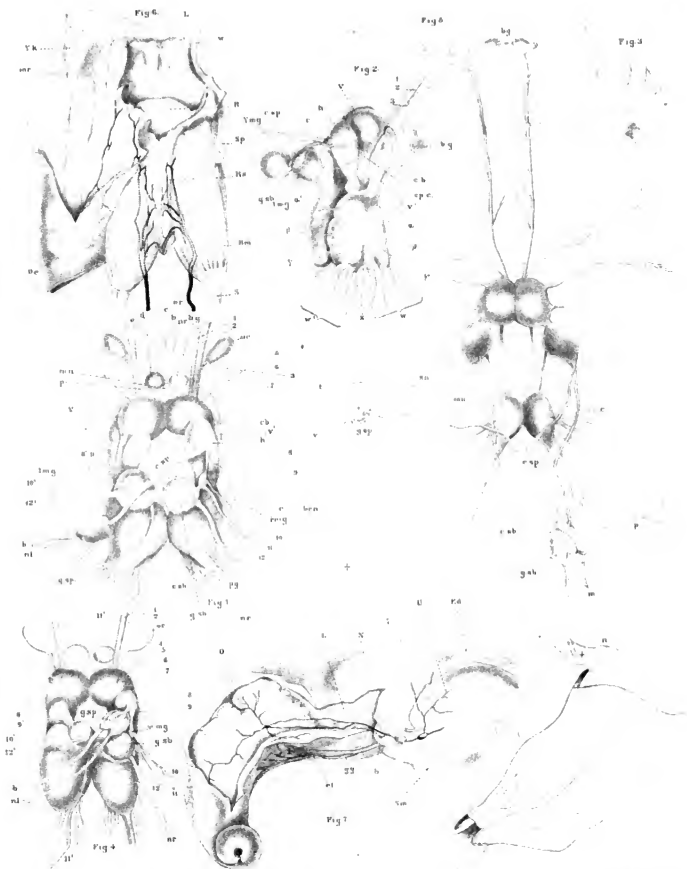
- Fig. 1. Schlundring von *Murex trunculus* von oben und hinten. *1* Obere, *1'* untere Hälfte des Cerebralganglions. *H* Pleuralganglion. *r* re. Rechtes, *l* lin. linkes Mantelganglion. *esh* Subintestinalcommissur. *sh* Subintestinalganglion. *gsp* Supraintestinalcommissur. *gsp* Supraintestinalganglion. *pg* Pedalganglion. *1*, Nerv der Buccalmuskulatur. *2*, Hautrüsselnerv. *3*, Hörnerv. *oe* Otolocyste. *4*, Rüsselmuskelnerv. *5*, Fühlernerv. *6*, Augennerv. *7*, Nerv der Kopfhaut. *es* Commissur zu den vorderen Eingeweidenganglion. *8*, und *9* Penisnerven. *r* Commissur. *10*, Rechter äusserer Mantelnerv. *11*, Rechter Spindelmuskelnerv. *12*, Rechter innerer Mantelnerv. *st* Linke Visceralcommissur. *11'*, Linker Spindelmuskelnerv. *ac* Rechte Visceralcommissur. *b*, tierchenlernerv. *12'*, Siphonalnerv. *bu'*, Linker unterer Mantelnerv. *8'* und *9'*, Nerven der linken Nackenhälfte. *eg* Vorderes Eingeweidenganglion. *an* Uropod hinterer Mitteldarmnerv. *p* Nerv der Buccaldrüse. *r* tiebenschacknerv. *a* Nerv der Radularscheide. *b*, *c*, *d* Darmnerven.
2. Dasselbe von rechts. *rpe* Cerebropedalcommissur. *r* Einschnitt zwischen den Pedalnerven. *u* Vordere, *u'* hintere Pedalnerven. *2*, *3*, *4*, *5*, *6*, *7*, *8*, *9*, *10*, *11*, *12*, *13*, *14*, *15*, *16*, *17*, *18*, *19*, *20*, *21*, *22*, *23*, *24*, *25*, *26*, *27*, *28*, *29*, *30*, *31*, *32*, *33*, *34*, *35*, *36*, *37*, *38*, *39*, *40*, *41*, *42*, *43*, *44*, *45*, *46*, *47*, *48*, *49*, *50*, *51*, *52*, *53*, *54*, *55*, *56*, *57*, *58*, *59*, *60*, *61*, *62*, *63*, *64*, *65*, *66*, *67*, *68*, *69*, *70*, *71*, *72*, *73*, *74*, *75*, *76*, *77*, *78*, *79*, *80*, *81*, *82*, *83*, *84*, *85*, *86*, *87*, *88*, *89*, *90*, *91*, *92*, *93*, *94*, *95*, *96*, *97*, *98*, *99*, *100*, *101*, *102*, *103*, *104*, *105*, *106*, *107*, *108*, *109*, *110*, *111*, *112*, *113*, *114*, *115*, *116*, *117*, *118*, *119*, *120*, *121*, *122*, *123*, *124*, *125*, *126*, *127*, *128*, *129*, *130*, *131*, *132*, *133*, *134*, *135*, *136*, *137*, *138*, *139*, *140*, *141*, *142*, *143*, *144*, *145*, *146*, *147*, *148*, *149*, *150*, *151*, *152*, *153*, *154*, *155*, *156*, *157*, *158*, *159*, *160*, *161*, *162*, *163*, *164*, *165*, *166*, *167*, *168*, *169*, *170*, *171*, *172*, *173*, *174*, *175*, *176*, *177*, *178*, *179*, *180*, *181*, *182*, *183*, *184*, *185*, *186*, *187*, *188*, *189*, *190*, *191*, *192*, *193*, *194*, *195*, *196*, *197*, *198*, *199*, *200*, *201*, *202*, *203*, *204*, *205*, *206*, *207*, *208*, *209*, *210*, *211*, *212*, *213*, *214*, *215*, *216*, *217*, *218*, *219*, *220*, *221*, *222*, *223*, *224*, *225*, *226*, *227*, *228*, *229*, *230*, *231*, *232*, *233*, *234*, *235*, *236*, *237*, *238*, *239*, *240*, *241*, *242*, *243*, *244*, *245*, *246*, *247*, *248*, *249*, *250*, *251*, *252*, *253*, *254*, *255*, *256*, *257*, *258*, *259*, *260*, *261*, *262*, *263*, *264*, *265*, *266*, *267*, *268*, *269*, *270*, *271*, *272*, *273*, *274*, *275*, *276*, *277*, *278*, *279*, *280*, *281*, *282*, *283*, *284*, *285*, *286*, *287*, *288*, *289*, *290*, *291*, *292*, *293*, *294*, *295*, *296*, *297*, *298*, *299*, *300*, *301*, *302*, *303*, *304*, *305*, *306*, *307*, *308*, *309*, *310*, *311*, *312*, *313*, *314*, *315*, *316*, *317*, *318*, *319*, *320*, *321*, *322*, *323*, *324*, *325*, *326*, *327*, *328*, *329*, *330*, *331*, *332*, *333*, *334*, *335*, *336*, *337*, *338*, *339*, *340*, *341*, *342*, *343*, *344*, *345*, *346*, *347*, *348*, *349*, *350*, *351*, *352*, *353*, *354*, *355*, *356*, *357*, *358*, *359*, *360*, *361*, *362*, *363*, *364*, *365*, *366*, *367*, *368*, *369*, *370*, *371*, *372*, *373*, *374*, *375*, *376*, *377*, *378*, *379*, *380*, *381*, *382*, *383*, *384*, *385*, *386*, *387*, *388*, *389*, *390*, *391*, *392*, *393*, *394*, *395*, *396*, *397*, *398*, *399*, *400*, *401*, *402*, *403*, *404*, *405*, *406*, *407*, *408*, *409*, *410*, *411*, *412*, *413*, *414*, *415*, *416*, *417*, *418*, *419*, *420*, *421*, *422*, *423*, *424*, *425*, *426*, *427*, *428*, *429*, *430*, *431*, *432*, *433*, *434*, *435*, *436*, *437*, *438*, *439*, *440*, *441*, *442*, *443*, *444*, *445*, *446*, *447*, *448*, *449*, *450*, *451*, *452*, *453*, *454*, *455*, *456*, *457*, *458*, *459*, *460*, *461*, *462*, *463*, *464*, *465*, *466*, *467*, *468*, *469*, *470*, *471*, *472*, *473*, *474*, *475*, *476*, *477*, *478*, *479*, *480*, *481*, *482*, *483*, *484*, *485*, *486*, *487*, *488*, *489*, *490*, *491*, *492*, *493*, *494*, *495*, *496*, *497*, *498*, *499*, *500*, *501*, *502*, *503*, *504*, *505*, *506*, *507*, *508*, *509*, *510*, *511*, *512*, *513*, *514*, *515*, *516*, *517*, *518*, *519*, *520*, *521*, *522*, *523*, *524*, *525*, *526*, *527*, *528*, *529*, *530*, *531*, *532*, *533*, *534*, *535*, *536*, *537*, *538*, *539*, *540*, *541*, *542*, *543*, *544*, *545*, *546*, *547*, *548*, *549*, *550*, *551*, *552*, *553*, *554*, *555*, *556*, *557*, *558*, *559*, *560*, *561*, *562*, *563*, *564*, *565*, *566*, *567*, *568*, *569*, *570*, *571*, *572*, *573*, *574*, *575*, *576*, *577*, *578*, *579*, *580*, *581*, *582*, *583*, *584*, *585*, *586*, *587*, *588*, *589*, *590*, *591*, *592*, *593*, *594*, *595*, *596*, *597*, *598*, *599*, *600*, *601*, *602*, *603*, *604*, *605*, *606*, *607*, *608*, *609*, *610*, *611*, *612*, *613*, *614*, *615*, *616*, *617*, *618*, *619*, *620*, *621*, *622*, *623*, *624*, *625*, *626*, *627*, *628*, *629*, *630*, *631*, *632*, *633*, *634*, *635*, *636*, *637*, *638*, *639*, *640*, *641*, *642*, *643*, *644*, *645*, *646*, *647*, *648*, *649*, *650*, *651*, *652*, *653*, *654*, *655*, *656*, *657*, *658*, *659*, *660*, *661*, *662*, *663*, *664*, *665*, *666*, *667*, *668*, *669*, *670*, *671*, *672*, *673*, *674*, *675*, *676*, *677*, *678*, *679*, *680*, *681*, *682*, *683*, *684*, *685*, *686*, *687*, *688*, *689*, *690*, *691*, *692*, *693*, *694*, *695*, *696*, *697*, *698*, *699*, *700*, *701*, *702*, *703*, *704*, *705*, *706*, *707*, *708*, *709*, *710*, *711*, *712*, *713*, *714*, *715*, *716*, *717*, *718*, *719*, *720*, *721*, *722*, *723*, *724*, *725*, *726*, *727*, *728*, *729*, *730*, *731*, *732*, *733*, *734*, *735*, *736*, *737*, *738*, *739*, *740*, *741*, *742*, *743*, *744*, *745*, *746*, *747*, *748*, *749*, *750*, *751*, *752*, *753*, *754*, *755*, *756*, *757*, *758*, *759*, *760*, *761*, *762*, *763*, *764*, *765*, *766*, *767*, *768*, *769*, *770*, *771*, *772*, *773*, *774*, *775*, *776*, *777*, *778*, *779*, *780*, *781*, *782*, *783*, *784*, *785*, *786*, *787*, *788*, *789*, *790*, *791*, *792*, *793*, *794*, *795*, *796*, *797*, *798*, *799*, *800*, *801*, *802*, *803*, *804*, *805*, *806*, *807*, *808*, *809*, *810*, *811*, *812*, *813*, *814*, *815*, *816*, *817*, *818*, *819*, *820*, *821*, *822*, *823*, *824*, *825*, *826*, *827*, *828*, *829*, *830*, *831*, *832*, *833*, *834*, *835*, *836*, *837*, *838*, *839*, *840*, *841*, *842*, *843*, *844*, *845*, *846*, *847*, *848*, *849*, *850*, *851*, *852*, *853*, *854*, *855*, *856*, *857*, *858*, *859*, *860*, *861*, *862*, *863*, *864*, *865*, *866*, *867*, *868*, *869*, *870*, *871*, *872*, *873*, *874*, *875*, *876*, *877*, *878*, *879*, *880*, *881*, *882*, *883*, *884*, *885*, *886*, *887*, *888*, *889*, *890*, *891*, *892*, *893*, *894*, *895*, *896*, *897*, *898*, *899*, *900*, *901*, *902*, *903*, *904*, *905*, *906*, *907*, *908*, *909*, *910*, *911*, *912*, *913*, *914*, *915*, *916*, *917*, *918*, *919*, *920*, *921*, *922*, *923*, *924*, *925*, *926*, *927*, *928*, *929*, *930*, *931*, *932*, *933*, *934*, *935*, *936*, *937*, *938*, *939*, *940*, *941*, *942*, *943*, *944*, *945*, *946*, *947*, *948*, *949*, *950*, *951*, *952*, *953*, *954*, *955*, *956*, *957*, *958*, *959*, *960*, *961*, *962*, *963*, *964*, *965*, *966*, *967*, *968*, *969*, *970*, *971*, *972*, *973*, *974*, *975*, *976*, *977*, *978*, *979*, *980*, *981*, *982*, *983*, *984*, *985*, *986*, *987*, *988*, *989*, *990*, *991*, *992*, *993*, *994*, *995*, *996*, *997*, *998*, *999*, *1000*.
3. Dasselbe von links. Die Nerven sind weggelassen.
4. Schlundring von *Fucus saccatus*. Wie auf Fig. 1.
5. Nervensystem von *Cassidaria echinophora*. *gsh* Subintestinalganglion. *sep* Subintestinalganglion. *mr* Linker Spindelmuskelnerv. *m* Rechter Spindelmuskelnerv. Die hinteren Eingeweidenganglion sind nicht mitgezeichnet. *f* bezeichnet die Fortsetzung der Visceralcommissuren. (Sonst siehe Beschreibung.)
6. *Murex trunculus*. Buccalmasse. Das Mundloch von rechts geöffnet und der Darm nach links umgeschlagen. *u* Nerv der Radularscheide. *bu* Buccalmuskel. *s* Hinterer Muskel, vom Buccalkörper entspringend, *u* an der Rüsselwurzel inserirt. *R* Radula. *L* Lippe. *g* Geschmackswulst. *rt* Rechtes Kiefer. *mr* Mündung des Ausführganges der Buccaldrüsen. *Ra* Radularscheide.
7. Der Eingeweidessack von *Murex trunculus* von unten und rechts geöffnet, um den Verlauf der Genitalnerven zu zeigen. *U* Uterus. *Ed* Enddarm. *N* Niere. *L* Leber. *O* Ovarium. *st* Eileiter. *gg* Hinterer Gallengang. *sm* Spindelmuskel.

TAFEL. III.

- Fig. 1. Eingeweide ohne den Heteru. *Murex trunculus*; die Nerven sind nur vom rechten Ganglion gezeichnet. *l.* Lippe. *sp.* Sphincter oris. *ag.* Anführungsgang der rechten Buccaldrüse. *ld.* Leiblein'sche Duse. Von der Leber *L.* ist nur die vordere Hälfte gezeichnet. *g.* Die zwei Gallengänge. *ga.* Geschmacksnerv. *ur.* Rechter Nerv der Radularscheide. *a.*, *b.*, *c.* Darmnerven. *du.* Vorderer Nerv der Buccaldrüse. (Buccaldrüse der rechten Seite nur theilweise.) *w.*, *w'.* Nerv zur Leiblein'schen Drüse. *uu.* Upparer Darmnerv. Hinten sind die drei hinteren Eingeweideganglien mit dem Subpericardialplexus. *cc.*, *cc'.* Visceralommissuren. *g.* Genitalnerv. *p.* Vorderer Herznerv. *io.* Verbindungs-nerv zum Kiemennerven. *5.* Nierennerv. (Sonst siehe Beschreibung.)
2. Fussnerven von *Murex trunculus*. *pg.* Pedalganglion. *fd.* Fussdrüse. *p.* Vorderer Fussrand. *d.* Deckel. *sm.* Spindel-muskel. *uu.* Unterer Mantelrand. *k.* Quere Muskelfzüge. *fg.* Fussgefäss.
3. Zwei falsche Neurone aus dem Rückenlarplexus (*M. trunculus*) u. Fremdkörper.
4. Falsches Neuron, einen Nervenstamm umwuchernd. u. Fremdkörper. (*M. trunculus*.)
5. Querschnitt durch zwei falsche Neurone. *d.* Nerv. *a.* Äusserste Zellenlagen im Neuron. *b.* Pigmentmassen. *c.* Halb-zerfallene Zelle. (*M. trunculus*.)
6. Flächenpräparat aus einem gereizten Neurilemma. (*M. trunculus*.)









GEOLOGISCHE STUDIE
VON
DIE THERME VON DEUTSCH-ALTENBURG
AN DER DONAU.

VON
DR. LEO BÜRGERSTEIN.

(Mit 2 Tafeln und 1 Holzschnitt im Text.)

VORGELEGT IN DER SITZUNG DER MATHEMATISCH-NATURWISSENSCHAFTLICHEN CLASSE AM 2. MÄRZ 1882.

Deutsch-Altenburg liegt etwa 40 Km. ostnordöstlich von Wien, an jener culturhistorisch wichtigen Stelle, wo die Donau zwischen die Hainburger Berge, die südlichsten Ausläufer der kleinen Karpathen, eintritt.

Die daselbst vorhandene Thermalquelle scheint schon den Römern (Carnuntum) bekannt gewesen zu sein und ist später, besonders in Folge wiederholter kriegerischer Durchzüge an jener Stelle, in unbediente Vergessenheit gerathen. In neuerer Zeit beginnt sich der Besuch derselben wieder zu heben.

Literatur:

- (1634). Pollheimerisch Badbuch oder Beschreibung. Von der sonderbahren Tugent... des Haylsamben Badbrunnens gelegen... Bey... Schloss Teutschen Altenburg... auf Begehren des... Herrn Gundacker. Wien, bei Maria Fournickin. 4^o.
1719 und
1758. Ludwigstorfisch Band-Buch... durch... Herrn Joannem Wilhelmum Mangetiam zusammengetragen. Wienn. 4^o.
(Ist die 2. und 3. Auflage des erstgenannten.)
1734. Eigentliche Beschreibung Deren berühmten dreyen Gesundheits-Bäden... Baiden, Teutsch-Altenburg und Pyrenwarth... In die Teutsche Mutter-Sprach übersetzt von J. A. C. v. S. Nürnberg und Wien, Krauss. 8^o.
(Ist laut Vorrede des Verlegers die Übersetzung der latein. Inauguraldisputationen der Autoren Joh. Max. Dietmann [f. Baden] und Joh. Wenzel Ignatz Lehr [Deutsch-Altenburg u. Pyrawarth]. Das benützte Exemplar war zweiter Abdruck.)
1777. Crantz, Heinrich Joh. v. Gesundbrunnen der österr. Monarchie. Wien. 4^o.
1844. Bastler, Dr. A. D. Das Wildbad zu Deutsch-Altenburg in Österreich. Wien. 8^o.¹
1852. Čížek Joh., Geologische Verhältnisse der Umgebungen von Hainburg, des Leithagebirges und der Ruster Berge. (Jahrb. d. k. k. geol. Reichsanstalt, III. Jahrg. IV. Heft, p. 35.) Wien.

¹ Eine von Bastler für das „kommende Jahr“ in Aussicht gestellte vollständigere Abhandlung (s. „Vorbericht“ bei Bastler) scheint nicht erschienen zu sein.

1856. Kreuziger Med. Dr., Das Bad Deutsch-Altenburg in Nieder-Österreich V. U. W. W. Presburg, Wigand, 8^o.
1881. Autor, Vorläufige Mittheilung etc. Verhandlungen der k. k. geol. Reichsanstalt, No. 15, p. 289.

Von Nachrichten vor dem Pollheimerischen Badbuch ist ein Manuscript zu nennen, enthaltend die Begutachtung der Quelle durch die medicinische Facultät, vom Jahre 1518.¹ (Nur historischen Werth.) In der 1519 vom damaligen Besitzer (Dörr) an König Ferdinand I. gedieteten Bittschrift um ein Privileg bezüglich des Bades sagt Dörr: „dieses Prunus so von Altmun und Schwelch herkhaupt, ... darbey meine Eltern ein Padi gehabt, des aber gar abgangen und ich yetzt wider aufzurichten in Vohung bin, und wiesol den meine Eltern vil vber Zwaighundert Jar in Crafft Iro Belohnung, so sy der ortten von Ew. Khunig. Majestat haben, in gepirach, ...“ — woraus sich der Gebrauch des Bades schon im 11. Jahrhundert documentarisch ergibt; übrigens folgt aus den „Sacken, Caruntum, p. 27, pp. 62—74: den Nymphen geweihten Altären und aus dem „curator thermanum“ dass die Quelle schon zur Zeit der römischen Colonisation benützt wurde.

In den zahlreichen bedeutendsten bathographischen Werken, welche ich elassen konnte, von Tabernaemontanus, Thurneiser und Baccini bis auf die heutigen findet sich sonderbarerweise diese altbekannte und wiederholt sehr besuchte Quelle grossentheils gar nicht angeführt.

Die vorstehende ältere Literatur behandelt bis auf Czjžek's Arbeit natürlich fast nur die ärztliche Seite;² doch führe ich sie nicht nur der Vollständigkeit halber, sondern auch deshalb an, weil, wie sich in den folgenden Zeilen zeigen wird, manche, auch für unseren Zweck interessante Bemerkung eingestreut ist; Czjžek's Text zu seiner geologischen Aufnahme³ der Umgebung von Hainburg erwähnt die Quelle gar nicht.

Geologischer Bau der Umgebung.

In dieser Richtung ist Czjžek's Aufnahme Einiges hinzuzufügen. Die Differenzen der beigegebenen Tafel (1.) von der Manuscriptkarte Czjžek's erklären sich zum Theile daraus, dass ich in der Lage war, die Militär-Doppelmass-Aufnahme (1:12,500) zu benützen. Es wurde von mir nur das Dreieck zwischen Deutsch-Altenburg, Hainburg und Haindsheim begangen.

An der Ostseite des Hundsheimerberges sind die Aufschlüsse (typige Vegetation) grossentheils so schlecht, dass eine verlässliche Eintragung der Grenzen des Granites und der krystallinischen Schiefer nicht durchführbar erscheint. Ich sah den Granit wirklich aufgeschlossen nur an der Basis einer Sandgrube im NO des Hundsheimerberges an der unteren Waldgrenze; von hier aus nach Osten bedeckt nur Granitgras die Felder. Leider steht es mit den krystallinischen Schieferen nicht besser; man kann das Auftreten derselben nur aus einzelnen losen Brocken erschliessen; trotz fleissiger Begehung des kleinen Gebietes konnte ich sie nur an einer Stelle, etwa südöstlich vom Triangulirungspunkte (476) des Hundsheimerberges anstehend wahrnehmen, doch so verwirrt, dass die Fallrichtung nicht zu bestimmen war; weiter nach N flürfte ihre Grenze unter dem in der Karte angegebenen Quarzitefs fortlaufen, da Czjžek (l. c. p. 39) die Quarzite des Brannsbirges als Einlagerungen des grauen Kalkes bezeichnet. Es ist mir nicht klar, wo Czjžek das Streichen der Schiefer wahrnahm; eine ganz verlässliche Bestimmung desselben wäre für das Studium der Thierne von Interesse.

¹ Befindet sich heute im k. k. Finanzarchiv in Wien. (Signatur: Lit. a, fasc. V/3. a blau.) Der ganze Act enthält: 1.) Das Besuch des Ritters Franz Dörr um das Privileg als Recompense für die erlittenen Kriegsschäden, die Benutzung seiner Schreibzettel etc. 2.) Das Protokoll der medic. Facultät der Wiener Universität. 3.) Den (günstigen) Bericht des Statthalters. (1549); — Für die Auffindung dieser Schriftstücke bin ich Herrn. Concipisten im Staatsarchiv C. Schrauf zu Dank verpflichtet.

² Über die reichen Aiterthümer von D.-A. besonders:

Sacken, Dr. Frh. v., Die römische Stadt Caruntum. Sitzungsber. der Wiener kais. Akad. d. Wissensch. phil.-hist. Cl. IX. Bd. 1852. (Enthält die ältere Literatur.)

Die Kirche und Rundcapelle zu D.-A. in N.-Ö.-terr.; Mittheilungen der k. k. Centralcommission zur Erforschung und Erhaltung der Baudenkmale. I. Jahrg. Wien 1856, p. 251 ff. und Taf. XIII.

Much, Dr. M., Germanische Wohnsitze und Baudenkmäler in Niederösterreich. Mittheilungen der anthropolog. Gesellsch. in Wien, V. Bd. 1875. (Altenburg, p. 100.)

Brandorf und Hirschfeld, in: Archäol.-epigraph. Mittheilungen aus Österreich. Herausg. von Conze und Hirschfeld. Wien I. 1877, p. 150; II. 1878, p. 1; IV. 1880 p. 128.

³ Die Karte (1:125,000) ist Manuscript und Eigentum der k. k. geol. Reichsanstalt in Wien. Ich verdanke die Erlaubnis zur Benützung Herrn Hofrath v. Hauser.

Der graue Kalk des Kirchenhügels, Pfaffenherges und des Hundsheimerberges ist ein schönes, hartes, dunkelgraues Gestein, welches in Folge seiner starken Zerklüftung nur stellenweise deutliche Schichtung erkennen lässt, zur Herstellung grosser Stücke ganz ungeeignet ist, während es sich zum Strassenschotter wegen seiner harten, compacten, feinkrystallinischen Beschaffenheit sehr gut eignet und benützt wird, ebenso wie auch als Wurfstein bei den Donauregulierungsarbeiten; zu diesem Zwecke wird es auf der Streeke von Orth bis an die ungarische Grenze verwendet.

Die grossen Steinbrüche befinden sich gegenwärtig am Nordende des Ortes, am Fusse des äussersten Ausläufers der Hundsheimerberge (des Kirchenberges) an der Donau. Eine Analyse,¹ welche 1875 im rheinischen Laboratorum der k. k. geol. Reichsanstalt in Wien vorgenommen wurde, bezeichnet ihn als fast einen kohlensauren Kalk, bei dessen Lösung in Säuren ein Rückstand von 1·2 Procent (Kieselsäure und ein wenig Kohle) zurückbleibt. Aneli am Pfaffenberg kommen übrigens Kalkschichten vor, deren Material mit Säuren ebenso lebhaft bräunt wie das der Steinbrüche. Čížek (l. c. p. 38) bezeichnet den ganzen Ausläufer des Hundsheimerberges östlich von Altenburg als stark dolomitisch.

Das Streichen dieser Kalke ist in dem von mir begangenen Gebiete durchschnittlich, mit geringen Abweichungen WXW — OSO mit wechselndem Fallen. Čížek gibt N — S Streichen an (l. c. p. 38). Ich nahm diese Richtung nur an abgestürzten Brocken, z. B. an einem Felsen in der Nordhohle zwischen Pfaffenberg und Hundsheimerberg wahr. Zwei steile Falten des Kalkes scheinen das besprochene Gebiet zusammenzusetzen. Deutlich ist die Schichtung überhaupt in den Kalken nur an einigen Stellen wahrnehmbar. Ein Gesetz des Kluftverlaufes wahrzunehmen, war ich nicht im Stande. Der Kalk ist, wie Čížek anführt, petrefactenleer.² Spitzige Einschlüsse deuten auf Crinoidenspuren. Sonst liess auch die Untersuchung von Dünnschliffen der schwarzgefleckten Kalke (Pfaffenberg W) von organischer Structur nichts wahrnehmen.

Die vom grauen Kalk gebildeten Höhen (Hundsheimerberg z. Th., Pfaffenberg, auch Kirchenberg) sind grossentheils nackt, die letzte, der Donau zugewendete (Kirchenberg) ist von einer dünnen Lage Belvedereschotter bedeckt, unter welcher der Kalk an den Rändern und am Westende des Kirchenberges und zwar an der Basis des Ostrand eines kleinen aufgesetzten, noch zu besprechenden Walles in einzelnen Felsstücken heraus tritt. Westlich vom Nordende des Ortes hat die Donau in ihrem Bestreben, sich an das rechte Ufer zu drängen, den niedrigen letzten Ausläufer des grauen Kalkes bedeckt, der nun eine Klippenreihe bildet, welche bei sehr niedrigem Wasserstand auch theilweise aus dem Wasser hervortreten soll, sonst aber durch die sich brechende Strömung der Donau anfüllt.

Da in den Hausnummern 2 und 125 bei einer Brunnentiefe unter 10^m der graue Kalk des Pfaffenberges nach Aussage intelligenter Ortschaftenwohner aufgefunden wurde, würde die nächste (unterirdische) Stufe dieses Gesteines c. 50^m unter dem Plateau des Kirchenberges zu erwarten sein, ein für eine Tiefbohrung sehr wichtiger Umstand.

Der letzte Abfall des Kalkes unmittelbar am dem Orte, entspricht jenem Bruche, der das Empordringen von Thermalwasser und damit auch die Bildung der reichen, später zu besprechenden Absätze desselben in den Klüften zur Folge hatte. Die Bildung des Bruches geschah wahrscheinlich erst nach Consolidirung des Leithakalkes und vor Ablagerung des Belvedereschotters, welcher die Klüfte von oben erfüllte.

Wie lange das Ausströmen des Wassers in jener Höhe andauerte, ist nicht erweislich.

Der Quarzit sah ich ausstehend nur auf der in der Karte bezeichneten Stelle.

An die grauen Kalke lagern sich die tertiären und jüngeren Bildungen an. Sicher sind von tertiären Ablagerungen Belvedereschotter, welcher grossentheils die oberflächliche Bedeckung bildet, Leithaconglomerat und die zugehörige Tegelfacies. Ausserdem sind Tegel und rothgelbe Sandsteine vorhanden, deren Alter nicht ganz sichergestellt ist, und die vielleicht der sarmatischen Stufe, vielleicht der Leithakalkstufe angehören; wichtige Aufschlüsse ergeben sich in Folge des Bestrebens der Donau, sich an ihr rechtes Ufer zu

¹ C. Ritter v. Hauer und C. John. Jahrb. d. geol. Reichsanstalt. Wien. XXV. Bd., p. 145.

² Herr L. Ryger in Deutsch-Altenburg hat auf Petrefactenfunde im Steinbruch längst vergesslich einen Preis ausgesetzt.

drängen. Der alte, so entstandene Steilrand zieht sich in jüngeren Bildungen von oberhalb Deutsch-Altenburg durch die neuen Parkanlagen südwestlich vom Orte in den Schlosspark und verschwindet gegen den Ausgang desselben, um hinter dem Felsporne des granen Kalkes in der Richtung gegen Hainburg wieder zu erscheinen.



Typischer Tegel des Leithakalkes scheint sich unter dem südlichen Theile des Ortes als tiefstes Glied hinzuziehen und gegen das Gchänge des Pfaßenberges anzusteigen. Bei Brannengrabungen ist er angefahren worden, die Oberfläche scheint er bei Deutsch-Altenburg nirgends zu erreichen. Eine Probe desselben erhielt ich aus der zur Zeit meiner Anwesenheit im Orte angelegten seichten Eingrube des Hauses Nr. 25, unmittelbar am Westende der römischen? Schutthalden von Nulliporenkalk.

Es ist ein gelblich grauer Mergel mit massenhaften Versteinerungen, welche ihn als entschieden dem Leithakalke (Amphisteginenzone) angehörig charakterisiren.¹ Er enthält in überwiegender Menge Nulliporen, sehr selten Bryozoen, häufig Gidaritenstacheln und sehr viele glatte und verzierte Ostracodeu. Von den zahllosen Foraminiferen sind jene die häufigsten, welche die typische Leithakalkfauna („Grünes Kreuz“ bei Nussdorf) bilden helfen. Es sind:

Plecuanium Mayerianum Orb. sp. hh,²
Biloculina sp. ss.
Spiroloculina cuneata Orb. ss.
Triloculina gibba Orb. ss.
Quinqueloculina Buchana Orb. s.
 Aknerana Orb. ss.
Sphaeroidina austriaca Orb. ss.
Polymorphina problema Orb. sp. ss.
 gibba Orb. sp. ss.
Orbulina universa Orb. h.
Globigerina triloba Rss. s.
 bulloides Orb. ss.

Putranilina Schreiberi Orb. sp. ss.
Tenuatulina Dumetoyi Orb. sp. ss.
 lobatula Orb. ss.
 Aknerana Orb. sp. s.
Discorbina planorbis Orb. sp. hh.
 obtusa Orb. sp. ss.
Nonionina Soldanii Orb. ss.
Polytomella crispata Orb. ss.
 Fichteliana Orb. hh.
 obtusa Orb. ss.
Amphistegina Hauseri Orb. hh.
 u. s. w.

Die kieseligen Formen sind durch *Plecuanium* (*Textularia*) vertreten, wie es scheint nur durch eine Art; die Milioliden sind ganz vereinzelt, die Polymorphiniden sind etwas zahlreicher, dagegen Globigerinideen und Rotaliden geradezu massenhaft vorhanden. Die Polystomellideen und Nannulitideen mit der *Amphistegina Hauseri*, welche dominiert, gehörten gleichfalls zu den häufigsten Geschlechtern, — alles Formen typischerster Art für die höheren Lagen der Leithakalkfacies.

¹ Die nachfolgenden Bestimmungen verdanke ich unserem vortrefflichen Foraminiferenkenner F. Karrer, welcher die Güte hatte, die mitgebrachten Proben zu prüfen.

² hh = sehr häufig, h = häufig, ss = nicht selten, s = selten, ss = sehr selten.

Oberflächlich sichtbar treten Tegel auf an dem Steilrand der Donau und südlich vom Türkenbühl. Der erstere gelbgraue Tegel ist aufgeschlossen etwa 1 Km. südwestlich vom südlichen Ende des Schlossparkes (nicht mehr auf der Karte). Er wird unterlagert von rothgelben Sandsteinen, welche von hier bis zum Dampfer-Landungsplatz häufig, (z. B. im „Mühlbühl“) als tiefstes Glied am Donauefer wahrnehmbar sind und im Orte am Fahrweg zwischen Pfarre und Schlosspark etwa mit W.-Fallen hervorkommen (s. Karte), auch bei Brunnen-grabungen in der entsprechenden Partie des Ortes wiederholt angetroffen. Der ersterwähnte Tegel enthält nicht zahlreiche Foraminiferen, selten Ostracoden und Cidariten-Stacheln. Die Foraminiferen sind alle winzig klein.

Leicht erkennbar sind:

Bolivina dilatata Rss. h.
Uvigerina pygmaea Orb. ss.
Bulimina pyrula Orb. ss.
Polymorphina digitalina Orb. ns.

Truncatulina Dutemplei Orb. sp. s.
 „ *lobatula* Orb. ss.
Discorbina planorbis Orb. sp. ns.

Diese Fauna würde nicht gegen eine Leithakalkfacies sprechen; doch ist die Lagerung über dem rothgelben Sandstein und die Kleinheit der Formen verdächtig; möglich, dass sie schon den Einfluss der sarmatischen Stufe bezeichnet. Leider ist der Sandstein, wo ich ihn gesehen habe, petrefactenlos; ich habe diese Glieder, ohne damit ihr Alter präcisiren zu wollen in der Karte mit der Farbe des Leithakalkes ausgeschieden.

Ähnlich verhält es sich mit dem zweigekammten Tegel; die geprüfte Probe stammt aus der Chausseegabelung südlich vom Türkenbühl und enthält in Masse Foraminiferen, aber nicht viel Arten, es sind:

Discorbina complanata Orb. sp. s.
 „ *planorbis* Orb. sp. h.
Polystomella rugosa Orb. ss.
 „ *Pichteliana* Orb. h.
 „ *aculeata* Orb. ss.

Polytomella subumbilicata Czjz. ss.
Truncatulina lobatula Orb. hh.
 „ *Dutemplei* Orb. sp. ns.
Rotalia Beccari Orb. sp. hh.

Auch diese Fauna würde nicht gegen die Auffassung dieser Tegel als Leithakalkfacies sprechen, obgleich dieselben, wenn bestimmte höhere Thierformen auf eine sarmatische Ablagerung deuten würden, sarmatischem Alter gerade nicht widersprechen würde; dazu kommt die Armuth an Formen und der Reichthum an Individuen.

Als weiteres Glied des Leithakalkniveaus folgt Leithaconglomerat und Nulliporenkalk; ersterer, in mehreren Steinbrüchen aufgeschlossen, liefert vortrefflichen Werkstein in sehr bedeutenden Massen; die erste Stelle bei Deutsch-Altenburg ist eine Tertiärbrucht am Westabhange des Pfaffenberges; in viel grösserer Menge tritt aber Leithaconglomerat in der Einsattelung zwischen Pfaffenberg und Hundseihenbergl auf, welche von ihm überbrückt wird; die Hauptkluftungsrichtungen in diesem massigen Gestein, bei welchem die conglomeratische Beschaffenheit durch das Überwiegen der Leithakalk- und Nulliporenmassen fast ganz verschwindet, scheint N—S zu verlaufen. Die Leithakalkconglomerate und -Kalks setzen sich unter die an der Südseite des Pfaffenberges nur wenig mächtige Lössdecke fort. Die unteren mächtigeren Theile des Leithakalkes sind massig und vertical zerklüftet, die oberste, wenig mächtige Partie geschichtet; sie erneuert durch ihre sandige Beschaffenheit an die rothgelben Sandsteine, deren früher gedacht wurde. Da in den Tertiärbildungen, abgesehen von Leithakalken und Tegeln, keine Versteinerungen wahrzunehmen sind, so ist das Alter zum Theile kaum zu präcisiren, und es ist, wie gesagt, möglich, dass zwei, vielleicht auch drei Tegelniveaux (Congerientegel? in den Klüften des grauen Kalkes) vorhanden sind.

In Summa wäre also zu verzeichnen:

Tegel, Conglomerat und Kalk als Leithakalkfacies, darüber rothgelber Sand, Sandstein und Tegel (sarmatisch?), endlich Schotter und Tegel (?) der Belvedereschichten.

Von der westlichen kleineren Leithaconglomeratmasse am Südwest-Abhange des Pfaffenberges (die östliche, grössere Partie deckt unmittelbar Löss) zieht sich gegen den Ort zu zerlumptes, sandförmiges Terrain, welches aus einer Anhäufung von losen Nulliporenstücken oder aus Schutt von Nulliporenkalk besteht und auf der Karte

für sich ausgeschieden ist; man sieht dieses Material an dem Chausseéeinschnitt, welcher die Hügelreihe durchschneidet, gut aufgeschlossen; auch dem Einblick, den man bei Anlage der Chaussee bekam, sind es möglicherweise die (dann colossalen) Massen von Abramm aus altrimischen Steinbrüchen. Sie reichen bis in den Ort. Am Nordosthang des Kirchenhügels tritt ebenfalls Nalliporenkalk hervor. Sonst liegt zu oberst entweder eine mässige Derke von Belvedereschotter, oder (Huber's römische Ausgrabungen am Südwestende des Gartens der Villa Palffy) typischer Löss unter dem Culturgrund. Der Belvedereschotter greift auch in die Klüfte des Steinbruches, begleitet von Tegel; letzterer erwies sich als potrefactenleer; auch haben seine Schlemmstückstände einen anderen petrographischen Habitus (glänzend weisser Quarz und Glimmer) gegenüber jenen der anderen Tegel (gelber Rillekstand).

Lockere Sandsteine thermalen Ursprungs liegen an der Ostseite des Walles am Kirchenberg.

Auf der Höhe des Pfaffenberges sieht man nur die Reste der Humusdecke und Spuren alter Bauten (behaunener Leithakalk, Ziegelreste etc.). Ausgesprochenen Löss (Čížek's Karte) sah ich auf dem Plateau nicht. An den Ablängen des Pfaffenberges reicht Löss hier und da hoch hinauf, besonders gegen N und O, donauwärts, wahrscheinlich bis zur letzten (woblbewachsenen) Terraintufe nahe dem Strom.

Ein Tunnulus südöstlich von der alten Kirche am Kirchenberg ist in den zwanziger Jahren auf Veranlassung des Professors an der Wiener Universität, Wikosch, ohne Erfolg durchstochen worden;¹ vielleicht wurde er in zu hohem Niveau angegangen; Much schreibt ihn den Germanen zu.²

Die Brunnen.

Das Infiltrationsgebiet der Brunnen von Deutsch-Altenburg ist (abgesehen von Quellen des Kalkgebirges und dem Einflusse der Donau auf den Grundwasserspiegel) einerseits durch das nahe Herantreten des Gebirges im nördlichen Theil, andererseits durch das Anheissen des Tegels im südlichen Theil ziemlich enge begrenzt.

Die Brunnen wurden mit Beobachtung der gebotenen Vorsichten thermometrisch³ untersucht, um auf diese Weise die Ausbreitung des eventuellen thermalen Einflusses festzustellen. Da es meist offene Brunnen von geringer Tiefe sind (etwa ein Viertel der untersuchten ist unter 3", etwa ebenso viel zwischen 3 und 6" tief) so übt ohne Zweifel die Lufttemperatur in dieser Richtung einen bedeutenden Einfluss. Um daraus entspringende Fehler möglichst zu vermeiden, war es nöthig, sowohl in der warmen als in der kalten Jahreszeit zu messen, um auf diese Weise eine Annäherung an die mittlere Temperatur der Brunnen zu erreichen. Von den 92 Brunnen des Marktes (153 Nummern) wurden die meisten (einige wasserleer) thermometrisch geprüft, Tag, Stunde, ob offen oder geschlossen (bei den geschlossenen wurde entsprechend lange gepumpt), Tiefe (etwa auf 1" genau), Wasserstand und Temperatur (Zehntel geschätzt), sowie eventuelle Bemerkungen über Profil, Geschmack etc. notirt. Ich untersuchte die meisten am 10. und 12. September 1881 (die bezüglichen Tagesmittel der Lufttemperatur waren 18° und 14·5°). Ferner habe ich Messungen vom Jänner 1882⁴ und zwar am 21., 22., 23. Jänner (mittlere Lufttemperatur bezüglich 4·1, 2·4, 0·7°). Die Wasserführung war im Jänner eine sehr geringe (meist kaum 30" Wasser; wenig Niederschlag und daher auch Senkung des Grundwasserspiegels bei hener abnorm niedrigem Donauwasserstand.) Ich meinte durch Zusammenhalten der gewonnenen Daten, indem ich die Mittel aus den beiden Temperaturmessungen der Brunnenwässer in Betracht zog, ein einigermaßen verlässliches Resultat für die Beurtheilung thermaler Einflüsse gewonnen zu haben, wobei ich mir nicht verhehle, dass es unmöglich ist, alle jene Momente, welche die Temperatur influenziren (Schachtiefe, geologischer Untergrund etc.) in Rechnung zu ziehen, daher auch selbstverständlich die kartennässige Darstellung nicht

¹ Sacken, l. c. p. 97; derselbe, in: Mith. d. anthrop. Gesellsch. in Wien I. Bd. 1871, p. 38.

² L. c. p. 108, 115.

³ Finselt thermometer von Bandlin; wo nicht anders angegeben, sind Grade Celsius zu verstehen.

⁴ Die im Folgenden verwortheiten Daten vom Jänner verdanke ich der gütigen Bemühung des Herrn Moriz König in Deutsch-Altenburg.

Anspruch auf volle Correctheit im Detail machen kann. Die Tagesschwankungen der Lufttemperatur scheinen keinen nennenswerthen Einfluss auf die Temperatur des Brunnenwassers zu üben, wohl aber sieht man eine bedeutende Influenzierung durch die Temperaturen der Jahreszeiten; dass sich unter solchen Umständen die Grenze des thermalen Einflusses schwer ziehen lässt, ist klar, trotzdem er in nicht unbedeutendem Masse vorhanden ist, wie schon die Thatsache zeigt, dass im nördlichen Theile des Ortes, wo er am meisten zu ver-
 „Badwasser“ stark verunreinigte Brunnen bekümmen.

Die Differenzen zwischen der Sommer- und Wintertemperatur eines und desselben Brunnens sind oft bedeutend und im Allgemeinen sehr verschieden; auffallend hohe Wintertemperaturen zeigen wohl am deutlichsten den Thermalcinfluss an. Je verschiedener nun derselbe ist, desto geringer wird die Differenz der Sommer- und Wintertemperatur sein. Auch die Bedeutung dieses Merkmales wird aber wieder beeinträchtigt dadurch, dass tiefe Brunnen sich natürlich der mittleren Bodenwärme mehr nähern, als seichte, allein sie werden auch mit zunehmender Tiefe dem thermalen Einflusse mehr genähert. In der That zeigen die Brunnen mit den geringsten Differenzen der Sommer- und Wintertemperatur alle grössere Tiefe, während die grössten Differenzen (bis über 10°) an seichte Brunnen (2–3m) gebunden sind. Es scheint für die Beurtheilung des thermalen Einflusses sonach das Mittel jedenfalls günstiger zu sein als eine Temperaturmessung.

Mitteltemperaturen konnten für 74 Brunnen bestimmt werden; davon weisen die folgenden 22 Brunnen 11° und mehr an.

Haus-Nr.	Tiefe m	Offen, geschl., geschl.-geöffnet	Temp. Sept. 1881	Temp. Jän. 1882	Temp. Mittel.
28	5	gk	15.2	11.3	13.25
125	7	gk	14.5	11.5	13
114	11	o	12.9	11.5	12.2
2	9	o	13.2	10.7	11.95
16	11	o	13.4	10.4	11.9
46	9	gk	12.5	11.3	11.9
18	11	o	13	10.7	11.85
88	2	o	15.7	8.0	11.85
87	8	o	14.6	8.8	11.7
26	6	gk	14	9.4	11.7
7	8	o	13.3	10	11.65
44	circa 6	g	12.2	11	11.6
1 (Hof)	9	gk	12.1	10	11.5
8	14	o	12.5	10.5	11.5
91 (Vord. Hof)	9?	g	12.9	10.1	11.5
68	7	gk	14.8	8	11.4
116	circa 9	g	13.2	9.6	11.4
41 (Hof)	6	gk	13.2	9.4	11.3
37	7	gk	12.8	9.8	11.3
75	6	o	13.8	8.7	11.25
1 (Garten)	12	gk	11.9	10.2	11.1
5	circa 6	g	12.5	9.5	11

Für die Therme ergäbe sich als Mittel aus den Extremen (8° R. und 21° R.), die Krenziger (l. c. p. 31–32) anführt das Mittel 18–12° C. Taf. II enthält die vereinfachte und verkleinerte Copie des Katasterplanes (1:2880)¹ von Deutsch-Altenburg, mit Einzeichnung von Temperaturcurven, wie sie sich aus der Eintragung sämtlicher gewonnenen Temperaturen der Brunnenwässer ergeben. Es zeigt sich zunächst, dass die ersten drei oben angeführten höchstemperirten Brunnen in einer Linie liegen, welche dem Gebirgsrand parallel läuft; dieselben dürften den Verlauf der Hauptspalte markiren. Besonders die ersten beiden sind sehr charakteristisch; der dritte ist sehr tief und wasserarm. Aus mehrfachen Gründen (variable Tiefe, verschieden

¹ Ich bin für dieselbe Herrn Bürgermeister Carl Hoffitzer in Deutsch-Altenburg, welcher auch sonst meine Bestrebungen in der liebenswürdigsten Weise unterstützte, zu Dank verpflichtet.

starker, kalter Zufluss, Nähe des Baches für Manche etc.) ist die Vertheilung der höheren Temperaturen weniger regelmässig, doch treten, und dies ist bezeichnend, die kältesten Brunnen (10° — 8° im Mittel) im südlichen Theile des Ortes auf; dort, mit zunehmender Entfernung von der Thermallinie bilden auch die tiefgehenden Tegelmassen eine meist sehr wirksame Absperrung des Thermalwasser-Einflusses; in Nr. 114 wurde von der Sohle des Brunnens noch 11° im Tegel vergeblich nach reineren Wassern gebohrt.

Im Jänner 1882 wurden 88, im September 1881 77 Brunnen gemessen; davon deckten sich wie gesagt 74 Messungen. Die Resultate geben summarisch zusammengestellt folgendes Bild:

Jänner 1882.				
4 $^{\circ}$ 2' bis	5 $^{\circ}$. . .	7 Brunnen	
über 5 $^{\circ}$	6 $^{\circ}$. . .	15 "	
" 6 $^{\circ}$	7 $^{\circ}$. . .	16 "	
" 7 $^{\circ}$	8 $^{\circ}$. . .	15 "	
" 8 $^{\circ}$	9 $^{\circ}$. . .	11 "	
" 9 $^{\circ}$	10 $^{\circ}$. . .	11 "	
" 10 $^{\circ}$	11 $^{\circ}$. . .	9 "	
" 11 $^{\circ}$	11 $^{\circ}$ 5'	. . .	4 "	

Summe 88 Brunnen.

Differenz zwischen dem höchst- und tiefsttemperirten:
= 7° 3'

September 1881.				
11 $^{\circ}$ 6' bis	12 $^{\circ}$. . .	9 Brunnen	
über 12 $^{\circ}$	13 $^{\circ}$. . .	24 "	
" 13 $^{\circ}$	14 $^{\circ}$. . .	20 "	
" 14 $^{\circ}$	15 $^{\circ}$. . .	18 "	
" 15 $^{\circ}$	15 $^{\circ}$ 8'	. . .	6 "	

Summe 77 Brunnen.

Differenz zwischen dem höchst- und tiefsttemperirten:
= 4° 2'

Man sieht aus dieser Zusammenstellung in beiden Fällen ein Ansteigen der Temperatur zuerst numerisch sehr rasch; man kommt so zunächst auf jene Temperaturen, welche den normalen Brunnentemperaturen jener Gegend in der betreffenden Jahreszeit nahekommen, oder wohl richtiger etwas höher stehen in Folge thermaler Einflüsse; dann folgen numerisch immer ärmer jene Brunnen, welche den entsprechend steigenden thermalen Einfluss zeigen; nimmt man die Mittel aus den grössten Zahlen beider Messungen (über 5° bis 8° und über 12° bis 13°), 6° 5' und 12° 5', so ist deren Mittel 9° 5', also schon höher als die mittlere Grundwassertemperatur von Wien (8° 9'C.). Die Differenz zwischen höchst- und niedrigsttemperirten ist, wie vorauszusehen, im Winter viel grösser als im Sommer. Die Berechnung der Mittel ergab:

8 $^{\circ}$ 2' bis	9 $^{\circ}$. . .	3 Brunnen	
über 9 $^{\circ}$	10 $^{\circ}$. . .	16 "	
" 10 $^{\circ}$	11 $^{\circ}$. . .	34 "	
" 11 $^{\circ}$	12 $^{\circ}$. . .	18 "	
" 12 $^{\circ}$	13 $^{\circ}$. . .	2 "	
" 13 $^{\circ}$	13 $^{\circ}$ 25'	. . .	1 "	

Summe 74 Brunnen.

Differenz zwischen der höchsten und niedrigsten Mitteltemperatur 5° 05'.

Die numerisch zahlreichsten sind die zwischen 10° bis 11° ; das Mittel 10° 5' dieser beiden Zahlen geht schon so hoch über die mittlere Grundwassertemperatur von Wien hinaus, dass ich nicht zu tief gegangen zu sein meine, wenn ich die untersten Grenzen thermalen Einflusses bei über 10° bis 11° auf Tafel II ansetzte. Suess nimmt 8° — 9° R. (im Juli) als untere Grenze des thermalen Einflusses bei Anlage der Badener Thermal-karte¹ an.

Thermisch influenzirt ist zunächst die Nordpartie des Ortes, welche unmittelbar am Gebirgsrande liegt, wo die alten Quellbildungen im Steinbruch, die heutige Badquelle und die „Badschwebe“ (s. später) namentlich hervorzuhelen sind; aus den hier mündenden Spalten vertheilt sich das Wasser derart, dass es gegen Südwest

¹ In: Karner Geologie d. Kaiser Franz Josephs Hochquellenleitung. Abhandl. der k. k. geol. Reichsanst. IX. Bd., p. 215 und Taf. XIII; die Badner Brunnen sind zwischen 2° und 7° Ref. (Jellinek, ibid. p. 209.)

die Brunnentemperaturen steigert. Ferner liegt der in der Tabelle (p. 113) angeführte höchstemperirte Brunnen (Mittel 13° 25') mit dem nächst höchsten (13°) in der Richtung des Bruchrandes (am Kirchenberg) oder an der Hauptspalte und in ihrer Verbindungslinie der brunnentruste Theil des Ortes; wären die Brunnen hier in grösserer Anzahl vorhanden, so wäre das Bild gewiss ein weit drastischeres.

Die höchsten Temperaturen treten nie isolirt, sondern immer in Verbindung mit nächst niedrigeren in der Nähe auf.

Nicht zu übersehen ist, dass die Tafel bloss den Einfluss auf die der Thermalwirkung gegenüber a priori so ausserordentlich verschieden situirten Brunnen und nicht die eigentliche unterirdische Vertheilung des Thermalwassers selbst genauer zum Ausdruck bringen kann. Nur im nördlichen Theile des Ortes (Badschwebe—Therme—Steinbruch) wurde die Curve höherer Temperatur (nach dem oben Gesagten wohl mit Recht) weiter gezogen als nach den unmittelbaren Anzeigen aus den Brunnen.

Einen weiteren Anhaltspunkt zur Beurtheilung der Verbreitung der Thermalinflüsse in die Brunnen böte die chemische Constitution; doch wäre der Nachweis z. B. auch von Schwefelverbindungen nicht ganz überzeugend, da das auf den Tegel und im Sandstein abfliessende Wasser die in diesen Gebilden so oft vorhandenen Schwefelverbindungen angreifen, und so zu einem Mineralstoffgehalt kommen könnte, der mit der Therme ansetz jedem Zusammenhang steht. Unsooner sind also die Angaben der Bewohner über Geschmack und Geruch des Wassers, celatante Fälle ausgenommen, mit Vorsicht anzunehmen.

Die wichtigen wasserführenden Niveaux sind Belvedereeschotter, der rothgelbe stark zerklüftete Sandstein und Sand, und das Nulliporenkalkzerzeisel; unter dem oheren (sarmatischen?) Tegel beziehen die Brunnen stellenweise artesisches Wasser aus den Sanden; aus dem Bache wird eine Anzahl von Brunnen versorgt, endlich betheiligen sich Quellen des Kalkgebirges und thermale Wässer an der Lieferung.

Ein grosser Theil der Brunnen ist normal in seiner Wasserführung von der Donau direct unabhängig; da der Donauwasserstand sich fortsetzt in den Grundwasserspiegel in dem zerklüfteten und stellenweise sehr lockeren und durchlässigen Sandstein, so werden jene Brunnen, welche diese Schichte erreichen, die Donauschwankungen aufweisen.

Man könnte, wenn die in den horizontalen und verticalen Ansmassen genauen und richtigen Profilinien des Ortes vorlägen nach den Tiefen und Wasserständen der Brunnen in den an solchen reicheren Linien mit einer Genauigkeit auf mindestens $\frac{1}{8}$ den Verlauf der geologischen Schichtserie eintragen und die unterirdischen Profile mit ziemlicher Genauigkeit constituiren. Die Details, welche ich bei Gelegenheit der Brunnenerforschung von den Einwohnern erfuhr übergehe ich jedoch, als zu untergeordnet, an dieser Stelle.

Die Therme und die Thermalabsätze.

Die heute benutzte Therme ist ein spärlicher Rest des einstigen bedeutenden Auftretens von Thermalwässern in unserer Gegend. Es empfiehlt sich daher, den Gegenstand zunächst in seiner Gänze zu betrachten; der Brauen wurde in dieser Hinsicht schon gedacht.

Interessant sind diesbezüglich die donauwärts gerichteten Abhänge des Kirchenhügels, dessen westlicher Abfall besonders im Norden die Reste bedeutender thermaler Thätigkeit anweist. Diesem, dem eine unterirdische Terrainestufe des grauen Kalkes in geringer Tiefe zu folgen scheint, entsprängen einst Thermalwässer in grosser Menge und mit grosser Steigkraft. Nirgends ist der graue Kalk so reichlich und so weitklaffend zerklüftet, wie an dieser Stelle und wiederholt sieht man, besonders in dem grössten nördlichen Steinbruch, die Klüfte reichlich mit Thermalabsätzen angefüllt; diese letzteren sind dort, wo die Klüfte gegen Tag geschlossen wurden, unversehrt, beziehungsweise nur so weit verändert, als thermale Umbildungen eintreten, während die Angesehenden der Klüfte noch von Tegel, Belvedereeschotter und den Zersetzungsproducten der Mineralbildungen sich erfüllt zeigen.

Hie und da nimmt man die Spuren ähnlicher Bildungen auch an den schroffen Abhängen des Pfaffenberges wahr; in dem ersten Steinbruche im Leithaeonglomerat am Südwestabhange des Pfaffenberges findet man in den Klüften ockerige krümelige Massen als zersetzte Reste der Thermalabfälle. Die Mineralbildungen selbst bieten gewiss für mineralgenetische Studien manches Interessante.¹ In grossen Mengen tritt in den Klüften Schwefelkies, Gyps und Calcit und zwar mit sehr verschiedenem Habitus, so Gyps in Stengeln und linsenförmigen Krystallen, sowie in unvollkommen ausgebildeten Patzen, Calcit in verschiedenen Combinationen etc. auf, ferner rundliche strahlige Drüsen von nadelförmigen mehrere Millimeter langen Krystallen von Aragonit (nach Becke's Bestimmung), sowie gediegen Schwefel in kaum steknadelkopfgrossen Krystallen. Wo Tagewässer eintreten erscheinen verschiedene Zersetzungsproducte und Pseudomorphosen und prävaliren grosse Massen von Eisenocker.

Die Analysen der Quelle finden sich bei Krenzinger² zusammengestellt; ich will hier nur die von weil. Prof. Schrötter in Wien (1846) gegebene anführen:

„In einem österr. Medicinalpfunde oder 24 Loth = 5760 Gran sind enthalten:

Chlornatrium	9·70560 Gran
Chlormagnesium	0·47808 „
Jodkalium	0·06336 „
Schwefelnatrium	1·61280 „
Schwefelwasserstoff	0·30528 „
Schwefelsaure Bittererde	2·26736 „
„ Kalkerde	3·20832 „
Kieselerde	0·23040 „
Kohlensäure	0·01152 „
Verlust	0·39744 „
Wasser	5741·61984 „
Zusammen	5760 Gran,

mithin 0·31680 Gran gasförmige und 18·06336 Gran feste Bestandtheile“.

Die wahre Summe der flüchtigen Bestandtheile ist wohl höher, da die Bestimmung nach eingesendetem Materiale erfolgte.

Es zeigt diese Analyse die allgemeinen Charactere der Mineralquellen und die der Schwefelquellen im Besonderen und bietet im Grossen und Ganzen in geologischer Hinsicht weder qualitativ noch quantitativ Auffallendes, womit übrigens ihre aus der Zusammensetzung im Besonderen hervorgehenden medicinischen³ Vorzüge gegenüber anderen Quellen dreihans nicht tangirt sein sollen.

Lehr⁴ sagt: „Dass die warme Ader ihren Ursprung aus dem nächsten Berg Unserer lieben Frau nehme, bekräftiget nicht allein die Natur des Orts in der Vorrede, sondern auch das einhellige Urtheil des Volkes; allein was für Theile sie meistens durchgeht ist hart zu errathen“; viel mehr kann man auch heute nicht sagen, und ist die Frage nach dem Woher? der chemischen Bestandtheile schwer zu beantworten. Allerdings ist z. B. reicher Gehalt an Chlornatrium auch in manchen Quellen vorhanden, welche ihr Salz nicht aus Salzlagern, sondern aus Schichten mit sehr vertheiltem Steinsalz entnehmen.⁵ Um so weniger wird daher das Auftreten der in geringeren Mengen vorkommenden Jodverbindungen auffallend sein. In fast allen Flüssen kommen — ausser Kalkcarbonat — Kalksulfat, Chlornatrium, Carbonat und Sulfat von Magnesia, sowie Kieselsäure als verbreitetste und löslichste Bestandtheile der Gebirgsarten und häufigste Verwitterungsproducte vor und nur selten fehlt einer dieser Bestandtheile ganz.⁶ Auch ist es sehr wahrscheinlich, dass Wasser unter

¹ Herr Prof. Dr. F. Becke hat die nähere Untersuchung einiger der mitgebrachten Stübe unternommen.

² L. c. p. 39—41.

³ Krenzinger, L. c. p. 47.

⁴ L. c. p. 93.

⁵ Justus Roth, Allgem. u. chem. Geologie. Berlin 1879. I. p. 443.

⁶ Ibid. p. 460.

entsprechenden, local so ausserordentlich verschiedenen Verhältnissen von Druck, Temperatur, Zeit der Einwirkung etc. in Berührung mit Gesteinen eine grössere Menge solcher Mineralbestandtheile aufzunehmen vermag, welche vielleicht bei der Analyse eines Fragmentes eines Gesteines oft gar nicht nachweisbar sind. Die weitere Concentrirung erfahren diese Bestandtheile beim Absatz aus dem Wasser. Etwas überraschend in dieser Hinsicht verhalten sich allerdings die grossen Massen von Schwefelkies, wenn auch zuzugeben ist, dass sich in den Absätzen Stoffe finden können, „deren geringe Menge den Nachweis in der Lösung kaum gestattet“. ¹ Immerhin bleibt es überraschend, dass die beiden neueren Analysen, welche Krenziger anführt, gar nichts von Eisenverbindungen angeben. Sollte heute sämmtliches Eisen schon im Quellschacht ausfallen? Möglicb auch, dass sich die Zusammensetzung der Quelle seit der Bildung jener Absätze verändert hat. Es ist z. B. gewiss merkwürdig, dass Belvedereeschotter und Sand immer so stark eisenschlässig sind, während dies bei anderen Geschieben und Sanden nicht wahrgenommen wird.

Das Auftreten der Verbindungen von C, Si, H, Ca, Fe, Ka, Mg, Na liesse sich wohl aus dem Vorhandensein der krystallinischen Basis und des stellenweise dolomitischen Kalkes erklären; Cl, J, S oder deren Verbindungen können in dem sedimentären Kalk möglicherweise sehr fein vertheilt vorhanden sein.

Der Absatz, den man als Erstes auf den Kluftflächen des Kalkes wahrnimmt, ist regelmässig eine dünne Kruste von kohlensaurem Kalk.

Die nächstfolgende Bildung ist gewöhnlich Schwefelkies, wenn nicht direct auf dem Kalkstein, oder richtiger dem obgenannten ersten Überzug, der nur eine pulverige Kruste bildet, Gyps sitzt. Der Schwefelkies mag durch Einwirkung von Schwefelwasserstoff auf Eisenoxyd entstanden sein. ² Der verschiedene Habitus des Gypses an verschiedenen Stellen erklärt sich offenbar aus den verschiedenen Entstehungsmöglichkeiten: Der Gyps kann als fertige Verbindung im Wasser gelöst sein, sich durch Oxydation des reichlich vorhandenen Schwefelwasserstoffes und die Einwirkung der so entstandenen Oxyde des Schwefels, sowie der leicht denkbaren Sulfatlösungen auf Kalkstein oder auch aus Eisenkies und Kalkcarbonat gebildet haben. Auch eine Lösung in welcher sich Magnesiumsulfat und Kalkbicarbonat befindet, scheidet Gyps leicht ab. ³ Der Calcit findet sich in verschiedenen Combinationen und in verschiedener Reinheit in grösserer Menge; zum Theil dürfte er eindringenden Tagwässern seine Entstehung verdanken; der Aragonit hingegen wurde, weit spärlicher, nur an einigen wenigen Stellen gesehen, eine gleichfalls in dieser Weise schon beobachtete Erscheinung. ⁴ Die Krystalle des Schwefels sind nur an Stellen wahrnehmbar, an welchen der Kalk schon von der Schwefelkieskruste bedeckt ist, und zwar ist dieser Schwefelkies regelmässig an der Oberfläche schon gebräunt. Dies deutet auf Entstehung des Schwefels aus Schwefelwasserstoff bei Bildung von Wasser. Auch corrodirte Gypse und Brauneisen nach Calcit finden sich vor. Kieselsäure wurde in den Absätzen der kalkreichen Quelle nirgends beobachtet mit Ausnahme von (wohl ursprünglich schon dem Kalk eigenen) Spuren an den höchsten Stellen.

Eine genaue und verlässliche Bestimmung des geologischen Alters der Thermalerscheinungen ist durch die Lücken in den sedimentären Bildungen sehr erschwert; von vornherein klingt es am wahrscheinlichsten, wenn man die Bildung, der das Anströmen von Thermalwässern bedingenden Brüche mit der Entstehung der inneralpinen Niederung von Wien in Zusammenhang bringt; Suesz ⁵ gibt an, dass von der Ostseite des Einsturzgebietes der Alpen weit weniger Thermal- und analoge Erscheinungen bekannt sind (gediegen Schwefel im Leithakalk von Summerein und dem Kaisersteinbruch, Therme von Mannersdorf) als von der an solchen Gegenständen verhältnissmässig reicheren Westentour des Beckens; die Thermalerscheinungen von Deutsch-Altenburg wären hier als weiterer Punkt anzuführen und würden einem Bruche auf der Ostseite entsprechen. Es

¹ Ibid. p. 564

² Ibid. p. 412.

³ Ibid. p. 49.

⁴ Ibid. p. 534.

⁵ In: *Karrer Geologie der Kaiser Franz Josephs-Hochquellenleitung* p. 208; nach einem neuesten Berichte von L. v. Roth findet sich ged. Schwefel auch im sarmatischen Kalk vom Kaisersteinbruche und von Hornstein.

scheint dass die bezüglichen Störungen noch nach der Bildung der grossen Brüche, also der Entstehung des Beckens, fortduerten.

Die Höhendifferenz zwischen dem Gipfel des Hundsheimerberges (476^m) und Pfaffenberges (327^m) beträgt rund 150^m, ebensoviel die zwischen dem Pfaffenberg und Kirchenberg (178^m), die zwischen dem Kirchenberg und der nächsten (vermuthlichen) unterirdischen Terrainstufe des grauen Kalkes (unter dem Orte) e. 50^m; da der Leithakalk auf dem Sattel zwischen Hundsheimerberg und Pfaffenberg bis zur Höhe von 311^m, auf dem Pfaffenberg (SW) bis e. 270^m auf dem Kirchenberg (NO) endlich nur e. 170^m hoch reicht, scheinen diese Niveauendifferenzen zum grossen Theil auf Verwerfungen zurückzuführen zu sein, welche nach der Bildung des gewulgt zerklüfteten Leithakalkes eintreten; demnach würde auch die Zeit der Bildung der Thermalauflüsse noch nach Consolidirung des Leithakalkes nicht unmöglich sein; äusserlich sind weitere Anhaltspunkte zu dieser Annahme nicht sichtbar, allein im Zusammenhang mit der Thatsache, dass sich in den Spalten des Steinbruches im grauen Kalk massenhaft Belvedereschotter eingeschwemmt findet, dagegen keine Spur von anstehendem Leithakalk oder — Conglomerat, scheint mir die Annahme einer postmioecänen Entstehung der Thermalspalte an dieser Stelle manches für sich zu haben.

Die Thermalwässer stiegen einst hier bis über die Plateauhöhe des Kirchenbühlgels; e. 50^m über dem heutigen Donanspiegel findet man sandsteinartige Gebilde, welche angeschlagen intensiv nach Schwefelwasserstoff riechen und den Eindruck von Absätzen machen, deren sandiges Material, vielleicht zum Theil aus der Zersetzung der Kalke durch die Thierne gewonnen, hinaufgespült und oben abgesetzt wurde; diese Absätze überlagern Klüfte im grauen Kalk an der Ostseite des Walles am NW-Ende des Kirchenberges; auch der graue Kalk ist daseibst sehr verändert. Die Absätze bestehen¹ wesentlich aus kohlen-saurem Kalk kohlen-saurer Magnesia mit Thonerde, Eisen, zum Theil freien Schwefel und Spuren von Kieselsäure. Der frischere Kalkstein des Steinbruches hat, wo ihn die Thermalabsätze erfüllen, eine ganz analoge Zusammensetzung (Kieselsäure fehlte in der Probe). Die Ausgehenden der erwähnten Spalten im Steinbruche sind theilweise vom Tage aus mit Belvedereschotter eine tiefliegende am nordwestlichen Ortsansgange mit durch die Mitwirkung von Thermalwässern veränderten Granitbrocken etc. erfüllt; vielleicht besteht der vorerwähnte begraste Wall am Kirchenberg grossentheils aus alten Absätzen von Thermalwasser. Im „Kessel“ (s. Holzschnitt) sah ich ausser Belvedereschotter grauen Sand, dessen Aussehen auf eine Einwirkung der Thermalwässer schliessen lässt.

Die Klüfte, welche ehemals das Thermalwasser so hoch ansteigen liessen, sind heute grösstentheils verlegt und wenn man bei einer Bohrung innerhalb des später zu bezeichnenden Gebietes auf Steigwässer trafe, würde dies durchaus nicht überraschen; die Klüfte, welche im Infiltrationsgebiet das Druck- und Speisewasser aufnahmen, können allerdings durch chemische, sphaerische und sedimentäre Bildungen zum Theile geschlossen worden sein, allein der sehr zerklüftete Kalk wird noch immer viel Tagwasser durchlassen; die Denudation scheint nach dem über die Absätze am Kirchenberg Gesagten nicht nennenswerth die mögliche Druckhöhe des Wasserzuflusses vermindert zu haben. Der Druck und die füllende Wirkung etwa eindringender kalter Tagwässer bei nur wenig unter die Oberfläche gelegter Steighöhe kann leicht die Verlegung von Klüften in ihrem oberen Theil zur Folge haben. Eine Tiefbohrung würde diese ungünstigen Verhältnisse zum grossen Theile aufheben und hat entschieden grosse Aussicht auf Erfolg; bei der ausserordentlichen Zerklüftung des Kalkes und dem vermuthlichen Auskeilen des Tegels nach Nord ist das baldige Aufahren von Klüften mit Thermalwasser, freilich zunächst mit starken Tagwasserzusatz mehr als wahrscheinlich.

Bezüglich der heutigen Auflüsse des Thermalwassers ist ausser den erwähnten Brunnen noch eines merkwürdigen Punktes zu gedenken, der sogenannten „Badschwebe“, d. h. einer Donanstelle beim Ufer nahe dem Nord-Ende des Parkes, wo nach übereinstimmender Aussage der Ortsbewohner die Donau nie zufriert und bei niedriger Lufttemperatur dampft. Die thermometrische Untersuchung dieser Stelle war leider trotz des niedrigen Wasserstandes im Jänner 1882 unmöglich, da der betreffende Punkt neuentens durch Anschnitten verdeckt wurde. Schwefelwasserstoffgeruch ist jedoch hier noch dentlich wahrnehmbar.

¹ Herr Dr. C. Natterer hatte die Güte sie zu untersuchen.

Diesen Punkt führt auch Crantz¹ an: „Die... Mineralquelle ist nicht einfach, denn man kann gleich nächst an dem Donauufer bey dem Badhause an verschiedenen Orten hier ein blasenwerfendes phlogistisches Wasser aufquellen sehen...“ u. s. w.; auch Lehr² gedenkt derselben; auf dem Kärthen ist dieser Punkt, wo das Wasser eine rückläufige Bewegung macht, durch den gekrümmten Pfeil gekennzeichnet.

Über die Therme selbst findet man in dem Pollheimerischen Badbuch folgende merkwürdige Notiz: „vnd ob zwar jetziger zeit vmb so vil besser versichert, weil der Badtbrunnen vnd die wohnungen nit in der höhe auff dem freyen Bühl, sondern vnden in einem kleinen Thall liegen...“, als ob die Quelle früher in der Höhe gefasst gewesen wäre und der Bequemlichkeit wegen unten gesucht und gefunden worden sei. Die Bemerkung ist so positiv, dass man nach der Ursache fragt; sollte etwa die Kuppe auf dem Kirchhügel geneigt sein? Warum hat aber dann das Wasser im Quellschacht heute so geringe Steigkraft? Übrigens hat sich seit jener Zeit die Physiognomie des Reliefs nahe dem Orte sehr geändert, und die Steingewinnung schiebt jetzt rasch die Grenze des Kirchhügels zurück, dessen ursprünglicher Abfall gegen den Ort durch die Cultur längst zum Theil verwischt ist. Leider ist Genaneres über diese angebliche frühere Lage der Quelle nichts gesagt. An Ort und Stelle ist auch nichts zu erfahren.³ Das vorne citirte Universitätsprotokoll sagt über diese Dinge gar nichts.

Der heutige Quellschacht liegt nahe dem Donauufer; er ist circa 6^m (nuehener Grund) tief; dass man auf diese Weise nur durch beständiges Pumpen mit einer Dampfmaschine die Temperatur auf der überhaupt erreichbaren Höhe zu halten, die Abkühlung zu verhindern und dem Zufluss von Grundwasser etwas entgegen zu arbeiten vermag, ist natürlich; die Fassung ist ganz primitiv die eines Brunnenschachtes; sie soll nitrömisch sein (?). Gegenwärtig wird an einer Tiefbohrung gearbeitet.

Das Pollheimerische Badbuch sagte: „vnd seindt wir der meinung, wann man den rechten Schwelchenen Quel wurde nachgraben, man müchte vielleicht ein Brunn-Adern finden, welche vill wärmer wär, müsste man die kalten Wasser Adern davon abschneiden und allein die warmen einfassen, auf welchem Fahl dann dieser Badbrunnen viel stärker und kräftiger sich erzaigen würde“. Nicht begründet scheint mir die Angabe des sonst vortrefflichen Crantz'schen Buches⁴: „In diesem Brunnen läuft eine doppelte, aus zweien zusammengefloßene Ader hinein, eine ist klt und grö ser, die andere kleiner und so warm, dass man bei ihrer Mündung (wo?) keinen Theil des menschlichen Leibes vor Hitze darunthalten kann“. Lehr⁵ erzählt, man habe angeblich den kalten Zufluss einmal bei einem (misslungenen) Ausschöpfungsversuch gesehen. Diese kalte Quelle kehrt natürlich bei Bastler⁶ und Kreuziger⁷ auch wieder. Dass kalte Zuflüsse vorhanden sind, ist außer Frage, da die Temperatur vom Ausschöpfen und von der Regenmenge abhängig ist;⁸ allein eine eigene kalte Quelle, welche in den Schacht einträte, ohne sich schon früher mit dem Thermalwasser zu mischen, konnte ich mit dem Thermometer nicht finden.

Ich untersuchte den Schacht mit einem Maximum-Minimum Thermometer⁹ und zwar in der Mitte des Grandes, ferner am Ende des N-, S-, O- und W-Radius je am Grunde, in 1^{er} Höhe und 2^{er} Höhe über dem Grunde;

¹ L. c. p. 22—23.

² L. c. p. 92.

³ Chroniken scheinen in der dortigen Gegend in Folge der Kriegswirren, unter welchen Alles wiederholt gelitten, leider ganz zu fehlen; die mehrfachen feindlichen Invasionen haben auch das wiederholte Aufblühen der Ansiedelung ertötet. Vielleicht ist der sog. „Türkenhügel“ (s. Karte) prähistorisch; Topfscherben, die ich darauf fand, sind durch Glimmer-reichthum ausgezeichnet; einer lässt keine Spuren der Töpferscheibe erkennen. Die erste historisch bekannte Blüthezeit war die Carantanum's; ein schönes Denkmal glänzender Tage ist die alte gothische Kirche (13.—15. Jahrh.); später ist die durch ihre natürliche Lage begünstigte merkwürdige Stelle in unverdiente Vergessenheit gerathen.

⁴ L. c. p. 23.

⁵ L. c. p. 91.

⁶ L. c. p. 19.

⁷ L. c. p. 19.

⁸ Details über die Quelle überhaupt, s. b. Kreuziger l. c. p. 30—35.

⁹ System Six, Casella. Die Möglichkeit, dieses vorzügliche Instrument zu benutzen, verdanke ich Herrn Prof. F. Osnaghi.

bei diesen 13 Messungen (Umfang des Schachtes *c.* 5", Wasserstand *c.* 3") zeigte das Instrument (bei Beachtung aller gebotenen Vorsichten) constant 24–4°C (Zehntel geschützt). Es ist undenkbar, dass das directe Einfließen einer kalten Quelle nicht an einer oder der anderen Stelle (wonach dann weiter gesucht worden wäre) das Thermometer merklich beeinflusst hätte. Es scheint daher gemischtes Wasser einzufliessen, dagegen keine stärkeren Zuflüsse verschieden warmer Wasser in den Schacht selbst. Die Absätze am Grunde und der Druck der Wassersäule verlangsamen das Einströmen.

Der Absatz am Grunde, eine schlammige, mit Holzkohlebrocken gemischte Masse, enthält nach Krenziger Schwefeleisen, gebildet durch Einfluss von Schwefelwasserstoff auf die Eisenröhren, welche so rasch zersetzt werden.¹ C. Natterer fand in dem Absatz ansser verkohltem Holz Kohlensäure, Schwefelwasserstoff, Eisen, Thonerde, Kalk, Magnesia, Kali und Natron.

Bezüglich der Wasserverhältnisse in dem Schachte selbst sind Krenziger's² Angaben nicht uninteressant: die Quelle „sammelt sich in einem 2'5" tiefen, 5' im Durchmesser weiten Brunnen, in welchem sie während der reichlichsten Benützung im Sommer in der Regel eine constante Höhe von 9' behält.

Der Brunnen ist 41' von der Donau entfernt. Bei mittlerem Wasserstande derselben ist der Grund des Brunnens 10' unter dem Niveau des Donauspiegels gelegen, daher bei einer Höhe seiner Wassersäule von 9' dessen Spiegel um 8'2" höher als der Spiegel der Donau. Bei tieferen Stände der Donau, während welchem ihr Wasserspiegel unter die Grundfläche des Brunnens herabsinkt, behält dessen Wassersäule bei reichlichem Schöpfen eine Höhe von 7–8'; diese Höhe sinkt dagegen zur Herbst- und Winterzeit, also während der Ruhe der Quelle bis auf 6', ja selbst 5' herab, sie steigt jedoch rasch wieder auf 7–8', wenn das Schöpfwerk durch einige Stunden in Bewegung erhalten worden ist.

Die Mineralquelle hat während ihrer Beultzung eine spezifische Temperatur von 21°R und am frühen Morgen, nach etwa sieben Stunden Ruhe, noch vor Beginn des Schöpfens über 20°R. Wird die Quelle durch einige Zeit unanhaltend geschöpft, so steigt die Wärme nach der Menge und Schnelligkeit des Zulaufes auf 22 und selbst 23°R. Zur Zeit der Frühjahrsmonate, so lange die atmosphärischen Wasser noch vorherrschend sind, hat die Quelle in der Regel eine Eigenwärme von 18°R und behält dieselbe um so länger, je später die Badesaison beginnt. Zur Herbst- und Winterzeit sinkt die Temperatur auf 10° ja selbst auf 8°R herab. Wird aussergewöhnlich zu dieser Zeit geschöpft, so steigt die Wärme nach Verlauf einiger Stunden rasch auf 18 und selbst auf 21°R.³

Wenn man sich nach Vorstehendem das Profil in seinen Verhältnissen construirt, so ergibt sich folgendes: das Grundwasser stellt sich nach den Massen des Profils normal für *c.* 30', bei tiefem Donaustand und reichlichem Schöpfen für je *c.* 25' Entfernung von der Donau *c.* je 1' höher; der Wasserstand im Quellschacht correspondirt mit dem Grundwasserstand.⁴ Wird gar nicht geschöpft, so strömt in Folge der sehr geringen Steigkraft der Quelle und des Umstandes, dass wahrscheinlich die Quelle nicht gerade in den Schacht einströmt, und das stagnirende Thermalwasser sich abkühlt, in grösserer Menge Grundwasser (mit weniger und abgekühltem Thermalwasser) durch, und die Temperatur sinkt auf 10–8°R; die Höhe der Wassersäule sinkt auch, entsprechend dem Sinken des Donauspiegels im Winter und der daraus resultirenden Senkung des Grundwasserspiegels; schöpft man dann rasch ab, d. h. entfernt man das kalte Grundwasser und das abgekühlte Thermalwasser, so wird in Folge der Temperaturerhöhung und des daraus resultirenden geringeren Druckes der Wassersäule ein Steigen eintreten; denn die tiefste beobachtete Temperatur im Winter (wenn nicht geschöpft wird) ist 8°R, die Temperatur steigt aber bei energischem Schöpfen im Maximum bis 21°R, ein Unterschied von 13°R.¹

¹ L. c. p. 35.

² L. c. p. 30–32.

³ Es muss daher das Wasser für den Badegebrauch gehoben und zum Theil auf eine höhere Temperatur gebracht werden.

⁴ Das Grundwasser würde, wenn man sich die Oberfläche derselben als Ebene vorstellt, hier unter Winkeln von *c.* 1°54' bzw. 2°19' von der Donau landwärts ansteigen.

Schwieriger zu erklären ist die bedeutende Zunahme der Steighöhe des Wassers bei raschem Pumpen; nach Krenziger ist im Winter

bei 8° R. die Höhe der Wassersäule 5'—6'
 „ 21° R. „ „ „ „ „ 7'—8'.

An der Richtigkeit der Beobachtungen Krenziger's zu zweifeln habe ich keinen Grund; die hier angeführte Niveaudifferenz von 2' lässt sich vielleicht als Folge des Sängens der thätigen Pumpe auffassen. (?) Der grosse Temperaturunterschied allein würde die Dichte des (reinen) Wassers derart wenig beeinflussen, dass die Volumzunahme erst in den Tausendtheilen des Rammhahnes sich äussern könnte; inwieweit die Mineralhaltigkeit des Wassers, die veränderten Lösungsverhältnisse des kalten und Thermalwassers, die Gasabsorption, hier beim raschen Abpumpen die Steighöhe zu beeinflussen vermögen, wage ich nicht zu beurtheilen.

Wenn Krenziger in der Anmerkung (p. 32) meint, dass nach hydrostatischen Gesetzen die Mineralquelle nicht durch das unmittelbar in den Brunnen eindringende Donauwasser verdünnt werden kann, so hat er wohl Recht, „eine solche Vermischung wäre nur in viel grösserer Tiefe denkbar“, aber es darf nicht vergessen werden, dass es sich hier um Grundwasser handelt, welche mit dem Donauniveau in engster Verbindung stehen, wie schon aus der Aussage der Badebediensteten hervorgeht, dass sich Hochwasser des Stromes entschieden im Quellschacht äussert, d. h. das Grundwasser emporstaut.

Als ich mass (Sept. 1881), war 2-8" Wasserstand, 24-4°C. im Quellschacht.

Ergebnisse im Hinblick auf eine Tiefbohrung.

Die nach allem früher Gesagten sich ergebende Grenze der Thermalwasserverbreitung erscheint in der Taf. I eingetragen; sie umschliesst ungefähr die vermuthete unterirdische Terraineinstufe des grauen Kalkes, eines Stückes der oft genannten Bergreihe bei Deutsch-Altenburg, das sich als zertrümmertes Gebirgsfragment unter einem grossen Theile des Ortes befinden dürfte.

Nach N. zu nimmt unter dem Orte die jüngere Bedeckung an Mächtigkeit ab und die Anzeichen von Thermalwasser nehmen sich; sie erreichen ihren Gipfelpunkt in den oft genannten Mineralbildungen des Steinbruchs, und zwar wie es scheint an enger umschriebenen Stellen: einer neueren Nachricht zufolge, die ich von dort habe, ist die Partie im Steinbruch, wo Thermalabsätze so reichlich auftraten mit dem Fortschreiten gegen das Gebirge schon überschritten; wol dürfte man weiterhin noch auf solche Punkte kommen, aber kann werden sie über die in der Karte bezeichnete Stelle der hochliegenden Deposita hinausreichen.

Es ist also in dem umschriebenen Gebiet, in der Tiefe, Thermalwasser zu erwarten; für eine Bohrung am günstigsten ist die in der Karte besonders signirte Nordpartie; ob man dabei, wie es jetzt geschieht, im Badhause, neben dem jetzigen Schachte bohrt, oder etwa im Steinbruch ist theoretisch gleichgültig; hieher entscheidet nur das praktische Bodtrifuss in Hinsicht der Örtlichkeit, wo man die Fassung wünscht. Ist man einmal tief genug mit der Röhre, um den Tagwasserzufluss und kalte Quellen abzusperrern, so ist der Erfolg mehr als wahrscheinlich; — allerdings ist diese Absperrung bei der ausserordentlichen Zerklüftung des Kalkes und dem Umstände, dass seine Lagerung nicht ein Tiefsinken des Niederschlags an einer Stelle bewirkt, während zugleich wasserdichte jüngere Bedeckungen eine Verhinderung kalter Zuflüsse im weiteren Umkreis des Bohrtrayons herbeiführen würden, nicht leicht. Steigwasser in müssiger Tiefe würde, nach den hochliegenden Thermalbildungen am Kirchenberg zu schliessen, nur etwas Natrliches sein.

Eine auch nur annähernde Schätzung der möglichen Wasserlieferung ist aus den angeführten und anderen naheliegenden Gründen nicht ausführbar, doch sei die Nennung folgender Thatsachen gestattet. Rechnet man als Infiltrationsrayon für die Herstellung von Thermalwasser jenes Gebiet, welches sich von Deutsch-Altenburg etwa 3 Km. nach OSO nämlich bis zur Westgrenze der kristallinen Gesteine erstreckt, und den Kirchenberg, Pfaffenberg und Hundsheimerberg umfassend, etwa 1 Km. Breite hat, also nur 3 □ Km. ausmacht,

und nimmt die Niederschlags-Jahressumme für jene Gegend mit 585^{mm} an (für Wien ist sie 595^{mm}, für Pressburg 575^{mm}),¹ so ergibt sich als jährliche Niederschlagssumme für die obbezeichneten 3 □ Km. 1.755,000 Kbm; davon geht freilich viel durch Abfluss und Verdampfung an der Oberfläche, kalte Quellen und partielle Vegetationsbedeckung verloren.

Dringt Thermalwasser ohne künstliche Fassung hoch empor, so fällt durch Verminderung des Druckes in Folge der grossen Reibung, durch Abkühlung (Dampfbildung und Tagwasserzufluss an vielen Stellen) ein Theil der Mineralführung aus, das Wasser wird ärmer und kühler und die Wassermenge selbst nimmt durch Vertheilung in die vielen Klüfte, sowie durch Verengernng einzelner in Folge von Bildung theilweise auch wasserhaltiger Minerale ab; es liegt also a priori in jeder Tiefbohrung eine ganze Reihe von Vortheilen; für Deutsch-Altenburg sind die natürlichen Verhältnisse entschieden günstig.

Seit September 1881 wird von W. Zsigmondy in unmittelbarer Nähe des Thermalschachtes gebohrt.

¹ Nach einer gütigen Mittheilung des Herrn Dr. Stan. Kostliwy.

ARBEITEN AUS DEM ZOOLOGISCHEN, VERGLEICHEND-ANATOMISCHEN INSTITUTE DER UNIVERSITÄT WIEN.

ZUR

KENNTNISS DER MUNDTHEILE DER DIPTEREN.

VON

EDUARD BECHER.

(Mit 4 Tafeln.)

VORGELEST IN DER SITZUNG DER MATHEMATISCH-NATURWISSENSCHAFTLICHEN CLASSE AM 2. MÄRZ 1887.

Seit der trefflichen Arbeit von Gerstfeld⁽¹⁾ erschien über die Mundtheile der Dipteren bis zum Jahre 1880 keine Abhandlung, die über die Verhältnisse der Mundtheile in den einzelnen Familien Anschluss gab, und ist es nur die Hausfliege (*Musca domestica* L.) und die blaue Schweissfliege (*Calliphora vomitoria* Mg.), über deren Rüssel und Anatomie von einigen Autoren^(2—4), ohne Beziehung und Vergleichung anderer Familien, geschrieben wurde.

Im Jahre 1880 erschien eine Arbeit von Menzbier⁽⁵⁾: „Über das Kopfskelet und die Mundtheile der Zweiflügler“, worin einige Gattungen besprochen sind, und im Laufe des Jahres 1881 zwei weitere Arbeiten über dasselbe Thema, von denen die erste — Meinert: „*Flurves Mundteile*“⁽⁶⁾ — eine grössere Anzahl von Gattungen in Betracht zieht, während die zweite — von Dimmock⁽⁷⁾ — nur vier Gattungen genau untersucht. Da sich diese drei jüngsten Arbeiten über den historischen Theil vorliegenden Thema's — in dieser Hinsicht verdient besonders Menzbier hervorgehoben zu werden — hinlänglich ausbreiten und ich ausserdem bei Besprechung der einzelnen Theile und Familien Gelegenheit haben werde, auf die früheren Arbeiten und Ansichten zurückzukommen, so glaube ich mich darauf beschränken zu können, diese letzten drei Arbeiten kurz zu besprechen, und verweise im Übrigen auf die Literaturübersicht am Schlusse der Arbeit.

Was zunächst Menzbier's Arbeit betrifft, so erwartet man nach deren Titel und Einleitung sich in der Kenntniss der Mundtheile durch dieselbe wesentlich gefördert zu sehen, täuscht sich darin aber sehr, da dasjenige, was M. als Ergebniss seiner Forschungen hinstellt, nichts weniger als neu ist, wie die am Schlusse der Arbeit aufgestellten fünf Thesen⁽⁸⁾ hinlänglich darthun, von denen nur die dritte theilweise Neues bringt, während die übrigen nichts besagen, was nicht schon aus der Arbeit Gerstfeld's (1853) hinlänglich bekannt ist.

Da er überdies nur acht Gattungen aus fünf Familien zum Gegenstand einer Forschung gemacht hat (nämlich *Haematopota*, *Chrysops*, *Syrphus*, *Empis*, *Musca*, *Sarcophaga*, *Stomoxys*, *Sargus*), so wird er auch darin von seinem Vorgänger Gerstfeld übertroffen, der doch die wichtigsten Familien untersucht hat. —

Richtig widerlegt M. Gerstfeld's und Brullé's (¹⁴) Ansicht, dass Epi- und Hypopharynx paarig seien und einem Kieferpaar entsprechen, und erkennt mit Recht die von Gerstfeld als Maxillen der Musciden gelenkigten Platten als chitinisirte Schlundwände an; doch nennt er den ganzen Theil, der den Schlund umgibt, Fulcrum, und hält dafür, dass dies dem sogenannten Submentum entsprechen könne (p. 21). Wenn dem so wäre, was aber nicht der Fall ist (s. n.), wozu dann die Namensänderung? — Dass der sogenannte Epi-pharynx stets mit der Oberlippe verwachsen ist, führt M. zuerst an (vergl. These 3), bemerkt aber hiezu, dass derselbe durch Behandlung mit Ätzkali von ihr zu trennen sei, was ich nicht finden konnte, da nur durch Gewalt und mit Zerstörung der Oberlippe eine Trennung ihrer beiden Lamellen erfolgen kann. Der Hauptwerth der Arbeit von Menzies liegt in der Übersicht über die Literatur der Mundtheile der Dipteren und der Besprechung der Resultate Weismann's, Künckel und Anderer in Betreff der Entwicklung der Dipteren und der Imaginalscheiben.

Meinert hat in zwei kleinen Aufsätzen, die 1880 in der Entomologisk Tidskrift (¹⁶⁻¹⁷) erschienen, eine ganz eigene Ansicht über die Mundtheile der Insecten und speciell der der Dipteren entwickelt, die er dann seinem grösseren Werke über die Mundtheile der Fliegen (¹⁸) zu Grunde legt. Meinert trennt die Orthopteren und Hemipteren von den übrigen Insecten ab, indem er behauptet, die Unterlippe dieser Ordnungen entspräche nicht derjenigen der übrigen, sondern sei ein viertes Kieferpaar, welches den übrigen Ordnungen fehle, bei denen der Kopf wohl auch aus vier Metameren zusammengesetzt sei, von denen aber nur die drei ersten Gliedmassen, respective Mundtheile, tragen können. Doch fehlen auch diesen drei Metameren in den Ordnungen der Dipteren, Hemipteren und Siphonapteren gegliederte Anhänge vollständig, und können solche auch in den anderen Ordnungen den einzelnen Metameren fehlen. (So bei den Lepidopteren dem dritten, bei den Orthopteren dem ersten Metamer.) Dasjenige, was man nämlich hiesher bei den genannten Ordnungen als zu Mundtheilen umgebildete Anhänge der Metameren gedeutet hat, sind nach Meinert nur Verlängerungen oder Processus der Metameren, die mit Ausnahme der Palpen niemals gegliedert sind. Auch die gewöhnliche Aufeinanderfolge der Metameren und ihrer „Exponentia“ — wie M. die gegliederten Anhänge nennt — oder ihrer „Processus“ ist nicht wie bisher angenommen: 1. Mandibeln, 2. Maxillen, 3. Labium, sondern gerade umgekehrt: 1. Labium, 2. Maxillen, 3. Mandibeln (l. c. p. 149).

Die Mundtheile bei den Dipteren sind also gebildet durch die Metameren und deren Processus (oder Exponentia) und zwar: die Unterlippe von dem ersten Metamer und seinen Anhängen (den Endlippen); Ober- und Unterkiefer sind Fortsätze des zweiten Metamers; erstere Fortsätze des Seitentheiles, letztere des ventralen Theiles des Metamers. Das dritte Metamer ist ohne Fortsätze. Die Oberlippe wird gebildet vom Rückentheile des ersten Metamers und von einem Answachs der oberen Pharynxwand, dem Epipharynx. Die Stachelborste oder der Hypopharynx Mein. ist ein Answachs der unteren Pharynxwand.

Die Kiefertaster entspringen als gegliederte Fortsätze bald am Ventral-, bald am Dorsaltheil des zweiten Metamers. (Vergl. die Tabelle in der Literaturübersicht.)

Dies sind in kurzen Zügen die Ansichten Meinert's über die Mundtheile der Dipteren, die er in den erwähnten Abhandlungen aufstellt. Ohne aber irgendwie einen klaren Beweis für dieselben zu liefern, stellt er sie als Behauptungen hin und deutet auf Grund dieser seiner Anschauungen, oft sehr gezwungen, die Mundtheile der einzelnen Gattungen. Bevor er also in'serest triftige Gründe für seine Behauptungen erhringt — und diese fehlen, wie gesagt in den erwähnten Aufsätzen vollständig — halte ich es für besser, der Ansicht der früheren Autoren zu folgen und die Mundtheile der Dipteren auch nur als umgestaltete Extremitäten zu betrachten; nur so mehr, da viele Thatsachen Meinert's Anschauung geradezu widerlegen.

Meinert sagt (Ent. Tidskr. p. 148): „Pour l'attache des museles les métamères envoient très fréquemment, de la base des processus, de longs prolongements intérieurs dans la tête, comme p. ex. chez tous les Hémiptères; mais, chez une foule de Diptères ces processus intérieurs sont très petits ou ne se développent jamais.“ In den „Flügel-Mundtheile“ deutet er diese Verlängerungen als „scutum ventrale metameri secundum“, wenn sie zum Unterkiefer, und als „plenae metam sec.“, wenn sie zum Oberkiefer gehören und nennt deren Processus Scalpella oder Cntelli. (Vergl. l. c. Taf. I, Fig. 23 a; Taf. II, Fig. 4; Taf. III, Fig. 9 b.)

Derartige „Verlängerungen“, die von der Basis der Processus ausgehen, findet man am Ober- und Unterkiefer und sind sie in beiden Fällen häufig mit dem Kiefer gelenkig verbunden, und scheinen oft sogar an der Innenfläche des Kopfes zu articuliren, stellen also mit dem „Processus“, der als Kanstück fungirt, während sie selbst Stiel sind, zusammen einen gegliederten Segmentanhang dar, welche Erklärung viel ungezwungener und natürlicher erscheint, als die Meinert's. (Vergl. auch Meinert: „Fluernes Mundtheil“, p. 77. Theses: „Cultelli sine ulla articulatione flexibilitate parietis metameri musculisque flexoribus atque tortoribus moventur.“) — Deutliche Beispiele für die Richtigkeit obiger Ansicht bieten die Oberkiefer von *Simulia*, *Ceratopogon*, *Blepharocera*, und die Unterkiefer von *Psychoda*, *Phlebotomus*, *Pangonia*.

Die Unterkiefer von *Pangonia* und *Laphria* widerlegen auch Meinert's Angabe, dass die Unterkiefer nie eine Articulation an ihrem Ursprung am Metamer zeigen („Les lobes maxillaires“ sont seulement des processus du métamère . . . , mais toujours sans aucune articulation à leur issue du métamère“ Ent. Tids. p. 152) — wenn auch in der That meist Stiel und Kanstück unbeweglich mit einander verbunden sind.

Ebenso ist die Angabe in Betreff der Unterkiefertaster einseitig und ungenau. Er sagt (l. c. p. 152): „Les palpes maxillaires constituent seulement dans la règle de simples processus ou prolongements palpiformes à peu près, sans articulations propres, pas même articulés au métamère, et ce n'est que chez *Culex* et *Tigrida* que l'on trouve des palpes maxillaires articulées au métamère et munies elles-mêmes de plusieurs articulations.“ Es haben aber alle Nemoceren (mit Ausnahme von *Scatopse*) deutlich viergliedrige und viele Brachyceren zweigliedrige Taster, (*Stratiomyidae* p. p., *Tabanidae*, *Xylophagidae*), und sitzen diese meist mit einer Tastersehne (Nemoceren) der Basis des Unterkiefers gelenkig auf (*Asindulum*), oder wo diese Sehne fehlt (Brachyceren), kann auch eine deutliche Einlenkung vorhanden sein (*Symphoromyia*), wenn diese auch meist bei den Brachyceren vermisst wird. Übrigens widerspricht Meinert selbst seiner obigen Angabe in den „Fluernes Mundtheil“, wo er, p. 67, Thesis 22, sagt: „Palpi, Nemoceris duo-quinque articulati, Brachyceris nudo-articulati.“

Das Gesamtergebniss seiner Arbeit fasst Meinert am Schluss in 23 Thesen zusammen, in Betreff deren ich mir noch folgende Bemerkungen erlauben möchte. Er sagt Thesis 3: „Pharynx pars principia vel plerisque Dipteris sola antliae est.“ Selbst zugegeben, dass der Pharynx die „pars principia antliae“ sei, — was aber auch nicht der Fall ist, da, wo überhaupt ein Rüssel existirt, die so wichtige Unterlippe, die doch kein Theil des Pharynx ist, stets vorhanden ist, — so ist mir doch kein Beispiel bekannt, wo der Pharynx allein den Rüssel bildet — und Meinert sagt, dies sei bei den meisten Dipteren der Fall — es wäre denn, dass man dort, wo ein deutlicher Rüssel fehlt, wie bei manchen Oestriden und Acroceriden, den Pharynx als alleinigen Vertreter des Rüssels ansprechen wollte.

Der Schluss der Thesis 4 sagt: „Musculis protractoribus saepissime validis vel pervalidis et retractoriibus hypopharynx movetur.“ Das kann nur so verstanden werden, als ob der Hypopharynx (die Stechhorste) allein vor- und rückwärts geschoben werden könnte, während er doch nur in Gemeinschaft mit dem Schlundgerüst oder Pharynx, dessen „*Propharynx*“ er ja auch nach Meinert ist, seine Lage verändern kann.

Thesis 5 heisst es: „... Rarissime ductus salivalis hypopharyngem perforans, in formam tubuli pertenuis, liberi continuatur.“ Es ist doch viel natürlicher, denjenigen Theil, in den der *ductus salivalis* mündet, wie immer, als Hypopharynx zu bezeichnen, als, wie dies Meinert thut, für die Pupiparen — auf diese bezieht sich obige These — eine Ausnahmestellung den anderen Dipteren gegenüber zu schenken. (Vergl. auch unten die Pupiparen.) Die übrigen Thesen enthalten eine Darstellung der oben gegebenen Ansichten Meinert's über die Dentung der Metameren und Mundtheile.

Die Dissertation Dimmock's⁽²⁹⁾ befasst sich mit der Untersuchung von vier Gattungen: *Culex*, *Bombylius*, *Eristalis* und *Musca*, die er darum gewählt, weil sie mit einer vollständigen Form beginnend (*Culex* ♂), durch Mittelformen (*Bombylius*, *Eristalis*) zu einer Form führen, bei der die Mundtheile unvollständig oder verwachsen sind (*Musca*). — In einer kurzen historischen Übersicht bespricht Dimmock die einschlägigen Arbeiten von Fabricius, Savigny, Erichson, Brullé, Blanchard, Gerstfeld und Menzies und geht dann über zur

eingehenden Beschreibung der Mundtheile der einzelnen Gattungen. Die bisher gebräuchliche Nomenclatur der Theile theilnehmend lässt er sich des Näheren auf die Deutung der einzelnen Theile nicht ein, ist aber der erste, der diejenigen Stücke, die auch in vorliegender Arbeit als Cardines der Unterkiefer gedeutet sind, richtig als solche bei *Musca* erkennt, ohne freilich einen unzweifelhaften Beweis, wie er sich aus der Vergleichung zahlreicher Formen ergibt, erbringen zu können. Für die Deutung der Unterlippenheile findet man in Dimpock's Schrift keine Anhaltspunkte. Das Schlundgerüst, das er Fulcrum nennt, bezeichnet er mit vollem Recht als „an internal skeletal piece“ und erkennt es mit Meunier als „only a modified form of chitinization of the walls of the pharynx“ (p. 42), was es auch in der That ist. Ebenso erklärt er in Übereinstimmung mit Meunier das Saugeschäft als Function des Pharynx und des Fulcrum, das ausserdem auch eine Rolle spielt bei der Bewegung des Rüssels als Ganzes.

Da es trotz dieser jüngsten Arbeiten noch eine Reihe von Familien und Gattungen gibt, deren Mundtheile noch niemals Gegenstand der Untersuchungen waren, oder von denen nur unzulängliche Beschreibungen und Abbildungen in systematischen Werken vorhanden sind, so halte ich es für keine vergebliche Mühe, wenn ich in Folgendem unternehme, eine Beschreibung der Mundtheile in den einzelnen Familien zu geben, und die sich daraus in Bezug auf ihre Deutung ergebenden Schlüsse zu ziehen versuche.

Savigny's (*) Ansicht, dass die Mundtheile der saugenden Insecten sich zurückführen lassen auf die der kauenden, hat, mit Ausnahme der oben erwähnten Ansicht Meunier's, allgemeine Annahme gefunden, und waren es nur verschiedene Deutungen der einzelnen Theile, die Anlass zu Meinungsverschiedenheiten gaben. Doch ist die Deutung der einzelnen Theile dann erleichtert und die Wahrscheinlichkeit derselben erhöht, wenn man eine grössere Reihe von Gattungen vor sich hat und deren systematische Verwandtschaft berücksichtigt. Die Entwicklungsgeschichte lässt uns in dieser Hinsicht darun im Stich, da, wie Weissmann (17) gezeigt hat, in der Puppe die Mundtheile sich bereits in der Gestaltulegen, wie sie im vollendeten Insect sich finden.

Für die systematischen Beziehungen der einzelnen Gattungen kann die Bildung der Mundtheile nur wenig verwertet werden, da ihre Umbildung eng mit der Lebensweise des Insectes zusammenhängt und oft sehr nahe stehende Formen in ihrer Ernährungsart von einander abweichen, also auch verschieden angepasste Rüssel besitzen, während umgekehrt Formen, die durch ihre sonstigen Eigenschaften im System weit von einander zu trennen sind, durch gleiche Art der Ernährungsbedingungen ähnlich gebildete Mundtheile besitzen. Als Beispiel für den ersten Fall mag *Stomoxys* Geoffr. dienen, deren Rüssel hornig und weit vorgestreckt, sie zum Blutsaugen befähigt, während ihre Verwandten die übrigen Muscinen, als Blüthenbesucher, einen weicheeren, verhältnissmässig kürzeren Rüssel besitzen. Der lange und dünne Rüssel der cyclorrhaphen *Procon* und der gleichgestaltete vieler (orthorrhaphen) Bombyliiden gehen Beispiele für den zweiten Fall. Innerhalb gewisser Grenzen zeigen jedoch die Mundtheile verwandter Formen eine Übereinstimmung und gleiche Stufe der Entwicklung.

Die Theile, die im vollkommensten Falle vorkommen, sind, den der kauenden Insecten entsprechend, folgende: Oberlippe, Oberkiefer, Unterkiefer mit ihren Tastern, Unterlippe mit ihren umgestalteten Tastern und endlich ein unpaares Organ, welches nur den Fliegen in dieser Gestalt und Bedeutung zukommt: die Stechborste. Oberlippe und Stechborste werden zu den Mundtheilen gerechnet, obwohl sie nicht wie die übrigen Theile paarigen Anhängen der Kopfsegmente entsprechen, sondern erstere eine Fortsetzung des Untergesichtes, mit diesen gelenkig verbunden, letztere eigentlich die chitinisirte und verlängerte Ausstülpungspapille einer Drüse, die im Thorax liegt, am Pharynx ist.

Von diesen Theilen finden sich jedoch nur in wenigen Gattungen alle, und zwar nur bei Weibchen von orthorrhaphen Fliegen, die dann meist blutsaugend sind, sei es auf höheren oder niederen Thieren. Allen übrigen fehlen wenigstens die Oberkiefer. Es gibt also keine Männchen mit Oberkiefern und keine cyclorrhaphen Fliegen, wenn sie auch Blut saugt, die Oberkiefer besitzt. (Vergl. Brauer: Die Zweiflügler des k. k. Hofmuseums, p. 8 [112], Denkschr. d. k. Akad. XLII. Bd.)

In Bezug auf das System lässt sich Folgendes feststellen: Allen Cyclorrhaphen fehlen die Unterkiefer stets, doch sind bei ihnen mit Ausnahme der Platypoziden und derjenigen Oestriden, denen der Rüssel ganz fehlt,

immer Oberlippe, Stechborste, Unterkiefertaster und Unterkiefer selbst vorhanden, wenn auch letztere nur in ihren Basalthellen. Überhaupt zeigen die Cyclorrhaphen, wie in ihrer sonstigen Organisation, so auch in den Mundtheilen viel gleichmässigeren Bau und Ausbildung als die Orthorrhaphen, indem Verschiedenheiten in den Mundtheilen sich meist nur auf Verlängerung oder Verkürzung der vorhandenen Theile zurückführen lassen, ohne deren Formen wesentlich zu alteriren.

Bei den Orthorrhaphen können innerhalb derselben Familie alle Übergänge gefunden werden von Formen, denen die Unterkiefer ganz fehlen, bis zu solchen, bei denen sie deutlich vorhanden, in Stiel und Kanstiel gegliedert erscheinen; und können ebenso in derselben Familie ganz rudimentäre und andererseits grosse dreigliedrige Taster vorkommen (*Stratiomyidae*). Unter den Orthorrhaphen variirt der ganze Rüssel innerhalb der Familie bisweilen so, dass er einigen Gattungen ganz fehlt, in andern den Körper an Länge weit übertrifft (*Acroceridae*). Die Kiefertaster, die bei Cyclorrhaphen nie fehlen, können hier ganz verschwunden sein, wenn auch die anderen Mundtheile gut entwickelt sind (*Mydidae*, *Acroceridae*). Auch die Stechborste kann fehlen. Dagegen kommen nur bei den Orthorrhaphen Oberkiefer vor, und zwar nur in den Gruppen der *Eucephala* und *Cycloceera* (*Tanytomata*), wo, wie bereits erwähnt, die Weibchen einiger Gattungen Oberkiefer besitzen, während sie den Männchen fehlen, denen auch die Stechborste mangeln kann (*Culex*). In anderen Gattungen derselben Familien fehlen wieder beiden Geschlechtern die Oberkiefer. Aus diesen Angaben kann man entnehmen, wie veränderlich die Bildung der Mundtheile unter den Orthorrhaphen ist, und wie unmöglich es ist, dieselben in völligen Einklang mit der systematischen Verwandtschaft zu bringen.

Dass die Mundtheile auch zur Bestimmung der Gattungen und Arten gar nicht oder nur schwer zu verwenden wären, sagt auch Brauer, l. c. p. 3 (107): „Auch kommt für ein zur Bestimmung zu verwendendes Merkmal, abgesehen von der verborgenen Lage, noch die grosse Verschiedenheit und Ausbildung dieses Organes innerhalb einer Familie hinzu.“

Dort, wo überhaupt der Rüssel vorhanden ist, findet sich stets mindestens Oberlippe und Unterlippe und meist auch Unterkiefertaster; die anderen Theile können in verschiedenen Graden der Entwicklung vorhanden sein oder auch ganz fehlen.

Was zunächst die Oberlippe — *Labrum* Sav., Gerstf., Burm., Menzb., Mein. (cum *epipharynx coarctata*); *Soie supérieure* Latr.; *Eccille supérieure* Cuv.; *Vagina* Fabr.; *Labrala* Kirby und Spence; *Labrum* — *epipharynx* Dimmock. — betrifft, so kann man an ihr immer deutlich zwei Lamellen unterscheiden, von denen die eine, — bei jenen Familien, wo dieselben am ausgebildetesten sind, — die obere durch eine Gelenkhaut mit dem Untersicht in Verbindung steht, während die zweite, untere, entweder direct am Schlundgerüst einlenkt, oder doch — wie bei den Musciden — mittelbar mit diesem zusammenhängt. — Bei *Muscidae* und *Syrphidae* ist die Trennung dieser Theile auch an der Spitze sehr deutlich, indem bei letzteren die Oberlippe in mehrere Lappen endet, von denen die äusseren der unteren Lamelle angehören, während bei ersteren an der Unterseite der Oberlippe sich jederseits an der Spitze gekerbte Chitinleisten finden. Ebenso ist die Oberlippe der *Empididae* in drei Zipfel ausgehend. Die untere Lamelle wird nach Savigny's Vorgang allgemein als *Epipharynx* bezeichnet; da man aber nach dieser Bezeichnung in Uebereinstimmung mit dem Hypopharynx erwarten müsste, ihn als freie, selbstständige Borste zu finden, was aber niemals der Fall ist, so ziehe ich vor, den Namen *Epipharynx* nicht zu gebrauchen, und diesen Theil nur als untere Lamelle der Oberlippe zu benennen. — Wo er scheinbar als freie Borste vorhanden ist, ist er blos ein Kunstprodukt in Folge der Präparation. — Gerstfeld konnte ihn nicht finden und weiss nicht, was Savigny, der ihn zuerst beschreibt (l. c. I, p. 13), unter ihm versteht, obwohl dieser sagt: „Ne se distingue pas point de la lèvre supérieure.“ Die relative Grösse der beiden die Oberlippe zusammensetzenden Theile ist sehr verschieden, so dass bald der obere, bald der untere (*Stratiomyidae*) überwiegt, oder auch beide ziemlich gleichmässig an ihrer Bildung theilnehmen. Weder die ganze Oberlippe noch ein Theil derselben fehlt irgend einem Dipteren vollständig, nur kann der untere Theil bisweilen sehr zart und häutig bleiben, wie bei den *Tipulidae*, wo überhaupt die Oberlippe am schwächsten unter allen Dipteren entwickelt ist.

Die Oberlippe dient meist als Decke der anderen Mundtheile und wirkt nur bei einigen Blutsaugern (*Tabanus*, *Simulia*) als Stechorgan, sowie bei den *Dolichopidae* als wahres Fresswerkzeug. Unter ihren Synonymen deuten auch mehrere diese Function als Decke an, wie *Vagina*, *Valvula*.

Ein eigenthümliches Gebilde an der Unterseite der Oberlippe findet sich in vielen Familien. Es sind diese seitliche Canäle im Chitin, die von diesem überwölbt erscheinen, auf welcher Wölbung je ein Haar aufsteht. Sie finden sich besonders deutlich bei *Tabanidae*, *Stratiomyidae*, *Syrphidae*, doch auch in einzelnen Gattungen anderer Familien. Vielleicht vermitteln sie eine Geschmacksempfindung.

Die Oberkiefer, — *Mandibulae*, Gerstf., Sav., Burm., Menzh., Dim., *Soie du second rang* Latr., *Soies* Cuv., *Setae* Fabr., *Cutelli* K. and Sp., Mein., — wie bereits erwähnt, nur den Weibchen blutsaugender Orthorrhaphen zukommend, stellen lanzettliche, oft sehr lange, (*Culex*) Chitinklingen dar, die an ihren Seiten meist gezähnt, gesägt oder kammartig erscheinen und selten ganzrandig sind. Dass sie nicht zu einem unpaaren Theil (*stylet mandibulaire* Milne Edw.) verschmelzen und so jenes Stück bilden, das man als Hypopharynx oder Stechborste bezeichnet, wie Blanchard⁽¹²⁾ für die *Asilidae* angibt, geht daraus hervor, dass diese Stechborste gerade dort sehr stark entwickelt ist, wo auch die Oberkiefer vorhanden sind; man müsste nur für die Stechborste eine doppelte Deutung annehmen wollen: einmal als verschmolzene Oberkiefer, wo diese fehlen, das andere Mal als Auswuchs der unteren Rachenwand, wo jene vorhanden sind. Diese Annahme wäre eine offenbar ungerechtfertigte und gezwungene, nur so mehr, da stets der Ausführgang einer Drüse in diese Borste mündet, also auch für ihre Einerleiheit in jedem Falle spricht.

Fr. Müller^(*), der diesen Hypopharynx „den Giftstachel der zweiflügeligen Insecten“ nennt, tritt dieser Deutung auch entgegen. Die Function der Oberkiefer liegt wohl darin, dass sie die durch den Einstich hervorgebrachte Wunde seitlich erweitern, was durch die Art ihrer Beweglichkeit, sowie auch dadurch ermöglicht wird, dass sie auch an ihrer Aussenseite geschärft oder gezähnt erscheinen. Doch müssen sie auch zum Festhalten in der Wunde, oder zum Ergreifen anderer Insecten dienen, worauf besonders ihre Form bei *Ceratopogon* und *Blepharocera* hinweist. — Man kann an ihnen meist deutlich zwei Theile unterscheiden: eine Basis, die im Innern des Kopfes liegt und den eigentlichen Kiefer, der in einem Gelenk an dieser Basis bewegt werden kann. Die Basis wird von einer Chituleiste oder Gräte dargestellt; doch scheint auch sie bisweilen dem Kopf beweglich aufzusitzen. Die Bewegung der Oberkiefer erfolgt in einer Ebene, auf der die Längsaxe des Kopfes senkrecht steht.

Sie kommen den Weibchen folgender Gattungen zu: *Tabanus*, *Haematopota*, *Hexatoma*, *Chrysopa*, *Pangonia*, *Culex*, *Ceratopogon*, *Simulia*, *Phlebotomus*, *Blepharocera*, *Atherix*, *Symphoromyia*.

Die Stechborste — *Langue*, *Glosse* Sav.; *Hypopharynx*, Gerstf., Menz., Mein., Dim.; *Zunge* Burm. K. a. Sp.; *Soie du troisième rang* Latr.; *Seta* Fabr. — ist fast immer vorhanden, und stellt einen oft sehr entwickelten Auswuchs der unteren Pharynxwand dar, der eine Rinne oder einen Canal enthält, in welchen der tracheenartige Ausführgang einer in der Brust und zum Theil auch im Hinterleib liegenden Drüse mündet. Oft geht diese Rinne (oder Canal) fast bis zur Spitze, mitunter ist er nur durch eine Öffnung an der Basis der Borste vertreten, doch ist er überall mehr minder deutlich vorhanden. Besonders entwickelt ist die Stechborste bei den *Asilidae*, wo sie auch, wie Burmeister⁽⁹⁾ aber für alle Dipteren bemerkt, das eigentliche Stechorgan (l. c. I, p. 66) vorstellt. Dass sie auch bei *Nemomyia*, wie Menzhier meint, den „Hauptstechapparat“ bildet, ist ihrer Schwäche in diesem Falle wegen zweifelhaft. Gerstfeld's Meinung, der Hypopharynx sei geeignet deutlich zu zeigen, dass er aus Verwachsung eines Kieferpaares bestehe, ist offenbar irrig. Er hält den die Borste durchziehenden Canal für „eine mittlere Längsnath“ und die „zwei längeren schmalen, mit einem dreieckigen Kopf endenden nagelförmigen Stücke den *cardines* analog“ (l. c. p. 25). Diese sind allerdings den *cardines* analog, aber denen der Unterkiefer und hängen mit der Stechborste nicht zusammen. Menzhier erkennt hier richtig entgegen Gerstfeld und Brullé den Hypopharynx als unpaar und als keinem Gliedmassenpaar analog. Eigentlich ist die Stechborste meist sehr schwach und verdient ihren Namen in nur wenigen Fällen, wo eben ihre Stärke und Länge eine Function erlaubt. Dort, wo sie am Rande vom behaart ist, kann sie vielleicht — als Zunge — leckend wirken. Sie soll nach der Angabe Erichson's^(*) den *Aceroceridae*

fehlen, ist sonst bei allen Gattungen, die ich untersuchte — von *Aceroceriden* konnte ich nur *Ogcodes* genau untersuchen, dem ein eigentlicher Rüssel fehlt — vorhanden, wenn sie auch, wie bei einigen *Stratiomyidae* (*Sargus*, *Chrysomyia*, *Oxyera*) äusserst schwach und klein erscheint.

Die Unterkiefer, — *Machoiros* Sav., *Maxillae*, Gerstf., Menzb., Brnm., Dim.; *Soies du quatrième rang* Latr.; *Setae* Fabr.; *Scalpellula* K. a. Sp., Mein.; *Soies* Cuv.; — die nur sehr wenigen Gattungen vollständig fehlen, variiren aber in ihrer Anbildung sehr stark. Wo sie vollständig entwickelt sind, zeigen sie sich als aus Basis und Kaustück bestehend, welches letztere dann spitz lanzettförmig, oft mit Haaren oder Borsten besetzt oder gesägt, oder nur scharf schneidend sein kann; oder seine Form ist mehr stumpf, oder einen Hohlmeissel vorstellend. Begreiflicher Weise sind sie bei den Blutsängern (ausser *Stomoxys*) und den Raubfliegen (*Asilidae*, *Empidae*) besonders stark entwickelt. Bei den hauptsächlich auf Blumen lebenden sind sie, wie auch Stechborste und Oberlippe, vorn behaart. Das Kaustück ist oft nur als zahnartiger Fortsatz der Basis vorhanden, oder es ist nur sehr kurz, wenn auch schon in seiner Form deutlich angebildet. Bei *Muscidae* fehlt es in vielen Gattungen vollständig, doch ist hier die Basis stets vorhanden. Die Basis ist ebenfalls in ihrer Form verschieden, sie kann lang und schmal sein, wie eben bei den meisten *Muscidae*, oder auch kurz und breit, wie bei *Stratiomya*; oder die Basen beider Unterkiefer können verwachsen und dann entweder eine Gabel mit langem Stiel darstellen (*Tipulidae*) oder auch die Form des Mentum der Unterlippe wiederholen, wie bei *Asindulum*, *Bibio* u. a. Endlich kann der Basaltheil sehr klein und scheinbar fehlend sein. Nur bei wenigen Familien fehlt sowohl Kaustück als Basis vollständig, wie bei *Platypesidae*, *Oestridae*, *Phoridae* und vielleicht auch *Dolichopidae*; doch sind in allen diesen Fällen die Taster vorhanden.

Die Bewegung der Unterkiefer erfolgt in demselben Sinne, wie die der Oberkiefer bei den Blutsängern; bei den übrigen mag ihnen nur eine Bewegung gemeinschaftlich mit den anderen Theilen gestattet sein, und in den meisten Fällen sind sie für das Insect als Mundwerkzeuge von gar keiner Bedeutung. Ihre Basaltheile dienen dann zum Ansatz von Muskeln und übertragen deren Bewegungen in verstärkter Masse auf den ganzen Rüssel, welcher Umstand wohl auch ihre Dentung in manchen Fällen als Muskelsehnen voraussetzt haben mag.

Die Taster der Unterlippe. — *Palpi* aut. — die oft allen Dipteren zukommend angegeben wurden, fehlen doch zweifeln, so bei *Midas* Fabr., den *Aceroceridae*, und sind auch bei *Geron* Mg., *Amictus* W. und *Cyrtella* Latr. nicht beschrieben, welche Gattungen ich nicht untersuchen konnte. Dort, wo sie vorhanden sind, können sie entweder rudimentär, wie bei *Nemotelus* Geoffr. und *Sargus* Fabr., oder doch sehr klein sein, wie bei *Conops* L. und *Beria* Latr.; oder sie sind endlich deutlich vorhanden, und dann ungliedert oder gegliedert. Form und Entwicklung der ungliederten Taster ist sehr variabel und ist bei den einzelnen Gattungen besprochen. Undeutlich gegliederte Taster haben die *Leptidae* mit Ausnahme von *Atherix* und *Symphoromyia*, die sich auch hierin wieder den *Tabanidae* nähern, und die *Coenomyidae*. Die gegliederten Taster sind zwei- bis viergliedrig; in allen Fällen, in welchen, wie bei den meisten *Nemocer*en scheinbar stüpfliedrige Taster vorhanden sind, entspricht das erste Glied der Tastersehne. Gegliederte Taster haben alle *Nemocer*en (mit Ausnahme von *Scatopse* Geoffr.), und zwar viergliedrige; dann *Stratiomyidae*, (excl. *Nemotelus*, *Sargus*, *Beria*), *Xylophagidae* und *Tabanidae* mit zweigliedrigen Tastern (nur *Actina* Mg. hat dreigliedrige und *Pachygaster* Mg. einigliedrige); an die sich die *Leptidae* und *Coenomyidae* anschliessen, deren Taster oft nur Spüren einer Gliederung zeigen. Diese letzteren fünf Familien stimmen auch in der Fühlerbildung unter einander überein und sind als *Cyclocerca* zusammengefasst; sie stehen auch in anderen Beziehungen den *Nemocer*en, an die sie sich also auch durch die Tasterbildung anschliessen, nahe. —

Derjenige Theil, der die bisher beschriebenen Stücke — mit Ausnahme der Taster — einschliesst und als am meisten in die Augen fallend, die äussere Form des Rüssels markirt, ist die Unterlippe, über deren Dentung und Zusammensetzung die Ansichten weit auseinander gehen. — Gerstfeld unterscheidet an dieser „Scheide“ (*theca* Kirby) drei Abtheilungen: Erstens die Basis, oder das Anheftungsstück, zweitens den Stiel oder Stamm, und drittens die Endlippen (l. e. p. 16). Die Basis hält er für das Submentum der Unterlippe und können mit diesem auch die Unterkiefer, ja sogar die Oberkiefer verwachsen sein. Es unterliegt gar keinem

Zweifel, dass dieses Stüek, unser Schlundgerüst, mit der Unterlippe gar nichts zu thun hat und dass ebenso wenig irgend ein Kieferpaar an seiner Bildung theilnimmt. — Die zweite Abtheilung entspricht nach Gerstfeld dem Mentum der Unterlippe, also den verwachsenen Stipites. Die dritte Abtheilung endlich sind nach Gerstfeld die Enden der Unterlippe. — Auch nach Savigny nehmen die Unterkiefer Theil an der Bildung der Scheide; er sagt (l. c. p. 14): „Quand les mâchoires semblent disparaître, comme dans le Moucheron proprement dites, c'est qu'elles se confondent avec la levre inférieure.“ Die Irrigkeit dieser Ansicht geht schon daraus hervor, dass bei den eigentlichen *Muscidae* die Unterkiefer ja stets vorhanden sind. Burmeister hält die Scheide nur aus der Unterlippe gebildet; die meisten Autoren folgen jedoch der Ansicht Savigny's und Gerstfeld's.

Trotzdem die Unterlippe von *Musca domestica* L. und *Calliphora vomitoria* L. seit Gerstfeld wiederholt und eingehend beschrieben wurde, so ist in diesen Beschreibungen kein weiterer Schritt für ihre Deutung geschehen und sind höchstens die einzelnen Theile benannt worden. Von den drei letzten Arbeiten — von Menzies, Meinert und Dimmock — beschäftigen sich zwei gar nicht mit dieser Frage, und Meinert denkt die Theile der Unterlippe nach dem von ihm entworfenen, künstlichen Schema. Er hält sie also für den ventralen Theil des ersten Segmentes mit dessen gegliederten Anhängen, den Lippen, die nach ihm wahre „*exponentia metameri prima*“ sind. — Dass der von Gerstfeld als Anheftungsstück beschriebene Theil gar nicht zur Unterlippe gehört, ist bereits gesagt worden, so dass also dieselbe, als nur aus den zwei folgenden Stücken bestehend betrachtet werden muss. Von diesen wird ziemlich allgemein der Stiel als Mentum gedeutet, während über die Endlippen verschiedene Ansichten vorliegen. So werden sie von Brullé als „*intermaxillaires*“ also als Innenladen, von Newport (v. Gerstfeld) als Paraglossen, also als Aussenladen, von Kirby und Spencee und Gerstfeld als Endtheil der Unterlippe und endlich von Burmeister und Erichson als Lippentaster gedeutet. Burmeister sagt (l. c. p. 66): „Die vordere Endklappe ist ein blosses Tastorgan und stellt die Lippentaster dar, die zum Ersatz einer fleischigen Lippe dienen.“ Und Erichson scheint derselben Meinung zu sein, wenn er sagt (Entom. p. 7): „Bei den beiden anderen Insectenordnungen mit sangenden Mundtheilen, den Dipteren und Hemipteren erstreckt sich das Verwachsen des dritten Kieferpaares noch weiter auf die Taster, welche die Röhre des Rüssels bilden und die übrigen borstenförmigen Mundtheile umschliessen.“ Doeh hat er hierbei offenbar mehr die Hemipteren im Auge gehabt.

Was zunächst den Stamm oder Stiel (Gerstf.) betrifft, so kann man an ihm fast immer deutlich zwei Platten unterscheiden, deren Zwischenraum oft sehr beträchtlich erscheint und durch Muskeln und Tracheen ausgefüllt ist. Auch finden sich in diesem Zwischenraum mitunter Drüsen. Die untere Platte, die gewöhnlich als Mentum bezeichnet wird, ist häufig innen (oben) durch eine Längsleiste — an diese kann sich auch eine Querleiste anschliessen — getheilt, welche die Ansatzstellen vom Muskeln trennt, und die Verwachsung des Mentum aus zwei Stücken andeutet. Die untere Platte erscheint in ähnlicher Weise, wie die obere Lamelle der Oberlippe, als Fortsetzung der Gelenkskaut, die sie mit der Kehle verbindet und stellt eine meist stark chitinisirte Stütze der oberen Platte dar. An ihrem vorderen Ende finden sich häufig zwei Chitinknöpfe von verschiedener Länge und Entwicklung, welche die Endlippen stützen und deren Bewegung, das Auf- und Zuklappen, regeln. Diese Stützen der Endlippen können aber auch ganz fehlen, wie meist dort, wo die obere Platte der Unterlippe nur häufig ist und die Endlippen der unteren Platte aufsitzen. Sie sind mit dem Mentum beweglich verbunden. Die obere Platte besteht, wie man bei *Syrphidae* und *Eumyidae* besonders deutlich sehen kann, aus drei neben einander gelegenen Stücken, von denen die äusseren die Endlippen tragen (Taf. III, Fig. 18 u. 21). Die Entwicklung der beiden Platten ist eine sehr wechselnde, indem bald die eine, bald die andere mehr ausgebildet ist. Ist die obere nur häufig, ohne Chitinstützen, so sitzen die Endlippen der unteren Platte auf.

Die Muskeln, die innerhalb dieser beiden Platten liegen, ziehen theils in horizontaler, theils in verticaler Richtung auf die Längsaxe der Unterlippe und dienen erstere zur Bewegung der Endlippen, letztere dazu, die Ränder der Unterlippe zu nähern und so das Sangrohr zu schliessen. Die Gelenkskaut, welche die zwei Platten der Unterlippe einerseits mit der Kehle, andererseits mit dem Schlundgerüst verbindet, ist in manchen Fällen sehr entwickelt und zeigt mehrfach tubusartig über einander geschobene Falten, in denen endlich der

Anfangstheil des Mentum steekt, und durch welche eine sehr starke Verlängerung, d. h. Vorstreckung des Rüssels ermöglicht wird. So bei *Pangonia*, *Fallenia*, *Bombylus*, *Lasius*, *Ikingia* u. a., also bei solchen Formen, die durch ihren ohnehin schon langen Rüssel zum Honigsaugen besonders befähigt sind. Zwischen den beiden Endlippen ragt oft als Fortsetzung der oberen oder unteren Platte eine unpaare Spitze vor, die als das wahre Ende der Unterlippe, als die verwachsenen und verkümmerten Innenliden zu deuten ist. (Meinert's Ligula). Vergl. *Tabanus*, *Phora*, *Tipula*.

Die Endlippen, welche, wie bereits erwähnt, gelenkig mit der oberen oder auch mit der unteren Platte verbunden sind, zeigen an ihrer Aussenfläche häufig starke Chitinisirung, die dann meist in zwei Partien getheilt ist und an ihren einander zugekehrten Innenseiten die sogenannten Pseudotracheen. Jede Lippe stellt also eine Art häutigen Saek vor, der durch die erwähnte Chitinisirung, besonders dort, wo die Längsentwicklung vorherrscht, in zwei Glieder zerfällt. In der Deutung dieser Endlippen folge ich der Ansicht Burmeister's und halte sie für die umgeformten Lippentaster. Eine Stütze für diese Ansicht findet man durch Vergleich der Unterlippe von *Pulex* und *Panorpa*. — Von *Pulex* sagt schon Gerstfeld: „... ganz eigenthümlich ist aber ..., dass sich entwickelte Labialtaster finden, welche die Borsten scheidenartig einschliessen, während die sonst als Scheide fungierende Unterlippe in ihrer Entwicklung zurückgeblieben ist.“ (l. c. p. 45). Ein Blick auf die Fig. 35, Taf. IV, erläutert diese Angabe und zeigt, dass hier, wie bei den Dipteren, die Laden der Unterkiefer verkümmert sind und nur deren Mentum deutlich, wenn auch klein ist, wogegen aber die Taster gross und als solche deutlich zu erkennen sind. Noch deutlicher veranschaulicht den Übergang von wahren Tastern zu den Endlippen des Fliegenrüssels die Unterlippe von *Panorpa*. Diese besteht (Taf. IV, Fig. 34) aus einem unpaaren, doch deutlich seine Verschmelzung aus zwei Stücken erkennen lassenden Grundtheil, dem Mentum der Unterlippe, dem die Laden, wie bei *Pulex* und den Dipteren, fehlen. An dieses schliessen sich die hier noch unverkennbaren, zweigliedrigen Taster an, deren zweites Glied noch vollständig die Tasternarbe behalten hat, während das erste, stark verbreitert und häutig geworden, sich schon der bei den Dipteren zur Regel gewordenen Umgestaltung nähert. Denkt man sich das zweite Glied ähnlich gebildet, auch nur aussen chitinisirt und dadurch die Grenze der Glieder verwischt, so hat man die Bildung, wie sie sich bei den Dipteren zeigt. Das Lagenverhältniss von Unterkiefer und Unterlippe ist bei *Panorpa* gleichfalls ganz so, wie bei vielen Dipteren, zu welcher Vergleichung man natürlich solche Formen wählen muss, deren Rüssel eine gewisse Höhe der Ausbildung zeigt, wie der vieler Orthorrhaphen, während die Cyclorrhaphen stets in der Ausbildung der Mundtheile eine niedrigere Stufe einnehmen. Die langen, schmalen Cardines der Unterkiefer von *Panorpa* sind durch eine Membran verbunden, die vorn bei der Übergangsstelle der Cardines in die Lobi endet und hier, indem sie zuvor eine Gelenksfalte bildet, in das Mentum der Unterlippe übergeht. Ein ähnliches, fast gleiches Verhalten findet man besonders deutlich bei *Aspidulum* und *Blepharocera*.

Die Endlippen oder die Labialtaster bilden also einen häutigen, zuweilen durch eine Art schwacher Einsenkung getheilten Saek, dessen Aussenseite meist mehr minder stark chitinisirt und behaart oder beborstet ist, während sich an der Innenseite die sogenannten Pseudotracheen ansbreiten. Diese Pseudotracheen gehen meist von einem gemeinschaftlichen Stamm jederseits aus, der zum Anfang der von Ober- und Unterlippe, oder nur von letzterer allein gebildeten Saugröhre führt. Es sind von unvollständigen Chitiningen, deren ein Ende oft gegabelt ist, gestützte Dreiviertelröhren, die sich im Zusammenhang mit dem Trill- und Schlaffwerden der Endlippen erweitern und verengern. Sie sind wiederholt (besonders von *Musca*) beschrieben und abgebildet, zuerst von HUNT⁽¹²⁾; über ihre eigentliche Function ist nichts Bestimmtes bekannt, doch mag dieselbe vielleicht in ihrer Capillarwirkung liegen. Nach Gräber⁽¹³⁾ (l. c. p. 146) könnte man sie für Ausführgänge einer Speicheldrüse halten; allerdings liegt eine „grosse traubige Drüse“ im Rüsselkopf der Musciden, doch konnte ich nie einen Zusammenhang zwischen ihr und den Pseudotracheen, den ich auch für nicht wahrscheinlich halte, finden. Zum Saugen sind sie jedoch nicht unbedingt erforderlich, da sie vielen Formen gänzlich fehlen, in welchem Falle dann auch die Innenseite gleich der Aussenseite behaart und beborstet ist.

Die Endlippen als Ganzes sind sehr anschwellbar, welches Anschwellen durch Eindringen von Flüssigkeit in ihr Inneres vom Kopf aus erfolgt. Besonders stark anschwellbar sind sie bei allen Blumentiegen; so

bei *Stratiomyidae*, *Tipulidae*, *Muscidae*, *Syrphidae*. Bei einigen Familien und Gattungen sind sie fast vollständig verhornt, so bei *Stomoxys*, den *Lupinara*, bei *Laphria* n. a.; doch sind sie stets vorhanden. Ihre wechselnde Bildung und Gestaltung ist des Näheren bei den einzelnen Familien besprochen.

Zum Zurückziehen der Unterlippe als Ganzes dient ein langer, paariger Muskel, der oberhalb des Ganglion supra oesophagum an der Rückwand des Kopfes entspringt und an der Basis des Mentum inserirt. Ihr Vorstrecken erfolgt gemeinschaftlich mit dem ganzen Rüssel und geschieht dies durch Muskel, welche das Schlundgerüst nach ab- und vorwärts ziehen und häufig auch an den Cardines der Unterkiefer inseriren und ihren Ursprung am Untergesichtsrand haben; doch ist in vielen Fällen die Beweglichkeit des ganzen Rüssels eine sehr beschränkte und kann er nur wenig vorgestreckt werden.

Der Anfangstheil der Speiseröhre, von der Mundöffnung bis fast zum Schlundring, also derjenige Theil, der als Pharynx zu bezeichnen ist, ist nicht immer seinem ganzen Verlauf nach weichhäutig, sondern meist unten und seitlich, doch häufig auch oben durch Chitinisirung seiner Wandung zum Schlundgerüst umgestaltet, dem dann oft die anderen Mundtheile, besonders die Stechborste und die untere Lamelle der Oberlippe (Epipharynx) ansitzen; auch die Unterkiefer können an demselben eintreten. Es wiederholt also die Bildung, die wir auch bei den Dipterularven finden und auch dort als Schlundgerüst, mit denselben Functionen bezeichnen. Von Gerstfeld u. A. ist es als Submentum beschrieben worden, wonach es den verschmolzenen Cardines der Unterkiefer entsprechen müsste, gegen welche Annahme schon die erwähnte Verbindung mit anderen Mundtheilen spricht. Menzbier nennt es Fulcrum, wie auch Dinnmoek und hält seine seitliche Partie, die Gerstfeld bei den Musciden für Maxillen erklärt, mit Recht für die chitinisirten Seitenwände des Pharynx, doch könnte es nach ihm auch dem Submentum entsprechen, worin meiner Ansicht nach ein Widerspruch liegt, denn chitinisirte Rachenwände können doch unmöglich gleich sein den Cardines eines Kieferpaares. Meinert nennt es Pharynx und bezeichnet seinen oberen Theil als „scutum dorsale metameri secundum“, welches mit dem Pharynx verwächst. Der Ventraltheil dieses Metameres sind die oft verschmolzenen, jedoch meist getrennten Cardines der Unterkiefer und seinen Seitentheil, der aber als solcher selbstständig nie zu finden ist, sollen als „processus“ Oberkiefer, sowie die Unterkiefertaster entspringen: ein Beispiel für die künstliche und gezwungene Deutungsweise Meinert's.

Das Schlundgerüst umgibt in vielen Fällen vollständig die Speiseröhre, so bei *Muscidae*, *Syrphidae*, *Stratiomyidae*, *Bombyliidae* u. a.; in allen Fällen ist aber die untere Platte vorhanden, die meist nach rückwärts mehr minder stark entwickelte Fortsätze zum Muskelaufsatz aussendet. Durch seine Beweglichkeit ist auch die des Rüssels als Ganzes bedingt und spielt es ausserdem beim Singen eine wichtige, wenn nicht die Hauptrolle.

Die Meinung, die auch Burmeister anspricht, dass die Mundtheile innerhalb der Scheide auf- und abgewegt werden können, ist insofern eine irrig, da diese Bewegung nur dann möglich ist, wenn das Insect die Unterlippe irgendwie an einen Gegenstand fixirt hat und die Borsten in ihr oder aus ihr vorgeschoben werden, wie dies beim Anstechen und Blutsaugen geschieht. Wenn das *Tobacco*-Weibchen stechen will, so legt es die Endlippen der Unterlippe fest an die anzustechende Stelle, die es durch Abtauen mit diesen Lippen zuerst sneht (was auch als Beweis für deren Tasternatur gelten kann). Dann sticht es, vermittelst zuerst mit der Oberlippe, ein und führt hierauf langsam den Kopf senkend, sämmtliche Borsten, die stets von der Unterlippe umschlossen bleiben, in die Wunde ein. Hat es sich vollgesehen, so zieht es die Stechorgane heraus und hebt erst zuletzt die Unterlippe ab. In ähnlicher Weise geht das Sängen beim *Culex*-Weibchen vor sich, nur dass sich hier die Unterlippe, während die anderen Theile in die Wunde eindringen in Folge ihrer Länge einklinkt, also ein Knie bildet, jedoch auch hier umfassen die Endlippen fortwährend die Borsten. Die *Anobis* und *Empididae* bringen ihre Stechborsten dadurch in Wirkung, dass sie die Unterlippe zurückziehen, wodurch zuerst die Spitze der Stechborste und dann auch die Unterkiefer aus den Endlippen vortreten. Dass die Unterlippe am lebenden Thiere je vollständig aufhöre, als Scheide zu fungiren, d. h. also sich von den Mundtheilen nach abwärts oder rückwärts gänzlich entfernt (im oben angeführten Falle bei *Culex* ist die Entfernung nur eine theilweise, da ja die Endlippen die Scheide ersetzen), diese dadurch frei werden und

so in Fähigkeit treten können, konnte ich nie beobachten und halte es auch für durchaus unwahrscheinlich. Die Unterlippe umgibt vielmehr immer und in jedem Falle die übrigen Mundtheile, nur die Oberkiefer können bisweilen ausserhalb dieser Scheide gelegen sein.

Man war lange Zeit der Ansicht, das Saugen erfolge bei den Dipteren, ebenso wie bei den übrigen Insecten angenommen wurde, mit Hilfe des sogenannten Saugmagens, für welche Ansicht Treviranns⁽⁵⁾ (l. c. p. 104 et seq.) ausführlich eintritt und die auch in neuester Zeit in Breitenbach (Jen. Zeit. 1881) für die Schmetterlinge einen Erneuerer gefunden hat, der dieselbe für eine „befriedigende Theorie“ hält. Dass diese Theorie nichts weniger als befriedigend ist, hat bereits Loew⁽¹⁰⁾ nach eigenen Beobachtungen treffend dargelegt und dem sogenannten Saugmagen seine richtige Stelle als Behälter für flüssige Nahrung angewiesen. Seine Bedeutungslosigkeit für das Saugen könnte auch schon daraus abgeleitet werden, dass er vielen Insecten, so unter den Dipteren den *Asilidae* (nach Dufour) fehlt. Nach Burmeister⁽⁹⁾ schieben sich die Unterkiefer in der von der Unterlippe gebildeten Rinne neben der Stechborste auf und ab und bilden, indem sich der „Saugmagen“ ausdehnt, ein förmliches Pumpwerk“ (l. c. p. 66 und 381). Diese Erklärung des Saugens ist abgesehen von der Zuhilfenahme des Saugmagens darum unmöglich, weil die Unterkiefer weder einer so ausgiebigen, noch so selbstständigen Bewegung fähig sind und bei den Blutsaugern vollständig in die Wunde eindringen und wäre keinesfalls allgemein zulänglich, da ja bei *Culex* die Unterlippe die anderen Theile nicht während des ganzen Saugvorganges umgibt, sondern von ihnen im Winkel gebogen absteht, was leicht zu beobachten ist und von älteren Autoren auch wiederholt abgebildet wurde. In Wahrheit befriedigend ist die Erklärung Meinert's und Dimmock's, die das Sagen in Folge Erweiterung des Pharynx geschehen lassen, welche Erweiterung mit Hilfe von Muskeln, die einerseits am Pharynx andererseits an der Innenseite des Kopfes inseriren, bewerkstelligt wird und wobei das Fulcrum, unser Schlundgerüst, eine hervorragende Rolle spielt. In ähnlicher Weise beschreibt auch Graber den Saugvorgang bei den Dipteren (l. c. p. 149). Zur Bekräftigung und Erläuterung dieser Ansicht dient der Sagittalschnitt durch den Kopf von *Tabanus apricus* Mg. Taf. IV, Fig. 33. — Aus diesem ersieht man, dass der Pharynx erweitert werden kann durch Muskeln, welche das Schlundgerüst umgeben (m_1 , m_3) und durch einen Muskel, welcher von der Stirn zur Umgebungsstelle der Speiseröhre geht, und die Oberwand derselben nach aufwärts zieht. Diesen Muskeln entgegen wirkt bei der Zusammenziehung ein Ringmuskel (m_2), der die Speiseröhre hinter dem Schlundgerüst umgibt. Erweiterung des Pharynx und Herstellung eines hohlen Raumes hiedurch also ist es, was das Aufsteigen der Flüssigkeit im Rüssel der Fliege bewirkt.

Nach dieser Übersicht über die einzelnen Theile und deren Bedeutung gehe ich nunmehr über zur Beschreibung der Theile und ihrer Verhältnisse in den einzelnen Familien. Doch ist dabei absichtlich ein zu weites Eingehen in Detailbeschreibungen der einzelnen Theile vermieden, indem überhaupt deren Werth ein sehr fraglicher ist und man sich leicht überzeugen kann, dass nicht nur innerhalb der Gattung, sondern sogar innerhalb der Art im Detail Unterschiede vorkommen, die rein individuell sind, bei Beschreibung der Mundtheile der Familie also nicht berücksichtigt werden können.

Bevor ich mich zu diesem speciellen Theil wende, fühle ich mich verpflichtet, den Herren Professoren Claus und Brauer, welche mich während vorliegender Arbeit freundlichst förderten und unterstützen, sowie dem k. k. Hofmuseum und Herrn J. v. Bergenstamm, deren Sammlungen ich werthvolles Material, sowie auch Literatur verdanke, hiemit meinen wärmsten Dank auszusprechen.

I. Unterordnung: ORTHORRHAPHA.

I. Gruppe: OLIGONEURA.

In der einzigen Familie dieser Gruppe sind folgende Theile deutlich vorhanden: Oberlippe; Unterkiefertaster, die der Basis der Unterkiefer aufsitzen, während der eigentliche Kautheil fehlt; ferner Stechborste und Unterlippe.

1. Fam. *Cecidomyiidae*: *Cecidomyia salicis* Schrank. ♀ ♂. Taf. I, Fig. 1.

Der kurze Rüssel der *Cecidomyiidae* besteht aus den oben angeführten Theilen. Oberlippe und Stechborste sind von ziemlich gleicher dreieckiger Gestalt und überragt die letztere erstere um ein ziemliches Stüek. Ihre Aussenränder, besonders die der Stechborste, sind behaart und werden beide von der Unterlippe überragt. Ober- und Unterkiefer fehlen, doch sind grosse viergliederige Unterkiefertaster vorhanden, die, wie bei den anderen Nemoeren, auf einer Tastersehuppe aufsitzen, deren Träger ein Chitinstück bildet, das als Stiel des verkümmerten Unterkiefers anzusehen ist. An der Unterlippe lässt sich ein Grundtheil das Mentum und die Endlippen, denen Pseudotracheen fehlen unterscheiden. Vom Schlundgerüst ist nur die untere, horizontale Platte vorhanden, die lange Fortsätze nach rückwärts aussendet.

II. Gruppe: EUCEPHALA.

In dieser Gruppe kann man mit Bezug auf die Mundtheile zwei Stufen der Anbildung unterscheiden, die sich jedoch nicht nach Familien trennen lassen, da sich innerhalb derselben Familie Beispiele für beide Stufen finden. Sämmtliche Gattungen, deren beide Geschlechter gleich entwickelte Mundtheile hatten, besitzen: Oberlippe, Unterkiefer mit deren Tastern, Stechborste und Unterlippe, wobei von den Unterkiefern doch die Basis deutlich vorhanden ist, wenn auch zuweilen (*Psychopteridae*, *Bibionidae*) das Kanststück verkümmert. Sind die Mundtheile in den Geschlechtern verschieden, so haben die Weibchen vollständige und sehr wohl entwickelte, d. h. es kommt zu obigen Theilen noch ein Paar sehr kräftiger Oberkiefer hinzu, während die Männchen derselben entbehren und bei ihnen meist auch die anderen Theile rückgebildet oder ganz verkümmert sind.

2. Fam. *Cuticidae*: *Culex pipiens* L. ♀. Taf. I, Fig. 15 b—c.

Culex nemorosus Mg. ♂ ♀. Taf. I, Fig. 15 a.

Corethra plumicornis Fabr. ♂ ♀. Taf. I, Fig. 14 a—c.

Wie sich die *Cuticidae* schon äusserlich, ihrem Rüssel nach, in zwei Gruppen bringen lassen, in solche mit ganz kurzem Rüssel, den *Corethrinae* und solche mit sehr verlängertem Rüssel, den *Cuticinae*, so lassen sich dieselben wenigstens bei den Hauptvertretern dieser Gruppen auch in der Zusammensetzung des Rüssels aufrecht erhalten.

Was zunächst die Gattung *Corethra* Mg. betrifft, so besteht deren Rüssel aus Oberlippe, Stechborste, Unterkiefer und Unterlippe. Die erste ist spitz, kurz, aussen stark chitinig, mit einer abgesetzten zarten Spitze. Die Stechborste ist lanzettlich, frauzig-behaart, mit wenig deutlicher Drüsenausmündung an der Basis. Die kurzen, lanzettlichen, behaarten Unterkiefer tragen auf einer Tastersehuppe lange, viergliederige Taster und haben eine lange, sich weit nach rückwärts erstreckende Basis. Die Unterlippe besteht aus einem ziemlich stark chitinenen Mentum, dem kurze, durch ein kräftiges Chitinstück gestützte Lippen aufsitzen, an denen sich Pseudotracheen finden. Die Theile sind in beiden Geschlechtern gleich. Bei *Culex* L. dagegen, dessen Weibchen Blut saugt, hat dieses Oberkiefer, die dem Männchen fehlen. Es besteht also der lange, gerade, nach abwärts stehende Rüssel von *Culex* aus zwei paarigen — Ober- und Unterkiefer — und drei unpaaren Stücken. Die Unterlippe, hauptsächlich vom Mentum gebildet, stellt ein Halbrohr dar, in dem die Borsten eingeschlossen sind. An ihrer Spitze sitzen die kurzen Endlippen, die dicht behaart sind und keine Pseudotracheen haben. Das Mentum ist seiner ganzen Länge nach dicht beschuppt. Von den Borsten ist die vorn zugespitzte Oberlippe die stärkste, sie ist so lang als die Unterlippe. Die Unterkiefer stellen lange, schmale Chitinborsten dar, die innen stärker chitinisiert und an der Spitze gezähnt oder gesägt sind. Die Stechborste ist dünn, spitz, von dem Drüseneanal durchzogen. Die Oberkiefer erscheinen als dünne elastische Chitinstreifen mit scharfen, ungezähnten Rändern (sie rollen sich bei der Präparation leicht spiralförmig auf). — Die Kiefertaster des Weibchens sind kurz, viergliedrig; ihre Form ist in den verschiedenen Arten sehr veränderlich. Beim Männchen fehlen die Oberkiefer ganz; die Unterkiefer sind kaum halb so lang als

die Oberlippe, die der des Weibchens gleicht; dagegen sind die Taster, hauptsächlich durch Verlängerung des zweiten Gliedes, so lang wie der ganze Rüssel, der fast nur von der Unterlippe, die ebenso wie die Taster beschuppt ist, gebildet wird. Die Stechborste scheint gänzlich zu fehlen. Das Sehndgerüst ist in beiden Geschlechtern sehr klein und nur dessen Horizontaltheil vorhanden.

Ob die Culicinenngattungen *Anopheles* Mg. und *Aedes* Mg. Blutsauger sind, ist mir nicht bekannt und konnte ich sie auch nicht untersuchen.

3. Fam. *Chironomidae*: *Chironomus plumosus* L. Taf. I, Fig. 11.

Ceratopogon fasciatus Mg. Taf. I, Fig. 12.

Wie in der vorigen Familie, so finden sich auch hier zwei Arten der Mundtheilentwicklung vor, die durch obige Gattungen repräsentirt werden.

Der kurze Rüssel von *Chironomus* Mg. wird von einem breiten, viereckigen Chitinlappen bedeckt, der als Fortsetzung des Untergesichts erscheint und an seiner Unterseite eine ovale, quere, fast seine ganze Ausdehnung einnehmende Grube zeigt, in die zahlreiche Poren einmünden: wahrscheinlich eine Drüse oder ein Sinnesorgan. Der Rüssel selbst besteht aus Ober- und Unterlippe, Stechborste und Unterkiefer mit deren Tastern. Die Oberlippe ist vorn verschmälert, stumpf, mit stark chitinenen Seitenrändern. An der behaarten und oft mit Borstentrümmern besetzten Spitze befindet sich bisweilen eine dornartig vorragende Chitinstelle. Die Stechborste, die dem Sehndgerüst, von dem nur der Horizontaltheil vorhanden ist, aufsitzt, besteht aus einem spitzen, schmalen Chitinstück, das von einer schwächeren Zone umgeben ist, die mit, gegen die Spitze zu dichter werdenden Haaren besetzt ist. Unterkiefer sind in Form von kurzen, schwachen Borsten vorhanden, die ebenfalls an der Spitze behaart sind. An deren Basis trägt eine Tasterschuppe die langen viergliedrigen Taster, die aus einem kurzen, und drei ungleichen, längeren Gliedern bestehen. An der Unterlippe trägt ein zweitheiliges Mentum die durch Chitinleisten gestützten Endlippen, welche die übrigen Theile umgreifen und einschliessen. Sie sind aussen behaart und entbehren der Pseudotracheen.

Ceratopogon Mg. weicht von *Chironomus* beträchtlich ab, indem beim Weibchen nicht nur grosse und starke Oberkiefer vorhanden sind, sondern auch sämtliche übrigen Theile von anderer Form und bedeutender Grösse sind. Die Oberlippe, aus den gewöhnlichen zwei Theilen bestehend, deckt die lanzettliche Stechborste, die in ihrer Form an die von *Tabanus* erinnert und an ihrem vorderen Ende gesägt ist. Die Oberkiefer, die beweglich mit einem länglichen Chitinstab, der am Kopf einlenkt, verbunden sind, haben an ihrem Ende vorn grosse Zähne, und können in der Richtung von rechts nach links bewegt werden. Die Unterkiefer sind schmal-dreieckige Chitinplättchen ohne dentliche Trennung in Basis und Kanstüek und tragen viergliedrige Taster, welche die Mundtheile wenig überragen. Die Unterkiefer sind bedeutend kürzer als die übrigen Theile. An der Unterlippe, die tief gespalten erscheint, kann man, wie stets, Mentum und Endlippen unterscheiden.

4. Fam. *Simuliidae*: *Simulia reptans* L. ♀. Taf. I, Fig. 10.

Wie bei allen blutsaugenden Orthorrhaphen finden sich auch hier, natürlich nur bei Weibchen, die Mundtheile in vollständiger Entwicklung. Es sind hier nicht nur die Oberkiefer vorhanden und ihrem Zweck entsprechend umgebildet, sondern auch Stechborste und Unterkiefer erscheinen sehr entwickelt, und werden in ihren Functionen durch die gleichfalls sehr ausgebildete Oberlippe unterstützt und stellen alle zusammen einen Apparat dar, der die Mandbewaffnung der *Tabanidae* und *Culicidae* an Wirksamkeit bei weitem übertrifft und dem selbst die Kleinheit des Insects wenig Abbruch thun kann. Die Oberlippe ist von der Form eines gleichschenkligen Dreiecks mit abgestumpfter Spitze. Diese ist ausserdem ansgerandet und mit zwei kurzen, starken Chitinzähnen besetzt. Die Stechborste ist länglich, vorn breit, dicht beborstet und wird, wie gewöhnlich, von einem Längs-canal durchzogen. Am auffallendsten gebildet sind die Oberkiefer, die gar nicht ihrer Form nach dem gewöhnlichen Ausdruck „Borsten“ entsprechen. Über deren Form orientirt man sich am besten durch die Abbildung (Taf. I, Fig. 10 c). Ihre ausgiebige Wirkung liegt offenbar in dem gesägten Rand und in der

Möglichkeit einer seitlichen Bewegung, wodurch sie nach dem Einstich die Wände noch vergrössern können. Die schmälere und spitzen Unterkiefer sind gleichfalls am Aussen- und Innenrand noch scharfzahniger gesägt; auf einer kleinen Tastersehuppe sitzen die langen, viergliedrigen Taster. An der Unterlippe lässt sich ein zweitheiliges Mentum und deutlich zweigliedrige Lippen unterscheiden; hiezu kommt noch eine unpaare, zwischen den Endlippen gelegene Chitinspitze (Fig. 10 *e, h*), die auch Meinert als *Ligula*, also die verschmolzenen Inncnladen deutet, wofür ich sie auch halten möchte. Die Stechborste und theilweise auch die Unterkiefer sitzen einem Schlundgerüst auf, das aus dem horizontalen Theile besteht, der hinten ausgerandet ist und kurze, starke, dreieckige Muskelfortsätze besitzt. So zeigt sich der Rüssel der Weibchen; die Männchen, die nicht blutsaugend sein sollen, konnte ich mir nicht verschaffen. Nach Meinert fehlen ihnen, wie zu erwarten war, die Oberkiefer und sind auch die Unterkiefer schwächer und weniger bewaffnet (vergl. Meinert, Taf. 1, Fig. 24—27 und p. 42).

5. Fam. *Blepharoceridae*: *Blepharocera fasciata* Westwood. ♀. Taf. I, Fig. 13 a—c.

Die Weibchen von *Blepharocera* besitzen vollständig entwickelte Mundtheile. Der ganze Rüssel ist mässig lang und wenig vorstreckbar. Die Oberlippe ist kurz, breit, vorn zugespitzt und sitzt mit ihrer unteren Lamelle einem starken Schlundgerüst von länglich viereckiger Form auf, welches nach rückwärts kurze Muskelfortsätze zeigt. Unter ihr liegt die gleich lange am Rande gezähnte und beborstete Stechborste von mässiger Stärke. Sehr stark entwickelt sind die Oberkiefer. An einer Chitinspange, die von der Innenseite des Kopfes ausgeht, artikulirt eine lange, verhältnissmässig schmale, schwach gekrümmte Chitinklinge, deren nach innen gekehrter Rand kammartig gezähnt und beborstet erscheint.

Diese Oberkiefer können ihrer Form nach zu beurtheilen bei Blutsängern kaum von grosser Wirkung sein, es müsste nur sein, dass sie ein Festhalten in der Wunde ermöglichen, sonst macht ihre Form es eher wahrscheinlich, dass sie zum Abstreifen von Blütenstaub dienen. Von unseren einheimischen Arten ist auch nicht bekannt, dass sie Blut saugen; Fr. Müller jedoch gibt von der von ihm beschriebenen *Paltostoma torrentium* (¹³) an, dass eine Form der Weibchen blutsaugend sei, und bildet deren Oberkiefer genau so ab, wie sie auch bei unserer *Blepharocera* sind (l. e. Estamp. VII, Fig. 14 und 21). Die Laden der Unterkiefer sind lanzettliche, spitze, ziemlich breite Chitinstücke; ihre Basaltheile sind zu einer breiten Platte verschmolzen, die nach rückwärts ähnliche Fortsätze aussendet, wie das Schlundgerüst. Aussen neben den Laden sitzen viergliedrige Taster von bedeutender Länge, die von einer Tastersehuppe entspringen.

Vom vorderen Ausschnitt der aus den verwachsenen Unterkieferbasen bestehenden Platte beginnt durch eine Gelenkshaut verbunden die Unterlippe. An dieser kann man ein durch eine mediane Leiste getheiltes Mentum und die ziemlich langen, vollständig getrennten Endlippen unterscheiden, die aussen beborstet sind und keine Pseudotracheen haben.

6. Fam. *Psychodidae*: *Psychoda phalarinoides* L. Taf. I, Fig. 16 a, b.

Pericoma nubilata Mg. ♀ ♂.

Phlebotomus Papatasi Scop. ♀ ♂. Taf. I, Fig. 17 a—d.

Auch in dieser Familie lassen sich nach den Mundtheilen zwei Gruppen unterscheiden, deren eine, mit vollständiger Entwicklung der Theile, die blutsaugenden *Phlebotomus*-Arten enthält, während die andere durch die harmlosen Gattungen *Psychoda* Latr. und *Pericoma* Wlk. vertreten wird.

Der kurze Rüssel dieser letzteren entbehrt der Oberkiefer, doch sind die anderen Theile vollständig vorhanden. Es findet sich nämlich unter der dreieckigen, sehr spitzen ziemlich starken Oberlippe die ebenfalls sehr spitze, an den Seiten dicht behaarte Stechborste von gleicher Länge, wie erstere; ferner grosse, verhältnissmässig starke, dicht behaarte Unterkiefer, die langen und schmalen Basaltheilen aufsitzen und die Mundtheile weit überragende viergliedrige Taster tragen. Die Unterlippe scheint in ihren Basaltheilen wenig chitinisirt; also sind — wozu auch die Kleinheit des Objects beitragen mag — Mentum etc. nicht deutlich

zu erkennen. Den Endlippen, die vollständig getrennt und am Rande mit Haaren und dicken Borstentummeln besetzt sind, fehlen die Pseudotracheen.

Die Gattung *Phlebotomus* Rond. dagegen, deren Weibchen Blut saugen, besitzt einen bedeutend längeren Rüssel, dessen einzelne Theile ihrer Form nach besser aus der Abbildung, als aus der Beschreibung erkannt werden können, und unter denen besonders die innen schief abgeschnittenen und hier gezähnten Oberkiefer, sowie die an ihrer Spitze gleichfalls abgestumpften und mit starken Nägezähnen besetzten Unterkiefer auffallen; letztere tragen viergliedrige beschuppte Taster und ragt ihr Basaltheil, nur wenig kürzer als das Kaustück, weit in den Kopf hinein. Stechborste und Oberlippe sind stark und spitz; beide sind vorn mit Haaren oder Borsten besetzt. An der Unterlippe kann man ein undeutlich zweitheiliges Mentum von bedeutender Länge, die anderen Theile umfassend, und an dessen Ende kurze Lippen ohne Pseudotracheen unterscheiden. Dem Männchen fehlen die Oberkiefer.

7. Fam. *Ptychopteridae*: *Ptychoptera contaminata* L. Taf. I, Fig. 18 a—c.

Ptychoptera Mg. (die sich auch durch ihr kurzes, nicht schnauzenartig verlängertes Untergesicht von den *Tipulidae* abtreunt) hat einen kurzen Rüssel, der aus Oberlippe, Stechborste und Unterlippe besteht. Die Laden der Unterkiefer fehlen, doch sind deren Basaltheile und auf diesen mittelst einer Tastersehne aufsteigend, viergliedrige Taster vorhanden, deren letztes Glied besonders stark verlängert ist. An der Unterlippe unterscheidet man ein deltoisches Mentum, dessen längere (innere) Spitze nach rückwärts gerichtet ist, während die kürzere (äussere) zweigetheilt erscheint und chitine Stützen der Endlippen, die hier wohl entwickelt und von zahlreichen Pseudotracheen durchzogen sind, trägt. Die Oberlippe ist sehr schwach, spitz dreieckig; unter ihr sitzt die breitere, stumpfe Stechborste am Schlundgerüst an.

8. Fam. *Rhyphidae*: *Rhyphus fenestralis* Scop. Taf. I, Fig. 9 a—d.

Der kurze Rüssel ragt stets aus dem Munde vor, ist wenig zurückziehbar und besteht aus Oberlippe, Stechborste, Unterkiefer und Unterlippe.

Die Oberlippe ist schwach und spitz, vorne franzig behaart. Unter ihr liegt die lanzettliche Stechborste, die vom Ausführungsgange der Speicheldrüse durchbohrt scheint. Zarte, am unteren Rande behaarte, mässig doppelt gekrümmte Unterkiefer tragen an ihrer Basis die grossen, viergliedrigen Taster, deren zweites Glied auffallend verdickt ist und ein eigenthümliches Organ enthält, das den Riechgruben in den Antennen vieler Insekten gleicht. Die Unterkiefer zerfallen deutlich in Stiel und Kaustück. An der Unterlippe kann man ein median getheiltes Mentum und mit diesem articulirend, die Endlippen unterscheiden, denen Pseudotracheen fehlen. Die obere Platte der Unterlippe ist häutig. Der allein vorhandene, horizontale Theil des Schlundgerüsts ist vorn stumpf und hat hinten, wie gewöhnlich Muskelfortsätze.

9. Fam. *Mycetophilidae*: *Sciara Thomae* L. Taf. I, Fig. 2 a—c.

Mycetophila punctata Mg. Taf. I, Fig. 3.

Anidulum femorale Mg. Taf. I, Fig. 4 a—c.

Bei *Sciara* Mg. besteht der Rüssel aus fünf Stücken, nämlich Ober- und Unterlippe, Stechborste und den paarigen Unterkiefern. Die Oberlippe ist stumpf, kurz dreieckig, an der Spitze behaart und besteht deutlich aus einer oberen Partie, die ein Dreieck mit stark ausgezogener Spitze darstellt und einer unteren, einem chitinisirten vorn stumpfen und ausgeschnittenen Rahmen, der mit dem Obertheil durch Seitenmembranen verbunden ist. Die Stechborste, von länglich viereckiger Gestalt, wenig zugespitzt, ragt etwas über die Oberlippe vor. Die Unterkiefer sind äusserst schwache, kurze Chitinborsten mit langen, viergliedrigen Tastern, welche die Mundtheile weit überragen. Die Basaltheile der Unterkiefer sind ziemlich stark entwickelt, unter einander verschmolzen und bilden einen Chitinbogen, der von unten die Speiseröhre umfasst. An der Unterlippe können wir ein kleines, deutliches Mentum und lange schmale Träger der

Endlippen unterscheiden, welche letztere zweigliedrig erscheinen und die Mundtheile umfassen. Das Schlundgert ist auch hier nur durch die kurze, viereckige Horizontalplatte dargestellt.

Bei *Mycetophila* Mg. ist das Untergesicht unter den Fühlern angeschwollen und trägt an seiner Spitze eine kleine, zarte Oberlippe. Die Stechborste scheint hier zu fehlen oder ist vielleicht ihrer Zartheit halber nicht leicht aufzufinden. Die Endlippen sind sehr gross und aufgeblasen, sitzen auf einem T-förmigen Träger und haben nur einen am Innenrand verlaufenden Tracheenstamm. Die Unterkiefer sind bis auf ein kleines, nagelartiges Stück rückgebildet und vereinigen sich deren deutliche Basaltheile nicht. Die Taster sind gross, viergliedrig mit kleinem Basalglied.

Asindulus Latr., dreht sein vorgezogenes Untergesicht und seinen langen, vorstreckbaren Rüssel von den übrigen Mycetophiliden ausgezeichnet, hat alle Theile wohl entwickelt. Besonders auffällig ist hier die Bildung der Unterkiefer. Ihre Laden sind zarte, schmale, behaarte Chitinborsten, die einem starken, langen, trapezoidalen Stück aufsitzen, den verschmolzenen Stipites, an das sich rückwärts jederseits ein kurzer dicker Chitinstab, die Cardines, gelenkig anschliesst, der wieder am Mundrand innen eingelenkt ist. — Dadurch ist eine Bewegung der Unterkiefer und durch diese auch eine der Unterlippe ermöglicht, die in ihrer Ausführung an jene erinnert, die von der Maske der Libellenlarven ausgeführt wird, da ähnlich wie bei diesen die Cardines und Stipites im Winkel zu einander stehen. Die Unterlippe, lang und schmal, zeigt auf einem kurzen, breiten Mentum lange, zweigliedrige Endlippen und hat in ihrer Form auffallende Ähnlichkeit mit der Unterlippe von *Pulex*. (Auf Verwandtschaftsbeziehungen zwischen *Aphaniptera* und *Mycetophilidae* hinweisend, sagt Osten-Sacken, Catal. of Diptera 1878, p. IV: „Although I consider the *Aphaniptera* as directly related to the *Mycetophilidae*.“) An der Oberlippe sind wie gewöhnlich zwei Lamellen deutlich zu unterscheiden. Sämmtliche Theile sind in grösserem oder geringerem Grade an den Rändern behaart.

10. Fam. *Bibionidae*: *Scatopse notata* L. Taf. I, Fig. 8 a—c.

Penthetria holosericea Mg. Taf. I, Fig. 6.

Dilophus vulgaris Mg. Taf. I, Fig. 7.

Bibio Marci L. Taf. I, Fig. 5 a—d.

Der Rüssel der *Bibionidae* ist kurz und wenig vorragend und besteht aus Oberlippe, Stechborste und Unterlippe. Die Unterkiefer fehlen entweder vollständig (*Dilophus*, *Scatopse*), oder es sind nur ihre Basaltheile vorhanden (*Bibio*, *Penthetria*), welche als unregelmässig begrenzte, gekrümmte Chitinplatten den Rüssel stützen, ohne aber in der Mitte zusammen zu treffen. Sie tragen auf einer Tastersehne die viergliedrigen Taster. Innerhalb der Taster befindet sich bei *Bibio* ein kleiner starker Chitinzahn, der als Rudiment der Unterkieferlader betrachtet werden könnte. Die Oberlippe ist dreieckig, ein innerer Theil spitzig, ein äusserer diesen umgebender, schwächer, stark behaart und an der Spitze in zwei Lappen gespalten. Sie besteht also auch hier aus zwei Lamellen, deren untere, am Rande besonders stark chitinisirt vom Schlundgert entspringt, während die obere Fortsetzung des Untergesichts ist.

Die etwas längere Stechborste ist gleichfalls an der scharfen Spitze behaart. An der Unterlippe zeigen die Endlippen, die deutlich zweigliedrig und stark entwickelt sind, keine Pseudotracheen, sondern oft nur starke und lange Behaarung. Das Schlundgert besteht aus einer horizontalen Platte, die lange, meist löffelförmige Fortsätze aussendet.

Von allen übrigen *Bibionidae* weicht *Scatopse* Geoff. in der Bildung der Mundtheile ab, und unterscheidet sich nicht nur von diesen, sondern auch von allen anderen Nemoceriden dadurch, dass sie eingliedrige, keulenförmige Unterkiefertaster hat. (Die nahe stehende Gattung *Aspistes* Mg. soll ebenfalls „unendlich gegliederte Taster“ haben.) Die Endlippen erscheinen hier wie eine Wiederholung der Taster, nur sind sie länger und schmaler als diese und sitzen auf zwei queren länglichen Chitinplättchen, die vielleicht dem Mentum entsprechen. Die Stechborste ist ziemlich lang, vorn abgesetzt rutenförmig, am Rande behaart, und überragt mit ihrem Ende die Oberlippe. Unterkiefer fehlen; doch sind eigenthümliche, kurze ganz ungegliederte

Taster vorhanden. Die Ränder der horizontalen Platte des Schlundgerüsts sind wie bei den übrigen *Bibionidae* stark aufgebogen.

III. Gruppe: POLYNEURA.

In den beiden Familien, welche diese Gruppe umfasst, kommen folgende Theile vor: Oberlippe, Unterkiefer mit langen Tastern, Stechborste und Unterlippe. Die Oberlippe kann hier sehr zart und klein, beinahe verkümmert sein. Die Unterkiefer sind im Kaustück sehr schwach entwickelt, und kann dieses auch ganz fehlen. Doch sind stets die Basaltheile median verwachsen, in wohl entwickeltem Zustand vorhanden, und erscheinen dann als Träger der Taster. Die Endlippen sind meist gross und stark ausgebildet.

11. Fam. *Limnobiidae*: *Limnobia annulus* Mg. Taf. II, Fig. 1 a—d.

Epiphragma picta Fabr. Taf. II, Fig. 1 e.

Die beiden untersuchten Gattungen dieser Familie zeigen folgende Theile: die Oberlippe hat ansser der dreieckigen Platte, wie sie bei den *Tipulidae* vorkommt, noch unter derselben drei längere Chititheile, von denen die äusseren franzig behaart sind, und die alle drei zusammen die untere Lamelle vorstellen. Die Stechborste, mit dem Schlundgerüst verbunden, ist so lang, wie die Oberlippe, stark chitinisirt und mit einem rinnenartigen Canal versehen, am Ende gleichfalls behaart. Die Unterkiefer, bei *Epiphragma* fehlend, sitzen auf einem Y-förmigen Träger auf, sind sehr schwach säbelförmig und aussen behaart. Ausserhalb der Unterkiefer sitzen die viergliedrigen Taster mit sehr kurzen letztem Glied, wodurch sie sich auch von denen der *Tipulidae* unterscheiden.

Die Endlippen der Unterlippe sitzen, deutlich zweigliedrig, auf einem gemeinsamen Träger, doch ist hier im Gegensatz zu den *Tipulidae* auch ein Mentum, wenn auch nur schwach entwickelt, vorhanden. Das Schlundgerüst ist ziemlich gross und besteht aus der horizontalen Platte mit kleinen Muskelfortsätzen.

12. Fam. *Tipulidae*: *Ctenophora* spec.? Taf. II, Fig. 3.

Pachyrrhina pratensis L.

Tipula ochracea Mg. Taf. II, Fig. 2.

Das Untergesicht der *Tipulidae* ist stark schnauzenförmig vorgezogen und umschliesst die wenig vorstreckbaren Mundtheile so, dass die stark entwickelten Endlippen, Oberlippe und Stechborste nur mit ihren Enden und die Taster vollständig vorragen, während deren Basaltheile und Träger in dem von Untergesicht und Kehle gebildeten Rohr eingeschlossen sind. Man kann bei *Tipula* L. und *Pachyrrhina* Mg. folgende Theile unterscheiden. Eine sehr zarte, dreieckige, kurze Oberlippe, unter ihr die ebenfalls zarte, nur wenig längere Stechborste, die wie stets an dem hier stark entwickelten Schlundgerüst ansitzt, das die Speiseröhre umschliesst und nach hinten noch mit einem chitinisirten Theil derselben zusammenhängt. Unterkieferlader konnte ich — entgegen der Angabe Gerstfeld's l. c. p. 27 — keine finden; dagegen sind deren Basaltheile wohl entwickelt vorhanden und stellen in der Mittellinie verschmolzen einen T-förmigen Chitinstab dar, der an den Enden des Querstabes die viergliedrigen Taster trägt. Unter diesem liegt ein ähnlicher Chitinstab: die obere Lamelle der Unterlippe, oder doch ein Theil derselben, welcher die Endlippen trägt, die mit ihm gelenkig verbunden sind. Der als Mentum bezeichnete Theil fehlt oder richtiger, er ist nur häutig und nicht chitinisirt. Über der Oberlippe, am Ende des Untergesichtes, findet sich, besonders bei *Pachyrrhina* entwickelt, ein warzenartiger, beborsteter Vorsprung. Die Stechborste steht an ihrer Spitze in sehr inniger Verbindung mit den Endlippen, so dass sie von diesen nur schwer zu trennen ist.

Ctenophora Mg. hat eine viel kürzere Untergesichtsschnauze und fehlen auch hier die Unterkiefer, wenn man nicht etwa einen kleinen Chitin Zahn am Träger der Taster als Rudiment eines Ladens ansprechen wollte. Die zweigliedrigen Endlippen sitzen auf einem stark chitinisirten Stüek, von der Taf. II, Fig. 3 abgebildeten Form, das in der Untergesichtsschnauze zurückgezogen liegt und wohl der oberen Platte der Unterlippe entspricht.

Die Gattungen *Rhaphomyia* Mg. und *Geranomyia* Hal. verdanken ihren langen Rüssel hauptsächlich der Verlängerung des Unterkiefers; doch ist bei letzteren in der That auch der Rüssel selbst verlängert.

IV. Gruppe: CYCLOCERA.

Die beiden Unterabtheilungen, in welche diese Gruppe gebracht ist, die *Notacantha* und *Tanystoma* zeigen auch in der Bildung der Mundtheile wesentliche Verschiedenheit. Während bei den Familien der *Notacantha*, den *Stratiomyidae*, *Xylophagidae* und *Coenomyidae*, deren sämtliche Vertreter Blumenfliegen sind, die Unterlippe am meisten entwickelt ist und die anderen Theile oft bis zur gänzlichen Verkümmernng des einen oder des anderen Stückes, einen geringen Grad der Ausbildung zeigen, sind es bei den *Tanystoma*, den *Tabanidae* und *Leptidae* meistens gerade die übrigen Theile, die gut entwickelt sind, was für sie als Blutsauger oder Raubfliegen von grosser Bedeutung ist. Ausserdem finden sich bei den Weibchen aller *Tabanidae*, sowie einiger *Leptidae* kräftige Oberkiefer, die deren Männchen als Blumenfliegen fehlen. Die Taster sind meist gross und zwei- oder sogar dreigliedrig (*Actina*), nur in einzelnen Fällen eingliedrig (*Pachygaster*, *Beris*, *Sargidae*).

a) NOTACANTHA.

13. Fam. *Stratiomyidae*: *Pachygaster ater* Pz. Taf. II, Fig. 5.

Nemotelus signatus Frwdsky. Taf. II, Fig. 8.

Nemotelus pantherinus L.

Ozycera Meigenii Stg. Taf. II, Fig. 9.

Ozycera pulchella Mg.

Stratiomys chameleon Dg. Taf. II, Fig. 4.

Lasiopa villosa Fabr. Taf. II, Fig. 6.

Odontomyia ornata Mg.

Odontomyia viridula Fabr.

Sargus euparius L. Taf. II, Fig. 7.

Chrysoomyia formosa Scop.

Beris clavipes L.

Actina nitens Latr. Taf. II, Fig. 10.

Die Mundtheile dieser Familie zeigen, trotzdem alle Arten derselben Blütenbesucher sind, also einerlei Nahrung haben, in der Ausbildung der einzelnen Theile eine ziemlich grosse Verschiedenheit. Wie überall, bildet auch hier die Unterlippe die Scheide, in der die übrigen Theile, so weit sie vorhanden, versteckt liegen, doch variiert sowohl die erstere, als auch die letzteren in Form und Grösse bedeutend. Bei den einfachsten Formen, wie *Nemotelus* Geoff., *Odontomyia* Mg., *Ozycera* Mg., *Actina* Mg. und *Beris* Latr. sind nur Oberlippe, Unterlippe und Stechborste vorhanden, welche letztere bei *Ozycera* sehr deutlich wird; bei *Sargus* Fabr. und *Chrysoomyia* Meq. sind ausser der rudimentären Stechborste auch noch gleichfalls rudimentäre Unterkiefer vorhanden, bei *Stratiomys* Geoff. sind letztere schon deutlich, wenn auch hauptsächlich im Basaltheil entwickelt und zeigen sich endlich am weitesten ausgebildet bei *Pachygaster* Mg. und *Lasiopa* Brullé, bei welcher letzterer man deutlich Basis und Kanstiel unterscheiden kann. Unterkiefertaster sind in allen diesen Fällen vorhanden und nur bei *Nemotelus*, *Sargus* und *Beris* sehr klein. Der Rüssel als Ganzes betrachtet, ist meist kurz und nur wenig vorstreckbar und fällt oft — so bei *Sargus* — am lebenden Thier durch seine schneeweissen, grossen Lippen besonders in die Augen. Bei *Nemotelus*, dessen Rüssel als gekniet bezeichnet wird, und ebenso bei *Odontomyia*, sind besonders die Endlippen lang und schmal und dadurch der ganze Rüssel weit vorragend. — Die Oberlippe ist bei allen Gattungen von ziemlich gleicher Form; sie bildet ein längliches, verhältnissmässig breites Halbrohr von ziemlicher Stärke, das an seinem vorderen Ende ausgeschnitten ist und mit seiner unteren Platte, die oft sehr überwiegt (Taf. II, Fig. 4 a), dem Schlundgerüst aufliegt. Die Stechborste ist auch dort, wo sie deutlich vorhanden ist, klein, kürzer als die

Oberlippe, meist dreieckig und zeigt keinen Canal, sondern nur die Ansmündungsöffnung der Drüse. Unterkiefer sind, wie bereits erwähnt, bei *Pachygaster* und *Lasiopa* deutlich entwickelt, und sind von lanzettlicher Form und etwas kürzer als die Oberlippe. Bei *Lasiopa* setzen sie sich hinter ihrer Einlenkung am Schlundgerüst in ein stark chitinisirtes Basalstück fort, das an seinem Ende die zweigliedrigen Taster trägt. *Pachygaster* hat einen kurzen ungliederten Taster. Bei *Stratiomya* ist der Basaltheil in Form eines queren, länglichen Chitinstreifens jederseits vorhanden, der an seinem inneren Ende einen starken, nach vorn gerichteten Chitinzahn, das Rudiment des Kanstückes, und nach aussen die zweigliedrigen Taster trägt. Den übrigen Gattungen fehlen die Unterkiefer gänzlich oder sind nur rudimentär. Die Taster sind bei jenen Gattungen, bei welchen sie entwickelt sind, zweigliedrig, mit Ausnahme von *Pachygaster*, der eingliedrig und *Actina*, die sehr grosse, dreigliedrige Taster hat. An der Unterlippe sind besonders die Endlippen stark entwickelt. Diese sind mit dem Mentum, das kurz, breit und meist durch eine Mittelleiste in zwei seitliche Theile getrennt ist, gelenkig verbunden und deutlich zweigliedrig. Sie sind dicht behaart und reichlich mit Pseudotracheen versehen. Besonders anschwellbar sind sie bei *Sargus*, *Nemotelus* und *Odontomyia* weichen in der Form der Lippen bedeutend ab, indem sie hier verschmälert und aussen stark chitinisirt erscheinen; auch sind weniger Pseudotracheen vorhanden, als bei den übrigen Gattungen.

Das Schlundgerüst der *Stratiomyidae* ist sehr ausgebildet, umgibt als stark chitinisirtes Rohr die Speiseröhre an ihren Anfangstheil vollständig und artenlirt mit seinem vorderen Ende am Unters Gesicht. Bei einigen Gattungen sind die stets vorhandenen Muskelfortsätze seines Horizontaltheiles besonders stark entwickelt und ragen weit in den Kopf hinein (*Oxyera*, *Actina*, *Sargus*, *Chrysomyia*).

14. Fam. *Xylophagidae*: *Xylophagus ater* Fabr. Taf. II, Fig. 11.

Subula marginata Mg. Taf. II, Fig. 12.

Der kurze Rüssel besteht aus einer breit lanzettlichen Oberlippe, die an der Spitze ausgeschnitten ist; aus einer schmälern, stärker und abgesetzt (*Subula*) chitinisirten Stechborste mit dem gewöhnlichen Längs canal; aus langen, säbelartig gekrümmten Unterkiefern mit breiter Basis, der dicht behaarte zweigliedrige Taster ansitzen, und endlich der Unterlippe. Diese wird von einem zweitheiligen Mentum und zweigliedrigen stark entwickelten Endlippen gebildet, die von zahlreichen Pseudotracheen durchgezogen sind. Die obere Platte ist, wie in der vorigen Familie, häutig. Bei *Subula* sind die Unterkieferlader kurz und schwach. Das Schlundgerüst ist durch die Horizontalplatte vertreten, die hinten lange Muskelfortsätze trägt.

15. Fam. *Coenomyidae*: *Coenomyia ferruginea* Scop. Taf. II, Fig. 13.

Die Mundtheile der *Coenomyidae* gleichen sehr denen der *Leptidae*. Die Oberlippe, die anderen Theile deckend, stellt eine Hohlrinne dar und ist vorn stumpf; unter ihr liegt eine schwache Stechborste von gleicher Länge. Die Unterkiefer, zur Seite der Oberlippe gelegen, sind schwach gekrümmt, spitz und zart und tragen an ihrem trapezoidalen Basalstück grosse, ungliederte, keulenförmige Taster, welche länger als die Lader der Unterkiefer sind. Die Unterlippe erinnert in der Bildung ihrer grossen Endlippen an die *Stratiomyidae*; doch ist das Mentum hier mehr häutig. Die Taster des Männchens sind schlanker, nicht keulenförmig; sonst gleichen sich beide Geschlechter in den Mundtheilen völlig. Vom Schlundgerüst ist nur der Horizontaltheil vorhanden. Es gleicht dem der *Tabanidae*.

b) TANYSTOMA.

16. Fam. *Tabanidae*: *Tabanus rusticus* L. ♂.

Tabanus spodopterus Mg. ♀.

Tabanus apricus Mg. ♂ ♀. Taf. II, Fig. 14, 15.

Tabanus bromius L. ♀.

Hexatoma pellucens Fabr. ♀. Taf. II, Fig. 18.

Aematopota pluvialis L. ♂ ♀. Taf. II, Fig. 17.

Chrysops coecutiens L. ♂ ♀. Taf. II, Fig. 16.

Chrysops rufipes Mg. ♀.

Pangonia sorbens Wdm. ♂ ♀. Taf. II, Fig. 19.

In der von der Unterlippe gebildeten Scheide liegen hier vier (♂) bis sechs (♀) deutliche Theile, die als Oberlippe, Stechborste, Ober- und Unterkiefer zu erkennen sind; wo nur vier vorhanden sind, was bei den Blüthen besuchenden Männchen der Fall ist — doch fängt man oft auch Weibchen von *T. apricus* und *bromius* auf Blüthen — fehlen die Oberkiefer oder sind nur rudimentär vorhanden. Bei den untersuchten vier ersten Gattungen gleichen sich im Ganzen die einzelnen Theile in Form und verhältnissmässiger Länge und weichen nur im Detail, sowie bei den Geschlechtern von einander ab. Bei der Gattung *Pangonia* Latr. zeigen dieselben Theile eine durch die oft enorme Verlängerung des ganzen Rüssels bedingte Formveränderung. Bei ins Detail eingehender Untersuchung und entsprechender Vergrösserung findet man Unterschiede der Arten in Form und Bildung der einzelnen Theile, die aber wohl von geringem praktischem Werth sein dürften, und die ich des Näheren nicht berücksichtigen werde.

Bei *Tabanus* L. ♀ überragt die Oberlippe die übrigen Mundtheile, denen sie als Decke dient. Sie ist sehr kräftig, besonders aussen stark chitinisirt und hat an dem vorderen stumpfen Ende drei stärkere chitinisirte, körnig erscheinende Stellen, die vielleicht beim ersten Einstich in die Haut wirken. Unter ihr liegt die etwas kürzere, schwächere Stechborste mit einer Mittelrinne versehen. Ihr Ende ist in den verschiedenen Arten ungleich gestaltet: bei *apricus* Mg. stumpf abgerundet, bei *spodopterus* Mg. ausgeschnitten, bei *bromius* L. spitz zulaufend, dann plötzlich abgestumpft. Da sie kürzer als die Oberlippe ist, kann sie erst nach dieser beim Einstich in Wirkung treten. Die Oberkiefer sind zwei lanzettliche, am vorderen inneren, sowie am äusseren Rande an der Basis stärker chitinisirte Platten, die vorn innen gesägt sind, was je nach der Art in Stärke und Ausdehnung variiert. Sie sind so lang wie die Oberlippe und können in der Richtung von rechts nach links bewegt werden. Die Unterkiefer, von gleicher Länge wie die Oberkiefer, sind viel spitzer als diese, in der Mitte stark chitinisirt, an den Rändern schwächer; sie sind von der Spitze an, zur Seite der stärkeren Chitinisierung mit nach einwärts — der Mundöffnung zu — gerichteten schuppenartig geordneten Zähnen besetzt und ausserdem am Innenrand zart und lang behaart.

Beim Männchen von *Tabanus* L. ist die Oberlippe in der Form gleich der des Weibchens und kann man, wie bei dieser, beide Lamellen deutlich unterscheiden. Sie ist jedoch schwächer und fehlen die gekörnten Stellen an der Spitze, was dafür sprechen würde, dass sie beim Weibchen, wie oben erwähnt, für den Hautstich nützlich sind. Ebenso ist die Stechborste kürzer und schwächer.

Die Oberkiefer fehlen nicht, wie bisher angegeben, vollständig, sondern sind als kleine, stark chitinige Plättchen an der Basis der Oberlippe vorhanden, ohne jedoch in irgend einer Weise wirken zu können. Auch die Unterkiefer, die in der Form denen der Weibchen gleichen, sind schwächer und kürzer und ohne Zähne an der Spitze, doch dichter behaart. Die Behaarung der einzelnen Theile tritt überall dort stark auf, wo die Thiere anschliesslich Blüthenbesucher sind.

Die Mundtheile von *Chrysops* Mg. gleichen mit wenig Abweichungen denen von *Tabanus*; die Stechborste des Weibchens ist zweispitzig; die Oberkiefer haben an der Spitze wenige, aber grobe Zähne; ebenso die Unterkiefer. Auffallend ist der Grössenunterschied der Mundtheile in den beiden Geschlechtern; bei gleicher Grösse des Thieres sind die männlichen Mundtheile kaum halb so gross, wie die weiblichen (vergl. Taf. II). Rudimentäre Oberkiefer konnte ich hier so wie bei *Haematopota* beim Männchen keine finden.

Auch *Haematopota* Mg. zeigt dieselbe Form der Theile wie *Tabanus* mit geringen Veränderungen. Beim Männchen sind alle Theile schwächer; der Grössenunterschied in den Geschlechtern ist auch hier beträchtlich und besonders die Taster auffallend verschieden.

Hezatonota Mg. schliesst sich in der Bildung der Mundtheile ganz an *Tabanus* an; alle Theile sind hier gedrungen und sehr kräftig. Die Stechborste ist an der Spitze tief ausgeschnitten. —

In allen vier Gattungen unterscheiden sich Männchen und Weibchen durch die stets zweigliedrigen Taster, deren meist charakteristische Formen auch bereits bei Sondern der Arten verwendet worden sind (Brauer, Die Zweiflügler des k. Museums. Denkschr. XLII. Bd.). Beim Männchen sind sie immer im Verhältniss zu den Mundtheilen sehr gross. —

Wie in der Form der sogenannten Mundborsten, kann man auch eine Übereinstimmung bei den bisher besprochenen Gattungen in der Bildung der Unterlippe erkennen. Hier ist die Form des Mentum charakteristisch, welches immer aus einem stark chitinisirten, kurzen, wenig gewölbten Stück besteht, an dem sich vorn, als Stützen der Lippen, zwei höhlenartige Fortsätze finden. Die Basis der Rinne, in der die Borsten liegen, bildet aber nicht dieses Mentum, sondern eine ober ihm gelegene Chitinlamelle, die obere Platte der Unterlippe, an deren äusserem (unterem) Ende die Endlippen ansitzen. Diese sind gross und breit und bezeichnen in ihnen zwei starke unregelmässig begrenzte Chitinstücke den Rest der Gliederung, während der übrige, zartere, häutige Theil von zahlreichen Pseudotracheen durchzogen wird, die in der Mitte jederseits in einen Hauptstamm münden. Die äussere Fläche, der auch die beiden erwähnten Chitinstücke angehören, ist derber und borstig behaart.

Bei *Pangonia* Latr. sind sämtliche Theile stark verlängert und bilden einen *Bombylius*-artigen Rüssel. Die Oberlippe ist spitz und gewölbt beim Weibchen, kürzer und stumpf beim Männchen; die Stechborste des ersteren ist schmal, spitz und stark chitinig, der Mittellapp sehr deutlich; beim Männchen ist sie schwächer. Die Oberkiefer sehr lang und schmal, nicht gesägt beim Weibchen, scheinen dem Männchen ganz zu fehlen. Sehr deutlich ist der Geschlechtsunterschied in den Unterkiefern ausgedrückt, die beim Weibchen sehr lang und schmal, stark chitinisirt sind und jederseits eine Reihe grosser Sägezähne zeigen, während sie beim Männchen, obwohl von gleicher Form, der Zähne ganz entbehren. Die Sondernung in Basis und Kaustück, die bei den anderen *Tabanidae* nndeutlich ist, lässt sich hier sehr klar erkennen. Am Stamm sitzen die zweigliedrigen Taster. Das Mentum ist stark verlängert und ebenso auch die obere Platte der Unterlippe; auch sind die Endlippen lang und schmal und nur von einigen Pseudotracheen der Länge nach durchzogen. Die Gelenkhaut an der Basis ist tubusartig in sich eingeschoben und ermöglicht so ein Verlängern und Verkürzen der Unterlippe.

Vom Schlundgerüst ist (wie bei den meisten Orthorrhaphen) in dieser Familie nur der untere horizontale Theil vorhanden, doch ist auch die gegenüber liegende Wand der Speiseröhre etwas chitinisirt und setzt sich an sie ein breiter Muskel an, der die Sanguhebewegung unterstützt (vergl. Taf. IV, Fig. 33).

17. Fam. *Leptidae*: *Leptis tringaria* L. ♂ ♀.

Leptis strigosa Mg. ♂ ♀. Taf. II, Fig. 22.

Chrysopila aurea Mg. ♂ ♀.

Atherix Ibis Fabr. ♂ ♀. Taf. II, Fig. 20.

Symphoromyia melvina Mg. ♀. Taf. II, Fig. 21.

Symphoromyia crassicornis Pz. ♀.

Die Mundtheile dieser Familie gleichen sehr denen der vorhergehenden. Die der Gattungen *Leptis* Fabr. und *Chrysopila* Mg. stimmen in beiden Geschlechtern mit denen der *Chrysops*-Männchen überein und entbehren der Oberkiefer. Die Oberlippe ist spitz und von der bei *Tabanus* beschriebenen Form, die Stechborste etwas kürzer, vorn angerandet und stumpf. Die Unterkiefer, von der Länge der Oberlippe, sind ziemlich breit, spitz, doch schwach und tragen lange, die Mundtheile weit überragende Taster, die nndeutlich zweigliedrig sind und denen von *Chrysops* gleichen. Bei *Chrysopila* sind alle Theile sehr zart.

Atherix Mg. und *Symphoromyia* Prfld. (*Ptiolina* Ztt.) weichen von den übrigen *Leptidae* sehr ab und schliessen sich ganz an die *Tabanidae* an, wie sie ja auch im Habitus und Benehmen den *Chrysops*-Arten gleichen. Diese Gattungen haben nämlich im weiblichen Geschlecht vollständig entwickelte Oberkiefer, während diese den Männchen fehlen. Diesen scheint aber noch ausserdem auch die Stechborste zu fehlen, die bei den Weibchen, kurz und stumpf bei *Atherix*, von gleicher Länge wie die Oberlippe bei *Symphoromyia*,

vorhanden ist. Die Taster sind ebenfalls wie die der *Tabanidae* deutlich zweigliedrig. Trotz der Verschiedenheit der Mundtheile haben beide Geschlechter dieselbe Lebensweise, da man sie zusammen, wie die übrigen *Leptidae*, meist auf Blättern sitzend findet, wo sie wahrscheinlich auf ihre Beute, kleinere Insecten, lauern. Dass die Weibchen beider Gattungen den Menschen anfliegen in der Art wie *Chrysops*, wird von verschiedenen Beobachtern bestätigt, doch ist nicht bekannt, dass sie Blut saugen. Von Interesse ist die Notiz O. Sacken's in „Western Diptera“ (Bull. U. S. Geol. Survey III, p. 224, 1877): „The female of one of these species (of *Symphoromyia*), which I observed near Webster Lake stings quite painfully and draw's blood like a *Tabanus*“ — wodurch die Übereinstimmung in der Lebensweise beider Familien dargethan ist. Vielleicht saugen die einheimischen *Atherix*- und *Symphoromyia*-Weibchen das Blut niederer Thiere, deren Haut ihren zarten Stechorganen den Einstich erlaubt.

Das Mentum der Unterlippe ist sehr zart und meist nur am Rande stärker; kann, wie bei *Chrysopida*, eine Längstheilung zeigen oder auch eine einfache Platte vorstellen. Die deutlich zweigliedrigen Endlippen sind aussen stark chitinisirt und haben innen zahlreiche Pseudotracheen. Sie sind stets ziemlich gross. Das Schlundgerüst gleicht dem von *Tabanus*.

V. Gruppe: ORTHOCERA.

Die grösste Mannigfaltigkeit in der Bildung des Rüssels tritt uns in dieser Gruppe entgegen. Besonders zwei Familien, die *Acroceridae* und *Mididae* nehmen durch die grosse Formverschiedenheit des Rüssels in den einzelnen Gattungen einen hervorragenden Platz ein, sowie auch dadurch, dass ihnen die Kiefertaster, die sonst stets vorhanden sind, gänzlich fehlen können. Die anderen Familien zeigen, so sehr sie auch in der Länge des ganzen Rüssels und in der Entwicklung der einzelnen Theile variiren, insofern eine Übereinstimmung, als immer Oberlippe, Unterkiefer, Unterkiefertaster, Stechborste und Unterlippe vorhanden sind, wenn auch von den Unterkiefern oft das Kaustück fehlt.

18. Fam. *Acroceridae*: *Ogodes zonatus* Erichs. ♂ ♀. Taf. III, Fig. 1.

Die aus dieser Familie untersuchte einheimische Gattung *Ogodes* Latr. hat ganz rudimentäre Mundtheile. Wie aus der Abbildung hervorgeht, sieht man in der Membran, die zwischen Untergesichtsrand, Kehle und Backen ausgespannt ist, einen Chitiring, der durch eine Haut, die sich trichterförmig nach innen fortsetzt, geschlossen ist. Im Zusammenhange mit dem Hinterrand dieses Ringes steht nach innen (in der Figur nach unten geschlagen) eine rundliche, ziemlich starke Chitiplatte, an die sich jene trichterförmige Membran anlegt. Ob sich am Grund jenes Trichters eine Öffnung befindet oder nicht, konnte ich nicht mit Sicherheit feststellen. Da mir keine frischen Exemplare zur Verfügung standen, war es mir nicht möglich, über das Verhalten der Speiseröhre, sowie über allenfalls vorhandene Muskeln, etwas zu ermitteln. Es scheint mir jedoch wahrscheinlich, dass der Ring mit der Platte dem Schlundgerüst entspricht, während alle anderen Theile fehlen. —

Nach Erichson's Angabe „Zur Gattung *Ogodes*“⁽¹⁾ hätte *Ogodes* Latr. einen kurzen, jedoch deutlichen Rüssel, wie er an einem lebenden Exemplar gesehen haben will; er gibt jedoch keine nähere Beschreibung, eben so wenig wie in seiner Monographie der *Henipier* (Entomographien)⁽²⁾, in welcher er nur den langen *Bombylius*-artigen Rüssel der exotischen Formen, als genau untersucht, ausführlich beschreibt. Nach dieser Beschreibung würden sich die *Acroceridae* von allen Dipteren dadurch unterscheiden, „dass in der Anbildung der Unterlippe nur drei Borsten enthalten sind: die Oberlippe und die Maxillen. Es fehlt die Zange (Stechborste), die wir sonst selbst da finden, wo wir auch die Maxillen — durch besondere Borsten repräsentirt — vermissen“ (l. c. p. 136.) Durch den gänzlichen Mangel der Unterkiefertaster ist die Familie der *Acroceridae* fernerhin ausgezeichnet.

Von den anserenropäischen Gattungen zeichnen sich besonders *Loxia* Wdm. und *Psilodera* Gray durch einen, den Körper an Länge übertreffenden Rüssel aus, den sie nach unten eingeschlagen tragen, so dass dessen Spitze das Hinterleibende überragt. Den Gattungen *Arrhygacus* Phil. und *Thersites* Phil. fehlt der Rüssel vollständig; letztere hat wenigstens „keinen sichtbaren Rüssel“. (Stett. Ent. XXXII, p. 291, 292.) Bei den

einheimischen Gattungen *Atomella* Latr., *Acrocera* Mg. und *Cyrtus* Latr., die ich nur äusserlich untersuchen konnte (wie auch die oben erwähnten Exoten), liess sich kein Rüssel finden; sie dürften in der Mundbildung *Ogeodes* gleichen. —

19. Fam. *Nemestrinidae*: *Follenia fasciata* Fabr. Taf. III, Fig. 2.

Die äussere Form und Bildung des Rüssels gleicht der der *Bombylidae*, und findet man auch hier Formen mit kurzem Rüssel, wie *Hirnanocera* Mg., während bei anderen der Rüssel von Körperlänge ist, sie sogar bei weitem (fünf- bis sechsmal) übertreffen kann, wie bei *Nemestrina longirostris* Wdm. In diesem Falle geschieht die Verlängerung auf Kosten der Unterlippe allein, indem die anderen Theile von gewöhnlicher Länge bleiben, während bei den mittellangen Rüsseln (*Follenia*) die Unterlippe nur Weniges länger ist als die übrigen Theile.

Bei *Fallenia* Mg. besteht der Rüssel aus folgenden Theilen: die Unterlippe, durch eine in der Ruhe zusammengefaltete und in einander geschobene Haut der Kehle verbunden, besteht aus einem langen, schmalen, tief rinnenförmigen Mentum, das die obere Unterlippenplatte umgibt, und an dessen Ende die spitzen Endlippen sitzen, die von zwei bis drei Längsstämmen von Pseudotracheen durchzogen sind und aussen dicht mit warzenförmigen (scheinbar durchbohrten) Erhebungen besetzt erscheinen, die vielleicht Beziehung zum Tasten haben oder Drüsenansammlungen sind. Die nach vorn zu schmalere Oberlippe ist stumpf, wenig kürzer als die Unterlippe; unter ihr liegt die Stechborste, am Ende plötzlich verschmälert und in eine scharfe Spitze endend. Der Ausführgang der Speicheldrüse endet vor dieser Verschmälerng. Seitlich liegen die Unterkiefer, die aus einer Basis, an der ziemlich lange ungegliederte Taster sitzen, und aus einem Kausstück bestehen, das in stumpfem Winkel mit der Basis verbunden, eine schmale Clitinklinge von Länge der Stechborste darstellt. Vom Schlundgerüst ist nur der horizontale Theil vorhanden.

20. Fam. *Bombylidae*: *Lomatia Sabaea* Fabr. Taf. III, Fig. 5.

Anthrax Paniscus Rossi. Taf. III, Fig. 4.

Bombylius major L. Taf. III, Fig. 3.

Ploas virescens Fabr.

In der äusseren Rüsselform sind hier zwei Bildungen zu unterscheiden: entweder ist der Rüssel fast von Körperlänge mit sehr schmalen Endlippen, die dann nur zwei bis drei Pseudotracheenstämme zeigen, oder er ist kurz, nur wenig aus dem Munde vorragend, mit breiten Endlippen, die von zahlreichen (immer mehr als drei) Pseudotracheen durchzogen sind. Doch kann stets eine Vor- und Rückwärtsbewegung der Unterlippe durch die auch hier sehr ausgebildete und tubusartig ineinander geschobene Gelenkhaut bewirkt werden. Zur ersten Gruppe gehören *Bombylius* L., *Phthiria* Mg., *Amictus* Wdm., *Mulio* Latr., die ihre Nahrung meist am blüthen schwebend aufnehmen, während die anderen sich auf die blüthen setzen. Den zweiten Fall vertreten *Anthrax* Scop., *Lomatia* Mg., *Argyromorpha* Schin., *Exoprosopa* Mg., *Chalcochiton* Lw.; einen Übergang bildet *Ploas* Latr., da diese Gattung bei einem ziemlich weit vorstehenden Rüssel breite Endlippen besitzt. Immer sind alle Theile vorhanden, nur in der Gattung *Geron* Mg. sollen die Taster fehlen (v. Gerstfeld). —

Bei *Bombylius* L. ist das Mentum sehr schmal und lang und bildet eine tiefe Rinne; ebenso sind die Endlippen lang und schmal, von zwei aus einem Stamm entspringenden Pseudotracheen durchzogen. Die Oberlippe, an der Basis breit und stark chitinisirt, läuft allmählig spitz zu und wird am Ende sehr schmal und dünn. Unter ihr liegt die schmale, dünne, die Oberlippe etwas an Länge übertreffende Stechborste, zu deren Seite sich die borstenförmigen Unterkiefer befinden, die, bedeutend kürzer als die Stechborste, an ihrem Basalstück ungegliederte Taster von mässiger Länge tragen.

Bei *Ploas* Latr. ist die Unterlippe kurz, das Mentum kurz und breit, doch durch die Gelenkhaut an der Basis weit vorstreckbar mit breiten Endlippen und zahlreichen Pseudotracheen. Die Oberlippe ist hier durchaus gleich breit und stark; die Stechborste etwas länger, stark und spitz, ebenso die kurzen Unterkiefer, die ziemlich lange, ungegliederte, cylindrische Taster tragen.

Die Anthracinen, zu denen eigentlich auch *Hloas* gehört, gleichen in der Zusammensetzung des Rüssels dieser Gattung, doch ist derselbe stets sehr kurz und nie weit aus der Mundöffnung vorragend. Sämmtliche Theile sind also kürzer und gedrungener. Aneh hier bildet den Boden der von der Unterlippe dargestellten Rinne nicht das *Mentum*, sondern die obere Platte der Unterlippe, die hier chitinisirt, an ihrem vorderen Ende die Endlippen trägt, doch mehr minder entwickelt sein kann. Das Schlundgerüst umgibt — dem der *Stratonyxidae* gleichend — den Anfang der Speiseröhre vollständig und hat lange Muskelfortsätze. —

21. Fam. *Astilidae*: *Dioctria hyalipennis* Fabr.

Asilus crabroniformis L. Taf. III, Fig. 7 c.

Asilus atricapillus Fall. Taf. III, Fig. 7 a, b, d.

Laphria flava L. Taf. III, Fig. 6.

Andrenosoma atra L.

Die äussere Form des Rüssels ist bei allen Gattungen eine sehr einheitliche, er ist kurz und stark, meist so lang oder nur wenig länger als der Kopf und wagrecht vorstehend; nur *Xiphocerus* Meq. soll ihn „hakenförmig gegen die Brust zurückgeschlagen“ haben, was ich jedoch nicht finden konnte. Die Oberlippe ist stets sehr kurz, halb so lang oder kaum halb so lang als die Unterlippe, so dass sie nur theilweise die durch letztere gebildete Rinne schliesst, doch berühren sich die oberen Ränder der Unterlippe, so dass dadurch ein vollständiger Verschluss zu Stande kommt. Am mächtigsten unter allen Familien ist die Stechborste, die hier ihren Namen mit vollem Recht führt, entwickelt; sie ist am Ende scharfspitzig, stark chitinisirt und zeigt eine tiefe, obere Rinne, die den Ausführgang der Speicheldrüse aufnimmt. Am vorderen Ende sind beide Ränder der Rinne mit nach rückwärts gerichteten Borsten und Haaren besetzt. Ebenfalls sehr kräftig und meist beborstet, doch nicht immer spitzig, sondern auch von der Form eines Hohlmeisels (*Asilus atricapillus*), sind die Unterkiefer. Diese sind kürzer, als die Stechborste und tragen an ihrer Basis einen kurzen ungeliederten Taster, der mit sehr langen borstigen Haaren besetzt ist und einer Tastersehne aufliegt. Die Unterlippe ist fest, hornig; doch lässt sich trotzdem ein *Mentum* und getrennte Endlippen, besonders bei *Dioctria* Mg. und *Asilus* L. unterscheiden. Bei *Laphria* Mg. und *Andrenosoma* R. d. sind die Lippen nur an der Spitze getrennt. Pseudotracheen fehlen ganz oder sind wenig entwickelt. Das Schlundgerüst ist sehr klein und nur dessen Horizontalplatte vorhanden; doch ist diese, wie stets, stark chitinisirt.

22. Fam. *Midasidae*: *Midas coerulescens* Oliv. Taf. III, Fig. 8.

Die äussere Form des Rüssels der *Midasidae* ist sehr wechselnd, indem er bald kurz und nur wenig aus dem Munde vorragend ist, wie bei *Midas* Fabr., wo dann die Endlippen breit und gross sind, bald lang und ziemlich weit vorragend mit noch deutlichen Lippen, so bei *Apiocera* Westw.; oder er ist endlich sehr lang, von der Form des *Prosema*-Rüssels, vorn aufgebogen, mit unentzweiten, doch auch hier vorhandenen Endlippen, so bei *Cephalocera* Latr., und noch ausgesprochener bei *Mirodetus* Gerst.

Die Mundtheile der auch in Europa vorkommenden Gattung *Midas* Fabr., die auch Westwood beschreibt und abbildet (Arcana Entom. Vol. I, p. 49; die Abbildung der Stechborste stimmt nicht überein), sind folgende: Die Unterlippe besteht aus dem stark chitinenen *Mentum* und denan dieses und die obere Unterlippenplatte sich anschliessenden Endlippen, die aussen vollständig chitinisirt sind. Diese Scheide wird von der Oberlippe gedeckt, die nach vorn verengt und an der Spitze tief eingeschnitten ist. Die Stechborste ist von ziemlich gleicher Länge, doch bedeutend schmaler, am Ende plötzlich verjüngt und spitz zulaufend. Zu Seiten der Oberlippe liegen zwei kurze, ziemlich starke, gekrümmte Chitinklingen, die im rechten Winkel mit einem nach rückwärts gebenden Chitinbogen verbunden, die Unterkiefer, Kautstiek und Basis, darstellen. Die als Basis zu bezeichnenden Theile sind unterhalb verbunden und umschliessen den Anfang der Speiseröhre, einen Halbring um sie bildend. Dass diese Theile wirklich die Unterkiefer sind und nicht etwa die Taster, die vielmehr ganz fehlen, obwohl sie Latreille als vorhanden, aber sehr kurz angibt, lässt sich aus der Vergleichung mit *Apiocera* entnehmen, wo ausser ganz ähnlich gebildeten Theilen noch grosse Taster vorhanden sind, die weit aus der

Mundöffnung vorsehen. Das Schlundgerüst umgibt den Anfangstheil der Speiseröhre vollständig; es ist also auch eine obere Platte vorhanden, die mit dem Untergesicht in Verbindung steht.

23. Fam. *Therevidae*: *Thereva arcuata* Loew. Taf. III, Fig. 9.

Thereva nobilitata Fabr.

Die *Therevidae* haben einen kurzen, wenig vorragenden Rüssel, aus der Unterlippe und vier Borsten gebildet. Die Unterlippe besteht aus dem kurzen Mentum, das nach vorn und oben zwei im rechten Winkel abstehende, hakig gekrümmte Fortsätze zeigt, die als nutere Stützen den Endlippen dienen. An diese Haken legt sich ein oblonges, stark ehtiniges Stück an, das zusammen mit einem zweiten Chitinstück die Aussenseite der Endlippen stützt, während an der Innenseite zahlreiche, von einem Längsstamme ausgehende Pseudotracheen verlaufen. In der oberen Platte der Unterlippe trägt ein ziemlich starker Chitinstab an seinem Ende die Pseudotracheen. Die Oberlippe deckt die anderen Theile, mit Ausnahme der Taster, völlig, ist kürzer als die Unterlippe und vorn angerandet. Unter ihr liegt eine kräftige, stumpfe Stechborste von fast gleicher Länge und zu ihren Seiten borstenförmige, stark ehtinisirte Unterkiefer mit sehr grossen ungegliederten Tastern, die vorn etwas verdickt und länger als die Oberlippe sind. Doch sieht man in der Ruhelage die Taster nicht vorragen, da der ganze Rüssel in die weite Mundöffnung zurückgezogen werden kann. Die Horizontalplatte des Schlundgerüsts ist von der gewölblichen Form.

24. Fam. *Scenophutidae*: *Scenopinus fenestralis* L. Taf. III, Fig. 10.

Der Rüssel ist hier kurz und wenig vorgestreckt, enthält aber alle Theile. Die Oberlippe ist kurz, stark, am Ende stumpf angerandet, stark gewölbt. Unter ihr findet man die schwache, undeutliche Stechborste, zu deren Seiten wohl entwickelte, schmal lanzettliche Unterkiefer liegen, welche länger als die Oberlippe sind und grosse, keulenförmige, ungegliederte Taster tragen. Die Unterlippe ist stark entwickelt; das deutlich aus zwei median verwachsenen Hälften bestehende Mentum trägt die Endlippen, die mit ihren zweigliedrigen Stützen gelenkig auf demselben sitzen. Auch hier ist nur die nutere Platte des Schlundgerüsts vorhanden.

25. Fam. *Empididae*: *Cyrtoma nigra* Mg. Taf. III, Fig. 12.

Rhamphomyia tephraea Mg.

Empis livida L. Taf. III, Fig. 11 a—c.

Empis argyrea Egg. Taf. III, Fig. 11 d, e.

Platypalpus flavipes Fabr.

Hilara vulnerata Sehn. Taf. III, Fig. 13.

Chinochloa lamellata Lw. Taf. III, Fig. 14.

Der Rüssel zeigt in dieser Familie verschiedene Stufen der Ausbildung, sowohl was die Länge, als auch die Entwicklung der einzelnen Theile betrifft. Er ist in einem Extrem kurz und dick, im anderen lang und dünn, meist senkrecht abstehend. Bei den *Empinae*, wo er meist verlängert ist — so *Empis* L., *Rhamphomyia* Mg., *Hilara* Mg. — sind folgende Theile vorhanden. Eine lange, spitze Oberlippe, die vorne in drei Zipfel getheilt ist, deckt eine gleich lange Stechborste, die bald ein- oder mehrspitzig, bald ausgeschnitten und gezähnt ist und eine Längsrinne zeigt. Die Bildung der Stechborste deutet schon darauf hin, dass manche unter den *Empinen* nicht nur Blüthenbesucher, sondern auch Raubfliegen sind, was auch thatsächlich der Fall ist. Die deutlichen Unterkiefer sind mehr minder starke, lange Borsten mit kurzen ungegliederten Tastern, die wenig vorsehen. Nach Meunzier wären die Maxillen zu einem unpaaren Dolch verwachsen, welche Ansicht jedoch auf einem Irrthum beruht. Die Unterlippe besteht aus einem langen, schmalen Mentum, das in ähnlicher Weise, wie bei *Bombylidae*, durch eine doppelt gefaltete Haut mit der Kehle in Verbindung steht. Die obere Unterlippenplatte ist auch hier stärker ehtinisirte. Die Endlippen sind an ihrem vorderen Ende verbreitert und sitzen mittelst einer Chitinstütze dem Mentum an.

Der kurze Rüssel von *Platypalus* Meq. entbehrt der Unterkieferlader, da hier nur deren Basaltheile vorhanden sind, die in Form eines Halbringes die anderen Theile unten umfassen und oben die plattenförmigen, länglich runden Taster tragen. Die Oberlippe gleicht der von *Empis* und ist an der Basis sehr hoch; ihre beiden Lamellen stehen eben hier weit aneinander. Die Stechborste krümmt sich an der Spitze etwas nach abwärts. Die Endlippen sitzen auf zwei langen, schmalen Chitineleisten, die an ihrem Ursprung verwachsen sind. Sie sind selbst lang und schmal und haben nur an ihrer Spitze Spuren von Pseudotracheen.

Wie bei *Platypalus*, so fehlen auch bei *Cyrtoma* Mg. die Unterkiefer, doch hier vollständig (auch die Basis) und sind nur knopfbörmige Taster an der Rüsselbasis vorhanden. Oberlippe und Stechborste, denen der *Empidae* gleichend, sind stark nach abwärts gekrümmt und heide an der Basis breit. An der Unterlippe kann man ausser dem Mentum, seitliche schmale Chitineleisten, der oberen Platte angehörig, unterscheiden, die zu den Endlippen gehen, in denen sich wenige, deutliche Tracheen finden. Die Gesamtbildung führt zu der folgenden Gattung über.

Der Rüssel von *Utaocera* Mg. gleicht in seiner Form ausserordentlich dem der *Dolichopidae*. Von einer kappenförmigen Oberlippe, deren Aussenrand dicht mit kurzen, dicken Borsten besetzt ist, wird der ganze Rüssel bedeckt. Unter ihr findet man zunächst die breite Stechborste, mit einer mittleren, langen, scharfen Spitze und zwei seitlichen, mehr stumpfen Ecken. Unterkiefer fehlen, doch sind nennentlich zweigiedrige, keulenförmige Taster vorhanden, die in der Ruhelage seitlich neben der Oberlippe liegen, wie bei *Dolichopus*. An der Unterlippe kann man ein gut entwickeltes Mentum mit Andeutung einer Längstheilung und Endlippen unterscheiden, ganz von der Form jener der *Dolichopidae*, nur dass hier die bei jenen vorhandenen Reibleisten fehlen. Doch sind auch keine Pseudotracheen vorhanden. An der oberen Seite der Unterlippe gehen lange, dünne Chitinstäbe, welche der oberen Platte angehören, zu den Endlippen. Das Schlundgerüst umfasst bei allen *Empidae* den Anfang der Speiseröhre vollständig.

26. Fam. **Dolichopidae:** *Dolichopus aeneus* Deg. Taf. III, Fig. 16.

Medeterus spec.? Taf. III, Fig. 15.

Der Rüssel ist kurz und stark und ragt nur wenig aus der Mundhöhle vor; doch können die einzelnen Theile mehr, als bei den anderen Familien, gegen einander bewegt werden. Auch hier scheinen, wie bei *Utaocera*, die Unterkiefer gänzlich zu fehlen und nur deren Taster vorhanden zu sein, die von länglich ovaler Form, mit einer laugen Borste an der Spitze, der Gelenkhaute des Rüssels aufsitzen. Die Oberlippe dient hier nicht, wie sonst, als Decke der übrigen Theile, sondern ist ihrer Function nach wahres Fresswerkzeug, indem sie zum Festhalten und in Folge ihrer grossen Beweglichkeit und ihrer Bildung wohl auch zum Zerkleinern der Nahrung dient, was man auch am lebenden Thiere beobachten kann, da die *Dolichopiden* ihre Beute — kleinere Insecten — thatsächlich kauen, wobei die Oberlippe fortwährend in Thätigkeit ist. Ihre Form ist am besten aus der Figur (Taf. III) zu sehen, wo eine grosse mediane, sowie zwei seitliche kleinere Spitzen und ein starker, nach rückwärts gerichteter, oblonger Fortsatz, wohl zum Ansatz von Bewegungsmuskeln dienend, am meisten auffallen. Unter der Oberlippe liegt eine kurze, an der Basis breite, dolchartige, starke Stechborste, in die der Gang der Speicheldrüse einmündet. Die Unterlippe besteht aus einem median getheilten Mentum, zwei seitlichen Chitinstäben der oberen Platte, die zu den Endlippen gehen, und diesen Endlippen selbst, die hauptsächlich mit dem Mentum verbunden einer Beweglichkeit an einander fähig sind, durch welche zwischen sie gerathene Thiere zerrieben werden können. Die Wirkung dieser Zerreibfähigkeit wird dadurch erhöht, dass die Lippen innen an Stelle der Pseudotracheen je 5–6 radiär gestellte Reibleisten tragen, die aus je zwei Reihen stark chitiner Erhöhungen bestehen.

Bei *Medeterus* Fisch. ist der Rüssel noch dicker als bei *Dolichopus* und ragt sackartig aus der Mundöffnung vor. Die Form der einzelnen Theile weicht von der bei *Dolichopus* in Detail etwas ab; am auffallendsten ist die Stechborste verschieden (vergl. Taf. III, Fig. 15). Die Gattung *Orthochile* Latr. hat einen langen, *Empis*-artigen Rüssel, den ich jedoch nicht näher untersuchen konnte. Vom Schlundgerüst ist nur der

untere Theil sehr stark entwickelt, während oben nur ein schwaches, schmales Chitinband die Speiseröhre umgibt.

VI. Gruppe: ACROPTERA.

Der Rüssel dieser Gruppe, die durch eine einzige Familie vertreten wird, besteht aus Oberlippe, Unterkiefer mit deren Tastern, Stechborste und Unterlippe, von welchen Theilen besonders die letztere stark entwickelt ist.

27. Fam. *Lonchopteridae*: *Lonchoptera tristis* Mg. Taf. III, Fig. 17.

Der Rüssel ist kurz und zart, doch sind sämtliche Theile deutlich vorhanden. Die Oberlippe ist mässig zugespitzt, deutlich aus zwei Lamellen bestehend, unten vertieft mit jederseits drei deutlichen Papillen, von der oben beschriebenen Art; ihre Spitze ist schwach behorset. Die Stechborste ist etwas kürzer als die Oberlippe, stumpf, angerandet und scheint in engem Zusammenhang mit der Unterlippe zu stehen. Neben sehr schwachen und kurzen Unterkiefern sitzen grosse Taster, die, am Ende kolbig verdickt und behorset, die Mundtheile überragen. An der Unterlippe sind besonders die Endlippen entwickelt; das Mentum ist nur schwach chitinisirt und nur die der oberen Platte angehörigen Träger der Pseudotracheen, stark und deutlich vortretend. Die Pseudotracheen sind sehr zahlreich vorhanden. Das Schlundgerüst umgibt die Speiseröhre vollständig.

II. Unterordnung: CYCLORRHAPHA.

a) ASCHIZA.

1. Gruppe: SYRPHIDAE s. l.

Die Familien dieser Gruppe zeigen in der Bildung der Mundtheile, die bei den Cyclorrhaphen überhaupt eine grosse Gleichmässigkeit in der Entwicklung aufweist, einen sehr übereinstimmenden Bau. In beiden Familien sind stets Oberlippe, Stechborste, Unterkiefer mit ihren Tastern und Unterlippe vorhanden, an welcher letzterer die Endlippen meist stark entwickelt und sehr reich an Pseudotracheen sind.

1. Fam. *Syrphidae* s. s.: *Microdon devius* L.

Paragus albifrons Fall.

Melanostoma mellina L. Taf. III, Fig. 22.

Melithreptus taciatus Mg. Taf. III, Fig. 20.

Rhingia rostrata L.

Eristalis tenax L.

Eristalis arbustorum L. Taf. III, Fig. 23.

Syrpita pipiens L.

Chrysotoxum bicinctum L. Taf. III, Fig. 19.

Cheilosia variabilis Pz.

Syrphus balteatus Deg.

Xanthogramma ornata Mg.

Volucella inanis L. Taf. III, Fig. 21.

Helophorus florens L. Taf. III, Fig. 18.

Microdon avidus Rossi.

Die äussere Gestalt des Rüssels ist hier eine sehr gleichartige, und kommen weder auffallende Verkürzungen, noch Verlängerungen vor, und wenn er auch durch die Vorstülpung des Schlundgerüsts im Ganzen, sowie durch die oft gefaltete Haut, die Mentum und Kehle verbindet, einer bedeutenden Vorstreckung fähig ist (*Rhingia*), so wird er doch in der Ruhe wieder völlig zurückgezogen. In der von Ober- und Unterlippe gebildeten Scheide liegt die Stechborste, während seitlich von derselben, ausserhalb der Scheide (immer?) die Unterkiefer mit ihren Tastern liegen. Oberkiefer fehlen, wie allen Cyclorrhaphen. Die Oberlippe setzt

sich aus zwei Lamellen zusammen, von denen man die obere deutlich als eine Fortsetzung des Untergesichts, mit diesem durch eine Gelenkhaute verbunden, erkennen kann, während die untere, stärkere und längere, an Schlundgerüst artikulirt. (Gerstfeld's Angabe, die Oberlippe articulare am *clypeus*, ist somit nur theilweise richtig, l. c. p. 28.) Beide bilden zusammen ein nach unten offenes Halbrohr, welches an seinem vorderen Ende geklappt ist. Es lassen sich stets zwei breite äussere, ein mittlerer und zwischen diesen je derselbe ein schmaler zarter Lappen, die alle behaart sind, unterscheiden.

Diese Lappen gibt schon Meigen (Syst. Besch. III. 381. Ann.) als charakteristisch für diese Familie an; doch kommt eine ähnliche Theilung in Lappen auch den *Empidae* zu. Die Stechborste ist von der Länge der Oberlippe oder etwas kürzer, lanzettlich, meist scharf spitzig und enthält in ihrer ganzen Länge den Ausführgang der Speicheldrüse. Die Unterkiefer sind mehrfach gekrümmte Chitinklingen, die an ihrem vorderen Ende spitz zulaufen und deutlich in Basis und Kaustück getrennt sind. Die Basis liegt seitlich und unterhalb des Schlundgerüsts und trägt die dem Kaustück an Länge gleichen, hintigen, oft beinahe fadenförmigen ungetheilten Taster. Nur bei *Xanthogramma* Schin. sind sie sehr kurz. Gerstfeld beschreibt, l. c. p. 29, bei den *Syrphidae* auch Oberkiefer. („Rechts und links von der nur als Decke der Borsten fungirenden Oberlippe liegen, die mit der Scheide verschmolzenen, rundlich dreieckig plattenförmigen Mandibeln.“) Doch konnte ich nichts finden, worauf die Beschreibung passen könnte; es ist vielmehr gar kein Zweifel, dass die Oberkiefer hier fehlen. Wenn Menzbier meint: „Bei den Syrphiden hat Gerstfeld, wie es scheint, die Mandibeln mit den Maxillen verwechselt; übrigens ist der Rüssel der Syrphiden nicht abgebildet, und desshalb ist es schwer, irgend einen begründeten Einwand zu machen, um so mehr als die Beschreibung sonst höchst deutlich ist“ (l. c. p. 23), so scheint er vor Allem die Arbeit Gerstfeld's nicht genau angesehen zu haben, da dieser den Rüssel von *Volucella pellucens* und seine Theile, wenn auch nur sehr schematisch auf Taf. I, Fig. 4–7 abbildet und ausserdem Oberkiefer und Unterkiefer getrennt beschreibt. Ausserdem verwechselt Menzbier selbst, und nicht Gerstfeld, Ober- und Unterkiefer. Er hält nämlich die Unterkiefer, die sich schon durch die ihnen ausstehenden Taster als solche kennzeichnen, für die Oberkiefer „weil sie so sehr den wohl entwickelten Mandibeln der kauenden Insecten gleichen, dass wir sie mit vollem Recht (!) als solche deuten können“ (p. 60). Das „volle Recht“ aus der äusseren Form eines Theiles auf seine Bedeutung zu schliessen ist, meines Dafürhaltens, sehr zweifelhaft; im vorliegenden Falle um so unerklärlicher, da ja die vorhandenen Taster jene Theile als unzweifelhafte Unterkiefer erkennen lassen und die Oberkiefer nie Taster tragen. (Vergl. hiezu auch Dimmock l. c. p. 28, 29.) An der Unterlippe kann man ausser dem, durch eine Längsnath getheilten Mentum — dessen Theilung markirt sich auch durch einen tiefen, dreieckigen Ausschnitt am vorderen Ende — an der oberen Platte zwei seitliche Chitigräten, welche die Lippen tragen und zwischen ihnen ein unpaares Chitingebilde, dessen zwei Zacken nach rückwärts stehen und vorn vereinigt sind, unterscheiden (vergl. Taf. III, Fig. 21, 18); das Mittelstück ist oft sehr klein und unscheinbar, während die Seitentheile meist deutlich vorhanden sind; vom Mentum, mit ihm gelenkig verbunden, geht jederseits eine Chitigräte ab, welche die Endlippen stützt. Die Form der Lippen wechselt; doch sind sie immer verhältnissmässig wohl entwickelt und reich an Pseudotracheen. Auffallend durch Länge und Schmalheit sind sie bei *Volucella* Geoff. und *Rhinga* Scop., wie die letztere überhaupt den längsten und der meisten Verlängerung fähigen Rüssel besitzt. Breit und kurz sind sie bei *Microdon* Mg., bei dem ihre Träger, sowie das unpaare Mittelstück, sehr verkümmert sind. Das Schlundgerüst besteht immer aus einer unteren unpaaren Platte mit Muskelfortsätzen und aus senkrechten Seitentheilen, die in ihrer Mittellinie zusammenstossen oder durch eine Mittellippe oben verbunden sind. Vielleicht sind diese Seitentheile das, was Gerstfeld als Mandibeln beschreibt.

2. Fam. *Pipunculidae*: *Pipunculus campestris* Latr. Taf. III, Fig. 24.

Der Rüssel ist hier kurz; fast gar nicht aus dem Munde vorragend. Schlundgerüst und Unterlippe sind besonders entwickelt. Die Oberlippe ist kurz, schaufelförmig und sitzt zum Theil dem Schlundgerüst auf; unter ihr liegt eine kurze, schwache Stechborste. Die Unterkiefer sind spitz, länger als die Ober-

lippe und tragen verhältnissmässig grosse ungegliederte Taster, die an ihrem Ende kolbig verdickt sind. Die Unterlippe ist; wie bereits erwähnt, gross, besonders sind die Endlippen nach unten und hinten stark entwickelt. Das Mentum ist stark, mit Stützen für die Endlippen und zwei Fortsätzen nach hinten (zum Muskelansatz). Die Endlippen sitzen mehr der stark chitinisirten oberen Platte auf, als dem Mentum und sind reich an Pseudotracheen. Das Schlundgerüst gleicht dem der Syrphiden.

II. Gruppe: HYPOCERA.

Hier fehlen in beiden Familien die Unterkiefer vollständig und sind nur deren Taster vorhanden. Die übrigen Theile, als Oberlippe, Stechborste und Unterlippe sind sämmtlich wohl entwickelt.

3. Fam. *Platypezidae*: *Platypeza holosericea* Mg. Taf. III, Fig. 25.

An dem kurzen, wenig vorgestreckten Rüssel der Gattung *Platypeza* Mg. kann man eine starke, gewölbte, stumpfe Oberlippe, unter ihr die eiförmige, vorn abgestutzte Stechborste und die Unterlippe unterscheiden. Letztere besteht aus dem querlänglichen Mentum und den diesen ansitzenden, von einem Chitinstreifen gestützten, kurzen und breiten Endlippen, die im Vergleich zur Oberlippe und Stechborste sehr gross sind. Sie zeigen sich aussen beborstet und innen von Pseudotracheen durchzogen. Unterkiefer fehlen, doch sind deutliche, am Ende stark verdickte, ungegliederte Taster vorhanden. Die allein vorhandene Horizontalplatte des Schlundgerüsts ist ziemlich gross und ähnelt in der Form der vieler Orthorrhaphen.

4. Fam. *Phoridae*: *Phora rufipes* Mg. Taf. IV, Fig. 1.

Die Oberlippe des kurzen Rüssels ist rundlich dreieckig, vorn angeschnitten, und in diesem Anschnitt befindet sich eine scharfe Spitze, die der unteren Lamelle angehört. Sie ist stark gewölbt und übertrifft die obere Lamelle in ihrer Entwicklung die untere bedeutend. Unter ihr liegt die starke, kurze Stechborste; Unterkiefer fehlen, doch sind eigenthümlich geformte, grosse Taster vorhanden, die oberhalb ihrer Hälfte plötzlich fast doppelt so stark werden und mit einigen starken, selbst behaarten Borsten besetzt sind. Die Unterlippe ist stark entwickelt und zeigt ein Mentum mit langen Fortsätzen nach rückwärts, sowie eine aus zwei Theilen bestehende obere Platte, welche die zweigliedrigen Endlippen trägt, und in eine Chitinspitze endet, welche der *Ligula* (Meinert) entspricht. Die Endlippen sind an ihrem Innenrande gezähnt und haben wenige, jedoch deutliche Tracheen. Das Schlundgerüst trägt an der unteren Platte seitlich einen senkrechten Fortsatz, der mit dem der Gegenseite durch eine schmale Querbrücke verbunden ist. Es umfasst also die Speiseröhre vollständig.

b) SCHIZOPHORA.

III. Gruppe: EUMYIDAE.

Bei der grossen Übereinstimmung und der Einheit des Baues der Mundtheile in sämmtlichen Familien der *Eumyidae*, erscheint es nicht nöthig, die einzelnen Familien, wie bisher zu besprechen, und verdienen nur zwei Familien, die *Oestridae* unter den *Schizometopae*, wegen ihres verkümmerten, und die *Campidae* unter den *Holometopae*, wegen ihres verlängerten und geknieten Rüssels besondere Erwähnung, sowie auch einzelne Gattungen mit abweichenden Rüsselformen speciell beschrieben werden müssen (*Stenomysia*, *Siphona*, *Pragena*). Es finden sich hier stets Oberlippe, Stechborste, Unterlippe und Kiefertaster, sowie von den Unterkiefern wenigstens die Basis, wenn auch oft wenig entwickelte oder rudimentäre Laden vorhanden sind, deren functioneller Werth jedoch für das Insect sehr fraglich ist.

Untersucht wurden folgende Gattungen und Arten:

a) HOLOMETOPA.

Campys flavipes L. Taf. IV, Fig. 2.

Sicus ferrugineus L.

Oreomyia atea Fabr. Taf. IV, Fig. 3.

Myopa buccata L.

Tetanocera punctulata Scop. Taf. IV, Fig. 6.

Linnia magnicornis Scop. Taf. IV, Fig. 7.

Sciomyza cinerella Fall.
Sepsis cynipsea L. Taf. IV, Fig. 17.
Neuropoda cylindrica Fabr. Taf. IV, Fig. 18.
Themira putris L. Taf. IV, Fig. 16.
Piophilus cavi L. Taf. IV, Fig. 15.
Micropeza corrigiolata L. Taf. IV, Fig. 23.
Chlorops cerasi Fall.
Lijara rufitarsis Lucw.
Musillus aeneus Fall. Taf. IV, Fig. 5.
Myodina rubra L. Taf. IV, Fig. 10.
Platystoma seminativus Fabr.
Leria serrata L. Taf. IV, Fig. 8.

Scatophaga merdaria Fabr. Taf. IV, Fig. 22.
Supromyza rorida Fall. Taf. IV, Fig. 11.
Falla fimetaria L. Taf. IV, Fig. 14.
Borborus equinus Fall. Taf. IV, Fig. 19.
Ortalis formosa Vz. Taf. IV, Fig. 9.
Platypara puccinoptera Schrck.
Trupeta anothophora L. Taf. IV, Fig. 13.
Crophaca cardui L. Taf. IV, Fig. 4.
Cephrosia flavipennis Lw.
Cordylura albipes Fall.
Loboptera speciosa Mg.)

b. SCHIZOMETOPA.

Aricia vagans Fall.
Hydrotea dentipes Fabr.
Hylemia strigosa Fabr.
Spilogaster urbana Mg.
Ophyra leucostoma Wdm.
Anthomyia albicincta Fall.
Cornosis mollitarsis Fall.
Stomoxys calcitrans L. Taf. IV, Fig. 20.
Graphomyia unculata Scop. Taf. IV, Fig. 24.
Membrana meridiana L. Taf. IV, Fig. 25.
Pyrellia cadaverina L.
Musca domestica L.
Musca cornuta Fabr.
Cyrtoneura horticola Fabr.
Myospila mediatubunda Fabr.
Therita muscaria Mg.
Sarcophaga carnaria L.
Cynomyia mortuorum L.
Onesia sepulchralis Mg.
Dexia ferina Fall.
Eucorista vulgaris Fall.
Tachina rustica Mg.

Masicera major Meq.
Frontina lutea Mg.
Meigenia florula Mg.
Myobia incana Fall.
Siphona florifrons Stg. Taf. IV, Fig. 27.
Oliviccia lateralis Scop. Taf. IV, Fig. 30.
Zuphomyia temula Scop.
Echinomyia marginicornis Zitt.
Calliphora erythrocephala Mg. Taf. IV, Fig. 21.
Pollenia rudis Fabr.
Dasyphora praecox Mg.
Lucilia caesar L.
Phorostoma pectinata Mg.
Neoraea radicum Fabr.
Prosema longirostris Egg. Taf. IV, Fig. 26.
Epicaucopora succinea Mg.
Microplitis pictus Mg.
Ocyptra brassicae Fabr.
Gymnosoma rotundata L.
Phasia aulis Fabr.
Cephenomyia stimulator Cla rek. Taf. IV, Fig. 28.
Gastrophilus haemorrhoidalis L. Taf. IV, Fig. 29.

In allen diesen Gattungen finden sich folgende Theile von ziemlich übereinstimmendem Bau, welche Übereinstimmung auch dort aufrecht bleibt, wo durch abnorme Verlängerung auffallende Formen entstehen. An der Oberlippe lassen sich wie bei den *Syrphidae* sehr deutlich zwei Lamellen unterscheiden: eine mit dem Unter- gesicht durch eine Membran zusammenhängende obere und eine untere, die sich gegen das Schlundgeßel hinzieht, ohne stets mit ihm in Verbindung zu treten. Die Oberlippe ist halb rinnenförmig, mehr minder zugespitzt, mitunter auch vorn ausgeschnitten und meist so lang oder wenig kürzer als das Mentum. Die Tren- nung der beiden Platten ist gewöhnlich auch am vorderen Ende deutlich zu erkennen und ist die untere Platte hier oft gekerbt oder gezähnt. Unter der Oberlippe liegt die Stechborste, meist etwas kürzer als jene, und besteht gewöhnlich aus zwei übereinander gelagerten Abschnitten, von denen der untere sich nur mit seinem vorderen Theil an den oberen anlegt, während dieser, merklich längere, die eigentliche Spitze bildet. Zwischen beiden mündet der bekannte Ausflüßgang in die Stechborste. Der obere Theil steht durch ein — in

der Seitensicht — meist dreieckiges, oft auch länglich viereckiges, unpaares Chitinstück mit dem Schlundgerüst in Verbindung.

Die Unterkiefer, die bisher als den *Muscidae* fehlend angegeben wurden, sind stets vorhanden, wenigstens in ihren Basaltheilen, doch sind oft auch die Laden deutlich. Jene nagelförmigen Clitingeräten, die seitlich vom Schlundgerüst liegen und von Gerstfeld als Cardines eines Kieferpaares gedeutet wurden, das durch seine Verschmelzung den Hypopharynx (die Stechborste) bildet, und die Menzhier „für einfache Muskelsehnen, die bei den Syrphiden weniger entwickelt, und von uns nicht beschrieben sind“ (l. c. p. 65) erklärt, sind in Wirklichkeit die Cardines der Unterkiefer. Dass sie dies in der That sind, geht aus dem Vergleich mit den *Syrphidae* hervor, wo dieselben Theile, aber in enger Verbindung mit den Tastern, sowie mit Laden, vorhanden sind; und noch mehr daraus, dass sie bei einer grossen Anzahl von *Holometopa* deutliche Laden tragen, und man diese auch, zwar sehr rudimentär, bei einigen Muscineugattungen (*Mesembrina* Mg., *Dasyphora* R. D., *Grophomyia* R. D., *Myospila* Rd.) findet. In letzteren Fällen werden die Laden durch ganz kleine behaarte Plättchen dargestellt, die am vorderen Ende jenes nagelförmigen Stückes aufsitzen (Taf. IV).

Die Unterkiefertaster sind stets vorhanden und bei den *Schizometopa* meist cylindrisch oder keulenförmig, während ihre Form bei den *Holometopa* sehr wechselnd ist. Fast rudimentär sind sie bei *Oegyptera* Latr., wo sie aus einem ganz kurzen, cylindrischen Stück mit einer langen Endborste bestehen und äusserlich nicht sichtbar sind. Sie sind stets ungetheilt und sitzen der Gelenkhaut des Rüssels auf, in der sich von der Tasterbasis mehr minder deutliche (dunkle) Chitinhäuter nach aussen und vorn ziehen, die Gerstfeld als Tastereschuppen deutet. Zusammenhang mit dem Unterkiefer lässt sich bei den *Schizometopa* keiner erkennen, während er bei den *Holometopa* oft sehr deutlich ist. Die Unterlippe besteht zunächst aus einer stark chitinisirten gekrümmten, oben concaven Platte, die durch eine mediale Längsnahit ihre Zusammensetzung aus zwei Stücken bekundet, und welche die untere Begrenzung des Rüssels bildet. Sie ist aussen meist behaart oder behorset und durch eine Gelenkhaut mit der Kehle verbunden. Diese Platte wird stets als Mentum bezeichnet. An dieses setzen sich nach vorn zwei starke chitine Fortsätze gelenkig an, die zur Stütze und zur Bewegung der Endlippen dienen. Oberhalb dieses Mentum liegt die obere Unterlippenplatte, welche den Boden des Sangrohrs bildet, und an der sich, wie bei den *Syrphidae*, drei Theile, ein mittlerer und zwei seitliche, unterscheiden lassen. Die Seitentheile, die mehr minder getrennt sein können, tragen an ihrem vorderen Ende, im Gelenk, ein längliches Chitinplättchen, den eigentlichen Träger der Endlippen. Diese sind von wechselnder Grösse (nur bei *Stomoxys* stark verhornt und ohne Pseudotracheen) und in der Regel von zahlreichen Pseudotracheen durchzogen, die von jenen Plättchen radiär ausstrahlen. Gerstfeld beschreibt bei Musciden auch Oberkiefer, als „zwei kleine, dreieckige Chitinplättchen auf der Vorderwand der Rüsselbasis hinter dem Palpus maxillaris“ (p. 24)⁴. Menzhier sagt mit Recht darüber: „Das, was Gerstfeld für Mandibeln hält, ist eigentlich weiter nichts, als eine Verdickung der vorderen Unterlippenwand, welche nicht einmal bei jeder einzelnen Musc. zu finden ist, und hat mit den Mandibeln nichts gemein“ (l. c. p. 22). — Auf fallend abweichende Bildung des Rüssels durch Verlängerung zeigen die Gattungen: *Stomoxys* Geoff., *Prosenia* St. Farg. et Serv., *Siphona* Mg., *Myopites* Brèb., *Eusina* R. D., *Tephritis* Latr. sowie sämtliche *Conopidae*.

Bei *Stomoxys* ist der Rüssel stark verlängert und ragt wagrecht aus dem Munde vor. Die Unterlippe ist stark verhornt, ihre Lippen wenig ausgebildet; sie scheint der eigentliche Stechapparat zu sein, oder wenigstens beim Einstich eine grosse Rolle zu spielen. Die Oberlippe ist etwas kürzer, vorn zugespitzt und stark chitinig; die Stechborste ist so hart und dünn, wenn auch spitz und länger als die Oberlippe, dass man sich schwer vorstellen kann, wie sie den Einstich allein besorgen, und wie Menzhier meint, der Hauptstechapparat sein soll. Von den Unterkiefern sind nur kurze, kenigle Basaltheile und ebenfalls kurze Taster vorhanden. Der Ausführgang, der in die Stechborste mündet, ist hier auffallend stark.

Ebenfalls horizontal vordrehend, doch viel dünner und meist vorn aufgebogen, ist der Rüssel von *Prosenia*, der das Insect nicht zum Blutsaugen befähigt. Die Unterlippe, von gewöhnlichem Ban, nur sehr verlängert,

ist an der Spitze in zwei Lippen gespalten, die deutliche Pseudotracheen zeigen; sie schliesst an ihrer Basis Oberlippe und Stechborste ein, deren Länge kaum ein Fünftel der Unterlippe beträgt. Die Taster sind sehr klein; die Theile sonst von der gewöhnlichen Bildung.

Siphona hat einen geknickten Rüssel, dessen Winkel nach rückwärts offen ist, und der durch Verlängerung des Mentum und der Endlippen zu Stande kommt. Oberlippe und Stechborste sind hier sehr kurz, kaum ein Drittel der Länge des oberen Schenkels. Die Unterkiefer sind schwach und ohne Laden; ihre Taster mässig lang. Der obere Schenkel des Knies der Unterlippe besteht aus dem Mentum und der oberen Platte, welche an ihrem vorderen Ende die mit ihr gelenkig verbundenen, von einer Pseudotrachee durchzogenen Endlippen trägt, die den unteren Scheukel bilden und durch die hier sehr entwickelten, vom Mentum abgehenden Stützen (der Lippen) getragen werden. Ähnlich ist der Rüssel von *Myopites*, *Ensisia*, *Tephritis* und noch einigen anderen Holometopen gebaut, die auch einen geknickten Rüssel besitzen.

Die Gattungen *Scatophaga* Mg., *Ordylura* Fall. und *Coenosia* Mg. zeichnen sich dadurch aus, dass sie an dem hier stark entwickelten Chitinquerstab, der die Pseudotracheen trägt, jederseits eine Reihe sehr grosser zwei- bis dreispitziger Chitindornen besitzen, die wohl zum Festhalten und Zertheilen kleinerer Insecten dienen, von denen sich diese Gattungen nähren. (Taf. IV, Fig. 22.) Der Rüssel der Scatophagini ist überdies stark chitinisirt.

Deutliche, wenn auch meist kurze Unterkieferladen finden sich bei folgenden Gattungen der Holometopen: *Leria* R. D., *Sciomyza* Fall., *Tetanocera* Latr., *Limnia* R. D., *Ortalix* Fall., *Myodina* R. D., *Sapromyza* Fall., *Erophora* R. D., *Tephritis* Latr., *Sepsis* Fall., *Nemopoda* R. D., *Themira* R. D., *Pipihila* Fall., *Micropeza* Mg., *Pala* Mg., *Mosillus* Latr.; bei *Trypeta* Mg. und *Platyparca* Lw. sind die Laden sehr klein; bei allen übrigen untersuchten Gattungen fehlen die Laden vollkommen, doch sind dann die Basalthelle stark und lang, während sie bei den ersten kurz und breit sind. (Vergl. Taf. IV, Fig. 6—19 und Fig. 23.)

Das Schlundgerüst besteht aus einer horizontalen gekrümmten Platte mit zwei langen Muskelfortsätzen nach rückwärts und zwei verticalen seitlichen Platten, die oben den Schlund überwölben. Dies sind vielleicht Gerstfeld's Mandibeln; Mendzib hält sie richtiger für chitinisirte Rachenwände, ebenso Dimmock. Dort, wo die Chitinisirung der oberen Rachenwand nur auf eine Querbrücke zwischen den beiden Verticalwänden beschränkt ist, wie es bei vielen Holometopen der Fall ist, kann durch Insertion der Muskeln an dieser Querbrücke die Saugbewegung unterstützt werden.

Die Familie *Conopidae* zeichnet sich durch einen weit vorgestreckten Rüssel aus, der nur durch Verlängerung der Unterlippe zu Stande kommt, und entweder gerade oder knieförmig gebogen ist. Nur die Unterlippe ist wohl entwickelt, während die anderen Theile mehr minder zurücktreten. Die Oberlippe ist stets kurz, ihre Länge beträgt nur ein Drittel der Länge der Unterlippe oder ihres oberen Schenkels. Sie besteht, wie sonst, aus zwei Lamellen und deckt nur den Anfang der Unterlippenrinne, deren Ränder sich (wie bei *Asilus*) im weiteren Verlauf berühren und so das Saugrohr schliessen. In diesem liegt die schwache und dünne Stechborste, die entweder der Oberlippe an Länge gleicht (*Sicus* Scop.), oder sie mehr als zweimal übertrifft (*Conops* L., *Myopa* Fabr., *Oecomyia* R. D.). Unterkiefer sind stets vorhanden, und kann man an ihnen, wie bei anderen Holometopen, Basis und Lade unterscheiden; doch ist letztere fast rudimentär, indem sie ein kleines, abgerundetes Plättchen darstellt, an das sich die Basis als Chitinstab anschliesst, der zu Seiten des Schlundgerüsts liegt.

Zwischen Basis und Lade sitzen die Taster auf, die sich bei *Conops* auf ein kugliges, beborstetes Knöpfchen beschränken, während sie bei den anderen Gattungen kurz und ungliedert, doch deutlich vorhanden sind. Die Unterlippe von *Conops*, dessen Rüssel nicht geknickt ist, zeigt die gewöhnlichen Theile, doch nicht sehr scharf gesondert. Die Endlippen sind kurz und breit, mit Pseudotracheen. Bei *Sicus*, *Myopa* und *Oecomyia* ist der Rüssel geknickt und gleicht dem von *Siphona*; das Mentum ist schwach chitinisirt, dagegen die obere Platte der Unterlippe sehr stark.

In der Familie der *Oestridae* ist der Rüssel stets sehr klein oder ganz fehlend, in welchem Falle auch die Mundöffnung zu fehlen scheint. *Cephenomyia* Latr. besitzt einen sehr kleinen, wenig vorstreckbaren Rüssel,

der durch die dichte Behaarung der umgebenden Theile verdeckt ist. Auf einem Schlundgerüst von der gewöhnlichen Form sitzt eine kurze, stark gewölbte, stumpfe Oberlippe, die auch hier deutlich aus zwei Lamellen besteht. Die Stechborste fehlt, ebenso die Unterkiefer vollständig; doch sind kurze, kolbige Taster vorhanden. An der Unterlippe kann man das Mentum unterscheiden, das an einem winkligen Chitinstück jederseits die Endlippen trägt, die mit starken Haaren versehen, aber ohne Pseudotracheen sind.

Gastrophilus Leach entbehrt des Rüssels vollständig. Ein starker Chitinauwand umgibt die Mundöffnung, die durch eine Membran verschlossen ist. In der Mitte dieser Membran sieht man zwei behaarte Höckerehen, welche die rudimentären Taster darstellen, und unterhalb dieser Spuren eines dritten Theiles, der vielleicht Rudiment der Unterlippe ist. Schlundgerüst und Mundöffnung fehlen hier vollständig.

Die Gattungen *Oestrus* L. und *Hypoderma* Clark haben keinen eigentlichen Rüssel, sondern nur Rudimente desselben, wie *Gastrophilus*. *Oestromyia* Brauer gleicht in der Anbildung des Rüssels der Gattung *Cephenomyia*. Einen sehr deutlichen, vorstreckbaren Rüssel hat *Cuterebra* (Brauer: Monogr. d. Oestr. 1858).

IV. Gruppe: PUPIPARA.

Bei diesem finden sich, wie in der vorhergehenden Gruppe, Oberlippe, Stechborste, Unterlippe und Unterkiefer, von denen aber stets nur die Basalthteile vorhanden sind, mit ihren Tastern. Ihrer Lebensweise als Ektoparasiten entsprechend, ist der Rüssel stark chitinig und befähigt sie zum Stechen und Blut-saugen.

1. Fam. *Hippoboscidae*: *Hippobosca equina* L. Taf. IV, Fig. 31.

Stenopteryx hirundinis L.

Die Mundtheile der *Hippoboscidae* lassen sich auf das gewöhnliche Schema jener der *Eumyidae* zurück-führen. Die Rüsselöffnung ist von zwei länglichen, ziemlich grossen Klappen gedeckt, die der Membran, welche den Rüssel umgibt, aufsitzen und den Unterkiefertastern entsprechen. Meinert hält sie für Theile der Oberlippe und nennt sie „*alae protractae epipharyngis*“, was sie darum nicht sein können, weil die Oberlippe ja in ihrer gewöhnlichen Form vorhanden ist und ausserdem diese Theile in derselben Weise, wie bei den übrigen Dipteren und besonders wie bei den *Eumyidae*, der Membran, die den Rüssel mit dem Kopf verbindet, aufsitzen. Zwischen diesen Klappen wird der lange, dünne, nach abwärts gekrümmte Rüssel vorgestreckt, der aus der Unterlippe, an deren Spitze sich deutlich die Endlippen erkennen lassen und aus zwei von ihr eingeschlossenen Theilen besteht. Diese Theile, von fast gleicher Länge mit der Unterlippe, sind Oberlippe und Stechborste. Erstere lang, schmal und spitz, deckt den Canal der Unterlippe, in dem die dünne Stechborste liegt, zu der, wie bei allen übrigen Dipteren, der Ausführungsgang einer Drüse führt. Was Meinert dazu bestimmt hat, die obere Borste als Hypopharynx (Stechborste) und die untere als „vorderen freien Theil des Speichelganges“ zu betrachten und den Ausführgang als „*pars hypopharyngis posterior*“, vermag ich nicht einzusehen, wenn es nicht das Bestreben war, die Mundtheile dieser Formen in sein künstliches Schema hinein-zupassen, zu welchem Zwang aber gar kein Grund vorliegt, da sich die Theile gerade hier ganz einfach und ungezwungen erklären lassen. Der Speichelgang mündet, wie Meinert selbst zugibt, in die mittlere Borste und gibt dadurch einen Anhalt, dieselbe als Stechborste zu deuten, die sich ja nur aus einer chitinisirten Papille an der Ausmündungsstelle jener Drüse entwickelt haben mag, wie man aus Übergängen in einzelnen Formen (*Stratiomyidae*) vermuten kann. Die Stechborste selbst ist also eigentlich nichts Anderes, als ein verlängerter, frei gewordener Speichelgang. Von der Basis der Oberlippe, mit dieser gelenkig verbunden, gehen nach rückwärts zwei Chitinthteile ab, die, nach Analogie der *Eumyidae*, den Basalstücken der Unterkiefer entsprechen, aber bei dem Vor- und Rückwärtsbewegen des Rüssels von Bedeutung sind. In ähnlicher Weise wirken dieselben Theile auch unter den Orthorrhaphen bei *Asindulum*. Das Schlundgerüst, das in der Form auch dem der Eumyiden gleicht, steht durch einen schmalen, langen Fortsatz seiner unteren Platte, die seitlich zwei stärker chitinisirte Streifen zeigt, mit dem eigentlichen Rüssel in Verbindung. In der Ruelage erscheint der Rüssel vollständig in den Kopf zurückgezogen, wobei das Schlundgerüst senkrecht gestellt ist, und die Basal-

theile der Unterkiefer mit dem vorstreckbaren Theil des Rüssels — aus Oberlippe, Unterlippe und Stechborste bestehend — einen spitzen Winkel bilden, dessen Scheitel nach innen und hinten gerichtet ist. Es ist dann kaum die äusserste Spitze der Unterlippe zwischen den Tastern sichtbar.

3. Fam. *Nycteribidae*: *Nycteribia* (*Listropodia* Kol.) *Nattereri* Kol. Taf. IV, Fig. 32.

Nycteribia (*Aerocholdia* Kol.) *Becksteini* Kol.

Hier sind dieselben Theile vorhanden, wie in der vorigen Familie, nur lässt sich das Schlundgerüst nicht mit Sicherheit ermitteln. Die Unterkiefertaster sind sehr gross, cylindrisch und lang beborstet; sie decken den Rüssel nicht, wie die der *Hippoboscidae*. Der eigentliche Rüssel besteht aus einer Unterlippe, die der von *Hippobosca* gleicht, doch viel kürzer und gerade ist. Diese enthält, wie Westwood¹⁾ (l. c. p. 279) angibt, zwei Borsten, von denen ich nur eine obere dickere Borste mit Sicherheit erkennen konnte, die dann als Oberlippe gedeutet werden muss; die unter ihr liegende zweite Borste, die Stechborste, konnte ich nicht finden, doch ist ihr Vorhandensein sehr wahrscheinlich, da man deutlich einen Drüsenausführungsgang in den Rüssel eintreten sieht und ein Überscheln bei der Kleinheit des Objects sehr leicht möglich ist. Von der Basis des Rüssels gehen, wie bei *Hippobosca*, zwei Chitingeräten nach innen und hinten ab, die auch hier der Basis der Unterkiefer zu entsprechen scheinen. —

Literatur.

- ¹⁾ Barth, J. M., Dissertatio de enlee, Ratishonae 1737.
- ²⁾ Gleichen, F. W., Geschichte der gemeinen Stubenfliege. Nürnberg 1764.
- ³⁾ Kirby and Spence, Introduction to the Entomology, Vol. I—IV. 1815—1826.
- ⁴⁾ Savigny, J. C., Mémoires sur les animaux sans vertèbres. I. fascicule. Mém. t. 2. Paris, Janvier 1816.
- ⁵⁾ Treviranus, G. R. u. L. Ch., Vermischte Schriften anat. und phys. Inhlts. Bremen 1817. Bd. II, p. 138, §. 4. Über die Saugwerkzeuge der Insecten.
- Treviranus erklärt das Saugen der Dipteren mit Hilfe des sogenannten Saugmagens, wie bei Hymenopteren und Lepidopteren.
- ⁶⁾ Berthold, Dr. A. A., Latreille's natürliche Familien des Thierreiches. Weimar 1827.
- Latreille stellt hier bereits zum Theil die Hauptgruppen der Dipteren auf, wie sie sich nun als richtig erwiesen und verwendet die Bildung des Rüssels als Merkmal bei der Gruppierung.
- ⁷⁾ Westwood, On Nycteribia. Trans. Zool. Soc. London 1835. T. I, p. 275—294; 1 pl.
- ⁸⁾ Erichson, W. F., Entomographien, Heft I. Berlin 1840. Über zoologische Charaktere der Insecten. Arachniden und Crustaceen, p. t und Die Hemipteren, p. 155.
- ⁹⁾ Burmeister, Handbuch der Entomologie. 1832. Bd. I.
- ¹⁰⁾ Loew, Dr. H., Über die Bedeutung des sogenannten Saugmagens bei den Zweiflüglern. Stett. Ent. Zeitschr. 1843, p. 114.
- ¹¹⁾ Brullé, A., Recherches sur les transformations des appendices dans les Articulés. Ann. des sciences natur. 1844. Sér. 3, t. 2, p. 271—273. Paris.
- Auszug in: Erichson, Ber. Ab. d. wissensch. Leistungen im Gebiete d. Entom. 1844, p. 3—4.
- ¹²⁾ Erichson, W. F., Zur Gattung Oncoles (Ozeodes Latr.). Wiegmann's Archiv. 1846. I, p. 288.
- ¹³⁾ Blanchard, E., De la composition de la bouche dans les insectes de l'ordre des Diptères. Compt. rend. 1850, t. 31, p. 124—127. N. d. Bericht in Wiegmann's Archiv. 1851, II, p. 214.
- Nach Blanchard besteht die Stechborste bei den Auliden aus den verwachsenen Oberkiefern; ebenso bei den Dipteren, die nur zwei Borsten besitzen. Er begründet diese Ansicht dadurch, dass nach seiner Angabe die Nerven, die bei den Dipteren mit sechs Borsten (*Tabanus* ♀) die Mandibeln, Maxillen und Unterlippe versorgen, aus dem Ganglion infraoesophagum entspringen und bei den mit vier Borsten die somit die Mandibeln versorgenden Nerven zur Stechborste gehen. Er sagt jedoch nicht, wer die Stechborste bei den *Tabanus* Weibchen versorgt. Theodides ist bei der engen Aneinanderlage der Theile ein Irrthum bezüglich des Nerveneintrittes leicht möglich. Die Mandibeln verwachsen nach Bl. mit der Unterlippe, was er daraus ableiten will, weil „das zweite Paar der aus dem Ganglion infraoesoph. kommenden Nerven an die an der Spitze des Rüssels befindlichen Taster tritt.“ Die Unterkiefertaster sind aber bei den Musciden, auf die sich diese Stelle bezieht, stets von ihrem Kiefer getrennt und stehen ausserdem nicht an der Spitze des Rüssels, sondern an dessen Basis; der zutretende Nerv dürfte also hier dem Taster zukommen und nichts mit dem Kiefer zu thun haben.

- ¹⁴ Gerstfeld, G., Über die Mundtheile der saugenden Insecten. Dorpat 1853.
- ¹⁵ Hunt, G., The Proboscis of the Blow-Fly. Quart. Journ. of microsc. science, T. IV. London 1856, p. 238, 239.
Beschreibt und bildet den Bau der Pseudotracheen ab, ohne ihre Function in Betrachtung zu ziehen.
- ¹⁶ Mayer, Über ein neu entdecktes Organ bei den Dipteren. Verhandl. naturh. Ver. Preuss. Rheinl. u. Westph. T. XVI. Bonn 1859. Sitzungsber., p. 166.
Beschreibt dieses Organ, die Pseudotracheen, wie Hunt, doch hält er sie in Verbindung stehend mit einer aus der Brust kommenden Trachee, wozu ihn vielleicht der tracheenartige Ausführgang der Speicheldrüse verleitet hat. Ihre Function, ob Geruch oder Mithwirkung beim Summen, ist ihm fraglich.
- ¹⁷ Weismann, Die nachembryonale Entwicklung der Musciden. Zeitschr. f. wissenschaftl. Zool. XIV. 1864.
„Die Theile des Fliegenrüssels werden von vornherein als das angelegt, was sie werden sollen.... So wächst die Unterlippe, der eigentliche Rüssel mit dem Haustellum nicht aus zwei ursprünglich getrennten und gleichartigen Anhängen zusammen, wie dies bei der Unterlippe der Larven der Fall ist, sondern wird gleich als Hohlrinne angelegt.“ p. 275.
- ¹⁸ Suffolk, W. T., On the proboscis of the Blow-Fly. The Monthly Microsc. Journ. T. 1. 1869.
- ¹⁹ Anthony, The suctorial Organs of the Blow-Fly. The Monthly Microsc. Journ. Trans. of the Royal Microsc. Soc. T. IX, p. 242—245.
- ²⁰ Lowe, J. T., The anatomy and physiology of the Blow-Fly. London 1870.
Enthält eine ausführliche Beschreibung der einzelnen Theile des Rüssels ohne Beziehung auf andere Familien.
- ²¹ Macosle, G., The Proboscis of the House-Fly. Amer. Natur. March 1880, V. 14, p. 153—161, Fig. 1—3.
- ²² Graber, Vitus, Die Insecten. Die Naturkräfte. München 1877, 21. u. 22. Bd.
- ²³ Meunzbier, M. A., Über das Kopfskelett und die Mundtheile der Zweiflügler. Bull. Soc. Imp. Nat. Moscou 1880, I, p. 8—71.

Der hieher gehörige Theil der Arbeit gipfelt in folgenden Thesen:

1. Der Bau der Mundtheile der Dipteren kann auf den typischen Bau der Mundtheile der Insecten zurückgeführt werden. (.)
 2. Unter den Dipteren gibt es sowohl Formen mit vollkommen entwickelten Mundtheilen (*Panotopota*, *Chrysopa*), als auch solche mit vereinfachten Mundtheilen (*Syrphus*, *Empis*, *Maera*, *Stomoxys*, *Sarcophaga*).
 3. Bei vielen Dipteren existiren Epipharynx und Hypopharynx in Gestalt von Fortsätzen der Wandungen des Schlundes; der erstere als ein Auswuchs der oberen, der zweite als ein Auswuchs der unteren Wand. Der Epipharynx ver wächst gewöhnlich mit dem Labrum. Der Hypopharynx dient als Rinne zur Fortleitung des Speichels und manchmal (*Empis*, *Stomoxys*) als Lanzette.
 4. Bei *Musca* bestehen die Mundtheile aus Labrum, Epipharynx, Labium und Maxillartastern. (.)
 5. Die Modificationen in der Ausbildung der Mundtheile stehen in einem gewissen Verhältnisse zur Nahrungsweise und dem Materiale der Nahrung.
- ²⁴ Müller, F., *Paltostoma torrentium*. Kosmos, H. 7. 1880, p. 37—42.
Müller beschreibt von dieser Blepharoceride zweigestaltige Weibchen, indem die einen blutsaugend sind und vollkommene Mundtheile haben, die denen unserer *Blepharocera* gleichen, während die anderen blutig saugen und auf Blumen lebend verkümmerte Mundtheile besitzen. Er bildet jedoch nur der ersteren vollständig ab.
- ²⁵ Müller, Fr., A metamorphose de un insecto diptero. Archivos do Museu Nacional. Rio. Vol. IV, p. 47—85.
Die ausführliche Arbeit, deren Vorläufer der Aufsatz im „Kosmos“ war.
- ²⁶ Meinert, Fr., Sur la conformation de la tête et sur l'interprétation des organes bucaux chez les Insectes, ainsique sur la systématique de cet Ordre. Entomol. Tidskrift (Ütg. af J. Spangberg). I. Bd. 3. n. 4. Heft, p. 147. Stockholm 1880.
- ²⁷ Meinert, Fr., Sur la construction des organes bucaux chez les Diptères. Entomol. Tids. I. Bd. 3. n. 4. Heft, p. 150. Stockholm 1880.
- ²⁸ Meinert, Fr., Fluerens Munddele (Trophii Dipterorum). Kjöbenhavn, H. Hagerup, 1881.

Folgende Tabelle stellt die in vorliegender Arbeit gebrauchten Bezeichnungen und die Meinert's gegenüber:

Oberlippe: Labrum; pars dorsalis metameri I cum epipharynge coacta;
 Stechborste: Hypopharynx; propagatio laminae inferioris pharyngis;
 Oberkiefer: Cultiell; processus pleurarum metameri II;
 Unterkiefer: Scalpella; processus scuti ventralis metameri II;
 Taster der Unterkiefer: Palpi; saepius e parte ventrali, rarius e parte dorsali metameri II exoritur
 Unterlippe: Proboscis; pars ventralis metameri I; besteht aus
 Mentum; Scutum proboscidis;
 obere Platte (deren Seitentheile bei Musciden): styli motorii labellorum,
 Endlippen: Labella; exponentsia metameri I;
 deren Chitinstützen: Fulcrula labellorum;
 Pseudotracheen: Tubuli labellorum;
 Schlundgerüst, unterer Theil: Pharynx;
 „ „ oberer „ : Scutum dorsale metameri II;

Untere Lamelle der Oberlippe: Epipharynx; propagatio laminae superioris pharyngis;

Spitze der Unterlippe, d. i. ihrer oberen Platte: Ligula;

Basis der Unterkiefer: Pars senti ventralis metameri II.

- ²⁹ Dimmock, G., The Anatomy of the Mouth-Parts and of the sucking apparatus of some Diptera. Dissertation. Boston 1881. A. Williams & Co.

Die drei folgenden Arbeiten konnte ich nicht einsehen:

Newport, The article „Insecta“ in Todd's Cyclop. of Anatomy and Physiology. 1839. July and Oct., part. 17. 18. London.

Sundervall, J. C., Om Insecternas extremiteter samt deras hufud och munnelar 1—92 med Taf. I—IV. Kongl. Svenska vetenskap. Akad. Handl. Ny Följd. 1860. Tredje Bandet. Andra Häftet.

Chatin, Armature buccale chez les Tabanides. Bull. Soc. Philomatique. Tome IV. No. 2. 1880. p. 104.

Außerdem finden sich auch kurze Beschreibungen, sowie Abbildungen von Mundtheilen in den systematischen Werken von Meigen, Fabricius, Latreille, Robineau-Desvoidy, Westwood, Osten-Sacken u. A.

ERKLÄRUNG DER TAFELN.

Buchstabenerklärung für alle Figuren geltend (mit Ausnahme von Fig. 33, Taf. IV.).

- | | |
|---|---|
| <p>a Oberlippe.
 a, Untere Platte derselben.
 a,, Abgetrennte Spitze der unteren Platte.
 b Stechborste.
 b, Canal der Stechborste.
 b¹ Oberes Stück der Stechborste.
 b² Unteres „ „ „
 c Mentum.
 c, Paarige Seitentheile der oberen Unterlippenplatte.
 c,, Mittelstück „ „ „ „
 d Endlippen.
 d, Deren Stützen.
 d,, „ „ „
 e Basis der Unterlippe.
 e, Kautstück der Unterlippe.
 e¹ Carolo { (Taf. I, Fig. 4).
 e² Stipes }
 f Taster der Unterlippe.
 g Schlundgerüst.</p> | <p>g, Muskelfortsätze an demselben.
 h Ligula.
 h, Auge.
 i Kehle.
 k Oberkiefer.
 k, Deren Basaltheil.
 l Hauptstämme der Pseudotracheen.
 m Untergesicht.
 n Pseudotracheen.
 o Antennen.
 p Ausmündung der Speicheldrüse.
 q Unpaares Stück als Fortsetzung des Schlundgerüsts.
 r Tasterschuppe.
 s Unpaares Chitinstück hinter der Oberlippe zum Muskelansatz.
 y Chitnige Hinterwand des Oesophagus.
 z Chitnirte Stellen der Schädelseitenwand zum Muskelansatz.</p> |
|---|---|

TAFEL I.

Fig. 1. Mundtheile von *Leodomys saties* Schrnk., von oben. (Vergröss. ca. 32.)

2. *Neura Thomas* L.
 2 a. Oberlippe und Stechborste, von oben; 2 b. Unterlippe; 2 c. Unterkiefer und dessen Taster.
 3. Unterkiefer von *Mycetophila punctata* Mg.
 4. *Asindulus fennalis* Mg.
 4 a. Unterlippe; 4 b. Unterkiefer; 4 c. Rüssel ohne Unterlippe, von der Seite
 5. *Bithia Murei* L.
 5 a. Oberlippe, von unten; 5 b. Stechborste; 5 c. Oberlippe, Stechborste und Schlundgerüst, von der Seite; 5 d. Unterkiefer und Unterlippe, von unten.
 6. Unterkiefer von *Penthetria holosericea* Mg.
 7. Mundtheile von *Dilophus vulgaris* Mg., von oben.
 8. *Scotopos notata* L.
 8 a. Stechborste; 8 b. Taster; 8 c. Linke Endlippe, von unten.

Fig. 9. *Rhyphus fenestralis* Scop.

- 9 a. Oberlippe; 9 b. Stechborste und Schlundgerüst; 9 c. Unterlippe; 9 d. Unterkiefer.
 10. *Simulium reptans* L. ♀
 10 a. Oberlippe; 10 b. Stechborste und Schlundgerüst; 10 c. Oberkiefer; 10 d. Unterkiefer; 10 e. Unterlippe, von unten.
 11. *Chironomus plumosus* L.
 11 a. Unterlippe, von unten; 11 b. Oberlippe; 11 c. Unterkiefer; 11 d. Stechborste und Schlundgerüst.
 12 a. Mundtheile von *Ceratopogon fuscatus* Mg. ♀; nach Entfernung der Oberlippe und Stechborste; 12 b. Stechborste; 12 c. Oberlippe, von unten.
 13 a. Mundtheile von *Blapharocera fasciata* Wstw.; nach Entfernung von Oberlippe und Stechborste; 13 b. Oberlippe; 13 c. Stechborste.
 14. *Cordulia plumicornis* Fabr.
 14 a. Unterkiefer; 14 b. Stechborste; 14 c. Unterlippe, von unten.
 15 a. Mundtheile von *Culex nemorosus* Mg. ♂; rechter Taster und Unterkiefer entfernt, von oben; 15 b. Mundtheile von *Culex nemorosus* Mg. ♀, von oben; 15 c. Taster von *Culex pipiens* L. ♀; 15 d. Spitze des Oberkiefers von *Culex nemorosus*; 15 e. Spitze des Unterkiefers von *Culex nemorosus*.
 16 a. Stechborste; 16 b. Mundtheile von *Psychoda phalaenodes* Lm. von oben.
 17. *Phlebotomus Papatasi* Scop.
 17 a. Oberkiefer; 17 b. Unterkiefer; 17 c. Oberlippe; 17 d. Stechborste.
 18. *Psychoptera contaminata* L.
 18 a. Unterkiefer; 18 b. Unterlippe, von unten, die rechte Seite fehlt; 18 c. Stechborste.

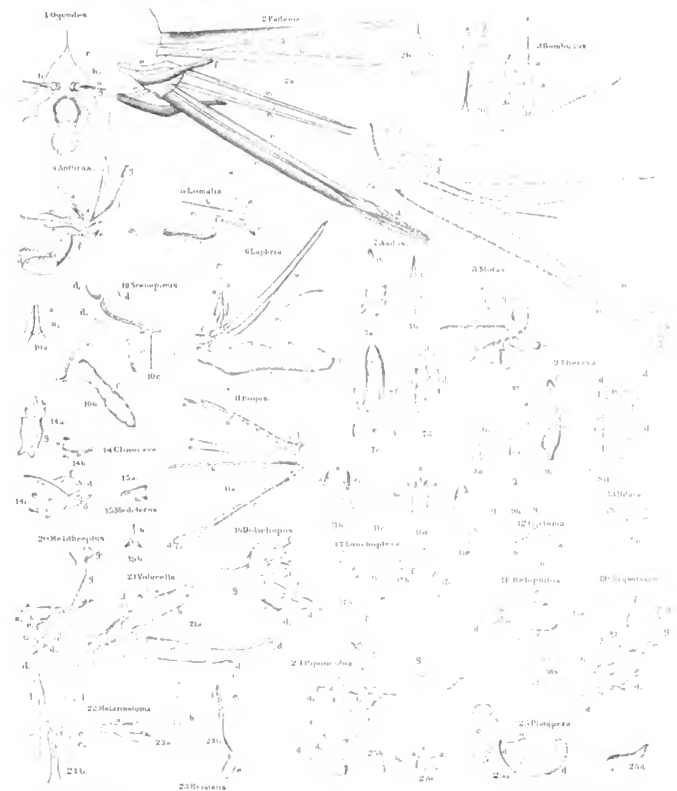
TAFEL II.

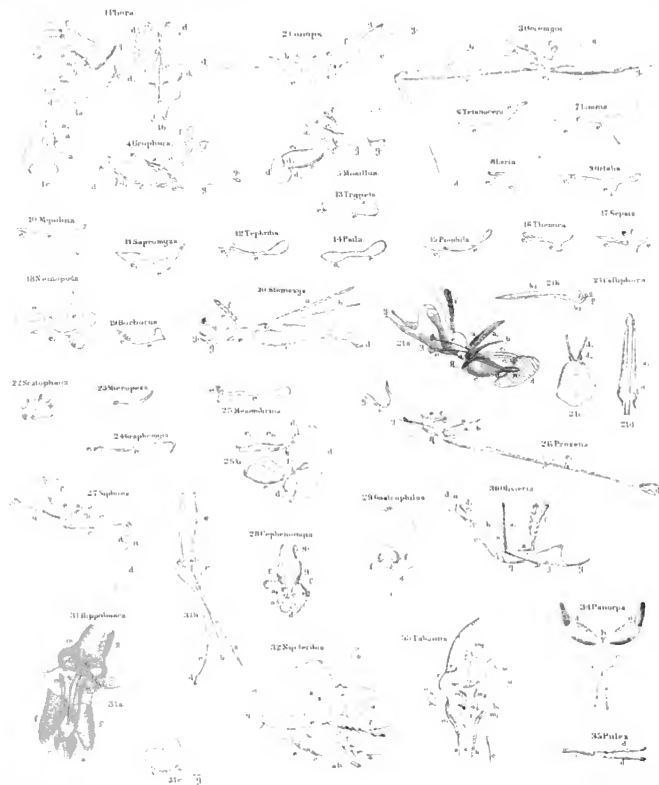
Fig. 1. *Limnobia annulus* Mg.

- 1 a. Oberlippe, von unten; 1 b. Stechborste und Schlundgerüst; 1 c. Unterlippe; 1 d. Unterkiefer; 1 e. Unterkiefer von *Epiphygma picta* Fabr.
 2. *Tipula ochracea* Mg.
 2 a. Oberlippe; 2 b. Stechborste und Schlundgerüst; 2 c. Unterkiefer; 2 d. Unterlippe.
 3. Obere Platte der Unterlippe von *Temephara* sp.? (stärker vergrößert als die übrigen Figuren).
 4. *Stratiomys chameleon* Dg.
 4 a. Oberlippe; 4 b. Stechborste; 4 c. Unterkiefer; 4 d. Unterlippe.
 5. Unterkiefer von *Pachygaster ater* Vz.
 6 a. Mundtheile von *Lasiopa villosa* Fabr., seitlich, ohne Unterlippe; 6 b. Oberlippe; 6 c. Stechborste, von unten.
 7. Rüssel von *Sargus cuprearius* L., von der Seite.
 8. Rüssel von *Nemotelus signatus* Frwilky., von der Seite.
 9. Schlundgerüst und Oberlippe von *Oryzeta Meigeni* Stg., von der Seite.
 10 a. Schlundgerüst, Oberlippe und Stechborste von *Aciina nitens* Latr., von der Seite; 10 b. Unterlippe und Taster von demselben, von unten.
 11 a. Schlundgerüst, Oberlippe und Unterkiefer von *Lyphopagma ater* Fabr., von unten; 11 b. Stechborste von demselben.
 12. Mundtheile von *Subula marginata* Mg., von oben.
 13. *Coenomyia ferruginea* Scop.
 13 a. Oberlippe; 13 b. Unterkiefer; 13 c. Stechborste.
 14 a. Mundtheile von *Tabanus apricus* Mg. ♀, von oben; 14 b. Oberkiefer; 14 c. Oberlippe; 14 d. Stechborste und Schlundgerüst; 14 e. Unterlippe (e deren Stamm mit oben zusammenstossenden Rändern, welcher die Scheide bildet; 14 f. Mentum; 14 b—f stärker vergrößert).
 15 a. Radimentäre Oberkiefer von *Tabanus apricus* Mg. ♂; 15 b. Mundtheile von *Tab. apricus* ♂, von oben.
 16 a. Mundtheile von *Chrysops coarctatus* L. ♀, von oben; 16 b. Mundtheile von *Chr. coarctatus* L. ♂, von oben.
 17 a. Mundtheile von *Haematopota pluvialis* L. ♀, von oben; 17 b. Mundtheile von *Haem. pluvialis* ♂, von oben.
 18. Ende der Stechborste von *Hesatoma pallucens* Fabr. ♀.
 19. *Pangonia sorbens* Wilm.
 19 a. Unterkiefer des ♀; 19 b. Oberkiefer des ♀; 19 c. Unterkiefer des ♂; 19 d. Oberkieferspitze, ♀; 19 e. Spitze des Unterkiefers, ♀; 19 f. Spitze der Stechborste, ♀.
 20. *Atherix Ibi* Fabr.
 20 a. Oberlippe, ♀; 20 b. Stechborste, ♀; 20 c. Ober- und Unterkiefer, ♀; 20 d. Oberlippe, ♂; 20 e. Unterkiefer, ♂.
 21. *Symphoromyia melana* Mg., ♀.
 21 a. Oberkiefer; 21 b. Unterkiefer.
 22. *Leptia strigosa* Mg.
 22 a. Oberlippe; 22 b. Unterkiefer.









TAFEL III.

Fig. 1. Untergesicht und Mundöffnung von *Oxyodes zonatus* Erieha.

- „ 2 a. Rüssel von *Faltaria fasciata* Fabr., von der Seite; 2 b. Spitze der Stechborste von *Falt. fasciata*.
- „ 3 a. Rüssel von *Bombylus major* L., von der Seite; 3 b. Unterkiefer (unteres Ende); 3 c. Ende der Stechborste; 3 d. Ende der Oberlippe, von demselben.
- „ 4. Rüssel von *Anthes Paniceus* Rossi.
- „ 5. Rüssel von *Lomatia Sabaei* Fabr.
- „ 6. Rüssel von *Laphria flava* L.
- „ 7 a. Unterkiefer von *Astilus atricapillus* Fall.; 7 b. Stechborste; 7 d. Unterlippe von demselben, von unten.
- „ 7 c. Unterkiefer von *Astilus crabroniformis* L.
- „ 8. Mundtheile von *Midas coruleceus* Oliv., ohne Unterlippe.
- „ 9. *Therosa arcuata* Loew.
- „ 9 a. Stechborste; 9 b. Oberlippe und Schlundgerüst; 9 c. Unterkiefer; 9 d. Unterlippe.
- „ 10. *Scenopinus fenestralis* L. (stärker vergrößert).
- „ 10 a. Oberlippe; 10 b. Unterkiefer; 10 c. Unterlippe.
- „ 11 a. Rüssel von *Eupis leidis* L.; 11 b. Ende der Oberlippe; 11 c. Ende der Stechborste, von demselben.
- „ 11 d. Ende der Oberlippe von *Eupis argyrea* Egg.; 11 e. Ende der Stechborste, von demselben.
- „ 12. Oberlippe und Stechborste von *Cyrtoma nigra* Mg., von der Seite (stärker vergrößert).
- „ 13. Unterkiefer von *Hilaria pulverata* Schin.
- „ 14. *Cinocera lamellata* Lw.
- „ 14 a. Stechborste und Schlundgerüst; 14 b. Oberlippe; 14 c. Unterlippe und Taster.
- „ 15. Stechborste vom *Medorus spec?*
- „ 15 a. Von der Seite; 15 b. von unten.
- „ 16. Rüssel von *Dulichopus aeneus* Deg.
- „ 17. *Lonchoptera tristis* Mg.
- „ 17 a. Oberlippe; 17 b. Unterkiefer; 17 c. Stechborste.
- „ 18. *Helophilus florens* L.
- „ 18 a. Unterlippe, von der Seite; 18 b. unpaars Mittelstück der oberen Platte, von oben.
- „ 19. Rüssel von *Chrysotoxum bimaculatum* L.
- „ 20. Rüssel von *Melithreptus taeniatus* Mg.
- „ 21 a. Rüssel von *Calocella inanis* L.; 21 b. Unterlippe von *Cal. inanis*, von oben.
- „ 22. Oberlippe von *Melanostoma mellina* L.
- „ 23. *Eristalis tenax* L.
- „ 23 a. Stechborste; 23 b. Unterkiefer.
- „ 24. Rüssel von *Pipunculidus campetris* Latr. (stärker vergrößert).
- „ 25. *Platypoda holosericea* Mg. (Vergrößerung wie Fig. 24).
- „ 25 a. Unterlippe, von unten; 25 b. Stechborste; 25 c. Oberlippe, von unten.

TAFEL IV.

Fig. 1 a. Rüssel von *Phora rufipes* Mg. (Vergrößerung wie Taf. III, Fig. 24); 1 b. Unterlippe, von unten, von demselben.

- „ 1 c. Oberlippe, von unten, von demselben.
- „ 2. Rüssel von *Cynops flavipes* L.
- „ 3. Rüssel von *Oecomyia atra* Fabr.
- „ 4. Rüssel von *Urophora cardui* L.
- „ 5. Rüssel von *Mosillus senens* Fall.
- „ 6—19 und Fig. 23. Unterkiefer von Holometopen.
- „ 20. Rüssel von *Stomoxys calcitrans* L.
- „ 21 a. Rüssel von *Calliphora erythrocephala* Mg.; 21 b. Stechborste, von der Seite; 21 c. Mentum; 21 d. Oberlippe, von unten, von demselben.
- „ 22. Träger der Pseudotracheen von *Scatophaga merdaria* Fabr., mit starken Chitinzähnen.
- „ 24. Unterkiefer mit rudimentärem Kaustück von *Graphomyia maculata* Strop.
- „ 25. *Mesembria meridiana* L.
- „ 25 a. Unterkiefer mit rudimentärem Kaustück; 25 b. Unterlippe, von der Seite.

Fig. 26. Rüssel von *Prosema longirostris* Egg.

- „ 25. Rüssel von *Siphona flavifrons* Staug.
- „ 27. Rüssel von *Cephenomyia stimulator* Claret, von oben.
- „ 29. Radimentärer Rüssel von *Gastrophilus haemorrhoidalis* L.
- „ 30. Rüssel von *Olivieria lateralis* Fabr.
- „ 31 a. Rüssel von *Hippoboscæ equina* L., von oben (Ende der Unterlippe fehlt); 31 b. Vorstreckbarer Theil des Rüssels von derselben; 31 c. Schlundgerüst derselben, von der linken Seite.
- „ 32. *Nycteridia Nattereri* Kol. Kopf.
- „ 33. Sagittaler Medianschnitt durch den Kopf von *Tabanus aprieus* Mz. *Q.* σ und σ , Oberlippe; *h* Stechborste; *b*, Ausführgang der Speicheldrüse, in die Stechborste mündend; *c* Mentum; *g* horizontale (untere) Platte des Schlundgerüsts; *m* Untergesicht; *m*₁ und *m*₂ Muskeln, welche den Pharynx *r* durch Auseinanderziehen der Seitenwände erweitern; *m*₃ zieht die Vorderwand des Pharynx aufwärts; *m*₄ Ringmuskel, wirkt den anderen entgegen; *r* Stirn; *e*, Chitinkleiste im Kopfinnern; *u* Speiseröhre; *w* Schlundring; *v* Fühler.
- „ 34. Unterlippe von *Panorpa*.
- „ 35. Unterlippe von *Pulex*.

Die Figuren auf sämtlichen Tafeln sind, wo nicht ausdrücklich eine stärkere Vergrößerung bemerkt ist, im selben Verhältnisse, und zwar circa 16mal vergrößert.

DIE SPONGIEN, RADIOLARIEN UND FORAMINIFEREN

DER
UNTERLIASSISCHEN SCHICHTEN VOM SCHAFBERG BEI SALZBURG.

VON
DR. EMIL v. DUNIKOWSKI.

(Mit 6 Tafeln.)

VORGELEGT IN DER SITZUNG DER MATHEMATISCH-NATURWISSENSCHAFTLICHEN CLASSE AM 16. MÄRZ 1882.

Einleitung.

Indem ich die vorliegende Arbeit der Öffentlichkeit übergebe, glaube ich hoffen zu können, dass dieselbe nicht ganz ohne Interesse für Geologen und Paläontologen sein dürfte. Sie behandelt nämlich Spongien und Radiolarien aus einem geologischen Horizonte, in dem diese Thierformen bis jetzt von Niemandem beobachtet wurden, wobei noch der Umstand, dass die Radiolarien die ältesten sind, die bis jetzt überhaupt bekannt wurden, — eine besondere Beachtung verdient.

Andererseits aber ist der Fundort selbst — nämlich der Schafberg bei Salzburg — sowohl in geologischer, als auch paläontologischer Beziehung fast ganz unbekannt, so dass auch in dieser Richtung der vorliegende kleine Beitrag willkommen sein dürfte.

Bevor ich an meine Arbeit gehe, fühle ich mich angenehm verpflichtet, meinem hochgeehrten Lehrer, Herrn Professor Dr. K. A. Zittel in München, für die gütige Überlassung des von ihm gesammelten Materials, wie auch für die ausgiebige wissenschaftliche Hilfe, die er mir im Laufe meiner Untersuchungen durch Rath und That zu Theil werden liess, meinen innigsten und tiefgefühlten Dank auszusprechen.

Gleichzeitig erlaube ich mir auch, dem k. k. Herrn Oberbergrathe E. von Mojsisovics in Wien, der die Freundlichkeit hatte, mir die Handstücke aus Goisern zur Untersuchung anzuvertrauen, meinen besten Dank auszudrücken.

Ich habe nicht die Absicht, eine geologische Schilderung des Fundortes zu geben, indem das nächstens durch die Aufnahmen der k. k. geologischen Reichsanstalt viel gründlicher und ausführlicher erfolgen wird. Ich will nur soviel erwähnen, dass unsere Straten das Hangende der Küssener-Schichten bilden, und unzweifelhaft dem unteren Lias angehören, wie das aus den hier vorkommenden Fossilien, nämlich: *Schlotheimia marmorata* Opp. und anderen Angulaten, — ferner auch einigen unterliassischen Brachiopoden — deutlich hervorgeht.

Was nun das Gestein anbelangt, so ist es hauptsächlich ein hornsteineicher, — dunkler — fast dichter Kalkstein. Der Hornstein bildet Gänge und Adern, oder ist fein vertheilt, — so, dass die ganze Kalkmasse — wie mit Kieselsäure getränkt erscheint. Ausserdem sieht man hier feine Thonpartikelchen, ferner Gyps in winzigen nadelförmigen Krystallen, Glaukonitkörner und andere Substanzen, die das Gestein verunreinigen.

In diesem Kalk sind nun die Spongiennadeln eingehettet. Sie sind stellenweise so häufig, dass einzelne Gesteinspartien — nachdem sie mit Säuren getätzt wurden — als ein Agglomerat von unzähligen Bruchstücken und ganzen Spongiennadeln erscheinen, und in Folge dessen den Namen der Spongien-schichten im vollsten Masse verdienen. In einigen wenigen Fällen hat man hier auch Theile von ganzen Spongienkörpern vor sich, an denen man noch deutlich die Canäle und die Oberfläche des Schwammes beobachten kann, und die das Gestein rinnenartig überziehen.

Die Radiolarien sind dagegen viel seltener. Sie finden sich nur sporadisch unter den feineren Partien des Ätztuffes und man hat Mühe, eine kleine Sammlung derselben zu machen.

Das bis jetzt Gesagte gilt auch vollkommen von den Gaiserner-Schichten, aus welchen mir Handstücke von Herrn Dr. von Mojsisovics zur Untersuchung überlassen wurden. Es ist derselbe hornsteineiche Kalkstein mit unzähligen gleichen Spongieneresten und der einzige Unterschied würde nur in den Umständen bestehen, dass die Radiolarien noch hier viel seltener sind, als in den Schaffberger-Schichten.

Schliesslich sei es noch erwähnt, dass es das Verdienst der Herren Dr. Professor Zittel und Dr. Mojsisovics ist, diese interessanten Schichten entdeckt zu haben.

A. Spongien.

Ich halte es für überflüssig, in die nähere Darstellung der Entwicklung und des jetzigen Standes unserer Kenntnisse über fossile Spongien einzugehen, ausführliche Daten darüber findet man ohnehin im Zittel'schen Handbuch der Paläontologie trefflich zusammengestellt.

Es ist allgemein bekannt, dass man lange Zeit die fossilen Spongien als eine besondere gänzlich ausgestorbene Gruppe den lebenden gegenüberstellte, und dass man auf die Systematik derselben entweder gar keinen Werth legte, oder aber nur künstliche gänzlich unhaltbare Systeme aufstellte.

Im Anschluss an die trefflichen Arbeiten von Schmidt etc. über recente Spongien — war es den paläontologischen Untersuchungen der allerletzten Jahre vorbehalten, ein natürliches, dem jetzigen Stande der Fossilienlehre vollkommen entsprechendes System aufzustellen. Den ersten Rang nehmen da die berühmten bahnbrechenden Arbeiten vom Professor Zittel ein,¹ dessen Untersuchungen auch von grossem Einflusse auf die Kenntniss der recenten Formen waren, indem — wie sich Schmidt treffend ausdrückt² — der Münchener Naturforscher in weiter Übersicht die Basis festgestellt habe, auf welcher der Zoolog in nothwendiger Berücksichtigung des paläontologischen Befundes fortarbeiten kann.

Die vorliegende Arbeit beweist am besten, welche eine wichtige Bedeutung so ein natürliches, vorzüglich auf die Beschaffenheit des Skeletes gegründetes System besitzt, indem man unter soch winzigen losen Nadel-elementen, denen man früher kaum eine Aufmerksamkeit geschenkt hätte, nicht nur einzelne Ordnungen, sondern Familien, ja sogar manchmal Gattungen mit grosser Sicherheit bestimmen kann.

Um aber auf die Spongien vom Schaffberg zu kommen, so muss man vor Allem hervorheben, dass beim Studium derselben ein Umstand auffällt, den man sonst einer blossen Fauna kaum zumuthen würde. Es ist die grosse Armuth an Formen, während die Zahl der Individuen erstaunlich ist. Die Fauna umfasst im

¹ K. A. Zittel, 1. Über Coelopterychium. Abhandl. d. bayer. Akad. d. Wiss. II. Cl. 1870. Bd. XII; 2. Studien über fossile Spongien, I, II, III. Ibidem Bd. XIII; 3. Beiträge zur Systematik fossiler Spongien. Neues Jahrb. f. Geol. u. Min. 1877, 1878; 4. Zur Stammesgeschichte fossiler Spongien. München 1878; 5. Handbuch der Paläontologie.

² Oscar Schmidt, Die Spongien des Meerbusens von Mexico. Jena 1879. S. 1.

Ganzen nur wenige Gattungen, was in Anbetracht der Myriaden von Nadeln, die das Gestein lagenweise ausfüllen, eine recht bemerkenswerthe Thatsache bildet. Diese Erscheinung bei den Schafberger-Spongien steht wenigstens unter den Spongien jüngerer Systeme ganz vereinzelt da, denn sowohl die oberjurassischen, als auch die Kreide-, Tertiär- und recenten Spongien zeichnen sich durch einen grossen Formenreichtum aus. So hat z. B. Herr Hinde die Spongienfauna einer einzigen Kieselkugel aus der oberen Kreide Norfolk's beschrieben,¹ die, was den Formenreichtum anbelangt, die Spongienfauna vom Schafberg um ein Beträchtliches übertrifft.

Wir haben hier fast einzig und allein — mit kleiner Ausnahme — nur mit Skeletelementen zu thun, die ganz lose und haufenweise das Gestein ausfüllen, sich stellenweise zu kleinen Klumpen und Kugeln zusammenhallen.

In Bezug auf die Individuen-Auzahl nehmen da die erste Stelle die Einstrahler ein. Von diesen gehört die Mehrzahl zu der Ordnung der Monactinelliden Zittel, während ein kleinerer Theil den Tetractinelliden Marshall zukommt. Wie viel aber von den scheinbar einstrahligen Bruchstücken auch den anderen Ordnungen angehört, kann man natürlich nicht entscheiden.

Nicht minder zahlreich sind auch die Hexactinelliden, und zwar die Unterordnung der Lyssakinen, deren lose Nadeln mit anderen vermischt vorkommen.

Viel seltener sind dagegen die Dictyoninen, deren zierliche feine Gitterskelete entweder bruchstückweise herumliegen, oder manehmal noch ganze zum Theil vollständige und unversehrte Skelete bilden. Auffallend ist der Umstand, dass die grosse und formenreiche Ordnung der Lithistiden in den unterliassischen Schichten des Schafberges fast gar nicht vertreten ist.

Die Grösse der Nadeln ist sehr variabel, die Einstrahler erreichen die Länge von über 2·5 Mm. bei einer Dicke von 0·15 Mm., mehr weniger dieselbe Grösse kommt auch den Tetractinelliden und Lyssakinen zu, während die Nadeln der Dictyoninen viel feiner sind. Von diesen grossen findet ein ganz allmählicher Übergang bis zu den allerkleinsten, nur bei stärkerer Vergrösserung sichtbaren Formen statt, die mit geringer Ausnahme als Jugendformen anzufassen sind.

Interessant ist die Betrachtung des Erhaltungszustandes dieser Gebilde.

Professor Zittel war der erste, der in seinen Arbeiten (Studien über foss. Spongien, S. 7 u. ff., Handbuch der Paläont., S. 140) die verschiedenen Erhaltungszustände der fossilen Spongien eingehend besprochen und richtig erklärt hat. Nach dem genannten Forscher zeigen die Spongienadeln häufig Umwandlungen, so dass man öfters fossile Kalkschwämme mit verkieselten und umgekehrt die Kieselchwämme mit verkalkten Skeleten findet, wozu sich noch der Umstand gesellt, dass in beiden Fällen die ursprüngliche Mikrostructur bis zur Unkenntlichkeit verwischt und verändert wird.

Da die Schichten vom Schafberg nur Kieselchwämme enthalten, so beschränke ich mich auf die Zittel'schen Ausführungen bezüglich der Siliceispongien.

Fossile Spongien von gewissen Localitäten, namentlich aber von der oberen Kreide Nord-Deutschlands und Englands, zeigen gar keine Veränderungen und verhalten sich in jeder Beziehung so wie die recenten. Werden sie durch Säuren von dem Gestein, das sie umhüllt, befreit, so erscheinen sie ganz frisch, geben in Canadabalsam gebracht, deutliche Bilder und zeigen einfache Strahlenbrechung. Präparate in Glycerin werden wegen Übereinstimmung des Brechungscoefficienten nahezu unsichtbar.

Es gibt aber Spongien-skelete, deren Kieselruder theilweise oder gänzlich eine krystallinische Modification erfahren hat. Dicher gehören z. B. die Spongien gewisser Kreideschichten von Touraine und Normandie, von England, Polen u. s. w., wie auch aus dem oberen Jura von Nauthcim, Muggendorf etc. Präparate solcher Skelete verschwinden im Canadabalsam fast gänzlich, werden dafür in Glycerin sichtbar und zeigen unter dem Polarisationsmikroskope lebhaftes Farbenerscheinungen. Es ist hier offenbar — vielleicht unter Einfluss alkalischer

¹ G. Hinde, Fossil Sponge Sponges from the Upper Chalk. Munich 1880.

Lösungen — eine Veränderung der Kieselerde eingetreten. Manchmal verschwindet die Kieselerde gänzlich und an ihre Stelle tritt der Kalkspath, Brauseisenstein oder andere Substanzen ein.

Um auf unsere Fauna zurückzukehren, muss ich hervorheben, dass wir hier durchgehends mit veränderter Kieselerde zu thun haben. Die ersten Präparate, die ich in Canadabalsam angefertigt habe, liessen kaum die äussersten Umrisse und das nur bei schwächerer Beleuchtung erkennen. Nur dann, wo die Nadeln durch Eisenoxydverbindungen ein wenig gefärbt sind, was bisweilen vorkommt, sieht man im Canadabalsam die äusseren Formen genau, von der inneren Structur aber gar nichts. Dafür aber erscheinen die Präparate in Glycerin oder Wasser ganz deutlich.

Die ursprünglich amorphe Kieselerde ist da grösstentheils krystallinisch geworden, was sich auch leicht unter dem Polarisationsmikroskop nachweisen liess. Sämmtliche Nadeln vom Schlafberg zeigen bei Drehung des Nikols die schönsten Farbenerscheinungen, wobei manchmal der Fall eintritt, dass die äussere Partie der Nadel diese Doppelbrechung zeigt, während die innere noch aus der amorphen Kieselerde zu bestehen scheint. Diese Veränderung der Substanz der Spongiennadeln ist schon an der Oberfläche derselben kenntlich. Die meisten Nadeln zeigen nämlich im auffallenden Licht auf ihrer Oberfläche zahlreiche Vertiefungen und Höcker, wohl ein rauhes Aussehen und lassen sich schon auf den ersten Blick von den recenten oder auch anderen wohl erhaltenen Spongiennadeln unterscheiden. Obwohl sie im Glycerin durchsichtig werden, so erreicht diese Durchsichtigkeit nie jenen Grad, wie es z. B. bei recenten Nadeln der Fall ist; — sie sind mehr matt, beim auffallenden Lichte erscheinen sie fast porcellanartig, milchig weiss und erinnern lebhaft an das Glas, das lange gestanden ist und zufolge dessen theilweise krystallinisch und minder durchsichtig geworden ist.

Die Veränderung ist auch der Grund, dass die Canäle nur in wenigen Fällen vollkommen erhalten sind, — oft fehlen sie gänzlich — gewöhnlich kommen sie nur theilweise zum Vorschein. Ein Blick auf die Tafeln wird das Gesagte am besten erläutern.

Die Spiculen unserer Fauna sind sehr zerbrechlich. Sie kommen grösstentheils nur in Bruchstücken vor, und man hat Mühe, unter so vielen Formen ganz unversehrte Exemplare herauszufinden. Auch die Anfertigung von Präparaten erheischt eine grosse Vorsicht, — bei der leisesten Berührung des Deckgläschens zerfallen die Nadeln in Trümmer.

Schliesslich müssen da noch die äusserlichen Verunstaltungen erwähnt werden. Die Kieselerde hat sich an viele Spiculen in Form von gallertartigen Kugeln und Scheiben abgesetzt, — oft werden einzelne Nadeln durch solche Substanz mit einander verbunden. Nur die Dietyonien sind merkwürdiger Weise davon verschont geblieben, — die Gitternetze treten ganz deutlich auf, ohne etwas von dieser Verunreinigung zu zeigen.

Es bleibt mir nur noch übrig, einige Worte über die Art und Weise meiner Bestimmung und Classificirung dieser Spongiennadeln zu sagen.

Wiewohl die Skeletelemente einen wesentlichen Theil der Spongien ausmachen, — und wiewohl man ohne eine mikroskopische Untersuchung fast nie im Stande ist, eine sichere nähere Bestimmung des Schwammes anzuführen, — so muss man doch gestehen, dass bei einzelnen losen Nadeln das Skelett nicht immer ansieht, um die Form genauer zu bestimmen. Es kommt nämlich öfters vor, dass eine und dieselbe Nadelform sich bei mehreren Gattungen wiederholt, so, dass man sich in diesem Falle nach anderen charakteristischen Merkmalen des Schwammes umsehen muss, um eine Gattungs- oder Speciesdiagnose aufzustellen. Das gilt besonders für die Tetractinelliden, wo mehrere Species — ja sogar Genera — dieselben Nadeln führen.

Aus diesem Grunde habe ich nur in jenen Ausnahmefällen, wo eine Spongiennadel ganz bezeichnend und nur auf eine Gattung beschränkt ist, dieselbe als ein sicheres Genus aufgestellt, in allen anderen Fällen führe ich entweder sämmtliche Gattungen, bei denen sich ähnliche Skeletelemente wiederholen — an, oder wähle unter denselben jene Gattung, bei der die Form am häufigsten und am constantesten auftritt. Übrigens muss man bemerken, dass bei den meisten Spongien die Gattungen keineswegs scharf abgegrenzt seien, indem fast die Mehrzahl derselben eine continuirliche Reihe bildet, in der — wie sich Schmidt treffend ausdrückt — „alle Gattungsnamen nur willkürliche Ruhepunkte für die systematisirende Verstandesoperation bezeichnen“.

L. Ordnung: MONACTINELLIDAE Zittel.

Skelet aus Hornfasern mit eingeschlossenen Kieselnadeln, oder aus frei in der Sarkodie liegenden Nadeln bestehend; sämtliche Gebilde sind einaxig.

Wie schon früher erwähnt, bilden die Monactinelliden die häufigsten Formen, die in den Spongien-schichten des Schafberges gefunden werden.

Diese Ordnung, deren lebende Vertreter früher mit denen der Tetractinelliden unter dem Namen der Halichondriden vereinigt wurden, ist von Zittel aufgestellt worden, und umfasst Schwämme, die nur einaxige Gebilde im Skelete enthalten.

Da die einzelnen Nadeln bei den lebenden Thieren nur durch Hornfasern zusammengehalten werden, oder frei in der Sarkode herumliegen, so kommen sie im fossilen Zustande fast ohne Ausnahme zerstreut und lose vor.

Was die geologische Verbreitung der Monactinelliden anbelangt, so ist vor Allem der Umstand hervorzuheben, dass dieselben sehr früh erscheinen. Man findet nämlich schon im Silur sowohl in Conchylienschalen, als auch in Gesteinen verästelte Gänge und Löcher, die mit den Bohrgängen lebender Clionen so übereinstimmen, dass man mit Sicherheit ihre Entstehung der Thätigkeit ähnlicher Bohrschwämme zuschreiben kann, obwohl es noch nie gelungen ist, in diesen paläozoischen Bohrlöchern einzelne Skeletelemente zu finden. Ähnliche Gebilde findet man auch in anderen Systemen, am häufigsten jedoch in der Kreide und im Tertiär.

Aus dem Kohlenkalke Schottlands — beschreibt Carter¹ mehrere Schwämme, die er zu Renieren und Rhipidieten stellt. Typische Monactinelliden kommen selten und vereinzelt in der Rhätischen Stufe vor, — häufiger stellen sie im Jura, Kreide und Tertiär, — aus welchen Systemen sie von Zittel (op. cit.), Carter,¹ Hinde (op. cit.), Wright² u. A. beschrieben wurden.

Die recenten Monactinelliden sind keineswegs selten. Zahlreiche typische Einstrahler, Genera und Species sind von Schmidt,³ Bowerbank, Carter u. A. aus dem Atlantischen und Mitteländischen Meere beschrieben und abgebildet worden.

Die nähere Bestimmung der Einstrahler-Nadeln gestaltet sich ziemlich schwierig, da verschiedene Genera dieselben Skeletelemente führen. Sie ist überhaupt nur dort möglich, wo einzelne Formen durch ganz charakteristische Merkmale ausgezeichnet sind. Dazu gesellt sich noch der Umstand, dass es auch bei den Tetractinelliden Spongien gibt, die neben Vierstrahlern auch Einstrahler in ihrem Skelete aufweisen.

Gatt. *Opetionella*? Zittel.

Taf. I, Fig. 1—2.

Die in Fig. 1, Taf. I abgebildete Nadel ist die gewöhnlichste Form unter den Monactinelliden des Schafberges. Es sind das leicht gebogene Nadeln, deren grösste Dicke in die Mitte fällt, und die sich gegen beide Enden hin regelmässig verjüngen, so dass sie in scharfe Spitzen auslaufen. Im auffallenden Lichte erscheinen sie weiss, porzellanartig, oder gallertartig matt, — im durchfallenden halbdurchsichtig oder durchscheinend, und zeigen stellenweise im Innern flockige, weissliche Gebilde, die das vollständige Durchgehen des Lichtes verhindern. Sie erreichen eine Länge von 2·23^{mm}, eine Dicke von 0·14^{mm}. Der Canal fehlt vollständig, oder ist nur theilweise erhalten. Er ist ziemlich stark (0·04^{mm} im Durchmesser), und scheint fast nie nach aussen zu münden, indem er an der Spitze der Nadel durch eine dünne Kieselwand abgesperrt ist. Oft ist er mit einer dunklen Substanz ausgefüllt, — gewöhnlich aber leer.

¹ Carter, Ann. and Mag. Nat. Hist. 5. Ser., 8. 137, 1879—1880 etc.

² Report Belfast Nat. Field. Club, 1873 (cit. bei Zittel).

³ Oscar Schmidt, 1. Die Spongien des Adriatischen Meeres. Leipzig 1862. Mit 3 Suppl.; 2. Die Spongien der Küste von Algier. Leipzig 1868; 3. Grundzüge einer Spongienfauna des Atlantischen Gebietes. Leipzig 1870; 4. Die Spongien des Meeresbusens von Mexico. Jena 1879.

Die porzellanartigen Nadeln haben gewöhnlich eine fast glatte Oberfläche, — die matten hingegen sind vielfach corrodirt, und haben ein rauhes Aussehen.

Die andere häufige Form ist in Fig. 2, Taf. I abgebildet. Sie ist länger (2-60^{mm}) und dünner (0-10^{mm}) als die vorige, beinahe walzenförmig — da die Verjüngung gegen die Enden zu ganz unbedeutend ist, ein wenig gebogen, — und hat im auffallenden Lichte ein gallertartiges Aussehen. Der Canal ist meistens vollständig erhalten, sehr fein (0-02^{mm} im Durchmesser) und mündet nicht nach aussen.

Indem ich diese Formen mit dem Gattungsnamen „*Opetionella*“ überschrieben habe, wollte ich hiemit nur die Möglichkeit der Angehörigkeit derselben zu *Opetionella* ausgedrückt haben. Die Zittel'sche Diagnose der Gattung *Opetionella* lautet: Knollig oder rindenförmig, Skelett aus 3—10^{mm} langen, parallelen, beiderseits zugespitzten Nadeln bestehend. Bis jetzt nur fossil aus dem jurassischen und Kreide-System bekannt.“ Da aber ähnliche Nadeln auch bei anderen Gattungen vorkommen pflegen, so ist es nicht ausgeschlossen, dass diese Nadeln keine *Opetionella* sind.

Gatt. *Reniera* an *Suberites* Schmidt.

Taf. I, Fig. 3 a, 3 b.

Die Diagnosen und Unterscheidungsmerkmale dieser beiden von Schmidt aufgestellten Gruppen haben natürlich bei Betrachtung isolirter Nadeln keine Bedeutung, da sie hauptsächlich den Schwammkörper selbst behandeln. Für uns ist die Art und Form der Nadeln von Wichtigkeit, und da ich ähnliche Nadeln, wie die in Fig. 3 abgebildete unter den Carter'schen Renieren und Schmidt'schen Suberitinen finde, kann ich mich auch für keine von diesen Gattungen entscheiden. Es sind das winzige, aber sehr charakteristische Formen. Sie haben die Gestalt eines gehoguen, an beiden Enden abgerundeten Cylinders. Die durchschnittliche Länge beträgt 0-25, die Dicke 0-06^{mm}. Ihre Oberfläche ist glatt, selten rauh. Manche Exemplare werden breiter und kürzer, so dass sie eine kissenförmige Gestalt annehmen. Ich habe in keinem einzigen Falle einen vollständigen Canal beobachten können, er ist gewöhnlich nur durch ganz winzige übrig gebliebene Theile ausgedrückt, oft aber fehlt er gänzlich.

Diese Form kommt sowohl fossil, als auch recent vor. So beschreibt sie z. B. Carter (Ann. and Mag. N. 4, S. 5, Vol. 6, p. 212) aus dem irischen Steinkohlensystem, Hinde (op. cit.) aus der oberen Kreide von Norfolk (S. 23, Taf. I, Fig. 16 und 17), Professor Zittel (über Coelopectidium, Taf. II, Fig. 52, 53, 54) aus der Kreide von Ahlten, Schmidt aus dem Atlantischen Ocean (Atl. Speng. S. 47) u. s. w. Die meisten von den beschriebenen Formen sind grösser, als die Exemplare vom Schafberg.

Ziemlich selten.

Scolioraphis ? sp.

Taf. I, Fig. 4.

In Fig. 4, Taf. I gebe ich die Abbildung von Monactinelliden, die ziemlich häufig vorkommen und vielleicht der Gattung *Scolioraphis* Zittel angehören dürften. Sie erreichen eine Länge von über 2^{mm} und eine Dicke von 0-6^{mm}, — sind wellig gekrümmt, — mehr weniger cylindrisch, auf beiden Enden zugespitzt oder abgerundet, und haben eine raue Oberfläche. Canal fehlt, oder nur theilweise erhalten.

Solche wurmförmig gekrümmte, knorrige Nadeln kommen ausser des Kreidesystems (Zittel, Hinde) auch recent vor. Aus dem Atlantischen Ocean haben Schmidt und Bowerbank ganz ähnliche Formen beschrieben.

Esperia sp.

Taf. I, Fig. 5.

Länge der Nadel 0-17^{mm}, — grösste Dicke 0-035^{mm}. Diese winzige Nadel liegt sich an ihren beiden zugespitzten Enden, und bildet auf solche Weise eine Klammer.

Ziemlich selten.

Solche klammerförmige Esperienadeln finden sich in grossen Masse sowohl fossil, als auch recent vor. Aus der Kreide und dem Tertiär sind sie von Zittel, Carter (l. c.), Ehrenberg (Mikrogeologie) beschrieben

und abgebildet worden. In seinem Werke über Atlantische Spongien beschreibt Schmidt bei den Arten *Esperia Contareni* und *Esperia foraminosa* (Taf. V, Fig. 2, 3) die nämlichen klammerförmigen Nadeln.

Verschiedene andere Einstrahler.

Taf. I, Fig. 6—10.

Ausser den oben angeführten habe ich (Taf. I, Fig. 6 bis 10) verschiedene andere Einstrahler abgebildet, deren nähere Bestimmung unmöglich war.

Vor Allen fällt da die grosse Form auf Fig. 6, die meistens nur in Bruchstücken vorkommt, und die eine Länge bis 3^{mm} erreicht, auf. Sie hat einen Durchmesser von 0.2—0.3^{mm}, ist gerade oder schwach gebogen, und läuft gegen die Spitze konisch aus. Der Canal stark und wohl entwickelt. Die Oberfläche sehr unregelmässig, rauh, so, dass sie sogar manchmal domartige Fortsätze zeigt.

Die in Fig. 7, Taf. I abgebildete Nadel ist sehr zierlich. Ich besitze nur ein 0.30^{mm} langes und 0.06^{mm} dickes Bruchstück von einer wahrscheinlich viel längeren Nadel, die sich gegen das obere Ende schwach zu verzweigen scheint. Sie ist wasserhell, hat eine glänzende Oberfläche, einen ganz feinen 0.01^{mm} starken Canal, und zeigt eine auffallende schöne Verzierung. Diese Verzierung besteht in Dornen und Nadeln, die 0.03 bis 0.08^{mm} lang werden, und die rings um die Nadel unter einem schiefen Winkel gegen dieselbe zu angeordnet sind. Sie laufen in eine Spitze aus oder bleiben cylindrisch, und verleihen der ganzen Form das Ansehen eines Bäumchens.

Ähnliche bäumchenförmige Nadeln kommen auch bei anderen Ordnungen der Spongien vor, doch lassen sie sich immer durch ein anders gestaltetes Canalsystem leicht erkennen.

Fig. 8 stellt eine 2.1^{mm} lange, 0.06^{mm} dicke Nadel dar, die eine gleichmässige Breite hat, und sich nur an den Enden ein wenig zuspitzt. Die Oberfläche ist rauh, höckerig, der sehr schmale Canal (0.01) theilweise erhalten.

Sehr häufig.

Die scepterförmige canallose in Fig. 9 abgebildete Form ist nichts anderes, als eine sehr corrodirt Monactinellidenadel. Sie kommt sehr häufig vor.

Sehr zahlreich findet man kleine cylindrische Nadeln (conf. Fig. 10) (0.7^{mm} lang, 0.94 breit), die zu beiden Enden eine hervorragende solide Axe zeigen. Diese Axe ist nichts anderes, als der frühere Canal, der von einer fremden Substanz ausgefüllt wurde. Da nun die Ausfüllungssubstanz offenbar widerstandsfähiger ist, als die Schale selbst, so bleibt sie in Form von Axe erhalten, wenn auch die Substanz theilweise verschwunden ist.

Ausserdem findet man in den Spongientseichten des Schafberges viele andere Einstrahler, die sich aber alle auf diese beschriebenen Hauptformen zurückführen lassen. Ausserst zahlreich sind die Bruchstücke, doch dürfte eine nicht unerhebliche Zahl derselben anderen Ordnungen zugehören.

II. Ordnung: TETRAC TINELLIDAE Marshall.

Skelet aus regelmässig gebildeten Kieselkörpern, welchen das Axenkreuz einer dreikantigen, gleichseitigen Pyramide zu Grunde liegt, — ferner aus einaxigen Nadeln, viellaxigen und dichten Kieselgebilden bestehend.

Diese Ordnung hat gegenüber den Monactinelliden einen bedeutend grösseren Formenreichtum aufzuweisen, während sie andererseits den Hexactinelliden in dieser Beziehung nachsteht.

Der grössere Theil der Elemente des Tetractinellidenskelets ist leicht kenntlich durch ihre äusserst charakteristische Gestalt, — die, wiewohl in mehreren Typen entwickelt, — sie meistens bezüglich des Canals auf das Axenkreuz einer dreikantigen, gleichseitigen Pyramide zurückführen lässt.

Hierher gehören die vierstrahligen Sterne, sogenannte spanische Reiter, in deren Form sich nur eine geringe Variabilität bemerken lässt, — die sieben und achtstrahligen Sterne, ferner die dreiarmligen Anker mit einem senkrechten Stiele in der Mitte, deren einzelne Arme sich spalten können, so dass daraus sechsstrahlige Anker entstehen — solide und stachelige Kugeln — Scheiben, keulenförmige Nadeln u. s. w. Die fossilen Formen

kommen meistens nur in losen Nadeln vor, und nur selten kann man die Kieselgebilde im Zusammenhange beobachten. Zittel führt drei Gattungen an, bei denen das der Fall ist, nämlich: *Ophirophidites*, *Pachastrella*, *Tetyopsis*. Diese Gattungen lassen sich als langgestreckte knollige oder krustenartige Schwämme in der oberen Kreide verschiedener Localitäten beobachten.

Was die geologische Verbreitung der Tetractinelliden anbelangt, so fehlen sie — von der Steinkohle angefangen — fast in keinem Systeme, doch sind sie bis jetzt nur in der Kreide häufiger beobachtet worden.

Die ältesten Tetractinelliden erscheinen nach Carter (l. c.) in dem unteren Kohlenkalke von Cnigham, Baidland und Anshire in Schottland. Zittel erwähnt (l. c.) Tetractinelliden-Nadeln aus der Zone der *Avicula contorta* in den bayerischen Alpen, — ferner aus dem oberen Lias des Thales Conzi bei Pieve di Ledro in Südtirol. Im weissen Jura gehören diese Formen zu keiner Seltenheit, und in der Kreide kommen sie sehr zahlreich vor. Schon im Jahre 1871 hat Carter (Abh. d. bayer. Ak. d. Wiss. II. Cl., Bd. 12) aus dem Grünsand von Haldon eine grosse Anzahl hieher gehörender Gattungen beschrieben. Aus der Kreide Irlands sind durch Wright (l. c.), — aus der Quadratenkreide von Linden bei Hannover, Ahlten u. s. w. durch Zittel viele Tetractinelliden-Formen bekannt geworden. Die früher erwähnte Arbeit von Hinde enthält eine erhebliche Anzahl von Geodien, Pachastrellen, Tisiphonien u. s. w. aus der oberen Kreide Norfolks. Aus dem Eocän-sand von Brüssel beschreibt Rntoi (cit. bei Zittel) und Carter einige Tetractinelliden-nadeln.

Dass die Tetractinelliden der Jetztzeit durchaus nicht selten sind, — beweisen am besten die zahlreichen hieher gehörenden Formen, die durch Schmidt, Bowerbank, Carter u. s. w. aus dem Adriatischen und Atlantischen Meere beschrieben und abgebildet wurden.

Um nun auf unsere Formen zurückzukehren, so ergibt sich aus obiger Zusammenstellung, dass dieselben die ersten aus dem unteren Lias, — und die ersten überhaupt aus den älteren Systemen seien, — die bis jetzt in solcher Menge bekannt wurden.

Gatt. *Pachastrella* Schmidt.

Es will keineswegs gesagt werden, dass sämtliche unten beschriebene vierstrahlige Sterne (sogenannte spanische Reiter) thatsächlich nur der von Schmidt aufgestellten Gattung *Pachastrella* angehören. Sie kommen gerade so gut bei *Stelletta*, *Tethya*, etc. vor, da sie aber doch bei *Pachastrella* am häufigsten auftreten, so schliesse ich mich diesbezüglich dem Vorgange des Herrn Hinde an, indem ich sämtliche vierstrahlige Sterne unter dem Gattungsnamen *Pachastrella* vereinige.

Pachastrella ? sp.

Taf. I, Fig. 11.

Starke Formen, bei denen die Arme eine Länge von 1.2^{mm} , und in dem Centrum, wo sie zusammentreffen, eine Dicke von 0.22^{mm} erreichen. Ein Strahl verlängert sich zu einem Saft, von den übrigen dreien verknümmert einer, und zeigt nur eine knopfförmige Anschwellung. Die Strahlen verzweigen sich gegen das Ende zu und laufen in eine Spitze aus. Die Oberfläche ist rauh, der Canal scheint gänzlich zu fehlen.

Hieher gehört auch die *Pachastrella* sp. Taf. I, Fig. 12, die sich von der vorigen durch ihre schlankere Form und den wohlerhaltenen 0.04^{mm} breiten Canal unterscheidet.

Pachastrella ? sp.

Taf. I, Fig. 13.

Es ist das die gewöhnlichste Form unter den Vierstrahlern des Schafberges. Drei gleichlange (0.66^{mm}) Arme, der vierte saftförmig verlängert, — oft verknümmert ein Strahl zu einer knopfförmigen Anschwellung. Die Dicke derselben beträgt in der Mitte 0.14^{mm} , — die Verzweigung gegen die Enden zu ist unbedeutend, so dass sämtliche Strahlen stumpf und stabförmig aussehen. Der Canal 0.02^{mm} stark und vollständig erhalten. Die Oberfläche rauh und uneben, so dass die äussere Umrisslinie wellenförmig erscheint.

Ähnliche Einstrahler beschreibt Zittel aus der Kreide von Halden und Vordorf.

Pachastrella ? sp.

Taf. I, Fig. 14.

Kleine Formen, bei denen die Strahlen eine Länge von 0.48^{mm} und eine Anfangsbreite von 0.08^{mm} erreichen. Ihre Zuspitzung ist unbedeutend, die kleinen Canäle vollständig erhalten.

Pachastrella ? sp.

Taf. II, Fig. 15.

Maasse:	Länge des grösseren Strahles	1.30 Mm.
"	" kürzeren Strahles	0.77 "
	Dicke der grösseren Strahlen im Centrum . 0.12 "	
"	" kürzeren " " " "	0.14 "

Eine in unserer Fauna äusserst seltene Form. Der schaffelförmige verlängerte Strahl ist schlanker als die übrigen und läuft in eine Spitze aus. Die anderen drei Strahlen, von denen einer fast immer nur rudimentär entwickelt ist, gabeln sich an ihren Enden in zwei 0.30^{mm} lange Fortsätze und biegen sich gleichzeitig etwas um, so dass sie ein fischschwanzähnliches Aussehen haben. Die Canäle, die theilweise erhalten sind, gabeln sich auch ähnlich wie die Strahlen, und verlaufen dann als ganz feine Röhren in den dichotomischen Fortsätzen bis nahe an die Spitze derselben.

Ähnlich gegabelte vierstrahlige Nadeln beschreibt Zittel bei seiner Species „*Pachastrella primoeca*“ aus der oberen Kreide von Ahlden in Hannover (l. c.). Auch Hinde zählt die plumpen gegabelten vierstrahligen Sterne zu *Pachastrella primoeca* Zitt., — ich glaube aber nicht, dass man da auf Grund einzelner loser Nadeln die spezifische Bestimmung vornehmen könnte, indem ganz ähnliche Formen bei der lebenden *Pachastrella abyssalis* Schmidt, ferner bei der *P. intertexta* Carter (Ann. Mag. N. Hist. 4 Vol. 8, p. 409) vorkommen.

Diese gegabelte Form bildet gewissermassen einen Übergang zu den Stelletten und Tisiphonien, jenen zierlichen Gabelankern, die ich weiter unten beschreibe.

Pachastrella ? sp.

Taf. II, Fig. 16.

Hierher gehört auch wahrscheinlich die zierliche kleine Nadel, die ich in Fig. 16 abgebildet habe. Es ist das eine Form, bei der zwei 0.14^{mm} lange und 0.037^{mm} breite Strahlen unter einem stumpfen Winkel zusammenstossen. Ihre Oberfläche ist durch 12 bis 14 erhabene ringförmige Wülste, die gegen die Spitze zu immer näher aneinanderrücken — verziert. Canal nicht vorhanden.

Offenbar haben wir es da mit zwei erhaltenen Strahlen eines spanischen Reiters zu thun.

Sehr selten.

Gatt. *Stelletta* Schmidt und *Tisiphonia* Thomson.

Was die Gattungsdiagnose der beiden Genera anbelangt, so äussert sich Schmidt darüber folgendermassen: „Die Gattung *Stelletta* ist lediglich auf das Vorhandensein von Vierstrahlern und zwar vorzugsweise eigentlichen Ankern und Sterneben begründet.“

Als Tisiphonien bezeichnet Schmidt jene Stelletten, die auf Schlammboden gedeihen, sich durch wurzelartige Fortsätze und Stränge befestigen, und deren Kiesel Elemente — abgesehen von der öfteren Verlängerung der die Wurzeln bildenden Nadeln — aus dem Kreise der Kieselkörper der Stelletten nicht heranstreten. Beide Gattungen sind also eng miteinander verwandt; allerdings bedingt die Lebensweise der Tisiphonien gewisse Modificationen der äusseren Rindenschichte, die für lebende und überhaupt gut erhaltene Exemplare ein charakteristisches Unterscheidungsmerkmal abgeben können.

Da wir aber bei unseren Formen nichts dergleichen haben, so können wir auch unmöglich die beiden Genera von einander trennen.

Nadeln von der Form eines Gabelankers finden sich auch bei anderen Gattungen vor, so z. B. bei *Aesonia*, *Camicus* etc., wenn wir aber die Tafeln Schmidt'scher und anderer Spongienwerke durchmustern, so finden wir doch, dass die bei weitem überwiegende Mehrzahl von Gabelankern, die unseren fast vollkommen gleichen, — immer der *Stelletta* angehört, — so dass ich berechtigt zu sein glaube, unsere Gabelanker unter dem Gattungsnamen „*Stelletta*“ zu vereinigen.

Obwohl sämtliche Gabelanker sich auf einen Grundtypus zurückführen lassen, so herrscht hier doch eine ziemlich grosse Variabilität der Formen, — die für einzelne Gruppen ganz charakteristisch ist.

Ähnlich wie bei Pachastrellen, stossen auch hier die Arme unter einem Winkel von 130° im Centrum zusammen, einer von ihnen verlängert sich zu einem Schaft, oder — wie es häufiger der Fall ist — verkümmert zu einer knopfartigen Anschwellung, — die drei anderen aber gabeln sich dichotomisch. Was diesen letzten Umstand betrifft, so können da die verschiedenartigsten Modificationen eintreten: Die Bifurcation ist entweder unbedeutend, so dass die Gabelzinken ganz kurz sind, oder aber ist sie sehr stark, — so dass wir einen Stern mit sieben gleichlangen Strahlen vor uns haben. Dazwischen hat man alle möglichen Übergangsformen. Die Gabelung ist meistens ganz regulär, d. h. die gegabelten Stücke sind gleichlang, — manchmal ist es aber nicht der Fall.

Auch bezüglich der Lage einzelner Strahlen lassen sich verschiedene Fälle constatiren. Oft sieht man — ähnlich wie bei spanischen Reitern, — dass die drei gleichlangen und gegabelten Arme pyramidenartig angeordnet sind, — in anderen Fällen bilden nur die ungegabelten Theile der Strahlen eine Pyramide, während die Gabelzinken in einer Ebene, und zwar in der verlängerten Basis der Pyramide liegen. Manchmal, — und zwar hauptsächlich bei einer starken Gabelung, tritt der Fall ein, dass drei Strahlen ganz in einer Ebene liegen, während der vierte sich senkrecht darauf erhebt.

Die Grösse dieser Formen ist sehr verschieden, die Länge der Strahlen schwankt zwischen 1—0.2, die Dicke derselben zwischen 0.2—0.06^{mm}. Die Canäle sind meistens gut erhalten, und münden nach Aussen, — die Oberfläche rauh und knorrig.

Stelletta sp.

Taf. II, Fig. 17.

Als die gewöhnlichste und am häufigsten auftretende Form dieser Gattung ist die in Fig. 17 abgebildete Nadel zu betrachten. Die Länge der Strahlen beträgt 0.54^{mm}, wovon 0.38^{mm} auf den dichotomischen Theil entfallen, — die Dicke der Arme im Centrum beträgt 0.12, — die der gegabelten Theile 0.09^{mm}. Die Gabelzinken, die unter einem rechten Winkel zusammenstossen, sind gleichlang und laufen in scharfe Spitzen aus. Der Canal ist ziemlich stark (0.04^{mm}), wohl entwickelt, mündet nach Aussen. Die gegabelten Strahlen liegen nicht in einer Ebene, sondern erheben sich schräge und bilden eine Pyramide, deren Spitze ein — oft nur rudimentär entwickelter — Stiel aufsitzt.

Stelletta sp.

Taf. II, Fig. 18.

Sowohl die Längemasse, als auch die Anzahl der Strahlen stimmen mit denen der letzten Form überein. Der Unterschied besteht vor Allen darin, dass die Strahlen dieser Form bedeutend dünner sind, als bei der vorigen Species, ferner aber in dem Umstande, — dass die dichotomischen Stücke breiter sind, als die ungegabelten Strahlentheile. Die letzten messen nämlich 0.06, die ersten 0.07^{mm} im Durchmesser. Der Canal wohl erhalten, äusserst fein, — kaum 0.01^{mm} breit.

Stelletta sp.

Taf. II, Fig. 19.

Länge der Strahlen 1.00^{mm}, wovon 0.80 auf die Gabelung entfallen, die Dicke derselben 0.24. Es ist das also eine grosse stark gespaltene Form. Die dichotomischen 0.16^{mm} breiten Zinken stossen unter einem rechten Winkel zusammen, und nehmen gegen die Spitze an Dicke ab. Der Canal ziemlich stark, meistens nur theil-

weise erhalten, scheint nach Anssen zu münden. Der stielförmig verlängerte Strahl kommt nur in Bruchstücken vor.

Stelletta sp.

Taf. II, Fig. 20, 20 a.

Kleine unregelmässige Formen, bei denen die gegabelten Theile der Strahlen eine ungleiche Ausbildung erfahren. Manche von ihnen werden übermässig lang, andere verkümmern zu einem ganz kurzen und dünnen Dorn. So haben wir z. B. in Fig. 20 einen Gabelanker, dessen Zinken zwischen 0.42 bis 0.14^{mm} schwanken. Die Art und Weise, wie die Gabelung der Strahlen erfolgt, ist an ein und demselben Individuum sehr verschieden; recht- und stumpfwinklig, manchmal sogar halbkreisförmig. Die Canäle meistens wohl entwickelt, die Oberfläche rau und höckerig.

Ähnliche Nadeln beschreibt Carter aus dem Grünland Haldons (Ann. Mag. N. H. S. 4., Vol. 7., Pl. 9.) und Wright (loc. cit.) aus der Kreide Irlands.

Stelletta sp.

Taf. II, Fig. 21, 21 a.

Plumpe und unregelmässige Formen, bei denen die Strahlen eine Länge von 0.35 und eine Breite von 0.16^{mm} erreichen. Die Gabelung ist bei einigen Strahlen ganz gering, bei anderen so stark, dass der Stumpf beinahe das Centrum erreicht. Im letzten Falle ist er abgerundet, sonst aber recht- oder stumpfwinklig. Die gegabelten Theile sind unregelmässig, gebogen, von verschiedener Dicke, — gegen das Ende zu stumpf oder zugespitzt. Drei Strahlen liegen in einer Ebene, der vierte, der manchmal zu einem Knopfe verkümmert, steht darauf senkrecht. Der Canal ist theilweise erhalten, die Oberfläche rau.

Stelletta sp.

Taf. II, Fig. 22.

Die Form weicht von anderen Stelletten ziemlich auffallend ab. Die Länge der Strahlen beträgt 0.5^{mm} (davon 0.26 auf den gegabelten Theil), die Dicke im Centrum 0.20^{mm}. Auffallend ist die Art und Weise der Gabelung, indem die Zinken nicht in einem Winkel zusammenstossen, sondern einen Halbmond bilden und dabei sehr stark bleichen. Die Canäle breit und wohl entwickelt, — der Schaft verlängert oder knopförmig, die Oberfläche rau, — sämtliche gegabelte Strahlen in einer optischen Ebene. — Selten.

Stelletta sp.

Taf. II, Fig. 23.

In dem Ätztückstande der Gesteine vom Schafberg bemerkt man bei stärkerer Vergrößerung öfters sechsstrahlige, unregelmässige flache Sterne, die auf den ersten Blick ganz befreundend aussehen. Die Strahlen sind ungleichmässig dick, — öfters wurmartig gekrümmt und stossen in der Mitte in einer unebenen Scheibe zusammen. Die Canäle sind nur selten, der Stiel nie entwickelt.

Bei genauerer Prüfung überzeugt man sich bald, dass diese Formen sich leicht auf Gabelanker zurückführen lassen. Stellen wir uns nämlich vor, dass die drei Strahlen eines gewöhnlichen Gabelankers verhältnissmässig sehr stark werden und dass sie bis zu dem gegabelten Theile mit einander zusammenwachsen, so erhalten wir die in Fig. 23 abgebildete Form.

In der Fig. 24 haben wir gewissermassen einen Übergang zum echten sechsstrahligen Stern. Die Gabelung der 0.37^{mm} langen Strahlen ist ziemlich stark, — die Zinken ungleichmässig ausgebildet, indem sie verschiedene Länge und verschiedene Dicke erreichen. Die Winkel, in denen sie zusammenstossen, sind auch verschieden. Von den Canälen ist keine Spur vorhanden, welcher Umstand wahrscheinlich in der schlechten Erhaltungswiese und gänzlichen Umänderung der ursprünglichen Substanz seinen Grund zu haben scheint. Der Stiel ist nicht vorhanden, ja man kann nicht einmal die Spur seiner Anheftungsstelle sehen. Die ganze Form liegt mit allen ihren Strahlen in einer Ebene.

Durch diese Zwischenform kommen wir zum typischen, sechseckigen Stern, den ich in Fig. 23 abgebildet habe.

Seine Dimensionen stellen sich folgendermassen dar:

Der Durchmesser des Sternes zwischen den Spitzen zweier

gegenüberliegender Strahlen	0.70 Mm.
Die Länge der Strahlen	0.30 „
Die grösste Dicke	0.09 „
Der Durchmesser der Mittelscheibe . . .	0.23 „

Aus diesen Zahlen wird man wohl entnehmen können, dass die Form winzig klein ist. Ähnlich verhält es sich mit allen Exemplaren von *Schafberg*, die hierher gehören; — ich habe keinen einzigen Stern dieser Gestalt beobachten können, der die gewöhnliche Grösse anderer Gabelanker gezeigt hätte.

Diese Form besteht nun aus einer Centralscheibe, von der sechs Arme ausstrahlen. Die Scheibe ist unregelmässig, hat Höcker und Mälden, die den einzelnen Strahlen und den dazwischen liegenden Intervallen entsprechen, und zeigt im auffallenden Lichte eine unebene Oberfläche. Die Strahlen sind nicht ganz radiär angeordnet, indem sie zwei Gruppen zu je drei Strahlen bilden, welche Gruppen entgegengesetzt sind. Die Strahlen sind gebogen, wellig oder schlangenförmig gekrümmt, durch öftere Einschnürungen in verschiedenen Punkten verschieden dick. Nach der letzten Verdickung gehen ihre Enden in eine lange Spitze aus, so dass sie dadurch die Gestalt eines Vogelkopfes annehmen. Der Canal (0.01^{mm} breit) zeigt sich nur theilweise in einzelnen Strahlen und mündet nach Aussen, — in der Mittelscheibe ist er nie sichtbar. Der Stiel scheint vollkommen zu fehlen.

Stelletta sp.

Taf. II, Fig. 28.

Maasse: Länge des Stieles 0.55 Mm.

Dicke „ „ 0.07 „

Länge der Strahlen 0.24 „

Die in Fig. 25 von der Seite abgebildete Form zeigt einen langen Schaft, an dem sich schief die schwach gebogenen Strahlen anheften. Die gebogenen Theile sind ungleich, der längere Zinken ist seitwärts gebogen. Canal nicht sichtbar.

Ähnliche Formen beschreibt Hinde (l. c. Taf. III, S. 43, 44) aus der oberen Kreide Norfolks, und Zittel aus der Kreide von Ahlten in Westphalen (Über *Coeloptychium* Taf. VI, S. 42).

Gatt. *Geodia* Lamarek.

Die Gattung: *Geodia*, die von Lamarek nach der Westindischen Form: *Geodia gibberosa* aufgestellt wurde, ist durch das Vorkommen von Kieselsternen, strahligen Kugeln und von schafsförmigen Nadeln mit drei Zinken ausgezeichnet. Sie schliesst sich so eng an *Stelletta* an, dass nach Schmidt (Die Spongien des Meeresbusens von Mexico, 1879, S. 75) die Stelletten ohne Rinde und Kieselkugeln, die Stelletten mit Kieselsternen und Kugeln, — erst ohne, dann mit geringerer oder stärkerer Rinde, und endlich die Geodien mit ihrem scheinbar so bezeichnenden Habitus eine ununterbrochene Reihe bilden. Da aber andererseits sich die Stelletten wieder an Acoronien und Pachastrellen anschliessen, so bilden alle diese Formen eine continuirliche schwer abtheilende Reihe.

Zu erwähnen ist da noch der Umstand, dass während Carter bemerkt ist, innerhalb der Gattung *Geodia* einzelne Species anzustellen, indem er die Form und Grösse der Sternechen als Unterscheidungsmerkmale benutzt, Schmidt sich dagegen ausspricht, da er „in Geodien aus allen Himmelsgegenden nur eine einzige Art mit minutösen Varietäten erblickt“.

Geodia ? sp.

Taf. II, Fig. 26.

Die Nadel besteht aus einem länglichen Stiele, der auf seinem dickeren Ende zwei divergirende dornenförmige Fortsätze zeigt. Seine Länge beträgt 1·36, seine Dicke am unteren 0·06, am oberen Ende 0·03^{mm}. Die Fortsätze sind 0·12^{mm} lang, zugespitzt und bilden, da sie divergirend und in einem Halbkreise aneinanderstossen — einen Halbmond. Die Oberfläche ist neben und rau, so dass die äusseren Unrisse eine wellige Linie bilden. Von dem Canale sieht man gar nichts. Diese Form scheint in unserer Fauna sehr selten zu sein (ich besitze nur das einzige abgebildete Exemplar), — da aber die Fortsätze sehr schwach sind und leicht abbrechen, so ist wohl die Möglichkeit vorhanden, dass auch manche von den scheinbar einstrahligen Nadeln hieher gehören können.

Eine ganz ähnliche *Geodia*-Nadel beschreibt Hinde aus der Kreide Norfolk's (l. c. Taf. II, Fig. 19, S. 36).

Geodia sp.

Taf. II, Fig. 27.

Eine winzige, durchsichtige Kugel, die 0·05^{mm} im Durchmesser misst, und die ganz mit radiären 0·03 bis 0·038^{mm} langen Stacheln bedeckt ist. Solche Kugeln sind sowohl in unserer Fauna, als auch überall, wo die Spongien reichlicher auftreten, ziemlich häufig.

Geodia sp.

Taf. II, Fig. 28.

Die Nadel schaftförmig, 2·35^{mm} lang, am unteren Ende 0·065^{mm} dick, spitzt sich nach oben zu, so dass sie an diesem Ende nur 0·035^{mm} im Durchmesser misst. An diesem zugespitzten Ende befestigen sich drei 0·16 lange und 0·03^{mm} dicke Zinken, die sich mit einander in einem rechten, mit dem Schaft aber in einem stumpfen Winkel kreuzen. Der Canal unsichtbar.

Diese höchst interessante Form war bis jetzt fossil unbekannt. In seiner Spongienfauna des atlantischen Meeres hat Schmidt ganz analoge — und ähnliche Nadeln bei den Arten *Geodia tuberosa* und *Geodia gigas* (Taf. IV, Fig. 9 und 10, S. 50) beschrieben und abgebildet.

Geodia ? sp.

Taf. III, Fig. 29.

Hier dürfte auch die 1·5^{mm} lange und 0·32^{mm} dicke, mit einem Canale versehene Nadel gehören, die an ihrem dickeren Ende drei Fortsätze zeigt, eine Form, die sowohl fossil, als auch recent sehr häufig ist.

III. Ordnung: HEXACTINELLIDAE O. Schmidt.

Kiesel Schwämme mit isolirten oder gitterförmig verschmolzenen Nadeln von sechsstrahliger Form. Sämmtlichen Kieselgebilden liegt ein Axenkrenz aus drei sich rechtwinklig schneidenden Centralcanälen zu Grunde. Ausser den eigentlichen Skelettnadeln sind häufig noch zahlreiche isolirte Fleischnadeln von meist sehr zierlicher Form vorhanden.

Die ältesten Hexactinelliden erscheinen schon im Cambrischen. Die Gattungen *Archaeocyathus*, *Eospongia* u. s. w., die in der Potsdam- und Quebec-Gruppe Canadas vorkommen, dürften grösstentheils hieher gehören, wiewohl die feineren Structurverhältnisse derselben noch nicht genau studirt wurden. Auch im Silur Europa's, so z. B. in Esthland und Gothland, in diluvialen Gesechie Norddeutschlands finden sich zum Theil problematische, zum Theil aber echte Hexactinellidenformen.

Devon und Steinkohlensystem besitzen nur einige spärliche Sechstrahler, — Trias gar keine, — die rhätische Stufe enthält wenige isolirte Nadeln, — Lias (bis auf unsere gegenwärtige Fauna) sehr spärliche — der braune Jura vereinzelte Skelete.

Dafür ziehet sich der weisse Jura (in Süddeutschland, Schweiz, Frankreich, Krakan) stellenweise durch das massenhafte Auftreten verschiedener Hexactinelliden-Gattungen aus.

Die untere Kreide enthält fast gar keine hieher gehörigen Formen, — die mittlere und namentlich die obere Kreide (von England, Norddeutschland, Schlesien, Polen, Galizien u. s. w.) bildet den Hauptfundort für fossile Hexactinelliden.

Das Tertiärsystem Europa's weist nur wenige Formen im Eocän von Brüssel und in den mioclänen Sandsteinen von Raditz in Mähren auf, — dagegen hat Pomet (Palaeont. d'Oran 1872) in Oran (Algérien) zahlreiche Hexactinelliden im Mioclän nachgewiesen.

Aus dieser flüchtigen Zusammenstellung wird man wohl entnehmen können, dass die Hexactinelliden vom Schafberg die ersten sind, die bis jetzt in grösserer Menge aus dem unteren Lias nachgewiesen wurden, aus welchem Grunde sie wohl eine Beachtung verdienen dürften.

Nach Zittel werden die Hexactinelliden in zwei Unterordnungen: „Dietyoninen und Lyssakinen“ eingetheilt, die beide in unserer Fauna vorkommen, und die wir jetzt näher betrachten wollen.

I. Unterordnung LYSSAKINA Zittel.

Ganzes Skelet, aus Nadeln bestehend, welche nur durch Sarkode — ausnahmsweise durch plattige Kieselsubstanz — in unregelmässiger Weise verbunden sind. Fleischnadeln meist reichlich vorhanden, und sehr differenziert.

Da die Verbindung der Nadeln fast immer durch die Sarkode geschieht, so findet man bei den fossilen Formen meistens nur lose Skeletelemente, die mit Spongiennadeln anderer Ordnungen vermischt sind.

Gatt. *Stauractinella* Zittel.

Die Diagnose dieser von Zittel aufgestellten Gattung lautet: Form des Schwammkörpers kugelig, ungestielt. Skelet aus grossen, einfachen, isolirten Sechstrahlern mit ungleich langen Armen bestehend. In der Regel ist ein Strahl stark verlängert. Die Stelle, wo sich die sechs Arme kreuzen, ist kaum verdickt, überhaupt besitzen die Arme ihrer ganzen Länge nach so ziemlich die gleiche Stärke.

Die unterliassischen Schichten vom Schafberg und Gaisern führen eine bedeutende Menge der hieher gehörigen Elemente, die — trotzdem, dass sie sich immer auf eine Grundform zurückführen lassen, — immerhin eine grosse Mannigfaltigkeit aufweisen. Diese Mannigfaltigkeit erfordert übersichtshalber eine Gruppierung der Nadeln.

a) Grosse und starke Formen mit geraden Strahlen.

Stauractinella sp.

Taf. III, Fig. 30.

Vier Strahlen stossen da in einem rechten Winkel zusammen, — die zwei anderen senkrecht darauf stehenden Strahlen sind nur als knopfartige Anschwellungen entwickelt. Die einzelnen Arme erreichen eine Länge von 1.5^{mm} , eine Dicke von 0.15^{mm} , wobei der Querdurchmesser fast ganz constant bleibt. Im Centrum, wo sich sämtliche Strahlen kreuzen, erblickt man keine Verdickung, — die Spitzen der Strahlen sind immer abgebrochen, so dass man ihre eigentliche Länge nicht constatiren kann. Der 0.05^{mm} starke Canal ist nur in einzelnen, blasenartigen Partien sichtbar, — die Oberfläche rauh, — beim auffallenden Lichte haben die Nadeln ein mattes Aussehen.

Stauractinella sp.

Taf. III, Fig. 31.

Die Länge der Strahlen ist die nämliche wie bei der vorigen Form, aber die Dicke derselben beträgt in der Mitte bis 0.2^{mm} , und nimmt gegen das Ende ab, so dass die Strahlen ein wenig zugespitzt erscheinen. Auffallend ist der Umstand, dass das Zusammenstossen der Strahlen im Centrum nicht ganz in einem rechten Winkel erfolgt, sondern ein wenig schief.

Die Canäle 0.05^{mm} stark — entweder vollständig, oder theilweise blasenförmig erhalten, — die Krenzung derselben in der Mitte ist ganz deutlich sichtbar. Die Oberfläche sehr rauh und uneben, so dass man angewachsene Höcker und Körner zu sehen glaubt, obwohl es nichts anderes ist, als die corrodirtten Theile der Nadel selbst.

b) Grosse, starke Formen mit gebogenen Strahlen.

Stauractinella sp.

Taf. III, Fig. 32.

Einzelne Strahlen erreichen die Länge von 1.2, die Dicke von 0.16^{mm} , wobei es bemerkt werden muss, dass nur je zwei gegenüberliegende die nämliche Dicke besitzen. Ein Strahl verkümmert gewöhnlich zu einer knopfförmigen Anschwellung. Canal 0.05^{mm} breit, wohl entwickelt, und mündet nach Aussen. Auffallend ist der Umstand, dass die Strahlen nach Aussen zu gebogen sind. Meistens tritt der Fall ein, dass nur die gekrümmten Strahlen länger bleiben, während die anderen nahe am Centrum abbrechen.

c) Kleine Formen mit geraden Strahlen.

Stauractinella sp.

Taf. III, Fig. 33.

Die in Fig. 33 abgebildete Nadel stellt einen Typus vor, der sich in unserer Fauna oft wiederholt. Man sieht vier senkrecht auf einander stehende Strahlen, von denen die zwei gegenüberliegenden die nämliche Länge (0.42^{mm}) haben, während das andere Paar sich diesbezüglich abweichend verhält. Ein Strahl von diesem Paar entwickelt sich nämlich zu einem 1.35^{mm} langen Schaft, der andere verkümmert dagegen zu einem kaum 0.12^{mm} langen Fortsatz. Das dritte Paar ist nur durch knopfförmige Anschwellungen angedeutet. Die Dicke aller Arme beträgt circa 0.05^{mm} , sie spitzen sich zu, ausserdem sieht man bei dem Schaft eine Anschwellung in der Mitte, die ihm eine spindelförmige Gestalt verleiht. Die Canäle vollständig verschwunden.

Ziemlich häufig.

Stauractinella sp.

Taf. III, Fig. 34.

Eine kleine zierliche Form, bei der die vier gleichen senkrecht auf einander stehenden Strahlen die Gestalt eines Kreuzes annehmen. Die Länge derselben beträgt 0.53 , die Dicke 0.06^{mm} . Das dritte Strahlenpaar nur rudimentär entwickelt. Der Canal nicht sichtbar, die Oberfläche rauh.

Häufig.

Stauractinella sp.

Taf. III, Fig. 35.

Die Strahlen stabförmig, 0.06 dick, bis 0.45 lang. Einer von ihnen bildet sich zu einem langen Schaft aus, der gegenüberliegende verkümmert in einen kurzen Fortsatz, die Enden der Strahlen zugespitzt oder abgerundet. Der 0.01^{mm} starke Canal wohl entwickelt, und tritt besonders im Centrum an der Kreuzungsstelle deutlich auf.

Ziemlich häufig.

d) Kleine Formen mit gebogenen Strahlen.

Stauractinella sp.

Taf. III, Fig. 36.

Die in Fig. 36 abgebildete Nadel schliesst sich an die letzte Gruppe an. Ein Strahl entwickelt sich zu einem 1.47 langen und 0.1^{mm} breiten Schaft, während der gegenüberliegende fast ganz verschwindet. Senkrecht darauf entspringen aus dem Centrum zwei Strahlen (0.6^{mm} lang, 0.06^{mm} dick), die sich leicht gegen den Schaft zu krümmen. Die zwei übrigen Strahlen sind nur als knopfförmige Gebilde entwickelt.

Sowohl der Schaft, als auch die Nebenstrahlen haben keine constante Dicke, indem sie sich öfters zusammenschließen. Der Canal theilweise vorhanden.

Da nun bei dieser Form drei Strahlen verkrümmern, so bildet der Schaft mit zwei anderen gebogenen Strahlen einen zweiarthigen Anker.

Stauractinella sp.

Taf. III, Fig. 37.

Sämmtliche sechs Strahlen wohl entwickelt, ihre Dicke, die bis an die Enden constant bleibt, beträgt 0·06^{mm}. Der eine Strahl verlängert sich bis 0·9^{mm}, während die anderen kürzer bleiben. Der Canal theilweise vorhanden.

Was diese Form am meisten charakterisirt, das ist der Umstand, dass einzelne Strahlen — obwohl sie im Centrum senkrecht stehen — weiter von der Mitte vielfach gekrümmt sind. Oberfläche rauh.

Stauractinella sp.

Taf. III, Fig. 38.

Der schaftförmig verlängerte Strahl erreicht eine Länge von 1·35^{mm}, sein Gegenstrahl nur 0·2^{mm}, die Dicke derselben 0·06^{mm}, wobei bemerkt werden muss, dass beide Strahlen sich an ihren Enden zuspitzen. Das zweite Paar ist nur rudimentär entwickelt, das dritte, das die Länge des Schaftes erlangt, zeichnet sich durch seine Krümmung aus. Es verlässt nämlich unweit vom Centrum seine senkrechte Stellung und biegt sich in einer wellenförmigen Linie nach dem Hauptstrahle hin, so dass es mit dem kurzen (dem Schaft gegenüberliegenden) Strahle ein griechisches Y bildet. Auf solche Weise bekommt die ganze Nadel die Gestalt einer Gabel mit kurzem Griff und drei langen Zinken. Der Canal fehlt, die Oberfläche höckerig.

Stauractinella sp.

Taf. III, Fig. 39, 39 a, 39 b.

Zwei senkrecht auf einander stehende Strahlenpaare krümmen sich nach einer Richtung hin Y-förmig. Die Länge einzelner Strahlen beträgt 0·48, die Dicke 0·05^{mm}.

In der entgegengesetzten Richtung entwickelt sich der flussie etwas dickere Strahl, während der sechste fehlt. Die feinen Canäle theilweise vorhanden, und besonders in der Mitte auf der Kreuzungsstelle deutlich sichtbar.

An diese Formen schliessen sich die in Fig. 39 a und 39 b abgebildeten Nadeln an, die sich durch eine Verdickung in der Mitte auszeichnen. Die Nadel Fig. 39 a zeigt einen stark entwickelten Schaft (0·72^{mm} lang und 0·08^{mm} dick), — der entgegengesetzte Strahl fehlt, die anderen sind schwächer entwickelt und liegen in einer Ebene. Der Durchmesser der kugelförmigen Verdickung beträgt 0·12^{mm}. Der Canal fehlt.

Ziemlich selten.

Die andere Nadel Fig. 39 b zeigt sämmtliche sechs Strahlen wohl entwickelt. Sie variiren bezüglich der Länge zwischen 0·35 bis 0·12^{mm}, bezüglich der Dicke zwischen 0·07—0·04^{mm}. Sonst sind sie geradlinig, zugespitzt und ohne Canäle. Die kugelförmige Verdickung im Centrum beträgt im Durchmesser 0·1^{mm}.

Gatt. *Hyalostella* Zittel.

Obwohl die Skeletelemente dieser Gattung verschiedenartig gestaltet sind, so bilden doch die in Fig. 40 bis 41 abgebildeten Sternchen ein solch charakteristisches Merkmal für dieselbe, dass ich keinen Anstand nehme, sie unter dem Gattungsnamen *Hyalostella* zu vereinigen.

Hyalostella sp.

Taf. III, Fig. 40.

Winzige Formen, bei denen eine centrale Kugel und sechs senkrecht auf einander stehende, von der Kugel entspringende Strahlen vorhanden sind. Der Durchmesser der nicht ganz regelmässigen Kugel beträgt 0·08,

die Länge einzelner — unter einander gleicher — Strahlen 0.14, ihre Dicke 0.012^{mm}. Sie spitzen sich an den Enden leicht zu. Die Canäle nicht vorhanden.

Ähnliche Formen bildet Hinde (l. cit. Taf. V, Fig. 12—14, S. 71) aus der oberen Kreide Norfolks ab. Sie zeigen etwas abweichend von unseren Nadeln zwei verlängerte Strahlen, die gewissermassen eine Axe bilden. Auch Carter beschreibt analoge Formen aus dem Grünsand Haldons (Ann. Mag. N. H. Vol. 7, Taf. VII, Fig. 15), dergleichen auch Wright (l. c.) aus der Kreide Irlands.

Hyalostella sp.

Taf. III, Fig. 41.

Eine merkwürdige und seltene Form, bei der die senkrecht auf der centralen Kugel sitzenden Strahlen kegelförmig werden. Der Durchmesser der Kugel beträgt 0.09^{mm}, die Länge der kegelförmigen Strahlen 0.17^{mm}, ihre Dicke an der Basis 0.07^{mm}. Zuzufolge dessen nimmt das Ganze die Gestalt eines Sternes oder einer stacheligen Kugel an, die an die stacheligen Kugeln der Geodien erinnert, sich aber von jenen durch den deutlichen sechsstrahligen hexactinellidotypus unterscheidet — die ganze Nadel ist wasserhell — die Oberfläche glatt, die Canäle unsichtbar.

II. Unterordnung DICTYONINA Zittel.

Skeletelemente verschmolzen, so dass das Ganze ein Gitterwerk bildet. Die Verschmelzung geschieht auf die Weise, dass jeder Arm eines Sechsstrahlers sich an den entsprechenden Arm einer benachbarten Nadel anlegt, wobei beide von einer gemeinsamen Hülle umschlossen werden.

Die Dictyoninen sind in unserer Fanna ziemlich stark vertreten, wiewohl sie nur sehr wenige Gattungen repräsentiren. Ausser vereinzelten Skeletpartien findet man in den Gesteinen des Schafberges grössere Bruchstücke von Schwämmen, bei denen man noch das Canalsystem, manchmal auch die Oberfläche beobachten kann.

Gatt. *Tremadictyon* Zittel.

Die Diagnose dieser von Zittel aufgestellten Gattung lautet: Becherförmig, tellerartig, walzig. Centralhöhle weit. Wand auf beiden Seiten mit ziemlich grossen, in alternirenden Reihen stehenden rhomboidalen oder ovalen Ostien. Radialcanäle blind. Wurzel knollig. Gitterskelet aus grossen, aber ungleichen und unregelmässig geförmten Maschen bestehend, indem die Arme der verschmolzenen Sechsstrahler sich häufig verdicken, oder plattig ausbreiten. Kreuzungsknoten dicht. Oberfläche der Wand an wohl erhaltenen Exemplaren beiderseits mit einem äusserst zarten, maschigen Netz verschmolzener Sechsstrahler überzogen, welches auch die Ostien überspinnt. Wurzel ohne Ostien und Canäle.

Tremadictyon sp.

Taf. IV, Fig. 42.

An manchen Gesteinsstücken vom Schafberg sieht man ganz wohl erhaltene Theile des Schwammkörpers von *Tremadictyon*, die krusten- oder rindenförmig die Oberfläche der Handstücke überziehen. Die Dicke derselben beträgt 4^{mm}, die beiden Begrenzungsflächen sind hart und compact, die Mitte aber locker, zwar mit Thon verunreinigt, zeigt aber das Skelet ganz deutlich.

An der Oberfläche dieser krustenförmigen Stücke sieht man zahlreiche Ostien, die mehr oder weniger regelmässig linear angeordnet sind. Sie sind meistens rund, auch eiförmig, stellenweise stark in die Länge gezogen, mit einem Durchmesser von 0.5—1.0^{mm}. Ihre Tiefe ist gering, indem sie durch compacte Kieselmasse bald abgeschlossen werden, so dass man den weiteren Verlauf derselben nicht beobachten kann. Sie scheinen aber senkrecht auf die Wand zu stehen.

Was nun das Skelet betrifft, so besteht es aus feinem Gitterwerk (Taf. IV, Fig. 42) von 0.042—0.038^{mm} dicken Nadeln mit undurchbohrten Kreuzungsknoten und wohl entwickelten Canälen. Stellenweise breiten sich einzelne Strahlen plattenförmig aus, verschmelzen ihrer ganzen Länge nach, so dass dadurch ein unregelmässiges Maschenwerk entsteht, das für *Tremadictyon* ganz charakteristisch ist.

Ich habe mir grosse Mühe gegeben, die Oberflächenschicht des Schwammes zu untersuchen. Das Studium derselben gestaltet sich aber sehr schwierig, indem die ganze Oberfläche mit Kieselsäure getränkt ist, so dass dadurch die oben erwähnte harte Decke entsteht. Doch ist es mir gelungen, in Glycerinpräparaten unter den zertrümmerten Stücken dieser compacten Decke ein ganz eigenthümliches, wiaziges, nur bei einer starken Vergrösserung (200mal) sichtbares unregelmässiges Gitterwerk zu beobachten. Dasselbe besteht aus kleinen unregelmässigen Sechsstrahlern, die sich vielfach verdicken, ausbreiten, in verschiedenen Richtungen mit einander verschmelzen, dornartige Fortsätze zeigen, und ganz in der compacten Kieselmasse eingebettet sind, so dass man sie nur auf den äussersten Theilen der Bruchstücke sehen kann.

Ich habe in diesen wiazigten Nadeln keine Canäle beobachten können. Diese Deckschicht scheint die ganze Oberfläche und auch die Ostien zu überziehen.

Wir haben es also in dieser Form mit einem typischen *Tremadictyon* zu thun, doch ist die weitere specifische Bestimmung nicht möglich, indem wir hier nur ein Bruchstück der Wand vor uns haben, so dass alle anderen für die Species-Charakteristik wichtigen Merkmale, wie z. B. die Beschaffenheit der Wurzel, der Oscula u. s. w. abgehen.

Tremadictyon sp.

Taf. IV, Fig. 42, 43.

Der Schwamm hat die Gestalt eines Kegels, dessen Basis aufgebläht ist. Höhe desselben 50, grösste Breite 43^{mm}.

Leider ist der ganze Schwamm durch Gypskristalle, Thompartikelchen etc. so verunreinigt, dass man weder die Oscula, noch die Ostien sehen kann. Dafür ist das Skelet sehr gut erhalten, und tritt, nachdem es in Säuren ausgekocht wurde, in seiner ursprünglichen Gestalt auf. Im Allgemeinen lässt es sich constatiren, dass dasselbe in unteren und mittleren Partien des Schwammes bedeutend stärker ist, als in den äusseren und oberen.

Betrachten wir zunächst das untere Skelet, das in Fig. 43 abgebildet ist.

Die Strahlen sind äusserst stark, 0.1–0.15^{mm} im Durchmesser, fliessen mit einander zusammen, und bilden plattige bis 0.55^{mm} starke Ausbreitungen. Zuzufolge dessen sind auch die Maschen sehr unregelmässig, kubisch, oval, kugelig, prismenartig, — ihr Durchmesser schwankt zwischen 0.25–0.06^{mm}. Manche Strahlen verklümmern zu knopfartigen Anschwellungen. — andere verschwinden gänzlich. Die Kreuzungspunkte solid, undurchbohrt, die Canäle 0.025^{mm} breit, wohl entwickelt, an den Punkten, wo die Strahlen zusammentreffen, deutlich von einander getrennt. Sie zeigen sich sogar stellenweise auf den plattigen Ausbreitungen, indem sie auf solche Weise die ursprünglichen Strahlen andeuten.

Fig. 42 zeigt uns das Skelet des Schwammes in seinen äusseren Theilen. Die Strahlen haben im Durchmesser nur 0.06^{mm}, die Maschen sind kubisch, viel regelmässiger und grösser (0.4^{mm}), als in dem zuletzt beschriebenen Skelete.

Die plattigen Ausbreitungen kommen auch hier vor, doch werden sie nie so stark wie früher. Die Kreuzungsknoten undurchbohrt, die Canäle fein (0.015^{mm}) und deutlich entwickelt. An der Stelle, wo zwei Strahlen zusammenwachsen, bleiben die beiden Canäle getrennt, indem sie sich an die entgegengesetzten Wände der Kieselhülle, die die Strahlen umgibt, anlegen. Einige Strahlen entwickeln sich zu dornartigen Fortsätzen, andere verklümmern zu einer knopfartigen Anschwellung.

Es scheint keinem Zweifel zu unterliegen, dass diese schlankere Form des Skeletes nur ein jüngerer Theil desselben ist, — eine Erscheinung, die sonst bei den Spongien nicht selten ist. Es konnte nicht ermittelt werden, ob diese Form nackt oder mit einer Deckschicht versehen ist.

Hieher gehört auch ein pilzförmiger kleiner Schwamm, der sich auf einem anderen Handstücke vom Schafberg befindet, und dessen Höhe 20^{mm}, die Breite aber 30^{mm} beträgt. Auch hier wiederholen sich die beiden oben beschriebenen Skeletelemente. Ähnlich wie bei der vorigen Form, ist auch hier der Erhaltungszustand durch Einlagerung von fremden Substanzen so ungünstig, dass es unmöglich ist, nähere Details an dem Schwamme zu erkennen.

Tremadictyon sp.

Auf einem Handstücke vom Schafberg befindet sich eine 12·5^{mm} breite und 6·5^{mm} hohe Skelettpartie, die im oberen Theile durch eine Ebene abgestutzt ist, und auf solche Weise die Canäle deutlich erkennen lässt. Dieselben haben eine rundliche, ovale Gestalt, 0·8^{mm} im Durchmesser, durchbohren die Wand senkrecht, sind ziemlich regelmässig in Reihen angeordnet, und zwar so, dass die Abstände zwischen zwei Ostien ihrem Durchmesser gleichen. Neben diesen bemerkt man hier und da kleinere (0·13^{mm} breite) Canäle, die den vorigen parallel laufen.

Das Skelet besteht — ähnlich dem in Fig. 42 abgebildeten — aus einem feinen ziemlich regelmässigen Gitter von zusammengewachsenen Sechseckstrahlern, die kubische Maschen bilden.

Die Dicke der Nadeln beträgt 0·042^{mm}, die etwas stärkeren Kreuzungsknoten sind solid, die 0·015^{mm} breiten Canäle schön und deutlich entwickelt. Dort wo zwei Arme sich aneinander legen, behalten die Canäle ihre Selbstständigkeit, und gehen nicht in einander über. Manche Strahlen verkümmern zu dornartigen, kurzen (0·03^{mm}) Fortsätzen.

Craticularia ? sp.

Taf. IV, Fig. 44 a, 44 b.

In den Gesteinen vom Schafberg findet man hier und da zierliche, regelmässige Skelete, die gewöhnlich Risse und Spalten ausfüllen, so dass sie auf solche Weise die Form einer unregelmässigen 4—5^{mm} dicken Platte annehmen. Sie sind schon auf den ersten Blick durch ihre etagenförmige Anordnung der Nadeln, die wir gleich kennen lernen werden, auffallend.

Da das ganze Skelet in Spalten verborgen liegt, und sich nicht herauspräpariren lässt, so sieht man von den Canälen sehr wenig. Nur selten kann man auf der Oberfläche der herausragenden Theile grosse, ovale 0·8—1^{mm} starke Ostien bemerken.

Das Skelet besteht aus zusammengewachsenen Dictyoninen-Nadeln, bei denen die Strahlen sich nach zwei Richtungen hin verschieden entwickeln. Die Querbalken, die senkrecht zur Oberfläche der erwähnten Platten stehen, sind ziemlich stark (0·055^{mm} im Durchmesser), die Strahlen aber, die sich mit diesen kreuzen und in derselben Ebene liegen, sind viel dünner 0·03—0·15^{mm} und e. um $\frac{1}{2}$ länger. Zufolge dessen ist der Durchschnitt einer Masche nicht mehr quadratisch, sondern rechteckig, wie es in Fig. 44 b sichtbar ist. Im Übrigen sind die Maschen sehr regelmässig, ihr langer Durchmesser beträgt bis 0·36^{mm}, ihr kurzer 0·2^{mm}. Dabei ist noch zu bemerken, dass die dickeren Balken kreisförmig gebogen sind, so dass eine grössere Partie eines solchen Skeletes auf ihrer Oberfläche aus einer Reihe von parallelen Bögen zusammengesetzt erscheint, auf die senkrecht die dünneren Strahlen verlaufen.

Da nun die bogenförmigen Strahlen wegen ihrer Dicke ganz gut mit freiem Auge sichtbar sind, so fällt ein solches Skelet schon auf den ersten Blick durch die etagenförmige Anordnung auf.

Die Knotenpunkte nicht verdickt, nur umgedreht.

Die Canäle äusserst fein (0·008^{mm} im Durchmesser) und wohl erhalten, bewahren ihre Selbstständigkeit beim Zusammentreffen der Strahlen. Einzelne Strahlen entwickeln sich zu dorn- und stachelartigen Fortsätzen. Wegen der grossen Regelmässigkeit des Skeletes, glaube ich diese Form zur *Craticularia* Zittel stellen zu müssen.

Anmerkung. Sowohl in den Gesteinen des Schafberges, als auch Jenen von Gaisern, findet man zahlreiche Dictyonenskelete in kleinen Bruchstücken, die sämmtlich entweder der Gattung *Tremadictyon*, oder *Craticularia* anzugehören scheinen.

IV. Ordnung LITHISTIDAE O. Schmidt.

Von dieser formenreichen Ordnung habe ich merkwürdiger Weise nur zwei in Fig. 45 und 46 abgebildete Nadeln gefunden. Sie gehören wahrscheinlich in die Nähe von *Rhacodiscula* (Fam. *Tetractadina* Zittel), doch ist eine nähere Bestimmung derselben nicht möglich.

B. Radiolarien.

Benützte Literatur.

- Bütschli O., Beiträge zur Kenntniss der Radiarienskelete, insbesondere der der *Cyrtida*. Zeitschr. für wiss. Zool. Bd. XXXVI.
- Ehrenberg, Mikrogeologie. Berlin 1875. Abhandl. d. Berl. Akad. d. Wiss. 1839 etc. Mountsber. d. Berl. Akad. 1840 etc.
- Gümbel, Foraminiferen, Ostrakoden und mikroskop. Thierüberreste aus den St. Cassianer- und Raitlderschiechten. Jahrb. d. k. k. geol. Reichsanst. 1869, Heft I.
- Haeckel E., Die Radiolarien, Berlin 1862.
- Haeckel, Das Protistenreich. Leipzig 1878.
- Haeckel, Entwurf eines Radiariensystems auf Grund der Studien der Challenger-Radiolarien. Jenaische Zeitschrift f. Naturwissenschaft. Bd. XV. N. F. VIII.
- Hertwig R., Der Organismus der Radiolarien. Jena 1879.
- Pantanelli D., I diaspri della Toscana e i loro Fossili. Atti della R. Acad. dei Lincei. Vol. VIII, 1880.
- Stöhr E., Die Radiolarienfanna der *Tripodi* von Grotte, Provinz Girgenti in Sicilien. Paläontographica Bd. XXVI, 2.
- Zittel K. A., Über einige fossile Radiolarien aus der norddeutschen Kreide. Zeitschr. d. deutsch. geol. Gesellsch. 1876.
- Zittel, Handbuch der Paläontologie, Bd. I, H. 1.

Es ist allgemein bekannt, wie auffallend spärlich die bis jetzt gemachten Funde der fossilen Radiolarien gegenüber der anderen Ordnung der Rhizopoden, nämlich den Foraminiferen sind, ein Umstand, der nmsomehr befremdet, als wir es hier grösstentheils mit harten zusammenhängenden Kiesel skeleten zu thun haben, die doch in hohem Grade erhaltungsfähig sind.

Die paläozoische Periode hat bis jetzt gar keine Radiolarien geliefert, aus den mesozoischen Ablagerungen sind nur äusserst wenige bekannt geworden.

Im Jahre 1869 hat Gümbel im Jahrbuch der geol. Reichsanstalt ein gegittertes Fragment aus St. Cassian unter dem Namen *Dictyoconcha* beschrieben und abgebildet, das einer *Radiolarie* angehören dürfte.

In seiner oben angeführten Arbeit erwähnt Pantanelli aus den oberliassischen Diaspren von Rapolano und Coriano in Toscana sieben Radiolarien-Arten.

Waagen (cit. bei Zittel) hat einmal beim Ätzen verkieselter Brachiopoden und Spongien in dem oberjurassischen Kalke von Muggendorf eine *Sphaeride* gefunden, die aber, — bevor sie einer Beschreibung unterzogen wurde, — verloren gegangen ist.

Verhältnissmässig häufiger sind die Radiolarien in der Kreide. Pantanelli (l. c.) beschreibt eine aus den Diaspren von Garfagnana bei Sienna, Solinas (Geol. Mag. 1873, Vol. X, p. 272) macht auf das Vorkommen von Radiolarien im Upper Greensand von Cambridge aufmerksam, ohne sie jedoch zu beschreiben.

Zittel hat (l. c.) aus der norddeutschen Kreide sechs wohlerhaltene Radiolariengattungen beschrieben und abgebildet, endlich dürften auch einige von den Ehrenberger'schen Polycystinen, nämlich die von Lublin in Polen hieher gehören, was jedoch noch nicht mit Sicherheit nachgewiesen wurde.

Dagegen im Tertiär sind die Radiolarien sehr zahlreich. Schon aus den eocenischen Diaspren von der Umgegend der Stadt Sienna in Toscana sind durch Pantanelli (l. c.) 32 Arten bekannt geworden, aber der eigentliche Horizont der Radiolarien befindet sich erst im oberen Tertiär.

Hieher gehört vor Allen der classische und allgemein bekannte Fundort — nämlich die Insel Barbados, hernach kommt die Provinz Girgenti — insbesondere aber die Localität Grotte, — ferner Aegina in Griechenland, Simbirk bei Kuzan etc. Um die Kenntniss der Radiolarien aus diesen Fundorten haben sich Ehrenberg, Stöhr, Bütschli u. a. sehr verdient gemacht.

Bis zur allerletzten Zeit war die Artenanzahl der bekannten recenten Radiolarien verhältnissmässig gering, so dass sowohl die fossilen als auch recenten Formen bezüglich ihrer Artenzahl so ziemlich gleich waren.

Die berühmte Monographie von Haeckel, die Arbeiten von Hertwig, ferner die von Meyen,¹ von Huxley,² Müller,³ Claparède et Lachmann⁴ n. s. w. haben im Ganzen kaum über 400 lebende Arten beschrieben, eine Zahl also, die auch bei fossilen Formen erreicht wurde.

Seit der Challenger-Expedition hat sich jedoch dieses Verhältniss gewaltig geändert.

Wie soeben Haeckel in seinem unlängst erschienenen „Entwurf eines Radiolariensystems“ anzeigt, haben seine Untersuchungen über die Challenger-Radiolarien, die ihm seitens des Herrn Wyville Thomson zur Bearbeitung überlassen wurden, mehr denn 2000 Arten geliefert. Es ist das also eine Zahl, die sämtliche bis jetzt bekannte sowohl fossile, als auch recente Formen fast um das Dreifache übersteigt.

Aus dieser Zusammenstellung ergibt sich nun, dass — abgesehen von den früher erwähnten unbestimmbaren Bruchstücken von St. Cassian — wir in unserer Fauna vom Schafberg die ältesten bis jetzt bekannten Radiolarien vor uns haben.

Sie scheinen sich grösstentheils auf die Challenger-Radiolarien anzuschliessen, denn — obwohl wir bis jetzt noch keine Beschreibung der letzteren haben, — so war ich doch im Stande, mit Zuhilfenahme des Haeckel'schen „Entwurf etc.“ eine Bestimmung derselben durchzuführen. Es gibt aber auch unter den Schafberger Radiolarien Formen, die durch ihren fremdartigen Habitus überraschen, und sich zu keine bis jetzt bekannten Gattungen anschliessen.

Was ihren Erhaltungszustand anbelangt, so ist derselbe als mittelmässig zu bezeichnen. Die Schalenstruktur ist fast immer deutlich sichtbar, doch sind die meisten Formen mit Kieselsäure getränkt, mit fremdartigen Substanzen ausgefüllt, so dass sie oft undurchsichtig werden, und man z. B. bei den Sphaeriden Mühe hat, zu erkennen, ob wir mit einer oder mehreren Kugeln zu thun haben. Zu bemerken ist der Umstand, dass die Mehrzahl unserer Formen eine schwammige Schale besitzt, während nur bei wenigen ein regelmässig gegittertes Gehäuse sich constatiren lässt.

In der Bestimmung und Classification derselben habe ich mich ganz an das neue Haeckel'sche System gehalten. Zwar ist seine angekündigte riesige Arbeit über Challenger-Radiolarien, die über 150 Tafeln enthalten wird, noch nicht erschienen, doch gibt Haeckel in seinem Entwurf eine Übersicht und gedrängte aber genaue Charakteristik der 630 Gattungen (darunter mehr als drei Viertel neue), so dass ich es für angezeigt hielt, dieses System schon jetzt meinen Formen zu Grunde zu legen.

Allerdings musste ich hier und da — wo der fossile Erhaltungszustand die genauere Bestimmung von vornherein ausschliesst, — ferner bei ganz neuen Typen, wo die Anstellung neuer Gattungen nöthig war, von dem trefflichen Systeme des Jena'schen Naturforschers Umgang nehmen.

Bezüglich der Abbildungen sei es noch schliesslich erwähnt, dass dieselben von mir mittelst Camera lucida bei einer 200maligen Vergrösserung hergestellt wurden, wobei ich immer trachtete, so viel als möglich naturgetreu zu sein. Aus demselben Grunde habe ich gleichzeitig die meisten Formen bei einer schwächeren nämlich 83maligen Vergrösserung abgebildet, da eben die Bilder, die man bei stärkerer Vergrösserung entwirft, nur halbso schematisch sind.

Nachstehende Tafel gibt die Übersicht der Radiolarien vom Schafberg.

¹ Beiträge zur Zool. etc. Nov. act. Acad. Leop. Carol. I. VI. Suppl. p. 160, 1834.

² Ann. and Mag. Naturhist. 8. 2, Vol. 8, pag. 453, 1851.

³ Über Thalassioolen etc. Abhandl. der Akad. zu Berlin 1858.

⁴ Études sur les Infusoires et les Rhizopodes. Vol. I, p. 458. 1858—1859.

Familie: SPHAERIDA.

Subfamilie	Species	Gattung ¹
Mono- sphaeria Haeckel	1. <i>Cenosphaera</i> aff. <i>Plutonis</i> Ehrenb.	{ <i>Cenosphaera</i> .
	2. " sp.	
	3. " sp.	
	4. <i>Ellipsoziphus</i> <i>Suessi</i> nov. sp.	{ <i>Ellipsoziphus</i> †.
	5. <i>Ellipsoziphus</i> <i>parvoforaminosus</i> nov. sp.	
	6. <i>Staurosphaera</i> <i>crassa</i> nov. sp.	{ <i>Staurosphaera</i> *.
	7. <i>Staurodoras</i> <i>Mojzisevici</i> nov. sp.	
	8. " <i>liassica</i> nov. sp.	{ <i>Staurodoras</i> *.
	9. " <i>Wandae</i> nov. sp.	
	10. <i>Spongeechinus</i> <i>Neumayri</i> nov. sp.	{ <i>Spongeechinus</i> *.
	11. " <i>multinucleatus</i> nov. sp.	
	12. " sp.	{ <i>Rhizoplegma</i> *.
	13. <i>Rhizoplegma</i> sp.	

Familie: DISCIDA Haeckel.

Subfamilie	Species	Gattung
Spongo- discida Haeckel	14. <i>Spongophacus</i> sp.	{ <i>Spongophacus</i> *.
	15. " sp.	
	16. <i>Stylotrochus</i> sp.	{ <i>Stylotrochus</i> .

Formen mit unsicherer systematischer Stellung.

Species	Gattung
17. <i>Spongocyrtis</i> <i>wontis</i> nov. sp.	{ <i>Spongocyrtis</i> †.
18. <i>Trinctinosphaera</i> <i>Zitteli</i> nov. sp.	

I. Ordnung: PERIPYLARIA Haeckel 1881.

(*Peripylaria* vel *Peripylea* Hertwig 1879; *Sponularia* exclusis *Spyridium*, Ehrenberg 1875.)

Familie SPHAERIDA Haeckel.

Skelet besteht aus einer oder mehreren concentrisch ineinander geschalteten Gitterkugeln mit oder ohne Stacheln. Manchmal sind die Kugeln von einem spongiösen Mantel umhüllt.

Subfamilie: MONOSPHAERIA Haeckel.

Skelet besteht aus einer einfachen gegitterten Kugel.

1. Tribus: ETMOSPHAERIDA (*MONOSPHAERIA ANACANTHA*) Haeckel.

Von diesem Tribus enthält unsere Fauna nur jene Formen, bei der die Kugel ungleiche runde Gitterlöcher besitzt, es ist das die

Gatt. *Cenosphaera* Zittel (Ehrenberg).

Gitterkugel mit ungleichen runden Löchern, ohne Stachel.

Die bei früheren Autoren hieher gestellten gestachelten Formen müssen nun entsprechend der neuen Classification Haeckel's ausgeschieden werden.

¹ Die mit * bezeichneten Gattungen sind neu von Haeckel in seinem „System“, — die mit † bezeichneten von mir aufgestellt worden.

Cenosphaera aff. *Plutonis* Ehrenberg.

Taf. IV, Fig. 47 a, 47 b.

Ehrenberg, Mikrogeologie Taf. XXXV, B. B. IV., 20.

Ehrenberg, Monatsberichte 1856, p. 24, 61.

Haeckel, Radiolarien p. 533.

Stöhr Sitzungsber., Taf. I, Fig. 1.

Solche runde gegitterte Formen finden sich in unserer Fauna ziemlich häufig, und zwar entweder ganz oder in abgerissenen Halbkugeln, die die Schalenstruktur ganz deutlich hervortreten lassen. Unsere Form ist der Ehrenberg'schen Species sehr ähnlich, der ganze Unterschied würde in der dichteren Aneinanderreihung der Gitterlöcher bestehen, was mich jedoch nicht bestimmt, eine neue Art darauf zu gründen.

Maasse: Kugeldurchmesser der grössten Exemplare . . . 0.16 Mm.

Durchmesser der Gitterlöcher . . . 0.015—0.007 Mm.

Breite der Zwischenbalken . . . 0.02 — 0.004 „

Ziemlich häufig.

Cenosphaera ? sp.

Taf. V, Fig. 48.

Hierher dürfte auch die in Fig. 48, Taf. V abgebildete Kugel gehören. Sie ist fast doppelt so gross, als die zuletzt beschriebene Art und zeigt eine leichte Ausstülpung der Schale nach einer Seite hin in der Gestalt eines kurzen, konischen Fortsatzes. Da ich nur ein einziges Exemplar dieser Form besitze, so bin ich auch nicht im Stande anzugeben, ob der Fortsatz eine Zufälligkeit oder ein constantes Merkmal ist, aus welchem Grunde ich aneh keine Art aufstelle.

Maasse: Durchmesser der Kugel . . . 0.28 Mm.

Länge der Ausstülpung . . . 0.055 „

Durchmesser der Gitterlöcher . . . 0.017—0.08 Mm.

Breite der Zwischenbalken . . . 0.015—0.02 „

Cenosphaera sp.

Taf. V, Fig. 49.

Zu den *Cenosphaeren* gehört auch die etwas zerdrückte und unregelmässige Kugel, die ich in Fig. 49 abgebildet habe. Sie zeigt zugleich grosse ovale Gitterlöcher, die etwas dichter angeordnet sind, als bei den vorhergehenden Arten.

Maasse: Durchmesser der Kugel . . . 0.27 Mm.

Durchmesser der Gitterlöcher . . . 0.02 „

Breite der Zwischenbalken . . . 0.025—0.03 Mm.

2. Tribus: XIPHOSTYLIDA Haeckel (*MONOSPHERIA DISSACANTIA*).

Die hierher gehörigen Formen, die durchwegs neu sind, indem sie erst jetzt von Haeckel in seinem „Entwurf etc.“ angegeben werden, umfassen einschalige Radiolarien mit zwei entgegengesetzten Stacheln, die in einer Axe liegen. Als erste Gattung dieser Gruppe bezeichnet Haeckel die *Xiphosphaera*, die er folgendermassen charakterisirt: „*Ambohus aculeis aequalibus, forma et magnitudine paribus*“. Ich glaube also, dass die in Fig. 50 und Fig. 51 abgebildeten Radiolarien ganz in die Nähe dieser Gattung gehören, indem sie sich nur durch ihre ellipsoidische Gestalt unterscheiden. Da bei Haeckel bezüglich dieser Formen immer nur die Rede von „*Sphaera*“ ist, und da wir aber constant nur mit einem Ellipsoid zu thun haben, so sehe ich mich genöthigt ein Subgenus der *Xiphosphaera* aufzustellen, nämlich:

Ellipsorhynchus nov. subgen.

Einfache gitterförmige Ellipsoidschale, mit zwei gleich langen, in der Verlängerung der grossen Axe des Ellipsoids liegenden Stacheln.

Staurosphaera crassa nov. sp.

Taf. V, Fig. 52.

Eine verhältnissmässig grosse, regelmässige Kugel mit zahlreichen kleinen rundlichen, oder ovalen dicht nebeneinander stehenden Gitterlöchern. Die vier senkrecht auf einander stehenden Stacheln bilden ein rechtwinkliges Kreuz, und erreichen fast die Länge des Kugeldurchmessers. Sie spitzen sich gegen das Ende leicht zu, und scheinen schmale Canäle zu besitzen.

Maasse: Durchmesser der Kugel	0·19 Mm.
Länge der Stacheln	0·145 "
Dieke " "	0·046 "
Durchmesser der Gitterlöcher	0·014 "
Breite der Zwischenbalken	0·016 "

Sehr selten.

Als weitere zu den Monosphaerien gehörende Gattungen, die sich jedoch nicht näher bestimmen lassen, sind die in Fig. 53 bis Fig. 55 abgebildeten Formen zu betrachten.

Fig. 53 Taf. V. Regelmässige Kugel mit kreisrunden oder ovalen Löchern. An einem Ende der Kugel sieht man einen starken dreieckigen Stachel, der fast die Länge des Halbmessers der Kugel erreicht.

Wir haben hier also offenbar mit einer gestachelten Form zu thun, bei der nur ein einziger Stachel geblieben ist, aus welchem Grunde die nähere Bestimmung unmöglich ist.

Maasse: Durchmesser der Kugel	0·16 Mm.
Länge des Stachels	0·066 "
Seine Dicke an der Basis	0·035 "
Breite der Gitterlöcher	0·018 "
" " Zwischenbalken	0·018—0·02 Mm.

Fig. 54 Taf. V. Gitterschale ähnlich der vorigen, nur mit dem Unterschiede, dass hier drei Stacheln sichtbar sind, die nicht dreieckig, sondern cylindrisch sind.

Maasse: Durchmesser der Kugel	0·18 Mm.
Länge der Stacheln	0·07 "
Dieke " "	0·03 "

Fig. 55 Taf. V. Ein Bruchstück von einer Gitterkugel, mit zwei in einem stumpfen Winkel zusammenstossenden Stacheln. Die Maasse fast dieselben wie bei letzter Form.

2. Subfamilie: SPONGOSPHERA Haeckel.

Schwammartige Sphaeriden, deren Schale entweder ganz spongiös, oder nur mit einer spongiösen Hülle überzogen ist. Die Diagnose dieser von Haeckel aufgestellten Subfamilie lautet: *Sphaerida spongiosa*, *testa silicea globosa*, *aut tota spongiaeformi*, *aut cortice externa telam spongiosum formante*, *ramulis siliceis innumeris sine ordine perplexis*. *Testae siliceae globosae elathratae internae* (*testae medullares*) *in centro globi spongiosi modo desunt, modo adsunt*.

Bei meinen Formen war es nicht immer möglich zu constatiren, ob eine „testa medullaris“ da ist oder fehlt, da — wie schon früher erwähnt — die Kugeln oft mit einer fremdartigen Substanz ausgefüllt sind, die sie undurchsichtig macht. An die Anfertigung von Präparaten war hier gar nicht zu denken, denn bei solch' seltenen Formen ist man froh etwas gefunden zu haben, und entschliesst sich nicht gerne etwas zu opfern.

Da aber einzelne Formen Häufig vorkommen, so war es möglich zu constatiren, dass die Gattungen mit einer „testa medullaris“ äusserst selten vorkommen.

1. Tribus: STAUDODORIDA Haeckel.

Spongospherien mit vier gleich langen Stacheln, die ein rechtwinkliges Kreuz bilden.

y *

Gatt. *Staurodoras* Haeckel.

Staurodoriiden ohne testa medullaris,

Staurodoras Mojsisovici nov. sp.

Taf. V, Fig. 56.

Die Schale besteht aus einer kleinen regelmässigen Kugel, die aus einem Netzwerke regellos verflochtener Kieselnadeln aufgebaut ist, so dass das Ganze einen schwammartigen Charakter annimmt. Von der Kugel gehen vier senkrecht auf einander stehende Strahlen aus, die ein rechtwinkliges Kreuz bilden.

Die Länge einzelner Strahlen übertrifft um ein bedeutendes den Durchmesser der Kugel; sie zeigen in ihrem Innern Canäle und spitzen sich zu. Obwohl einige von ihnen abgebrochen oder theilweise corodirt sind, so kann man doch erkennen, dass sie die nämliche Länge besitzen.

Die winzigen Kieselnadeln, aus deren regellosen Verflechtung die Wand der Kugel aufgebaut ist, sind erst bei einer stärkeren Vergrösserung (200—300mal) deutlich sichtbar. Diese Species ist nach Herrn Dr. E. v. Mojsisovics, k. k. Oberberggrath in Wien, benannt.

Maasse: Durchmesser der Kugel	0·14 Mm.
Länge einzelner Strahlen	0·18 "
Dieke derselben an der Basis	0·04 "

Staurodoras Hasslea nov. sp.

Taf. V, Fig. 57.

Der Unterschied dieser Species von der vorhergehenden besteht darin, dass die Kugel bedeutend stärker, die Stacheln verhältnissmässig kürzer sind. Die spongiöse Beschaffenheit der Schale und alle anderen Merkmale sind die nämlichen wie bei *St. Mojsisovici*.

Maasse: Durchmesser der Kugel	0·19 Mm.
Länge einzelner Stacheln	0·132 "
Dieke derselben an der Basis	0·045 "

Ziemlich selten.

Staurodoras Wundae nov. sp.

Taf. V, Fig. 58.

Schwammartige Kugeln mit vier senkrecht aufeinander stehenden Stacheln, — die auffallend kurz und dornartig sind.

Maasse: Durchmesser der Schale	0·145 Mm.
Länge der Stacheln	0·07 "
Dieke derselben an der Basis	0·06 "

2. Tribus: RHIZOSPHAERIDA Haeckel.

Spongosphaerien mit acht oder mehr Stacheln, die oft ohne jegliche Ordnung zerstreut sind.

Gatt. *Spongechinus* Haeckel.

Rhizosphaeriden ohne „testa medullaris“ mit einfachen Stacheln.

Spongechinus Neymayri nov. sp.

Taf. V, Fig. 59.

Eine regelmässige Kugel, deren Wand aus einem Netzwerke von regellos verflochtenen Kieselnadeln besteht. Aus der Schale strahlen drei Hauptstacheln aus, die ganz regelmässig angeordnet sind, indem ihre Spitzen den drei Ecken eines gleichseitigen Dreiecks entsprechen. Ihre Länge erreicht beinahe drei Viertel des Kugeldurchmessers, ihre Dicke ist ziemlich bedeutend, doch nimmt sie gegen die Enden stark ab, so dass dadurch scharfe Spitzen entstehen. Alle drei Hauptstacheln besitzen einen Canal.

Ausser diesen sieht man hier auch mehrere winzige Nebenchacheln, die radiär angeordnet sind, und eine stabförmige Gestalt besitzen.

Maasse: Durchmesser der Kugel 0.165 Mm.

Länge der Hauptstacheln 0.15 "

Dicke derselben an der Basis . . . 0.042 "

Dicke der Nebenchacheln 0.008 "

Ziemlich selten. Diese Species ist nach Herrn Prof. Dr. Neymayr in Wien benannt.

Anmerkung. In seiner oben citirten Arbeit beschreibt Pantanelli (S. 47, Fig. 16) eine Form, die, insofern es die mangelhafte Abbildung und noch mangelhaftere Diagnose erkennen lässt, eine gewisse äussere Ähnlichkeit mit *S. Neymayri* besitzt. Es ist mir aber ein Räthsel, warum Pantanelli diese Form zu *Actinomma* stellt, da es weder aus der Abbildung, noch aus der Beschreibung hervorgeht, dass wir hier eine Form mit drei concentrischen Kugeln vor uns hätten. Man erfährt auch gar nichts über die Structur der Schale, weshalb ich ausser Stande bin, eine weitere Vergleichung anzustellen.

Spongechinus multiaculentus nov. sp.

Taf. V, Fig. 60.

Schale kugelig von schwammartiger Beschaffenheit, über und über mit Stacheln bedeckt, unter denen sich vier durch besondere Grösse und regelmässige Anordnung auszeichnen, die ich auch desswegen Hauptstacheln nennen will. Diese Hauptstacheln nun sind gleich gross, ziemlich stark, stehen auf einander senkrecht, so dass sie ähnlich wie bei *Staurodoras* ein rechtwinkliges Kreuz bilden. Sie spitzen sich zu, und zeigen deutliche Canäle. Die anderen Stacheln sind bedeutend kleiner, zeigen eine regellose Anordnung, und dürften die Zahl 30 übersteigen, indem ich nur auf einer Kugelhälfte deren fünfzehn zählte.

Ziemlich selten.

Maasse: Durchmesser der Kugel 0.16 Mm.

Länge der Hauptstacheln 0.115 "

Dicke derselben an der Basis . . . 0.004 "

Hierher gehören ferner die in Fig. 61–63 abgebildeten *Spongechiniden*, bei denen ich keine Arten aufstellen will, indem sie entweder schlecht erhalten, oder durch ein einziges Exemplar vertreten sind.

Fig. 61 zeigt einen *Spongechinus*, der sich von *S. multiaculentus* nur dadurch unterscheidet, dass die Zahl der Hauptstrahlen grösser ist als vier, und dass dieselben ähnlich den Nebenchacheln ganz regellos angeordnet sind.

Fig. 62. Ein unvollständig erhaltenes Exemplar von *Spongechinus* bei dem alle Stacheln fast die nämliche Grösse besitzen.

Maasse: Durchmesser der Kugel 0.13 Mm.

" " Stacheln . . . 0.016 "

Die Länge der Letzteren lässt sich nicht constatiren, indem fast alle abgebrochen sind.

Fig. 63. Ein zerdrückter *Spongechinus*, den ich desswegen abbilde, weil solche zerdrückte Formen oft in unserer Fanna vorkommen.

Gatt. *Rhizoplegma* Haeckel.

Spongosphaerien mit testa modullaris, die von der spongiösen Schale deutlich geschieden ist.

Rhizoplegma ? sp.

Taf. V, Fig. 64.

Ich besitze nur ein einziges, unvollständiges Exemplar, das vielleicht hierher gehören dürfte.

Man sieht hier eine spongiöse gestachelte Schale, die in der Mitte eine kleine dunkle Kugel durchschimmern lässt. Sämmtliche Strahlen nur in kleinen Bruchstücken sichtbar.

Maasse: Durchmesser der äusseren Kugel . . . 0.158 Mm.

" " inneren " . . . 0.056 "

II. Familie: DISCIDA Haeckel 1881.

(Discida vel Discoida Haeckel 1862.)

Peripylarien, deren gegitterte biconvexe Schale die Gestalt eines Discus oder einer Linse annimmt und zuweilen von einem schwammartigen Mantel umhüllt wird. Von den drei senkrecht aufeinander stehenden Axen, die bei den meisten Sphaeridien wohl entwickelt sind, wird hier eine bedeutend kürzer. Im Centrum bleibt immer eine kleine gegitterte Kugel als ein Theil des Primärskeletes zurück, in deren horizontaler Ebene die secundären Kielbalken anwachsen.

1. Subfamilie: SPONGODISCIDA Haeckel.

Disciden, bei denen die Schale aus unzähligen kleinen regellos verflochtenen Kieselnadeln besteht. Oft ist die testa medullaris, oft Arme und Stacheln vorhanden.

Unsere Fauna besitzt auch einige Vertreter dieser Familie, doch kommen sie leider meistens nur in Bruchstücken vor, so dass man kaum im Stande ist, eine nähere Bestimmung durchzuführen. Dazu gesellt sich der Umstand, dass die meisten Formen so stark mit Kieselsäure getränkt sind, dass man nicht immer die feineren Structurverhältnisse zu erkennen vermag. Trotzdem will ich versuchen, — so weit es möglich ist, — einige Formen nach dem Haeckel'schen Systeme zu classificiren.

1. Tribus: SPONGOPHACIDA Haeckel.

„*Spongodiscida inermis sine aculeis marginalibus, et sine brachiis spongiosa.*“

Gatt. *Spongophacus* Haeckel.

Discida tela spongiosa heterogenea (substantia medullari densa a corticali laevi distincta).

Spongophacus sp.

Taf. VI, Fig. 65 a.

Das Gehäuse scheibenförmig, flach, mit einem fast kreisrunden Umriss, besteht aus einem unregelmässigen Flechtwerke von Kieselnadeln, das dem Ganzen ein schwammartiges Aussehen verleiht. Im Innern der Scheibe, fast im Centrum derselben, sieht man ganz deutlich eine kleine dunkle Kugel, die von dem übrigen Theile der Scheibe sich deutlich abhebt, und aus einem viel dichteren Netzwerke zu bestehen scheint. Es sind da gar keine Balken sichtbar, der Rand der Scheibe zeigt auch keine Stacheln.

Maasse: Durchmesser der äusseren Scheibe . . . 0.33 Mm.

„ „ „ inneren Kugel . . . 0.065 „

Anmerkung. Da ich nur ein einziges besser erhaltenes Exemplar dieser Form besitze, so sehe ich auch von der Aufstellung einer Art hier ab.

Spongophacus ? sp.

Taf. V, Fig. 65.

Zu derselben Gattung dürfte auch die grosse in Fig. 65, Taf. V abgebildete Form gehören, die ich in einem einzigen zerdrückten und unvollständigen Exemplare besitze. Gehäuse scheibenförmig, schwammartig, in der Mitte ein Loch, das der dichteren herausgefallenen Kugel entsprechen dürfte.

Maasse: Durchmesser der Schale . . . 0.53 Mm.

„ „ „ Öffnung . . . 0.18 „

2. Tribus: SPONGOTROCHIDA Haeckel.

„*Spongodiscida aculeata, sed non brachiata, cum aculeis marginalibus in plano disci sitis.*“

Gatt. *Stylotrochus* Haeckel.

Radialstacheln sämmtlich in einer Ebene liegend, welche sich in der Mitte zwischen den beiden Flächen der Schwamm Scheibe befindet, und diesen beiden Flächen parallel läuft.

Stylotrochus sp.

Taf. VI, Fig. 66.

Das in Fig. 66 abgebildete Bruchstück dürfte unzweifelhaft hierher gehören. Es hat die Form eines Kreis-ausschnittes, und besteht aus zwei parallelen flachen Schwammseiben.

Zwischen denselben verlaufen dünne Stacheln, die fast radial angeordnet sind, sich nach Aussen verläu-
gern und auf solche Weise am Rande der Scheibe hervorragende kurze Dörnchen bilden.

Maasse: Länge des Stückes. 0.44 Mm.

Breite " " 0.28 "

Durchmesser der Stacheln. 0.008—0.01 Mm.

Länge ihrer herausragender Theile . . . 0.04 Mm.

Anmerkung. Ausser dieser Form finden sich in den Gesteinen des Schaferberges zahlreiche andere Bruchstücke, die unzweifelhaft der Subfamilie der Spongocleiden angehören, obwohl sie sich nicht näher bestimmen lassen.

Radiolarien, deren systematische Stellung unsicher ist.

Gatt. *Spongocyrtis* nov. gen.

Skelet einkammerig, ei- oder ellipsoïdförmig aus einem dichten Geflechte von schwammartig verflochtenen Kieselnadeln bestehend. Die Schale ist durch eine Hauptaxe, deren Pole verschieden ausgebildet sind, charakterisirt.

Spongocyrtis montis ovis nov. sp.

Taf. VI, Fig. 67, 67a, 68, 68 a.

Schale eiförmig, mehr oder weniger regelmässig, einkammerig, aus schwammartig regellos verflochtenen Kieselnadeln zusammengesetzt. Sie ist inwendig hohl, ihre Längsaxe ist bedeutend stärker entwickelt, als der Querdurchmesser. An einem Pole der grossen Axe ist die Schale vollkommen geschlossen, an dem anderen besitzt sie eine kleine terminale Öffnung. Gegen diese Öffnung hin zieht sich die Schale in einen kleinen engen Hals aus.

Ausser vielen Bruchstücken besitze ich auch zwei fast vollständig erhaltene Exemplare, die sich gewissermassen gegenseitig ergänzen.

In Fig. 67 sieht man eine Form abgebildet, die auf dem oberen Ende geschlossen und ein wenig abgeplattet ist, und die nahe an der Mündung einen wahrscheinlich in Folge einer leichten Zerdrückung der Seitenwand entstandenen Fortsatz zeigt. Zu Folge dessen zeigt auch die Halseinschnürung an der rechten Seite eine kleine Unregelmässigkeit.

Das andere Exemplar Fig. 68 hat eine theilweise beschädigte Mündung, dafür ist aber sowohl die Einschnürung des Halses, als auch die übrigen Theile der Schale wohl erhalten.

Maasse: Längsaxe der Schale 0.345 Mm.

Queraxe " " 0.262 "

Durchmesser der Mündung 0.082 "

Länge des eingeschnürten Theils . . . 0.70 "

Was die systematische Stellung dieser interessanten Form anbelangt, so ergeben sich diesbezüglich beträchtliche Schwierigkeiten. Da sich in früheren Radiolarien-Werken nichts ähnliches vorfindet, so stelle ich meine Betrachtungen bezüglich dieser Form in Berücksichtigung des neuen Haeckelschen Systems, das doch auf 630 Gattungen basirt ist, an.

Das erste auffällige Merkmal, mit dem wir uns hier zu beschäftigen haben, ist die spongiöse Beschaffenheit der Schalenwand; der nächste Gedanke wäre also unsere Form in die Nähe der Sponguriden zu bringen. Da aber Haeckel in seinem neuen System die frühere Ordnung der Sponguriden unter die Familien der

Disciden und Sphaeriden vertheilt, indem er die Subfamilien Spongodisciden und Spongosphæriden aufstellt, so müssen wir uns auf die Betrachtung der letzteren beschränken.

Au Spongodisciden ist da gar nicht zu denken. Die Hauptmerkmale der Discidenfamilie lauten: Peripylaria discoides, testa clathrata disciformi, aut lentiformi, biconvexa etc. Wir haben bei *Spongocyrtis* weder mit einer Linse, noch mit einem Discus zu thun, von den drei Körperaxen sind zwei gleich, die dritte grösser, als die beiden anderen. Die Spongodisciden sind somit zur Aufnahme unserer Gattungen durchaus nicht geeignet.

Viel näher wäre man in dieser Beziehung bei den Spongosphæriden. Wir könnten sogar weiter bis zu dem Tribus der Plegmosphaeriden gehen, und vielleicht auch an die Gattung *Plegmosphaera* denken. Ihre Diagnose lautet: *Spongosphæria anacantha*, — globo spongiosa, sine testis medullaribus cavo centrali. Aber es werden sich da gleich fundamentale Unterschiede zeigen. Wir haben nämlich bei der *Spongocyrtis* durchaus keine Kugel vor uns, und der wichtigste Unterschied beruht in dem Umstände, dass die beiden Enden des Körpers in der Richtung der grossen Axe verschieden ausgebildet sind, indem der obere Pol geschlossen, der untere aber mit einer terminalen auf der halsförmigen Einsenkung liegenden Mündung versehen ist.

Dieses Merkmal führt uns direct zu der Familie der Cyrtiden und zwar zu der Subfamilie der Monocyrtiden. Sämmtliche Charaktere unserer Form stimmen bis auf die spongiöse Beschaffenheit der Schale mit jenen der Monocyrtiden überein. Die verlängerte Hauptaxe, die verschiedene Ausbildung an beiden Polen, die Mündung, das alles werden wir bei den Monocyrtiden finden. Aber die schwammartige Beschaffenheit der Schale bei *Spongocyrtis* steht im Widerspruche mit einem der Hauptmerkmale der Cyrtiden, nämlich: „testa clathrata, vel regulariter cancellata.“

Wir haben hier also bei der Gattung *Spongocyrtis* eine merkwürdige unterlassische Form vor uns, die die Charaktere mehrerer Familien vereinigt.

Wenn ich also gesonnen wäre, meine Gattung um jeden Preis in das bestehende System einzutheilen, so hätte ich eine doppelte Wahl vor mir. Ich könnte erstens den Familienbegriff der Cyrtiden erweitern mit der Annahme, dass hieher auch Formen mit schwammartiger Schale gehören. Es wäre aber auch möglich, die *Spongocyrtis* bei den Spongosphæriden unterzubringen, und zwar durch die Anstellung einer Unterabtheilung mit langen offenen Formen.

Ich glaube aber nicht, dass es angezeigt und von praktischer Bedeutung wäre, auf Grund einer einzigen Species, die nur durch drei besser erhaltene Exemplare vertreten ist, eine selbstständige Subfamilie aufzustellen, und auf solche Weise an dem bestehenden Systeme zu rütteln. Ich begnüge mich desshalb mit der Aufstellung einer neuen Gattung und Hinweisung auf diese interessante Form, und überlasse es den späteren ähnlichen Fanden, die Einreihung solcher Formen in das allgemeine Radiolariensystem.

2. Gatt. *Triactinosphaera* nov. gen.

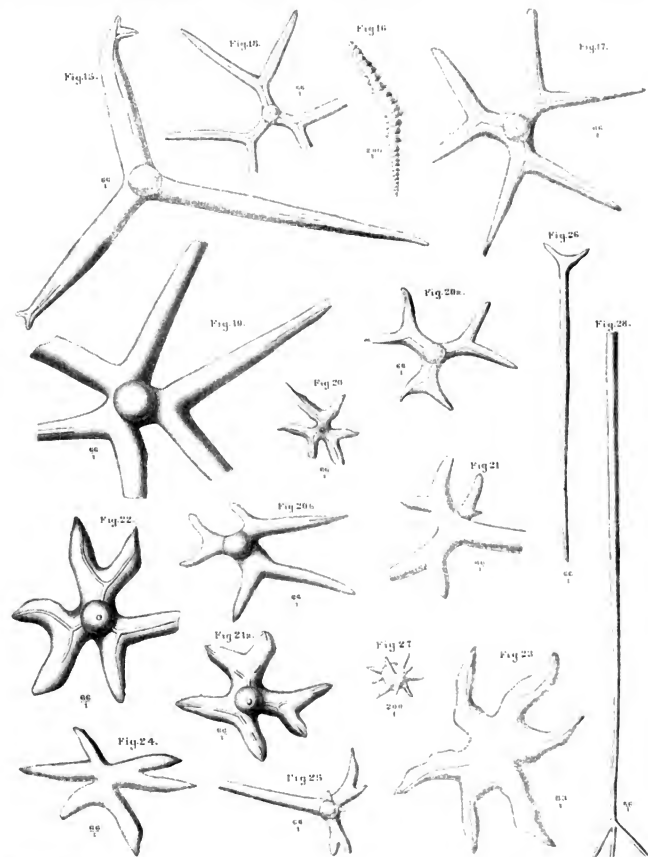
Die schwammartige Schale besteht aus drei cylinderförmigen an ihren Enden zu Kugeln verdickten, und mit Stacheln versehenen Armen, die mittelst ihrer Grundflächen derart miteinander verbunden sind, dass ihre Enden den Spitzen eines gleichschenkligen Dreiecks entsprechen.

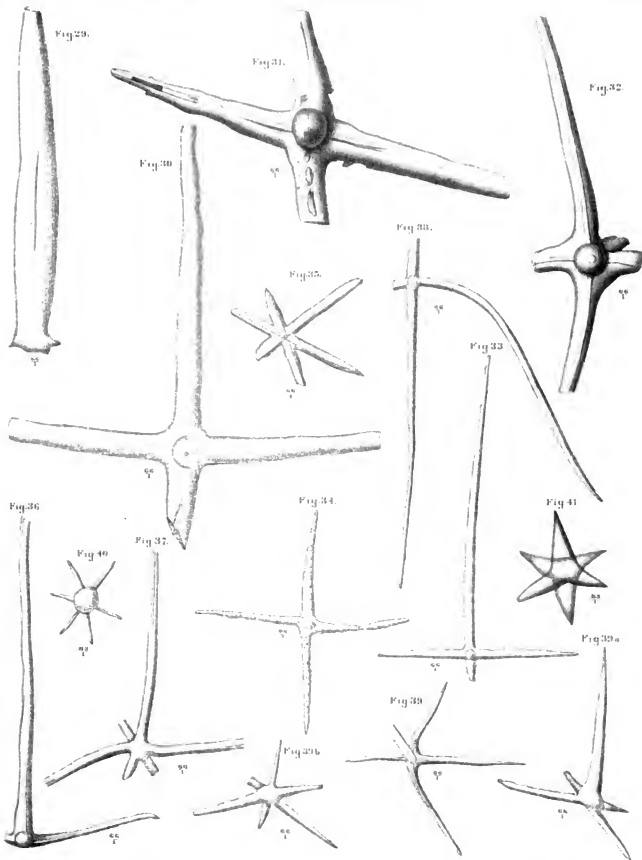
Triactinosphaera Zittel nov. sp.

Taf. VI, Fig. 69, 69 a u. 70, 70 a.

Es ist das die zierlichste und merkwürdigste Form unter den Radiolarien des Schafferges.

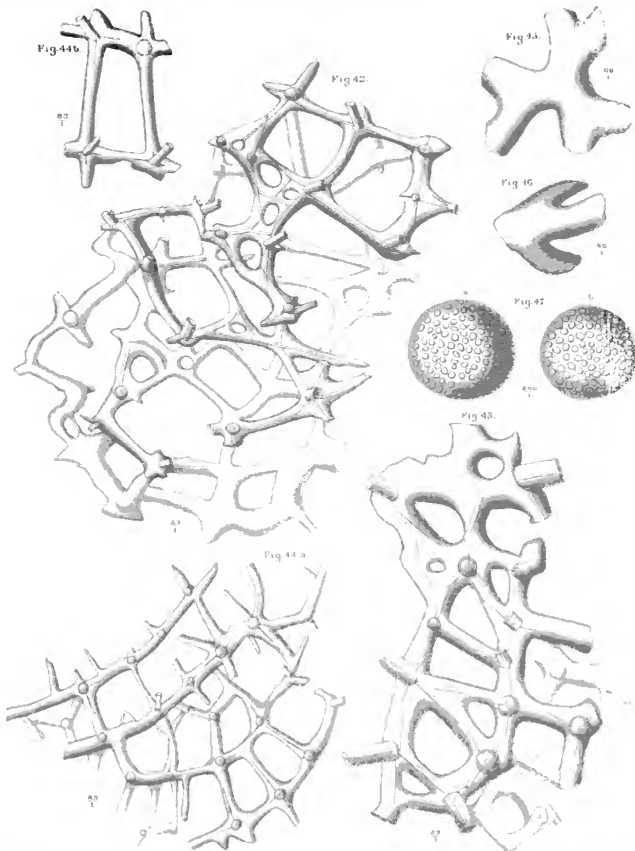
Die Schalenwand besteht aus einem dichten Geflechte von feinen Kieselstäben, die regellos schwammartig miteinander verbunden sind. Das ganze Gehäuse ist aus drei Cylindern, die in einer Ebene liegen, und die von der Mitte aus strahlend ausgehen, aufgebaut. Wenn man die äussersten Spitzen der Arme durch gerade Linien verbindet, so erhält man ein gleichschenkeliges Dreieck, dessen Basis sich zur Höhe wie 5:3 verhält. Der Mittelpunkt, wo die Arme aneinander stossen, fällt mit dem Mittelpunkte des Dreiecks zusammen.

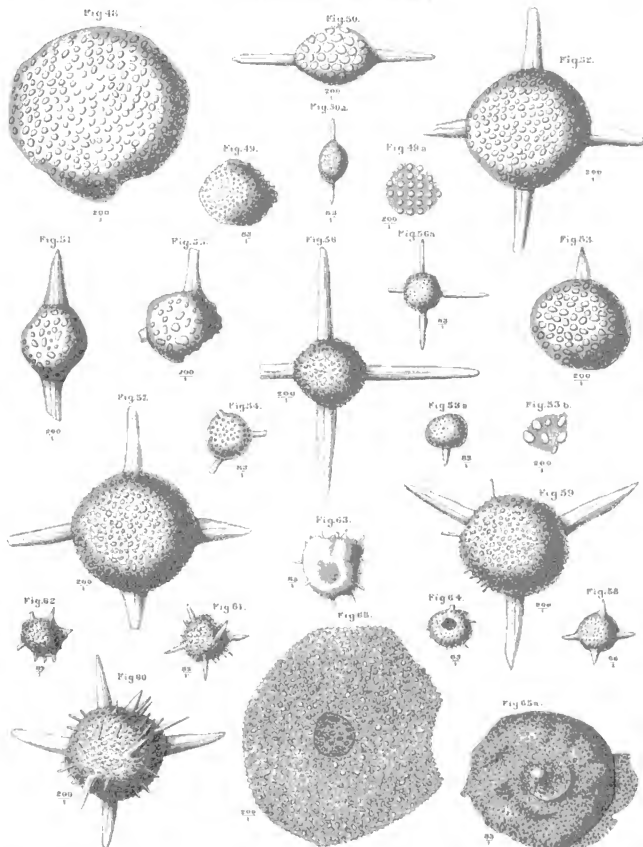


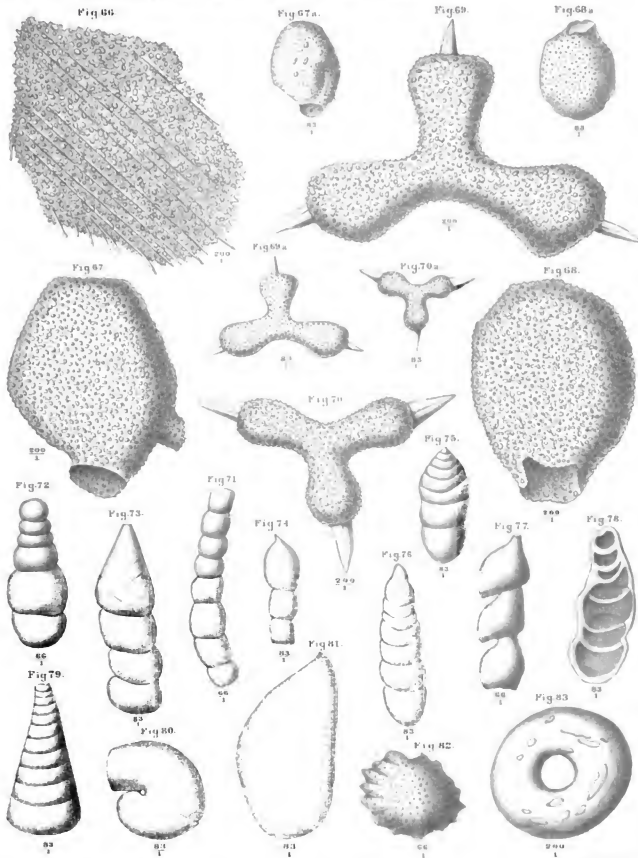


Zeichn. von Prof. Dr. J. Dumikowski in Wien.

Druck von J. Neumann, Neudamm.







An jedem Arme kann man von der Mitte aus angefangen folgende Theile unterscheiden: Die Basis, den Hals, die Kugel und endlich den Stachel.

Die Itasis, oder jener Theil des Armes, der sich nahe am Centrum befindet, hat einen Durchmesser von 0.112^{mm} und vollkommen kreisrunden Querschnitt. Weiter nach Aussen zu nimmt der Durchmesser des Armes ab, so dass er kegelförmig zu werden anfängt und einen Durchmesser von nur 0.075 erreicht. Auf solche Weise entsteht nun der eingeschnürte Hals.

Von da angefangen nimmt der Arm wieder an Dicke zu und erweitert sich endlich zu einer Kugel, deren Durchmesser 0.16^{mm} beträgt. Diese Kugel ist mehr oder weniger regelmässig und trägt einen kurzen, aber starken und conisch zugespitzten Stachel. Die äussere Begrenzungslinie zweier Nachbararme ist nicht gebrochen, sondern ähnelt einem Ellipsensegment. Im Innern ist die Schale, wie man sich bei einzelnen Bruchstücken überzeugen kann, hohl.

Wie wir gesehen haben, bildet die Linie, die die Spitzen der Stacheln verbindet, ein gleichschenkeliges Dreieck; daraus geht nun hervor, dass nicht alle Arme dieselbe Länge haben können. Die beiden Arme, die der Basis des Dreieckes aufsitzen, sind etwas länger als der dritte. Das Verhältniss dieser Längenunterschiede bringt man leicht heraus, wenn man bedenkt, dass die Basis des Dreieckes sich zu der Höhe wie 5:3 verhält.

Maasse: Länge der grossen Arme (ohne Stachel)	0.245 Mm.
" des kürzeren Armes (ohne Stachel)	0.185 " "
" der Stacheln	0.085 " "
Dicke der Stacheln an der Basis	0.04 Mm.

Die übrigen Dimensionen sind früher angegeben worden.

Ich habe diese schöne ungewöhnliche Form zu Ehren des Herrn Dr. Prof. Zittel in München *Triactinosphaera Zitteli* benannt.

Als eine Varietät dieser Art betrachte ich die in Taf. VI, Fig. 70 abgebildete Form. Die schwammartige Beschaffenheit der Schale, die allgemeinen Umrisse, die Gestalt der Arme u. s. w., alles ist hier fast ganz das nämliche, wie bei der vorigen Form. Der einzige Unterschied würde da in den verhältnissmässig bedeutend stärker entwickelten Stacheln bestehen. Doch halte ich dieses Merkmal nicht für so wichtig, dass man es zur Begründung einer besonderen Art benützen könnte.

Maasse: Länge der Hauptarme	0.145 Mm.
" des kürzeren Armes	0.125 " "
Durchmesser der kugelförmigen Verdickung	0.09 " "
Länge der Stacheln	0.08 " "
Ihre Dicke an der Basis	0.046 " "

Selten.

Ähnlich wie bei *Spongocyrtis* ist auch hier die Ermittlung der systematischen Stellung dieser Form schwer anzuführen. Allerdings könnte man auf den ersten Blick die *Triactinosphaera* für *Dutycooryna*, *Stylactis* oder ähnliche Formen, die von Ehrenberg, Stöhr u. s. w. beschrieben wurden, halten, aber bei genauerer Prüfung ergibt es sich, dass diese Ähnlichkeit nur äusserlicher Natur ist.

Wenn wir uns da wieder an das grosse Haeckelsche System halten, so könnten wir zunächst an die Spongodisciden und zwar an den Tribus der *Spongobrachida* denken. Ja wir gelangen hier sogar bis zu der Gattung *Dutycooryna*, bei der es heisst: *ann. patagio spongioso, brachiis tribus*. Aber das Hauptmerkmal der Spongobrachiden lautet: *Spongodiscida brachiata, brachiis spongiosis in plano disci sitis etc.*

Nun haben wir aber bei *Triactinosphaera* keine Spur von einem Discus. Ich habe drei vollständige und gut erhaltene Exemplare, ausserdem einige Bruchstücke untersuchen können, aber ich habe nie etwas von einer centralen Scheibe gesehen. Es ist nicht gut annehmbar, dass diese Scheiben immer ganz regelmässig zerstört werden, so dass der Rest nachher eine scheinbar vollkommenere, unbeschädigte Gestalt annimmt.

Wenn ich mich also dafür entscheide, die *Triactinospheera* bei dem Haeckel'schen Tribus der Spongo-brachiden unterzubringen, so thue ich es, indem ich den Tribusbegriff erweitere und hieher auch die Formen ohne Centralscheibe rechne. Ob diese Centralscheibe hier als noch nicht entwickelt oder aber als schon verkümmert zu betrachten ist, vermag ich natürlich bei dem geringen, mir zur Verfügung stehenden Materiale nicht zu entscheiden. Auf jeden Fall glaube ich jedoch berechtigt zu sein, hier eine neue Gattung aufzustellen.

C. Foraminiferen

und problematische mikroskopische Körper.

Nur noch kurz — nur in der Beschreibung der mikroskopischen Fauna der unterliassischen Schichten vom Schafberg vollständig zu sein — will ich auch die wenigen Foraminiferen, die sich in dem Ätzzustande zwischen den Spongiennadeln und Radiolarien finden, behandeln.

Es sind das einige wenige schlecht erhaltene verkieselte Formen, die grösstentheils der Familie der Lageniden angehören. Da wir hier mit lanter Steinkernen zu thun haben, so ist eine nähere Bestimmung derselben nicht möglich.

Taf. VI, Fig. 71. Ein Bruchstück von einer *Dentalina*. Die Länge desselben beträgt 0.88^{mm}, der Durchmesser einzelner Kammern 0.16^{mm}.

Fig. 72. *Nodosaria* sp. 0.5^{mm} lang, besteht aus sechs Kammern, von denen die vorletzte am stärksten entwickelt ist. (0.22 im Durchmesser.)

Fig. 73. *Nodosaria* sp. 0.7^{mm} lang, die letzte Kammer kegelförmig ansgezogen.

Fig. 74 bis Fig. 76 stellt verschiedene *Nodosarien* dar, deren Charakter schon aus den Abbildungen deutlich ersichtlich wird, so dass ich hier nichts mehr beizufügen habe.

Fig. 77. Ein Bruchstück wahrscheinlich von *Marginulina*, bei der einzelne Kammern 0.28^{mm} lang und birnförmig sind.

Fig. 78. Eine *Marginulina* 0.7^{mm} lang, bei der die Kammern sich ganz durchdringen.

Fig. 79. *Orthocerina* sp. Länge 0.52^{mm}. Die Kammern haben die Gestalt abgestutzter Kegel, die gegen die letzte Kammer hin immer grösser werden. Der Durchmesser der jüngsten Kammer beträgt 0.26, der ältesten 0.06^{mm}.

Fig. 80. Ein Steinkern von *Liotalia* ? sp. 0.3^{mm} im Durchmesser.

Fig. 81. Eiförmiger porzellanartiger 0.67^{mm} langer Körper, an seinem schmälern Pole in einen Fortsatz ausgezogen. Es dürfte vielleicht ein Steinkern von *Lagena* sp. sein.

Fig. 82. Kugelförmiger Körper mit zahlreichen parallelen Einkerbungen auf der Seite. Wand schwammartig, an die Radiolarien mit spongiöser Schale erinnernd. Doch ist diese Form so stark durch Kieselerde verunreinigt, dass man auf eine nähere Untersuchung derselben verzichten muss.

Fig. 83. Scheibenförmige, durchsichtige Körper von 0.23^{mm} im Durchmesser, und mit einer Öffnung in der Mitte, die vielleicht Stielglieder junger Crinoiden sind.



DESCRIZIONE
DEI
PESCI FOSSILI DI LESINA
* ACCOMPAGNATA DA APPUNTI
SU ALCUNE ALTRE ITTIOFAUNE CRETACEE
(PIETRAROIA, VOIRONS, COMEN, GRODISCHTZ, CRESpano, TOLFA, HAKEL, SAHEL-ALMA E VESTFALIA).

MEMORIA DEL

Phor. Dr. FR. BASSANI.

(Con 16 Tavole)

VORGELEGT IN DER SITZUNG DER MATHEMATISCH-NATURWISSENSCHAFTLICHEN CLASSE AM 20. APRIL 1882.

Nel dare alla luce queste osservazioni paleontologiche, fatte nei Musei di Vienna, di Parigi e di Monaco durante il biennio dei miei studi all'estero, sento vivo il bisogno di ringraziare con effusione di cuore:

l'onorevole Commissione esaminatrice e l'eccelso R. Ministero della Pubblica Istruzione, che mi dichiararono due volte vincitore del concorso ad un posto di perfezionamento e mi posero il mezzo di arricchire il corredo delle mie cognizioni;

i signori Bayle, Brezina, de Chaneourtis, Claus, Daubrée, Fischer, Friedel, Fuchs, Gaudry, de Hauer, Hébert, v. Hochstetter, Paul Gervais, Jannetaz, Moisisovics, Munier-Chalmas, Neumayr, Sauvage, Staehle, Steindachner, Stur, Suess, Teller, Tietze, Tschermak, Vaillant, Vélain e Zittel, che dalla cattedra o nei gabinetti di studio o sulle montagne mi appresero con sommo amore la scienza, fornendomi inoltre colla più grande liberalità tutti i materiali necessari alle mie ricerche di paleontologia, di geologia, di osteologia comparata e di mineralogia;

i signori Leo Burgerstein ed Uhlig, che si prestarono con premurosa sollecitudine a facilitarmi il cammino in queste osservazioni paleontologiche;

i signori Canestrini, Omboni e Saccardo, miei Maestri all'Università patavina, che coi loro profondi insegnamenti mi posero in grado di profittare degli studi all'estero;

il signor Meneghini, che in quei due anni guidò sapientemente i miei passi, mi sorresse nel dubbio e mi confortò nei momenti difficili;

ed i signori Capellini, Stoppani, Taramelli e de Zigno, che mi giovarono di assennati consigli e di eccitamenti affettuosi.

Questo lavoro è diviso in due parti.

La prima comprende l'illustrazione dell'ittiofauna di Lesina.

Nella seconda vengono presi successivamente in esame quasi tutti i pesci cretacei di Pietraroia, dei Voirons, di Comen, di Crespano, del M. Tolfa, di Grodischitz, di Hakel, di Sahel-Alma e della Vestfalia, allo scopo di riunire assieme buona parte di quello che fino al dì d'oggi ci è positivamente noto su questi fossili, di rilevare le affinità generiche e specifiche ch'essi presentano, paragonati fra loro e con quelli dell'isola dalmata, di tentare alcuni saggi genealogici e di dedurre colla maggiore esattezza possibile l'età relativa dei vari piani a cui appartengono.

PARTE PRIMA.

Allorquando nel mare ttonico, insieme al *Caturus* ed al *Belonostomus*, vivevano i *Leptolepis*, i *Thrinacos*, i *Thrinacos* e gli *Aethalios*, sorveano in esso i germi d'una vita novella, che dovea sorgere rigogliosa e prender anima e forza nelle acque cretacee. Ed è appunto nei depositi neocomiani ed aptiani che questo sviluppo si rivela: là ove cessa quasi affatto il tipo essenzialmente ganoido, per dar luogo al tipo teleosteo: specie ai fisostomi addominali e a quella numerosa famiglia che il celebre ittologo svizzero distinse prima col nome di *Holecidae* e che poscia fu separata in *Claupeidae* e *Salmonidae*.

A Pietraroia nei dintorni di Napoli, nella Siberia orientale ed in Russia, a Neuchâtel e nella montagna svizzera de' Voirons, a Grodischitz, a Comen, a Lesina e ad Hakel: ecco i luoghi principali onde ci è dato riconoscere questo progressivo sviluppo, e che formano (vorrei dire) un anello di passaggio fra 'gli strati di Kimmeridge e di Purbeck e quegli altri del cretaceo superiore, principalmente rappresentato a Sahel-Alma, in Francia, in Inghilterra, in Boemia, nella Vestfalia e in America, e le cui faune ittologiche ebbero a illustratori Agassiz, Pietet, Humbert, Dixon, Sauvage, Fritsch, von der Mark, Renss, Leidy e Cope.

Egli è appunto ad alcuni fra gl'ittioliti di codesti terreni ch'io vo' rivolgere brevemente l'attenzione: terreni che, sotto il punto di vista ittologico, hanno in sè stessi qualche cosa di speciale, dachè porgono testimonianza di una vita di transizione; la quale, pur conservando palesi vestigia di un'epoca andata, porta nettamente l'impronta caratteristica dell'età ventura e stende la mano ai suoi successori del cretaceo superiore, che a primo tratto si manifestano più giovani e mostrano dal loro canto i sintomi precursori dell'era cenozoica.

Ma tolgo gl'indugi.

E prendo le mosse dall'ittiofauna di Lesina, quantunque cronologicamente non orenpi la base dei terreni cretacei, ma debba esser posta accanto a quella di Comen e di Hakel. La metto prima, come nuova alla scienza e frutto de' miei studi recenti; per essa inoltre ci verrà fatto più agevole il successivo esame comparativo delle altre faune ittologiche ond'è trattato in questa Memoria.

Ittiofauna di Lesina.

Nel mare cretaceo dell'isola di Lesina vivevano soltanto teleostei e ganoidi.

Subel. **GAÑOIDEI.**

Ord. **HOLOSTEI.**

Fam. **LEPIDOSTEIDAE.**

Grupp. **APHANEPYGINA.**

Gen. **APHANEPYGUS** BASS. (1879.)

BASSANI, „Vorläufige Mittheilungen über die Fischfauna der Insel Lesina“ (Verhandlungen der k. k. geologischen Reichsanstalt, Nr. 8). Wien 1879.

Il sott'ordine dei Lepidostei, che, sotto all'epoca carbonifera, sovraneggia nel lias e nel giura e popola ancora al dì d'oggi le remote acque d'America, è rappresentato anche nell'isola dalmata. È un solo individuo,

Non v'ha alcuna traccia di anale, o meno che non si voglia considerar tale un debole ciuffo di quattro o cinque raggi, che scorgonsi a pochi millimetri dall'inserzione delle ventrali. A vero dire, parrebbe che questo ciuffetto avesse un'inserzione speciale, indipendente da quella di queste pinne; tuttavia non riesco a convincermi ch'essi possano rappresentare l'anale, giacchè offrono i caratteri di pinne pari. È d'uopo concludere che questo ganoide, così ben conservato, difetta di anale (da cui il suo nome generico), e che quella frangia di raggi, la quale, benchè quasi isolata, pur coincide — può dirsi — col capo libero delle ventrali, appartiene in realtà a queste pinne ed è semplicemente rimossa dal suo vero posto.

La codale, come ho detto dianzi, è ridotta al lobo inferiore e si compone di circa undici raggi, semplici e sottilissimi, dei quali rimane una pallida impronta. Caniniani diritti e sono lunghi circa il doppio dei vicini dorsali.

Le squame presentano una forma irregolarmente romboidale, col diametro maggiore nel senso della lunghezza del pesce. Lungo il dorso sono più alte e più corte, mentre quelle delle regioni addominale ed anale mostransi più basse e più lunghe. Gli orli superiore e inferiore veggonsi leggermente arenati; l'anteriore è alquanto inervato; il posteriore convesso (V. Fig. 9). Sono disposte in più di sessanta file, oblique dall'avanti all'indietro. Nel punto della maggiore altezza del corpo si contano circa trenta serie trasversali.

Spiegazione delle figure: Tav. I, Fig. 1. *Aphanepegus elegans* Bass.

- „ „ „ 2. 3. Quinto e ventunesimo raggio della pinna dorsale, sorretti dai corrispondenti interradiali (ingr.).
 „ „ „ 4-8. 23°, 37°, 40°, 44° e 46° interspazio della pinna dorsale (ingr.).
 „ „ „ 9. Squame della regione addominale (ingr.).

Gruppo. ASPIDORHYNCHINA.

Gen. BELONOSTOMUS Agass.

Agassiz, „Recherches sur les poissons fossiles“, Vol. II, part. II, p. 140. Neuchâtel 1833—1843.

Con *Aphanepegus* vivèva il gen. *Belonostomus* Agass., che Cope colloca fra gli *Isospondyli*, nella famiglia da lui chiamata *Sauropoidae* (*Sauroides* Agass. part.), insieme agli *Aspidorhynchus*, ai *Pachycormus*, ai *Sauropsis* ed ai *Macroemius*.¹

I rappresentanti di questo genere, associati in addietro ai *Belon*, presentansi bassi e molto allungati. Le due mascelle mostransi protratte in un lungo becco; la superiore uguaglia in lunghezza o sorpassa appena quest'ultima. Su entrambe scorgonsi denti acuti e irregolari. L'orbita è grande. Le squame sono in generale assai più alte che lunghe; quelle delle serie dorso-ventrali si addentellano fra loro per mezzo di robusti cornetti. Tutte le pinne vanno fornite di raggi assai deboli. Le pettorali sono sempre ben sviluppate; le ventrali sono addominali; la dorsale, remota, è opposta all'anale; la codale, equiloba, è molto divaricata. Lo scheletro s'appalesa robusto; le vertebre sono più lunghe che alte.

Questo genere, che sorge nel lias e raggiunge il suo massimo sviluppo nella formazione giurassica, è rappresentato da parecchie specie anche nel terreno cretaceo, ove si spegne.

Belonostomus testuensis Buss.

(Tav. I, Fig. 10.)

Bel. crassirostris Bass., non Costa. — Bassani l. c. p. 161

Lunghezza totale del pesce	305 ^{mm}	Distanza fra le pinne pettorali e l'orbita	32 ^{mm}
Altezza massima del corpo	20	„ „ la pinna dors. e l'origine della codale	44
Lunghezza della testa, compreso il rostro	89	Lunghezza dei raggi pett.	9
„ del becco superiore	55	Raggi delle pinne pettorali	c. 4
„ dell'inferiore	52	„ dell'anale	c. 9

¹ Cope, „On the classification of the extinct fishes of the lower types“, Salem 1878.

Questa specie è rappresentata da un solo esemplare. Benché intero, assai poco m'è dato di dirne, giacché non restau di esso che pallide impronte. La sua complessiva lunghezza supera i trenta centimetri, e la massima altezza, misurata verso il mezzo del pesce, è di due. Il corpo si mantiene quasi egualmente alto fin verso il pedicelo caudale, ove si attenna sensibilmente.

La testa, più bassa del tronco e alquanto schiacciata, misura col rostro una lunghezza di ottantanove millimetri. Le mascelle, longitudinalmente solcate e molto robuste all'origine, si assottigliano alquanto verso la punta: la superiore, lunga cinquantacinque millimetri, sorpassa l'altra di tre. In entrambi scorgonsi denti conici e distinti fra loro; quelli della inferiore presentano una base più larga che nou nelle altre specie del genere. L'orbita, grande, è limitata da sott'orbitali stretti e allungati. L'apparato opercolare è molto lungo; il margine posteriore dell'opercolo ed il sott'opercolo veggonsi arrotondati.

Dello scheletro quasi nulla rilevasi, ché tutto — può dirsi — è ricoperto dalle squame: solo verso la fine del tronco scorgonsi alcune vertebre, più lunghe che alte.

A trentatré millimetri dall'orbita stanno inserite le pinne pettorali, mediocemente sviluppate. Vi conto quattro raggi, lunghi nove millimetri.

Ninna traccia sicura delle ventrali.

Al quarto posteriore del corpo e precisamente a quarantaquattro millimetri dalla coda, resta l'impronta della pinna dorsale, rappresentata da alcuni raggi, deboli e bassi.

Quasi opposta ad essa, l'anale offre pallide vestigia di sé: sono circa nove raggi, mano mano decrescenti in lunghezza.

La codale, di mediocre grandezza e fornita di deboli raggi, è profondamente incavata.

Anche le squame sono mal conservate e confuse; nullameno si vede che le due serie in sui fianchi, notevolmente sviluppate, presentano una forma pressoché rettangolare e sono circa il doppio più alte che lunghe. Sopra e sotto, alle regioni dorsale e addominale, scorgonsi altre file, assai strette.

Paragoniamo adesso brevemente questa specie colle altre descritte fin qui.

Il rapporto fra la lunghezza del rostro e quella del corpo, la differenza di sviluppo fra la mascella superiore e l'inferiore, e la forma dei denti onde queste vanno fornite ci lasciano escludere subito *Bel. sphyraenoides* Agass., *subulatus* id., *ventralis* id., *minsteri* id., *tenuirostris* id., *korbi* Müst.,¹ *microcephalus* Winkl. e *pygmaeus* id.²

Le dimensioni delle squame e la dentizione stessa distinguono il nostro ittiolito dai *Bel. cinetus* Agass. ed *attenuatus* id.³ del cretaceo di Lewes; nè i due *Belonostomus acutus* e *gracilis*, rappresentati da soli frammenti, permettono un serio confronto.

Resta *Bel. crassirostris* Costa,⁴ col quale l'individuo di Lesina offre in realtà moltissima analogia. Ed invero, nelle mie già citate *Vorläufige Mittheilungen*, io l'associauo alla specie del neocomiano di Pietraroia, trovando nell'età probabilmente diversa dei due pesci la causa della differente lunghezza del rostro. Se non che un esame più attento mi dissuase da quella opinione. Oltre allo sviluppo relativo del becco, che nell'esemplare napoletano misura soltanto il sesto della lunghezza del corpo, altri caratteri voglion distinti i due ittioliti in discorso: valgono il rapporto fra la lunghezza e l'altezza del tronco, la straordinaria differenza nello sviluppo delle pinne pettorali, e la forma delle squame, delle vertebre e della pinna codale.

Concludendo, il *Belonostomus* di Lesina deve considerarsi specie nuova, la quale peraltro ha intimi rapporti col *crassirostris* di Pietraroia.

Spiegazione delle Figure Tav. I, Fig. 10. *Belonostomus lesinaensis* Bass.

¹ Agassiz l. c. Vol. II.

² T. C. Winkler, «Mémoire sur le *Belonostomus pygmaeus* et deux espèces de *Caturus*» (dagli Archives du Musée Teyler», Vol. III, fasc. 29.) Harlem 1871.

³ F. Dixon, «The geology and fossils of the tertiary and cretaceous formations of Sussex», London 1850.

⁴ Agassiz l. c. Vol. II.

Grupp. MEGALURINA.

Gen. OPSIGONUS Kramb.

D. Kramberger Ms.

A completare la famiglia dei Lepidosteï di Lesina, va aggiunto il gen. *Opsigonus*, che mi venne gentilmente comunicato per lettera dal mio egregio amico e collega dott. Dragutin Kramberger, attuale geologo al Museo di Storia naturale di Agram.

Il gen. *Opsigonus*, molto vicino al gen. *Megalurus* Agass. e specialmente a *Meg. lepidotus* Id.,¹ se ne distingue anzitutto per la struttura delle squame. Mentre nei rappresentanti di quest'ultimo genere esse sono arrotondate e provviste di giri concentrici, in *Opsigonus* invece veggonsi più o meno romboidali, vanno fornite di brevi raggi increspati, hanno la superficie ricoperta da uno strato di smalto longitudinalmente striato e non si sovrappongono a mo' di tegole, ma sono unite fra loro per mezzo di suture. Questa struttura si osserva meglio nelle squame che stan fra la nuca e la pinna dorsale: le susseguenti mostransi sempre più sottili.

Il profilo frontale è molto arenato. Lo squarcio della bocca, assai basso, cammina orizzontale. L'arto toracico descrive un arco mediocemente largo e lungo. Le ossa frontali, le parietali, la clavicola ed una piccola parte dell'opercolo sono rugose.

Opsigonus megaluriformis Kramb.

D. Kramberger Ms.

L'unica specie che rappresenta il genere in discorso è *Ops. megaluriformis* Kramb., distinta dai seguenti caratteri:

Il corpo è lungo trentasei centimetri ed alto nove. La testa sia quattro volte nella lunghezza complessiva del pesce. Contansi 60 vertebre, di cui 26 addominali.

D. e. 5/25. — A. e. 2/11. — P. e. 18—20.

Tutti i raggi delle pinne appaiono più volte divisi e brevemente articolati. Solo al margine inferiore della codale i fulcri sono chiaramente visibili.

Fam. PYCNODONTIDAE.

Per compiere lo studio dei ganoidi di Lesina, ci resta a parlare sui pycnodonti.

Malgrado gli accurati lavori di Agassiz² e di Wagner³ sugli ittioliti di questa interessantissima famiglia, regnava sempre un certo grado di confusione, causa la molteplicità delle forme presentate dai denti di questi fossili, che nel maggior numero dei casi si rinvenivano sparsi e isolati. A mettere un po' d'ordine vennero le classiche pubblicazioni di Vittorio Thiollière⁴ e di Jacopo Heckel, il quale, or sulla scorta degli scheletri interi ed or su quella delle sole placche dentarie, fissò i caratteri propri ai vari generi della famiglia in discorso e riuscì inoltre a stabilire certe differenze nella loro costituzione organica in rapporto ai terreni geologici cui essi appartengono: differenze principalmente basate sul progressivo sviluppo delle emapofisi e delle nevrapofisi vertebrali e favorevoli alla teoria evolutiva.

¹ Agassiz l. c. Vol. II, part. II, p. 146, tav. 51 a.² Agassiz l. c.³ A. Wagner, „Beiträge zur Kenntniss der in den lithographischen Schieferen abgelagerten urweltlichen Fische“ (Abh. d. H. Cl. d. kais. Akad. d. Wissensch. VI. Bd., I. Abth. München. — Id.: „Monographie der fossilen Fische aus den lithogr. Schieferen Bayerns“ dalle „Abh. d. kais. Akad. d. Wissensch.“ II. Cl. IX. Bd.: München 1861 e 1863.⁴ Thiollière, „Description d. poissons foss. prov. des gisements coralliens du Jura dans le Buges“, Paris 1851. — Id. (fau): „Deser. d. poissons foss. des gis. cor. du Jura dans le Buges“, II. partie, revue et annotée par Mr. Paul Gervais „Annales de la Soc. d'agr. hist. nat. et arts utiles de Lyon“, 4. série, V. tome, Paris et Lyon 1871.

Fu nel 1854 che Jacopo Heckel pubblicò il primo lavoro riguardante l'argomento in questione.¹ In esso, dopo aver parlato sullo scheletro dei ptenodonti e su due nuovi generi appartenenti a questa famiglia, ne stabiliva le suddivisioni, porgevano in quadro sinottico le diagnosi dei generi ed aggruppandovi attorno le numerose specie sin allora conosciute e spesso volte erroneamente determinate dai vari autori.

Due anni più tardi, nei Denkschriften der kaiserlichen Akademie der Wissenschaften² lo stesso Naturalista riproduceva con modificazioni ed aggiunte il quadro suddetto, arrecando per tal modo grande vantaggio alla scienza ed appianando molte delle difficoltà che s'incontravano nella classificazione dei rappresentanti di questa famiglia.

Gen. COELODUS Heck.

J. J. Heckel, „Beiträge zur Kenntnis der fossilen Fische Österreichs“ (Denkschr. d. k. Akad. d. Wiss. Vol. XI, p. 202). Wien 1856.

Dei sette generi che costituiscono i *Ptenodontidae*,³ Lesina albergava il solo *Coelodus*, caratterizzato così:

Denti molari disposti su tre linee per ogni lato della mascella inferiore. Quei della linea esterna arrotondati e con una profonda depressione alla faccia triturante; quei della linea mediana più grandi, trasversalmente ellittici, un po' rialzati ad ambo i capi e colla faccia triturante percorsa da un soleo; gl'interni ancor più grandi, pur ellittici nel senso trasverso, ma bassi, lisei e fatti a volta. Denti palatini in cinque serie: i mediani, maggiori e trasversalmente ellittici; arrotondati e più piccoli i laterali. Pinne ventrali inserite avanti la dorsale. Codale una o due volte profondamente incisa. Ossicini dorsali⁴ raccorciati dinanzi alla pinna omomina. Coste sternali lunghe e fesse.

Tre specie, splendidamente illustrate dall'Heckel, rappresentavano questo genere nel mare cretaceo dell'isola dalmata. Ad esse io accennerò solo brevemente.

Coelodus sullus Heck.

J. J. Heckel, „Beitr. z. Kenntn. d. foss. Fische Österr.“, p. 31, tav. VI e VII. Wien 1856.

Due esemplari rappresentano il *Coelodus sullus* di Lesina: l'uno, più grande, sprovvisto del tratto anteriore della testa e del posteriore del corpo; l'altro, minore, sfornito di pinne. La specie non è dunque ben definita.

La lunghezza del tronco, eh'è di forma ovale colle estremità acute, misura circa il doppio dell'altezza. La distanza fra la colonna vertebrale e il profilo del dorso corrisponde alla lunghezza di dieci mezze vertebre; quella fra la suddetta colonna e l'orlo ventrale, alla lunghezza di dodici.

La bocca, protratta in avanti, porta due premaxillari assai lunghi. I denti mostransi robusti: quei della serie interna, trasversalmente ellittici e più sviluppati, raggiungono la lunghezza di un arco vertebrale.⁵ Le ossa frontali appaiono finamente porose, e sulle opercolari si vedono alcune strie raggiate.

Contansi undici paia di mezze vertebre addominali e nove di coste. V'ha pure undici paia di ossicini dorsali ed altrettante coste sternali, fortemente dentellate alla base e colla branca ascendente percorsa da quattro solchi longitudinali.

¹ J. Heckel, „Über den Bau und die Einteilung der Ptenodonten, nebst kurzer Beschreibung einiger neuen Arten, derselben“ (aus dem Märzhfte des Jahrg. 1854 der „Sitzungsb. d. mathem.-naturw. Cl. d. kais. Akad. d. Wissensch.“) Bd. XII p. 433). Wien 1854.

² Id.: „Beiträge zur Kenntnis der fossilen Fische Österreichs“ (dall'XI^o vol. dei „Denkschriften der kais. Akad. der Wiss.“ Mathem.-naturw. Cl.). Wien 1856.

³ *Palaobalistum* Blainv., *Gyrodus* Agass., *Ptenodus* id., *Microdon* id., *Merodon* Wagner, *Stenacodus* Heck., *Coelodus* id.

⁴ Chiamo così quelle ossa che l'Agassiz paragona agli ossicini a l' delle Clupee e che l'Heckel denominò First-rippen.

⁵ Le parole „mezza vertebra“ ed „arco vertebrale“ sono sinonimi.

Coelodus mesorachis Heck.

J. J. Heckel, „Beitr. etc.“, p. 34, tav. VIII, fig. 1.

Coelodus mesorachis è la seconda specie di Lesina descritta dall'Heckel.

Anche questa è mal definita. L'unico esemplare su cui la fondò l'illustre ittologo austriaco manca della testa, del principio della regione addominale e della coda, nè permette di dire con sicurezza se i raggi anteriori della pinna dorsale sieno conservati nella loro integrità. A me sembra che presenti molta analogia con *Coel. suillus*, quantunque l'Heckel asserisca che i caratteri offerti da questo individuo sono sufficienti a determinarlo senza dubbio d'errare.

La colonna vertebrale cammina lungo la linea mediana del corpo, in modo che i tratti compresi tra i due profili del dorso e del ventre e la colonna vertebrale sono egualmente alti e corrispondono alla lunghezza di undici mezzette vertebre.

La pinna dorsale doveva essere composta di circa sessant'otto raggi ed occupare lo spazio compreso fra vent'una nevrapofisi.

L'anale ne conta quarant'otto e giunge fino alla quattordicesima emapofisi.

Coelodus oblongus Heck.

J. J. Heckel, „Beitr. etc.“, p. 36, tav. IX, fig. 1-3.

L'ultimo pienodonte di Lesina, il quale compie la serie dei Ganoidei, è *Coelodus oblongus*.

Ne resta un'impronta smunta e incompleta. Tranne la parte superiore della testa, il tratto più elevato del tronco e l'anale, scorgonsi qua e là pallide tracce; così che nemmeno questa specie, vicina alle altre due, può dirsi ben determinata. Tuttavia — scrive l'Heckel — benchè codesti avanzi sieno scarsi e mutilati, torna facile convincersi che questo esemplare rappresenta una nuova specie.

Il tronco è notevolmente ristretto al di sopra della colonna vertebrale, poichè lo spazio fra questa e il profilo del dorso misura soltanto la lunghezza di sette mezzette vertebre. Queste hanno un margine liscio, provvisto di apofisi articolari semplici. Dieci paia di ossicini dorsali precedono la pinna omomima.

Subcl. TELEOSTEI.

Ord. PHYSOSTOMI.

Siamo alla sottoclasse dei Teleostei.

Toltone un acantottero, i soli fisostomi la rappresentavano a Lesina colle famiglie *Scopelidae* e *Chupeidae*.

Di questa vi vivemmo quattro gruppi: i trissopini, gli elopini, i canini ed i elupeini; di quella un unico genere: l'*Holcodon* Kramberger.

Fam. SCOPELIDAE.

Gruppo. HOLCODONTINA.

Gen. HOLCODON Kramb.

D. Kramberger, „Studien über die Gattung *Saurocephalus* Harlan“ (Jahrb. d. k. k. geol. Reichsanstalt. XXXI. Bd., 3. Heft). Wien 1881.

La famiglia *Scopelidae* (la quale per diritto genealogico deve seguire immediatamente i Ganoidei e incominciare la serie dei Teleostei) è rappresentata nella creta di Lesina da un unico genere, fondato recentemente dal Kramberger per alcuni pesci intermediari fra *Saurocephalus* ed *Enchodus*.

I caratteri del gen. *Holcodon* sono i seguenti:

La forma del corpo è slanciata. La massima altezza di questo è compresa da cinque a sei volte nella complessiva lunghezza.

La testa misura un po' meno del quarto della lunghezza totale. Lo squarcio della bocca appare ampio ed obliquo. L'orlo inferiore posteriore dell'osso mascellare è dentellato. La mascella inferiore, arenata all'in

basso, è longitudinalmente percorsa da linee punteggiate. I denti, cavi, sottili e un po' ricurvi verso l'indietro, vanno provvisti di un profondo solco longitudinale e veggonsi disposti in tre o quattro file. Quei della serie interna sono i più grandi. Le ossa frontali e l'opercolo, ch'è triangolare, presentano alla superficie sottili strie, granulose e raggiate.

Le pinne pettorali risultano composte di otto raggi; dieci ne han le ventrali e l'anale; tredici la dorsale. Ciascun lobo della coda è costituito da circa quindici.

V'ha sedici a diciotto branchiosteghi.

Il corpo è coperto di squame, che si presentano sotto la forma di ispessimenti più o meno seghettati. Sopra e sotto la sesta vertebra caudale scorgonsi aleni senci ossei, coperti da granulazioni.

Tre specie rappresentavano il gen. *Holcodon* nelle acque cretacee di Lesina.

Holcodon lycodon (Kner) Kramb.

Sauropsphalus (?) lycodon Kner. — Kner, „Beitr. zur Kenntn. der foss. Fische von Comen bei Görz“ (Sitzangeb. d. mathem. naturw. Cl. der kais. Akad. d. Wissensch. Vol. LVt, p. 176—180, Tav. III). Wien 1867.

Holcodon neocomiensis Kramb. — Kramberger l. c. p. 377.

Il Kramberger, riconoscendo che gli avanzi di Comen e di Lesina dubitativamente riferiti dal Kner al gen. *Sauropsphalus* (*Saur. ? lycodon* Kner) appartengono invece al suo nuovo genere *Holcodon*, li chiamò *Hole. neocomiensis* Kramb. Parmi peraltro che, per diritto di priorità, essi debbano venire iscritti col nome di *Hole. lycodon* (Kner) Kramb.

Questa specie si distingue dalle due susseguenti per la presenza di placche caudali e per la mascella inferiore e l'opercolo, che son granulati.

Holcodon lobopterygius Kramb.

l. c. Kramberger l. c.

L'altezza del corpo è compresa sei volte nella complessiva lunghezza, che è di vent'ann centimetro. La testa è lunga mezzo decimetro. Le squame sono assai deboli. Gli senci ossei non lasciano vedere granulazioni distinte.

Holcodon lesinensis Kramb.

D. Kramberger l. c.

La testa è compresa un po' più di quattro volte nella lunghezza totale, che misura vent'otto centimetri. Le squame mostransi robuste. Gli senci sono coperti di granulazioni.

Fam. CLUPEIDAE.

Grupp. THRISOPINA.

Gen. LEPTOLEPIS Agass.

Agassiz l. c. Vol. II, part. II, p. 129.

Cominciamo lo studio della famiglia *Clupeidae* dai trissopini, costituiti dai generi *Leptolepis* e *Thrisops*, che formano la fam. *Psilopterygi* di Wagner.

Il gen. *Leptolepis*, i cui rappresentanti erano stati anteriormente riferiti ai generi *Clupea* e *Cyprinus* dal de Blainville e da Bronn, venne fondato dall'Agassiz e ascritto alla sottoclasse dei Ganoidi ed alla famiglia dei Saurioidei.

Se non che, più tardi, in seguito alle osservazioni di Müller, di Giebel, di Heckel, di Wagner, di Thiollière, di Sauvage e di altri, questo interessantissimo genere fu — coi *Tharsis*, cogli *Aethalion* e coi *Thrisops* — annoverato nell'estesa sottoclasse dei Teleostei. Ed è invero codesto il più saggio partito, quantunque basato soltanto su caratteri empirici, dacechè nello stato attuale della scienza torni in paleontologia ben difficile, anzi impossibile, distinguere e definire nettamente e scientificamente i pesci ganoidi. Agassiz, in fatti, il padre glorioso della palitologia, chiama ganoidi i pesci a squame angolose, romboidali o poligone, formate di lamine ossee o cornee, ricoperte di smalto; eppure ci è noto che in certi ganoidi l'integumento

risulta di placche ossee, in altri di squame smaltate, in altri di squame cicloidali, in altri infine mostrasi uudo. Agassiz chiama ganoidi i pesci nei quali l'endoscheletro ha una struttura affatto speciale e pressochè uniforme; eppure l'anatomia comparata ci apprenda che in certi ganoidi l'endoscheletro (che non è mai in relazione — sia diretta o indiretta — coll'esoscheletro) è rappresentato da una notocorda persistente nella cui guaina veggonsi i rudimenti di archi vertebrali, in altri le vertebre sono incompletamente ossificate, in altri infine le vertebre, pur ossificate, presentansi a centro opistocelico. — I caratteri tratti dalle squame e dallo scheletro non hanno dunque un valore assoluto per la distinzione dei ganoidi dai teleostei. Restano i caratteri anatomici, riscontrati dal Müller, ai quali bisogna annessere invero una reale importanza, benchè taluno di essi sia comune anche ai condrotteri e tal altro possa mancare. Ma naturalmente anche questi sono affatto inutili alla paleontologia, cui rimane soltanto quella certa aria di famiglia, quel certo facies speciale, che raramente inganna e che all'occhio sperimentato fa distinguere un ganoido.

Ed è appunto codesto facies caratteristico che ravvisa nei *Leptolepis* il tipo teleosteo, e che conseguentemente riconosce in essi la fonte precipua degli Alecoidi.

Il genere *Leptolepis* non ha tratti salienti. Regolari, fusiformi, generalmente piccoli e forniti di pinne piuttosto deboli; provvisti di denti conici alle mascelle; coperti di squame arrotondate al margine posteriore, leggermente smaltate, sottilissime e caduche; colla dorsale opposta alle ventrali e coll'anale di solito un po' più vicina a queste ultime pinne che alla codale; colla coda ristretta, equiloba, profondamente incavata, senza fulcri al raggio esterno e cogli altri raggi sottili, dicotomi e articolati; colla testa di mediocre grandezza e colle ossa di questa generalmente lisce; colla colonna vertebrale composta di vertebre corte e grosse; colle coste e colle apofisi eccessivamente gracili: ecco i caratteri che, senza spiccare, danno nel loro complesso un'impronta speciale agli individui rappresentati il gen. *Leptolepis*, cui l'Agassiz succintamente e giustamente chiamava: „di forma gracile e di aspetto inoffensivo“.

Ne consegue ch'esso presenta alcuni tratti comuni con l'*Upeca* e con l'*Pholidophorus*, i quali fino a un certo punto si associano a lui. Se non che il difetto di coste sternali e la presenza di denti differenziano il genere in discorso da l'*Upeca*;¹ mentre la forma di questi ultimi organi, la gracilità delle squame e la mancanza di striae alle ossa del teschio lo vogliono distinto da l'*Pholidophorus*.

Questo genere, sorto nel lias inferiore, raggiunge il suo massimo sviluppo negli strati titonici e viene a spegnersi nel neocomiano.

Due specie ne vivevano a Lesina: *Lept. neocomiensis* Bass. e *Lept. neumayri* id.

Leptolepis neocomiensis Bass.

(Tav. II. Fig. 1-5.)

Leptolepis neocomiensis Bass. — Bassani t. c. p. 163.

Megastoma apenninum Costa. — O. G. Costa, „la paleontologia del Regno di Napoli“. Napoli 1851-56.

(?) *Sarginites pygmaeus* id. — „Id., Id.“

Lunghezza dell'esemplare più piccolo	32"	Vertebre	37"
Altezza massima del corpo	6	Coste, paio	10
Lunghezza della testa	7	Raggi pettorali	14
Distanza fra le pinne pettorali e le ventrali	7	„ ventrali	10
„ „ la p. dors. e l'estremità del premaxillare	11	„ dorsali	10
Lunghezza dei raggi della pinna codale	5	„ della pinna codale, per ciascun lobo	10

Leptolepis neocomiensis, che viveva anche a Comen, è rappresentato nell'isola dalmata da cinque esemplari, il maggiore dei quali, che manca del tratto posteriore del corpo, raggiunge quindici millimetri nella sua massima altezza, misurata alla fine della testa, ed il più piccolo, ch'è l'esemplare figurato e che è lungo trenta-due millimetri, arriva quasi a sei.

¹ Vedi p. 224.

La testa, molto grossa, è compresa un po' più di quattro volte nella lunghezza complessiva del pesce. Il prenasellare, restringendosi sempre più, discende arcuato e colla sua punta tocca quasi il margine superiore della mandibola. Il mascellare, assai lungo, comincia allargato, si fa poscia sottile e giunge vicino alla base dell'osso dentario. Su questo e sul prenasellare scorgonsi minutissimi denti conici. Il turbinate, che tocca coll'orlo anteriore la parte ingrossata del mascellare, ed il prefrontale stanno sulla medesima linea e emminano leggermente concavi; tantochè, e per sè stessi e per la sporgenza del tratto superiore del prenasellare, il muso presenta in quel punto un'incavatura. (V. Fig. 2.) Il profilo frontale posteriore è rilevato e uniformemente arcuato. Lo squarcio della bocca non arriva a livello dell'orbita. Questa è molto ampia, collocata in avanti e traversata dal presfenoidale. Lo spazio occupato dall'opercolo e dal sott'opercolo, che descrivono posteriormente un arco, è assai rilevante; in fatti, misurato alla sua maggiore estensione, occupa quasi il terzo della lunghezza della testa. Anche il preopercolo, eh'è allungato ed arcuato in avanti, ha uno sviluppo relativamente notevole. Nel suo tratto inferiore, là dove piegasi, è percorso da leggere strie trasversali (V. Fig. 3).

Il tronco è basso e allungato. La colonna vertebrale risulta di trentasette vertebre, tre delle quali sono coperte dall'apparato opercolare. Le addominali mostransi più alte che lunghe; le caudali più lunghe che alte. Le nevrapofisi anteriori presentansi assai sottili e piegano sensibilmente all'indietro; le medie e le corrispondenti enapofisi si fan più robuste e sono meno inclinate; le ultime, colle sottostanti apofisi cuali, ripigliano un corso simile a quello delle nevrapofisi anteriori. Contansi dieci sole paia di coste, graelli e leggermente solcate, come si osserva di solito nel *Leptolepis*.

Le pinne pettorali, sostenute da una clavicola relativamente robusta, superano in lunghezza tutte le altre. Vi conto almeno quattordici raggi, i quali, eccettuato il primo, sono profondamente divisi e vanno man mano accorciandosi.

Sette millimetri segnano la distanza fra le pettorali e le ventrali, che s'inseriscono costantemente a livello dell'ultimo raggio della pinna dorsale e risultano di dieci raggi brevi e sottili, il primo dei quali è semplice. Gli altri son tozzi e aderiscono a due placchettine posteriormente arrotondate (V. Fig. 5).

Nell'individuo figurato la pinna dorsale comincia ad undici millimetri dall'estremità del prenasellare; in un secondo, lungo quattro centimetri e mezzo, nasce a quindici; in un altro, che misura la complessiva lunghezza di cinquantacinque millimetri, è inserita a venti. Possiam dunque stabilire rh'essa ha principio press'a poco al terzo anteriore del corpo. È composta di dieci raggi molli, sostenuti da ossicini interapofisari cortissimi e molto deboli. Gli anteriori, che sono i più sviluppati, misurano la lunghezza di cinque vertebre caudali.

Restano pallide vestigia dell'anale, vicinissima alla caudale.

Ciascun lobo di questa pinna, che misura il sesto della lunghezza complessiva del pesce, è costituito da circa dieci raggi, sottili e ramificati.

Non vi ha traccia di squame.

Gli esemplari di Lesina presentano, com'è naturale, la maggiore analogia colle specie titoniche e precisamente con *Lept. macrolepidotus* Ag. e *polypondylus* id. di Solenhofen. Nel *macrolepidotus* peraltro la testa è compresa solo tre volte e mezza nella lunghezza totale, tutte le pinne — ad eccezione della caudale — son molto deboli, le ventrali s'inseriscono a livello del primo raggio dorsale e gli ossicini interapofisari son assai lunghi. Nel *polypondylus* contansi quaranta vertebre, e la pinna anale è straordinariamente vicina alle ventrali, che qui pure si veggono opposte alla dorsale.

A *Leptolepis neocomiensis* riferisco *Megastoma apenninum* Costa e dubitativamente anche *Sarginotus pygmaeus* id.: generi e specie fondati da questo Autore per alcuni individui del neocomiano di Pietraroia. Di essi parlerò nella Parte seconda, accennando a questa ittiofauna; per ora mi basta notare che corrispondono alla specie di Lesina.

Spiegazione delle figure: Tav. II. Fig. 1. *Leptolepis neocomiensis* Bass.

- | | |
|-------|---------------------------------|
| „ „ „ | 2. Apparato boccale (ingr.). |
| „ „ „ | 3. Apparato opercolare (ingr.). |
| „ „ „ | 4. Vertebra addominale (ingr.). |
| „ „ „ | 5. Cinto pelvico (ingr.). |

Leptolepis neumagri Bass.

(Tav. II, Fig. 6—10.)

Leptolepis neumagri Bass. — Bassani l. c. p. 163.

Longhezza dell'esemplare maggiore	51 ^{mm}	Raggi della ventrale	6
Sua massima altezza	12	„ „ dorsale	13—14
Longhezza dell'esemplare medio	43	„ „ dell'anale	c. 12
Sua massima altezza	10	„ „ della caudale, per ogni lobo	15
Longhezza dell'esemplare più piccolo	38	Vertebre	32
Sua massima altezza	9	Branchiosteghi	9
Raggi della pinna pettorale	c. 19		

Ho distinto questo *Leptolepis* col nome di *neumagri* in omaggio all'electo Scienziato bavarese, attuale professore di paleontologia nell'I. R. Università di Vienna, che mi fu premuroso e dotto maestro durante i miei studi nella capitale dell'Austria.

Questa specie ci è rappresentata da quattro esemplari. Dei tre figurati, l'uno (Fig. 6) è lungo trent'otto millimetri e ne misura nove nella massima altezza; il secondo (Fig. 9) ha una lunghezza di quarantatré ed è alto dieci; l'ultimo (Fig. 10) è lungo cinquant'uno ed alto dodici. Possiamo dunque stabilire che la maggiore altezza sta costantemente quattro volte ed un terzo nella lunghezza totale.

I nostri individui son tozzi: la regione del ventre offre uno sviluppo notevole a paragone delle altre specie del genere, e il pedicello caudale — seguito da una pinna breve, espansa e ricca di raggi — eguaglia in altezza la metà della testa.

Questa, che misura un po' più del quarto della lunghezza totale, offre un'altezza corrispondente a quella del corpo a livello della prima vertebra codale e compresa circa cinque volte nella lunghezza complessiva del pesce. Il prenasellare ha la branca ascendente notevolmente sviluppata; su esso veggonsi impronte di denti, i quali, più pronunziati al dentario, mostransi equici, forti ed aguzzi. L'osso frontale discende rapido e obliquamente fino al prenasellare, determinando una linea perfettamente diritta. L'orbita è grande ed ellittica: la traversa il prefrontale, che cammina obliquamente dall'avanti all'indietro. Le ossa opercolari veggonsi posteriormente arrotondate. I raggi branchiosteghi, in numero di nove, presentansi lunghi e robusti.

La colonna vertebrale risulta di ventinove vertebre visibili. L'esemplare alla Fig. 6, ove tutte sono scoperte, ne ha trentadue. Sono quattordici codali e dieciotto addominali. Queste, ad eccezione delle tre ultime, appaiono sensibilmente allungate e incurvate ai profili superiore e inferiore; quelle mostransi alquanto più brevi. Le nevrapofisi delle vertebre addominali son corte e piegano leggermente all'indietro; le altre si fanno alquanto più lunghe e sono maggiormente inclinate verso la parte posteriore del corpo. Le coste veggonsi robuste e debolmente solevate.

Al sopraclavicolare superiore, profondamente forato, fanno seguito un piccolo sopraclavicolare inferiore ed una clavicola forte e sensibilmente arenata all'avanti. Le pinne pettorali, espansive a ventaglio, risultano di circa dieci raggi semplici, la cui lunghezza corrisponde alla distanza fra il margine inferiore delle ultime vertebre codali e il sottostante profilo del corpo.

Conto sei raggi ventrali, perfettamente opposti all'origine della dorsale: l'anteriore è semplice; suddivisi gli altri. Gli ischi son gracili, appuntiti e assai lunghi, così che la loro estremità libera dista appena quattro millimetri dall'arco toracico.

La pinna dorsale comincia alla metà del corpo, non compresa la coda, ed occupa un'estensione di cinque vertebre addominali. La compongono tredici o quattordici raggi, molli e divisi: il primo è la metà dei quattro susseguenti, lunghi sei millimetri; gli altri vanno mano mano accorciandosi. V'ha altrettanti sottili ossicini interspinosi, che oltrepassano la punta delle spine neurali.

Lo spazio compreso fra l'inserzione delle ventrali e l'origine dell'anale supera di tre settimi la distanza che corre fra il primo raggio di questa pinna e la coda. L'anale, assai bassa e composta di circa dodici raggi, giunge fin presso alla codale.

Questa, profondamente incisa, ha i lobi lunghi quant'è alta la regione addominale del pesce. Ciascun d'essi risulta di quindici raggi: i quattro più esterni brevissimi e semplici; i due susseguenti più lunghi e forcati; il settimo doppio del sesto; gli altri, pur divisi e mano mano accorciandosi.

Le squame ricoprono buona parte del corpo: esse appaiono più alte che lunghe, col margine posteriore arrotondato.

Questa specie si distingue nettamente dalle altre conosciute finora per la posizione avanzata delle pinne dorsale e ventrali, pel numero limitato di vertebre, pel profilo frontale e per la forma complessiva del corpo.

In confronto a *Lept. neocomiensis*, essa ha un'apparenza assai più robusta. Ossa della testa, denti, branchiostegi, vertebre, apofisi, coste, arco toracico, cinto pelvico, raggi delle pinne e squame: tutto è più sviluppato.

Spiegazione delle figure: Tav. II, Fig. 6, 9 e 10. *Leptolepis neumagi* Bass.

“ “ “ 7. Apparato boccale del n.º 6 (Ingr.).
 “ “ “ 8. Vertebra addominale del n.º 6 (Ingr.).

Gen. THRISSOPS Agass.

Agassiz l. c. Vol. II, part. II, p. 123.

Passiamo ora al gen. *Thrissops* ed esponiamone anzitutto i caratteri distintivi, così come vennero fissati dall'Agassiz.

Sono pesci di forma grossa e allungata, a scheletro gracile e delicato, colla testa corta e tozza, che supera di rado il quinto della lunghezza totale del corpo. Le mascelle son deboli e provviste di denti piccoli ed acutissimi. La colonna vertebrale, completamente ossificata, risulta di vertebre per solito tanto lunghe che alte. Le coste e le apofisi appaiono sensibilmente sviluppate. Le pinne pettorali presentansi grandi, strette e composte di pochi grossi raggi. Le ventrali son piccole. L'anale offre sempre una notevole estensione, occupando talvolta il quarto della lunghezza complessiva del pesce e giungendo fin presso alla coda. Questa è assai larga e profondamente incisa. La dorsale è breve e remota: or nasce a livello del primo raggio anale; spesso più in là. I raggi di tutte le pinne sono forcati e articolati, cogli articoli ordinariamente più lunghi che larghi.

Se non che, quando l'Agassiz stabiliva questi caratteri pel suo genere *Thrissops*, egli esprimeva il dubbio che tutti gl'individui a cui la diagnosi suesposta poteva applicarsi — e che quindi erano stati da lui associati al genere in discorso, quantunque taluno presentasse un aspetto notevolmente diverso — non vi appartenessero; e che in progresso di tempo, quando i dettagli della loro organizzazione fossero stati meglio conosciuti, avrebbero probabilmente dovuto esser distinti in due sottogeneri. Egli aggruppava nel primo (con *Thr. formosus* a tipo) le specie a codale assai larga e profondamente incisa, a coste e ad apofisi lunghissime, a squame grandi, sottili e più alte che lunghe, e metteva nell'altro (con *Thr. micropodius* a tipo) le specie in cui la coda è molto più breve e meno incavata, la dorsale è inserita a livello della metà dell'anale, le squame son piccole, grosse e romboidali, il corpo è più slanciato e l'addome men ampio.

Il dubbio dell'Agassiz non era infondato, e più tardi il Sauvage non solo accettava le considerazioni del celebre ittologo svizzero, ma esizando le ampliava, istituendo due nuovi generi a spese del gen. *Thrissops*.

L'Autore francese, prendendo *Thrissops formosus* a tipo ed associandovi il *cephalus*, il *salmoncus*, il *suboratus*, il *mesogaster*, l'*heckeli* ed il *reglei*, li stabiliva rappresentanti del gen. *Thrissops* propriamente detto; fondava il genere *Heterothrissops* per *Thr. intermedius* Münster, e fissava *Thr. micropodius* Agassiz come tipo del gen. *Pseudothrissops*.¹

Codesta suddivisione è giustissima. *Thrissops micropodius*, in fatti, è provvisto di denti conici, fra i quali ve n'ha di più piccoli, come nei gen. *Aspidorhynchus* e *Helonostomus*, e la codale è profondamente incisa, col raggio principale dei due lobi fornito di fulcri in tutta la sua lunghezza e coi raggi mediani corti, assai larghi alla base e più volte divisi. Né men distinto è *Thr. intermedius*, in cui fin la dorsale — unico organo che per

¹ H. E. Sauvage, „Essai sur la faune ichthyologique de la période liasique“, I. partie. Ann. de Sciences géologiques, t. VI, n.º 5. — 1875.

la sua forma e per la sua posizione possa dirsi comune alla specie in discorso ed ai veri *Thrissops* — fin la rodale (disevo) non va riferita a quest'ultimo genere, ov'è più remota. In *Thr. intermedius* inoltre tutto il dorso è provvisto di ossicini interapofisari, le vertebre son più alte che lunghe, le coste e le apofisi mostransi deluli e corte, le pinne ventrali assai picciole e molto ravvicinate alle pettorali. È d'uopo concludere che *Thr. intermedius*, per la natura del suo scheletro, s'avvicina a *Sauropsis*, mentre il *micropodius* e il *formosus* ricordano i *Thrissonotus*. E se noi ricorriamo col pensiero ai ganoidi lepidostei liassiri e confrontiamo lo scheletro del genere or nominato e dei *Pachycormus* con quello dei *Sauropsis* e dei *Thrissops*, non possiamo a meno di riconoscerli un evidente legame genetico, che può tradursi così:



Ma lasciamo la digressione e riassumiamo l'opinione del Naturalista francese:

Thrissops Agass. $\left\{ \begin{array}{l} \textit{Thrissops} \text{ pr. d. Agass. } (\textit{Thr. formosus} \text{ Ag., tipo; } \textit{Thr. cephalus}, \textit{ salmonens}, \\ \textit{suboratus}, \textit{ mesogaster}, \textit{ heckeli}, \textit{ reglei}). \\ \textit{Heterothrissops} \text{ Sauv. } (\textit{Thr. intermedius} \text{ Müst., tipo}). \\ \textit{Pseudothrissops} \text{ Sauv. } (\textit{Thr. micropodius} \text{ Ag., tipo}). \end{array} \right.$

Due specie rappresentavano il gen. *Thrissops* propriamente detto anche a Lesina: l'una, splendidamente illustrata dall'Heckel, che la distinse col nome di *Thr. microdon*; l'altra, nuova alla scienza e da me chiamata *Thr. erignus*.

Thrissops microdon Heck.

(Tav. III.)

Heckel, „Beitr. z. Kenntn. d. foss. Fische Öst.“, Wien 1856.

Chirocentrus microdon Heck. — Heckel, „Beitr. z. Kenntn. d. foss. Fische Öst.“ (Denkschr. d. kais. Akad. d. Wissensch. Vol. I, p. 201). Wien 1850.

Thrissops microdon Heck. — Heckel, „Beitr. z. Kenntn. d. foss. Fische Öst.“ Wien 1856.

Thrissops furcatus Heck. — Ms.

Thrissops microdon Heck. — Bassani l. c. p. 162.

Esemplare alla Tav. III, Fig. 1.

Lunghezza totale del pesce	180 ^{mm}	Lunghezza delle pettorali	12 ^{mm}
Sua altezza massima	30	Distanza fra le ventr. e le pettorali	53
Lunghezza della testa	32	„ „ „ „ la coda	90
Altezza „ „	24	Raggi della pinna pettorale	6
Estrusione dell'apparato opercolare	14	Coste, paio, oltre	30
Distanza tra le pinne pett. e il principio del muso	31	Vertebre	62

Esemplare alla Tav. III, Fig. 2.

Lunghezza totale	230 ^{mm}	Distanza fra le pettorali e le ventrali	52 ^{mm}
Altezza massima	34	„ „ „ „ l'anale	45
„ della testa	22	„ „ „ „ l'orig. dell'anale e la coda	55
Distanza dall'orbita al profilo frontale	3	Estensione della pinna anale	38
„ „ „ all'estremità del muso	11	Lunghezza dei raggi anteriori dell'anale	6
„ dalle pett. all'estr. ant. dell'osso dentario	44		

Premettiamo due linee di storia.

Nel 1850 Jacopo Heckel istituiva un nuovo genere, analogo a *Chirocentrus*, *Thrissops*, *Elops* e *Megalops*, per alcuni fisostomi aleoidei riscontrati negli schisti bituminosi del Carso presso Comen e nel calcare di Lesina. Lo chiamava *Chirocentridae* e ne descriveva tre specie: due, proprie agli strati di Comen; l'altra — *Chir. microdon* — a quelli di Lesina.

Nel 1856, illustrandone una nuova specie, proveniente dal Carsò, riconosceva erronea l'antecedente determinazione generica del clupeide di Lesina, lo ritirava dal gruppo dei chirocentrini e lo associava a quello dei trissopini, inserendolo col nome di *Thr. microdon*.

Sui caratteri del gen. *Chirocentrites* e sul suo valore scientifico n' intratterrò più innanzi, parlando delle specie che lo rappresentavano nell'ittiofauna di Comen; or mi basta notare che la prima determinazione dell'Heckel era assolutamente infondata e che il successivo riferimento dell'ittiolito in discorso al gen. *Thriopsops* è giustissimo.

Thriopsops microdon si può succintamente caratterizzare così:

La testa misura circa un settimo della lunghezza totale del pesce. Denti piccolissimi: gli anteriori della mascella superiore e quei dell'inferiore un po' più lunghi. Vertebre sessant'una: trentaquattro addominali e ventisette caudali. La pinna dorsale è costituita da quattro raggi indivisi e dai successivi forenti. L'annale ha trentasette raggi, dei quali i primi quattro son semplici. I raggi anteriori della pettorale mostransi solcati.

Questa specie, ampiamente rappresentata nella creta di Lesina, raggiungeva proporzioni notevoli. Fra gli esemplari descritti o citati dall'Heckel e fra quelli, assai numerosi, che si conservano nell'I. R. Istituto Geologico di Vienna e ch'io ho studiati, havvene taluno che misura in lunghezza oltre sette decimetri. I più piccoli son lunghi da quindici a venti centimetri.

La Fig. 1. della Tav. III riproduce appunto uno di questi ultimi, il quale, benchè manchi delle pinne dorsale, anale e codale, può dirsi tuttavia ben conservato e risponde perfettamente alla figura ristaurata del *Thr. microdon*, offertaci dall'Heckel nella succitata Memoria ¹ alla tav. XVII, Fig. 9.

L'altezza del pesce, presa a livello dell'inserzione delle pinne ventrali, è compresa sei volte nella complessiva lunghezza (esclusa la coda), che misura diecotto centimetri.

La testa, che raggiunge trentadue millimetri in lunghezza e ventiquattro in altezza, si restringe notevolmente verso l'avanti e termina acuminata. L'osso dentario, che piega sensibilmente all'insù, ed il premaxillare o il maxillare, molto brevi, determinano un piccolissimo squarcio boccale. Vi si scorgono pallide tracce di minutissimi denti. L'orbita, ampia e arrotondata, è cinta inferiormente da ossicini sott'orbitali, grandi e sottilissimi. Il prefrontale corre obliquamente all'indietro e tangente all'orlo inferiore di essa. L'apparato opercolare, ben pronunziato, misura quasi la metà della lunghezza del capo.

La colonna vertebrale cammina dritta e risulta di sessantadue vertebre: trentaquattro addominali e venti otto caudali. Di queste, le ultime dieci son più lunghe che larghe; tutte mostransi percorse nella loro metà da una linea longitudinale saliente. Le lunghe nevrapofisi delle vertebre addominali si presentano inclinate all'indietro e son provviste di numerosi ossicini secondari. Le apofisi delle caudali, sottilissime e alquanto più brevi delle anteriori, piegano verso la parte posteriore del corpo. Contansi oltre trenta paia di coste, gracili, longitudinalmente solcate e leggermente arcuate verso l'avanti, che raggiungono quasi il profilo ventrale del pesce.

L'arco toracico è provvisto di una robustissima clavicola, fortemente piegata a gomito ed espansa all'estremità inferiore. Le pinne pettorali, che son inserite a trentaquattro millimetri dal principio del muso e che ne misurano dodici in lunghezza, risultano di sei raggi articolati, il primo dei quali è grossissimo e percorso da solchi profondi.

Le ventrali, che nascono a cinquantatre millimetri dalle pettorali ed a novanta dalla codale, son costituite da pochi raggi, deboli e brevi.

Non v'ha alcuna traccia dell'anale e della dorsale.

Scorgonsi pallide vestigia del lobo inferiore della pinna codale, la cui lunghezza corrisponde allo spazio occupato dalle ultime sette vertebre.

Buon tratto del corpo è ancora rivestito di delicate squame: quelle della regione addominale mostrano il margine posteriore pressochè arrotondato; le altre presentano una forma a losanga, che deve peraltro dipendere dalla fossilizzazione.

¹ Wien 1850.

Un altro individuo, un po' più lungo di quello ora descritto e molto affine a *Thr. macrodon*, cui lo riferisco, ha solo cinquantacinque vertebre, delle quali ventinove addominali e ventisei caudali.

In un terzo esemplare (Tav. III, Fig. 2.) della medesima specie — che, come questi, va amoverato fra i piccoli, giacchè misura nella sua maggiore lunghezza ventitre soli centimetri — l'anale e la dorsale sono sufficientemente conservate, in modo che possono servire per fissare la loro posizione reciproca e quella delle pinne pari.

La massima altezza del corpo, misurata un po' indietro delle pettorali, è compresa quasi sette volte nella lunghezza totale.

Ventidue millimetri segnano l'altezza della testa. L'orbita, grande, arrotondata e con un diametro di un centimetro, dista tre millimetri dal profilo frontale e undici dall'estremità del muso.

La colonna vertebrale risulta di sole cinquantatre vertebre: ventiquattro caudali e ventinove addominali. Le nevrapofisi anteriori, più brevi delle susseguenti e non arcuate, mostransi provviste di numerosissime appendici secondarie. Le nevrapofisi e le emapofisi delle quattordici prime vertebre codali sono lunghissime e notevolmente ricurve all'indietro; quelle delle ultime dieci si raccorciano e camminano oblique. Le coste mostransi lunghe e longitudinalmente solete.

Le pinne pettorali cominciano a quarantaquattro millimetri dal margine libero dell'osso dentario ed a cinquantadue dall'inserzione delle ventrali, che stanno a livello della sett'ultima vertebra addominale.

Quattro centimetri e mezzo segnano la distanza fra queste e l'anale, che dista cinquantacinque millimetri dal principio della coda. Occupa un'estensione di quasi quattro centimetri e risulta di circa ventidue raggi, che man mano si accorciano, e gli anteriori dei quali giungono a sei millimetri. Il primo osseino interapofisario, assai più robusto dei susseguenti, allargato alla base e longitudinalmente soleteo nel tratto inferiore, misura in lunghezza diecinove millimetri.

La pinna dorsale è più ristretta ed ha capo a livello della nona vertebra codale (a cominciare dall'avanti) e del settimo raggio anale.

Ciò che in questa specie colpisce è la variazione nel numero delle vertebre, offerto dai vari individui di essa: in fatti, negli esemplari dell'Heckel sommano a sessant'una; nei miei a sessantadue, cinquantacinque e cinquantatre. Quantunque peraltro le differenze sieno notevoli, non credo che quest'unico carattere autorizzi l'istituzione di nuove specie. Anche nell'ittiofauna attuale ci avviene sovente di riscontrare gli stessi divari.

A *Thrinops macrodon* associo un brandello etichettato „*Thr. forcipatus* Heckel“, che mi venne tra mano esaminando le collezioni paleontologiche dell'I. R. Istituto Geologico di Vienna. Vi si scorgono a mala pena le dieci ultime vertebre e la pinna codale. Io non so assolutamente rilevarvi alcun carattere, che giovi a distinguere la specie or ora descritta.

Spiegazione delle figure: Tav. III, Fig. 1 e 2. *Thrinops macrodon* Heck.

Thrinops exiguus Bass.

(Tav. VI, Fig. 1, 2.)

Thrinops exiguus Bass. — Bassani l.c. p. 162.

? *Thr. (Thrinops)* *microdon* Kner, non Heck. — R. Kner, „Neuer Beitr. zur Kenntn. der foss. Fische von Comen (Tri-Görz)“, p. 23, tav. IV (dal „Sitzungsber. d. kais. Akad. d. Wiss.“, Vol. LVI, I. part., Juni-Hef.) Wien 1867.

Lunghezza totale del pesce	144 ^{mm}	Distanza dalle ventrali alla codale	50 ^{mm}
„ della testa	22	Lunghezza del lobo superiore della p. codale	26
Altezza della testa	16	„ „ „ inferiore	19
Distanza dall'orbita al profilo frontale	2	Raggi pettorali	11
Lunghezza delle coste maggiori	11	„ della pinna ventrale	c. 7
Distanza dalle pinne pett. all'estremità del muso	25	„ del lobo superiore della p. codale	12—13
„ fra le pettorali e le ventrali	43	Coste, paio	25
Lunghezza delle pettorali	11	Vertebre visibili	68

A *Thr. microdon* devo aggiungere una nuova specie, che chiamo *Thr. exiguus*.

L'esemplare, riprodotto alla Tav. VI, Fig. 1, mi venne in sulle prime dubbioso: non sapevo se dovesse essere riferito al gen. *Thrisops* od a *Leptolepis*. Come giustamente osserva il Thiollière nel suo classico lavoro sui pesci del Bugey,¹ l'unico carattere in base al quale si possa distinguere le specie di quest'ultimo genere da quello di *Thrisops* sta nella posizione della pinna del dorso, ch'è opposta alle ventrali. Ora, nel nostro individuo la dorsale è sparita. Se non che, dopo maturo esame, lo ascrissi al gen. *Thrisops*, cui l'affrattellano il numero rilevante di vertebre, l'ineguaglianza dei lobi della coda e le articolazioni scalariformi nel tratto inferiore dei raggi principali di questa pinna.

L'ittiolito è lungo centotrentaquattro millimetri.

La testa, alta sedici, è compresa sei volte e mezza nella lunghezza complessiva del pesce. Il profilo superiore di essa, dapprima un po' concavo, si rialza sensibilmente all'occipite; l'inferiore cammina regolarmente convesso. L'osso dentario, robusto, finisce tronco e si mostra fornito di piccoli denti, fitti, conici e aguzzi. Il mascellare e il premaxillare stanno nella medesima linea: su questo scorgonsi tre denti appuntiti; sull'altro ve n'ha parecchi, un po' distanti fra loro. Tutti offrono lo stesso sviluppo. L'apparato opercolare è notevolmente pronunziato. L'opercolo ha l'orlo posteriore arrotondato, ed il preopercolo, normalmente ricurvo e longitudinalmente solcato, si spinge molto avanti, così che il punto in cui s'unisce all'articolare ed all'angolare è a livello del margine anteriore dell'orbita. Questa mostrasi ellittica, dista meno di due millimetri dal profilo frontale ed è cinta da sottilissimi e mediocrementi grandi. Il suo diametro longitudinale corrisponde allo spazio occupato da cinque vertebre, ed il trasversale a quello di tre.

La colonna vertebrale risulta di sessantotto vertebre visibili, che si presentano gracili, delicate e pereorse da una salienza longitudinale mediana, come nella specie precedente. Eccettuate le ultime venti, sono un po' più alte che lunghe. Le neuropofisi veggonsi deboli ed inclinate all'indietro, senza essere curve; le posteriori sono brevissime. Le emapofisi non son conservate. Le coste, sottilissime, raggiungono una notevole lunghezza: le più sviluppate misurano undici millimetri. Ne conto venticinque paia.

Le pinne pettorali, sostenute da un robusto arco toraceo, stanno a venticinque millimetri dall'estremità del muso ed a quarantatre dall'inserzione delle ventrali. Lunghe oltre un decimetro, sono costituite da undici raggi, che vanno man mano accorciandosi. L'esterno è robusto, ma non offre i solchi caratteristici del *Thr. microdon*.

Le ventrali, assai piccole, sono composte di circa sette raggi e distano cinque decimetri dall'origine della codale.

Questa si sorregge alle apofisi delle tre ultime vertebre ed ha i lobi ineguali: il superiore misura ventisei millimetri; l'inferiore diecinove. In quello si contano dodici o tredici raggi: i cinque più esterni brevi e indivisi; i tre susseguenti molto lunghi, assai grossi e percorsi nella metà posteriore da solchi obliqui e lisci; gli altri mediocrementi sviluppati e forati.

Come lo detto prima, non v'ha alcuna traccia dell'anale e della dorsale.

Riesce evidente che l'individuo ora descritto è molto affine a *Thr. microdon* Heck.; nullameno mi sembra che parecchi caratteri lo vogliam distinto: valgano lo sviluppo relativamente maggiore delle pettorali, la mancanza di solchi al primo raggio di queste pinne, la posizione delle ventrali, molto più vicine alla coda che non nella specie di Heckel, l'esilità e la brevità di tutte le apofisi, la forma della codale e il numero rilevante di vertebre.

A *Thr. exiguus* associo il frammento di Comen, descritto e figurato nel 1867 da Kner sotto il nome di ?*Thr. (Chirocentodes) microdon* Heck.

Spiegazione delle Figure: Tav. VI. Fig. 1. *Thrisops exiguus* Bass.
 2. Apparato boccale (ingr.).

¹ L. c.

Gen. SPATHODACTYLUS Pietet?

(Tav. XVI.)

F. J. Pietet, „Matériaux pour la paléontologie suisse“. — „Description des fossiles du néocomien des Voirons.“ Genève 1858.
Spathodactylus aut *Chirocentrites* sp.? — Bassani l. c. p. 163.

Se l'esemplare alla Tav. XVI palesa tutto la sua natura di elupeide e di trissopino, non lascia determinare con altrettanta facilità il genere a cui appartiene.

Malauguratamente si tratta di un frammento, lungo quattro decimetri, in cui è conservata soltanto la parte posteriore del corpo, a cominciare dall'origine della pinna anale.

Vi si contano ventisei vertebre caudali, grosse, robuste, più alte che lunghe e longitudinalmente percorse da una salienza mediana assai pronunciata. Le apofisi vertebrali, straordinariamente lunghe, hanno una base allargata e arrotondata; quella delle emapofisi sporge in modo notevole oltre la fine della vertebra corrispondente (V. Fig. 2). Esse, spingendosi verso l'indietro fino a raggiungere i profili superiore ed inferiore del corpo, presentano una singolare inflessione: nella prima metà del loro corso sono convesse, poi si fanno concave e nell'ultimo brevissimo tratto ridiventano convesse.

La pinna anale è estesissima. Non posso indicare con precisione il punto in cui termina; ma lo spazio occupato dalla porzione visibile misura circa diciotto centimetri. I due primi raggi sono brevi e semplici; i sei susseguenti, più volte divisi, appaiono assai sviluppati (lung. mass. 57^{mm}) e formano una specie di lobo; gli altri, pur suddivisi, mostransi molto bassi. Le linee che dividono gli anelli dei sei raggi più grandi non sono uniformi: nei quattro anteriori veggonsi foggiate a Z rovescio, mentre nel quinto discendono obliquamente dall'indietro all'avanti e son seghettate. Conto più di trenta ossicini interapofisari, assai lunghi, robusti e percorsi longitudinalmente da un solo. I primi sette raggiungono uno sviluppo notevole, e la stria che li percorre è tanto profonda, che ciascun d'essi sembra formato da due ossa contigue. Il primo misura oltre cinque centimetri; i susseguenti si accorciano gradatamente. Ventì millimetri segnano la lunghezza degli inter-spinosi che sostengono i raggi più bassi.

Se la pinna dorsale non è conservata, restano per fortuna quattro o cinque interapofisari, che ci additano il posto da essa occupato e che stanno a livello della quattordicesima vertebra (a cominciare dall'indietro).

La codale, assai grande, è incompleta. Ciascun lobo è composto di almeno quindici raggi, grossissimi, articolati e molte volte divisi. Le linee che dividono gli anelli, vicine e parallele fra loro camminano oblique dall'avanti all'indietro e sono percorse da minute strioline in forma di S (V. Fig. 3 e 4).

Come ho detto pocanzi, la determinazione generica di questo frammento riesce difficile.

La forma e lo sviluppo della pinna anale e la posizione della dorsale ci assicurano intanto che il nostro esemplare deve indubbiamente appartenere a *Thrinops* o a *Chirocentrites* od a *Spathodactylus*.

Ma, quando si pensi che i rapporti fra questi tre generi sono numerosissimi ed intimi, e che i caratteri che li distinguono risiedono in regioni del corpo di cui manca l'individuo di Lesina, la mia incertezza si comprenderà agevolmente. In fatti, lasciando i caratteri secondari, che non hanno importanza generica, la sola dentizione (lo vedrem meglio nella Parte seconda) distingue *Chirocentrites* da *Thrinops*, e la sola presenza di un raggio spinoso isolato sul tratto anteriore del dorso separa veramente *Spathodactylus* dai due generi ora nominati. Tutto ciò non ci può affatto servire nel caso presente. Nullameno, considerato che nel gen. *Thrinops* e in *Chirocentrites coronatus* Heck. (unica specie, a mio parere, la quale rappresenti il gen. *Chirocentrites*)¹ le linee che dividono gli articoli dei raggi anali e codali e le inserzioni delle nevrapofisi e delle emapofisi ai corpi delle vertebre offrono una costituzione diversa da quella del nostro ittioide; e che questo — per l'inflessione delle apofisi vertebrali e per la forma dell'anale — presenta moltissime analogie col tratto omologo dello *Spathodactylus neocomiensis* Pietet del neocomiano de' Voirons, io inclinerai a riferirlo a quest'ultimo genere.

¹ Vedi Parte II.

È naturale peraltro che l'esistenza del gen. *Spathodaetylus* nel mare cretaceo di Lesina non può assolutamente esser provata da quest'unico individuo, tanto incompleto, il quale, d'altro canto, potrebbe benissimo rappresentare (*Chir. coroninū*) Heckel o (il che forse è più probabile) *Thrinops microdon* id.

Spiegazione delle figure: Tav. XVI, Fig. 1. *Spathodaetylus* (?) sp.

- | | | | |
|---|---|---|---|
| . | . | . | 2. Vertebra (ingr.). |
| . | . | . | 3. Un raggio della pinna codale (ingr.). |
| . | . | . | 4. Linee che dividono gli anelli di un raggio codale (ingr.). |

Grupp. ELOPINA.

Gen. ELOPOPSIS Heck.

J. J. Heckel, „Beitr. z. Kenntn. d. foss. Fische Öst.“, p. 66. Wien 1856.

All'ordine dei *Physostomi*, fam. *Clupeidae*, gruppo *Elopinæ*, appartiene il gen. *Elopopsis*, fondato nel 1856 dall'Heckel per alcuni pesci di Comen.

Analogo sotto certi riguardi ai due generi *Elops* Linn. e *Megalops* Commers., mostrasi affine anche agli *Halec* del Pläner boemico ed ai *Pomognathus* del cretaceo inglese; mentre, d'altro canto, stende una mano ai *Caturus*, agli *Strobilodus* ed agli *Audleyseius* giurassici. Figlio di questi, avrebbe a successori i due primi. — Mi piace riportar qui un'osservazione pratica del Fritsch, relativa ad uno dei principali caratteri distintivi fra gli *Elopopsis* e gli *Halec*. Mentre l'opercolo giunge nei primi fin sotto alle ossa del cranio e scende poscia obliquamente all'indietro, negli *Halec* è collocato molto più in basso e descrive col margine superiore una linea pressochè orizzontale.¹

In confronto ai gen. *Elops* e *Megalops*, gli *Elopopsis* possono venir succintamente caratterizzati così:

Corpo allungato, ma più vigoroso. Testa assai grande e triangolare. Bocca ampiamente fessa e un po' obliqua. Mascelle provviste di una fila di denti conici, acuminati e robusti. Ossa opercolari striate. Branchiostegi numerosi. Pettorali col raggio esterno forte e semplice. Dorsale mediana, opposta alle ventrali o un po' innanzi a queste. Ischi assai lunghi e appuntiti. Anale remota. Codale profondamente incisa.

Sei specie rappresentano questo interessantissimo genere nei mari cretacei: tre provenienti da Comen e pubblicate dall'Heckel,² una del Pläner boemico, illustrata dal Reuss³ e dal Fritsch,⁴ la quinta riscontrata nel senoniano di Vestfalia e descritta dal von der Mark,⁵ e l'ultima, propria agli strati di Lesina e di Comen e da me distinta col nome di quell'illustre Geologo, direttore dell'I. R. Istituto Geologico di Vienna, che mi fu guida sapiente durante i miei studi nella capitale dell'Austria.⁶

¹ A. Fritsch, „Die Reptilien und Fische der böhmischen Kreideformation“, Prag 1878.

² *El. fenuli, dent-x, microdon* (J. J. Heckel, Beitr. z. Kenntn. d. foss. Fische Öst.) Wien 1856.

³ *El. heidei* Reuss (Reuss, „Neue Fischreste aus dem böhmischen Pläner“, in „Denkschr. d. kais. Akad. d. Wiss.“ Vol. XIII. Wien).

⁴ L. c.

⁵ *El. siegleri* (Von der Mark und A. Schlüter, „Neue Fische und Krebse aus Westphalen“, in Palaeontographia, Vol. XV. — 1865—1868).

⁶ Un piccolo *Elopopsis*, affine all'*haueri*, venne offerto anche dal cretaceo di Monte S. Agata presso Gradisca imperiale, nel Friuli austriaco. L'esemplare mi fu gentilmente comunicato dall'illustre prof. cav. Pirone ed è associato a un *Ouel-dna*, vicino a *Ouel, milus* Heck. Disgraziatamente trattasi soltanto della parte anteriore del corpo; nè quindi è concesso di stabilire con sicurezza se rappresenti una specie nuova.

Come di solito, la testa è grande e triangolare: essa misura in lunghezza tre centimetri ed è alta due. Lo squarcio della bocca è profondo, e le mascelle vanno fornite di denti robusti e conici. A quanto sembra, le ossa opercolari sono percorse da strie.

Veggonsi solo tredici vertebre, più lunghe che alte, le cui nevrapofisi sono provviste di numerose appendici secondarie. Le pettorali, ben sviluppate, risultano di tredici o quattordici raggi. Il primo dei quali è il più grosso e semplice. Gli ischi, posti a trentacinque millimetri dall'arco toracico, mostransi lunghi e appuntiti: la loro estremità libera è opposta all'inserzione del primo raggio della pinna dorsale.

Questa, di cui rimane il principio, è inserita a circa sei centimetri dall'estremità del muso, a livello della dodicesima vertebra addominale.

Il frammento misura una lunghezza di sessantasette millimetri.

Elopopsis haueri Bass.

(Tav. IV.)

Elopopsis haueri Bass. — Bassani l.c. p. 161.

Lunghezza totale del pesce	240 ^{mm}	Lunghezza degli ischi	14 ^{mm}
Altezza massima del corpo	40	" dell'8° raggio del lobo sup. della pinna cod. . .	29
Lunghezza della testa	58	Raggi della pinna pettorale	c. 12
Altezza del pedicello codale	9	" " " ventrale	8
Distanza fra le pinne pett. e l'estremità del muso . . .	68	" " " dorsale	c. 10
" " " " " le ventrali	47	" " " anale	7(?)
" dalla pinna dors. al premaxillare	98	" del lobo sup. della pinna codale	c. 18
Lunghezza dei raggi ventrali	10	Vertebre	35—36

Elopopsis haueri è riprodotto alla Tav. IV, Fig. 1.

L'esemplare, basso e allungato, raggiunge nella sua totale lunghezza ventiquattro centimetri; la sua massima altezza, presa a livello dell'apparato opercolare, è di quattro. Verso la parte posteriore del corpo si restringe notevolmente, misurando al pedicello codale appena nove millimetri.

La testa, di forma pressochè triangolare e anteriormente acuminata, ha un'estensione che corrisponde allo spazio occupato da tredici vertebre, ed è compresa circa quattro volte nella lunghezza complessiva del pesce. Malamente le mancano i frontali, il nasale, parte del premaxillare e del maxillare, il lacrimale ed altre ossa del tratto posteriore del cranio; nè quindi mi è dato seguirne tutto il profilo. L'ampio squarcio della bocca si spinge sino alla fine dell'orbita. L'osso dentario, robusto e quasi triangolare, è fornito di molti denti, lunghi, sottili, conici e aguzzi. Altri, più grandi, sono piantati nel maxillare, il quale, ben sviluppato, finisce a livello della mascella inferiore. Le ossa opercolari, notevolmente sviluppate, sono percorse da strie. Su parte della clavicola e sull'ipomandibolare veggonsi delle granulazioni assai minute e disposte regolarmente ad arco, che probabilmente si estendevano anche alle altre ossa timpaniche. Di queste peraltro non mi è dato far cenno, chè sono mal conservate.

La colonna vertebrale è composta di trentacinque o trentasei vertebre, di cui quattordici addominali. Tranne le prime cinque, sono più lunghe che alte e percorse da una salienza longitudinale mediana. Le apofisi, molto robuste e notevolmente areolate all'indietro, diventano man mano più brevi. Le coste, mediocrementi sviluppate e provviste, come le corrispondenti nevrapofisi, di numerose appendici secondarie, camminano obliquamente dall'avanti all'indietro.

La clavicola e le sopracleicolarie sono estremamente sottili e descrivono un ampio arco. Le pinne pectorali, inserite a quasi sette centimetri dall'estremità del muso, risultano di almeno dodici raggi, i più sviluppati dei quali misurano la lunghezza di oltre tre vertebre.

A quarantasette millimetri dalla base di queste pinne stan le ventrali, composte di otto raggi molli e lunghi un centimetro, di cui l'anteriore, più grosso, è semplice. Gli ischi, gracili, allungati (14^{mm}) e percorsi interrottamente da solchi, giungono colla loro estremità libera a livello dell'inserzione del primo raggio della pinna dorsale.

Questa comincia avanti la metà del corpo, a novant'otto millimetri dalla branca ascendente del premaxillare. Occupa un'estensione di quasi quattro vertebre e si compone di circa dieci raggi mediocri e suddivisi, i quali sono sostenuti da interapofisari abbastanza lunghi.

L'anale, remota e bassissima, non è ben conservata nel nostro esemplare. Vi scorgo sette raggi assai brevi e divisi, il primo dei quali è inserito a livello dell'undecima vertebra codale (numerata verso l'avanti). Contansi altrettanti debolissimi interspines.

Della pinna codale, profondamente incisa ed assai divaricata, solo il lobo superiore è conservato nella sua integrità. Risulta di almeno dieciotto raggi, dei quali i più esterni sono brevissimi e semplici. L'ottavo è il più lungo e misura circa trenta millimetri. A cominciare dal nono si mostran divisi. Tutti presentansi articolati, colle linee in forma di graffa.

Questa specie, da me riscontrata anche negli schisti bituminosi di Comen, può dirsi la pigmea fra gli *Elopopsis* aptiani e si distingue dalle altre pel limitato sviluppo della testa, delle pettorali, delle ventrali e della dorsale, per la posizione avanzata di quest'ultima pinna e pel numero ristretto di vertebre. Vulga il seguente specchietto a rilevarne meglio i rapporti colle tre specie descritte dall'Heckel:

	<i>El. fenati</i>	<i>El. denter</i>	<i>El. uicodon</i>	<i>El. haueri</i>
Lunghezza della testa corrispondente a	23 vert.	17 vert.	21 vert.	13 vert.
„ delle pettorali „ „	18 „	6 „	14 „	3½ „
Raggi della pinna dorsale	21	15	16	10 (?)
Principio „ „ „	a livello della 26ª vert.	a livello della 16ª vert.	sopra le ven- trali	a livello della 11ª vert.
Vertebre	57	40 (?)	60	35—36

Spiegazione delle figure: Tav. IV, Fig. 1. *Elopopsis haueri* Bass.

„ „ 2. Apparato boccale (ingr.).

„ „ 3. Granulazioni sulle ossa della testa (ingr.).

„ „ 4. Raggio codale (ingr.).

Gen. HEMIELOPOPSIS Bass. (1879).

Bassani l. c. p. 164.

Come risulta dal nome, questo genere, rappresentato nelle acque di Lesina da due specie, offre nella forma generale del corpo e nella disposizione delle pinne una certa somiglianza cogli *Elopopsis* di Heckel. Due caratteri essenziali lo vogliono peraltro distinto da questi: lo straordinario sviluppo del quinto raggio della pinna dorsale e la mancanza di denti alle mascelle. Lo scheletro della testa per giunta non si palesa così robusto come negli *Elopopsis*: toltiene l'opercolo, il sott'opercolo e la clavicola, relativamente sviluppati, le altre ossa son gracili. Le ventrali s'inseriscono a livello della pinna del dorso, la quale è mediana. L'aurale è remota. Le vertebre, corte, sono in numero di quarantasette a cinquanta.

Con questo nuovo genere s'augmenta quel gruppo di fisostomi addominali che abbiamo chiamato *Elopinia*, e che attualmente risulta costituito dai due generi viventi *Elopa* e *Megalopa* e dai due fossili *Elopopsis* ed *Hemielopopsis*: quattro generi che si stringono assieme e si affratellano. E al gruppo *Elopinia* collegasi quello dei *Chirocentrina*, vale a dire *Chirocentrus*, *Chirocentrites*, *Spathodactylus*, *Crossognathus* e *Thriaspis*, ai quali ultimi s'avvicinano i *Leptolepis*. Ancora distinti per qualche speciale carattere, verrà giorno in cui si scopriranno nuove forme intermedie fra loro, nè sarà più possibile stabilirne esattamente i confini.

Hemielopopsis suessi Bass.

(Tav. V.)

Hemielopopsis suessi Bass. — Bassani l. c. p. 164.

Esemplare alla Tav. V, Fig. 1.

Lunghezza del corpo, esclusa la coda	177 ^{mm}	Lunghezza del 4º raggio dorsale	28 ^{mm}
Altezza massima „ „ „	59	„ „ 5º „ „ „	77
Lunghezza delle pinne pettorali	21	Distanza fra le pinne ventrali e l'orig. dell'anale	42
Distanza dalle pinne pettorali alle ventrali	45	Raggi della pinna pettorale	14
„ fra l'estremità libera degli ischi e la base delle pettorali	30	„ „ „ ventrale	c. 10
Estensione della pinna dorsale	27	„ „ „ dorsale	c. 15
Lunghezza del 3º raggio dorsale	7	Vertebre	50

Esemplare alla Tav. V, Fig. 2.

Lunghezza del tronco	137 ^{mm}	Lunghezza del 2º raggio anale	23 ^{mm}
Altezza massima „ „ „	60	Raggi della pinna anale	15
Lunghezza delle pinne ventrali	21		

I due esemplari che rappresentano questa specie hanno una forma tozza: il maggiore di essi, riprodotto alla Tav. V, Fig. 1, misura centosettantasette millimetri in lunghezza (esclusa la coda) e cinquantanove nella massima altezza, presa a livello delle pinne ventrali. Fatti i calcoli, possiamo dire approssimativamente che l'altezza del corpo è compresa tre volte nella complessiva lunghezza.

La testa è mal conservata; vi restano parte del dentario, del mascellare e del premaxillare, le ossa timpaniche e l'apparato opercolare. Non v'ha assolutamente traccia di denti. Scorgonsi qua e là leggere granulazioni.

La colonna vertebrale è composta di cinquanta vertebre, di cui sette parzialmente nascoste sotto l'opercolo. Le ventinove addominali sono molto più alte che lunghe; le rimanenti, caudali, mostransi alquanto più basse. Le nevrapofisi anteriori, assai sottili, allungate e fornite di numerose appendici secondarie, camminan dritte e si spingono quasi fino al profilo dorsale; le successive e le corrispondenti emapofisi piegano regolarmente ad arco verso l'indietro. Le coste, assai sviluppate, raggiungono quasi la linea del ventre.

Una forte clavicola, sostenuta da due grandi sopracleicolari, dà attacco alle pinne pettorali, ciascuna delle quali conta quattordici grossi raggi, lunghi oltre venti millimetri.

A quattro centimetri e mezzo da queste stanno le ventrali, sorrette da ischi robusti, provviste di almeno dieci raggi ciascuna e la cui estremità libera dista trenta millimetri dalla base delle pettorali.

La dorsale comincia alla metà del corpo, sopra la ventiquattresima vertebra addominale. Ha una base di ventisette millimetri e risulta di almeno quindici raggi molli, sostenuti da altrettanti interspinosi, mano mano decrescenti in lunghezza. Il primo e il secondo sono brevissimi; il terzo è lungo sette millimetri; il quarto (che nel fossile appare rotto e piegato) vent'otto; il quinto, ch'è il più sviluppato, ha un'estensione corrispondente allo spazio compreso da tutte le vertebre addominali e misura ben settantasette millimetri, in modo che una retta, abbassata perpendicolarmente dall'estremità libera di esso (estremità che dista quarantaquattro millimetri dall'origine delle nevrapofisi), traverserebbe l'antepenultima vertebra caudale. I raggi susseguenti, più volte divisi, diminuiscono rapidamente.

Dell'anale sono conservati soltanto alcuni interapofisari, l'anteriore dei quali dista colla sua base quarantadue millimetri dall'origine delle ventrali.

La codale è affatto incompleta.

Nel secondo individuo (Tav. V, Fig. 2) il tronco è lungo centotrentasette millimetri ed alto sessanta.

I raggi ventrali, lunghi oltre due centimetri, veggonsi più volte ramificati.

Il grande raggio della pinna dorsale è incompleto.

L'anale risulta di circa quindici raggi: il primo è breve e semplice; il secondo, diviso e lungo ventitre millimetri; gli altri, pur divisi, si accorciano gradatamente.

Ho intitolato questa specie al celebre Geologo Edoardo Sues, mio venerato Maestro, cui mi legano i più cari vincoli di riconoscenza e di devota affezione.

Spiegazione delle figure: Tav. V, Fig. 1 e 2. *Hemietopopsis suessi* Bass.

Hemietopopsis gracilis Bass.

(Tav. VI, Fig. 3.)

Hemietopopsis gracilis Bass. — Bassani L. c. p. 165.

Lunghezza totale approssimativa	165 ^{mm}	Lunghezza del 6° raggio dorsale	34 ^{mm}
Altezza massima del corpo	42	Distanza fra le pinne ventr. e l'anale	17
" del pedicello caudale	13	Raggi della pinna ventrale	c. 8
Lunghezza della testa	c. 41	" " " dorsale	16-17
Altezza	35	" " " anale	c. 14
Distanza fra le pinne pettorali e le ventrali	c. 30	" " " codale, per ogni lobo	15
" dall'orig. della pinna dors. all'estrem. del muso	75	Vertebre	47
Estensione della pinna dorsale	20		

Hemiotopopsis gracilis, affine al *suessei*, se ne distingue per l'estrema gracilità dello scheletro, per il quinto raggio della dorsale assai più breve e per il numero inferiore di vertebre.

L'esemplare, dell'approssimativa lunghezza di sedici centimetri e mezzo, è alto quarantadue millimetri a livello delle pinne ventrali. Le linee del dorso e del ventre, alquanto rilevate anteriormente, hanno una distanza di tredici millimetri al pedicello caudale.

La testa, tozza ed ottusa, misura circa il quarto della lunghezza totale del pesce ed ha un'altezza di trentacinque millimetri. Il profilo frontale, rialzato in alto, corre rapidamente obliquamente all'inghiù. Le mascelle, egualmente sviluppate, non offrono nessuna traccia di denti. Sui frontali principali veggonsi strie raggiate.

La colonna vertebrale conta quarantasette vertebre: ventisette addominali e venti caudali. Sono assai gracili, cortissime e più alte che lunghe. Le nevrapofisi, le empapofisi e le coste, dirette come nella specie precedente, mostransi molto più sottili e molto più brevi. Anche il numero delle appendici secondarie è sensibilmente minore.

Le pinne pettorali, appese ad una clavicola lunga e ristretta, sono fornite di sottilissimi raggi.

A circa trenta millimetri da queste stanno le ventrali, sorrette da due piccoli ischi e composte di circa otto raggi, gracili e corti.

La dorsale principia a settantacinque millimetri dall'estremità del muso. Occupa un'estensione di due centimetri e risulta composta di diciassette raggi molli, dei quali il quinto, che, come nella specie precedente, è il più lungo, misura soltanto trentaquattro millimetri. I precedenti e i successivi sono più brevi e mantengono i rapporti offerti dall'*Hem. suessi*.

Ventisette millimetri segnano la distanza fra l'inserzione delle ventrali e l'origine dell'anale, ch'è assai delicata e costituita da circa quattordici raggi, i quali — ad eccezione del primo, cortissimo — sono divisi e vanno gradatamente abbreviandosi.

Anche gli ossicini interapofisari di questa pinna sono assai deboli.

Ciascun lobo della coda mostrasi composto di cinque raggi esterni, brevi, non articolati e semplici, a cui ne susseguono dieci, articolati e divisi.

Spiegazione delle figure: Tav. VI, Fig. 3. *Hemiotopopsis gracilis* Bass.

Grupp. CHANINA.

Gen. PROCHANOS Bass. (1879)

Bassani l. c. p. 163.

Quantunque tutti e tre gli esemplari su cui ho fondato questo nuovo genere sieno incompleti, pure essi rivelano subito la loro stretta analogia coi rappresentanti del gen. *Chanos*,¹ attuali abitatori dell'Oceano Indiano e del Pacifico, ai quali si associano per la forma della testa e delle vertebre, per lo squarcio della bocca, per la mancanza di denti, per lo sviluppo dell'apparato opercolare, per la costituzione delle ossa del cranio, delle coste, delle spine neurali anteriori e della coda e per la disposizione delle pinne.

In confronto ai *Chanos*, il nostro genere offre i seguenti caratteri:

Corpo alto ed oblungo. Scheletro vigoroso. Testa assai grande ed acuta. Bocca molto piccola, affatto sprovvista di denti. Apparato opercolare sviluppatissimo e posteriormente arrotondato. Pettorali deboli. Ischi assai lunghi, sforniti di creste ossee alla base. Dorsale mediana, opposta alle ventrali. Anale breve e remota. Caudale robusta e divisa in due lobi ampiamente divaricati. Vertebre quarantacinque, grosse e massicce. Coste larghe, lunghe, arcuate e percorse longitudinalmente da un solco. Apofisi vertebrali piegate all'indietro. Nevrapofisi anteriori fornite di un'appendice ossea, la quale, partendo dal terzo superiore della spina neurale, si spinge in un verso il profilo del dorso.

Come risulta da questa succinta diagnosi, i rapporti fra gl'individui di Lesina e il gen. *Chanos* sono numerosi ed evidenti; tuttavia ho creduto necessaria l'istituzione di un genere nuovo, perchè

¹ Per la osteologia del gen. *Chanos* vedi Hyrtl, „Denkschr. d. kais. Akad. d. Wiss.“ Vol. XXI, p. 1. Wien 1863.

I. negli esemplari dell'isola dalmata la fine della colonna vertebrale corrisponde a quella dei gen. *Leptolepis*, *Thriops*, *Thoris*, *Chirocentrus*, in una parola di tutti i pesci che rientrano nella 1^a suddivisione degli *Steguri* di Heckel; mentre nei *Chanos* la colonna vertebrale finisce normalmente in due placchette ossee, le quali sostengono una coda omocerca;

II. manca affatto la lamella squamosa che nei *Chanos* si spinge dall'origine di ciascun lobo della pinna caudale in avanti;

III. gl'ischi, benchè robusti e simili a quelli di *Chanos*, non sono provvisti alla base di quelle creste ossee salienti che si osservano distintamente in quest'ultimo genere;

IV. nel nostro esemplare non risulta la presenza della spina del sovraoccipitale, che nel gen. *Chanos* si spinge obliquamente all'indietro, sorpassando le due nevrapofisi anteriori.

Prochanos rectifrons Bass.

(Tav. XIII, XIV, Fig. 1 e Tav. XV.)

Prochanos rectifrons Bass. — Bassani I. c. p. 163.

Lunghezza complessiva del pesce	540 ^{mm}	Lunghezza del 2° e del 3°	10 ^{mm}
Altezza massima del corpo	144	" " 4° " 5°	25
Lunghezza della testa	130	" " 6°	40
Sua altezza all'occipite	105	" " 1° interspinoso della dorsale	16
Lunghezza dell'apparato opercolare	53	" " 2° " " " "	40
Distanza dall'inserz. delle pinne pett. all'estremità del- l'osso dentario	137	Estensione della pinna anale	25
Lunghezza approssim. delle pinne pettorali	25	Distanza dalle ventrali all'anale	112
" " " ventrali	32	" fra l'anale e l'orig. della coda	65
" degli ischi	39	Raggi della pinna ventrale	c. 6
Distanza fra l'orig. della pinna dors. ed il premaxillare	256	" dorsale	c. 13—14
Estensione della pinna dorsale	41	" dell'anale	7—8
Lunghezza del 1° raggio dorsale	5	" della pinna caudale, per ogni lobo, almeno	20
		Vertebre	45

Tre sono i frammenti che rappresentano questa specie, l'un d'essi conserva la parte anteriore del corpo fino all'origine della pinna anale; l'altro quasi tutto il tronco; l'ultimo la parte posteriore del pesce, a cominciare dalle ventrali. L'ittiolito può essere dunque completamente ed esattamente ristaurato.

La massima altezza del *Proch. rectifrons*, presa fra l'inserzione delle pinne ventrali e il primo raggio della dorsale, sta tre volte e tre quarti nella complessiva lunghezza, la quale, calcolata sugli esemplari alle Tav. XIV e XV, misura cinquantaquattro centimetri.

La testa, robusta e acuminata, raggiunge all'occipite un'altezza di dieci centimetri e mezzo ed è compresa poco più di quattro volte nella totale lunghezza. Il profilo frontale, posteriormente elevato, scende obliquo e rettilineo. La mascella superiore sorpassa l'altra di quasi sette millimetri. Il premaxillare è tozzo; il maxillare, corto e inferiormente allargato, copre parzialmente il dentario. Questo, l'angolare e l'articolare sono grossi e massicci, ma brevi, essicché lo squarcio della bocca riesce assai piccolo (come in *Chanos salmoneus* Cuv. et Val.). Non v'ha alcuna traccia di denti. — L'apparato opercolare è straordinariamente sviluppato, in modo che nasconde quasi tutto l'arto toracico, di cui scorgonsi soltanto una branca del supraclaviculare superiore ed il tratto inferiore della clavicola e del coracoeide (come in *Ch. salmoneus*). A quanto sembra, l'opercolo, il sottopercolo e l'interopercolo erano percorsi alla superficie da leggerissime strie; il loro margine libero mostrasi arrotondato.

La colonna vertebrale è composta di circa quarantacinque vertebre, comprese quelle nascoste sotto l'opercolo. Tredici soltanto sono caudali. Queste e le addominali posteriori sono più grandi delle anteriori; tutte appaiono grosse, massicce e percorse nella loro metà da una robusta salienza longitudinale. Le spine nevrali delle vertebre addominali si elevano arenate verso l'indietro e vanno provviste di numerose appendici secondarie, le quali, partendo dalla base delle nevrapofisi, si dividono e si suddividono, sorpassando queste in lunghezza. Le spine nevrali che precedono la pinna dorsale presentano un numero maggiore di codeste appen-

dici e — meno le tre o quattro prime — son provvedute eziandio di un ossicino, che, staccandosi dal terzo superiore di esse, si spinge in su verso il profilo del dorso, offrendo la forma di una *S* allungata (come in *Chanos salmoneus*). Le nevrapofisi caudali e le enapofisi camminano oblique verso l'indietro. L'ampia cavità addominale è tutta occupata dalle coste, che mostransi fitte, assai lunghe, molto larghe alla base e percorse da un profondo solco longitudinale (come in *Chanos salmoneus*). Le anteriori raggiungono il profilo inferiore del pesce; le successive si accorciano gradatamente. Nell'esemplare alla Tav. XIV veggonsi sparse fra loro moltissime nova ed un coprolito.

Le pinne pettorali, mal conservate ed inserite a centotrentasette millimetri dall'estremità libera dell'osso dentario, lasciano scorgere a mala pena alcuni raggi, abbastanza grossi e lunghi almeno venticinque millimetri.

Opposte alla dorsale stan le ventrali, appese a due lunghissimi ischi, robusti ed appuntiti, composte di circa sei grossi raggi e corrispondenti alla lunghezza di oltre tre vertebre.

La pinna del dorso comincia sopra la ventiquattresima vertebra addominale, a quasi ventisei centimetri dal prenascellare. Occupa un'estensione di oltre quaranta millimetri ed è sostenuta da dodici a tredici interapofisari: l'anteriore, il più breve, lungo più di un centimetro e mezzo; il secondo oltre il doppio di questo; gli altri insensibilmente accorciandosi. I raggi non sono ben conservati; il primo è semplice e lungo cinque millimetri; i due successivi, pur semplici e corrispondenti alla lunghezza di una vertebra codale, misurano meno della metà del quarto e del quinto, che sono, come i rimanenti, divisi; il sesto eguaglia l'estensione del più sviluppato ossicino interspinoso.

L'anale, che dista centododici millimetri dall'inserzione delle ventrali e sessantacinque dalla coda, è bassa e ristretta, con una base di due centimetri e mezzo. Vi conto sette od otto raggi forcuti, sorretti da interapofisari lunghi e robusti.

La pinna codale, assai grande e compresa quasi quattro volte nella totale lunghezza del pesce, ha i lobi ampiamente divaricati, che misurano quattordici centimetri. Ciascuno di essi è costituito di almeno venti raggi, molto robusti, articolati e più volte divisi (come in *Chanos salmoneus*).

Spiegazione delle figure: Tav. XIII, XIV, Fig. 1, e Tav. XV. *Prochanos rectifrons* Bass.

Grupp. CLUPEINA.

Gen. CLUPEA Linn.

Agassiz l. c. Vol. V, parte II, p. 115.

Anche il genere *Clupea* era ampiamente rappresentato nelle acque di Lesina.

Le Clupee hanno la testa poco voluminosa, le mascelle sprovviste di denti, le apofisi vertebrali e le coste sottilissime, la pinna dorsale colloca nel mezzo del corpo, le ventrali opposte a questa o inserite un po' più indietro di essa, l'anale abbastanza sviluppata, la codale profondamente forcuta e la cavità dell'addome limitata da coste sternali.

Gli strati cretacei dell'isola dalmata offersero due specie di questo genere: la *brevissima* e la *goudryi*.

Clupea brevissima Blainv.

(Tav. VII, Fig. 5 e 6; Tav. VIII, Fig. 1—3.)

Clupea brevissima Blainv. — Blainville, „Ichthyol.“ p. 60 (Estratto dal „Nouveau Dict. d'hist. naturelle“, tom. XXVII), 1818.

Agassiz l. c. Vol. V, p. 117, tav. 61, fig. 6—9.

Pictet, „Descript. de quelques poissons foss. du Mont Liban“, p. 41, tav. 8, fig. 1 e 2, Genève 1850.

Pictet et Humbert, „Nouvelles recherches sur les poissons fossiles du Mont Liban“, p. 61, tav. 6, Genève 1866.

„Proceedings geol. Soc. of London“. Vol. III, p. 291.

Bassani, „Über einige fossile Fische von Cumen“, „Verhandl. d. k. k. geol. Reichsanst.“, Nr. 9, Wien 1879.

Clupea brevissima Bass. — Bassani, „Vorläufige Mittheil. etc.“, p. 163.

Clupea lottae Bass., non Pictet et Humb. — Bassani l. c. p. 163.

Esemplare alla Tav. VII, Fig. 5.

Lunghezza totale del pesce	56 ^{mm}	Estensione della pinna anale	9 ^{mm}
Altezza massima del corpo	17	Distanza tra la fine dell'anale e l'orig. della coda	2
Lunghezza della testa	16	Lunghezza della pinna codale	11
Distanza fra le pinne pett. e l'estremità del muso	10	Raggi della pinna pettorale	13-14
" " pett. e le ventrali	15	" " ventrale	5-6
" " la pinna dors. e l'estr. dell'osso dentario	22	" " dorsale	18
" " tra la fine della dors. e l'orig. della coda	27	" " anale, conserv. nel nostro esemplare	21
Estensione della pinna dorsale	c. 8	" " codale, per ciascun lato, almeno	14
Lunghezza del 1° raggio dorsale	1	Branchiostegii	6
" " 2°	c. 2	Coste sternali, paio	18
" " 3°, 4°, 5°, 6° e 7° raggio dorsale	c. 5	Vertebre	33-34
Distanza fra le ventrali e l'orig. dell'anale	9		

Esemplare alla Tav. VIII, Fig. 1.

Lunghezza complessiva del pesce	84 ^{mm}	Lunghezza della coda	21 ^{mm}
Altezza massima	21	Raggi della pinna anale	24
Lunghezza della testa	19		

Clupea brevissima — descritta la prima volta dal de Blainville, illustrata più tardi dall'Agassiz, dal Pietet e dall'Humbert, riscoperta a S. Giovanni d'Acri, al Monte Carmelo, a Gebel-Sanneen vicino a Beyrut, a Makrikoi presso Costantinopoli, ad Hakel ed a Comen — popolava eziandio le acque eretee di Lesina.

Gli esemplari di questa specie presentano in generale una forma tozza ed ovale. Talvolta si mostrano alquanto slanciati, ma spicca sempre ed in tutti l'ampiezza della cavità addominale.

L'individuo figurato alla Tav. VII, Fig. 5 è lungo cinquantasei millimetri. La sua massima altezza, misurata a livello del primo raggio dorsale, è compresa un po' più di tre volte nella complessiva lunghezza. Il profilo dorsale è pressochè rettilineo; quello del ventre mostrasi sensibilmente rigonfiato.

La testa è breve e finisce ristretta; quasi tanto lunga che alta, corrisponde esattamente al quarto della lunghezza totale del pesce. L'osso frontale, percorso da piccoli solchi longitudinali, è un po' incavato; mentre l'occipitale superiore, provvisto di sottilissime strie, si rialza notevolmente, in modo che il tratto posteriore del profilo della testa risulta elevato. Lo squarvio della bocca è piuttosto piccolo. Il premaxillare è grosso e breve; il maxillare, assai più grande, discende un po' curvato verso l'avanti; l'osso dentario, leggermente concavo al suo margine superiore, ha una forma quasi triangolare. L'orbita, ampia, è collocata in alto. L'opercolo è stretto, molto più alto che largo, coll'orlo posteriore regolarmente arrotondato. Conto almeno sei raggi branchiostegii.

La pinna dorsale, che piega alquanto all'insù, risulta di trentatré o trentaquattro vertebre, comprese anche quelle che si scorgono a mala pena sotto l'apparato opercolare. Quindici di esse sono codali e vanno provviste di apofisi arenate all'avanti e man mano accorciandosi. Le vertebre addominali, in numero di diciotto o diecinove e un po' più allungate, hanno nevrapofisi più brevi, inclinate all'indietro e fornite di sottilissime appendici secondarie. Le coste, assai lunghe e posteriormente rinvie, giungono quasi fino all'orlo ventrale del pesce. Le prime dodici paio s'inseriscono direttamente o quasi alle vertebre, mentre le sei susseguenti partono da parapofisi che successivamente si allungano. Altrettanto si osserva in certi clupeidi viventi, valga ad esempio *Megalops cyprinoides* Brouss., o — meglio ancora — *Melitta thyssa* Cuv. et Val. — Gli è forse per questo (quantunque dalle figure ch'essi ne diedero ciò non appaia) che Pietet ed Humbert, nel loro lavoro sui pesci del Libano, accennano alla presenza di diciassette o diciotto vertebre caudali. Il profilo addominale è tappezzato da distintissime coste sternali: ne conto dodici paio avanti le pinne ventrali e sei fra queste e il principio dell'anale: le più sviluppate, che son le mediane, occupano il quarto della cavità dell'addome.

Le pinne pettorali, abbastanza sviluppate, stanno a un decimetro dall'estremità del muso e sono costituite da tredici o quattordici raggi, gli anteriori dei quali giungono in lunghezza a sei millimetri.

Quindici millimetri segnano la distanza fra queste e le ventrali, che, assai piccole ed inserite a livello del terzo anteriore della pinna dorsale, lasciano contare cinque o sei brevi raggi.

Questa comincia a circa ventidue millimetri dall'estremità libera dell'osso dentario e finisce a ventisette dall'apice del lobo codale superiore. Occupa un'estensione di sette millimetri e mezzo, è sostenuta da interapofisari, che camminano obliqui in avanti e che si accorciano mano mano verso l'indietro, e risulta di dieciotto raggi. Il primo di questi è lungo un millimetro; il secondo è quasi doppio del primo; i cinque susseguenti, alquanto superati dall'ottavo e dal nono, misurano circa mezzo centimetro; gli altri decrescono rapidamente, in modo che la pinna presenta nel suo complesso una forma irregolarmente triangolare. Davanti ad essa si distinguono nettamente sei ossicini interspinosi inermi, più robusti dei susseguenti.

L'anale, bassissima, dista nove millimetri dalla inserzione delle ventrali ed è altrettanto lunga. Io non ho saputo contarvi che vent' un raggio: l'anteriore assai corto; i sei successivi un po' più sviluppati; gli altri estremamente brevi. Gli interspinosi, in egual numero, son sottilissimi.

A due millimetri dall'anale sta la codale, la cui lunghezza è di undici. È profondamente divisa in due lobi acuti, ciascuno dei quali conta almeno quattordici raggi.

Un altro esemplare, ch'è riprodotto alla Tav. VIII, Fig. 1, e che riferisco alla medesima specie, offre una forma alquanto più slanciata, la cavità addominale meno ampia e la pinna codale più lunga.

La massima altezza, misurata a livello del primo raggio dorsale, sta esattamente quattro volte nella complessiva lunghezza dell'istiotto, ch'è di ottantaquattro millimetri.

La testa, pressochè tanto alta che lunga, ne misura diciannove. Come nell'altro individuo, l'occipitale superiore ed il frontale veggonsi percorsi da solchi longitudinali.

Se, come credo, le piccole sporgenze che veggonsi al profilo pettorale del pesce e subito dietro la testa sono gl'indizi di coste sternali, se ne conterebbero diciassette paia avanti le pinne del ventre. Anche lungo le coste e le parapofisi notansi appendici secondarie.

Nella pinna dorsale, che non è ben conservata, conto almeno venti raggi. Innanzi ad essa stanno, come al solito, alcuni ossicini interapofisari inermi.

L'anale, qui pare bassissima, lascia scorgere ventiquattro raggi.

La coda misura il quarto della lunghezza totale e corrisponde esattamente alla massima altezza del corpo. I lobi sono profondamente divisi ed appuntiti.

Un terzo esemplare mi tenne lungamente indeciso. I confronti colle altre specie del genere non m'aveano dato il mezzo di associarla a veruna; ond'io inclinavo a proporla qual nuova. Se non che, dopo un minuziosissimo esame, mi decisi a ritenerla come una semplice varietà della *Clupea brevissima*, dalla quale l'allontanano peraltro alcuni caratteri, cui mi giova accennare.

Il profilo frontale, a partire dal premaxillare e fino al punto ove i frontali si uniscono all'occipitale superiore, mostrasi sensibilmente incavato, per poi rifeversi in un arco uniforme, che fa risaltare vieppiù l'infossamento anzidetto: infossamento ch'è favorito eziandio dal premaxillare, il quale sporge alquanto all'insù. Sotto questo aspetto il nostro fossile richiama certe cluppe del monte Bozca, i cui esemplari si conservano nei Musei di Vicenza, di Padova e di Parigi, e che da Paolo Lioy furono distinte col nome di *Clupea polyacanthina*.¹ Meglio ancora, a fornirne un esemplio più pratico, è un profilo simile a quello che vedesi nel vivente *Megalopa indicus* Cuv. et Val. (*M. cyprinoides* Brons., secondo Günther).

Il maxillare, relativamente robusto, corre parallelo alla branca discendente del premaxillare, e, un po' allargato all'in basso, copre l'orlo posteriore dell'osso dentario. Questo, corto e massiccio, mostrasi inferiormente arrotondato; l'articolare è brevissimo. Il preopercolo lascia scorgere alcune minute frastagliature vicino al margine antero-inferiore; le altre ossa che compongono l'apparato opercolare determinano un arco e sono sviluppate così, che ricoprono affatto la clavicola. Come l'entopteroide, il presfenoid cammina al di sotto dell'orbita, lungo i sottorbitari, che, del lacrimale all'infuori, son piccioli e allungatissimi.

La colonna vertebrale risulta di trentaquattro vertebre visibili; le nevrapofisi anteriori sono assai più larghe delle susseguenti.

¹ P. Lioy, «Sulle cluppe fossili di M. Bozca», Milano 1866.

Scorgesi un lembo del coracoide, a cui fanno seguito le pettorali, costituite da nove o dieci raggi.

Se vogliamo, l'individuo in discorso ha anche la pinna dorsale un po' più avanti che non nella *Cl. brevissima*, e, pur conservando il pronunziato profilo di questa specie, mostrasene un po' più slanciato.

In complesso possiamo dire che tiene il mezzo fra *Cl. brevissima* e *Cl. bottae*: due specie legate fra loro dai più stretti rapporti.

A *Clupea brevissima* riferisco per ultimo un altro esemplare, che nelle mie Vorläufige Mittheilungen über die Fischfauna der Insel Lesina avevo ascripto a *Clupea bottae* Pietet et Humbert.¹

L'individuo, riprodotto alla Tav. VII, Fig. 2, offre i seguenti caratteri:

La lunghezza complessiva del pesce raggiunge cinquantasei millimetri, e quasi dieciotto ne misura la sua massima altezza, presa un po' avanti della pinna dorsale.

La testa, un po' più lunga che alta, sta poco più di tre volte nella lunghezza totale. Le ossa del muso sono spostate, cosicchè riesce difficile rilevare con sicurezza il significato di ciascuna di esse; tuttavia parmi di non errare dicendo che il premaxillare è molto lungo, sottile e finisce appuntito, che il maxillare, ristretto ai due capi, si allarga nel tratto mediano, e che il dentario ha una forma pressochè triangolare. Se è così, l'ittiolito si avvicinerrebbe sotto questo rapporto a *Clupea bottae*, in cui il premaxillare è più lungo che non in *Clupea brevissima* ed il maxillare, largo ed ovale, ha il margine assai più diritto che in molte altre specie del genere. L'occipitale superiore — pur qui fornito di strie — mostrasi leggermente rialzato, ma il profilo frontale corre obliquo all'inghiù, avvicinandosi anche per ciò più a *Clupea bottae* che a *Cl. brevissima*, ove il profilo in discorso è superiormente incavato. L'opercolo è mediocemente sviluppato e arrotondato all'indietro.

La colonna vertebrale risulta di diciassette vertebre codali e quindici addominali visibili. Le tre ultime sono assai corte; le altre mostransi più lunghe che alte. Le sette paia anteriori di coste veggonsi inserite direttamente alle vertebre; le otto susseguenti si appoggiano alle parapofisi.

Le pinne pettorali lasciano scorgere soltanto sette od otto raggi, sottili ma abbastanza lunghi.

A dodici millimetri da queste stanno le ventrali, brevissime e — come in *Cl. bottae* — inserite a livello della metà della dorsale.

Questa comincia a ventitre millimetri dall'estremità del muso, occupa un'estensione di sette e termina a ventiquattro dall'origine della coda. Risulta costituita da dieciotto raggi suddivisi, dei quali il terzo, il quarto, il quinto ed il sesto sono i più lunghi (7^{mm}). Davanti v'ha, come al solito, parecchi interspinosi incerti.

L'anale, debolmente conservata, principia a undici millimetri dall'origine della coda. Non mi è dato fissare con esattezza il numero dei raggi che la compongono.

La codale, che si sorregge alle apofisi delle tre ultime vertebre, misura appena il quinto della complessiva lunghezza, è profondamente incavata ed ha i lobi acuti.

Da questa succinta descrizione risulta che il nostro esemplare associa in sé stesso caratteri della *Cl. bottae* e della *Cl. brevissima*. L'ho fatto osservare poranzi, e prima di me l'hanno detto il Pietet e l'Humbert: i rapporti fra queste due specie sono moltissimi, — ed i cenni snesposti li confermano e li aumentano. Certamente non è strana l'idea che *Cl. bottae* e *Cl. brevissima* sieno sinonimi.

Ma su questo argomento dirò di più nella Parte II, trattando dell'ittiofauna del Libano.

Spiegazione delle Figure: Tav. VII, Fig. 5. *Clupea brevissima* Blainv.

"	"	"	6. Id. Apparato boccale (ingr.).
"	VIII,	"	1. Id.
"	"	"	2. Id.
"	"	"	3. Id. Apparato boccale (ingr.).

¹ Pietet et Humbert l. c. p. 64, tav. VII, fig. 1-5.

La pinna del dorso, preceduta da almeni interapofisari inermi, comincia a vent'na millimetro dall'estremità del muso, sopra la sedicesima vertebra addominale, ed occupa un'estensione di cinque millimetri e mezzo.

È composta di quattordici raggi, l'anteriore dei quali è breve, i quattro susseguenti son quasi il triplo del primo, e gli altri gradatamente si accorciano. La sorreggono altrettanti ossicini interspersi, che oltrepassano l'estremità delle nevrapofisi. Di questi, i due primi son brevi, i quattro che seguono sono i più lunghi, gli altri sette diminuiscono man mano. L'ultimo raggio della pinna in discorso sorge a livello della quartultima vertebra addominale.

L'anale, remota, bassissima e ristretta, principia a sei millimetri e finisce a due dall'origine della coda. Vi numero undici raggi estremamente brevi; peraltro è probabile che il loro numero fosse maggiore.

La pinna codale, che trae sostegno dalle tre ultime vertebre, misura in lunghezza otto millimetri, è profondamente incisa ed ha i lobi acuti. Ciascuno di questi conta almeno dodici raggi: i due esterni più brevi e semplici; il terzo pur semplice e più lungo fra tutti; gli altri suddivisi e man mano accorciandosi.

Come ho detto prima, l'osso mascellare e il dentario, visti alla lente, palesano sennè vestigia di denti. Questa circostanza, associata alla presenza di coste sternali, che nel nostro individuo hanno lasciato indubitabili tracce, assume — mi sembra — un certo valore scientifico.

Dacchè recenti studj han dimostrato che il gen. *Leptolepis* non è provvisto di squame ganoidi e deve rientrare nella sottoclasse dei teleostei, i veri caratteri che distinguono questo genere dal genere *Clupea* si compendiano nella presenza di denti alle mascelle e nella mancanza di coste sternali. Or, che dobbiamo noi dire di un individuo, il quale, fornito di queste coste, lascia scorgere anche dei denti ai due mascellari? Nè l'esemplare di Lesina ed ha i lobi acuti. Ciascuno di questi conta almeno dodici raggi: i due esterni più brevi e semplici; il terzo pur semplice e più lungo fra tutti; gli altri suddivisi e man mano accorciandosi.

La presenza di questi ultimi organi nei due esemplari in discorso li vorrebbe associati al gen. *Clupea*, mentre l'esistenza di denti alle ossa mascellari li farebbe riferire ai *Leptolepis*. Non potremmo noi forse riconoscere in questo fatto una prova del trasformismo in seguito a lenta successiva modificazione dell'organismo? E questa opinione non verrebbe in qualche modo suffragata anche dai quattro individui ritenuti a *Leptolepis nemagry*, dei quali ho parlato in addietro, e che la tozza forma del corpo, il profilo addominale convesso e il promontorio pedicello caudale avvicinano al gen. *Clupea*? Codesti fatti non inducono forse nella mente dell'osservatore una ferma idea di legame genetico fra *Leptolepis* e *Clupea*?

Spiegazione delle figure: Tav. VII, Fig. 1. *Clupea gaudryi* Piet. et Humb.

" " " 2. Apparato boccale (molto ingr.).

" " " 3. Apparato opercolare (id.).

" " " 4. Arto toracico (id.).

Gen. SCOMBROCLUPEA Kner.

R. Kner, „Über einige fossile Fische aus den Kreide- und Tertiärschichten von Comen und Podunac“. „Sitzungsberichte d. mathem.-naturw. Cl. d. kais. Akad. d. Wiss.“ Vol. XLVIII. part. I, p. 132. Wien 1863.

Questo genere, fondato nel 1863 dal prof. Kner per alcuni individui degli schisti bituminosi del Corso presso Comen in Istria, associa ai caratteri generali delle Clupee una particolare organizzazione della pinna anale, che ricorda fino a un certo punto quella del gen. *Scomber*, *Cybinus*, *Oregmus*, *Thynnus* etc. Esso può venire brevemente definito così:

Il corpo è allungato e compresso. La testa somiglia quella del gen. *Clupea*. Le mascelle sono sprovviste di denti. Le vertebre, pressochè tanto alte che lunghe, raggiungono il numero di trentanove o quaranta. Le coste sternali, numerose e robuste, occupano tutto lo spazio compreso fra le pinne pettorali e l'origine dell'anale. Questa è seguita da pinnae spurie, ciascuna delle quali è sostenuta da un solo ossicino. Le ventrali mostransi opposte alla dorsale, mediana. La codale appare forcuta.

Scombroclupea macrophthalma (Heek.) Piet. et Humb.

(Tav. VII, Fig. 7—13.)

F. J. Pietet et A. Humbert l. c. p. 71, tav. IX. Genève 1866.

Clupea macrophthalma Heek. — Heekel, „Abbildungen und Beschreibungen der Fische Syriens“, p. 242, tav. XXIII, fig. 2. Wien 1843.*Scombroclupea pinnulata* Kuer. — Kuer l. c. p. 132, tav. II. Wien 1863.*Scombroclupea pinnulata* Id. — Kuer, „Neuer Beitr. z. Kenntn. d. foss. Fische von Comen bei Görz“, p. 17, tav. I, fig. 2. („Sitzungsab. d. kais. Akad. d. Wiss.“ vol. LV, part. I.) Wien 1867.*Scombroclupea macrophthalma* (Heek.) Piet. et Humb. — Bassani l. c. p. 163.

<p> Lunghezza totale del pesce 132^{mm} „ senza la coda 110 Altezza massima del corpo 26 Lunghezza della testa 32 Sua altezza 23 Distanza fra l'inserz. delle pinne pett. e l'estr. del muso 33 „ „ le pinne pett. e le ventrali 39 Lunghezza del 1° raggio pettorale 12 „ delle pinne ventrali 8 Estensione della dorsale 13 </p>	<p> Lunghezza del raggi ant. della pinna dorsale 14^{mm} Distanza fra le pinne ventr. e l'anale 33 Lunghezza della pinna codale 22 Raggi della pinna pettorale 13 „ „ „ ventrale 6 „ „ „ dorsale 17 „ „ „ anale 7 Pinne spurie 5—6 Coste sternali 24—25 Vertebre 40 </p>
---	---

Due individui rappresentavano questa specie a Lesina. L'uno, più grande e riprodotto alla Tav. VII, Fig. 7, risponde perfettamente agli itioliti omonimi, provenienti dal Monte Libano ed illustrati nel 1866 dal Pietet e dall'Humbert; l'altro, minore e incompleto, è identico a quello di Comen, pubblicato nel 1867 dal Kuer col nome di *Scombr. pinnulata*.

L'individuo figurato, rivolto anteriormente all'inch, ha una forma regolare, che ricorda quella delle elupee. La sua massima altezza, presa a livello delle pinne ventrali, è compresa cinque volte nella complessiva lunghezza, che misura centotrentadue millimetri.

La testa, alla ventitre, è contenuta quasi tre volte e mezza nella lunghezza totale. Il profilo superiore di essa, un po' rialzato all'occipite, corre obliquamente all'inghiù. Lo squarcio della bocca è mediocre. Il premaxillare mostrasi corto e stretto. Il mascellare, notevolmente sviluppato ed abbastanza grosso al principio, si restringe nel tratto mediano, per allargarsi poscia di nuovo e coprire parzialmente il dentario, che è grande e pressochè triangolare. L'orbita, ampia e collocata in alto, è cinta da parecchi ossicini sottorbitali, che lasciano scorgere delle segghettature all'orlo inferiore. La branca ascendente del preopercolo, longitudinalmente percorso da un solco, supera l'altra in lunghezza e forma con essa un angolo assai pronunciato. L'opercolo, più alto che largo, è posteriormente arrotondato.

La colonna vertebrale è composta di quaranta vertebre: sedici caudali e ventiquattro addominali. Queste (di cui le quattro anteriori sono coperte dall'apparato opercolare) mostransi delicate e quasi tanto alte che lunghe; le altre si fan più robuste e si allungano. Le nevrapofisi delle vertebre addominali sono gracili, fornite di appendici secondarie e dirette obliquamente all'indietro; quelle delle prime sette codali e le corrispondenti emapofisi son piegate a forma di grappa; le ultime nove riprendono la direzione obliqua. Le coste appaiono piuttosto sottili e provviste di appendici: quelle che precedono le pinne ventrali s'inseriscono direttamente ai corpi delle vertebre e raggiungono la linea dell'addome; le successive partono da parapofisi e si fanno man mano più corte.

Il profilo inferiore del pesce è limitato da ventiquattro o venticinque coste sternali, che presentano la solita forma e che, cominciando dall'origine delle pettorali, si estendono fino all'anale.

Le pinne pettorali, inserite a trentare millimetri dall'estremità dell'osso dentario, sono abbastanza sviluppate e risultano di tredici raggi. Il primo di essi, semplice e robusto, misura dodici millimetri; i susseguenti, più corti, veggonsi divisi.

Quasi quattro centimetri segnano la distanza fra queste e le ventrali, inserite sotto la metà della dorsale e costituite da cinque robusti raggi, lunghi otto millimetri.

La pinna del dorso principia alla metà della lunghezza del corpo, esclusa la coda, ed occupa un'estensione, che corrisponde alla decima parte di quella totale del pesce. Nel nostro esemplare sono conservati soltanto undici raggi, molli e divisi, ma i sei interspinosi che a loro susseguono portano questo numero a diciassette. Gli anteriori misurano quattordici millimetri; gli altri si accorciano man mano, dando alla pinna una forma pressochè triangolare.

L'anale è composta di circa sette raggi, assai graiili e brevi, sostenuti da altrettanti sottilissimi interspinosi. Seguono cinque o sei pinne spurie, che occupano il tratto compreso fra l'anale propriamente detta e l'origine della codale. Ciascuna di esse dista circa quattro millimetri dalla susseguente e risulta formata di un ossicino interapofisario, che sorregge un brevissimo raggio, molle e suddiviso. Lo spazio tra le ventrali e l'anale corrisponde a quello compreso fra le pettorali e l'estremità del muso.

La coda, profondamente incisa, ha i lobi acuti, ciascuno dei quali è composto di circa dieciotto raggi articolati e più volte forenti. Gli articoli dei quattro più esterni sono orizzontali; nel susseguente mostransi obliqui; nel sesto appaiono in forma di S; nel settimo veggonsi leggermente concavi e seghettati.

Questa specie fu descritta la prima volta da Jacopo Heckel, che la studiò sopra un esemplare imperfetto proveniente dal monte Libano e la chiamò *Clupea macrophthalmus*.

Più tardi il Pictet e l'Humbert, illustrando l'ittiofauna siriana ed avendo a disposizione migliori individui, riconobbero erronea la determinazione generica del naturalista viennese e li riferirono al gen. *Scombroclupea*, fondato nel 1863 da Kuer, pur rilevandone la strettissima analogia colla *Scombroclupea pinulata* di Comen.

L'esame diretto ch'io ho potuto istituire sulle *Scombrocluppee* di Hakel, di Comen e di Lesina mi ha permesso di constatare con sicurezza la loro identità. Tutte adunque vanno inserite col nome specifico di *macrophthalmus*, il quale, essendo il più antico, ha il diritto di priorità.

Spiegazione delle figure: Tav. VII, Fig. 7. *Scombroclupea macrophthalmus* (Heck.) Pict. et Humb.

- " " " 8. Apparato boccale (ingr.).
 " " " 9. Proopercolo (ingr.).
 " " " 10-13. 4°, 5°, 6° e 7° raggio del lobo inf. della pinna codale (ingr.).

Ordi. ACANTHOPTERYGII.

Fam. HOLOCENTRIDAE.

Gruppo. BERYCINA.

Gen. BERYX Cuvier.

Agassiz l. c. Vol. IV, p. 114.

Come ho accennato al principio di questa Memoria, la creta di Lesina albergava un solo acantottero, che va riferito alla famiglia *Holocentridae* ed al gen. *Beryx* Cuvier.

Questo genere, principalmente rappresentato nei terreni cretacei, è affine ai *Myripristis* ed agli *Holocentrum* e si distingue pei seguenti caratteri:

Il corpo mostrasi alto e compresso. Le ossa della testa, che è corta ed ottusa, veggonsi fornite di dentellature più o meno pronunziate. I raggi spinosi della pinna dorsale non son separati dai molli. Le ventrali risultano costituite da una spina anteriore e da più di cinque raggi molli. Anche gli orli della caudale vanno provvisti di alcune piccole spine. Contausi otto branchiosteghi. Le squame sono fortemente dentellate al margine posteriore.

Beryx suboratus Bass.

(Tav. VIII, Fig. 4.)

Lunghezza complessiva del pesce	81 ^{mm}	Altezza della testa sopra la spina occipitale	35 ^{mm}
Altezza massima del corpo	41	Altezza della cavità add. a livello delle pinne ventrali	29
Lunghezza della testa	28	" " " dorsale	13

Distanza fra l'inserz. delle pinne pett. e l'estr. dell'osso dentario	36**	Distanza fra l'orig. dell'anale e la coda	18**
Distanza fra le pinne ventr. e l'orig. dell'anale	22	Estensione dell'anale	12
" " l'inserz. delle ventr. e l'estrem. dell'osso dentario	36	Lunghezza della coda	17
Lunghezza delle pinne ventrali	14	Raggi della pinna pettorale	1/12
Lunghezza degli ischi	7	" " " ventrale	1/7
Distanza tra la fine della pinna dors. e l'orig. della coda	8	" " " dorsale	3/11
Estensione della pinna dorsale	38	" " " anale	4/9
		Vertebre visibili	23

Il pesce è di forma subovata e tozza. La sua lunghezza totale raggiunge un po' meno del doppio della massima altezza, presa dietro l'inserzione delle pinne ventrali. La distanza fra il profilo dorsale e la colonna vertebrale sta due volte ed un quarto nella cavità dell'addome.

La testa, robusta, è compresa tre volte nella lunghezza totale; la sua altezza, misurata a livello della spina occipitale, corrisponde allo spazio occupato da diciotto vertebre. Il profilo superiore di essa, molto elevato posteriormente, scende obliquamente e determina col premascellare un angolo ottuso. Lo squarcio della bocca è grande: la mascella inferiore, assai grossa, sporge un po' oltre la superiore.

La colonna vertebrale risulta composta di ventitre vertebre visibili. Le candali, in numero di tredici, sono alquanto più brevi delle addominali. Tutte le nevrapofisi e le emapofisi, lunghe e robuste, camminano obliquamente all'indietro. Le coste mostransi assai brevi e delicate.

A trentasei millimetri dall'estremità libera dell'osso dentario stanno le pinne pettorali, fornite di dodici raggi assai deboli, lunghi quasi un centimetro e disposti a ventaglio.

Le ventrali, inserite a livello delle pettorali, sono sorrette da ischi gracili e corti, che toccano il margine posteriore della clavicola. Le compongono un raggio spinoso e sette molli, che misurano la lunghezza di quattordici millimetri.

La pinna dorsale, incompleta, comincia subito dietro la spina dell'occipite e si spinge fino a livello della sesta vertebra candale (numerata verso l'avanti), occupando un'estensione di quasi quattro centimetri. Conta ventitre raggi, di cui gli anteriori, spinosi, si continuano senza interruzione coi susseguenti, molli e divisi. I primi ossicini interapofisari giungono fin oltre la metà delle spine neurali; gli altri si accorciano man mano.

L'anale principia a diciotto millimetri dall'origine della codale ed è costituita da sedici raggi coi quattro (?) soli dinanzi spinosi. Gli interapofisari di questi ultimi sono assai sviluppati.

La coda, mal conservata, conta almeno diciotto raggi per ogni lobo ed è lunga diciassette millimetri.

Questa specie, affine al *Beryx dalmaticus* Steind. di Couen, se ne distingue per la forma e le proporzioni del corpo e per lo sviluppo e la costituzione della pinna dorsale.

PARTE SECONDA.

Compiuta così la rassegna dei pesci fossili che vivevano nel mare cretaceo di Lesina, passiamo adesso alla Parte II*, la quale — ripeto — prende successivamente in esame quasi tutti gl'ititolidi di Pietraroia, de' Voiron, di Couen, di Crespiano, della Tolfa, di Groditsch, di Hakel, di Sahel-Alma e della Vestfalia, allo scopo di riunire assieme buona parte di quello che fino al dì d'oggi ci è positivamente noto su questi fossili, di rettificare alcune determinazioni errate, di rilevare le affinità generiche e specifiche ch'essi presentano — paragonati fra loro e con quelli dell'isola dalmata, di tentare alcuni saggi genealogici e di dedurre colla maggiore esattezza possibile l'età relativa dei vari piani a cui appartengono.

E cominciamo dalla

Ittiofauna di Pietraroia,

che venne successivamente illustrata da Oronzio Gabriele Costa negli „Atti“ e nelle „Memorie della R. Accademia Napoletana delle Scienze fisiche e matematiche“, nella „Paleontologia del Regno di Napoli“ e nella „Ittiologia fossile italiana.“¹

Il calcare „stratoso e siliceifero“ — come lo chiama il Costa — di Pietraroia fornì esemplari appartenenti a tutte tre le sotto classi di pesci: i rondotterigi, i ganoidi ed i teleostei.

I primi sono rappresentati:

a) da un individuo, che il Costa descrisse a pag. 109, Tav. C dell' „Appendice alla paleontologia delle provincie napoletane“ sotto il nome di *Rhinobatus obtusatus* Costa;

b) da un altro ittiolito, illustrato da quest'Autore nella III. Parte della „Paleontologia del Regno di Napoli“ alla pag. 123, Tav. XII, Fig. 13 col nome di *Centropterus lividus* Costa;

c) da un rappresentante del gen. *Carcharodon*, se vogliamo credere a quel che sta scritto a p. 234 di una Nota dello stesso naturalista, inserita nelle „Memorie della R. Accademia delle scienze di Napoli“ (1857), ed alla penultima linea del „Sommario delle specie di pesci fossili disceperiti finora tra i confini del Regno di Napoli“ (pag. 88 della „Paleontologia etc.“, Parte II).

Il *Rhinobatus obtusatus* Costa è un magnifico esemplare, lungo sessantasette centimetri, che manca soltanto dell'ultimo tratto del corpo e che riassume in se stesso quasi tutti i caratteri di questo interessantissimo genere. Esso si distingue dallo *Spathobatus bugesiacus* Thiollière per la pinna che in questo percorre tutto il dorso a guisa di cresta (2), e dal *Belemnobatus simonidae* id.² per la presenza di coste. — Il disco è ottusamente romboidale; il rostro, in cui questo finisce, mostra l'estremità arrotondata; le narici veggonsi ampie ed ovali. Nella porzione anteriore delle pinne pettorali, i raggi che le compongono sono diretti in avanti; nella parte mediana corrono quasi rettilinei fino al margine del disco, e nel resto piegano all'indietro. Le ventrali, larghe e lunghe, sporgono oltre il disco alcuni centimetri. A circa sessanta millimetri dall'estremità libera di queste pinne scorgonsi le tracce di una dorsale. Contansi circa sessanta vertebre, ben distinte fra loro.

Tentiamo di rilevare le analogie che legano questa raja alle altre scoperte nei terreni geologici.³

Oltre le specie viventi, tre sono i *Rhinobatus* fossili: l'*obtusatus* di Pietraroia, il *maronita* di Hukel (un Libano) e il *primævus* di Bolen.⁴ Non calcolo la cartilagineu craniana di Cerin, dubitativamente riferita (se non erro) dal Thiollière a questo genere, perchè trattasi di un brandello assolutamente indeterminabile.

Or bene: basta consultare la pag. 113 e la Tav. XIX delle „Nouvelles recherches sur les poissons fossiles du mont Liban“, pubblicate nel 1866 dai signori Pietet ed Humbert — ov'è illustrato il *Rhinobatus maronita* — per convincersi degli stretti rapporti che regnano fra questo individuo e l'altro descritto dal Costa. In fatti, il *Rhinobatus maronita* (in cui — si noti bene — manca il tratto ristretto e allungato del corpo) ha le pinne ventrali ricoperte dall'estremità delle pettorali e mostra le tracce di quarantacinque vertebre, ben conservate e distintissime, delle quali le prime venti portano pleurapofisi sviluppate e lunghe due centimetri.

E se noi, spingendoci un po' avanti, consideriamo che nel gen. *Belemnobatus* mancano le coste, che nel *Lib. obtusatus* queste compaiono e che le cartilagini impari sono appena accennate, che nel *Rh. maronita* le coste

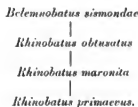
¹ O. G. Costa, „Paleontologia del Regno di Napoli“ (Parte I, II e III), Napoli 1854—1856. — Id., „Ittiologia fossile italiana“, Napoli 1855—1856. — Id., „Memorie della R. Accademia di scienze ecc. di Napoli“, Napoli 1857. — Id., „Appendice I alla paleontologia delle provincie napoletane“, Napoli 1865. — Id., „Studi sui terreni a ittioliti delle provincie napoletane, diretti a stabilire l'età del medesimo“ (Atti Acc. sc. fis. e mat., Vol. II), Napoli 1865.

² V. Thiollière, „Descr. des pois. foss. prov. des gisem. corall. du Jura dans le Bugy, revue et annotée par M. l'aul Gervais“, Annales de la soc. d'agriculture, histoire nat. et arts utiles de Lyon, IV^e sér., tom. V^{me}, 1872.

³ Un' volta per sempre, avverto che nel ravvicinamenti ch'io mi permetto di fare tra specie riscontrate in località diverse, non intendo di proporre fusioni, ma semplicemente di rilevare i rapporti. Le fusioni, utilissime e quasi necessarie in teoria, richiedono all'atto pratico molta cautela.

⁴ A. de Zigno, „Aggiunte all'itologia dell'epoca eocenica“ (dal Vol. XX delle Memorie del R. Istituto veneto di scienze, lettere ed arti), Venezia 1875.

si fanno più lunghe e le cartilagini mostransi più distinte, e che nel *Rh. primaevus* queste e quelle acquistano uno sviluppo notevole, non possiamo a meno di concepire una vaga idea di filiazione tra queste specie, tanto vicine fra loro, che si traduce così:



Il *Centropterus lividus* Costa conserva la parte posteriore del corpo, coperta da zigrino e longitudinalmente percorsa dalla corda dorsale, che risulta di vertebre numerosissime e brevi. A un decimetro dalla pinna codale, che è biloba ed ineguale, sorge una dorsale, posteriormente arrotondata: senza dubbio la seconda. A circa sei centimetri da questa vedesi una spina isolata, una di quelle spine che armano le pinne del dorso in tutti gli squali della famiglia *Spinacidae*. Un po' più innanzi, proseguendo sempre verso la parte anteriore del pesce, scorgesi nell'impronta — proprio nel punto ov'essa finisce — una specie di rialzo, che potrebbe forse indicare la presenza di un'altra dorsale: certamente la prima. Dopo ciò, null'altro.

Trattasi di un frammento, e bisogna limitarsi alle ipotesi. Che sia uno spinacide, non v'ha alcun dubbio; ma poi, per quale ragione e su quali basi il Costa — tanto alieno, com'ei si diceva, dal moltiplicare le specie — fondò un nuovo genere?

La spina a cui ho accennato pocanzi è — lo si vede — smossa dal suo vero posto, e, secondo ogni probabilità, apparteneva alla dorsale conservata, cioè alla seconda.

Or mi sembra evidente che noi rientriamo nei caratteri del gen. *Spinax* Cuvier, senza che vi sia la più piccola necessità di stabilire un genere nuovo.

Che se taluno, per giustificare la istituzione, volesse riferire — quantunque infondatamente — la spina in discorso alla pinna dorsale non conservata, per venir poi a concludere che i *Centropterus* mancano di spina alla seconda dorsale, ricadremmo nei caratteri offerti dal Pictet per gli esemplari da lui illustrati alla p. 53, Tav. X, Fig. 1, 2 e 3 della sua „Description de quelques poissons fossiles du mont Liban“, pubblicata a Genève nel 1850: prima dunque che venisse alla luce la parte III, fascicolo IV della „Paleontologia del Regno di Napoli“, ov'è descritto il *Centropterus lividus*. Nel luogo citato il Pictet riferì giustamente alla fam. *Spinacidae* tre frammenti di pesci, riscontrati a Sahel-Alma. Uno di questi (Tav. X, Fig. 2) rappresenta la base delle pinne pettorali e non può essere confrontato coll'individuo di Pietraroia, che manca del tratto corrispondente del corpo; un altro (Fig. 1) conserva una parte del tronco ed una pinna dorsale, posteriormente arrotondata e sostenuta sul davanti da una spina; il terzo (Fig. 3) offre una porzione del pesce ed una dorsale, sprovvista di spina. Il Pictet riunì assieme i tre frammenti sotto il nome di *Spinax primaevus*; ma, in causa di quest'ultimo, espone il dubbio ch'essi potessero costituire un nuovo genere, caratterizzato da una spina alla prima dorsale e colla seconda dorsale semplice. Quantunque ciò possa essere, io non lo credo e suppongo invece che la spina della seconda dorsale sia stata rimossa; in ogni modo, sarebbe il caso del *Centropterus lividus*, ove non si volesse riferire la spina di questo alla seconda dorsale.

Concludendo, il *Centropterus lividus* di Pietraroia (che cambia nome nell'Elenco inserito nel volume II degli „Atti dell'Accademia delle Scienze di Napoli“ del 1865, ov'è scritto *Centronotus lividus*) è uno *Spinax*, analogo ai frammenti Tav. X, Fig. 1 e 3 del monte Libano.

Quanto al *Carcharodon*, i due semplici accenni di cui ho parlato dianzi — e null'altro. Abbiamo quindi ragione di credere che si tratti di sviste dell'Autore o di errori tipografici, e che il gen. *Carcharodon* non sia vissuto nelle acque di Pietraroia. Tanto più che alla pag. 123, antepenultima linea della parte III della sua „Paleontologia“, il Costa, parlando del *Centropterus lividus*, si esprime così: „La presenza dei pesci plagistomi squalidei nella calcarea di Pietraroia è un fatto nuovo.“

Il gen. *Carcharodon* adunque non visse nelle acque di Pietraroia: cosa ch'io ammetto senza alcuna difficoltà e di cui sono anzi profondamente convinto.

Veniamo adesso alla sottofamiglia dei ganoidi, e, per non perdere, dividiamo provvisoriamente in quattro gruppi i generi citati dal Costa:

- Gruppo I. — *Belonostomus* Agass. — *Aspidorhynchus* id. — *Platycerhynchus* Costa. — *Ophirachis* id.
- „ II. — *Pycnodus* Agass. — *Microdon* id. — *Glossodus* Costa. — *Pleuronectes* Linn. — *Anomiophthalmus* Costa.
- „ III. — *Lepidatus* Agass. — *Sphaerodus* id.
- „ IV. — *Notogadus* Agass. — *Blenniomocnus* Costa. — *Rhynchoncodus* id.

Cominciamo dal primo gruppo, rappresentato dai gen. *Belonostomus*, *Aspidorhynchus*, *Platycerhynchus* ed *Ophirachis*.

Col nome di *Belonostomus crassirostris* Costa („Paleont.“, Parte II, p. 29, tav. II, fig. 1—2) quest'Autore descrisse uno stupendo esemplare, completamente conservato e che presenta tutti i caratteri del genere.

Lungo circa sessantadue centimetri, ne misura quattro nella sua massima altezza. Il rostro è compreso sette volte nella lunghezza del corpo, esclusa la coda. Le pinne pettorali sono straordinariamente sviluppate; la dorsale e l'anale, opposte fra loro, stanno a tredici centimetri dall'estremità posteriore del pesce. Le squame sui fianchi mostransi grandi e rettangolari; sopra e sotto, nelle regioni dorsale e addominale, se ne scorgono altre file, assai strette.

Per far vedere le analogie di questo individuo, erroneamente ravvicinato dal Costa a *Bel. münsteri* Agass., mi basta ricordare che, nelle mie „Vorläufige Mittheilungen über die Fischfauna der Insel Lesina“, io gli avevo associato il *Belonostomus* di quest'isola, e che solo nella Parte I del presente lavoro mi son deciso a separarlo per le differenze che si riscontrano confrontando lo sviluppo relativo del becco, il numero e la lunghezza dei raggi pettorali e la forma delle vertebre, delle squame e della pinna codale. — Probabilmente (ripeto) sono due specie distinte; ma in ogni modo è sicuro che il *Bel. crassirostris* s'avvicina molto più al *lesinensis* di quello che agli esemplari giurassici.

Belonostomus gracilis Costa („Paleont.“, Parte II, p. 31, tav. II, fig. 3) è un'altra specie da lui fondata sopra un frammento di becco, posteriormente granulato e provvisto di piccoli denti, nenti e irregolari.

La determinazione generica è giustissima; solo mi parrebbe più logico ritenere questo fossile come un giovane individuo del *crassirostris*. Tuttavia nulla di positivo può dirsi su tale argomento, nè io aggiungo parola. Qui voglio soltanto notare la stretta affinità che lega *Bel. gracilis* Costa coi rostri di Comen (tav. IX.), che dal Kner erano stati chiamati *Hemirhynchus comenianus* ed *Hem. heckeli* e ch'io ho inscritti col nome di *Belonostomus* sp. Anche questi (di cui parlerò più avanti, intrattenendomi sull'ittiofauna del Carso triestino) portano denti eguali a quelli del *Bel. gracilis* ed hanno la parte posteriore del rostro porosa. Ma su ciò non insisto, giacchè ai paralleli istituiti su semplici frammenti bisogna dare in generale un'importanza assai limitata. Tutti i rostri di *Belonostomus*, per esempio, si rassomigliano tanto fra loro, da poter esser confusi.

Un terzo *Belonostomus* (*Bel. sp.*) fu citato da Costa alla p. 94, Tav. V, Fig. 3 dell'„Appendice alla paleont. delle provincie napoletane“. È un brandello, che rappresenta le branche di una mascella, percorse da solei interrotti e senza traccia di denti. Sia o no un *Belonostomus* — chè dirlo è quasi impossibile — non si può ammettergli alcun valore paleontologico.

Se riesce difficile distinguere colla sola scorta dei rostri le varie specie di *Belonostomus*, altrettanto è difficile nella maggior parte dei casi separare i *Belonostomus* dagli *Aspidorhynchus*.

Come ho detto nella Parte I, quest'ultimo genere ha la testa assai alta e la mascella superiore protratta in un lungo becco, che supera di un terzo e talvolta della metà l'inferiore, mentre nei *Belonostomus* la mascella superiore sorpassa appena l'altra.

Dovrebbe essere dunque molto agevole riconoscere i rostri dei due generi in discorso. Se non che questi organi si presentano il più delle volte incompleti e sovrapposti, rendendo per tal modo difficile la loro determinazione.

Siamo appunto nel caso pel fossile illustrato dal Costa alla p. 66, Tav. IX, Fig. 8 della sua „Paleontologia“, Parte III.

L'individuo, che è pronò, offre la testa, anteriormente prolungata in un breve rostro e seguita da otto corpi vertebrali, che sono sprovvisti di apofisi e percorsi da un solo longitudinale mediano.

Nell'„Ittiologia fossile italiana“ e — se non erro — a p. 13 (poichè non ho dinanzi agli occhi quest'opera e mi servo solo di note) il Costa avea già descritto e figurato questo pesce, chiamandolo *Dichelospondylus longirostris* Costa. Fu più felice alla succitata p. 66. Qui, dopo aver detto delle vertebre „affatto prive di apofisi e la cui struttura è tale, che fra quelle delle generazioni attuali non sapremmo a qual genere si potesse assimilarle, poichè il loro corpo è più largo che lungo, profondamente scanalato, in guisa che pel solo mediano esso appare come suddiviso in due; e ciò maggiormente perchè il piano delle due porzioni non trovasi sulla medesima linea, quello della sinistra avanzando sensibilmente quel della destra; e tanto maggiormente per quanto più si discostano dalle cervicali, nelle quali tal differenza è impercettibile“, dopo aver avvicinato il fossile all'*Engraulis erolans* Agassiz, al *Palimphyes brevis* id. ed al gen. *Lepidogaster*, il Costa, senza accennare al vecchio nome dell'„Ittiologia“, si decise a riferirlo provvisoriamente al gen. *Aspidorhynchus*, distinguendolo — pur provvisoriamente — col nome di *Aspidorhynchus platycephalus* Costa.

Io trovo in verità molto strano tutto questo discorso di vertebre „scanalate e doppie“, che gli suggerirono l'appellativo generico *Dichelospondylus*. Mi pare che sia un fatto semplicissimo, esclusivamente dipendente dalla fossilizzazione e che si riscontra più o meno palese in tutti gl'ittioli (e sono molti) a vertebre provviste di un solo longitudinale mediano. Senza ricorrere alle figure dell'*Engraulis erolans* e del *Palimphyes brevis* — nelle quali, del resto, non rilevo proprio nulla di simile — io ho veduto al Museo paleontologico di Monaco un *Belonostomus tenuirostris* proveniente da Solenhofen ed all'I. R. Istituto geologico di Vienna un *Cobitis* da Mainz, che presentavano l'identica organizzazione vertebrale dell'esemplare di Pietraroia: organizzazione affatto apparente e dovuta, ripeto, alla fossilizzazione. Riguardo poi alla mancanza di apofisi, quanti ittioli non ne sono accidentalmente sprovvisti!

Tornando a noi, il *Dichelospondylus longirostris* o *Aspidorhynchus platycephalus* è senza dubbio un rappresentante della famiglia *Aspidorhynchi*. Siccome però il rostro è affatto incompleto, non mi è dato decidere se sia un *Aspidorhynchus* od un *Belonostomus*. C'è, è vero, la testa, la quale appare più alta di quello che non si riscontri abitualmente in quest'ultimo genere; ma dobbiamo rammentare che il fossile vedesi pronò e che quindi l'altezza del teschio deve ridursi a metà. Tuttavia, poichè nessun carattere milita decisamente a favore del gen. *Aspidorhynchus*, parmi che si possa inserire anche questo esemplare col nome di *Belonostomus* sp.

Un altro rostro — *Platycephalus rhombeus* Costa — è descritto alla p. 102, tav. XI, fig. 3 della „Paleontologia“, Parte III. — Percorso da strie longitudinali, fitte e uniformi, „ha l'apice dilatato e depresso per modo, da formare quasi un rombo ad angoli rotondati“.

Davanti a questi caratteri e, ancora più, davanti alla figura che ne diede il Costa, io non so che dire. Non ho mai veduto nulla di simile, nemmeno negli originali di *Lepidosteus osseus*, che il Costa citò come termine di confronto. Vorrei peraltro azzardare un'ipotesi: che, cioè, quella specie di diseo o, per meglio dire, di elliese, che sta all'estremità anteriore del rostro, non appartenga a quest'organo: tanto più che la parte inferiore, visibile, finisce assolutamente appuntita. E in questa idea mi rinfrancano le parole stesse del Costa: „Non si può con fondate ragioni affermare o negare che il *Platycephalus* fosse congener del *Belonostomus*; ma è certo che ha tali analogie con l'uno come con l'altro (?), da potersi ben considerare di una stessa famiglia ed anche come specie dello stesso gen. *Belonostomus*“. S'egli fosse stato profondamente convinto di quell'apice „dilatato e depresso“, si sarebbe forse espresso così?

In ogni modo, nulla si può dire di certo, e sembrami che, nello stato attuale della scienza, il partito migliore sia quello di non tener calcolo del frammento o, tutt'al più, di considerarlo come un *Belonostomus*.

Mi resta a dir due parole sopra una colonna vertebrale, descritta dal Costa alla p. 110, tav. IX, Fig. 4 della „Paleontologia“, Parte III, e distinta col nome di *Ophirachis deperditus* Costa.

A dir vero, lo stesso Autore doveva annettervi poca importanza, dacechè non la riportò nell' *Elenco*, già citato, del 1865. Vediamone nondimeno i caratteri.

„Proponiamo il gen. *Ophirachis* — scrisse il Costa — per accogliere una colonna vertebrale, ch' evidentemente appartiene ad un pesce di forma allungata, simile forse al Beloni. Distinguesi esso però per le sue squame, che vi troviamo sopra un piccolo brano della regione anale, le quali sono di forma ellittica, ed hanno nel mezzo una specie di rachide, come nelle squame de' lepidotteri. Nè deve trasandarsi la costante disposizione di attorcigliarsi, e sempre nel medesimo senso, e quasi con la stessa incurvatura, come fanno appunto gli Anguillidei, i Singnatidei, ecc.... Un tal pesce entra nell'ordine de' *Cicloidei*, per la struttura delle squame; e la famiglia delle Sfirene sembra esser quella che meglio può accogliere siffatto genere.“

La figura rappresenta una colonna vertebrale, „proveniente dalla calcarea di Pietraroia“, incompleta e composta di cinquantasette vertebre, alcune delle quali sono provviste di brevissime apofisi. Verso la metà della colonna stanno le pinne ventrali, piuttosto grandi, e nel tratto posteriore si scorgono le probabili vestigia delle pinne anale e codale, quasi opposte fra loro.

Io inclinerai a riferire il frammento al gen. *Belonostomus*, se un coscienzioso giudizio non mi fosse reso difficile da una squama ingrandita, che il Costa asserì d'aver trovato sopra un piccolo brano della regione anale. Essa è ellittica, provvista di un rilievo longitudinale mediano e percorsa da linee pur ellittiche, regolari e concentriche. Non mi consta che i *Belonostomus* nè gli *Aspidorhynchii* in generale presentino simili squame. Se fosse mal ingrandita? se non appartenesse al pesce figurato? In ogni modo, una esatta determinazione è impossibile, ed io imiterò l'esempio del Costa, non tenendone calcolo.

Passiamo al II gruppo, che contiene i pesci della fam. *Pycnodontidae*, e cominciamo dal gen. *Pycnodus* Agassiz.

Il naturalista napoletano ne descrisse tre specie: il *grandis* Costa, l'*achillis* id. e il *rotundatus* id.

Pycnodus grandis Costa („Paleont.“, parte II, p. 20, tav. III, fig. 1, 2 e 3) è rappresentato da denti (fig. 2 e 3) e da uno scheletro intero (fig. 1).

„Affinissimo al *rhombus* di Castellamare, ciò che propriamente lo distingue è la maggiore altezza del corpo: questa, esclusa le pinne verticali, è uguale alla lunghezza, esclusa la pinna codale.... I denti sono molto allungati, i lati più lunghi paralleli, i minori archeggiati, la superficie regolarmente convessa.“

Basta confrontare questi caratteri — e le belle figure che li accompagnano — colla diagnosi del gen. *Coelodus*, offerta dall'Heckel¹, per convincersi dell'affinità che regna fra loro: affinità che fu pure riconosciuta dall'itilologo austriaco, il quale ascrisse *Pycn. grandis* Costa al genere ora nominato. Quanto alla specie, deve ritenersi probabilmente nuova e va quindi inserita col nome di *Coelodus grandis* (Costa) Heckel.

Pycnodus achillis Costa è illustrato alla p. 236, tav. VI, fig. 11 della „Paleontologia“, parte I ed a p. 23, tav. III, fig. 7—10 della parte II.

Trattasi sempre di placche dentarie isolate, che „risultano di tre serie, la esterna delle quali è formata di denti quasi rotondi, quei della seconda sono un poco allargati e maggiori, quei della terza amplissimi, un poco ristretti nel mezzo come se fossero strangolati, e sono maggiori di tutti. Crescono essi in dimensioni come all'ordinario dall'anteriore alla posterior parte ed interna. Sono un poco appianati al di sopra e lisci.“

Anche qui siamo nel caso precedente. Questi caratteri concordano con quelli del gen. *Coelodus* Heck. — *Pycnodus achillis* è dunque un *Coelodus*. Riguardo poi alla specie, è impossibile esprimere un coscienzioso

¹ Vedi Parte I, p. 201.

giudizio. Questo solo può dirsi: che gli esemplari riuniti dal Costa sotto il nome specifico *achillis* appartengono probabilmente al *Coelodus grandis*.

Segue il *Pycnodus rotundatus* Costa („Paleont.“, parte III, p. 86).

Questa specie, di cui il Costa non diede la figura, lascia qualche dubbio sulla sua provenienza, dacchè l'Autore non la indicò chiaramente. Tuttavia io ritengo ch'essa abbia origine comune con quella del *Pycn. grandis* ed *achillis* per due ragioni: anzitutto perchè in fine sta scritto: „È d'attendersi dunque da quel deposito di Pietraroia qualche migliore esemplare“; poi, perchè negli „Studi sui terreni ecc.“ (Napoli 1865) questa specie si trova fra quelle scoperte a Pietraroia.

I caratteri dettagliati del *Pycn. rotundatus* non sono esposti nella „Paleontologia“ del Costa, che — a quanto mi sembra di rilevare — li diede alla p. 4 dei „Cenni per l'anno 1853“: lavoro ch'io non possiedo. Nella „Paleontologia“ è detto soltanto ch'esso forma sul profilo ventrale, e verso la metà di sua lunghezza un angolo sporgente, e che, a paragone del *Pycnodus rhombus*, ha „la sagoma del corpo più rotondata, le due pinne verticali molto più prossime alla codale, i denti più allungati ed a corona più larga, il rostro più ottuso e più elevato nella parte nasale, e le costole congiunte da ossetti trasversali e ligamenti, in modo da costituire un solido contorno“.

Basato su questi dati, parmi trattarsi anche stavolta di un *Coelodus*.

E qui sarebbe finita la serie dei pesci di Pietraroia chiamati *Pycnodus* dal Costa, se nell'Elenco che fa parte degli „Studi“ pocanzi citati e presentati alla Società l'11 aprile 1865 — quindi dopo la pubblicazione della „Paleontologia“ e dell'„Appendice I“ — anche il *Pycnodus rhombus* non comparisse fra gl'ititolii della „calcarea di Pietraroia“.

In mezzo a queste contraddizioni, che sventuratamente si rinnovano ad ogni passo, che devo io dire? Dirò che i due *Pycnodus rhombus*, descritti dal Costa alla p. 332, tav. IV, fig. 8 e tav. V, fig. 1 della „Paleontologia“ Parte I, sono indicati — alla fine della diagnosi — come provenienti da Castellammare; che in tutti i punti dell'opera, ov'è incidentalmente parlato del *P. rhombus*, questa specie è detta propria a Castellammare; che nello „Specchio“ ecc., a p. 85 della „Paleont.“ Parte II, essa è inserita fra le specie di Castellammare; che perciò in quel malsaugurato Elenco del 1865 il *P. rhombus* dev'essere stato introdotto ad errore, e che quindi a Pietraroia vivevano soltanto *P. grandis*, *P. achillis* e *P. rotundatus*: vale a dire, i rappresentanti del gen. *Coelodus* Heckel.

Pietraroia, secondo il Costa, albergava anche il gen. *Microdon* Agass., di cui egli descrisse una specie: *Microdon simplex* Costa („Paleont.“, parte III, p. 116, tav. IX, fig. 7). È un pezzo di placca dentaria, che conserva alcuni denti „quasi quadrilateri, uniformi ed eguali.“ Sembra che il Costa stesso fosse più tardi convinto dello scarso valore paleontologico di questo frammento, poichè, come al solito, non l'enumerò nell'Elenco, più volte citato, del 1865.

E qui troviamo un genere nuovo: il *Glossodus* Costa, con due specie: l'*angustatus* („Paleont.“, parte II, p. 27, tav. III, fig. 12—15) e l'*heckeli* („Paleont.“, parte III, p. 113, tav. IX, fig. 12 e 13).

„Lingua coperta di denti piani, disposti sopra cinque serie longitudinali. Palato posteriore similmente armato di denti, e disposti col medesimo ordine, ma i denti di figura diversa“.

Questa la diagnosi del *Glossodus*, a cui il Costa cominciò coll'associare il *Pycnodus mantelli* Agass., chiamandolo *Gloss. mantelli*.

Ma il nome *Glossodus*, già anteriormente impiegato dal signor M'Coy per alcuni denti della fam. *Hybodontidae* propri al carbonifero, doveva essere di corta durata. L'Heckel, in fatti, nelle „Beiträge zur Kenntniss der foss. Fisch. Österreichs“ (Wien 1856), faceva rientrare il *Glossodus angustatus* nel suo genere *Coelodus*. E lo faceva a buon drit, poichè i palatini riferiti dal Costa a questa specie offrono appunto i caratteri del genere o nominato: hanno, cioè, i denti mediani maggiori e trasversalmente ellittici, arrotondati e più piccoli i laterali.

Quanto al *Glossodus heckeli*, non vi capisco assolutamente nulla, benchè — dica il Costa — il documento sul quale riposa questa specie sia „di gran lunga più evidente dei precedenti“.

E questo evidente documento è una „lingua“, un „corpo molliccino“, di forma ovale allungata, tempestato di minutissimi denti arrotondati od ellittici, „alquanto convessi, circondati da una linea impressa e stivati per modo, che non resta altro spazio tra loro, eccetto quel triangolo curvilineo, che risulta dal contatto di tre delle loro basi circolari“, e la cui figura ingrandita richiama alla mente certi *Labrodon* miocenici.

Compio il gruppo dei picnodonti due frammenti di pesci descritti dal Costa, alla p. 30 dell' „Ittiologia fossile italiana“, e alla p. 118 della „Paleontologia“, Parte III, tav. XI, fig. 4 e 5, sotto il titolo: „Genere *Pleuronectes* Linn. e gen. *Anomiphthalmus* Costa“.

Pare impossibile che il naturalista napoletano riuscisse a scoprire in quei due esemplari „entrambi gli occhi posti da un lato“, pare impossibile che vi riconoscesse un „positivo passaggio dai *Chetodonti* ai *Pleuronettidi*“, pare impossibile che non sapesse scorgere in essi la corda dorsale indivisa; pare impossibile infine che, dopo avervi riscontrato „una coda eterocera e strettamente affine a quella del *Microdon elegans*“, ei si sentisse ancora „costretto“ a collocarli nella fam. *Pleuronettidae*, a farne il tipo d'un genere nuovo, a descriverli col nome di *Anomiphthalmus vetustus*!

La discussione è inutile: sono due picnodonti.

Veniamo al III gruppo: quello dei *Lepidoti*, coi due generi citati dal Costa — *Lepidotus* Agassiz e *Sphæroodus* id.

Se noi consultiamo l'Elenco degli ittioliti di Pietraroia, inserito nel vol. II degli „Atti dell'Accademia Napoletana ecc.“ (Napoli 1865), vi troviamo tre sole specie di *Lepidotus*: il *maximiliani* Agass., il *minor* id. e l'*exiguus* Costa.

Se invece passiamo in rivista le pagine della „Paleontologia“ e dell' „Appendice I“, dobbiamo aggiungerci l'*unguiculatus* Agassiz e l'*oblongus* id.

Tentiamo di raccapezzarci.

Lepidotus oblongus Agass. è citato a p. 305, tav. VII, fig. 7 della „Paleont.“ Parte I, ov'è detto: È una pinna codale, la quale, „benchè più mutilata, è però identica a quella che l'Agassiz à creduto dover riferire a specie, ch'egli distingue col nome di *oblongus*“.

Or bene, io mi faccio anzitutto una domanda:

È proprio sicuro che questa coda viene dal calcare di Pietraroia?

Rispondo.

A p. 305 della „Paleont.“, parte I, parlando di questa pinna, il Costa disse: „Il nostro frammento è tratto dalla medesima calcarea di Pietraroia, d'onde il *L. maximiliani* e gli altri ittioliti di quella località.“ — E alla pagina seguente, a proposito del *L. maximiliani*, egli scrisse: „Noi troviamo squame identiche a quelle distinte col questo nome dall'Agassiz in un gruppo di 5 a 6 pollici nella calcarea di Pietraroia, insieme col *Lepidotus oblongus* e *Suopaxidium lovisianum*.“

La provenienza della pinna in discorso sarebbe dunque assodata. Ma allora, perchè alla p. 6 dell' „Ittiologia fossile“ si legge: „Il *L. maximiliani* proviene dalla calcarea di Pietraroia, ove si trova insieme alle altre specie di genere diverso, che nel citato luogo („Paleont.“, parte I) abbiamo descritto“? perchè nello „Specchio“ a p. 85 della „Paleontologia“, parte II, *L. oblongus*, non comparisce fra le specie di Pietraroia, ma fa parte invece dell'ittiologia di Giffoni? perchè alla p. 6, linea 19 della „Ittiologia fossile“ sta scritto che codesta coda, codesto *L. oblongus*, precisamente l'istesso ch'era stato anteriormente descritto nella Parte I, p. 305, tav. VII, fig. 7, viene „dagli schisti carboniferi di Giffoni“? e perchè nell' „Elenco“ del 1865, che riporta le specie fin allora scoperte nel calcare di Pietraroia, non figura il *L. oblongus*?

In conclusione, dunque, mi sembra che l'origine di questa pinna sia tutt'altro che ben definita; mi sembra anzi che debba ritenersi propria agli schisti di M. Pettine.

Ma supponiamo per un momento che la citazione nello „Specchio“ sia errata, che le parole dell' „Ittiologia fossile“ sieno pure sbagliate e che l' „Elenco“ del 1865 sia incompleto, e domandiamoci:

È proprio identica questa coda a quella di *L. oblongus* Agass. („Poiss. foss.“, Vol. II, p. 250, tav. 34 a, fig. 37)?

Se debbo dire la verità, mi pare che non vi sieno rappresentati nemmeno i caratteri necessari per riferirla al gen. *Lepidotus*. Udiamone i cenni offerti dal Costa: „I suoi raggi sono molli, flessuosi, molto ramosi ed articolati; ciascun lobo ha dodici raggi primari, grossetti, tra' quali una moltitudine di delicatissimi, e tutti eguali, che presso l'orlo estremo de' lobi giungono fino a 50.“

Consultiamo adesso la p. 259 del vol. II delle „Recherches sur les poissons fossiles“, là dov'è detto del *L. oblongus* e precisamente della codale, dubitativamente riferita dall'Agassiz a questa specie. Mi piace riportare nella sua integrità tutto il brano: „La caudale (fig. 3) est large et fourchue; son lobe inférieur est très-développé, et est même plus grand que le supérieur; ses rayons sont de moyenne grandeur, très-bifurqués jusque vers le milieu de leur longueur; il y en a 14 au lobe inférieur, et 15 au lobe supérieur. Les filets des bords de cette nageoire sont très-serrés, assez gros à sa base, mais très-fins à l'extrémité de ses rayons extérieurs. Cette queue est très-intéressante, en ce qu'elle fait voir comment les apophyses épineuses inférieures sont développées dans les Ganoides homoeocenes, chez lesquels la colonne vertébrale se prolonge dans le lobe supérieur de la caudale. On remarque en effet, que les apophyses épineuses inférieures d'une dizaine des dernières vertèbres caudales sont tellement allongées, que leurs extrémités forment un arc vertical auquel s'attachent tous les rayons du lobe inférieur de la nageoire; tandis que les rayons du lobe supérieur sont articulés sur des apophyses épineuses de plus en plus courtes. L'extrémité de toutes ces apophyses est aplatie et dilatée en forme de spatule.“

Ebbene, mettiamoci da una parte le due descrizioni e dall'altra le due figure, e confrontiamo. Che cosa ci prova la ineguaglianza nei due lobi della pinna napoletana? E dove sono i fili agli ordi esterni? Dov'è la speciale costituzione delle ultime emapofisi vertebrali? Chi m'impedisce di riferirla ad un alceotide?

Se non erro, è quanto basta per concludere che, quantunque la pinna in discorso possa essere riferita al gen. *Lepidotus* e somigli anche, se vuoi, a quella dell'*oblongus*, pure conscienziosamente non se ne può dir nulla di certo. E siccome, oltre questa reale incertezza sulla sua determinazione specifica e generica, esiste eziandio una dubbiosissima origine, così ritengo che non si possa, nè si debba tenerne alcun calcolo.

Anche sulla vera provenienza del *Lepidotus exiguus* Costa („Paleont.“, parte III, p. 79, tav. XI, fig. 2) sarei quasi tentato di dubitare, poichè, dopo averlo descritto e dopo aver detto ch'esso proviene „dalla calcarea di Pietraroia“, l'Autore aggiunse in Nota le seguenti parole: „Mentre era approntato pel torchio il presente foglio, mi viene il destro di ottenere un esemplare del *L. acutirostris*, dei medesimi scisti bituminosi di Giffoni...“ (p. 80, penultima linea). Ma lo trovo inserito nell'„Elenco“ del 1865 — e non insisto.

L'esemplare, assai piccolo, conserva buon tratto del corpo, il quale, se non erro, lascia qualche dubbio anche sulla sua determinazione generica. „Il corpo è rivestito di squame solide, di figura romboidale, con un apice radicale nel mezzo, e gli angoli laterali acuti e prolungati or più o meno secondo la obliquità della posizione delle squame nelle diverse serie della regione addominale, lo estremo opposto è ritondato e parabolico. Le dorsali sono alquanto diverse; più allungate cioè, meno acuti i loro angoli laterali del lato radicale, e non così prolungati, come nelle squame addominali, e tutte poi più uniformi; come apparisce dalle due effigiate ed ingrandite sotto il num. 3... Quelle della linea laterale sono trasversali, con un solo nel mezzo, e somigliantissime a quelle del *Caranx*, o dei nostri *Sauri*... La loro forma è siffattamente simile a quella delle squame del *L. maximiliani* Agass., che sarei tentato a credere il pesce in discorso un piccolo di tale specie. Nondimeno, la forma delle squame della regione addominale essendo assai differente da quella delle dorsali, unite insieme tali discrepanze, crediamo non potersi con qualche certezza riferire ad alcuna delle specie note.“

Siccome la descrizione del Costa è sncinta, oscura e contraddittoria; siccome la figura di grandezza naturale che le fa corredo non lascia scorgere sufficienti caratteri, e siccome nessuna delle squame ingrandite mi rammenta il *L. maximiliani* (di cui diremo ora), nè altra specie a me nota, conservo — provvisoriamente e senza discuterlo — il nome specifico imposto a questo titolo dal Costa.

Ed eccoci al *Lepidotus maximiliani* Agass., a cui il Costa riferì una testa e alcune squame („Paleont.“, parte I, p. 306, tav. VII, fig. 2).

Sembra che questa volta tali frammenti provengano realmente da Pietraroia, poichè l'Autore lo disse a p. 306 della „Paleont.“, parte I, lo ripeté nello „Specchio“ a p. 85 della „Paleont.“, parte II, lo tornò a dire a p. 113 dell' „Appendice I“ e lo ribadì nell' „Elenco“ del 1865.

Vediamo prima le squame.

Agassiz ha descritto le squame di *L. maximiliani* (soli avanzi conosciuti di questa specie) a p. 268 del vol. II, tav. 29 c, fig. 8—11 delle sue „Recherches“. Tutto quello ch'ei ne ha detto si riassume in queste parole: „Toutes sont lisses et ont le bord postérieur uni.“

Ora, io non mi so spiegare tre cose:

I°. come il Costa abbia potuto scrivere: „La identità loro con le quattro squame che l'Agassiz rappresenta nella tav. 29, fig. 8—11 è perfetta, sicchè non lascia alcun dubbio sulla determinazione specifica“;

II°. come egli abbia potuto riferire a questa specie — di eni (lo ripeté) Agassiz ha fatto conoscere quattro sole squame — una testa con „mascellari“, intermascellari, denti, archi branchiali, scapolare e parte delle pinne pectorali ed un pezzo de' tegumenti interni, che sembra spettare al faringeo, tutto coperto di denticelli rotondi, altri neri, altri color di sacciuo“;

III°. donde abbia tratto i cenni seguenti, non corredati da alcuna figura: „Abbiamo però noi d'aggiungere che il nostro esemplare porta ancora una pinna ventrale, assai piccola relativamente alla grandezza del pesce... La pinna non è lunga che 11 linee, e si compone di 6 raggi ramificati, articolati, i cui articoli sono brevissimi, ma grossi, sicchè i raggi appariscano ramosi.“

In complesso, l'unica cosa che presenta qualche valore sono le squame, dachè nulla può dirsi delle ossa della testa e dei denti, affastellati, minuti, indistinti e non descritti. — Ora, le squame somigliano — è vero — a quelle del *L. maximiliani* (quantunque, più allungate e più appuntite, non ne riproducano esattamente la forma); ma non somigliano forse anche a certe squame del *L. mantelli*, del *fittoni*, del *lucis* e del *minor*? Il Costa stesso, non era forse convinto che „la mutazione di forma nelle squame de' pesci è una condizione costante, e derivante dalla parte del corpo ch'esse rivestono“? Non riscontriamo noi forse, nelle quattro specie anzidette, squame perfettamente lisce e di forma simile a quella delle squame di Pietraroia? Io non dico che queste ultime possano essere conscienziosamente e decisamente riferite ad uno dei lepidoti pocanzi accennati, anzi lo ritengo impossibile; ma ritengo altrettanto impossibile una esatta determinazione specifica dei frammenti in discorso. Che i brandelli figurati dal Costa appartengano ad un *Lepidotus*, è fuor di dubbio; ma che rappresentino il *maximiliani* Agass., non lo si può dire di certo.

Vengono per ultimo il *Lepidotus minor* Agass. ed il *Lepidotus unguiculatus* id.

Alla p. 11, tav. IV, fig. 1 e 2 della „Paleontologia“, parte II, il Costa citò, senza descriverle, due squame di lepidoto, provenienti „dalla calcarea di Pietraroia“, e le riferì a *L. minor* Agass., che, nello „Specchio“ a p. 86 della stessa parte II, è inserito fra le specie proprie a Giffoni.

Alla p. 112 dell' „Appendice I“ (1865) annunziò parecchie squame (tav. VII, fig. 2—5) „ottenute dalla calcarea ad ittiloti di Pietraroia, e corrispondenti a quelle illustrate dall'Agassiz sotto il nome di *L. unguiculatus* nella tav. 30, fig. 7 del vol. II delle „Recherches sur les poissons fossiles“; e alcune altre (tav. VII, fig. 7 e 8) „provenienti ancor esse dalla medesima calcarea di Pietraroia, trovandosi immischiate con le precedenti e identiche a quelle ch'ebbe sotto gli occhi l'Agassiz e che riprodusse col nome di *L. minor* nelle figure 3—6 della tav. 34 del vol. II dell'opera accitata.“ Poi, sostenendo la stretta affinità fra le squame di queste due specie da lui „trovate insieme sulla medesima lapide“ (vedi „Appendice I“, tav. VII, fig. 9), ed accennando alle forme intermedie da lui constatate, concluse che *L. unguiculatus* e *minor* devono necessariamente costituire un'unica specie, che propose di chiamare provvisoriamente *Lepidotus unguiculatus-minor* Costa.

¹ Dev'essere scritto: 2—4.

Per ultimo, nell'«Elenco dei fossili discoperti finora negli strati ad ittioliti di Pietraroia» (presentato l'11 aprile 1865), non si parla più di *L. minor* da Giffoni, nè di *L. unguiculatus-minor*; ma trovasi soltanto inserito su *L. minor* da Pietraroia.

In mezzo a tanta confusione di nomi e di località, io mi limiterò a poche parole, che tutto si riduce ad alcune squame isolate. Senza discutere sulla proposta fusione di *L. unguiculatus* e *minor* (poichè sarebbe fuor di luogo ed anche impossibile), dirò:

I°. che — a giudicare dai disegni — le squame alle fig. 2—9 della tav. VII dell'«Appendice», come quelle alle fig. 1 e 2 della tav. IV della «Paleontologia», parte II, mi paiono provenienti dagli schisti di Giffoni;

II°. che niuna di esse corrisponde con quelle illustrate dall'Agassiz sotto il nome di *L. unguiculatus*;

III°. che non è concesso associarle con sicurezza a *L. minor* Agass., dacchè i termini di confronto son troppo sensari.

Riassumendo e concludendo, le acque di Pietraroia albergavano il gen. *Lepidotus* Agass.... e non se ne può dire assolutamente nulla di più.

Nel gruppo dei Lepidoti di Pietraroia ho inserito anche il gen. *Sphærodon* Agass. In fatti, nello «Specchio» a p. 86 della «Paleontologia», Parte II, sta scritto: «*Sphærodon gigas*... Majella e Pietraroia» (p. 87, penultima linea). Siccome peraltro nè descrizioni, nè figure, nè citazioni, nè accenni, nè prospett, nè elenchi, nè specechi vengono a confermare questa provenienza, ritengo che si tratti semplicemente di un errore tipografico.

Siamo al IV ed ultimo gruppo, che comprende i gen. *Notagodus*, *Blennioideus* e *Rhynchonchus*.

Nella «Paleontologia», parte I, p. 312, tav. V, fig. 2 e tav. VII, fig. 6, il Costa descrisse e figurò due esemplari, che rispondono realmente a *Notagodus pentlandi* Agass. e intorno ai quali è detto: «L'esemplare su cui abbiamo fatta la descrizione, e che si è rappresentato nella tav. V, fig. 2, proviene dalla calcare di Castellammare... L'altro della tav. VII, fig. 5 proviene da Pietraroia. In quest'ultimo non si veggono vestigi di pinne, meno di quella della coda, ed in parte delle ventrali. Le squame sono quasi le stesse: solo in quest'ultimo è un poco più rilevato il loro margine posteriore; ma la statura, la fisionomia, e quanto altro vi si può rilevare, ce lo presentano identico.»

Noi ci occuperemo soltanto della figura 5, tav. VII. Il pesce è intero: vi si veggono distintamente la pinna dorsale, la codale e parte dell'anale; mancano affatto le pettorali e le ventrali. Questi cenni contraddicono apertamente quanto fu scritto dal Costa sul *N. pentlandi* di Pietraroia e fanno credere ad un errore di stampa nella citazione della figura. Ebbene: ammettiamo l'errore e cerchiamo di scoprire in tutte le figure di tutte le tavole quella che si riferisce all'ittiolito in discorso. È inutile: non v'ha alcun pesce che possa attribuirsi a *N. pentlandi* e che conservi soltanto la pinna codale e parte delle ventrali. Per giunta, nella «Spiegazione delle tavole», a p. 425, antepenultima linea, si legge: «Tav. VII, fig. 5. *Notagodus Pentlandi* Agass.» — È necessario dunque accettare la fig. 5 della tav. VII come rappresentante del *Notagodus* di Pietraroia. — Or bene, io, senza aver visto l'originale, dubito molto che il pesce riprodotto in questa figura venga da Pietraroia. È dubito per due ragioni. Anzitutto, se l'esemplare in discorso venisse realmente da Pietraroia, perchè alla p. 315 della «Paleontologia», parte I, subito dopo i *Notagodus pentlandi*, descrivendo il suo *N. exyholopis*, l'Autore disse: «Proviene dalla medesima località dei precedenti»? Ma se i precedenti, che sono due, venissero l'uno da Castellammare e l'altro da Pietraroia, donde verrebbe il susseguente? In secondo luogo, il disegno, di colore uniformemente nero, mi esclude l'idea di Pietraroia.

Comunque sia peraltro, è inutile insistere, dacchè il Costa, illustrando il suo *Notagodus crassicauda* (p. 78, tav. XII, fig. 6 e 7 della «Paleontol.», parte III), venne a ripetere la provenienza di questo genere da Pietraroia.

Il *Notagodus crassicauda* — disse il Costa — riscontrato nel calcare di Pietraroia, si distingue dal *pentlandi* pel pedicello caudale, molto più alto, e per «una scissura boccale minore, ed un profilo flessuoso, col labbro inferiore ripiegato in giù».

Io credo di non andar errato dicendo che questo esemplare corrisponde a *N. latior* Agass., il quale, dal canto suo, dev'essere associato a *N. pentlandi*.

Per lo che, concludendo, anche se *Notogogus pentlandi* e *N. latior*, citati dall'Agassiz a Torre d'Orlando presso Castellammare, vengono realmente da Pietraroia — il che io metto in dubbio, anzi addirittura non credo — essi devono considerarsi individui della medesima specie e rappresentano *N. pentlandi* Agass.

A compiere la rivista dei *Notogogus* „da Pietraroia“, aggiungerò che alla p. 106 della „Paleontologia“, parte III, sotto il titolo: „Di due ambigue specie del gen. *Notogogus*“, il Costa descrisse e figurò due esemplari provenienti „dalla calcarea di Castellammare“, attribuendoli l'uno a *Notogogus erythrolepis* Costa (già citato in quest'ultima località alla p. 314 della „Paleont.“, parte I, tav. IV, fig. 6 e 7) e l'altro a *Notogogus gracilis* Costa. Ma ecco che alla p. 92 dell'„Appendice I“, IV capoverso, sta scritto: „... In seguito, avendo ricevuti due altri esemplari di una specie più piccola dalla medesima località di Pietraroia, si rinvenne sul medesimo argomento: ed a p. 106 dell'opera citata („Paleont.“, parte III) si notava come l'uno di essi fosse il già descritto *erythrolepis* Costa ed all'altro s'impose il nome di *gracilis*...“

Erano appunto i due esemplari che prima asseriva provenienti da Castellammare! Buon per noi che nell'„Elenco“ del 1865 né l'uno né l'altro compaiono: in ogni modo, però, trattasi anche stavolta di piccoli individui del *N. pentlandi*.

Per ultimo, accennerò ancora a tre figure della tav. VII dell'„Appendice I“ (fig. 1 a, 1 b, 1 c), accompagnate dalle seguenti parole: „... Dalla stessa calcarea di Pietraroia“ (notisi che questi cenni seguono il capoverso o ora trascritta sui *N. erythrolepis* e *gracilis*) „si sono ottenuti tre altri esemplari di minore grandezza del *N. pentlandi*, quale più che meno incompleto... Il primo ci presenta una forma molto ventricosa, e però potrebbe essere un piccolo del *N. crassicauda* di sesso femminile. Il secondo è più svelto, e della medesima statura: questo potrebbe essere del sesso opposto... Il terzo, molto maleolico, accostasi alla forma del primo.“ („Appendice I“, p. 93.) Ebbene, guardiam le figure. Sono individui informi, mutilati, spezzati, privi di testa, privi di pinne... E il Costa giungeva a rilevarne non solo il genere, non solo la specie, ma perfino il sesso! Nè questo basta: si osservino quei disegni e mi si dica se sorge nemmeno l'idea che possano venire da Pietraroia!.

Veniamo al gen. *Blennioideus*.

Fu fondato dal Costa („Paleont.“, parte I, p. 319) sopra un pesce, proveniente da Castellammare e fornito dei seguenti caratteri:

„Dorsale unica, lunga e tridactyla. Pettorali medioeri e larghe. Ventrali piccole ed opposte al lobo medio della dorsale. Codale uguale, quasi intera, e molto emissa. Internascellari e mandibolari armati di denti canini, acuti, un poco arcuati, e grossi.“ Affinissimo ai *Notogogus*, se ne distinguerebbe per la forma della pinna dorsale e dei denti.

La diagnosi di questo genere venne completata più tardi dal naturalista napoletano sopra altri individui, scoperti a Pietraroia.

Or bene, io espongo sommariamente un'idea: che, cioè, il genere in discorso non possa sussistere e che i suoi rappresentanti debbano rientrare nel gen. *Notogogus* Agass. In fatti, se noi esaminiamo i *Notogogus* descritti da questo Autore, troviamo che taluno di essi offre i caratteri stessi attribuiti dal Costa ai suoi *Blennioideus*. Non prenderò ad esempio il *N. pentlandi* Agass., poichè il naturalista napoletano riteneva questa specie come appartenente al suo gen. *Blennioideus* („Paleont.“, parte II, p. 36); citerò invece il *N. crassicauda*, il quale, benchè presenti la pinna del dorso ed i denti alle mascelle così come si veggono nei *Blennioideus*, fu da lui asserito al gen. *Notogogus*.

Esposta così, vagamente e sommariamente, la dubbia validità del gen. *Blennioideus*, vediamo le specie citate dal Costa a Pietraroia.

Sono due: il *maior*, illustrato nella „Paleont.“, parte II, ed il *longicauda*, descritto nella „Paleont.“, parte III.

Anzitutto mi preme notare che nello „Specchio“ a p. 85 della parte II tutti i *Blenniomocus* — compreso il *maior* — vengono da Castellammare, e che nell'„Elenco“ del 1865 il gen. *Blenniomocus* non figura nemmeno fra i rappresentanti dell'itiofauna di Pietraroia.

Avremmo dunque tutto il diritto di non parlar più dei *Blenniomocus*. Diciamone tuttavia una parola.

Blenniomocus maior Costa è descritto alla p. 34, tav. II, fig. 4—6 della „Palcont.“, parte II. Salvo piccole differenze, esso corrisponde (come ha osservato lo stesso Costa) a *N. pentlandi* Agass., emi l'associa.

Blenniomocus longicauda Costa, citato dapprima a Castellammare („Palcont.“, parte I, p. 319, tav. IV, fig. 2) e più tardi anche a Pietraroia („Palcont.“, parte III, p. 103, tav. XII[?], fig. 10[?]), va parimenti riferito, a mio credere, a *N. pentlandi* Agass.

Ho detto più sopra ch'era opinione del Costa doversi staccare dal gen. *Notagogus* Agass. il *N. pentlandi*. In fatti, a p. 36 della „Palcont.“, parte II, si leggono queste parole: „Siamo d'avviso, che il *N. pentlandi* debba far parte del gen. *Blenniomocus*, per la forma dei suoi denti.“ Ma allora, domando io, perchè, descrivendo a p. 77 della „Palcont.“, parte III un pesce di Castellammare „a denti conici“, lo riferì a *N. pentlandi* Agass.?

Ma veniamo alla conclusione, perchè il tempo mi urge e perchè in mezzo a tante contraddizioni e a tanta confusione non vale la pena di disenter. E la conclusione è questa:

Il gen. *Blenniomocus* Costa non ha ragione di esistere, e tutti gli ittioliti descritti sotto questo nome generico appartengono al gen. *Notagogus* Agass. e molto probabilmente a *N. pentlandi* id.

Or eccoci davanti ad un altro enigma: il gen. *Rhynchoncodes* Costa.

„Estremità del rostro superiormente tumida. Due pinne nel dorso disgiunte, e dissimili; anale remota e della stessa natura che l'anteriore dorsale. Squame dilatate, con uoo dei margini laterali rilevati.“

Questa la diagnosi del gen. *Rhynchoncodes*, fondato dal Costa sopra un individuo di Castellammare, ch'egli illustrò alla p. 317, tav. V, fig. 5 della „Palcont.“, parte II, sotto il nome di *Rh. senecchi*.

Più tardi, a p. 106, tav. IX (?), fig. 10—11 della „Palcont.“, parte II, ci ne descrisse una seconda specie, proveniente da Pietraroia, a cui diede il nome di *macrocephalus*.

Ora, anche sul gen. *Rhynchoncodes* mi permetto di accampare dei dubbi. L'unico vero carattere su cui si basa la sua distinzione dai *Notagogus* consiste nella separazione delle due pinne dorsali. Ebbene, ammesso pure che sieno due e che non manchino raggi fra loro, perchè non potrebbero le due specie in discorso riferirsi al gen. *Propterus* Agass.?

Ecco i caratteri di questo genere:

L'aspetto generale del corpo è quello dei *Notagogus*. V'ha due dorsali distinte: i raggi dell'anteriore sono molto più lunghi dei susseguenti. L'anale è inserita un po' indietro della seconda dorsale. Le ventrali corrispondono all'estremità della prima dorsale. Le squame mostransi romboidali e finalmente dentellate al margine posteriore, come osservasi nella maggior parte dei *Pholidophorus* e dei *Notagogus*.

Confrontiamo questi caratteri con quelli dei *Rhynchoncodes*. Unico divario plausibile consiste, se non erro, nella distanza fra la prima e la seconda dorsale, che è minore nei *Propterus*. Ed è carattere sufficiente a fondarne un genere nuovo? No certamente.

Il *Rhynchoncodes macrocephalus* Costa va dunque inserito col nome di *Propterus macrocephalus* Costa. Ma anche per questa specie torno a mettere in campo i miei dubbi riguardo alla sua provenienza, benchè anche nell'„Elenco“ del 1865 essa figuri tra le specie di Pietraroia.

Finita così la rassegna dei quattro gruppi in cui abbiamo diviso i ganoidi, passiamo al gen. *Oenosegus* Costa („Palcont.“, parte III, p. 58), il quale ai caratteri di quest'ultima sottoclasse ne associa altri propri ai teleostei.

Pinna dorsale unica, immediatamente dietro la maggiore altezza della curva del dorso ed opposta alle ventrali. Analia simile alla dorsale, meno robusta e più allungata anteriormente. Codale forata, col lobo superiore più lungo dell'altro. Fuleri alle pinne dorsale, anale e codale. „Corpo coperto di squame finissime, striate,

e quasi impercettibili, di figura ovale? Denti minutissimi in ambe le mascelle, disposti in un solo ordine, con altri più piccoli emisferici nella interna parte del faringe; e taluni ancora nelle fauci microscopici, ed a superficie solcata a modo di raggi. Raggi numerosi nella membrana branchiale — 14 a 15.*

L'unica specie del genere è *Oconoscopus petraeolae* Costa, descritto a p. 59, tav. VIII della „Palcont.“, parte III e a p. 89, tav. V, fig. 1 e 2 dell' „Appendice I“.

È un grandissimo esemplare, il cui profilo dorsale è ampiamente e uniformemente arcuato. Lo squarcio della bocca è piccolo e fornito di denti conici ed emisferici. Le vertebre appaiono robuste e più alte che lunghe; taluna di esse mostrasi percorsa da un rilievo longitudinale, così come vedesi nel *Prochanna rectifrons* di Lesina. Le spine neurali anteriori veggonsi sensibilmente inclinate sulle corrispondenti nevrapofisi. Queste e le coste sono molto robuste. La pinna anale comincia press'a poco a livello della fine della dorsale ed è sorretta da robusti e lunghissimi interspinoi. Le pettorali sono molto sviluppate; le ventrali, piccole, opposte alla dorsale e sostenute da due lunghi ischi. La codale, quasi tutta ridotta al lobo inferiore (come nel viv. *Lepidotus*), ha i raggi articolati e molte volte divisi.

Ciò che in questo pesce s'ha di caratteristico sono i denti. „Alcuni lunghi conici robusti e un po' incurvati; altri piccolissimi, emisferici e neri. Tra questi ultimi ve ne sono taluni solcati, con solchi che partono dal centro dell'emisfero e vanno alla periferia, sicchè appaiono stelliformi, mentre altri presentano sette solchi soltanto ed un fossetto nel mezzo.“

Anche ammettendo che questi ultimi (i quali non si trovarono piantati nelle mascelle, ma „appartengono alle parti molli del palato, sicchè ne trovi dispersi fuori della bocca“) non facessero parte dell'ittiolito in discorso e supponendo perfino che non sieno nemmeno denti, resta sempre la difficoltà di determinare la sottoclasse a cui l'*Oconoscopus* va riferito.

È noto che talvolta riesce quasi impossibile decidere se un pesce fossile appartenga ai ganoidi od ai teleostei e che spesso si ricorre a caratteri empirici, non potendo assolutamente servirsi di quelli scientifici. Quando io ho sotto gli occhi un ittiolito, i criteri sui quali mi baso per rilevare la sua natura di ganoidi o di teleosteo consistono nella presenza di squame smaltate o prive di smalto, nelle pinne fornite o sprovviste di fulcri, nel cammino dell'ultimo tratto della colonna vertebrale e nel grado di ossificazione delle vertebre e delle apofisi vertebrali.

Ora, esaminando l'*Oconoscopus* di Pietraioia, la fine della colonna vertebrale e la presenza di fulcri alle pinne mi suggerirebbero di riferirlo ai ganoidi; mentre la completa ossificazione dello scheletro vertebrale e le squame, prive di smalto, assai leggere e percorse da sottilissime linee, m'indurrebbero ad ascriverlo ai teleostei.

L'*Oconoscopus petraeolae* adunque terrebbe il mezzo fra queste due sottoelassi, avvicinandosi meglio peraltro ai ganoidi, di quello che ai teleostei.

Quando poi ai generi coi quali esso presenta analogie, troviamo anzitutto il gen. *Dendrodon* Owen, i cui denti (noci organi che lo rappresentano) ricordano quelli solcati del nostro pesce; indi il *Caturus* Agass., nel quale le squame son lisce e s'han fulcri alla pinna codale; infine al *Megalurus*, cui l'avvicinano la direzione della colonna vertebrale, la forma delle spine neurali anteriori — che sono molto inclinate e fisse all'angolo posteriore delle nevrapofisi — e le squame, che anche nel *Megalurus* sono „lisses, à bord postérieur uni et arrondis, ensorte qu'elles ressemblient beaucoup à des écailles de cycloïdes avec lesquelles elles pourraient en effet être confondues si elles n'étaient recouvertes d'émail“ (Agassiz, „Poiss. foss.“, part. II, p. 145).

Se non che, nel *Caturus* lo scheletro è sempre incompletamente ossificato e le mascelle portano denti conici, appuntiti, fitti ed uniformi; mentre nel *Megalurus* le pinne sono sprovviste di fulcri. Nè all'uno nè all'altro può essere quindi associato l'esemplare di Pietraioia.

Ma, come osservava giustamente il Costa, il genere a cui s'avvicina realmente per l'aspetto generale del corpo e per la disposizione delle pinne, è il gen. *Lepidotus* Agass., da cui però si distingue nettamente per la natura delle squame, per la completa ossificazione delle vertebre e per la forma dei denti.

In complesso, mi sembra che il genere *Oconoscopus* possa ritenersi valido.

Ad *Oreoscopus petraeoides* fanno seguito alcuni altri pesci, i quali — e per la imperfezione delle figure e per l'oscurità delle descrizioni e per la stretta somiglianza che hanno fra loro — mi tengono molto dubbioso e non mi permettono di venire ad una conclusione soddisfacente.

Sono gli esemplari distinti dal Costa coi nomi di *Hyptius sebastiani*, *Saurapsidium loerissimum*, *Saur. gracilecaudo*, *Cyprinus* aut *Tinco*, e *Caeno*. Tutti vanno sprovvisti di fulcri; tutti offrono la dorsale mediana, opposta alle ventrali; tutti hanno squame lisce e sfornite di smalto.

Io cercherò di darne successivamente un cenno, riservandomi poi di riassumerne le conclusioni.

Il gen. *Hyptius* Costa („Paleont.“, parte III, p. 83) si distingue nei seguenti caratteri:

Forma del corpo bassa e allungata. Squarcio della bocca assai ampio. „Denti piccoli, conici, alquanto curvi e molto validi, disposti sopra una sola serie“. . . . Raggi branchiosteghi 18. Ossa opercolari lisce. Colonna vertebrale composta di oltre 55 vertebre, più alte che lunghe. Coste, nevrapofisi ed emapofisi brevi, sottili e sensibilmente piegate all' indietro. Pinna dorsale brevissima, mediana e alquanto anteriore all' anale. Questa, composta di raggi bassissimi, comincia a livello dell' ultima raggia dorsale e si prolunga fin presso la coda (?). Ventrali mediori, opposte alla dorsale e sostenute da ischi sottili e allungati. Pettorali lunghe ed anguste. Codale foreata, omocerca ed equiloba. „Squame subovate, lisce, minutissime, concentricamente striate.“

La sola specie del genere è *Hyptius sebastiani* Costa, descritta a p. 84, tav. XI, fig. 6, 13 e 14 della *Paleontologia*, parte III.

Le figure, piuttosto problematiche, e la descrizione, snecinata, incompleta ed oscura, non mi permettono un coseiosenzioso giudizio. Il Costa, ad esempio, disse che l'anale è „ugualmente larga, ma più corta della dorsale“; a me pare invece (Fig. 14) ch'essa raggiunga un'estensione notevole. In ogni modo, questa specie riunisce, se non erro, i caratteri di parecchi fra i generi noti: somiglia a certi *Leptolepis* ed agli *Hemicolepopsis* per la forma delle vertebre e per la disposizione delle pinne; somiglia a certi *Caturus* per l'esilità delle coste e delle apofisi vertebrali; somiglia infine più che tutto a *Thrinacosoma micradon* Heck. per la forma del corpo e per l'estensione della pinna anale.

Come si vede, lo formulo ipotesi molto vaghe ed inerte; nè in verità posso fare altrimenti.

Saurapsidium è un altro genere fondato dal Costa („Paleont.“, parte I, pag. 322).

„Corpo squamato; squame ovali delicatissime concentricamente striate. Denti robusti nelle mascelle e nelle fauci. Pinna dorsale unica, posta rincontro alle ventrali. Anale molto remota. Codale forata e guernita alla base di un valido fulcro in ambo i lati. Colonna vertebrale con numerose vertebre.“

„Genere affine ai *Sauropsis*, da cui però si distingue per parecchi importanti caratteri.“

Le due specie descritte sono *Saurapsidium loerissimum* Costa („Paleont.“, parte I, p. 322, tav. VI, fig. 1; „Paleont.“, parte II, p. 12, tav. I, fig. 1; „Appendice I“, p. 96, 126 e 127, tav. VI, fig. 5 e tav. A) e *Saurapsidium angusticauda* Costa („Paleont.“, parte III, p. 64, tav. IX, fig. 2).

Qui c'incontriamo in parecchie difficoltà.

Anzitutto, parlando del *Saur. loerissimum*, come ha fatto il Costa a riunire non solo nello stesso genere, ma anzi nella stessa specie i vari esemplari di cui le citate figure? come ha fatto a riferirvi gl'individui tav. I, fig. 1 e tav. A? E' mi sembra che fra questi e gli altri tav. VI, fig. 1 e tav. VI, fig. 5 corrano differenze notevoli.

Ci valgono le parole stesse del Costa.

Quand'egli, a p. 322 della „Paleont.“, parte I, fondò il gen. *Saurapsidium*, dandone i caratteri riportati pocanzi, egli aveva a sua disposizione un solo esemplare, sul quale scrisse fra altro: „Non possiamo asserire se vi esistano denti nella mandibola e negli intermassellari: solo troviamo due fossetti alla estremità anteriore degl' intermassellari, e due simili sul corrispondente sito della mandibola, ove sembra esservi stati impiantati denti, senza poter dire di qual forma si fossero.“ (pag. 322 e 323.)

Or bene, come va che nella diagnosi del genere, stanziata al principio della p. 322, sta scritto: „Denti rotondi nelle mascelle e nelle fauci“? È vero che alla fine della descrizione del *S. loerissimum* si legge in

Nota: „Della nostra specie abbiamo trovato recentemente tre pezzi... sui quali si è cercato illustrare le cose già dette; ma siccome le figure... entrar più non possono in questa prima parte del lavoro; così rimettiamo il lettore alla parte seconda...“; è vero che, parlando più tardi („Paleont.“, part. II, pag. 12, tav. I, fig. 1) di questi pezzi, egli accennò a denti „assai piccoli, rotondati, emisferici e neri, come quei dei *Lepidoti*“, e che quindi può aver tratto da questi esemplari i caratteri generici relativi alla dentizione; ma è altrettanto vero che non può essersene servito nella descrizione della specie quando disse: „Non possiamo asserire ecc.“ (Vedi sopra). Bisogna dunque concludere che, illustrando il *S. loerissimum* della „Paleont.“, parte I, pag. 322, il Costa aveva sotto gli occhi solamente l'individuo riprodotto alla tav. VI, fig. 1, e che questo differisce da quello alla „Paleont.“, parte II, pag. 12 per la mancanza di denti.

Confrontiamo un po' la descrizione dei due *S. loerissimum*, descritti dal Costa nella parte I e nella parte II.

<i>Saur loerissimum</i> („Pal.“, part. I, p. 322, tav. VI, fig. 1).	<i>Saur loerissimum</i> („Pal.“, part. II, p. 12, tav. I, fig. 1).
„Non possiamo asserire se vi esistano denti ecc.“... (Vedi sopra.)	„La mandibola... è armata di denti... Ed oltre quelli che stanno sull'orlo esterno, nella regione palatina e faringiana vi sono pure denti rotondati emisferici e neri, come quei dei <i>Lepidoti</i> , ma sono assai piccoli.“
„La colonna vertebrale, che è ben intera, si compone di 70 vertebre.“	„Colonna vertebrale composta forse di 50 vertebre...“
„Le pinne pettorali sono di mediocre lunghezza... e composte di 7 raggi, l'anteriore de' quali molto robusto e semplice, gli altri tutti ramosi.“	„Le pettorali sono più piccole delle ventrali...; in esse si contano 19 raggi ramosi, molto grossi, arcuati nella origine loro, e nella estremità articolate, che ben tosto si assottigliano e si ramificano.“
„Le ventrali sono assai piccole, poste sulla metà precisa della lunghezza del corpo; esse si compongono di 9 raggi semplici spinosi.“	„Le ventrali son grandi quanto l'anale...; si compongono di 8 raggi articolati e ramificati.“
„L'anale è pur piccolissima per quel che ne appare: vi si contano 7 od 8 raggi semplici; comincia a sorgere immediatamente dietro le ventrali con un raggio bisessuale e più forte degli altri.“	„La pinna anale è molto remota...; vi si contano 15 raggi...“

A questi caratteri io ne aggiungerò ancor uno: nel *S. loerissimum* della p. 322 la colonna vertebrale cammina dritta fino all'ultimo istante, mentre nell'altro della p. 12 essa piega sensibilmente all'indietro.

In conclusione (se per conclusioni si possono trarre) io credo che l'esemplare alla fig. 1 della tav. I debba tenersi distinto, anche genericamente, da quello alla tav. VI, fig. 1.¹

L'altro *Sauropsidium* è l'*angusticauda* Costa („Paleont.“, parte III, p. 64, tav. IX, fig. 2).

Io non so quali ragioni abbiano indotto il Costa a fare di questo esemplare una seconda specie. Ei non lo disse, nè la figura lo mostra. „Il corpo è svelto e fusiforme: il capo stretto è gradatamente declive, terminandosi in un rostro acuto... La coda è bellamente forata, come negli *Scombroidei*, col il peduncolo è angusto per modo, che la sua altezza è uguale alla base dei lobi della medesima pinna, e meno che la metà della scissura boccale.“

Dev'essere stato senza dubbio quest'ultimo carattere, che decise il naturalista napoletano a distinguere l'individuo in discorso dal *Saur loerissimum*: in fatti, il nome specifico lo prova. Ma io, confrontando le descrizioni e le figure, non posso a meno di riscontrare una completa corrispondenza fra esso ed il *Sauropsidium* della tav. VI, fig. 1.

¹ In questo confronto non ho preso ad esame l'individuo alla tav. VI, fig. 5, perchè si tratta di un frammento, che lascia molti dubbi. Nè ho parlato dell'altro alla tav. A, poichè non ho che la figura, mancandomi i Cenni sul terrore e ad ifilotti delle provincie napoletane ecc., che ne contengono la descrizione. Tuttavia, basato sul disegno, mi sembra che corrisponda sufficientemente all'individuo della p. 12.

Se noi paragoniamo adesso fra loro l'*Hyptius sebastiani*, il *Sauraspidium loevissimum*, tav. VI, fig. 1 e il *Saur. angusticauda*, studianone le descrizioni generiche e specifiche e consultandone le figure, troviamo che i caratteri si corrispondono e le figure s'assomigliano assai. Io ritengo che si tratti d'una sola ed unica specie.

Proseguiamo ora le nostre osservazioni ed arrestiamoci al pesce riferito da Costa ai generi *Cyprinus* o *Tinea* („Appendice I^a, p. 96, tav. VI, fig. 4), e che mi richiama vagamente l'ittidito di Comen che io ho asserito con dubbio a *Clupea brevissima* (tav. X, fig. 2 del presente lavoro).

„La sua figura è ellissoidica, avendo il suo maggior diametro trasversale uguale al terzo della intera lunghezza del corpo, capo e pinna codale compresi. Il capo è alto altrettanto quanto lungo, ed occupa un quarto della lunghezza di tutto il pesce. La scissura boccale è brevissima, molto obliqua, e la mandibola alquanto più lunga della mascella superiore. L'apparato opercolare è stretto ma incompleto. Le pettorali picciole; le ventrali piccolissime; la dorsale breve e triangolare con raggi molli; l'anale è pur breve; la codale sempre biloba e forata, ma non si può assolutamente ben definire perchè il lobo inferiore manca“. L'ultimo tratto della colonna vertebrale piega notevolmente all' insù.

Mi risparmio la pena di dimostrare che non si tratta di un *Cyprinus*, nè di una *Tinea*; chi getti uno sguardo alla figura può agevolmente convincersene. Mi permetto invece di esporre direttamente un'idea, la quale, se non mi soddisfa appieno, mi sembra almeno probabile: io ritengo, cioè, che la pretesa *Tinea* appartenga alla medesima specie cui il *Sauraspidium loevissimum* della p. 12, tav. A.

Ed ora, eccoci al *Cueus leopoldi* Costa („Paleont.“, parte III, p. 68 e seg., tav. X).

Esso può dirsi il gigante dei pesci di Pietraroia. Lungo oltre ottanta centimetri, sorpassa i venti nella sua massima altezza. La colonna vertebrale cammina dritta ed ha circa cinquanta vertebre, molto robuste e percorse da quattro solchi longitudinali. Le nevrapofisi anteriori veggonsi fornite di appendici secondarie. Tutte le pinne hanno raggi articolati e più volte divisi. La dorsale, mediana, è piccola; le ventrali, pur picciole, sono inserite a livello dell'ultimo raggio dorsale e sostenute da lunghezzi ischi; l'anale mostrasi un po' più vicina alla coda che alle ventrali; la codale, ampiamente divaricata e grandissima, ha il lobo superiore un po' più lungo dell'altro. Le squame offrono larghe, a margine rotondato ed a superficie „scabrosetta“.

Anche per questo ittillito, come per i precedenti, mi manca la cosa più importante — l'originale — e debbo limitarmi a rilevarne le analogie. Esso s'avvicina moltissimo al mio *Prochanos* di Lesina, da cui si distingue per la forma delle vertebre, per l'ineguaglianza dei lobi codali e per la mancanza di quelle appendici ossee, che nel *Prochanos* partono dal terzo superiore delle spine nevrali anteriori e si spingono in su verso il profilo del dorso.

Ed ora, ecco le promesse conclusioni, che sventuratamente sono monche e soddisfanno assai poco.

a) Tutti i pesci descritti dal Costa sotto i nomi generici di *Hyptius*, *Sauraspidium*, *Cyprinus* aut *Tinea* e *Cueus* appartengono alla sottoclasse dei *Teleostei*, all'ordine dei *Physostomi* ed alla famiglia *Clupeidae*.

b) *Hyptius sebastiani*, *Sauraspidium loevissimum* „Paleont.“, parte I, p. 322, tav. VI, fig. 1 e *Sauraspidium angusticauda* hanno molta analogia col genere *Leptolepis* e costituiscono probabilmente un'unica specie.

c) *Sauraspidium loevissimum* „Paleont.“, parte II, p. 12, tav. I, fig. 1, *Sauraspidium loevissimum* „Appendice I^a, p. 96, tav. A e *Cyprinus* aut *Tinea* vanno riuniti in una sola specie.

d) *Cueus leopoldi* può essere provvisoriamente considerato come rappresentante di un genere a parte, molto affine al genere *Prochanos* di Lesina.

Sono — lo ripeto — conclusioni assai vacillanti, ma è impossibile dirne di più.

Quanto alla nomenclatura — che, nel caso presente, si riduce ad una questione semplicemente convenzionale — possiamo distinguere i pesci alla lettera b) col nome di *Hyptius sebastiani* Costa, e quelli alla lettera c) col nome di *Sauraspidium loevissimum* id.

Ed eccoci finalmente all'ultima serie dei pesci di Pietraroia, che ci si presentano con un'impronta netta e caratteristica e ci permettono soddisfacenti confronti e deduzioni fondate.

Cominciamo dall'*Andreiolepis estiva* Costa („Appendice I^a, p. 97 e 127, tav. B).

La storia completa di questo genere fu pubblicata dal Costa nella II^a parte dei suoi „Studi sopra i terreni ad itioliti delle provincie napoletane ecc.“ che io non possedgo; tuttavia la diagnosi e la figura ch'egli ne porse nell' „Appendice“ me ne danno un'esattissima idea.

„La prima parte e la meglio conservata è la toraco-addominale, nella quale è rimarchevole la robustezza delle costole, le quali sono lunghe per modo che chiudono completamente la cavità addominale con gl'inter-spinali e la cresta seghiosa, come nelle Alose (?). Le numerose e false costole proprie dei Clupeidei, le grandi e delicate squame, che meglio si accostano in Ciprinoidi; le piccolissime pinne ventrali; in fine la coda bifida e forata, senza fulcri di sorta, ed omocerea; sono tutti caratteri bastevoli per stabilire il posto nel metodo.“ (Clupeoidi. — Vedi „Atti“ dell'Accademia delle Scienze fisiche e matem., Napoli 1865. Vol. II.). „Le squame sono lisce, finamente e concentricamente striate, e solo sul margine libero hanno una angusta zona rilevata.“

La figura ci aggiunge il resto. Il frammento, lungo oltre tre decimetri ed alto otto centimetri, conserva tutte le vertebre codali (23) e circa ventidue addominali. Le une e le altre sono percorse da una salienza longitudinale mediana. Le nevrapofisi delle vertebre addominali vanno provviste di numerosi ossicini secondari. Le coste sono robustissime, assai lunghe e percorse longitudinalmente da un solo. Non v'ha assolutamente alcuna traccia di coste sternali. La pinna dorsale, breve, comincia verso la fine del corpo, a livello del decimo raggio dell'anale. Questa, notevolmente estesa, ha capo ad otto centimetri dalla coda e risulta di circa ventiquattro raggi, che si accorciano man mano.

Si tratta di un frammento, è vero, ma i caratteri sono tanto decisi e corrispondono tanto a quelli dei grandi esemplari di *Thrisops micrdon*, che io non esito ad associarlo a questa bella specie dell'Herkl.

A complemento del gen. *Thrisops*, accenno ad un altro pesce, semplicemente citato dal Costa, di cui non conosco descrizione né figura. È il *Chirocentrites ? carolinii* Costa, inserito nell'*Eleuco*, più volte citato, del 1865 („Atti Acc. Sc. fis. e mat.“ vol. II, Napoli 1865).

Tocchiamo quasi la fine. Siamo al gen. *Sarginites* Costa e *Megastoma* id.

I caratteri del gen. *Sarginites* sono i seguenti:

„I *Sarginites* hanno le mascelle armate di denti alquanto conici, ottusi, un poco incurvati, ed in piccol numero. Una sola pinna dorsale direttamente opposta alle ventrali. Mancano affatto di pinna anale. La pinna codale ha per base due luoghi essetti, all'estremità dei quali s'impiantano i raggi propri costituenti la pinna... La mancanza dell'anale li distacca dai *Leptolepis*... Tutti i dodici individui raccolti presentano il solo scheletro, nel quale si contano trentadue vertebre, senza traccia di costole sternali; né verun segno di squame.“ („Palcont.“ parte I, p. 285).

Una sola specie: *Sarginites pygmaeus* Costa („Palcont.“ parte I, p. 285, tav. VI, fig. 6, 8 e 9; ¹ parte II, p. 7, tav. I, fig. 4; „Appendice“, p. 94, tav. V, fig. 5).

„I *Megastoma* hanno una bocca amplissima, non altrimenti che quella degli *Scopeli*, la cui scissura oltrepassa la regione oculare: intermascellari estensivi. In ambe le mascelle vi sono denti conici molto grossi, e quindi in piccol numero, i quali si alternano quando le due mascelle si avvicinano. Pinna anale piccola e molto remota. La pinna codale è forata, a lobi quasi eguali, non molto lunghi, i cui primi raggi sono forniti di molli e validi fulcri all'esterno dalla sua base.“

„Non possiamo dispensarci dal separare dalla precedente la specie che serve di tipo a questo nuovo genere, a causa della notevole differenza che troviamo nella struttura della pinna codale, e nella presenza della pinna anale. Di talché questo genere potrebbe doversi allontanare dalla famiglia nella quale entrano i *Sarginites*.“ („Palcont.“, parte I, p. 287).

Una specie: *Megastoma apenninum* Costa („Palcont.“, parte I, p. 287, tav. VI, fig. 7, 10; ² parte II, p. 8, tav. I, fig. 3).

¹ Nel testo (p. 285) e nella Spiegazione delle tavole (p. 425) sono citate le figure 6, 7 e 8 pel *Sarg. pygmaeus* e le fig. 9 e 10 per *Meg. apenninum*. Però, consultando queste figure e confrontandole colle descrizioni del Costa, si rileva che i numeri furono indicati ad errore. La prima di queste due specie è riprodotta alle fig. 6, 8 e 9; l'altra alle fig. 7 e 10.

² Vedi la Nota precedente.

Ho trascritto l'una accanto all'altra le diagnosi di questi due generi, perchè sono convinto e intendo dimostrare che vanno fusi insieme.

La prima differenza addotta dal Costa sta nella pinna anale, di cui — egli disse — i *Sarginæ* sono sprovvisti.

Ad escluderla, basterebbe notare soltanto che, se i *Sarginæ pygmaeus* alle fig. 6, 8 e 9 della tav. VI („Paleont.“, parte I) mancano dell'anale, ne mancano interamente anche i *Megastoma apenninum* alle fig. 7 e 10 della tavola stessa. Ma all'incontro nè *Sarginæ* nè *Megastoma* erano sprovisti di questa pinna, dacchè, se noi consultiamo la fig. 4 della tav. VII (parte II), che rappresenta *Sarg. pygmaeus*, e la fig. 3 della tavola stessa, che riproduce *Meg. apenninum*, troviamo l'anale distintamente visibile in ambedue gli esemplari. È vero che il Costa non fece cenno dell'improvvisa apparizione di questa pinna nei *Sarginæ*, che nella parte I della sua „Paleontologia“ egli aveva detta assolutamente mancante; ma, disgraziatamente, era nelle sue abitudini di non alludere alle cose giuste o false scritte in addietro. La prima differenza fra *Sarginæ* e *Megastoma* perde così ogni valore.

Resta l'altra: la struttura della pinna codale, che nei *Sarginæ* ha per base due lunghi ossetti, mentre nei *Megastoma* è normale ed esternamente fornita di molti e validi fulcri.

Anche qui invoco la fig. 4 della tav. VII e quella alla tav. V dell'„Appendice“, le quali, riferite dal Costa a *Sarg. pygmaeus*, hanno la coda divisa in due lobi eguali e formati, come al solito, di molti raggi, senza che vi compaiano menomamente i „caratteristici ossetti“. Quanto ai fulcri nella codale del *Megastoma*, essi sono semplicemente brevissimi raggi, di cui — si può dire — tutte le code dei pesci vanno esternamente provviste.

La terza ed ultima differenza citata dal Costa sta nell'opercolo che nel *Megastoma* è „triangolare, tagliato a squadra, e superiormente scolpito, con 3 in 4 acuti denti...“, mentre nel *Sarginæ* manca traccia di questa forma e scultura si è potuto ravvisare, malgrado i numerosissimi esemplari che ne abbiamo diligentemente esaminati“. („Paleont.“, parte II, pag. 9).

A ciò io rispondo con una domanda: Come va che il Costa non ha parlato di questi caratteri dell'opercolo nella parte I della „Paleontologia“, quando illustrava lo stesso esemplare che gli serviva poi nella parte II a constatarceli? È segno ch'essi erano tanto vaghi ed incerti, da non tenerne alcun calcolo.

Dimostrate così insistenti le varie differenze fra *Sarg. pygmaeus* e *Meg. apenninum*, è naturale che questi due pesci devono rientrare nel medesimo genere.

Ora, a qual genere vanno attribuiti?

La risposta mi sembra assai facile. I punti di contatto fra essi ed il mio *Leptolepis neocornuensis* di Lesina sono così numerosi, che io non esito ad associarveli.

Ma qui devo aggiungere ancora una osservazione.

Come ho accennato alla p. 224 del presente lavoro, il Costa terminava la descrizione del *Meg. apenninum* colle seguenti parole: „Nove a dieci costole sternali chiudono la cassa toracico-addominale“. A dir vero, io non sono propenso ad accettare per vera questa asserzione del naturalista napoletano, anzitutto perchè le figure di questa specie offerte da lui — naturali e ingrandite — non presentano assolutamente alcun vestigio di coste sternali, in secondo luogo perchè nei cenni dati su questa specie alla parte II (p. 8) non si parla di tali organi; tuttavia, ammettendo che il Costa ne constataste in realtà la presenza nel suo *Megastoma*, noi avremmo in esso un esemplare corrispondente a quello dell'isola dalmata, da me determinato e descritto ed nome di *Clupea gaudryi* (vedi p. 223, tav. VII, fig. 1 di questo lavoro).

Vien ultimo il gen. *Histiurus* Costa („Paleont.“, parte I, p. 288), eh' egli (par mio incredibile!) avvicinava al gen. *Smerdis*.

„Corpo corto ed altissimo. Pinna codale amplissima lunga e delicata. Cresta cefalica. Dorsale stretta ed opposta alle ventrali: queste mediocrementemente lunghe: pettorali piccole. Addome carenato e guernito da grandi scudi ossei. Denti piccoli e rotondati sul contorno interno della mascella. Scheletro molle.“

Due sono le specie descritte: *Histiurus elatus* Costa („Paleont.“, parte I, p. 288, tav. VI, fig. 3; parte II, p. 8, tav. I, fig. 2) e *Histiurus serioloides* id. („Paleont.“, parte III, p. 64, tav. IX, fig. 3).

Chi legge l'illustrazione dell'*Hist. scroloides* e consulta le figure che le fanno corredo, è indotto a concludere con sicurezza che si tratta di un rappresentante del gen. *Clupea* e può giungere perfino a riconoscerne un individuo della *Clupea bottae* Pietet et Humbert. Forma del corpo, delle vertebre, delle nevrapofisi, delle emapofisi, delle coste sternali, delle ossa opercolari, delle appendici secondarie e delle pinne: tutto contribuisce a favorir questa idea.

Altrettanto risulta dalla descrizione e dalle figure dell'*Hist. elatus*. Qui però sorge un ostacolo. «La mandibola — scrisse il Costa — vedesi guernita nel lato interno di una serie di piccoli denti ritondati, neri, di cui 4 distintissimi; gl'internascellari scambie averne del pari, ma meno distinti.» Or noi sappiamo che in generale le clupee non presentano denti. Tuttavia, considerando che nessuna delle figure -- naturali e ingrandite -- dell'*Hist. elatus* e del *scroloides*, nè la descrizione di quest'ultima specie rivelano l'esistenza di denti, e richiamando d'altra parte alla mente la *Clupea gaudryi* di Lesina, in cui coll'ajuto della lente si scorgono sulle ossa mascellari sicure tracce di denti, credo di non commettere un errore non tenendone calcolo e inserendo dubitativamente l'esemplare in discorso col nome di *Clupea brevissima* Blainville.

Per terminare l'ittiofauna del calcare di Pietraroia, devo aggiungere ancora un cenno su due altri esemplari, benchè il loro stato di conservazione sia tale da rendere impossibile ogni determinazione.

L'uno — *Caliguathus* Costa — consiste in una mandibola fornita di denti lunghi, conici, tutti simili e quasi uguali fra loro, come quelli di un pettine, al numero di 10°. («Paleont.», parte II, p. 37, tav. IV, fig. 6).

L'altro — *Pachyodon* Costa — che non sembra nemmeno di pesce, è un'altra mandibola, armata di denti affatto conici, a punta acuta, e molto grossi, strettamente stivati, disuguali, al numero di sei; ed alla cui faccia interna sembra esservene de' ritondati e minutissimi! («Paleont.», parte II, p. 38 e 87, tav. IV, fig. 7).

Questi frammenti — ripeto — non hanno alcun valore scientifico. E doveva esserne convinto lo stesso Costa, d'altronde non ne fu cenno nell'*Elenco* degli ittioliti di Pietraroia, inserito nel vol. II degli «Atti» dell'Accademia delle scienze fisiche e matematiche.

Riassumendo:

Nelle acque di Pietraroia vivevano condrotterigi, ganoidi e teleostei.

I condrotterigi sono rappresentati:

dal *Rhinobatus obtusatus* Costa, affine al *Rh. maronita* di Hakel (m. Libano),

e dallo *Spinax laticus* (Costa) Bass., analogo allo *Sp. primæus* di Sahel-Alma (m. Libano).

Appartengono ai ganoidi:

Belonostomus crassirostris Costa, vicino a *B. lesinensis* di Lesina ed a *B. sp.* di Comen.

Cœlodus grandis (Costa) Heck., che richiama i pienodonti congeneri di Comen e di Lesina.

Lepidotus exiguus Costa, simile al *Lepidotus* di Parbeek.

Notogogus pentlandi Ag. e *Proterus? macrocephalus* (Costa) Bass., dubbiosamente rappresentati a Pietraroia.

Oconocopus petraroiae Costa, che può considerarsi un passaggio fra i ganoidi e i teleostei.

La sottoclasse dei teleostei vi conta sei specie, tutte appartenenti all'ordine dei *Physostomi* ed alla fam.

Clupeidae:

Hyptius sebastiani Costa, analogo ai rappresentanti del gen. *Leptolepis*.

Sauropsidium loevisimum Costa.

Cæna leopoldi Costa, che ricorda il *Prochanos rectifrons* di Lesina.

Thrisops microdon Heck., riscontrato a Lesina, a Comen (?) e ad Hakel.

Leptolepis neoromiensis Bass., proprio alle faune di Lesina e di Comen.

Clupea brevissima Blainv.?, citata ad Hakel, a Comen ed a Lesina.

Ittiofauna dei Voironi.

Fu descritta nel 1858 da F. J. Pictet.¹ Trattasi di pochissimi generi, che rappresentano peraltro tutta intera la classe.

Le specie son le seguenti:

Spathodactylus neocomiensis Pictet.
Crossognathus subaudianus id.
Clupea antiqua id.
Clupea voironensis id.

Aspidorhynchus generensis id.
Sphenodus subaudianus id.
Odontaspis gracilis Agass.
Gyrodus sp.

Il gen. *Spathodactylus* Pictet si distingue per questi caratteri.

Corpo allungato, salmiforme. Bocca grande. Premascellare corto; mascellare lungo e diritto: entrambi forniti di denti, conici, pressochè uguali fra loro, lisci, discosti e messi sopra una sola serie. Branchiostegli piccoli e numerosi. Ossa opercolari grandi e — a quanto sembra — non dentellate. Colonna vertebrale terminata sul tipo degli Steguri.² Vertebre e coste numerose. Pinne pari costituite da larghissimi raggi a forma di spatola, lisci alla base e suddivisi all'estremità. Pettorali grandi. Ventrali sviluppatissime, situate all'estremità posteriore dell'addome. Prima dorsale composta di un unico raggio appuntito e depresso; la seconda corta e molto remota. Anale lunghissima: la parte anteriore foggiate ad ala ed a raggi grandi e appiattiti; la posteriore lunga e bassa. Codale ampia, divisa in due lobi acuti. Squame grandi, arrotondate, dure, prive di corpuscoli ossei e di linee raggiate e provviste di strie concentriche, poco visibili.

Una specie rappresentava questo caratteristico genere nelle acque de' Voironi: *Spathodactylus neocomiensis* Pictet.

Il numero delle vertebre ascende a sessanta, di cui venticinque sono addominali. L'altezza del corpo è compresa circa quattro volte nella lunghezza di questo, misurata dall'estremità del muso all'origine della coda. La testa ne occupa poco meno del quinto.

Se noi cerchiamo adesso i rapporti che questa specie presenta, troviamo ch'essa s'avvicina estremamente ai *Chirocentrides*. In fatti, come ha giustamente osservato l'illustre Pictet, il numero e la forma delle vertebre, la dorsale principale remota, le pettorali e le ventrali composte di larghi raggi, l'anale lunghissima e la codale scissa in due acuti lobi sono altrettanti caratteri che affratellano questi due generi. V'ha però — aggiunge il Pictet — differenze notevoli, che tengono distinto lo *Spathodactylus*: valgono la forma del mascellare superiore, foggiate ad S nei *Chirocentrides*; la disposizione dei denti, molto ineguali in questo stesso genere; la presenza nello *Spathodactylus* di un raggio isolato, che forma il rudimento di una dorsale anteriore; l'assoluta mancanza di seghettature alle ossa opercolari; lo sviluppo ragguardevole delle pinne pari e la notevole lunghezza dei loro raggi.

Se non che, a tutto ciò si può fare alcune obbiezioni.

Premetto che delle tre specie di *Chirocentrides*, descritte dall'Heckel e provenienti da Comen (*Chirocentrus*, *gracilis* e *vezilijeri*), la prima soltanto porta con qualche diritto questo nome generico, poichè essa sola ne offre i caratteri stabiliti dell'Heckel. Ammesso questo (e lo dimosterò più avanti, nell'Ittiofauna di Comen), esaminiamo partitamente le differenze suesposte.

Quanto alla dentizione, in *Chirocentrus* *coronatus* l'estremità anteriore del premascellare è fornita da ciascun lato di un lungo e robusto dente, conico e diretto obliquamente in avanti. Toltone questo, gli altri corrispondono affatto a quelli di *Spathodactylus*. Or bene, se noi supponessimo che il dente in discorso fosse caduto nello *Spathodactylus* de' Voironi? Ciò si potrebbe agevolmente ammettere, dacchè la mascella superiore

¹ „Matér. pour la paléont. suisse.“ — „Description des fossiles du néoc. Inf. des Voironi.“ Genève 1858.

² Per la significazione della parola Steguri, veggli i lavori di J. J. Heckel e la „Descr. d. pois. foss. des Voironi“ di Pictet.

mal conservata, vedesi rotta in due punti; ed in tal caso sarebbe tolta la differenza stabilita sui denti. È vero che, secondo la ristanzazione della testa di *Chir. coronini* data dall'Heekel, questa specie presenta due denti conici e luoghi anche all'estremità anteriore dell'osso dentario; ma giova notare che in realtà non è così, poichè sugli esemplari originali essi veggonsi molto più piccoli dei superiori. A questo si aggiunga che nello *Sp. neo-cominensis* i denti estremi della mascella inferiore non son conservati.

Veniamo alla differenza basata sul mascellare superiore, eury ad S nel gen. *Chirocentrites*. Nemmen questa ha serio valore. Anzitutto, l'ittiolito nel quale codesto carattere è più saliente è appunto il *Chir. micradon*, il copioso abitatore delle acque di Lesina, appunto quello che più tardi venne dall'Heekel riconosciuto per *Thrinops*. Oltre a ciò, è assolutamente inconcesso di stabilire la forma del mascellare nello *Spathodactylus*, che è rotto e spostato.

Riguardo all'assenza completa di dentellature alle ossa opercolari, lo stesso Pietet ci disse che a questo proposito possono restare dei dubbi, giacchè le ossa in discorso non sono visibili che dal lato interno. Peraltro — ci soggiunse — se dentellature esistevano, avrebbero lasciato tracce sulla pietra. L'osservazione è giusta, ma non è decisiva. Del resto, le ossa opercolari sono mal conservate.

Quanto allo sviluppo delle pinne pari ed alla notevole larghezza dei loro raggi, è cosa incontestabile; ma d'altro canto è pur vero che la struttura di questi ultimi è affatto identica a quella dei trissopini di Comen.

Di veramente importante non resta dunque che il raggio isolato alla parte anteriore del dorso. E, in verità, non si può agevolmente supporre ch'esso sia un raggio d'altra pinna spostato o una nevrapiosis smossa, giacchè l'Autore ci dice ch'esso è supportato „par un os très épais, arqué, convexe en arrière, qui part entre la quatrième vertèbre dorsale et la cinquième, avec un diamètre d'environ douze millimètres, qui est peu visible dans la figure, parce qu'il est caché sous les écailles“. Tuttavia, benchè sia cosa strana immaginare una spina nevrale larga oltre un centimetro, pure — tenuto calcolo che il raggio in questione sorge fra la quarta e la quinta vertebra dorsale, che la sua inserzione coll'interspinoso non è visibile, perchè coperta da squame, e che le spine uevrali anteriori dei pesci sono sempre molto robuste ed espanse — non potrebbe darsi che il raggio dello *Spathodactylus* fosse una di queste spine, fortitamente staccata dal corpo vertebrale e spinta alquanto più in su?

Concludo: non una differenza, veramente plausibile, distingue i due generi *Spathodactylus* e *Chirocentrites*. Fino ad oggi peraltro non ci è dato di fonderli assieme, quantunque li affratellino tanti caratteri.

Passiamo ora al gen. *Crossognathus* Pietet. Ne riporto i principali caratteri:

Corpo ovale. Bocca mediore. Premascellare corto; mascellare arcuato in avanti: entrambi forniti di denti. Questi — vicini fra loro, subclaviformi e piccoli — formano una frangia regolare sulle due mascelle, ad eccezione degli anteriori, che son più grandi e ad uncino. Apparato opercolare senza spine, nè denti. Colonna vertebrale terminata nel sistema degli *Steguri*. Pinne pari medioeri. Pettorali rotondate; ventrali addominali; dorsale submediana e corta; anale lunga; codale sviluppata e divisa in due lobi acuti. Squame grandi, ovali, arrotondate, percorse da sottili strie concentriche e fornite nello strato inferiore di corpuscoli ossei regolari.

I caratteri del *Crossognathus sabaudianus* Pietet sono:

Vertebre trentotto, di cui diciassette dorsali. Altezza del corpo compresa quattro volte nella lunghezza del pesce, esclusa la coda. Lunghezza della testa compresa tre volte e mezzo nella stessa misura.

A questo bel genere del naturalista ginevrino mi permetto di contrapporre alcuni altri: *Caturus Etopopsis*, *Pomognathus* ed *Halec*, che, a mio parere, gli si stringono accanto e ne fanno vedere i legami genetici.

Richiamandone i principali caratteri:

Il *Caturus*, vicino per forma alle specie del gruppo *Pachycormina*, se ne distingue per lo scheletro interno sempre incompletamente ossificato, dacchè la corda dorsale è protetta da mezze vertebre, separate fra loro. La bocca, molto fessa, è armata di denti conici, appuntiti e fitti. La pinna del dorso, preceduta da alcuni interapofisari inermi, è breve ed opposta alle ventrali, che stanno inserite nel mezzo del corpo. L'anale mostrasi corta; la codale grande, equiloba, profondamente incisa e col primo raggio percorso in tutta la sua lunghezza da filieri. Il corpo è coperto di squame sottilissime, talvolta provviste di piccole salienze granulose, generalmente lisce e

fornite alla faccia interna di un cornetto articolare assai debole, di cui mancano le squame alla coda. La loro forma è romboidale, esagonale o arrotondata.

Quanto agli *Elopopsis* (di cui ho già esposto i caratteri nell' *Ittiofauna di Lesina*), la forma delle vertebre e il loro numero (35 nell'*El. haueri*), la posizione delle pinne, la forma della testa, lo squareio della bocca e i denti alle mascelle hanno molti rapporti col genere di Pietet; tanto più che nell'esemplare figurato di *Crossognathus sabaudianus* la codale e le pettorali sono incomplete e poteano quindi presentare la forma o raggiungere lo sviluppo delle stesse pinne nei rappresentanti del gen. *Elopopsis*.

Nei *Pomognathus* il tratto anteriore delle mascelle è provvisto di denti assai numerosi, sottili, arrotondati, appuntiti e rivolti all'indietro; il posteriore ha i denti meno numerosi, più larghi, piatti ed ampi alla base. Le pinne sono disposte come nei *Caturus*, nei *Crossognathus* e negli *Elopopsis*.

Negli *Halec* la forma della testa, assai larga e superiormente appiattita, ha una notevole analogia con quella degli *Elopopsis*. Lo squareio della bocca è profondo, e l'orbita è grande. I denti mostransi a spazzola, eccettuati alcuni, più grandi e più conici, nel tratto posteriore della mascella inferiore. I corpi delle vertebre sono piccoli, tanto alti che lunghi e colle faccie articolari salienti. Apofisi spinose lunghe e gracili. Pinne sviluppatissime. Dorsale mediana. Ventrali inserite a livello della metà della dorsale.

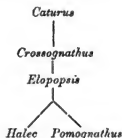
Io credo che davanti a questi caratteri non si possa esitare.

La corda dorsale dei *Caturus* si è successivamente ossificata, sono spariti i fulcri ai lobi codali, si sono modificate le squame — e ne son rimasti i *Crossognathus*.

I *Crossognathus*, perdendo l'eterocerchia della coda ed ingrandendo le pinne pettorali, diedero luogo agli *Elopopsis*.

Questi, modificando i denti e le ossa opercolari, si tramutarono in *Halec* ed in *Pomognathus*.

Cosicchè possiamo dire:



Veniamo al gen. *Clupea*. Il Pietet ne descrisse due specie: *Cl. voironensis* e *Cl. antiqua*. Arrestiamoci un po' su quest'ultima.

L'esemplare di *Clupea antiqua* Pietet, benchè manchi della pinna dorsale, dei raggi anali e della mascella inferiore, è in complesso ben conservato, nè lascia dubbio sulla sua determinazione generica — esclusa, s'intende, le numerose suddivisioni in cui è scisso al dì d'oggi il gen. *Clupea*. Come osservò giustamente il Pietet, la specie in discorso si avvicina nel tipo alle alose; essa, in fatti, a paragone delle altre clupee presenta una forma assai più allungata, la quale si convien meglio al gen. *Alosa*.

A me si permetta di contrapporre *Scombroclupea macrophthalma*, riscontrata ad Hakel, a Lesina e a Comen. In questa ed in quella il corpo è alto e allungato, la coda sviluppata, le coste sternali pronunciate e nettamente visibili. *Clupea antiqua* conta quaranta vertebre; trentanove o quaranta la *Scombroclupea*. Le pinne ventrali e le pettorali si corrispondono per forma, posizione e sviluppo. In entrambe le specie le nevrapofisi e le emapofisi sono assai sottili e piegate all'indietro; in entrambe l'orbita è allungata. È vero che le pinnule spurie, che veggonsi al profilo inferiore della *Scombr. macrophthalma* al di là dell'anale, non si rilevano affatto in *Cl. antiqua*; ma è d'uopo notare ch'esse sono quasi sempre assai mal conservate, ed io non ne ho scorto che debolissime tracce in parecchi esemplari di Comen e di Lesina. Bisogna convenire che l'analogia fra queste due specie è molto sensibile.

Ma dove essa s'appalesa anche più, si è fra la stessa *Scombroclupea* e *Clupea voironensis* Pietet, fatta astrazione dalla mancanza di coste sternali, che può anzi deve dipendere dalla fossilizzazione. Richiamiamo i caratteri della *Cl. voironensis*. La lunghezza totale varia da settantacinque a centodieci millimetri. Il corpo offre una forma ovale allungata. L'altezza di questo è compresa da sei a sei volte e mezzo nella lunghezza complessiva. Quanto al numero delle vertebre, il Pietet le dice cinquantadue (29, 31); io non so peraltro donde abbia tratto questo numero, poichè le figure ch'egli ne porge, tolte indubbiamente dai migliori esemplari ch'erano a sua disposizione, non ne conservano mai più di trentasei. Non sono individui completi, gli è vero, ma in ogni modo, tutto compreso, non poteano oltrepassare il numero di quaranta. Le vertebre dorsali portano apofisi lunghe, debolissime e numerose. Su tutte le nevrapofisi e sulle emapofisi delle sei ultime vertebre scorgonsi appendici secondarie. Le coste mostransi lunghe e sottili. La pinna dorsale è inserita verso la metà del corpo. L'anale e le pinne pari corrispondono per forma e per posizione alle pinne omonime di *Scombroclupea*. Si confrontino questi caratteri con quelli offerti dalla *Scombroclupea macrophthalma*, e riuscirà agevole rilevarne i numerosi punti di contatto. A questo ravvicinamento m'induce anche un'altra ragione. La *Cl. voironensis* Pietet è figurata alla tav. V (fig. 1—10) del suo lavoro.¹ Tutti sono esemplari incompleti: in uno trattasi soltanto delle pinne ventrali (fig. 9 a); in secondo non riproduce che la testa e le pinne pectorali (fig. 4); in un terzo non veggonsi che una parte del capo e la regione addominale (fig. 3). Ora questi tre frammenti (fig. 9 a, 3 e 4) si avvicinano estremamente ad altri, trovati negli strati itiolitiferi di Comen e di Lesina, e precisamente a quello figurato nel 1867 da Kner alla tav. I, fig. 2 delle sue „Neuer Beitr. zur Kenntn. d. foss. Fische von Comen“, ed all'altro di Lesina di cui ho parlato in addietro, alla p. 225.

In conclusione, l'annlogia fra gli avanzi in discorso — sia che rappresentino o meno *Scombroclupea macrophthalma*, è sorprendente.

La sottoclasse dei Ganoidei era rappresentata a' Voiron dai gen. *Aspidorhynchus* e *Gyrodus*.

Aspidorhynchus generensis Pietet fu fondato sopra due esemplari incompleti. L'uno manca della parte del corpo compresa fra l'inserzione delle pinne ventrali e l'estremità del muso; l'altra mostra solamente il capo. Su ambedue le mascelle scorgonsi denti conici, appuntiti e irregolari. Le squame sono disposte su nove serie: tre piccole, superiori; altrettante inferiori, par piccole, e tre principali, che occupano i fianchi. Ciascuna ne contiene circa sessantacinque.

La determinazione generica di questi frammenti è, secondo me, giustissima. Quantunque l'esemplare che conserva la testa possa lasciare qualche dubbio sullo stato di conservazione del becco e richiami quindi al pensiero i *Belonostomus*,² pure mi sembra che la forma tozza del corpo, l'altezza della testa e il profilo frontale lo associino agli *Aspidorhynchus*.

Quanto al *Gyrodus*, trattasi di denti isolati, che non permettono una determinazione specifica. Essi sono identici ad altri, trovati nelle marne neocomiane del monte Salève.

Gli squalidi contavano *Sphenodus sabaudicus* Pietet e *Odontaspis gracilis* Agass. Il primo di questi, più che n *Sph. planus* Agass., s'accosta al *longidens* id., dal quale tuttavia si distingue per la forma più diritta e per la punta depressa.

Riassumendo:

Nelle acque de' Voiron vivevano condrotterigi, ganoidei e teleostei.

Ai primi appartengono:

Odontaspis gracilis Agass.

¹ Dubito che l'esemplare illustrato dal Pietet alla fig. 1 della tav. V sotto il nome di *Cl. voironensis* appartenga alla stessa specie cui sono riferiti gli altri individui alle figure 2, 3, 4 e 9.

² Anche il Kner, descrivendo sotto il nome di *Hemirhynchus comenianus* un frammento proveniente da Comen (frammento che io ho chiamato più tardi *Belonostomus* sp.), si esprime così: „Maggior analogia, se vogliamo, esso presenta col frammento illustrato da Pietet alla tav. VII, fig. 1/2 de' suoi „Poissons des Voiron“; ma quell'avanzo fu dallo stesso Pietet riferito assai dubitativamente all'*Aspidorhynchus generensis*“ (R. Kner, „Neuer Beitr. z. Kenntn. d. foss. Fische von Comen bei Götz“, Wien 1867.)

Sphenodus sabaudianus Pietet, più vicino a *Sph. longidens* Agass. che a *Sph. planus* id.

I ganoidi contavano:

Aspidorhynchus generensis Pietet, affine a *Belonostomus* sp. di Comen.

Gyrodus sp., identico al *Gyrodus* scoperto nelle marne neocomiane del monte Salève.

Il eleostei erano rappresentati da quattro specie, distribuite in tre generi e tutte appartenenti all'ordine dei *Physostomi* ed alla fam. *Clupeidae*:

Spathodactylus neocomianus Pietet, analogo ai *Thrinops* ed ai *Chirocentrus* di Comen e di Lesina, che possono considerarsi derivati da lui.

Crossognathus sabaudianus id., progenitore agli *Elopopsis* delle due località ora accennate.

Clupea antiqua id. e *Cl. vironensis* id., simili a *Scombroclupea macrophthalma* (Heckel) Pietet et Humbert, di Hakel, di Comen e di Lesina.

Ittiofauna di Comen.

(Tav. IX e X.)

Imprendiamo l'esame dell'ittiofauna di Comen, scoperta negli schisti bituminosi dell'altipiano del Carso triestino ed illustrata dall'Heckel, dal Kuer, dallo Steindachner e recentemente anche da me. ¹

I giganteschi abitatori dei mari, i condrotterigi, non vivevano a Comen. In quelle acque nuotavano solamente teleostei e ganoidi. Cominciamo da questi.

Ci sorge *Antlopsis prisca* Kuer. Non c'entratteremo a lungo su questo genere, fondato dal celebre naturalista viennese, poichè non presenta analogie cogli altri del terreno cretaceo. È una specie molto caratteristica e che perciò si riconosce assai facilmente. Ha numerosi rapporti coi gen. *Cyclurus* ed *Amia*: rapporti che il Kuer ha posti accuratamente in rilievo.

La lunghezza della testa, misurata dall'estremità dell'osso dentario alla prima vertebra visibile, occupa un quinto della lunghezza totale. La mascella inferiore offre tracce di parecchie serie di denti conici, i quali si palesano meno lunghi e meno robusti che quelli del gen. *Amia*. Lo squarcio della bocca supera, a quanto sembra, quello presentato dagli individui di quest'ultimo genere. L'articolazione dell'osso dentario è coperta superiormente e in avanti dal margine del mascellare, che manca del tratto fornito di denti. Manca eziandio il premaxillare, e le ossa nasali e sottorbitali sono conservate solamente in parte. Fra l'orlo posteriore della mascella superiore e la regione dei premaxillari notasi una fila compatta di denti acuti, che probabilmente appartengono al palatino destro. Alcuni di essi, notevolmente lunghi, superano quelli della mascella inferiore: così come osservasi nel gen. *Amia*. La colonna vertebrale, che volge sensibilmente all'insù, risulta di settant'una vertebra. I corpi vertebrali sono ossificati, mostransi più alti che lunghi e van provveduti di tre salienze trasversali, assai pronunciate, che li caratterizzano nettamente. Gli ultimi si restringono assai. Gli spazi compresi fra queste salienze sono profondamente infossati. Le nevrapofisi e le emapofisi, allargate e fornite di appendici e di sporgenze, elevansi verticalmente sui corpi. Le spine nevrali ed emali determinano con quelle un angolo acuto e piegano notevolmente all'indietro. Le coste, mal conservate, dovevano essere brevi e sottili. La pinna codale, ridotta — si può dire — al lobo inferiore, e che conta almeno sedici raggi fittamente articolati, è sostenuta dalle emapofisi delle ultime scolie vertebre. La pettorale è stretta; l'arco scapolare è largo e robusto. Le ventrali e l'annale mancano affatto.

Abbiamo davanti un vero ganuido. La robustezza delle nevrapofisi e delle emapofisi, la gracilità delle spine nevrali ed emali, la relativa inclinazione di queste e di quelle, gl'infossamenti trasversali dei corpi vertebrali,

¹ Heckel, Beitr. z. Kenntn. d. foss. Fische Österreichs. Wien 1850. Id., Beitr. z. Kenntn. d. foss. Fische Österr. Wien 1856. — Kuer, Über einige foss. Fische aus den Kreide- und Tertiärschichten von Comen und Pölsau. Wien 1863. Id., Neuer Beitr. z. Kenntn. d. foss. Fische von Comen bei Görz. Wien 1867. — Steindachner, Beitr. z. Kenntn. d. foss. Fische Österr. Wien 1859. — Fr. Bassani, Über einige foss. Fische von Comen. Wien 1879. Id., Contribuzione alla fauna ittologica del Carso presso Comen in Istria. Padova 1880.

l'assimmetria della coda e le stipse articolazioni dei raggi di questa pinna sono altrettanti caratteri che rivelano splendidamente il tipo. Non *Amia* soltanto, ma tutti gli altri olostei, sì polipteridi che lepidosteidi, dell'America nordica e d'Africa s'affratellano al pesce di Comen: anche *Lepidosteus*, *Calamoichthys* e *Polypterus* gli stendono la mano e l'ascrivono alla loro famiglia.

Altri tre generi rappresentavano la sottoclasse dei ganoidi a Comen: *Belonostomus*, *Coriodus* e *Palaeobalistum*.

Gli esemplari che io riferisco al primo di essi son tre frammenti, che si conservano nelle Collezioni dell'I. R. Istituto geologico di Vienna e che mi fornirono argomento di una breve Memoria, inserita negli „Atti della Società veneto-trentina di scienze naturali“ (vol. VII, fase. I).

Riporterò sommariamente le risultanze ottenute.

Quel tre frammenti erano stati studiati in addietro dai signori Heckel e Kner. Heckel ne attribuiva due al gen. *Hemirhynchus* ed il terzo (tav. IX, fig. 3) al *Saurorampus*; Kner li rinvia tutti al gen. *Hemirhynchus* chiamandoli *Hemirhynchus heckeli* Kner ed *Hemirhynchus comenianus* id.

Ma, a mio parere, codeste determinazioni sono errate, e tutti tre gli esemplari in discorso devono considerarsi quali *Belonostomus*. Studiamone infatti i loro caratteri.

Il primo (tav. IX, fig. 1) è un frammento della mascella superiore, che si manifesta protratta in un lungo becco. Mostrasi percorso longitudinalmente da solchi abbastanza profondi e irregolari, e palesa notevoli tracce di denti all'orlo inferiore. Si restringe verso l'avanti e misura nella sua complessiva lunghezza dodici centimetri.

Nel secondo frammento (tav. IX, fig. 2), che fu distinto dal Kner col nome di *Hem. heckeli*, si scorgono il rostro, la testa e una piccola parte del tronco. Su entrambe le mascelle v'ha denti mediocrementi robusti: i superiori conici; filiformi e più lunghi gli altri. Siccome la roccia è scrostata all'orlo estremo del becco inferiore, non è dato di stabilire con precisione se questo raggiungesse in lunghezza il superiore o s'arrestasse prima di esso. L'orbita è grande e arrotondata. Alcuni raggi a mala pena visibili ci danno indizio delle pinne pettorali. Delle squame, assai mal conservate, nulla è permesso di dire.

Le mascelle del terzo esemplare (tav. IX, fig. 3), chiamato *Hem. comenianus* dal Kner (che lo trovò affine all'*Aspidorhynchus genevensis* Pietet dei Voirous), si protraggono in un lunghissimo becco, il cui tratto anteriore non è rappresentato che da pallidissime tracce. È impossibile determinare se il rostro superiore andasse provvisto di denti, i quali si veggono nettamente solo sull'altro. Di quest'ultimo non è dato stabilir la lunghezza. L'altezza della testa decrebbe quasi insensibilmente dall'indietro all'avanti. Tutte le ossa si mostrano solcate.

Ed ora, a riscontro, vediamo i tratti caratteristici dei gen. *Belonostomus* ed *Hemirhynchus*, senza intrattenerci qui del gen. *Saurorampus*, al quale, come vedremo più avanti, non possono assolutamente riferirsi gli esemplari in discorso.

Gen. *Belonostomus* Agass. — Tutte le specie di questo genere sono più gracili e più slauciate che gli *Aspidorhynchus*. Le due mascelle presentansi allungatissime: la superiore sorpassa appena l'inferiore. Entrambe vanno armate di denti acuti e irregolari. L'orbita è molto grande.

Gen. *Hemirhynchus* Agass. — La mascella superiore, allungata in un becco affilato e sprovvisto di denti, è gracilissima e termina in una punta cilindrica. La sua lunghezza supera almeno di un terzo quella della mascella inferiore, ch'è molto più robusta alla base, ma parimenti appuntita. Le squame son grandi. L'orbita è assai sviluppata e arriva all'orlo superiore della testa.

La conclusione mi sembra chiara.

Attribuire i nostri esemplari al genere *Hemirhynchus* è assolutamente impossibile, allorché solo si pensi che i suoi rappresentanti vanno sforbiti di denti, mentre questi esistono in tutti tre gl'individui del Carso, che s'affratellano invece sotto ogni rapporto col *Belonostomus*.

Ecco perchè l'anno scorso ho sostenuto e sostengo tuttora che „nello stato attuale della scienza, i frammenti di pesci riscontrati negli schisti bituminosi dell'Istria e determinati dal Kner come *Hemirhynchus* non permettono in veruna guisa di credere all'esistenza di questo genere in quelle acque e danno invece diritto di ammettervi la presenza del gen. *Belonostomus*.“

Ma, se la determinazione generica di questi frammenti riesce cosa relativamente agevole, altrettanto non è della specifica. La loro conservazione, affatto incompleta, non permette di dire se costituissero una o più specie, nè di istituire efficaci confronti cogli altri *Belonostomus* riscontrati nei terreni cretacei inferiori. E' mi sembra peraltro che sia concesso, in via empirica e per induzione, di ritenerli tutti tre corrispondenti fra loro, considerando il secondo esemplare come un giovane individuo della specie rappresentata dai due frammenti maggiori. Nè, in verità, è difficile ch'essi corrispondano eziandio al *Belonostomus* di Lesina. Vedemmo infatti a p. 199 che nel *Belonostomus lesinaensis* la testa misura col rostro una lunghezza di ottantanove millimetri; che le mascelle, longitudinalmente solcate e molto robuste all'origine, si assottigliano alquanto verso la punta, e che su entrambe scorgonsi denti conici e distanti fra loro. Gli è vero che questi caratteri possono dirsi comuni a tutti i *Belonostomus*; ma c'è un'altra ragione che m'induce ad ammettere come assai probabile la presenza del *Belonostomus lesinaensis* a Comen. È un frammento, che fa parte del Museo geologico dell'Università di Vienna e del quale mi duole di non poter offrire la figura. Ne possiedo soltanto uno schizzo, che trassi io stesso dall'originale. Vi si scorge la testa, sprovvista del rostro, e il tratto anteriore del tronco, su cui sono conservate la pinna ventrale e le squame. Questo esemplare — ripeto — mi richiama vivamente al pensiero il *Belonostomus* dell'isola delmata.

Determinati così nel miglior modo possibile i frammenti dei lepidostei di Comen, vediamo di scoprire taluno fra i progenitori di questo genere. Ci convien risalire fino agli strati triassici, ove incontriamo il *Belonorhynchus* degli selbst bituminosi di Raibl in Carinzia.¹ La diagnosi offerta dal Bronn è la seguente:

Corpo gracile ed allungato. Testa protratta anteriormente in un lungo becco appuntito. Denti piccoli e quasi eguali. Pinne poco sviluppate. Dorsale ed anale remote, opposte fra loro, triangolari e brevi. Ventrali addominali. Squame sottili e disposte su quattro serie: le serie dorsale e ventrale semplici e costituite da squame dure, lineari, contigue, embriate e, verso l'estremità codale, carenate; le due linee laterali composte di squame contigue e piccolissime (geminate?).

Se non erro, mi sembra di scorgere nel *Belonorhynchus* un antenato dei *Belonostomus*.

E siamo al gen. *Cocelodus*, di cui ho esposto i caratteri nella prima parte del presente lavoro.

Due specie vivevano a Comen: il *saturius* Heckel ed il *rosthorni* id.

Cocelodus saturius Heck., specie assai grande, è distinta dai seguenti caratteri:

La massima distanza fra l'asse spinale e la linea del dorso misura la lunghezza di tredici mezza vertebre; quella fra l'asse medesimo e il profilo del ventre è di quattordici. I denti molari delle due file più interne della mascella inferiore sono assai sviluppati: i maggiori di essi sorpassano la lunghezza di due archi vertebrali. Questi, in numero di trentotto (38), hanno il margine interno leggermente seghettato. Tredici paia di ossiellini dorsali stanno davanti alla pinna dorsale, la quale, preceduta da nove ossiellini interapofisari interni, è composta di sessantacinque raggi. Quarantotto ne conta l'anale, e ventitré la codale.

Cocelodus rosthorni Heck., altra specie che raggiungeva dimensioni notevoli, è basata sopra un solo esemplare, il quale manca del capo e della porzione addominale anteriore. La sua altezza al di sopra della corda dorsale è di otto mezza vertebre, e di dieci al di sotto. Gli orli delle vertebre (37) mostransi nettamente dentellati. Contausi undici robusti ossiellini dorsali. La pinna del dorso ha cinquantun raggio; quarantuno l'anale; venticinque la codale.

Risulta da ciò che, quantunque le due specie in discorso differiscano alquanto fra loro per la forma del corpo e pel carattere offerto dagli archi vertebrali, esse non permettono tuttavia un rigoroso confronto, dacchè nel *Cocelodus rosthorni* il numero delle vertebre e degli ossiellini dorsali è approssimativo, l'altezza del tronco è inesatta e manca affatto la dentizione.

D'altra parte, se noi consultiamo i cenni esposti più addietro intorno al *Cocelodus* di Lesina, troviamo ch'esse presentano molti punti di contatto con questi.

¹ H. G. Bronn, „Beiträge zur triassischen Fauna und Flora der bituminösen Schiefer von Raibl“. (Neues Jahrbuch für Mineralogie etc.) Stuttgart 1858. — R. Kner, „Die Fische der bituminösen Schiefer von Raibl in Carinthien“. (Ibid. LVI der Sitzungsber. d. kais. Akad. d. Wiss.) Wien 1867.

L'ultimo genere, che rappresentava nelle acque di Comen la sottoclasse dei ganoidei, è *Palaeobalistum* Blainville, caratterizzato così:

Denti anteriori in forma di scalpello. Denti molari leggermente arenati, alquanto incapeati nel mezzo, disposti su tre linee per ogni lato della mascella inferiore e col diametro maggiore nel senso trasverso. Quei della linea esterna arrotondati; i mediani ovali e più grandi; gl'interni ellittici e ancor maggiori. Denti palatini su cinque serie e quasi tutti della stessa grandezza: quei di mezzo trasversalmente ellittici; longitudinalmente i laterali. Orbita ampia. Bocca colloata alla metà dell'altezza del capo. Pedicello codale breve e gracile. Pinna dorsale inserita avanti la metà dell'altezza del corpo. Ventrali corte. Codale perfettamente arrotondata e composta di molti raggi (40—60). Ossicini dorsali assai deboli. Coste sternali fesse, disposte dinanzi all'anale in un ciuffetto di bastoncini tendinei, sottili e ascendenti verso l'indietro. Squame delicatissime, che coprono tutto il corpo.

La maggior parte di questi caratteri concorda con due individui del Carso triestino: l'uno studiato nel 1867 dal Kner; l'altro, più tardi, da me. Disgraziatamente entrambi sono frammenti, nè permettono quindi una esatta determinazione. Giova peraltro notare che tanto il Kner quanto io, esaminando esemplari diversi, giungemmo alla stessa conclusione: trattarsi cioè di un *Palaeobalistum*, estremamente affine al *Palaeobalistum goddetti* Heck. Mi sembra per ciò che — fino a prova contraria — si possa ammettere con molta probabilità l'esistenza di questa specie nelle acque di Comen.

Veniamo alla sottoclasse dei teleostei.

L'ordine dei *Physostomi* vi era rappresentato dalle famiglie *Hoplopleuridae*, *Scopelidae* e *Clupeidae*; quello degli *Acanthopterygii* dalle fam. *Holocentridae* e *Carangidae*.

L'unico genere della prima fra queste cinque famiglie è il *Saurorhamphus*, fondato nel 1850 da Heckel e costituito da una sola specie: *Saurorhamphus freyeri* Heck., che si distingue per seguenti caratteri:

La testa è quadrangolare, depressa e coperta di granulazioni. Il muso è allungato e appuntito. I denti veggonsi piccoli e uguali, eccettuati gli anteriori della mascella superiore, più sviluppati. Il quarto è il più lungo fra tutti e alquanto ricurvo all'indietro a guisa di uncino. La colonna dorsale è composta di trentanove vertebre cartilaginee. Di queste, ventidue sono addominali e diciassette caudali. La pinna del dorso, di mediocre grandezza, è collocata un po' indietro della metà del corpo; l'anale è alquanto più lunga; le ventrali stanno un po' più vicine alle pettorali che alla dorsale; la codale è omocerca. V'ha una serie di seni ossei lungo il profilo superiore del corpo, una per ciascun lato sul mezzo dei fianchi e probabilmente un'altra ad ogni parte della regione ventrale. Gli seni del dorso, ovali e in numero di sette tra l'occipite e la pinna dorsale, si continuano fino alla coda.

Anche questo genere — al pari del *Belonostomus* — può riconoscere fra i suoi lontani progenitori i *Belonorhynchus* triassici, ed ha stretti rapporti coi *Rhinellus*, coi *Dercetis*, coi *Belonostomus* e cogli *Aspiotrhynchus*.

La famiglia *Scopelidae* contava nel mare di Comen due generi: *Hemisaurida* e *Holcodon*.

Come ho già detto in addietro, il gen. *Holcodon* fu istituito dal Kramberger su alcuni pesci di Lesina, che si conservano nel Museo di Agram. Ei ne fondò tre specie: il *neocomiensis*, il *lobopterygius* ed il *lesinaensis*, ed associò alla prima gli esemplari del Carso antecedentemente illustrati dal Kner col nome di *Saurorhamphus* (?) *lycodon*, a cui quest'Autore riferì un individuo di Lesina, etichettato dall'Heckel come *Enechodus* n. sp. Io non posso disentare la fusione proposta dal Kramberger, poichè non conosco gl'individui che gli servirono di studio. Accetto le sue conclusioni e ripeto soltanto che per diritto di priorità i frammenti di Comen vanno inseriti col nome di *Holcodon lycodon* (Kner) Kramberger.

Gli esemplari del Carso, dubitativamente riferiti dal Kner al gen. *Saurorhamphus*, sono due ed appartengono alla Collezione dell'I. R. Istituto geologico di Vienna, dov'io li ho esaminati.

L'uno conserva una parte delle mascelle, l'apparato opercolare spostato ed altre ossa, disgiunte e frantumate, del capo; l'altro manca di una parte della colonna vertebrale e della porzione terminale della testa. Il primo presenta alcuni grossi denti, distanti fra loro, conici, acuminati, un po' ricurvi e longitudinalmente

striati nel tratto inferiore. Il secondo ha la colonna vertebrale composta di circa quaranta vertebre, provviste di una salienza longitudinale mediana, le nevrapofisi e le emapofisi notevolmente sviluppate e piegate all'indietro, le pinne ventrali addominali e assai grandi, la codale espansa e costituita da grossi raggi articolati e più volte forcati. Entrambi offrono le ossa della testa percorse da strie raggiate, che non s'intrecciano, nè si ramificano.

Il gen. *Hemisauro*, il quale è analogo ai viventi *Saurus* e *Sauria* e che rientra probabilmente nella fam. *Clupeidae*, così come l'intendevano Cuvier e Valenciennes, venne stabilito dal Kner sopra un piccolo frammento, che conserva le ossa mascellari, i frontali, i parietali ed i sottorbitali, e ch'ebbe il nome di *Hemisauroidea neocomensis* Kner. Il premaxillare ed il maxillare sono affatto inermi; il dentario è percorso in tutta la sua lunghezza da una fila di denti, lunghi, sottili, paralleli e leggermente disgiunti fra loro. Tutte le ossa si mostrano punteggiate.

Passati così rapidamente in rivista gli avanzi che rappresentavano questi tre generi a Comen, tentiamo di rilevarne le analogie.

Consultiamo, pel *Saurorampus*, l'ittiofauna del monte Libano, descritta dal Pietet e dall'Humbert. Non possiamo a meno di arrestarci all'*Eurypholis boissieri* di Hakei.

Gli *Eurypholis* hanno il corpo tanto largo che alto e molto assottigliato verso l'estremità posteriore, la testa grande, la superficie delle ossa del capo percorsa da granulazioni, lo squarcio della bocca ampio, i denti numerosi appuntiti e ineguali, le vertebre ossee, la pinna dorsale quasi mediana e breve, l'anale più bassa e press'a poco della stessa lunghezza, la codale omocerca, la linea del dorso e le laterali fornite di seni.

Che più? I punti di contatto fra *Saurorampus* ed *Eurypholis* sono moltissimi: punti di contatto, del resto, che furono riconosciuti anche dal Pietet e dall'Humbert, i quali peraltro tennero separati i due generi, perchè in *Eurypholis* la testa è più corta e più grossa, i denti son molto più irregolari, le vertebre mostransi ossee e vanno provviste di nevrapofisi distinte. Nè io contraddico l'opinione dei due naturalisti ginevrini, che è pure la mia: ho voluto soltanto richiamare le affinità fra i due generi in discorso, poichè di esse intendo giovarmi più tardi, quando avrò successivamente accennato ad alcuni tipi cretacei, che si rannodano al *Saurorampus* del Carso.

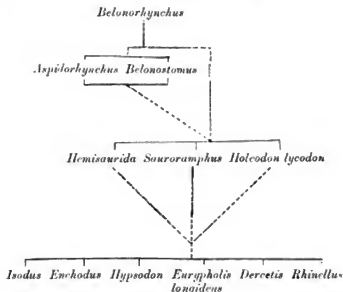
E, se non erro, mi sembra che allo stesso gen. *Eurypholis* s'avvicini anche l'esemplare meno incompleto di Comen, chiamato da Kner *Saurocephalus lycodon*, mentre l'altro frammento omonimo ricorda *Ischyrocephalus*, *Enchodus*, *Isodus*, *Hyposodon* ed *Elopopsis* del Pläner, coi quali concorda per la dentizione e per le strie alle ossa opercolari. L'ititolito riprodotto dal Kner alla tav. III delle sue „*Neuere Beiträge zur Kenntniss der fossilen Fische von Comen*“ (Wien, 1867) non è, in verità, ben conservato; ma forse che un attento esame non richiama tuttavia al pensiero *Eurypholis longidens* di Sahel-Alma? Forse che questi due pesci non si palesano strettamente affini nelle vertebre, più alte che lunghe, nella direzione delle spine neurali ed emali, nella coda espansa, nel capo allargato, nello sviluppo dei denti e nella posizione delle pinne ventrali? Il *Saurocephalus* di Comen (in cui la testa è ripiegata e contorta) ha i pezzi opercolari percorsi da strie molto vicine fra loro e che, partendo dal centro, vanno alla periferia: or bene, non potrebbe darsi che le ossa considerate come pezzi opercolari corrispondessero invece alle placche caratteristiche degli *Eurypholis*? Forse che le ossa mascellari trovate al monte Libano, chiamate dall'Heckel *Isodus sulcatus* ed associate più tardi ad *Eurypholis longidens* dal Pietet e dall'Humbert, non hanno sensibili analogie col frammento di Comen, figurato dal Kner nella tav. II della snecitata Memoria e da lui parimenti riferito a *S. lycodon*?

Nè io sono il solo che abbia riscontrato rapporti fra *Saurocephalus* (*Holcodon*) ed *Eurypholis*: ne convennero, benchè indirettamente, anche il Fritsch ed il Pietet. Il primo, in fatti, descrivendo gli *Enchodus* del cretaceo boemico,¹ rileva le affinità fra questo genere e gli *Ischyrocephalus*, facendole vieppiù risaltare colle fig. 1 e 3 della tav. VII; il secondo, nei suoi studi sui pesci del Libano, trova gl'*Ischyrocephalus* affini all'*Eurypholis longidens* di Sahel-Alma, ed associa a quest'ultimo l'*Isodus sulcatus* Heckel, che è pur molto analogo ai rappresentanti del gen. *Enchodus*.

¹ A. Fritsch, „Die Reptilien und Fische der böhmischen Kreidformation“. Prag 1878.

Quanto poi all'*Hemisaurida neocomiensis* — affine sotto qualche riguardo al gen. *Isodus*, *Enchodus* ed *Hypsodon* — parmi di scorgere anche in quel moncone di testa certi rapporti col *Saurorampus* e, meglio ancora, coll' *Eurypholis boissieri*. È vero che i denti alla mascella inferiore mostransi lunghi e piuttosto fitti e che mancano affatto nell'altra; ma osservo peraltro che al di sotto del mascellare e del premaxillare dell'*Hemisaurida* (in cui tutte le ossa son punteggiate, così come vedesi nel *Saurorampus* e negli *Eurypholis*) si scorgono, benchè in piccolo numero, alcune altre granulazioni. Ciò dimostra che queste due ossa non sono probabilmente conservate nella loro integrità, nè si può quindi decidere con sicurezza se fossero, o no, provviste di denti. Spalancata la bocca ad un *Saurorampus* o ad un *Eurypholis boissieri*, e poi ditemi se non si affrettano all'*Hemisaurida*!

Ora, riassumendo questi cenni, che in qualche punto saranno riusciti oscuri, ma che trarranno — spero — nuova luce da quel che dirò più avanti nelle Ittiofaune del monte Libano e della Vestfalia, parmi che sia concesso di riconoscere fra i generi fin qui menzionati certi legami di parentela, che possono tradursi così:



La fam. *Clupeidae*, più numerosa delle due precedenti, comprendeva tre gruppi: i trissopini, gli elopini ed i clupeini. Il primo coi generi *Leptolepis*, *Thrissops* e *Chirocentrus*; il secondo cogli *Elopopsis*; l'ultimo coi gen. *Clupea* e *Scombroclupea*.

Il gen. *Leptolepis* è rappresentato da un solo individuo, che si conserva nel Gabinetto di geologia dell'I. R. Università di Vienna. Io l'ho potuto studiare, e, come ho già pubblicato altra volta, l'ho trovato identico agli esemplari di *Leptolepis neocomiensis* Bass. di Lesina.

Il gen. *Chirocentrus* fu istituito nel 1850 da Heckel per alcuni fisostomi alecoidei riscontrati negli schisti bituminosi del Carso triestino e nel calcare di Lesina.

Analogo al gen. *Chirocentrus*, *Elops*, *Megalops* e *Thrissops*, esso può succintamente definirsi così:

Corpo allungato. Squarcio della bocca rivolto all'insù. Mascella superiore piegata in forma di S. Due robusti canini orizzontali alla sinfisi del premaxillare. Mascellare superiore fornito di piccoli denti irregolari. Mascellare inferiore provvisto di denti conici, appuntiti e molto più grandi che quelli della mascella superiore. Branchiosteghi numerosi (20). Sottorbitali molto grandi e sottili. Preopercolo triangolare e dentellato. Colonna vertebrale slanciata e composta di 54 a 64 vertebre. Pinne pettorali robuste. Ventrali addominali. Dorsale remota. Coda profondamente incavata e inequalmente divisa. Squame medioeri, delicate, rotondate e lisce.

L'Heckel ne distinse quattro specie: il *microdon*, il *gracilis*, il *vescillifer* ed il *coronatus*; la prima proveniente da Lesina, le tre susseguenti da Comen.

Sul *Chirocentrites microdon* Heck. ho già parlato nella I parte del presente lavoro, ed ho detto che più tardi, nel 1856, l'illustre litologo austriaco, riconoscendo erronea l'antecedente determinazione generica di questa specie, l'aveva assai giustamente riferita al gen. *Thrissops*, chiamandola *Thr. microdon*. Qui aggrincerò soltanto che i recenti scavi fatti eseguire a Comen per cura del prof. Süss offersero, fra altri, un frammento di pesce, il quale conserva la parte posteriore del corpo ed ha una sorprendente analogia col *Thr. microdon*. È quindi molto probabile che questa specie, tanto copiosa nelle acque dell'isola dalmata, vivesse anche a Comen.

Studiamo adesso gli altri tre *Chirocentrites*, esclusivamente riscontrati in quest'ultima località.

Il *Chirocentrites coronatus* Heck. ha la testa ottusa, che misura un settimo della lunghezza totale. Il premaxillare è provvisto di due denti mediani, lunghi e diretti in avanti. I denti al mascellare inferiore sono molto robusti. Contansi trentatre vertebre addominali e ventotto caudali. La pinna del dorso risulta di quindici raggi; l'anale di trentaquattro. Le ventrali han sul dinanzi un grosso raggio spinoso.

Nel *Chirocentrites gracilis* Heck. la testa, ottusa, è compresa un po' più di nove volte nella complessiva lunghezza. Le vertebre sono in numero di sessantaquattro, di cui ventisette caudali. La dorsale ha dodici raggi, e trentasette l'anale.

La testa del *Chirocentrites vexitifler* Heck. non raggiunge il settimo della lunghezza del corpo e corrisponde a quella di undici vertebre. V'ha trentasei vertebre addominali e ventisei codali. La pinna dorsale, che supera in altezza la lunghezza del capo, conta diciotto raggi. L'anale ne ha trentatre.

Ora, io dichiaro nettamente che il *Chir. vexitifler* ed il *Chir. gracilis* non appartengono, a parer mio, a questo genere, ma devono essere riferiti al gen. *Thrissops*.

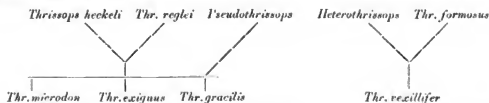
Osserviamo infatti il *Chir. gracilis*. I caratteri che, in sostanza, distinguono i *Chirocentrites* dai *Thrissops* sono riposti nell'apparato dentario: nei *Chirocentrites*, presenza di due robusti canini al premaxillare e sviluppo notevole dei denti della mascella inferiore; nei *Thrissops*, mancanza di canini, e denti piccolissimi, conici, acuminati nei mascellari. Or bene: l'estremità del muso nel *Chir. gracilis* illustrato dall'Heckel non è conservata; non è conservata negli esemplari figurati dal Kner; non è conservata in quelli studiati da me. Come rilevarvi adunque i caratteri propri al gen. *Chirocentrites*? D'altra parte, il troneo palesa il tipo dei *Thrissops*, e la pinna codale — analoga a quella del *Thr. microdon* — corrisponde a questo medesimo organo nel *Thr. micropodius* Agass. (*Pseudothrissops* Sauv.).

Chirocentrites gracilis adunque è assai probabilmente un *Thrissops*, affinisimo al *microdon*, e deriva, come il *microdon* e l'*exiguus*, dall'*heckeli* e dal *reglei*.

Altrettanto si dica del *Chir. vexitifler*. Che cosa ha di *Chirocentrites* questo ittiolito? Nulla. Guardiamogli in bocca: son denti uniformi o quasi, con una leggiera prevalenza degli anteriori. Il troneo è di *Thrissops*, e la coda s'avvicina a quella di *Thr. formosus* ed anche un po'. se vogliamo, a quella di *Thr. intermedius*; la dorsale — elevata ed inserita un po' più avanti del solito, giacchè è quasi opposta all'anale — ricorda per la sua posizione la stessa pinna nel *Thrissops intermedius*.

Quanto al *Chir. coronatus* — unica specie che abbia forse il diritto di appartenere al gen. *Chirocentrites*, poichè essa soltanto ne possiede i caratteri stabiliti dall'Heckel — non posso a meno di riconoscerli una strettissima analogia coi *Chirocentrus* viventi. A provarla, basta osservare le fig. 2 e 3 della tav. XIV, che riproducono l'apparato dentario di un *Chirocentrus dorab*, conservato nel Museo di Anatomia comparata dell'Università di Vienna.

Riassumendo, otteniamo:



Col *gracilis* e col *ocellifer* viveva nelle acque del Carso il *Trissops exiguus* Bass. Lo rappresenta il frammento illustrato nel 1867 dal Kner e da lui dubitativamente riferito a *Thriops* (*Chirocentrises*) *microdon* Heck. Esso conserva la testa, le pinne pettorali, le ventrali e le prime trentaquattro vertebre (comprese anche quelle coperte dalla pectorale destra, dall'arto toracico e dall'apparato opercolare, le quali, fatto il calcolo, ammontano a nove). Nè eredo il mio giudizio errato. Benchè si tratti di un pezzo tanto incompleto, i suoi caratteri concordano tuttavia con quelli del mio *Thriops* di Lesina. Vi corrispondono perfettamente la forma delle mascelle, dei denti, dell'orbita, delle pinne, delle vertebre, delle apofisi vertebrali e delle costole.

In conclusione, adunque, noi possiamo dire che il gruppo *Thriopsina* era rappresentato a Comen dalle seguenti specie: *Leptolepis noronensis* Bass., *Chirocentrises noronensis* Heck., *Thriops microdon* Heck.?, *Thr. gracilis* (Heck.) Bass., *Thr. ocellifer* (Heck.) Bass. e *Thr. exiguus* Bass.

A questo punto mi torna aconcio accennare al gen. *Lycoptera* Müller ed alle due specie — *Lyc. middendorfi* e *Lyc. macrorhyncha* — istituite nel 1868 dall'Eichwald¹ per alcuni pesci realdiani (?) dissepoliti dagli schisti argillosi del Turga nella Siberia orientale (Distretto di Nertschinsk).

Il gen. *Lycoptera*, che presenta la bocca fornita di denti piccolissimi e conici, la pinna codale allungata, profondamente incisa ed equiloba, la dorsale remota e pressochè opposta all'anale, le ventrali addominali, le vertebre numerose (più di 40), le coste fine ed arcuate, dieci branchiostegi e le squame cicloidi, mi ha tutta l'aria del gen. *Thriops*. Parmi eziandio che a questo debbano essere indubbiamente riferite le fig. 5, 6 e 7 della tav. XXXVIII dell'opera di Eichwald (*Lyc. middendorfi*), nè esterei ed associarvi anche le fig. 1, 2, 3 e 4 della tavola stessa (*Lyc. macrorhyncha*), se non vedessi nella fig. 1 certe appendici ossee, superiormente arrotondate, che, a quanto pare, discendono dal tratto anteriore del profilo dorsale, così come si osserva nel gen. *Diplomystus* Cope.²

Siamo al gruppo *Elopina* ed al gen. *Elopopsis* Heck., di cui non ripeto i caratteri, già esposti nell'«Ittiofauna di Lesina».

A Comen vivevano quattro specie del genere.

Elopopsis fenilli Heck. ha la testa di forma triangolare, acuminata e corrispondente in lunghezza a quella di ventitre vertebre. La linea del fronte cammina diritta. Lo squarcio della bocca è un po' obbliquo all'insù. I denti mostransi robusti, conici, aguzzi e compressi alla base. Le vertebre, più alte che lunghe e percorse ai lati da una sola salienza longitudinale, sommano a cinquantasette, di cui quarantatquattro addominali. Le coste e le spine neurali sono gracili ed allungate. La pinna dorsale, inserita a livello della ventesimasesta vertebra, sta fra le ventrali e le pettorali e risulta di ventun raggio. Queste ultime, lunghe diciotto vertebre, son precedute da un grosso raggio, semplice. L'anale è breve.

La testa dell'*Elopopsis microdon* Heck. misura la lunghezza di ventiquattro vertebre. Il profilo frontale è arenato. La bocca è fessa obliquamente all'insù. I denti veggonsi piccoli, conici, acuminati e numerosi. La colonna vertebrale è costituita di sessanta vertebre ($35\frac{1}{2}$), più alte che lunghe e provviste longitudinalmente di due linee sporgenti. La dorsale principia sopra la sedicesima vertebra e conta sedici raggi. Le pettorali raggiungono la lunghezza di quattordici vertebre. L'anale è corta.

Nell'*Elopopsis denter* Heck. la testa, triangolare e appuntita, è lunga diciassette vertebre. Il fronte mostrasi diritto. L'apertura della bocca è orizzontale. I denti sono robusti, perfettamente conici e aguzzi. V'ha quaranta vertebre ($21\frac{1}{2}$), robuste, tanto alte che lunghe e fornite di una cresta longitudinale ai lati. Le coste e le nevrapofisi veggonsi brevi e delicate. La pinna del dorso, costituita da quindici raggi, comincia a livello della sedicesima vertebra, sopra l'inserzione delle ventrali. L'anale è lunga e risulta di ventisei raggi.

Elopopsis haueri Bass. presenta la testa triangolare, appuntita e lunga quasi quattordici vertebre. Lo squarcio della bocca è leggermente piegato all'insù. I denti offronsi lunghi, sottili, conici e aguzzi.

¹ Eichwald, «*Lethæa rossica*», II parte, Stuttgart 1868.

² E. D. Cope, «A contribution to the knowledge of the ichthyological fauna of the Green River Shales». Washington 1877.

Contansi trentacinque vertebre, molto più lunghe che alte e percorse da una linea longitudinale. Ve n'ha ventidue addominali e tredici caudali. Le coste sono sottili e di mediocre lunghezza. Le nevrapofisi anteriori mostransi piuttosto deboli e fornite di numerose appendici secondarie. Le nevrapofisi posteriori e le corrispondenti emapofisi veggonsi robuste e sensibilmente arcuate all'indietro. Le pettorali, lunghe meno di quattro vertebre, risultano di dodici raggi. Le ventrali s'inseriscono a livello dell'ultimo raggio della pinna dorsale, che sta sopra l'undecima vertebra.

Come risulta da questi cenni comparativi, le quattro specie di *Elopopsis* conosciute finora sono ben definite.

Vediamo adesso se ci riesce di trovare fra gl'ititoli di altre località qualche analogia coi rappresentanti di questo genere.

Anzitutto — se non erro — mi sembra che i *Caturus*, gli *Strobilodus* e gli *Amblyseius* giurassici possano essere inseriti tra i progenitori degli *Elopopsis*, e che gli *Elops* e i *Megalops* ne sieno i rappresentanti attuali. Giovano a dimostrarlo le diagnosi offerte per questi generi dall'Agassiz, dal Wagner, dal Cuvier e dal Commerson.

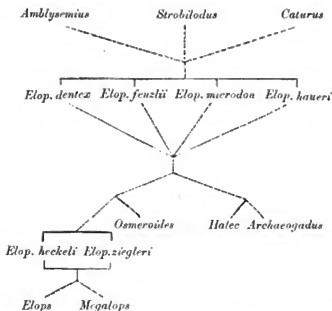
Oltre a ciò, se noi consultiamo le ittiofaune turoniana e senoniana, descritte dall'Agassiz, dal von der Marek, dal Reuss e dal Fritsch, troviamo *Elopopsis ziegleri*, *Elop. heckeli*, *Osmeroides levesiensis*, *Halec sternbergi* ed *Archaeogadus guestphalicus*, i quali, affini tra loro, si rannodano eziandio agli *Elopopsis* di Comen e di Lesina.

Elopopsis heckeli, descritto dal Reuss e successivamente dal Fritsch, fu riscontrato nel plâner di Wehlowitz presso Praga. È rappresentato da un frammento, che conserva la testa e una piccola parte del tronco, fino a mezzo decimetro dall'estremità posteriore dell'arco scapolare. La massima altezza del capo corrisponde circa ai quattro quinti della sua lunghezza, che misura ventun centimetro. L'ampio squarcio della bocca raggiunge ottanta millimetri. La mascella inferiore sorpassa un po' l'altra. Su entrambe veggonsi denti conici, annunziati e un po' discesi fra loro: quei dell'osso dentario sono i più grandi. L'opercolo, notevolmente sviluppato, si spinge in su fin quasi al profilo superiore del pesce, ha una forma pressochè triangolare ed è percorso da alcune pallide strie, non ramificate. I raggi branchiosteghi sono lunghi, robusti e numerosi. Le squame mostransi arrotondate, colla convessità rivolta in avanti.

Elopopsis ziegleri, illustrato dal von der Marek e proprio agli strati turoniani di Vessum nella Vestfalia, è un'altra specie assai mal conservata. Se ne conosce solamente la testa, una parte delle pinne pettorali e le squame. La mascella inferiore non ha denti fitti, ma molto robusti, di forma triangolare allungata. Il tratto posteriore della mascella superiore è provvisto di numerosi dentini, che sul davanti si fanno ancora più piccoli, così come veggonsi sul premaxillare. L'apertura della bocca va fino all'orbita. Contansi più di dodici branchiosteghi. Le pettorali lasciano intravedere gli avanzi di sette raggi, che probabilmente si elevavano ad un numero maggiore. Le squame mostransi percorse da sottili strie concentriche.

Quantunque lo stato di conservazione di queste due specie, tanto affini tra loro, non permetta seri confronti, parmi tuttavia che si possa sostenere con qualche probabilità la loro derivazione dagli *Elopopsis* di Comen e di Lesina e la loro stretta parentela cogli *Halec*, cogli *Osmeroides* e cogli *Archaeogadus*. In fatti, *Elopopsis microdon*, *El. dentex*, *El. fenzi* ed *El. haueri*, modificando parzialmente i denti, sviluppando l'apparato opercolare ed aumentando il numero e la robustezza dei raggi branchiosteghi, si trasformarono man mano in *Elopopsis heckeli* e *ziegleri*. D'altro canto, la forma della testa e lo squarcio della bocca avvicinano queste due specie agli *Halec*; mentre l'aspetto generale del capo, il numero e lo sviluppo dei raggi branchiosteghi e le particolarità delle squame le affratellano agli *Osmeroides*. Quanto poi ad *Archaeogadus guestphalicus* von der Marek, collocato da questo Autore fra i *Gadidae*, mi sembra che i caratteri della dentizione, delle ossa della testa, delle vertebre, dei raggi dorsali e degli interapofisari s'accordino con quelli dell'*Halec sternbergi* Agassiz.

Non è dunque illogico ammettere come probabile il quadro seguente:



E qui, per completare i rapporti che legano questi interessanti ittiliti, vorrei rilevare le analogie fra i gen. *Osmeroides*, *Macropoma*, *Acrognathus*, *Aulolepis*, *Calanopteleurus* e *Pomognathus*. Se non che, tali confronti mi trarrebbero un po' fuori del campo prefissomi; ond'io passo senz'altro alla fam. *Clupeidae*.

Un esemplare di *Clupea brevissima* Blainv., che si conserva nel Gabinetto di geologia dell'I. R. Università di Vienna, mi ha permesso di constatare la presenza di questa specie anche nelle acque di Comen. E esso s'accorda perfettamente cogli individui di Lesina.

Alla stessa specie riferisco con dubbio un altro ittilito, che proviene da Comen e fa parte del Gabinetto ora ora citato. È riprodotto alla fig. 2 della tav. X. La forma del corpo è tozza: la sua massima altezza è compresa due volte nella complessiva lunghezza, esclusa la coda, che manca. Il profilo inferiore del pesce è irregolarmente conservato; tuttavia vi risalta la notevole ampiezza della cavità dell'addome. La distanza fra la colonna vertebrale e la linea del ventre supera di un centimetro quella fra la stessa colonna e il profilo dorsale. La testa apparisce quasi tanto alta che lunga e mostrasi in qualche punto percorsa da strie, leggiere e interrotte. Lo squarcio della bocca è rivolto obliquamente all'insù. L'osso dentario è robusto. La base della branca discendente del preopercolo presenta aleni brevi solchi, pressochè paralleli fra loro. La colonna vertebrale cammina dritta e risulta composta di trentadue vertebre, più alte che lunghe. Le coste, deboli ed allungate, raggiungono quasi la linea del ventre. Le spine neurali ed emali, sottili, camminano oblique all'indietro. Lungo il profilo inferiore del pesce parmi di scorgere vestigia sicure, benchè molto incomplete, di coste sternali. Le pinne pettorali, inserite a quarantadue millimetri dall'estremità libera dell'osso dentario, hanno una lunghezza corrispondente a quella di quattro vertebre e contano circa quattordici raggi, il primo dei quali è semplice. Venti millimetri segnano la distanza fra le pettorali e le ventrali, che, debolmente conservate, stanno un po' avanti il principio della pinna dorsale. Questa, preceduta da alcuni interopofisari inermi, comincia a sei millimetri dall'estremità del muso. Vi si contano undici deboli raggi, seguiti da alcuni altri ossicini interspinosi.

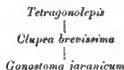
Gli è, ripeto, con dubbio che associo l'esemplare in discorso a *Clupea brevissima*. In fatti, ammesso pure — come è probabile — che la testa sia fossilizzata di fianco, l'altezza del corpo è in ogni modo notevolmente sviluppata e sorpassa di molto quella offerta per solito da questa specie. Le coste sternali, d'altra parte, non si palesano nettamente allo sguardo. La presenza di alcuni ossicini nel tratto anteriore del profilo dorsale, subito dietro la cresta dell'occipite, mi avea fatto balenare l'idea che potesse trattarsi di un rappresentante del gen. *Diplomystus*, fondato dal Cope per alcuni pesci affini alle clupee e provvisti di una serie di sedi dorsali, che

si estendono dalla regione sovraoccipitale alla base della pinna del dorso.¹ Ma lo stato di conservazione del nostro fossile non permette un serio confronto, ond'io lo inserivo provvisoriamente col nome di *Clupea (?) brevissima* Blainv.

Questa specie, nettamente distinta dalle altre congeneri, può — se non m'inganno — ascrivere fra' suoi antenati il gen. *Tetragonolepis* e precisamente l'individuo del lias di Seefeld, che io ho descritto nei miei „Appunti sui alcuni pesci fossili d'Anstria e di Württemberg.“² Là, dopo aver accennato ai caratteri che distinguono questo ganioide e dopo aver paragonato le sue coste con quelle di certe elupee eretacee, aggiungevo in Nota le parole seguenti: „Rinvaugar somiglianze saltando di pari passo una folta di strati e traversando forse miriadi di secoli, non è (parmi) stranezza. Dirò anzi di più: togliete a questo esemplare i fulcri alle pinne, levategli i denti alle mascelle, modificategli le squame, limategli ed aguzzategli nevrapofisi ed emapofisi, aggiungetegli le cosiddette coste sternali e v'avrete una delle più copiose elupee eretacee: la *Cl. brevissima*....“.

Nè mi pare improbabile che da questa medesima specie sia derivato l'attuale *Gonostoma javanicum*, di cui ho esaminato un bellissimo esemplare nel Museo di Anatomia comparata dell'Università viennese. Esso le si affratella per la forma del corpo, della testa, delle vertebre, delle coste e delle coste sternali e per la posizione di tutte le pinne.

Cosicchè, sulla mia ipotesi, avremmo:



A Comen viveva anche il genere *Scombroclupea*.

L'annuncio per primo, nel 1863, il prof. Kner, che ne illustrò una specie: *Scombroclupea pinnulata* Kner. Io ebbi agio di paragonare gli originali stessi studiati dall'Heckel, dal Kner e dal Pietet, e di esaminarne altri, ottenuti posteriormente dal monte Libano, da Lesina e dal Carso triestino. Come ho scritto in addietro (Vedi Parte I), mi sono convinto che *Scombr. pinnulata* e *Scombr. macrophthalma* sono sinonimi.

I numerosi legami esistenti fra esse furono riconosciuti del resto anche dal Pietet e dall'Hambert, i quali le tennero distinte solo perchè la specie di Kner, in confronto alla *macrophthalma*, apparisce più tozza e proporzionalmente più corta.

Ma tale differenza, basata sul rapporto fra l'altezza e la lunghezza del corpo, non ha alcun valore. Fra le *Scombrocluppee* di Comen io ne ho vedute di piccole e di grandi, di brevi e di lunghe, senza che per questo fossero modificati i caratteri essenziali della specie. Ve n'ha anzi alcune di slanciassime, così che par di vedere un *Thrinops gracilis* o, meglio ancora, un *Elops*. Ed era forse codesta fisionomia particolare, che suggeriva al Kner l'appellativo generico *Eloclupea*, come rilevasi dai cartellini, sopra i quali sta scritto questo nome di sua mano. Però, ad essere scrupolosi, qualche piccolo divario tra la *macrophthalma* e la *pinnulata* esiste. In quest'ultima, infatti, la testa è più corta, il muso più appuntito, le apofisi vertebrali più gracili e l'orbita non bislunga, ma ovale. Parmi tuttavia che queste differenze, affatto insignificanti, permettano la fusione delle due specie in discorso.

A viemmeglio provarla giova la fig. 3 della tav. X, che riproduce un nuovo esemplare di *Scombroclupea*, recentemente riscontrato negli selisti di Comen.

L'ordine degli *Acanthopterygii* contava nelle acque del Carso *Berys dalmaticus* Steind.³ ed *Aipichthys pretiosus* id.

¹ Vedi lav. cit.

² „Atti Soc. Ven. trent. di sc. nat.“ Vol. VII, fase. I. Padova 1881.

³ Siccome l'etichetta che accompagnava il fossile su cui lo Steindachner fondò questa specie lo dicea proveniente da Lesina, ei l'aveva pubblicato col nome di *B. lesinensis* („Beitr. z. Kenntn. d. foss. Fische Österr.“, nel XLVII. vol. dei

Il *Beryx dalmaticus* Steindachner (tav. X, fig. 1) rappresentato da un unico esemplare, offre i seguenti caratteri:

L'altezza del corpo, eh' è oblungo, sta tre volte nella sua lunghezza. L'altezza del capo supera di poco quella del corpo. La cresta posteriore del preopercolo si protrae in una spina, larga, depressa ed ottusa all'apice. La colonna vertebrale risulta di ventiquattro o venticinque vertebre, di cui quindici codali. Le cinque nevrapofisi anteriori fanno col corpo delle vertebre un angolo di 35°; le altre mostransi meno inclinate. La pinna del dorso ha un'estensione corrispondente al quarto della lunghezza complessiva del pesce, giunge fin sopra la nona vertebra caudale (numerata dall'indietro) e conta cinque raggi spinosi e sei molli. L'anale, mal conservata, ha sul dinanzi quattro raggi spinosi, l'ultimo dei quali supera notevolmente in lunghezza i susseguenti molli, che sono in numero di dodici o tredici.

Come ho detto nella Parte I, questa specie s'avvicina moltissimo al *Beryx subrotatus* di Lesina. Vedremo poi — parlando dell'ittiofanna del monte Libano — come questo pesce e il *dalmaticus* presentino un facies speciale, che differisce alquanto da quello dei *Beryx* di Sahel-Alma, di Sussex e della Boemia.

Ultimo nella fauna di Comen viene il gen. *Aipichthys* Steind., rappresentato da una sola specie e distinto dai seguenti principali caratteri:

Corpo assai alto e notevolmente compresso. Apertura della bocca profonda. Dentizione robusta. Pinna dorsale molto lunga ed alta. Anale più corta.

Aipichthys pretiosus Steind., che, secondo questo Autore, costituisce un anello di congiunzione tra i *Vomer* e gli *Hymnis*, può essere sucintamente definito così:

La lunghezza della testa è compresa una volta e tre quarti nella sua massima altezza, e tre volte e mezzo nella lunghezza del corpo. Questa misura quasi il doppio della sua altezza (4:7). L'ampio squarcio della bocca mostrasi notevolmente piegato all'insù. La mascella inferiore è provvista di circa cinque file di denti. Anche il vomere, il premaxillare e le ossa palatine vanno armati di denti, relativamente robusti. Le vertebre, mediocrementemente sviluppate, son più alte che lunghe. La pinna dorsale occupa i tre quarti del profilo del dorso; l'anale ha un'estensione corrispondente ai tre quinti della lunghezza della dorsale, e la codale apparisce molto robusta e debolmente incisiva.

Mi si permetta di paragonare *Aipichthys pretiosus* di Comen con *Platax minor* di monte Libano.

L'*Aipichthys* ha la pinna del dorso che comincia al secondo settimo della lunghezza del corpo sopra la prima vertebra, si spinge fino a livello della quarantultima e risulta di trentaquattro raggi, dei quali i tre anteriori sono spinosi. La dorsale del *Platax* nasce al disopra della parte posteriore della testa, occupa tutto il dorso fin presso l'origine della coda ed è sorretta da ventinove ossicini interapofisari, che portano raggi e che son preceduti da altri tre, inermi. Il Pictet dice che i raggi spinosi sono due, ma gli esemplari da me esaminati ne conservano, a quanto mi sembra, tre.

Nell'*Aipichthys* l'altezza del primo raggio spinoso della dorsale corrisponde alla lunghezza di due vertebre addominali („Rumpfwirbel“), il secondo è doppio del primo e l'ultimo doppio del secondo. In *Platax* l'anteriore è cortissimo e misura la lunghezza di una vertebra, il susseguente è più del doppio del primo ed il terzo più del doppio del secondo.

Il primo raggio molle dell'*Aipichthys* sorpassa i cinque sesti della lunghezza del corpo. Nel *Platax* invece esso misura un po' meno della metà di questa.

Nell'*Aipichthys* l'anale comincia press'a poco a livello del diciottesimo raggio dorsale, ha un'estensione che arriva quasi al terzo della lunghezza del corpo e consta di ventidue raggi, dei quali i tre sul dinanzi sono spinosi e il primo brevissimo. Nel *Platax* essa risulta di diciotto molli, preceduti da quattro spinosi: l'anteriore di questi è assai corto; gli altri crescono fino al quarto, che è lungo come i susseguenti.

Sitzungsab. d. kais. Akad. d. Wiss., p. 128). Se non che, venuto più tardi a cognizione che quella etichetta era stata attribuita in isbaglio al *Beryx* da lui descritto — il quale non veniva da Lesina, ma da Capo Sesto presso Sebenico in Dalmazia — gli mutò il nome specifico e lo distinse coll'appellativo di *B. dalmaticus*. Così dev'essere infatti chiamata la specie in discorso, che io citai erroneamente anche a Lesina („Contrib. alla fauna Ittiolog. del Carso presso Comen in Istria“, p. 12).

La codale, le pettorali e le ventrali del *Platax* corrispondono per struttura e per posizione a quelle dell'*Aipichthys*.

In quest'ultimo il profilo del dorso è arrotondato, mentre nel *Platax* è diritto e scende rapidamente dall'origine della dorsale fino all'estremità del muso.

Nel *Platax* la testa è compresa circa due volte e mezza nella lunghezza del corpo, senza la coda, e l'altezza di questo sta una volta e mezza nella sua complessiva lunghezza.

Il *Platax minor* non mostra veruna traccia di denti, che si veggono nettamente nell'*Aipichthys*.

Come risulta da questo confronto, i rapporti fra le due specie in discorso (riconosciuti anche dal Pictet) sono assai numerosi, mentre le differenze si riducono soltanto alla forma ed alle proporzioni del corpo, allo sviluppo del primo raggio molle della pinna dorsale ed alla dentizione.

Davanti a tali risultati, e soprattutto per la mancanza di denti nel *Platax* del Libano, io non mi sento autorizzato — fino a prova contraria — di riunire a questo genere l'*Aipichthys* del Carso; ma tuttavia ritengo che l'assenza di denti negli esemplari studiati dal Pictet sia esclusivamente dovuta alla fossilizzazione, dacchè in caso diverso essi cesserebbero di appartenere al gen. *Platax*, col quale si associano per tutti gli altri caratteri.

Riassumendo:

A Comen viveano soltanto teleostei e ganoidi.

Questi erano rappresentati dalle seguenti specie:

Amiopsis prisca Kner

Belonostomus sp.

Coelodus saturnus Heck.

Coelodus rosthorni Heck.

Palaeobalistum goedeli id.?

I teleostei contavano quattordici e forse quindici fisostomi e due acantotteri:

Saurorampus freyeri Heck.

Hemisauroda neocomiensis Kner

Holcodon lycodon (Kner) Kramb.

Leptolepis neocomiensis Bass.

Thrisops gracilis (Heck.) Bass.

Thr. vezillifer (Heck.) Bass.

Thr. exiguus Bass.

Thr. microdon Heck.?

Chirocentrites coroninii Heck.

Elopopsis microdon Heck.

E. fenstli id.

El. dentex id.

El. haueri Bass.

Clupea brevissima Blainv.

Scombroclupea macrophthalma (Heck.) P. et H.

Beryx dalmaticus Steind.

Aipichthys pretiosus id.

Belonostomus sp. è affinisimo al *Belonostomus* di Lesina.

Coelodus saturnus e *Coel. rosthorni* mostransi analoghi al *Coelodus* di Lesina.

Palaeobalistum goedeli? è molto simile all'ittiolito omonimo, riscontrato ad Hakel (monte Libano).

Saurorampus freyeri ha moltissimi rapporti con *Eurypholis boissieri* di Hakel.

Hemisauroda neocomiensis ricorda vagamente lo stesso *Eurypholis*.

Chirocentrites coroninii offre strette analogie coll'esemplare alla tav. XVI, proveniente da Lesina.

Holcodon lycodon, *Thrisops microdon*? *Thr. exiguus*, *Leptolepis neocomiensis*, *Elopopsis haueri*, *Clupea brevissima* e *Scombroclupea macrophthalma* sono comuni a Comen ed a Lesina.

Beryx dalmaticus somiglia molto a *B. suboratus* di Lesina.

Aipichthys pretiosus è vicinissimo a *Platax minor* di Hakel.

Ittiofauna di Grodischtz.

Benchè questa fauna si riduca ad un'unica specie, credo opportuno di tenerne succintamente parola, poichè gl'individui che la rappresentano offrono un certo interesse.

Esaminando le ricche Collezioni paleontologiche del Museo di Monaco, diretto da quell'illustre scienziato ch'è lo Zittel, m'imbattetti in alcuni titoliti, conservati sopra una roccia nerastra, bituminosa, piritica, affinisima a quella di Comen e proveniente da Groditschitz. Qualcuno doveva averli antecedentemente studiati, dacchè portavano scritto a mano sull'etichetta: „*Aspidorhynchus stlesianus*“.

Sono sette od otto esemplari, più o meno incompleti. L'altezza dei maggiori, misurata sul dianzi, è di oltre quattro centimetri. La testa, molto alta al di dietro, si attenua sensibilmente nel tratto anteriore ed ha una forma simile a quella dell'*Asp. acutirostris* Agass. Sulle ossa del capo veggonsi alcune strie, interrotte. Il muso è protratto in un rostro. La mascella superiore è assai più lunga dell'altra. Entrambi mostransi percorse longitudinalmente da solchi paralleli e vanno fornite di denti, i posteriori dei quali sono i più grandi. La forma e la disposizione delle squame variano nelle diverse regioni del corpo. Nel tratto anteriore di questo, presso il profilo del dorso, stanno alcune file di piccole squame arrotondate (A). Sotto di esse v'ha una serie di squame di forma rettangolare e poco più alte che lunghe (B). Vien poi la serie laterale, le cui squame sono cinque volte più alte che lunghe (C). La segue un'altra fila di squame (D), press' a poco corrispondenti a quelle segnate colla lettera B. Vedesi infine la linea ventrale, ov'esse si mostrano piccolissime e confuse fra loro (E). Nella parte mediana del corpo la fila B sparisce e viene sostituita dalla serie A; mentre le squame della fila D si fanno notevolmente più grandi, a spese di quelle della serie C. Nel tratto posteriore tutta la regione del corpo è rivestita di squame della serie A. Come le squame della fila B, quelle delle serie C e D hanno una forma irregolarmente rettangolare e sono provviste di una carena longitudinale.

Sulla determinazione generica di questi frammenti non si può mettere dubbio. Trattasi certamente di un *Aspidorhynchus*, analogo all'*Asp. genevensis* Pictet, da cui però si distingue per i caratteri delle squame.

Ittiofauna di Crespano (Veneto).

(Tav. XL)

Questa piccola fauna, propria agli schisti bituminosi che da Borso si continuano fino al Piave in tutto il pendio meridionale della Monfenera, di Possagno, di Fietta e di Crespano, è rappresentata da alcuni avanzi, molto incompleti.

Essi furono scoperti dal dott. Arturo Rossi, che li mise gentilmente a mia disposizione. Ne ho già dato un brevissimo cenno negli „Atti“ della Società Veneto-trentina di scienze naturali.¹

Disgraziatamente si tratta di frammenti assai piccoli; nondimeno offrono sufficienti caratteri per indicare la presenza di tre o quattro generi.

L'un d'essi (fig. 1) conserva, a partire dalla pinna pettorale, un tratto del tronco lungo nove centimetri. L'altezza del corpo, pressochè uniforme, misura ventidue millimetri. La pinna pettorale, lunga oltre quindici, risulta composta di sei o sette grossi raggi semplici, che vanno insensibilmente abbreviandosi verso l'indietro. Scorgonsi tre serie di squame: una laterale, una dorsale ed una ventrale. Quelle della prima serie sono mal conservate, nè permettono di rilevarne la forma; le sottostanti, del doppio più alte che lunghe, quasi rettangolari e provviste alla superficie di inequaglianze interrotte, mostrano in qualche punto le tracce di un robusto strato di smalto; le altre hanno un aspetto simile a quelle del ventre, benchè sieno più basse.

La determinazione generica di questo esemplare non mi sembra difficile. È un *Belonostomus*, nel quale ravviso eziandio stretti rapporti col *Belonostomus testuensis* Bass. e col frammento omonimo proveniente da Comen, di cui ho parlato alla p. 253.

La fig. 2 riproduce una pinna codale e le tre ultime vertebre. Questa pinna è leggermente espansa e riesce composta di numerosissimi raggi. I cinque più esterni son brevi, articolati e semplici; il sesto, pure articolato o indiviso, è il più robusto fra tutti; gli altri, profondamente ramificati, vanno man mano accorciandosi.

¹ Fr. Bassani, „Su due giacimenti ittiolitici nei dintorni di Crespano“ (dal Bollettino n. 4). Padova 1880. Id., „Nuove note paleontologiche“ (Bull. n. 5). Padova 1891.

Anche qui siamo davanti ad un meschino brandello, nel quale naturalmente non posso esprimere una fondata opinione. Tuttavia l'esame di moltissimi *Thrissops* cretacei mi autorizza a riferire a questo genere la pinna in discorso; anzi ritengo molto probabile ch'essa rappresenti *Thrissops microdon* Heck. E tale giudizio è avvalorato anche dal fatto che, insieme a questa coda, il dottor Rossi trovò un pezzo di colonna vertebrale, costituito di sei vertebre e accompagnato da resti imperfetti di squame e di ossa opercolari, il quale ripete nettamente la costituzione scheletrica della specie suddetta.

Segue un esemplare (fig. 3), che conserva pallide vestigia di dodici vertebre addominali, basse, allungate e fornite di coste numerose e assai deboli. Le nevrappofisi, altrettanto gracili, sono provviste di appendici secondarie ancor più sottili. Verso la fine del frammento si scorgono quattro o cinque brevi interspinosi, che danno indizio della pinna dorsale.

Per questa volta, dunque, nulla di positivo. Se non che, eredo anche qui di non andar errato riferendo l'ittiolito alla fam. *Clupeidae* e precisamente a *Scombroclupea macrophthalma* (Heck.) Piet. et Humbert. È vero che, se si prendono come termini di confronto i grandi esemplari di questa specie, la mia idea sembra strana e impossibile; ma è altrettanto vero che, quando si esaminino i piccoli, le analogie si riscontrano. Fatto è che nella Collezione dell' I. R. Istituto geologico di Vienna v'ha alcuni individui di *Scombr. macrophthalma*, provenienti dagli schisti del Carso e dal calcare di Lesina, i quali corrispondono al fossile di Crespano.

Vien ultimo un pezzo di roccia (fig. 4), su cui stanno intatti due graziosi denticelli, associati a due ossa di pesce: un robusto interapofisario ed un frammento di pinna pettorale o ventrale, che riferisco debitamente al gen. *Belonostomus*. Quei due denti (fig. 4 e 5) mi sono sconosciuti, nè in verità oso asserire che appartengano a un pesce. La corona è coperta di smalto lucente, che offre una tinta giallognola, ed è sostenuta da una lunga radice, la cui superficie è leggermente convessa.

Riassumendo:

Gli avanzi di pesci trovati negli schisti bituminosi di Crespano appartengono molto probabilmente alle specie seguenti:

Belonostomus lesinensis Bass., proprio alla fauna di Lesina.

Thrissops microdon Heck., abundantissimo a Lesina e forse rappresentato anche a Comen.

Scombroclupea macrophthalma (Heck.) Pietet et Humbert, riscontrata a Comen, a Lesina e ad Hakel.

Ittiofauna della Tolfa.

„I monti della Tolfa formano un gruppo isolato della così detta catena metallifera, che si eleva, costeggiando presso Civitavecchia il mar Tirreno, fra mezzo a formazioni plioceniche e postplioceniche. Limita verso N. O. la regione di depressione della Campagna Romana, chiudendo in questa direzione, ad una distanza di circa 30 chilometri, l'estremo orizzonte di Roma“.¹

La parte superiore dei monti della Tolfa è quasi esclusivamente costituita da calcare alberese; sotto ad esso sta il calcare maiolica, il quale è seguito da „calcareie scure-nerastre, molto bituminose, schistose, con piani di separazione alquanto irregolari“.

In questi schisti furono trovati dei pesci. Il cav. de Bosniaski, che li studiò, vi riconobbe un gauoide, sei fisostomi addominali ed un acantottero. Ecco l'elenco ch'egli ne diede:

Coelodus sp.

Leptolepis sp.

Leptolepis sp.

Thrissops microdon Heck.

Chirocentrus coronatus Heck.

Elopopsis haueri Bass.

Scombroclupea macrophthalma (Heck.) P. et H.

Beryx sp.

¹ S. de Bosniaski, „L'età geologica dei monti della Tolfa“ (dal Processo verbale dell'Adunanza 13 marzo 1881 della Società Toscana di Scienze naturali).

Io ebbi agio di esaminare questi ittioliti nella casa splendidamente ospitale del dott. de Bosniaski, a San Giuliano di Pisa.

Lasciando al dotto Polacco di illustrare la fauna in discorso, di cui ha già pronti i disegni, io mi limiterò ad esporre brevemente il risultato delle mie osservazioni:

I. Alcuni essicini dorsali, parecchi denti e qualche osso percorso da strie raggiate indicano la probabile presenza dei piodonti. Non si può tuttavia determinare con sicurezza il genere a cui questi brandelli appartengono.

II. Due esemplari possono venir riferiti al genere *Leptolepis*. Non è difficile peraltro che uno di essi rappresenti il gen. *Clupea*.

III. Quantunque l'individuo associato a *Scombroclupea macrophthalma* (Heck.) Piet. et Humb. abbia la testa mal conservata e manchi delle coste sternali e delle pinne spurie, i caratteri delle vertebre e delle pinne ne giustificano fino a un certo punto la determinazione.

IV. Alcuni denti isolati somigliano a quelli dell'*Eurypholis boisssieri* Pietet di Hakel (m. Libano).

V. Un grosso fulero striato e certe placche granulose richiamano vagamente al pensiero il *Cocodus armatus* Pietet di Hakel.

VI. L'ittiolito distinto col nome di *Thrissops microdon* Heck. è quasi completo e non lascia dubbio, mi sembra, sulla sua determinazione generica e specifica.

VII. Ritegno altrettanto per l'*Elopopsis haueri* Bass., quantunque la sua dentizione sia un po' diversa da quella degli esemplari omonimi di Lesina e di Comen.

VIII. A quanto pare, le acque della Tofia non albergavano *Chirocentrites coronatus* Heck.

IX. I caratteri offerti dal frammento riferito al gen. *Beryx* non sono sufficienti per riconoscerli con sicurezza un rappresentante di questo genere.

X. Riassumendo, l'ittiofauna della Tofia può essere annunziata così:

Fam. *Pycnodontidae*. — Gen.?

Leptolepis ? sp.

Clupea ? sp.

Scombroclupea macrophthalma (Heck.) P. et H.?

Eurypholis ? *boissieri* Piet.

Thrissops microdon Heck.

Elopopsis haueri Bass.

Cocodus ? *armatus* Piet.

Beryx ? sp.

Ittiofauna del Monte Libano.

Questa fauna fu illustrata dall'Heckel, dal Costa, dal Pietet e dall'Humbert, dall'Agassiz, dall'Egerton e dal Sauvage.¹

I pesci che la costituiscono provengono da due diverse località: Hakel e Sabel-Alma.

a) Hakel.

Ad Hakel viveano condrotterigi, ganoidi, teleostei malacotteri e teleostei acantotteri.

Cominciamo da questi ultimi.

Il gen. *Beryx* (di cui ho esposto i principali caratteri nella I parte del presente lavoro) era rappresentato ad Hakel da una specie: *B. exaltiflor*.

L'altezza del *Beryx exaltiflor* Pietet è compresa tre volte nella lunghezza totale. Le mascelle vanno provviste di piccoli denti, fitti. L'angolo del preopercolo presenta alcune minute dentellature. Contansi almeno

¹ J. J. Heckel, „Abbildungen und Beschreibungen der Fische Syriens“, Stuttgart 1813. Id., „Denkschr. d. k. Akad. d. Wiss.“ Wien 1856. — O. G. Costa, „Descriptioni di alcuni pesci fossili del Libano“, Napoli 1855. — F. J. Pietet, „Description de quelques poissons foss. du mont Liban“, Genève 1850. — F. J. Pietet e A. Humbert, „Nouvelles recherches sur les poissons fossiles du mont Liban“, Genève 1866. — L. Agassiz, „Recherches sur les poissons fossiles“, Neuchâtel 1833—1843. — Ph. G. Egerton, „Quarterly Journal of the geological Society“, London 1815. — H. E. Sauvage, „Notes sur les poissons fossiles“, Bull. de la Soc. géol. de France, 3^{me} sér., t. VI, p. 623.

otto raggi branchiosteghi. La colonna vertebrale è composta di circa trenta vertebre, più alte che lunghe. La pinna dorsale, che principia un po' avanti la metà del corpo, è molto elevata e risulta di circa quindici raggi molli, preceduti da circa quattro spinosi. L'anale, che nasce a livello del terzo posteriore della dorsale, è costituito da due spinosi e da undici o dodici molli. La codale è leggermente incisa. Le ventrali, notevolmente sviluppate, hanno una lunghezza di almeno quindici millimetri. Le squame, più alte che lunghe, offrono il margine libero frastagliato da dentellature, piccole e numerose.

Se noi confrontiamo questo ittiolito coi *Beryx* di Comen e di Lesina (*dalmaticus* e *subrotus*) e con quelli di Sahel-Alma, della Boemia e di Sussex (*syriacus*, *zippei*, *superbus*, *ornatus* e *radiatus*), ci accorgiamo subito che le sue analogie sono incomparabilmente maggiori coi due primi di quello che cogli altri. L'unico tipo che l'avvicina all'*Ittiotifania* senoniana è l'*Homonotus dorsalis* Dixon — specie, del resto, mal determinata — con cui ha comune l'altezza della pinna del dorso. I due *Beryx* di Comen e di Lesina hanno, vorrei dire, un aspetto particolare, che li caratterizza e che li tiene distinti.

Segue il gen. *Pseudoberyx*, che può essere definito così:

Bocca medioere. Ossa opercolari striate e provviste di dentellature al margine libero. Sottorbitali e timpanici dentellati o granulosi. Pinna dorsale mediana, costituita in grandissima parte da raggi molli. Ventrali inserite dietro l'addome, press'a poco alla metà della lunghezza totale del corpo. Squame seghettate al margine.

Due specie vivevano ad Hakel: *Ps. syriacus* e *Ps. bottae*.

Pseudoberyx syriacus Piet. et Humb. presenta una forma ovale poco allungata. La sua altezza è compresa due volte e mezza nella complessiva lunghezza. La colonna vertebrale conta ventotto vertebre. La pinna del dorso comincia alquanto prima della metà del corpo, esclusa la coda, e si compone di almeno dodici raggi, la cui lunghezza corrisponde quasi ai due terzi di quella del corpo. L'anale è piccolissima e sta dietro la fine della dorsale. La codale è profondamente divisa in due lobi acuti. Le pettorali lasciano scorgere dieci raggi. Le ventrali s'inseriscono verso la metà della lunghezza totale del pesce. Le squame somigliano a quelle dei *Beryx*.

Pseudoberyx bottae Piet. et Humb., molto analogo al *syriacus*, se ne distingue per la forma del corpo, la quale, benchè ovale, è molto più allungata, per l'opercolo notevolmente più lungo, per la pinna del dorso più alta, per le ventrali situate un po' più innanzi e per la colonna vertebrale, che conta soltanto venticinque vertebre.

Anche per *Ps. syriacus* ripeto quel che ho detto sul *Beryx rexillifer*. Affine ai rappresentanti del gen. *Beryx* Cuv., da cui si distingue per la posizione delle pinne ventrali, esso si avvicina assai più a quelli di Comen, di Lesina e di Hakel, che agli altri di Sahel-Alma, della Vestfalia, di Sussex e della Boemia.

Ma quanto al *Ps. bottae* (tav. II, fig. 7), mi permetto di muovere un dubbio sulla sua determinazione generica, benchè il Pietet e l'Humbert lo ritenessero estremamente analogo al *syriacus*, cui volevano perfino associarlo. In fatti, se al gen. *Pseudoberyx* noi togliamo le squame dentellate al margine, ci restano dei pesci che per nessuna ragione possono essere separati dagli alecoidi. Or bene, se nel *Ps. syriacus* questi organi furono nettamente riscontrati dal Pietet, dall'Humbert e da me, niuno di noi li constatò con sicurezza nel *bottae*. Non v'è traccia di squame etenoidi nell'individuo riprodotto alla figura citata dai due naturalisti ginevrini, che scrissero: „Les écailles nous ont paru être composées comme dans l'espèce précédente“, né io riuscii a rilevarle negli esemplari conservati nei Musei di Parigi e di Monaco, apparentemente identici a quello illustrato dal Pietet e dall'Humbert. In seguito a ciò, sarebbe forse fuor di ragione riferire il *Ps. bottae* ai fiastomi addominali? e sarebbe forse illogico supporre la presenza del gen. *Leptolepis* nel mare di Hakel? Questo *Ps. bottae* non somiglia al *Lept. neumayri* di Lesina? Siccome però io non ho esaminato l'originale descritto dal Pietet, che fa parte del Museo di Ginevra, non posso sostenere con piena conoscenza di causa l'ipotesi; tuttavia sta il fatto che fra gli ittioliti di Hakel studiati da me ve n'ha due che si affrettano al *Lept. neumayri*.

Ad Hakel anche il gen. *Platyx* Cuv. era rappresentato da una bellissima specie, di cui io stesso ho esaminato alcuni stupendi esemplari.

Sui rapporti del *Platus minor* Piet. è inutile ch'io ritorni, dacchè nell'Ittiofauna di Comen ne ho esposto sneatamente i caratteri e ne ho fatto vedere le strette analogie coll'*Aipichthys pretiosus* Steind.

Il *Petaloptyx syltacus* Piet. è un altro pesce di Hakel, che non permette una sicura classificazione. Il Pietet lo avvicina alla famiglia dei *Joues eurassées*, ma io non escludo l'idea che possa trattarsi di un ganuido. È di forma allungata, che va restringendosi verso la parte posteriore del corpo. La testa è protetta da placche squamose e granulate. La mascella superiore è armata di piccoli denti, triangolari e taglienti. Le squame che ricoprono il tronco sono robuste, imbricate, rettangolari, due volte e mezza più lunghe che larghe, tagliate a scalpello e fornite di leggere seghettature al margine posteriore. La prima dorsale, che comincia a poca distanza dalla testa, conta circa trentadue raggi. Dodici ne mostra la seconda, ch'è più bassa ed inserita subito dopo. Le pettorali, assai sviluppate, oltrepassano colla loro estremità libera le ventrali, che stanno a livello del ventesimo raggio dorsale. Non s'ha alcuna traccia di anale. La codale era probabilmente forcuta.

Se noi consultiamo le ittiofaune fossili e viventi, non troviamo alcun tipo che possa essere paragonato all'esemplare in discorso. Tutt'al più si potrebbe pensare all'*Aphanopygus elegans* di Lesina, ma i rapporti son troppo vaghi per tenerne calcolo.

Il gen. *Clupea*, ampiamente rappresentato ad Hakel, offre maggiore interesse per i nostri studi comparativi.

Dieci sono le specie di questo genere, successivamente descritte dai vari Autori: la *brevisima*, la *gaudryi*, la *bottae*, la *sardinoidea*, la *lata*, la *laticauda*, la *beurardi*, la *minima*, la *gigantea* e la *lartetii*.¹

Clupea brevisima Blainv. e *Clupea gaudryi* Piet. et Humb. corrispondono quasi perfettamente a quelle del calcare di Lesina, illustrate nella prima parte del presente lavoro.

Quanto a *Clupea bottae* Piet. et Humb., ho già esposto in addietro i numerosi punti di contatto che l'affratellano a *Cl. brevisima*: punti di contatto, del resto, che furono avvertiti anche dai due naturalisti ginevrini. In confronto a quest'ultima, la *Cl. bottae* ha le ventrali alquanto più indietro, il corpo un po' più allungato, la pinna anale più corta, la dorsale men alta. Sono differenze specifiche a cui il paleontologo è obbligato di attenersi per isbrigliare la matassa, ma che soddisfanno assai poco. Riguardo poi all'idea, esternata dal Pietet e dall'Humbert, sulla probabile mancanza di coste sternali nella *Cl. bottae*, mi affretto a soggiungere che questo dubbio è privo di fondamento, dacchè io ve le ho riscontrate più volte. Parmi quindi che sia concesso di associare la specie in discorso a *Cl. brevisima*.

Clupea sardinoidea Pietet² ha una forma ovale allungata. L'altezza del corpo è compresa quattro volte nella complessiva lunghezza. La dorsale, inserita buon tratto avanti la metà del corpo e preceduta da almeno dodici interspaziosi inermi, è costituita da diciassette raggi. L'anale, brevissima, è sostenuta — a quanto pare — da sette od otto interapofisari. La codale mostrasi grande e profondamente incisa. L'inserzione delle ventrali corrisponde agli ultimi raggi della pinna del dorso. Contansi circa cinquanta vertebre.

Affini a questa specie sono *Clupea beurardi* Blainv. e *Clupea lata* Agass. La prima se ne distingue per la testa più lunga, per le vertebre meno numerose (40), per la dorsale più remota e per l'anale più estesa; l'altra per la testa molto più grossa e per la pinna del dorso, il cui raggio anteriore è inserito molto più indietro della metà della lunghezza del corpo.

Quanto alla *Clupea laticauda* Pietet, dubito che si tratti d'una clupea. La notevole altezza del pedicello della coda e la speciale disposizione dei raggi codali, i quali danno alla pinna l'aspetto di un ventaglio spiegato, non sono caratteri propri a questo genere. Una sicura determinazione mi riesce, del resto, impossibile.

Anche *Clupea minima* Agass.³ sembra proveniente da Hakel, quantunque quest'Autore non ne abbia indicata esattamente l'origine. È una specie dubbiosa, assai piccola ed allungata. L'altezza del corpo è com-

¹ Per quest'ultima specie, illustrata dal Sauvage e che io vorrei considerare come una semplice varietà della *Cl. brevisima* Blainv., veggasi la descrizione dell'illustre naturalista francese (H. E. Sauvage, l. c. p. 635, tav. XIII, fig. 3).

² Uno degli originali studiati dal Pietet fa parte della Collezione paleontologica del Museo di Monaco, dov'io l'ho esaminato. Sull'etichetta sia scritto: «*Cl. intermedia* Wagn.⁴», e sotto: «*Cl. sardinoidea*, figurée dans notre Mémoire».

³ «Recherches sur les poissons fossiles», Vol. V, parte II, p. 120, tav. 61, fig. 1.

presa circa cinque volte nella totale lunghezza. La pinna dorsale, mediana, conta almeno dodici raggi. V'ha ventinove vertebre, di cui quindici addominali.

L'ultima clupea di Hakel è la *Clupea gigantea* Heck., citata da questo Autore nel 1843.¹

Io ho avuto la fortuna di esaminare l'originale di questa specie, che si conserva nell'I. R. Istituto geologico di Vienna. Se fosse una clupea, meriterebbe realmente il nome impostole dall'Heckel, poichè il frammento raggiunge un'altezza di quasi centoquaranta millimetri. Ma non è tale.

La lunghezza del pezzo conservato corrisponde all'altezza. È un tratto della regione addominale, sul quale si contano diciassette vertebre, tanto alte che lunghe, e percorse da una salienza longitudinale mediana. Le coste, molto robuste, scendono fino a toccare il profilo ventrale, ove si accavalcavano in modo, da sembrare vere coste sternali, simili a quelle della *Cl. haidingeri*. Fu forse questo fatto, che determinò l'errore dell'Heckel. Nella regione dorsale veggonsi numerose appendici secondarie, fitte e sottili, le quali m'impediscono di decidere con sicurezza se le spine che scorgonsi sotto di esse sieno nevrapofisi od interspinosi.

Benehè si tratti di un semplice brandello, io credo di poter asserire che l'esemplare appartiene al gen. *Thrissops* Agass. od al *Prochanos* Bass. Se le apofisi di cui ho parlato or ora sono spine nevrali, il frammento rappresenta un grande individuo del *Thr. microdon* Heck.; se sono invece ossicini interapofisari, dee riferirsi al gen. *Prochanos*, cui s'associa eziandio per la considerevole altezza del tronco.

Quanto alla *Scombroclupea macrophthalma* (Heck.) Piet. et Humb., rimando il lettore alla p. 261 del presente lavoro. Là ho dimostrato ch'essa corrisponde a quella di Lesina ed a *Scombr. pinnulata* Kuer, scoperta negli schisti di Comen.

Siamo al *Chirocentrites libanoticus* Piet. et Humb.

È un grande individuo, che manca dell'estremità anteriore del muso e dell'ultimo tratto del corpo. Contanti ventiquattro vertebre, pressochè tanto alte che lunghe e fornite di grosse nevrapofisi oblique, dalle quali partono numerose appendici secondarie. Le pinne pettorali risultano di raggi lunghi, assai larghi, longitudinalmente solevati e man mano decrescenti. Le squame, di cui restano alcune vestigia, raggiungono un'altezza di otto a nove millimetri, hanno il margine arrotondato ed offrono leggiera tracce di strie raggiate.

Le specie a cui questo titolito s'avvicina di più sono due: *Chirocentrites coroninii* Heck. e *Thrissops microdon* id. Ho già fatto vedere nell'Itiofauna di Comen che l'unico carattere pel quale esse si possono distinguere risiede nella dentizione. Ora, a noi non è dato implorarne il sussidio, poichè le mascelle non son conservate. Parmi peraltro che in *Chir. coroninii* (sola specie del genere) le proporzioni del corpo sieno alquanto diverse, la testa più tozza e il tronco più alto; mentre a apofisi e appendici e coste e pinne ricordano quasi perfettamente *Thrissops microdon*.

Veniamo al gen. *Leptotrachelus*, rappresentato ad Hakel da un unico esemplare: *Leptotrachelus hakelensis* Piet. et Humb., riprodotto alla fig. 3 a della tav. XIV ed ingrandito nella fig. 3 b della tavola stessa.

Eccoci i principali caratteri, offerti da questi Autori:

La testa, lunga e stretta, termina in un becco sottilissimo e molto appuntito. Le vertebre, piuttosto allungate, raggiungono il numero di almeno cinquanta. La pinna dorsale, che comincia press'a poco a livello della ventesima vertebra, è corta e composta di pochi raggi. Sette od otto ne lascia contare l'anale, inserita verso la quarantesima vertebra. Le pettorali mostransi assai sviluppate. Le ventrali sono opposte alla pinna del dorso. „Noi non abbiamo visto distintamente che due serie di squame, le quali si trovano sotto la colonna vertebrale; può darsi peraltro che fossero in numero maggiore. La serie inferiore si continua dalla testa fino alla metà del corpo.... ed è costituita da squame tricuspidali.... Le squame dell'altra serie non si veggono che ad intervalli....“

Or bene: quantunque l'esemplare in discorso sia molto picciolo, pure io ritengo che sia concesso di sollevare un vivissimo dubbio sulla sua determinazione generica.

¹ „Fische Syriens“, p. 243.

Anzitutto, io non sono d'accordo col Pietet e coll'Humbert sulla interpretazione delle pinne. Io considero *dorsale* quella ch'essi chiamano *anale*, e reputo *ventrale* la pinna che si scorge verso la metà del corpo. E sono senza dubbio nel vero: la prima, infatti, è piantata nel profilo superiore del pesce, ed i raggi dell'altra, che sta all'inferiore, offrono un' inserzione comune. Quanto alle vertebre, l'individuo di Hakel ne mostra cinquanta e tutte di eguale lunghezza, mentre i *Leptotrachelus* ne hanno almeno ottanta e diversamente sviluppate.

Riguardo alle squame, io non voglio negare all'ittiolito in questione la presenza di „specie di sendetti“; ma noi sappiamo che quando le squame marginali di certi ganoidi si fossilizzano al di fuori del contorno del corpo, esse assumono un aspetto simile a quello degli sendi dei *Dereetia* e dei *Leptotrachelus*. D'altra parte, quest'ultimo genere ha cinque serie di sendi, mentre il *Lept. hakelensis* ne mostra solamente due.

Per ultimo, quantunque anche nei *Leptotrachelus* si scorga un muso affilato, non si rileva mai un becco lungo, sottile e appuntito, così come vedesi nell'esemplare figurato dal Pietet.

Ora, un genere, i cui rappresentanti somigliano al *Lept. hakelensis*, colla pinna dorsale remota, colle ventrali addominali, colle pettorali sviluppate, colla testa prolungata in un becco, colle vertebre uniformi e in numero di cinquanta e colle squame marginali che lasciano spesso vedere una specie di punta acuta, sporgente e paragonabile a quella degli sendetti dei pesci dereetiformi, non è forse il *Belonostomus*, lo stesso che abbiamo riscontrato a Lesina e a Comen?

Naturalmente, basato soltanto sulla figura, non mi è possibile sostenere la mia idea con assoluta convinzione: è certo tuttavia che l'esemplare di Hakel s'avvicina assai più al gen. *Belonostomus* che non al *Leptotrachelus*.

Procedendo nel nostro esame, incontriamo il gen. *Eurypholis*, del quale ho già esposto i caratteri, parlando dell'Ittiofauna di Comen. Esso era rappresentato da una specie: *Eurypholis boissieri* Pietet, a cui quest'Autore associò il sno *Eur. sulcidensis*, descritto nel 1850.

La forma dell'*Eurypholis boissieri* Pietet richiama quella del *Saurorampus freyeri* di Comen. La testa è grossa; il muso acuminato, e la parte posteriore del tronco ristretta. Le ossa del capo sono coperte da granulazioni, disposte in serie uniformi. Ogni mascella porta da ciascun lato dieci grandi denti, tra i quali ve n'ha molti altri, più piccoli. Quei della mascella superiore sono in generale alquanto più robusti e più brevi; quei dell'inferiore offrono più acuti, e sul davanti taluno di essi raggiunge la lunghezza di quattro millimetri. La colonna vertebrale è composta di circa quaranta vertebre, ristrette nel centro e larghe all'articolazione. Le nevrapofisi, corte e grosse, sono fornite di appendici secondarie. La pinna dorsale, inserita alla metà del corpo, ha tredici o quattordici raggi. Altrettanti ne conta l'anale. Le pettorali son piccole; le ventrali piuttosto lunghe. V'ha tre serie di squame: l'una sulla linea mediana; le altre due verso il mezzo dei fianchi. La prima di queste, che principia subito dietro l'occipite e va fino all'origine della pinna del dorso, è composta di tre sole squame, assai grandi, ovoidali e fornite di granulazioni, disposte in linee concentriche, un po' confuse nel centro e più regolari verso i margini. Ciascuna delle altre due serie risulta di almeno trentacinque squame, che, cominciando dietro l'apparato opercolare, giungono fino alla coda.

Come ho detto in addietro, questa specie ha moltissimi rapporti col *Saur. freyeri* di Comen, da cui però si distingue per la testa più corta e più grossa, pel numero minore di sendi, per i denti della mascella superiore più irregolari e per le vertebre, ossifente e provviste di nevrapofisi.

Un altro genere, sul quale non è concesso di esprimere una esatta opinione, è l'*Aspidopleurus*, fondato dal Pietet e dall'Humbert sopra un esemplare di Hakel, che fu distinto col nome di *Aspidopleurus cataphractus* Piet. et Humb.

Siccome questo pesce non presenta sensibili analogie cogli altri tipi descritti fin qui, e siccome d'altra parte io non ho visto l'originale, mi limiterò a darne soltanto i caratteri generici.

Il corpo è allungato. La testa, triangolare, mostrasi anteriormente assottigliata. Le mascelle vanno fornite in tutta la loro estensione di denti conici, appuntiti, debolmente arcuati e irregolari. L'apparato opercolare è percorso da strie raggate. La pinna dorsale è mediana; l'anale corta e remota; le pettorali grandi. Su ogni

lato del corpo v'ha una serie di seni ossei, molto più alti che larghi, obliqui, leggermente imbricati e muniti di una salienza orizzontale mediana. Tutta la loro superficie è provvista di strie assai pronunciate, raggiate e granulose nella metà anteriore, orizzontali nell'altra.

Il Pietet e l'Humbert non seppero riferire l'ittiolito in discorso ad alcuna famiglia conosciuta. È cosa in realtà assai difficile; tuttavia mi sembra che la presenza di seni, la forma dei denti, la posizione delle pinne e le strie all'apparato opercolare sieno altrettanti caratteri, che l'avvicinano ai rappresentanti della fam. *Hoplopleuridae*. Questa peraltro non è che un'ipotesi: quel ch'è sicuro sì è che l'*Asp. cataphractus* — al pari dei *Saurorampus* e degli *Eurypholis* — è un tipo che tiene il mezzo fra i ganoidi ed i teleostei.

Un altro frammento enigmatico è il *Cocodus armatus* Pietet, di cui ho fatto cenno in addietro, parlando dell'Ittiofauna della Tofa, e che il naturalista ginevrino ascrisse con dubbio alla fam. *Siluridae*.

Intorno ad esso io non ispendo molte parole, poichè non si giungerebbe ad una conclusione soddisfacente. Dirò soltanto due cose:

I. È difficile che il frammento appartenga ad un solo individuo, perchè le particolarità ch'esso presenta non si trovano mai associate, nè fra i pesci attuali, nè fra gli estinti.

II. Le quattro serie quasi parallele di denti che si vedono alla parte anteriore del fossile ricordano nettamente la dentizione dei *Pycnodontidae*.

A compiere la fauna di Hakel restano un pienodonte e due raie.

Il *Palaeobatium goedeli* Heck., proveniente dal Libano, fu descritto da quest'Autore nel 1856. L'ittiolito antriaco non ne indicò esattamente l'origine; ma dalla figura io lo ritengo proprio al calcare di Hakel. È un frammento, che conserva le ultime quindici vertebre, tutta la pinna anale, un tratto della dorsale e quasi tutta la codale.

Si tratta senza dubbio di un pienodonte, ma la mancanza dell'apparato dentario non permette una sicura determinazione generica. Tuttavia le proporzioni del corpo, la forma delle pinne e lo sviluppo delle vertebre e delle apofisi vertebrali giustificano la classificazione adottata dall'Heckel. In ogni modo è certo che questo esemplare è estremamente vicino ad un altro, da me recentemente riscontrato negli schisti del Carso triestino, e di cui ho fatto cenno nell'Ittiofauna di Comen.

Il *Rhinobatus maronita* Piet. et Humb. conserva soltanto la parte mediana del corpo. Vi si contano quarantacinque vertebre, tredici delle quali stanno fra l'arco pettorale ed il bacino. Esse mostransi un po' ristrette nel mezzo e leggermente solcate. Le prime venti che segnano l'arco toracico sono provviste di pleurapofisi ben sviluppate. Le pinne pettorali sono lunghe e strette. La cintura pelvica ha una lunghezza di cinquantacinque millimetri.

A p. 228 del presente lavoro ho dimostrato i rapporti esistenti fra questa specie ed il *Rhin. obtusatus* Costa di Pietraraja.

Il gen. *Cyclobatis*, fondato nel 1845 dall'Egerton ed appartenente alla fam. *Raidae*, comprende una sola specie: *Cyclobatis oligodactylus* Egerton. Essa è caratterizzata dall'assoluta mancanza di coste e dalle ossa del bacino, che formano due lunghe punte dirette in avanti, così come vedesi nelle ossa marsupiali.

Riassumendo:

Ad Hakel viveano le specie seguenti:

Beryx vexillifer Piet.

Pseudoberyx syriacus Piet. et Humb.

„ *botiae* id.

Platax minor Piet.

Leptolepis? neumagri Bass.

Clupea brevissima Blainv.

„ *goudryi* Piet. et Humb.

„ *sardinoides* Piet.

Clupea lata Agass.

„ *benardi* Blainv.

„ *minima* Agass.

„ *larteti* Sauv.

Scombroclupea macrophthalmus (Heck.) Piet. et Humb.

Thrisops microdon Heck.

Prochano? sp.

Eurypholis boissieri Piet.

Aspidopleurus cataphractus Piet. et Humb.

Palaeobalistum goedeli Heck.

Coccodus armatus Piet.

Belonostomus? hukelensis (Piet. et Humb.) Bass.

Petalopteryx syriacus Piet.

Rhinobatus maronita Piet. et Humb.

Cyclobatis oligodactylus Egert.

Beryx vexillifer, l'*Pseudoberyx syriacus* e *Pa. bottae* di Hakel mostransi analoghi ai *Beryx* di Comen e di Lesina.

Il *Platax minor* ha strettissime analogie coll' *Aipichthys pretiosus* di Comen.

Clupea brevissima, *Cl. gaulryi* e *Scombroclupea macrophthalma* di Hakel sono identiche alle specie omonime di Lesina e di Comen.

Thrinops microdon, proprio al calcare di Lesina e di Comen (?), viveva anche nel mare di Hakel.

Questo albergava molto probabilmente anche i gen. *Belonostomus* e *Trochano*, riscontrati a Lesina e a Comen.

Due esemplari di Hakel richiamano il *Leptolepis neunayri* di Lesina.

Eurypholis boisieri di Hakel è estremamente vicino a *Sauroramphus freyeri* di Comen.

Il *Palaeobalistum goedeli* di Hakel può dirsi identico al *Palaeobalistum* di Comen.

Il *Rhinobatus maronita* è affine al *Rhin. obtusatus* di Pietraroia.

b) Sahel-Alma.

(Tav. XII.)

Le analogie fra i pesci di Sahel-Alma e gli altri riveduti fin qui sono quasi insensibili, ed io non ne farò cenno, se non mi premesse di spendere alcune parole intorno all'età relativa del calcare che li racchiude.

Il Pietet e l'Humbert, basati sui criteri paleontologici, espressero l'opinione che gli strati di Sahel-Alma, in confronto a quelli di Hakel, debbano considerarsi più giovani; mentre il Botta, studiando la geologia del Libano, venne a risultanze contrarie. Ei vi distinse tre terreni principali: riferì il più basso al giurese superiore, il successivo al grès verde ed il terzo al cretaceo inferiore. È in uno degli strati mediani di quest'ultimo terreno che si trovano gl'ittioliti di Hakel; quelli di Sahel-Alma apparterrebbero, secondo il Botta, al medesimo gruppo, ma sarebbero alquanto più antichi.¹

Dinanzi ai risultati stratigrafici bisogna, gli è vero, inchinarsi. I giudizi emessi dalla paleontologia sull'età dei piani geologici possono trarre in errore, giacchè — non foss'altro — le circostanze climatologiche esercitano una grande influenza sulle faune e sulle flore. Nondimeno sono tanti i caratteri che dicono più antichi i pesci di Hakel, ch'io non mi so indurre a dar torto al Pietet ed all'Humbert.

La fauna di Sahel-Alma risulta di ventisei specie, distribuite in diciassette generi:²

Gen. *Beryx* Cuv. (*B. syriacus* P. et H.).

» *Psenoterinx* Heck. (*P. discoides* Heck., *russegeri* id., *hecheli* Piet., *dorsalis* id., *elongatus* P. et H., *H. niger* [Costa] P. et H.).

» *Imogaster* Costa (*I. auratus* Costa).

» *Omosoma* Costa (*O. sahel-almæ* Costa).

» *Pagellus* Cuv. (*P. libanicus* Piet.).

» *Megapus* Schlüter (*M. libanicus* [Piet.] Schl.).³

¹ O. E. Botta fil., «Observations sur le Liban et l'Anti-Liban» (Mémoires de la Société géologique de France, tom. I, 1^{re} partie), Paris 1833.

² Non tengo calcolo del *Vomer parvulus* Agass., del *Pagellus leptosteus* id. e della *Sphyræna amici* id., che sono specie di provenienza dubbiosa.

³ Lo Schlüter, confrontando il suo *Megapus guenthericus* delle Baumberge (Vestfalia) col *Chirostrix libanicus* Piet., conclude giustamente che questi due generi sono sinonimi. Ora, la priorità nella nomenclatura generica spetterebbe naturalmente al Pietet. Se non che il nome *Chirostrix*, impiegato dal naturalista giuvencino, indica un carattere che non esiste nell'esemplare di Sahel-Alma: val dunque meglio dare la preferenza all'appellativo generico proposto dallo Schlüter.

- Gen. *Solenognathus* P. et H. (*S. lineolatus* P. et H.).
 „ *Leptosomus* v. d. Marek (*L. macrurus* P. et H., *crassicostatus* id.).
 „ *Osmoeroides* Agass. (*O. megapterus* Pict.).
 „ *Opistopteryx* P. et H. (*O. gracilis* P. et H.).
 „ *Rhinellus* Agass. (*Rh. furcatus* Agass.).
 „ *Spaniodon* Pict. (*Sp. blondeli* Pict., *elongatus* id., *brevis* P. et H.).
 „ *Dercetis* Agass. (*D. linguifer* Pict.).
 „ *Leptotrachelus* v. d. Marek (*L. triquetus* Pict., *tenuis* id.).
 „ *Eurypholis* Pict. (*E. longidens* Pict.).
 „ *Seyllium* Cuv. (*Sc. sahel-almae* P. et H.).
 „ *Spinax* Cuv. (*Sp. primaeus* Pict.).

Vediamo adesso le analogie che questi pesci presentano. Le accennerò solamente senza discuterle, rimandando il lettore alle descrizioni pubblicate dai vari ittiologi.

Beryx syriacus ha pochissima affinità coi *Beryx* di Lesina, di Comen e di Hakel. È invece molto vicino a quelli della Boemia e di Sniseck, ed anzi ripete parzialmente i caratteri del gen. *Hoplopteryx*, proprio agli strati ittiolitiferi della Vestfalia.

Al gen. *Pycnosterinx* risponde fino a un certo punto lo *Stenostoma* Dixon del cretaceo inglese.

Il gen. *Imogaster* somiglia ai *Beryx* ed ai *Pycnosterinx*.

Il *Pagellus libanicus* rinvia i suoi compagni nell'era cenozoica.

Il *Megapus libanicus* (*Chirotrix libanicus* Pict.) è estremamente vicino al *Megapus guastaphicus* Schlüter delle Baumberge (Vestfalia).¹

Il *Solenognathus lineolatus* offre rapporti coi gen. *Fistularia* ed *Aulostoma*, riscontrati nei terreni terziarii.

I *Leptosomus* di Sahel-Alma presentano strette analogie con quelli di Sendenhorst (Vestfalia).

Osmoeroides megapterus trova i suoi congeneri nel cretaceo boemico, si affratella ai *Sardinus* ed ai *Sardinioides* della Vestfalia e richiama gli *Osmerus*, terziarii.

Opistopteryx gracilis è analogo al gen. *Mesogaster*, cui era stato antecedentemente riferito dal Pictet.

Il *Rhinellus furcatus* ha il suo compagno a monte Bolea.

Anche gli *Spaniodon* hanno molta relazione coi *Sardinus* e coi *Sardinioides* vestfali.

Dercetis linguifer risponde a *D. reussi* Fritsch di Třebitz.²

(Vedi: V. d. Marek und C. Schlüter, „Neue Fische und Krebse aus der Kreide von Westphalen“, in Palaeontographica, vol. XV.)

¹ Fra i pesci di Sahel-Alma, recentemente acquistati dal Gabinetto di Paleontologia del Muséum d'histoire naturelle di Parigi, io ho potuto esaminare un *Chirotrix libanicus* Pict., il quale, benché manchi della parte posteriore del corpo, è però meno incompleto di quello illustrato da questo autore e favorisce l'idea dello Schlüter (vedi Nota precedente). — Il tratto conservato è lungo ottantaquattro millimetri. L'altezza del corpo, che si mantiene quasi costante (12^{ma}), si attenna un po' verso la coda, misurandone nove. La testa ha una lunghezza di trentanove ed un'altezza massima di quattordici. Il muso è sottile e finisce tronco. L'estremità libera delle mascelle misura un'altezza di tre millimetri. Uno dei raggi brachiostegi è lungo quasi un centimetro e mezzo. Conto quarantaquattro o quarantacinque vertebre, di cui circa ventisette sono addominali. Calcolando che la parte mancante ne avesse ancora dieci, esse sommerebbero complessivamente a cinquantacinque. Le nevrapofisi anteriori e le emapofisi vanno fornite di appendici secondarie, brevi e sottili. La pinna del dorso, che ritengo completa, comincia immediatamente dietro la nuca, a trentatré millimetri dall'estremità del muso, occupa uno spazio di due centimetri e conta sedici raggi, assai lunghi. L'estremità libera degli anteriori giunge a livello degli ultimi raggi della pinna anale. Gli ossicini interapofisari sono rettangolari. L'anale è inserita a sessanta-sette millimetri dal principio del muso, ha un'estensione di sedici e risulta di quattordici raggi, molto bassi. Gli interapofisari ripetono la forma di quelli della dorsale. A tre centimetri dall'estremità delle mascelle stanno le pectorali, composte di sette raggi, lunghi quindici millimetri e suddivisi. La clavicola è arcuata e sottile; le ossa del corpo e del metacarpo mostrano estremamente piccole. Sei millimetri segnano la distanza fra le pectorali e le ventrali. Queste sono straordinariamente sviluppate e costano di quindici raggi articolati e più volte divisi. Gli occhi offrono brevi e, a quel che sembra, alquanto espansi all'estremità libera.

² A. Fritsch, „Die Reptilien und Fische der böhmischen Kreideformation“. Prag 1878.

I *Leptotrachelus triquetus* e *tenuis* si associano nettamente a quelli di Sendenhorst. Un esemplare, recentemente ottenuto da Sahel-Alma e conservato nel Gabinetto di Paleontologia del Muséum di Parigi, è somigliantissimo al *Lept. armatus* v. d. Marek della Vestfalia.

Eurypholia longidens deriva dall'*Eurypholia boissieri* di Ilakel e s'avvicina agl'*Ischyrocephalus* vestfaliaci.¹ Giova a provarlo la Tav. XII del presente lavoro, che riproduce il più bell'individuo di questa specie conosciuto finora.²

Lo *Scyllium anhel-almae* è affine al *Palaeoscyllium decheni* v. d. Marek di Sendenhorst.

Se ora, riassumendo queste risultanze e servendoci anche di quelle anteriormente ottenute per la fauna di Ilakel, consideriamo:

I. che nessun vero ganoide viveva a Sahel-Alma, mentre questa sottoclasse era indubbiamente rappresentata ad Ilakel;

II. che il mare di Sahel-Alma contava dieci acantotteri, mentre quello di Ilakel ne albergava solamente quattro;

III. che nessuna specie di Sahel-Alma viveva anche ad Ilakel;

IV. che l'*Eurypholia longidens* di Sahel-Alma deve ritenersi derivato dall'*Eur. boissieri* di Ilakel;

V. che su diciassette generi di Sahel-Alma, due soli erano comuni a questa formazione e a quella di Ilakel;

VI. e che su ventisei specie di Sahel-Alma, venti trovano riscontro nelle faune della Vestfalia, della Boemia e dell'Inghilterra e quattro in quella di monte Bolen; mentre su ventuna specie di Ilakel, quattordici hanno relazione colle ittiofaune di Comen e di Lesina;

dobbiamo convincerci che gli strati ittiolitiferi di Sahel-Alma sono più recenti di quelli di Ilakel.

Ittiofauna della Vestfalia.

Fu illustrata in due riprese dal v. d. Marek e dello Schlüter.³

I fossili che la costituiscono provengono in parte dai dintorni di Sendenhorst e in parte dalle Baumberge.

¹ Vedi Ittiofauna di Vestfalia.

² Questo magnifico esemplare fa parte della Collezione paleontologica del Jardin des plantes di Parigi.

La sua lunghezza totale misura due decimetri e un quarto. Le ossa della testa, che sta quasi quattro volte nella complessiva lunghezza, veggonsi percorse da strie granulose e alquanto salienti. I caratteri della dentizione corrispondono a quelli offerti dal Pictet. Fra l'occipite e la pinna del dorso v'ha tre sedi dorsali, coperti da granulazioni, disposte in linee raggiate. Il mediano è il più grande. La colonna vertebrale risulta di quarantadue vertebre (30/22), comprese anche quelle nascoste dagli sedi e dall'apparato opercolare. Esse sono robuste e levigate. Le spine neurali mostransi sottili, molto lunghe, arcuate verso l'indietro e fornite di appendici secondarie, esili e brevi. Le spine emali si presentano un po' più grosse delle neurali e in certi punti hanno la forma di una linea spezzata. Le ultime nevrapofisi e le corrispondenti emapofisi piegano notevolmente all'indietro, addossandosi quasi al profilo superiore e inferiore dei corpi vertebrali, per dar attacco ai raggi più esterni della pinna codale. Le coste, assai sviluppate, percorrono longitudinalmente da un soleo e in numero di almeno diciannove paia, raggiungono quasi la linea del ventre. La pinna dorsale comincia a nove centimetri dall'estremità del muso, ha un'estensione di trentasette millimetri e conta sedici raggi molli. Di questi, il settimo e l'ottavo, uguali fra loro, sono i più lunghi (38^{mm}). Il primo par semplice; gli altri mostransi profondamente divisi. L'anale principia a quattro centimetri dall'inserzione delle ventrali e mostra nove raggi, medioeri e ramificati. Al di là di essi si scorgono altri sette ossicini interapofisari. Della codale, che è lunga quarantacinque millimetri, è conservato soltanto il lobo superiore, costituito di alcuni brevissimi raggi esterni, seguiti da altri undici, lunghi ed articolati. I due primi di questi sono larghi, appiattiti e semplici; i nove susseguenti, più lunghi e forcuti. Le pettorali, sviluppate, si compongono di almeno dodici raggi profondamente divisi, lunghi tre centimetri e preceduti da un altro, semplice. Le ventrali, addominali, sono inserite a livello del quarto raggio dorsale ed a quarantacinque millimetri dalle pettorali, e contano sette raggi articolati, divisi e lunghi quanto gli occhi (14^{mm}).

³ W. v. d. Marek, „Fossile Fische, Krebse und Pflanzen aus dem Plattenkalk der jüngsten Kreide in Westphalen“ (Palaeontographica. Beiträge zur Naturgeschichte der Vorwelt, herausg. von Hermann v. Meyer, Vol. XI). Cassel 1863. — W. v. d. Marek und C. Schlüter, „Neue Fische und Krebse aus der Kreide von Westphalen“ (Palaeontographica, Vol. XV), Cassel 1868.

Non è mia intenzione di passare in rivista tutti i rappresentanti di questa ittiofauna, che caratterizza il cretaceo superiore ed ha pochissimi rapporti con quelle trattate in addietro. Qui io mi prefiggo soltanto di far vedere come anche l'esame dei pesci dimostri gli strati ittiolitiferi delle Baumberge più giovani di quelli di Sendenhorst.

Sarò dunque assai breve.

L'ittiofauna di Sendenhorst è costituita da quarantuna specie, distribuite in ventidue generi:

Gen. *Acrogaster* Agass. (*A. brevicostatus* v. d. Marek).

- „ *Brachyspondylus* v. d. M. (*B. cretaceus* id.).
- „ *Dactyloporus* v. d. M. (*D. grandis* id.).
- „ *Dermatopteryx* v. d. M. (*D. macrophthalmus* id.).
- „ *Echidnocephalus* v. d. M. (*E. troscheli* id., *tenuicaudus* id.).
- „ *Hololepis* v. d. M. (*H. cretaceus* id.).
- „ *Hoplopteryx* Agass. (*H. antiquus* Agass., var. *minor* v. d. M., *H. gibbus* v. d. M.).
- „ *Ischyrocephalus* v. d. M. (*I. gracilis* id., *cataphractus* id., *intermedius* id., *macropterus* id.?).
- „ *Istius* Agass. (*I. macrocephalus* id., *gracilis* id., *macrocoelus* v. d. M., *mesospondylus* id.).
- „ *Leptosomus* v. d. M. (*L. guestphalicus* id., *elongatus* id.).
- „ *Leptotrachelus* v. d. M. (*L. armatus* id.).
- „ *Macrolepis* v. d. M. (*M. elongatus* id.).
- „ *Microcoelia* v. d. M. (*M. granulata* id.).
- „ *Palaeotrypa* v. d. M. (*P. dreginensis* id.).
- „ *Palaeoscyllium* v. d. M. (*P. decheni* id.).
- „ *Pelagorhynchus* v. d. M. (*P. dercetiformis* id., *blochiformis* id.).
- „ *Platyormus* v. d. M. (*P. germanus* id., *oblongus* id.).
- „ *Sardinioides* v. d. M. (*S. crassicaudus* id., *monasterii* id., *microcephalus* id., *tenuicaudus* id.).
- „ *Sardinus* v. d. M. (*S. cordieri* id., *macropterus* id., *robustus* id.).
- „ *Sphenocephalus* Agass. (*S. cataphractus* v. d. M., *fissicaudus* id.?).
- „ *Tachyneutes* v. d. M. (*T. macrodactylus* v. d. M., *longiceps* id., *brachypterygius* id.).
- „ *Telepholis* v. d. M. (*T. acrocephalus* id.).

Quella delle Baumberge è rappresentata come segue:

Gen. *Acrogaster* Agass. (*A. parvus* id., *minutus* v. d. M.).

- „ *Enchelurus* v. d. M. (*E. villosus* id.).
- „ *Esox* Cav. (*E. monasteriensis* v. d. M.).
- „ *Hoplopteryx* Agass. (*H. antiquus* Agass., var. *major* v. d. M., *H. gibbus* v. d. M.).
- „ *Ischyrocephalus* v. d. M. (*I. macropterus* id.).
- „ *Megapogon* Schlüter (*M. guestphalicus* id.).
- „ *Sardinus* v. d. M. (*S. cordieri* v. d. M.).
- „ *Sphenocephalus* Agass. (*S. fissicaudus* id., *cataphractus* v. d. M.).

Cinque generi sarebbero dunque comuni alle due formazioni: *Acrogaster*, *Hoplopteryx*, *Ischyrocephalus*, *Sardinus* e *Sphenocephalus*. Quanto alle specie, *Sardinus cordieri*, *Hoplopteryx antiquus*, *Hopl. gibbus*, *Ischyrocephalus macropterus*, *Sphenocephalus fissicaudus* e *Sph. cataphractus* sarebbero vissuti a Sendenhorst e nelle Baumberge.

Esaminiamo succintamente queste sei specie.

Riguardo al *Sard. cordieri*, riprodotto alle fig. 6 e 7 della tav. VII dei „Fossile Fische, Krebse etc.“, io non posso istituire un utile confronto fra i due esemplari illustrati, poichè il v. d. Marek non ne citò la relativa origine.

Ma non è così degli *Hoplopteryx*. Guardiamo l'*Hopl. antiquus* var. *minor*, proprio agli strati di Sendenhorst (tav. I, fig. 4), e l'*Hoplopteryx* omonimo var. *major*, scoperto nelle Bamberge (tav. II, fig. 1). Nei miei studi pratici di ittiologia, eredo di non aver osservato ad errore che in rapporto diretto coll'età più recente degli strati in cui si rinvennero i pesci stanno in generale l'ossificazione delle vertebre e lo sviluppo delle pinne pettorali, dei denti, degli ossicini interapofisari e dell'articolazione di questi coi raggi eh' essi sostengono. Che se a noi non è concesso di elevare codesta opinione al grado di legge, dachè le modificazioni di organi sono e saranno evidentemente sempre soggette alla potente influenza delle circostanze esogene, è tuttavia naturale che, quando i confronti sono istituiti fra animali di località molto vicine fra loro, le deduzioni fallaci sono meno probabili. Ora, se noi osserviamo le due varietà suaccennate — il *minor* ed il *major* — troviamo che in quest'ultima, pur tenuto calcolo della grandezza del corpo, le pinne pettorali sono più grandi, gl'interapofisari dell'anale più robusti, meglio definite le vertebre, determinata e quasi completa l'articolazione degli interspinosi coi raggi.

Altrettanto risulta paragonando l'*Hoplopteryx gibbus* delle Bamberge coll'*Hopl. gibbus* di Sendenhorst; qui anzi la cosa riesce ancor più evidente, dachè il primo di essi presenta una statura molto inferiore a quella dell'altro. Ebbene, nell'esemplare delle Bamberge noi vediamo i raggi spinosi delle pinne impari più robusti, meno incomplete le articolazioni fra questi e gl'interapofisari, e le vertebre con una forma relativamente più netta; mentre rileviamo l'inverso nell'individuo di Sendenhorst. In questo per giunta la colonna vertebrale mostra una pallida tendenza a piegare all'insù: tendenza che non si riscontra nell'altro, il quale palesa decisamente la forma acantottera. Badiamo: io non voglio dare un valore eminentemente scientifico a caratteri piuttosto vaghi ed incerti; parmi soltanto che dinanzi a questi fatti sia logico il dire: Col progresso del tempo, progresso di organi che danno forza all'animale e che lo fanno acantottero, e regresso di parti, vorrei dir primordiali e caratteristiche della forma malacottera, prima veste indossata dal pesce nel suo lento passaggio dallo stato di ganoida a quello di teleostei. Imperocchè io ritengo sicuro che i teleostei sieno figli dei ganoidi, e che di essi abbiano visto primi la luce i fisostomi o (dician meglio) i malacotteri, i quali alla lor volta diedero vita agli acantotteri.

Quanto all'*Ischyrocephalus macropterus*, il von der Marek, mettendo in dubbio la provenienza di questa specie da Sendenhorst, figurò solamente un esemplare delle Bamberge. Un paragone è dunque impossibile. Mi giova invece confrontare l'individuo in discorso coll'*Isch. gracilis*. I risultati non potrebbero desiderarsi migliori. L'*Isch. macropterus* è senza dubbio più sviluppato del *gracilis*, così come l'*Isch. gracilis* lo è dell'*Eurypholis longidens* di Sahel-Alma e l'*Eur. longidens* dell'*Eur. boissieri* di Hakel, vicinissimo al *Saurorampbus freyeri* di Comen. Tanto che, se noi richiamiamo al pensiero quel ch'io dissi in addietro su queste specie, non possiamo a meno di riconoscere in esse un progressivo sviluppo, che favorisce e rafforza la teoria evolutiva.

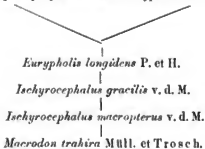
Guardiamo infatti il *Saurorampbus* di Comen. Dev'essere il più antico — e lo è. Ha più di tutti il tipo ganoido o (per esprimermi col Pietet e coll' Humbert) un'apparenza sarcoide. L'esistenza di ossicini sovrappofisari, accampata dall'Heckel come prova principale per ritenere il suo *Saurorampbus* ganoido, è contestata dal Pietet e dall'Humbert, i quali osservarono giustamente che queste appendici, paragonate con quelle dei veri ganoidi, sono ben lungi dall'aver un'identica significazione, e che per converso, in molti pesci viventi, specie negli alecoidi, si riscontra, sotto questo rapporto, una organizzazione affatto corrispondente a quella del *Saurorampbus*. Io sono perfettamente d'accordo coi due naturalisti giuevrini; ma gli alecoidi o, a dir meglio, la grande famiglia dei *Cyprinodontes* sono appunto i primi teleostei che popolarono le acque titoniche e le neocomiane e che ci vennero dai ganoidi: naturale e necessario adunque ch'essi abbiano ereditato da questi delle sovrappofisi incomplete e già un po' diverse: quelle sovrappofisi che si conservano ancora nei rappresentanti viventi della stessa famiglia. Del resto, a quale pro disentero se un ittologo debba, o no, riferirsi ai ganoidi? Da questi devono essere successivamente discesi i teleostei: è quindi cosa vana tracciare limiti definiti e precisi fra queste due sottoclassi; tanto più quando trattasi di esemplari sepolti nei più recenti strati giuresi e nei cretacei inferiori: in quegli strati appunto, ova, quanto ai pesci, si svolse il germe di una vita novella.

I ganoidi primari, triassici e liassici devono in seguito esser divenuti sempre meno ganoidi, per tramutarsi alla fine in veri teleostei. A cominciare dai sedimenti turoniani e salendo, le incertezze ed i dubbi sul riferimento di un pesce all'una o all'altra delle due sottoclassi snesposte non ci turbano più, nè ci turbano al disotto dei terreni tironici: adattiamoci dunque alle esigenze di codesta epoca intermedia, che ci dà forme transitorie.

Le vertebre del *Sauroramphus* si veggono cartilaginee, e le anteriori non portano nevrapofisi distinte, nè appendici secondarie. Esaminiamone la dentizione. Pochissime irregolarità nei denti della mascella superiore; si distinguono peraltro assai bene gli anteriori, più sviluppati degli altri, ed il quarto, più lungo fra tutti e alquanto ricurvo all'indietro a guisa di uncino. Piccoli e quasi insensibilmente ineguali i denti della mascella inferiore. — Consultiamo l'ittiofona di Hakel ed arrestiamoci all'*Eurypholis boissieri*. Analogo sotto molti riguardi al *Sauroramphus*, se ne distingue per certi caratteri, i quali peraltro non sono sufficienti a farlo ritenere derivato dal pesce di Comen. — Proseguiamo il cammino e giungiamo all'*Eurypholis longidens* di Sahel-Alma. Il tipo teleosteo è meno indeciso: se alcuni caratteri — valgano le granulazioni alle ossa della testa — richiamano pallidamente l'*Eurypholis boissieri*, d'altro canto e forma del corpo e scudi e dentizione e sviluppo di pinne l'accostano visibilmente e assai più agli *Ischyrocephalus* della Vestfalia. Le granulazioni, determinate e ben distinte nel *Sauroramphus* e nell'*Eur. boissieri*, tendono già a scomparire nel *longidens*: havvene ancora, è vero, ma esse si sono rinite in strie raggiate, granulose e alquanto salienti, interrotte anche da qualche linea concentrica. Diminuisce la grandezza degli scudetti, e diminuiscono cziandio le loro granulazioni, che, messe quasi circolarmente nel *Sauroramphus* e nell'*Eur. boissieri*, qui invece stan raggruppate in linee disposte a guisa di raggi. Gli esemplari di questa specie studiati dal Pietet e dall'Hubert non presentavano che deboli tracce di pettorali, ma quelli ch'io potei esaminare ne conservano bene e le offrono grandi. La dentizione all'osso dentario si fa più robusta, e, all'estremità anteriore del mascellare, il dente appunto, che vedemmo mediocremente sviluppato nel *Sauroramphus* e nell'*Eur. boissieri*, è qui ancora maggiore. — Ma siamo al gen. *Ischyrocephalus* — e l'*Eurypholis longidens* non esita nella scelta: chiama l'*Isch. gracilis* di Sendenhorst. Non si veggono più granulazioni; le strie sono ancora raggiate e salienti, ma lisee e limitate alla volta superiore del cranio, all'apparato opercolare ed all'osso dentario. Ingrandisce l'anale e ingigantiscono le pettorali. I denti anteriori della mascella inferiore sono aumentati in grandezza, mentre i posteriori han già parzialmente abbandonato la forma conica o si mostrano espansi alla base. Ma qui nasce un guaio: noi non troviamo il dente caratteristico al mascellare superiore. È certo peraltro che i denti al premaxillare e specialmente i primi denti del mascellare non son conservati negli esemplari di Sendenhorst, ed io non dubito che, ove si scoprisse negli strati di questa località un individuo completo della specie in discorso, vi si risconterebbe il mascellare fornito del dente aguzzo, il quale terrebbe il mezzo fra quello dell'*Eurypholis longidens* e l'altro dell'*Ischy. macropterus*. A punto unto una novità ci arresta: è una seconda dorsale, adiposa, di cui negli *Eurypholis* non ho visto mai traccia. Nullameno codesto nuovo organo non isturba le nostre vedute: è sorto anch'esso per qualche ragione, cui discoprire è difficile; è un'adiposa destinata più tardi a sparire, giacchè nell'*Ischyrocephalus* delle Baumberge essa è molto ridotta. — Tocchiam quasi la meta: eccoci appunto all'*Ischy. macropterus*, con un'ampia dorsale e con pettorali grandissime. Il dente al mascellare ha raggiunto l'apogeo del suo sviluppo: pare anzi che abbia soggiogato e scacciato gli altri, imperocchè è solo. I denti al dentario, espansi alla base, somigliano a quelli di certi squali. Quest'osso, longitudinalmente solcato nell'*Eur. longidens*, ha qui perduto le strie, già modificate nell'*Ischy. gracilis*. Strie raggiate, granulazioni, solehi, perfino gli scudi, tutto è sensibilmente ridotto. Anche la pinna adiposa è assai piccola e già disposta a partire. Una bella colonna vertebrale, con nevrapofisi ed emapofisi e coste ed appendici secondarie; una colonna vertebrale da vero elnpeide: è già cinque sesti teleosteo. — Passiamo adesso dall'ittiofona estinta alla vivente, e soffermiamoci al *Macrodon trahira*. Chi, esaminando, potrebbe negargli un intimo nesso cogli *Ischyrocephalus*? Regna maestosa la dorsale; le pettorali sono ampie e spiegate; è rotondata e lunga la pinna codale. Le ossa della testa mostransi pallidamente scolpite, e l'adiposa e gli scudi sparirono. I denti al premaxillare, al mascellare e al dentario hanno subito modificazioni importanti: superiormente, non più uno di grande, ma tre; e tre pure alla mascella inferiore: questi e quelli interposti a molti altri, contigui, piccoli e regolari. — Discosce la verità di tali fatti è impossibile, e l'evolu-

zione è scienza. Pur convenendo che di mezzo stanno ancora generi e specie, cui la scienza ignora, e che ad esse si legano certamente *Enchodus*, *Leptotrachelus*, *Macropoma*, *Elopopsis*, *Halec*, ecc., io ritengo che si possa sostenere la stretta parentela fra le specie suddette e che la loro successione — a cominciare dalle più antiche — debba fissarsi così:

Saurorampus freyeri Heck. *Eurypholis boissieri* Pict.



Ma lasciamo la digressione e torniamo alla nostra breve rassegna delle specie comuni a Sendenhorst ed alle Baumberge.

Ci mancano gli *Sphenocephalus*.

Dello *Sph. fissicaudus* l'Autore diede una sola figura, aggiungendo che la sua provenienza da Sendenhorst è molto dubbiosa. È quindi inutile tenerne parola.

Fra lo *Sph. cataphractus* delle Baumberge (Tav. III, fig. 1) e quello di Sendenhorst (Tav. VII, fig. 3—5) il confronto è invece possibile e dimostra, se non erro, che il primo di essi è sensibilmente diverso dagli altri ed offre un grado più elevato di perfezione. Lo provano le vertebre e le apofisi vertebrali meglio ossificate, la direzione della colonna vertebrale, l'articolazione degli ossicini interapofisari coi raggi delle pinne e lo sviluppo relativo di queste.

In realtà dunque — eccettuato il *Sardinus cordieri*, sul quale non posso esporre un giudizio — nessuna specie è comune a Sendenhorst ed alle Baumberge; ed anzi *Hoplopteryx antiquus* var. *minor*, *Hopl. gibbus*, *Sphenocephalus cataphractus* e *Ischyrocephalus macropterus* di quest'ultima località devono ritenersi rispettivamente derivati da *Hopl. antiquus* var. *minor*, *Hopl. gibbus*, *Sphen. cataphractus* e *Ischr. gracilis*, provenienti da Sendenhorst.

Ora, se a tutto ciò aggiungiamo:

I. che la famiglia *Hoplopleuridae*, la quale va considerata come un anello di congiunzione fra i ganoidi ed i teleostei, è rappresentata a Sendenhorst da almeno cinque specie (*Leptotrachelus armatus*, *Pelargorhynchus decretiformis*, l'el. *blochiformis*, *Ischyrocephalus gracilis*, *Ischr. cataphractus*), mentre lo è da una sola nelle Baumberge (*Ischr. macropterus*);

II. che — tolto il *Megapus questphalicus* Schlüter, affine al *Chevrotrix libanicus* Pictet — i pesci di Sahel-Alma presentano molti rapporti colla fauna di Sendenhorst e nessuno con quella delle Baumberge (Vedi Ittiofauna di Sahel-Alma);

III. che il gen. *Enchelurus*, esclusivamente rappresentato alle Baumberge, ha nei caratteri offerti dalla pinna codale qualche cosa che ricorda la famiglia dei *Gadidae*, propria ai terreni terziari;

IV. e che anche l'*Esox monasteriensis* delle Baumberge trova i suoi compagni nell'era cenozoica;

parmi logico dedurre che gli strati ittiolitiferi delle Baumberge, in confronto a quelli di Sendenhorst, devono ritenersi più giovani.

Conclusioni stratigrafiche.

Noi abbiamo successivamente esaminato le faune di Lesina, di Pietraroia, de'Voiron, di Comen, di Grotisclutz, di Crespano, della Tolfa, di Hakel, di Sahel-Alma, di Sendenhorst e delle Baumberge.

Ora, chiediamoci: Quale è l'età di queste ittiofaune?

La risposta non ammette alcun dubbio: esse son tutte cretacee.

Proviamolo. E cominciamo da quella de' Voirons.

Se consultiamo le risultanze del Lory, del Brunner, del Duval-Jouve, del Perez e del d'Archiac sugli invertebrati che popolavano il mare cretaceo inferiore di Grenoble, di Gauthier, della Chazée, di Castellane, di Nizza, di Capriolo e del Veneto, e se le confrontiamo con quelle ottenute da Pietet e da Loriol sugli invertebrati di Boège e d'Ilvernages, i quali costituiscono la fauna de' Voirons e che si rinvennero sopra e sotto i pesci di questa località, noi avremo altrettante prove che il calcare voironense va riferito al neocomiano inferiore. D'altra parte, anche gli ittioliti di cui possiamo giovarci nel caso attuale avvalorano l'asserto. In fatti, i denti del gen. *Gyrodus* sono identici a quelli trovati dal Pietet nelle marne neocomiane del monte Salève, e l'*Odontaspis gracilis* Agassiz fu citato da questo Autore nel neocomiano di Nenehâtel, dal Pietet in quello del Jura e del monte Salève, dall'Eichwald in quello di Muiowniki nei dintorni di Mosca e da me nel l'argilla a plicatule di Vassy.

Gli strati de' Voirons appartengono dunque certamente all'ultimo periodo dell'era mesozoica.

Per le faune di Comen, di Hakel, di Sahel-Alma, di Sendenhorst e delle Baumberge, siamo autorizzati a dire altrettanto. Esse furono già riconosciute cretacee in base a molti fatti stratigrafici e paleontologici, che credo inutile di riportare.

Quanto ai depositi ittiolitiferi di Lesina, che stanno sotto il calcare a radiate, le mie osservazioni dimostrano (vedi Parte I):

che *Belonostomus lesinaensis* s'affratella agli avanzi di questo genere scoperti a Comen;

che i *Coelodus* di Lesina sono affinissimi a quelli di Comen;

che il *Beryx subovatus* dell'isola dalmata è assai vicino al *B. dalmaticus* del Carso triestino;

che lo *Spathodactylus*? sp. di Lesina è analogo allo *Spathodactylus voironensis* dei Voirons ed al *Chirocentris coronatus* di Comen;

che il *Prochanos rectifrons* di Lesina corrisponde al *Prochanos*? sp. di Hakel (*Clupea gigantea* Heck.) e s'avvicina a *Coccus leopoldi* Costa di Pietraroia;

che *Holcodon lycodon*, *Leptolepis neocomiensis*, *Thrinops microdon* (?), *Thrinops exiguus*, *Elopopsis haueri*, *Clupea brevissima* e *Scombroclupea macrophthalmia* sono comuni a Lesina e a Comen;

e che *Clupea brevissima*, *Clupea gaudryi*, *Scombroclupea macrophthalmia* e forse *Leptolepis neumayri* di Lesina viveano anche ad Hakel.

Nessun dubbio adunque sull'età di questi pesci, che vanno riferiti al terreno cretaceo.

Riguardo alle faune di Grodischitz e di Crespano, bastano poche parole. L'ittiolito di Grodischitz, associato con ammoniti aptiane, richiama l'*Aspidorhynchus* de' Voirons ed il *Belonostomus* di Lesina; mentre gli schisti di Crespano, stratigraficamente riconosciuti cretacei, contengono specie proprie a Comen, a Lesina e ad Hakel.

Ci restano le faune della Tolfa e di Pietraroia.

A dir vero, toltono il *Thrinops microdon* e, se vogliamo, l'*Elopopsis haueri*; gli altri pesci della Tolfa sono rappresentati da frammenti, che lasciano dei dubbi. Tuttavia la presenza delle due specie ora accennate e la speciale fisionomia di tutta questa ittiofauna, che mostra sensibili rapporti con quelle di Comen, di Lesina, di Hakel e di Crespano, ci autorizzano a riferirle al terreno cretaceo.

Vien ultima la fauna di Pietraroia, che per lungo tempo si ritenne giurassica. Ma tale non è certamente, e lo provano le risultanze ottenute dall'esame di i ittiofossili (vedi p. 246). Su quattordici specie, infatti, tre sono rappresentate anche a Lesina e a Comen e sette richiamano nettamente altre specie di Lesina, di Comen, di Hakel e di Sahel-Alma. Delle altre quattro, due sole provengono con sicurezza da Pietraroia: il *Lepidotus exiguus*, che ricorda i lepidoti di Hastings, di Tilgate e di l'nrbeek, e l'*Oenoscopus petraroiae*, che ai caratteri dei ganoidi ne associa altri, propri ai teleostei.

Dimostrato così che tutte le faune di cui ci siamo successivamente occupati appartengono al terreno cretaceo, tentiamo di stabilirne l'età relativa.

Giovano all'uso le conclusioni man mano riassunte nel corso di questo lavoro (vedi p. 246, 250, 263, 264, 265, 266, 271, 273, 275, e 278).

L'ittiofauna di Pietraroia è la più antica e deve occupare la base del neocomiano. In fatti, se vi troviamo abbondanti fisostomi, che rivelano indubbiamente il tipo eretaceo, li vediamo peraltro associati a numerosi ganoidi, che ricordano le faune purbeckiana, portlandiana e kimmeridgiana.

Le fa seguito l'ittiofauna dei Voirons, dove i ganoidi sono in numero molto minore e si avvicinano a quelli delle età più recenti.

Gli strati di Comen, di Lesina, di Hakel, di Crespano, di Grodischitz e della Tolfa costituiscono, a mio credere, un unico gruppo e devono ritenersi contemporanei. Il confronto delle loro faune (vedi il "Quadro" a p. 284) ne è una valida prova. D'altra parte, l'abbondanza di fisostomi e la comparsa degli acantotteri li collocano sopra quei de' Voirons.

Quanto ai depositi di Sabel-Alma, di Sendenhorst e delle Baumberge, ha già dimostrato che i primi sono più recenti di quelli di Hakel, e che gli ultimi si manifestano più giovani dei secondi (vedi p. 272—278).

Cosicchè noi possiamo distribuire i pesci studiati in questa Memoria in sei piani, determinati come segue:

Terreno cretaceo	{	Cret. inferiore	Piano di Pietraroia	(Veraldiano infer.).
			Piano de' Voirons	(Veraldiano super.).
			Piano di Comen (Lesina, Hakel, Crespano, Grodischitz, Tolfa)	(Aptiano).
		Cret. medio . .	Piano di Sabel-Alma	(Cenomaniano).
			Piano di Sendenhorst	(Senoniano infer.).
		Cret. superiore	Piano delle Baumberge	(Senouiano super.).

Cataloghi sistematici delle specie.

Fauna di Lesina.

Subel. GANOIDEI.

Ord. HOLOSTEI.

Fam. LEPIDOSTEIDAE.

Grup. APHANEPYGINA.

Gen. APHANEPIGUS Bass.

Aphanepygus elegans Bass.

Grup. ASPIDORHYNCHINA.

Gen. BELONOSTOMUS Ag.

Belonostomus lesinaensis Bass. (*Bel. crassirostris* Bass., non Costa).

Grup. MEGALURINA.

Gen. OPSIGONUS Kramb.

Opsigonus megaluriformis Kramb.

Fam. PYCNODONTIDAE.

Gen. COELODUS Heck.

Coelodus suillus Heck.

Coelodus megaruchis Heck.

Coelodus oblongus Heck.

Subel. TELEOSTEI.

Ord. PHYSOSTOMI.

Fam. SCOPELIDAE.

Grup. HOLONODONTINA.

Gen. HOLONODON Kramb.

Holcodon lycodon (Kner) Kramb. (*Saurocephalus?* *lycodon* Kner).

Holcodon lobopterygius Kramb.

Holcodon lesinaensis Kramb.

Fam. CLUPEIDAE.

Grup. THRISSOPINA.

Gen. LEPTOLEPIS Ag.

Leptolepis neocomiensis Bass. (*Megastoma apenninum* Costa; ? *Sirginites pygmaeus* id.).

Leptolepis neunagis Bass.

Gen. THRISSOPS Ag.

Thrisops microdon Heck.

Thrisops exiguus Bass. (*Chirocentrus microdon* Kner, non Heck.).

Gen. SPATHODACTYLUS Piet.

Spathodactylus? sp.

Grupp. ELOPINA.

Gen. ELOPOPSIS Heck.

Elopopsis haueri Bass.

Gen. HEMIELOPOPSIS Bass.

Hemielopopsis mussi Bass.

Hemielopopsis gracilis Bass.

Grupp. CHANINA.

Gen. PROCHANOS Bass.

Prochanos rectifrons Bass.

Grupp. CLUPEINA.

Gen. CLUPEA L.

Clupea brevissima Blainv. (*Cl. bottae* Piet. et H.

Clupea gaudryi Piet. et H.

Gen. SCOMBROCLUPEA Kner.

Scombroclupea macrophthalmia (Heck.) Piet. et H.
(*Clupea macrophthalmia* Heck.; *Scombroclupea*
pinnulata Kner).

Ord. ACANTHOPTERYGII.

Fam. MOLOCENTRIDAE.

Grupp. BERYCINA.

Gen. BERYX Cuv.

Beryx suboratus Bass.

Fauna di Pietraroia.

Subel. CHONDROPTERYGII.

Fam. RAIIIDAE.

Gen. RHINOBIATIS Bloch.

Rhinobatus obtusatus Costa.

Fam. SPINACIDAE.

Gen. SPINAX Cuv.

Spinax lividus (Costa) Bass. (*Centropterus lividus*
Costa).

Subel. GANOIDEI.

Ord. MOLOSTEL.

Fam. LEPIDOSTEIDAE.

Gen. BELOONOSTOMUS Ag.

Belonostomus crassirostris Costa.

Gen. LEPIDOTUS Ag.

Lepidotus exiguus Costa.

Gen. OONOSCOPIUS Costa.

Oonoscopus petraroiae Costa.

Gen. NOTAGOGIUS Ag. (di provenienza dubbia).

Notagodus pentlandi Ag. (*Not. crassicauda* Costa;
Blennionotus maior id.; *Bl. longicauda* id.).

Gen. PROPTERUS Ag. ? (di prov. dubb.).

Propterus ? macrocephalus (Costa) Bass. (*Rhynchon-*
codes macrocephalus Costa).

Fam. PYCNODONTIDAE.

Gen. COELODUS Heck.

Coelodus grandis (Costa) Heck. (*Pseudodus grandis*
Costa).

Subel. TELEOSTEI.

Ord. PHYSOSTOMI.

Fam. CLUPEIDAE.

Gen. HYPTIUS Costa.

Hyptius sebastiani Costa (*Sauropsidium loerissimum*
Costa, „Palcout.“, parte I, p. 322, tav. VI, fig. 1;
Sauropsidium angusticauda id.).

Gen. SAUROPSIDIUM Costa.

Sauropsidium loerissimum Costa (*Cyprinus* Costa,
non Lin.; *Tinea* Costa, non Cuv.).

Gen. CAEUS Costa.

Caesus leopoldi Costa.

Gen. THRINOPS Ag.

Thrinops microdon Heck. (*Andreiopterus esumia*
Costa).

Gen. LEPTOLEPIS Ag.

Leptolepis neocomiensis Bass. (*Megatomus apenn-*
inum Costa; *Sarginites pygmaeus* id.).

Gen. CLUPEA L.

Clupea brevissima Blainv. ? (*Histiurus serioides*
Costa; ? *Hist. elatus* id.).

Fauna de' Voltrons.

Subel. CHONDROPTERYGII.

Fam. LAMNIDAE.

Gen. ODONTASPIS Ag.

Odontaspis gracilis Ag.

Gen. SPHENODUS Ag.

Sphenodus sabaudianus Piet.

Subel. GANOIDEI.

Fam. LEPIDOSTEIDAE.

Gen. ASPIDORHYNCHUS Ag.

Aspidorhynchus genevensis Piet.

Fam. PYCNODONTIDAE.

Gen. GYRODUS Ag.

Gyrodus sp.

Subel. **TELEOSTEI.**Ord. **PHYSOSTOMI.**Fam. **CLUPEIDAE.**Gen. **SPATHODACTYLUS** Pict.*Spathodactylus neocomiensis* Pict.Gen. **CROSSOGNATHUS** Pict.*Crossognathus sabaudianus* Pict.Gen. **CLUPEA** L.*Clupea antiqua* Pict.*Clupea vairoanensis* Pict.**Fauna di Comen.**Subel. **GANOIDEI.**Ord. **HOLOSTEI.**Fam. **AMIADAE.**Gen. **AMIOPSIS** Kner.*Amiopsis prieca* Kner.Fam. **LEPIDOSTEIDAE.**Gen. **BELONOSTOMUS** Ag.*Belonostomus* sp. (*Hemirhynchus comenianus* Kner; *Hem. heckeli* id.).Fam. **PYCNODONTIDAE.**Gen. **COELODUS** Heck.*Coelodus saturnus* Heck.*Coelodus rosthorni* Heck.Gen. **PALAEOBALISTUM** Blainv.*Palaeobalistum goeldi* Heck.?Subel. **TELEOSTEI.**Ord. **PHYSOSTOMI.**Fam. **HOPLOPLEURIDAE.**Gen. **SAURORAMPHUS** Heck.*Sauromphus freyeri* Heck.Fam. **SCOPELIDAE.**Gen. **HEMISAURIDA** Kner.*Hemisaurida neocomiensis* Kner.Gen. **HOLCODON** Kramb.*Holcodon lycodon* (Kner) Kramb. (*Sauromphalus?* *lycodon* Kner; *Holcodon neocomiensis* Kramb.)Fam. **CLUPEIDAE.**Gen. **LEPTOLEPIS** Ag.*Leptolepis neocomiensis* Bass.Gen. **THRISOPS** Ag.*Thrisops gracilis* (Heck.) Bass. (*Chirocentrides gracilis* Heck.).*Thrisops vexillifer* (Heck.) Bass. (*Chir. vexillifer* Heck.).*Thrisops exiguus* Bass. (*Chir.?* *microdon* Kner, non Heck.).*Thrisops microdon* Heck.?Gen. **CHIROCENTRIDES** Heck.*Chirocentrides coronatus* Heck.Gen. **ELOPOPSIS** Heck.*Elopopsis microdon* Heck.*Elopopsis fenzi* Heck.*Elopopsis dentex* Heck.*Elopopsis haueri* Bass.Gen. **CLUPEA** L.*Clupea brevissima* Blainv.Gen. **SCOMBROCLUPEA** Kner.*Scombroclupea macrophthalmus* (Heck.) Pict. et H.(*Clupea macrophthalmus* Heck.; *Scombr. pinnulata* Kner).Ord. **ACANTHOPTERYGII.**Fam. **HOLOCENTRIDAE.**Gen. **BERYX** Cuv.*Beryx dalmatensis* Steind.Fam. **CARANGIDAE.**Gen. **ALPICHTHYS** Steind.*Alpichthys pretiosus* Steind.**Fauna di Hakel.**Subel. **CHONDROPTERYGII.**Fam. **RAIIDAE.**Gen. **CYCLOBATIS** Egert.*Cyclobatis oligodactylus* Eg.Gen. **RHINOBATIS** Bloch.*Rhinobatus maronita* Pict. et H.Subel. **GANOIDEI.**Fam. **LEPIDOSTEIDAE.**Gen. **BELONOSTOMUS** Ag.?*Belonostomus hakelensis* (P. et H.) Bass. (*Leptorhynchus hakelensis* P. et H.).Fam. **PYCNODONTIDAE.**Gen. **PALAEOBALISTUM** Blainv.*Palaeobalistum goeldi* Heck.

Fam. ?

Gen. **COCCODUS** Pict.*Coccodus armatus* Pict.

Subel. **TELEOSTEI.**

Ord. **PHYSOSTOMI.**

Fam. **HOPLOPLEURIDAE.**

Gen. **EURYPHOLIS** Piet.

Eurypholis boissieri Piet.

Fam. ?

Gen. **ASPIDOPLEURUS** P. et H.

Aspidopleurus cotaphractus Piet. et H.

Fam. ?

Gen. **PETALOPTERYX** Piet.

Petalopteryx syriacus Piet.

Fam. **CLUPEIDAE.**

Gen. **LEPTOLEPIS** Ag.?

Leptolepis ? neumagri Bass.

Gen. **THRISOPS** Ag.

Thrisops microdon Heck. (*Chirocentrus libanicus* Piet. et H.)

Gen. **PROCHANOS** Bass.?

Prochanos ? sp. (*Clupea gigantea* Heck.).

Gen. **CLUPEA** L.

Clupea brexianina Blainv. (*Cl. botte* Piet. et H.).

Clupea gaudryi Piet. et H.

Clupea sardinioides Piet.

Clupea lata Ag.

Clupea beaurardi Blainv.

Clupea minima Ag.

Clupea tarteti Sauv.

Gen. **SCOMBROCLUPEA** Kner.

Scombroclupea macrophthalmus (Heck.) Piet. et H.

Ord. **ACANTHOPTERYGII.**

Fam. **HOLOCENTRIDAE.**

Gen. **BERYX** Cuv.

Beryx vezillifer Piet.

Gen. **PSEUDOBERYX** P. et H.

Pseudoberyx syriacus Piet. et H.

Pseudoberyx botine Piet. et H.

Fam. **CARANGIDAE.**

Gen. **PLATAX** Cuv.

Platax minor Piet.

Fauna di Grodischitz.

Subel. **GANOIDEI.**

Ord. **HOLOSTEL.**

Fam. **LEPIDOSTEIDAE.**

Gen. **ASPIDORHYNCHUS** Ag.

Aspidorhynchus silenus — ? —

Fauna di Crespano.

Subel. **GANOIDEI.**

Ord. **HOLOSTEL.**

Fam. **LEPIDOSTEIDAE.**

Gen. **BELOSTOMUS** Ag.

Belonostomus cfr. *lesinensis* Bass.

Subel. **TELEOSTEI.**

Ord. **PHYSOSTOMI.**

Fam. **CLUPEIDAE.**

Gen. **THRISOPS** Ag.

Thrisops microdon Heck.

Gen. **SCOMBROCLUPEA** Kner.

Scombroclupea macrophthalmus (Heck.) Piet. et H.

Fauna della Tolfa.

Subel. **GANOIDEI.**

Fam. **PYCNOdontIDAE.**

Gen. ?

Subel. **TELEOSTEI.**

Fam. ?

Occodus ? armatus Piet.

Fam. **HOPLOPLEURIDAE.**

Gen. **EURYPHOLIS** Piet.?

Eurypholis ? boissieri Piet.

Fam. **CLUPEIDAE.**

Gen. **LEPTOLEPIS** Ag.?

Leptolepis ? sp.

Gen. **THRISOPS** Ag.

Thrisops microdon Heck.

Gen. **ELOPOPSIS** Heck.

Elopopsis haueri Bass.

Gen. **CLUPEA** L.?

Clupea ? sp.

Gen. **SCOMBROCLUPEA** Kner.

Scombroclupea macrophthalmus (Heck.) Piet. et H.?

Ord. **ACANTHOPTERYGII.**

Fam. **HOLOCENTRIDAE ?**

Gen. **BERYX** Cuv.?

Beryx ? sp.

Quadro comparativo dei pesci fossili di

[illegible]

Indice alfabetico delle specie.

Lesina.			
<i>Aphanopygus elegans</i> Bass.	197	<i>Berys dalmaticus</i> Steind.	262
<i>Belonostomus lesinensis</i> Bass.	198	<i>Chirocentrus coronatus</i> Heck.	257
<i>Berys inobatus</i> Bass.	226	<i>Clupea brevissima</i> Blainv.	260
<i>Clupea brevissima</i> Blainv.	219	<i>Coelodus rothornii</i> Heck.	253
<i>Clupea gaudryi</i> Pict. et Humb.	223	<i>Coelodus saturnus</i> Heck.	263
<i>Coelodus menorachis</i> Heck.	202	<i>Clupea dentee</i> Heck.	258
<i>Coelodus oblongus</i> Heck.	202	<i>Elopusis fenili</i> Heck.	256
<i>Coelodus acillius</i> Heck.	201	<i>Elopusis kaneri</i> Bass.	258
<i>Elopusis kaneri</i> Bass.	214	<i>Elopusis microdon</i> Heck.	258
<i>Hemirhamphus stossi</i> Bass.	215	<i>Hemiramphus neocomianus</i> Kuer.	255
<i>Hemirhamphus gracilis</i> Bass.	216	<i>Holodon lyodon</i> (Kuer) Kramb.	254
<i>Holodon lesinensis</i> Kramb.	203	<i>Leptolepis neocomianus</i> Bass.	256
<i>Holodon lobopterygus</i> Kramb.	203	<i>Palaeohatistius gordeli</i> Heck.?	254
<i>Holodon lyodon</i> (Kuer) Kramb.	203	<i>Saurorhamphus freyeri</i> Heck.	254
<i>Leptolepis neocomianus</i> Bass.	204	<i>Scombroclupea macrocephala</i> (Heck.) Pict. et Humb.	261
<i>Leptolepis nemayri</i> Bass.	206	<i>Thrinops exiguus</i> Bass.	258
<i>Opisomus megaluriformis</i> Kramb.	200	<i>Thrinops gracilis</i> (Heck.) Bass.	257
<i>Prochlanis rectifrons</i> Bass.	218	<i>Thrinops microdon</i> Heck.	257
<i>Scombroclupea macrocephala</i> (Heck.) Pict. et Humb.	225	<i>Thrinops verrillifer</i> (Heck.) Bass.	257
<i>Spathodactylus</i> ? sp.	212	Hakel.	
<i>Thrinops microdon</i> Heck.	208	<i>Aspidopteryx cataphractus</i> Pict. et Humb.	270
<i>Thrinops exiguus</i> Bass.	210	<i>Belonostomus ? kokenis</i> (Pict. et Humb.) Bass.	269
		<i>Berys verrillifer</i> Pict.	266
		<i>Clupea henardi</i> Blainv.	268
		<i>Clupea brevissima</i> Blainv.	268
		<i>Clupea gaudryi</i> Pict. et Humb.	268
		<i>Clupea larteti</i> Sauv.	268
		<i>Clupea lata</i> Agass.	268
		<i>Clupea minima</i> Agass.	268
		<i>Clupea sardinensis</i> Pict.	268
		<i>Coelodus armatus</i> Pict.	271
		<i>Cyclotaxis diiodactylus</i> Egerton	271
		<i>Euryphala bossieri</i> Pict.	270
		<i>Leptolepis ? nemayri</i> Bass.	267
		<i>Palaeohatistius gordeli</i> Heck.	271
		<i>Petalopteryx syriacus</i> Pict.	268
		<i>Platax minor</i> Pict.	268
		<i>Prochlanis</i> ? sp.	269
		<i>Pseudoberyus boltae</i> Pict. et Humb.	267
		<i>Pseudoberyus syriacus</i> Pict. et Humb.	267
		<i>Rhinobatus maroniti</i> Pict. et Humb.	271
		<i>Scombroclupea macrocephala</i> (Heck.) Pict. et Humb.	269
		<i>Thrinops microdon</i> Heck.	269
Pietrafraia.		Groditsch.	
<i>Belonostomus crassirostris</i> Costa.	230	<i>Aspidorhynchus silianensis</i> ?	261
<i>Cassia lepidus</i> Costa.	243	Crespano.	
<i>Clupea brevissima</i> Blainv.?	246	<i>Belonostomus</i> cfr. <i>lesinensis</i> Bass.	264
<i>Coelodus grandis</i> (Costa) Heck.	232	<i>Scombroclupea macrocephala</i> (Heck.) Pict. et Humb.	265
<i>Hyattius subatlantici</i> Costa.	210	<i>Thrinops microdon</i> Heck.	265
<i>Lepidodus exiguus</i> Costa.	235		
<i>Leptolepis neocomianus</i> Bass.	245		
<i>Notogaster penlandi</i> Agass.	237		
<i>Osmomus petraeensis</i> Costa.	239		
<i>Propterus ? macrocephalus</i> (Costa) Bass.	239		
<i>Rhinobatus obesus</i> Costa.	228		
<i>Saurorhamphus lesinensis</i> Costa.	241		
<i>Spinax lepidus</i> (Costa) Bass.	229		
<i>Thrinops microdon</i> Heck.	244		
Voiros.			
<i>Aspidorhynchus genevensis</i> Pict.	250		
<i>Clupea antiqua</i> Pict.	249		
<i>Clupea voirosensis</i> Pict.	250		
<i>Crossognathus sabaudianus</i> Pict.	248		
<i>Gyrodus</i> sp.	250		
<i>Odontaspis gracilis</i> Agass.	250		
<i>Spathodactylus neocomianus</i> Pict.	247		
<i>Sphenodus sabaudianus</i> Pict.	250		
Comen.			
<i>Aspidichthys pratensis</i> Steind.	262		
<i>Aniopsis pricea</i> Kuer.	251		
<i>Belonostomus</i> sp.	252		
		<i>Berys</i> ? sp.	266
		<i>Clupea</i> ? sp.	266

<i>Coccyzus ? armatus</i> Pict.	266		
<i>Etopopsis Anseri</i> Bass.	266		
<i>Eurypterus ? haisieri</i> Pict.	266		
<i>Leptolepis ? sp.</i>	266	Vedi	272
<i>Pygostoides</i> Gen. ?	266		
<i>Scombrochelys macrocephala</i> (Heck.) Pict. et Humb.	266		
<i>Thrinops microndon</i> Heck.	266	Vedi	275

Sahel-Alma.

Vestfalia.

Indice alfabetico dei sinonimi ecc.

<i>Androciplocera esima</i> Costa (Pietraroia)	243	<i>Holodon neocomiensis</i> Kramb. (Lesina)	203
<i>Anomiphiolatus velatus</i> Costa (Id.)	231	<i>Lepidatus marimilianus</i> Costa, non Ag. (Pietraroia)	235
<i>Aspidarkyctus platycephalus</i> Costa (Id.)	231	<i>Lepidatus minor</i> Costa, non Ag. (Id.)	236
<i>Belonostomus gracilis</i> Costa (Id.)	230	<i>Lepidatus oblongus</i> Costa, non Ag. (Id.)	231
<i>Berge lesinaensis</i> Bass., non Steind. (Lesina)	261	<i>Lepidatus unguiculatus</i> Costa, non Ag. (Id.)	236
<i>Bleniionemus longicauda</i> Costa (Pietraroia)	239	<i>Lepidatus unguiculatus-minor</i> Costa (Id.)	236
<i>Bleniionemus maior</i> Costa (Id.)	239	<i>Lepidotachelus hakelensis</i> Pict. (Hakel)	269
<i>Calignatus</i> Costa (Id.)	246	<i>Leocoptera macrocephala</i> Eichw. (Turga)	258
<i>Centropterus heidus</i> Costa (Id.)	279	<i>Leocoptera middendorfi</i> Eichw. (Id.)	258
<i>Chirocentrus libanicus</i> Pict. (Sahel-Alma)	273	<i>Megastoma apenninum</i> Costa (Pietraroia)	244
<i>Chirocentrus ? cardinii</i> Costa (Pietraroia)	244	<i>Microndon simplex</i> Costa (Id.)	233
<i>Chirocentrus gracilis</i> Heck. (Comen.)	257	<i>Nidagopus crassicauda</i> Costa (Id.)	237
<i>Chirocentrus libanicus</i> Pict. (Hakel)	269	<i>Nidagopus erythrolepis</i> Costa (Id.)	238
<i>Chirocentrus microndon</i> Heck. (Lesina)	208	<i>Nidagopus gracilis</i> Costa (Id.)	238
<i>Chirocentrus ? microndon</i> Kner, non Heck. (Comen.)	258	<i>Ophiacanthus depedatus</i> Costa (Id.)	232
<i>Chirocentrus scillifer</i> Heck. (Id.)	257	<i>Pachyodon</i> Costa (Id.)	246
<i>Clupea baltica</i> Pict. et Humb. (Hakel)	268	<i>Platycephalus rhombus</i> Costa (Id.)	231
<i>Clupea gigantea</i> Heck. (Id.)	268	<i>Pygodus achillis</i> Costa (Id.)	232
<i>Clupea intermedia</i> Wagner Ms. (Id.)	268	<i>Pygodus grandis</i> Costa (Id.)	232
<i>Clupea macrocephala</i> Heck. (Id.)	269	<i>Pygodus rotundatus</i> Costa (Id.)	233
<i>Cyprinus</i> Costa, non Linn. (Pietraroia)	243	<i>Rhynchonotus macrocephalus</i> Costa (Id.)	239
<i>Dichelospogonius longicauda</i> Costa (Id.)	251	<i>Sarginius pygmaeus</i> Costa (Id.)	244
<i>Glossodus angustatus</i> Costa (Id.)	253	<i>Scombrochelys pinnulata</i> Kner (Comen.)	261
<i>Glossodus heckeli</i> Costa (Id.)	253	<i>Scombrochelys ? tyrodon</i> Kner (Id.)	251
<i>Hemichnebus comenianus</i> Kner (Comen.)	252	<i>Sauropsichius gracilicauda</i> , alibi <i>angusticauda</i> Costa (Pietraroia)	242
<i>Hemichnebus heckeli</i> Kner (Id.)	252	<i>Thrinops forcipatus</i> Heck. Ms. (Lesina)	210
<i>Histiurus elatus</i> Costa (Pietraroia)	245	<i>Yinea</i> Costa, non Cuv. (Pietraroia)	243
<i>Histiurus scroloides</i> Costa (Id.)	245		

Spiegazione delle Tavole.

TAVOLA I.

Fig. 1. *Aphanopygus elegans* Bass. (I. R. Istituto geologico di Vienna).

- „ 2, 3, „ „ „ Articolazione del V e del XXI raggio dorsale coi relativi ossicini interapofisari (Ingr.).
 „ 4-8. „ „ „ XXIII, XXXVII, XL, XLIV e XLVI interplusso della penna dorsale (Ingr.).
 „ 9. „ „ „ Squame della regione addominale (Ingr.).
 „ 10. *Belonostomus lesinaensis* Bass. (I. R. Ist. geol. di Vienna).

TAVOLA II.

Fig. 1. *Leptolepis neocomiensis* Bass. (I. R. Ist. geol. di Vienna).

- „ 2. „ „ „ Apparato boccale (Ingr.).
 „ 3. „ „ „ Apparato opercolare (Ingr.).
 „ 4. „ „ „ Vertebra addominale (Ingr.).
 „ 5. „ „ „ Cinto pulvico (Ingr.).
 „ 6, 9 e 10. *Leptolepis neumayri* Bass. (I. R. Ist. geol. e Museo paleont. dell'I. R. Università di Vienna).
 „ 7. „ „ „ Apparato boccale del n. 6 (Ingr.).
 „ 8. „ „ „ Vertebra addominale del n. 6 (Ingr.).

TAVOLA III.

Thrinops microndon Heck. (I. R. Ist. geol. e Museo paleont. dell'I. R. Università di Vienna).

TAVOLA IV.

Fig. 1. *Elopopsis haueri* Baas. (I. R. Ist. geol. di Vienna).

- | | | | | | |
|---|----|---|---|---|--|
| " | 2. | " | " | " | Apparato boccale (ingr.). |
| " | 3. | " | " | " | Porzione dell'ipotimpanico, coperta di granulazioni (ingr.). |
| " | 4. | " | " | " | Raggio codale (ingr.). |

TAVOLA V.

Hemiteopopis nussli Bass. (Musci geol. e paleont. dell'I. R. Università di Vienna).

TAVOLA VI

Fig. 1. *Thrissops exiguus* Bass. (1st. geol. di Vienna).

3. *Hemielopopais gracilis* Bass. (Museo paleont. dell'Università di Vienna).

TAVOLA VII

Fig. 1. *Clupea gaudroyi* Pict. et Humb. (1st. geol. di Vienna).

- | | | | | | |
|--------|-------------------------------------|----------|-------------------------|-------------------------|--|
| 2. | " | " | " | " | Apparato boccale (Ingr.). |
| 3. | " | " | " | " | Apparato opercolare (Ingr.). |
| 4. | " | " | " | " | Arto toracico (Ingr.). |
| 5. | <i>Upeus brevissima</i> | Blainv. | (Ist. geol. di Vienna). | | |
| 6. | " | " | " | " | Apparato boccale (Ingr.). |
| 7. | <i>Scombrotaepon macrophthalmus</i> | (Jenck.) | Pict. et Humb. | (Ist. geol. di Vienna). | |
| 8. | " | " | " | " | Apparato boccale (Ingr.). |
| 9. | " | " | " | " | Preopercolo (Ingr.). |
| 10—13. | " | " | " | " | IV, V, VI e VII raggio della pinna codale (Ingr.). |

TAVOLA VIII.

Fig. 1, 2. *Clupea brevissima* Blainv. (1st. geol. di Vienna).

3. " " " Apparato boccale del n°. 2 (ingr.).
4. *Beryx suboratus* Bass. (Ist. geol. di Vienna).

TAVOLA IX.

Reionotomus sp. (1st. geol. di Vienna)

AVOLA X.

Fig. 1. *Beryx dalmaticus* Steind. (Ist. geol. di Vienna).

3. *Scrombroclupea macrophthalmma* (Heck.) Pict. et Humb. (Ist. geol. di Vienna).

TAVOLA XI

Fig. 1. *Belonostomus* cfr. *lesinensis* Bass. (Collezione del dr. Rossi a Possagno).

2. *Thrinops microdon* Beck. (Coll. Rossi).
3. *Neombrachyrops macrocephalus* (Beck.) Piet. et Humb. (Coll. Rossi).
4. Un itteropofisario, un frammento di pinna pettorale e due denti (Coll. Rossi).
5. Gli stessi denti (ingr.).

TAVOLA XII.

Eurypholis longidens Piet. (Labor. di Paleont. del Muséum di Parigi).

TAVOLA XIII.

Prochanos rectifrons Bass, (Ist. geol. di Vienna).

TAVOLA XIV.

Fig. 1. *Prochanes rectifrons* Bass. (1st. geol. di Vienna).

2. Apparatto dentario del *Chirocentrus dorab* (Museo di Anat. comp. dell'Università di Vienna).

TAVOLA XV.

Prochanos rectifrons BASS, (1st. geol. di Vienna).

TAVOLA XVI

Fig. 1. *Spathodactylus*? sp. (Museo paleont. dell'Università di Vienna).

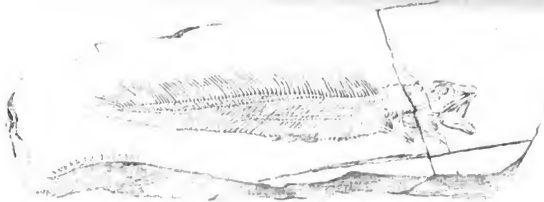
- | | | | |
|----|---|---|---------------------------------------|
| 2. | " | " | Vertebra (ingr.). |
| 3. | " | " | Un raggio della penna codale (ingr.). |
| 4. | " | " | Articoli dei raggi codali (ingr.). |

INDICE GENERALE.

	Pag.
Prefazione	195
Parte I. — Descrizione dei pesci fossili di Lesina	196
Parte II. — Ittiofauna di Pietraroia	228
Riassunto	246
Ittiofauna de' Volrons	247
Riassunto	250
Ittiofauna di Comen	251
Riassunto	263
Ittiofauna di Grodischitz e riassunto	263
Ittiofauna di Crespano e riassunto	261
Ittiofauna della Tolfa e riassunto	265
Ittiofauna di Hakel	266
Riassunto	271
Ittiofauna di Sabel-Alma	272
Ittiofauna di Sendenhorst	275
Ittiofauna delle Baumberge	275
Conclusioni stratigrafiche	278
Cataloghi sistematici delle specie	280
Quadro comparativo dei pesci fossili di Lesina, di Pietraroia, de' Volrons, di Comen, di Hakel, di Grodischitz, di Crespano e della Tolfa	284
Indice alfabetico delle specie	285
Indice alfabetico dei sinonimi ecc.	286
Spiegazione delle tavole	286

Errata-Corrige.

Pag. 195 linea 20 invece di materiali leggi materiali	Pag. 219 linea 7 invece di Tav. XIV leggi Tav. XV
" 218 " 33 " " Tav. XIV " Tav. XIII	" 240 " 37 " " infine al " infine il



10.



Lesina

INDICE GENERALE.

	Pag.
Prefazione	195
Parte I. — Descrizione dei pesci fossili di Lesina	196
Parte II. — Ittiofauna di Pietrarola	228
Riassunto	246
Ittiofauna de' Volrons	247
Riassunto	250
Ittiofauna di Comen	251
Riassunto	263
Ittiofauna di Grodilschitz e riassunto	263
Ittiofauna di Crespano e riassunto	264
Ittiofauna della Tolfa e riassunto	265
Ittiofauna di Hakel	266
Riassunto	271
Ittiofauna di Sahel-Alma	272
Ittiofauna di Sendenhorst	275
Ittiofauna delle Baumberge	275
Conclusioni stratigrafiche	278
Cataloghi sistematici delle specie	280
Quadro comparativo dei pesci fossili di Lesina, di Pietrarola, de' Volrons, di Comen, di Hakel, di Grodilschitz, di Crespano e della Tolfa	284
Indice alfabetico delle specie	285
Indice alfabetico dei sinonimi ecc.	286
Spiegazione delle tavole	286

Errata-Corrige.

Pag. 195 linea 20 invece di materiali	leggi materiali	Pag. 219 linea 7 invece di Tav. XIV	leggi Tav. XV
" 218 " 33 " " Tav. XIV	" Tav. XIII	" 240 " 37 " " infine al	" infine il

C C C C C

INDICE GENERALE.

	Pag.
Prefazione	195
Parte I. — Descrizione dei pesci fossili di Lesina	196
Parte II. — Ittiofauna di Pietraroia	228
Riassunto	246
Ittiofauna de' Volrons	247
Riassunto	250
Ittiofauna di Comen	251
Riassunto	263
Ittiofauna di Grodischtz e riassunto	265
Ittiofauna di Crespano e riassunto	264
Ittiofauna della Tolfa e riassunto	265
Ittiofauna di Hakel	266
Riassunto	271
Ittiofauna di Sahel-Aima	272
Ittiofauna di Sendehorst	275
Ittiofauna delle Baumberge	275
Conclusioni stratigrafiche	278
Cataloghi sistematici delle specie	280
Quadro comparativo dei pesci fossili di Lesina, di Pietraroia, de' Volrons, di Comen, di Hakel, di Grodischtz, di Crespano e della Tolfa	284
Indice alfabetico delle specie	285
Indice alfabetico dei sinonimi ecc.	286
Spiegazione delle tavole	286

Errata-Corrige.

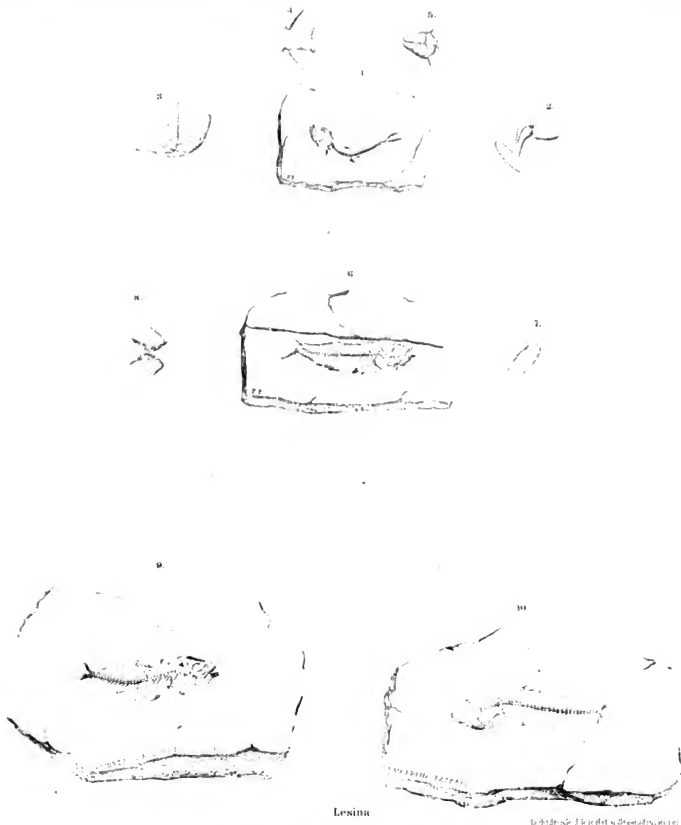
Pag. 195 linea 20 invece di materiali	leggi materiali	Pag. 219 linea 7 invece di Tav. XIV	leggi Tav. XV
" 218 " 33 " " Tav. XIV	" Tav. XIII	" 240 " 37 " " infine al	" infine il



10.



Lesina



Lesina

Grandezza 1/10 del vero (natural size)

Denkschriften d.k.Akad.d.W.math.naturw. Classe XIV. Bd. II. Abth.



Lesina

Lichtdruck d. k. k. Hof u. Staatsdruckerei



Lesina

2.



1.



Lesina.

Leichtdruck d. k. k. Hof- u. Staatsdruckerei.

Deutschriften d. k. Akad. d. Wiss. naturw. Classe XIX. Bd. II. Abth.

1.



2.



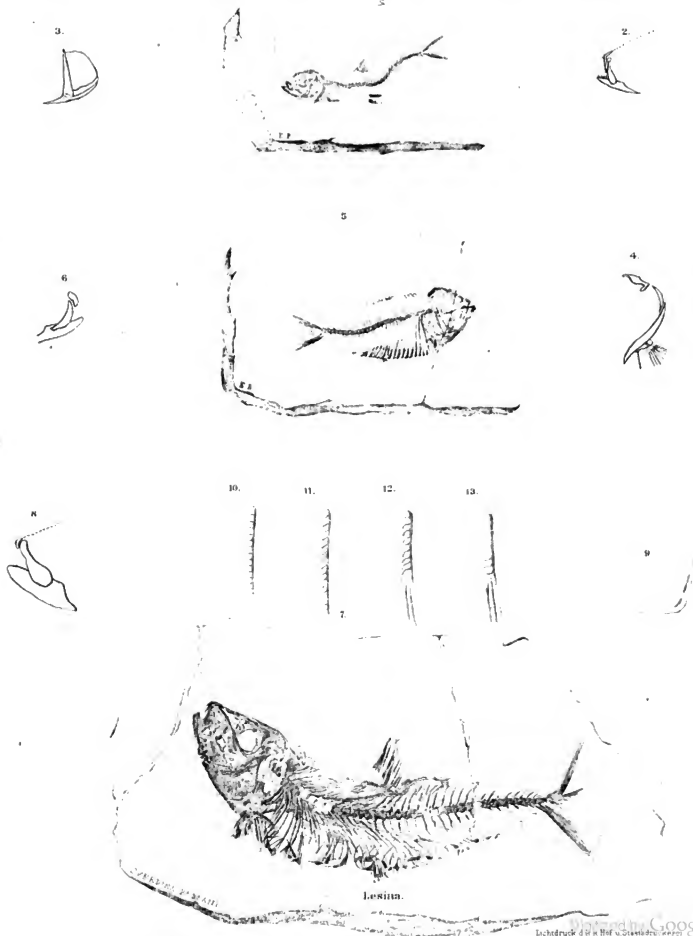
3.



Lesina

Lehrdruck 36 u Hof u Stadtdruckerei

Denkschriften d.k.Akad.d.W.math.naturw. Classe XLV. Bd.II. Abth.



3



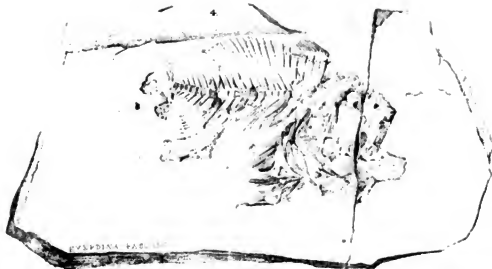
2



1



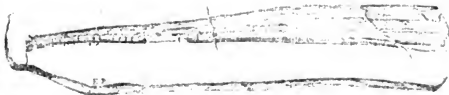
4



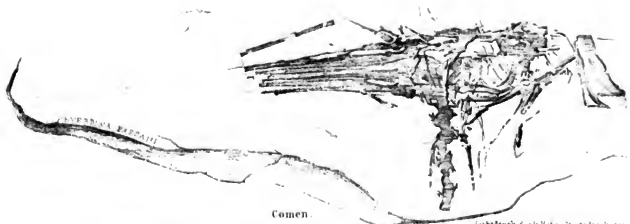
Lesina



1.



2.



Comen.

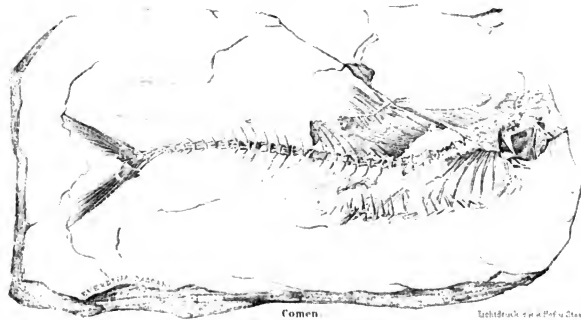
Lichtdruck d. k. k. Hof- und Landesdruckerei.



2.

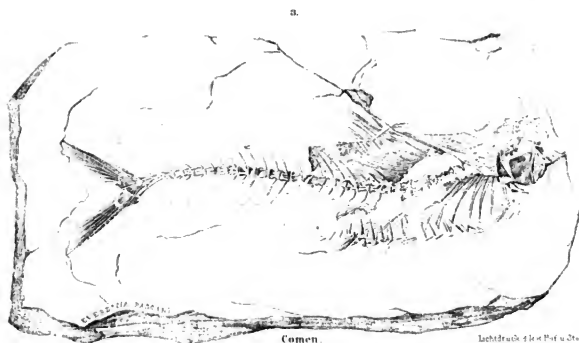
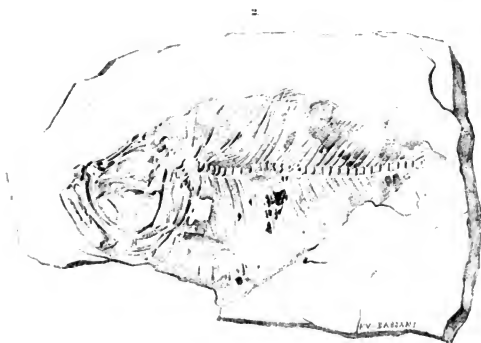


3.



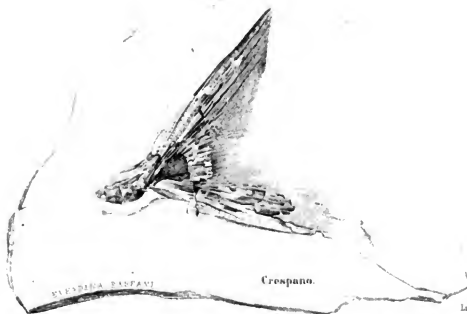
Comen

Abbildung von Prof. Dr. Bassani



Comen.

Lichtdruck d. k. Hof- u. Stud.-Anstalt



Fr. Bassani: Descrizione dei Pesci fossili di Lesina ecc.

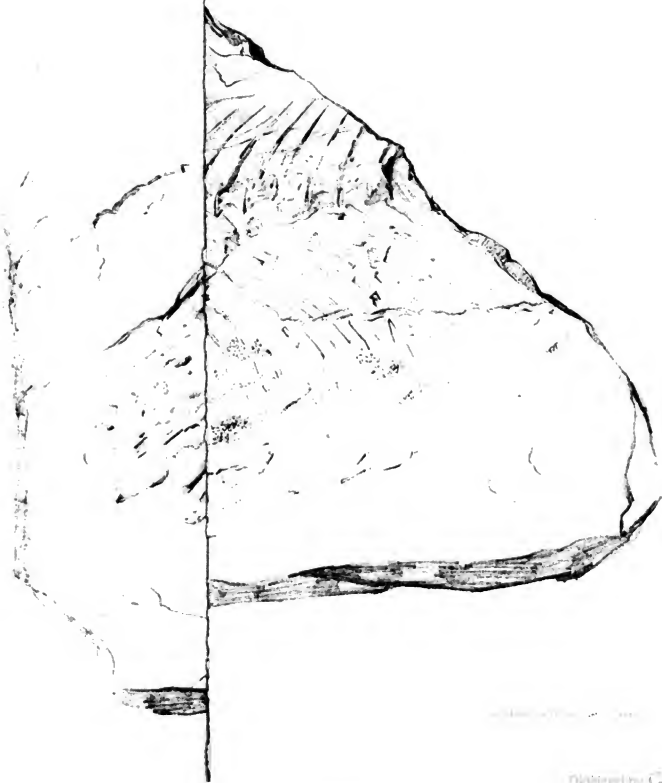


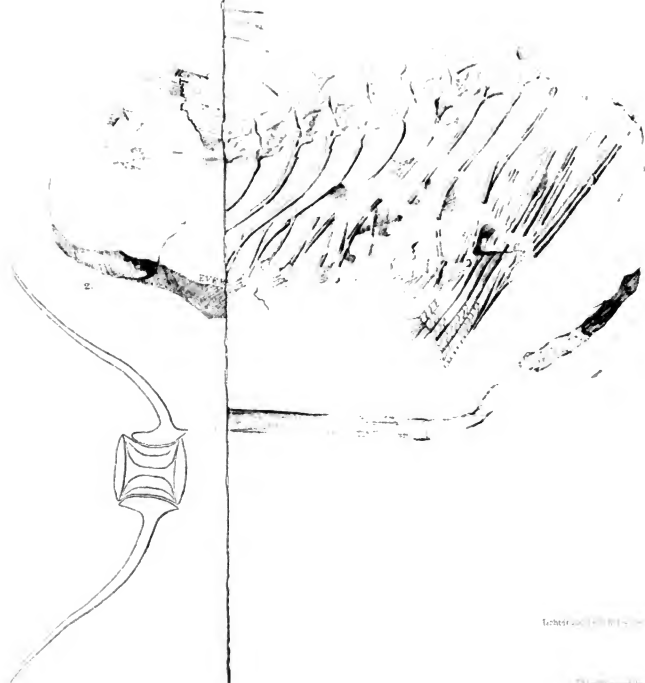
Sahel-Alma.

Lebendrocke d. k. k. Hof u. Staudenckern

Denkschriften d. k. Akad. d. W. math. naturw. Classe XLV. Bd. II. Abth.

Fr. Bassat





HILFSTAFELN FÜR CHRONOLOGIE

VON

ROBERT SCHRAM,

OB-REKTOR DER K. K. ÖSTERREICHISCHEN GRAMMERSCHULEN

(VORGELEGT IN DER SITZUNG DER MATHEMATISCH-NATURWISSENSCHAFTLICHEN CLASSE AM 9. MÄRZ 1882)

Einleitung.

A. Zodiakaltafeln.

Bei chronologischen Untersuchungen ist es häufig von Wichtigkeit, die Zeit des Eintrittes der Sonne in die Zeichen des Thierkreises zu kennen, besonders in eines derjenigen, welche die vier Jahrespunkte, Frühjahr- und Herbstnachtgleiche, Sommer- und Wintersolstitium bestimmen. Diese Zeit durch Berechnung der Sonnenlängen für die umschliessenden Tage direct aus den Sonnentafeln zu finden, erfordert eine ziemlich umständliche Rechnung, während von speciell zu diesem Zwecke construirten Tafeln mir nur diejenigen bekannt sind, welche Largetan seinen Syzygientafeln angehängt hat, und welche eiuestheils nur für die vier Jahrpunkte berechnet sind, anderentheils sich mit einer Genauigkeit von etwa einer halben Stunde begnügen. Dieser Umstand veranlasste mich, eine Tafel zu construiren, welche die Zeit des Eintrittes der Sonne in alle zwölf Zeichen des Thierkreises, nach Le Verrier's Elementen der Sonne berechnet, mit einer Genauigkeit von etwa zwei Zeitminuten erhalten lässt. Zu diesem Zwecke wurden zunächst aus der für 1800 Jänner 0,0 oder für den Tag 2378 496,0000 der julianischen Periode geltenden mittleren Länge der Sonne:

$$L = 279^{\circ}907\,972 + 360^{\circ}007\,685\,367t + 0^{\circ}000\,000\,030\,7555t^2$$

die Zeiten abgeleitet, zu welchen die mittlere Länge der Sonne $= 0^{\circ}, 30^{\circ}, 60^{\circ} \dots$ überhaupt gleich $n \times 30^{\circ}$ oder $= n$ Zeichen wird und es fand sich hierfür in Tagen der julianischen Periode der Ausdruck

$$T_n = 2378\,577,258\,302 + 30,436\,851n + 365,242\,202\,72x - 0,000\,000\,031\,206\,2x^2,$$

wobei x eine beliebige positive oder negative ganze Zahl bezeichnet. Ebenso fand sich für die der Zeit T_n zugehörige Anomalie g_n der Sonne aus dem für 1800 Jänner 0,0 geltendem Ausdrucke $g = 0^{\circ}408\,833 + 359^{\circ}990\,551\,686t - 0^{\circ}000\,000\,019\,8806t^2$ der Werth

$$g_n = 80^{\circ}497\,067 + 29^{\circ}968\,572n - 0^{\circ}017\,133\,311x - 0^{\circ}000\,000\,050\,6325x^2$$

ferner für die zugehörigen Werthe von $\varphi_n, L - L', t, t', t''$ und t^{IV} in Centesimalgraden die Werthe:

$$\begin{aligned}
\Omega_n &= 32,19 - 1,79n - 21,490\,0617x + 0,000\,000\,239\,156x^2 \\
(L-L')_n &= 362,68 + 12,27n + 147,306\,8925x - 0,000\,000\,034\,5692x^2 \\
l'_n &= 306,71 + 54,18n + 250,184\,110x \\
l''_n &= 200,77 + 33,33n + 399,984\,481x \\
l'''_n &= 306,50 + 17,72n + 212,665\,520x \\
\rho'_n &= 99,20 + 2,81n + 33,720\,490x
\end{aligned}$$

Ferner fand sich aus dem Le Verrier'schen Ausdrucke für die Sonnenlänge mit Hinweglassung aller Glieder, welche 1" nicht erreichen, nämlich

$$\odot = L + \left\{ \begin{aligned}
& 6927,05 - 0''17454j - 0''0564 \left(\frac{j}{100} \right)^2 \sin g \\
& + \{ 72''70 - 0''00375j \} \sin 2g \\
& + 1''05 \sin 3g \\
& - 1'' \sin 2\odot \\
& - 17'' \sin \Omega \\
& + 6'' \sin (L-L') \\
& - 5'' \sin (l'-l) \\
& + 6'' \sin (2l''-2l) \\
& + 3'' \cos (3l''-3l) \\
& + 2'' \cos (4l''-3l) \\
& + 1'' \sin (5l''-3l)
\end{aligned} \right\} \sin g \quad \left| \begin{aligned}
& - 1'' \sin (13l''-8l) \\
& + 1'' \cos (13l''-8l) \\
& + 2'' \sin (2l'''-2l') \\
& + 1'' \sin (2l'''-l'') \\
& + 1'' \cos (2l'''-l'') \\
& + 7'' \sin (l^{\text{IV}}-l') \\
& - 3'' \sin (2l^{\text{IV}}-2l') \\
& - 3'' \sin l^{\text{IV}} \\
& + 1'' \sin (2l^{\text{IV}}-l'') \\
& + 1'' \cos (2l^{\text{IV}}-l'') \\
& + 1'' \sin (8l''-4l'-3l^{\text{IV}}) \\
& + 6'' \cos (8l''-4l'-3l^{\text{IV}})
\end{aligned} \right.$$

genau nach demselben Verfahren, welches Hansen in seiner Analyse der Ekliptischen Tafeln anwendet, um den Zeitunterschied zwischen mittlerer und wahrer Conjunction zu ermitteln, die Zeit des wahren Eintritts der Sonne in ein Zeichen in Tagen der julianischen Periode und Tagesbruchtheilen:

Zeit des Eintritts ==

$$\begin{aligned}
T_n = 1,9523 \sin g - 0,004\,922 \frac{j}{100} \sin g + 0,000\,015\,89 \left(\frac{j}{100} \right)^2 \sin g & \left| \begin{aligned}
& - 0,0002,8 \sin (5l''-3l) \\
& + 0,0002,8 \sin (13l''-8l) \\
& - 0,0002,8 \cos (13l''-8l) \\
& - 0,0005,6 \sin (2l'''-2l') \\
& - 0,0002,8 \sin (2l'''-l'') \\
& - 0,0002,8 \cos (2l'''-l'') \\
& - 0,019,7 \sin (l^{\text{IV}}-l') \\
& + 0,0008,5 \sin (2l^{\text{IV}}-2l') \\
& + 0,0008,5 \sin l^{\text{IV}} \\
& - 0,0002,8 \sin (2l^{\text{IV}}-l'') \\
& - 0,0002,8 \cos (2l^{\text{IV}}-l'') \\
& + 0,0002,8 \sin (8l''-4l'-3l^{\text{IV}}) \\
& - 0,016,9 \cos (8l''-4l'-3l^{\text{IV}})
\end{aligned} \right. \\
+ 0,0123 \sin 2g + 0,000\,060 \frac{j}{100} \sin 2g - 0,000\,000\,06 \left(\frac{j}{100} \right)^2 \sin 2g & \\
- 0,0002 \sin 3g + 0,000\,001 \frac{j}{100} \sin 3g & \\
+ 0,0047,9 \sin \Omega & \\
+ 0,0002,8 \sin 2\odot & \\
- 0,0016,9 \sin (L-L') & \\
+ 0,0014,1 \sin (l'-l) & \\
- 0,0016,9 \sin (2l''-2l) & \\
- 0,0008,5 \cos (3l''-2l) & \\
- 0,0005,6 \cos (4l''-3l) &
\end{aligned}$$

Dieser Ausdruck wurde nun in folgender Weise tabulirt: In die Tafel I kamen die Werthe von

$$\begin{aligned}
T_n = 1,9523 \sin g - 0,004\,922 \frac{j}{100} \sin g + 0,000\,015\,89 \left(\frac{j}{100} \right)^2 \sin g & \\
+ 0,0123 \sin 2g + 0,000\,060 \frac{j}{100} \sin 2g - 0,000\,000\,06 \left(\frac{j}{100} \right)^2 \sin 2g & \\
- 0,0002 \sin 3g + 0,000\,001 \frac{j}{100} \sin 3g & \\
+ 0,0002,8 \sin 2\odot & \\
- 0,0002,8 \sin (8l''-4l'-3l^{\text{IV}}) & \\
- 0,0016,9 \cos (8l''-4l'-3l^{\text{IV}}) \} \text{ Glied langer Periode,} & \\
- 0,0173,8 \text{ (Summe der Constanten, welche bei den Störungstafeln hinzugefügt wurden).} &
\end{aligned}$$

ferner die Werthe der Argumente

$$\begin{array}{l|l} A_0 = \Omega_0 & D_0 = 3l'' - 2l'_0 \\ B_0 = (L - L')_0 & E_0 = 2l''_0 - 2l'_0 \\ C_0 = l''_0 - l'_0 & F_0 = l''_0 - l'_0 \end{array}$$

von 115 zu 115 Jahren, oder von etwa 42000 zu 42000 Tagen.

Tafel II dient eigentlich als Interpolationsstafel für die zwischen die Werthe der Tafel I fallenden Jahre und gibt die Veränderung der Zeit des Eintrittes und der Argumente für die einzelnen Jahre, enthält aber überdies eine Columnne t , welche die Zahl ergibt, mit der die Säcularglieder in Tafel I zu multipliciren sind, um die ungleichen Differenzen der Tafel I auf die constante Differenz der Tafel II zu reduciren. Um diese Multiplication zu erleichtern, ist auf pag. 14 eine kleine Multiplicationstafel aufgenommen.

Die nun folgenden sechs Störungstafeln sind so eingerichtet, dass sie mit den Argumenten, welche für die Zeit des Eintrittes der Sonne in das Zeichen des ♊ gelten, auch die Correctionen für die Zeit des Eintrittes in die anderen Zeichen geben, indem jede Columnne um den der Bewegung des Argumentes entsprechenden Betrag verschoben ist. Beim Argumente $B = L - L'$ tritt noch eine besondere Verschiebung ein; dieses Argument hat nämlich eine sehr rasche Bewegung von $13^{\circ}55$ täglich, und es musste daher berücksichtigt werden, dass, während die Tafel das Argument für die Zeit des mittleren Eintrittes gibt, man dasselbe eigentlich für die Zeit des wahren Eintrittes braucht; es wurde daher das Argument um den Betrag von $-1,9523 \times 13^{\circ}55 \sin \gamma_0$ verschoben, wo unter γ_0 derjenige Werth von γ , welcher ungefähr zur Zeit der Ausgangsepoeche stattfindet, verstanden ist. Dieser Werth ändert sich für jedes Zeichen nur sehr langsam und kann um so leichter als constant angenommen werden, da die äusserste Genauigkeit jedenfalls eher in der Nähe der Ausgangsepoeche, als viele Jahrhunderte früher verlangt wird. Von einer solchen Constant-Setzung einer sehr langsam veränderlichen Grösse ist ferner noch Gebrauch gemacht, um einige von den mit kleinen Coefficienten versehenen Gliedern theilweise zu berücksichtigen, ohne ihrer wegen eigene Argumente bilden zu müssen; es wurde nämlich für l'_0 der Werth λ_0 welcher dem Werthe von l'_0 zur Zeit der Ausgangsepoeche entspricht, in einigen kleinen Gliedern eingeführt, was aus demselben Grunde wie im vorhergehenden Falle gestattet ist. Es wurde gesetzt:

$$\begin{aligned} 4l'' - 3l' &= 3l'' - 3l' + \lambda = 3C + \lambda \\ 5l'' - 3l' &= 3l'' - 3l' + 2\lambda = 3C + 2\lambda \\ 13l'' - 8l' &= 12l'' - 8l' + \lambda = 4D + \lambda \\ 2l'' - l' &= 2l'' - 2l' + \lambda = E + \lambda \\ l'' &= l'' - l' + \lambda = F + \lambda \\ 2l'' - l' &= 2l'' - 2l' + \lambda = 2F + \lambda \end{aligned}$$

Die Störungstafeln enthalten also:

mit dem Argumente A_0 die Grösse: $+0,0047,9 \sin A_0 + 0,0048,9$

"	"	"	B_0	"	"	$-0,0016,9 \sin(B_0 - 1,9523 \times 13^{\circ}55 \sin \gamma_0) + 0,0017,9$
"	"	"	C_0	"	"	$+0,0014,1 \sin C_0 - 0,0016,9 \sin 2C_0 - 0,0005,6 \cos(3C_0 + \lambda_0) -$ $-0,0002,8 \sin(3C_0 + 2\lambda_0) + 0,0040,7$
"	"	"	D_0	"	"	$-0,0008,5 \cos D_0 + 0,0002,8 \sin(4D_0 + \lambda_0) - 0,0002,8 \cos(4D_0 + \lambda_0) + 0,0013,6$
"	"	"	E_0	"	"	$-0,0005,6 \sin E_0 - 0,0002,8 \sin(E_0 + \lambda_0) - 0,0002,8 \cos(E_0 + \lambda_0) + 0,0010,7$
"	"	"	F_0	"	"	$-0,0019,7 \sin F_0 + 0,0008,5 \sin 2F_0 + 0,0008,5 \sin(F_0 + \lambda_0) -$ $-0,0002,8 \sin(2F_0 + \lambda_0) - 0,0002,8 \cos(2F_0 + \lambda_0) + 0,0042,0$

Die bisher besprochenen Tafeln geben die Zeit des Eintrittes der Sonne in ein Zeichen in mittlerer Greenwicher Zeit, es kommt jedoch zweilen vor, dass man die Zeit des Eintrittes in wahrer Zeit ausgedrückt braucht; ein solcher Fall tritt z. B. ein, wenn man bei der Zeitrechnung der französischen Republik den Tag des 1. Vendemiaire, der dadurch definiert ist, dass die Herbstnachtgleiche nach wahrer Pariser Zeit nach dessen Mitternacht eintritt, für einen Grenzfall bestimmen will. Es wurde daher die mit „Correction für Zeitgleichung“

überschriebene Tafel hinzugefügt, welche für jede Zeile der Tafel I oder von 42000 zu 42000 Tagen für jedes Zeichen die Grösse: (Wahre Zeit — Mittlere Zeit) mit genügender Genauigkeit enthält. Die darin enthaltenen Zahlen sind ebenso wie die Werthe der Störungstafeln in Einheiten der vierten Decimale des Tages zu verstehen und enthalten den Ausdruck:

$$\begin{aligned} \text{Wahre Zeit} - \text{Mittlere Zeit} = & 0,1592 \operatorname{tg}^{\frac{1}{2}} \frac{t}{100} \sin 2\odot - 0,0794 \operatorname{tg}^{\frac{1}{2}} \frac{t}{100} \sin 4\odot + 0,000\,000\,240\,74 \left(\frac{t}{100}\right)^{\frac{3}{2}} \\ & - 0,00534 \sin g - 0,000\,0135 \frac{t}{100} \sin g + 0,000\,000\,044 \left(\frac{t}{100}\right)^{\frac{3}{2}} \sin g \end{aligned}$$

wobei $t = 23^{\circ}46'45'' + 1^{\circ}003\,2164 \frac{t}{100}$ gesetzt wurde.

B. Kalendariographische Tafeln.

Alle Zeitangaben in den Zodiakaltafeln sind in Tagen, welche seit dem Beginne der julianischen Periode verflossen sind, ausgedrückt und müssen erst in das Datum derjenigen Zeitrechnung, in welcher man die Zeitangabe zu haben wünscht, umgesetzt werden, was mit Hilfe der den Zodiakaltafeln folgenden kalendariographischen Tafeln leicht bewerkstelligt wird. Der Zweck dieser letzteren ist, ein in irgend einer Zeitrechnung gegebenes Datum möglichst einfach in dasjenige irgend einer anderen Zeitrechnung zu verwandeln, oder auch die Zwischenzeit zwischen zwei in derselben oder in zwei verschiedenen Zeitrechnungen gegebenen Daten leicht zu ermitteln. Eine genaue Bestimmung eines Zeitintervalles ist aber bei der ungleichen Länge der Monate und Jahre in allen Zeitrechnungen und den dabei auftretenden Schalttagen und Schaltmonaten nur dadurch zu erreichen, dass dasselbe in Tagen ausgedrückt wird, und man erreicht diesen Zweck am einfachsten, wenn man für jedes der in Betracht kommenden Daten seinen Abstand von einem bestimmten, als Ausgangspunkt der Zählung gewählten Tag ermittelt. Hierbei ist natürlich der Anfangspunkt völlig willkürlich, doch lag kein Grund vor, von der gewöhnlich angenommenen Zählung vom Anfange der julianischen Periode abzugehen. Da das Bedürfniss der Verwandlung von Zeitintervallen in Tage bei astronomischen Rechnungen häufig auftritt, so gibt sowohl die *Connaissance des Temps* als auch der *Nautical Almanac* Tafeln, welche dazu dienen, Daten gregorianischer oder julianischer Zeitrechnung in Tage der julianischen Periode zu verwandeln. Ich habe diesen Tafeln eine etwas andere Gestalt gegeben, welche mir für den Gebrauch bequemer schienen und es finden sich dieselben in dieser Form im zweiten Bande des „Lehrbuch zur Bahnbestimmung der Kometen und Planeten von Theodor K. von Oppolzer“ und in seinen Syzygientafeln. Indem ich nun für eine grössere Zahl anderer Zeitrechnungen eben solche Tafeln in derselben Anordnung berechnete, wobei jeder einzelnen Zeitrechnung noch ein kurzer erklärender Text hinzugefügt wurde, entstanden die vorliegenden kalendariographischen Tafeln. Sämmtliche Tafeln wurden nach demselben Principe construiert, indem überall eine grössere Reihe von Jahren in eine Periode zusammengefasst wurde, deren Anfangstage sich in den Tafeln I finden, während die Tafeln II die Zahl der Tage der einzelnen Jahre und Monate einer Periode enthalten. Die Tafeln II sind daher in sich abgeschlossen und kehren immer wieder, während die Tafeln I nur für einen bestimmten Zeitraum berechnet sind, und zwar finden sich dieselben für jede Zeitrechnung von ihrem Anfange bis ungefähr zum Tage 2600 000 der julianischen Periode. Um nun die Tafeln I beliebig weit fortsetzen zu können, falls man für einen speciellen Fall über die Grenzen derselben hinausgreifen wollte, folgt hier die Zusammenstellung der in den Tafeln I tabulirten Werthe.

Es enthält die Tafel I:

für das Jahr:	den Tag der julianischen Periode:
100 n + 27 der römischen Kaiser	1721 057 + 36525 n
100 n + 38 der spanischen Aera	1721 057 + 36525 n
100 n + 45 der Kalenderreform	1721 057 + 36525 n
1—100 n vor Christi Geburt (chronologisch)	1721 057 + 36525 n
100 n der christlichen Aera	1721 057 + 36525 n
100 n + 53 der Stadt Rom	1465 382 + 36525 n

für das Jahr:	den Tag der julianischen Periode
100 n → 13 der julianischen Periode	4 382 → 36525 n
400 n der gregorianischen Zeitrechnung	1721 059 → 146097 n
400 n → 100 „ „ „ „	1757 583 → 146097 n
400 n → 200 „ „ „ „	1794 107 → 146097 n
400 n → 300 „ „ „ „	1830 631 → 146097 n
40 n der byzantinischen Aera	— 290 862 → 14610 n
40 n → 3 der Seleuciden-Aera	1608 438 → 14610 n
40 n → 20 der antiochisch-caesarischen Aera	1710 708 → 14610 n
40 n → 27 der Aera Abrahams	994 848 → 14610 n
40 n → 3 der Seleuciden-Aera	1608 468 → 14610 n
40 n → 19 der antiochisch-caesarischen Aera	1710 738 → 14610 n
40 n der alexandrinischen Aera	— 288 673 → 14610 n
40 n → 30 der Aera des Panodorus	— 274 063 → 14610 n
40 n → 7 der Aera des Augustus	1712 897 → 14610 n
40 n → 14 der Aera Diocletians	1829 777 → 14610 n
33 n der dschelaleddinischen Aera	2114 870 → 12053 n
33 n → 30 der armenisch-dschelaleddinischen Aera	2126 923 → 12053 n
50 n der Aera Jezdegird	1951 697 → 18250 n
50 n der m^{ten} Handssternperiode	171 867 → 533265 m → 18250 n
50 n der Aera der Sündfluth	588 100 → 18250 n
50 n der Aera Nabonassars	1448 272 → 18250 n
50 n → 26 der Aera Philippi	1612 522 → 18250 n
50 n der armenischen Aera	1922 500 → 18250 n
52 n oder den Cycles n → 1 der Mexikaner	2119 181 → 18993 n
19 n der jüdischen Weltära	347 613 → $\left(\frac{35975351 n}{5184}\right)_r$
$\left(\frac{334 n - 21}{60}\right)_R$ des Cycles $\left(\frac{334 n - 21}{60}\right)_K$ der Chinesen	728 379 → 121 991 n
334 n → 280 der japanesischen Aera Nino	1582 316 → 121 991 n
3 der Olympiade 112 → 19 n der Griechen	1601 069 → 27 759 n
30 n der Türken (Aera der Hedschra)	Tafel 1a: 1948 085 → 10 631 n Tafel 1b: 1948 084 → 10 631 n

Überdies enthält Tafel I für das gregorianische Jahr 100 n als Kalenderzahl die Grösse¹:

$$100 \left[\frac{1+2n-\left(\frac{n}{4}\right)_r}{4} \right]_r + \left[\frac{26-11\left(\frac{5n}{19}\right)_r + n - \left(\frac{n}{4}\right)_r - \left(\frac{n - \left(\frac{n-17}{25}\right)_r}{3}\right)_r}{30} \right]_r + 0,96 - 0,05 \left(\frac{5n}{19}\right)_r - 0,01 \left[\frac{5n}{10} \right]_r,$$

für das julianische Jahr 100 n als Kalenderzahl die Grösse:

$$100 \left(\frac{3+n}{4} \right)_r + \left[\frac{26-11\left(\frac{5n}{19}\right)_r}{30} \right]_r + 0,96 - 0,05 \left(\frac{5n}{19}\right)_r - 0,01 \left[\frac{5n}{10} \right]_r;$$

¹ $\left(\frac{a}{b}\right)_r$ ist der Quotient, $\left(\frac{a}{b}\right)_R$ der Rest der Division von a durch b ; die Indices K und R bezeichnen dasselbe nur ist hierbei für den Fall, dass a ein Vielfaches von b , also gleich ab ist, der Rest $\left(\frac{a}{b}\right)_R$ nicht gleich 0 sondern gleich b und der Quotient $\left(\frac{a}{b}\right)_K$ nicht gleich n , sondern gleich $n-1$.

für das jüdische Jahr $19n$ als Kalenderzahl die Grösse $\left[\frac{6 + \left(\frac{13943n}{5184} \right)}{7} \right]_r$ und als dazu gehörigen Index, für $\left(\frac{3575n}{5184} \right)_r$ zwischen den Grenzen $0,0 - 25,8 : a$; $25,8 - 30,4 : b$; $30,4 - 35,0 : c$; $35,0 - 565,2 : d$; $565,2 - 864,0 : e$; $864,0 - 868,6 : f$; $868,6 - 1398,8 : g$; $1398,8 - 1403,4 : h$; $1403,4 - 1933,6 : i$; $1933,6 - 1938,2 : k$; $1938,2 - 2237,0 : l$; $2237,0 - 2767,2 : m$; $2767,2 - 2771,8 : p$; $2771,8 - 3306,6 : q$; $3306,6 - 3311,2 : s$; $3311,2 - 3841,4 : t$; $3841,4 - 3846,0 : n$; $3846,0 - 4144,8 : u$; $4144,8 - 4675,0 : x$; $4675,0 - 4679,6 : y$; $4679,6 - 5184,0 : z$;

für das Jahr der Hedschra $30n$ in Tafel I *a* als Kalenderzahl die Grösse: $\left(\frac{6 + 5n}{7} \right)_r$
 und für das Jahr der Hedschra $30n$ in Tafel I *b* als Kalenderzahl die Grösse: $\left(\frac{5 + 5n}{7} \right)_r$.

Die vorstehenden Formeln geben über die Berechnung des grössten Theiles der Tafeln genügenden Aufschluss, nur über einige Zeitrechnungen, welche complicirter Natur sind, sollen noch einige Bemerkungen gemacht werden. Die erste der diesbezüglichen Zeitrechnungen ist diejenige der französischen Republik; dieselbe hat keine bestimmte Schaltperiode, der Anfang des Jahres wird direct durch die astronomische Herbstnachtgleiche bestimmt, und es wechselt in Folge dessen die im Allgemeinen vierjährige Schaltperiode von Zeit zu Zeit mit einer fünfjährigen ab. Um die Tafel I zu bilden wurden die Eintritte der Herbstnachtgleiche nach wahrer Pariser Zeit mittelst der Zodiakaltafeln, und in Grenzfällen, wo die Genußigkeit dieser letzteren nicht zu genügen schien, wie z. B. für die Herbstnachtgleiche der Jahre 301 und 549, direct mittelst der Le Verrier'schen Tafeln gerechnet und dem entsprechend die Werthe in Tafel I gebildet; es ist also eine völlig strenge Fortsetzung dieser Tafel nicht durch eine einfache Formelberechnung möglich, doch kann man genähert die Tafel I fortsetzen, indem man für das Jahr $608 + 33n$ den Tag $2597\ 541 + 12053n$ annimmt. Eine zweite sehr complicirte Zeitrechnung ist das Sonnenjahr der Inder. Bei diesem wird die Länge des Jahres bis auf sehr kleine Bruchtheile des Tages genau zur Rechnung benützt, da aber in vorliegenden Tafeln durchaus nur ganze Tage in Verwendung kommen, so wurde eine Tafel entworfen, bei welcher durch Abwechslung zwischen zwei Perioden, einer 58- und einer 85jährigen, deren eine etwas zu gross, die andere dagegen etwas zu klein ist die Decimalen des Tages möglichst ausgeglichen werden. Um die Tafel fortzusetzen, wird man für ein Jahr, welches gleich einem der in Tafel I enthaltenen Jahre $+ 576n$ ist, die in Tafel I enthaltene Tageszahl um $210\ 389n$ Tage vermehren. Noch complicirter ist das indische Lunisolarjahr und es ist bei diesem eine völlig strenge Reduction ohne weitläufige astronomische Rechnungen überhaupt nicht möglich. Es wurde daher eine Tafel entworfen, welche wenigstens die möglichste Näherung gewährt, indem eine Periode von 122 Jahren mit einer 19jährigen abwechselt. Um die Tafel I fortzusetzen wird man für ein Jahr, welches gleich einem der in Tafel I enthaltenen Jahre $+ 1944n$ ist, die zugehörige Tageszahl um $710\ 063n$ vermehren.

Bei der Zeitrechnung der Juden ist eine strenge Fortsetzung von Tafel I ohne Schwierigkeit durchführbar und es ist auch oben die betreffende Formel dafür gegeben worden; da aber diese Zeitrechnung ziemlich complicirt ist, so sollen hier noch einige Bemerkungen über die Berechnung der Tafel folgen. Aus der bekannten Gauss'schen Formel für das Osterfest der Juden findet sich, wenn man Ostern des Jahres 0 berechnet, den dazu gehörigen Tag der julianischen Periode bestimmt, und beachtet, dass der 0 Tischi des folgenden Jahres um 162 Tage später eintritt, nach einigen einfachen Transformationen folgender Ausdruck für den Anfang des jüdischen Jahres $19n + p$:

Setzt man

$$347605 \frac{78528}{98496} + 6939 \frac{3575}{5184} n + 305 \frac{24311}{98496} p + 1 \frac{272953}{492480} \left(\frac{12p+5}{19} \right)_r = M + m; \quad r = \left(\frac{M+1}{7} \right)_r,$$

wo M die Ganzen der Zahl, m den Bruch bedeutet, so fällt der 0 Tischi des Jahres $19n + p$ für:

$c = 2, 4, 6 \dots$ auf den Tag $M + 1$ der julianischen Periode,

$c = 1; \left(\frac{12p+5}{19}\right)_r > 6; m \leq \frac{311676}{492480} \dots n \dots n \dots M + 2 \dots n \dots n$

$c = 0; \left(\frac{12p+5}{19}\right)_r > 11; m \leq \frac{442111}{492480} \dots n \dots n \dots M + 1 \dots n \dots n$

in allen anderen Fällen $\dots n \dots n \dots M \dots n \dots n \dots$

Dieser Ausdruck wurde in der Weise tabulirt, dass in Tafel I die Grösse $347613 + 6939 \frac{3575}{5184} n$ und

zwar die Ganzen dieser Zahl oder $M_0 + 8$ als Tag der julianischen Periode, $\left(\frac{M_0}{7}\right)_r = c_n$ als Kalenderzahl und

der Bruch m_n als Index dieser Kalenderzahl und zwar nach dem pag. 6 angeführten Grenztäfleichen durch einen Buchstaben angedrückt, angesetzt wurde, während in Tafel II der von p abhängige Theil der Formel aufgenommen wurde, wobei sich sowohl was den Anfangstag als was die Dauer des Jahres anbelangt, für jeden einzelnen Werth von p verschiedene Werthe ergaben je nach der Annahme, die man über c_n und m_n machen konnte. Es mussten also auch noch die Grenzen für c_n und m_n berechnet werden, für welche die verschiedenen Werthe der zu demselben Jahre gehörenden Zeilen der Tafel II gelten. Die hierfür nöthigen Formeln lassen sich leicht aus der obigen Formel ableiten, wenn man berücksichtigt, dass die Dauer des Jahres vom Anfangstage des nächstfolgenden abhängt.

Die letzte der complicirten Zeitrechnungen endlich ist die chinesische, und es lässt sich bei derselben keine strenge Formel für den Anfang jedes einzelnen Jahres und Monates angeben, da diese von der astronomischen Rechnung abhängen: es findet sich aber im Wan Nian schu oder Buche der zehntausend Jahre eine Tabelle, welche die Länge der einzelnen Monate für die ganze Dauer der jetzigen Dynastie enthält und nach dieser ist Tafel II zusammengestellt, zu welchem Zwecke Herr Franz Kühnert den chinesischen Originaltext zu übersetzen die Güte hatte. Man erhält aber nur für die Zeit vom Tage 2314 262 der julianischen Periode bis zum Tage 2459 227 völlig strenge Daten, für die übrige Zeit musste man sich mit der Annäherung begnügen, dass nach je 334 Jahren sehr nahe dieselben Verhältnisse wiederkehren, doch sind die nöthigen Hilfsmittel angegeben, um das Datum völlig scharf zu bestimmen, wenn der cycelische Tag gegeben ist.

Im Allgemeinen muss noch bemerkt werden, dass sämtliche Tafeln nur den Zweck haben sollen, die Verwandlung eines Datums einer Zeitrechnung in dasjenige einer anderen möglichst einfach und übersichtlich zu gestalten, indem sie alle nach demselben Principe construiert sind, und die Verwandlung gestatten, ohne dass man nöthig hätte, sich um den Bau der betreffenden Zeitrechnung oder um die Gattung des vorgelegten Jahres irgendwie zu bekümmern, dass sie aber durchaus nicht den Anspruch machen, etwa auf selbständige chronologische Untersuchungen basirt zu sein; einzelne beruhen sogar auf sehr unsicheren Grundlagen, wie z. B. die Zeitrechnung der Mexikaner, welche lediglich auf Humboldt's Darstellung aufgebaut ist, und dort, wo mehrere Ansichten über eine Zeitrechnung die gleiche Berechtigung zu haben scheinen, wie z. B. bei der Aera der Hedschra wurden für jede derselben Tafeln entworfen, da eine kritische Entscheidung über die grössere Berechtigung der einen oder der anderen Anschauung Sache des Chronologen und Geschichtsforschers, nicht aber des Rechners ist. Doch wurden überall die möglichst besten und zuverlässigsten Angaben den Tafeln zu Grunde gelegt und es wurden besonders benützt: Ideler's Handbuch der Chronologie, die Art de verifier les Dates, Boyer's Traité du Calendrier, Matzka's Chronologie, Mommsen's römische Chronologie, Ideler's Zeitrechnung der Chinesen, Priusep's Essays on Indian Antiquities, Warren's Kāla Sankalita, die Surya Siddhanta und das Wan nian schu.

Die Richtigstellung der Orthographie der indischen Namen verdanke ich der Güte des Herrn Prof. G. Böhler.

Endlich wurden den einzelnen Zeitrechnungen Bemerkungen angehängt, welche nur den Kalender, die Festtage und dergleichen betreffen, und welche wohl keiner näheren Erläuterung bedürfen. Es soll nur noch zum Schlusse als Beispiel ein Datum einer Zeitrechnung in diejenigen aller anderen verwandelt werden und ich wähle hierzu den 1. Vendemiaire des Jahres 1, da dieser als der jüngsten Zeitrechnung angehört, durch alle anderen ausgedrückt werden kann.

Es entspricht der 1. Vendemiaire des Jahres 1 dem:

- | | |
|--|-----------------------------------|
| 11. September 1792 christlich julianischer Zeitrechnung; | |
| 11. September 6505 der julianischen Periode; | |
| 11. September 2545 der Stadt Rom; | |
| 11. September 1837 der Kalenderreform; | |
| 11. September 1830 der spanischen Aera; | |
| 11. September 1819 der römischen Kaiser; | |
| 22. September 1792 christlich-gregorianischer Zeitrechnung; | |
| 11. September 7301 der byzantinischen Aera; | |
| 11. Gorpäus oder Elnl 1841 der antiochisch-caesarischen Aera | } Jahresanfang mit Gorpäus; |
| 11. Gorpäus oder Elnl 2104 der Seleuciden-Aera | |
| 11. September 3807 der Aera Abrahams; | |
| 11. Gorpäus oder Elnl 1839 der antiochisch-caesarischen Aera | } Jahresanfang mit Hyperberetäus; |
| 11. Gorpäus oder Elnl 2103 der Seleuciden-Aera | |
| 14. Thot 7285 der Aera des Panodorus; | |
| 14. Thot 1822 der Aera des Augustus; | |
| 14. Thot 1509 der Aera Diocletians; | |
| 7. Mühr 714 der Aera Dschelaleddins; | |
| 7. Thirai 711 der armenisch-dschelaleddinischen Aera; | |
| 13. Ferwerdin 1162 der Aera Jezlegird; | |
| 5. Mesori 4897 der Aera der Sindhut; | |
| 13. Chojak 2541 der Aera Nabonassars; | |
| 13. Chojak 2117 der Aera Philippi; | |
| 10. Navasardi 1242 der armenischen Aera; | |
| 20. Ochpalitzli 703 der Mexikaner; | |
| 10. Āśvina 4894 des Kaliyuga, | } Sonnenjahr; |
| 10. Āśvina 969 des III. Cyclus Paraśurāma, | |
| 10. Āśvina 17 des 21. Cyclus Grahaparivritti, | |
| 10. Āśvina 1715 Śaka Śālivāhana, | |
| 10. Āśvina 1200 Vilājatī San, | |
| 10. Āśvina 1200 Fasli Jahr, | } Lunisolarjahr; |
| 10. Āśvina 1199 Bengali San; | |
| 6. Āśvina 4894 des Kaliyuga, | |
| 6. Āśvina 2336 der buddhistischen Aera, | |
| 6. Āśvina 1850 Samvat Vikramāditya, | |
| 6. Āśvina 1475 Valabhī Samvat, | } Lunisolarjahr; |
| 6. Āśvina 680 Śiva Simha Samvat, | |
| 6. Āśvina 1155 burmesische Aera, | |
| 6. Āśvina 1200 Fasli Jahr der Westprovinzen; | |
| 6. Tischri 5553 der Juden; | |
| 7. Tag des 8. Monats des 49. Jahres des 74. Cyclus der Chinesen; | |
| 7. Tag des 8. Monats des Jahres 2452 der Aera der Japanesen; | |
| 28. Boëdromion des 4. Jahres der 642. Olympiade der Griechen; | |
| 5. Safar 1207 der Hedschra nach dem türkischen Volkskalender; | |
| 6. Safar 1207 der Hedschra nach den arabischen Astronomen. | |

Zodiakaltafel

zur Berechnung der Zeit des Eintrittes der Sonne in die Zeichen des Thierkreises.

Nach Le Verrier's Sonnentafeln.

Einrichtung und Gebrauch der Zodiakaltafel.

Diese Tafel dient dazu, die Zeit des Eintrittes der Sonne in irgend ein Zeichen des Thierkreises zu berechnen. Die Tafel zerfällt in die zwei Haupttafeln I und II und sechs Störungstafeln A, B, C, D, E und F . Tafel I gibt für jedes Zeichen von 115 zu 115 Jahren die Zeit, zu welcher die mittlere Länge der Sonne + Mittelpunktsgleichung + $1'' \sin(84'' - 4'' - 3'') + 6'' \cos(84'' - 4'' - 3'') + 1'' \sin 2\odot$ gleich wird der Länge dieses Zeichens, also die Zeiten, zu welchen die Sonne ohne Rücksicht auf Störungen in dieses Zeichen treten würde. Diese Zeiten sind in Tagen der julianischen Periode angegeben und es ist hierbei zu bemerken, dass nur die drei letzten, einzelne Tage ausdrückenden Ziffern bei jedem Zeichen geschrieben sind, die ersten, Tausende von Tagen ausdrückenden Ziffern dagegen in jeder Zeile nur einmal bei dem Zeichen \odot sich vorfinden und den Zahlen der anderen Columnen vorzusetzen sind. Ausserdem enthält Tafel I in sechs Columnen die Werthe der Argumente A, B, C, D, E und F , welche in Centesimalgraden angegeben sind und daher die Periode 100 haben.

Tafel II gibt die Zeit sowohl als die Argumente von Jahr zu Jahr innerhalb 115 Jahren, enthält aber noch eine Column τ . Die Werthe dieser Column sind mit dem entsprechenden Werthe aus der Säcularafel zur Tafel I zu multipliciren und das Product mit seinem Zeichen an die Zeit des Eintrittes anzubringen um die Säcularglieder zu berücksichtigen. Um diese Multiplication zu erleichtern, befindet sich auf pag. 14 eine Multiplicationstafel.

Mit den Argumenten $A = A_1 + A_2, B = B_1 + B_2, C = C_1 + C_2, D = D_1 + D_2, E = E_1 + E_2$ und $F = F_1 + F_2$ geht man beziehungsweise in die Tafeln, welche sich für diese Argumente vorfinden ein, und entnimmt aus jeder derselben die zugehörige Störung. Hierbei ist zu beachten, dass für alle Zeichen dieselben Argumente gelten.

A enthält die Nutation, B die Mondgleichung, C und D Venusglieder, E Marsstörung und F die Jupiterstörung. Die Summe aller so erhaltenen Werthe gibt die Zeit des Eintrittes der Sonne in das vorgelegte Zeichen in Tagen der julianischen Periode und in deren Decimalen nach mittlerer Greenwicher Zeit; will man die Zeit des Eintrittes nach wahrer Zeit haben, so ist noch die Correction für Zeitgleichung aus der letzten Tafel anzubringen.

Die Resultate, welche diese Tafel gibt, werden, da nur Störungsglieder mitgenommen sind, welche $1''$ erreichen, von der Wahrheit um eine oder höchstens um nicht ganz zwei Zeiteinheiten abweichen. Die vierte Stelle des Tages ist daher nur mitgenommen, damit bei der Addition von neun Grössen die dritte Stelle nicht verfälscht werde.

Die Rechnung stellt sich verschieden nach dem Grade der Genauigkeit, welcher verlangt wird; in den meisten Fällen wird es ausreichen, sich mit der Genauigkeit von etwa zwei Stunden zu begnügen. Dann hat man nichts anderes zu thun, als die Zahl aus Tafel I zur Zahl aus Tafel II zu addiren, ohne irgend eine Correction anzubringen.

Es soll z. B. untersucht werden, ob die Beobachtung, nach welcher Ptolemäus am 9. Atyr des Jahres 887 Nabonassars die Herbstnachtgleiche fand, richtig sei.

Der 9. Atyr 887 Nabonassars entspricht dem Tage 1772 096 der julianischen Periode, Tafel I. . . 1764 424,2999
Tafel II. 7 670,0905
1772 094,3904.

Es ist also die Beobachtung nicht ganz richtig, und wie man sieht, wäre es ganz überflüssig die Rechnung genauer zu führen.

Störmer rechnet in seinen Sonnentafeln das Sommersolstitium des Jahres — 431 und findet, es sei am 28 Juni 1^{2m} Greenwicher Zeit eingetreten. Juni 28 des Jahres — 431 entspricht dem Tage 1563 811 der julianischen Periode. Die genaue Rechnung stellt sich also:

	T	A	B	C	D	E	F	τ
Tafel I	1554 317,7415	136	291	195	225	169	156	— 618
Tafel II	9 196,3925	241	230	295	189	259	77	0,26
		377	121	90	14	28	233	
Tafel A 377	28							
Tafel B 121	6							
Tafel C 90	31							
Tafel D 14	5							
Tafel E 28	19							
Tafel F 233	26							
Mult. Taf. $0,26 \times - 618$	— 161							

Zeit des Eintrittes in $\odot = 1563 814,9424 = - 431$ Juni 28, 1^{1m} Greenwicher Zeit.

Wann tritt im Jahre 1875 die Sonne in das Zeichen γ ? Es ist also der, dem Beginn des Jahres 1875 oder dem Tage 2405 890 julianischer Periode zunächst folgende Eintritt zu suchen:

	T	A	B	C	D	E	F	τ
Tafel I	2394 556,9312	308	297	335	71	102	149	+ 352
Tafel II	11 687,7399	112	314	391	387	12	280	0,32
		20	211	329	58	114	29	
Tafel A 20	52							
Tafel B 211	34							
Tafel C 329	72							
Tafel D 71	5							
Tafel E 114	14							
Tafel F 29	11							
Mult. Taf. $0,32 \times + 352$	+ 113							

Zeit des Eintrittes in $\gamma = 2406 244,7182 = 1875$ December 21, 17¹⁴ 2^m Greenwicher Zeit oder 17²⁴ 2^m Pariser Zeit. Die Commission gibt den Eintritt für Pariser Zeit December 21, 17^{25m}.

Zodiaktafel
Tafel I.

0° ♈ Aries	30° ♉ Taurus	60° ♊ Gemini	90° ♋ Cancer	120° ♌ Leo	150° ♍ Virgo	180° ♎ Libra	210° ♏ Scorpio	240° ♐ Sagittarius	270° ♑ Capricorn	300° ♒ Aquarius	330° ♓ Pisces	A.	B.	C.	D.	E.	F.
119.0792	150.5020	181.9495	212.4710	242.1472	271.0253	300.9408	330.3528	360.1281	389.4479	421.3540	452.7213	386	399	393	289	254	209
42 121.0040	151.4020	184.5209	215.0797	245.0907	274.5091	301.9112	331.3120	361.0810	390.3108	422.1668	455.5020	314	39	31	341	370	89
84 124.7290	152.2197	187.1874	217.0845	247.0904	277.5529	306.8810	332.2680	362.0572	391.2314	422.0081	458.3043	242	179	48	394	87	306
120 127.5577	150.6753	186.6153	216.2862	246.9101	276.5811	307.8501	333.2205	363.0181	392.1260	422.0260	461.2265	170	320	75	40	203	248
168 131.0107	149.0080	184.1113	215.2278	245.7385	275.7027	312.8188	334.1855	364.8513	393.0425	421.7874	464.0594	99	60	102	98	308	128
210 133.1981	184.7049	188.2421	220.0804	256.8024	286.4239	315.7905	335.1451	364.7808	394.0248	425.0490	466.8930	27	200	159	151	37	8
252 130.0203	197.5711	198.9572	220.5720	259.7314	290.3886	318.7440	338.1052	367.7228	397.8257	428.1281	469.7270	355	341	302	203	153	287
294 138.8421	170.3990	201.0821	212.4025	242.0575	272.2427	321.7203	341.0950	368.6602	397.2885	431.3782	472.5930	284	81	183	255	270	107
330 141.0055	172.2205	204.5152	213.3480	245.5260	275.2642	324.6559	344.0250	371.8100	398.1930	434.2152	475.3994	222	221	210	308	387	47
378 144.5847	170.0518	207.3810	218.2121	248.5010	278.2181	327.6502	346.0870	374.0535	399.1593	437.1139	478.2360	139	362	237	300	313	326
420 147.3050	178.5751	210.2271	224.1120	271.4181	291.1910	330.0112	350.9175	380.4701	399.4470	449.9541	481.0748	69	102	204	12	220	206
462 150.1200	181.0977	213.0097	223.0880	274.3320	294.1302	331.5747	352.0078	382.0205	422.1501	454.8550	485.9130	397	242	201	05	337	80
504 152.0401	181.5475	215.0077	223.7424	275.0706	295.0544	332.6444	353.2095	383.1023	423.2662	455.8000	487.7533	355	383	188	117	53	305
546 155.7050	187.3380	218.7490	224.7311	280.1491	300.0772	334.0942	354.8287	384.3048	424.1780	458.0005	490.5937	254	123	100	170	245	
588 158.5585	190.5130	221.5309	225.5075	283.0520	302.0515	334.4485	357.1782	387.2474	41.09007	461.4784	492.4550	182	263	372	222	287	124
630 161.4049	192.8628	224.4120	225.4004	285.0510	311.8808	335.4029	357.4420	388.0108	414.0047	464.3554	495.2772	111	4	399	274	3	4
672 164.2241	195.7828	227.1477	225.1191	288.9497	318.8171	338.3548	357.7060	389.1144	416.0108	467.2330	498.1205	397	244	20	320	120	284
714 167.0441	198.5950	228.0085	226.1170	291.7410	321.7440	341.3052	358.0509	390.0780	417.0123	470.1140	500.0050	299	181	53	378	230	103
756 169.8641	201.1085	232.8911	234.0297	294.6131	324.6094	344.2537	358.1012	391.0212	417.5414	472.9908	503.8109	299	25	81	31	353	43
798 172.6851	204.2199	235.7158	236.8801	297.5420	327.9591	357.2004	360.0791	391.9508	418.0733	475.8794	506.6824	224	105	68	3	70	23
840 175.5050	207.0310	238.5367	240.7282	300.4044	331.0510	360.1454	360.5215	392.1181	418.9400	478.7640	509.5974	153	305	135	135	180	202
882 178.3201	209.8417	241.3559	272.5131	301.2852	333.4770	361.0884	362.4752	392.8100	421.5104	481.6522	512.3581	41	40	162	188	303	82
924 181.1524	212.6522	244.1715	275.4100	302.1931	336.4100	362.0920	363.4281	393.8007	424.4007	484.5414	515.2105	10	180	180	210	20	202
966 183.9707	215.1027	246.0085	278.2500	303.0918	339.2528	363.0087	364.3801	394.7551	427.3943	487.4374	518.0004	338	320	210	292	130	342
1008 186.8051	217.2722	248.8639	281.0911	311.0910	342.1010	371.9050	365.1310	396.7005	429.2902	490.3251	520.7278	107	47	243	345	153	121
1050 189.6280	221.0517	251.7280	283.9230	314.7788	345.0460	374.8401	366.2809	397.6447	431.2102	493.2193	523.7204	105	207	397	370	1	1
1092 192.4545	223.8000	255.4257	286.7598	317.9441	347.9910	377.7721	367.3280	398.5930	434.1446	496.1500	526.3306	123	347	297	40	80	260
1134 195.2825	226.5378	258.1231	290.5884	321.6000	350.9076	380.9042	368.4200	399.6728	437.0720	499.0120	529.0090	54	88	124	102	100	245
1176 198.1110	229.5081	261.0449	293.7211	325.1045	353.7017	383.6027	369.4424	400.7280	440.0010	501.0012	532.3583	380	281	151	154	19	39
1218 200.9401	232.1077	263.8511	295.2380	328.2195	356.5113	386.5514	370.0028	401.7300	441.0000	502.0000	535.2211	199	368	378	200	30	319
1260 203.7705	235.1249	266.6535	298.0595	329.0791	359.4211	389.4720	371.0037	404.7145	442.8007	502.7100	538.0853	217	100	5	259	153	189
1302 206.6011	237.9331	269.4509	300.8778	331.0194	362.3202	392.3807	372.0020	407.6951	445.1800	503.0011	540.0099	160	240	32	311	209	78
1344 209.4341	240.7445	272.2501	303.6810	334.7048	365.1077	395.2607	373.0011	408.5805	447.5204	513.3404	543.8180	94	380	59	303	308	358
1386 212.2677	243.5502	275.0630	306.5070	337.0006	368.1850	398.2100	374.0011	409.4525	448.0511	516.4188	546.0085	22	130	80	10	103	238
1428 215.1029	246.3595	277.8630	309.3319	340.4401	371.0010	401.1200	375.0011	410.3285	449.5853	519.3743	549.5573	351	270	113	08	109	117
1470 217.9390	249.1695	280.6637	312.1295	343.2827	373.9330	404.0240	376.0011	411.2040	450.5139	522.3231	552.4290	280	10	140	120	336	397
1512 220.7749	251.9804	283.4803	315.0437	346.1267	376.8024	406.9400	377.0011	412.0800	451.4401	523.1399	555.3038	208	151	168	173	53	277
1554 223.6111	254.7922	286.2929	317.9445	348.9804	379.6682	409.8730	378.0011	412.9500	452.3600	524.0401	558.1708	130	291	195	225	100	100
1596 226.4599	257.6049	289.0621	320.8455	351.7799	382.5311	412.7101	379.0011	413.8200	453.2800	525.0000	561.0577	65	31	222	277	286	30
1638 229.3094	260.4180	291.8010	323.7553	354.6901	385.3914	415.5213	380.0011	414.6900	454.2000	526.0000	564.0000	171	249	330	3	310	
1680 232.1484	263.2312	294.6507	326.6555	357.4307	388.2813	418.3241	381.0011	415.5600	455.1200	527.0000	567.0000	322	312	270	382	119	195
1722 234.9949	266.0445	297.4581	329.5558	360.2479	391.1010	421.0551	382.0011	416.5300	456.1400	528.0000	570.0000	251	52	303	1	280	75
1764 237.8429	268.8580	300.2592	332.4560	363.0958	393.9123	423.7900	383.0011	417.5000	457.1600	529.0000	573.0000	179	102	30	30	352	354
1806 240.6919	271.6724	303.0611	335.9561	365.9881	396.7902	426.5240	384.0011	418.4700	458.1800	530.0000	576.0000	108	323	357	139	09	234
1848 243.5427	274.5001	305.8555	338.9117	368.9400	399.6828	429.2600	385.0011	419.4400	459.2000	531.0000	579.0000	37	384	101	180	114	
1890 246.3940	277.3188	308.6802	341.8118	371.8941	402.4820	432.0177	386.0011	420.4200	460.2200	532.0000	582.0000	305	213	11	243	302	304
1932 249.2477	280.1385	311.4405	344.7247	374.8110	405.3108	434.8101	387.0011	421.4000	461.2400	533.0000	585.0000	294	154	38	290	19	273
1974 252.1025	282.9594	314.2445	347.6205	377.7109	408.1615	437.6792	388.0011	422.3800	462.2600	534.0000	588.0000	222	94	58	348	130	51
2016 254.9587	285.7813	317.0420	348.5174	379.6109	410.0582	440.5401	389.0011	423.3600	463.2800	535.0000	591.0000	151	234	92	0	252	32
2058 257.8160	288.6040	319.9385	351.4071	382.7209	413.8120	443.4077	390.0011	424.3400	464.3000	536.0000	594.0000	79	374	119	53	309	122
2100 260.6763	291.4299	322.8363	354.3000	385.5201	416.6171	447.2073	391.0011	425.3200	465.3200	537.0000	597.0000	8	115	140	105	80	192
2142 263.5377	294.2505	325.4393	357.2000	388.3170	419.4599	450.1240	392.0011	426.3000	466.3400	538.0000	598.0000	330	255	173	157	702	71
2184 266.4010	297.0818	328.2401	360.0978	391.1118	422.2700	453.0400	393.0011	427.2800	467.3600	539.0000	601.0000	305	395	200	210	119	351
2226 269.2690	299.9148	331.0418	362.9914	393.9080	425.0970	455.9500	394.0011	428.2600	468.3800	540.0000	604.0000	104	136	127	202	35	230
2268 272.1380	302.7494	333.8449	365.7940	396.7010	427.9120	458.8600	395.0011	429.2400	469.4000	541.0000	607.0000	122	270	254	314	152	110
2310 275.0012	305.5797	336.6485	368.6001	399.4935	430.7215	461.7700	396.0011	430.2200	470.4200	542.0000	610.0000	51	16	281	306	400	390
2352 277.8710	308.4120	339.4520	371.4082	402.2825	433.5314	464.6800	397.0011	431.2000	471.4400	54							

Säulenglieder zu Tafel I.

0° Υ	30° II	60° III	90° IV	120° V	150° VI	180° VII	210° VIII	240° IX	270° X	300° XI	330° XII
-443-316-50	-277-772	-818-705	-457-130	177-391							
-451-330-77	-248-551	-757-813	-709-470	-150-105	188						
-457-354-101	-221-528	-741-809	-715-482	-105-152	183						
-464-371-125	-90-504	-724-802	-719-495	-181-140	377						
-465-385-151	-168-482	-701-797	-724-508	-118-124	371						
-470-401-174	-241-457	-693-790	-729-519	-214-110	393						
-474-410-197	-310-434	-677-781	-731-531	-230-95	350						
-477-430-221	-385-409	-657-775	-734-543	-245-84	347						
-479-443-243	-460-382	-638-768	-734-559	-260-66	340						
-482-458-268	-531-355	-617-754	-732-559	-273-53	331						
-486-471-293	-603-327	-594-741	-730-580	-285-42	320						
-490-488-317	-678-297	-571-725	-725-570	-296-29	318						
-491-503-342	-758-267	-549-710	-724-575	-307-18	312						
-495-510-365	-838-237	-521-694	-718-578	-317-0	304						
-495-520-388	-917-207	-499-677	-708-582	-328-0	297						
-499-539-411	-1000-177	-470-660	-703-586	-337-0	287						
-492-550-434	-1078-148	-440-644	-690-590	-347-0	277						
-488-559-459	-1160-120	-422-625	-680-594	-361-0	264						
-483-563-486	-1245-94	-408-612	-665-598	-373-0	250						
-476-597-487	-1337-67	-393-597	-649-603	-386-0	237						
-469-570-497	-1431-41	-381-584	-627-607	-398-0	223						
-460-572-510	-1527-16	-370-568	-605-611	-410-0	208						
-451-579-524	-1625-9	-359-550	-584-614	-423-0	193						
-444-577-538	-1725-18	-347-532	-562-617	-435-0	178						
-439-581-553	-1827-47	-335-515	-540-620	-447-0	164						
-430-583-567	-1931-22	-323-497	-518-623	-459-0	152						
-423-586-582	-2037-48	-311-480	-496-626	-471-0	141						
-410-589-590	-2145-105	-300-462	-474-629	-483-0	128						
-409-591-610	-2255-183	-288-444	-452-632	-495-0	117						
-401-592-633	-2367-162	-276-426	-430-635	-507-0	105						
-391-592-633	-2481-74	-264-408	-408-638	-519-0	93						
-381-590-643	-2597-20	-252-390	-386-641	-531-0	81						
-370-588-651	-2715-27	-240-372	-364-644	-543-0	69						
-358-581-658	-2835-32	-228-354	-342-647	-555-0	57						
-344-570-665	-2957-37	-216-336	-320-650	-567-0	45						
-330-569-665	-3081-41	-204-318	-298-653	-579-0	33						
-315-561-667	-3207-46	-192-300	-276-656	-591-0	21						
-300-553-670	-3335-51	-180-282	-254-659	-603-0	9						
-285-544-673	-3465-56	-168-264	-232-662	-615-0	28						
-272-530-675	-3597-60	-156-246	-210-665	-627-0	16						
-250-520-677	-3731-65	-144-228	-188-668	-639-0	5						
-240-522-679	-3867-70	-132-210	-166-671	-651-0	3						
-230-518-683	-4005-75	-120-192	-144-674	-663-0	21						
-223-507-684	-4145-80	-108-174	-122-677	-675-0	9						
-212-501-685	-4287-85	-96-156	-100-680	-687-0	27						
-201-492-687	-4431-90	-84-138	-78-683	-699-0	15						
-188-482-688	-4577-95	-72-120	-56-686	-711-0	3						
-175-471-688	-4725-100	-60-102	-34-689	-723-0	21						
-160-460-687	-4875-105	-48-84	-12-692	-735-0	9						
-144-446-672	-5027-110	-36-66	10-695	-747-0	27						
-130-432-663	-5181-115	-24-48	28-698	-759-0	15						
-111-417-657	-5337-120	-12-30	46-701	-771-0	3						
-98-403-649	-5495-125	0-12	64-704	-783-0	21						
-83-389-639	-5655-130	12-6	82-707	-795-0	9						
-69-374-631	-5817-135	24-18	100-710	-807-0	27						
-57-362-623	-5981-140	36-30	118-713	-819-0	15						
-44-349-610	-6147-145	48-42	136-716	-831-0	3						
-35-337-600	-6315-150	60-54	154-719	-843-0	21						
-24-325-601	-6485-155	72-66	172-722	-855-0	9						
-16-315-595	-6657-160	84-78	190-725	-867-0	27						
-6-304-580	-6831-165	96-90	208-728	-879-0	15						
-3-294-578	-7007-170	108-102	226-731	-891-0	3						

Zodiakaltafel.

Tafel II.

Υ	II	III	IV	V	VI	VII	VIII	IX	X	XI	XII
Υ	II	III	IV	V	VI	VII	VIII	IX	X	XI	XII
0.00000	0	0	0	0	0	0	0	0	0	0	0
305.2424	379	147	150	300	25	34.001	21	549.3018	312	291	38
730.4848	357	205	300	199	51	97.002	21	944.5442	111	38	188
1.095.7272	336	42	49	99	70	101.005	22	279.7806	289	180	138
1.460.9696	314	189	199	393	101	135.000	23	545.0290	268	331	88
1.820.2120	293	117	349	127	109	0.055	23	010.2714	240	80	217
2.101.4544	271	34	99	198	152	200.009	23	375.5138	225	228	387
2.550.8880	250	218	240	97	178	230.005	23	740.7599	203	175	137
2.921.9328	228	128	308	307	279	0.085	23	279.7806	182	122	287
3.287.1810	207	120	148	299	228	304.000	24	2471.2404	160	270	37
3.652.4240	185	271	298	199	254	137.010	24	28.450.4814	139	17	180
4.017.0004	164	20	48	305	379	0.111	24	201.7258	117	101	270
4.382.9088	142	108	158	305	304	50.125	24	506.0982	90	211	80
4.748.1512	121	151	147	295	330	390.135	24	932.2100	74	2	30
5.113.3930	100	92	97	194	355	770.144	29	297.4530	51	209	380
5.478.8390	78	210	247	94	380	1000.115	29	002.0954	31	351	135
5.843.8784	59	157	397	99	410	0.110	27	027.9328	10	285	100
6.209.1208	35	104	147	293	31	314.74	17	27.304.1207	38	248	35
6.574.3012	13	252	290	161	57	290.70	17	375.4207	107	185	380
6.939.0057	102	199	49	92	82	812.410	19	18.121.0085	145	141	335
7.304.8481	170	140	199	392	107	275.26	26	488.0074	324	290	84
7.670.2905	149	293	151	111	108	0.212	26	110.1080	262	108	178
8.035.3120	127	47	99	191	153	142.022	26	219.3022	254	185	174
8.400.5751	109	188	245	109	181	279.212	26	583.6440	232	112	114
8.765.8177	284	135	393	199	104	100.24	29	049.8720	279	284	106
9.131.0601	263	83	145	290	234	43.255	30	315.1104	210	220	33
9.490.3025	241	230	295	189	259	77.20	26	200.3080	163	174	183
9.861.5449	220	137	45	30	285	114.27	11	045.0462	117	124	333
10.226.7873	198	125	194	388	310	115.0	28	31	040.8400	152	265
10.592.0207	177	272	314	288	330	178.200	28	117.700.095	100	10	233
10.957.2721	155	10	91	188	301	212.00	30	124.3314	109	103	382
11.322.5145	134	100	244	87	380	249.00	31	12.500.5728	110	112	261
11.687.7599	112	184	394	387	12	276.00	32	11.072.3011	95	332	101
12.052.0053	91	101	143	298	37	113.00	31	11.237.0586	41	205	321
12.418.2474	70	208	294	190	07	147.324	32	4.952.3011	213	157	182
12.783.4841	48	150	43	85	88	381.35	33	090.75415	1	100	123
13.148.7205	29	103	151	185	111	410.20	33	116.7580	302	247	341
13.513.9698	5	250	143	285	158	48	37	44.000.828	338	394	231
13.879.2113	383	393	92	184	104	82.30	35	010.2707	337	141	181
14.244.4532	302	145	242	84	189	110.19	35	5.428.5131	315	260	311
14.609.6901	280	292	383	214	149	40.055	37	7555.204	30	280	180
14.974.9385	259	40	142	283	240	183.0	40	18.509.0799	272	183	30
15.340.1809	237	187	292	183	265	217.42	40	52.240.245	251	331	360
15.705.4333	216	134	41	82	291	251.43	40	880.4782	237	78	120
16.070.6657	254	82	391	130	294	284.00	41	254.7251	208	225	80
16.435.9081	233	290	341	281	341	318.0	45	17.010.9975	187	173	227
16.801.1505	211	170	94	181	397	352.400	47	085.2093	120	370	157
17.1											

Zodiakaltafel.

Argument A.												Argument B.										Argument C.															
Arg.	0°	30°	60°	90°	120°	150°	180°	210°	240°	270°	300°	Arg.	0°	30°	60°	90°	120°	150°	180°	210°	240°	270°	300°	Arg.	0°	30°	60°	90°	120°	150°	180°	210°	240°	270°	300°		
0	49	48	40	45	43	42	41	39	38	37	30	0	24	21	10	10	5	2	1	1	1	1	1	0	40	51	51	45	33	20	10	7	13	27	44	00	
10	50	55	54	52	51	50	48	47	40	44	43	10	22	18	13	8	3	1	1	2	2	2	2	2	0	40	48	51	49	39	26	13	6	8	17	44	00
20	04	01	01	00	58	57	50	54	53	52	50	20	19	10	11	5	2	1	2	3	3	3	3	3	0	40	44	50	51	45	33	20	9	0	11	24	40
30	01	09	08	07	06	04	03	04	01	59	58	30	17	13	8	4	1	1	4	5	5	5	5	5	0	31	38	40	51	49	39	27	15	7	8	17	43
40	77	70	75	73	71	70	69	68	60	65	64	40	14	0	0	3	1	2	4	0	0	0	0	0	0	28	33	42	40	52	40	30	23	12	9	13	20
50	83	81	80	80	79	78	77	75	74	73	72	50	11	8	4	2	1	3	0	8	8	8	8	8	0	28	30	37	40	52	51	43	32	10	12	12	11
60	88	87	86	85	84	83	82	81	80	79	78	60	9	0	3	1	1	4	0	10	11	11	11	11	0	30	28	33	42	50	53	40	28	18	14	18	18
70	92	91	90	89	88	87	87	87	86	85	84	81	70	7	4	2	1	2	0	10	12	13	13	13	10	30	24	30	37	42	53	53	40	25	17	17	17
80	94	93	93	92	92	91	91	90	89	88	88	80	5	3	1	1	4	8	12	10	10	10	10	10	0	41	32	30	34	42	50	54	40	21	32	18	18
90	90	90	90	90	90	90	94	94	93	92	92	90	3	1	2	1	5	10	15	17	18	18	18	18	0	40	37	31	34	40	52	52	40	16	37	20	20
100	97	97	97	96	96	90	90	90	90	90	95	95	100	2	1	3	7	17	20	21	21	21	21	21	0	58	44	31	31	37	41	48	50	48	40	31	22
110	00	90	90	97	97	97	97	97	97	97	90	90	110	2	1	2	5	9	20	22	24	24	24	24	0	100	51	39	31	30	31	41	47	48	42	34	24
120	04	95	95	90	90	90	90	90	97	97	97	97	120	1	1	3	6	12	18	22	25	26	26	26	20	120	50	59	45	34	29	32	38	43	40	36	26
130	02	97	93	93	94	94	95	95	90	90	90	130	1	2	4	8	14	21	25	27	28	28	28	28	130	73	64	51	39	30	39	43	43	44	37	28	
140	88	88	89	90	90	91	92	92	93	93	94	140	1	3	0	11	17	23	27	30	30	30	30	30	140	73	68	57	44	33	39	39	35	40	41	38	30
150	83	84	85	85	86	87	88	88	89	90	91	150	2	4	8	13	20	26	29	31	32	32	32	32	150	58	44	30	20	15	26	31	37	40	45	38	32
160	77	78	79	80	81	82	84	84	85	86	87	160	4	0	10	16	22	25	31	33	33	33	33	33	160	04	09	00	50	45	35	30	32	39	39	30	24
170	74	73	74	75	76	78	78	79	80	81	82	170	5	8	12	18	25	30	33	34	34	34	34	34	170	57	52	40	30	20	30	31	33	30	40	31	28
180	04	05	06	08	09	10	12	13	14	15	16	180	7	10	15	21	27	32	34	34	35	35	35	35	180	49	02	08	05	57	48	38	35	30	40	41	45
190	50	58	59	60	61	62	63	64	65	66	67	190	9	12	17	24	29	33	34	35	35	35	35	35	190	42	50	50	40	30	40	42	35	30	40	41	45
200	49	50	53	54	54	56	57	58	59	60	61	200	11	15	20	26	31	34	35	35	34	34	34	34	200	35	50	47	37	27	37	40	42	45	45	45	45
210	41	43	44	40	47	48	50	51	52	53	55	210	14	17	22	28	33	35	35	34	34	34	34	34	210	30	44	55	60	67	61	53	45	41	42	40	50
220	34	35	37	38	39	41	42	43	44	45	47	220	17	20	25	30	34	36	36	34	34	34	34	34	220	25	39	53	63	70	64	56	47	42	45	50	
230	27	28	30	31	32	33	35	36	37	39	40	230	19	22	27	32	36	38	38	36	36	36	36	36	230	21	32	47	59	65	60	50	43	41	42	48	
240	21	22	23	24	25	26	28	29	30	31	33	240	22	25	29	33	35	36	36	34	34	34	34	34	240	21	29	41	54	63	58	46	40	39	40	41	48
250	15	16	17	18	19	20	21	22	23	25	26	250	24	27	31	34	35	36	36	34	34	34	34	34	250	20	25	35	48	59	54	42	36	37	40	41	
260	10	11	12	13	14	15	16	17	18	19	20	260	27	29	33	35	36	36	35	35	35	35	35	35	260	19	22	30	42	54	61	50	47	38	34	35	
270	6	7	8	9	10	11	12	13	14	15	16	270	30	31	34	35	36	36	35	35	35	35	35	35	270	20	25	30	45	55	62	58	49	39	34	32	
280	3	4	5	6	7	8	9	10	11	12	13	280	34	34	36	37	38	38	36	36	36	36	36	36	280	20	27	30	45	55	63	60	53	43	34	29	
290	1	2	3	4	5	6	7	8	9	10	11	290	37	34	36	37	38	38	36	36	36	36	36	36	290	22	27	30	45	55	63	60	57	48	37	29	
300	1	1	1	1	1	1	1	1	1	1	1	300	40	34	36	37	38	38	36	36	36	36	36	36	300	24	27	30	45	55	63	60	54	43	34	29	
310	1	1	1	1	1	1	1	1	1	1	1	310	44	34	36	37	38	38	36	36	36	36	36	36	310	27	28	30	45	55	63	60	54	40	30	28	
320	3	3	2	2	2	2	1	1	1	1	1	320	35	35	35	35	35	35	34	34	34	34	34	34	320	31	22	10	25	15	24	49	03	00	07	58	45
330	0	5	4	4	4	3	2	2	2	2	2	330	35	35	35	35	35	35	34	34	34	34	34	34	330	30	25	18	14	18	28	43	50	69	72	00	55
340	10	9	8	4	4	0	5	4	4	4	4	340	34	34	33	30	25	19	12	8	5	5	5	0	340	41	32	22	15	15	22	30	52	07	74	72	02
350	15	14	12	12	11	10	9	8	7	6	5	350	33	33	32	25	20	10	6	4	4	4	4	4	350	40	38	28	18	14	17	28	44	01	72	75	02
360	21	20	19	18	10	15	14	11	12	11	10	360	30	32	30	20	13	8	4	3	3	3	3	3	360	49	44	34	22	15	14	21	35	52	07	75	74
370	27	26	25	24	23	20	19	18	17	16	15	370	31	28	26	17	10	6	3	2	2	2	2	2	370	52	49	40	28	17	12	15	25	42	59	71	75
380	34	33	31	30	29	28	27	26	25	24	23	380	34	31	29	20	13	8	4	3	3	3	3	3	380	52	51	45	34	22	15	18	28	45	68	74	71
390	41	40	39	37	30	35	33	32	31	30	29	390	37	34	32	20	13	8	4	3	3	3	3	3	390	50	53	40	25	15	9	10	18	38	54	60	
400	49	48	40	45	43	42	41	39	38	37	30	400	24	21	10	10	5	2	1	1	1	1	1	1	400	40	51	51	45	33	20	10	7	13	27	44	00

Correction für Zeitgleichung.

Ist anzubringen, wenn man den Eintritt der Sonne in ein Zeichen in wahrer Zeit verlangt.

Tag der Juli- sekunde Periode.	0°	30°	60°	90°	120°	150°	180°	210°	240°	270°	300°	330°	Tag der Juli- sekunde Periode.	0°	30°	60°	90°	120°	150°	180°	210°	240°	270°	300°	330°
0 0000	+21	+112	+133	+09	-9	-32	0	+34	+10	-49	-102	-73	0 30 000	-13	+78	+109	+01	-1	-12	+24	+53	+31	-50	-110	-100
42 0000	+18	+110	+131	+09	-8	-30	+2	+35	+20	-50	-101	-75	0 72 000	-10	+70	+107	+01	-1	-11	+20	+57	+32	-49	-117	-102
84 0000	+16	+108	+130	+09	-7	-29	+3	+37	+20	-49	-100	-74	1 14 000	-9	+70	+105	+05	-1	-10	+19	+56	+31	-48	-116	-101
126 0000	+14	+105	+129	+09	-7	-27	+5	+38	+21	-51	-100	-75	1 56 000	-8	+70	+103	+05	-1	-9	+20	+50	+35	-48	-117	-104
168 0000	+11	+103	+127	+09	-6	-26	+0	+39	+21	-51	-107	-82	1 98 000	-23	+60	+101	+57	-1	-8	+20	+02	+10	-47	-118	-105
210 0000	0	+104	+120	+08	-5	-24	+8	+40	+22	-51	-105	-83	2 40 000	-24	+07	+99	+50	-1	-7	+23	+03	+38	-47	-118	-107
252 0000	+7	+99	+124	+08	-5	-23	+10	+47	+22	-52	-110	-85	2 82 000	-25	+05	+97	+55	-1	-7	+33	+05	+39	-40	-118	-108
294 0000	+4	+97	+123	+07	-4	-21	+11	+43	+23	-52	-111	-87	3 24 000	-27	+02	+95	+53	-2	-6	+34	+07	+41	-45	-118	-109
336 0000	+2	+95	+121	+07	-3	-20	+13	+45	+24	-52	-112	-89	3 66 000	-29	+00	+93	+52	-2	-5	+30	+08	+42	-44	-118	-109
378 0000	0	+92	+118	+06	-3	-19	+15	+45	+25	-53	-117	-91	4 08 000	-31	+58	+91	+51	-2	-5	+37	+20	+43	-43	-117	-110
420 0000	+1	+90	+118	+06	-2	-18	+16	+45	+26	-53	-117	-93	4 50 000	-33	+56	+88	+109	-3	-4	+39	+17	+45	-42	-117	-111
462 0000	+2	+90	+119	+05	-2	-10	+18	+49	+27	-51	-115	-94	5 32 000	-34	+53	+80	+58	-4	-3	+39	+73	+49	-41	-117	-112
504 0000	+7	+85	+114	+04	-2	-15	+10	+51	+28	-51	-115	-99	5 74 000	-30	+51	+84	+40	-4	-3	+41	+75	+48	-40	-110	-112
546 0000	+9	+81	+112	+03	-1	-14	+21	+52	+29	-51	-115	-97	6 16 000	-37	+49	+82	+44	-4	-3	+47	+70	+50	-39	-110	-113
588 0000	+11	+78	+111	+02	-1	-13	+23	+54	+30	-50	-110	-99	6 58 000	-39	+47	+80	+43	-5	-2	+43	+78	+51	-37	-115	-113
630 0000	+13	+78	+109	+01	-1	-12	+24	+55	+31	-50	-110	-100	7 00 000	-40	+45	+77	+41	-5	-2	+44	+79	+53	-30	-115	-114

Zodiakaltafel.

Argument D.													Argument E.													Argument F.																											
Arg.	0°	1°	2°	3°	4°	5°	6°	7°	8°	9°	10°	11°	Arg.	0°	1°	2°	3°	4°	5°	6°	7°	8°	9°	10°	11°	Arg.	0°	1°	2°	3°	4°	5°	6°	7°	8°	9°	10°	11°	Arg.	0°	1°	2°	3°	4°	5°	6°	7°	8°	9°	10°	11°		
0	8	8	8	9	9	10	10	11	12	13	14	15	0	13	16	18	19	19	17	15	13	9	9	10	10	10	0	15	45	49	50	61	58	40	28	17	15	22	32	10	15	45	49	50	61	58	40	28	17	15	22	32	
10	6	6	6	6	7	7	8	8	9	10	11	12	10	13	16	18	20	20	18	16	14	11	9	9	10	10	0	14	44	49	53	59	59	40	28	18	12	17	27	10	14	44	49	53	59	59	40	28	18	12	17	27	
20	4	3	3	3	4	4	4	5	5	6	7	8	20	13	15	18	20	20	19	17	15	12	10	9	9	0	10	42	43	44	50	57	59	52	30	11	12	22	10	10	42	43	44	50	57	59	52	30	11	12	22		
30	2	2	2	2	2	2	2	3	3	3	4	4	30	12	15	17	19	20	20	18	16	13	11	9	9	0	10	40	42	43	47	54	59	55	41	24	11	9	10	10	40	42	43	47	54	59	55	41	24	11	9	10	10
40	3	2	2	1	1	1	1	2	2	2	3	4	40	11	14	17	19	20	20	19	17	14	11	10	9	0	0	37	40	41	45	52	58	57	40	29	13	7	12	10	37	40	41	45	52	58	57	40	29	13	7	12	
50	3	2	3	3	3	2	2	2	3	3	4	4	50	11	13	16	18	20	20	19	17	15	12	10	9	0	0	33	39	40	43	49	55	55	50	34	17	7	8	10	33	39	40	43	49	55	55	50	34	17	7	8	
60	8	7	6	6	5	5	5	5	5	5	6	7	60	10	12	15	17	19	20	20	18	15	13	10	9	0	0	29	30	31	41	46	51	58	54	40	21	9	0	29	30	31	41	46	51	58	54	40	21	9	0		
70	12	11	10	9	8	8	7	7	7	7	7	7	70	9	11	14	16	18	19	19	18	16	13	10	9	0	0	24	24	27	39	41	51	58	57	40	27	12	5	70	24	27	39	41	51	58	57	40	27	12	5		
80	15	14	13	12	11	10	9	9	9	9	9	8	80	9	10	13	15	17	19	19	18	16	13	10	9	0	0	20	20	20	35	41	49	59	59	51	34	10	0	20	20	20	35	41	49	59	59	51	34	10	0		
90	16	15	14	13	12	11	10	10	9	9	9	9	90	8	9	11	14	16	18	18	17	14	11	9	8	0	0	15	20	23	30	40	54	60	59	41	23	9	90	15	20	23	30	40	54	60	59	41	23	9			
100	16	15	14	13	12	11	10	10	9	9	9	8	100	8	9	10	13	15	17	18	17	14	11	8	7	0	100	11	22	31	38	48	62	60	59	48	30	14	100	11	22	31	38	48	62	60	59	48	30	14			
110	15	14	13	12	11	10	9	8	7	7	7	6	110	7	8	9	11	14	16	17	17	14	12	9	8	0	110	8	18	28	34	47	62	60	59	51	34	17	110	8	18	28	34	47	62	60	59	51	34	17			
120	14	13	12	11	10	9	8	7	6	5	4	3	120	7	7	8	10	12	15	16	17	15	12	9	8	0	120	0	14	25	32	40	57	63	60	59	50	45	20	120	0	14	25	32	40	57	63	60	59	50	45	20	
130	14	13	12	11	10	9	8	7	6	5	4	3	130	7	6	7	9	11	13	15	17	15	12	9	8	0	130	0	11	21	30	35	50	55	63	60	59	52	44	130	0	11	21	30	35	50	55	63	60	59	52	44	
140	14	13	12	11	10	9	8	7	6	5	4	3	140	7	6	7	9	12	14	15	16	15	12	9	8	0	140	0	8	18	28	34	47	62	60	59	50	45	20	140	0	8	18	28	34	47	62	60	59	50	45	20	
150	17	16	15	14	13	12	11	10	9	8	7	6	150	7	5	6	8	11	13	15	17	15	12	9	8	0	150	0	8	11	15	24	33	49	54	60	59	50	45	20	150	0	8	11	15	24	33	49	54	60	59	50	45
160	20	19	18	17	16	15	14	13	12	11	10	9	160	7	5	4	5	8	9	10	14	15	13	10	9	0	160	0	9	14	24	32	47	60	67	68	57	40	160	0	9	14	24	32	47	60	67	68	57	40			
170	21	20	19	18	17	16	15	14	13	12	11	10	170	5	4	5	8	9	10	12	14	13	10	9	8	0	170	0	12	14	24	32	47	60	67	68	57	40	170	0	12	14	24	32	47	60	67	68	57	40			
180	25	24	23	22	21	20	19	18	17	16	15	14	180	5	3	3	4	6	7	8	11	13	11	9	8	0	180	0	13	13	21	29	43	53	63	71	78	180	0	13	13	21	29	43	53	63	71	78					
190	20	20	25	24	23	22	21	20	19	18	17	16	190	7	5	3	3	5	7	10	12	13	11	9	8	0	190	0	13	21	25	30	45	55	60	70	71	190	0	13	21	25	30	45	55	60	70	71					
200	25	24	24	23	22	22	22	20	19	18	17	16	200	8	5	3	2	4	6	9	11	12	11	9	8	0	200	0	15	27	35	40	57	68	73	80	200	0	15	27	35	40	57	68	73	80							
210	23	23	24	22	22	21	20	19	18	17	16	15	210	8	5	3	2	3	5	8	10	12	12	10	9	0	210	0	13	34	42	48	64	70	80	80	210	0	13	34	42	48	64	70	80	80							
220	20	20	20	20	20	19	18	17	16	15	14	13	220	9	4	2	2	4	7	9	11	12	12	10	9	0	220	0	12	27	32	35	54	63	73	73	220	0	12	27	32	35	54	63	73	73							
230	17	18	18	18	18	18	17	16	15	14	13	12	230	9	4	2	1	3	6	8	11	12	12	10	9	0	230	0	10	40	43	45	65	73	80	80	230	0	10	40	43	45	65	73	80	80							
240	17	16	16	16	16	16	16	15	14	13	12	11	240	10	7	5	2	4	7	8	10	12	12	10	9	0	240	0	9	40	43	45	65	73	80	80	240	0	9	40	43	45	65	73	80	80							
250	17	16	16	16	16	16	16	15	14	13	12	11	250	11	8	6	3	1	2	4	7	9	12	13	10	9	0	250	0	7	40	43	45	65	73	80	80	250	0	7	40	43	45	65	73	80	80						
260	18	19	20	20	21	21	21	21	21	20	19	18	260	11	9	7	4	2	2	4	8	10	11	10	9	0	260	0	7	40	43	45	65	73	80	80	260	0	7	40	43	45	65	73	80	80							
270	19	20	21	22	23	23	24	24	24	24	23	22	270	12	10	8	5	3	2	3	8	11	13	11	9	0	270	0	7	40	43	45	65	73	80	80	270	0	7	40	43	45	65	73	80	80							
280	20	21	22	23	24	25	25	25	25	25	25	24	280	12	11	9	6	4	2	2	5	8	11	13	11	9	0	280	0	7	40	43	45	65	73	80	80	280	0	7	40	43	45	65	73	80	80						
290	19	20	21	22	23	24	24	25	25	25	25	24	290	13	12	10	7	5	3	2	5	7	10	13	10	9	0	290	0	7	40	43	45	65	73	80	80	290	0	7	40	43	45	65	73	80	80						
300	10	17	19	20	21	22	22	23	24	24	24	23	300	13	13	11	9	6	4	3	3	5	7	10	13	0	300	0	7	40	43	45	65	73	80	80	300	0	7	40	43	45	65	73	80	80							
310	13	14	15	16	17	18	19	20	21	22	22	22	310	14	14	12	10	8	5	4	5	7	10	13	10	9	0	310	0	6	40	43	45	65	73	80	80	310	0	6	40	43	45	65	73	80	80						
320	9	10	11	12	13	14	15	16	17	18	19	20	320	14	14	13	11	9	6	5	5	7	9	12	10	9	0	320	0	6	40	43	45	65	73	80	80	320	0	6	40	43	45	65	73	80	80						
330	6	7	8	9	10	11																																															

Multiplicationstafel **Zodiak**
zur Multiplication des Säculargliedes aus Tafel I mit α .

1000	1	2	3	4	5	6	7	8	9	10	11	12	13	14	15	16	17	18	19	20
3000	3	4	5	6	7	8	9	10	11	12	14	16	18	20	22	24	26	28	30	35
4000	3	4	5	6	7	8	9	10	11	12	14	16	18	20	22	24	26	28	30	35
5000	3	4	5	6	7	8	9	10	11	12	14	16	18	20	22	24	26	28	30	35
6000	3	4	5	6	7	8	9	10	11	12	14	16	18	20	22	24	26	28	30	35
7000	3	4	5	6	7	8	9	10	11	12	14	16	18	20	22	24	26	28	30	35
8000	3	4	5	6	7	8	9	10	11	12	14	16	18	20	22	24	26	28	30	35
9000	3	4	5	6	7	8	9	10	11	12	14	16	18	20	22	24	26	28	30	35
1000	1	2	3	4	5	6	7	8	9	10	11	12	13	14	15	16	17	18	19	20
3000	3	4	5	6	7	8	9	10	11	12	14	16	18	20	22	24	26	28	30	35
4000	3	4	5	6	7	8	9	10	11	12	14	16	18	20	22	24	26	28	30	35
5000	3	4	5	6	7	8	9	10	11	12	14	16	18	20	22	24	26	28	30	35
6000	3	4	5	6	7	8	9	10	11	12	14	16	18	20	22	24	26	28	30	35
7000	3	4	5	6	7	8	9	10	11	12	14	16	18	20	22	24	26	28	30	35
8000	3	4	5	6	7	8	9	10	11	12	14	16	18	20	22	24	26	28	30	35
9000	3	4	5	6	7	8	9	10	11	12	14	16	18	20	22	24	26	28	30	35
1000	1	2	3	4	5	6	7	8	9	10	11	12	13	14	15	16	17	18	19	20
3000	3	4	5	6	7	8	9	10	11	12	14	16	18	20	22	24	26	28	30	35
4000	3	4	5	6	7	8	9	10	11	12	14	16	18	20	22	24	26	28	30	35
5000	3	4	5	6	7	8	9	10	11	12	14	16	18	20	22	24	26	28	30	35
6000	3	4	5	6	7	8	9	10	11	12	14	16	18	20	22	24	26	28	30	35
7000	3	4	5	6	7	8	9	10	11	12	14	16	18	20	22	24	26	28	30	35
8000	3	4	5	6	7	8	9	10	11	12	14	16	18	20	22	24	26	28	30	35
9000	3	4	5	6	7	8	9	10	11	12	14	16	18	20	22	24	26	28	30	35
1000	1	2	3	4	5	6	7	8	9	10	11	12	13	14	15	16	17	18	19	20
3000	3	4	5	6	7	8	9	10	11	12	14	16	18	20	22	24	26	28	30	35
4000	3	4	5	6	7	8	9	10	11	12	14	16	18	20	22	24	26	28	30	35
5000	3	4	5	6	7	8	9	10	11	12	14	16	18	20						

**Tafel zur Verwandlung
der Decimalen des Tages in Stunden**

α	h	m	d	h	m	d	h	m	d
α	h	m	d	h	m	d	h	m	d
00	0	0	0	55	12	0	00	00	50
01	0	14	55	12	14	4	01	01	54
02	0	18	55	12	25	8	02	02	57
03	0	23	55	13	32	13	03	03	59
04	0	27	55	12	37	0	04	04	58
05	1	0	55	13	12	0	05	05	55
06	1	20	55	13	20	4	06	06	58
07	1	40	55	13	40	8	07	07	57
08	1	55	55	13	55	12	08	08	58
09	2	9	55	14	9	6	09	09	58
10	2	24	00	14	24	0	10	10	59
11	2	38	00	14	38	4	11	11	58
12	2	52	00	14	52	8	12	12	59
13	3	7	00	15	7	12	13	13	59
14	3	21	00	15	21	0	14	14	59
15	3	30	05	15	30	5	15	15	59
16	3	50	05	15	50	10	16	16	59
17	4	3	07	16	3	14	17	17	59
18	4	19	07	16	19	18	18	18	59
19	4	43	07	16	43	0	19	19	59
20	4	48	00	16	48	0	20	20	70
21	5	2	71	17	2	24	21	21	70
22	5	10	72	17	10	28	22	22	70
23	5	23	73	17	23	32	23	23	70
24	5	51	74	17	45	0	24	25	73
25	0	0	75	18	0	0	25	25	75
26	0	14	78	18	14	4	26	27	70
27	0	33	77	18	28	8	27	28	71
28	0	43	75	18	33	12	28	29	72
29	0	57	78	18	47	0	29	30	71
30	1	2	80	19	2	0	30	31	80
31	1	20	81	19	20	4	31	32	81
32	1	40	82	19	40	8	32	33	82
33	1	55	83	19	55	12	33	34	83
34	2	9	84	20	9	0	34	35	84
35	2	8	05	20	24	0	35	36	85
36	3	8	26	20	38	4	36	37	86
37	3	8	28	20	52	8	37	38	87
38	3	7	78	21	7	12	38	39	88
39	3	21	86	21	21	0	39	40	88
40	3	9	00	21	30	4	40	41	90
41	4	0	50	21	40	8	41	42	91
42	4	0	50	21	48	12	42	43	92
43	4	10	52	21	58	16	43	44	93
44	4	23	54	22	3	0	44	45	94
45	4	30	55	22	3	4	45	46	95
46	4	1	20	22	34	8	46	47	96
47	4	16	27	22	40	12	47	48	97
48	4	31	28	22	51	16	48	49	98
49	4	45	30	23	4	0	49	50	99

Kalendariographische Tafeln.

Einrichtung und Gebrauch der Tafeln.

Jede der nachstehenden Tafeln zerfällt in zwei Abtheilungen, welche beziehungsweise mit den Überschriften **Tafel I** und **Tafel II** versehen sind. **Tafel I** gibt für entsprechend gewählte grössere Zeiteabschnitte die Zahl der Tage, welche vom Beginne der julianischen Periode bis zum Beginne dieses Zeiteabschnittes verfloßen sind. **Tafel II** dagegen gibt innerhalb eines solchen grösseren Zeiteabschnittes die Zahl der Tage von Monat zu Monat der betreffenden Zeitrechnung.

Es stellen sich nun zwei Aufgaben: Entweder ist ein vorgelegtes Datum in Tage der julianischen Periode zu verwandeln, oder es ist umgekehrt eine gegebene Anzahl von Tagen der julianischen Periode in das Datum irgend einer Zeitrechnung zu verwandeln.

Ist ein Datum nach Jahr, Monat und Montagstag gegeben, so entnimmt man zuerst aus **Tafel I** die Zahl der Tage der julianischen Periode, welche zu dem nächst kleineren in **Tafel I** enthaltenen Jahre gehört, geht hierauf mit der Differenz zwischen diesem und dem vorgelegten Jahre in **Tafel II** ein und entnimmt die Tageszahl aus der Column, welche mit dem Namen des vorgelegten Monates überschrieben ist. Die Summe der beiden aus **Tafel I** und **II** erhaltenen Tageszahlen, vermehrt um den vorgelegten Montagstag, gibt den Tag der julianischen Periode für das vorgelegte Datum. Es erwies sich am bequemsten, den Montagstag gleich beim Entnehmen des Werthes aus der **Tafel II** an denselben anzubringen; man hat dann nur die Summe von zwei Werthen, desjenigen aus **Tafel I** und des so corrigirten aus **Tafel II** zu bilden. Ist umgekehrt zu einer gegebenen Tageszahl der julianischen Periode das zugehörige Datum irgend einer Zeitrechnung zu suchen, so zieht man von der vorgelegten Tageszahl die nächst kleinere Tageszahl aus **Tafel I** ab und entnimmt die zugehörige Zahl von Jahren. Mit dem Reste der Tageszahl geht man in **Tafel II** ein, und zieht wieder die nächst kleinere Tageszahl ab. Die so übrig bleibende Differenz ist der Montagstag, der Monat ist durch die Column, die Zahl der Jahre, um die man die ursprünglich gefundene Zahl von Jahren noch zu vermehren hat, ist durch die Zeile bestimmt, in der die zunächst kleinere Zahl der **Tafel II** gefunden wurde.

Diese Anordnung der Tafeln ist überall möglichst streng festgehalten, und nur, wo dies nicht zu umgehen war, sind kleine Abweichungen vorkommen, wie bei den Tafeln für die Zeitrechnung der Juden, wo für jedes Jahr in **Tafel II** mehrere Zeiten vorhanden sind und es erst entschieden werden muss, welche Zeile in jedem Falle zu verwenden ist; ferner bei dem beweglichen persischen Jahre, wo es zwei **Tafel II** gibt, zwischen welchen ebenfalls erst zu entscheiden ist, und bei den Tafeln für die Zeitrechnung der Türken und Araber, wo es zwei **Tafel I** und zwei **Tafel II** gibt, welche sich nach den verschiedenen Annahmen verschiedener combiniren. Es ist darüber bei den einzelnen Tafeln das Nothwendige erwähnt.

Im Allgemeinen wäre noch zu bemerken, dass, um die grossen Zahlen, durch welche die Tage der julianischen Periode ausgedrückt sind, passend zu gruppiren, tausend Tage gewissermassen als grössere Einheit betrachtet und daher die Ziffern, welche Tausende von Tagen ausdrücken, von den letzten drei, einzelne Tage ausdrückenden Ziffern, abgetrennt sind.

In den **Tafel II** sind die abgetrennten Ziffern für die Tausende der Tage nur angesetzt, so oft sie wechseln, und es ist ähnlich wie dies bei Logarithmentafeln gebräuchlich ist, durch einen Strich über der ersten Ziffer der einzelnen Tageszahlen angezeigt, wenn man ihnen nicht die vorangehende, sondern die folgende Zahl von Tausendertagen vorzusetzen hat.

Noch ist zu erwähnen, dass bei der Zeitrechnung der Christen, Juden und Türken sowohl in **Tafel I** als in **Tafel II** sich eine Column findet, die mit Kalendernzahl überschrieben ist. Die Summe dieser Kalendernzahlen aus **Tafel I** und **II** dient als Argument für den Festkalender des betreffenden Jahres und hat also nur Bedeutung, wenn man ein Fest aufsucht; bei der Verwandelung des Datums hat man sich darum nicht zu bekümmern, mit Ausnahme der Tafeln für die jüdische Zeitrechnung, wo die Kalendernzahl aus **Tafel I** darüber entscheidet, welche Zeile der **Tafel II** in dem betreffenden Jahre zu benützen ist.

Es sollen jetzt einige Beispiele vorgezogen werden:

1. Welchem Tage der julianischen Periode entspricht der 9. November 1881 der christlichen Zeitrechnung gregorianischen Styles?

Gregorian. Tafel I Jahr 1800	2378 495
Gregorian. Tafel II Jahr . . . 81, Monat November + Tag 9	29 899

Das vorgelegte Datum entspricht also dem Tage . . . 2408394 der julianischen Periode.

2. Welchem Datum der Chinesen entspricht der Tag 2408394 der julianischen Periode?

Vorgelegter Tag	2408394	} Der vorgelegte Tag entspricht also dem 18. Tage des 9. Mondes des 18. Jahres des LXXXI. Cyclus, oder des 7. Jahres des Kuang-Sä.
Chines. Tafel I 2314262	Cyclus LXXII, Jahr 1	
Rest	94132	
Chines. Tafel II 94114	Cyclus . . . IV. Jahr 17, Mond 9	
Rest	18	
	Cyclus LXXVI, Jahr 18, Mond 9	

3. Welchem Datum der diocletianischen Aera entspricht der 28. Abanmah 376 nach Jezdegird?

Jezdeg. Tafel I Jahr 350	2079 447
Jezdeg. Tafel II Jahr 26, Monat Aban + Tag 28	9 728
	Summe 2089 175
Dioclet. Tafel I	2078 147 Jahr 694
Rest	11 028
Dioclet. Tafel II	11 918 Jahr 30, Monat Hatur
Rest	10, Jahr 724, Monat Hatur.

Der 28. Abanmah 376 Jezdegird entspricht dem 10. Hatur des Jahres 724 nach Diocletian.

Julianisches und gregorianisches Sonnenjahr.

Julianische Periode, Jahre der Stadt Rom (ab urbe condita), Aera der Kalenderverbesserung (Anni juliani), spanische Aera, Aera der römischen Kaiser, christliche Aera (ab incarnatione).

Die Epoche der Julianischen Periode, oder der 1. Januar des Jahres 1 der Julianischen Periode entspricht dem Tage 1 der Julianischen Periode. Die Epoche der Jahre der Stadt Rom entspricht dem Tage 1446 390 der Julianischen Periode.

Die Epoche der Aera der Kalenderverbesserung, oder der 1. Januar des Jahres 1 (Anni juliani) entspricht dem Tage 1704 987 der Julianischen Periode. Die Epoche der spanischen Aera, oder der 1. Januar des Jahres 1 der spanischen Aera entspricht dem Tage 1707 544 der Julianischen Periode. Die Epoche der Aera der römischen Kaiser oder der 1. Januar des Jahres 1 (ab incarnatione) entspricht dem Tage 1711 562 der Julianischen Periode. Die Epoche der christlichen Aera oder der 1. Januar des Jahres 1 (ab incarnatione) entspricht dem Tage 1721 124 der Julianischen Periode.

Wegen der Aera ab incarnatione im Orient vgl. pag. 36.

Bei der christlichen Aera ist zu entscheiden, ob sie mit Julianischen oder gregorianischen Jahren verbunden wird, während die andern Aera alle nur mit Julianischen Jahren verbunden erscheinen. Auch wird diese Aera über die Epoche hinaus nach rückwärts fortgesetzt, wobei jedoch wieder zwischen der Zählweise der Chronologen und jener der Astronomen zu unterscheiden ist. Das Jahr der Chronologen ($a + 1$) vor Christi entspricht dem Jahre $-a$ der Astronomen.

Die Jahre dieser Zeitrechnung sind feste Sonnenjahre von 365 oder 366 Tagen. Schaltjahre sind im Julianischen Kalender jedes vierte Jahr, im gregorianischen ebenfalls jedes vierte Jahr, doch mit Ausnahme der Jahre $(4n + 1)$ 100, $(4n + 2)$ 100 und $(4n + 3)$ 100.

Das Jahr wird in zwölf Monate getheilt, und zwar:

1. Januar . . . 31 Tage,	4. April . . . 30 Tage,	7. Juli . . . 31 Tage,	10. October . . 31 Tage.
2. Februar 28 oder 29 „	5. Mai . . . 31 „	8. August . . . 31 „	11. November . 30 „
3. März . . . 31 „	6. Juni . . . 30 „	9. September . 30 „	12. December . 31 „

In der römischen Zeitrechnung liess ursprünglich der Juli Quintilis und der August Sextilis.

Eine von den Monaten unabhängige Zeiteinheit ist die sieben tägige Woche, deren einzelne Tage folgende Namen und Zeichen haben: ☉ Sonntag, ☿ Montag, ♀ Dienstag, ♀ Mittwoch, ☿ Donnerstag, ☿ Freitag, ♀ Samstag oder Sonnabend. Diese Wochentage sind leicht aus den Tageszahlen der Julianischen Periode abzuleiten; dividirt man die Tageszahl eines vorgelegten Datums durch 7, so bezeichnet der Rest: 0 Montag, 1 Dienstag, 2 Mittwoch, 3 Donnerstag, 4 Freitag, 5 Samstag und 6 Sonntag.

Die Wochentage nennt man auch ☿ FERIA I, ☿ FERIA II, ♀ FERIA III, ♀ FERIA IV, ☿ FERIA V, ♀ FERIA VI und ♀ FERIA VII. Ausserdem wird in den christlichen Kalendern jeder einzelne Tag des Jahres mit einem eigenen Namen bezeichnet, und zwar sind diese Bezeichnungen den Namen der Heiligen dieser Religion entnommen. Diese Bezeichnungen sind aber ausserordentlich schwankend, und es findet sich fast an jedem Orte eine andere Vertheilung von Namen auf die Tage des Jahres, so dass es ganz unmöglich ist, darüber eine feste Norm aufzustellen.

Es ist daher im Folgenden nur eine Zusammenstellung jener Tagesnamen aufgenommen, welche fast allen Kalendern gemeinsam sind, und deren man sich beim Datiren häufig statt der Angabe von Monat und Monatstag bedienen und zum Theile noch jetzt bedient.

Diese Zusammenstellung ist nach den drei Unterabtheilungen der christlichen Religion in den katholischen, protestantischen und griechischen Kalender getrennt, und sind die in jedem derselben gehaltenen Feiertage mit fetterer Schrift gedruckt. Ausserdem werden alle Sonntage als Festtage betrachtet, und überdies treten zu den an bestimmten Tagen des Sonnenjahres fallenden Festtagen noch andere hinzu, welche ausser vom Sonnen- auch noch vom Mondlaufe abhängen und daher innerhalb bestimmter Grenzen im Jahre herumschwanken.

Diese letzteren werden im Gegensatz zu den festen Feiertagen bewegliche Feiertage genannt. Man findet alle einem gegebenen Jahre angehörigen sowohl beweglichen als festen Feiertage und Sonntage auf den Seiten 22 bis 25 in der Spalte, welche der Summe der diesem Jahre aus Tafel I und II zugehörigen Kalenderzahlen entspricht.

Die Berechnung der christlichen Feste machten alle beweglichen Feste von einem derselben, welches sie als das Hauptfest betrachten und mit dem Namen Ostern bezeichnen, abhängig; sie bedienten sich zur Berechnung des Tages, welchen dasselbe jedesmal im Sonnenjahre einnimmt, einer ziemlich complicirten Rechnung und führten für dieselbe Hüllgrössen ein, deren Kenntniss zur Ausmittlung von Daten häufig notwendig ist und welche zunächst erklärt werden sollen.

Bei jedem Jahre wird die Stelle angegeben, welche dasselbe in einem sich stets erneuernden 15, 19 und 28 jährigen CYCLUS einnimmt, und die bezüglichen Zahlen heissen INDICTIO oder RÖMERZUSAHLE, goldene Zahl und SONNENKREIS. Bezeichnet man den ausserordentlichen Rest der Division von a durch k mit $\left(\frac{a}{k}\right)_R$, welcher Rest, wenn die Division aufgeht, nicht gleich 0, sondern gleich k zu setzen ist, so gehören dem Jahre A nach Christi an:

$$\text{Die Indictio } I = \left(\frac{A+3}{15}\right)_R; \text{ die goldene Zahl } N = \left(\frac{A+1}{19}\right)_R \text{ und der Sonnenkreis } S = \left(\frac{A+9}{28}\right)_R.$$

Den CYCLUS der goldenen Zahlen nennen die christlichen Chronologen auch den CYCLUS DECEMOVALIS und unterscheiden ihn von dem 15 jährigen CYCLUS der Juden, welcher um 3 Jahre später anfängt und den sie mit CYCLUS LUNAR bezeichnen; es ist also CYCLUS LUNAR oder CYCLUS LUNARIS = $\left(\frac{A-2}{19}\right)_R$.

Jedem Tage des Jahres wird einer der sieben ersten Buchstaben beigelegt, wobei man beim ersten Januar mit *A* beginnt. Derjenige Buchstabe, welcher in einem bestimmten Jahre auf den Sonntag fällt, heisst der Sonntagsbuchstabe des betreffenden Jahres; im Schaltjahre gibt es zwei Sonntagsbuchstaben, einen für Januar und Februar, oder für die Zeit vor dem Schalttage und den zweiten für die übrigen Monate, oder für die Zeit nach dem Schalttage. Mit Concurrente bezeichnet man die Periode des 1. Septembers. Unter Epakte bezeichnet man das Alter des Mondes am 1. Januar. In den immerwährenden Kalendern, welche im Mittelalter sehr viel in Gebrauch waren, setzt man den einzelnen Tagen des Jahres ausser den ihnen zukommenden Buchstaben, im julianischen Kalender goldene Zahlen, im gregorianischen Epakten bei. Derjenige Tag nun, dessen goldene Zahl respective Epakte mit der goldenen Zahl oder der Epakte des Jahres gleich war, hiess der Neumondstag oder Luna 1, von da an wurde fortgezählt Luna II, Luna III u. s. w., Luna XIV galt als Vollmondstag. Es findet sich im Folgenden pag. 19 ein solcher julianischer und gregorianischer immerwährender Kalender.

Unter Ostergrenze, terminus paschalis, versteht man die Luna XIV nach dem 21. März. Claves terminorum heisst die Zahl, welche, zum 10. März addirt, das Datum der Ostergrenze gibt. Regulares pasche sind die Zalden, welche die Concurrente zur Periode der Ostergrenze ergänzen. Kalenderschlüssel (im russischen Kalender Klutsch-Granitz) ist der Abstand des Osterfestes vom 21. März. Osonwane im russischen Kalender ist gleich der julianischen Epakte, die russische Epakte dagegen ist 21 oder 51 weniger Osonwane. Das Wrutzeleto des russischen Kalenders ist identisch mit der Concurrente. Endlich gibt es noch die alexandrinische Epakte, welche um drei kleiner ist als die julianische, und die dionysische, welche das Alter des Mondes nicht am 1. Januar, sondern am 23. März angibt. Ferner sind im gregorianischen Kalender die zwei Epakten 25 und XXV von einander zu unterscheiden.

Aus der Kalenderzahl (Summe der Kalenderzahlen aus Tafel I und II) erhält man diese Grössen aus den folgenden Tafeln.

Julianischer Kalender.

Hundert der Kalenderzahl	Sonntagsbuchstabe	Concurrente Wrutzeleto	Decimale der Kalenderzahl	Goldene Zahl	Cyclus lunar	Alexandrinische Epakte	Dionysische Epakte	Julianische Epakte	Osonwane	Russische Epakte	Ostergrenze terminus paschalis	Claves terminorum	Regulares pasche
100000	A	6	0.00	19	10 26 18	XXIX	22	17. April	38	3			
200000	B	5	0.05-0.09	18	15 15 7	XVIII	3	29. März	19	5			
300000	C	4	0.10-0.14	17	14 4 20	VII	14	9. April	30	2			
400000	D	3	0.15-0.19	16	13 23 15	XXVI	25	21. März	11	4			
500000	E	2	0.20-0.24	15	12 12 4	XV	0	1. April	22	1			
600000	F	1	0.25-0.29	14	11 1 23	IV	17	12. 3	33	5			
700000	G	7	0.30-0.34	13	10 20 12	XXIII	28	24. März	14	7			
1500000	H	6	0.35-0.39	12	9 9 1	XII	9	4. April	25	4			
1600000	I	5	0.40-0.44	11	8 28 20	I	20	15. 3	36	1			
1700000	J	4	0.45-0.49	10	7 17 9	XX	12	7. März	17	3			
1800000	K	3	0.51-0.55	9	6 6 28	IX	12	7. April	28	7			
1900000	L	2	0.56-0.60	8	5 25 17	XXVIII	23	18. 3	39	4			
2000000	M	1	0.61-0.65	7	4 14 6	XVII	4	30. März	20	6			
2100000	N	7	0.66-0.70	6	3 3 25	VI	15	10. April	31	3			
			0.71-0.75	5	2 22 14	XXV	20	22. März	12	5			
			0.76-0.80	4	1 11 3	XIV	7	2. April	23	2			
			0.81-0.85	3	10 30 22	III	18	13. April	14	6			
			0.86-0.90	2	18 19 11	XXII	29	25. März	15	1			
			0.91-0.95	1	17 8 0	XXI	10	5. April	26	5			

Gregorianischer Kalender.

Hundert der Kalenderzahl	Sonntagsbuchstabe	Zehner und Einheiten der Kalenderzahl	Epakte	Zehner und Einheiten der Kalenderzahl	Epakte	Decimale der Kalenderzahl	Goldene Zahl
100000	A	00001.30	XXIII	10 01.46	VII	0.00	19
200000	B	01 31	XXII	17 4 47	VI	0.05-0.09	18
300000	C	02 32	XXI	18 4 48	V	0.10-0.14	17
400000	D	03 33	XX	19 4 49	IV	0.15-0.19	16
500000	E	04 34	XIX	20 5 50	III	0.20-0.24	15
600000	F	05 35	XVIII	21 5 51	II	0.25-0.29	14
700000	G	06 36	XVII	22 5 52	I	0.30-0.34	13
1500000	H	07 37	XVI	23 5 53	X	0.35-0.39	12
1600000	I	08 38	XV	24 5 54	XXIX	0.40-0.44	11
1700000	J	09 39	XIV	25 5 55	XXVIII	0.45-0.49	10
1800000	K	10 40	XIII	26 5 56	XXVII	0.51-0.55	9
1900000	L	11 41	XII	27 5 57	XXVI	0.56-0.60	8
2000000	M	12 42	XI	28 5 58	XXV	0.61-0.65	7
2100000	N	13 43	X	29 5 59	XXIV	0.66-0.70	6
		14 44	IX	30 5 60	XXIII	0.71-0.75	5
		15 45	VIII	31 5 61	XXII	0.76-0.80	4
				29 5 59	XXI	0.81-0.85	3
						0.86-0.90	2
						0.91-0.95	1

Der Kalenderschlüssel (Klutsch-Granitz) findet sich am Fusse der Kalender Seite 22 bis 25.

Die Epakten werden zuweilen auch durch Buchstaben bezeichnet, welche Buchstaben man dann die Buchstaben des römischen Martyrologiums nennt. Es entsprechen:

den Epakten: I, II, III, IV, V, VI, VII, VIII, IX, X, XI, XII, XIII, XIV, XV, XVI, XVII, XVIII, XIX, XX, XXI, XXII, die Buchstaben: A, B, C, D, E, F, G, H, I, K, L, M, N, O, P, Q, R, S, T, U, V, W, X, Y, Z, A, B, C,

den Epakten: XXIII, XXIV, XXV, 26, XXVI, XXVII, XXVIII, XIX, * die Buchstaben: D, E, F, G, H, I, K, L, M, N, O, P.

Immerwährender julianischer Kalender.

Tag	Januar	Februar	März	April	Mai	Juni	Juli	August	September	Oktober	November	Dezember
1	A III	D	D III	G	B XI	E	G XIX	C VIII	F XVI	A XVI	D	F XII
2	B XI	E XI	F XI	A XI	C	F XIX	A VIII	G V	B V	E XII	G	XI
3	C XI	F XIX	F XI	D XIX	D XIX	G VIII	B	E V	A	C XII	F	II
4	D XIX	A XIX	G	C XIX	E VIII	A XVI	C XVI	F	B XII	D	G	X
5	E XIX	B XVI	D VIII	F XIX	F	D V	D V	G XII	C	H	A	X
6	F VIII	C V	E V	G V	A V	D XII	F XII	B	E X	G	C XVIII	D XVIII
7	A XVI	D XVI	G	A V	B V	E II	G II	C X	F	A XVIII	D VIII	F
8	B V	E VIII	E V	A XII	C XII	F	A	D	G XVIII	B VII	E	XV
9	C V	F II	F	B II	D II	G X	B X	E XVIII	A VII	C	F XV	A IV
10	D XII	G	G XII	E	E	A	C VII	B VII	B	D XV	G	B
11	E II	A X	B	F X	C X	A	D XVIII	G	C XV	D	E	XI
12	F	B	C	G	G	C VII	E VII	A	D IV	F	B	I
13	G X	C XVIII	C X	F XVIII	A XVIII	D	B IV	E	F XII	G	I	D
14	A VII	D VII	D	G VII	B VII	E XV	G XV	C	F XII	A I	D	F IX
15	B XVIII	E XVIII	E XVIII	A	C	F IV	A IV	D XII	G	I	B	E IX
16	C VII	F XV	F VII	B XV	D XV	G	B	E I	C	I	C	A XVII
17	D E	G IV	G	C IV	E IV	A	C XII	F	A IX	D	G XVIII	B VI
18	E XV	A	A XV	D	D	I	D	E	D XVIII	E VI	B	D
19	F IV	B XII	B IV	E XII	C XII	C	F IX	B XVII	E VI	G	C XIV	E III
20	G	C I	C	F I	A I	D IX	F IX	C VI	F	A XIV	D III	F
21	A XII	D	D XII	G	B	E	G	C VI	F	A XIV	D III	F
22	B I	E IX	E I	A IX	C IX	F XVII	A XVII	D	G XIV	B III	E	G XI
23	C I	F	B	C	E	G VI	B VI	E XIV	A III	C	G	XI
24	D IX	G XVIII	G IX	C XVIII	E XVIII	A	C VI	F III	B	D XI	G	B XIX
25	E	A	A	F VI	G VI	D	E XIV	F	C	XI	E	A XVIII
26	F XVIII	B	B XVIII	E	C	III	D III	A XI	D	F XIX	B VIII	D
27	G VI	C XIV	C VI	F XIV	A XIV	D	B	E XII	C	G VIII	C	E XVI
28	A	e	D	G	C	III	E XI	G XI	E XIX	F VIII	D	F V
29	B XIV	E	E XIV	A	C	F	A	D VIII	G	B XVI	E V	G
30	C III	F	F III	D	XI	A	B XIX	E	C	V	A	XIII

Der Tag, welcher mit dem Sonntagsbuchstaben des Jahres gleichen Buchstaben hat, ist Sonntag, der Tag, welcher mit dem goldenen Zahl des Jahres übereinstimmt, ist Neumondstag oder Luna I, der folgende Luna II u. s. f. Die kleinen Sonntagsbuchstaben gelten für Schaltjahre.

Immerwährender gregorianischer Kalender.

Tag	Januar	Februar	März	April	Mai	Juni	Juli	August	September	Oktober	November	Dezember
1	A *	D XXIX	D *	G XXIX	B XXVIII	E XXVII	G XXVI	C XXV	F XXIII	A XXII	D XXI	F XX
2	B XXIX	E XXXVII	E XXXIX	A XXXVII	C XXXVII	F XXXVI	A XXXV	D XXXIV	G XXXI	B XXX	E XXIX	G XXIX
3	C XXXVIII	F XXXVII	F XXXIX	D XXXVII	E XXXVI	G XXXV	B XXXIV	E XXXI	A XXX	C XXIX	F XXVIII	A XXVIII
4	D XXXVI	A XXXVII	G XXXVII	C XXXVII	E XXXVI	G XXXV	A XXXIII	C XXXII	F XXXI	B XXX	D XXVIII	C XXVII
5	E XXXVI	A XXXVII	G XXXVII	C XXXVII	E XXXVI	G XXXV	A XXXIII	C XXXII	F XXXI	B XXX	D XXVIII	C XXVII
6	F XXXV	B XXXV	E XXXV	A XXXV	C XXXIV	B XXXIII	D XXXII	G XXX	C XXX	E XXVIII	A XXVII	D XXVI
7	G XXIV	C XXXII	C XXXV	F XXXII	A XXXII	D XXX	F XXX	B XXXIII	E XXVII	G XXVI	B XXV	E XXV
8	A XXXII	D XXXII	D XXXII	A XXXII	C XXXI	E XXX	A XXX	D XXXII	F XXVI	A XXV	D XXIV	A XXIII
9	B XXXII	E XX	E XXXI	A XX	C XX	F XXVIII	A XXVII	D XXVI	G XXV	B XXIV	E XXII	G XXI
10	C XXI	F XIX	F XXXI	B XIX	D XIX	G XXVII	B XXVI	E XXV	A XXIV	C XXII	F XXI	A XX
11	D XX	G XXVIII	G XX	C XXVIII	E XXVIII	A XXVI	C XXVI	F XXIV	B XXIII	D XXII	G XX	B XX
12	E XIX	A XXVIII	A XIX	D XXVII	F XXVII	B XXV	D XXV	G XXIII	C XXII	E XXI	A XX	C IX
13	F XVIII	B XXVI	B XXVIII	E XXVI	C XXVI	E XXIV	F XXIV	A XXI	D XX	F XX	B IX	D VIII
14	G XVII	C XXV	C XXVII	F XXV	A XXV	D XXIII	F XXIII	B XX	E XX	G XX	D VIII	F VII
15	A XVI	D XXIV	D XXIV	G XXIV	E XXIV	B XXII	G XXII	C XX	F XIX	A XX	D VII	E VI
16	B XV	E XXIII	E XXV	A XXIII	C XXIII	F XXI	A XXI	D XIX	G XXIII	B VII	E VI	G V
17	C XIV	F XXII	F XXIV	B XXII	D XXII	G XX	B XX	E XVII	A VII	C VI	F V	A IV
18	D XIII	G XXI	G XXIII	C XXI	E XXI	A IX	C IX	F XVI	B VI	D V	G IV	B III
19	E XII	A XX	A XXII	D XX	F XX	B VIII	D VIII	G VI	C V	E IV	I III	C II
20	F XI	B XIX	B XXI	E IX	G IX	C VII	E VII	A V	D IV	F III	D II	D I
21	G X	C XVIII	C XX	F XVIII	A XVIII	D VI	F VI	B IV	E III	G II	E	X
22	A IX	D XVII	D IX	G XVII	E XVII	B V	C V	D III	F II	A I	D	F XXIX
23	B VIII	E VI	E XXII	A VI	C VI	F IV	A IV	D II	G I	B *	E XXIX	G XXVIII
24	C VII	F V	F XXII	B V	D V	G III	B III	E I	A *	C XXIX	F XXVIII	A XXVII
25	D VI	G IV	G XXII	C IV	E IV	A II	C II	F *	B XXIX	D XXVIII	G XXVII	B XXVI
26	E V	A III	A V	D III	F III	B I	D I	G XXIX	C XXVIII	E XXVII	A XXV	C XXV
27	F IV	B II	B IV	E II	G II	C *	E *	A XXVIII	D XXVII	F XXVI	B XXIV	D XXIV
28	G III	C I	C III	F I	A I	D XXIX	F XXIX	B XXVIII	E XXVI	A XXIV	C XXIII	F XXII
29	A II	e	D I	G	C	XXVIII	G XXVIII	C XXVI	A XXIV	D XXIII	E XXII	F XXI
30	B I	E	A	A XXIX	C XXIX	F XXVII	A XXVII	D XXV	G XXIII	B XXII	E XXI	G XX
31	C *	F *	F	D XXVIII	E XXVIII	F XXVI	B XXVI	E XXIV	C XXII	E	A	XI

Der Tag, welcher mit dem Sonntagsbuchstaben des Jahres gleichen Buchstaben hat, ist Sonntag, der Tag, welcher mit dem Epakte des Jahres übereinstimmt, ist Neumondstag oder Luna I, der folgende Luna II u. s. f. Die kleinen Buchstaben gelten für Schaltjahre.

Julianisches und Gregorianisches Sonnenjahr.

Namen einzelner Tage des Jahres, welche häufig beim Datiren benützt wurden.

Tafel A.)

Katholischer Kalender		Protestantischer Kalender		Oriechischer Kalender		Jahre der julianischen Periode	Jahre v. Christi chronologisch	Jahre v. Christi astronomisch	Römischer Kalender		Spanische Aera		Kalenderreform		Jahre der Stadt		ab urbis condita		Jahre der julianischen Periode		Jahre v. Christi		Kalenderzahl
Januar	August	Januar	August	Januar	August				Januar	August	Januar	August	Januar	August	Januar	August	Januar	August	Januar	August	Januar	August	
1. Epiphanie	1. Petri Apost.	1. Epiphanie	1. Petri Apost.	1. Epiphanie	1. Petri Apost.	1. Epiphanie	1. Petri Apost.	1. Epiphanie	1. Epiphanie	1. Petri Apost.	1. Epiphanie	1. Petri Apost.	1. Epiphanie	1. Petri Apost.	1. Epiphanie	1. Petri Apost.	1. Epiphanie	1. Petri Apost.	1. Epiphanie	1. Petri Apost.	1. Epiphanie	1. Petri Apost.	1. Epiphanie
2. Valentia	2. Portianus	2. Valentia	2. Portianus	2. Valentia	2. Portianus	2. Valentia	2. Portianus	2. Valentia	2. Valentia	2. Portianus	2. Valentia	2. Portianus	2. Valentia	2. Portianus	2. Valentia	2. Portianus	2. Valentia	2. Portianus	2. Valentia	2. Portianus	2. Valentia	2. Portianus	2. Valentia
3. Severin	3. Modestus	3. Severin	3. Modestus	3. Severin	3. Modestus	3. Severin	3. Modestus	3. Severin	3. Severin	3. Modestus	3. Severin	3. Modestus	3. Severin	3. Modestus	3. Severin	3. Modestus	3. Severin	3. Modestus	3. Severin	3. Modestus	3. Severin	3. Modestus	3. Severin
4. Anton	4. Petri Apost.	4. Anton	4. Petri Apost.	4. Anton	4. Petri Apost.	4. Anton	4. Petri Apost.	4. Anton	4. Anton	4. Petri Apost.	4. Anton	4. Petri Apost.	4. Anton	4. Petri Apost.	4. Anton	4. Petri Apost.	4. Anton	4. Petri Apost.	4. Anton	4. Petri Apost.	4. Anton	4. Petri Apost.	4. Anton
5. Fabian	5. Laurentius	5. Fabian	5. Laurentius	5. Fabian	5. Laurentius	5. Fabian	5. Laurentius	5. Fabian	5. Fabian	5. Laurentius	5. Fabian	5. Laurentius	5. Fabian	5. Laurentius	5. Fabian	5. Laurentius	5. Fabian	5. Laurentius	5. Fabian	5. Laurentius	5. Fabian	5. Laurentius	5. Fabian
6. Agnes Mariä	6. Petri Apost.	6. Agnes Mariä	6. Petri Apost.	6. Agnes Mariä	6. Petri Apost.	6. Agnes Mariä	6. Petri Apost.	6. Agnes Mariä	6. Agnes Mariä	6. Petri Apost.	6. Agnes Mariä	6. Petri Apost.	6. Agnes Mariä	6. Petri Apost.	6. Agnes Mariä	6. Petri Apost.	6. Agnes Mariä	6. Petri Apost.	6. Agnes Mariä	6. Petri Apost.	6. Agnes Mariä	6. Petri Apost.	6. Agnes Mariä
7. Mar. Verm.	7. Mar. Verm.	7. Mar. Verm.	7. Mar. Verm.	7. Mar. Verm.	7. Mar. Verm.	7. Mar. Verm.	7. Mar. Verm.	7. Mar. Verm.	7. Mar. Verm.	7. Mar. Verm.	7. Mar. Verm.	7. Mar. Verm.	7. Mar. Verm.	7. Mar. Verm.	7. Mar. Verm.	7. Mar. Verm.	7. Mar. Verm.	7. Mar. Verm.	7. Mar. Verm.	7. Mar. Verm.	7. Mar. Verm.	7. Mar. Verm.	7. Mar. Verm.
8. Pauli Petr.	8. Pauli Petr.	8. Pauli Petr.	8. Pauli Petr.	8. Pauli Petr.	8. Pauli Petr.	8. Pauli Petr.	8. Pauli Petr.	8. Pauli Petr.	8. Pauli Petr.	8. Pauli Petr.	8. Pauli Petr.	8. Pauli Petr.	8. Pauli Petr.	8. Pauli Petr.	8. Pauli Petr.	8. Pauli Petr.	8. Pauli Petr.	8. Pauli Petr.	8. Pauli Petr.	8. Pauli Petr.	8. Pauli Petr.	8. Pauli Petr.	8. Pauli Petr.
9. Februar	9. Februar	9. Februar	9. Februar	9. Februar	9. Februar	9. Februar	9. Februar	9. Februar	9. Februar	9. Februar	9. Februar	9. Februar	9. Februar	9. Februar	9. Februar	9. Februar	9. Februar	9. Februar	9. Februar	9. Februar	9. Februar	9. Februar	9. Februar
10. März	10. März	10. März	10. März	10. März	10. März	10. März	10. März	10. März	10. März	10. März	10. März	10. März	10. März	10. März	10. März	10. März	10. März	10. März	10. März	10. März	10. März	10. März	10. März
11. April	11. April	11. April	11. April	11. April	11. April	11. April	11. April	11. April	11. April	11. April	11. April	11. April	11. April	11. April	11. April	11. April	11. April	11. April	11. April	11. April	11. April	11. April	11. April
12. Mai	12. Mai	12. Mai	12. Mai	12. Mai	12. Mai	12. Mai	12. Mai	12. Mai	12. Mai	12. Mai	12. Mai	12. Mai	12. Mai	12. Mai	12. Mai	12. Mai	12. Mai	12. Mai	12. Mai	12. Mai	12. Mai	12. Mai	12. Mai
13. Juni	13. Juni	13. Juni	13. Juni	13. Juni	13. Juni	13. Juni	13. Juni	13. Juni	13. Juni	13. Juni	13. Juni	13. Juni	13. Juni	13. Juni	13. Juni	13. Juni	13. Juni	13. Juni	13. Juni	13. Juni	13. Juni	13. Juni	13. Juni
14. Juli	14. Juli	14. Juli	14. Juli	14. Juli	14. Juli	14. Juli	14. Juli	14. Juli	14. Juli	14. Juli	14. Juli	14. Juli	14. Juli	14. Juli	14. Juli	14. Juli	14. Juli	14. Juli	14. Juli	14. Juli	14. Juli	14. Juli	14. Juli
15. August	15. August	15. August	15. August	15. August	15. August	15. August	15. August	15. August	15. August	15. August	15. August	15. August	15. August	15. August	15. August	15. August	15. August	15. August	15. August	15. August	15. August	15. August	15. August
16. September	16. September	16. September	16. September	16. September	16. September	16. September	16. September	16. September	16. September	16. September	16. September	16. September	16. September	16. September	16. September	16. September	16. September	16. September	16. September	16. September	16. September	16. September	16. September
17. Oktober	17. Oktober	17. Oktober	17. Oktober	17. Oktober	17. Oktober	17. Oktober	17. Oktober	17. Oktober	17. Oktober	17. Oktober	17. Oktober	17. Oktober	17. Oktober	17. Oktober	17. Oktober	17. Oktober	17. Oktober	17. Oktober	17. Oktober	17. Oktober	17. Oktober	17. Oktober	17. Oktober
18. November	18. November	18. November	18. November	18. November	18. November	18. November	18. November	18. November	18. November	18. November	18. November	18. November	18. November	18. November	18. November	18. November	18. November	18. November	18. November	18. November	18. November	18. November	18. November
19. Dezember	19. Dezember	19. Dezember	19. Dezember	19. Dezember	19. Dezember	19. Dezember	19. Dezember	19. Dezember	19. Dezember	19. Dezember	19. Dezember	19. Dezember	19. Dezember	19. Dezember	19. Dezember	19. Dezember	19. Dezember	19. Dezember	19. Dezember	19. Dezember	19. Dezember	19. Dezember	19. Dezember
20. Januar	20. Januar	20. Januar	20. Januar	20. Januar	20. Januar	20. Januar	20. Januar	20. Januar	20. Januar	20. Januar	20. Januar	20. Januar	20. Januar	20. Januar	20. Januar	20. Januar	20. Januar	20. Januar	20. Januar	20. Januar	20. Januar	20. Januar	20. Januar
21. Februar	21. Februar	21. Februar	21. Februar	21. Februar	21. Februar	21. Februar	21. Februar	21. Februar	21. Februar	21. Februar	21. Februar	21. Februar	21. Februar	21. Februar	21. Februar	21. Februar	21. Februar	21. Februar	21. Februar	21. Februar	21. Februar	21. Februar	21. Februar
22. März	22. März	22. März	22. März	22. März	22. März	22. März	22. März	22. März	22. März	22. März	22. März	22. März	22. März	22. März	22. März	22. März	22. März	22. März	22. März	22. März	22. März	22. März	22. März
23. April	23. April	23. April	23. April	23. April	23. April	23. April	23. April	23. April	23. April	23. April	23. April	23. April	23. April	23. April	23. April	23. April	23. April	23. April	23. April	23. April	23. April	23. April	23. April
24. Mai	24. Mai	24. Mai	24. Mai	24. Mai	24. Mai	24. Mai	24. Mai	24. Mai	24. Mai	24. Mai	24. Mai	24. Mai	24. Mai	24. Mai	24. Mai	24. Mai	24. Mai	24. Mai	24. Mai	24. Mai	24. Mai	24. Mai	24. Mai
25. Juni	25. Juni	25. Juni	25. Juni	25. Juni	25. Juni	25. Juni	25. Juni	25. Juni	25. Juni	25. Juni	25. Juni	25. Juni	25. Juni	25. Juni	25. Juni	25. Juni	25. Juni	25. Juni	25. Juni	25. Juni	25. Juni	25. Juni	25. Juni
26. Juli	26. Juli	26. Juli	26. Juli	26. Juli	26. Juli	26. Juli	26. Juli	26. Juli	26. Juli	26. Juli	26. Juli	26. Juli	26. Juli	26. Juli	26. Juli	26. Juli	26. Juli	26. Juli	26. Juli	26. Juli	26. Juli	26. Juli	26. Juli
27. August	27. August	27. August	27. August	27. August	27. August	27. August	27. August	27. August	27. August	27. August	27. August	27. August	27. August	27. August	27. August	27. August	27. August	27. August	27. August	27. August	27. August	27. August	27. August
28. September	28. September	28. September	28. September	28. September	28. September	28. September	28. September	28. September	28. September	28. September	28. September	28. September	28. September	28. September	28. September	28. September	28. September	28. September	28. September	28. September	28. September	28. September	28. September
29. Oktober	29. Oktober	29. Oktober	29. Oktober	29. Oktober	29. Oktober	29. Oktober	29. Oktober	29. Oktober	29. Oktober	29. Oktober	29. Oktober	29. Oktober	29. Oktober	29. Oktober	29. Oktober	29. Oktober	29. Oktober	29. Oktober	29. Oktober	29. Oktober	29. Oktober	29. Oktober	29. Oktober
30. November	30. November	30. November	30. November	30. November	30. November	30. November	30. November	30. November	30. November	30. November	30. November	30. November	30. November	30. November	30. November	30. November	30. November	30. November	30. November	30. November	30. November	30. November	30. November
31. Dezember	31. Dezember	31. Dezember	31. Dezember	31. Dezember	31. Dezember	31. Dezember	31. Dezember	31. Dezember	31. Dezember	31. Dezember	31. Dezember	31. Dezember	31. Dezember	31. Dezember	31. Dezember	31. Dezember	31. Dezember	31. Dezember	31. Dezember	31. Dezember	31. Dezember	31. Dezember	31. Dezember

Gregorianischer Kalender.

Tafel B.)

Jahr	Kalenderzahl
1500	2208 922
1501	2209 447
1502	2210 971
1503	2212 495
1504	2214 019
1505	2215 543
1506	2217 067
1507	2218 591
1508	2220 115
1509	2221 639
1510	2223 163
1511	2224 687
1512	2226 211
1513	2227 735
1514	2229 259
1515	2230 783
1516	2232 307
1517	2233 831
1518	2235 355
1519	2236 879
1520	2238 403
1521	2239 927
1522	2241 451
1523	2242 975
1524	2244 500
1525	2245 524
1526	2247 048
1527	2248 572
1528	2250 096
1529	2251 620
1530	2253 144
1531	2254 668
1532	2256 192
1533	2257 716
1534	2259 240
1535	2260 764
1536	2262 288
1537	2263 812
1538	2265 336
1539	2266 860
1540	2268 384
1541	2269 908
1542	2271 432
1543	2272 956
1544	2274 480
1545	2275 504
1546	2277 028
1547	2278 552
1548	2280 076
1549	2281 600
1550	2283 124
1551	2284 648
1552	2286 172
1553	2287 696
1554	2289 220
1555	2290 744
1556	2292 268
1557	2293 792
1558	2295 316
1559	2296 840
1560	2298 364
1561	2299 888
1562	2301 412
1563	2302 936
1564	2304 460
1565	2305 984
1566	2307 508
1567	2309 032
1568	2310 556
1569	2312 080
1570	2313 604
1571	2315 128
1572	2316 652
1573	2318 176
1574	2319 700
1575	2321 224
1576	2322 748
1577	2324 272
1578	2325 796
1579	2327 320
1580	2328 844
1581	2330 368
1582	2331 892
1583	2333 416
1584	2334 940
1585	2336 464
1586	2337 988
1587	2339 512
1588	2340 536
1589	2342 060
1590	2343 584
1591	2345 108
1592	2346 632
1593	2348 156
1594	2349 680
1595	2351 204
1596	2352 728
1597	2354 252
1598	2355 776
1599	2357 300
1600	2358 824
1601	2360 348
1602	2361 872
1603	2363 396
1604	2364 920
1605	2366 444
1606	2367 968
1607	2369 492
1608	2371 016
1609	2372 540
1610	2374 064
1611	2375 588
1612	2377 112
1613	2378 636
1614	2380 160
1615	2381 684
1616	2383 208
1617	2384 732
1618	2386 256
1619	2387 780
1620	2389 304
1621	2390 828
1622	2392 352
1623	2393 876
1624	2395 400
1625	2396 924
1626	2398 448
1627	2399 972
1628	2401 496
1629	2402 520
1630	2404 044
1631	2405 568
1632	2407 092
1633	2408 616
1634	2410 140
1635	2411 664
1636	2413 188
1637	2414 712
1638	2416 236
1639	2417 760
1640	2419 284
1641	2420 808
1642	2422 332
1643	2423 856
1644	2425 380
1645	2426 904
1646	2428 428
1647	2429 952
1648	2431 476
1649	2432 500
1650	2434 024
1651	2435 548
1652	2437 072
1653	2438 596
1654	2440 120
1655	2441 644
1656	2443 168
1657	2444 692
1658	2446 216
1659	2447 740
1660	2449 264

Wlftafel für Chronologie.
Julianisches und Gregorianisches Sonnenjahr.
Tafel II.

309

	1	2	3	4	5	6	7	8	9	10	11	12		1	2	3	4	5	6	7	8	9	10	11	12		
Jahr	Januar	Februar	März	April	Mai	Juni	Juli	August	September	October	November	December	Kalender- zahl	Jahr	Januar	Februar	März	April	Mai	Juni	Juli	August	September	October	November	December	Kalender- zahl
000	K. 1001	032	060	091	121	152	182	211	244	274	305	335	718.95														
001	000	031	060	091	121	152	182	211	244	274	305	335	718.95	18	203	294	322	353	383	414	444	475	506	536	567	597	106.34
002	001	306	337	435	430	436	517	547	575	600	630	700	607.00	51	605	605	607	718	748	777	800	831	861	891	921	952	725.20
003	002	731	702	799	821	854	882	912	942	974	1004	1035	1065	52	903	924	957	984	1114	1145	1175	1207	1237	1268	1298	104.24	
004	003	122	153	186	210	247	277	308	339	369	400	430	458.00	53	1350	1390	1418	1440	1470	1510	1550	1571	1602	1632	1663	1693	403.10
005	004	401	421	552	558	582	611	641	674	705	735	760	1004.75	54	724	755	783	814	844	875	905	936	967	997	1028	1058	332.14
006														55	20	080	120	148	179	200	240	270	311	332	362	391	211.00
007														56	454	485	514	545	575	600	630	667	698	728	759	789	2100.04
008														57	820	854	879	910	940	971	1001	1032	1063	1093	1124	1154	618.05
009														58	21	185	210	244	275	305	336	366	397	428	458	489	507.90
010														59	550	581	609	640	670	701	731	762	793	823	854	884	420.85
011														60	01	5	940	975	1006	1036	1067	1097	1128	1159	1189	1220	1015.80
012														61	281	312	340	374	401	432	462	491	524	554	585	615	104.75
013														62	940	977	1005	1036	1067	1097	1128	1159	1189	1220	1250	1281	723.70
014														63	21	01	1042	1070	1101	1131	1162	1192	1223	1254	1284	1315	612.05
015														64	370	407	430	467	497	528	558	589	620	650	681	711	1501.00
016														65	742	771	801	831	862	891	921	954	985	1015	1046	1076	320.55
017														66	207	138	160	197	227	258	288	319	350	380	411	441	209.40
018														67	472	503	531	562	592	623	653	684	715	746	776	806	128.44
019														68	837	868	897	928	959	990	1020	1050	1081	1111	1142	1172	207.10
020														69	203	234	262	293	323	354	384	415	446	476	507	537	500.34
021														70	508	590	627	658	688	719	749	780	811	841	872	902	425.20
022														71	013	004	993	1023	1053	1084	1114	1145	1176	1206	1237	1267	314.24
023														72	208	220	358	389	419	450	481	512	542	572	603	633	1501.09
024														73	604	695	723	754	784	815	845	876	907	937	968	999	723.14
025														74	020	000	085	119	149	180	210	241	272	302	333	363	611.09
026														75	394	425	451	484	514	545	575	606	637	667	698	728	500.04
027														76	759	790	819	850	880	911	941	972	1002	1033	1063	1094	571.05
028														77	125	156	184	215	245	276	306	337	368	398	429	459	207.90
029														78	400	521	549	580	610	641	671	702	733	764	794	824	120.85
030														79	855	884	914	945	975	1006	1036	1067	1097	1128	1159	1189	715.80
031														80	220	251	280	311	341	372	402	433	464	494	525	555	1004.75
032														81	590	627	645	676	706	737	767	798	828	859	890	920	423.70
033														82	051	082	110	141	171	202	232	263	293	324	354	385	312.05
034														83	310	347	375	406	436	467	497	528	558	589	620	650	210.00
035														84	081	112	141	172	202	233	263	294	325	355	386	416	201.55
036														85	31	047	078	100	137	167	198	228	259	290	321	351	609.40
037														86	412	443	471	502	532	563	593	624	655	686	716	747	528.44
038														87	777	808	830	867	901	935	969	1003	1037	1071	1105	1139	104.70
039														88	142	173	202	231	261	290	320	350	380	410	440	470	1000.10
040														89	508	539	567	598	629	660	690	721	751	781	812	842	125.20
041														90	873	904	932	961	991	1024	1055	1086	1116	1146	1177	1207	714.24
042														91	238	269	297	328	358	389	419	450	481	511	542	572	603.19
043														92	601	634	664	694	724	755	785	816	847	877	908	938	1822.14
044														93	960	1000	1028	1058	1088	1118	1148	1178	1208	1238	1268	1298	311.09
045														94	334	365	393	424	454	485	515	546	577	607	638	668	200.04
046														95	699	730	758	789	819	850	880	911	942	972	1003	1033	118.95
047														96	554	604	625	124	155	185	216	246	277	308	339	369	2007.90
048														97	430	461	490	520	550	581	611	642	673	704	734	764	520.85
049														98	795	826	854	885	915	946	976	1007	1037	1068	1098	1128	415.80
050														99	160	191	219	250	280	311	341	372	403	433	464	494	304.75

Kalender- jahr Zähler und Erklärungen	Hundert												1. oder 2.												2. oder 3.												3. oder 10.												4. oder 11.																																																																										
	100						10						1						100						10						1						100						10						1						100						10						1																																																								
	0	1	2	3	4	5	6	7	8	9	0	1	2	3	4	5	6	7	8	9	0	1	2	3	4	5	6	7	8	9	0	1	2	3	4	5	6	7	8	9	0	1	2	3	4	5	6	7	8	9	0	1	2	3	4	5	6	7	8	9																																																															
Januar 31 Tage	1	2	3	4	5	6	7	8	9	10	11	12	13	14	15	16	17	18	19	20	21	22	23	24	25	26	27	28	29	30	31	1	2	3	4	5	6	7	8	9	10	11	12	13	14	15	16	17	18	19	20	21	22	23	24	25	26	27	28	29	30	31																																																													
Februar 28 Tage	1	2	3	4	5	6	7	8	9	10	11	12	13	14	15	16	17	18	19	20	21	22	23	24	25	26	27	28	1	2	3	4	5	6	7	8	9	10	11	12	13	14	15	16	17	18	19	20	21	22	23	24	25	26	27	28																																																																			
März 31 Tage	1	2	3	4	5	6	7	8	9	10	11	12	13	14	15	16	17	18	19	20	21	22	23	24	25	26	27	28	29	30	31	1	2	3	4	5	6	7	8	9	10	11	12	13	14	15	16	17	18	19	20	21	22	23	24	25	26	27	28	29	30	31																																																													
April 30 Tage	1	2	3	4	5	6	7	8	9	10	11	12	13	14	15	16	17	18	19	20	21	22	23	24	25	26	27	28	29	30	1	2	3	4	5	6	7	8	9	10	11	12	13	14	15	16	17	18	19	20	21	22	23	24	25	26	27	28	29	30																																																															
Mai 31 Tage	1	2	3	4	5	6	7	8	9	10	11	12	13	14	15	16	17	18	19	20	21	22	23	24	25	26	27	28	29	30	31	1	2	3	4	5	6	7	8	9	10	11	12	13	14	15	16	17	18	19	20	21	22	23	24	25	26	27	28	29	30	31																																																													
Juni 30 Tage	1	2	3	4	5	6	7	8	9	10	11	12	13	14	15	16	17	18	19	20	21	22	23	24	25	26	27	28	29	30	1	2	3	4	5	6	7	8	9	10	11	12	13	14	15	16	17	18	19	20	21	22	23	24	25	26	27	28	29	30																																																															
Juli 31 Tage	1	2	3	4	5	6	7	8	9	10	11	12	13	14	15	16	17	18	19	20	21	22	23	24	25	26	27	28	29	30	31	1	2	3	4	5	6	7	8	9	10	11	12	13	14	15	16	17	18	19	20	21	22	23	24	25	26	27	28	29	30	31																																																													
August 31 Tage	1	2	3	4	5	6	7	8	9	10	11	12	13	14	15	16	17	18	19	20	21	22	23	24	25	26	27	28	29	30	31	1	2	3	4	5	6	7	8	9	10	11	12	13	14	15	16	17	18	19	20	21	22	23	24	25	26	27	28	29	30	31																																																													
September 30 Tage	1	2	3	4	5	6	7	8	9	10	11	12	13	14	15	16	17	18	19	20	21	22	23	24	25	26	27	28	29	30	1	2	3	4	5	6	7	8	9	10	11	12	13	14	15	16	17	18	19	20	21	22	23	24	25	26	27	28	29	30																																																															
Oktober 31 Tage	1	2	3	4	5	6	7	8	9	10	11	12	13	14	15	16	17	18	19	20	21	22	23	24	25	26	27	28	29	30	31	1	2	3	4	5	6	7	8	9	10	11	12	13	14	15	16	17	18	19	20	21	22	23	24	25	26	27	28	29	30	31																																																													
November 30 Tage	1	2	3	4	5	6	7	8	9	10	11	12	13	14	15	16	17	18	19	20	21	22	23	24	25	26	27	28	29	30	1	2	3	4	5	6	7	8	9	10	11	12	13	14	15	16	17	18	19	20	21	22	23	24	25	26	27	28	29	30																																																															
December 31 Tage	1	2	3	4	5	6	7	8	9	10	11	12	13	14	15	16	17	18	19	20	21	22	23	24	25	26	27	28	29	30	31	1	2	3	4	5	6	7	8	9	10	11	12	13	14	15	16	17	18	19	20	21	22	23	24	25	26	27	28	29	30	31																																																													
Kalender- schlüssel.	0	1	2	3	4	5	6	7	8	9	10	11	12	13	14	15	16	17	18	19	20	21	22	23	24	25	26	27	28	29	30	31	1	2	3	4	5	6	7	8	9	10	11	12	13	14	15	16	17	18	19	20	21	22	23	24	25	26	27	28	29	30	31																																																												
* Im gregorianischen Kalender: 11 - 39, 39 52 - 94, 29																																																														** Im gregorianischen Kalender: 79, 10 - 79 10, 10 - 29																																																													

Hilfstafeln für Chronologie.

der Christen.

[illegible]

Die Kalenderzahl mit welcher man den Kalender zu wählen hat, ist die Summe der betreffenden Kalenderzahlen aus I und II. In jedem Kalender sind nur die Daten der Sonn- und Fest-Tage angeführt und abgekürzt angesetzt wie für Feste es sind.

Festkalender

[illegible]

* Im gregorianischen Kalender 21. – 28.

²² Im gregorianischen Kalender: 28.10.

der Christen.

[illegible]

Denkschriften der mathem.-naturw. Cl. XLV, Bd. Abhandlungen von Nichtmitgliedern

Jahrform und Consularverzeichnis der Römer.

Das älteste römische Jahr soll schmonatlich gewesen sein, indem es die Monate Januar und Februar nicht enthielt. Das Jahr, welches von Numa eingeführt wurde, war eine Art Lunisolarjahr, entfernte sich jedoch in Folge seiner Einrichtung sehr bald sowohl vom Mond- als vom Sonnenlaufe; es enthielt die später gebräuchlichen 12 Monate, doch wurde in Schaltjahren nach dem Februar ein Schaltmonat Mercedonius von 22 oder 23 Tagen eingeschaltet. Es sollte jedes zweite Jahr Schaltjahr sein, und die Einschaltung von 22 und 23 Tagen alterniren, doch wurde nur verhältnissmässig kurze Zeit nach einer bestimmten Regel vorgegangen, und später wurde die Bestimmung darüber, ob in einem Jahre eingeschaltet werden sollte oder nicht, ganz dem Belieben der Pontifices überlassen. Dadurch kam der Kalender in solche Unordnung, dass sich die Jahre um mehrere Monate gegen die Jahreszeiten, also auch gegen den zurückgerechneten julianischen Kalender, verschoben.

Es lässt sich daher wegen der grossen Willkür, welche im Kalenderwesen herrschte, und den grossen Verschiebungen, welche die einzelnen Jahre erlitten, bis zur Zeit Caesars nichts Bestimmtes über die Reduction eines römischen Datums auf irgend ein anderes sagen, und man muss sich mit der Annäherung begnügen, welche man erhält, indem man die von Cäsar eingeführte Jahrform auch für die frühere Zeit gelten lässt.

Die unter dieser Voraussetzung gerechnete Tafel für die Jahre der Stadt findet sich auf pag. 20, gibt aber für Daten des verschobenen römischen Jahres nur genährte Werthe. Nur im sogenannten Rustikalkalender ausgedrückte Daten, bei denen angeführt wird, wie viel Tage (partes) seit dem Eintritte der Sonne in ein Zeichen verlossen sind, lassen sich ziemlich genau auf den zurückgerechneten julianischen Kalender reduciren, da man die ersten Tage der Zeichen in dem Kalender pag. 30 und 31 angesetzt findet und diese Ansätze, welche sich übrigens um etwa acht Tage von dem astronomischen Eintritte der Sonne in die betreffenden Zeichen unterscheiden, nur um ein bis zwei Tage schwanken. So entspricht z. B. „aelo partem nonam geminorum obtinuit“ dem 27. Mai julianisch, da der erste Tag der Zwillinge (pag. 30) auf den 19. Mai fällt.

In den römischen Zeitangaben werden selten Jahre der Stadt genannt, sondern es ist das Jahr fast immer nur durch die Namen der zwei Consuls bezeichnet, welche in denselben amtierten. Um nun ein solches durch die Namen der Consuls bezeichnetes Jahr auf das entsprechende Jahr der Stadt reduciren zu können, folgt ein Verzeichniss der römischen Consuls mit Angabe des Jahres der Stadt, in dem sie amtierten. Dasselbe ist nach dem Verzeichnisse von Almeloveen „Fastorum Romanorum Consularium libri duo“ entworfen und zwar ist dabei das zweite, nämlich das alphabetische Verzeichniss Almeloveen's zu Grunde gelegt, da man im Allgemeinen zu den gegebenen Namen der Consuls das Jahr, nicht aber an einem gegebenen Jahre die Consuls anzusehen hat.

Die gedrängte Form, in welche dieses Verzeichniss gefasst werden musste, machte eine etwas complicirtere Einrichtung desselben notwendig, welche hier kurz erklärt werden soll. Der Umstand, dass einestheils häufig dieselbe Person mehrmals das Consulat bekleidete, andererseits es auch der Mangel an Raum nicht gestattete, die Vornamen mit aufzunehmen, so dass auch verschiedene Consuls unter dem ihren gemeinsamen Familiennamen zusammengefasst werden mussten, bringt es mit sich, dass sehr häufig zu einem und demselben Namen mehrere Jahre gehören. Die Entscheidung, welches von diesen Jahren in einem speciellen Falle zu wählen ist, kann nur der Name des zweiten Consuls bringen, es wurde daher in dem folgenden Verzeichnisse den Angaben der Jahre, in denen ein Consul amtierte, stets ein oder mehrere Buchstaben angehängt, welche abkürzend den Namen des zweiten Consuls anzeigen, so dass man auch bei einer grösseren Zahl von zu einem Namen gehörigen Jahresangaben doch in einem bestimmten Falle nicht in Zweifel sein kann, welche zu wählen ist.

Noch ist zu bemerken, dass in den römischen Zeitangaben bei Nennung der Consuls den Namen derjenigen, welche mehr als einmal das Consulat bekleideten, eine Ordnungszahl angehängt wird, welche anzeigt, das wievielte Consulat gemeint sei. Diese Zahlen finden sich auch in dem folgenden Verzeichnisse angeführt, und zwar beziehen sich hierbei die vor den Jahreszahlen stehenden römischen Ziffern auf den ersten, die abgekürzten Namen der Mitconsuls folgenden Ziffern dagegen auf den zweiten Consul.

Man findet das zu einem gegebenen Consulate gehörige Jahr sowohl unter dem Namen des einen, als auch des andern Consuls. Hätte man beispielsweise die Angabe „Didio et Metello consuls“, so findet man unter Didius sofort das Jahr 655; nicht man unter Metellus, so findet man zwar bei diesem Namen viele Jahresangaben, aber auch da sieht man sofort, dass nur das Jahr 655 gemeint sein könne, da nur bei diesem Jahre der der Jahresangabe folgende Buchstabe mit dem Anfangsbuchstaben des zweiten Consuls Didius stimmt. Hätte man ebenso „Commodo V et Glabrio H consuls“, so findet man ebenfalls sowohl bei Commodus unter V das Jahr 939 und den zweiten Consul G(labrio), als auch bei Glabrio unter H dasselbe Jahr 939 und den Namen des zweiten Consuls C(ommodus) V.

Verzeichniss der römischen Consuln.

[illegible]

Verzeichniß der römischen Consuln.

Ravilla 627 C.	Savario 451 B.	763 D. 127 Par. II 941	III 1162 H. VII 1164	Ulpia 994 P. 1182 C.	830 V. T. VI. IX 830 V.
Ravilla 709 M.	Savaria 420 C. 462 G.	764 D. 127 Par. II 941	V 1455 H. IX. VI 1168 H.	Ursus 1094 P.	T. VII.
Regillanus 201 M. 289 P.	Savaria 201 Ck. 452 C.	765 D. 127 Par. II 941	X. VII 1169 P. VIII 1171	Ursus 982 M.	Varinius 816 R.
II. 293 B. 359 P. 7.	Savaria 201 Ck. 452 C.	766 D. 127 Par. II 941	II. XII 1172 H. III 1173 H.	Ursus 982 M.	Varinius 816 R.
Regilla 510 Ba. 497 B01 P.	Savaria 201 Ck. 452 C.	767 D. 127 Par. II 941	1173 H. III. II 1174 H.	Ursus 982 M.	Varinius 816 R.
517 P. 481 La. 495 La.	Savaria 201 Ck. 452 C.	768 D. 127 Par. II 941	X. VII 1175 H. XI 1176 H.	Ursus 982 M.	Varinius 816 R.
463 Ma. II. 529 P. 616 B.	Savaria 201 Ck. 452 C.	769 D. 127 Par. II 941	V III. XIV 1186 M. XV	Ursus 982 M.	Varinius 816 R.
11 364 V.	Savaria 201 Ck. 452 C.	770 D. 127 Par. II 941	1186 V. IV. XV 1189	Ursus 982 M.	Varinius 816 R.
Rex 618 C.	Savaria 201 Ck. 452 C.	771 D. 127 Par. II 941	P. X. XII 1192 H. XIII 1193	Ursus 982 M.	Varinius 816 R.
Richomer 1121 C.	Savaria 201 Ck. 452 C.	772 D. 127 Par. II 941	1193 H. IV. XV 1196	Ursus 982 M.	Varinius 816 R.
Richter 1212 P.	Savaria 201 Ck. 452 C.	773 D. 127 Par. II 941	V. XII 1197 H. VI 1198	Ursus 982 M.	Varinius 816 R.
Romulus 200 V.	Savaria 201 Ck. 452 C.	774 D. 127 Par. II 941	1198 V. IV. XV 1199	Ursus 982 M.	Varinius 816 R.
Romulus 1608 P.	Savaria 201 Ck. 452 C.	775 D. 127 Par. II 941	P. X. XII 1199 H. XIII 1200	Ursus 982 M.	Varinius 816 R.
Rothallus 1782 P.	Savaria 201 Ck. 452 C.	776 D. 127 Par. II 941	1200 V. IV. XV 1201	Ursus 982 M.	Varinius 816 R.
Rothallus 561 P. 1615	Savaria 201 Ck. 452 C.	777 D. 127 Par. II 941	1201 V. IV. XV 1202	Ursus 982 M.	Varinius 816 R.
V. II.	Savaria 201 Ck. 452 C.	778 D. 127 Par. II 941	1202 V. IV. XV 1203	Ursus 982 M.	Varinius 816 R.
Rufus 1145 An. 1145 A.	Savaria 201 Ck. 452 C.	779 D. 127 Par. II 941	1203 V. IV. XV 1204	Ursus 982 M.	Varinius 816 R.
II. II. 417 B. II. 7464 D.	Savaria 201 Ck. 452 C.	780 D. 127 Par. II 941	1204 V. IV. XV 1205	Ursus 982 M.	Varinius 816 R.
1100 R. 150 L. 715 N.	Savaria 201 Ck. 452 C.	781 D. 127 Par. II 941	1205 V. IV. XV 1206	Ursus 982 M.	Varinius 816 R.
951 Ps. 266 P. II. 805 Q.	Savaria 201 Ck. 452 C.	782 D. 127 Par. II 941	1206 V. IV. XV 1207	Ursus 982 M.	Varinius 816 R.
1062 Na. 1076 Na.	Savaria 201 Ck. 452 C.	783 D. 127 Par. II 941	1207 V. IV. XV 1208	Ursus 982 M.	Varinius 816 R.
Rufus 738 An. 641 An. 812	Savaria 201 Ck. 452 C.	784 D. 127 Par. II 941	1208 V. IV. XV 1209	Ursus 982 M.	Varinius 816 R.
Al. 411 111 An. 111 An. 812	Savaria 201 Ck. 452 C.	785 D. 127 Par. II 941	1209 V. IV. XV 1210	Ursus 982 M.	Varinius 816 R.
557 C. 1210 C. 557 D.	Savaria 201 Ck. 452 C.	786 D. 127 Par. II 941	1210 V. IV. XV 1211	Ursus 982 M.	Varinius 816 R.
11 826 D. IX. 141 D. XIV.	Savaria 201 Ck. 452 C.	787 D. 127 Par. II 941	1211 V. IV. XV 1212	Ursus 982 M.	Varinius 816 R.
775 P. 201 P. 583 Ma.	Savaria 201 Ck. 452 C.	788 D. 127 Par. II 941	1212 V. IV. XV 1213	Ursus 982 M.	Varinius 816 R.
703 Mar. 649 Ma.	Savaria 201 Ck. 452 C.	789 D. 127 Par. II 941	1213 V. IV. XV 1214	Ursus 982 M.	Varinius 816 R.
450 N. III. 450 O. 111	Savaria 201 Ck. 452 C.	790 D. 127 Par. II 941	1214 V. IV. XV 1215	Ursus 982 M.	Varinius 816 R.
Q. 816 R. 750 S. 606 R.	Savaria 201 Ck. 452 C.	791 D. 127 Par. II 941	1215 V. IV. XV 1216	Ursus 982 M.	Varinius 816 R.
Rutilius 1 435 C. II. 415	Savaria 201 Ck. 452 C.	792 D. 127 Par. II 941	1216 V. IV. XV 1217	Ursus 982 M.	Varinius 816 R.
II. 417 M. II. IV. 417 N.	Savaria 201 Ck. 452 C.	793 D. 127 Par. II 941	1217 V. IV. XV 1218	Ursus 982 M.	Varinius 816 R.
II. III. V. 400 M. II.	Savaria 201 Ck. 452 C.	794 D. 127 Par. II 941	1218 V. IV. XV 1219	Ursus 982 M.	Varinius 816 R.
Rutilius 1156 P.	Savaria 201 Ck. 452 C.	795 D. 127 Par. II 941	1219 V. IV. XV 1220	Ursus 982 M.	Varinius 816 R.
Rutilius 621 L.	Savaria 201 Ck. 452 C.	796 D. 127 Par. II 941	1220 V. IV. XV 1221	Ursus 982 M.	Varinius 816 R.
Kon 911 P.	Savaria 201 Ck. 452 C.	797 D. 127 Par. II 941	1221 V. IV. XV 1222	Ursus 982 M.	Varinius 816 R.
Rutilius 1156 P.	Savaria 201 Ck. 452 C.	798 D. 127 Par. II 941	1222 V. IV. XV 1223	Ursus 982 M.	Varinius 816 R.
1221 C. 918 T. 1273 V.	Savaria 201 Ck. 452 C.	799 D. 127 Par. II 941	1223 V. IV. XV 1224	Ursus 982 M.	Varinius 816 R.
Rutilius 11 641 M.	Savaria 201 Ck. 452 C.	800 D. 127 Par. II 941	1224 V. IV. XV 1225	Ursus 982 M.	Varinius 816 R.
Rutilius II 257 An. I. 257	Savaria 201 Ck. 452 C.	801 D. 127 Par. II 941	1225 V. IV. XV 1226	Ursus 982 M.	Varinius 816 R.
II. II. 412 P. 111 411	Savaria 201 Ck. 452 C.	802 D. 127 Par. II 941	1226 V. IV. XV 1227	Ursus 982 M.	Varinius 816 R.
T. II. IV. 117 B. 117 118	Savaria 201 Ck. 452 C.	803 D. 127 Par. II 941	1227 V. IV. XV 1228	Ursus 982 M.	Varinius 816 R.
338 L. 461 Ma. 461 Ma.	Savaria 201 Ck. 452 C.	804 D. 127 Par. II 941	1228 V. IV. XV 1229	Ursus 982 M.	Varinius 816 R.
590 Ps. 415 R. II. 279 N.	Savaria 201 Ck. 452 C.	805 D. 127 Par. II 941	1229 V. IV. XV 1230	Ursus 982 M.	Varinius 816 R.
374 VII. 111. 567 Vm.	Savaria 201 Ck. 452 C.	806 D. 127 Par. II 941	1230 V. IV. XV 1231	Ursus 982 M.	Varinius 816 R.
Rutilius 908 R. 1258 T.	Savaria 201 Ck. 452 C.	807 D. 127 Par. II 941	1231 V. IV. XV 1232	Ursus 982 M.	Varinius 816 R.
Rutilius 11 907 A. 767 C.	Savaria 201 Ck. 452 C.	808 D. 127 Par. II 941	1232 V. IV. XV 1233	Ursus 982 M.	Varinius 816 R.
119 Ck. 638 D. VII. 637	Savaria 201 Ck. 452 C.	809 D. 127 Par. II 941	1233 V. IV. XV 1234	Ursus 982 M.	Varinius 816 R.
130 X. 779 Gk. 4 967 M.	Savaria 201 Ck. 452 C.	810 D. 127 Par. II 941	1234 V. IV. XV 1235	Ursus 982 M.	Varinius 816 R.
1090 Bk. 1070 Bk.	Savaria 201 Ck. 452 C.	811 D. 127 Par. II 941	1235 V. IV. XV 1236	Ursus 982 M.	Varinius 816 R.
Rufus 158 T. 203 V.	Savaria 201 Ck. 452 C.	812 D. 127 Par. II 941	1236 V. IV. XV 1237	Ursus 982 M.	Varinius 816 R.
Sacerdos 952 H. II. 911 T.	Savaria 201 Ck. 452 C.	813 D. 127 Par. II 941	1237 V. IV. XV 1238	Ursus 982 M.	Varinius 816 R.
Rais 1101 P.	Savaria 201 Ck. 452 C.	814 D. 127 Par. II 941	1238 V. IV. XV 1239	Ursus 982 M.	Varinius 816 R.
Sailator 711 A. II. 566 M.	Savaria 201 Ck. 452 C.	815 D. 127 Par. II 941	1239 V. IV. XV 1240	Ursus 982 M.	Varinius 816 R.
547 N. 245 P.	Savaria 201 Ck. 452 C.	816 D. 127 Par. II 941	1240 V. IV. XV 1241	Ursus 982 M.	Varinius 816 R.
Sestinius 1116 J. II. 566 M.	Savaria 201 Ck. 452 C.	817 D. 127 Par. II 941	1241 V. IV. XV 1242	Ursus 982 M.	Varinius 816 R.
1091 L.	Savaria 201 Ck. 452 C.	818 D. 127 Par. II 941	1242 V. IV. XV 1243	Ursus 982 M.	Varinius 816 R.
Sestius 814 C.	Savaria 201 Ck. 452 C.	819 D. 127 Par. II 941	1243 V. IV. XV 1244	Ursus 982 M.	Varinius 816 R.
Sestinius 124 Cae. IV. 125	Savaria 201 Ck. 452 C.	820 D. 127 Par. II 941	1244 V. IV. XV 1245	Ursus 982 M.	Varinius 816 R.
Ck. 1 180 P. II. 11 415	Savaria 201 Ck. 452 C.	821 D. 127 Par. II 941	1245 V. IV. XV 1246	Ursus 982 M.	Varinius 816 R.
De XVI. 1017 J. II. 415	Savaria 201 Ck. 452 C.	822 D. 127 Par. II 941	1246 V. IV. XV 1247	Ursus 982 M.	Varinius 816 R.
II. 415 R. II. 738 L. 461	Savaria 201 Ck. 452 C.	823 D. 127 Par. II 941	1247 V. IV. XV 1248	Ursus 982 M.	Varinius 816 R.
P. 809 B.	Savaria 201 Ck. 452 C.	824 D. 127 Par. II 941	1248 V. IV. XV 1249	Ursus 982 M.	Varinius 816 R.

Kalender der Römer.

Es soll hier nur der Kalender, wie er nach der caesarischen Reform bestand, angeführt werden. Für die frühere Zeit lässt sich nur sagen, dass die Vertheilung der Nomen und Idus und der dies fasti und nefasti ungefähr dieselbe war.

Die Römer hatten eine achtzigthe Woche, undummon, und es wurde jedem Tage des Jahres einer der ersten acht Buchstaben des Alphabets vorgesetzt, welcher der Nundinalbuchstabe heisst. Ferner findet sich in den römischen Kalendern für jeden Tag eine Bezeichnung ob es ein dies fastus, ein Tag, an dem man Recht sprechen durfte, oder ein dies nefastus, ein Tag, an dem man nicht Recht sprechen durfte, sei; dabei finden sich noch Abstufungen, Tage, welche zu einem Theile fasti, zu einem Theile nefasti waren. Endlich sind die Tage bezeichnet, an welchen Comitien gehalten wurden. Die Abkürzungen in den römischen Kalendern sind hierfür: *F* dies fastus, *N* dies nefastus, *FP* fastus parte, *NP* nefastus parte, *EN* emendatius thellis fastus, thellis nefastus, *C* comitiales, *Q R C F* quando rex comitavit fas und *Q N D F* quando stercus delituit fas.

Die Zählweise der Monatsstage bei den Römern, welche sich bis sehr spät erhalten hat, findet in der Weise statt, dass der erste Monatstag Kalendae, der 5. oder 7. Nona, der 13. oder 15. Idus hießen und von diesen Tagen zurückgezählt wurde.

Diese Zählweise, die Nundinalbuchstaben, die Bezeichnung der dies fasti und nefasti und die Festtage der Römer finden sich in dem folgenden Kalender, welcher für die Zeit Caesars gilt.

Es sind in demselben auch Auf- und Untergänge einzelner Gestirne angegeben, und zwar bezeichnet *A* Aufgang, *FA* Frühauflgang, *SA* Spättaufgang, *U* Untergang, *FU* Frühaufgang und *SU* Spätuntergang.

Kalender des Julius Caesar.

Neu- ber- eichte Monat	Monat	Römische Datierung	Januarius sub tutela Junonis	Neu- ber- eichte Monat	Monat	Römische Datierung	Februarius sub tutela Neptuni	Neu- ber- eichte Monat	Monat	Römische Datierung	Martius sub tutela Minervae
A 1	F	Kalend. Jan.	Janus, Janus, Jupiter.	H 1	1	N	Kalend. Febr.	D 1	1	N	Kalend. Mart.
B 2	F	a. d. IV	Dies inter.	A 2	2	N	a. d. IV	E 2	2	F	a. d. VI
C 3	F	a. d. III	Minerva. U. Caueri.	B 3	3	N	a. d. III	F 3	3	C	a. d. V
D 4	F	a. d. II	Pridie	C 4	4	N	a. d. II	G 4	4	C	a. d. IV
E 5	F	a. d. I	Nonis Jan.	D 5	5	N	a. d. I	H 5	5	C	a. d. III
F 6	F	a. d. VIII	A. Lyrae.	E 6	6	N	a. d. VIII	I 6	6	N	Pridie
G 7	F	a. d. VII		F 7	7	N	a. d. VII	J 7	7	F	Nonis Mart.
H 8	F	a. d. VI	Jauna.	G 8	8	N	a. d. VI	K 8	8	F	a. d. VIII
A 9	F	a. d. V	Agonalia. A. Delphin.	H 9	9	N	a. d. V	L 9	9	C	a. d. VII
B 10	F	a. d. IV	Wintermitte.	A 10	10	N	a. d. IV	E 10	10	C	a. d. VI
C 11	F	a. d. III	Compitalia. Juturna.	B 11	11	N	a. d. III	F 11	11	C	a. d. V
D 12	F	a. d. II	Idus Januarius.	C 12	12	N	a. d. II	G 12	12	C	a. d. IV
E 13	F	a. d. I	Pridie Jan.	D 13	13	N	a. d. I	H 13	13	N	a. d. III
F 14	F	a. d. XII	Jupiter.	E 14	14	C	a. d. XII	I 14	14	N	Pridie Mart.
G 15	F	a. d. XI	Carmentis. Fortuna. Post i. curia.	F 15	15	N	a. d. XI	J 15	15	N	Pridie Mart.
H 16	F	a. d. X	Concordia. F. C. Lucretia.	G 16	16	N	a. d. X	K 16	16	F	a. d. XII
A 17	F	a. d. IX	Sonne im Aequinoct.	H 17	17	N	a. d. IX	L 17	17	N	a. d. XI
B 18	F	a. d. VIII		A 18	18	N	a. d. VIII	E 18	18	C	a. d. X
C 19	F	a. d. VII		B 19	19	N	a. d. VII	F 19	19	N	a. d. IX
D 20	F	a. d. VI		C 20	20	N	a. d. VI	G 20	20	C	a. d. VIII
E 21	F	a. d. V		D 21	21	N	a. d. V	H 21	21	C	a. d. VII
F 22	F	a. d. IV		E 22	22	N	a. d. IV	I 22	22	N	a. d. VI
G 23	F	a. d. III	U. Lyrae.	F 23	23	N	a. d. III	J 23	23	N	a. d. V
H 24	F	a. d. II		G 24	24	N	a. d. II	K 24	24	N	a. d. IV
A 25	F	a. d. I		H 25	25	N	a. d. I	L 25	25	C	a. d. III
B 26	F	a. d. VIII		A 26	26	N	a. d. VIII	E 26	26	C	a. d. II
C 27	F	a. d. VII	Castor u. Pollux.	B 27	27	N	a. d. VII	F 27	27	N	a. d. I
D 28	F	a. d. VI		C 28	28	N	a. d. VI	G 28	28	C	a. d. VIII
E 29	F	a. d. V	Marsfeldzieken.	D 29	29	N	a. d. V	H 29	29	C	a. d. VII
F 30	F	a. d. IV	Pacalia.	E 30	30	N	a. d. IV	I 30	30	C	a. d. VI
G 31	F	a. d. III	Penates.	F 31	31	N	a. d. III	J 31	31	C	a. d. V
Neu- ber- eichte Monat	Monat	Römische Datierung	Aprilis sub tutela Veneris	Neu- ber- eichte Monat	Monat	Römische Datierung	Maius sub tutela Apollinis	Neu- ber- eichte Monat	Monat	Römische Datierung	Junius sub tutela Mercurii
C 1	F	Kalend. Apr.	Venus. Fortuna virilis.	A 1	1	F	Kalend. Maj.	H 1	1	N	Kalend. Jun.
D 2	F	a. d. IV	Jupiter/Victor. Libertas.	B 2	2	F	a. d. VI	E 2	2	F	a. d. VII
E 3	F	a. d. III	Megalensis.	C 3	3	C	a. d. V	F 3	3	C	a. d. VI
F 4	F	a. d. II		D 4	4	C	a. d. IV	G 4	4	C	a. d. V
G 5	F	a. d. I	Fortuna publica.	E 5	5	C	a. d. III	H 5	5	N	Nonis Jun.
H 6	F	a. d. VIII	Apollo n. Diana.	F 6	6	F	Nonis Maj.	I 6	6	N	a. d. VIII
A 7	F	a. d. VII	Rig. Caesar. U. Libanus.	G 7	7	F	a. d. VII	J 7	7	N	a. d. VII
B 8	F	a. d. VI		H 8	8	N	a. d. VI	K 8	8	N	a. d. VI
C 9	F	a. d. V		A 9	9	N	a. d. V	L 9	9	N	a. d. V
D 10	F	a. d. IV		B 10	10	C	a. d. IV	E 10	10	N	a. d. IV
E 11	F	a. d. III		C 11	11	N	a. d. III	F 11	11	N	a. d. III
F 12	F	a. d. II	Ceresia 8 Tage.	D 12	12	N	a. d. II	G 12	12	N	a. d. II
G 13	F	a. d. I	Idus Aprilis.	E 13	13	N	a. d. I	H 13	13	N	a. d. I
H 14	F	a. d. XII	Jupiter/Victor. Libertas.	F 14	14	N	a. d. XII	I 14	14	N	a. d. XII
A 15	F	a. d. XI	Forficulidum.	G 15	15	N	a. d. XI	J 15	15	N	a. d. XI
B 16	F	a. d. X	Ave. Triumph. E. Hyad.	H 16	16	F	a. d. X	K 16	16	C	a. d. X
C 17	F	a. d. IX	Æquinoct. Farchov.	A 17	17	C	a. d. IX	L 17	17	C	a. d. IX
D 18	F	a. d. VIII	Sonne im Taurus.	B 18	18	C	a. d. VIII	E 18	18	C	a. d. VIII
E 19	F	a. d. VII		C 19	19	C	a. d. VII	F 19	19	C	a. d. VII
F 20	F	a. d. VI		D 20	20	C	a. d. VI	G 20	20	C	a. d. VI
G 21	F	a. d. V		E 21	21	N	a. d. V	H 21	21	C	a. d. V
H 22	F	a. d. IV		F 22	22	N	a. d. IV	I 22	22	C	a. d. IV
A 23	F	a. d. III		G 23	23	N	a. d. III	J 23	23	C	a. d. III
B 24	F	a. d. II		H 24	24	N	a. d. II	K 24	24	C	a. d. II
C 25	F	a. d. I		A 25	25	C	a. d. I	L 25	25	C	a. d. I
D 26	F	a. d. VIII		B 26	26	C	a. d. VIII	E 26	26	C	a. d. VIII
E 27	F	a. d. VII		C 27	27	C	a. d. VII	F 27	27	C	a. d. VII
F 28	F	a. d. VI		D 28	28	C	a. d. VI	G 28	28	C	a. d. VI
G 29	F	a. d. V		E 29	29	C	a. d. V	H 29	29	C	a. d. V
H 30	F	a. d. IV		F 30	30	C	a. d. IV	I 30	30	C	a. d. IV
A 31	F	a. d. III		G 31	31	C	a. d. III	J 31	31	C	a. d. III

Kalender des Julius Caesar.

Sundstunde berühmt		Römische Datierung	Quintilis oder Julius sub tutela Jovis	Sundstunde berühmt		Römische Datierung	Sextilis oder Augustus sub tutela Cereris	Sundstunde berühmt		Römische Datierung	September sub tutela Vulcani	
F	1	N	Kalend. Jul.	E	1	N	Kalend. Aug.	D	1	F	Kalend. Sept.	Neptun.
G	2	N	a. d. VI	F	2	C	a. d. IV	E	2	N	a. d. IV	Sieg August's.
H	3	N	a. d. V	G	3	C	a. d. III	F	3	N	a. d. III	Idonisa.
A	4	NP	a. d. IV	H	4	C	Pridie	G	4	C	Pridie	Idonisa.
B	5	N	a. d. III	A	5	F	Nonis Aug.	H	5	F	Nonis Sept.	Erebus.
C	6	N	a. d. II	B	6	F	a. d. VII	A	6	F	a. d. VII	Erebus.
D	7	N	Nonis Jul.	C	7	C	a. d. VI	B	7	C	a. d. VI	Erebus.
E	8	N	a. d. VIII	D	8	C	a. d. V	C	8	C	a. d. V	Erebus.
F	9	EX	a. d. VII	E	9	NP	a. d. V	D	9	C	a. d. V	A. Capellae.
G	10	C	a. d. VI	F	10	C	a. d. IV	E	10	C	a. d. IV	A. Medusenaupt.
H	11	C	a. d. V	G	11	C	a. d. III	F	11	C	a. d. III	A. Medusenaupt.
A	12	NP	a. d. IV	H	12	C	Pridie	G	12	N	Pridie	Jupiter. Clavus fig.
B	13	C	a. d. III	A	13	NP	Idibus Aug.	H	13	NP	Idibus Sept.	Jupiter. Clavus fig.
C	14	C	Pridie	B	14	F	a. d. XIX	A	14	F	a. d. XVIII	Jupiter. Clavus fig.
D	15	NP	Idibus Jul.	C	15	C	a. d. XVIII	B	15	C	a. d. XVII	Jupiter. Clavus fig.
E	16	F	a. d. XVII	D	16	C	a. d. XVII	C	16	C	a. d. XVI	Jupiter. Clavus fig.
F	17	C	a. d. XVI	E	17	NP	a. d. XVI	D	17	C	a. d. XV	Jupiter. Clavus fig.
G	18	C	a. d. XV	F	18	C	a. d. XV	E	18	C	a. d. XIV	Jupiter. Clavus fig.
H	19	NP	a. d. XIV	G	19	FP	a. d. XIV	F	19	C	a. d. XIII	Jupiter. Clavus fig.
A	20	a. d. XIII		H	20	C	a. d. XIII	G	20	C	a. d. XII	Jupiter. Clavus fig.
B	21	C	a. d. XII	A	21	NP	a. d. XII	H	21	C	a. d. XI	Jupiter. Clavus fig.
C	22	C	a. d. XI	B	22	EX	a. d. XI	A	22	C	a. d. X	Jupiter. Clavus fig.
D	23	C	a. d. X	C	23	NP	a. d. X	B	23	F	a. d. IX	Jupiter. Clavus fig.
E	24	N	a. d. IX	D	24	C	a. d. IX	C	24	C	a. d. VIII	Jupiter. Clavus fig.
F	25	NP	a. d. VIII	E	25	NP	a. d. VIII	D	25	C	a. d. VII	Jupiter. Clavus fig.
G	26	C	a. d. VII	F	26	C	a. d. VII	E	26	C	a. d. VI	Jupiter. Clavus fig.
H	27	C	a. d. VI	G	27	NP	a. d. VI	F	27	C	a. d. V	Jupiter. Clavus fig.
A	28	C	a. d. V	H	28	NP	a. d. V	G	28	C	a. d. IV	Jupiter. Clavus fig.
B	29	C	a. d. IV	A	29	F	a. d. IV	H	29	F	a. d. III	Jupiter. Clavus fig.
C	30	C	a. d. III	B	30	F	a. d. III	A	30	F	a. d. III	Jupiter. Clavus fig.
D	31	C	Pridie	C	31	Pridie		B	31	C	Pridie	Jupiter. Clavus fig.

Sundstunde berühmt		Römische Datierung	October sub tutela Martis	Sundstunde berühmt		Römische Datierung	November sub tutela Dianae	Sundstunde berühmt		Römische Datierung	December sub tutela Vestae	
B	1	N	Kalend. Oct.	A	1	F	Kalend. Nov.	G	1	N	Kalend. Dec.	Fortuna femina.
C	2	F	a. d. VI	B	2	F	a. d. IV	H	2	N	a. d. IV	Fortuna femina.
D	3	C	a. d. V	C	3	F	a. d. III	A	3	N	a. d. III	Fortuna femina.
E	4	C	a. d. IV	D	4	C	Pridie	B	4	F	Pridie	Fortuna femina.
F	5	C	a. d. III	E	5	F	Nonis Nov.	C	5	F	Nonis Dec.	Fortuna femina.
G	6	C	Pridie	F	6	F	a. d. VIII	D	6	F	a. d. VIII	Fortuna femina.
H	7	F	Nonis Oct.	G	7	C	a. d. VII	E	7	C	a. d. VII	Fortuna femina.
A	8	F	a. d. VIII	H	8	C	a. d. VI	F	8	C	a. d. VI	Fortuna femina.
B	9	C	a. d. VII	A	9	C	a. d. V	G	9	C	a. d. V	Fortuna femina.
C	10	C	a. d. VI	B	10	C	a. d. IV	H	10	C	a. d. IV	Fortuna femina.
D	11	a. d. V		C	11	C	a. d. III	A	11	NP	a. d. III	Fortuna femina.
E	12	a. d. V		D	12	C	Pridie	B	12	EX	Pridie	Fortuna femina.
F	13	NP	a. d. IV	E	13	NP	Idibus Nov.	C	13	NP	Idibus Dec.	Fortuna femina.
G	14	NP	Pridie	F	14	F	a. d. XVIII	D	14	F	a. d. XIX	Fortuna femina.
H	15	NP	Idibus Oct.	G	15	C	a. d. XVII	E	15	NP	a. d. XVIII	Fortuna femina.
A	16	F	a. d. XVII	H	16	C	a. d. XVI	F	16	C	a. d. XVII	Fortuna femina.
B	17	C	a. d. XVI	A	17	C	a. d. XV	G	17	C	a. d. XVI	Fortuna femina.
C	18	C	a. d. XV	B	18	C	a. d. XIV	H	18	C	a. d. XV	Fortuna femina.
D	19	NP	a. d. XIV	C	19	C	a. d. XIII	A	19	NP	a. d. XIV	Fortuna femina.
E	20	C	a. d. XIII	D	20	C	a. d. XII	B	20	C	a. d. XIII	Fortuna femina.
F	21	C	a. d. XII	E	21	C	a. d. XI	C	21	NP	a. d. XII	Fortuna femina.
G	22	C	a. d. XI	F	22	C	a. d. X	D	22	C	a. d. XI	Fortuna femina.
H	23	C	a. d. X	G	23	C	a. d. IX	E	23	NP	a. d. X	Fortuna femina.
A	24	C	a. d. IX	H	24	C	a. d. VIII	F	24	C	a. d. IX	Fortuna femina.
B	25	C	a. d. VIII	A	25	C	a. d. VII	G	25	C	a. d. VIII	Fortuna femina.
C	26	C	a. d. VII	B	26	C	a. d. VI	H	26	C	a. d. VII	Fortuna femina.
D	27	C	a. d. VI	C	27	C	a. d. V	A	27	C	a. d. VI	Fortuna femina.
E	28	C	a. d. V	D	28	C	a. d. IV	B	28	C	a. d. V	Fortuna femina.
F	29	C	a. d. IV	E	29	F	a. d. III	C	29	F	a. d. IV	Fortuna femina.
G	30	C	a. d. III	F	30	F	Pridie	D	30	F	a. d. III	Fortuna femina.
H	31	C	Pridie	G	31	C	Pridie	E	31	C	Pridie	Fortuna femina.

Sundstunde berühmt		Römische Datierung	October sub tutela Martis	Sundstunde berühmt		Römische Datierung	November sub tutela Dianae	Sundstunde berühmt		Römische Datierung	December sub tutela Vestae	
B	1	N	Kalend. Oct.	A	1	F	Kalend. Nov.	G	1	N	Kalend. Dec.	Fortuna femina.
C	2	F	a. d. VI	B	2	F	a. d. IV	H	2	N	a. d. IV	Fortuna femina.
D	3	C	a. d. V	C	3	a. d. III		A	3	a. d. III		Fortuna femina.
E	4	C	a. d. IV	D	4	C	Pridie	B	4	C	Pridie	Minerva, Neptun. Faunalia.
F	5	C	a. d. III	E	5	F	Nonis Nov.	C	5	F	Nonis Dec.	
G	6	C	Pridie	F	6	F	a. d. VIII	D	6	F	a. d. VIII	
H	7	F	Nonis Oct.	G	7	C	a. d. VII	E	7	C	a. d. VII	F. A. Aquilae. Neptun.
A	8	F	a. d. VII	H	8	C	a. d. VI	F	8	C	a. d. VI	Opalia, Juno. Agonalia.
B	9	C	a. d. VI	A	9	C	a. d. V	G	9	C	a. d. V	Aleydonia 14 Tage.
C	10	C	a. d. V	B	10	C	a. d. IV	H	10	C	a. d. IV	
D	11	a. d. V		C	11	C	a. d. III	A	11	NP	a. d. III	
E	12	NP	a. d. IV	D	12	C	Pridie	B	12	NP	Pridie	
F	13	NP	a. d. III	E	13	NP	Idibus Nov.	C	13	NP	Idibus Dec.	
G	14	NP	Pridie	F	14	F	a. d. XVII	D	14	F	a. d. XIX	F. A. Caneri.
H	15	NP	Idibus Oct.	G	15	C	a. d. XVII	E	15	NP	a. d. XVIII	
A	16	F	a. d. XVII	H	16	C	a. d. XVI	F	16	C	a. d. XVII	Saturnalia.
B	17	C	a. d. XVI	A	17	C	a. d. XV	G	17	C	a. d. XVI	Sonne in Capricornus
C	18	C	a. d. XV	B	18	C	a. d. XIV	H	18	C	a. d. XV	
D	19	NP	a. d. XIV	C	19	C	a. d. XIII	A	19	NP	a. d. XIV	Sigillaria.
E	20	C	a. d. XIII	D	20	C	a. d. XII	B	20	C	a. d. XIII	Augeronalia.
F	21	C	a. d. XII	E	21	C	a. d. XI	C	21	NP	a. d. XII	Compitalia.
G	22	C	a. d. XI	F	22	C	a. d. X	D	22	C	a. d. XI	Larentalia.
H	23	C	a. d. X	G	23	C	a. d. IX	E	23	NP	a. d. X	Juvenalia.
A	24	C	a. d. IX	H	24	a. d. VIII		F	24	C	a. d. IX	Wintersolstitium.
B	25	C	a. d. VIII	A	25	C	a. d. VII	G	25	C	a. d. VIII	
C	26	C	a. d. VII	B	26	C	a. d. VI	H	26	C	a. d. VII	Phœbus. F. A. Delphi.
D	27	C	a. d. VI	C	27	C	a. d. V	A	27	C	a. d. VI	
E	28	C	a. d. V	D	28	C	a. d. IV	B	28	C	a. d. V	S. U. Aquilae.
F	29	C	a. d. IV	E	29	F	a. d. III	C	29	F	a. d. IV	S. U. Caniculae.
G	30	C	a. d. III	F	30	F	Pridie	D	30	F	a. d. III	
H	31	C	Pridie	G	31	F	Pridie	E	31	F	Pridie	

Byzantinische Aera oder Aera von Constantinopel, (Seleucidische Aera), (Antiochisch-caesarische Aera).

Die Epoche dieser Aera oder der 1. September des Jahres 1 der byzantinischen Weltära entspricht dem Tage — 290 495 der julianischen Periode. Die Epoche der Aera der Seleuciden entspricht, wenn sie, was aber nur selten geschieht, mit dem ersten September anfangen wird, dem Tage 1607 709 der julianischen Periode. Die Epoche der caesarischen Aera von Antiochia entspricht nach den Griechen, welche die Jahre im September aufingen, dem Tage 1703 170 der julianischen Periode.

Die Jahre dieser Zeitrechnung sind julianische Sonnenjahre von 365 oder 366 Tagen. Jedes durch vier theilbare Jahr der byzantinischen Aera oder der caesarischen Aera von Antiochia ist ein Schaltjahr; bei der seleucidischen Aera ist jedes Jahr, welches durch 4 getheilt den Rest 3 lässt, ein Schaltjahr.

Es ist wohl darauf zu achten, dass der Anfang des Jahres mit dem 1. September nur bei der byzantinischen Aera der normale Anfang ist. Bei der seleucidischen Aera fangen die Jahre gewöhnlich mit dem ersten Thischri oder Hyperberetäus an, bei der caesarischen Aera von Antiochia begannen die Griechen ihre Jahre mit dem Thischri, die Syrer dagegen mit dem Hyperberetäus des folgenden Jahres. Für die seleucidische und antiochisch-caesarische Aera folgen Tafeln auf pag. 35, diese hier sind nur für den selteneren Jahresanfang derselben im September zu benützen.

Das Jahr wurde in zwölf Monate getheilt, und zwar:

Bei den Byzantinern :	Bei den Syrern :	Bei den Griechen :
1. September 30 Tage.	1. Elul 30 Tage.	1. Gorpäus 30 Tage.
2. October 31 „	2. Thischri I. 31 „	2. Hyperberetäus 31 „
3. November 30 „	3. „ II. 30 „	3. Dios 30 „
4. December 31 „	4. Kanun I. 31 „	4. Apelläus 31 „
5. Januar 31 „	5. „ II 31 „	5. Audynäus 31 „
6. Februar 28 oder 29 „	6. Schebat 28 oder 29 „	6. Peritius 28 oder 29 „
7. März 31 „	7. Adar 31 „	7. Dystrus 31 „
8. April 30 „	8. Nisan 30 „	8. Xanthicus 30 „
9. Mai 31 „	9. Ijar 31 „	9. Artemisius 31 „
10. Juni 30 „	10. Hasiran 30 „	10. Däsius 30 „
11. Juli 31 „	11. Thamus 31 „	11. Panemus 31 „
12. August 31 „	12. Ab 31 „	12. Lous 31 „

Daneben läuft, von den Monaten unabhängig, die siebenbürtige Woche, deren einzelne Tage Sonntag, Montag, Dienstag, Mittwoch, Donnerstag, Freitag und Samstag genannt werden und mit den Tageszahlen der julianischen Periode in der Weise zusammenhängen, dass der Rest der Division der Tageszahl durch 7 den Wochentag bezeichnet und zwar: 0 Montag, 1 Dienstag, 2 Mittwoch, 3 Donnerstag, 4 Freitag, 5 Samstag und 6 Sonntag.

Im Mittelalter finden sich fortwährend die Indictionen angegeben. Die Indiction ist der ausserordentliche Rest der Jahreszahl der byzantinischen Aera durch 15; es ist also darauf zu achten, dass die Indiction am ersten September wechselt. Die byzantinische Aera ist zugleich das Kirchenjahr der Russen und Griechen. Die Reste der Jahreszahl durch 15, 19 und 28 sind die Indiction, der russische Mondzirkel und der russische Sonnenzirkel. Es ist also, wenn man diese drei Grössen durch J' , N' und S' bezeichnet, für das Jahr A der byzantinischen Aera $J' = \left(\frac{A}{15}\right)_R$, $N' = \left(\frac{A}{19}\right)_R$ und $S' = \left(\frac{A}{28}\right)_R$; umgekehrt gehören die Indiction J' , der russische Mondzirkel N' , und der russische Sonnenzirkel S' zum Jahre $\left(\frac{4845J' - 3780N' - 1064S'}{7980}\right)_R$ der byzantinischen Aera. Die Festrechnung der Griechen findet sich beim julianischen Kalender.

Es ist überhaupt die Verwandlung eines Datums der byzantinischen, seleucidischen oder caesarischen Aera in eine der nach dem julianischen Kalender zählenden Aeren, da die Monate ganz parallel laufen und nur der Jahresanfang verschoben ist, sehr einfach. Man hat:

Für die Monate September, October, November und December

Jahr A der Byzantiner $= A - 796$ der julianischen Periode $= A - 4756$ der Stadt Rom $= A - 5464$ der Kalenderverbesserung $= A - 5470$ der spanischen Aera $= A - 5482$ der römischen Kaiser $= A - 5509$ der christlichen Zeitrechnung $= A - 5197$ der seleucidischen $= A - 5460$ der antiochisch-caesarischen Aera.

Dagegen für die übrigen Monate:

Jahr A der Byzantiner $= A - 795$ der julianischen Periode $= A - 4755$ der Stadt Rom $= A - 5463$ der Kalenderverbesserung $= A - 5469$ der spanischen Aera $= A - 5481$ der römischen Kaiser $= A - 5508$ der christlichen Zeitrechnung $= A - 5197$ der Seleuciden $= A - 5460$ der antiochisch-caesarischen Aera.

Spätere Olympiadenrechnung.

Man findet bei den Kirchenbüchern und Chronographen des Orientes byzantinische Jahre mit der Olympiadenrechnung verbunden, wobei aber wohl zu beachten ist, dass dabei die gewöhnliche Olympiadenrechnung um fast zwei Jahre verschoben ist. Es entspricht das n^{te} Jahr der n^{ten} Olympiade nach dieser Rechnung dem Jahre der byzantinischen Aera $4726 + 4n + m$ und umgekehrt entspricht das Jahr der byzantinischen Aera A nach dieser Rechnung dem $\left(\frac{A - 4726}{4}\right)_R$ Jahre der $\left(\frac{A - 4726}{4}\right)_R$ Olympiade.

Byzantinische Ära (Seleucidische Ära), (Antiochisch-caesarische Ära)

Tafel 1.

Byzantine	Byzantine	Severian	Byzantine	Severian	Armenian
0	290 362	2640	671 398	5280	82
100	276 352	2680	685 398	5280	120
200	261 341	2720	702 618	5300	105
300	247 332	2760	717 228	5400	203
400	232 322	2800	731 818	5440	243
500	217 312	2840	749 418	5480	283
600	202 302	2880	767 058	5520	323
700	188 292	2920	775 008	5560	363
800	173 282	2960	790 728	5600	403
900	158 272	3000	804 588	5640	443
1000	143 262	3040	818 408	5680	483
1100	128 252	3080	834 108	5720	523
1200	113 242	3120	848 750	5760	563
1300	100 232	3160	863 328	5800	603
1400	86 222	3200	877 938	5840	643
1500	71 212	3240	892 548	5880	683
1600	57 202	3280	907 158	5920	723
1700	42 192	3320	921 768	5960	763
1800	27 182	3360	936 378	6000	803
1900	12 172	3400	950 988	6040	843
2000	0 162	3440	965 598	6080	883
2100	0 152	3480	980 208	6120	923
2200	0 142	3520	994 818	6160	963
2300	0 132	3560	1009 428	6200	1003
2400	0 122	3600	1024 038	6240	1043
2500	0 112	3640	1038 648	6280	1083
2600	0 102	3680	1053 258	6320	1123
2700	0 92	3720	1067 868	6360	1163
2800	0 82	3760	1082 478	6400	1203
2900	0 72	3800	1097 088	6440	1243
3000	0 62	3840	1111 698	6480	1283
3100	0 52	3880	1126 308	6520	1323
3200	0 42	3920	1140 918	6560	1363
3300	0 32	3960	1155 528	6600	1403
3400	0 22	4000	1170 138	6640	1443
3500	0 12	4040	1184 748	6680	1483
3600	0 02	4080	1199 358	6720	1523
3700	0 00	4120	1213 968	6760	1563
3800	0 00	4160	1228 578	6800	1603
3900	0 00	4200	1243 188	6840	1643
4000	0 00	4240	1257 798	6880	1683
4100	0 00	4280	1272 408	6920	1723
4200	0 00	4320	1287 018	6960	1763
4300	0 00	4360	1301 628	7000	1803
4400	0 00	4400	1316 238	7040	1843
4500	0 00	4440	1330 848	7080	1883
4600	0 00	4480	1345 458	7120	1923
4700	0 00	4520	1360 068	7160	1963
4800	0 00	4560	1374 678	7200	2003
4900	0 00	4600	1389 288	7240	2043
5000	0 00	4640	1403 898	7280	2083
5100	0 00	4680	1418 508	7320	2123
5200	0 00	4720	1433 118	7360	2163
5300	0 00	4760	1447 728	7400	2203
5400	0 00	4800	1462 338	7440	2243
5500	0 00	4840	1476 948	7480	2283
5600	0 00	4880	1491 558	7520	2323
5700	0 00	4920	1506 168	7560	2363
5800	0 00	4960	1520 778	7600	2403
5900	0 00	5000	1535 388	7640	2443
6000	0 00	5040	1549 998	7680	2483
6100	0 00	5080	1564 608	7720	2523
6200	0 00	5120	1579 218	7760	2563
6300	0 00	5160	1593 828	7800	26

Tafel II

Römische Monatsnamen.												
Jahr	September	October	November	December	Januar	Februar	März	April	Mai	Juni	Juli	August
00	000	030	061	091	122	153	182	213	241	274	304	335
01	306	306	427	457	485	510	547	575	608	639	669	700
02	731	701	702	823	853	884	917	943	974	1004	1034	1065
03	1000	126	137	157	181	209	237	268	318	300	359	410
04	461	491	522	552	581	614	643	674	704	735	765	796
05	827	857	888	918	949	980	1010	1040	1070	1100	1130	1160
06	2190	222	253	284	314	345	375	406	436	467	497	528
07	557	587	618	648	679	709	739	769	799	830	860	891
08	922	952	983	1013	1044	1074	1104	1135	1165	1195	1226	1257
09	3288	3184	3370	3704	4111	4005	500	530	561	591	622	
10	653	683	714	744	774	805	835	865	895	925	956	987
11	4018	048	079	109	140	171	199	230	260	291	321	352
12	383	413	444	474	505	536	567	598	629	659	689	718
13	749	779	810	840	871	902	933	964	994	1024	1054	1085
14	5114	144	175	205	236	267	298	329	359	389	419	448
15	479	509	540	570	601	632	663	694	725	755	784	813
16	844	874	905	935	966	997	1027	1057	1087	1117	1147	1179
17	0210	240	271	301	332	363	394	424	454	484	514	544
18	575	605	636	666	697	728	759	789	819	848	878	909
19	940	970	1001	1031	1062	1093	1124	1154	1184	1214	1244	1274
20	735	335	366	397	427	458	487	518	548	579	609	640
21	071	091	732	762	793	824	855	885	915	944	974	1005
22	830	860	890	920	950	980	1010	1040	1070	1100	1130	1160
23	401	431	462	492	523	554	584	614	644	674	704	735
24	766	796	827	857	888	919	949	979	1009	1039	1069	1100
25	913	943	973	1003	1033	1063	1093	1123	1153	1183	1213	1243
26	407	437	468	498	528	558	588	618	648	678	708	738
27	862	892	922	952	982	1012	1042	1072	1102	1132	1162	1192
28	502	532	562	592	622	652	682	712	742	772	802	832
29	1032	1062	1092	1122	1152	1182	1212	1242	1272	1302	1332	1362
30	593	623	653	683	713	743	773	803	833	863	893	923
31	928	958	989	1019	1049	1079	1109	1139	1169	1199	1229	1259
32	1121	125	154	184	214	244	274	304	334	364	394	424
33	685	718	749	779	810	841	872	903	934	964	994	1024
34	1205	054	115	145	176	207	238	269	299	329	359	388
35	410	440	470	500	531	562	593	624	654	684	714	
1	55	784	814	845	875	906	937	968	999	1029	1059	1088
2	1340	179	210	240	271	302	332	362	392	423	453	484
3	5145	576	606	637	668	699	729	759	789	819	849	
4	886	910	941	971	1002	1033	1063	1093	1123	1153	1183	1214
5	1425	275	306	337	367	398	429	459	489	519	549	579
6	1	2	3	4	5	6	7	8	9	10	11	12
7	Elul	Thischri I	Thischri II	Kannun I	Kannun II	Schabot	Adar	Sivan	Ijar	Hadfar	Thomas	Ab
8	1	2	3	4	5	6	7	8	9	10	11	12
9	Gordäus	Hyperboreus	Dius	Apollus	Aëthylus	Perillus	Iyastus	Nanthus	Arctimius	Pisius	Panatus	Lous
10	1	2	3	4	5	6	7	8	9	10	11	12
11	Macedonische Monatsnamen.											

Die byzantinische Ära ist mit römischen, die seleucidische mit macedonischen oder syrischen, die antiochisch-caesarische mit macedonischen Monaten zu verbinden.

Aera Abrahams, Aera der Seleuciden, Antiochisch-caesarische Aera.

(Asianer, Ephesier, Bithynier, Kleinasier, Creter, Cyprer, Heliopolis, Tyrer, Sidonier, Jahr des Sieges und Sonnenjahr der Türken.)

Die Epoche der Aera Abrahams oder der 1. October des Jahres 1 Abrahams entspricht dem Tage 985 353 der julianischen Periode. Die Epoche der Aera der Seleuciden oder der 1. October des Jahres 1 der Seleuciden entspricht dem Tage 1947 733 der julianischen Periode. Die Epoche der antiochisch-caesarischen Aera entspricht dem Tage 1701 193 der julianischen Periode.

Die Jahre dieser Zeitrechnung sind julianische Sonnenjahre von 365 oder 366 Tagen. Schaltjahre sind diejenigen, welche durch 4 getheilt den Rest 3 geben.

Die Jahre der seleucidischen Aera werden zuweilen mit dem vorhergehenden Ehl oder Gorpäus, die antiochisch-caesarische Aera bei den syrischen Griechen mit dem Gorpäus des vorangehenden Jahres also mehr als ein Jahr früher liegenden. Für diesen Fall finden sich die Tafeln auf der vorangehenden Seite. Das Jahr wurde in 12 Monate getheilt, und zwar:

Aera Abrahams:			Syrier:			Griechen:		
1. October	21 Tage	1. April	1. Thoth-ki	31 Tage	1. Nisan	30 Tage	1. Hyperberetäus	31 Tage
2. November	20 „	5. Mai	2. Thoth-ki	30 „	2. Ijar	29 „	2. Ijor	30 „
3. December	21 „	5. Juni	3. Thoth-ki	31 „	3. Sivan	30 „	3. Apelläus	30 „
4. Januar	21 „	10. Juli	4. Thoth-ki	31 „	4. Tammuz	30 „	4. Artemisius	31 „
5. Februar	20 „	10. August	5. Thoth-ki	30 „	5. Ab	29 „	5. Däsius	30 „
6. März	21 „	12. September	6. Thoth-ki	31 „	6. Elul	29 „	6. Peritius	31 „

Unabhängig von den Monaten läuft die siebenbürtige Woche, 4-ten einzelne Tage Sonntag, Montag, Dienstag, Mittwoch, Donnerstag, Freitag, Samstag man sieht aus den Resten der julianischen Tageszahl daß 7 erhält. Es entspricht dem Reste: 0 Montag, 1 Dienstag, 2 Mittwoch, 3 Donnerstag, 4 Freitag, 5 Samstag, 6 Sonntag.

Von den Arabern wird die Aera der Seleuciden auch die Aera des Zweigedürten oder tarich el-l-karnal, oder auch tarich Isker, die Aera Alexanders genannt. Die Juden nannten sie minjan schtaroth die Zählung der Contracte.

Ursprünglich waren die macedonischen Monate Mondmonate, und sie hießen sich zusammengestellt sowohl mit griechischen als mit jüdischen Monaten. Es entsprechen:

Macedonische Monate	vor Alexander	des griechischen Monats nach Alexander	Macedonische Monate	des jüdischen Monats
1. Dins	6. Poseideon	4. Pyanepsiou.	1. Dins	8. Marcheschvan.
2. Apelläus	7. Gamellon	5. Mämakterion.	2. Apelläus	9. Kislew.
3. Audynäus	8. Anthesterion	6. Poseideon.	3. Audynäus	10. Tebeth.
4. Peritius	9. Elaphebolion	7. Gamellon.	4. Peritius	11. Schebat.
5. Däsius	10. Munchyion	8. Anthesterion.	5. Däsius	12. Adar.
6. Xanthäus	11. Thargellion	9. Elaphebolion.	6. Xanthäus	1. Nisan.
7. Artemisius	12. Skirophorion	10. Munchyion.	7. Artemisius	2. Ijar.
8. Däsius	1. Hekatombäus	11. Thargellion.	8. Däsius	3. Sivan.
9. Panemus	2. Metagellion	12. Skirophorion.	9. Panemus	4. Tammuz.
10. Lous	3. Boëdromion	1. Hekatombäus.	10. Lous	5. Ab.
11. Gorpäus	4. Pyanepsiou	2. Metagellion.	11. Gorpäus	6. Elul.
12. Hyperberetäus	5. Mämakterion	3. Boëdromion.	12. Hyperberetäus	7. Tischnri.

Nach ist eine genauere Redaction aus dieser Zeit nicht möglich. Noch sind zu erwähnen die Jahrnamen einzelner syrischer Städte, deren Monate den macedonischen parallel liefen, aber um einige Tage verschoben; die Aera ist die syrische, mit Ausnahme von Tyrus; die Namen der Monate und die Correctionen, die an die entsprechenden macedonischen Monaten angebracht werden müssen, sind:

Asianer:	Bithynier:	Creter	Heliopolis:
0 Cäsarius	== 7. Oct.	0 Hermäus	== 8. Oct.
0 Tiberius	== 8. Nov.	0 Hermäus	== 8. Nov.
0 Apaturius	== 7. Dec.	0 Elman	== 8. Dec.
0 Poseidon	== 7. Jan.	0 Notarchius	== 8. Jan.
0 Lenäus	== 8. Febr.	0 Agylus	== 8. Febr.
0 Hieroclastus	== 7. März.	0 Hieroclastus	== 8. März.
0 Artemisius	== 8. April.	0 Theodolius	== 8. April.
0 Ennagellus	== 7. Mai.	0 Pontes	== 8. Mai.
0 Stratonicus	== 8. Juni.	0 Rialdintius	== 8. Juni.
0 Hekatombäus	== 7. Juli.	0 Hyperberetäus	== 8. Juli.
0 Anteus	== 7. Aug.	0 Nekysius	== 8. Aug.
0 Laodikus	== 7. Sept.	0 Basilius	== 8. Sept.

Ephesier:	Kleinasier:	Cyprier	Tyrer:
0 Dins	== 7. Oct.	0 Aphrodisius	== 8. Oct.
0 Apelläus	== 8. Nov.	0 Apogonius	== 8. Nov.
0 Audynäus	== 7. Dec.	0 Aicinius	== 8. Dec.
0 Peritius	== 7. Jan.	0 Julius	== 8. Jan.
0 Däsius	== 8. Febr.	0 Cäsarius	== 8. Febr.
0 Xanthäus	== 7. März.	0 Sebastianus	== 8. März.
0 Artemisius	== 8. April.	0 Autokratorius	== 9. April.
0 Däsius	== 7. Mai.	0 Demarcheus	== 8. Mai.
0 Panemus	== 8. Juni.	0 Pethypatus	== 8. Juni.
0 Lous	== 7. Juli.	0 Areldereus	== 8. Juli.
0 Gorpäus	== 7. Aug.	0 Hosticus	== 8. Aug.
0 Hyperberetäus	== 8. Sept.	0 Romäus	== 8. Sept.

Die Monate der Sidonier sind ganz die macedonischen, aber um zwei Stellen verschoben, der erste Monat ist der Lous, welcher dem October entspricht. Das Jahr A der Tyrrer entspricht dem Jahre A + 196 der Seleuciden. In Antiochien findet sich auch eine Aera, Jahre des Sieges, oder nach actische Aera genannt, das Jahr A dieser Aera entspricht dem Jahre A + 281 der Seleuciden.

Bei den Türken kommt ebenfalls ein Sonnenjahr vor, dessen Monate den macedonischen ganz parallel laufen, nur das Jahr mit dem Monate Ruz beginnt. Die Monate sind: 1. Azer oder Mart, 2. Nisan, 3. Ajar, 4. Hasiran, 5. Timus, 6. Ab, 7. Etil, 8. Teschrim ewel, 9. Teschrim soni, 10. Kinnu ewel, 11. Kinnu soni, 12. Schebat. Sie datiren entweder nach der seleucidischen Aera, oder geben das Jahr der Hebschra an, in welches der erste März des Sonnenjahres, ihr Jahresanfang, trifft.

Aera Abrahami, Seleuciden-Aera, antiochisch-caesarische Aera.

Tafel I.

Aera Abrahami	Aera der Seleuciden	Antiochisch-caesarische	Aera Abrahami	Aera der Seleuciden	Antiochisch-caesarische
—13		980 238	2327	523	259 1708 308
27		994 843	2307	503	209 1813 008
67		1009 453	2307	503	1827 018
107		1024 068	2347	643	1842 228
147		1038 678	2387	683	1856 838
187		1053 288	2427	723	1871 448
227		1067 898	2467	763	1886 058
267		1082 508	2507	803	1900 668
307		1097 118	2547	843	1915 278
347		1111 728	2587	883	1929 888
387		1126 338	2627	923	1944 498
427		1140 948	2667	963	1959 108
467		1155 558	2707	1003	1973 718
507		1170 168	2747	1043	1988 328
547		1184 778	2787	1083	2002 938
587		1199 388	2827	1123	2017 548
627		1213 998	2867	1163	2032 158
667		1228 608	2907	1203	2046 768
707		1243 218	2947	1243	2061 378
747		1257 828	2987	1283	2075 988
787		1272 438	3027	1323	2090 598
827		1287 048	3067	1363	2105 208
867		1301 658	3107	1403	2119 818
907		1316 268	3147	1443	2134 428
947		1330 878	3187	1483	2149 038
987		1345 488	3227	1523	2163 648
1027		1360 098	3267	1563	2178 258
1067		1374 708	3307	1603	2192 868
1107		1389 318	3347	1643	2207 478
1147		1403 928	3387	1683	2222 088
1187		1418 538	3427	1723	2236 698
1227		1433 148	3467	1763	2251 308
1267		1447 758	3507	1803	2265 918
1307		1462 368	3547	1843	2280 528
1347		1476 978	3587	1883	2295 138
1387		1491 588	3627	1923	2309 748
1427		1506 198	3667	1963	2324 358
1467		1520 808	3707	2003	2338 968
1507		1535 418	3747	2043	2353 578
1547		1550 028	3787	2083	2368 188
1587		1564 638	3827	2123	2382 798
1627		1579 248	3867	2163	2397 408
1667	—37	1593 858	3907	2203	2412 018
1707	3	1608 468	3947	2243	2426 628
1747	43	1623 078	3987	2283	2441 238
1787	83	1637 688	4027	2323	2455 848
1827	123	1652 298	4067	2363	2470 458
1867	163	1666 908	4107	2403	2485 068
1907	203	1681 518	4147	2443	2499 678
1947	243	1696 128	4187	2483	2514 288
1987	283	1710 738	4227	2523	2528 898
2027	323	1725 348	4267	2563	2543 508
2067	363	1739 958	4307	2603	2558 118
2107	403	1754 568	4347	2643	2572 728
2147	443	1769 178	4387	2683	2587 338
2187	483	1783 788	4427	2723	2601 948

Tafel II.

Römische Monatsnamen												
Jahr	1	2	3	4	5	6	7	8	9	10	11	12
	October	November	December	Januar	Februar	März	April	Mai	Juni	Juli	August	September
00	000 031 001	092 123 152	183 214 244	274 305 336	366 397 427	458 489 517	548 578 609	639 670 701	701 732 762	792 823 854	884 915 946	946 977 1008
01	360 397 427	458 489 517	548 578 609	639 670 701	701 732 762	792 823 854	884 915 946	946 977 1008	1008 1039 1070	1100 1131 1162	1191 1222 1253	1282 1313 1344
02	734 769 792	815 854 884	911 943 974	1014 1045 1075	1105 1136 1167	1196 1227 1258	1287 1318 1349	1400 1431 1462	1491 1522 1553	1602 1633 1664	1713 1744 1775	1824 1855 1886
03	1000 127 157	188 219 247	278 308 339	369 400 431	441 472 502	553 584 613	644 674 705	735 766 797	826 857 888	918 949 980	1000 1031 1062	1091 1122 1153
04	001 492 522	553 584 613	644 674 705	735 766 797	826 857 888	918 949 980	1000 1031 1062	1091 1122 1153	1182 1213 1244	1294 1325 1356	1405 1436 1467	1516 1547 1578
05	827 858 888	919 950 978	1009 1039 1070	1100 1131 1162	1191 1222 1253	1342 1373 1404	1455 1486 1517	1568 1599 1630	1669 1700 1731	1791 1822 1853	1882 1913 1944	1973 2004 2035
06	2102 221 252	284 315 344	374 404 435	465 496 527	557 588 618	649 680 708	739 769 800	830 861 892	922 953 984	1014 1045 1075	1105 1136 1167	1196 1227 1258
07	557 588 618	649 680 708	739 769 800	830 861 892	922 953 984	1014 1045 1075	1105 1136 1167	1196 1227 1258	1287 1318 1349	1400 1431 1462	1491 1522 1553	1602 1633 1664
08	922 953 984	1014 1045 1075	1105 1136 1167	1196 1227 1258	1287 1318 1349	1400 1431 1462	1491 1522 1553	1602 1633 1664	1693 1724 1755	1804 1835 1866	1895 1926 1957	2006 2037 2068
09	3288 319 349	380 411 439	470 500 531	501 532 563	592 623 654	683 714 745	745 776 807	836 867 898	927 958 989	1038 1069 1100	1169 1200 1231	1310 1341 1372
10	65 104 214	745 776 804	815 865 896	927 958 989	1019 1050 1081	1140 1171 1202	1212 1243 1274	1305 1336 1367	1416 1447 1478	1527 1558 1589	1638 1669 1700	1799 1830 1861
11	4018 404 470	110 141 169	200 230 261	291 322 353	383 414 445	475 506 537	590 621 652	682 713 744	793 824 855	934 965 996	1075 1106 1137	1216 1247 1278
12	383 414 445	475 506 537	590 621 652	682 713 744	793 824 855	934 965 996	1075 1106 1137	1216 1247 1278	1307 1338 1369	1448 1479 1510	1600 1631 1662	1781 1812 1843
13	249 279 310	341 372 403	413 444 475	506 537 568	617 648 679	728 759 790	860 891 922	953 984 1015	1106 1137 1168	1247 1278 1309	1400 1431 1462	1581 1612 1643
14	514 145 175	200 231 262	292 323 354	384 415 446	476 507 538	598 629 660	710 741 772	821 852 883	932 963 994	1074 1105 1136	1227 1258 1289	1408 1439 1470
15	470 510 540	571 602 633	664 695 726	757 788 819	849 880 911	922 953 984	1015 1046 1077	1126 1157 1188	1237 1268 1299	1380 1411 1442	1583 1614 1645	1804 1835 1866
16	844 875 905	916 947 978	1027 1058 1089	1138 1169 1200	1240 1271 1302	1332 1363 1394	1423 1454 1485	1514 1545 1576	1625 1656 1687	1768 1799 1830	1971 2002 2033	2212 2243 2274
17	0210 241 271	302 333 361	392 422 451	483 514 545	545 576 607	637 668 699	728 759 790	820 851 882	931 962 993	1073 1104 1135	1226 1257 1288	1407 1438 1469
18	575 606 637	668 699 730	769 800 831	861 892 923	953 984 1015	1046 1077 1108	1139 1170 1201	1232 1263 1294	1343 1374 1405	1506 1537 1568	1709 1740 1771	1950 1981 2012
19	940 971 1001	1032 1063 1094	1124 1155 1186	1216 1247 1278	1307 1338 1369	1418 1449 1480	1529 1560 1591	1660 1691 1722	1813 1844 1875	1996 2027 2058	2249 2280 2311	2490 2521 2552
20	7 305 130 300	397 428 457	488 519 549	579 610 641	641 672 703	733 764 795	825 856 887	916 947 978	1027 1058 1089	1160 1191 1222	1373 1404 1435	1624 1655 1686
21	671 702 732	763 794 825	856 887 918	948 979 1010	1049 1080 1111	1141 1172 1203	1234 1265 1296	1325 1356 1387	1436 1467 1498	1600 1631 1662	1853 1884 1915	2104 2135 2166
22	8 030 007 090	128 159 187	218 248 279	309 340 371	371 402 433	433 464 495	495 526 557	557 588 619	619 650 681	742 773 804	925 956 987	1106 1137 1168
23	401 432 463	494 525 556	585 616 647	676 707 738	738 769 800	800 831 862	862 893 924	924 955 986	986 1017 1048	1141 1172 1203	1344 1375 1406	1525 1556 1587
24	700 737 827	858 889 919	949 979 1010	1040 1071 1102	1102 1133 1164	1164 1195 1226	1226 1257 1288	1288 1319 1350	1350 1381 1412	1494 1525 1556	1747 1778 1809	1998 2029 2060
25	9 132 101 191	224 255 283	314 344 375	405 436 467	467 498 529	529 560 591	591 622 653	653 684 715	715 746 777	849 880 911	1062 1093 1124	1283 1314 1345
26	497 528 558	589 620 651	670 701 732	762 793 824	824 855 886	886 917 948	948 979 1010	1010 1041 1072	1072 1103 1134	1225 1256 1287	1478 1509 1540	1729 1760 1791
27	862 893 924	955 986 1017	1047 1078 1109	1139 1170 1201	1201 1232 1263	1263 1294 1325	1325 1356 1387	1387 1418 1449	1449 1480 1511	1602 1633 1664	1855 1886 1917	2106 2137 2168
28	10 227 258 288	319 350 379	410 440 471	501 532 563	563 594 625	625 656 687	687 718 749	749 780 811	811 842 873	964 995 1026	1217 1248 1279	1468 1499 1530
29	593 624 655	686 717 747	778 809 840	870 901 932	932 963 994	994 1025 1056	1056 1087 1118	1118 1149 1180	1180 1211 1242	1344 1375 1406	1597 1628 1659	1848 1879 1910
30	958 989 1019	1050 1081 1091	1140 1171 1202	1232 1263 1294	1294 1325 1356	1356 1387 1418	1418 1449 1480	1480 1511 1542	1542 1573 1604	1705 1736 1767	1958 1989 2020	2209 2240 2271
31	11 323 354 384	415 446 477	505 536 567	596 627 658	658 689 720	720 751 782	782 813 844	844 875 906	906 937 968	1040 1071 1102	1293 1324 1355	1544 1575 1606
32	088 710 740	780 811 840	871 902 933	963 994 1025	1025 1056 1087	1087 1118 1149	1149 1180 1211	1211 1242 1273	1273 1304 1335	1427 1458 1489	1700 1731 1762	1951 1982 2013
33	12 054 085 115	146 177 205	236 267 297	327 358 389	389 420 451	451 482 513	513 544 575	575 606 637	637 668 699	762 793 824	1015 1046 1077	1266 1297 1328
34	419 450 480	511 542 570	601 632 663	693 724 755	755 786 817	817 848 879	879 910 941	941 972 1003	1003 1034 1065	1158 1189 1220	1411 1442 1473	1662 1693 1724
35	784 815 846	876 907 938	968 1000 1031	1061 1092 1123	1123 1154 1185	1185 1216 1247	1247 1278 1309	1309 1340 1371	1371 1402 1433	1505 1536 1567	1758 1789 1820	2009 2040 2071
36	13 149 180 210	241 272 301	332 363 394	424 455 485	485 516 547	547 578 609	609 640 671	671 702 733	733 764 795	858 889 920	1111 1142 1173	1362 1393 1424
37	515 546 577	608 639 670	700 731 762	792 823 854	854 885 916	916 947 978	978 1009 1040	1040 1071 1102	1102 1133 1164	1225 1256 1287	1478 1509 1540	1729 1760 1791
38	886 911 941	972 1003 1034	1062 1093 1124	1154 1185 1216	1216 1247 1278	1278 1309 1340	1340 1371 1402	1402 1433 1464	1464 1495 1526	1627 1658 1689	1880 1911 1942	2131 2162 2193
39	1454 279 309	337 368 399	429 460 491	491 522 553	553 584 615	615 646 677	677 708 739	739 770 801	801 832 863	955 986 1017	1158 1189 1220	1411 1442 1473
J a h r												
Thätsäc	I	2	3	4	5	6	7	8	9	10	11	12
	Hyperboreä	Eurus	Apollas	Arcton	Arcton	S-nelot	A-jar	Nisan	Tharjan	Hadran	Thamas	Alb
	1	2	3	4	5	6	7	8	9	10	11	12
S. nische Monatsnamen.												
Thätsäc	I	2	3	4	5	6	7	8	9	10	11	12
	Hyperboreä	Eurus	Apollas	Arcton	Arcton	S-nelot	A-jar	Nisan	Tharjan	Hadran	Thamas	Alb
	1	2	3	4	5	6	7	8	9	10	11	12
Macedonische Monatsnamen.												

Alexandrinisches Jahr.

Aera des Panodorus oder von Antiochia, alexandrinische Aera, Aera Augusti oder actische Aera, Aera Diocletiani oder Märtyrer ära, oder auch Gadenäara. (Anianus, ab Incarnatione, Abessinier, Gaza, Ascalon, Bostra.)

Die Epoche der alexandrinischen Weltära, oder der 1. Thot des Jahres 1 dieser Aera, entspricht dem Tage — 288 307 der julianischen Periode. Die Epoche der Weltära des Panodorus, auch die Aera von Antiochia genannt, entspricht dem Tage — 284 651 der julianischen Periode. Die Epoche der Aera Augusti oder der actischen Aera entspricht dem Tage 1710 707 der julianischen Periode. Die Epoche der Aera des Diocletian oder der Märtyrerära bei den Kopten, oder Gadenäara der Abessinier entspricht dem Tage 1725 030 der julianischen Periode.

Im Jahre 5786 der alexandrinischen Weltära wurden 10 Jahre derselben fortgelassen, wodurch sie mit der des Panodorus, die auch unter den Namen der Alexandrinischen erscheint, identisch wurde, 5786 ist also das letzte Jahr dieser Aera. Die Aera des Anianus ist mit der des Panodorus identisch, zählt aber nur his 532, worauf sie vom Neuen beginnt; man hat also für die 9^{ten} Jahre der einzelnen Cyclen des Anianus folgende entsprechende Jahre des Panodorus: I: 0, II: 532, III: 1061, IV: 1596, V: 2126, VI: 2660, VII: 3192, VIII: 3721, IX: 4256, X: 4788, XI: 5320, XII: 5852, XIII: 6384, XIV: 6916, XV: 7448.

Die Abessinier oder Aethiopen zählen nach diocletianischer Aera, die sie Gadenäara nennen, ebenfalls in Cyclen zu 532 Jahren, deren 9^{te} Jahre folgende Jahre der alexandrinischen Aera sind: I: 0, II: 532, III: 1064, IV: 1596.

Indictionen kommen häufig mit alexandrinischen Jahren verbunden vor. Die Indiction ist der unmerkliche Rest der um 2 vermehrte Diocletianische Jahreszahl durch 15.

Es kommt öfters eine Aera ab Incarnatione vor, welche um 8 Jahre später anfängt als die gewöhnlich so genannte Aera. Es ist nämlich nach dieser Rechnung das Jahr A ab Incarnatione um A + 5600 des Panodorus.

Die Jahre dieser Zeitrechnung sind feste Sonnenjahre von 365 oder 366 Tagen. Schaltjahr ist jedes vierte Jahr. Das Jahr wurde in 12 Monate getheilt, denen 5, oder im Schaltjahre 6 Ergänzungstage folgten. Die Namen derselben sind:

Bei den Aegyptern:	Bei den Arabern:	Bei den Kopten:	Bei den Abessinern:	Der 9 ^{te} Monat entspricht, wenn die Diocletianische Jahr durch 4 durch 1 nicht theilbar ist
Tage.	Tage.	Tage.	Tage.	
1. Thot 30	1. Tôt 30	1. Thout 30	1. Mascaram . . . 30	— 2 — 3 Sept.
2. Phaoph 30	2. Bâbe 30	2. Paoph 30	2. Tekent 30	— 3 — 3 Oct.
3. Athyr 30	3. Hârâk 30	3. Athor 30	3. Hedar 30	— 3 — 4 Nov.
4. Choiak 30	4. Kihâk 30	4. Choiak 30	4. Tachas 30	— 3 — 4 Dec.
5. Tybi 30	5. Tûbe 30	5. Tobl 30	5. Ter 30	— 4 — 5 Jan.
6. Mehir 30	6. Anschir 30	6. Mechr 30	6. Jacatit 30	— 5 — 6 Febr.
7. Phamenoth . . . 30	7. Barmahat . . . 30	7. Phamenoth . . . 30	7. Magahit 30	— 4 — 1 März
8. Pharmuthi . . . 30	8. Barmande . . . 30	8. Pharmuthi . . . 30	8. Mijazin 30	— 5 — 5 April
9. Pachon 30	9. Basrinas 30	9. Pachons 30	9. Ginhut 30	— 5 — 5 Mai
10. Payni 30	10. Bâne 30	10. Paoni 30	10. Sene 30	— 6 — 6 Juni
11. Epiphi 30	11. Abib 30	11. Epep 30	11. Hauile 30	— 6 — 6 Juli
12. Mesori 30	12. Mesri 30	12. Mesote 30	12. Nalse 30	— 7 — 7 Aug.
Epagomenal, 5 oder 6	Abgâgoma, 5 oder 6	Phat enkagit oder 6	Epagomenen . . . 30	23 23 Aug.

Von den Monaten unabhängig ist die siebenbürtige Woche, deren einzelne Tage Sonntag, Montag, Dienstag, Mittwoch, Donnerstag, Freitag und Samstag genannt werden. Der Rest der julianischen Tagezahl durch 7 lässt den Wochentag erkennen, und zwar entspricht den Resten: 0 Montag, 1 Dienstag, 2 Mittwoch, 3 Donnerstag, 4 Freitag, 5 Samstag und 6 Sonntag. Die Festtage der Kopten und Abessinier fallen mit den Festtagen derjenigen Christen, welche nach den julianischen Kalender rechnen, zusammen, und werden daher hier nicht besonders angeführt, sondern müssen, wenn man sie einmal brauchen sollte, aus den entsprechenden julianischen abgeleitet werden; ägyptische und julianische Monate sind oben miteinander verglichen.

Häufig werden die Jahre nach Regenten gezählt. Zur Redaction hat man:

0 Jahr des Augustus	Jahr des Augustus	0 Jahr des Augustus	Jahr des Augustus	0 Jahr des Augustus	Jahr des Augustus	0 Jahr des Augustus	Jahr des Augustus	0 Jahr des Augustus	Jahr des Augustus
Tiberius 43	Titus 81	Aelius Antoninus 166	Maximinus 263	Gallienus 268					
Cajus 65	Domitianus 91	Marcus und Commodus 189	Gordianus 266	Claudius 297					
Claudius 69	Nerva 96	Severus 221	Philipus 272	Anrelianus 298					
Nero 68	Trajanus 117	Antoninus 180	Deius 278	Probus 304					
Vespasianus 69	Hadrianus 117	Alexander 230	Gallus 279	Carnus 311					

Hier wären noch einige Jahrformen und Aera einzelner syrischen Städte anzuführen, welche ebenfalls 30tägige Monate mit angehängten 5, und jedes vierte Jahr 6 Ergänzungstagen hatten. Die Monate von Gaza und Ascalon liefen ganz den alexandrinischen parallel, nur fingen sie das Jahr zu einer anderen Zeit an. Es entspricht:

Gaza	Ascalon	Aegyptisch	Gaza	Ascalon	Aegyptisch
1. Ithas	1. Hyperboretäns	Athyr.	7. Artemisius	7. Xanthius	Pachon.
2. Apelläus	2. Ithas	Choiak.	8. Ithasius	8. Artemisius	Payni.
3. Andynäus	3. Apelläus	Tybi.	9. Panemus	9. Ithasius	Epiphi.
4. Peritius	4. Andynäus	Mehir.	10. Ithas	10. Panemus	Mesori.
5. Ithasius	5. Peritius	Phamenoth.	Epagomenal	Epagomenal	Epagomenal.
6. Xanthius	6. Ithasius	Pharmuthi.	11. Ithas	11. Ithas	Phaoph.
			12. Hyperboretäns	12. Ithasius	

Das Jahr A der Stadt Gaza entspricht in den ersten zehn Monaten dem Jahre A + 5430 des Panodorus, in den zwei letzten Monaten dem Jahre A + 5431.

Das Jahr der Stadt Ascalon entspricht in den ersten zehn Monaten dem Jahre A + 5388 des Panodorus, in den zwei letzten Monaten dem Jahre A + 5389.

Die Stadt Bostra im parthischen Arabien hatte folgende Monatsnamen: 1. Xanthius, 2. Artemisius, 3. Ithasius, 4. Panemus, 5. Ithas, 6. Ithasius, 7. Hyperboretäns, 8. Ithas, 9. Apelläus, 10. Andynäus, 11. Peritius, 12. Hyperboretäns, 13. Ithasius, 14. Ithasius, 15. Ithasius, 16. Ithasius, 17. Ithasius, 18. Ithasius, 19. Ithasius, 20. Ithasius, 21. Ithasius, 22. Ithasius, 23. Ithasius, 24. Ithasius, 25. Ithasius, 26. Ithasius, 27. Ithasius, 28. Ithasius, 29. Ithasius, 30. Ithasius, 31. Ithasius, 32. Ithasius, 33. Ithasius, 34. Ithasius, 35. Ithasius, 36. Ithasius, 37. Ithasius, 38. Ithasius, 39. Ithasius, 40. Ithasius, 41. Ithasius, 42. Ithasius, 43. Ithasius, 44. Ithasius, 45. Ithasius, 46. Ithasius, 47. Ithasius, 48. Ithasius, 49. Ithasius, 50. Ithasius, 51. Ithasius, 52. Ithasius, 53. Ithasius, 54. Ithasius, 55. Ithasius, 56. Ithasius, 57. Ithasius, 58. Ithasius, 59. Ithasius, 60. Ithasius, 61. Ithasius, 62. Ithasius, 63. Ithasius, 64. Ithasius, 65. Ithasius, 66. Ithasius, 67. Ithasius, 68. Ithasius, 69. Ithasius, 70. Ithasius, 71. Ithasius, 72. Ithasius, 73. Ithasius, 74. Ithasius, 75. Ithasius, 76. Ithasius, 77. Ithasius, 78. Ithasius, 79. Ithasius, 80. Ithasius, 81. Ithasius, 82. Ithasius, 83. Ithasius, 84. Ithasius, 85. Ithasius, 86. Ithasius, 87. Ithasius, 88. Ithasius, 89. Ithasius, 90. Ithasius, 91. Ithasius, 92. Ithasius, 93. Ithasius, 94. Ithasius, 95. Ithasius, 96. Ithasius, 97. Ithasius, 98. Ithasius, 99. Ithasius, 100. Ithasius, 101. Ithasius, 102. Ithasius, 103. Ithasius, 104. Ithasius, 105. Ithasius, 106. Ithasius, 107. Ithasius, 108. Ithasius, 109. Ithasius, 110. Ithasius, 111. Ithasius, 112. Ithasius, 113. Ithasius, 114. Ithasius, 115. Ithasius, 116. Ithasius, 117. Ithasius, 118. Ithasius, 119. Ithasius, 120. Ithasius, 121. Ithasius, 122. Ithasius, 123. Ithasius, 124. Ithasius, 125. Ithasius, 126. Ithasius, 127. Ithasius, 128. Ithasius, 129. Ithasius, 130. Ithasius, 131. Ithasius, 132. Ithasius, 133. Ithasius, 134. Ithasius, 135. Ithasius, 136. Ithasius, 137. Ithasius, 138. Ithasius, 139. Ithasius, 140. Ithasius, 141. Ithasius, 142. Ithasius, 143. Ithasius, 144. Ithasius, 145. Ithasius, 146. Ithasius, 147. Ithasius, 148. Ithasius, 149. Ithasius, 150. Ithasius, 151. Ithasius, 152. Ithasius, 153. Ithasius, 154. Ithasius, 155. Ithasius, 156. Ithasius, 157. Ithasius, 158. Ithasius, 159. Ithasius, 160. Ithasius, 161. Ithasius, 162. Ithasius, 163. Ithasius, 164. Ithasius, 165. Ithasius, 166. Ithasius, 167. Ithasius, 168. Ithasius, 169. Ithasius, 170. Ithasius, 171. Ithasius, 172. Ithasius, 173. Ithasius, 174. Ithasius, 175. Ithasius, 176. Ithasius, 177. Ithasius, 178. Ithasius, 179. Ithasius, 180. Ithasius, 181. Ithasius, 182. Ithasius, 183. Ithasius, 184. Ithasius, 185. Ithasius, 186. Ithasius, 187. Ithasius, 188. Ithasius, 189. Ithasius, 190. Ithasius, 191. Ithasius, 192. Ithasius, 193. Ithasius, 194. Ithasius, 195. Ithasius, 196. Ithasius, 197. Ithasius, 198. Ithasius, 199. Ithasius, 200. Ithasius, 201. Ithasius, 202. Ithasius, 203. Ithasius, 204. Ithasius, 205. Ithasius, 206. Ithasius, 207. Ithasius, 208. Ithasius, 209. Ithasius, 210. Ithasius, 211. Ithasius, 212. Ithasius, 213. Ithasius, 214. Ithasius, 215. Ithasius, 216. Ithasius, 217. Ithasius, 218. Ithasius, 219. Ithasius, 220. Ithasius, 221. Ithasius, 222. Ithasius, 223. Ithasius, 224. Ithasius, 225. Ithasius, 226. Ithasius, 227. Ithasius, 228. Ithasius, 229. Ithasius, 230. Ithasius, 231. Ithasius, 232. Ithasius, 233. Ithasius, 234. Ithasius, 235. Ithasius, 236. Ithasius, 237. Ithasius, 238. Ithasius, 239. Ithasius, 240. Ithasius, 241. Ithasius, 242. Ithasius, 243. Ithasius, 244. Ithasius, 245. Ithasius, 246. Ithasius, 247. Ithasius, 248. Ithasius, 249. Ithasius, 250. Ithasius, 251. Ithasius, 252. Ithasius, 253. Ithasius, 254. Ithasius, 255. Ithasius, 256. Ithasius, 257. Ithasius, 258. Ithasius, 259. Ithasius, 260. Ithasius, 261. Ithasius, 262. Ithasius, 263. Ithasius, 264. Ithasius, 265. Ithasius, 266. Ithasius, 267. Ithasius, 268. Ithasius, 269. Ithasius, 270. Ithasius, 271. Ithasius, 272. Ithasius, 273. Ithasius, 274. Ithasius, 275. Ithasius, 276. Ithasius, 277. Ithasius, 278. Ithasius, 279. Ithasius, 280. Ithasius, 281. Ithasius, 282. Ithasius, 283. Ithasius, 284. Ithasius, 285. Ithasius, 286. Ithasius, 287. Ithasius, 288. Ithasius, 289. Ithasius, 290. Ithasius, 291. Ithasius, 292. Ithasius, 293. Ithasius, 294. Ithasius, 295. Ithasius, 296. Ithasius, 297. Ithasius, 298. Ithasius, 299. Ithasius, 300. Ithasius, 301. Ithasius, 302. Ithasius, 303. Ithasius, 304. Ithasius, 305. Ithasius, 306. Ithasius, 307. Ithasius, 308. Ithasius, 309. Ithasius, 310. Ithasius, 311. Ithasius, 312. Ithasius, 313. Ithasius, 314. Ithasius, 315. Ithasius, 316. Ithasius, 317. Ithasius, 318. Ithasius, 319. Ithasius, 320. Ithasius, 321. Ithasius, 322. Ithasius, 323. Ithasius, 324. Ithasius, 325. Ithasius, 326. Ithasius, 327. Ithasius, 328. Ithasius, 329. Ithasius, 330. Ithasius, 331. Ithasius, 332. Ithasius, 333. Ithasius, 334. Ithasius, 335. Ithasius, 336. Ithasius, 337. Ithasius, 338. Ithasius, 339. Ithasius, 340. Ithasius, 341. Ithasius, 342. Ithasius, 343. Ithasius, 344. Ithasius, 345. Ithasius, 346. Ithasius, 347. Ithasius, 348. Ithasius, 349. Ithasius, 350. Ithasius, 351. Ithasius, 352. Ithasius, 353. Ithasius, 354. Ithasius, 355. Ithasius, 356. Ithasius, 357. Ithasius, 358. Ithasius, 359. Ithasius, 360. Ithasius, 361. Ithasius, 362. Ithasius, 363. Ithasius, 364. Ithasius, 365. Ithasius, 366. Ithasius, 367. Ithasius, 368. Ithasius, 369. Ithasius, 370. Ithasius, 371. Ithasius, 372. Ithasius, 373. Ithasius, 374. Ithasius, 375. Ithasius, 376. Ithasius, 377. Ithasius, 378. Ithasius, 379. Ithasius, 380. Ithasius, 381. Ithasius, 382. Ithasius, 383. Ithasius, 384. Ithasius, 385. Ithasius, 386. Ithasius, 387. Ithasius, 388. Ithasius, 389. Ithasius, 390. Ithasius, 391. Ithasius, 392. Ithasius, 393. Ithasius, 394. Ithasius, 395. Ithasius, 396. Ithasius, 397. Ithasius, 398. Ithasius, 399. Ithasius, 400. Ithasius, 401. Ithasius, 402. Ithasius, 403. Ithasius, 404. Ithasius, 405. Ithasius, 406. Ithasius, 407. Ithasius, 408. Ithasius, 409. Ithasius, 410. Ithasius, 411. Ithasius, 412. Ithasius, 413. Ithasius, 414. Ithasius, 415. Ithasius, 416. Ithasius, 417. Ithasius, 418. Ithasius, 419. Ithasius, 420. Ithasius, 421. Ithasius, 422. Ithasius, 423. Ithasius, 424. Ithasius, 425. Ithasius, 426. Ithasius, 427. Ithasius, 428. Ithasius, 429. Ithasius, 430. Ithasius, 431. Ithasius, 432. Ithasius, 433. Ithasius, 434. Ithasius, 435. Ithasius, 436. Ithasius, 437. Ithasius, 438. Ithasius, 439. Ithasius, 440. Ithasius, 441. Ithasius, 442. Ithasius, 443. Ithasius, 444. Ithasius, 445. Ithasius, 446. Ithasius, 447. Ithasius, 448. Ithasius, 449. Ithasius, 450. Ithasius, 451. Ithasius, 452. Ithasius, 453. Ithasius, 454. Ithasius, 455. Ithasius, 456. Ithasius, 457. Ithasius, 458. Ithasius, 459. Ithasius, 460. Ithasius, 461. Ithasius, 462. Ithasius, 463. Ithasius, 464. Ithasius, 465. Ithasius, 466. Ithasius, 467. Ithasius, 468. Ithasius, 469. Ithasius, 470. Ithasius, 471. Ithasius, 472. Ithasius, 473. Ithasius, 474. Ithasius, 475. Ithasius, 476. Ithasius, 477. Ithasius, 478. Ithasius, 479. Ithasius, 480. Ithasius, 481. Ithasius, 482. Ithasius, 483. Ithasius, 484. Ithasius, 485. Ithasius, 486. Ithasius, 487. Ithasius, 488. Ithasius, 489. Ithasius, 490. Ithasius, 491. Ithasius, 492. Ithasius, 493. Ithasius, 494. Ithasius, 495. Ithasius, 496. Ithasius, 497. Ithasius, 498. Ithasius, 499. Ithasius, 500. Ithasius, 501. Ithasius, 502. Ithasius, 503. Ithasius, 504. Ithasius, 505. Ithasius, 506. Ithasius, 507. Ithasius, 508. Ithasius, 509. Ithasius, 510. Ithasius, 511. Ithasius, 512. Ithasius, 513. Ithasius, 514. Ithasius, 515. Ithasius, 516. Ithasius, 517. Ithasius, 518. Ithasius, 519. Ithasius, 520. Ithasius, 521. Ithasius, 522. Ithasius, 523. Ithasius, 524. Ithasius, 525. Ithasius, 526. Ithasius, 527. Ithasius, 528. Ithasius, 529. Ithasius, 530. Ithasius, 531. Ithasius, 532. Ithasius, 533. Ithasius, 534. Ithasius, 535. Ithasius, 536. Ithasius, 537. Ithasius, 538. Ithasius, 539. Ithasius, 540. Ithasius, 541. Ithasius, 542. Ithasius, 543. Ithasius, 544. Ithasius, 545. Ithasius, 546. Ithasius, 547. Ithasius, 548. Ithasius, 549. Ithasius, 550. Ithasius, 551. Ithasius, 552. Ithasius, 553. Ithasius, 554. Ithasius, 555. Ithasius, 556. Ithasius, 557. Ithasius, 558. Ithasius, 559. Ithasius, 560. Ithasius, 561. Ithasius, 562. Ithasius, 563. Ithasius, 564. Ithasius, 565. Ithasius, 566. Ithasius, 567. Ithasius, 568. Ithasius, 569. Ithasius, 570. Ithasius, 571. Ithasius, 572. Ithasius, 573. Ithasius, 574. Ithasius, 575. Ithasius, 576. Ithasius, 577. Ithasius, 578. Ithasius, 579. Ithasius, 580. Ithasius, 581. Ithasius, 582. Ithasius, 583. Ithasius, 584. Ithasius, 585. Ithasius, 586. Ithasius, 587. Ithasius, 588. Ithasius, 589. Ithasius, 590. Ithasius, 591. Ithasius, 592. Ithasius, 593. Ithasius, 594. Ithasius, 595. Ithasius, 596. Ithasius, 597. Ithasius, 598. Ithasius, 599. Ithasius, 600. Ithasius, 601. Ithasius, 602. Ithasius, 603. Ithasius, 604. Ithasius, 605. Ithasius, 606. Ithasius, 607. Ithasius, 608. Ithasius, 609. Ithasius, 610. Ithasius, 611. Ithasius, 612. Ithasius, 613. Ithasius, 614. Ithasius, 615. Ithasius, 616. Ithasius, 617. Ithasius, 618. Ithasius, 619. Ithasius, 620. Ithasius, 621. Ithasius, 622. Ithasius, 623. Ithasius, 624. Ithasius, 625. Ithasius, 626. Ithasius, 627. Ithasius, 628. Ithasius, 629. Ithasius, 630. Ithasius, 631. Ithasius, 632. Ithasius, 633. Ithasius, 634. Ithasius, 635. Ithasius, 636. Ithasius, 637. Ithasius, 638. Ithasius, 639. Ithasius, 640. Ithasius, 641. Ithasius, 642. Ithasius, 643. Ithasius, 644. Ithasius, 645. Ithasius, 646. Ithasius, 647. Ithasius, 648. Ithasius, 649. Ithasius, 650. Ithasius, 651. Ithasius, 652. Ithasius, 653. Ithasius, 654. Ithasius, 655. Ithasius, 656. Ithasius, 657. Ithasius, 658. Ithasius, 659. Ithasius, 660. Ithasius, 661. Ithasius, 662. Ithasius, 663. Ithasius, 664. Ithasius, 665. Ithasius, 666. Ithasius, 667. Ithasius, 668. Ithasius, 669. Ithasius, 670. Ithasius, 671. Ithasius, 672. Ithasius, 673. Ithasius, 674. Ithasius, 675. Ithasius, 676. Ithasius, 677. Ithasius, 678. Ithasius, 679. Ithasius, 680. Ithasius, 681. Ithasius, 682. Ithasius, 683. Ithasius, 684. Ithasius, 685. Ithasius, 686. Ithasius, 687. Ithasius, 688. Ithasius, 689. Ithasius, 690. Ithasius, 691. Ithasius, 692. Ithasius, 693. Ithasius, 694. Ithasius, 695. Ithasius, 696. Ithasius, 697. Ithasius, 698. Ithasius, 699. Ithasius, 700. Ithasius, 701. Ithasius, 702. Ithasius, 703. Ithasius, 704. Ithasius, 705. Ithasius, 706. Ithasius, 707. Ithasius, 708. Ithasius, 709. Ithasius, 710. Ithasius, 711. Ithasius, 712. Ithasius, 713. Ithasius, 714. Ithasius, 715. Ithasius, 716. Ithasius, 717. Ithasius, 718. Ithasius, 719. Ithasius, 720. Ithasius, 721. Ithasius, 722. Ithasius, 723. Ithasius, 724. Ithasius, 725. Ithasius, 726. Ithasius, 727. Ithasius, 728. Ithasius, 729. Ithasius, 730. Ithasius, 731. Ithasius, 732. Ithasius, 733. Ithasius, 734. Ithasius, 735. Ithasius, 736. Ithasius, 737. Ithasius, 738. Ithasius, 739. Ithasius, 740. Ithasius, 741. Ithasius, 742. Ithasius, 743. Ithasius, 744. Ithasius, 745. Ithasius, 746. Ithasius, 747. Ithasius, 748. Ithasius, 749. Ithasius, 750. Ithasius, 751. Ithasius, 752. Ithasius, 753. Ithasius, 754. Ithasius, 755. Ithasius, 756. Ithasius, 757. Ithasius, 758. Ithasius, 759. Ithasius, 760. Ithasius, 761. Ithasius, 762. Ithasius, 763. Ithasius, 764. Ithasius, 765. Ithasius, 766. Ithasius, 767. Ithasius, 768. Ithasius, 769. Ithasius, 770. Ithasius, 771. Ithasius, 772. Ithasius, 773. Ithasius, 774. Ithasius, 775. Ithasius, 776. Ithasius, 777. Ithasius, 778. Ithasius, 779. Ithasius, 780. Ithasius, 781. Ithasius, 782. Ithasius, 783. Ithasius, 784. Ithasius, 785. Ithasius, 786. Ithasius, 787. Ithasius, 788. Ithasius, 789. Ithasius, 790. Ithasius, 791. Ithasius, 792. Ithasius, 793. Ithasius, 794. Ithasius, 795. Ithasius, 796. Ithasius, 797. Ithasius, 798. Ithasius, 799. Ithasius, 800. Ithasius, 801. Ithasius, 802. Ithasius, 803. Ithasius, 804. Ithasius, 805. Ithasius, 806. Ithasius, 807. Ithasius, 808. Ithasius, 809. Ithasius, 810. Ithasius, 811. Ithasius, 812. Ithasius, 813. Ithasius, 814. Ithasius, 815. Ithasius, 816. Ithasius, 817. Ithasius, 818. Ithasius, 819. Ithasius, 820. Ithasius, 821. Ithasius, 822. Ithasius, 823. Ithasius, 824. Ithasius, 825. Ithasius, 826. Ithasius, 827. Ithasius, 828. Ithasius, 829. Ithasius, 830. Ithasius, 831. Ithasius, 832. Ithasius, 833. Ithasius, 834. Ithasius, 835. Ithasius, 836. Ithasius, 837. Ithasius, 838. Ithasius, 839. Ithasius, 840. Ithasius, 841. Ithasius, 842. Ithasius, 843. Ithasius, 844. Ithasius, 845. Ithasius, 846. Ithasius, 847. Ithasius, 848. Ithasius, 849. Ithasius, 850. Ithasius

Alexandrinisches Jahr, Panodorus, actische Aera oder Augustus-Aera, diocletianische Aera

Tafel I.

		Alexandrinisch Panduros oder Antiochia	Alexandrinisch Panduros oder Antiochia	Alexandrinisch Panduros oder Antiochia	Alexandrinisch Augustus oder Antiochia	Phocilitische Aera	
	0	-	10	-	288 073	2400 2630	
40	30	274 060	2680 2070	675 587	5280 5270		1030 847
80	70	250 453	2720 2170	704 807	5300 5310		1054 457
120	110	244 843	2800 2270	719 417	5320 5400		1069 007
160	150	230 233	2880 2370	734 027	5440 5430	33	1083 287
200	190	215 023	2940 2470	748 937	5480 5470	7	1112 907
240	230	200 413	3000 2570	763 447	5520 5510	47	1127 507
280	270	186 040	3060 2670	777 957	5560 5550	87	1142 117
320	310	171 703	3090 2910	792 467	5600 5600	127	1156 727
360	350	157 153	3080 3090	807 077	5640 5630	167	1171 337
400	390	142 573	3040 3230	821 687	5680 5670	207	1185 947
440	430	127 993	3080 3070	836 297	5720 5710	247	1200 557
480	470	113 353	3120 3110	850 907	5760 5750	287	- 20 1815 107
520	510	98 743	3160 3250	865 517	5790 5787	327	14 1829 727
560	550	84 133	3200 3390	880 127	5830 5820	367	54 1844 337
600	590	69 523	3240 3230	894 737	5870 5860	407	104 1858 947
640	630	54 913	3280 3270	909 347	5910 5900	447	134 1873 507
680	670	40 303	3320 3310	923 957	5950 5940	487	174 1888 117
720	710	25 093	3360 3350	938 567	5990 5980	527	214 1902 727
760	750	11 083	3400 3390	953 177	6030 6020	567	254 1917 337
800	790	3 527	3440 3430	967 787	6070 6060	607	294 1932 007
840	830	18 137	3480 3470	982 397	6110 6100	647	334 1946 617
880	870	32 747	3520 3510	997 007	6150 6140	687	374 1961 227
920	910	47 357	3560 3550	1011 617	6190 6180	727	414 1975 837
960	950	61 967	3600 3590	1026 227	6230 6220	767	454 1990 447
1000	990	76 577	3640 3630	1040 837	6270 6260	807	494 2005 057
1040	1030	91 187	3680 3670	1055 447	6310 6300	847	534 2019 667
1080	1070	105 797	3720 3710	1070 057	6350 6340	887	574 2034 277
1120	1110	120 407	3760 3750	1084 667	6390 6380	927	614 2048 887
1160	1150	135 017	3800 3790	1099 277	6430 6420	967	654 2063 497
1200	1190	149 627	3840 3830	1113 887	6470 6460	1007	694 2078 107
1240	1230	164 237	3880 3870	1128 497	6510 6500	1047	734 2092 717
1280	1270	178 847	3920 3910	1143 107	6550 6540	1087	774 2107 327
1320	1310	193 457	3960 3950	1157 717	6590 6580	1127	814 2121 937
1360	1350	208 067	4000 3990	1172 327	6630 6620	1167	854 2136 547
1400	1390	222 677	4040 4030	1186 937	6670 6660	1207	894 2151 157
1440	1430	237 287	4080 4070	1201 547	6710 6700	1247	934 2165 767
1480	1470	251 897	4120 4110	1216 157	6750 6740	1287	974 2180 377
1520	1510	266 507	4160 4150	1230 767	6790 6780	1327	1014 2194 987
1560	1550	281 117	4200 4190	1245 377	6830 6820	1367	1054 2209 597
1600	1590	295 727	4240 4230	1259 987	6870 6860	1407	1094 2224 247
1640	1630	310 337	4280 4270	1274 597	6910 6900	1447	1134 2238 857
1680	1670	324 947	4320 4310	1289 207	6950 6940	1487	1174 2253 467
1720	1710	339 557	4360 4350	1303 817	6990 6980	1527	1214 2268 077
1760	1750	354 167	4400 4390	1318 427	7030 7020	1567	1254 2282 687
1800	1790	368 777	4440 4430	1333 037	7070 7060	1607	1294 2297 297
1840	1830	383 387	4480 4470	1347 647	7110 7100	1647	1334 2311 907
1880	1870	397 997	4520 4510	1362 257	7150 7140	1687	1374 2326 517
1920	1910	412 607	4560 4550	1376 867	7190 7180	1727	1414 2341 127
1960	1950	427 217	4600 4590	1391 477	7230 7220	1767	1454 2355 737
2000	1990	441 827	4640 4630	1406 087	7270 7260	1807	1494 2370 347
2040	2030	456 437	4680 4670	1420 697	7310 7300	1847	1534 2384 957
2080	2070	471 047	4720 4710	1435 307	7350 7340	1887	1574 2399 567
2120	2110	485 657	4760 4750	1449 917	7390 7380	1927	1614 2414 177
2160	2150	500 267	4800 4790	1464 527	7430 7420	1967	1654 2428 787
2200	2190	514 877	4840 4830	1479 137	7470 7460	2007	1694 2443 397
2240	2230	529 487	4880 4870	1493 747	7510 7500	2047	1734 2458 007
2280	2270	544 097	4920 4910	1508 357	7550 7540	2087	1774 2472 617
2320	2310	558 707	4960 4950	1522 967	7590 7580	2127	1814 2487 227
2360	2350	573 317	5000 4990	1537 577	7630 7620	2167	1854 2501 837
2400	2390	587 927	5040 5030	1552 187	7670 7660	2207	1894 2516 447
2440	2430	602 537	5080 5070	1566 797	7710 7700	2247	1934 2531 057
2480	2470	617 147	5120 5110	1581 407	7750 7740	2287	1974 2545 667
2520	2510	631 757	5160 5150	1596 017	7790 7780	2327	2014 2560 277
2560	2550	646 367	5200 5190	1610 627	7830 7820	2367	2054 2574 887
2600	2590	660 977	5240 5230	1625 237	7870 7860	2407	2094 2589 497

Tafel II.

Ägyptische Monatsnamen.													
J a h r	1	2	3	4	5	6	7	8	9	10	11	12	Epagomenai
	Thoth	Phophi	Athyr	Choiak	Tybi	Mechir	Phaemoth	Pharmuthi	Pachon	Payni	Epiphi	Meni	
00													
01	000	030	000	090	120	150	180	210	240	270	300	330	360
02	305	395	425	455	485	515	545	575	605	635	665	695	725
03	731	791	791	821	851	881	911	941	971	1001	1031	1061	1091
04	1099	1209	1209	1249	1279	1309	1339	1369	1399	1429	1459	1489	1519
05	1520	1630	1630	1670	1700	1730	1760	1790	1820	1850	1880	1910	1940
06	1949	2059	2059	2099	2129	2159	2189	2219	2249	2279	2309	2339	2369
07	2370	2480	2480	2520	2550	2580	2610	2640	2670	2700	2730	2760	2790
08	2800	2910	2910	2950	2980	3010	3040	3070	3100	3130	3160	3190	3220
09	3230	3340	3340	3380	3410	3440	3470	3500	3530	3560	3590	3620	3650
10	3660	3770	3770	3810	3840	3870	3900	3930	3960	3990	4020	4050	4080
11	4090	4200	4200	4240	4270	4300	4330	4360	4390	4420	4450	4480	4510
12	4520	4630	4630	4670	4700	4730	4760	4790	4820	4850	4880	4910	4940
13	4950	5060	5060	5100	5130	5160	5190	5220	5250	5280	5310	5340	5370
14	5380	5490	5490	5530	5560	5590	5620	5650	5680	5710	5740	5770	5800

Alexandrinisch-arabische Monatsnamen.													
J a h r	1	2	3	4	5	6	7	8	9	10	11	12	Abingena
	Tiut	Hiäbe	Iläur	Käibä	Tiäbä	Äms-hir	Bersäth	Bersäde	Bäschäse	Hiäbe	Meiri	Neiri	
00													
01	000	030	000	090	120	150	180	210	240	270	300	330	360
02	305	395	425	455	485	515	545	575	605	635	665	695	725
03	731	791	791	821	851	881	911	941	971	1001	1031	1061	1091
04	1099	1209	1209	1249	1279	1309	1339	1369	1399	1429	1459	1489	1519
05	1520	1630	1630	1670	1700	1730	1760	1790	1820	1850	1880	1910	1940
06	1949	2059	2059	2099	2129	2159	2189	2219	2249	2279	2309	2339	2369
07	2370	2480	2480	2520	2550	2580	2610	2640	2670	2700	2730	2760	2790
08	2800	2910	2910	2950	2980	3010	3040	3070	3100	3130	3160	3190	3220
09	3230	3340	3340	3380	3410	3440	3470	3500	3530	3560	3590	3620	3650
10	3660	3770	3770	3810	3840	3870	3900	3930	3960	3990	4020	4050	4080
11	4090	4200	4200	4240	4270	4300	4330	4360	4390	4420	4450	4480	4510
12	4520	4630	4630	4670	4700	4730	4760	4790	4820	4850	4880	4910	4940
13	4950	5060	5060	5100	5130	5160	5190	5220	5250	5280	5310	5340	5370
14	5380	5490	5490	5530	5560	5590	5620	5650	5680	5710	5740	5770	5800

Äthiopische Monatsnamen.													
J a h r	1	2	3	4	5	6	7	8	9	10	11	12	Pagomenai
	Thout	Phopi	Athor	Choiak	Tobi	Mechir	Phaemonth	Pharmouthi	Pachouson	Proni	Senp	Hamle	
00													
01	000	030	000	090	120	150	180	210	240	270	300	330	360
02	305	395	425	455	485	515	545	575	605	635	665	695	725
03	731	791	791	821	851	881	911	941	971	1001	1031	1061	1091
04	1099	1209	1209	1249	1279	1309	1339	1369	1399	1429	1459	1489	1519
05	1520	1630	1630	1670	1700	1730	1760	1790	1820	1850	1880	1910	1940
06	1949	2059	2059	2099	2129	2159	2189	2219	2249	2279	2309	2339	2369
07	2370	2480	2480	2520	2550	2580	2610	2640	2670	2700	2730	2760	2790
08	2800	2910	2910	2950	2980	3010	3040	3070	3100	3130	3160	3190	3220
09	3230	3340	3340	3380	3410	3440	3470	3500	3530	3560	3590	3620	3650
10	3660	3770	3770	3810	3840	3870	3900	3930	3960	3990	4020	4050	4080
11	4090	4200	4200	4240	4270	4300	4330	4360	4390	4420	4450	4480	4510
12	4520	4630	4630	4670	4700	4730	4760	4790	4820	4850	4880	4910	4940
13	4950	5060	5060	5100	5130	5160	5190	5220	5250	5280	5310	5340	5370
14	5380	5490	5490	5530	5560	5590	5620	5650	5680	5710	5740	5770	5800

Koptische Monatsnamen.													
J a h r	1	2	3	4	5	6	7	8	9	10	11	12	Pagomenai
	Thout	Phopi	Athor	Choiak	Tobi	Mechir	Phaemonth	Pharmouthi	Pachouson	Proni	Senp	Hamle	
00													
01	000	030	000	090	120	150	180	210	240	270	300	330	360
02	305	395	425	455	485	515	545	575	605	635	665	695	725
03	731	791	791	821	851	881	911	941	971	1001	1031	1061	1091
04	1099	1209	1209	1249	1279	1309	1339	1369	1399	1429	1459	1489	1519
05	1520	1630	1630	1670	1700	1730	1760	1790	1820	1850	1880	1910	1940
06	1949	2059	2059	2099	2129	2159	2189	2219	2249	2279	2309	2339	2369
07	2370	2480	2480	2520	2550	2580	2610	2640	2670	2700	2730	2760	2790
08	2800	2910	2910	2950	2980	3010	3040	3070	3100	3130	3160	3190	3220
09	3230	3340	3340	3380	3410	3440	3470	3500	3530	3560	3590	3620	3650
10	3660	3770	3770	3810	3840	3870	3900	3930	3960	3990	4020	4050	4080
11	4090	4200	4200	4240	4270	4300	4330	4360	4390	4420	4450	4480	4510
12	4520	4630	4630	4670	4700	4730	4760	4790	4820	4850	4880	4910	4940
13	4950	5060	5060	5100	5130	5160	5190	5220	5250	5280	5310	5340	5370
14	5380	5490	5490	5530	5560	5590	5620	5650	5680	5710	5740	5770	5800

Jahr der Republik.

Die Epoche dieser Aera oder der 1. Vendémiaire des Jahres 1 der Republik entspricht dem Tage 2375 840 der julianischen Periode.

Die Jahre dieser Zeitrechnung sind feste Sonnenjahre von 365 oder 366 Tagen. Für die Einschaltung gibt es keine cyclische Regel, sondern es entscheidet darüber die astronomische Rechnung. Der 1. Vendémiaire ist immer der Tag, an welchem nach wahrer Pariser Zeit die Sonne in das Zeichen der Waage tritt, wobei zu beachten ist, dass der Tag von Mitternacht an gerechnet wird. Das Jahr wird in 12 Monate zu 30 Tagen getheilt, denen 5, und im Schaltjahre 6 Ergänzungstage folgen.

Die Namen der Monate sind:

Herbst:	Winter:	Frühjahr:	Sommer:
1. Vendémiaire . . . 30 Tage.	4. Nivose 30 Tage.	7. Germinal 30 Tage.	10. Messidor 30 Tage.
2. Brumaire 30 "	5. Pluviose 30 "	8. Floréal 30 "	11. Thermidor 30 "
3. Frimaire 30 "	6. Ventose 30 "	9. Prairial 30 "	12. Fructidor 30 "

Jours complémentaires 5 oder 6 Tage.

Jeder Monat zerfiel in drei Theile zu zehn Tagen, Decaden, in welchen wieder jeder Tag einen besonderen Namen hatte, und zwar 1. Primidi, 2. Duodi, 3. Triidi, 4. Quartidi, 5. Quintidi, 6. Sextidi, 7. Septidi, 8. Octidi, 9. Nonidi, 10. Décadi.

Außerdem erhielt jeder Tag des Jahres einen besonderen Namen, welcher für die Décadis von landwirtschaftlichen Geräthen, für die Quintids von Thieren, für die übrigen Tage von Pflanzen oder Mineralien hergeleitet wurden. Diese Namen finden sich auf der nächsten Seite. Die Ergänzungstage wurden Jours complémentaires oder Sans-culotides genannt.

Festtage waren der Neujahrstag, alle Décadis und die Ergänzungstage, und zwar:

Vendémiaire:	Nivose:	Germinal:	Messidor:
1. La Proclamation de la République.	10. La Haine des Tyrans et des Traîtres.	10. L'Héroïsme.	10. La Jeunesse.
10. La Nature.	20. La Vérité.	20. Le Désintéressement.	20. La Virilité.
20. Le Genre Humain.	30. La Justice.	30. Le Stoïcisme.	30. La Vieillesse.
30. Le Peuple Français.			
Brumaire:	Pluviose:	Floréal:	Thermidor:
10. Les Bienfaiteurs de l'Humanité.	10. La Pudeur.	10. L'Amour.	10. Le Malheur.
20. Les Martyrs de la Liberté.	20. L'Immortalité.	20. La Foi Conjugale.	20. L'Agriculture.
30. La Liberté et l'Égalité.	30. L'Amitié.	30. L'Amour Paternel.	30. L'Industrie.
Frimaire:	Ventose:	Prairial:	Fructidor:
10. La République.	10. La Frugalité.	10. La Tendresse Maternelle.	10. Nos Atteux.
20. La Liberté du Monde.	20. Le Courage.	20. La Piété Filiale.	20. La Postérité.
30. L'Amour de la Patrie.	30. La Bonne Foi.	30. L'Enfance.	30. Le Bonheur.

Jours complémentaires oder Sans-culotides:

1. La Vertu.	2. Le Génie.	3. Le Travail.	4. L'Opinion.	5. La Récompense.	6. La Révolution.
--------------	--------------	----------------	---------------	-------------------	-------------------

Der Tag begann um Mitternacht und wurde in zehn Stunden, zu hundert Minuten, zu hundert Secunden eingetheilt.

Diese Zeitrechnung wurde eingeführt den 14. Vendémiaire des Jahres 2 der Republik und aufgehoben durch Senatsbeschluss vom 21. Fructidor des Jahres 13, den 10. Nivose des Jahres 14 der Republik. Sie wurde wieder gebraucht während der Pariser Commune im Germinal und Floréal des Jahres 79 der Republik.

Sonnenjahr der Republik.

Tafel I.

Namen der einzelnen Tage des Jahres.

Jahr		Jahr		Jahr	
0	2375 474	207	2451 079	422	2529 606
10	2381 083	236	2461 071	455	2541 059
50	2393 736	269	2473 724	488	2553 712
79	2404 328	298	2484 310	517	2564 304
112	2410 381	321	2490 369	550	2570 357
141	2420 973	360	2500 961	579	2580 949
174	2439 020	393	2519 014	608	2597 541

Tafel II.

	1	2	3	4	5	6	7	8	9	10	11	12
Jahr	Vendémiaire	Brimaire	Frimaire	Nivôse	Ventôse	termi- nal	Floral	Prairial	Messidor	Thermidor	Fructidor	Jours complementaires
00	000 030 060	090 120 150	180 210 240	270 300 330	360							
01	395 395 425	455 455 515	545 545 585	635 635 665	725							
02	730 700 790	820 850 880	910 940 970	1000 1030 1060	1150							
03	1 095 125 155	185 215 245	275 305 335	395 425 455								
04	461 491 521	551 581 611	641 671 701	731 761 791	821							
05	826 856 886	916 946 976	1006 1036 1066	1156								
06	2 101 221 251	281 311 341	371 401 431	461 491 521	551							
07	556 586 616	646 676 706	736 766 796	826 856 886	916							
08	922 952 982	1012 1042 1072	1102 1132 1162	1222 1252 1282								
09	2 287 317 347	377 407 437	467 497 527	557 587 617	647							
10	652 682 712	742 772 802	832 862 892	922 952 982	1012							
11	4 017 047 077	107 137 167	197 227 257	287 317 347	377							
12	383 413 443	473 503 533	563 593 623	653 683 713	743							
13	745 775 805	835 865 895	925 955 985	1015 1045 1075	1105							
14	5 113 1413 1713	202 232 262	292 322 352	382 412 442	472							
15	478 508 538	568 598 628	658 688 718	748 778 808	838							
16	844 874 904	934 964 994	1024 1054 1084	1114 1144 1174	1204							
17	6 209 239 269	299 329 359	389 419 449	479 509 539	569							
18	574 604 634	664 694 724	754 784 814	844 874 904	934							
19	939 969 999	1029 1059 1089	1119 1149 1179	1209 1239 1269	1299							
20	735 335 365	395 425 455	485 515 545	575 605 635	665							
21	670 700 730	760 790 820	850 880 910	940 970 1000	1030							
22	8 035 065 095	125 155 185	215 245 275	305 335 365	395							
23	400 430 460	490 520 550	580 610 640	670 700 730	760							
24	766 796 826	856 886 916	946 976 1006	1036 1066 1096	1126							
25	9 131 101 131	161 191 221	251 281 311	341 371 401	431							
26	499 529 559	589 619 649	679 709 739	769 799 829	859							
27	801 831 861	891 921 951	981 1011 1041	1071 1101 1131	1161							
28	10 227 257 287	317 347 377	407 437 467	527 557 587								
29	592 622 652	682 712 742	772 802 832	862 892 922	952							
30	957 987 1017	1047 1077 1107	1137 1167 1197	1227 1257 1287	1317							
31	132 352 382	412 442 472	502 532 562	592 622 652	682							
32	688 718 748	778 808 838	868 898 928	958 988 1018	1048							

	1. Vendémiaire	2. Brimaire	3. Frimaire	4. Nivôse	5. Ventôse	6. Vendémiaire
1. Primid.	Balaie	Penna	Balpenne	Tourbe	Landre	Tusclage
2. Idemid.	Sefran	Céleri	Tourpe	Houille	Menne	Caravellet
3. Trid.	Châblage	Poir	Chicore	Bilame	Fragon	Vallier
4. Quatrid.	Châblage	Châblage	Châblage	Châblage	Châblage	Châblage
5. Quatrid.	Châblage	Châblage	Châblage	Châblage	Châblage	Châblage
6. Sextid.	Balaie	Châblage	Châblage	Châblage	Châblage	Châblage
7. Septid.	Châblage	Châblage	Châblage	Châblage	Châblage	Châblage
8. Octid.	Châblage	Châblage	Châblage	Châblage	Châblage	Châblage
9. Nonid.	Châblage	Châblage	Châblage	Châblage	Châblage	Châblage
10. Idemid.	Châblage	Châblage	Châblage	Châblage	Châblage	Châblage
11. Primid.	Penna	Châblage	Châblage	Châblage	Châblage	Châblage
12. Idemid.	Châblage	Châblage	Châblage	Châblage	Châblage	Châblage
13. Trid.	Châblage	Châblage	Châblage	Châblage	Châblage	Châblage
14. Quatrid.	Châblage	Châblage	Châblage	Châblage	Châblage	Châblage
15. Quatrid.	Châblage	Châblage	Châblage	Châblage	Châblage	Châblage
16. Sextid.	Châblage	Châblage	Châblage	Châblage	Châblage	Châblage
17. Septid.	Châblage	Châblage	Châblage	Châblage	Châblage	Châblage
18. Octid.	Châblage	Châblage	Châblage	Châblage	Châblage	Châblage
19. Nonid.	Châblage	Châblage	Châblage	Châblage	Châblage	Châblage
20. Idemid.	Châblage	Châblage	Châblage	Châblage	Châblage	Châblage
21. Primid.	Châblage	Châblage	Châblage	Châblage	Châblage	Châblage
22. Idemid.	Châblage	Châblage	Châblage	Châblage	Châblage	Châblage
23. Trid.	Châblage	Châblage	Châblage	Châblage	Châblage	Châblage
24. Quatrid.	Châblage	Châblage	Châblage	Châblage	Châblage	Châblage
25. Quatrid.	Châblage	Châblage	Châblage	Châblage	Châblage	Châblage
26. Sextid.	Châblage	Châblage	Châblage	Châblage	Châblage	Châblage
27. Septid.	Châblage	Châblage	Châblage	Châblage	Châblage	Châblage
28. Octid.	Châblage	Châblage	Châblage	Châblage	Châblage	Châblage
29. Nonid.	Châblage	Châblage	Châblage	Châblage	Châblage	Châblage
30. Idemid.	Châblage	Châblage	Châblage	Châblage	Châblage	Châblage
31. Primid.	Châblage	Châblage	Châblage	Châblage	Châblage	Châblage
32. Idemid.	Châblage	Châblage	Châblage	Châblage	Châblage	Châblage
33. Trid.	Châblage	Châblage	Châblage	Châblage	Châblage	Châblage
34. Quatrid.	Châblage	Châblage	Châblage	Châblage	Châblage	Châblage
35. Quatrid.	Châblage	Châblage	Châblage	Châblage	Châblage	Châblage
36. Sextid.	Châblage	Châblage	Châblage	Châblage	Châblage	Châblage
37. Septid.	Châblage	Châblage	Châblage	Châblage	Châblage	Châblage
38. Octid.	Châblage	Châblage	Châblage	Châblage	Châblage	Châblage
39. Nonid.	Châblage	Châblage	Châblage	Châblage	Châblage	Châblage
40. Idemid.	Châblage	Châblage	Châblage	Châblage	Châblage	Châblage
41. Primid.	Châblage	Châblage	Châblage	Châblage	Châblage	Châblage
42. Idemid.	Châblage	Châblage	Châblage	Châblage	Châblage	Châblage
43. Trid.	Châblage	Châblage	Châblage	Châblage	Châblage	Châblage
44. Quatrid.	Châblage	Châblage	Châblage	Châblage	Châblage	Châblage
45. Quatrid.	Châblage	Châblage	Châblage	Châblage	Châblage	Châblage
46. Sextid.	Châblage	Châblage	Châblage	Châblage	Châblage	Châblage
47. Septid.	Châblage	Châblage	Châblage	Châblage	Châblage	Châblage
48. Octid.	Châblage	Châblage	Châblage	Châblage	Châblage	Châblage
49. Nonid.	Châblage	Châblage	Châblage	Châblage	Châblage	Châblage
50. Idemid.	Châblage	Châblage	Châblage	Châblage	Châblage	Châblage
51. Primid.	Châblage	Châblage	Châblage	Châblage	Châblage	Châblage
52. Idemid.	Châblage	Châblage	Châblage	Châblage	Châblage	Châblage
53. Trid.	Châblage	Châblage	Châblage	Châblage	Châblage	Châblage
54. Quatrid.	Châblage	Châblage	Châblage	Châblage	Châblage	Châblage
55. Quatrid.	Châblage	Châblage	Châblage	Châblage	Châblage	Châblage
56. Sextid.	Châblage	Châblage	Châblage	Châblage	Châblage	Châblage
57. Septid.	Châblage	Châblage	Châblage	Châblage	Châblage	Châblage
58. Octid.	Châblage	Châblage	Châblage	Châblage	Châblage	Châblage
59. Nonid.	Châblage	Châblage	Châblage	Châblage	Châblage	Châblage
60. Idemid.	Châblage	Châblage	Châblage	Châblage	Châblage	Châblage

Dschelaeddinisches Jahr der Perser und Armenier.

Die Epoche dieser Zeitrechnung bei den Persern, oder der 1. Ferwerdinmäh (dschela) des Jahres 1 entspricht dem Tage 2115 236 der julianischen Periode.

Die Armenier zählen die Jahre auf doppelte Weise. Entweder werden die Jahre seit dem Jahre 1 an fortgezählt und dies heisst die grosse Periode, oder es wird von dieser Jahreszahl so oft als es angeht, 532 fortgelassen und nur der Rest angegeben, dies ist das Zählen in der kleinen Periode, welche also 532 Jahre enthält.

Die Jahre dieser Zeitrechnung sind feste Sonnenjahre von 365 oder 366 Tagen. Jedes vierte und zuweilen jedes fünfte Jahr sind Schaltjahre von 366 Tagen. Doch ist aus den vorhandenen Nachrichten nicht mit voller Sicherheit zu entnehmen, ob nach siebenmaliger vierjähriger Einschaltung eine fünfjährige, oder nach achtmaliger vierjähriger Einschaltung eine fünfjährige folgte, oder ob endlich diese zwei Schaltkreise unter einander abwechselten. Die folgenden Tafeln sind unter der Voraussetzung der auf siebenmalige vierjährige Einschaltung folgenden fünfjährigen Einschaltung berechnet und es ist daher wohl zu beachten, dass das Resultat zuweilen um einen Tag fehlerhaft sein kann.

Das Jahr zerfällt in zwölf Monate zu dreissig Tagen, denen fünf oder im Schaltjahre sechs Ergänzungstage folgen. Die Namen der Monate sind:

Bei den Persern:			Bei den Armeniern:		
1. Ferwerdin . . . 30 Tage,	8. Abân 30 Tage,		1. Schams 30 Tage,	8. Damal 30 Tage,	
2. Ardhebescht . . . 30 "	9. Ader 30 "		2. Adam 30 "	9. Hameiral 30 "	
3. Chordâd 30 "	10. Del 30 "		3. Schbat 30 "	10. Aram 30 "	
4. Tir 30 "	11. Bahmen 30 "		4. Nachi 30 "	11. Ovdan 30 "	
5. Mordâd 30 "	12. Asfendârmes . . 30 "		5. Ghamar 30 "	12. Nirhan 30 "	
6. Scharir 30 "	Ergänzungstage 5 oder 6 "		6. Nader 30 "	Ergänzungstage 5 oder 6 "	
7. Mîr 30 "			7. Thirai 30 "		

Bei den Persern wurden die Tage des Monats nicht gezählt, sondern jeder hatte einen eigenen Namen; da unter diesen Namen die Namen der Monate vorkommen, so wurde zur Unterscheidung den Namen der Tage *rûz* (Tag), den Namen der Monate *mâh* (Monat) angehängt. Ueberdies wurde den Monatsnamen, um sie von den gleichbezeichneten Jeztegridschen zu unterscheiden die Bezeichnung *dschela* angehängt. Die Namen der einzelnen Tage des Monats sind:

1. Hormaz.	9. Ader.	17. Serinsch.	24. Din.
2. Bahmen.	10. Abân.	18. Resch.	25. Ard.
3. Ardhebescht.	11. Chor.	19. Ferwerdin.	26. Aschâd.
4. Scharir.	12. Mâh.	20. Bahrâm.	27. Asmân.
5. Asfendârmes.	13. Tir.	21. Rân.	28. Zânjâd.
6. Chordâd.	14. Dschusch.	22. Bâd.	29. Mârefend.
7. Mordâd.	15. Delbâmir.	23. Delbâlin.	30. Anrân.
8. Delbâder.	16. Mîr.		

Die Namen der Monate und Tage sind mit Ausnahme von Hormaz und Del, welche Prädicate des höchsten Principes des Guten sind, sämtlich den Iezds oder Genien entlehnt. Der erste, achte fünfzehnte und dreissigste Tag jedes Monats sind mit den Namen des höchsten Wesens bezeichnet, wodurch eine wochenähnliche Einteilung entsteht. Der Neujahrstag hiess *Neuzâz*, die Ergänzungstage; 1. Ahmud, 2. Aschnud, 3. Asfendmed, 4. Aschschur, 5. Wachescht wascht.

Festtage waren diejenigen Tage, an welchen der Tagesname mit dem Monatsnamen gleich war. Es waren also Feste der 19. Ferwerdin, der 3. Ardhebescht, der 6. Chordâd, der 13. Tir, der 7. Mordâd, der 4. Scharir, der 16. Mîr, der 10. Abân, der 9. Ader, der 2. Bahmen und der 5. Asfendârmes.

Der Tag wurde mit Sonnenaufgang begonnen.

Dschelalisches Jahr der Perser und Armenier.

Tafel 1.

Perisches Jahr Juchelstels	Armenisch Dscheblatsche		Perisches Jahr Juchelstels
	Jahr		
	grosse Periode	kleine Periode	
3	—	I — 3	2114 870
30	30	I 30	2120 921
60	60	I 60	2138 970
90	90	I 90	2151 020
132	129	I 120	2163 082
162	162	I 162	2175 135
198	195	I 195	2187 188
231	228	I 228	2199 241
264	261	I 261	2211 294
297	294	I 294	2223 347
330	327	I 327	2235 400
363	360	I 360	2247 453
396	393	I 393	2259 506
430	420	I 420	2271 559
462	459	I 459	2283 612
495	492	I 492	2295 665
528	525	I 525	2307 718
561	558	II 20	2319 771
594	591	II 50	2331 824
627	624	II 62	2343 877
660	657	II 125	2355 930
693	690	II 158	2367 983
726	723	II 191	2380 036
759	756	II 224	2392 089
792	789	II 257	2404 142
825	822	II 290	2416 195
858	855	II 323	2428 248
891	888	II 356	2440 301
924	921	II 389	2452 354
957	954	II 422	2464 407
990	987	II 455	2476 460
1023	1020	II 488	2488 513
1056	1053	II 521	2500 566
1089	1086	III 22	2512 619
1122	1119	III 55	2524 672
1155	1152	III 88	2536 725
1188	1185	III 121	2548 778
1221	1218	III 154	2560 831
1254	1251	III 187	2572 884
1287	1284	III 220	2584 937
1320	1317	III 253	2596 990

Tafel II.

Jahr	Persische Monatsnamen												
	Forwerdin	Ardehbeestehr	Chordad	Tir	Mordad	Schahr	Mihir	Aban	Ader	Dei	Rahman	Afendarmen	Erganzungstage
0	000	030	060	090	120	150	180	210	240	270	300	330	360
1	363	395	427	458	485	515	545	575	605	635	665	695	725
2	730	760	790	820	850	880	910	940	970				
3	1 096	120	156	186	216	246	276	306	336	366	396	426	456
4	401	491	581	671	761	851	941	671	701	731	761	791	821
5	820	850	880	910	940	970	000	030	060	090	120	150	180
6	2 191	221	251	281	311	341	371	401	431	461	491	521	551
7	557	587	617	647	677	707	737	767	797	827	857	887	917
8	3 287	317	347	377	407	437	467	497	527	557	587	617	647
9	652	682	712	742	772	802	832	862	892	922	952	982	1012
10	4 018	048	078	108	138	168	198	228	258	288	318	348	378
11	383	413	443	473	503	533	563	593	623	653	683	713	743
12	748	778	808	838	868	898	928	958	988	1018	1048	1078	1108
13	5 113	143	173	203	233	263	293	323	353	383	413	443	473
14	479	509	539	569	599	629	659	689	719	749	779	809	839
15	844	874	904	934	964	994	024	054	084	114	144	174	204
16	6 209	239	269	299	329	359	389	419	449	479	509	539	569
17	574	604	634	664	694	724	754	784	814	844	874	904	934
18	040	070	100	130	160	190	220	250	280	310	340	370	400
19	7 305	335	365	395	425	455	485	515	545	575	605	635	665
20	670	700	730	760	790	820	850	880	910	940	970	000	030
21	8 035	065	095	125	155	185	215	245	275	305	335	365	395
22	404	434	464	494	524	554	584	614	644	674	704	734	764
23	24	766	796	826	856	886	916	946	976	006	036	066	096
24	9 131	161	191	221	251	281	311	341	371	401	431	461	491
25	490	520	550	580	610	640	670	700	730	760	790	820	850
26	861	891	921	951	981	011	041	071	101	131	161	191	221
27	10 227	257	287	317	347	377	407	437	467	497	527	557	587
28	593	623	653	683	713	743	773	803	833	863	893	923	953
29	957	987	017	047	077	107	137	167	197	227	257	287	317
30													
31	11 323	353	383	413	443	473	503	533	563	593	623	653	683
32	688	718	748	778	808	838	868	898	928	958	988	1018	1048

J a h r	Armenische Monatsnamen												
	Sethanos	Axtan	Sethat	Nachai	Ghasar	Nadar	Thirai	Dramai	Ramirai	Aram	Ordan	Nirhan	Acelazur
1	1	2	3	4	5	6	7	8	9	10	11	12	Ergänzungstage

Persisches bewegliches Jahr. Aera Jezdegird.

Die Epoche dieser Aera oder der 1. Ferwerdmäh des Jahres 1 Jezdegird entspricht dem Tage 1952 063 der julianischen Periode. Die Jahre dieser Zeitrechnung sind bewegliche Sonnenjahre von 365 Tagen ohne jede Eins-haltung. Das Jahr wurde in 12 Monate zu 30 Tagen geteilt, zu denen noch 5 Ergänzungstage kommen. Diese wurden Anfangs dem achten Monate Abân angehängt und erst nach dem Jahre 375 Jezdegird an das Ende des Jahres versetzt. Man hat also wohl darauf zu achten, ob der Schriftsteller, welchem ein Datum entnommen ist, die Ergänzungstage dem Abânnaß oder dem Asfendârmâh mähngt. Im ersten Falle hat man sich der Tafel II a, im zweiten Fall- der Tafel II b zu bedienen. Die Monate des Jahres sind demnach:

Nach der älteren Einteilung (Tafel II a):			Nach der neueren Einteilung (Tafel II b):		
1. Ferwerdm 30 Tage.	7. Abân 30 Tage.		1. Ferwerdm 30 Tage.	8. Abân 30 Tage.	
2. Ardäbescht . . . 30 "	Ergänzungstage . . . 5 "		2. Ardäbescht . . . 30 "	9. Ader 30 "	
3. Chordäd 30 "	9. Ader 30 "		3. Chordäd 30 "	10. Del 30 "	
4. Tîr 30 "	10. Del 30 "		4. Tîr 30 "	11. Bahmen 30 "	
5. Mordäd 30 "	11. Bahmen 30 "		5. Mordäd 30 "	12. Asfendârmêd . 30 "	
6. Scharîr 30 "	12. Asfendârmêd . 30 "		6. Scharîr 30 "	Ergänzungstage . . 5 "	
7. Mîhr 30 "			7. Mîhr 30 "		

Die Ergänzungstage werden von den Arabern *clannstake* (die Verstoßenen), von den Persern entsprechend dem griechischen *ἐπιπλεον* *epileon* genannt. Bei den Persen hießen sie Ferwardîan. Für Mordäd findet sich auch Amerdäd ebenso für Asfendârmêd und Sependârmêd.

Die einzelnen Tage des Monates hatten jeder einen eigenen Namen, der beim Dairien gewöhnlich statt der Zahl des Tages gesetzt wurde. Diese Namen sind:

1. Hormuz.	9. Ader.	17. Serûsch.	24. Din.
2. Bahmen.	10. Abân.	18. Resch.	25. Ard.
3. Ardäbescht.	11. Chor.	19. Ferwerdm.	26. Aschäd.
4. Scharîr.	12. Mäh.	20. Ischrâm.	27. Asmân.
5. Asfendârmêd.	13. Tîr.	21. Râm.	28. Zânjäd.
6. Chordäd.	14. Ischusch.	22. Bäd.	29. Mâresfend.
7. Mordäd.	15. Delbamîhr.	23. Delbadîn.	30. Anîrû.
8. Deitâder.	16. Mîhr.		

Da die Namen der Monate bei den Tagesnamen wiederkehren, wurde zur Unterscheidung den Monatsnamen mäh (Monat, den Tagesnamen rûz (Tag; angehängt. Die Namen der Monate und Tage sind mit Ausnahme von Hormuz und Del, welche Prädicate des höchsten Principes des Guten sind, sämtlich den Lezels oder Genien entlehnt. Der erste, achte, fünfzehnte und dreinundzwanzigste Tag jedes Monates sind mit dem Namen des höchsten Wesens bezeichnet, wodurch eine wochenähnliche Einteilung entsteht. Der Neujahrstag hieß Neurûz, die Ergänzungstage: 1. Ahmud, 2. Aschrud, 3. Asfendmêd, 4. Aeschuter, 5. Wachescht wascht.

Festtage waren diejenigen Tage, an welchen der Tagesname mit dem Monatsnamen gleich war. Es waren also Feste der 19. Ferwerdm, der 3. Ardäbescht, der 6. Chordäd, der 13. Tîr, der 7. Mordäd, der 1. Scharîr, der 16. Mîhr, der 10. Abân, der 9. Ader, der 2. Bahmen und der 5. Asfendârmêd.

Der Tag wurde mit Sonnenaufgang begonnen.

Persisches bewegliches Jahr. (Aera Jendegird.)

Tafel I.

Jahr		Jahr		Jahr		Jahr		Jahr		Jahr		Jahr	
0	1951 697	300	2061 197	600	2170 697	900	2280 197	1200	2389 697	1500	2499 197		
100	1969 947	350	2079 447	650	2188 947	950	2289 447	1250	2497 947	1550	2517 447		
150	1988 197	400	2097 697	700	2207 197	1000	2316 697	1300	2426 197	1600	2535 697		
180	2006 447	450	2115 947	750	2225 447	1050	2324 947	1350	2434 447	1650	2544 947		
200	2024 697	500	2134 197	800	2243 697	1100	2353 197	1400	2463 697	1700	2553 197		
250	2043 947	550	2152 447	850	2261 947	1150	2371 447	1450	2480 947	1750	2570 447		

Tafel II a.

Die Ergänzungstage am Ende des Abn.

Jahr	1	2	3	4	5	6	7	8	9	10	11	12
Jahr	Feuertag	Antilochschicht	Chordil	Tir	Mordil	Schalt	Milr	Alain	Ergänzungstage	Adler	Reihen	Adenklumel
000	000 030 060 090	120 150	180 210 240 270	300 330 360 390	420 450 480 510	540 570 600 630	660 690 720 750	780 810 840 870	900 930 960 990	1020 1050 1080 1110	1140 1170 1200 1230	1260 1290 1320 1350
010	305 335 365 395	425 455 485 515	545 575 605 635	665 695 725 755	785 815 845 875	905 935 965 995	1025 1055 1085 1115	1145 1175 1205 1235	1265 1295 1325 1355	1385 1415 1445 1475	1505 1535 1565 1595	1625 1655 1685 1715
020	710 740 770 800	830 860 890 920	950 980 1010 1040	1070 1100 1130 1160	1190 1220 1250 1280	1310 1340 1370 1400	1430 1460 1490 1520	1550 1580 1610 1640	1670 1700 1730 1760	1790 1820 1850 1880	1910 1940 1970 2000	2030 2060 2090 2120
030	1 095 125 155 185	215 245 275 305	325 355 385 415	435 465 495 525	545 575 605 635	655 685 715 745	765 795 825 855	875 905 935 965	985 1015 1045 1075	1095 1125 1155 1185	1205 1235 1265 1295	1315 1345 1375 1405
040	410 440 470 500	520 550 580 610	630 660 690 720	740 770 800 830	850 880 910 940	960 990 1020 1050	1070 1100 1130 1160	1180 1210 1240 1270	1290 1320 1350 1380	1400 1430 1460 1490	1510 1540 1570 1600	1620 1650 1680 1710
050	825 855 885 915	945 975 1005 1035	1055 1085 1115 1145	1165 1195 1225 1255	1275 1305 1335 1365	1385 1415 1445 1475	1495 1525 1555 1585	1605 1635 1665 1695	1715 1745 1775 1805	1825 1855 1885 1915	1935 1965 1995 2025	2045 2075 2105 2135
060	2 190 220 250 280	310 340 370 400	430 460 490 520	540 570 600 630	650 680 710 740	760 790 820 850	870 900 930 960	980 1010 1040 1070	1090 1120 1150 1180	1200 1230 1260 1290	1310 1340 1370 1400	1420 1450 1480 1510
070	555 585 615 645	675 705 735 765	775 805 835 865	885 915 945 975	985 1015 1045 1075	1095 1125 1155 1185	1195 1225 1255 1285	1295 1325 1355 1385	1395 1425 1455 1485	1495 1525 1555 1585	1695 1725 1755 1785	1795 1825 1855 1885
080	920 950 980 1010	1040 1070	1100 1130 1160 1190	1200 1230 1260 1290	1300 1330 1360 1390	1400 1430 1460 1490	1500 1530 1560 1590	1600 1630 1660 1690	1700 1730 1760 1790	1800 1830 1860 1890	1900 1930 1960 1990	2000 2030 2060 2090
090	3 285 315 345 375	405 435	465 495 525 555	565 595 625 655	665 695 725 755	765 795 825 855	865 895 925 955	965 995 1025 1055	1065 1095 1125 1155	1165 1195 1225 1255	1265 1295 1325 1355	1365 1395 1425 1455
100	650 680 710 740	770 800	830 860 890 920	930 960 990 1020	1030 1060 1090 1120	1130 1160 1190 1220	1230 1260 1290 1320	1330 1360 1390 1420	1430 1460 1490 1520	1530 1560 1590 1620	1630 1660 1690 1720	1730 1760 1790 1820
110	4 015 045 075 105	135 165	195 225 255 285	315 345 375 405	415 445 475 505	515 545 575 605	615 645 675 705	715 745 775 805	815 845 875 905	915 945 975 1005	1015 1045 1075 1105	1115 1145 1175 1205
120	380 410 440 470	500 530	560 590 620 650	660 690 720 750	760 790 820 850	860 890 920 950	960 990 1020 1050	1060 1090 1120 1150	1160 1190 1220 1250	1260 1290 1320 1350	1360 1390 1420 1450	1460 1490 1520 1550
130	745 775 805 835	865 895	925 955 985 1015	1025 1055 1085 1115	1125 1155 1185 1215	1225 1255 1285 1315	1325 1355 1385 1415	1425 1455 1485 1515	1525 1555 1585 1615	1625 1655 1685 1715	1725 1755 1785 1815	1825 1855 1885 1915
140	5 110 140 170 200	230 260	290 320 350 380	390 420 450 480	490 520 550 580	590 620 650 680	690 720 750 780	790 820 850 880	890 920 950 980	990 1020 1050 1080	1090 1120 1150 1180	1190 1220 1250 1280
150	475 505 535 565	595 625	655 685 715 745	755 785 815 845	855 885 915 945	955 985 1015 1045	1055 1085 1115 1145	1155 1185 1215 1245	1255 1285 1315 1345	1355 1385 1415 1445	1455 1485 1515 1545	1555 1585 1615 1645
160	840 870 900 930	960 990	1020 1050 1080 1110	1120 1150 1180 1210	1220 1250 1280 1310	1320 1350 1380 1410	1420 1450 1480 1510	1520 1550 1580 1610	1620 1650 1680 1710	1720 1750 1780 1810	1820 1850 1880 1910	1920 1950 1980 2010
170	0 205 235 265 295	325 355	385 415 445 475	485 515 545 575	585 615 645 675	685 715 745 775	785 815 845 875	885 915 945 975	985 1015 1045 1075	1085 1115 1145 1175	1185 1215 1245 1275	1285 1315 1345 1375
180	570 600 630 660	690 720	750 780 810 840	850 880 910 940	950 980 1010 1040	1050 1080 1110 1140	1150 1180 1210 1240	1250 1280 1310 1340	1350 1380 1410 1440	1450 1480 1510 1540	1550 1580 1610 1640	1650 1680 1710 1740
190	935 965 995 1025	1055 1085	1115 1145 1175 1205	1215 1245 1275 1305	1315 1345 1375 1405	1415 1445 1475 1505	1515 1545 1575 1605	1615 1645 1675 1705	1715 1745 1775 1805	1815 1845 1875 1905	1915 1945 1975 2005	2015 2045 2075 2105
200	7 300 730 760 790	820 850	880 910 940 970	980 1010 1040 1070	1080 1110 1140 1170	1180 1210 1240 1270	1280 1310 1340 1370	1380 1410 1440 1470	1480 1510 1540 1570	1680 1710 1740 1770	1880 1910 1940 1970	2080 2110 2140 2170
210	005 035 065 095	125 155	185 215 245 275	285 315 345 375	385 415 445 475	485 515 545 575	585 615 645 675	685 715 745 775	785 815 845 875	885 915 945 975	985 1015 1045 1075	1085 1115 1145 1175
220	8 300 830 860 890	920 950	980 1010 1040 1070	1080 1110 1140 1170	1180 1210 1240 1270	1280 1310 1340 1370	1380 1410 1440 1470	1480 1510 1540 1570	1680 1710 1740 1770	1880 1910 1940 1970	2080 2110 2140 2170	2280 2310 2340 2370
230	305 335 365 395	425 455	485 515 545 575	585 615 645 675	685 715 745 775	785 815 845 875	885 915 945 975	985 1015 1045 1075	1085 1115 1145 1175	1185 1215 1245 1275	1285 1315 1345 1375	1385 1415 1445 1475
240	710 740 770 800	830 860	890 920 950 980	990 1020 1050 1080	1080 1110 1140 1170	1180 1210 1240 1270	1280 1310 1340 1370	1380 1410 1440 1470	1480 1510 1540 1570	1680 1710 1740 1770	1880 1910 1940 1970	2080 2110 2140 2170
250	9 125 155 185 215	245 275	305 335 365 395	405 435 465 495	505 535 565 595	605 635 665 695	705 735 765 795	805 835 865 895	905 935 965 995	1005 1035 1065 1095	1105 1135 1165 1195	1205 1235 1265 1295
260	400 430 460 490	520 550	580 610 640 670	680 710 740 770	780 810 840 870	880 910 940 970	980 1010 1040 1070	1080 1110 1140 1170	1180 1210 1240 1270	1280 1310 1340 1370	1380 1410 1440 1470	1480 1510 1540 1570
270	855 885 915 945	975 1005	1035 1065 1095 1125	1135 1165 1195 1225	1225 1255 1285 1315	1325 1355 1385 1415	1425 1455 1485 1515	1525 1555 1585 1615	1625 1655 1685 1715	1725 1755 1785 1815	1825 1855 1885 1915	1925 1955 1985 2015
280	2 120 150 180 210	240 270	300 330 360 390	400 430 460 490	500 530 560 590	600 630 660 690	700 730 760 790	800 830 860 890	900 930 960 990	1000 1030 1060 1090	1100 1130 1160 1190	1200 1230 1260 1290
290	585 615 645 675	705 735	765 795 825 855	865 895 925 955	965 995 1025 1055	1055 1085 1115 1145	1155 1185 1215 1245	1255 1285 1315 1345	1355 1385 1415 1445	1455 1485 1515 1545	1555 1585 1615 1645	1655 1685 1715 1745
300	950 980 1010 1040	1070 1100	1130 1160 1190 1220	1230 1260 1290 1320	1320 1350 1380 1410	1410 1440 1470 1500	1510 1540 1570 1600	1610 1640 1670 1700	1710 1740 1770 1800	1810 1840 1870 1900	1910 1940 1970 2000	2010 2040 2070 2100
310	11 315 345 375 405	435 465	495 525 555 585	595 625 655 685	695 725 755 785	795 825 855 885	895 925 955 985	995 1025 1055 1085	1095 1125 1155 1185	1195 1225 1255 1285	1295 1325 1355 1385	1395 1425 1455 1485
320	680 710 740 770	800 830	860 890 920 950	960 990 1020 1050	1050 1080 1110 1140	1140 1170 1200 1230	1240 1270 1300 1330	1330 1360 1390 1420	1430 1460 1490 1520	1530 1560 1590 1620	1630 1660 1690 1720	1730 1760 1790 1820
330	12 045 075 105 135	165 195	225 255 285 315	325 355 385 415	425 455 485 515	515 545 575 605	615 645 675 705	715 745 775 805	815 845 875 905	915 945 975 1005	1015 1045 1075 1105	1115 1145 1175 1205
340	410 440 470 500	520 550	580 610 640 670	680 710 740 770	780 810 840 870	880 910 940 970	980 1010 1040 1070	1080 1110 1140 1170	1180 1210 1240 1270	1280 1310 1340 1370	1380 1410 1440 1470	1480 1510 1540 1570
350	775 805 835 865	895 925	955 985 1015 1045	1055 1085 1115 1145	1125 1155 1185 1215	1225 1255 1285 1315	1325 1355 1385 1415	1425 1455 1485 1515	1525 1555 1585 1615	1625 1655 1685 1715	1725 1755 1785 1815	1825 1855 1885 1915
360	13 140 170 200 230	260 290	320 350 380 410	420 450 480 510	520 550 580 610	620 650 680 710	720 750 780 810	820 850 880 910	920 950 980 1010	1020 1050 1080 1110	1120 1150 1180 1210	1220 1250 1280 1310
370	505 535 565 595	625 655	685 715 745 775	785 815 845 875	885 915 945 975	985 1015 1045 1075	1085 1115 1145 1175	1185 1215 1245 1275	1285 1315 1345 1375	1385 1415 1445 1475	1485 1515 1545 1575	1585 1615 1645 1675
380	870 900 930 960	990 1020	1050 1080 1110 1140	1150 1180 1210 1240	1250 1280 1310 1340	1350 1380 1410 1440	1450 1480 1510 1540	1550 1580 1610 1640	1650 1680 1710 1740	1750 1780 1810 1840	1850 1880 1910 1940	1950 1980 2010 2040
390	14 235 265 295 325	355 385	415 445 475 505	515 545 575 605	615 645 675 705	715 745 775 805	815 845 875 905	915 945 975 1005	1015 1045 1075 1105	1115 1145 1175 1205	1215 1245 1275 1305	1315 1345 1375

Aegyptisches bewegliches Sonnenjahr.

Aera der Sündfluth, Hundsternperiode, Aera Nabonassars, Aera Philippi oder nach Alexanders Tode, Aera der Armenier.

Die Epoche der Aera der Sündfluth entspricht dem Tage 598 466 der julianischen Periode.

Die Epoche der ersten Hundsternperiode entspricht dem Tage 705 498, die der zweiten dem Tage 1238 763, die der dritten dem Tage 1772 028, die der vierten dem Tage 2305 293 der julianischen Periode.

Die Epoche der Aera Nabonassars oder der 1. Thot des Jahres 1 Nabonassars entspricht dem Tage 1448 638 der julianischen Periode.

Die Epoche der Aera Philippi oder nach Alexanders Tode, oder der 1. Thot des Jahres 1 Philippi entspricht dem Tage 1943 398 der julianischen Periode.

Die Epoche der Aera der Armenier oder der 1. Navaasaril des Jahres 1 der Armenier entspricht dem Tage 1922 866 der julianischen Periode.

Die Jahre dieser Zeitrechnung sind bewegliche Sonnenjahre von 365 Tagen ohne jede Einschaltung. Das Jahr wird in 12 Monate zu 30 Tagen getheilt, denen noch fünf Ergänzungstage folgen. Die Namen der Monate sind:

Bei den Aegyptern:			Bei den Armeniern:		
1. Thot 30 Tage.	8. Pharmuthi 30 Tage.		1. Navaasaril 30 Tage.	8. Arleki 30 Tage.	
2. Phaophi 30 "	9. Pachon 30 "		2. Huerri 30 "	9. Alor 30 "	
3. Athyr 30 "	10. Payni 30 "		3. Sahmi 30 "	10. Mareri 30 "	
4. Chioak 30 "	11. Epiphi 30 "		4. Tre 30 "	11. Margata 30 "	
5. Tybi 30 "	12. Mesori 30 "		5. Kagota 30 "	12. Huerite 30 "	
1. Mechr 30 "	Epagomenai 5 "		6. Arata 30 "	Aceliaz 5 "	
7. Phamenoth 30 "			7. Michleki 30 "		

Die Hundsternperiode ist ein Zeitraum von 1461 aegyptischen Jahren, nach deren Ablauf der Frühling des Sirius wieder auf denselben Montags des beweglichen Jahres zurückkam. Ihr Anfang wird von Elniak von 3 Jahre früher angesetzt, als hier angenommen ist. Die Epoche der Sündfluth ist offenbar indischen Ursprungs, und ihr Anfang fällt mit dem Anzuge des Kali Yuga zusammen. Sie findet sich nur bei persischen Schriftstellern in Verbindung mit aegyptischen Jahren und Monaten. Häufig werden die Daten nach Regentenjahren angegeben. Zur Reduction derselben auf die Nabonassarische und Philippische Aera dient der hier folgende Kimon des Ptolemaeus.

Assyrische und medische Regenten		Persische Regenten		Griechische Regenten		Römische Regenten	
Jahr	Nabonassar	Jahr	Nabonassar	Jahr	Nabonassar	Jahr	Philippi
o Jahr Nabonassar	o	o Jahr Cyrus	209	o Jahr Alexander d.	416	o Jahr Augustus	718 204
" Nadius 14		" Cambyzes 218		" Macedonius 416		" Tiberius 720 317	
" Chinzur um 16		" Darius I. 226		" Philippus Ari- 424	o	" Cajus 783 359	
" Porne 16		" Xerxes 262		" Däus 424	o	" Claudius 787 303	
" Hüläus 21		" Artaxerxes I. 283		" Alexander II. 431	7	" Nern 801 377	
" Mardokeupad 21		" Darius II. 324		" Ptolomäus 431	7	" Veapasianus 815 391	
" Arkean 38		" Artaxerxes II. 343		" Lagi 443	19	" Titus 825 401	
" Erstes Inter- 43		" Ochus 380		" Philadelphus 463	39	" Domitianus 828 404	
" Biläus 45		" Argeus 410		" Euergetes I. 504	77	" Nerva 843 419	
" Aparanäus 48		" Darius III. 412		" Philopater 520 102		" Trajanus 844 420	
" Regebel 54				" Epiphanes 543	119	" Hadrianus 861 439	
" Mesesimordak 55				" Philometor 567	143	" Aelius Antoninus 884 460	
" Zweites Inter- 59				" Euergetes II. 602	178	" Marcus und Com- 907 483	
" Asaradäus 67				" Soter 631	207	" Severus 930 515	
" Saouduchin 80				" Dionysius 667	243	" Antoninus 964 540	
" Khlitidan 100				" Cleopatra 669	272	" Alexander 968 544	
" Nabopolassar 121						" Maximilian 981 557	
" Nabokollassar 143						" Gordianus 984 560	
" (Nehmeadnezar) 146						" Philippus 990 560	
" Hordadäus 186						" Decius 996 572	
" Nerikassollassar 188						" Gallus 997 573	
" Nabonadäus 192						" Gallienus 1000 576	
						" Claudius 1015 591	
						" Aurelianus 1016 592	
						" Probus 1022 598	
						" Carus 1029 605	
						" Diocletianus 1031 607	

Von den Festtagen der Aegypter ist wenig bekannt. Sie durchliefen wegen der Beweglichkeit des Jahres alle Jahreszeiten. Boyer führt folgende an:

1. Thot. Siriusfest.	17. Athyr. Osiris kommt in die Arche.	26. Phamenoth. Pamylien.	5. Pharmuthi. Erntefest.
19. " Fest des Thot.	21. " " Saafest.	27. " Osiris tritt in den Mond.	20. Epiphi. Fest der Augen des Osiris.
6. Phaophi. Isisfest.	1. Tybi. Osiris wird gesucht.	28. " Niederkunft der Isis.	8. Mesori. Fest des Harpocrates.
23. " Fest des Sonnenstahes.			

Aegyptischen und Armenischen bewegliches Jahr.

Tafel I a.

Aera der Südfloth	
Jahr	Jahr
0	588 100
50	600 150
100	624 600
150	642 100
200	661 100
250	679 350
300	697 100
350	715 850
400	734 100
450	752 350
500	770 850
550	788 100
600	807 100
650	825 350
700	843 100
750	861 850
800	880 100
850	898 350
900	916 100
950	934 850
1000	953 100
1050	971 350
1100	990 850
1150	1007 100
1200	1026 100
1250	1044 350
1300	1062 100
1350	1080 850
1400	1099 100
1450	1117 350
1500	1135 100
1550	1153 850
1600	1172 100
1650	1190 350
1700	1208 850
1750	1226 100
1800	1245 350
1850	1263 100
1900	1281 850
1950	1299 100
2000	1318 350
2050	1336 850
2100	1354 100
2150	1372 350
2200	1390 100
2250	1409 850
2300	1427 100
2350	1445 350
2400	1464 850
2450	1482 100
2500	1500 350
2550	1518 850
2600	1537 100
2650	1555 350
2700	1573 850

Tafel I b.

Erste Hundsternperiode	
Jahr	Jahr
0	705 132
50	723 382
100	741 632
150	759 882
200	778 132
250	796 382
300	814 632
350	832 882
400	851 132
450	869 382
500	887 632
550	905 882
600	924 132
650	942 382
700	960 632
750	978 882
800	997 132
850	1015 382
900	1033 632
950	1051 882
1000	1070 132
1050	1088 382
1100	1106 632
1150	1124 882
1200	1143 132
1250	1161 382
1300	1179 632
1350	1197 882
1400	1216 132
1450	1234 382
1500	1252 632
1550	1270 882
1600	1289 132
1650	1307 382
1700	1325 632
1750	1343 882
1800	1362 132
1850	1380 382
1900	1398 632
1950	1416 882
2000	1435 132
2050	1453 382
2100	1471 632
2150	1489 882
2200	1508 132
2250	1526 382
2300	1544 632
2350	1562 882
2400	1581 132
2450	1599 382
2500	1617 632
2550	1635 882
2600	1654 132
2650	1672 382
2700	1690 632

Tafel I c.

Armenische Aera	
Jahr	Jahr
0	1922 500
50	1940 750
100	1958 000
150	1977 250
200	1995 500
250	2013 750
300	2032 000
350	2050 250
400	2068 500
450	2086 750
500	2105 000
550	2123 250
600	2141 500
650	2159 750
700	2178 000
750	2196 250
800	2214 500
850	2232 750
900	2251 000
950	2269 250
1000	2287 500
1050	2305 750
1100	2324 000
1150	2342 250
1200	2360 500
1250	2378 750
1300	2397 000
1350	2415 250
1400	2433 500
1450	2451 750
1500	2470 000
1550	2488 250
1600	2506 500
1650	2524 750
1700	2543 000
1750	2561 250
1800	2579 500
1850	2597 750

Tafel II.

Aegyptische Monatsnamen											
Jahr	1	2	3	4	5	6	7	8	9	10	11
0	Thoth	Phaophi	Chabir	Thoth	Thoth	Thoth	Thoth	Thoth	Thoth	Thoth	Thoth
1	Thoth	Phaophi	Chabir	Thoth	Thoth	Thoth	Thoth	Thoth	Thoth	Thoth	Thoth
2	Thoth	Phaophi	Chabir	Thoth	Thoth	Thoth	Thoth	Thoth	Thoth	Thoth	Thoth
3	Thoth	Phaophi	Chabir	Thoth	Thoth	Thoth	Thoth	Thoth	Thoth	Thoth	Thoth
4	Thoth	Phaophi	Chabir	Thoth	Thoth	Thoth	Thoth	Thoth	Thoth	Thoth	Thoth
5	Thoth	Phaophi	Chabir	Thoth	Thoth	Thoth	Thoth	Thoth	Thoth	Thoth	Thoth
6	Thoth	Phaophi	Chabir	Thoth	Thoth	Thoth	Thoth	Thoth	Thoth	Thoth	Thoth
7	Thoth	Phaophi	Chabir	Thoth	Thoth	Thoth	Thoth	Thoth	Thoth	Thoth	Thoth
8	Thoth	Phaophi	Chabir	Thoth	Thoth	Thoth	Thoth	Thoth	Thoth	Thoth	Thoth
9	Thoth	Phaophi	Chabir	Thoth	Thoth	Thoth	Thoth	Thoth	Thoth	Thoth	Thoth
10	Thoth	Phaophi	Chabir	Thoth	Thoth	Thoth	Thoth	Thoth	Thoth	Thoth	Thoth
11	Thoth	Phaophi	Chabir	Thoth	Thoth	Thoth	Thoth	Thoth	Thoth	Thoth	Thoth
12	Thoth	Phaophi	Chabir	Thoth	Thoth	Thoth	Thoth	Thoth	Thoth	Thoth	Thoth
13	Thoth	Phaophi	Chabir	Thoth	Thoth	Thoth	Thoth	Thoth	Thoth	Thoth	Thoth
14	Thoth	Phaophi	Chabir	Thoth	Thoth	Thoth	Thoth	Thoth	Thoth	Thoth	Thoth
15	Thoth	Phaophi	Chabir	Thoth	Thoth	Thoth	Thoth	Thoth	Thoth	Thoth	Thoth
16	Thoth	Phaophi	Chabir	Thoth	Thoth	Thoth	Thoth	Thoth	Thoth	Thoth	Thoth
17	Thoth	Phaophi	Chabir	Thoth	Thoth	Thoth	Thoth	Thoth	Thoth	Thoth	Thoth
18	Thoth	Phaophi	Chabir	Thoth	Thoth	Thoth	Thoth	Thoth	Thoth	Thoth	Thoth
19	Thoth	Phaophi	Chabir	Thoth	Thoth	Thoth	Thoth	Thoth	Thoth	Thoth	Thoth
20	Thoth	Phaophi	Chabir	Thoth	Thoth	Thoth	Thoth	Thoth	Thoth	Thoth	Thoth
21	Thoth	Phaophi	Chabir	Thoth	Thoth	Thoth	Thoth	Thoth	Thoth	Thoth	Thoth
22	Thoth	Phaophi	Chabir	Thoth	Thoth	Thoth	Thoth	Thoth	Thoth	Thoth	Thoth
23	Thoth	Phaophi	Chabir	Thoth	Thoth	Thoth	Thoth	Thoth	Thoth	Thoth	Thoth
24	Thoth	Phaophi	Chabir	Thoth	Thoth	Thoth	Thoth	Thoth	Thoth	Thoth	Thoth
25	Thoth	Phaophi	Chabir	Thoth	Thoth	Thoth	Thoth	Thoth	Thoth	Thoth	Thoth
26	Thoth	Phaophi	Chabir	Thoth	Thoth	Thoth	Thoth	Thoth	Thoth	Thoth	Thoth
27	Thoth	Phaophi	Chabir	Thoth	Thoth	Thoth	Thoth	Thoth	Thoth	Thoth	Thoth
28	Thoth	Phaophi	Chabir	Thoth	Thoth	Thoth	Thoth	Thoth	Thoth	Thoth	Thoth
29	Thoth	Phaophi	Chabir	Thoth	Thoth	Thoth	Thoth	Thoth	Thoth	Thoth	Thoth
30	Thoth	Phaophi	Chabir	Thoth	Thoth	Thoth	Thoth	Thoth	Thoth	Thoth	Thoth
31	Thoth	Phaophi	Chabir	Thoth	Thoth	Thoth	Thoth	Thoth	Thoth	Thoth	Thoth
32	Thoth	Phaophi	Chabir	Thoth	Thoth	Thoth	Thoth	Thoth	Thoth	Thoth	Thoth
33	Thoth	Phaophi	Chabir	Thoth	Thoth	Thoth	Thoth	Thoth	Thoth	Thoth	Thoth
34	Thoth	Phaophi	Chabir	Thoth	Thoth	Thoth	Thoth	Thoth	Thoth	Thoth	Thoth
35	Thoth	Phaophi	Chabir	Thoth	Thoth	Thoth	Thoth	Thoth	Thoth	Thoth	Thoth
36	Thoth	Phaophi	Chabir	Thoth	Thoth	Thoth	Thoth	Thoth	Thoth	Thoth	Thoth
37	Thoth	Phaophi	Chabir	Thoth	Thoth	Thoth	Thoth	Thoth	Thoth	Thoth	Thoth
38	Thoth	Phaophi	Chabir	Thoth	Thoth	Thoth	Thoth	Thoth	Thoth	Thoth	Thoth
39	Thoth	Phaophi	Chabir	Thoth	Thoth	Thoth	Thoth	Thoth	Thoth	Thoth	Thoth
40	Thoth	Phaophi	Chabir	Thoth	Thoth	Thoth	Thoth	Thoth	Thoth	Thoth	Thoth
41	Thoth	Phaophi	Chabir	Thoth	Thoth	Thoth	Thoth	Thoth	Thoth	Thoth	Thoth
42	Thoth	Phaophi	Chabir	Thoth	Thoth	Thoth	Thoth	Thoth	Thoth	Thoth	Thoth
43	Thoth	Phaophi	Chabir	Thoth	Thoth	Thoth	Thoth	Thoth	Thoth	Thoth	Thoth
44	Thoth	Phaophi	Chabir	Thoth	Thoth	Thoth	Thoth	Thoth	Thoth	Thoth	Thoth
45	Thoth	Phaophi	Chabir	Thoth	Thoth	Thoth	Thoth	Thoth	Thoth	Thoth	Thoth
46	Thoth	Phaophi	Chabir	Thoth	Thoth	Thoth	Thoth	Thoth	Thoth	Thoth	Thoth
47	Thoth	Phaophi	Chabir	Thoth	Thoth	Thoth	Thoth	Thoth	Thoth	Thoth	Thoth
48	Thoth	Phaophi	Chabir	Thoth	Thoth	Thoth	Thoth	Thoth	Thoth	Thoth	Thoth
49	Thoth	Phaophi	Chabir	Thoth	Thoth	Thoth	Thoth	Thoth	Thoth	Thoth	Thoth
50	Thoth	Phaophi	Chabir	Thoth	Thoth	Thoth	Thoth	Thoth	Thoth	Thoth	Thoth

Das Jahr V der dritten Hundsternperiode entspricht dem Jahre N=500.
 Das Jahr N der vierten Hundsternperiode entspricht dem Jahre N=511.
 Das Jahr N der dritten Hundsternperiode entspricht dem Jahre N=511.
 Das Jahr N der vierten Hundsternperiode entspricht dem Jahre N=511.

Armenische Monatsnamen.

Sonnenjahr der Mexicaner.

Die Epoche dieser Zeitrechnung oder der 1. Tititl des 1. Tlalpilli des 1. Xihmolpilli entspricht dem Tage 2119 182 der julianischen Periode.

Die Jahre dieser Zeitrechnung sind feste Sonnenjahre von 365 Tagen mit einer Einschaltung von 13 Tagen in 52 Jahren. Das Jahr wurde in 18 Monate zu 20 Tagen getheilt, welchen 5 Ergänzungstage, und alle 52 Jahre noch weitere 13 Ergänzungstage folgten. Die Namen der Monate sind:

1. Tititl 20 Tage,	6. Huey Toxotztl . . 20 Tage,	11. Miccailhuiztintl . 20 Tage,	16. Quecholli 20 Tage,
2. Xochihuitl . . . 20 "	7. Toxcatl 20 "	12. Huemacatlhuiztl . 20 "	17. Panquetzaltzl . . 20 "
3. Xihomonaliztl . . 20 "	8. Etziquiliztl . . 20 "	13. Ochpaniztl . . . 20 "	18. Atemoztli . . . 20 "
4. Tlacaxiphaliztl . 20 "	9. Tecatlhuiztintl . 20 "	14. Pachtli 20 "	Nemonteml 5 "
5. Toxotzintl . . . 20 "	10. Hueyteculhuiztl . 20 "	15. Hueypachtli . . 20 "	

Man zählte nach Perioden von 52 Jahren Xihmolpilli, welche wieder in vier Perioden zu 13 Jahren Tlalpilli zerfielen. Je zwei Perioden von 52 Jahren zusammen machten eine Periode von 104 Jahren Cehuchuitzilizli.

Die einzelnen Jahre eines 52jährigen Cyclus werden nicht der Reihe nach mit fortlaufenden Nummern bezeichnet, sondern jedes erhielt einen Namen, der aus der Combination eines 13theiligen Cyclus mit einem 4theiligen gebildet wurde. Der 13theilige Cyclus enthält die Namen: Ce, Ome, Jol, Nahui, Maruilli, Chienace, Chicoml, Chicmatul, Matlaetli, Matlaetli oze, Matlaetli omonie, Matlaetli omei; der 4theilige die Namen Tochtli, Avatl, Trecpatl und Calli. Die Combinationen sind auf der folgenden Seite für alle 52 Jahre des Cyclus durchgeführt.

Auch die Tage des Jahres wurden nicht gezählt, sondern ebenfalls durch Combinationen vom Cyclus benannt, und zwar wurden ein 13theiliger Cyclus mit einem 20 und einem 5theiligen combinirt. Bezeichnet man der Kürze halber die Namen dieser Cyclus mit Buchstaben und setzt:

A, Ce,	H, Chieuel,	a, Cipactli,	h, Tochtli,	p, Quauhtli,	z, Tietl,	z, Atl,
B, Ome,	J, Chienamal,	h, Ehecatl,	i, Atl,	q, Cozcacuauhtli,	z, Trecpatl,	z, Tlacoltzotl,
C, Jol,	K, Matlaetli,	r, T'alli,	k, Itzenutli,	r, Ollin,	z, Xochitl,	z, Topydyotli,
D, Nahui,	L, Matlaetli oze,	d, Quetzpalin,	l, Ozuamatli,	a, Trecpatl,	z, Cinteotl,	z, Qalsuult,
E, Maenilli,	M, Matlaetli omonie,	r, Cohuatli,	m, Malinalli,	t, Quahuil,	z, Mizquitli,	
F, Chienace,	N, Matlaetli omei,	j, Mizquitli,	n, Acatl,	u, Xochitl,		
G, Chicoml,		g, Mazatl,	o, Trecpatl,			

so kommen den Tagen der einzelnen Monate die folgenden Namen zu:

Monats-tag	1	2	3	4	5	6	7	8	9	10	11	12	13	14	15	16	17	18	
	Tititl	Xochihuitl	Xihomonaliztl	Tlacaxiphaliztl	Toxotzintl	Huey Toxotztl	Toxcatl	Etziquiliztl	Tecatlhuiztintl	Hueyteculhuiztl	Miccailhuiztintl	Huemacatlhuiztl	Ochpaniztl	Pachtli	Hueypachtli	Quecholli	Panquetzaltzl	Atemoztli	Nemonteml
1	A a	H a	B a	I a	C a	K a	D a	E a	F a	G a	M a	N a	G a	A a	H a	B a	I a	C a	K a
2	B b	I b	C b	K b	D b	E b	F b	G b	H b	M b	N b	G b	A b	H b	B b	I b	C b	K b	D b
3	C c	K c	D c	E c	F c	G c	H c	M c	N c	G c	A c	H c	B c	I c	C c	K c	D c	E c	F c
4	D d	E d	F d	G d	H d	M d	N d	G d	A d	H d	B d	I d	C d	K d	D d	E d	F d	G d	H d
5	E e	F e	G e	H e	M e	N e	G e	A e	H e	B e	I e	C e	K e	D e	E e	F e	G e	H e	M e
6	F f	G f	H f	M f	N f	G f	A f	H f	B f	I f	C f	K f	D f	E f	F f	G f	H f	M f	N f
7	G g	H g	M g	N g	G g	A g	H g	B g	I g	C g	K g	D g	E g	F g	G g	H g	M g	N g	G g
8	H h	M h	N h	G h	A h	H h	B h	I h	C h	K h	D h	E h	F h	G h	H h	M h	N h	G h	A h
9	I i	M i	N i	G i	A i	H i	B i	I i	C i	K i	D i	E i	F i	G i	H i	M i	N i	G i	A i
10	K k	D k	E k	F k	G k	H k	M k	N k	G k	A k	H k	B k	I k	C k	K k	D k	E k	F k	G k
11	L l	E l	F l	G l	H l	M l	N l	G l	A l	H l	B l	I l	C l	K l	D l	E l	F l	G l	H l
12	M m	F m	G m	H m	M m	N m	G m	A m	H m	B m	I m	C m	K m	D m	E m	F m	G m	H m	M m
13	N n	G n	A n	H n	B n	I n	C n	K n	D n	E n	F n	G n	H n	M n	N n	G n	A n	H n	B n
14	A o	H o	B o	I o	C o	K o	D o	E o	F o	G o	M o	N o	G o	A o	H o	B o	I o	C o	K o
15	B p	I p	C p	K p	D p	E p	F p	G p	H p	M p	N p	G p	A p	H p	B p	I p	C p	K p	D p
16	C q	K q	D q	E q	F q	G q	H q	M q	N q	G q	A q	H q	B q	I q	C q	K q	D q	E q	F q
17	D r	E r	F r	G r	H r	M r	N r	G r	A r	H r	B r	I r	C r	K r	D r	E r	F r	G r	H r
18	E s	F s	G s	H s	M s	N s	G s	A s	H s	B s	I s	C s	K s	D s	E s	F s	G s	H s	M s
19	F t	G t	H t	M t	N t	G t	A t	H t	B t	I t	C t	K t	D t	E t	F t	G t	H t	M t	N t
20	G u	H u	M u	N u	G u	A u	H u	B u	I u	C u	K u	D u	E u	F u	G u	H u	M u	N u	G u

Es wird also z. B. der 17. Pachtli heißen: Nahui Ollin-Tlacoltzotl.

Sonnenjahr der Mexicaner.

Tafel I.

Zahl der Cycles Xihmolpilli	Jahr
1	0 2119 181
2	32 2128 174
3	104 2157 107
4	150 2170 100
5	208 2195 153
6	200 2214 140
7	312 2233 139
8	304 2252 132
9	416 2271 125
10	408 2290 118
11	520 2309 111
12	572 2328 104
13	624 2347 097
14	676 2366 090
15	728 2385 083
16	780 2404 076
17	832 2423 069
18	884 2442 062
19	936 2461 055
20	988 2480 048
21	1040 2499 041
22	1092 2518 034
23	1144 2537 027
24	1196 2556 020
25	1248 2575 013
26	1300 2594 006

Tafel II

Namen der einzelnen Jahre des 52jährigen Cycles	1	2	3	4	5	6	7	8	9	10	11	12	13	14	15	16	17	18
Jahr	Tliltli	Xochihuitl	Xihmolpilli	Tlaxtepec-huauhtli	Tlaxtepec-huauhtli	Tlaxtepec-huauhtli	Tlaxtepec-huauhtli	Tlaxtepec-huauhtli	Tlaxtepec-huauhtli	Tlaxtepec-huauhtli	Tlaxtepec-huauhtli	Tlaxtepec-huauhtli	Tlaxtepec-huauhtli	Tlaxtepec-huauhtli	Tlaxtepec-huauhtli	Tlaxtepec-huauhtli	Tlaxtepec-huauhtli	Tlaxtepec-huauhtli
01	000	020	040	060	080	100	120	140	160	180	200	220	240	260	280	300	320	340
02	305	185	405	425	445	465	485	505	525	545	565	585	605	625	645	665	685	705
03	730	750	770	790	810	830	850	870	890	910	930	950	970	990	1010	1030	1050	1070
04	1095	1115	1135	1155	1175	1195	1215	1235	1255	1275	1295	1315	1335	1355	1375	1395	1415	1435
05	400	480	500	520	540	560	580	600	620	640	660	680	700	720	740	760	780	800
06	825	845	865	885	905	925	945	965	985	1005	1025	1045	1065	1085	1105	1125	1145	1165
07	2100	2120	2140	2160	2180	2200	2220	2240	2260	2280	2300	2320	2340	2360	2380	2400	2420	2440
08	555	575	595	615	635	655	675	695	715	735	755	775	795	815	835	855	875	895
09	920	940	960	980	1000	1020	1040	1060	1080	1100	1120	1140	1160	1180	1200	1220	1240	1260
10	3285	3305	3325	3345	3365	3385	3405	3425	3445	3465	3485	3505	3525	3545	3565	3585	3605	3625
11	650	670	690	710	730	750	770	790	810	830	850	870	890	910	930	950	970	990
12	4015	4035	4055	4075	4095	4115	4135	4155	4175	4195	4215	4235	4255	4275	4295	4315	4335	4355
13	380	400	420	440	460	480	500	520	540	560	580	600	620	640	660	680	700	720
14	745	765	785	805	825	845	865	885	905	925	945	965	985	1005	1025	1045	1065	1085
15	5110	5130	5150	5170	5190	5210	5230	5250	5270	5290	5310	5330	5350	5370	5390	5410	5430	5450
16	475	495	515	535	555	575	595	615	635	655	675	695	715	735	755	775	795	815
17	840	860	880	900	920	940	960	980	1000	1020	1040	1060	1080	1100	1120	1140	1160	1180
18	6205	6225	6245	6265	6285	6305	6325	6345	6365	6385	6405	6425	6445	6465	6485	6505	6525	6545
19	570	590	610	630	650	670	690	710	730	750	770	790	810	830	850	870	890	910
20	935	955	975	995	1015	1035	1055	1075	1095	1115	1135	1155	1175	1195	1215	1235	1255	1275
21	7300	7320	7340	7360	7380	7400	7420	7440	7460	7480	7500	7520	7540	7560	7580	7600	7620	7640
22	605	625	645	665	685	705	725	745	765	785	805	825	845	865	885	905	925	945
23	8030	8050	8070	8090	8110	8130	8150	8170	8190	8210	8230	8250	8270	8290	8310	8330	8350	8370
24	395	415	435	455	475	495	515	535	555	575	595	615	635	655	675	695	715	735
25	760	780	800	820	840	860	880	900	920	940	960	980	1000	1020	1040	1060	1080	1100
26	9125	9145	9165	9185	9205	9225	9245	9265	9285	9305	9325	9345	9365	9385	9405	9425	9445	9465
27	490	510	530	550	570	590	610	630	650	670	690	710	730	750	770	790	810	830
28	855	875	895	915	935	955	975	995	1015	1035	1055	1075	1095	1115	1135	1155	1175	1195
29	10220	10240	10260	10280	10300	10320	10340	10360	10380	10400	10420	10440	10460	10480	10500	10520	10540	10560
30	585	605	625	645	665	685	705	725	745	765	785	805	825	845	865	885	905	925
31	950	970	990	1010	1030	1050	1070	1090	1110	1130	1150	1170	1190	1210	1230	1250	1270	1290
32	11315	11335	11355	11375	11395	11415	11435	11455	11475	11495	11515	11535	11555	11575	11595	11615	11635	11655
33	680	700	720	740	760	780	800	820	840	860	880	900	920	940	960	980	1000	1020
34	12045	12065	12085	12105	12125	12145	12165	12185	12205	12225	12245	12265	12285	12305	12325	12345	12365	12385
35	410	430	450	470	490	510	530	550	570	590	610	630	650	670	690	710	730	750
36	775	795	815	835	855	875	895	915	935	955	975	995	1015	1035	1055	1075	1095	1115
37	13140	13160	13180	13200	13220	13240	13260	13280	13300	13320	13340	13360	13380	13400	13420	13440	13460	13480
38	505	525	545	565	585	605	625	645	665	685	705	725	745	765	785	805	825	845
39	870	890	910	930	950	970	990	1010	1030	1050	1070	1090	1110	1130	1150	1170	1190	1210
40	14335	14355	14375	14395	14415	14435	14455	14475	14495	14515	14535	14555	14575	14595	14615	14635	14655	14675
41	900	920	940	960	980	1000	1020	1040	1060	1080	1100	1120	1140	1160	1180	1200	1220	1240
42	905	925	945	965	985	1005	1025	1045	1065	1085	1105	1125	1145	1165	1185	1205	1225	1245
43	15130	15150	15170	15190	15210	15230	15250	15270	15290	15310	15330	15350	15370	15390	15410	15430	15450	15470
44	605	625	645	665	685	705	725	745	765	785	805	825	845	865	885	905	925	945
45	16060	16080	16100	16120	16140	16160	16180	16200	16220	16240	16260	16280	16300	16320	16340	16360	16380	16400
46	425	445	465	485	505	525	545	565	585	605	625	645	665	685	705	725	745	765
47	790	810	830	850	870	890	910	930	950	970	990	1010	1030	1050	1070	1090	1110	1130
48	17155	17175	17195	17215	17235	17255	17275	17295	17315	17335	17355	17375	17395	17415	17435	17455	17475	17495
49	520	540	560	580	600	620	640	660	680	700	720	740	760	780	800	820	840	860
50	885	905	925	945	965	985	1005	1025	1045	1065	1085	1105	1125	1145	1165	1185	1205	1225
51	18250	18270	18290	18310	18330	18350	18370	18390	18410	18430	18450	18470	18490	18510	18530	18550	18570	18590
52	615	635	655	675	695	715	735	755	775	795	815	835	855	875	895	915	935	955

Siderisches Sonnenjahr der Inder.

Kaliyuga, Śaka Śālivāhana, Vilāyati San, Fasli-Jahr, Bengali San, Parasurāma, Grahaparivṛtti.

Die Epoche des Kali yuga entspricht eigentlich dem Tage 588 466 der julianischen Epoche, doch wird daran von den Indern eine Correction von 24 86 51^r angebracht, so dass sie dann dem Tage 588 461 entspricht.

Die Epoche der Śaka des Śālivāhana entspricht dem Tage 1749 621 der julianischen Periode.

Die Epoche des Vilāyati san entspricht dem Tage 1937 886 der julianischen Periode.

Die Epoche des Fasli-Jahres entspricht dem Tage 1937 823 der julianischen Periode.

Die Epoche des Bengali San entspricht dem Tage 1938 095 der julianischen Periode.

Die Epoche des ersten tausendjährigen Cycles des Parasurāma entspricht dem Tage 1291 713 der julianischen Periode.

Die Epoche des ersten neunzigjährigen Cycles Grahaparivṛtti entspricht dem Tage 1712 365 der julianischen Periode.

Die Jahre dieser Zeitrechnung sind siderische Sonnenjahre von 365 4 15^r 31^r 15^r nach dem Tage Śūrya Siddhānta, oder von 365 4 15^r 31^r 21^r nach dem Śūrya Siddhānta. Die Brüche werden fortgelassen, aber die Zahl der Tage um eines erhöht, wenn der Bruch über 30^r beträgt. Das Jahr wird in zwölf Monate getheilt, deren Namen und Dauer ist:

Bengalische Monatsnamen		Tamilische Monatsnamen	Dauer nach dem Śūrya Siddhānta	Dauer nach dem Śūrya Siddhānta
Ältere	Neuere			
Mōṣa māsa	Vaiśākha	Chaltrān	304 556 32 ^r 1 ^r	304 556 32 ^r 2 ^r 39 ^r
Vṛṣa māsa	Jyāishtha	Vyāseḥ	31 24 12 1	31 24 12 2 11
Mithuna māsa	Āshāḍha	Āmī	31 36 38 1	31 36 38 2 44
Karkata māsa	Śrāvāṇa	Audī	31 28 12 2	31 28 12 2 12
Ṭiṇḍa māsa	Bhādrapada	Āvān	31 2 10 1	31 2 10 2 40
Kanyā māsa	Āśvina	Parvatī	30 27 22 1	30 27 22 2 38
Tulā māsa	Kārtika	Arpeḥ	29 54 7 1	29 54 7 2 35
Vṛchika māsa	Mārgaśīra	Cartiga	29 30 21 2	29 30 21 2 33
Dhanu māsa	Pauṣa	Margall	29 20 53 1	29 20 53 2 31
Makara māsa	Māgha	Tye	29 27 16 1	29 27 16 2 32
Kumbha māsa	Phālguna	Manṣī	29 48 24 1	29 48 24 2 33
Mina māsa	Chaitra	Pungol	30 20 21 2	30 20 21 2 36

Die Jahre des Vilāyati san und des tausendjährigen Cycles Parasurāma werden ebenso getheilt, nur beginnen sie mit dem Monate Āśvina; das Fasli-Jahr wird ebenfalls so getheilt, beginnt aber mit dem Monate Śrāvāṇa. Die Inder haben auch die siebenjährige Woche, deren einzelne Tage sind: Ravi-vāra ☉, Soma-vāra ☾, Mangala-vāra ☿, Budha-vāra ♀, Guru-vāra ♄, Śukra-vāra ♀, Sanī-vāra ♄.

Es bezeichnet der Rest der julianischen Tageszahl durch sieben: 0 Soma-vāra, 1 Mangala-vāra, 2 Budha-vāra, 3 Guru-vāra, 4 Śukra-vāra, 5 Sanī-vāra und 6 Ravi-vāra.

Es ist bei indischen Jahresangaben sehr genau darauf zu achten, ob das laufende, oder das vollendete Jahr angegeben wird. Es wird nämlich gewöhnlich nicht nach europäischer Weise die Zahl des Jahres genannt, welches eben läuft, sondern es wird sehr häufig zur Bezeichnung dieses Jahres die um eins kleinere Zahl der vollendeten oder abgelaufenen Jahre angegeben. Hier ist immer das laufende Jahr angenommen.

Es ist ferner ein 60jähriger Cycles im Gebrauch Brāhmapati Chakra oder Jupiters Cycles, dessen einzelne Jahre mit eigenen Namen bezeichnet werden. Um zu einem Jahre des Kali yuga oder der Śaka Śālivāhana den zugehörigen Namen zu finden, gibt es drei verschiedene Regeln. Es werden nämlich nach dem Śūrya Siddhānta und nach der Jyotistava-Regel einzelne Jahre ausgenommen, nach der Tellinga-Regel dagegen wird fortlaufend gezählt. In der folgenden Tafel sind die ausgenommenen Jahre so berücksichtigt, dass man immer vom nächstkleineren Jahre der Tafel ausgehen hat, um nach allen drei Regeln den zugehörigen Namen zu finden. So ist z. B. das Jahr 4718 Kali yuga nach dem Śūrya Siddhānta Krodhāna, nach der Tellinga-Regel Anala, das diesem entsprechende Jahr 1539 Śaka Śālivāhana nach der Jyotistava-Regel auch Krodhāna.

Die Jahre werden auch in einem zwölfjährigen Cycles gezählt, in welchem die Namen der einzelnen Jahre den Namen der Monate aber mit vorgewetztem Mahā gleich sind. Es heisst das Jahr 1 Mahā Śrāvāṇa, 2 Mahā Bhādrapada, 3 Mahā Āśvina, 4 Mahā Kārtika, 5 Mahā Mārgaśīra, 6 Mahā Pauṣa, 7 Mahā Māgha, 8 Mahā Phālguna, 9 Mahā Chaltrā, 10 Mahā Vaiśākha, 11 Mahā Jyāishtha, 12 Mahā Āshāḍha. Dividirt man das nach der Jyotistava-Regel bestimmte Cyclesjahr durch 12, so gibt der Rest die Stelle im zwölfjährigen Cycles. Das vorher genannte Jahr 1539 Śaka Śālivāhana ist also, weil 59 durch 12 den Rest 11 gibt, das Jahr Mahā Jyāishtha.

Festtage, die von Sonnenjahre abhängen:

1. Vaiśākha: Varāhārambha Jahresanfang.

1. Śrāvāṇa: Dakṣhīnāyana-pūnyakāla, Sommersolstitium

Letzter Śrāvāṇa: Aśvī Pūnclga, Festtag

1. Kārtika: Viṣṇu Pūnyakāla.

1. Māgha: Utrāyana-pūnyakāla, Fest des Wintersolstitium.

2. Māgha: Mativ Pūngol, zweiter Festtag.

Der Tag wird mit Sonnenaufgang begonnen und in 60 ghatikas zu 60 vighaṇḍas zu 60 paras zu 60 suras eingetheilt.

Indisches Sonnenjahr.

Bṛhaspati-Cyclus.
Jupiters Cyclus.

Jahr	Namen der einzelnen Jahre des Cyclus	Jahr	Namen der einzelnen Jahre des Cyclus
1	Prabhava.	31	Hemulambha.
2	Vilohava.	32	Vilambha.
3	Sukla.	33	Vikāri.
4	Pramoḍa.	34	Survari.
5	Prāṇāpti.	35	Plava.
6	Angirasa.	36	Sobhakrit.
7	Srimukha.	37	Sobhana.
8	Ithava.	38	Kroḍhi.
9	Yavā.	39	Viśvavasu.
10	Ithāti.	40	Parābhava.
11	Jāvara.	41	Plavanga.
12	Bahudhānya.	42	Kilaka.
13	Pramāthi.	43	Samya.
14	Vikrama.	44	Sādharana.
15	Bhriṣ'ya.	45	Virodhikrit.
16	Chitrabhānu.	46	Paridhāvi.
17	Subhānu.	47	Pramādi.
18	Tārana.	48	Ānanda.
19	Ārthiva.	49	Rākshaṣa.
20	Vyaya.	50	Anala.
21	Sarvajit.	51	Pingala.
22	Sarvadhāri.	52	Kālayukta.
23	Virodhi.	53	Siddhārthi.
24	Vikṛita.	54	Randi.
25	Khara.	55	Durmati.
26	Nandana.	56	Dundubhi.
27	Vijaya.	57	Rudirodgāri.
28	Jaya.	58	Raktāksha.
29	Manmatha.	59	Krodhana.
30	Durmukha.	60	Kshaya.

Bṛhaspati-Jahre.
Nach der Regel des Sūrya Siddhānta.

Jahre des Kali yuga	Cyclusjahr	Jahre des Kali yuga	Cyclusjahr	Jahre des Kali yuga	Cyclusjahr
1	27	1432	35	2894	14
56	23	1518	2	2980	41
142	50	1604	29	3066	8
228	17	1690	50	3152	35
314	44	1776	23	3238	2
400	11	1862	50	3324	29
486	38	1948	17	3410	56
572	5	2034	44	3496	23
658	32	2120	11	3582	50
744	59	2206	38	3668	17
830	26	2292	5	3754	44
916	53	2378	32	3840	11
1002	20	2464	59	3926	38
1088	47	2550	26	4012	5
1174	14	2636	53	4098	32
1260	41	2722	20	4184	59
1346	8	2808	47	4270	26

Bṛhaspati-Jahre.
Nach der Tellinga-Regel.

Jahre des Kali yuga	Cyclusjahr	Jahre des Kali yuga	Cyclusjahr	Jahre des Kali yuga	Cyclusjahr
0	12	1368	0	2748	0
48	0	1428	0	2808	0
108	0	1488	0	2868	0
168	0	1548	0	2928	0
228	0	1608	0	2988	0
288	0	1668	0	3048	0
348	0	1728	0	3108	0
408	0	1788	0	3168	0
468	0	1848	0	3228	0
528	0	1908	0	3288	0
588	0	1968	0	3348	0
648	0	2028	0	3408	0
708	0	2088	0	3468	0
768	0	2148	0	3528	0
828	0	2208	0	3588	0
888	0	2268	0	3648	0
948	0	2328	0	3708	0
1008	0	2388	0	3768	0
1068	0	2448	0	3828	0
1128	0	2508	0	3888	0
1188	0	2568	0	3948	0
1248	0	2628	0	4008	0
1308	0	2688	0	4068	0

Bṛhaspati-Jahre.
Nach der Jyotistava-Regel.

Śaka Śāli-vāhana	Cyclusjahr	Śaka Śāli-vāhana	Cyclusjahr	Śaka Śāli-vāhana	Cyclusjahr
1	3	572	41	1109	45
61	4	658	8	1254	11
146	30	743	34	1340	38
232	57	828	60	1425	4
317	23	913	26	1510	30
402	49	999	53	1595	56
487	15	1084	19	1680	22

Indisches Sonnenjahr.

Tafel I.

Nach dem Śūrya Siddhānta (Jahreslänge = 3654 15⁴ 31² 314² 24²).

Jahre des Kali yuga	Parasurāma* (1000jähr. Cyclo)										Vilāyati sat* Faali Jahr**									
	a					b					a					b				
	1	2	3	4	5	6	7	8	9	10	11	12	13	14	15	16	17	18	19	20
1	588 403	d	1829																	
50	609 048	m	1914	I - 1	I - 12															
144	040 095	f	1999	74	71															
239	71 744	e	2057	132	134															
387	093 027	d	2142	217	216															
723	723 974	e	2200	275	274															
430	745 159	d	2285	360	359															
515	770 200	f	2343	418	417															
600	807 251	e	2428	503	502															
688	828 438	e	2513	588	587															
743	859 485	d	2571	640	645															
801	886 070	d	2656	711	730															
886	911 217	f	2714	780	788															
944	932 902	d	2799	874	873															
1029	963 949	f	2884	959	958															
1114	994 990	e	2942	11	11															
1172	1016 101	f	3027	102	101	I 50														
1257	1047 228	f	3085	100	159	I 8														
1315	1068 413	e	3144	144	143	II 3														
1400	1099 400	e	3228	303	302	II 01														
1485	1130 507	e	3313	388	387	III 50														
1543	1151 092	f	3398	473	472	IV 51														
1628	1182 739	e	3456	531	530	V 19														
1686	1203 924	f	3541	616	615	VI 14														
1771	1234 971	d	3599	674	673	VI 72														

Tafel I.

Nach dem Ārya Siddhānta (Jahreslänge = 3654 15⁴ 31² 156²).

Jahre des Kali yuga	Parasurāma* (1000jähr. Cyclo)										Vilāyati sat* Faali Jahr**									
	a					b					a					b				
	1	2	3	4	5	6	7	8	9	10	11	12	13	14	15	16	17	18	19	20
1	588 463	d	1845	I - 80	I - 81															
50	609 048	e	1930	5	4															
117	630 813	e	1988	61	62															
202	661 880	e	2046	121	120															
260	683 065	e	2104	179	178															
318	704 250	e	2162	237	236															
376	725 435	e	2247	322	321															
434	746 620	e	2305	380	379															
509	777 007	e	2363	438	437															
577	798 592	e	2421	496	495															
642	820 037	e	2506	581	580															
693	841 222	e	2564	639	638															
778	872 269	e	2622	697	696															
836	893 544	e	2680	755	754															
894	914 030	e	2738	813	812															
952	935 544	e	2823	868	867															
1000	957 000	e	2881	926	925															
1095	988 050	e	2939	11	11	12														
1153	1009 241	e	3007	72	71	I - 80														
1211	1030 426	e	3082	157	156	I 5														
1269	1051 611	e	3140	215	214	I 03														
1354	1082 058	e	3198	273	272	II 1														
1412	1103 843	e	3256	331	330	II 80														
1470	1125 028	e	3314	389	388	III 57														
1528	1146 213	e	3379	474	473	IV 52														
1586	1167 398	e	3457	532	531	V 20														
1671	1198 445	e	3515	590	589	V 78														
1729	1219 630	e	3573	648	647	VI 46														
1787	1240 815	e																		

* Beim Parasurāma und beim Vilāyati sat gilt die Column 6 für die Monate: Vaiśākha, Jyāishtha, Āśādhya, Śrāvāya, die Column 6 für die übrigen Monate.

** Beim Faali Jahr gilt Column 6 für die Monate: Vaiśākha, Jyāishtha, Āśādhya, Column 6 für die übrigen Monate. Soll eine der gegebenen Aeren mit dem Lunisolarjahr verbunden werden, so bestimmt man das entsprechende Jahr des Kali yuga und geht mit diesem in die Tafel für das Lunisolarjahr pag. 52 und 53 ein.

Indisches Jñrisolarjahr.

Tafel II.

Jahr	1	2	3	4	5	6	7	8	9	10	11	12	Jahr	1	2	3	4	5	6	7	8	9	10	11	12	
Chaitra	Vaisākha	Jyesthā	Āshāḍha	Śrāvaṇa	Bhādrapada	Āvinava	Kārtika	Mārgasīra od. Ārdrāpadya	Puṣkara	Māgha	Phalguṇa	Chaitra	Vaisākha	Jyesthā	Āshāḍha	Śrāvaṇa	Bhādrapada	Āvinava	Kārtika	Mārgasīra od. Ārdrāpadya	Puṣkara	Māgha	Phalguṇa			
00	030	030	111	110	148	178	207	237	266	296	325	355	01	22 295	385	354	384	413	443	474	504	531	561	590	020	
01	384	414	443	473	502	532	561	591	020	050	079	109	02	049 079	708	738	767	797	827	856	886	915	945	974	004	
02	111	798	827	857	886	916	945	975	004	034	063	093	03	23 033	002	032	062	092	121	151	181	210	240	269	298	328
03	132	152	181	211	240	270	299	329	358	388	417	447	04	388	418	447	477	506	536	565	595	624	654	683	713	
04	470	500	535	565	594	624	653	683	712	742	771	801	05	742	772	801	830	860	890	920	949	979	1008	1038	1067	
05	800	860	886	919	951	983	1017	1050	1083	1116	1149	1182	06	24 120	150	185	215	244	274	303	333	362	392	421	451	
06	234	244	273	302	332	362	391	421	450	480	509	539	07	480	510	539	569	598	628	657	687	716	746	775	805	
07	509	509	628	658	687	717	747	776	805	835	864	894	08	121	805	834	864	893	923	952	981	1011	1040	1070	1100	
08	923	953	983	1012	1042	1071	1101	1130	1160	1189	1219	1248	09	219	101	249	278	308	337	367	396	426	455	485	514	
09	307	337	367	396	425	455	484	514	543	573	602	632	10	573	603	632	662	691	721	750	780	810	839	869	898	
10	111	720	749	779	808	838	867	897	926	956	985	1015	11	957	987	1016	1046	1075	1105	1134	1164	1193	1223	1252	1282	
11	4044	474	101	131	162	192	221	251	280	310	339	369	12	20 311	341	370	400	429	458	488	517	547	577	606	636	
12	399	429	458	488	517	547	576	606	635	665	694	724	13	606	636	725	754	784	814	844	873	903	932	962	991	
13	754	784	814	844	873	903	933	963	993	1022	1052	1082	14	27 050	080	109	138	168	197	227	257	286	316	345	375	
14	538	105	197	227	256	286	315	345	374	404	433	463	15	404	434	463	493	522	552	581	611	640	670	699	729	
15	042	522	551	581	610	640	669	699	728	758	787	817	16	758	787	817	847	877	906	936	965	995	1024	1054	1083	
16	846	876	905	935	964	994	1023	1053	1082	1112	1142	1171	17	28 142	172	201	230	260	289	319	349	378	408	437	467	
17	930	260	289	318	348	378	407	437	466	496	525	555	18	497	527	556	586	615	645	674	704	733	762	791	821	
18	955	015	044	074	103	133	163	193	223	253	283	313	19	886	916	946	976	1006	1036	1066	1096	1126	1156	1186	1216	
19	939	551	628	658	687	717	747	776	806	835	865	895	20	235	265	294	324	353	383	412	442	471	501	530	560	
20	732	353	382	412	441	471	500	530	559	589	618	648	21	589	619	648	678	707	737	766	796	825	855	884	914	
21	078	708	737	767	796	826	855	885	914	944	973	1003	22	973	1003	1033	1063	1093	1123	1153	1183	1213	1243	1273	1303	
22	8032	062	091	121	150	180	210	240	270	300	330	360	23	300	330	360	390	420	450	480	510	540	570	600	630	
23	410	440	475	505	534	564	593	623	652	682	711	741	24	482	512	541	571	601	631	661	691	721	751	781	811	
24	770	800	830	860	890	920	950	980	1010	1040	1070	1100	25	310	340	370	400	430	460	490	520	550	580	610	640	
25	014	184	213	243	272	302	331	361	390	420	449	479	26	420	450	479	509	538	568	597	627	656	686	715	745	
26	508	538	567	597	626	656	685	715	744	774	803	833	27	111	84	803	833	862	892	921	951	980	1010	1040	1070	
27	813	843	872	902	931	961	990	1020	1050	1080	1110	1140	28	158	188	217	247	276	306	335	365	395	424	454	484	
28	10427	277	306	336	365	395	424	454	483	513	542	572	29	81	513	543	573	603	633	663	693	723	753	783	813	
29	601	631	660	690	719	749	778	808	837	867	896	926	30	907	937	967	997	1027	1057	1087	1117	1147	1177	1207	1237	
30	111	015	044	074	103	133	162	192	221	251	280	310	31	331	281	310	340	370	400	430	460	490	520	550	580	
31	1339	309	338	368	397	427	456	486	515	545	575	605	32	005	034	064	094	124	154	184	214	244	274	304	334	
32	094	724	753	783	813	843	873	903	933	963	993	1023	33	989	011	648	678	707	737	767	797	827	857	887	917	
33	1077	107	136	166	195	225	254	284	313	343	373	403	34	144	374	403	433	463	493	523	553	583	613	643	673	
34	432	462	491	521	550	580	609	639	668	698	727	757	35	008	111	757	787	817	847	877	907	937	967	997	1027	
35	786	816	845	875	904	934	964	994	1024	1054	1084	1114	36	358	388	418	448	478	508	538	568	598	628	658	688	
36	13720	200	229	259	288	318	347	377	406	436	465	495	37	436	466	495	525	554	584	614	644	674	704	734	764	
37	524	554	583	613	642	672	701	731	760	790	819	849	38	820	850	879	909	938	968	997	1027	1057	1087	1117	1147	
38	799	829	858	888	917	947	976	1006	1036	1066	1096	1126	39	36	175	205	234	264	293	323	353	383	413	443	473	
39	14203	203	232	262	291	321	351	381	411	440	470	500	40	520	550	580	610	640	670	700	730	760	790	820	850	
40	017	047	076	106	135	165	194	224	254	284	314	344	41	913	943	973	1003	1033	1063	1093	1123	1153	1183	1213	1243	
41	15001	031	060	090	120	150	180	210	240	270	300	330	42	107	307	337	367	397	427	457	487	517	547	577	607	
42	355	385	414	444	473	503	533	563	593	623	653	683	43	052	082	112	142	172	202	232	262	292	322	352	382	
43	710	740	769	799	828	858	887	917	947	977	1007	1037	44	385	415	445	475	505	535	565	595	625	655	685	715	
44	10944	124	153	183	212	242	271	301	330	360	390	420	45	300	330	419	449	479	509	539	569	599	629	659	689	
45	448	478	507	537	566	596	625	655	684	714	744	773	46	111	774	803	833	863	893	923	953	983	1013	1043	1073	
46	802	832	861	891	920	950	980	1010	1040	1070	1100	1130	47	309	339	428	458	488	518	548	578	608	638	668	698	
47	17180	210	245	275	304	334	363	393	422	452	481	511	48	452	482	511	541	571	601	631	661	691	721	751	781	
48	541	571	600	630	659	689	718	748	777	807	837	867	49	830	860	895	925	955	985	1015	1045	1075	1105	1135	1165	
49	111	955	984	1014	1044	1074	1104	1134	1164	1194	1224	1254	50	101	401	431	461	491	521	551	581	611	641	671	701	
50	18799	309	338	368	397	427	456	486	515	545	574	604	51	545	575	604	634	664	694	724	754	784	814	844	874	
51	633	663	692	722	751	781	811	841	871	901	931	961	52	020	950	980	1010	1040	1070	1100	1130	1160	1190	1220	1250	
52	19017	047	076	106	135	165	194	224	254	284	314	344	53	111	881	911	941	971	1001	1031	1061	1091	1121	1151	1181	
53	372	402	431	461	490	520	550	580	610	640	670	700	54	028	058	088	118	148	178	208	238	268	298	328	358	
54	720	750	779	809	838	868	898	928	958	988	1018	1048	55	632	662	692	722	752	782	812	842	872				

Hindu-Feiertage, die vom lunisolaren Jahre abhängen.

1. Sudī Chaitra: Śaivatsarāmbha, Anfang des Jahres der Śaka Aera.
9. " " Rāmanavami, Fest zu Ehren der Verkörperung Viṣṇu's als Rāma, Sohn des Daśaratha von Ayodhyā (sehr hohes Fest).
13. " " Madana-trayodasī, Fest des Liebesgottes (besonders in den Nordwestprovinzen Indiens).
13. " " Jyāishtha: Vatasāvitṛi, Verehrung des Indischen Feigenbaumes durch die Frauen.
3. " " Vaiśākha: Paraśarāma-jyanti oder Akṣaya'y tritīyā, Jahrestag der Verkörperung Viṣṇu's als Paraśarāma.
14. " " Kṛtiṣāhaturdasi, Jahrestag der Verkörperung Viṣṇu's als Mannlöwe.
15. " " Āshāḍha: Āshāḍha-kādasī, Sommersolstitium, Viṣṇu legt sich zum viermonatlichen Schläfe nieder.
5. " " Śrāvana: Nāga-panchami, Verehrung der Nāga genannten Schlangengötter.
- Śrāvana: Am Śrāvana, vor dem Vollmondstage findet Varada-Lakṣmī-vrata, die Verehrung der Glücksgöttin statt.
- Śrāvana: Am Tage, wo der Mond in die Mondstation Śrāvana tritt, endet das Rīgupāka-manu stadt, d. h. die Rīgvedin Brahmanen beginnen das Studium der heiligen Texte und wechseln die heilige Scheur.
15. Sudī Śrāvana: Yajurvedopākarma, d. h. dieselben Observanzen für Brahmanen, welche den Yajurveda studieren. Im westlichen Indien hört der Monsun auf und Kokonüsse werden dem Meere geopfert (cocoanut day).
8. Badi " " Krishnajanmashtami, Geburtstag des Krishna, eines der höchsten Feste.
3. Sudī Bhādrapada: Śāmapākarna, d. h. die Brahmanen, welche die Śāmapada studieren, vollziehen dieselben Ceremonien, wie oben.
4. " " Gaṇeśachaturthī, Fest des Gaṇeś oder Gaṇapati, von dem Statuen aus Lehm gemacht werden (sehr hohes Fest).
5. " " Rishipanchami, Gedenktag der 7 Hauptseher und Stammväter der Brahmanen.
7. " " Gauri-āvāhana, Verehrung der Pārvatī als gauri, d. h. einer zarten Jungfrau, durch die Frauen.
12. " " Vāmana-dvādasi, Jahrestag der Verkörperung des Viṣṇu als Zwerg (vāmana).
14. " " Anantachaturdasi, Verehrung Viṣṇu's als Ananta, der Unendliche.
- 1-15 Badi: Pūrṇimā, die Monatshälfte der Māna, während welcher Toilettenopfer zu bringen sind, besonders am 7. und 8. und 15.
15. Badi Bhādrapada: Kalyāṇasūti, Jahrestag des Beginnes des eisernen Zeitalters.
- 1.-9 Sudī Āśvina: Navarātra, das 9tägige Fest des Gemahls Siva's Durgā.
10. " " Vijayā-daśami, das Daśara-(Dāśhara-) Fest. Verehrung der Waffen, Pferde u. a. w., kriegerischer Auzug der Könige, das Champas de Mars der Indier (eines der höchsten Feste).
- 13-15 Badi Āśvina: Mit dem 13. B. A. beginnt die fünfjährige Divālī (Dipāvālī), das Lampenfest, welches auch von Parsen und Mohamedanern vielfach beobachtet wird. Die Tage heißen: 13. Dhanatrayodasī (Verehrung der Habe); 14. Naraka-chaturdasi (Bhūta-haturdasi (Feier von Viṣṇu's Siege über den Dämona Naraka); 15. Gaṇahehāyāparva (Schluss der Rechnungsbücher der Kaufleute).
1. Sudī Kārtika: Bālīpratiṇḍa, Verehrung des Herrs der Unterwelt Bālīrāja, Reinigung der Häuser. Das Jahr der Vikrama Aera beginnt im westlichen Indien.
2. " " Yamadvitīyā, Besuche bei Verwandten.
9. " " Durgānavami (mahānav.), Verehrung der Durgā, Jahrestag des Beginnes des Kṛtiyauga.
11. " " Uthanaikādasī, Viṣṇu erwacht aus dem Schläfe.
15. " " Fest zu Ehren von Siva's Siege über den Dämon Tripura. An diesem Tage sowie am Vollmonde des Māgha, Āshāḍha und Vaiśākha müssen Brahmanen beschenkt werden.
11. Sudī Mārgaśīrṣa: Mukutī-kādasī, Fest zu Ehren Viṣṇu's.
15. " " Dattajayanti (Battisi pūrnimā), Geburtstag des Datta.
13. Badi Pausa: Makarasaukrānti, Fest der Wintersonnenwende, wenn die Sonne in das Zeichen des Steinbockes tritt.
7. Sudī Māgha: Rathasaptami (Bhādrasapt.), Fest des Sonnengottes, Anfang des Manvantara.
14. Badi " " Mahāśivarātri, grosses Fest und Fasten zu Ehren Siva's, Bestreuen des Luga mit Bel oder Bilva-Blättern.
15. Sudī Phalguṇa: Holikā (Hūli), Fest zu Ehren Krishna's, die indischen Saturnalien.

Zusammensetzung grösserer Zeiteabschnitte:

	Morgendämmerung	Zeitalter	Abenddämmerung	Zusammen
Goldenes Zeitalter oder Kṛtiyauga:	144 000 Jahre,	1440 000 Jahre,	144 000 Jahre,	1728 000 Jahre.
Silbernes " " Tretāyuga:	108 000 "	1080 000 "	108 000 "	1296 000 "
Ehernes " " Dvāparayuga:	72 000 "	720 000 "	72 000 "	864 000 "
Eisernes " " Kaliyuga:	36 000 "	360 000 "	36 000 "	432 000 "

Grosses Zeitalter oder Mahāyuga . . . 4 320 000 Jahre.

71 Grosse Zeitalter oder Mahāyugas	306 720 000 Jahre.
Abenddämmerung	1 728 000 "

Patriarchat oder Manvantara 308 448 000 Jahre

Morgendämmerung	1 728 000 Jahre.
14 Patriarchate (Manvantaras)	4 318 272 000 "

Aeon oder Kalpa 4 320 000 000 Jahre.

Ein Kalpa ist ein Tag Brahma's, seine Nacht hat dieselbe Länge und seine Lebensdauer ist hundert seiner Jahre, so dass sein Leben 311 040 000 000 Jahre dauert. Brahma's ganzes Leben ist nur ein Augenwinkern Siva's. Das halbe Leben Brahma's ist vorbei, man zählt gegenwärtig das Kaliyuga der 28. Mahāyuga der 7. Manvantara, der 1. Kalpa der 2. Hälfte seines Lebens. Also ist das Jahr N des jetzigen Kaliyuga = dem Jahre (15 521 972 841 000 + N) von Brahma's Leben.

In dem Surya Siddhanta werden die Jahre vom Beginne der Dinge gezählt. Da die Erschaffung der Welt mit dem Anfange des Kalpa beginnt und durch 17 064 000 Jahre dauert, worauf erst der Anfang der Dinge eintritt, so ist also das Jahr N des Kaliyuga = dem Jahre 1 955 860 000 + N) seit dem Beginne aller Dinge.

Es kommen auch Jahre der Götter vor, welche = 360 Sonnenjahren aus d.

Lunisolarjahr der Juden.

Weltära der neueren Juden.

Die Epoche dieser Zeitrechnung oder der erste Thischri des Jahres 1 der jüdischen Weltära entspricht dem Tage 347 998 der julianischen Periode.

Die Jahre dieser Zeitrechnung sind Lunisolarjahre von 353, 354, 355 oder 383, 384, 385 Tagen. Schaltjahre sind im 19jährigen Cyclus die Jahre 3, 6, 8, 11, 14, 17 und 19. Sowohl die gemeinen als die Schaltjahre können mangelhaft, regelmäßig oder überzählig sein. Das Jahr wird in 12 im Schaltjahre 13 Monate geteilt, deren Namen und Dauer ist:

Im gemeinen Jahre:								
	ungedraft				ungedraft			
	regelmäßig	übermäßig		regelmäßig	übermäßig			
Thischri . . .	30	30	30	Nisan	30	30	30	
Marcheschwan	29	29	29	Ijar	29	29	29	
Kislev	29	30	30	Sivan	30	30	30	
Tebeth	29	29	29	Thomas . . .	30	29	29	
Schebat . . .	30	30	30	Ab	30	30	30	
Adar	29	29	29	Elul	29	29	29	

Im Schaltjahre:									
	ungeschnitten			regelmäßig überzählig			ungeschnitten		
	regelmäßig	überzählig	überzählig	regelmäßig	überzählig	überzählig	regelmäßig	überzählig	überzählig
Thihschri . . .	30	30	30	Nisan	30	30	30	30	30
Marheshwan . .	29	29	29	Ujar	29	29	29	29	29
Kislev	29	29	30	Sivan	30	30	30	30	30
Tebeth	29	29	29	Thamus	29	29	29	29	29
Schebat	30	30	29	Ab	30	30	30	30	30
Adar	30	30	30	Elul	29	29	29	29	29
Veadar	29	29	29						

Ausserdem haben die Juden eine sieben tägige Woche, deren einzelne Tage mit dem Resto der Tageszahl der julianischen Periode durch 7 so zusammenhängen, dass der Rest: 0 Montag, 1 Dienstag, 2 Mittwoch, 3 Donnerstag, 4 Freitag, 5 Samstag oder Sabbath, 6 Sonntag bezeichnet.

Der Anfang des Jahres wird durch den Moled (Neumond) bestimmt. Um den Moled Thischri des Jahres 1 (Neumond der Schöpfung, Moled Tohu) trat ein am Tage der julanischen Periode 347 998 um 5:20⁴⁴. Um den Moled Thischri irgend eines Jahres zu erhalten, hat man zu dieser Zahl für jeden abgelaufenen Cyclus von 19 Jahren zu addiren 6839 Jahr 16:56⁵⁵, ferner für jedes abgelaufene Gemeinjahr des laufenden Cyclus 354 Tage 8:45⁵⁶ und für jedes abgelaufene Schaltjahr des laufenden Cyclus 353 Tage 21:58⁵⁷. (Die Moleds der anderen Monate findet man durch successive Addition von je 29¹ 12 733⁵⁸). Der Tag, auf welchen der so gefundene Moled Thischri trifft, soll der erste Thischri sein. Es bestehen aber folgende fünf Ausnahmen:

1. Jah. Wenn der Moled Thischri nach 18^o eintritt, so wird das neue Jahr mit dem nächsten Tage begonnen.
2. Adu. Wenn der Moled Thischri auf Sonntag, Mittwoch oder Freitag fällt, so wird das neue Jahr den nächstfolgenden Tag begonnen.
3. Jach Adu. Wenn der Moled Thischri an einem Samstag, Dienstag oder Donnerstag nach 18^o eintritt, so wird der Jahresanfang um zwei Tage verschoben.
4. Gatrad. Fällt der Moled Thischri in einem gemeinen Jahr auf Dienstag zwischen 9^h 204^m und 18^o, so wird der Jahresanfang auf den nächstfolgenden Dienstag verlegt.
5. Betnachthal. Fällt der Moled Thischri in einem gemeinen Jahre, welches auf ein Schaltjahr folgt, auf den Montag zwischen 15^h 583^m und 18^o, so wird der Jahresanfang auf den nächstfolgenden Dienstag verlegt.

Diese Ausnahmen sind sämtlich schon in der Tafel berücksichtigt, und man hat lediglich darauf zu achten, dass man, da jedes Jahr der Tafel II mehrere Zeilen hat, die richtige Zeile wählt. Dieselbe ist immer so zu wählen, dass in der Columne „Kalenderzahl“ und Cyclicus des zugehörigen Wertes aus Tafel I die Kalenderzahl mit der des zugehörigen Wertes übereinstimmt und der Index des betreffenden Wertes entweder mit einem der angehängten Grenzindizes zusammenfällt, oder aber der alphabetischen Ordnung nach zwischen denselben enthalten sei. Hat man z. B. das Jahr 4837 gegeben, so wird man, da die nächst kleinere Zahl 4826 Kalenderzahl und Index 3s hat, bei dem Jahre 11 die erste Zeile zu wählen haben, da 3s in 3a — z enthalten ist.

In den jüdischen Kalendern wird die Gattung des Jahres durch 3 Buchstaben angegeben, von denen der rechts den Wochentag des 1. Tischi, der mittlere die Länge des Jahres und der links den Wochentag des 15. Nisan gibt. Diese Buchstaben finden sich am Fusse der Kalender pag. 58.

Endlich werden in den jüdischen Kalendern die Thekupen oder Jahrpunkte angegeben, und zwar:

Herbstanfang: Thekuphah Thischri, Winteranfang: Thekuphah Tebeth, Frühlingsanfang: Thekuphah Nisan und Sommeranfang: Thekuphah Thamus, wobei die Thekuphen den Monaten, deren Namen sie tragen, zuweilen auch vorangehen.

Man findet den Tag der julianischen Periode und die Tageszeit der Samuel'schen Thekuphen für Jahre von der Form:

Jahrzahl:	Thukupah Thierich:	Thukupah Telch:	Thukupah Nison:	Thukupah Thame:
4 n	347 629 + 1361 n Tage um 2^{10} (a)	347 711 + 1461 n Tage um 10^{10} (b)	347 892 + 1461 n Tage um 1^{10} (c)	347 894 + 1461 n Tage um 1^{10} (d)
4 + 1	347 995 + 1461 n = 9 0	348 076 + 1461 n = 6 540	348 168 + 1461 n = 0 0	348 250 + 1461 n = 7 540
4 + 2	348 350 + 1461 n = 15 0	348 431 + 1461 n = 22 540	348 523 + 1461 n = 6 0	348 604 + 1461 n = 10 540
4 + 3	348 715 + 1461 n = 21 0	348 806 + 1461 n = 4 510	348 898 + 1461 n = 12 0	348 979 + 1461 n = 19 540

Man findet öfters auch eine andere, die Adda'sche Thekuphah angeben. Diese findet sich für das Jahr m: Thekuphah Thischil = 347 627³ 123³ 42³ + (365⁵ 997³ 48³ 18³); Thekuphah Tetheth = 347 718¹ 016² 731³ + (365⁵ 997³ 48³ 18³); Thekuphah Nisau: 347 809¹ 88² 28³ + (365⁵ 997³ 48³ 18³); Thekuphah Thamus: 347 901¹ 60² 59³ + (365⁵ 997³ 48³ 18³).

Der Tag wird mit Sonnenanfgang begonnen und in 24 Stunden zu 1080 Chelakim zu 76 Regaim getheilt.

Lunisolarjahr der Juden

Tafel II.

[illegible]

Festkalender der Juden

[illegible]

Lunisolarjahr der Chinesen und Japanesen.

Die Epoche der Zeitrechnung der Chinesen, oder der erste Tag des ersten Jahres des ersten Cyclus entspricht dem Tage 758 324 der Julianischen Periode. Doch ist hierbei zu bemerken, dass sehr häufig um einen Cyclus mehr gezählt wird, als wie hier angenommen ist, dagegen auch zuweilen, jedoch selten, um vier Cyklen weniger.

Die Epoche der Zeitrechnung der Japanesen, oder der erste Tag des ersten Jahres der Aera Nino entspricht dem Tage 1480 407 der Julianischen Periode.

Die Jahre dieser Zeitrechnung sind Lunisolarjahre, welche aber nicht cyclical, sondern nach astronomischer Rechnung durch Schaltmonate ausgeglichen werden. Der erste Tag eines jeden Monats ist der Tag, an welchem der Neumond eintritt, und der erste Monat des Jahres ist derjenige Mondmonat, in dessen Verlaufe die Sonne in das Zeichen der Fische tritt, der Zweite derjenige, in dessen Verlaufe die Sonne in das Zeichen der Widder tritt und so fort. Trifft die Sonne in Verlaufe eines ganzen Mondmonats in kein neues Zeichen, so wird ein solcher Monat als Schaltmonat betrachtet, erhält dieselbe Zahl wie der ihm vorangehende und wird von ihm nur durch das Zeichen shun unterschieden. Die Monate haben selten ihren poetischen oder allegorischen Namen, sondern werden gewöhnlich als erster, zweiter, dritter Mond u. s. f. gezählt.

Es tritt also die Sonne im:

1. Monat in das Zeichen der X	5. Monat in das Zeichen des ☉	9. Monat in das Zeichen der ♍
2. " " " " des " " " " " Y	6. " " " " " " " " " ☊	10. " " " " " des " " " " " ♎
3. " " " " " " " " " Z	6. " " " " " der " " " " " ♏	11. " " " " " " " " " ♐
4. " " " " " der " " " " " II	8. " " " " " " " " " ☋	12. " " " " " " " " " ♑

Doch ist zu beachten, dass diese Ordnung der Monate nicht immer galt; es fand unter der zweiten Dynastie eine Verschiebung des Jahresanfanges auf den jetzigen 12. Monat, unter der Dritten auf den jetzigen 11. Monat und unter der kurz dauernden Dynastie Ts'in auf Befehl des Ts'in-schi-huang sogar bis auf den jetzigen 10. Monat statt. Diese Verschiebung findet sich theilweise noch während der ganzen Han-Dynastie. Es findet sich pag. 61 eine kleine Uebersichtstafel für die so verschiebenden Monate. Die Monate sind theils 29, theils 30tägig, die 29tägigen werden mit kiao (klein), die 30tägigen mit ta (gross) bezeichnet. Die Tage werden fortlaufend von 1 bis 29 oder 30 gezählt, doch werden die ersten zehn gewöhnlich mit dem Charakter tschu (das angehende) bezeichnet und auch in den Kalendern der 1., 11. und 21. besonders hervorgehoben, so dass sich eine Art Decadetheilung zeigt.

Die Chinesen zählen die Jahre nicht fortlaufend seit ihrer Epoche, sondern in Cyklen zu 60 Jahren, in denen jedes Jahr einen eigenen Namen hat, welcher sowohl bei den Chinesen als bei den Japanesen durch Combination eines 12theiligen mit einem zehnteiligen Cyclus gebildet wird. Diese Namen finden sich auf pag. 62. Gewöhnlich wird bei chinesischen Zeitangaben nur das laufende Jahr des Cyclus angegeben, ohne die Zahl der abgelaufenen Cyklen zu nennen, doch wird fast immer angeführt, das wievielte Jahr seit dem Regierungsantritte eines Kaisers oder seit dem Insultreten eines Regierungsprälaten das betreffende Jahr ist. Zur Reduction solcher Angaben dient die auf pag. 61 und 62 folgende Tafel der Kaiser und der Regierungskräfte.

Die Japanesen zählen auch nach 60jährigen Cyklen, welche denen der Chinesen vollkommen parallel laufen, ausserdem aber auch nach Jahren der Aera Nino seit der Thronbesteigung des Sin-mu-ten-ge. Sieht man also ein Jahr der Aera Nino so muss man in Tafel II die in Cyklen und Jahren gegebene Zeit in Jahre verwandeln indem man zu der Zahl der Jahre das 60fache der Zahl der Cyklen addirt. Cyclus II, Jahr 48 ist also Jahr 168.

Der 60theilige Cyclus wird von den Chinesen nicht nur zur Zählung der Jahre, sondern auch der Tage und der Monate gebraucht. Sie haben daher eine 60tägige Woche, welche niemals in Ueordnung kam und welche einfach mit dem Tage der Julianischen Periode zusammenhängt. Es folgt dafür später eine Tafel. Der Name des Tages in der Sexagesimalwoche wird gewöhnlich angegeben und ist von grosser Wichtigkeit, da er allein dazu dient, die der Reduction sonst anlaufende unermessliche Unsicherheit von einem bis zwei Tagen zu beheben. Die Monate werden auch mit den Zeichen des 60theiligen Cyclus bezeichnet und zwar beginnen die Jahre des 60jährigen Cyclus: 1, 6, 11, 16, 21, 26, 31, 36, 41, 46, 51, 56 mit dem Monate 3, die Jahre 2, 7, 12, 17, 22, 27, 32, 37, 42, 47, 52, 57 mit dem Monate 15, die Jahre 3, 8, 13, 18, 23, 28, 33, 38, 43, 48, 53, 58 mit dem Monate 27, die Jahre 4, 9, 11, 19, 21, 29, 31, 39, 41, 49, 54, 59 mit dem Monate 39 und die Jahre 5, 10, 15, 20, 25, 30, 35, 40, 45, 50, 55, 60 mit dem Monate 51 des 60theiligen Cyclus.

Ausserdem haben die Chinesen auch eine 28tägige Woche, deren Tage sie mit den Namen ihrer 28 Mondstationen: kjo, kang, ti, faug, sui, wei, ki, teu, nu, nju, hja, wei, schi, pi, kuai, leu, wei, mau, pi, teu, tsan, tsing, kuai, lin, sing, tschang, ji, tschen bezeichnen. Mit den Reuten der Julianischen Tageszahl durch 28 hängen sie folgendermassen zusammen. Es gehört zum Febr. 0 wei C, 1 schi C, 2 pi C, 3 kuai C, 4 leu C, 5 wei C, 6 mau C, 7 pi C, 8 tsai C, 9 tsan C, 10 tsing C, 11 kuai C, 12 lin C, 13 sing C, 14 tschang C, 15 ji C, 16 tschen C, 17 kjo C, 18 leu C, 19 ti C, 20 faug C, 21 sui C, 22 wei C, 23 ki C, 24 teu C, 25 nu C, 26 nju C, 27 hja C, 28 kjo C.

Festtage sind bei den Chinesen:

1. Monat 1. Tag jüen shi (ein jin) Neujahrsfest.	5. Monat, 5. Tag tsen hao tjen tschung. Fest des Drachenbojes ☉ = 15° = 14 tschen, Fest des Frühlinganlaufes umfasst
Wenn ☉ = 15° = 14 tschen, Fest des Frühlinganlaufes umfasst	6. " 6. " tjen kuaug, Fest des Kleiderfärbens.
10 Tage und zwar:	7. " 1-15. " jen lan sching hui, Gedächtniss der verlassenen Mamen.
1. ki shi (Hanstag).	8. " 15. " tschung tsu tsje, Herbstmittelfest.
2. kjen shi (Hundstag).	9. " 9. " tschung kang tsje (teng kao), Fest des Hugelbrennens.
3. tschu shi (Schweinestag).	11. " — " tschung tschi tschung tshi tsje, Fest des Winterstillstehens.
4. jong shi (Schafstag).	12. " — " nien tsu tiao, Jahreschneide.
5. nin shi (Hornviehtag).	12. " 24. " sje tsao, Anbetung des tsao schen in der Familie.
1. Monat, 15. Tag sui t'ing (hua t'ing, Laternenfest, Fest der Laternen).	12. " letzter " sehen sui, Neujahrserwartung.
2. " 2. Tag fu schen tan (tu tsu), Geburtsfest der Laren.	
3. " — " tsing ming tsje, Gedächtniss der Mamen der Angehörigen.	
4. " 8. " schi kja fu tan tschen, Geburtsfest des Buddha.	

Der Tag beginnt um Mitternacht und wird in 12 Schl, zu 8 ko, zu 15 fen getheilt.

Früher wurde der Tag in 1000 fen getheilt, wo für fen dasselbe Zeichen angewandt wird wie für die Unterabtheilung des ko.

In den chinesischen Kalendern finden sich noch die Zeiten des Beginnes der 24 taje-ki oder Halbmonate des Sonnenjahres angegeben; diese sind:

Frühling	Sonne	Sommer	Sonne	Herbst	Sonne	Winter	Sonne
1. li-tschun, Frühlings- Anfang 15°	☾	7. li-hja, Sommer-An- fang 15°	☾	13. li-tsin, Herbst-An- fang 15°	☾	19. li-tung, Winters-An- fang 15°	☾
2. ja-schui, Gewässer des Regens 0°	☾	8. sjao-mun, Kleiner Überfluss 0°	☾	11. tschu-schu, Gemä- sigte Hitze 0°	☾	21. sjao-sje, Kleiner Schnee 0°	☾
3. king-tschj, Bewegung der Würmer 15°	☾	9. mang-tschung, Saat des tieferen 15°	☾	15. pe-la, Weisser Thau 15°	☾	21. ta-sje, Größer Schnee 15°	☾
4. tschu-fen, Einschicht des Frühlings 0°	☾	10. hja-tschj, Sommer- wende 0°	☾	16. tsai-fen, Einschicht des Herbstes 0°	☾	22. tsung-tschj, Winter- wende 0°	☾
5. tang-ming, Reine Klarheit 15°	☾	11. sjao-schu, Kleine Hitze 15°	☾	17. han-lu, Kalter Thau 15°	☾	23. sjao-han, Kleiner Frost 15°	☾
6. ku-lu, Regen der Saaten 0°	☾	12. ta-schu, Größer Hitze 0°	☾	18. schuang-kjau, Fall des Reifens 0°	☾	24. ta-han, Größer Frost 0°	☾

Die Zeiten des Eintrittes der geraden taje-ki können mittelst der Zodiakaltafel berechnet werden, wenn man ihrer bedarf: Die Monate werden zuweilen auch durch die Namen erster, mittlerer und letzter des Frühlings, Sommers, Herbstes und Winters bezeichnet und zwar: 1. meng-tschun, 2. tschung-tschun, 3. ki-tschun, 4. meng-hja, 5. tschung-hja, 6. ki-hja, 7. meng-tschj, 8. tschung-tschj, 9. ki-tschj, 10. meng-tung, 11. tschung-tung, 12. ki-tung.

Die Jahre werden auch in einem 12theiligen Thiercyclus, welcher sich überhaupt bei fast allen Völkern Ostasiens findet, gezählt, und es wird in den chinesischen Kalendern die Stelle des Jahres im Thiercyclus stets angegeben, obwohl diese Art der Rechnung nur zu astrologischen Zwecken diente. Die zwölf Namen des Thiercyclus sind: 1. schu Maus, 2. niu Ochs, 3. hu Tiger, 4. lu Hase, 5. lung Drache, 6. sche Schlange, 7. ma Pferd, 8. kang Schaf, 9. hau Affe, 10. ki Hühner, 11. kijuen Hund, 12. schwan Storch.

Mit den Jahren des 60theiligen Cyclus hängen diese Namen so zusammen, dass der Rest durch 12, so oft die Stelle im Thiercyclus angibt. Es ist also z. B. das 42. Jahr des Sexagesimalcyclus, weil 32 durch 12 den Rest 8 gibt, das Jahr schu.

Jedes sich wird in zwei Theile unterschieden durch Anfügen von kjaou und tschung (statt kjaou auch tschu). Es ist also: tazy-tschung Mitternacht, tschu-tschung Vormittag, tschu-kjaou 1. Vormittag, tschu-kjaou 2. Vormittag, tschu-tschung 3. Vormittag, tschu-kjaou 4. Vormittag, tschu-tschung 5. Vormittag, tschu-kjaou 6. Vormittag, tschu-tschung 7. Vormittag, tschu-kjaou 8. Vormittag, tschu-tschung 9. Vormittag, tschu-kjaou 10. Vormittag, tschu-tschung 11. Vormittag, tschu-kjaou 12. Vormittag, tschu-tschung 1. Nachmittag, tschu-kjaou 2. Nachmittag, tschu-tschung 3. Nachmittag, tschu-kjaou 4. Nachmittag, tschu-tschung 5. Nachmittag, tschu-kjaou 6. Nachmittag, tschu-tschung 7. Nachmittag, tschu-kjaou 8. Nachmittag, tschu-tschung 9. Nachmittag, tschu-kjaou 10. Nachmittag, tschu-tschung 11. Nachmittag, tschu-kjaou 12. Nachmittag, tschu-tschung 1. Nacht, tschu-kjaou 2. Nacht, tschu-tschung 3. Nacht, tschu-kjaou 4. Nacht, tschu-tschung 5. Nacht, tschu-kjaou 6. Nacht, tschu-tschung 7. Nacht, tschu-kjaou 8. Nacht, tschu-tschung 9. Nacht, tschu-kjaou 10. Nacht, tschu-tschung 11. Nacht, tschu-kjaou 12. Nacht, tschu-tschung

Ein ko entspricht einer europäischen Viertelstunde, und wird abhängt; tschung = 0 Viertel, kjaou = 1 Viertel, eriko = 2 Viertel, sanko = 3 Viertel. Es heisst also z. B. wu-kjaou an ko 11° 45' Vormittag. Ein fen entspricht der europäischen Minute. Für die schis: aja, hal, tszy, tschu, jin finden sich auch die Bezeichnungen: tschu keng, erh keng, san keng, sy keng, wu keng. (Keng = Nachtstunde zu tschung.)

Da die später folgende Tafel infolge der chinesischen Rechnungsweise nur innerhalb des Zeitraumes von LXXIII b la LXXVII 34 absolut richtige Werthe geben kann, so folgt hier für diejenige Zeit, für welche das Wan njon schu noch direct die Daten enthält, eine spezielle Tafel, welche, ebenso wie die folgende Tafel II nach einer von Herrn Franz Kühnert zu diesem Zwecke gemachten Uebersetzung des chinesischen Wan njon schu, oder Buches der zehntausend Jahre zusammengestellt ist.

Grunde- jahr	1	2	3	4	5	6	7	8	9	10	11	12	13	14	15	16	17	18	19	20	21	22	23	24	25	26	27	28	29	30	31	32	33	34	35	36	37	38	39	40	41	42	43	44	45	46	47	48	49	50	51	52	53	54	55	56	57	58	59	60	61	62	63	64	65	66	67	68	69	70	71	72	73	74	75	76	77	78	79	80	81	82	83	84	85	86	87	88	89	90	91	92	93	94	95	96	97	98	99	100
LXXVII	2436	2437	2438	2439	2440	2441	2442	2443	2444	2445	2446	2447	2448	2449	2450	2451	2452	2453	2454	2455	2456	2457	2458	2459	2460	2461	2462	2463	2464	2465	2466	2467	2468	2469	2470	2471	2472	2473	2474	2475	2476	2477	2478	2479	2480	2481	2482	2483	2484	2485	2486	2487	2488	2489	2490	2491	2492	2493	2494	2495	2496	2497	2498	2499	2500																																			
LXXVIII	2501	2502	2503	2504	2505	2506	2507	2508	2509	2510	2511	2512	2513	2514	2515	2516	2517	2518	2519	2520	2521	2522	2523	2524	2525	2526	2527	2528	2529	2530	2531	2532	2533	2534	2535	2536	2537	2538	2539	2540	2541	2542	2543	2544	2545	2546	2547	2548	2549	2550	2551	2552	2553	2554	2555	2556	2557	2558	2559	2560	2561	2562	2563	2564	2565	2566	2567	2568	2569	2570	2571	2572	2573	2574	2575	2576	2577	2578	2579	2580	2581	2582	2583	2584	2585	2586	2587	2588	2589	2590	2591	2592	2593	2594	2595	2596	2597	2598	2599	2600

Tafel der chinesischen Dynastien, Kaiser und Regierungsprädicate

Kaiser	10er Jahr	Kaiser	Regierungsperioden	10er Jahr	Kaiser	Regierungsperioden	10er Jahr
Aoliste Periode.							
Huang-Ti	0						
Sehau-Han	1						
Tschau-Han	11						
Ti-Kin	2						
Ti-Tschü	3						
Jao	4						
Schau	5						
IV. Dynastie T'ain.							
Tschou-kiang-wang			XL 47		Tschou-ku		XLVIII 37
Hou-wang			XL 48		Hou-tschü		XLVIII 38
Tschou-kiang-wang			XL 49		Kien-ku		XLVIII 39
Wang-tschou			XL 50		Jung-king		XLIX 1
Schü-huang-ti			XL 51		Hou-ti		XLIX 2
Erh-erh			XL 52				
V. Dynastie Han.							
Tai-tschou			LI 31				
Hou-hou-ti			LI 32				
Kou-kien-g'hen			LI 33				
Hou-neu-ti			LI 34				
Hou-jung			LI 35				
Hou-king-ti			LI 36				
Tschou-juen			LI 37				
Hou-jen			LI 38				
Kien-juen			LI 39				
Kien-kung			LI 40				
Jen-ou			LI 41				
Jou-erh			LI 42				
Jou-erh			LI 43				
Jou-erh			LI 44				
Jou-erh			LI 45				
Jou-erh			LI 46				
Jou-erh			LI 47				
Jou-erh			LI 48				
Jou-erh			LI 49				
Jou-erh			LI 50				
Jou-erh			LI 51				
Jou-erh			LI 52				
Jou-erh			LI 53				
Jou-erh			LI 54				
Jou-erh			LI 55				
Jou-erh			LI 56				
Jou-erh			LI 57				
Jou-erh			LI 58				
Jou-erh			LI 59				
Jou-erh			LI 60				
Jou-erh			LI 61				
Jou-erh			LI 62				
Jou-erh			LI 63				
Jou-erh			LI 64				
Jou-erh			LI 65				
Jou-erh			LI 66				
Jou-erh			LI 67				
Jou-erh			LI 68				
Jou-erh			LI 69				
Jou-erh			LI 70				
Jou-erh			LI 71				
Jou-erh			LI 72				
Jou-erh			LI 73				
Jou-erh			LI 74				
Jou-erh			LI 75				
Jou-erh			LI 76				
Jou-erh			LI 77				
Jou-erh			LI 78				
Jou-erh			LI 79				
Jou-erh			LI 80				
Jou-erh			LI 81				
Jou-erh			LI 82				
Jou-erh			LI 83				
Jou-erh			LI 84				
Jou-erh			LI 85				
Jou-erh			LI 86				
Jou-erh			LI 87				
Jou-erh			LI 88				
Jou-erh			LI 89				
Jou-erh			LI 90				
Jou-erh			LI 91				
Jou-erh			LI 92				
Jou-erh			LI 93				
Jou-erh			LI 94				
Jou-erh			LI 95				
Jou-erh			LI 96				
Jou-erh			LI 97				
Jou-erh			LI 98				
Jou-erh			LI 99				
Jou-erh			LI 100				
VI. Dynastie Tsia.							
Wu-ti			LI 101				
Hou-tschou			LI 102				
Tschou-ku			LI 103				
Tschou-ku			LI 104				
Tschou-ku			LI 105				
Tschou-ku			LI 106				
Tschou-ku			LI 107				
Tschou-ku			LI 108				
Tschou-ku			LI 109				
Tschou-ku			LI 110				
Tschou-ku			LI 111				
Tschou-ku			LI 112				
Tschou-ku			LI 113				
Tschou-ku			LI 114				
Tschou-ku			LI 115				
Tschou-ku			LI 116				
Tschou-ku			LI 117				
Tschou-ku			LI 118				
Tschou-ku			LI 119				
Tschou-ku			LI 120				
Tschou-ku			LI 121				
Tschou-ku			LI 122				
Tschou-ku			LI 123				
Tschou-ku			LI 124				
Tschou-ku			LI 125				
Tschou-ku			LI 126				
Tschou-ku			LI 127				
Tschou-ku			LI 128				
Tschou-ku			LI 129				
Tschou-ku			LI 130				
Tschou-ku			LI 131				
Tschou-ku			LI 132				
Tschou-ku			LI 133				
Tschou-ku			LI 134				
Tschou-ku			LI 135				
Tschou-ku			LI 136				
Tschou-ku			LI 137				
Tschou-ku			LI 138				
Tschou-ku			LI 139				
Tschou-ku			LI 140				
Tschou-ku			LI 141				
Tschou-ku			LI 142				
Tschou-ku			LI 143				
Tschou-ku			LI 144				
Tschou-ku			LI 145				
Tschou-ku			LI 146				
Tschou-ku			LI 147				
Tschou-ku			LI 148				
Tschou-ku			LI 149				
Tschou-ku			LI 150				
Tschou-ku			LI 151				
Tschou-ku			LI 152				
Tschou-ku			LI 153				
Tschou-ku			LI 154				
Tschou-ku			LI 155				
Tschou-ku			LI 156				
Tschou-ku			LI 157				
Tschou-ku			LI 158				
Tschou-ku			LI 159				
Tschou-ku			LI 160				
Tschou-ku			LI 161				
Tschou-ku			LI 162				
Tschou-ku			LI 163				
Tschou-ku			LI 164				
Tschou-ku			LI 165				
Tschou-ku			LI 166				
Tschou-ku			LI 167				
Tschou-ku			LI 168				
Tschou-ku			LI 169				
Tschou-ku			LI 170				
Tschou-ku			LI 171				
Tschou-ku			LI 172				
Tschou-ku			LI 173				
Tschou-ku			LI 174				
Tschou-ku			LI 175				
Tschou-ku			LI 176				
Tschou-ku			LI 177				
Tschou-ku			LI 178				
Tschou-ku			LI 179				
Tschou-ku			LI 180				
Tschou-ku			LI 181				
Tschou-ku			LI 182				
Tschou-ku			LI 183				
Tschou-ku			LI 184				
Tschou-ku			LI 185				
Tschou-ku			LI 186				
Tschou-ku			LI 187				
Tschou-ku			LI 188				
Tschou-ku			LI 189				
Tschou-ku			LI 190				
Tschou-ku			LI 191				
Tschou-ku			LI 192				
Tschou-ku			LI 193				
Tschou-ku			LI 194				
Tschou-ku			LI 195				
Tschou-ku			LI 196				
Tschou-ku			LI 197				
Tschou-ku			LI 198				
Tschou-ku			LI 199				
Tschou-ku			LI 200				
VII. Dynastie Sung I.							
Wu-ti			LI 201				
Jung-king-wang			LI 202				
Wen-king			LI 203				
Hou-king			LI 204				
Tschou-king			LI 205				
Tschou-king			LI 206				
Tschou-king			LI 207				
Tschou-king			LI 208				
Tschou-king			LI 209				
Tschou-king			LI 210				
Tschou-king			LI 211				
Tschou-king			LI 212				
Tschou-king			LI 213				
Tschou-king			LI 214				
Tschou-king			LI 215				
Tschou-king			LI 216				
Tschou-king			LI 217				
Tschou-king			LI 218				
Tschou-king			LI 219				
Tschou-king			LI 220				
Tschou-king			LI 221				
Tschou-king			LI 222				
Tschou-king			LI 223				
Tschou-king			LI 224				
Tschou-king			LI 225				
Tschou-king			LI 226				
Tschou-king			LI 227				
Tschou-king			LI 228				
Tschou-king			LI 229				
Tschou-king			LI 230				
Tschou-king			LI 231				
Tschou-king			LI 232				
Tschou-king			LI 233				
Tschou-king			LI 234				
Tschou-king			LI 235				
Tschou-king			LI 236				
Tschou-king			LI 237				
Tschou-king			LI 238				
Tschou-king			LI 239				
Tschou-king			LI 240				
Tschou-king			LI 241				
Tschou-king			LI 242				
Tschou-king			LI 243				
Tschou-king			LI 244				
Tschou-king			LI 245				
Tschou-king			LI 246				
Tschou-king			LI 247				
Tschou-king			LI 248				
Tschou-king			LI 249				
Tschou-king			LI 250				
VIII. Dynastie Tai.							
Kien-king			LI 251				
Wu-ti			LI 252				
Kien-king . .							

Tafel der chinesischen Dynastien, Kaiser, und Regierungsprädicate.

Kalender	Regierungsjahres	des Jahr	Kalender	Regierungsjahres	des Jahr
	Schwan-juen . . .	LVI 39	Huang-jin . . .	LXXI 25	
	I-fong . . .	LVI 15	Tsai-hi . . .	LXXI 29	
	Tsai-jin . . .	LVI 12	Kien-fang . . .	LXXI 32	
	Jung-tung . . .	LVI 10	Tschai-ping . . .	LXXI 40	
	Kai-jao . . .	LVI 17	Hsiao-tung . . .	LXXI 44	
	Jung-schun . . .	LVI 18	Wang-fang . . .	LXXI 34	
	Hong-tai . . .	LVI 19	Tsching-tung . . .	LXXI 7	
Tsching-tung . . .	K'ing-schang . . .	LVI 20	Schun-sch'ing . . .	LXXII 10	
	Schun-tung . . .	LVI 41	Juen . . .	LXXII 14	
	K'ing-tung . . .	LVI 43	Hsuei-tschung . . .	LXXII 17	
	Kung-jen . . .	LVI 46	Tseng-tso . . .	LXXII 16	
	Kai-jien . . .	LVI 49	Tsü-kuan . . .	LXXII 27	
	Kien-tung . . .	LVI 19	Tsching-ho . . .	LXXII 27	
	Tschü . . .	LVI 32	Süen-ho . . .	LXXII 26	
	Kien-juen . . .	LVI 34	Schun-tung . . .	LXXII 42	
	Schun-jung . . .	LVI 36	Kien-tung . . .	LXXII 42	
	Pao-jung . . .	LVI 37	Kao-tung . . .	LXXII 42	
Tai-tung . . .	Kuang-tu . . .	LVI 39	Schun-hing . . .	LXXII 47	
	Hsuei-tai . . .	LVI 41	Lo-hung . . .	LXXII 46	
	Tsü . . .	LVI 42	Kien-tso . . .	LXXII 47	
	Kung-tschung . . .	LVI 50	Schun-hai . . .	LXXII 49	
	Hung-jien . . .	LVI 51	Lo-hung . . .	LXXII 49	
	Tschung-jung . . .	LVI 11	Ning-tung . . .	LXXII 51	
	Jung-tschung . . .	LVI 11	Kien-tai . . .	LXXII 51	
	Juen-ho . . .	LVI 22	Kachü . . .	LXXII 51	
	Tsching-khang . . .	LVI 33	Kung-tung . . .	LXXII 4	
	Kung-tung . . .	LVI 33	Tsching . . .	LXXII 21	
	Tschü . . .	LVI 43	Schun-tung . . .	LXXII 21	
	Hsi-tschung . . .	LVI 32	Tsun-ping . . .	LXXII 20	
	Tschü . . .	LVI 37	Kien-tung . . .	LXXII 27	
	Tai-tschung . . .	LVI 43	Schun-jin . . .	LXXII 27	
	Kai-tschung . . .	LVI 32	Kung-tung . . .	LXXII 27	
	Hsuei-tschung . . .	LVI 37	Schun-jin . . .	LXXII 27	
	Tai-tschung . . .	LVI 43	Kung-tung . . .	LXXII 27	
	Kai-tschung . . .	LVI 32	Schun-jin . . .	LXXII 27	
	Hsuei-tschung . . .	LVI 37	Schun-jin . . .	LXXII 27	
	Tai-tschung . . .	LVI 43	Kung-tung . . .	LXXII 27	
	Kai-tschung . . .	LVI 32	Schun-jin . . .	LXXII 27	
	Hsuei-tschung . . .	LVI 37	Schun-jin . . .	LXXII 27	
	Tai-tschung . . .	LVI 43	Kung-tung . . .	LXXII 27	
	Kai-tschung . . .	LVI 32	Schun-jin . . .	LXXII 27	
	Hsuei-tschung . . .	LVI 37	Schun-jin . . .	LXXII 27	
	Tai-tschung . . .	LVI 43	Kung-tung . . .	LXXII 27	
	Kai-tschung . . .	LVI 32	Schun-jin . . .	LXXII 27	
	Hsuei-tschung . . .	LVI 37	Schun-jin . . .	LXXII 27	
	Tai-tschung . . .	LVI 43	Kung-tung . . .	LXXII 27	
	Kai-tschung . . .	LVI 32	Schun-jin . . .	LXXII 27	
	Hsuei-tschung . . .	LVI 37	Schun-jin . . .	LXXII 27	
	Tai-tschung . . .	LVI 43	Kung-tung . . .	LXXII 27	
	Kai-tschung . . .	LVI 32	Schun-jin . . .	LXXII 27	
	Hsuei-tschung . . .	LVI 37	Schun-jin . . .	LXXII 27	
	Tai-tschung . . .	LVI 43	Kung-tung . . .	LXXII 27	
	Kai-tschung . . .	LVI 32	Schun-jin . . .	LXXII 27	
	Hsuei-tschung . . .	LVI 37	Schun-jin . . .	LXXII 27	
	Tai-tschung . . .	LVI 43	Kung-tung . . .	LXXII 27	
	Kai-tschung . . .	LVI 32	Schun-jin . . .	LXXII 27	
	Hsuei-tschung . . .	LVI 37	Schun-jin . . .	LXXII 27	
	Tai-tschung . . .	LVI 43	Kung-tung . . .	LXXII 27	
	Kai-tschung . . .	LVI 32	Schun-jin . . .	LXXII 27	
	Hsuei-tschung . . .	LVI 37	Schun-jin . . .	LXXII 27	
	Tai-tschung . . .	LVI 43	Kung-tung . . .	LXXII 27	
	Kai-tschung . . .	LVI 32	Schun-jin . . .	LXXII 27	
	Hsuei-tschung . . .	LVI 37	Schun-jin . . .	LXXII 27	
	Tai-tschung . . .	LVI 43	Kung-tung . . .	LXXII 27	
	Kai-tschung . . .	LVI 32	Schun-jin . . .	LXXII 27	
	Hsuei-tschung . . .	LVI 37	Schun-jin . . .	LXXII 27	
	Tai-tschung . . .	LVI 43	Kung-tung . . .	LXXII 27	
	Kai-tschung . . .	LVI 32	Schun-jin . . .	LXXII 27	
	Hsuei-tschung . . .	LVI 37	Schun-jin . . .	LXXII 27	
	Tai-tschung . . .	LVI 43	Kung-tung . . .	LXXII 27	
	Kai-tschung . . .	LVI 32	Schun-jin . . .	LXXII 27	
	Hsuei-tschung . . .	LVI 37	Schun-jin . . .	LXXII 27	
	Tai-tschung . . .	LVI 43	Kung-tung . . .	LXXII 27	
	Kai-tschung . . .	LVI 32	Schun-jin . . .	LXXII 27	
	Hsuei-tschung . . .	LVI 37	Schun-jin . . .	LXXII 27	
	Tai-tschung . . .	LVI 43	Kung-tung . . .	LXXII 27	
	Kai-tschung . . .	LVI 32	Schun-jin . . .	LXXII 27	
	Hsuei-tschung . . .	LVI 37	Schun-jin . . .	LXXII 27	
	Tai-tschung . . .	LVI 43	Kung-tung . . .	LXXII 27	
	Kai-tschung . . .	LVI 32	Schun-jin . . .	LXXII 27	
	Hsuei-tschung . . .	LVI 37	Schun-jin . . .	LXXII 27	
	Tai-tschung . . .	LVI 43	Kung-tung . . .	LXXII 27	
	Kai-tschung . . .	LVI 32	Schun-jin . . .	LXXII 27	
	Hsuei-tschung . . .	LVI 37	Schun-jin . . .	LXXII 27	
	Tai-tschung . . .	LVI 43	Kung-tung . . .	LXXII 27	
	Kai-tschung . . .	LVI 32	Schun-jin . . .	LXXII 27	
	Hsuei-tschung . . .	LVI 37	Schun-jin . . .	LXXII 27	
	Tai-tschung . . .	LVI 43	Kung-tung . . .	LXXII 27	
	Kai-tschung . . .	LVI 32	Schun-jin . . .	LXXII 27	
	Hsuei-tschung . . .	LVI 37	Schun-jin . . .	LXXII 27	
	Tai-tschung . . .	LVI 43	Kung-tung . . .	LXXII 27	
	Kai-tschung . . .	LVI 32	Schun-jin . . .	LXXII 27	
	Hsuei-tschung . . .	LVI 37	Schun-jin . . .	LXXII 27	
	Tai-tschung . . .	LVI 43	Kung-tung . . .	LXXII 27	
	Kai-tschung . . .	LVI 32	Schun-jin . . .	LXXII 27	
	Hsuei-tschung . . .	LVI 37	Schun-jin . . .	LXXII 27	
	Tai-tschung . . .	LVI 43	Kung-tung . . .	LXXII 27	
	Kai-tschung . . .	LVI 32	Schun-jin . . .	LXXII 27	
	Hsuei-tschung . . .	LVI 37	Schun-jin . . .	LXXII 27	
	Tai-tschung . . .	LVI 43	Kung-tung . . .	LXXII 27	
	Kai-tschung . . .	LVI 32	Schun-jin . . .	LXXII 27	
	Hsuei-tschung . . .	LVI 37	Schun-jin . . .	LXXII 27	
	Tai-tschung . . .	LVI 43	Kung-tung . . .	LXXII 27	
	Kai-tschung . . .	LVI 32	Schun-jin . . .	LXXII 27	
	Hsuei-tschung . . .	LVI 37	Schun-jin . . .	LXXII 27	
	Tai-tschung . . .	LVI 43	Kung-tung . . .	LXXII 27	
	Kai-tschung . . .	LVI 32	Schun-jin . . .	LXXII 27	
	Hsuei-tschung . . .	LVI 37	Schun-jin . . .	LXXII 27	
	Tai-tschung . . .	LVI 43	Kung-tung . . .	LXXII 27	
	Kai-tschung . . .	LVI 32	Schun-jin . . .	LXXII 27	
	Hsuei-tschung . . .	LVI 37	Schun-jin . . .	LXXII 27	
	Tai-tschung . . .	LVI 43	Kung-tung . . .	LXXII 27	
	Kai-tschung . . .	LVI 32	Schun-jin . . .	LXXII 27	
	Hsuei-tschung . . .	LVI 37	Schun-jin . . .	LXXII 27	
	Tai-tschung . . .	LVI 43	Kung-tung . . .	LXXII 27	
	Kai-tschung . . .	LVI 32	Schun-jin . . .	LXXII 27	
	Hsuei-tschung . . .	LVI 37	Schun-jin . . .	LXXII 27	
	Tai-tschung . . .	LVI 43	Kung-tung . . .	LXXII 27	
	Kai-tschung . . .	LVI 32	Schun-jin . . .	LXXII 27	
	Hsuei-tschung . . .	LVI 37	Schun-jin . . .	LXXII 27	
	Tai-tschung . . .	LVI 43	Kung-tung . . .	LXXII 27	
	Kai-tschung . . .	LVI 32	Schun-jin . . .	LXXII 27	
	Hsuei-tschung . . .	LVI 37	Schun-jin . . .	LXXII 27	
	Tai-tschung . . .	LVI 43	Kung-tung . . .	LXXII 27	
	Kai-tschung . . .	LVI 32	Schun-jin . . .	LXXII 27	
	Hsuei-tschung . . .	LVI 37	Schun-jin . . .	LXXII 27	
	Tai-tschung . . .	LVI 43	Kung-tung . . .	LXXII 27	
	Kai-tschung . . .	LVI 32	Schun-jin . . .	LXXII 27	
	Hsuei-tschung . . .	LVI 37	Schun-jin . . .	LXXII 27	
	Tai-tschung . . .	LVI 43	Kung-tung . . .	LXXII 27	
	Kai-tschung . . .	LVI 32	Schun-jin . . .	LXXII 27	
	Hsuei-tschung . . .	LVI 37	Schun-jin . . .	LXXII 27	
	Tai-tschung . . .	LVI 43	Kung-tung . . .	LXXII 27	
	Kai-tschung . . .	LVI 32	Schun-jin . . .	LXXII 27	
	Hsuei-tschung . . .	LVI 37	Schun-jin . . .	LXXII 27	
	Tai-tschung . . .	LVI 43	Kung-tung . . .	LXXII 27	
	Kai-tschung . . .	LVI 32	Schun-jin . . .	LXXII 27	
	Hsuei-tschung . . .	LVI 37	Schun-jin . . .	LXXII 27	
	Tai-tschung . . .	LVI 43	Kung-tung . . .	LXXII 27	
	Kai-tschung . . .	LVI 32	Schun-jin . . .	LXXII 27	
	Hsuei-tschung . . .	LVI 37	Schun-jin . . .	LXXII 27	
	Tai-tschung . . .	LVI 43	Kung-tung . . .	LXXII 27	
	Kai-tschung . . .	LVI 32	Schun-jin . . .	LXXII 27	
	Hsuei-tschung . . .	LVI 37	Schun-jin . . .	LXXII 27	
	Tai-tschung . . .	LVI 43	Kung-tung . . .	LXXII 27	
	Kai-tschung . . .	LVI 32	Schun-jin . . .	LXXII 27	
	Hsuei-tschung . . .	LVI 37	Schun-jin . . .	LXXII 27	
	Tai-tschung . . .	LVI 43	Kung-tung . . .	LXXII 27	
	Kai-tschung . . .	LVI 32	Schun-jin . . .	LXXII 27	
	Hsuei-tschung . . .	LVI 37	Schun-jin . . .	LXXII 27	
	Tai-tschung . . .	LVI 43	Kung-tung . . .	LXXII 27	
	Kai-tschung . . .	LVI 32	Schun-jin . . .	LXXII 27	
	Hsuei-tschung . . .	LVI 37	Schun-jin . . .	LXXII 27	
	Tai-tschung . . .	LVI 43	Kung-tung . . .	LXXII 27	
	Kai-tschung . . .	LVI 32	Schun-jin . . .	LXXII 27	
	Hsuei-tschung . . .	LVI 37	Schun-jin . . .	LXXII 27	
	Tai-tschung . . .	LVI 43	Kung-tung . . .	LXXII 27	
	Kai-tschung . . .	LVI 32	Schun-jin . . .	LXXII 27	
	Hsuei-tschung . . .	LVI 37	Schun-jin . . .	LXXII 27	
	Tai-tschung . . .	LVI 43	Kung-tung . . .	LXXII 27	
	Kai-tschung . . .	LVI 32	Schun-jin . . .	LXXII 27	
	Hsuei-tschung . . .	LVI 37	Schun-jin . . .	LXXII 27	
	Tai-tschung . . .	LVI 43	Kung-tung . . .	LXXII 27	
	Kai-tschung . . .	LVI 32	Schun-jin . . .	LXXII 27	
	Hsuei-tschung . . .	LVI 37	Schun-jin . . .	LXXII 27	
	Tai-tschung . . .	LVI 43	Kung-tung . . .	LXXII 27	
	Kai-tschung . . .	LVI 32	Schun-jin . . .	LXXII 27	
	Hsuei-tschung . . .	LVI 37	Schun-jin . . .	LXXII 27	
	Tai-tschung . . .	LVI 43	Kung-tung . . .	LXXII 27	
	Kai-tschung . . .	LVI 32	Schun-jin . . .	LXXII 27	
	Hsuei-tschung . . .	LVI 37	Schun-jin . . .	LXXII 27	
	Tai-tschung . . .	LVI 43	Kung-tung . . .	LXXII 27	
	Kai-tschung . . .	LVI 32	Schun-jin . . .	LXXII 27	
	Hsuei-tschung . . .	LVI 37	Schun-jin . . .	LXXII 27	
	Tai-tschung . . .	LVI 43	Kung-tung . . .	LXXII 27	
	Kai-tschung . . .	LVI 32	Schun-jin . . .	LXXII 27	
	Hsuei-tschung . . .	LVI 37	Schun-jin . . .	LXXII 27	
	Tai-tschung . . .	LVI 43	Kung-tung . . .	LXXII 27	
	Kai-tschung . . .	LVI 32	Schun-jin . . .	LXXII 27	
	Hsuei-tschung . . .	LVI 37	Schun-jin . . .	LXXII 27	
	Tai-tschung . . .	LVI 43	Kung-tung . . .	LXXII 27	
	Kai-tschung . . .	LVI 32	Schun-jin . . .	LXXII 27	
	Hsuei-tschung . . .	LVI 37	Schun-jin . . .	LXXII 27	
	Tai-tschung . . .	LVI 43	Kung-tung . . .	LXXII 27	
	Kai-tschung . . .	LVI 32	Schun-jin . . .	LXXII 27	
	Hsuei-tschung . . .	LVI 37	Schun-jin . . .	LXXII 27	
	Tai-tschung . . .	LVI 43	Kung-tung . . .	LXXII 27	
	Kai-tschung . . .	LVI 32	Schun-jin . . .	LXXII 27	
	Hsuei-tschung . . .	LVI 37	Schun-jin . . .	LXXII 27	
	Tai-tschung . . .	LVI 43	Kung-tung . . .	LXXII 27	
	Kai-tschung . . .	LVI 32	Schun-jin . . .	LXXII 27	
	Hsuei-tschung . . .	LVI 37	Schun-jin . . .	LXXII 27	
	Tai-tschung . . .	LVI 43	Kung-tung . . .	LXXII 27	
	Kai-tschung . . .	LVI 32	Schun-jin . . .	LXXII 27	
	Hsuei-tschung . . .	LVI 37	Schun-jin . . .	LXXII 27	
	Tai-tschung . . .	LVI 43	Kung-tung . . .	LXXII 27	
	Kai-tschung . . .	LVI 32	Schun-jin . . .	LXXII 27	
	Hsuei-tschung . . .	LVI 37	Schun-jin . . .	LXXII 27	
	Tai-tschung . . .	LVI 43	Kung-tung . . .	LXXII 27	
	Kai-tschung . . .	LVI 32	Schun-jin . . .	LXXII 27	
	Hsuei-tschung . . .	LVI 37	Schun-jin . . .	LXXII 27	
	Tai-tschung . . .	LVI 43	Kung-tung . . .	LXXII 27	
	Kai-tschung . . .	LVI 32	Schun-jin . . .	LXXII 27	
	Hsuei-tschung . . .	LVI 37	Schun-jin . . .	LXXII 27	
	Tai-tschung . . .	LVI 43	Kung-tung . . .	LXXII 27	
	Kai-tschung . . .	LVI 32	Schun-jin . . .	LXXII 27	
	Hsuei-tschung . . .	LVI 37	Schun-jin . . .	LXXII 27	
	Tai-tschung . . .	LVI 43	Kung-tung . . .	LXXII 27	
	Kai-tschung . . .	LVI 32	Schun-jin . . .	LXXII 27	
	Hsuei-tschung . . .	LVI 37	Schun-jin . . .	LXXII 27	
	Tai-tschung . . .	LVI 43	Kung-tung . . .	LXXII 27	
	Kai-tschung . . .	LVI 32	Schun-jin . . .	LXXII 27	
	Hsuei-tschung . . .	LVI 37	Schun-jin . . .	LXXII 27	
	Tai-tschung . . .	LVI 43	Kung-tung . . .	LXXII 27	
	Kai-tschung . . .	LVI 32	Schun-jin . . .	LXXII 27	
	Hsuei-tschung . . .	LVI 37	Schun-jin . . .	LXXII 27	
	Tai-tschung . . .	LVI 43	Kung-tung . . .	LXXII 27	
	Kai-tschung . . .	LVI 32	Schun-jin . . .	LXXII 27	
	Hsuei-tschung . . .	LVI 37	Schun-jin . . .	LXXII 27	
	Tai-tschung . . .	LVI 43	Kung-tung . . .	LXXII 27	
	Kai-tschung . . .	LVI 32	Schun-jin . . .	LXXII 27	
	Hsuei-tschung . . .	LVI 37	Schun-jin . . .	LXXII 27	
	Tai-tschung . . .	LVI 43	Kung-tung . . .	LXXII 27	
	Kai-tschung . . .	LVI 32	Schun-jin . . .	LXXII 27	
	Hsuei-tschung . . .	LVI 37	Schun-jin . . .	LXXII 27	
	Tai-tschung . . .	LVI 43	Kung-tung . . .	LXXII 27	
	Kai-tschung . . .	LVI 32	Schun-jin . . .	LXXII 27	
</					

Tafel I.

Chinesischer Cyclus und Jahr	Japanischer Jahre des Nens	
0 — 21		728 370
V — 13		1251 307
X — 1		727 361
XVI — 21		1394 559
XXI — 56		1210 343
XXVII — 29		1338 331
XXXIII — 8 — 51		1166 325
XXXVIII — 31	296	1582 310
XLIII — 11	614	1254 307
XLIX — 45	486	1362 298
LV — 19	1282	1948 289
LX — 53	1616	2010 280
LXVI — 27	1760	2192 271
LXXII — 1	2284	2314 262
LXXVIII — 35	2618	2446 253
LXXXIII — 9	2952	2560 244

Namen der einzelnen Jahre des
Cyclus.

Chinese	Japanese
1 kyo tary	kimo je mu
2 ji he ten	kimo to he
3 ping ju	kimo je towa
4 tzu mu	tsu mu
5 ho to ten	tsu mu to te
6 tzu mu	tsu mu
7 kung wu	tsu mu je tsu
8 sui wu	tsu mu to tsu
9 tzu mu	tsu mu
10 kiu je	kunio to tsu
11 kiu je	kunio to tsu
12 kiu je	kunio to tsu
13 ping tzu	tsu je
14 tzu to he	tsu to he
15 kiu mu	tsu mu to he
16 kiu mu	tsu mu to he
17 ping tzu	tsu je
18 tzu to he	tsu to he
19 kiu mu	tsu mu to he
20 kiu mu	tsu mu to he
21 tzu to he	tsu to he
22 ping tzu	tsu je
23 tzu to he	tsu to he
24 tzu to he	tsu to he
25 kiu mu	tsu mu to he
26 kiu mu	tsu mu to he
27 tzu to he	tsu to he
28 kiu mu	tsu mu to he
29 kiu mu	tsu mu to he
30 tzu to he	tsu to he
31 kiu mu	tsu mu to he
32 kiu mu	tsu mu to he
33 ping tzu	tsu je
34 tzu to he	tsu to he
35 kiu mu	tsu mu to he
36 kiu mu	tsu mu to he
37 ping tzu	tsu je
38 tzu to he	tsu to he
39 kiu mu	tsu mu to he
40 kiu mu	tsu mu to he
41 tzu to he	tsu to he
42 kiu mu	tsu mu to he
43 kiu mu	tsu mu to he
44 tzu to he	tsu to he
45 kiu mu	tsu mu to he
46 kiu mu	tsu mu to he
47 tzu to he	tsu to he
48 kiu mu	tsu mu to he
49 kiu mu	tsu mu to he
50 tzu to he	tsu to he
51 kiu mu	tsu mu to he
52 kiu mu	tsu mu to he
53 ping tzu	tsu je
54 tzu to he	tsu to he
55 kiu mu	tsu mu to he
56 kiu mu	tsu mu to he
57 ping tzu	tsu je
58 tzu to he	tsu to he
59 kiu mu	tsu mu to he
60 kiu mu	tsu mu to he
61 tzu to he	tsu to he
62 kiu mu	tsu mu to he
63 kiu mu	tsu mu to he
64 tzu to he	tsu to he
65 kiu mu	tsu mu to he
66 kiu mu	tsu mu to he
67 tzu to he	tsu to he
68 kiu mu	tsu mu to he
69 kiu mu	tsu mu to he
70 tzu to he	tsu to he
71 kiu mu	tsu mu to he
72 kiu mu	tsu mu to he
73 ping tzu	tsu je
74 tzu to he	tsu to he
75 kiu mu	tsu mu to he
76 kiu mu	tsu mu to he
77 ping tzu	tsu je
78 tzu to he	tsu to he
79 kiu mu	tsu mu to he
80 kiu mu	tsu mu to he
81 tzu to he	tsu to he
82 kiu mu	tsu mu to he
83 kiu mu	tsu mu to he
84 tzu to he	tsu to he
85 kiu mu	tsu mu to he
86 kiu mu	tsu mu to he
87 tzu to he	tsu to he
88 kiu mu	tsu mu to he
89 kiu mu	tsu mu to he
90 tzu to he	tsu to he
91 kiu mu	tsu mu to he
92 kiu mu	tsu mu to he
93 ping tzu	tsu je
94 tzu to he	tsu to he
95 kiu mu	tsu mu to he
96 kiu mu	tsu mu to he
97 ping tzu	tsu je
98 tzu to he	tsu to he
99 kiu mu	tsu mu to he
100 kiu mu	tsu mu to he

Chinesisches Lunisoljahr.

Tafel II.

Cyclus und Jahr	1. Monat	2. Monat	3. Monat	4. Monat	5. Monat	6. Monat	7. Monat	8. Monat	9. Monat	10. Monat	11. Monat	12. Monat	Cyclus und Jahr	1. Monat	2. Monat	3. Monat	4. Monat	5. Monat	6. Monat	7. Monat	8. Monat	9. Monat	10. Monat	11. Monat	12. Monat
0	000	020	050	088	118	147	177	207	236	266	295	325	1	011	041	071	000	030	059	089	118	148	177	206	236
1	354	384	413	442	472	501	531	561	590	620	650	679	2	22	005	295	325	354	384	414	443	473	502	531	561
2	1003	112	151	181	210	240	269	298	328	358	388	418	3	020	044	073	002	032	062	092	122	151	181	210	240
3	447	477	506	536	565	594	624	653	682	712	742	771	4	350	388	418	447	476	506	535	565	594	624	654	684
4	801	831	861	891	920	949	978	1008	1037	1066	1095	1125	5	711	741	771	801	830	860	890	919	948	978	1008	1037
5	2185	215	245	274	304	333	362	392	421	450	480	509	6	24	097	127	156	186	215	244	274	303	332	362	392
6	530	560	590	620	650	680	710	740	770	800	830	860	7	451	481	511	540	570	600	630	660	690	720	750	780
7	803	833	863	893	923	953	983	1013	1043	1073	1103	1133	8	835	865	895	925	955	985	1015	1045	1075	1105	1135	1165
8	3277	307	336	366	396	425	455	484	514	544	573	603	9	25	180	210	240	270	300	330	360	390	420	450	480
9	632	662	691	720	750	780	810	840	870	900	930	960	10	543	573	603	632	662	692	722	752	782	812	842	872
10	4010	040	075	104	134	163	193	222	252	282	311	341	11	027	057	086	016	046	075	105	134	164	194	224	253
11	371	400	430	460	490	520	550	580	610	640	670	700	12	20	282	311	341	370	400	430	460	490	520	550	580
12	735	765	795	825	855	885	915	945	975	1005	1035	1065	13	037	066	095	125	154	184	213	243	272	302	332	362
13	5409	139	168	198	228	258	288	318	348	378	408	438	14	27	021	050	080	110	139	169	199	229	259	289	319
14	403	403	432	462	492	522	552	582	612	642	672	702	15	375	405	435	465	495	525	555	585	615	645	675	705
15	817	847	877	907	937	967	997	1027	1057	1087	1117	1147	16	750	780	810	840	870	900	930	960	990	1020	1050	1080
16	6201	230	260	290	320	350	380	410	440	470	500	530	17	28	113	143	172	202	232	262	292	322	352	382	412
17	555	585	615	645	675	705	735	765	795	825	855	885	18	407	407	437	467	497	527	557	587	617	647	677	707
18	940	969	998	1028	1058	1088	1118	1148	1178	1208	1238	1268	19	851	880	910	940	970	1000	1030	1060	1090	1120	1150	1180
19	7204	324	353	382	412	441	470	500	530	560	590	620	20	29	295	325	354	384	414	444	474	504	534	564	594
20	040	078	108	138	168	198	228	258	288	318	348	378	21	500	530	560	590	620	650	680	710	740	770	800	830
21	803	833	863	893	923	953	983	1013	1043	1073	1103	1133	22	044	074	104	134	164	194	224	254	284	314	344	374
22	197	410	440	470	500	530	560	590	620	650	680	710	23	30	290	320	350	380	410	440	470	500	530	560	590
23	741	770	800	830	860	890	920	950	980	1010	1040	1070	24	053	082	112	142	172	202	232	262	292	322	352	382
24	9124	154	184	214	244	274	304	334	364	394	424	454	25	31	037	066	096	126	156	186	216	246	276	306	336
25	470	508	538	568	598	628	658	688	718	748	778	808	26	301	320	340	360	380	400	420	440	460	480	500	520
26	833	863	893	923	953	983	1013	1043	1073	1103	1133	1163	27	774	804	834	864	894	924	954	984	1014	1044	1074	1104
27	10217	247	276	306	336	366	396	426	456	486	516	546	28	32	120	150	180	210	240	270	300	330	360	390	420
28	572	602	632	662	692	722	752	782	812	842	872	902	29	483	513	543	573	603	633	663	693	723	753	783	813
29	050	080	110	140	170	200	230	260	290	320	350	380	30	867	897	927	957	987	1017	1047	1077	1107	1137	1167	1197
30	11	310	340	370	400	430	460	490	520	550	580	610	31	33	222	252	282	312	342	372	402	432	462	492	522
31	004	004	004	004	004	004	004	004	004	004	004	004	32	570	000	030	060	090	120	150	180	210	240	270	300
32	12048	078	108	138	168	198	228	258	288	318	348	378	33	090	000	020	040	070	100	130	160	190	220	250	280
33	402	432	462	492	522	552	582	612	642	672	702	732	34	34	314	344	374	404	434	464	494	524	554	584	614
34	757	786	816	846	876	906	936	966	996	1026	1056	1086	35	098	728	758	788	818	848	878	908	938	968	998	1028
35	13	141	170	200	230	260	290	320	350	380	410	440	36	35	052	082	112	142	172	202	232	262	292	322	352
36	495	525	554	584	614	644	674	704	734	764	794	824	37	407	430	455	485	515	545	575	605	635	665	695	725
37	870	900	930	960	990	1020	1050	1080	1110	1140	1170	1200	38	701	820	850	880	910	940	970	1000	1030	1060	1090	1120
38	14	234	264	294	324	354	384	414	444	474	504	534	39	30	145	175	204	234	264	294	324	354	384	414	444
39	588	618	647	677	707	737	767	797	827	857	887	917	40	500	520	550	580	610	640	670	700	730	760	790	820
40	972	002	031	061	091	121	151	181	211	241	271	301	41	584	013	043	073	103	133	163	193	223	253	283	313
41	15	230	260	290	320	350	380	410	440	470	500	530	42	37	238	268	298	328	358	388	418	448	478	508	538
42	680	710	740	770	800	830	860	890	920	950	980	1010	43	502	022	052	082	112	142	172	202	232	262	292	322
43	10604	094	123	153	183	213	243	273	303	333	363	393	44	070	000	030	060	090	120	150	180	210	240	270	300
44	410	448	478	507	537	567	597	627	657	687	717	747	45	38	330	360	390	420	450	480	510	540	570	600	630
45	773	803	833	863	893	923	953	983	1013	1043	1073	1103	46	714	744	774	804	834	864	894	924	954	984	1014	1044
46	17	157	187	217	247	277	307	337	367	397	427	457	47	390	000	030	060	090	120	150	180	210	240	270	300
47	512	541	571	601	631	661	691	721	751	781	811	841	48	423	453	483	513	543	573	603	633	663	693	723	753
48	896	926	956	986	1016	1046	1076	1106	1136	1166	1196	1226	49	807	837	867	897	927	957	987	1017	1047	1077	1107	1137
49	18	150	180	210	240	270	300	330	360	390	420	450	50	40	102	101	231	260	290	320	350	380	410	440	470
50	604	633	663	693	723	753	783	813	843	873	903	933	51	510	540	570	600	630	660	690	720	750	780	810	840
51	988	017	047	077	107	137	167	197	227	257	287	317	52	000	020	050	080	110	140	170	200	230	260	290	320
52	19	342	372	402	432	462	492	522	552	582	612	642	53	41	254	283	313	343	373	403	433	463	493	523	553
53	407	437	467	497	527	557	587	617	647	677	707	737	54	038	067	097	127	157	187	217	247	277	307	337	367
54	20	081	110	140	170	200	230	260	290	320	350	380	55	002	032	062	092	122	152	182	212	242	272	302	332
55	435	465	495	525	555	585	615	645	675	705	735	765	56	427	457	487	517	547	577	607	637	667	697	727	757
56	819	849	879	909																					

Chinesisches Lunisolarjahr.

Tafel II.

Cyclos und Jahr	Cyclos und Jahr												Cyclos und Jahr	Cyclos und Jahr												Cyclos und Jahr	Cyclos und Jahr																					
	1. Mond	2. Mond	3. Mond	4. Mond	5. Mond	6. Mond	7. Mond	8. Mond	9. Mond	10. Mond	11. Mond	12. Mond		1. Mond	2. Mond	3. Mond	4. Mond	5. Mond	6. Mond	7. Mond	8. Mond	9. Mond	10. Mond	11. Mond	12. Mond		1. Mond	2. Mond	3. Mond	4. Mond	5. Mond	6. Mond	7. Mond	8. Mond	9. Mond	10. Mond	11. Mond	12. Mond										
II	43	842	853	883	912	942	971	1000	1029	1058	1087	1116	III	65	735	765	794	823	853	882	911	941	971	1000	65	735	765	794	823	853	882	911	941	971	1000	65	735	765	794	823	853	882	911	941	971	1000		
1	44	177	207	237	267	297	327	357	387	417	447	477	1	66	090	119	149	178	208	237	267	297	327	357	1	66	090	119	149	178	208	237	267	297	327	357	1	66	090	119	149	178	208	237	267	297	327	357
2	532	501	471	441	411	381	351	321	291	261	231	201	2	473	503	533	562	592	621	651	680	710	739	769	2	473	503	533	562	592	621	651	680	710	739	769	2	473	503	533	562	592	621	651	680	710	739	769
3	915	945	975	1004	1034	1064	1093	1123	1152	1182	1211	1241	3	827	857	887	917	947	977	1007	1037	1067	1097	1127	3	827	857	887	917	947	977	1007	1037	1067	1097	1127	3	827	857	887	917	947	977	1007	1037	1067	1097	1127
4	45	270	299	329	358	388	418	447	477	507	537	567	4	67	182	211	241	271	301	331	361	391	421	451	4	67	182	211	241	271	301	331	361	391	421	451	4	67	182	211	241	271	301	331	361	391	421	451
5	054	683	713	742	772	801	831	861	890	920	950	979	5	565	595	625	654	684	714	743	773	802	832	861	5	565	595	625	654	684	714	743	773	802	832	861	5	565	595	625	654	684	714	743	773	802	832	861
6	40	000	038	068	097	126	156	185	215	244	274	304	6	0	90	040	070	100	130	160	190	220	250	280	6	0	90	040	070	100	130	160	190	220	250	280	6	0	90	040	070	100	130	160	190	220	250	280
7	303	303	422	452	481	511	540	570	598	628	658	688	7	68	275	304	334	364	394	424	454	484	514	544	7	68	275	304	334	364	394	424	454	484	514	544	7	68	275	304	334	364	394	424	454	484	514	544
8	747	777	806	836	865	895	924	954	983	1013	1043	1073	8	056	188	217	247	277	307	337	367	397	427	457	8	056	188	217	247	277	307	337	367	397	427	457	8	056	188	217	247	277	307	337	367	397	427	457
9	47	101	131	161	190	220	250	279	309	339	369	399	9	69	013	043	072	102	131	161	190	220	250	280	9	69	013	043	072	102	131	161	190	220	250	280	9	69	013	043	072	102	131	161	190	220	250	280
10	455	455	515	515	575	575	635	635	695	695	755	755	10	307	337	367	397	427	457	487	517	547	577	607	10	307	337	367	397	427	457	487	517	547	577	607	10	307	337	367	397	427	457	487	517	547	577	607
11	830	860	898	928	958	987	1017	1047	1077	1107	1137	1167	11	751	781	811	840	870	900	930	960	990	1020	1050	11	751	781	811	840	870	900	930	960	990	1020	1050	11	751	781	811	840	870	900	930	960	990	1020	1050
12	48	193	223	252	282	312	341	371	401	431	461	491	12	70	105	135	165	195	225	255	285	315	345	375	12	70	105	135	165	195	225	255	285	315	345	375	12	70	105	135	165	195	225	255	285	315	345	375
13	577	607	636	666	695	725	755	784	814	844	874	904	13	48	510	540	570	600	630	660	690	720	750	780	13	48	510	540	570	600	630	660	690	720	750	780	13	48	510	540	570	600	630	660	690	720	750	780
14	938	961	991	1020	1050	1079	1109	1138	1168	1198	1228	1257	14	84	813	843	873	903	933	963	993	1023	1053	1083	14	84	813	843	873	903	933	963	993	1023	1053	1083	14	84	813	843	873	903	933	963	993	1023	1053	1083
15	49	287	316	345	375	404	434	463	493	523	553	583	15	71	198	227	257	287	317	347	377	407	437	467	15	71	198	227	257	287	317	347	377	407	437	467	15	71	198	227	257	287	317	347	377	407	437	467
16	071	700	730	759	788	817	847	876	906	935	965	995	16	58	011	041	071	101	131	161	191	221	251	281	16	58	011	041	071	101	131	161	191	221	251	281	16	58	011	041	071	101	131	161	191	221	251	281
17	50	055	085	114	143	172	201	231	260	290	319	349	17	937	960	983	1006	1029	1052	1075	1098	1121	1144	1167	17	937	960	983	1006	1029	1052	1075	1098	1121	1144	1167	17	937	960	983	1006	1029	1052	1075	1098	1121	1144	1167
18	370	409	438	468	497	527	556	585	615	644	674	703	18	72	201	231	261	291	321	351	381	411	441	471	18	72	201	231	261	291	321	351	381	411	441	471	18	72	201	231	261	291	321	351	381	411	441	471
19	703	703	823	853	883	913	943	973	1003	1033	1063	1093	19	075	705	734	764	794	824	854	884	914	944	974	19	075	705	734	764	794	824	854	884	914	944	974	19	075	705	734	764	794	824	854	884	914	944	974
20	51	117	147	176	206	235	265	295	324	354	383	413	20	73	020	050	080	110	140	170	200	230	260	290	20	73	020	050	080	110	140	170	200	230	260	290	20	73	020	050	080	110	140	170	200	230	260	290
21	471	511	540	570	600	630	660	690	720	750	780	810	21	413	443	472	502	532	562	592	622	652	682	712	21	413	443	472	502	532	562	592	622	652	682	712	21	413	443	472	502	532	562	592	622	652	682	712
22	855	885	914	944	973	1003	1033	1063	1093	1123	1153	1183	22	707	707	826	856	886	916	946	976	1006	1036	1066	22	707	707	826	856	886	916	946	976	1006	1036	1066	22	707	707	826	856	886	916	946	976	1006	1036	1066
23	52	120	239	269	298	328	357	387	417	447	477	507	23	74	211	241	271	301	331	361	391	421	451	481	23	74	211	241	271	301	331	361	391	421	451	481	23	74	211	241	271	301	331	361	391	421	451	481
24	594	623	653	683	712	741	770	800	830	859	889	919	24	505	535	564	594	623	653	683	712	742	771	801	24	505	535	564	594	623	653	683	712	742	771	801	24	505	535	564	594	623	653	683	712	742	771	801
25	040	078	108	137	167	196	226	255	285	315	345	375	25	800	880	910	940	970	1000	1030	1060	1090	1120	25	800	880	910	940	970	1000	1030	1060	1090	1120	25	800	880	910	940	970	1000	1030	1060	1090	1120			
26	53	303	332	362	392	421	451	480	510	540	570	600	26	75	215	244	273	303	332	362	392	422	452	482	26	75	215	244	273	303	332	362	392	422	452	482	26	75	215	244	273	303	332	362	392	422	452	482
27	087	110	140	170	200	230	260	290	320	350	380	410	27	509	509	628	657	687	717	747	777	807	837	27	509	509	628	657	687	717	747	777	807	837	27	509	509	628	657	687	717	747	777	807	837			
28	54	041	070	100	130	160	190	220	250	280	310	340	28	953	982	1012	1041	1071	1101	1131	1161	1191	1221	28	953	982	1012	1041	1071	1101	1131	1161	1191	1221	28	953	982	1012	1041	1071	1101	1131	1161	1191	1221			
29	395	424	453	483	513	543	573	603	633	663																																						

Chinesisches Lunisolarjahr.

Tafel II.

Cyclus und Jahr	1. Mond	2. Mond	3. Mond	4. Mond	5. Mond	6. Mond	7. Mond	8. Mond	9. Mond	10. Mond	11. Mond	12. Mond	Cyclus und Jahr	1. Mond	2. Mond	3. Mond	4. Mond	5. Mond	6. Mond	7. Mond	8. Mond	9. Mond	10. Mond	11. Mond	12. Mond
IV 0	87 047	070 705	735	704	794	823	853	883	912	942	972	1002	V 0	109 558	587	617	647	676	706	736	765	795	824	854	884
1	88 001	021 060	051	117	175	207	237	267	296	326	356	386	1	913	943	972	1001	1031	1061	1091	1120	1150	1179	1209	1238
2	185 145 444	474	503	532	561	591	621	650	680	710	740	770	2	110 297	326	355	384	413	442	471	501	531	560	590	619
3	740 790 799	828	857	886	915	944	973	1002	1031	1060	1089	1118	3	105 081	1079	1108	1137	1166	1195	1224	1253	1282	1311	1340	1369
4	809 064 123	153	181	211	241	271	300	329	358	388	418	448	4	111 006	1139	1168	1197	1226	1255	1284	1313	1342	1371	1400	1429
5	477 507 537	566	595	625	654	683	713	742	772	802	831	861	5	390	419	448	477	507	536	565	595	624	654	683	713
6	831 801 831	861	891	921	950	980	1009	1039	1068	1097	1127	1156	6	744	773	802	831	861	890	920	949	979	1008	1038	1067
7	90 215 245 275	304	334	364	393	423	452	482	511	540	570	600	7	112 127	1151	1180	1209	1238	1267	1296	1325	1354	1383	1412	1442
8	970 590 620	650	680	710	740	770	800	830	860	890	920	950	8	881	911	941	970	1000	1030	1060	1090	1120	1150	1180	1210
9	125 954 984	1013	1043	1073	1103	1133	1163	1193	1223	1253	1283	1313	9	836	865	895	924	954	984	1013	1043	1073	1103	1133	1163
10	91 309 338 367	397	426	456	485	515	544	574	604	634	664	694	10	113 220	1161	1190	1220	1250	1280	1310	1340	1370	1400	1430	1460
11	603 693 722	751	781	810	840	869	898	928	958	988	1018	1048	11	575	604	633	662	692	722	751	781	811	840	870	900
12	92 017 947 977	1007	1037	1067	1097	1127	1157	1187	1217	1247	1277	1307	12	929	959	989	1019	1049	1079	1109	1139	1169	1199	1229	1259
13	101 131 161	191	221	251	281	311	341	371	401	431	461	491	13	114 313	1172	1201	1231	1261	1291	1321	1351	1381	1411	1441	1471
14	735 785 815	844	874	904	934	964	994	1024	1054	1084	1114	1144	14	607	637	667	697	727	757	787	817	847	877	907	937
15	03 109 139	168	198	228	258	287	317	347	377	407	437	467	15	115 051	1180	1209	1238	1267	1296	1325	1354	1383	1412	1442	1472
16	493 523 552	582	612	641	671	701	731	761	791	821	851	881	16	405	435	465	495	525	555	585	615	645	675	705	735
17	848 877 907	937	967	997	1027	1057	1087	1117	1147	1177	1207	1237	17	759	789	819	849	879	909	939	969	999	1029	1059	1089
18	94 235 265	295	325	355	385	415	445	475	505	535	565	595	18	110 141	1131	1161	1191	1221	1251	1281	1311	1341	1371	1401	1431
19	535 610 645	675	704	734	764	794	824	854	884	914	944	974	19	495	525	555	585	615	645	675	705	735	765	795	825
20	341 971 009	039	069	099	129	159	189	219	249	279	309	339	20	552	582	612	642	672	702	732	762	792	822	852	882
21	05 185 215	245	275	305	335	365	395	425	455	485	515	545	21	187 237	267	297	327	357	387	417	447	477	507	537	567
22	07 799 829	859	889	919	949	979	1009	1039	1069	1099	1129	1159	22	591	621	651	681	711	741	771	801	831	861	891	921
23	013 063 093	123	153	183	213	243	273	303	333	363	393	423	23	945	975	1005	1035	1065	1095	1125	1155	1185	1215	1245	1275
24	417 447 476	506	536	566	596	626	656	686	716	746	776	806	24	118 339	1213	1243	1273	1303	1333	1363	1393	1423	1453	1483	1513
25	771 801 830	860	890	920	950	980	1010	1040	1070	1100	1130	1160	25	683	713	743	773	803	833	863	893	923	953	983	1013
26	97 120 150	180	210	240	270	300	330	360	390	420	450	480	26	110 067	1136	1166	1196	1226	1256	1286	1316	1346	1376	1406	1436
27	510 539 569	599	629	659	689	719	749	779	809	839	869	899	27	431	461	491	521	551	581	611	641	671	701	731	761
28	805 834 864	894	924	954	984	1014	1044	1074	1104	1134	1164	1194	28	770	800	830	860	890	920	950	980	1010	1040	1070	1100
29	98 240 270 307	337	367	397	427	457	487	517	547	577	607	637	29	120 160	1236	1266	1296	1326	1356	1386	1416	1446	1476	1506	1536
30	003 032 062	092	122	152	182	212	242	272	302	332	362	392	30	514	544	574	604	634	664	694	724	754	784	814	844
31	957 987 016	046	076	106	136	166	196	226	256	286	316	346	31	869	899	929	959	989	1019	1049	1079	1109	1139	1169	1199
32	99 341 370 400	430	460	490	520	550	580	610	640	670	700	730	32	121 253	1242	1272	1302	1332	1362	1392	1422	1452	1482	1512	1542
33	005 034 064	094	124	154	184	214	244	274	304	334	364	394	33	007	037	067	097	127	157	187	217	247	277	307	337
34	100 040 070	100	130	160	190	220	250	280	310	340	370	400													

Denkschriften der mathem.-naturw. Kl. XLV. Bd. Abhandlungen von Neujährs-gleichen.

111

Lunisolarjahr der Griechen.

Tafel I a. VorMeton (genähert). Tafel I b. Metonischer Cyclus.

Olympiade und Jahr		Olympiade und Jahr	
1 I	1438 477	87 I	1563 832
20 I	1405 930	91 IV	1570 772
30 I	1403 095	96 III	1577 712
58 I	1521 454	101 II	1584 652
77 I	1549 213	106 I	1591 592
		110 IV	1598 532
		115 III	1605 472
		120 II	1612 412
		125 I	1619 352

Tafel I c. Kallippischer Cyclus.

Olympiade und Jahr		Olympiade und Jahr		Olympiade und Jahr		Olympiade und Jahr	
112 III	1601 069	283 III	1850 000	454 III	2100 731	625 III	2350 502
131 III	1628 828	302 III	1878 059	473 III	2128 490	644 III	2378 261
150 III	1656 587	321 III	1900 418	492 III	2150 249	663 III	2406 020
169 III	1684 346	340 III	1924 177	511 III	2184 008	682 III	2433 780
188 III	1712 105	359 III	1901 930	530 III	2217 767	701 III	2461 539
207 III	1739 894	378 III	1939 095	549 III	2249 526	720 III	2489 298
226 III	1767 653	397 III	1967 454	568 III	2287 285	739 III	2517 057
245 III	1795 381	416 III	2005 213	587 III	2295 044	758 III	2544 816
264 III	1823 141	435 III	2032 972	606 III	2322 803	777 III	2572 575

Tafel II.

Olympiade und Jahr	1	2	3	4	5	6	7	8	9	10	11	12	Olympiade und Jahr	1	2	3	4	5	6	7	8	9	10	11	12
Heikatonabon	Metagenetion	Pyktonabon	Pyktonabon	Maimaktarion	Poseidonon I.	Poseidonon II.	Gaionon	Antistereon	Elaphelotion	Thyngchon	Skriptiorion		Heikatonabon	Metagenetion	Pyktonabon	Pyktonabon	Maimaktarion	Poseidonon I.	Poseidonon II.	Gaionon	Antistereon	Elaphelotion	Thyngchon	Skriptiorion	
0 .	000 030 060 090	119 148					178 207 237	266 296 325					0 II	13 880 910 930	969 998 628					657 687	116	146 175	205	235	265
0 I	355 384 414	441 473 502					532 562 591	621 650 680					0 III	14 235 264 294	323 353 382					412 441 471	500 530	559			
0 II	709 739 768	798 827 857					880 914 945	975 1005 1034					10 .	584 618 648	677 707 737					756 785	815 844	874 943			
0 III	1 093 123 152	182 211 241					270 300 329	359 388 418					10 I	973 002 032	061 091 120					150 180	209 239	268 298			
1 .	447 477 507 536	566 595 625					654 684 713	743 772 802					10 II	15 327 357 386	410 445 475 504					534 563	593 622	652 682			
1 I	831 861 890 920 950 979						1000 1030 1060	1090 1120					10 III	211 241 270 300 329	359 389					888 918 947	977 1006	1036			
1 II	1 260 1215 1245 1274	1304 1333					1303 1302 1292	1282 1281					11 .	10 005 095 115	154 184 213					243 272	301 331	361 390			
1 III	540 570 599 629 658 688						747 777 806	835 865 895					11 I	420 440 470 500	538 567					597 626	656 686	715 745 774			
2 .	924 954 983 1013 1042	1072					1101 1131 1160	1190 1219					11 II	804 833 863 892 922	951					981 1010	1040 1070	1100 1130			
2 I	1 328 1358 1387 1417 1446	1475					1495 1525 1554 1584	1613					11 III	17 158 188 217 247	276 306					335 365 394	424 453 483				
2 II	633 662 692 721 751	780 810					800 830 860	890 920 950 980					12 .	512 542 572	601 631 661 691					700 730 760	790 820 850				
2 III	4 017 040 070 105 135 164						194 223 253 282 312 342						12 I	800 820 850 880 910	940					974 1003	1033 1062	1092 1121			
3 .	371 401 430 460 489 519	548					578 607 637 666 696 725						12 II	18 251 280 310 340 370	400 429 458 487 517					547 576	605 635 665 695				
3 I	755 785 814 844 873 903						932 962 991 1021 1050 1080						12 III	035 064 094 123 153 182						812 841 871	900 930 960				
3 II	5 109 136 168 198 227 257						210 240 270 300 330 360						13 .	980 010 040 070 107 137						212 242	272 302 332 362				
3 III	464 493 523 552 582 611 641						670 700 730 760 790 818						13 I	10 343 173 202 232 262 292	322 352 382 412 442 472					502 532 562 592 622 652					
4 .	848 877 907 936 966 995						1025 1054 1084 1113 1143 1173						13 II	727 757 786 816 845 875						905 935 965 995 1025 1055					
4 I	6 202 232 261 291 320 350						370 400 430 460 490 527						13 III	20 082 111 141 170 200 230						250 280 310 340 370 400					
4 II	550 580 610 640 670 704	734					703 793 822 852 881 911						14 .	4 300 460 490 520 550 580 610						630 660 690 720 750 780					
4 III	940 970 999 1029 1058 1088						117 147 177 206 236 265						14 I	820 850 880 910 940 970 1000						1027 1057 1087 1117 1147					
5 .	7 205 324 354 383 413 443						472 501 531 560 590 620						14 II	21 174 204 233 263 293 323						352 381 411 440 470 500					
5 I	049 079 108 138 167 197						200 230 260 290 320 350						14 III	529 558 588 617 647 676 706						735 765 795 825 855 885					
5 II	8 033 062 092 122 151 181						210 240 270 300 330 360						15 .	91 942 972 1001 1031 1061 1091						109 119 129 139 149 159					
5 III	387 417 446 476 505 535 565						594 624 653 683 712 742						15 I	22 207 237 267 297 327 357 387						474 503 533 563 593 623					
6 .	771 801 830 860 890 919						948 978 1007 1037 1067 1097						15 II	051 080 110 140 170 200 230						278 308 338 368 398 428					
6 I	9 120 155 185 214 244 273						303 332 362 392 421 451						15 III	23 005 035 064 094 123 153						182 212 242 272 302 332					
6 II	480 510 539 569 598 628 657						703 732 762 792 821 851						16 .	300 330 360 390 420 450 480						500 530 560 590 620 650					
6 III	804 833 863 892 921 951						941 971 1001 1031 1061 1091						16 I	744 773 803 832 862 891						921 950 980 1010 1040 1070					
7 .	10 218 248 277 307 336 366						395 425 455 484 514 544						16 II	24 008 127 157 186 216 246						275 305 335 365 395 425					
7 I	573 602 631 661 691 720 750						770 800 830 860 890 920						16 III	432 462 491 521 550 580 610						650 680 710 740 770 800					
7 II	957 986 1016 1045 1075 1104						1134 1163 1193 1222 1252 1284						17 .	830 860 890 920 950 980 1010						112 043 073 102 132 162					
7 III	11 311 340 370 400 430 459 488						518 547 577 606 636 666						17 I	25 101 230 259 289 319 348 378						407 437 467 497 527 557					
8 .	695 724 754 783 813 842						872 902 931 961 990 1020						17 II	575 604 634 664 694 724						752 781 811 840 870 900					
8 I	11 049 079 108 138 167 197						220 250 280 310 340 370						17 III	920 950 980 1010 1040 1070						100 130 160 190 220 250					
8 II	404 433 463 492 522 551 581						1010 1040 1070 1100 1130 1160						18 .	26 283 312 342 372 402 432 462						490 520 550 580 610 640					
8 III	787 817 847 876 906 935						965 994 1024 1054 1084 1114						18 I	107 097 226 256 286 316 346						844 874 904 934 964 994					
9 .	13 142 171 201 230 260 290						319 349 378 408 437 467						18 II	27 022 051 081 110 140 170						190 220 250 280 310 340					
9 I	490 520 550 580 610 640 670						703 732 762 792 821 851						18 III	370 405 435 465 495 525 555						582 612 642 672 702 732					

Mondjahr der Araber und Türken.

(Aera der Hedschra.)

Die Epoche dieser Aera oder der 1. Moharrem des Jahres 1 der Hedschra entspricht nach dem Volkalkender dem Tage 1948 440 der julianischen Periode (Tafel I.), nach den arabischen Astronomen aber dem Tage 1948 439 der julianischen Periode (Tafel II.). Man hat also wohl zu beachten, ob I. oder II. zu benützen ist. Die Jahre dieser Zeitrechnung sind Mondjahre von 354 oder 355 Tagen. Schaltjahre sind im 9jährigen Cyclus nach Einigen das 2., 5., 7., 10., 13., 18., 21., 24., 26. und 29. (Tafel II.), nach Anderen das 2., 5., 7., 10., 13., 18., 21., 25., 28. und 29. (Tafel II.). Es ist also nur im Jahre 16 der Schaltperiode ein Unterschied auf. Für die gewöhnliche Zeitrechnung der Türken ist stets I. oder II. zu benützen. Man muss also wissen, wie ein Schriftsteller, dem ein Datum entnommen ist, zählt, um dann entweder I. und II., oder I. und II., oder I. und II. oder endlich I. und II. zu benützen. Sind Daten gegeben, welche sich nur auf den etwas schwankenden Volkalkender, besonders aus der Zeit vor der Einführung der cyclischen Rechnung beziehen, so bleibt man am ein bis zwei Tage unsicher und kann nur dann das Datum mit Sicherheit bestimmen, wenn zugleich der Wochentag gegeben ist. Das Jahr wird in 12 Monate, abwechselnd zu 30 und 29 Tagen getheilt und zwar:

1. Moharrem 30 Tage.	5. Dschemadil el awwel 30 Tage.	9. Ramadan 30 Tage.
2. Safar 29 "	6. Dschemadil el-aceher 29 "	10. Schewäl 29 "
3. Rebi el awwel 30 "	7. Redscheb 30 "	11. Dhu l'kade 30 "
4. Rebi el aceher 29 "	8. Schabân 29 "	12. Dhu l'hedsche 29 oder 30 "

Eine von den Jahren und Monaten unabhängige Zeiteinheit ist die siebenbürtige Woche, deren einzelne Tage folgende Namen haben: 1. jaum el-ahad, 2. jaum el-itihain, 3. jaum el-thalathâ, 4. jaum el-chamâ, 5. jaum el-dschuma (früher arabe), 7. jaum el-sabt. Diese Wochentage sind aus den Tageszahlen der julianischen Periode leicht abzuleiten; dividirt man die Tageszahl eines vorgelegten Datums durch 7, so bezeichnet der Rest 0 den jaum el itihain ζ , 1 den jaum el-thalathâ σ , 2 den jaum el-arbaâ φ , 3 den jaum el-chamâ ψ , 4 den jaum el-dschuma χ , 5 den jaum el-sabt η und 6 den jaum el-ahad θ . Die Schaltjahre sind durch * bezeichnet, doch hat man bei der Reduction eines Datums darauf weiter keine Rücksicht zu nehmen, da alles schon in der Tafel selbst berücksichtigt ist. Der Tag wird mit Sonnenuntergang begonnen.

Festkalender der Mohammedaner.

Mohr.	1	2	3	4	5	6	7	8	9	10	11	12	13	14	15	16	17	18	19	20	21	22	23	24	25	26	27	28	29	30	31	32	33	34	35	36	37	38	39	40	41	42	43	44	45	46	47	48	49	50	51	52	53	54	55	56	57	58	59	60	61	62	63	64	65	66	67	68	69	70	71	72	73	74	75	76	77	78	79	80	81	82	83	84	85	86	87	88	89	90	91	92	93	94	95	96	97	98	99	100	101	102	103	104	105	106	107	108	109	110	111	112	113	114	115	116	117	118	119	120	121	122	123	124	125	126	127	128	129	130	131	132	133	134	135	136	137	138	139	140	141	142	143	144	145	146	147	148	149	150	151	152	153	154	155	156	157	158	159	160	161	162	163	164	165	166	167	168	169	170	171	172	173	174	175	176	177	178	179	180	181	182	183	184	185	186	187	188	189	190	191	192	193	194	195	196	197	198	199	200	201	202	203	204	205	206	207	208	209	210	211	212	213	214	215	216	217	218	219	220	221	222	223	224	225	226	227	228	229	230	231	232	233	234	235	236	237	238	239	240	241	242	243	244	245	246	247	248	249	250	251	252	253	254	255	256	257	258	259	260	261	262	263	264	265	266	267	268	269	270	271	272	273	274	275	276	277	278	279	280	281	282	283	284	285	286	287	288	289	290	291	292	293	294	295	296	297	298	299	300	301	302	303	304	305	306	307	308	309	310	311	312	313	314	315	316	317	318	319	320	321	322	323	324	325	326	327	328	329	330	331	332	333	334	335	336	337	338	339	340	341	342	343	344	345	346	347	348	349	350	351	352	353	354	355	356	357	358	359	360	361	362	363	364	365	366	367	368	369	370	371	372	373	374	375	376	377	378	379	380	381	382	383	384	385	386	387	388	389	390	391	392	393	394	395	396	397	398	399	400	401	402	403	404	405	406	407	408	409	410	411	412
1	2	3	4	5	6	7	8	9	10	11	12	13	14	15	16	17	18	19	20	21	22	23	24	25	26	27	28	29	30	31	32	33	34	35	36	37	38	39	40	41	42	43	44	45	46	47	48	49	50	51	52	53	54	55	56	57	58	59	60	61	62	63	64	65	66	67	68	69	70	71	72	73	74	75	76	77	78	79	80	81	82	83	84	85	86	87	88	89	90	91	92	93	94	95	96	97	98	99	100	101	102	103	104	105	106	107	108	109	110	111	112	113	114	115	116	117	118	119	120	121	122	123	124	125	126	127	128	129	130	131	132	133	134	135	136	137	138	139	140	141	142	143	144	145	146	147	148	149	150	151	152	153	154	155	156	157	158	159	160	161	162	163	164	165	166	167	168	169	170	171	172	173	174	175	176	177	178	179	180	181	182	183	184	185	186	187	188	189	190	191	192	193	194	195	196	197	198	199	200	201	202	203	204	205	206	207	208	209	210	211	212	213	214	215	216	217	218	219	220	221	222	223	224	225	226	227	228	229	230	231	232	233	234	235	236	237	238	239	240	241	242	243	244	245	246	247	248	249	250	251	252	253	254	255	256	257	258	259	260	261	262	263	264	265	266	267	268	269	270	271	272	273	274	275	276	277	278	279	280	281	282	283	284	285	286	287	288	289	290	291	292	293	294	295	296	297	298	299	300	301	302	303	304	305	306	307	308	309	310	311	312	313	314	315	316	317	318	319	320	321	322	323	324	325	326	327	328	329	330	331	332	333	334	335	336	337	338	339	340	341	342	343	344	345	346	347	348	349	350	351	352	353	354	355	356	357	358	359	360	361	362	363	364	365	366	367	368	369	370	371	372	373	374	375	376	377	378	379	380	381	382	383	384	385	386	387	388	389	390	391	392	393	394	395	396	397	398	399	400	401	402	403	404	405	406	407	408	409	410	411	412	
1	2	3	4	5	6	7	8	9	10	11	12	13	14	15	16	17	18	19	20	21	22	23	24	25	26	27	28	29	30	31	32	33	34	35	36	37	38	39	40	41	42	43	44	45	46	47	48	49	50	51	52	53	54	55	56	57	58	59	60	61	62	63	64	65	66	67	68	69	70	71	72	73	74	75	76	77	78	79	80	81	82	83	84	85	86	87	88	89	90	91	92	93	94	95	96	97	98	99	100	101	102	103	104	105	106	107	108	109	110	111	112	113	114	115	116	117	118	119	120	121	122	123	124	125	126	127	128	129	130	131	132	133	134	135	136	137	138	139	140	141	142	143	144	145	146	147	148	149	150	151	152	153	154	155	156	157	158	159	160	161	162	163	164	165	166	167	168	169	170	171	172	173	174	175	176	177	178	179	180	181	182	183	184	185	186	187	188	189	190	191	192	193	194	195	196	197	198	199	200	201	202	203	204	205	206	207	208	209	210	211	212	213	214	215	216	217	218	219	220	221	222	223	224	225	226	227	228	229	230	231	232	233	234	235	236	237	238	239	240	241	242	243	244	245	246	247	248	249	250	251	252	253	254	255	256	257	258	259	260	261	262	263	264	265	266	267	268	269	270	271	272	273	274	275	276	277	278	279	280	281	282	283	284	285	286	287	288	289	290	291	292	293	294	295	296	297	298	299	300	301	302	303	304	305	306	307	308	309	310	311	312	313	314	315	316	317	318	319	320	321	322	323	324	325	326	327	328	329	330	331	332	333	334	335	336	337	338	339	340	341	342	343	344	345	346	347	348	349	350	351	352	353	354	355	356	357	358	359	360	361	362	363	364	365	366	367	368	369	370	371	372	373	374	375	376	377	378	379	380	381	382	383	384	385	386	387	388	389	390	391	392	393	394	395	396	397	398	399	400	401	402	403	404	405	406	407	408	409	410	411	412	
1	2	3	4	5	6	7	8	9	10	11	12	13	14	15	16	17	18	19	20	21	22	23	24	25	26	27	28	29	30	31	32	33	34	35	36	37	38	39	40	41	42	43	44	45	46	47	48	49	50	51	52	53	54	55	56	57	58	59	60	61	62	63	64	65	66	67	68	69	70	71	72	73	74	75	76	77	78	79	80	81	82	83	84	85	86	87	88	89	90	91	92	93	94	95	96	97	98	99	100	101	102	103	104	105	106	107	108	109	110	111	112	113	114	115	116	117	118	119	120	121	122	123	124	125	126	127	128	129	130	131	132	133	134	135	136	137	138	139	140	141	142	143	144	145	146	147	148	149	150	151	152	153	154	155	156	157	158	159	160	161	162	163	164	165	166	167	168	169	170	171	172	173	174	175	176	177	178	179	180	181	182	183	184	185	186	187	188	189	190	191	192	193	194	195	196	197	198	199	200	201	202	203	204	205	206	207	208	209	210	211	212	213	214	215	216	217	218	219	220	221	222	223	224	225	226	227	228	229	230	231	232	233	234	235	236	237	238	239	240	241	242	243	244	245	246	247	248	249	250	251	252	253	254	255	256	257	258	259	260	261	262	263	264	265	266	267	268	269	270	271	272	273	274	275	276	277	278	279	280	281	282	283	284	285	286	287	288	289	290	291	292	293	294	295	296	297	298	299	300	301	302	303	304	305	306	307	308	309	310	311	312	313	314	315	316	317	318	319	320	321	322	323	324	325	326	327	328	329	330	331	332	333	334	335	336	337	338	339	340	341	342	343	344	345	346	347	348	349	350	351	352	353	354	355	356	357	358	359	360	361	362	363																																																		

Mondjahr der Araber und Türken.

(Aera der Hedschra.)

Tafel I a.

Nach dem arabisch-türkischen Volkskalender.

Jahr	Kal.	Jahr	Kal.	Jahr	Kal.
0	1948 085	6	2171 336	1260	2394 587
30	1958 717	4	2181 907	4	2405 218
60	1969 347	2	2192 508	2	2415 849
90	1979 078	0	2203 229	0	2426 480
120	1990 009	5	2213 860	5	2437 111
150	2001 240	3	2224 491	3	2447 742
180	2011 871	1	2235 122	1	2458 373
210	2022 502	6	2245 753	6	2469 004
240	2033 133	4	2256 384	4	2479 635
270	2043 764	2	2267 015	2	2490 266
300	2054 395	0	2277 646	0	2500 897
330	2065 026	5	2288 277	5	2511 528
360	2075 657	3	2298 908	3	2522 159
390	2086 288	1	2309 539	1	2532 790
420	2096 919	6	2320 170	6	2543 421
450	2107 550	4	2330 801	4	2554 052
480	2118 181	2	2341 432	2	2564 683
510	2128 812	0	2352 063	0	2575 314
540	2139 443	5	2362 694	5	2585 945
570	2150 074	3	2373 325	3	2596 576
600	2160 705	1	2383 956	1	2607 207

Tafel I b.

Nach den arabischen Astronomen.

Jahr	Kal.	Jahr	Kal.	Jahr	Kal.
0	1948 084	5	2171 335	5	2394 586
30	1958 715	3	2181 906	3	2405 217
60	1969 346	1	2192 507	1	2415 848
90	1979 077	6	2203 228	6	2426 479
120	1990 008	4	2213 859	4	2437 110
150	2001 239	2	2224 490	2	2447 741
180	2011 870	0	2235 121	0	2458 372
210	2022 501	5	2245 752	5	2469 003
240	2033 132	3	2256 383	3	2479 634
270	2043 763	1	2267 014	1	2490 265
300	2054 394	6	2277 645	6	2500 896
330	2065 025	4	2288 276	4	2511 527
360	2075 656	2	2298 907	2	2522 158
390	2086 287	0	2309 538	0	2532 789
420	2096 918	5	2320 169	5	2543 420
450	2107 549	3	2330 800	3	2554 051
480	2118 180	1	2341 431	1	2564 682
510	2128 811	6	2352 062	6	2575 313
540	2139 442	4	2362 693	4	2585 944
570	2150 073	2	2373 324	2	2596 575
600	2160 704	0	2383 955	0	2607 206

Tafel II a.

Das 15. Jahr des dreissigjährigen Cycles ist Schaltjahr.

Jahr	1	2	3	4	5	6	7	8	9	10	11	12
Moharrem	Safar	Rebi el-awwel	Rebi el-aceher	Ischemadil el-awwel	Ischemadil el-aceher	Hedscheb	Schaban	Ramadan	Schewwal	Dsch. T-kele	Dsch. T-hedsche	Kauderzahl
00	000	030	059	089	118	148	177	207	236	266	295	325
01	354	384	413	443	472	502	531	561	590	620	649	679
02	708	738	767	797	826	856	885	915	944	974	1003	1033
03	1 063	1 093	1 122	1 151	1 181	1 210	1 240	1 270	1 300	1 330	1 359	1 389
04	1 417	1 447	1 476	1 506	1 535	1 565	1 594	1 624	1 653	1 683	1 712	1 742
05	1 771	1 801	1 830	1 860	1 889	1 919	1 948	1 978	2 007	2 037	2 066	2 096
06	2 120	2 150	2 185	2 215	2 244	2 274	2 303	2 333	2 362	2 392	2 421	2 451
07	2 480	2 510	2 549	2 589	2 628	2 667	2 707	2 746	2 785	2 825	2 864	2 903
08	835	865	894	924	953	983	1 012	1 042	1 071	1 101	1 130	1 160
09	3 189	3 219	3 248	3 278	3 307	3 337	3 366	3 396	3 425	3 455	3 484	3 514
10	543	573	602	632	661	691	720	750	779	809	838	868
11	898	928	957	987	1 016	1 046	1 075	1 105	1 134	1 164	1 193	1 223
12	4 252	4 282	4 311	4 341	4 370	4 400	4 430	4 460	4 490	4 520	4 550	4 580
13	606	636	665	695	724	754	783	813	842	872	901	931
14	961	991	1 020	1 050	1 079	1 109	1 138	1 168	1 197	1 227	1 256	1 286
15	5 315	5 345	5 374	5 404	5 433	5 463	5 492	5 521	5 551	5 580	5 610	5 640
16	670	700	730	759	788	818	847	877	906	936	965	995
17	6 024	6 054	6 083	6 113	6 142	6 172	6 201	6 231	6 260	6 290	6 319	6 349
18	378	408	437	467	496	525	555	585	614	644	673	703
19	733	763	793	822	851	881	910	940	969	999	1 028	1 058
20	7 087	7 117	7 146	7 176	7 205	7 235	7 264	7 294	7 323	7 353	7 382	7 412
21	441	471	500	530	559	589	618	648	677	707	736	766
22	796	826	855	885	914	944	973	1 003	1 032	1 062	1 091	1 121
23	8 150	8 180	8 209	8 238	8 268	8 297	8 327	8 356	8 386	8 415	8 445	8 475
24	504	534	563	593	622	652	681	711	740	770	799	829
25	859	889	918	948	977	1 007	1 036	1 066	1 095	1 125	1 154	1 184
26	9 213	9 243	9 272	9 301	9 331	9 360	9 390	9 420	9 450	9 480	9 510	9 540
27	568	598	627	657	686	716	745	775	804	834	863	893
28	922	952	981	1 011	1 040	1 070	1 100	1 130	1 160	1 190	1 220	1 250
29	10 276	10 306	10 335	10 365	10 394	10 424	10 453	10 483	10 512	10 542	10 571	10 601

Tafel II b.

Das 16. Jahr des dreissigjährigen Cycles ist Schaltjahr.

Jahr	1	2	3	4	5	6	7	8	9	10	11	12
Moharrem	Safar	Rebi el-awwel	Rebi el-aceher	Ischemadil el-awwel	Ischemadil el-aceher	Hedscheb	Schaban	Ramadan	Schewwal	Dsch. T-kele	Dsch. T-hedsche	Kauderzahl
00	000	030	059	089	118	148	177	207	236	266	295	325
01	354	384	413	443	472	502	531	561	590	620	649	679
02	708	738	767	797	826	856	885	915	944	974	1 003	1 033
03	1 063	1 093	1 122	1 151	1 181	1 210	1 240	1 270	1 300	1 330	1 359	1 389
04	1 417	1 447	1 476	1 506	1 535	1 565	1 594	1 624	1 653	1 683	1 712	1 742
05	1 771	1 801	1 830	1 860	1 889	1 919	1 948	1 978	2 007	2 037	2 066	2 096
06	2 120	2 150	2 185	2 215	2 244	2 274	2 303	2 333	2 362	2 392	2 421	2 451
07	2 480	2 510	2 549	2 589	2 628	2 667	2 707	2 746	2 785	2 825	2 864	2 903
08	835	865	894	924	953	983	1 012	1 042	1 071	1 101	1 130	1 160
09	3 189	3 219	3 248	3 278	3 307	3 337	3 366	3 396	3 425	3 455	3 484	3 514
10	543	573	602	632	661	691	720	750	779	809	838	868
11	898	928	957	987	1 016	1 046	1 075	1 105	1 134	1 164	1 193	1 223
12	4 252	4 282	4 311	4 341	4 370	4 400	4 430	4 460	4 490	4 520	4 550	4 580
13	606	636	665	695	724	754	783	813	842	872	901	931
14	961	991	1 020	1 050	1 079	1 109	1 138	1 168	1 197	1 227	1 256	1 286
15	5 315	5 345	5 374	5 404	5 433	5 463	5 492	5 521	5 551	5 580	5 610	5 640
16	670	700	730	759	788	818	847	877	906	936	965	995
17	6 024	6 054	6 083	6 113	6 142	6 172	6 201	6 231	6 260	6 290	6 319	6 349
18	378	408	437	467	496	525	555	585	614	644	673	703
19	733	763	793	822	851	881	910	940	969	999	1 028	1 058
20	7 087	7 117	7 146	7 176	7 205	7 235	7 264	7 294	7 323	7 353	7 382	7 412
21	441	471	500	530	559	589	618	648	677	707	736	766
22	796	826	855	885	914	944	973	1 003	1 032	1 062	1 091	1 121
23	8 150	8 180	8 209	8 238	8 268	8 297	8 327	8 356	8 386	8 415	8 445	8 475
24	504	534	563	593	622	652	681	711	740	770	799	829
25	859	889	918	948	977	1 007	1 036	1 066	1 095	1 125	1 154	1 184
26	9 213	9 243	9 272	9 301	9 331	9 360	9 390	9 420	9 450	9 480	9 510	9 540
27	568	598	627	657	686	716	745	775	804	834	863	893
28	922	952	981	1 011	1 040	1 070	1 100	1 130	1 160	1 190	1 220	1 250
29	10 276	10 306	10 335	10 365	10 394	10 424	10 453	10 483	10 512	10 542	10 571	10 601

Hilfstafeln für Chronologie.

ANHANG.

Tafel zur Berechnung der Mondphasen. (Mit Benützung der Argumente der Popolze'schen Syzygielformeln.)

Tafel I.

T_1	A_1	B_1	T_2	A_2	B_2	T_3	A_3	B_3	T_4	A_4	B_4	T_5	A_5	B_5	T_6	A_6	B_6	T_7	A_7	B_7	T_8	A_8	B_8	T_9	A_9	B_9	T_{10}	A_{10}	B_{10}	T_{11}	A_{11}	B_{11}	T_{12}	A_{12}	B_{12}	T_{13}	A_{13}	B_{13}	T_{14}	A_{14}	B_{14}	T_{15}	A_{15}	B_{15}	T_{16}	A_{16}	B_{16}	T_{17}	A_{17}	B_{17}	T_{18}	A_{18}	B_{18}	T_{19}	A_{19}	B_{19}	T_{20}	A_{20}	B_{20}	T_{21}	A_{21}	B_{21}	T_{22}	A_{22}	B_{22}	T_{23}	A_{23}	B_{23}	T_{24}	A_{24}	B_{24}	T_{25}	A_{25}	B_{25}	T_{26}	A_{26}	B_{26}	T_{27}	A_{27}	B_{27}	T_{28}	A_{28}	B_{28}	T_{29}	A_{29}	B_{29}	T_{30}	A_{30}	B_{30}	T_{31}	A_{31}	B_{31}	T_{32}	A_{32}	B_{32}	T_{33}	A_{33}	B_{33}	T_{34}	A_{34}	B_{34}	T_{35}	A_{35}	B_{35}	T_{36}	A_{36}	B_{36}	T_{37}	A_{37}	B_{37}	T_{38}	A_{38}	B_{38}	T_{39}	A_{39}	B_{39}	T_{40}	A_{40}	B_{40}	T_{41}	A_{41}	B_{41}	T_{42}	A_{42}	B_{42}	T_{43}	A_{43}	B_{43}	T_{44}	A_{44}	B_{44}	T_{45}	A_{45}	B_{45}	T_{46}	A_{46}	B_{46}	T_{47}	A_{47}	B_{47}	T_{48}	A_{48}	B_{48}	T_{49}	A_{49}	B_{49}	T_{50}	A_{50}	B_{50}	T_{51}	A_{51}	B_{51}	T_{52}	A_{52}	B_{52}	T_{53}	A_{53}	B_{53}	T_{54}	A_{54}	B_{54}	T_{55}	A_{55}	B_{55}	T_{56}	A_{56}	B_{56}	T_{57}	A_{57}	B_{57}	T_{58}	A_{58}	B_{58}	T_{59}	A_{59}	B_{59}	T_{60}	A_{60}	B_{60}	T_{61}	A_{61}	B_{61}	T_{62}	A_{62}	B_{62}	T_{63}	A_{63}	B_{63}	T_{64}	A_{64}	B_{64}	T_{65}	A_{65}	B_{65}	T_{66}	A_{66}	B_{66}	T_{67}	A_{67}	B_{67}	T_{68}	A_{68}	B_{68}	T_{69}	A_{69}	B_{69}	T_{70}	A_{70}	B_{70}	T_{71}	A_{71}	B_{71}	T_{72}	A_{72}	B_{72}	T_{73}	A_{73}	B_{73}	T_{74}	A_{74}	B_{74}	T_{75}	A_{75}	B_{75}	T_{76}	A_{76}	B_{76}	T_{77}	A_{77}	B_{77}	T_{78}	A_{78}	B_{78}	T_{79}	A_{79}	B_{79}	T_{80}	A_{80}	B_{80}	T_{81}	A_{81}	B_{81}	T_{82}	A_{82}	B_{82}	T_{83}	A_{83}	B_{83}	T_{84}	A_{84}	B_{84}	T_{85}	A_{85}	B_{85}	T_{86}	A_{86}	B_{86}	T_{87}	A_{87}	B_{87}	T_{88}	A_{88}	B_{88}	T_{89}	A_{89}	B_{89}	T_{90}	A_{90}	B_{90}	T_{91}	A_{91}	B_{91}	T_{92}	A_{92}	B_{92}	T_{93}	A_{93}	B_{93}	T_{94}	A_{94}	B_{94}	T_{95}	A_{95}	B_{95}	T_{96}	A_{96}	B_{96}	T_{97}	A_{97}	B_{97}	T_{98}	A_{98}	B_{98}	T_{99}	A_{99}	B_{99}	T_{100}	A_{100}	B_{100}	T_{101}	A_{101}	B_{101}	T_{102}	A_{102}	B_{102}	T_{103}	A_{103}	B_{103}	T_{104}	A_{104}	B_{104}	T_{105}	A_{105}	B_{105}	T_{106}	A_{106}	B_{106}	T_{107}	A_{107}	B_{107}	T_{108}	A_{108}	B_{108}	T_{109}	A_{109}	B_{109}	T_{110}	A_{110}	B_{110}	T_{111}	A_{111}	B_{111}	T_{112}	A_{112}	B_{112}	T_{113}	A_{113}	B_{113}	T_{114}	A_{114}	B_{114}	T_{115}	A_{115}	B_{115}	T_{116}	A_{116}	B_{116}	T_{117}	A_{117}	B_{117}	T_{118}	A_{118}	B_{118}	T_{119}	A_{119}	B_{119}	T_{120}	A_{120}	B_{120}	T_{121}	A_{121}	B_{121}	T_{122}	A_{122}	B_{122}	T_{123}	A_{123}	B_{123}	T_{124}	A_{124}	B_{124}	T_{125}	A_{125}	B_{125}	T_{126}	A_{126}	B_{126}	T_{127}	A_{127}	B_{127}	T_{128}	A_{128}	B_{128}	T_{129}	A_{129}	B_{129}	T_{130}	A_{130}	B_{130}	T_{131}	A_{131}	B_{131}	T_{132}	A_{132}	B_{132}	T_{133}	A_{133}	B_{133}	T_{134}	A_{134}	B_{134}	T_{135}	A_{135}	B_{135}	T_{136}	A_{136}	B_{136}	T_{137}	A_{137}	B_{137}	T_{138}	A_{138}	B_{138}	T_{139}	A_{139}	B_{139}	T_{140}	A_{140}	B_{140}	T_{141}	A_{141}	B_{141}	T_{142}	A_{142}	B_{142}	T_{143}	A_{143}	B_{143}	T_{144}	A_{144}	B_{144}	T_{145}	A_{145}	B_{145}	T_{146}	A_{146}	B_{146}	T_{147}	A_{147}	B_{147}	T_{148}	A_{148}	B_{148}	T_{149}	A_{149}	B_{149}	T_{150}	A_{150}	B_{150}	T_{151}	A_{151}	B_{151}	T_{152}	A_{152}	B_{152}	T_{153}	A_{153}	B_{153}	T_{154}	A_{154}	B_{154}	T_{155}	A_{155}	B_{155}	T_{156}	A_{156}	B_{156}	T_{157}	A_{157}	B_{157}	T_{158}	A_{158}	B_{158}	T_{159}	A_{159}	B_{159}	T_{160}	A_{160}	B_{160}	T_{161}	A_{161}	B_{161}	T_{162}	A_{162}	B_{162}	T_{163}	A_{163}	B_{163}	T_{164}	A_{164}	B_{164}	T_{165}	A_{165}	B_{165}	T_{166}	A_{166}	B_{166}	T_{167}	A_{167}	B_{167}	T_{168}	A_{168}	B_{168}	T_{169}	A_{169}	B_{169}	T_{170}	A_{170}	B_{170}	T_{171}	A_{171}	B_{171}	T_{172}	A_{172}	B_{172}	T_{173}	A_{173}	B_{173}	T_{174}	A_{174}	B_{174}	T_{175}	A_{175}	B_{175}	T_{176}	A_{176}	B_{176}	T_{177}	A_{177}	B_{177}	T_{178}	A_{178}	B_{178}	T_{179}	A_{179}	B_{179}	T_{180}	A_{180}	B_{180}	T_{181}	A_{181}	B_{181}	T_{182}	A_{182}	B_{182}	T_{183}	A_{183}	B_{183}	T_{184}	A_{184}	B_{184}	T_{185}	A_{185}	B_{185}	T_{186}	A_{186}	B_{186}	T_{187}	A_{187}	B_{187}	T_{188}	A_{188}	B_{188}	T_{189}	A_{189}	B_{189}	T_{190}	A_{190}	B_{190}	T_{191}	A_{191}	B_{191}	T_{192}	A_{192}	B_{192}	T_{193}	A_{193}	B_{193}	T_{194}	A_{194}	B_{194}	T_{195}	A_{195}	B_{195}	T_{196}	A_{196}	B_{196}	T_{197}	A_{197}	B_{197}	T_{198}	A_{198}	B_{198}	T_{199}	A_{199}	B_{199}	T_{200}	A_{200}	B_{200}	T_{201}	A_{201}	B_{201}	T_{202}	A_{202}	B_{202}	T_{203}	A_{203}	B_{203}	T_{204}	A_{204}	B_{204}	T_{205}	A_{205}	B_{205}	T_{206}	A_{206}	B_{206}	T_{207}	A_{207}	B_{207}	T_{208}	A_{208}	B_{208}	T_{209}	A_{209}	B_{209}	T_{210}	A_{210}	B_{210}	T_{211}	A_{211}	B_{211}	T_{212}	A_{212}	B_{212}	T_{213}	A_{213}	B_{213}	T_{214}	A_{214}	B_{214}	T_{215}	A_{215}	B_{215}	T_{216}	A_{216}	B_{216}	T_{217}	A_{217}	B_{217}	T_{218}	A_{218}	B_{218}	T_{219}	A_{219}	B_{219}	T_{220}	A_{220}	B_{220}	T_{221}	A_{221}	B_{221}	T_{222}	A_{222}	B_{222}	T_{223}	A_{223}	B_{223}	T_{224}	A_{224}	B_{224}	T_{225}	A_{225}	B_{225}	T_{226}	A_{226}	B_{226}	T_{227}	A_{227}	B_{227}	T_{228}	A_{228}	B_{228}	T_{229}	A_{229}	B_{229}	T_{230}	A_{230}	B_{230}	T_{231}	A_{231}	B_{231}	T_{232}	A_{232}	B_{232}	T_{233}	A_{233}	B_{233}	T_{234}	A_{234}	B_{234}	T_{235}	A_{235}	B_{235}	T_{236}	A_{236}	B_{236}	T_{237}	A_{237}	B_{237}	T_{238}	A_{238}	B_{238}	T_{239}	A_{239}	B_{239}	T_{240}	A_{240}	B_{240}	T_{241}	A_{241}	B_{241}	T_{242}	A_{242}	B_{242}	T_{243}	A_{243}	B_{243}	T_{244}	A_{244}	B_{244}	T_{245}	A_{245}	B_{245}	T_{246}	A_{246}	B_{246}	T_{247}	A_{247}	B_{247}	T_{248}	A_{248}	B_{248}	T_{249}	A_{249}	B_{249}	T_{250}	A_{250}	B_{250}	T_{251}	A_{251}	B_{251}	T_{252}	A_{252}	B_{252}	T_{253}	A_{253}	B_{253}	T_{254}	A_{254}	B_{254}	T_{255}	A_{255}	B_{255}	T_{256}	A_{256}	B_{256}	T_{257}	A_{257}	B_{257}	T_{258}	A_{258}	B_{258}	T_{259}	A_{259}	B_{259}	T_{260}	A_{260}	B_{260}	T_{261}	A_{261}	B_{261}	T_{262}	A_{262}	B_{262}	T_{263}	A_{263}	B_{263}	T_{264}	A_{264}	B_{264}	T_{265}	A_{265}	B_{265}	T_{266}	A_{266}	B_{266}	T_{267}	A_{267}	B_{267}	T_{268}	A_{268}	B_{268}	T_{269}	A_{269}	B_{269}	T_{270}	A_{270}	B_{270}	T_{271}	A_{271}	B_{271}	T_{272}	A_{272}	B_{272}	T_{273}	A_{273}	B_{273}	T_{274}	A_{274}	B_{274}	T_{275}	A_{275}	B_{275}	T_{276}	A_{276}	B_{276}	T_{277}	A_{277}	B_{277}	T_{278}	A_{278}	B_{278}	T_{279}	A_{279}	B_{279}	T_{280}	A_{280}	B_{280}	T_{281}	A_{281}	B_{281}	T_{282}	A_{282}	B_{282}	T_{283}	A_{283}	B_{283}	T_{284}	A_{284}	B_{284}	T_{285}	A_{285}	B_{285}	T_{286}	A_{286}	B_{286}	T_{287}	A_{287}	B_{287}	T_{288}	A_{288}	B_{288}	T_{289}	A_{289}	B_{289}	T_{290}	A_{290}	B_{290}	T_{291}	A_{291}	B_{291}	T_{292}	A_{292}	B_{292}	T_{293}	A_{293}	B_{293}	T_{294}	A_{294}	B_{294}	T_{295}	A_{295}	B_{295}	T_{296}	A_{296}	B_{296}	T_{297}	A_{297}	B_{297}	T_{298}	A_{298}	B_{298}	T_{299}	A_{299}	B_{299}	T_{300}	A_{300}	B_{300}	T_{301}	A_{301}	B_{301}	T_{302}	A_{302}	B_{302}	T_{303}	A_{303}	B_{303}	T_{304}	A_{304}	B_{304}	T_{305}	A_{305}	B_{305}	T_{306}	A_{306}	B_{306}	T_{307}	A_{307}	B_{307}	T_{308}	A_{308}	B_{308}	T_{309}	A_{309}	B_{309}	T_{310}	A_{310}	B_{310}	T_{311}	A_{311}	B_{311}	T_{312}	A_{312}	B_{312}	T_{313}	A_{313}	B_{313}	T_{314}	A_{314}	B_{314}	T_{315}	A_{315}	B_{315}	T_{316}	A_{316}	B_{316}	T_{317}	A_{317}	B_{317}	T_{318}	A_{318}	B_{318}	T_{319}	A_{319}	B_{319}	T_{320}	A_{320}	B_{320}
-------	-------	-------	-------	-------	-------	-------	-------	-------	-------	-------	-------	-------	-------	-------	-------	-------	-------	-------	-------	-------	-------	-------	-------	-------	-------	-------	----------	----------	----------	----------	----------	----------	----------	----------	----------	----------	----------	----------	----------	----------	----------	----------	----------	----------	----------	----------	----------	----------	----------	----------	----------	----------	----------	----------	----------	----------	----------	----------	----------	----------	----------	----------	----------	----------	----------	----------	----------	----------	----------	----------	----------	----------	----------	----------	----------	----------	----------	----------	----------	----------	----------	----------	----------	----------	----------	----------	----------	----------	----------	----------	----------	----------	----------	----------	----------	----------	----------	----------	----------	----------	----------	----------	----------	----------	----------	----------	----------	----------	----------	----------	----------	----------	----------	----------	----------	----------	----------	----------	----------	----------	----------	----------	----------	----------	----------	----------	----------	----------	----------	----------	----------	----------	----------	----------	----------	----------	----------	----------	----------	----------	----------	----------	----------	----------	----------	----------	----------	----------	----------	----------	----------	----------	----------	----------	----------	----------	----------	----------	----------	----------	----------	----------	----------	----------	----------	----------	----------	----------	----------	----------	----------	----------	----------	----------	----------	----------	----------	----------	----------	----------	----------	----------	----------	----------	----------	----------	----------	----------	----------	----------	----------	----------	----------	----------	----------	----------	----------	----------	----------	----------	----------	----------	----------	----------	----------	----------	----------	----------	----------	----------	----------	----------	----------	----------	----------	----------	----------	----------	----------	----------	----------	----------	----------	----------	----------	----------	----------	----------	----------	----------	----------	----------	----------	----------	----------	----------	----------	----------	----------	----------	----------	----------	----------	----------	----------	----------	----------	----------	----------	----------	----------	----------	----------	----------	----------	----------	----------	----------	----------	----------	----------	----------	----------	----------	----------	----------	----------	----------	----------	----------	----------	----------	----------	----------	----------	----------	----------	----------	----------	----------	----------	----------	----------	----------	----------	----------	----------	----------	----------	----------	----------	----------	----------	----------	----------	----------	-----------	-----------	-----------	-----------	-----------	-----------	-----------	-----------	-----------	-----------	-----------	-----------	-----------	-----------	-----------	-----------	-----------	-----------	-----------	-----------	-----------	-----------	-----------	-----------	-----------	-----------	-----------	-----------	-----------	-----------	-----------	-----------	-----------	-----------	-----------	-----------	-----------	-----------	-----------	-----------	-----------	-----------	-----------	-----------	-----------	-----------	-----------	-----------	-----------	-----------	-----------	-----------	-----------	-----------	-----------	-----------	-----------	-----------	-----------	-----------	-----------	-----------	-----------	-----------	-----------	-----------	-----------	-----------	-----------	-----------	-----------	-----------	-----------	-----------	-----------	-----------	-----------	-----------	-----------	-----------	-----------	-----------	-----------	-----------	-----------	-----------	-----------	-----------	-----------	-----------	-----------	-----------	-----------	-----------	-----------	-----------	-----------	-----------	-----------	-----------	-----------	-----------	-----------	-----------	-----------	-----------	-----------	-----------	-----------	-----------	-----------	-----------	-----------	-----------	-----------	-----------	-----------	-----------	-----------	-----------	-----------	-----------	-----------	-----------	-----------	-----------	-----------	-----------	-----------	-----------	-----------	-----------	-----------	-----------	-----------	-----------	-----------	-----------	-----------	-----------	-----------	-----------	-----------	-----------	-----------	-----------	-----------	-----------	-----------	-----------	-----------	-----------	-----------	-----------	-----------	-----------	-----------	-----------	-----------	-----------	-----------	-----------	-----------	-----------	-----------	-----------	-----------	-----------	-----------	-----------	-----------	-----------	-----------	-----------	-----------	-----------	-----------	-----------	-----------	-----------	-----------	-----------	-----------	-----------	-----------	-----------	-----------	-----------	-----------	-----------	-----------	-----------	-----------	-----------	-----------	-----------	-----------	-----------	-----------	-----------	-----------	-----------	-----------	-----------	-----------	-----------	-----------	-----------	-----------	-----------	-----------	-----------	-----------	-----------	-----------	-----------	-----------	-----------	-----------	-----------	-----------	-----------	-----------	-----------	-----------	-----------	-----------	-----------	-----------	-----------	-----------	-----------	-----------	-----------	-----------	-----------	-----------	-----------	-----------	-----------	-----------	-----------	-----------	-----------	-----------	-----------	-----------	-----------	-----------	-----------	-----------	-----------	-----------	-----------	-----------	-----------	-----------	-----------	-----------	-----------	-----------	-----------	-----------	-----------	-----------	-----------	-----------	-----------	-----------	-----------	-----------	-----------	-----------	-----------	-----------	-----------	-----------	-----------	-----------	-----------	-----------	-----------	-----------	-----------	-----------	-----------	-----------	-----------	-----------	-----------	-----------	-----------	-----------	-----------	-----------	-----------	-----------	-----------	-----------	-----------	-----------	-----------	-----------	-----------	-----------	-----------	-----------	-----------	-----------	-----------	-----------	-----------	-----------	-----------	-----------	-----------	-----------	-----------	-----------	-----------	-----------	-----------	-----------	-----------	-----------	-----------	-----------	-----------	-----------	-----------	-----------	-----------	-----------	-----------	-----------	-----------	-----------	-----------	-----------	-----------	-----------	-----------	-----------	-----------	-----------	-----------	-----------	-----------	-----------	-----------	-----------	-----------	-----------	-----------	-----------	-----------	-----------	-----------	-----------	-----------	-----------	-----------	-----------	-----------	-----------	-----------	-----------	-----------	-----------	-----------	-----------	-----------	-----------	-----------	-----------	-----------	-----------	-----------	-----------	-----------	-----------	-----------	-----------	-----------	-----------	-----------	-----------	-----------	-----------	-----------	-----------	-----------	-----------	-----------	-----------	-----------	-----------	-----------	-----------	-----------	-----------	-----------	-----------	-----------	-----------	-----------	-----------	-----------	-----------	-----------	-----------	-----------	-----------	-----------	-----------	-----------	-----------	-----------	-----------	-----------	-----------	-----------	-----------	-----------	-----------	-----------	-----------	-----------	-----------	-----------	-----------	-----------	-----------	-----------	-----------	-----------	-----------	-----------	-----------	-----------	-----------	-----------	-----------	-----------	-----------	-----------	-----------	-----------	-----------	-----------	-----------	-----------	-----------	-----------	-----------	-----------	-----------	-----------	-----------	-----------	-----------	-----------	-----------	-----------	-----------	-----------	-----------	-----------	-----------	-----------	-----------	-----------	-----------	-----------	-----------	-----------	-----------	-----------	-----------	-----------	-----------	-----------	-----------	-----------	-----------	-----------	-----------	-----------	-----------	-----------	-----------	-----------	-----------	-----------	-----------	-----------	-----------	-----------	-----------	-----------	-----------	-----------	-----------	-----------	-----------	-----------	-----------	-----------	-----------	-----------	-----------	-----------	-----------	-----------	-----------	-----------	-----------	-----------	-----------	-----------	-----------	-----------	-----------	-----------	-----------	-----------	-----------	-----------	-----------	-----------	-----------	-----------	-----------	-----------	-----------	-----------	-----------	-----------	-----------	-----------	-----------	-----------	-----------	-----------	-----------	-----------	-----------	-----------	-----------	-----------	-----------	-----------	-----------	-----------	-----------	-----------	-----------	-----------	-----------	-----------	-----------	-----------	-----------	-----------	-----------	-----------	-----------	-----------	-----------	-----------	-----------	-----------	-----------	-----------	-----------	-----------	-----------	-----------	-----------	-----------	-----------	-----------	-----------	-----------	-----------	-----------	-----------	-----------	-----------	-----------	-----------	-----------	-----------	-----------	-----------	-----------	-----------	-----------	-----------	-----------	-----------	-----------	-----------	-----------	-----------	-----------	-----------	-----------	-----------	-----------	-----------	-----------	-----------	-----------	-----------	-----------	-----------	-----------	-----------	-----------	-----------	-----------	-----------	-----------	-----------	-----------	-----------	-----------	-----------	-----------	-----------	-----------	-----------	-----------	-----------	-----------	-----------	-----------	-----------	-----------	-----------	-----------	-----------	-----------	-----------	-----------	-----------	-----------	-----------	-----------	-----------	-----------	-----------	-----------	-----------	-----------	-----------	-----------	-----------	-----------	-----------	-----------	-----------

Inhaltsverzeichnis.

Zodiakaltafel.		Seite	Seite	
Haupttafel	10, 11	Julianische Jahrform	16	
Störungstafel, Zeitgleichung	12, 13	Sonntagsbuchstaben	17	
Multiplikationstafel	14	Concurrente, Wruzeleto	17	
Tafel zur Verwandlung der Tagesbruchtheile	14	Goldene Zahl, Cyclos decemnovialis	17	
		Cyclos Lunae	17	
Tafeln zur Verwandlung in Tage.		Alexandrinische Epakte	17	
I. Festes Sonnenjahr.		Dionysische Epakte	17	
A. Julianische Jahrform.		Julianische Epakte, Osonwane	17	
Julianische Periode	20, 21	Russische Epakte	17	
Jahre der Stadt Rom (ab urbe condita)	20, 21	Ostergrenze, terminus paschalis	17	
Aera der Kalendervorbereitung (Aera Juliana)	20, 21	Claves terminorum	17	
Aera der römischen Kaiser (Aera Augustorum)	20, 21	Regulares paschae	17	
Spanische Aera	20, 21	Buchstaben des römischen Martyrologiums	17	
Christliche Aera (ab incarnatione)	20, 21	Sonnenwinkel	18	
Byzantinische Aera (Aera von Constantia)	33	Indiction	18, 32	
Antiochisch-cäsarische Aera	33, 35	Jahresregent	18	
Aera der Seleuciden (des Zweigehörnten, der Contracte)	33, 35	Jahresanfang	18	
Aera Abraham	35	Abweichungen in der Osterfeier	18	
B. Alexandrinische Jahrform.		Zeit der Einführung des gregorianischen Kalenders	18	
Alexandrinische Weltära	37	Griechisch-römische Periode	18	
Aera des Pausanias oder von Antiochia	37	Periode Louise	18	
Aera des Augustus (Aetische Aera)	37	Osterperiode des Victorius	18	
Aera Diocletians (Martyrerära, Gaudeniarä)	37	Osterperiode des Dionysius	18	
Aera der französischen Republik	39	Immerwährender julianischer Kalender	19	
Aera Dacheleddina	41	Immerwährender gregorianischer Kalender	19	
Armenisch-dacheleddinische Aera	41	Namen einzelner Tage des Jahres	20	
		Festkalender der Christen	22—25	
II. Bewegliches Sonnenjahr.		Jahrform der Römer	26	
Aera Jeselegirda	43	Verzeichnisse der römischen Consuln	27—29	
Uudatvperiode	45	Kalender der Römer	30, 31	
Aera der Scladin	45	Byzantinisches Jahr	32	
Aera Nabonassars	45	Spätere Olympiadenrechnung	32	
Aera Philippi (nach Alexanders Tode)	45	Jahrform der Asianer, Ephesier, Bythynier, Kleinasiar, Creter, Cyprier, Heliopolitaner und Tyrer	34	
Aera der Armenier	45	Aera von Trevis und Jahre des Sieges, actische Aera	34	
III. In längerer Periode ausgeglichenes Sonnenjahr.		Türkisches Sonnenjahr	34	
Aera der Mexicaner	47	Alexandrinische Jahrform	36	
		Aera des Anianus	36	
IV. Siderisches Sonnenjahr.		Monate der Aegyptier, Araber, Kopten und Abessinier	36	
Aera des Kaliyuga	50, 51	Aera und Jahrform von Gaza, Ascalon und Bostra	36	
Aera Parasurama	50, 51	Jahrform und Festtage der Republik	38	
Aera Grahaparivriti	50, 51	Namen der einzelnen Tage des Jahres der Republik	39	
Saka Sairivahana	50, 51	Jahrform der Perser	40, 42	
Vikrant San	50, 51	Dacheleddinische Aera und Jahrform der Armenier	40	
Bengali San	50, 51	Jahrform der Aegyptier und Armenier	41	
Fasli-Aera	50, 51	Regenteneanen des Ptolemäus	44	
		Jahrform der Mexicaner	46	
V. Lunisolarjahr.		Namen der einzelnen Tage des mexicanischen Jahres	46	
Aera des Kaliyuga	52, 53	Siderisches Sonnenjahr der Indier	48	
Buddhistische Aera	52, 53	Festtage des indischen Sonnenjahres	48	
Samvat Vikramaditya	52, 53	Namen der Jahre des Brihaspati-Cyclos	49	
Vaisakhi Samvat	52, 53	Lunisolarjahr der Indier	52	
Siva Sühna Samvat	52, 53	Tithis des indischen Halbmonates	52	
Burmeseische Aera	52, 53	Festtage des indischen Lunisolarjahres	54	
Fasli-Jahr der indischen Westprovinzen	52, 53	Grossere Zeitabschnitte der Indier	54	
Weltära der Juden	56, 57	Jahrform der Juden	55	
Aera der Chinesen	62—65	Molod und Thekphen	55	
Aera der Japanesen	62—65	Festkalender der Juden	58	
Olympiadenära der Griechen	67	Jahrform und Feiertage der Chinesen	59	
VI. Reines Mondjahr.		Mondstationen der Chinesen	59	
Aera der Hedschra	69	Tsie khi oder Halbmonate und Thiercyclos	60	
Erläuterungen und kleinere Zusatztafeln.		Stundeneinteilung der Chinesen	60	
Einleitung	1—8	Tafel der chinesischen Dynastien und Kaiser	61, 62	
Gebrauch der Zodiakaltafeln	9	Namen der einzelnen Jahre des Cyclos	62	
Gebrauch der Kalendariographischen Tafeln	15	Cyclischer Tag und Monatsverschiebung	65	
		Jahrform und Festtage der Griechen	66	
		Jahrform und Festkalender der Türken	68	
		Zusammenstellung der verschiedenen Aeren	70	
		Anhang: Tafel zur Berechnung der Mondphasen		

ÜBER
EINIGE TERTIÄRE FOSSILIEN VON DER INSEL MADURA
NÖRDLICH VON JAVA.

VON
AUGUST BÖHM,
STUD. PHIL.

(Mit 4 Tafeln und 2 Holzschnitten.)

VORGELEGT IN DER SITZUNG DER MATHEMATISCH-NATURWISSENSCHAFTLICHEN CLASSE AM 4. MAI 1882.

Im Laufe des vorigen Jahres erhielt Herr Prof. E. Sness von Herrn Dr. Fr. Schneider aus Soerabaya eine Sendung tertiärer Petrefacten von der Insel Madura, nördlich von Java. Hierunter befand sich insbesondere eine Anzahl von Echinoideen, welche mir zur Bearbeitung übergeben wurden. Dieselben stammen sämmtlich von der Nordküste Maduras bei Sepoloc und sind angeblich eocänen Alters.

Was bisher von javanischen Fossilien beschrieben wurde, rührt zumeist von einer Forschungsreise her, welche Fr. Junghuhn in den Vierziger Jahren unternommen hatte. Das von diesem mitgebrachte Material wurde von J. A. Herklotz bestimmt, welcher auch die Herausgabe eines grösseren Werkes hierüber: „Fossiles de Java“ beabsichtigte, von dem indessen nur die vierte Lieferung, die Echinodermen umfassend, im Jahre 1854 erschienen ist. Bei der Bestimmung selbst sind jedoch mannigfache Irrthümer unterlaufen, so dass K. Martin, welcher später das gesammte von Junghuhn herrührende Material bearbeitete, sich im Anhang zu seinem im Jahre 1880 erschienenen Werke: „Die Tertiärschichten auf Java“ zu einer „Revision der von Herklotz herausgegebenen fossilen Echiniden Javas“ veranlasst sah.

Eine zweite Sorte javanischer Fossilien rührt von der Novara-Expedition her, wurde jedoch, da sie dieselben Arten wie die von Junghuhn gesammelten, enthält, weiter nicht bearbeitet. Dieselbe befindet sich im hiesigen k. k. mineralogischen Hof-Museum.

Was unsere Kenntniss über die Lagerungsverhältnisse der Schichten, aus denen diese Fossilien stammen, betrifft, so ist dieselbe eine ziemlich mangelhafte. Die ersten Angaben hierüber rühren von Junghuhn¹ selbst her, sind jedoch, wie Martin hervorhebt, für die richtige Würdigung der stratigraphischen Verhältnisse nur von höchst untergeordneter Bedeutung, da Junghuhn die einzelnen Localitäten beschreibt, ohne eine präcise

¹ „Java, seine Gestalt, Pflanzendecke und innere Bauart.“ Deutsch von J. K. Hasskarl, 3 Bände, Leipzig 1854 — und „Catalog der geologischen Sammlung von Java.“ Niedergelegt und geordnet im Reichs-Museum für Naturgeschichte zu Leiden.

Darstellung der an ihnen beobachteten Lagerungsverhältnisse zu geben und ohne auch nur den Versuch zu machen, die an den einzelnen Orten beobachteten Schichten mit einander in Verbindung zu bringen. Junghuhn sowohl als auch Herklotz glaubten einige *Conus*-, *Oliva*-, *Ancillaria*- und *Pyrula*-Arten mit jenen des Pari-verbeckens identifizieren zu können und erklärten demzufolge die Tertiärlagerungen Java's für Eocän.

Jenkins¹ hingegen wies das Unrichtige dieser Ansicht nach und hält die Tertiärschichten von Java ihrem Alter nach für ein Äquivalent der Miozänschichten von Bordeaux und des Wienerbeckens. Gelegentlich der Erdmischung der „Novara“ besuchte v. Hochstetter das Land und unternahm eine Reihe von Ausflügen, die sich jedoch wegen der Kürze der Zeit nur auf ein sehr kleines Gebiet erstrecken konnten. In dem Bericht über diese Excursionen² gibt v. Hochstetter eine Gliederung der javanischen Tertiärformation, in welcher die unteren Schichten noch dem Eocän zugezählt werden. Die Veranlassung hierzu gab das Vorkommen von Nummulitenkalcken, welche am Plateau von Bandong als tiefstes Glied der tertiären Sedimente auftreten. v. Hochstetter hält an diesem Vorkommen fest, wiewohl v. Richthofen³ die Ansicht ausgesprochen hatte, dass die Nummulitenformation und eoecäne Bildungen überhaupt auf der ganzen Insel zu fehlen scheinen. Mit den Hochstetter'schen Angaben stimmt die Übersicht, welche R. D. A. Verbeek⁴ gegeben hat, im Wesentlichen überein; auch hier werden die älteren Sedimente als eoecän beschrieben. Dieser Auffassung tritt aber ganz entschieden K. Martin in seinem oben citirten grossen Werke entgegen. Martin macht darauf aufmerksam, dass die von Hochstetter angetroffene Nummulitenart mit einer eoecänen Art nicht sicher identificirt werden konnte, und dass hingegen die Schichte, aus welcher dieselbe stammt, allen Anzeichen nach einem sehr jugendlichen Complex angehört. Die vorgefundene Nummulitenart wurde mit *Nummulites Ramondi* Defr. verglichen und demselben sehr nahe stehend befunden. Martin dagegen meint, dass hier eine dem *N. Ramondi* zwar ähnliche, aber einer jüngeren Zeit angehörige Art vorliege, die möglicherweise selbst noch lebend an den Küsten Javas gefunden werden dürfte. Der Nachweis derartiger Nummuliten sei aber nicht genügend, um die betreffenden Schichten für „Eocän“ zu erklären; hierzu wäre es erforderlich, die Gegenwart von Nummuliten nachzuweisen, „welche speciell mit denen des tropischen Eocän identisch sind und in derselben äppigen Entwicklung wie in Letzterem auftreten“.⁵ Da dies bisher nicht geschehen sei, liege kein Grund vor, diesen Schichtencomplex von den jüngeren mioecänen Ablagerungen zu scheiden.

Als das Gesamtergebniss aller seiner Betrachtungen über das Alter der javanischen Tertiärschichten stellt Martin das folgende Schema hin:

Jüngeres Mioecän (und Pliocän?): Vulkanische Tuffe, stellenweise mit *Cyclotylpeus communis* erfüllt; enthalten am Brengbeng die von Göppert⁶ bearbeiteten fossilen Pflanzen; *Orbitoides* ist hierin selten. Ferner Höhlenkalke an der Südküste West-Javas, bei Tangla, Dedel und Dolog, mit *Cyclotylpeus neglectus* und einzelnen Individuen von *Orbitoides* spec.

Älteres Mioecän: Dichte Kalksteine, vor allem ältere Korallenkalke, welche zahlreiche *Orbitoides* und *Cyclotylpeus* spec. führen. Ferner Sandsteine, zu denen ältere Eruptivgesteine das Material lieferten, der Schichtencomplex bei Tjikao am Tjitirum. Hierin die Schicht mit *Cyclotylpeus annulatus*, daneben *Cycl. neglectus* und zahlreiche Individuen von *Orbitoides*, *Operculina*, *Globigerina* spec.

Unbekannten Alters (Eocän?): Kohlenführende Schichten.

Bei der Vergleichung der bekannten Fossilien mit den noch lebenden Arten kommt Martin zu dem Schluss, dass der wirkliche Percentsatz der recenten Arten in den Tertiärschichten Java's demjenigen der älteren plioränen Ablagerungen Europas etwa gleichkomme und mindestens 50% betragen müsse. Die direct

¹ „On some Tertiary Mollusca from Mount Gela in the Island of Java.“ Quart. Journ. Geol. Soc. 1863.

² „Geologische Ausflüge auf Java.“ Reise der Novara, geol. Theil, II. Bd., S. 113–152.

³ „Bericht über einen Ausflug in Java.“ Zeitschr. d. deutsch. geol. Gesellsch. 1862.

⁴ „Over de Geologie van Java.“ Tijdschrift van het Aardrijkskundig Genootschap te Amsterdam. I. p. 291.

⁵ A. u. O. S. 31.

⁶ „Die Tertiärfloora auf der Insel Java.“ Gravenhage 1854 — und Neues Jahrbuch 1864, p. 177.

abgeleitete Zahl war zwar nur $35\frac{1}{10}$, doch glaubt Martin, wie auch schon Jenkins hervorhob, dass eine grössere Anzahl von Arten, welche als neu beschrieben wurden, später bei der wachsenden Anschauung der Meeresforschung noch lebend angetroffen werden dürfte. Trotz dieses hohen Percentsatzes bezeichnet Martin die javanischen Schichten als „Miocän“, da diese Zahl noch immer nicht zureichend sich erweist für das Pliocän der Tropen; es verträgt sich aber dieser Percentsatz mit der Zuzählung der betreffenden Schichten zu dem tropischen Miocän, wobei es Martin als noch unentschieden hinstellt, ob dieses mit dem Miocän Europas etc. als gleichalterig angesehen werden dürfe, oder nicht.

Als eines der wichtigsten Resultate seiner Untersuchungen betrachtet ferner Martin die Thatsache, dass keines der miocänen Tertiärfacta Javas mit solchen identifizirt werden konnte, welche Tertiärlagerungen, die fern vom Gebiete der heutigen indopacifischen Fauna abgesetzt wurden, angehören; auch stimmt der Charakter der miocänen Fauna Javas nicht nur mit dem der indopacifischen im Allgemeinen überein, sondern zeigt speciell die nächste Verwandtschaft zur Fauna desjenigen Meeres, welches noch heute die Küste Javas umspült.¹

Die mir zur Bearbeitung übergebene kleine Suite von Fossilien von Madura, enthält ansser den Echinoideen, welche ihren wichtigsten Bestandtheil bilden, auch Corallen, Lamellibranchiaten, Brachiopoden (Terebrateln) und einige Gastropoden, jedoch meist in sehr schlecht erhaltenen Exemplaren. Die Corallen haben ein sehr neues Aussehen und dürften wohl zum Theile recent sein. Da bei ihnen der Fundort nicht näher bezeichnet ist, so ist deren Verwerthung kaum möglich. Eine von ihnen konnte übrigens mit *Stylophora digitata* Pallas identifizirt werden. Unter den Lamellibranchiaten befinden sich: *Ostrea hyotis* Linn., *Ostrea lingua* Sow. (?), *Pecten Leopardus* Reeve, *Clementia papyracea* Gray, ferner zwei neue Spondylen, welche unten zur Beschreibung kommen, sowie endlich einige Röhrenstücke, welche ganz genau mit jenen übereinstimmen, welche Martin fälschlich als *Siliquaria bipartita* beschreibt und abbildet. Sie gehören jedoch, wie auch Martin in einer Anmerkung (a. a. O. S. 90) hervorhebt, der *Septaria arenaria* Lam. an, welche Linnée in seinem von Gmelin herausgegebenen Systema naturae 1789 als *Serpula gigantea* auführt. Diese Art wird jetzt dem Genus *Teredo* Linn. gezählt, und zwar dem Subgenus *Kuphus* Guettard = *Septaria* Lam.; vergl. Adams' Genera 1858, p. 648. Von Gastropoden finden sich nur Steinkerne, darunter einige von *Conus striotellus* Jenkins, einer der gemeinsten Arten der javanischen Fauna.

Was nun die Echinoideen betrifft, so hat die Untersuchung derselben ergeben, dass sich, abgesehen von einigen Formen, welche ihres schlechten Erhaltungszustandes wegen unbestimmbar sind, nur eine einzige mit einer bereits bekannten Art identifiziren lässt; es ist dies *Pleurorchinus Javanus*, welchen Martin in der „Revision etc.“ beschreibt und abbildet. Die übrigen Formen sind sämmtlich neu, und zwei davon gehören sogar einer hisher unbeschriebenen Gattung an. Unter den hier nicht zur Beschreibung gelangenden, weil schlecht erhaltenen Exemplaren befindet sich auch ein *Brissus*, welcher mit *B. decliva* und *B. carinatus* Gray einige Ähnlichkeit hat, sich von diesen Formen jedoch dadurch unterscheidet, dass die vorderen Ambulacren fast geradlinig sind, und sein Scheitel viel weiter nach vorne zu gelegen ist, als bei diesen. Der schlechte Erhaltungszustand erlaubt jedoch nicht die Aufstellung einer neuen Art.

In den heutigen Gewässern der Sunda-Inseln sind von den in Folgendem zur Beschreibung gelangenden Gattungen alle jene vorhanden, welche überhaupt durch lebende Arten in der Jetztzeit vertreten sind, so dass sich keine wesentliche innere Verschiedenheit der damaligen Fauna von der heutigen erkennen lässt. Die geringe Zahl des untersuchten Materiales erlaubt jedoch keine weitergehenden Schlüsse in dieser Richtung.

¹ Martin a. a. O. S. 39.

Hipponot Schneldert n. sp.

Taf. I, Fig. 1

Es liegen zwei Exemplare vor, von denen das grössere etwas verzogen ist. Die Abmessungen sind die folgenden:

Grösseres Exemplar:	Durchmesser	70 ^{mm} ,	Höhe	35 ^{mm} ,
kleineres	"	"	30 ^{mm} ,	" 13 ^{mm} .

Die Schale ist somit im Jugendzustande verhältnissmässig etwas niedriger als bei der ausgewachsenen Form.

Die Oberseite der Schale ist gleichmässig und nicht besonders stark gewölbt, die Unterseite ist wulstförmig; der grösste Breitendurchmesser befindet sich nicht an der Basis, sondern etwas höher, im unteren Drittel der Schalenhöhe.

Die Breite der Ambulacraelfelder beträgt mehr als $\frac{1}{2}$ derjenigen der Interambulacraelfelder; auch hier ist bei den verschiedenen Altersstadien insofern ein Unterschied zu beobachten, als die Breite der Ambulacraelfelder mit zunehmendem Alter noch relativ wächst. Die Porenstreifen betragen je $\frac{1}{4}$ der Breite jedes Ambulacraelfeldes.

Die Anordnung der Tüfelchen ist bei dem jungen Exemplare die folgende: Auf je eine Interambulacraelfeld kommen in der Mittelregion zwei ambulacrale Grossplatten, welche aus je zwei ambulacralen Tüfelchen bestehen, zwischen denen ein Halbtüfelchen eingeschaltet ist. Dieses Verhältniss wird nach oben durch Vergrösserung, nach unten dagegen durch Verkleinerung der Interambulacraelfelder etwas abgeändert. Jedes ambulacrale Tüfelchen und Halbtüfelchen ist mit einem Porenpaare versehen, und zwar liegen die Porenpaare des oberen Tüfelchens und des Halbtüfelchens nahe am Rande gegen die Interambulacraelfeld, welcher aber für jede Grossplatte ein convexer ist, so dass das Porenpaar jedes Halbtüfelchens noch etwas weiter gegen die Interambulacraelfeld hinausgeschoben erscheint, als das des zugehörigen oberen Ambulacraelfeldes. Diese



Verschiebung beträgt jedoch kaum die Hälfte der Breite eines Porenpaares, so dass man diese beiden Systeme von Porenpaaren als in einer Reihe stehend betrachten muss. Dagegen ist das Porenpaar jedes unteren Ambulacraelfeldes mehr seiner Mitte genähert, und es ist demnach diese Jugendform charakterisirt durch zwei Porenpaar-

reihen, welche so angeordnet sind, dass immer ein Porenpaar der inneren Reihe mit zwei Paaren der äusseren Reihe alternirt.

Bei dem älteren, grösseren Exemplare entfallen dagegen — und zwar fast auf der ganzen Schalenoberfläche — auf jede Interambulacraelfeld vier ambulacrale Grossplatten, welche letztere eben so zusammengesetzt sind, wie bei dem jungen Exemplare, mit dem einzigen Unterschiede, dass die Trennungstreifen zwischen benachbarten Ambulacraelfeldern bis zur Spitze des zwischen ihnen eingeschalteten Halbtüfelchens vollkommen verwachsen sind. Hier nun liegen nur die Porenpaare der Halbtüfelchen



am Rande, die der unteren Ambulacraelfelder liegen genau in der Mitte der Tafeln, und die der oberen Tüfelchen liegen zwischen diesen beiden Reihen. Wir haben es hier also mit drei Porenpaarreihen zu thun, von

denen die beiden äusseren schnurgerade verlaufen, während die dazwischen befindliche Reihe mehr oder weniger geschwängelt ist. Das bei dem jungen Exemplare bereits angedeutete Anscindertreten der Porenpaare des oberen Ambulacraelfeldes und des Halbtüfelchens ist also bei dem älteren Exemplare bereits durchgeführt, und ausserdem hat sich die Zahl der auf jede Interambulacraelfeld entfallenden ambulacralen Grossplatten von zwei auf vier erhöht. Zu bemerken ist noch, dass bei dem älteren Exemplar die einzelnen Porenpaare einer Reihe einander näher stehen, als die Reihen untereinander, während bei der Jugendform alle diese Abstände unter sich gleich sind.

Man ersieht hieraus, dass die Anordnung der Tafelchen in den Ambulacralfeldern nicht mit den Zeichnungen übereinstimmt, welche A. Agassiz für die Gattung *Hipponoz* entwirft. Das ältere Exemplar hat in dieser Beziehung gar keine Ähnlichkeit mit dem eigentlichen Typus von *Hipponoz*, sondern stimmt nur entfernt mit dem Jugend-Typus dieser Form überein, während hinwieder das jüngere Exemplar mit diesem letzteren nicht stimmt, sondern sich mehr an den Typus von *Echinus* anschliesst. Wir haben es hier also allem Anscheine nach mit einer neuen, bisher noch nicht bekannten Gattung zu thun, und wenn nichtsdestoweniger die hier beschriebene Form noch unter dem Namen *Hipponoz* aufgeführt erscheint, so geschieht dies einzig und allein deshalb, weil es kaum gerechtfertigt werden könnte, auf nur zwei, und noch dazu nicht tadellos erhaltene Exemplare hin eine neue Gattung zu begründen. Sollten einst noch mehrere derartige Exemplare bekannt werden, so dürfte sich dann wohl die Gelegenheit hierzu ergeben.

Was die weiteren Merkmale anbelangt, so ist die ganze Schale des Thieres mit nadrehbohrten Warzen bedeckt, bezüglich deren jedoch eine reihenförmige Anordnung kaum zu beobachten ist; im Allgemeinen entfallen auf jede Tafel zwei bis drei Warzen, wovon die mittlere in der Regel grösser ist, als die beiden anderen. Ausserdem sind noch kleinere Würzchen unregelmässig auf der Schalenoberfläche zerstreut. Die Warzenbedeckung ist auf der Unterseite besser ausgebildet als auf der Oberseite, auf welcher sie, je höher nach oben, desto spärlicher wird und in der Nähe des Scheitels fast ganz verschwindet.

Der Scheitelapparat ist bei keinem der vorliegenden Exemplare erhalten; das Peristom ist eingezogen, rundlich und von mittlerer Grösse; die Ecken desselben sind mit scharfen und ziemlich tiefen Einschnitten versehen.

Es sind bisher von diesem Genus nur zwei fossile Formen bekannt, *H. planus* (Tripneustes Agassiz) aus dem Tertiär von Villeneuve und *H. Parkinsoni*, Cotteau aus Corsica, welche beide Arten sich jedoch sehr nahe stehen und vielleicht in der Folge wieder vereinigt werden dürften. Unsere Art hat mit keiner dieser beiden Ähnlichkeit; die beiden äusseren Porenstreifen sind jederzeit wohl getrennt; die Warzenbedeckung ist unregelmässiger und spärlicher, das Peristom grösser, und die Einschnitte an demselben tiefer und schärfer.

Fundort: Sepoloc, Nordküste von Madura.

Echinolampas depressus n. sp.

Taf. I, Fig. 2

Es liegen zwei Exemplare vor, deren Abmessungen die folgenden sind:

Länge 45^{mm}, Breite 40^{mm}, Höhe 17^{mm},
 „ 42^{mm}, „ 35^{mm}, „ 15^{mm}.

Der Umriss ist oval, mit schwach pentagonalem Charakter, welcher nur an der Hinterseite deutlicher hervortritt, während die Vorderseite, drei Pentagonseiten entsprechend, gerundet ist. Die Oberseite ist flach, am Scheitel etwas eingedrückt, an den Rändern steil abfallend; gegen die Mitte des Hinterrandes zu ist die Schale etwas aufgebläht, und dort befindet sich auch ihr höchster Punkt. Die Unterseite ist am Rande wulstförmig, mit geringen Depressionen an jenen Stellen, an denen die Ambulacren eintünden; die Mitte ist concav.

Der Scheitel liegt excentrisch im zweiten Fünftel der Länge und fällt, wie schon bemerkt, nicht mit der höchsten Schalenerhebung zusammen; die grösste Breite der Schale befindet sich etwas hinter dem dritten Fünftel der Länge und fällt mit dem hinteren pentagonalen Eckenpaare zusammen.

Die Ambulacralfelder sind lanzettlich und divergiren unter annähernd gleichen Winkeln. Die vorderen paarigen Ambulacren sind am längsten, das vordere unpaare ist das kürzeste und ist auch um ein Geringes schmaler als die übrigen. Die Porenpaare sind etwas vertieft, die Interporiferenzonen sind flach und nehmen zwei Drittel der Breite der Ambulacralfelder ein. Bei den paarigen Ambulacren sind die inneren, gegen die

Mitte zu gelegenen Porenreihen etwas länger als die äusseren, und wenden sich in einem sanften Bogen wieder etwas von denselben ab. Die Petalodien reichen bis zum Beginne des gewölbten Abfalles der Oberseite. Die Porenpaare sind gejocht und stehen einander näher als die Poren eines einzelnen Paares. Letztere stehen nicht senkrecht zur Mittellinie ihres Ambulacralfeldes, sondern convergiren nach aufwärts.

Die ganze Schale ist mit feinen Körnchen bedeckt, welche von runden Scrobikeln umgeben sind; auf der Unterseite ist die Körnelung etwas gröber.

Der Scheitelapparat ist nicht erhalten; das Peristom liegt genau unter demselben, ist quer-pentagonal und besitzt eine deutliche Floselle, in deren Furchen die Porenstreifen wieder auftreten. Das Periproct liegt inframarginal; seine ursprüngliche Form ist bei keinem der vorliegenden Exemplare mehr zu erkennen.

Dieser Art schliesst sich sehr nahe die folgende an.

Fundort: Sepoloc, Nordküste von Madura.

Echnolampas elevatus n. sp.

Taf. I, Fig. 3.

Ist der vorigen Art sehr ähnlich und unterscheidet sich von derselben wesentlich nur durch die Form, welche schmaler und höher ist.

Die Abmessungen der vier vorliegenden Exemplare sind die folgenden:

Länge 50 ^{mm} ,	Breite 40 ^{mm} ,	Höhe 22 ^{mm} .
" 50 ^{mm} ,	" 37 ^{mm} ,	" 23 ^{mm} .
" 33 ^{mm} ,	" 28 ^{mm} ,	" 16 ^{mm} .
" 48 ^{mm} ,	" 40 ^{mm} ,	" 16 ^{mm} .

Das letztere Exemplar nähert sich also in seinen Abmessungen bereits der vorigen Art.

Der Umriss der Schale ist bis auf die geringere Breite derselbe wie bei der vorigen Art; die Oberseite dagegen ist nicht flach, sondern sanft gewölbt, mit steilem Abfall an den Rändern; am Scheitel ist sie nicht eingedrückt, sondern dieser bildet im Gegentheile die höchste Erhebung der Schale. Die Anblähung des hinteren Interambulacralfeldes ist auch hier, wenn auch in geringerem Grade, zu beobachten. Die Unterseite ist eben so gestaltet wie bei der vorigen Art.

Im Übrigen besteht ein Unterschied nur noch insoferne, als die Interporiferenzonen hier nicht flach, sondern gewölbt sind. An einem Exemplare liegt der After unsymmetrisch rechts von der Mittellinie, was jedoch nur von einer nachträglichen gewaltsamen Verzerrung herrührt. Bezüglich der Porenzahl der Ambulacralfelder ist kein constanter Unterschied zu beobachten. Die Körnelung der Schale ist die gleiche.

Fundort: Sepoloc, Nordküste von Madura.

Brissonomorphs Mojsvari n. sp.

Taf. II, Fig. 1.

Länge 45^{mm}, Breite 38^{mm}, Höhe 15^{mm}.

Der Umriss ist oval; die Schale ist hinten schnabelförmig ausgezogen und senkrecht abgestutzt. Die Oberseite ist ziemlich flach, seitlich etwas stärker gewölbt, hinten gegen den Schnabel zu kielförmig gestaltet. Die Kieflinie macht die Krümmung der Schale nicht mit, sondern verläuft vollkommen gerade in gleicher Höhe. Der Scheitel liegt excentrisch etwas vor der Mitte. Die Unterseite ist schwach concav, doch zieht ein flacher Rücken vom Peristom, welches genau unter dem Scheitel gelegen ist, bis zum Hinterrande. Die Ränder der Unterseite sind etwas wulstförmig erhaben, bis auf jene Stellen, an denen die Ambulacralfelder einmünden.

Die Ambulacren sind gerade und nicht verengt, das vordere ist verwischt; das vordere Paar divergirt unter einem sehr stumpfen Winkel, das hintere, welches länger ist, unter einem spitzen; die Ambulacren sind mässig

breit; die Hälfte ihrer Breite entfällt auf die Interporiferenzzone. Die Poren sind paarweise gejocht und ungleich, die des inneren Porenstreifen sind rund, die des äusseren dagegen länglich; dieser Unterschied tritt jedoch in der Nähe des Apex minder deutlich hervor, als gegen die Enden der Ambulacren. Die Abstände der Porenpaare von einander sind gleich denen der einzelnen Poren eines jeden Paares. Bei den beiden vorderen Ambulacren sind die Porenpaare auf der Vorderseite minder mächtig entwickelt als auf der Hinterseite. Die Ambulacren verlaufen bis in die Nähe des Randes und zeigen nur eine geringe Tendenz sich zu schliessen; auf der Unterseite tritt das vordere Paar wieder merklich hervor; es ist am Rande eingeschnürt und verbreitert sich bogenförmig gegen die Mitte.

Die Oberseite ist mit zerstreuten Wärzchen bedeckt, die sich theilweise auch auf die Unterseite erstrecken. Die Fasciola peripetala folgt dicht der Begrenzung der Ambulacren; das Vorhandensein der F. subanalis lässt der Erhaltungszustand der abgestützten Schnabelfläche nicht erkennen.

Am Scheitellapparat ist nur mehr die Durchbohrung aller vier Genitaltüpfelchen erkennbar. Das Peristom ist breit-pentagonal, zweilippig; das Periproct, welches dreieckig ist, liegt zu oberst in der verticalen Abstützfläche des schnabelförmigen Auszuges und reicht mit seiner Basis bis in die Mitte dieser Fläche hinab.

Eine ähnliche Art wurde bisher noch nicht beschrieben.

Fundort: Sepoloc, Nordküste von Madura.

Brissonopatus Sundaleus n. sp.

Taf. II, Fig. 2.

Länge 65^{mm}, Breite 60^{mm}, Höhe 27^{mm}.

Der Umriss der Schale ist breit-herzförmig, vorne durch die vordere Ambulacralfurche ziemlich stark eingebuchtet. Die Oberseite ist mittelmässig gewölbt, vorne stärker als hinten. Die Unterseite war bei dem vorliegenden Exemplare mit einem Kalkmörtel bedeckt und zeigte, als sie mit Hilfe des Meissels und der Präparirnadel blossgelegt worden war, eine theilweise Einquetschung, so dass sich über ihre ursprüngliche Gestaltung nicht viel sagen lässt. Im Ganzen scheint sie jedoch ziemlich flach gewesen zu sein, nur gegen den Hinterrand zu macht sich eine geringe Anschwellung bemerkbar. Der Scheitel liegt excentrisch, etwas nach vorne gerückt, der höchste Punkt der Schale befindet sich noch etwas weiter vorne, und genau unter ihm, im ersten Viertel der Länge, liegt das zweilippige, mittelgrosse Peristom.

Das vordere Ambulacralfeld ist verwischt und liegt in einer Furche, die anfangs sehr seicht ist und sich gegen den Rand zu allmählig vertieft; in der Nähe des Scheitels sind noch die wüthigen Poren (nur je eine Reihe) zu erkennen. Die übrigen Ambulacren liegen ebenfalls vertieft, in muldenförmigen Einsenkungen, welche breiter sind als die Ambulacralfelder selbst, und so gestaltet, als ob sie durch Fingereindrücke in eine plastische Masse entstanden wären. Die geradlinigen Ambulacren verlaufen nicht genau in ihrer Mitte, sondern sind, besonders die vorderen, etwas ihrem rückwärtigen Rande genähert; sie sind kurz und allenthalben von gleicher Breite; das vordere Paar divergirt unter einem sehr stumpfen Winkel, das hintere dagegen unter einem ziemlich spitzen; sie reichen etwn bis in die Mitte zwischen Scheitel und Rand. Die Porenpaare, welche aus ovalen Poren bestehen, sind nicht gejocht und stehen von einander ebensoweit ab, als die einzelnen Poren untereinander. Bei den vorderen paarigen Ambulacren sind die vorderen Poriferenzonen schmaler als die hinteren. In der Nähe des Scheitels sind die Poren ungemein fein, nur unter der Loupe erkennbar; erst auf ungefähr der sechsten Ambulacraltafel treten sie erst in der hinteren, und noch einige Tafeln später auch in der vorderen Poriferenzonen plötzlich deutlich hervor. Die hinteren Poriferenzonen lassen an ihrem unteren Ende eine schwache Krümmung nach vorne erkennen.

An Fasciolen ist *F. peripetala* vorhanden; innerhalb derselben war die Schale unregelmässig mit grösseren und kleineren Warzen bedeckt, welche jedoch fast sämtlich abgerieben und abgeschliffen wurden. Die übrige Schale war ungemein fein gekörnelt, doch ist auch dies nur mehr an einigen Stellen zu erkennen, während

der grösste Theil der Schale jetzt glatt erscheint; aus diesem Grunde muss auch die Frage unbeantwortet bleiben, ob nicht etwa auch noch andere Fasciolen vorhanden sind.

Das Periproct ist nicht erhalten.

Von diesem Genus sind bisher zwei Arten bekannt, *B. Caumonti* Cott. von Biarritz und *B. javanicus* Cott. von Tjidamar. Von diesen beiden Formen unterscheidet sich die unserige dadurch, dass bei ihr die paarigen Ambulacren sämtlich gleich lang und geradlinig sind, während bei jenen, und zwar insbesondere bei *B. Caumonti*, die hinteren Ambulacren länger sind als die vorderen, und das vordere Paar nach vorwärts gekrümmt ist. Da ausserdem bei *B. Caumonti* die hinteren Ambulacren enger sind, so besitzt also unsere Form noch am meisten Ähnlichkeit mit *B. javanicus*. — Dames ist der Meinung, dass das Genus *Brissopatagus* sich auf die Danae nicht werde behaupten können, sondern mit *Euspatangus* Cott. (*Eupatagus* Agass.) vereinigt werden dürfte, „denn die etwas verschiedene Beschaffenheit der Ambulacren kann wohl kaum zur Trennung Veranlassung geben.“¹

Von *Eupatagus* aber unterscheidet sich unsere Art durch ihre grössere Breite und Höhe, ferner durch die Einsenkung der Ambulacren, sowie dadurch, dass diese letzteren unten nicht geschlossen sind; ausserdem sind die Porenpaare bei *Eupatagus* gejocht, was hier nicht der Fall ist. Sonst könnte hier nur noch das Genus *Perricosmus* in Betracht kommen, bei welchem jedoch die Porenstreifen gleich, und die Porenpaare ebenfalls gejocht sind. Die Unterscheidung durch die Fasciolen fällt hier leider weg.

Fundort: Sepoloe, Nordküste von Madura.

Hemipatagus Madurae n. sp.

Taf. II, Fig. 3.

Es liegt nur ein Exemplar dieser Art vor, dessen Hinterrand leider nicht vollständig erhalten ist. Die Abmessungen sind:

Länge 55^{mm}, Breite 55^{mm}, Höhe 25^{mm}.

Der Umriss ist ein breit-herzförmiger, eben so breit als lang, vorne durch die schwache Vertiefung des vorderen Ambulacralfeldes ein wenig eingezogen. Die Oberseite ist dachförmig gewölbt; der der Längslinie entsprechende First fällt vom Scheitel nach vorne zu steil, nach hinten dagegen mehr allmählig, bogenförmig ab. Die Verschneidung der Ober- mit der Unterseite ist ziemlich scharf; die letztere ist flach.

Der Scheitel liegt excentrisch im ersten Drittel der Länge und fällt mit der höchsten Schalenenerhebung zusammen. Dagegen besitzt die Schale ihre grösste Breite nicht in jenem Querschnitte, in welchem sie die grösste Höhe aufweist, sondern weiter hinten, in ihrer Mitte.

Das vordere Ambulacralfeld liegt in einer seichten Furche, ist sehr schmal und lässt keine Doppel-, sondern nur zwei einfache Porenreihen erkennen, welche dicht nebeneinander geradlinig und parallel verlaufen. Von den übrigen Ambulacralfeldern ist das vordere Paar speerförmig, das hintere lanzettförmig, sämtlich anfangs ziemlich breit, und dann, besonders die vorderen, sehr spitz zulaufend. Während aber die Gestalt der hinteren Ambulacralfelder eine seitlich-symmetrische ist, ist die der vorderen Felder insofern unsymmetrisch, als sich ihre Mittellinien nicht im Scheitel, sondern vor denselben kreuzen. Die hinteren Ambulacralfelder divergiren unter einem kleineren Winkel als die vorderen. Die Porenpaare sind gejocht und stehen schräge gegen die Axe des zugehörigen Ambulacralfeldes, so zwar, dass sie mit derselben nach aussen und abwärts zu divergiren. Die einzelnen Poren und Porenpaare stehen gleichweit von einander ab. Die Porenreihen sind etwas vertieft und die Interporiferenzen sowohl, als auch besonders die Interambulacralfelder sind stärker gewölbt, als es die allgemeine Wölbung der Schale erfordert.

¹ Die Echiniden der Vicent. Tertiär Ablagerungen, in Dunker u. Zittel „Palaeontographica“, 1878, S. 83.

Die vorderen Interambulacralfelder sind ganz, und die seitlichen bis etwas über ihre Mitte hinaus mit nicht sehr zahlreichen, jedoch grossen und von tiefen Höfen umrandeten Warzen bedeckt, während der übrige Theil der Oberseite glatt ist. Die Warzen stehen vorne etwas dichter, als es weiter hinten der Fall ist; eine Anordnung derselben in Reihen ist nicht zu beobachten. Die Unterseite ist etwas feiner und dichter gekörnelt.

Das Peristom, dessen Form jedoch nicht mehr zu erkennen ist, liegt nicht unter dem ebenfalls nudentlichen Scheitel, sondern etwas weiter vorne. Das Periproct ist nicht erhalten, da der Hinterrand fehlt.

Es erübrigt noch der Vergleich mit den bisher beschriebenen verwandten Formen.

Am nächsten verwandt ist die hier beschriebene Form mit *H. Forbesi*, einer sud-australischen Art (Woods, Geology of South-Australia, p. 75), von welcher sich eine grössere Zahl von Exemplaren in der Sammlung des k. k. mineralogischen Hof-Museums befindet. Doch unterscheiden sich dieselben von der vorliegenden Art ausnahmslos durch eine viel geringere Grösse, obwohl auch unter ihnen Wandlungen in den Grössenverhältnissen zu beobachten sind. Aus letzterem Grunde ist die Annahme ausgeschlossen, dass *H. Forbesi* etwa eine Jugendform der hier beschriebenen Art sei. Ausserdem ist bei *H. Forbesi* die Wölbung der Schale eine geringere, und die grossen Warzen sind auf die Seiten des vorderen Ambulacralspaares beschränkt.

Auch mit *H. tuberculatus* (Novara-Expedition, Taf. XII, Fig. 1) hat die vorliegende Form einige Ähnlichkeit; bei ersterer liegt jedoch das vordere Ambulacralfeld in einer viel tieferen Furche, und das vordere Ambulacralspaar ist bei derselben nicht speer-, sondern lanzettförmig und etwas gebogen. Die Wölbung der Schale ist auch hier eine geringere. Während ferner die vorliegende Form ebenso breit als lang ist, ist *H. tuberculatus* schmaler; bei letzterem beträgt die Länge 65^{mm}, die Breite dagegen nur 55^{mm}.

Fundort: Sepoeloe, Nordküste von Madura.

SPATANGOMORPHA nov. gen.

Charakter: Mittelgross, länglich-oval, niedrig. Vorderes Amb. verwischt, in seichter Furche. Paarige Amb. nicht vertieft, speerförmig, mittellang, gegen unten fast geschlossen. Poriferenzonen in der Nähe des Scheitels etwas verjüngt. Unpaares Interambulacralfeld durch die beiden angrenzenden Ambulacralfelder vom Mundrande abgesperrt. Die fasc. perip. nmgrenzt auf den paarigen Interambulacralfeldern grosse, von tiefen Höfen umgebene Warzen; ausserdem ist die ganze Oberseite fein gekörnelt. Auf der Unterseite ebenfalls grössere und kleinere Warzen. An Fasiolen sind *F. peripetala* und *F. subanalis* vorhanden. Plastron der Unterseite mit Warzen bedeckt.

Näheres über die Gründe, welche zu der Aufstellung dieses Genus Veranlassung gaben, sowie über die Unterschiede zwischen demselben und dem nächst verwandten ist in der folgenden Beschreibung der Art enthalten.

Spatangomorpha extima n. sp.

Taf. III, Fig. 1, 2; Taf. IV, Fig. 1.

Es liegen zwei Exemplare vor; die Abmessungen des grösseren, besser erhaltenen sind:

Länge 58^{mm}, Breite 46^{mm}, Höhe 25^{mm}.

Die Breite des kleineren Exemplares beträgt 42^{mm}; Länge und Höhe sind wegen Abbruch des Hinterrandes nicht mehr festzustellen.

Der Umriss der Schale ist länglich-oval, vorne durch eine seichte Furche ein wenig eingebuchtet, hinten durch eine schräg nach abwärts und vorwärts gerichtete Ebene schwach abgestutzt. Der Scheitel liegt excentrisch etwas vor der Mitte, das Peristom im ersten Drittel der Länge, also nicht so weit vorne, wie es sonst zumeist bei den Spatangiden Regel ist. Ober- und Unterseite sind schwach gewölbt, erstere stärker als die letztere, und beide am Rande stärker als gegen die Mitte zu. Die Schale besitzt ihre grösste Breite etwas vor der Mitte, ihre grösste Höhe dagegen im letzten Drittel, bis wohin die Oberseite von vorne gleichmässig

anstiegt, während sich auf der Unterseite dortselbst ein kleiner Höcker befindet, der nach hinten zu allmählig in die Abstützfläche übergeht.

Das vordere Ambulacrum ist verwischt und liegt in der oberwähnten seichten Furche, die übrigen sind nicht vertieft; das vordere Paar divergiert vom Scheitel weg unter einem verhältnissmässig spitzen Winkel, biegt jedoch in der Mitte seines Verlaufes plötzlich nach aussen ab, so zwar, dass die Enden dieses Paares einen sehr stumpfen, fast gestreckten Winkel mit einander einschliessen. Das hintere Paar divergiert unter einem sehr spitzen Winkel und zeigt, wenn auch erst an seinen Enden, ebenfalls eine schnelle Abkrümmung nach aussen. Die Poriferenzonen, welche aus gleichen, runden Poren bestehen und in der Nähe des Scheitels etwas verjüngt sind, sind zusammen breiter als die Interporiferenzzone; die Porenpaare sind tief gejocht und stehen von einander in gleichen Abständen, wie die einzelnen Poren eines jeden Paares. Die Ambulacren haben die Tendenz, sich nach unten zu schliessen, ohne dies jedoch wirklich vollständig zur Ausführung zu bringen. Die Ambulacrafelder, welche sich gegen die Enden der Petalodien zu verschmälern, beginnen noch vor den Spitzen dieser letzteren allmählig wieder breiter zu werden und treten so über den Rand auf die Unterseite hinab, wo sie sich jedoch alsbald wieder verschmälern. Das vordere Paar erstreckt sich von hier bei gleichmässiger Breitenabnahme zur Mundöffnung, das hintere Paar dagegen verbreitert sich abermals und zwar so plötzlich und stark nach innen, dass das zwischenliegende unpaare Interambulacrafeld derart eingeschnürt wird, dass von demselben nur ein ganz schmaler, kaum $1\frac{1}{4}$ mm breiter Streifen überbleibt. Eine ähnliche Einschnürung findet auch bei *Maretia* statt, jedoch nicht in so hohem Grade. (Vergl. das betreffende Diagramm in Lovén „Etudes sur les Echinoïdées, Fig. 229.) Die äusseren Täfelnreihen der beiden Ambulacrafelder machen diese seitliche Ausdehnung nach innen nicht mit, sie bleiben von derselben unberührt; nur die inneren Täfeln werden hierdurch auf das Doppelte verbreitert, jedoch findet diese Verbreiterung nicht genau in der Richtung der Breitenaxe der Täfeln statt, sondern weicht von dieser etwas nach vorne ab, so dass diese inneren Ambulacraftäfeln in ihrer Mitte — welche dem Ende der äusseren Täfeln entspricht — ein wenig geknickt erscheinen. Bald nachdem jedoch die Ambulacrafelder sich hierdurch einander bis zur Einschnürung des Interambulacrafeldes genähert haben, werden die inneren Ambulacraftäfeln plötzlich um die Hälfte schmaler, so dass sie wieder den äusseren gleichen, und das Interambulacrafeld gewinnt somit seine normale Ausdehnung zurück. Bis hierher bestanden die Ambulacraftäfeln aus niederen Leisten, welche jedoch von nun an durch grössere sechseckige Platten ersetzt werden. Die beiden Ambulacrafelder convergiren nun wieder gleichmässig gegen die Mundöffnung zu, jedoch bevor sie noch dieselbe erreicht haben, $1\frac{1}{4}$ cm von ihr entfernt, vereinigen sie sich vollkommen und sperren das Interambulacrafeld dadurch vom Munde vollständig ab. Etwas ähnliches wurde bisher noch nicht beobachtet, es galt im Gegentheile als ausnahmslose Regel für alle Spatangiden, dass das unpaare Interambulacrafeld mit einer Tafel bis an den Mundrand herantritt. Es schien nun immerhin möglich, dass eine solche Anordnung, wie die in dem vorliegenden Falle, bisher übersehen worden wäre, da bei den fossilen Seeigeln der Erhaltungszustand gerade der Unterseite in der Nähe des Mundes in der Regel ein sehr schlechter ist, so dass die Anordnung der Täfeln in den meisten Fällen nur sehr schwer oder auch wohl gar nicht zu erkennen ist. Aus diesem Grunde wurden sowohl die fossilen Spatangiden, welche sich in der Sammlung des k. k. mineralogischen Hof-Museums befinden, als auch die im k. k. zoologischen Hof-Museum vorfindlichen recenten Formen einer genauen diesbezüglichen Untersuchung unterzogen, welche jedoch die bisherige Regel bestätigte, indem für jede einzelne Gattung deutlich nachgewiesen werden konnte, dass das unpaare Interambulacrafeld in der That mit einer Tafel an den Mundrand herantritt. Die vorliegende Form besitzt also in der Absperrung des unpaaren Interambulacrafeldes vom Mundrand ein wesentliches Charakteristikum, durch welches sie sich sofort von allen übrigen bisher bekannten Spatangiden-Gattungen unterscheidet. Dieser Umstand allein wäre schon hinreichend, die Anstellung einer neuen Gattung zu rechtfertigen, und letzteres ist auch in der That um so mehr der Fall, als auch die übrigen Charaktere der bestehenden Gattungen sich, wie wir sehen werden, mit unserer Form nicht vereinigen lassen.

Die paarigen Interambulacrafelder der Oberseite sind innerhalb der vorhandenen *Fasciola peripetala* mit grossen, durchbohrten Warzen bedeckt, die von stark vertieften Höfen umgeben sind; ausserdem ist die ganze

Oberseite — also sowohl das hintere Interambulacrafeld und die Partien ausserhalb der Fasc. perip., als auch die Ambulacrafelder und die Zwischenräume zwischen den grossen Warzen — fein gekörnelt. Die Unterseite ist einerseits ebenfalls fein gekörnelt und andererseits auch mit grösseren, durchbohrten Wärzchen bedeckt, welche vom Rande gegen den Mund zu an Grösse allmählig zunehmen. Letztere sind in dem mittleren paarigen Interambulacrafelde beiderseits in je zwei concentrischen Partien reihenförmig angeordnet, deren Centren ausserhalb des Schalenrandes liegen. Im unpaaren Interambulacrafelde sind diese Wärzchen kleiner, und in den hinteren paarigen Ambulacrafeldern reichen sie nur soweit als die schmalen, leistenförmigen Täfelchen, während die sechseckigen Platten, die dann an deren Stelle treten, nur die allgemeine feine Körnelung der ganzen Schale aufweisen. Das Plastron ist mit beiden Arten von Wärzchen, wenn auch etwas spärlicher, versehen.

Das Peristom, dessen Lage bereits oben angegeben wurde, ist mittelgross und zweilappig; die Schale ist in seiner Umgebung, besonders vorne, etwas eingezogen. Das Periproet ist rundlich und befindet sich marginal zu oberst auf der abgestutzten Hinterseite. An Fasciolen sind die bereits erwähnte *Fasc. peripetala* und ausserdem eine *F. subanalis* vorhanden, welche in keiner Verbindung mit einander stehen.

Es ist hieraus ersichtlich, dass die in Rede stehende Form einer Gattung zuzuzählen ist, welche in die Reihe *Eupatagus*, *Martia*, *Hemipatagus* gehört, ohne sich jedoch mit einer der hier genannten Typen identifizieren zu lassen. Von *Eupatagus* unterscheidet sich diese Gattung dadurch, dass die paarigen Ambulacren schmaler und nicht ganz geschlossen sind, ferner dadurch, dass die von Höfchen umgebenen Warzen der Oberseite im hinteren Interambulacrafelde ganz fehlen. Von *Martia* unterscheidet sie sich durch das Vorhandensein der *Fasc. peripetala* und die Körnelung des Plastrons. Bei *Hemipatagus* endlich fehlen die Fasciolen ganz, und ausserdem reichen die grossen Warzen der Oberseite nur bis in die Mitte der mittleren paarigen Interambulacrafelder. Hierzu kommt nun noch überhaupt die völlige Absperrung des unpaaren Interambulacrafeldes vom Mundrande, wodurch sich unsere Gattung bei gutem Erhaltungszustande der Unterseite am leichtesten von allen übrigen unterscheidet.

Fundort: Sepoloc, Nordküste von Madura.

Spondylus ornatissimus n. sp.

Taf. III, Fig. 3.

Länge 76^{mm}, Höhe 76^{mm}, Dicke 45^{mm}.

Der Umriss der Schale ist unregelmässig, doch von der kreisrunden Gestalt nicht allzu sehr abweichend; die Wölbung ist mittelmässig, bei der rechten, grösseren Klappe etwas stärker als bei der linken; die grösste Dicke befindet sich in der Mitte der Schalen. Die Wirbel sind bei dem vorliegenden Exemplare nicht erhalten; dasselbe ist auch bezüglich des Schlossrandes der Fall.

Durch ihre ganz ausserordentlich feine radiale Rippung und Körnelung unterscheidet sich diese Art von allen anderen bisher bekannten fossilen und recenten Formen. Zunächst machen sich auf beiden Klappen je 23—25 grobe wulstige Rippen bemerkbar, welche auch eine dem entsprechende Fältelung des Schalenrandes bedingen; von diesen Rippen treten auf jeder Klappe sechs durch kräftigere Entwicklung ganz besonders hervor und sind mit ziemlich starken zahnartigen Stacheln versehen. Ausserdem tritt auf der ganzen Schale noch eine zweite, viel zierlichere Rippung auf, von welcher die grösseren Rippen mitbetroffen werden, und welche so zart ist, dass von einer Rippe zur anderen der ersten 12—15 dieser feineren Streifen sich befinden. Diese letzteren sind ebenfalls mit zahlreichen kleinen Stacheln besetzt, welche indessen zumeist abgerieben sind, so dass nur noch ihre Ansatzpunkte restiren, welche eine ungemein feine Körnelung der Radialrippen bewirken.

Von den recenten Arten kommt dieser Form verhältnissmässig noch am nächsten *Sp. Gaderopus* Linn. aus dem Mittelmeere, obwohl auch hier die Verzierungen noch lange nicht dieselbe Feinheit erreichen. Viel weniger noch ist dies bei den bekannten fossilen Arten der Fall, und auch die von D'Archiac und Haime

aus dem indischen Tertiär beschriebene Spondylen haben keine Ähnlichkeit weder mit dieser noch mit der folgenden Art.

Fundort: Sepoeloc, Nordküste von Madura.

Spondylus minor n. sp.

Taf. III, Fig. 4.

Länge 45^{mm}, Höhe 50^{mm}, Dicke 28^{mm}.

Der Umriss der Schale weicht bei dieser Art viel mehr von der kreisrunden Gestalt ab, als bei der vorigen und nähert sich einer Ellipse, deren grosse Axe um 45° von der Verticallinie nach vorne zu abweicht. Die Wölbung ist etwas schwächer als bei der vorigen Art und nicht gleichmässig, sondern in der Wirbelgegend am stärksten und von da gegen den Unterrand zu allmählig abnehmend, so dass sich die grösste Dicke des Gehäuses in der Nähe der Wirbeln vorfindet. Diese letzteren stehen von einander ziemlich entfernt und sind schwach nach vorne gekrümmt.

Die Verzierungen der Schale sind zwar nicht ganz so fein wie bei der vorigen Art, doch immerhin noch viel feiner als bei allen übrigen. Auf jeder Schale befinden sich 12—15 stärkere mit je 5—7 Stacheln versehene Rippen, zwischen denen sich wiederum je 8—12 ganz feine, gekörnelt Streifen befinden. Die Schalenränder sind nicht gefället.

Von *Sp. ornatus* unterscheidet sich diese Form, abgesehen von der geringeren Grösse, durch ihre mehr unsymmetrische Gestalt, durch die ungleichmässige Wölbung, durch die grössere gegenseitige Entfernung der Wirbel, sowie durch die minder ausgebildete Verzierung. Unter den recenten Arten steht ihr am nächsten *Sp. coccineus* Lam. von den Philippinen.

Fundort: Sepoeloc, Nordküste von Madura.

Anserdem fanden sich, wie bereits erwähnt, noch drei Brachiopoden vor, von denen zwei Terebrateln sind, während das dritte Stüek eine *Waldheimia* sein dürfte. Keines von ihnen lässt sich mit einer bereits bekannten Form identifizieren. Ich lasse eine kurze Beschreibung derselben nebst Abbildung folgen, ohne jedoch, der Dürftigkeit des Materiales wegen, eine Aufstellung neuer Arten zu versuchen.

Terebratula sp.

Taf. IV, Fig. 2.

Länge 43^{mm}, Breite 40^{mm}, Dicke 25^{mm}.

Schale glatt, fast eben so breit als lang, mittelstark gewölbt, Umriss annähernd pentagonal, unten gekrümmt; Schnabel der grösseren Klappe ziemlich massig, vorragend. Die grössere Klappe stärker gewölbt als die kleinere. Die Punkte der stärksten Wölbung entsprechen einander nicht, sondern die grössere Klappe besitzt ihre stärkste Wölbung höher oben als die kleine. Sehr schwacher Sinus auf der kleineren Klappe. Der Rand ist an den Seiten stumpf, unten dagegen schärfer. Anwachsstreifen insbesondere gegen den Stirnrand zu sehr deutlich sichtbar.

Unter recenten Formen steht dieser am nächsten *Terebratula Cubensis* Pourt. (? vitrea Born, non Flem. — Dall in Amer. Journ. Conch. VI), welche jedoch noch weit gedrungener ist als unser Exemplar.

Terebratula sp.

Taf. IV, Fig. 3.

Länge 38^{mm}, Breite 30^{mm}, Dicke 19^{mm}.

Schale glatt, länger als breit, Umriss oval, oben zugespitzt, unten stärker ausgebogen. Die Schale besitzt ihre grösste Breite nicht in der Mitte, sondern weiter unten. Schnabel der grösseren Klappe sehr massig, stark

übergebogen. Die grössere Klappe ist stärker gewölbt als die kleinere; die Punkte der stärksten Wölbung liegen sich senkrecht gegenüber. Seitenwand stumpf, Stirnrand scharf. Anwachsstreifen gegen den Stirnrand zu deutlich sichtbar. Am nächsten verwandt mit der recenten Form *Terebratula globosa* Lam. (soll sein *Waldheimia venosa* Solander Manuser.)

***Waldheimia* sp.**

Taf. IV, Fig. 4.

Länge 23^{mm}, Breite 20^{mm}, Dicke 10^{mm}.

Schale glatt, fast eben so breit als lang; Umriss fast kreisrund mit schwach pentagonalem Charakter. Wölbung schwach, in der Längslinie am stärksten, gegen die Seitenränder zu schwächer werdend, mit dachartigem Abfall. Die Punkte der stärksten Wölbung der beiden Klappen liegen sich senkrecht gegenüber. Schnabel sehr zart, Ränder, auch an den Seiten, sehr scharf. Anwachsstreifen gegen den Stirnrand zu sichtbar. Diese Art ist sehr nahe verwandt mit den einander ebenfalls sehr nahe stehenden Formen *Terebratula picta* Schafh. und *Waldheimia Hilarionis* Meneghini M. S. aus dem Eocän, ist aber von noch geringerer Dicke als diese beiden.

(Wien, paleont. Univ.-Museum.)

ERKLÄRUNG DER TAFELN.

TAFEL I.

Fig. 1. *Hippopot Schneideri* n. sp. Natürliche Grösse.

a Ansicht von oben; b Ansicht von unten; c Ansicht von der Seite. Die unsymmetrische Gestalt rührt von einer nachträglichen Verzeichnung der Form durch äusseren Druck her.

„ 2. *Echinolampas depressus* n. sp. Nat. Grösse.

a Ansicht von oben; b Ansicht von unten; c Ansicht von der Seite.

„ 3. *Echinolampas elevatus* n. sp. Nat. Grösse.

a Ansicht von oben; b Ansicht von unten; c Ansicht von der Seite.

TAFEL II.

Fig. 1. *Irtasomorpha Mojisari* n. sp. Nat. Grösse.

a Ansicht von oben; b Ansicht von unten; c Ansicht von der Seite; d Ansicht von hinten.

„ 2. *Irtasopotagus Sundaicus* n. sp. Nat. Grösse.

a Ansicht von oben; b Ansicht von unten; c Ansicht von der Seite.

„ 3. *Hemipotagus Maduræ* n. sp. Nat. Grösse.

a Ansicht von oben; b Ansicht von unten; c Ansicht von der Seite.

TAFEL III.

Fig. 1. *Spatangomorpha ezimia* n. gen. Nat. Grösse.

a Ansicht von oben; b Ansicht von unten; c Ansicht von der Seite; d Ansicht von hinten.

„ 2. Stück der Unterseite von *Spatangomorpha ezimia*, $1\frac{1}{2}$ mal vergrössert, zur Übersicht des Verhältnisses der hinteren paarigen Ambulacren zum unpaarigen Interambulacralfelde in der Gegend des Afters.

„ 3. *Spondylus ornatusimus* n. sp. Nat. Grösse.

„ 4 a, b. *Spondylus minor* n. sp. Nat. Grösse.

TAFEL IV.

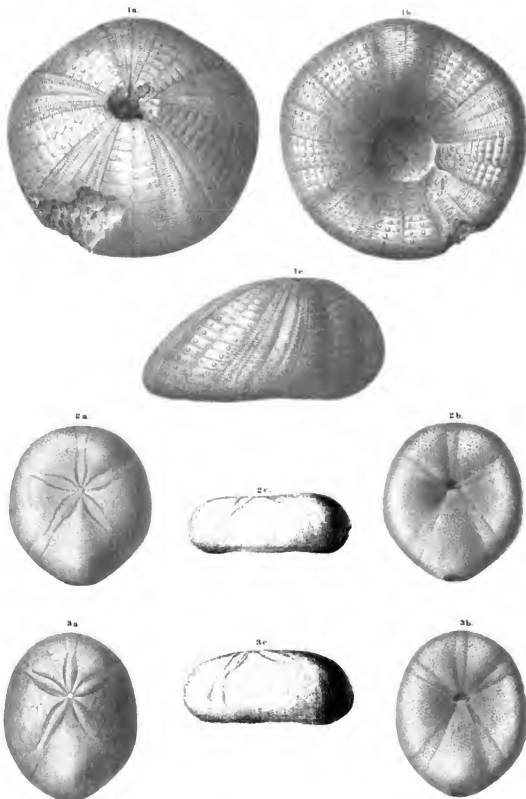
Fig. 1. Diagramm der Schale von *Spatangomorpha ezimia*.

„ 2 a—d. *Terebratula* sp.

„ 3. *Terebratula* sp.

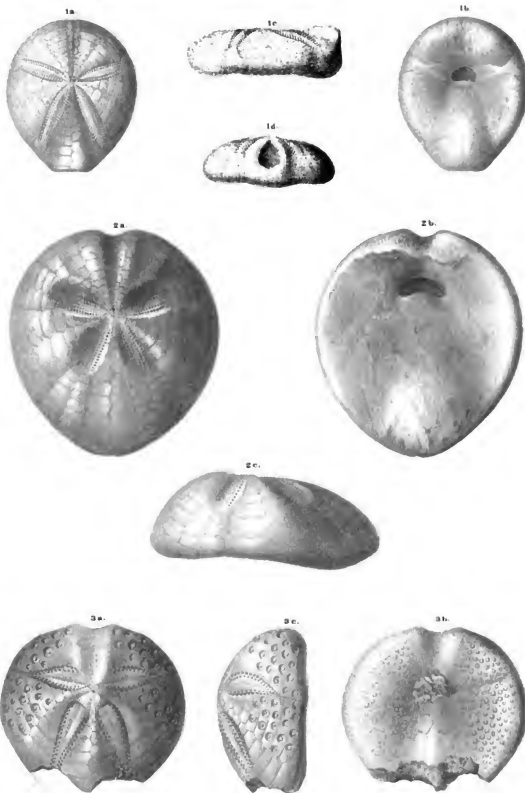
„ 4 a—d. *Waldheimia* sp.

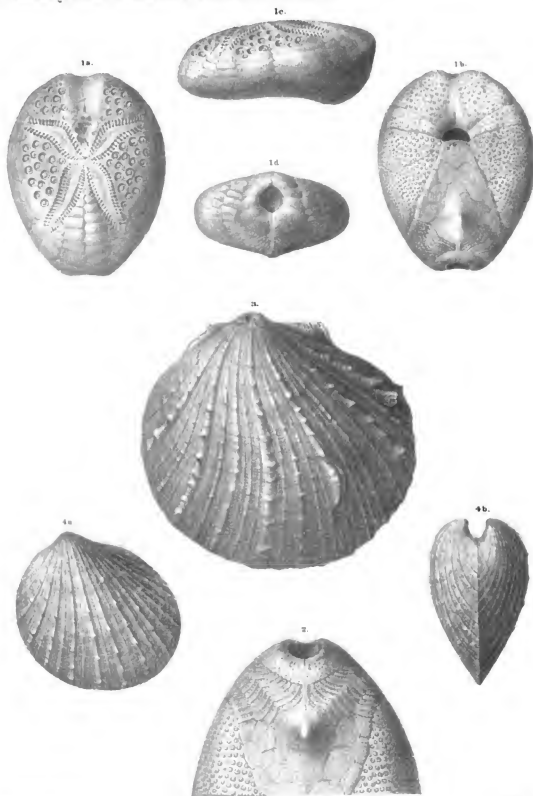




Böhm am 1. Nat. Mus. in Wien

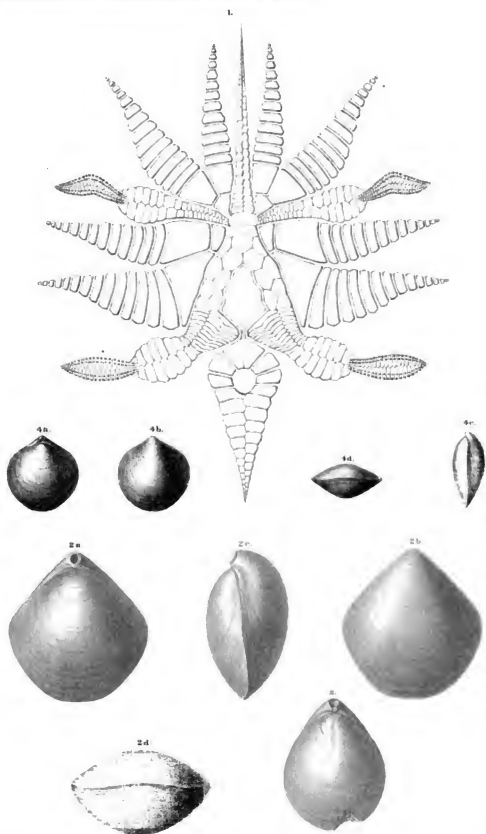
K. Hof- u. Staatsdruckerei





H. Schöner, mal. i. Nat. Gr. u. Lith.

K. K. Hof u. S. W. Fr. Druck.



R. Schöpp nach d. Nat. gez. u. lith.

K. v. Hof u. Stad. Druckere.

ÜBER

EINE CLASSE VON ABEL'SCHEN GLEICHUNGEN

VON

DR. B. IGEL,

DOCENT AN DER K. K. TECHNISCHEN HOCHSCHULE IN WIEN.

VORGELEGT IN DER SITZUNG DER MATHEMATISCH-NATURWISSENSCHAFTLICHEN CLASSE AM 16. MÄRZ 1862.

Beim Studium der Abel'schen Gleichungen, welche durch die Eigenschaft charakterisirt sind, dass, wenn man ihre Wurzeln mit z_1, z_2, \dots, z_p bezeichinet und $\mu = n \cdot m$ ist, unter diesen folgender Zusammenhang stattfindet:

$$\begin{aligned} z_1 &= \Theta(z_1) & , & & z_2 &= \Theta(z_2) & \dots & z_n = \Theta(z_{n-1}) \\ z_{n+1} &= \Theta(z_{n+1}) & , & & z_{n+2} &= \Theta(z_{n+2}) & \dots & z_{2n} = \Theta(z_{2n-1}) \\ & \dots & & & \dots & & & \dots \\ z_{(m-1)n+1} &= \Theta(z_{(m-1)n+1}) & , & & z_{(m-1)n+2} &= \Theta(z_{(m-1)n+2}) & \dots & z_{\mu} = \Theta(z_{\mu-1}), \end{aligned}$$

vermisst man das Kriterium, vermittelt dessen man an einer gegebenen Gleichung beurtheilen könnte, ob sie die genannte Eigenschaft hat oder nicht. Man ist daher geneigt anzunehmen, dass es ausser den von Abel behandelten und den mit den binomischen Gleichungen zusammenhängenden keine solchen Gleichungen mehr gibt, und dies umsomehr, als man solche Gleichungen nicht bilden kann und auf sie nirgends geführt wird. In noch viel höherem Grade scheint dies der Fall zu sein bei einer anderen Classe von Gleichungen, deren sämtliche Wurzeln rational durch eine von ihnen ausgedrückt werden sollen, und zwar so, dass, wenn

$$\Theta(z) \text{ und } \Theta_1(z)$$

zwei Wurzeln derselben sind, die Beziehung bestehen solle

$$\Theta\Theta_1(z) = \Theta_1\Theta(z).$$

Es gewinnt daher an Interesse, wenn man auf einen Fall geführt wird, in welchem Gleichungen mit den genannten Eigenschaften auftreten, und in welchem die wahre Natur der Gleichungen hervortritt. Die Behandlung eines solchen Falles ist nun der Gegenstand des folgenden Aufsatzes.

§. 1.

Es seien, unter n eine gerade Zahl verstanden, drei ganze rationale Functionen

$$f_1(x) = x^n + a_1 x^{n-1} + \dots + a_{n-1} x + a_n$$

$$f_2(x) = x^n + b_1 x^{n-1} + \dots + b_{n-1} x + b_n$$

$$f_3(x) = x^n + c_1 x^{n-1} + \dots + c_{n-1} x + c_n$$

ohne gemeinschaftlichen Theiler gegeben. Wir setzen für die Folge fest, dass die Wurzeln der Gleichungen

$$f_1 = 0 \quad f_2 = 0 \quad f_3 = 0$$

bezüglich durch folgende Buchstaben bezeichnet werden:

$$\alpha, \beta, \gamma, \dots$$

$$a, b, c, \dots$$

$$\alpha, \beta, \gamma, \dots$$

Stellen wir uns nun die Aufgabe, diejenigen Werthe von λ zu bestimmen, für welche die beiden Gleichungen

$$1) \quad \begin{cases} f_1(x) = 0 \\ f_1(x) + \lambda f_2(x) = 0 \end{cases}$$

zugleich bestehen, so finden wir, indem wir x aus diesen Gleichungen eliminiren, eine Gleichung in λ

$$2) \quad R(f_1, f_2 + \lambda f_3) = 0,$$

wo wir unter diesem Symbole die Resultante der Gleichungen 1) vorstellen. Da die Gleichung 2) offenbar vom n ten Grade in λ ist, so erhalten wir n Werthe von λ und demgemäss die n Gleichungen:

$$3) \quad \begin{cases} f_1(x) + \lambda_1 f_2(x) = 0 \\ f_1(x) + \lambda_2 f_2(x) = 0 \\ \vdots \\ f_1(x) + \lambda_n f_2(x) = 0, \end{cases}$$

von denen jede eine gemeinschaftliche Wurzel mit $f_1 = 0$ hat.

Da ferner die Wurzeln der Gleichung 2), resp. den folgenden Verhältnissen gleich sind

$$4) \quad \begin{cases} \lambda_1 = f_1(a) : f_2(a) \\ \lambda_2 = f_1(b) : f_2(b) \\ \vdots \\ \lambda_n = f_1(i) : f_2(i), \end{cases}$$

so kann die Gleichung 2) als diejenige Gleichung aufgefasst werden, deren Wurzeln rationale Functionen der Wurzeln der Gleichung $f_1 = 0$ sind. Setzt man in den Gleichungen 3) die λ -Werthe aus 4) ein, so dass sie die Form annehmen:

$$5) \quad \begin{cases} f_1(x)f_2(a) - f_1(a)f_2(x) = 0 \\ f_1(x)f_2(b) - f_1(b)f_2(x) = 0 \\ \vdots \\ f_1(x)f_2(i) - f_1(i)f_2(x) = 0, \end{cases}$$

so hat jede dieser Gleichungen nebst der mit $f_1 = 0$ gemeinschaftlichen Wurzel noch $n-1$ Wurzeln, von denen eine jede eine Function jener Wurzel ist. Es entsprechen demnach jeder Wurzel von $f_1 = 0$ $n-1$ Werthe, die mit ihr durch eine Gleichung verknüpft sind. Dass sich jene Wurzel rational durch jede der mit ihr durch eine Gleichung verknüpften Wurzeln ausdrücken lassen müsse, ist klar, und ich werde nachher zeigen, wie dies geschieht. Vorerst soll die Frage erörtert werden, welche algebraische Bedingungen erfüllt werden müssen, wenn die Relation

$$\frac{f_2(a)}{f_1(a)} = \frac{f_2(b)}{f_1(b)}$$

statt haben soll. Es ist offenbar die notwendige und hinreichende Bedingung, dass die Gleichung 2) zwei zusammenfallende Wurzeln hat. Die Anzahl der Gleichungen 3) reducirt sich in diesem Falle auf $n-1$, von denen eine Gleichung ein rationales λ enthält. Diese ist also eine rationale ganze Function und hat mit $f_1 = 0$ zwei gemeinschaftliche Wurzeln. In diesem Falle muss $f_1(x)$ nothwendig reducibel sein. Wenn man

aber $f_1(x)$ als irreducibel voraussetzt, so muss man im Falle zweier zusammenfallenden Wurzeln der Gleichung 2) nothwendig schliessen, dass diese mindestens noch ein Paar zusammenfallender Wurzeln haben müsse, dass also die Relationen stattfinden:

$$\left. \begin{aligned} f_1(a) &= f_1(b) \\ f_2(a) &= f_2(b) \end{aligned} \right\} \quad \left. \begin{aligned} f_1(c) &= f_1(d) \\ f_2(c) &= f_2(d) \end{aligned} \right\}$$

Ich will nun zeigen, dass unter dieser Voraussetzung die Gleichung 2) $\frac{n}{2}$ Paare zusammenfallender Wurzeln habe, und zwar in folgender Weise. Es lässt sich bekanntlich jede rationale Function einer Wurzel von irgend einer Gleichung als ganze Function derselben Wurzel vom Grade $n-1$ darstellen. Sei diese Function mit Φ bezeichnet, so wird unter der erwähnten Voraussetzung die Gleichung bestehen

$$\Phi(a) - \Phi(b) = 0.$$

Setzt man in diese Gleichung x statt a , so erhält man eine Gleichung, die eine Wurzel mit der Gleichung

$$\frac{f_1(x)}{x-b} = 0$$

gemeinschaftlich hat und durch Elimination von x aus diesen Gleichungen eine Gleichung

$$a = \Theta(b),$$

wo Θ eine rationale Function ist. Da man ebenso x aus den Gleichungen

$$\frac{f_1(x)}{x-a} = 0$$

$$\Phi(x) - \Phi(a) = 0$$

eliminiren kann, so erhält man auf dieselbe Weise

$$b = \Theta(a).$$

Wir lernen demnach daraus, dass im Falle

$$\frac{f_1(a)}{f_2(a)} = \frac{f_1(b)}{f_2(b)}$$

oder, was dasselbe ist, im Falle zweier zusammenfallenden Wurzeln der Gleichung 2) die Wurzeln a und b in der Beziehung zu einander stehen, dass die eine rational durch die andere ausdrückbar ist. Wenn nun f_1 als irreducibel vorausgesetzt wird, so schliesst man nach Abel, dass die Wurzeln von $f_1 = 0$ sich so in Paare gruppiren, dass eine Wurzel jedes Paares eine rationale Function der anderen Wurzel desselben Paares ist.

Die Auflösung der Gleichung $f_1 = 0$ reducirt sich also auf die Lösung der Gleichung 2) vom Grade $\frac{n}{2}$ und auf die der $\frac{n}{2}$ quadratischen Gleichungen. Dieses Resultat werden wir kurz so aussprechen:

Satz.

Wenn $f_1(x)$ irreducibel ist und wenn es möglich ist, zwei ganze Functionen f_1 und f_2 so zu bestimmen, dass

$$\frac{f_1(a)}{f_2(a)} = \frac{f_1(b)}{f_2(b)}$$

ist, so ist die Gleichung $f_1 = 0$ eine Abel'sche, d. h. sie hat die Form

$$f_1(x) = (x-a)(x-\Theta(a))(x-b)(x-\Theta(b)) \dots (x-c)(x-\Theta(c)) = 0.$$

Um nun die oben angedeutete Rechnung durchzuführen, erinnern wir daran, dass Φ folgende Form hat:

$$\Phi = \frac{f_1(a)}{R(f_1 f_3)} \cdot R\left\{ \frac{f_1}{x-a}, f_3 \right\} = \frac{f_1(a)}{R(f_1 f_3)} \cdot \begin{vmatrix} 1 & \varphi_1 & \varphi_2 & \dots & \varphi_{n-1} \\ 1 & \varphi_1 & \dots & \varphi_{n-2} & \varphi_{n-1} \\ \dots & \dots & \dots & \dots & \dots \\ & & & 1 & \varphi_1 \dots \varphi_{n-1} \\ 1 & c_1 & c_2 & \dots & c_n \\ 1 & c_1 & \dots & \dots & c_n \\ \dots & \dots & \dots & \dots & \dots \\ & & & 1 & c_1 \dots c_n \end{vmatrix}$$

wobei man sich natürlich zu denken hat, dass man in dieser Form den Grad mit Hilfe der Gleichung $f_1 = 0$ auf $n-1$ herabgedrückt habe. Beachtet man, dass die φ_i folgende Bedeutung haben:

$$\begin{aligned} \varphi_1 &= a + a_1 \\ \varphi_2 &= a^2 + a_1 a + a_2 \\ \varphi_3 &= a^3 + a_1 a^2 + a_2 a + a_3 \\ &\dots \dots \dots \\ \varphi_{n-1} &= a^{n-1} + a_1 a^{n-2} + a_2 a^{n-3} + \dots + a_n, \end{aligned}$$

so kann man, indem man in der Determinante die zweite Reihe mit a multipliziert und von der ersten Reihe abzieht, die dritte Reihe mit a multipliziert und von der zweiten abzieht u. s. w., die Determinante auf folgende Form bringen.

$$R\left\{ \frac{f_1}{x-a}, f_3 \right\} = \begin{vmatrix} 1 & a_1 & a_2 & \dots & a_n \\ 1 & a_1 & \dots & a_{n-1} & a_n \\ \dots & \dots & \dots & \dots & \dots \\ & & & 1 & a_1 \dots a_n \\ & & & & 1 & \varphi_1 \varphi_2 \dots \varphi_{n-1} \\ 1 & c_1 & c_2 & \dots & c_n \\ \dots & \dots & \dots & \dots & \dots \\ & & & 1 & c_1 & c_2 & \dots & c_n \end{vmatrix}.$$

Multipliziert man die $(n-1)$ te Reihe dieser Determinante mit $f_1(a)$, reduziert den Grad in a mit Hilfe der Gleichung $f_1 = 0$ und ordnet dieselbe nach Potenzen von a , so erhält Φ folgende Form:

$$\Phi(a) = \frac{1}{R(f_1 f_3)} \{ \Sigma A_i R_i a^{n-1} + \Sigma B_i R_i a^{n-2} + \dots + \Sigma N_i R_i \},$$

wo R_i die Unterdeterminanten bedeuten. Die Resultante der Gleichungen

$$\begin{aligned} \frac{f_1(x)}{x-b} &= 0 \\ \Phi(x) - \Phi(b) &= 0 \end{aligned}$$

hat demnach die Form

$$R = \begin{vmatrix} \Sigma A_i R_i & \Sigma B_i R_i & \dots & (\Sigma N_i R_i - \Phi(b)) \\ \dots & \Sigma A_i R_i & \dots & (\Sigma N_i R_i - \Phi(b)) \\ 1 & \varphi_1 & \dots & \varphi_{n-1} \\ & 1 & \dots & \varphi_{n-2} & \varphi_{n-1} \\ \dots & \dots & \dots & \dots & \dots \end{vmatrix}$$

§. 2.

Die Gleichungen 1), 2) und 3) im vorigen Abschnitte lassen sich geometrisch interpretiren.¹ Bekanntlich lässt sich jede Curve vom Geschlechte $p=0$, d. h. jede Curve mit $\frac{(n-1)(n-2)}{2}$ Doppel- und Rückkehrpunkten durch eindeutige Transformation auf die Form

$$1) \quad \begin{cases} x_1 = f_1(\lambda, \mu) \\ x_2 = f_2(\lambda, \mu) \\ x_3 = f_3(\lambda, \mu) \end{cases}$$

bringen, wo f_1, f_2, f_3 ganze homogene Functionen n ter Ordnung von λ und μ sind. Dass umgekehrt die Curve 1) vom Geschlechte $p=0$ ist, kann man folgendermassen leicht einsehen. Sehen wir nämlich λ, μ, ν als Coordinaten eines Punktes der transformirten Curve an, so können wir die x als Functionen von λ, μ und ν betrachten, bei welchen $\nu=0$ ist; es ist also dieses die Gleichung der transformirten Curve, d. h. dieselbe ist eine Gerade, bei welcher $p=0$ ist. Da nun die eindeutige Transformation das Geschlecht der Curve nicht ändert, so folgt daraus, dass die Curve 1) vom Geschlechte $p=0$ ist. Die Gleichung der Curve 1) erhält man bekanntlich durch Elimination von λ, μ aus dem Systeme

$$\begin{aligned} u_1 f_1 + u_2 f_2 + u_3 f_3 &= 0 \\ v_1 f_1 + v_2 f_2 + v_3 f_3 &= 0. \end{aligned}$$

Diese Resultante enthält die Grössen u, v nur in den Verbindungen

$$\begin{aligned} u_2 v_3 - u_3 v_2 \\ u_3 v_1 - u_1 v_3 \\ u_1 v_2 - u_2 v_1 \end{aligned}$$

und ist eine Form n ten Grades der letztern. Ersetzt man dieselben durch f_1, f_2, f_3 , so entsteht die Gleichung n ten Grades

$$F(f_1, f_2, f_3) = 0,$$

welche die Gleichung der Curve ist. — Die Resultante 2) in §. 1 wird offenbar auch aus den Gleichungen

$$\begin{aligned} u_1 f_1 &= 0 \\ v_1 f_1 + v_2 f_2 + v_3 f_3 &= 0 \end{aligned}$$

erhalten, daraus folgt, dass sie auch aus der Resultante $F(f_1, f_2, f_3) = 0$ erhalten wird, wenn man in ihr $f_1 = 0$ setzt.

Der Ausdruck, den man erhält, wenn man in der Gleichung einer Curve eine trimetrische Coordinate gleich Null setzt, stellt bekanntlich die Verbindungslinien der dieser Coordinate gegenüberliegenden Ecke des Fundamentaldreiecks mit den Punkten, in denen diese Coordinate die Curve schneidet, dar; und da die Resultante 2) in §. 1 der restliche Ausdruck von $F(f_1, f_2, f_3)$ ist, wenn man in dieser $f_1 = 0$ setzt, so stellt sie eben die Verbindungslinien des Punktes $f_1 = 0, f_2 = 0, f_3 = 0$ mit den Punkten, in welchen $F(f_1, f_2, f_3) = 0$ die Seite $f_1 = 0$ schneidet. Setzt man in der Resultante 2) in §. 1 $\lambda = f_2 : f_3$, so besteht sie offenbar aus den Producten der Gleichungen 3) in §. 1, folglich stellt jede dieser Gleichungen eine solche Verbindungslinie dar. Nun ist bekannt, dass für einen Doppelpunkt der Curve $F(f_1, f_2, f_3) = 0$ die Gleichungen bestehen:

$$\begin{aligned} f_1(\lambda) &= k f_1(\lambda) \\ f_2(\lambda) &= k f_2(\lambda) \\ f_3(\lambda) &= k f_3(\lambda), \end{aligned}$$

¹ Man vergl. Salmon, Geometrie der höheren ebenen Curven, p. 35; ferner Clebsch, Über diejenigen ebenen Curven, deren Coordinaten rationale Functionen eines Parameters sind. Crell's Archiv, Bd. 63 und Theorie der Abel'schen Functionen von Clebsch und Gordan, p. 67.

folglich bedeuten die Gleichungen

$$\begin{aligned}f_1(a) &= kf_1(b) \\f_2(a) &= kf_2(b) \\f_3(a) &= kf_3(b),\end{aligned}$$

dass ein Doppelpunkt der Curve auf der Seite $x_1 = 0$ liegt. Der Satz in § 1 kann jetzt folgendermassen ausgesprochen werden:

Satz.

Wenn $f_1(\lambda)$ irreducibel ist und ein Doppelpunkt der Curve auf der Seite $x_1 = 0$ liegt, so sind alle Durchschnittspunkte dieser Seite mit der Curve Doppelpunkte.

Bildet man die Resultante

$$R\{f_1, f_1 + \lambda f_2\} = 0$$

von den Gleichungen

$$\begin{aligned}f_1(x) &= 0 \\f_1(x) + \lambda f_2(x) &= 0,\end{aligned}$$

so kann man fragen, ob es möglich sei, dass sie ebenfalls ein vollständiges Quadrat ist, wenn $R\{f_1, f_1 + \lambda f_2\}$ ein solches ist. Vom algebraischen Standpunkte betrachtet, könnte es möglich scheinen, während die geometrische Anschauung darauf führt, dass es wenigstens für $n = 4$ im Allgemeinen unmöglich ist, weil, da die Curve vierter Ordnung nur drei Doppelpunkte haben kann, es nicht möglich ist, dass auf der Seite $x_1 = 0$ noch zwei Doppelpunkte liegen. Wir wollen es nun auch algebraisch zeigen. Gesetzt, die beiden Resultanten wären vollständige Quadrate, so würden folgende Gleichungen bestehen:

$$\begin{aligned}f_1(a)f_2(b) - f_1(b)f_2(a) &= 0 \\f_1(c)f_2(d) - f_1(d)f_2(c) &= 0 \\f_1(e)f_2(f) - f_1(f)f_2(e) &= 0 \\&\dots \dots \dots \\f_1(a)f_2(b) - f_1(b)f_2(a) &= 0 \\f_1(c)f_2(b) - f_1(b)f_2(c) &= 0 \\f_1(g)f_2(b) - f_1(b)f_2(g) &= 0 \\&\dots \dots \dots\end{aligned}$$

oder, wenn man die Gleichungen nach den Coefficienten von f_2 entwickelt, die folgenden:

$$\begin{aligned}c_0\{f_1(a)b^n - f_1(b)a^n\} + c_1\{f_1(a)b^{n-1} - f_1(b)a^{n-1}\} + \dots + c_n\{f_1(a) - f_1(b)\} &= 0 \\c_0\{f_1(c)d^n - f_1(d)c^n\} + c_1\{f_1(c)d^{n-1} - f_1(d)c^{n-1}\} + \dots + c_n\{f_1(c) - f_1(d)\} &= 0 \\c_0\{f_1(e)f^n - f_1(f)e^n\} + c_1\{f_1(e)f^{n-1} - f_1(f)e^{n-1}\} + \dots + c_n\{f_1(e) - f_1(f)\} &= 0 \\&\dots \dots \dots \\c_0\{f_1(a)b^n - f_1(b)a^n\} + c_1\{f_1(a)b^{n-1} - f_1(b)a^{n-1}\} + \dots + c_n\{f_1(a) - f_1(b)\} &= 0 \\c_0\{f_1(c)b^n - f_1(b)c^n\} + c_1\{f_1(c)b^{n-1} - f_1(b)c^{n-1}\} + \dots + c_n\{f_1(c) - f_1(b)\} &= 0,\end{aligned}$$

d. h. man würde dann im Allgemeinen eine hinreichende Anzahl von Gleichungen haben, um die Coefficienten von f_2 zu bestimmen, durch die Wurzeln von f_1 und f_2 , so dass f_2 eine ganz bestimmte, im Allgemeinen nicht rationale Function sein wird.

§. 3.

Der soeben gegebene Beweis wird illusorisch, wenn das System von Gleichungen nicht von einander unabhängig ist. In einem solchen Falle könnten möglicherweise alle drei Resultanten

$$R\{f_1, f_1 + \lambda f_2\}, \quad R\{f_1, f_1 + \lambda f_3\}, \quad R\{f_2, f_1 + \lambda f_3\}$$

vollständige Quadrate sein. In der That tritt ein solcher Fall ein, wenn verschiedenen Werthen von $\lambda:\mu$ nicht verschiedene Punkte der Curve $F(f_1, f_2, f_3) = 0$ entsprechen, sondern zu jedem Punkte der Curve mehrere Werthe jenes Verhältnisses gehören. Dieser Fall¹ wird bekanntlich dadurch charakterisirt, dass die Gleichungen

$$\begin{aligned} f_1(\lambda\mu)f_2(\lambda'\mu') - f_1(\lambda'\mu')f_2(\lambda\mu) &= 0 \\ f_1(\lambda\mu)f_3(\lambda'\mu') - f_1(\lambda'\mu')f_3(\lambda\mu) &= 0 \\ f_2(\lambda\mu)f_3(\lambda'\mu') - f_2(\lambda'\mu')f_3(\lambda\mu) &= 0 \end{aligned}$$

den grössten gemeinschaftlichen Divisor $\psi(\lambda\mu, \lambda'\mu')$ haben. Das Gleichungssystem in §. 2 sagt in diesem Falle nichts Neues und ist eine Folge dieser drei Gleichungen, welche für alle $\lambda\mu, \lambda'\mu'$ bestehen, die durch die Gleichung $\psi(\lambda\mu, \lambda'\mu') = 0$ verknüpft sind. Nun ist aber bekannt, dass sich stets eine rationale Function von $\lambda:\mu$ so herstellen lasse, dass deren Werthe und die Punkte der Curve sich gegenseitig eindeutig entsprechen. Nehmen wir nun an, dass diese Function der Quotient $u:v$ sei, wo u und v zwei Functionen n ten Grades von $\lambda:\mu$ bedeuten, so lassen sich die Coordinaten des zum Werthpaare $\lambda:\mu$ gehörigen Curvepunktes als Formen φ, ψ, χ , etwa p ten Grades von uv darstellen, und es wird

$$\begin{aligned} \varphi(uv) &= kf_1 \\ \psi(uv) &= kf_2 \\ \chi(uv) &= kf_3 \end{aligned}$$

wo λ von $\lambda\mu$ unabhängig ist. Durch Elimination von uv aus dem Systeme

$$f_1:f_2:f_3 = \varphi(uv):\psi(uv):\chi(uv)$$

erhält man eine Gleichung p ten Grades

$$G(f_1, f_2, f_3) = 0. \quad (\pi \cdot p = n).$$

Von dieser Form G beweist Pasch², dass sie irreducibel ist und dass $G(f_1, f_2, f_3)^n = F(f_1, f_2, f_3)$, wenn $\pi > 1$ ist.

Da wir nun schon wissen, dass die drei Resultanten

$$R\{f_1, f_2 + \lambda f_3\}, \quad R\{f_2, f_1 + \lambda f_3\}, \quad R\{f_3, f_1 + \lambda f_2\}$$

aus der Form $F(f_1, f_2, f_3)$ entstehen, wenn in derselben resp. f_1, f_2 und f_3 gleich Null setzt, so folgt daraus, dass, wenn π gleich zwei ist, alle drei Resultanten vollständige Quadrate sind. Es bestehen demnach folgende Gleichungssysteme

$$\begin{cases} f_2(a) = k_1 f_3(b) \\ f_2(c) = k_1 f_3(d) \\ \cdot \quad \cdot \quad \cdot \quad \cdot \quad \cdot \\ f_2(h) = k_1 f_3(i) \end{cases} \quad \begin{cases} f_1(a) = k_2 f_3(b) \\ f_1(c) = k_2 f_3(d) \\ \cdot \quad \cdot \quad \cdot \quad \cdot \quad \cdot \\ f_1(h) = k_2 f_3(i) \end{cases} \quad \begin{cases} f_1(\alpha) = k_3 f_2(\beta) \\ f_1(\gamma) = k_3 f_2(\delta) \\ \cdot \quad \cdot \quad \cdot \quad \cdot \quad \cdot \\ f_1(\nu) = k_3 f_2(\zeta) \end{cases}$$

¹ Vergl. Lüroth, Mathematische Annalen, Bd. IX. p. 163, und Pasch, ebendas. Bd. XVI, p. 91.

² L. c.

Dies bedeutet nach §. 1 nichts Anderes, als dass die Wurzeln jeder der drei Gleichungen $f_1 = 0$, $f_2 = 0$, $f_3 = 0$ in $\frac{n}{2}$ Paare sich so vertheilen lassen, dass die Wurzel eines jeden Paares sich rational durch die andere desselben Paares ausdrücken lässt. Wir können demnach folgenden Satz aussprechen:

Satz.

Wenn die Functionen f_1, f_2, f_3 in dem Zusammenhange stehen, dass die Gleichungen

$$\begin{aligned} f_1(\lambda\mu)f_2(\lambda'\mu') - f_1(\lambda'\mu')f_2(\lambda\mu) &= 0 \\ f_1(\lambda\mu)f_3(\lambda'\mu') - f_1(\lambda'\mu')f_3(\lambda\mu) &= 0 \\ f_2(\lambda\mu)f_3(\lambda'\mu') - f_2(\lambda'\mu')f_3(\lambda\mu) &= 0 \end{aligned}$$

den grössten gemeinschaftlichen Divisor $\phi(\lambda\mu; \lambda'\mu')$ vom zweiten Grade haben, so sind die Gleichungen $f_1 = 0$, $f_2 = 0$, $f_3 = 0$ Abel'sche, d. h. es ist

$$\begin{aligned} f_1(x) &= (x - \xi_1)(x - \theta(\xi_1')) \dots (x - \xi_n)(x - \theta(\xi_n')) \\ f_2(x) &= (x - \xi_1')(x - \theta(\xi_1)) \dots (x - \xi_n')(x - \theta(\xi_n)) \\ f_3(x) &= (x - \xi_1'')(x - \theta(\xi_1'')) \dots (x - \xi_n'')(x - \theta(\xi_n'')). \end{aligned}$$

Bemerkenswerth ist dieser Fall noch dadurch, dass die rationale Function $\theta(\xi)$ für alle drei Gleichungen dieselbe ist. Erinert man sich an die Bildung von $\theta(\xi)$, so folgt leicht folgende Relation:

$$\begin{aligned} R\left\{ \frac{f_1}{x-\lambda}, f_1 R\left\{ f_2, \frac{f_1}{x-\lambda} \right\} \right\} &= R\left\{ \frac{f_2}{x-\lambda}, f_1 R\left\{ f_3, \frac{f_1}{x-\lambda} \right\} \right\} \\ &= R\left\{ \frac{f_3}{x-\lambda}, f_1 R\left\{ f_1, \frac{f_3}{x-\lambda} \right\} \right\} \end{aligned}$$

wo λ eine unbestimmte Grösse bedeutet.

§. 4.

Es sollen jetzt folgende Sätze bewiesen werden:

Satz 1.

Sind die drei Gleichungen

$$f_1 = 0, \quad f_2 = 0, \quad f_3 = 0$$

von der im Satze §. 3 auseinander gesetzten Beschaffenheit, so lassen sich die Wurzeln einer jeden von ihnen rational durch die Wurzel einer jeden anderen ausdrücken.

Satz 2.

Unter derselben Voraussetzung lassen sich die Wurzeln jeder Gleichung durch irgend eine derselben als rationale Functionen ausdrücken, und zwar in der Weise, dass, wenn man irgend zwei solche rationale Functionen mit θ und θ_1 bezeichnet, die Relation besteht:

$$\theta\theta_1 = \theta_1\theta.$$

Es bestehen nämlich in diesem Falle folgende Gleichungen:

$$\begin{aligned} 0 &= c_0 \{ f_1(\xi) \xi^n - f_1(\xi) \xi^n \} + c_1 \{ f_1(\xi) \xi^{n-1} - f_1(\xi) \xi^{n-1} \} + \dots + c_n \{ f_1(\xi) - f_1(\xi) \} \\ 0 &= c_0 \{ f_1(a) b^n - f_1(b) a^n \} + c_1 \{ f_1(a) b^{n-1} - f_1(b) a^{n-1} \} + \dots + c_n \{ f_1(a) - f_1(b) \} \\ 0 &= c_0 \{ f_1(i) h^n - f_1(h) i^n \} + c_1 \{ f_1(i) h^{n-1} - f_1(h) i^{n-1} \} + \dots + c_n \{ f_1(i) - f_1(h) \} \\ 0 &= c_0 \{ f_1(a) b^n - f_1(b) a^n \} + c_1 \{ f_1(a) b^{n-1} - f_1(b) a^{n-1} \} + \dots + c_n \{ f_1(a) - f_1(b) \} \\ 0 &= c_0 \{ f_1(i) h^n - f_1(h) i^n \} + c_1 \{ f_1(i) h^{n-1} - f_1(h) i^{n-1} \} + \dots + c_n \{ f_1(i) - f_1(h) \} \end{aligned}$$

welche von einander abhängig sind und schon aus der ersten folgen. Es verschwindet also folgende Determinante:

$$\pi = \begin{vmatrix} f_1(\xi) \xi^a - f_1(\xi) \xi^a, & f_1(\xi) \xi^{a-1} - f_1(\xi) \xi^{a-1} \dots f_1(\xi) - f_1(\xi) \\ f_1(a) b^a - f_1(b) a^a, & f_1(a) b^{a-1} - f_1(b) a^{a-1} \dots f_1(a) - f_1(b) \\ \dots & \dots \\ f_1(h) i^a - f_1(i) h^a, & f_1(h) i^{a-1} - f_1(i) h^{a-1} \dots f_1(h) - f_1(i) \\ f_1(a) b^a - f_1(b) a^a, & f_1(a) b^{a-1} - f_1(b) a^{a-1} \dots f_1(a) - f_1(b) \\ \dots & \dots \\ f_1(b) i^a - f_1(i) b^a, & f_1(b) i^{a-1} - f_1(i) b^{a-1} \dots f_1(b) - f_1(i) \end{vmatrix}$$

Ist aber ξ beliebig, so ist es auch ξ' , da diese beiden Grössen nur durch die Gleichung $\phi(\xi\xi') = 0$ zusammenhängen; es müssen also die Coefficienten der Elemente der ersten Reihe für sich verschwinden, d. h. die $n+1$ Unterdeterminanten müssen verschwinden. Wenn wir nun statt der Grössen

$$a, c \dots i; \quad a, c \dots i \\ b, d \dots h; \quad b, d \dots h$$

resp. die Grössen

$$\xi_1, \quad \xi_2 \dots \xi_n; \quad \xi_{n+1} \dots \xi_n \\ \Theta(\xi_1), \Theta(\xi_2) \dots \Theta(\xi_n); \quad \dots \Theta(\xi_n)$$

einführen und nach den ξ_i entwickeln, so erhalten wir $n+1$ Gleichungen zwischen n Unbekannten

$$\begin{aligned} \pi_1(\xi_1, \xi_2 \dots \xi_n) &= 0 \\ \pi_2(\xi_1, \xi_2 \dots \xi_n) &= 0 \\ \dots & \dots \\ \pi_n(\xi_1, \xi_2 \dots \xi_n) &= 0 \\ \pi_{n+1}(\xi_1, \xi_2 \dots \xi_n) &= 0. \end{aligned}$$

Jeder Combination von n Gleichungen aus diesem Systeme genügt das Werthsystem

$$a, b, c \dots i; \quad a, b, c \dots i.$$

Aus irgend einer solchen Combination eliminiren wir die $n-1$ Grössen $\xi_2 \dots \xi_n$ und erhalten die Endgleichung

$$f(\xi_1) = 0.$$

Da nun dieser Gleichung die Grösse a genügt, so erhält man bekanntlich die übrigen Grössen in der Form

$$\begin{cases} c = \Theta_1(a), & e = \Theta_1(a) \dots h = \Theta_{\frac{n}{2}}(a) \\ a = \Theta_{\frac{n}{2}+1}(a), & \dots \dots \dots b = \Theta_n(a). \end{cases}$$

Damit ist nun der erste Satz bewiesen, nach welchem jede Wurzel einer Gleichung durch diejenige einer jeden anderen rational ausdrückbar ist.

Setzen wir aber in $\pi = 0$ statt der Grössen

$$a, c \dots i, \quad a, c \dots i \\ b, d \dots h, \quad b, d \dots h$$

die Grössen

$$\Theta(\xi_1), \Theta(\xi_2) \dots \Theta(\xi_n) \\ \xi_1, \quad \xi_2 \dots \xi_n$$

und eliminiren aus denselben die $n-1$ Grössen

$$\xi_2, \xi_3 \dots \xi_n,$$

so erhalten wir dieselbe Endgleichung

$$f(\xi_1) = 0,$$

welcher die Wurzel b genügt. Wir erhalten jetzt

$$\text{II) } \begin{cases} d = \theta_1(b) \dots h = \theta_{\frac{n}{2}}(b) \\ b = \theta_{\frac{n}{2}+1}(b) \dots b = \theta_n(b). \end{cases}$$

Vergleicht man die Gleichungen I) und II) mit einander, so erhält man leicht die Gleichungen

$$\Theta(a) = \Theta \cdot \Theta_1(a)$$

$$\Theta(a) = \Theta_1 \cdot \Theta(a)$$

oder

$$\Theta \Theta_1(a) = \Theta_1 \Theta(a)$$

und somit ist auch der zweite Satz bewiesen.

§. 5.

Wir haben schon oben angedeutet, dass die Resultante

$$R\{f_1, f_2 + \lambda f_3\}$$

in das Produkt

$$(f_1 + \lambda_1 f_3)(f_1 + \lambda_2 f_3) \dots (f_1 + \lambda_n f_3)$$

übergeht, wenn man in ihr $\lambda = f_1 : f_3$ setzt. Und da jeder der Factoren einen linearen Factor von $f_1(x)$ enthält, so muss

$$R\{f_1, f_2 + \lambda f_3\}$$

die Form haben:

$$R\{f_1, f_2 + \lambda f_3\} = \psi(x) \cdot f_1(x).$$

Es handelt jetzt darum, die Form ψ zu eruiuen. Zu diesem Zwecke führe ich folgende Bezeichnungen ein:

$$f_1(x) = a_0 + a_1 x + a_2 x^2 + \dots + a_n x^n = A^x$$

$$f_2(x) = b_0 + b_1 x + b_2 x^2 + \dots + b_n x^n = B^x$$

$$f_3(x) = c_0 + c_1 x + c_2 x^2 + \dots + c_n x^n = C^x$$

$$f_1(y) = a_0 + a_1 y + a_2 y^2 + \dots + a_n y^n = A^y$$

$$f_2(y) = b_0 + b_1 y + b_2 y^2 + \dots + b_n y^n = B^y$$

$$f_3(y) = c_0 + c_1 y + c_2 y^2 + \dots + c_n y^n = C^y,$$

so dass die Gleichungen 3) §. 1 folgende Form haben:

$$\begin{vmatrix} B^x C^x \\ B^x C^x \end{vmatrix} = 0 \quad \begin{vmatrix} B^x C^x \\ B^x C^x \end{vmatrix} = 0 \\ \dots \dots \dots \begin{vmatrix} B^x C^x \\ B^x C^x \end{vmatrix} = 0 \quad \begin{vmatrix} B^x C^x \\ B^x C^x \end{vmatrix} = 0.$$

Wie man leicht einsieht, hat ψ die Form:

$$\psi = \left| \frac{B^x C^x}{B^x C^x} \right| \times \left| \frac{B^x C^x}{B^x C^x} \right| \dots \left| \frac{B^x C^x}{B^x C^x} \right| \frac{1}{(x-a)(x-b) \dots (x-i)}$$

oder auch, wie eine leichte Umformung zeigt:

$$\psi = \left| \frac{B^x \frac{B^x - B^x}{a-x}}{C^x \frac{C^x - C^x}{a-x}} \right| \left| \frac{B^x \frac{B^x - B^x}{b-x}}{C^x \frac{C^x - C^x}{b-x}} \right| \dots \left| \frac{B^x \frac{B^x - B^x}{i-x}}{C^x \frac{C^x - C^x}{i-x}} \right|.$$

Da nun $\Pi f_1(a) = R_{f_1 f_2}$, so folgt

$$R_{(f_1 f_2)}^{n-1} = \Pi \begin{vmatrix} a_0 a_1 \dots a_n & & & & \\ & a_0 \dots a_{n-1} a_n & & & \\ & \cdot & \cdot & \cdot & \cdot \\ & & & 1 & \varphi_1 \dots \varphi_{n-1} \\ c_0 c_1 \dots c_n & & & & \\ \cdot & \cdot & \cdot & \cdot & \cdot \\ & & & c_0 \dots \dots \dots c_n \end{vmatrix} = \Pi \Phi.$$

Betrachten wir $\Phi(x)$ als eine Function $(n-1)$ ten Grades, so ist $\Pi \Phi(a)$ die Resultante von Φ und f_1 , und da dieselbe die $(n-1)$ te Potenz von $R_{f_1 f_2}$ ist, so folgt, dass, wenn f_1 und f_2 eine gemeinschaftliche Wurzel haben, f_1 und Φ $n-1$ gemeinschaftliche Wurzeln haben. Φ wird also in diesem Falle gleich

$$\frac{f_1}{x-\sigma},$$

wo σ eine Wurzel von $f_1 = 0$ bedeutet, welche $\Phi = 0$ nicht genügt. Wir haben also den Satz:

Satz.

Wenn $f_1 = 0$ und $f_2 = 0$ eine gemeinschaftliche Wurzel haben, so stellt sich

$$\frac{f_1}{x-\sigma} = \sigma^{n-1} + \varphi_1 \sigma^{n-2} + \varphi_2 \sigma^{n-3} + \dots + \varphi_{n-1}$$

in Form einer Determinante Φ dar.



